


GEOLOGI FOR SAMFUNNET

GEOLOGY FOR SOCIETY



Rapport nr.: 2013.041		ISSN 0800-3416	Gradering: Åpen	
Tittel: Miljøgeokjemiske data og dateringsresultater fra Finnmark, Nordland VI og Mørebankene – MAREANO				
Forfatter: Henning K.B. Jensen, Jochen Knies, Tor Erik Finne og Terje Thorsnes		Oppdragsgiver: MAREANO		
Fylke:		Kommune:		
Kartblad (M=1:250.000)		Kartbladnr. og -navn (M=1:50.000)		
Forekomstens navn og koordinater:		Sidetall: 76	Pris: 340,-	
		Kartbilag: 0		
Feltarbeid utført: April 2011, september – oktober 2011, mai 2012, september – oktober 2012	Rapportdato: 30.09.2013	Prosjektnr.: 311730	Ansvarlig: Reidulv Bøe 	
<p>Sammendrag:</p> <p>På MAREANO-toktene med G.O. Sars i 2011 og 2012 ble det tatt sedimentkjerner for miljøundersøkelser på prøvetakingsstasjoner utenfor Finnmark (3 stasjoner), Nordland VI (14 stasjoner), Mørebankene og Breisunddjupet (5 stasjoner), samt prøver fra fjordene innenfor Mørebankene for Miljødirektoratet (7 stasjoner).</p> <p>Tungmetall-, arsen- og tributyltinn-nivåene i overflatesedimentene (0-1 cm) er generelt lave, tilsvarende Miljødirektoratets tilstandsklasse I (bakgrunn) for fjord- og kystsedimenter, med unntak av enkelte stasjoner i Nordland VI som har Pb- og Ni-konsentrasjoner i tilstandsklasse II. Barium finnes i lave konsentrasjoner i overflatesedimentene.</p> <p>Av sedimentkjerner ble 14 valgt ut for kjemisk analyse, og 9 av disse er datert med ²¹⁰Pb og analysert for innhold av ¹³⁷Cs. Kjernene ble valgt ut basert på visuell bedømmelse og røntgenanalyser.</p> <p>Dateringsanalysene viser at det generelt er sedimentasjonsrater 0,7-1,2 millimeter/år i alle de tre områdene. En prøve fra en stasjon på kontinentalskråningen i Nordland VI ble tatt for ¹⁴C-datering for å kontrollere alder på sedimentet mot ²¹⁰Pb og ¹³⁷Cs. ¹⁴C-dateringen ga betydelig høyere alder enn det ²¹⁰Pb-dateringen indikerer. Dette understreker at sedimentasjonsratene på kontinentalskråningen bør bestemmes ved hjelp av flere dateringsmetoder, og at ²¹⁰Pb alene bør unngås.</p> <p>Generelt er det lave metallkonsentrasjoner ned gjennom sedimentkjernene. Det er en viss økning, spesielt for kvikksølv (Hg) og bly (Pb) mot toppen av sedimentkjernene. Økningen i innhold av kvikksølv og bly i sedimentkjernene fra Finnmark, Nordland VI og Mørebankene antas å vise tilførsel av menneskeskapt forurensning. ²¹⁰Pb dateringer av flere sedimentkjerner indikerer at økningen i Hg og Pb begynner i slutten av 1800-tallet, sannsynligvis i forbindelse med den industrielle utvikling.</p>				
Emneord: Maringeologi		Sediment	Forurensning	
Tungmetaller		Prøvetaking	MAREANO	
Miljø		Geokjemi	Datering	

INNHold

1. INNLEDNING	5
2. TOKT OG PRØVETAKING	5
3. DATA OG METODIKK	8
4. KVALITETSKONTROLL	9
5. RESULTATER	10
5.1 Sedimentklassifisering og beregning av vektprosent karbonat.....	10
5.2 Overflateprøver (0-1 cm).....	12
5.2.1 Kornstørrelsesfordeling, organisk karbon og karbonat	12
5.2.2 Innhold av tungmetaller, arsen, barium og tributyltinn (TBT).....	17
5.3 Analyser av sedimentkjerner	24
5.3.1 Visuell bedømmelse og XRI-analyser.....	24
5.3.2 Kornstørrelsesfordeling	27
5.3.3 Total organisk karbon, karbonat og svovel	31
5.4 Bly-isotop 210 (²¹⁰ Pb) datering, ¹³⁷ Cs målinger og sedimentakkumulasjonsrater	35
5.4.1 ¹⁴ C-datering	38
5.5 Tungmetaller og arsen i 9 ²¹⁰ Pb-daterte sedimentkjerner og 5 udaterte sedimentkjerner	46
6. OPPSUMMERING	74
7. REFERANSER	75

VEDLEGG (CD, eller tilgjengelig digitalt ved nedlasting fra www.mareano.no/resultater)

Vedlegg 1. Prøveliste og analyseresultater. Kornstørrelsesfordeling (Coulter analyse), Leco (total S, total C og organisk C), HNO₃-ekstrahert og analysert med AAS (Hg, As, Cd, Pb, Se, Sn) og ICP-AES (30 elementer). Naturlige standarder Hynne og Nordkyn er inkludert i prøvelistene.

Vedlegg 2. TBT-analyser (tributyltinn) av overflatesedimenter fra 11 utvalgte stasjoner. Eurofins rapport nr. AR-13-MM-013448-01 (1/1).

Vedlegg 3. Kart over stasjonsoversikt, Total Organisk Karbon (TOC), karbonat, kornstørrelsesfordeling, fraksjon <63 µm, As, Ba, Cd, Cr, Cu, Hg, Ni, Pb, Zn og TBT.

Vedlegg 4. XRI-bilder av sedimentkjerner.

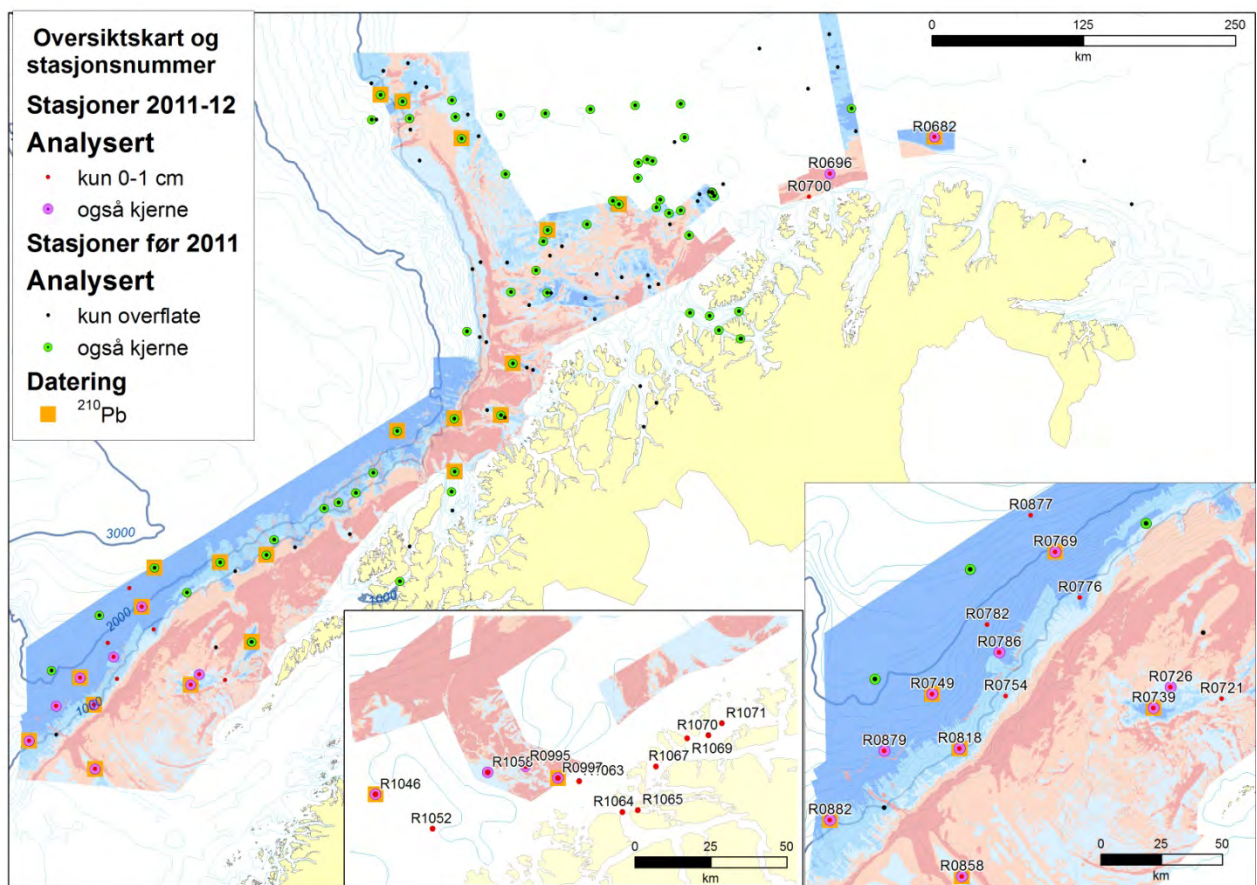
Vedlegg 5. Cs-137 aktivitet i sediment og Pb-210 datering av kjerner i Mareano-prosjektet. ²¹⁰Pb og ¹³⁷Cs analyserapport. Leverandør av data: Havforskningsinstituttet. Datert 01.07.2013. 17 sider. C-14 dateringsrapport. Leverandør: 14CHRONO Centre, Queens University Belfast, Storbritannia.

1. INNLEDNING

Sedimentkjerner fra Finnmark, Nordland VI og Mørebankene er analysert for innhold av tungmetaller, arsen, TBT, kornstørrelsesfordeling, total organisk karbon, og er i tillegg datert (^{210}Pb og ^{137}Cs). Figur 1 viser stasjonene fra de 3 områdene.

2. TOKT OG PRØVETAKING

Prøvetakingstoktene i 2011 og 2012 ble gjennomført med 3 prøvetakingsstasjoner i Finnmark, 14 stasjoner i Nordland VI, 5 stasjoner på Mørebankene, og 7 stasjoner i Breisunddjupet og fjorder på kysten (MAREANO årsrapport 2012) (Figur 2). Tabell 1 gir en oversikt over havdyp, geografiske posisjoner og lengde på sedimentkjernene. Prøvetakingsutstyret består av en multicorer som har 6 PVC-rør med 106 millimeter indre diameter og 60 cm lengde (Figur 3). Alternative redskaper har vært boxcorer (6 stasjoner) vist på Figur 4 eller van Veen grabb (1 stasjon). Disse er brukt på stasjoner hvor det ikke har vært mulig å bruke multicorer enten på grunn av skade på utstyret eller fordi bunntypen var for grovkornet for bruk av multicorer.



Figur 1. Stasjonene fra 2011 og 2012 har stasjonsnummer. De øvrige MAREANO-stasjonene fra tokt i perioden 2006-2010 er også vist. Stasjonene fra Mørebankene og innenforliggende områder er vist i det innfelte kartet nederst i midten. Nordland VI er vist til høyre.

Tabell 1. Analyserte sedimentkjerner.

Stasjon	Område	Geografiske koordinater		Havdyp [m]	Prøvetaker	Kjernelengde [cm]
		Nord	Øst			
Tokt 2011-105						
R682MC001	Finnmark	71° 27.11	027°45.34	403	Multicorer	31,0
R696MC002	Finnmark	71° 20.02	025°13.83	296	Multicorer	43,0
R700GR496	Finnmark	71° 11.48	024°40.61	286	van Veen Grabb	12,0
Tokt 2011-110						
R0721MC015	Nordland VI	67°50.87	011°48.55	181	Multicorer	13,0
R0726MC016	Nordland VI	67°52.78	011°19.08	209	Multicorer	27,0
Tokt 2011-113						
R739MC019	Nordland VI	67°47.74	011°09.53	264	Multicorer	37,0
R749MC020	Nordland VI	67°47.09	008°59.56	1863	Multicorer	43,0
R754MC021	Nordland VI	67°48.04	009°41.48	797	Multicorer	29,0
Tokt 2012-106						
R769MC001	Nordland VI	68°20.84	010°04.30	1963	Multicorer	41,5
R776MC004	Nordland VI	68°11.32	010°21.72	874	Multicorer	32,0
R782MC007	Nordland VI	68°03.51	009°28.23	1700	Multicorer	50,0
R786MC006	Nordland VI	67°57.56	009°36.83	1278	Multicorer	51,0
R818MC005	Nordland VI	67°35.72	009°18.46	912	Multicorer	44,0
R858MC010	Nordland VI	67°07.65	009°26.45	477	Multicorer	38,0
R877MC002	Nordland VI	68°28.44	009°48.21	2451	Multicorer	34,0
R879MC008	Nordland VI	67°33.58	008°35.07	1582	Multicorer	35,0
R882BC011	Nordland VI	67°17.13	008°08.24	1117	Boxcorer	42,0
Tokt 2012-110						
R995MC012	Breisunddjupet	62°31.61	05°21.88	260	Multicorer	23,0
R997MC015	Breisunddjupet	62°30.36	05°34.80	283	Multicorer	19,0
R1046MC017	Mørebankene	62°22.56	04°27.03	194	Multicorer	23,5
R1052MC016	Mørebankene	62°18.17	04°50.59	190	Multicorer	32,5
R1058BC025	Mørebankene	62°29.54	05°08.30	168	Boxcorer	26,0
R1063MC020	Ytre Breisundet	62°30,38	05°43,00	251	Multicorer	26,0
R1064MC021	Indre Breisundet	62°26,07	06°01,12	432	Multicorer	33,0
R1065BC035	Heissafjorden	62°26,79	06°06,82	205	Boxcorer	25,0
R1067 BC037	Vigrafjorden	62° 34.85	06° 11.31	348	Boxcorer	2,0
R1069BC044	Nogva	62° 40.53	06° 21.86	119	Boxcorer	18,0
R1070BC045	Fjørtoft	62° 41.55	06° 29.80	102	Boxcorer	42,5
R1071BC046	Harøy	62° 43.95	06° 34.31	253	Boxcorer	31,0



Figur 2. Multicorer med 6 sedimentkjerner på dekk. Prøve fra stasjon R782 på 1700 m havdyp på kontinentalskråningen i Nordland VI. Lengden på de 6 sedimentkjernene er opptil 50 cm.



Figur 3. Boxcorer fra stasjon R1058 med 4 PVC rør satt ned i sedimentene.

3. DATA OG METODIKK

Det ble gjennomført skiving av kjernene ombord for hver centimeter. Prøvetakingsrøret har en indre diameter på 106 mm. Sedimentkjernen ble presset ut av røret v.h.a. et stempel. Figur 4 viser toppen av en sedimentkjerne som blir presset ut, klar for å ta en sedimentprøve (0-1 cm). Prøvene ble pakket i polyetylenposer med zi-plås før innfrysing til ± 18 °C.



Figur 4. Multicorerprøve fra toppsjiktet (0-1 cm) fra stasjon R782, Nordland VI (1700 m vanndyp), rørposisjon nr. 1. Sedimentene i toppsjiktet består av sandholdig slam med foraminiferer.

Ved NGU Lab ble frysetørking og uttak til følgende analyser gjennomført:

- Bestemmelse av organisk karbon (TS, TC og TOC) ved hjelp av Leco ved eksternt laboratorium (Fugro Geolab Nor AS).
- Innvekt 1,0 g til HNO₃-ekstraksjon etter NS 4770 for påfølgende analyse med ICP-AES og AAS.

Det er brukt varierende prøvemengde for våtsikting med sikteåpning 16, 8, 4, 2 og 1 mm, samt 500, 250, 125 og 63 μm (avhengig av antatt kornstørrelsesfordeling). Fraksjonen mindre enn 2 mm er så

analysert for kornstørrelse med Coulter laserdiffraksjon, slik at kornfordelingskurve kan beregnes for kornstørrelse ned til 0,4 μm . Siktefraksjonene er bevart.

Vedlegg 1 gjengir analyserapporten fra NGU Lab i sin helhet. Analyserapporten inneholder ytterligere opplysninger om analysemetoder og -kvalitet.

Prøver til dateringsanalyse ble tatt ut fra samme sedimentkjerne som prøvene til uorganisk kjemiske analysene nevnt ovenfor. Grunnet behov for relativt store prøvemengder i forhold til det som har vært til rådighet fra skivene på 1 cm tykkelse har det på flere stasjoner vært nødvendig å blande prøver fra 2 sedimentkjerner for å ha tilstrekkelig materiale til både dateringsanalyse og uorganisk kjemisk analyse. I disse tilfellene ble det brukt blandeprøver til både datering og uorganisk kjemiske analyser. For stasjoner hvor det var nok prøvemengde fra 1 sedimentkjerne ble det ikke laget blandeprøver.

Det ble tatt ut skjellmateriale fra en enkelt prøve (5-6 cm) fra R769 til ^{14}C -datering.

4. KVALITETSKONTROLL

For kvalitetskontroll av de uorganisk kjemiske analysene er det satt inn sedimentprøve fra Trondheimsfjorden i prøvesettet. Prøvene heter standard Hynne fra indre Trondheimsfjord og en standard fra Nordkyn i Finnmark. Det er gjennomført i alt 17 parallelle analyser av hver av de to innsatte sedimentprøvene. Analyseresultatene er presentert sammen med de øvrige resultatene i Vedlegg 1.

5. RESULTATER

Geokjemiske data fra samtlige analyser finnes i Vedlegg 1 og 2. I de fleste sammenhenger benyttes konsentrasjonsenheten mg/kg sediment. For å kunne operere med datasett (statistikk og kart) for alle observasjoner er alle analyseresultater rapportert "< deteksjonsgrense" satt til verdien $0,5 \times$ deteksjonsgrensen for det gjeldende stoff.

5.1 Sedimentklassifikasjon og beregning av vektprosent karbonat

Tabell 2. Sedimentklassifikasjon og kornstørrelser. Klassifikasjonen er i henhold til NGUs sedimentklassifikasjon.

Kornstørrelse	Definisjon/beskrivelse
Leir	Leir:silt > 2:1 og leir+silt > 90 %, sand < 10 %, grus < 2%
Organisk slam	Leir:silt fra 1:2 til 2:1 og leir+silt > 90 %, sand < 10 %, grus < 2 %. Høyt innhold av organisk material
Slam	Leir:silt fra 1:2 til 2:1 og leir +silt > 90 %, sand < 10%, grus < 2%.
Sandholdig leir	Leir+silt > 2:1 og leir+silt > 50 %, sand < 50 %, grus < 2 %.
Sandholdig slam	Leir:silt = fra 1:2 til 2:1 og leir+silt > 50%, sand < 50%, grus < 2%.
Silt	Leir:silt < 1:2 og leir+silt > 90 %, sand < 10%, grus < 2 %.
Sandholdig silt	Silt:leir > 2:1 og leir+silt > 50 %, sand < 50 %, grus < 2 %.
Leirholdig sand	Sand > 50 %, leir:silt > 2:1 og leir+silt < 50 %, grus < 2 %.
Slamholdig sand	Sand > 50 %, leir:silt = fra 1:2 til 2:1 og leir+silt < 50 %, grus < 2 %.
Silt holdig sand	Sand > 50 %, silt:leir > 2:1 og leir+silt < 50 %, grus < 2 %.
Fin sand	Sand > 90 %, inkluderer fin og veldig fin sand (Wentworth, 1922).
Sand	Sand > 90 %, leir+silt < 10 %, grus < 2 %.
Grov sand	Sand > 90 %, inkluderer medium, grov og veldig grov sand (Wentworth, 1922).
Grusholdig slam	Sand:silt+leir < 1:9, grus 2 – 30 %.
Grusholdig sandholdig slam	Sand:silt+leir fra 1:9 til 1:1, grus 2 – 30 %.
Grusholdig slamholdig sand	Sand:silt+leir fra 1:1 til 9:1, grus 2 – 30 %.
Grusholdig sand	Sand:silt+leir > 9:1, grus 2 – 30 %.
Slamholdig grus	Grus 30 – 80 %, sand:silt+leir < 1:1.
Slamholdig sandholdig grus	Grus 30 – 80 %, sand:silt+leir fra 1:1 til 9:1.
Sandholdig grus	Grus 30 – 80 %, sand:silt+leir > 9:1.
Grus	Grus > 80 %.
Grus, stein og blokk	Dominans av grus, stein og blokk.
Stein og blokk	Dominans av stein og blokk.
Sand og blokk	Dominans av sand og blokk.
Diamikton	Sediment med blandede kornstørrelser og dårlig sortering.

Innholdet av karbonat i sedimentene beregnes fra analyser med LECO, og gjøres ut fra antakelsen om at karbon (C) som ikke er av organisk opprinnelse er bundet i karbonat (CaCO_3).

Karbonatverdiene i vektprosent beregnes fra følgende formel:

$$(\text{TC} - \text{TOC}) \times (\text{CaCO}_3/\text{C}) = (\text{TC} - \text{TOC}) \times 8,33$$

TC er innholdet av totalt karbon, mens TOC er innhold av total organisk karbon.

Karbonat i sedimentene antas å ha opprinnelse i biologisk materiale – i hovedsak skjell fra mikroorganismer og større bunnlevende dyr, for eksempel foraminiferer, kråkeboller og koraller.

5.2 Overflateprøver (0-1 cm)

De geokjemiske resultatene for overflateprøvene (0-1 cm) presenteres for å få oversikt over dagens miljøtilstand. Parametrene som presenteres her er sedimentenes sammensetning (kornstørrelsesfordeling), innhold av TOC, innhold av karbonat og innholdet av tungmetallene kadmium (Cd), kobber (Cu), krom (Cr), kvikksølv (Hg), nikkel (Ni), bly (Pb) og sink (Zn), samt elementene arsen (As) og barium (Ba). Kart for de nevnte parametrene finnes i Vedlegg 3. I tillegg er utvalgte prøver fra 11 stasjoner analysert for innhold av tributyltinn (TBT) ved Eurofins Norsk Miljøanalyse AS (Vedlegg 2).

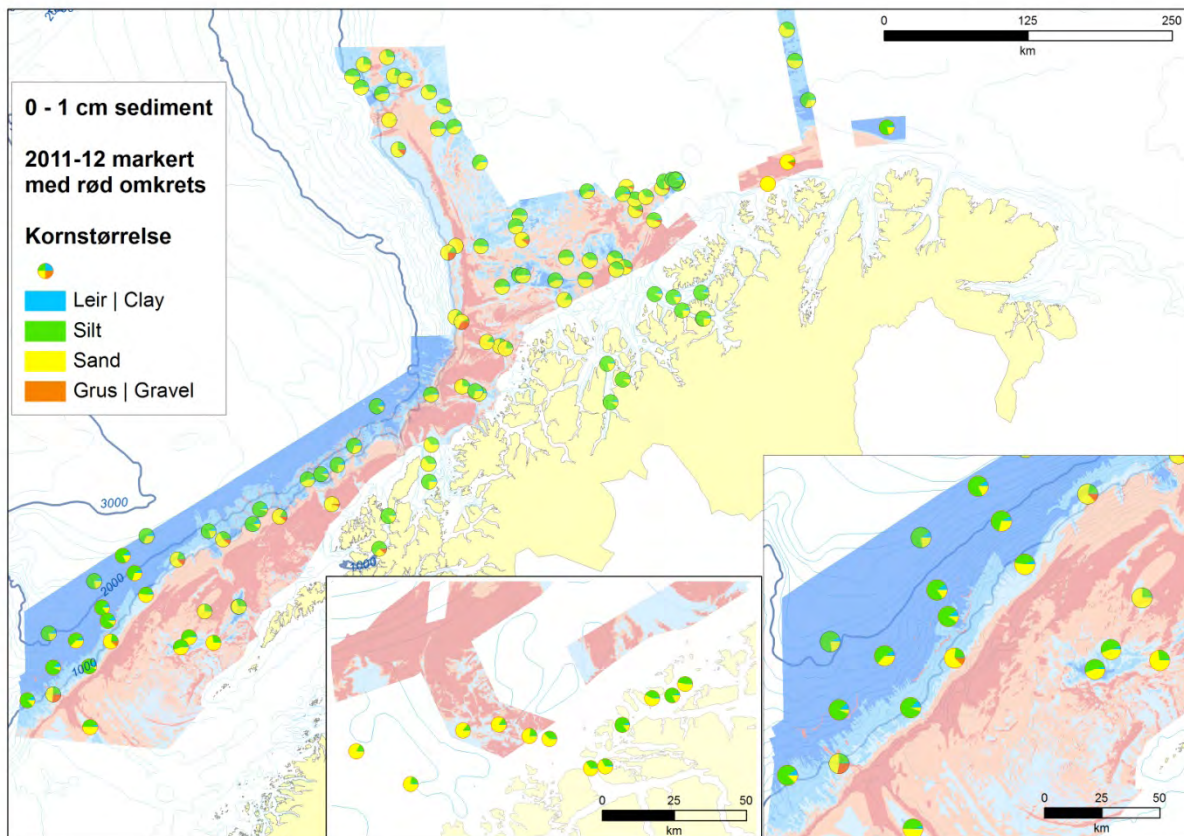
5.2.1 Kornstørrelsesfordeling, organisk karbon og karbonat

I utgangspunktet er prøvetaking for miljøanalyser gjennomført i områder med finkornige sedimenter. De fleste prøvetakingsstasjonene er valgt ut før tokt på bakgrunn av blant annet multistråledata (dybde og backscatter). Metodikken for geologisk havbunntkartlegging er gitt i Bøe m. fl. (2010). Prøvetaking planlegges der en forventer at det avsettes slamholdige sedimenter, typisk i dype områder eller områder skjernet mot sterke havstrømmer. Kornstørrelsesfordeling i fraksjonene leir, silt sand og grus er vist i Figur 5. Andel finstoff (<63µm) i overflateprøvene er vist i Figur 6. Tabell 2 viser sedimentklassifikasjonen som er brukt for beskrivelse av overflateprøvene.

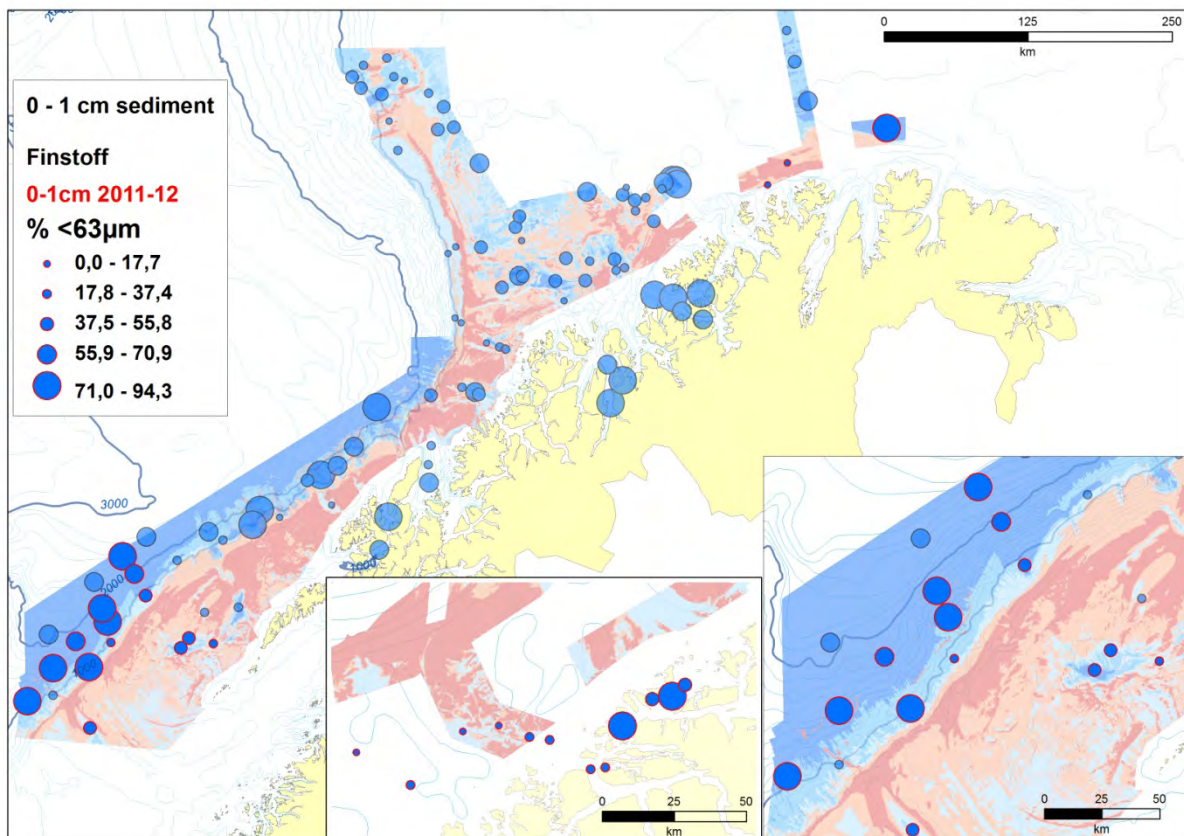
De tre stasjonene fra Finnmark er dominert av sand eller silt. R682 består av sandholdig silt, mens de to andre stasjonene lengre mot vest, R696 og R700, begge består av sand med et lavt siltinnhold. De to sistnevnte stasjonene ligger tettere på land.

Sedimentene på de 14 stasjonene i Nordland VI varierer i sammensetning. Siltholdig sand dominerer på kontinentalsokkelen og den øvre delen av kontinentalskråningen, mens prøvene fra den midtre og nedre delen av kontinentalskråningen er dominert av sandholdig silt.

De 5 prøvetakingsstasjonene på Mørebankene består av siltholdig sand, mens overflateprøvene fra fjordene er noe mer finkornede enn overflatesedimentene på Mørebankene, selv om disse prøvene også karakteriseres som siltholdig sand. De tre prøvene fra Breisundet og Heissafjorden består av siltholdig sand, mens prøvene lengre mot nord i fjordene på kysten består av enten siltholdig sand eller sandholdig silt. Leir (<2µm) utgjør en liten andel av sedimentene (Tabell 3) i fjordprøvene.



Figur 5. Kornstørrelsesfordeling i fraksjonene leir, silt, sand og grus. Prøvene fra Mørebankene er presentert i innfelt kart nederst i midten, og prøvene fra Nordland VI til høyre.



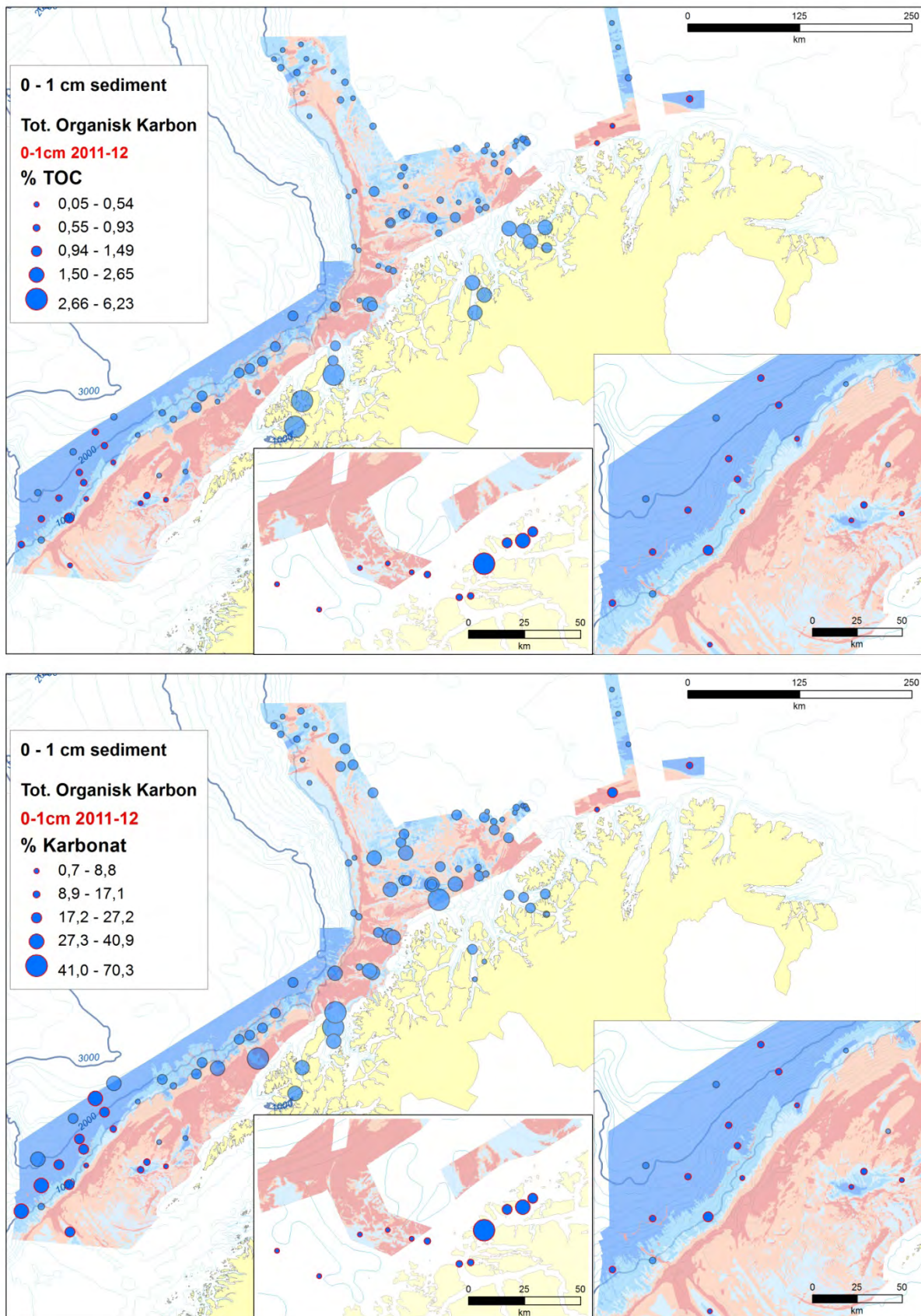
Figur 6. Andel finstoff ($<63\mu\text{m}$) i overflateprøvene. Prøvene fra Mørebankene og fjorder på kysten er innfelt nederst i midten, og prøvene fra Nordland VI til høyre. Prøver fra 2011-2012 er markert med rød omkrets.

Tabell 3. Kornstørrelsesfordeling og sedimentklassifikasjon for overflateprøvene (0-1 cm dybde).

Stasjon	Område	Leir < 2 µm [%]	Silt 2- 63 µm [%]	Finnstoff <63µm [%]	Sand 63-2000 µm [%]	Grus >2000 µm [%]	NGU sediment Klassifikasjon
R682MC001	Finnmark	2,0	61,4	63,4	36,6	0,0	Sandholdig silt
R696MC002	Finnmark	2,2	56,4	58,6	31,2	10,2	Grusholdig sandholdig silt
R700GR496	Finnmark	5,2	55,2	60,4	39,6	0,0	Sandholdig silt
R721MC015	Nordland VI	0,0	0,0	0,0	100,0	0,0	Sand
R726MC016	Nordland VI	2,3	56,6	58,9	41,1	0,0	Sandholdig silt
R739MC019	Nordland VI	2,3	57,5	59,8	40,2	0,0	Sandholdig silt
R749MC020	Nordland VI	2,3	58,6	60,9	39,1	0,0	Sandholdig silt
R754MC021	Nordland VI	2,2	56,8	59,0	29,0	12,0	Grusholdig sandholdig silt
R769MC001	Nordland VI	3,1	20,3	23,4	76,6	0,0	Siltholdig sand
R776MC004	Nordland VI	2,3	58,3	60,6	39,4	0,0	Sandholdig silt
R782MC007	Nordland VI	5,9	42,1	48,0	52,0	0,0	Siltholdig sand
R786MC006	Nordland VI	9,7	75,5	85,2	14,8	0,0	Sandholdig silt
R818MC005	Nordland VI	12,0	82,3	94,3	5,7	0,0	Leirholdig silt
R858MC010	Nordland VI	5,0	47,8	52,8	47,2	0,0	Sandholdig silt
R877MC002	Nordland VI	9,3	72,6	81,9	18,1	0,0	Sandholdig silt
R879MC008	Nordland VI	11,2	82,8	94,0	6,0	0,0	Leirholdig silt
R882BC011	Nordland VI	9,7	78,0	87,7	12,3	0,0	Sandholdig silt
R995MC012	Breisund- djupet	1,8	13,3	15,1	84,9	0,0	Siltholdig sand
R997MC015	Breisund- djupet	2,4	20,2	22,6	77,4	0,0	Siltholdig sand
R1046MC017	Mørebankene	1,9	15,8	17,7	82,3	0,0	Siltholdig sand
R1052MC016	Mørebankene	3,0	20,0	23,0	77,0	0,0	Siltholdig sand
R1058BC025	Mørebankene	1,8	12,7	14,5	85,5	0,0	Siltholdig sand
R1063MC020	Ytre Breisundet	2,8	33,7	36,5	63,5	0,0	Siltholdig sand
R1064MC021	Indre Breisundet	3,3	30,6	33,9	66,1	0,0	Siltholdig sand
R1065BC035	Heissafjorden	2,1	35,3	37,4	62,6	0,0	Siltholdig sand
R1067BC037	Vigrafjorden	5,4	80,7	86,1	13,9	0,0	Sandholdig silt
R1069BC044	Nogva	3,0	39,9	42,9	57,1	0,0	Siltholdig sand
R1070BC045	Fjørtoft	4,2	77,4	81,6	18,4	0,0	Sandholdig silt
R1071BC046	Harøy	1,9	44,4	46,3	53,7	0,0	Siltholdig sand

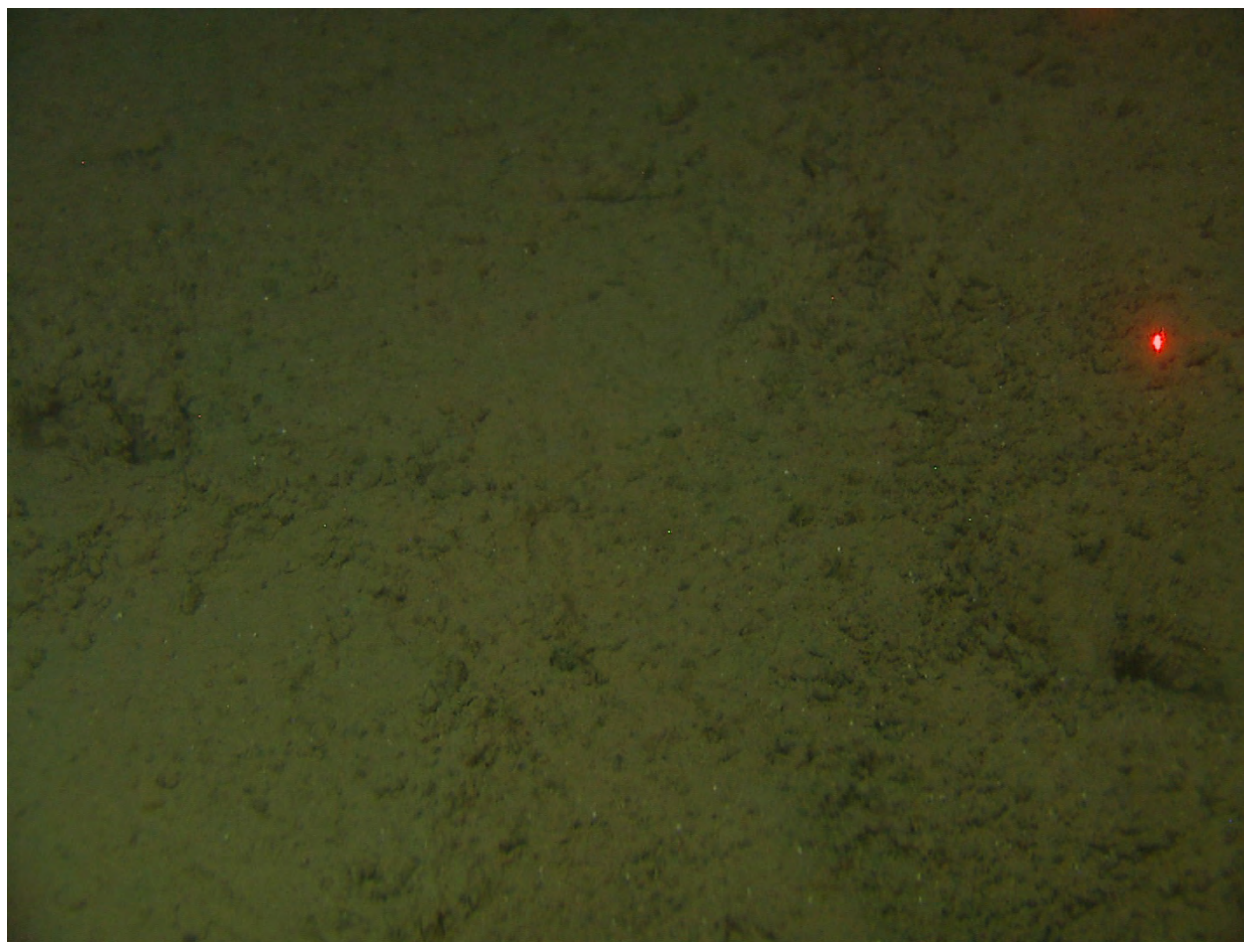
TOC i overflateprøvene er presentert i Figur 7a. TOC er lavt i de 3 stasjonene fra Finnmark, d.v.s. mindre enn 0,5 vekt % . Prøvene fra Nordland VI har lave TOC-nivåer i prøvene på kontinentalsokkelen, alle mindre enn 1,0 vekt % . Nivåene er litt høyere på kontinentalskråningen (Figur 7a) og for de dypeste prøvene, noe som er i godt samsvar med tidligere analyserte prøver fra Nordland VI (Jensen m. fl., 2011).

De 5 sedimentprøvene fra Mørebankene og Breisunddjupet har lave TOC-verdier, alle mindre enn 0,9 vekt % . Prøvene fra Ytre Breisund og Heissafjorden (R1063-R1065) har alle litt høyere TOC-verdier enn prøvene fra Mørebankene og Breisunddjupet. TOC er signifikant høyere i de 4 prøvene lengre mot nord i fjordene ved Vigra, Nogva, Fjørtoft og Harøy.



Figur 7a (øverst). TOC i overflateprøver. Prøver fra 2011-2012 er markert med rød omkrets. Figur 7b (nederst). Innhold av karbonat (vekt %). Prøvene fra Mørebankene, Breisunddjupet og fjordene på kysten er presentert i det innfelte kartet i midten nederst, mens prøvene fra Nordland VI er vist nederst til høyre. Prøver fra 2011-2012 er markert med rød omkrets.

Innholdet av karbonat, som antas å være av biologisk opprinnelse, varierer betydelig (Figur 7b). Stasjon R696 har høyest andel av karbonat av de tre prøvene fra Finnmark med ca. 25%. R682 har ca. 10% karbonat, og R700 har minst med 4% karbonat. Prøvene fra Nordland VI har markante forskjeller når de 4 stasjonene fra kontinentalsokkelen (7-24 %) sammenlignes med de 9 stasjonene fra kontinentalskråningen (8-34 %). Dessuten er det en gradient med økende andel karbonat med økende havdyp på kontinentalskråningen, som ses for de 3 prøvene lengst mot nord i Nordland VI. Sannsynligvis er det tilførsel av foraminiferer, registrert i overflatesedimentene på Campod-bilder (Figur 8). Prøvene fra Mørebankene og Breisunddjupet har lave karbonatverdier. Det er betydelig større verdier i fjordene, spesielt de nordligste 4 stasjonene med 41-59 % (Figur 7b). De laveste verdiene finnes i de ytterste prøvene på Mørebankene med 4-8 % karbonat. Andelen karbonat er signifikant høyere i Breisunddjupet og Breisundet (11-32 %) sammenlignet med prøvene på Mørebankene.



Figur 8. Campod-bilde av sedimentoverflate på stasjon R879 (1586 m dyp) i Nordland VI. De hvite prikkene på overflaten er foraminiferer, som bidrar til innholdet av karbonat (30 vekt %) i denne prøven. Bredden på bildet er ca. 1 meter.

5.2.2 Innhold av tungmetaller, arsen, barium og tributyltinn (TBT)

Det er analysert for tungmetallene bly (Pb), kadmium (Cd), kobber (Cu), krom (Cr), kvikksølv (Hg), nikkel (Ni), sink (Zn), samt arsen (As) i overflateprøvene fra samtlige 29 prøvetakingsstasjoner, og tributyltinn (TBT) på 11 prøvetakingsstasjoner. Tungmetall- og arsenkonsentrasjonene i sedimentprøvene er sammenlignet med Miljødirektoratets klassifikasjonssystem for forurensingsnivåer i sedimenter i kyst- og fjordområder (Molvær m. fl., 1997; SFT, 2007). Klassifikasjonssystemet er delt inn i følgende klasser:

Klasse I: bakgrunn; klasse II: god; klasse III: moderat; klasse IV: dårlig; klasse V: svært dårlig

Barium (Ba) er også inkludert selv om Ba ikke er et toksisk element. Olsgård og Gray (1995) og Rye (1996) har rapportert om utslipp av barytt fra norsk offshore-virksomhet i Nordsjøen. Ba i sedimenter i Skagerrak er rapportert, og de forhøyede verdiene øverst i havbunnen er tolket som tilførsel av barium fra boreslam brukt i Nordsjøen og transportert med havstrømmer til Skagerrak (Sæther m. fl., 1996; Thorsnes og Klungsøyr, 1997; Lepland m. fl., 2000). Dehairs m.fl.(1980) og Nuernberg m. fl. (1997) beskriver andre prosesser for forekomst av Ba i sedimenter; det dannes små baryttkrystaller i mikronisjer i organisk materiale som brytes ned i vannsøylen, spesielt i områder med høy biologisk produktivitet. Kart som viser konsentrasjoner av tungmetallene, arsen og barium i overflatesedimentene finnes i Vedlegg 3.

Arsen (As)

As-konsentrasjonene varierer fra 2,4 til 6,9 mg/kg tørrvekt sediment (TS) for de 3 prøvene fra Finnmark, med høyst konsentrasjon i prøve R682. De 14 prøvene fra Nordland VI varierer fra 3,6 til 19,3 mg/kg med høyest konsentrasjon i R818, som ligger på 912 m havdyp.

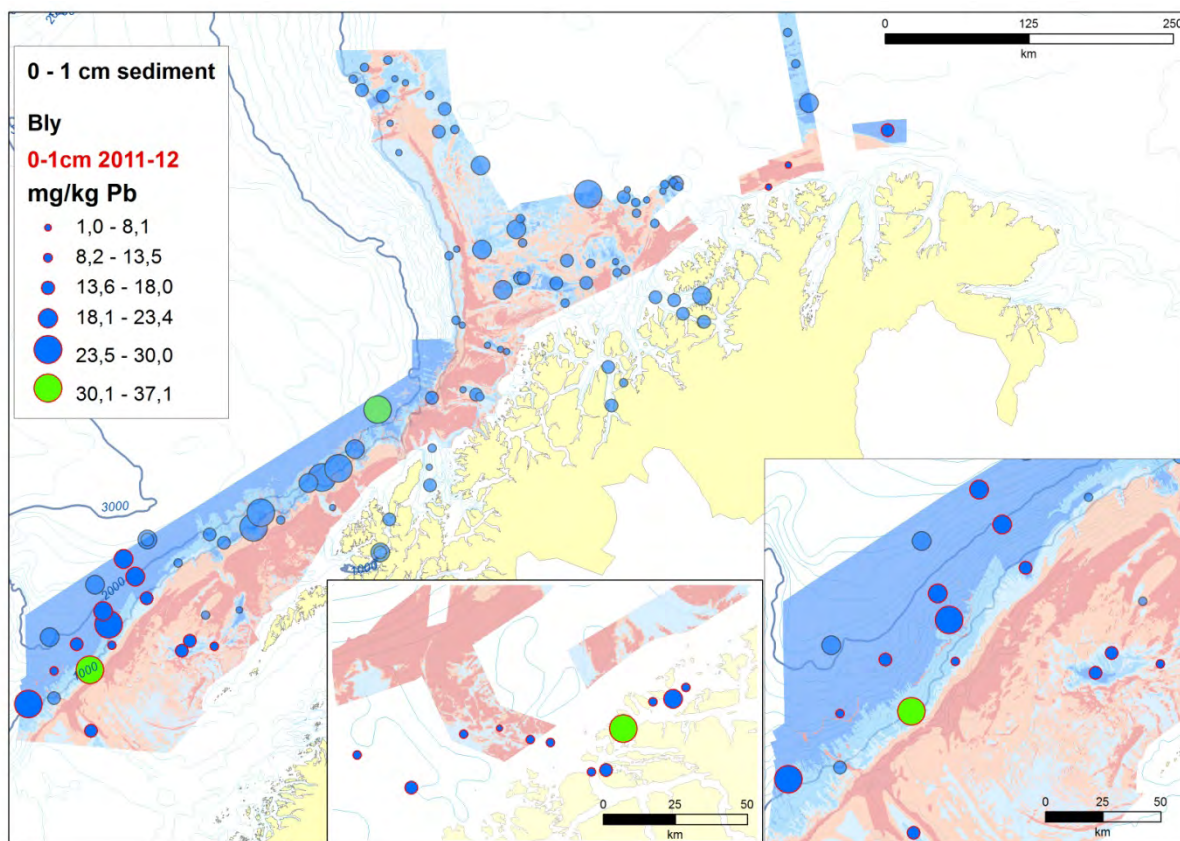
De 5 prøvene fra Mørebankene har alle lave As-konsentrasjoner (1,5-2,4 mg/kg). De 7 prøvene fra Breisunddjupet og fjordene har litt høyere konsentrasjoner, fra 1,5 til 9,6 mg/kg TS. Alle prøvene fra de tre områdene er i tilstandsklasse I for kyst- og fjordsedimenter (<20 mg/kg).

Bly (Pb)

Pb-konsentrasjonen i overflatesedimentene varierer fra 3,9 til 17,1 mg/kg (Figur 8) for de 3 stasjonene fra Finnmark med størst konsentrasjon i prøve R682.

De 14 stasjonene fra Nordland VI har Pb-konsentrasjoner fra 10,5 til 34,6 mg/kg. Disse prøvene er i tilstandsklassene I og II for kyst- og fjordsedimenter (I: <30 mg/kg; II: 30-83 mg/kg). De laveste konsentrasjonene er i prøvene fra stasjonene på kontinentalsokkelen, mens det er generelt høyere konsentrasjoner i prøvene fra kontinentalskråningen (Figur 9).

De 5 sedimentprøvene fra Mørebankene har lave Pb-konsentrasjoner som varierer fra 8,1 til 13,9 mg/kg, mens de 7 prøvene inne i fjordene har litt høyere konsentrasjoner. En enkelt prøve fra Vigrafjorden (R1067) har høyest konsentrasjon med 37,1 mg/kg TS tilsvarende tilstandsklasse II.



Figur 9. Pb-konsentrasjon i overflateprøvene (0-1 cm). Prøvene fra Mørebankene og fjordene er presentert i det innfelte kartet i midten nederst, og prøvene fra Nordland VI nederst til høyre. Blå farge angir prøver i tilstandsklasse I (<30 mg/kg) og grønn farge viser prøver som er i tilstandsklasse II (30-83 mg/kg). Prøver fra 2011-2012 er markert med rød omkrets.

Kadmium (Cd)

Cd-konsentrasjonene varierer fra 0,02-0,07 mg/kg TS i de tre stasjonene fra Finnmark, med størst konsentrasjon i R682. De 14 prøvene fra Nordland VI varierer fra 0,04 til 0,16 mg/kg, med størst

konsentrasjon i R769 og R782. De 5 prøvene fra Mørebankene har lave Cd konsentrasjoner (<0,02-0,07 mg mg/kg), mens det er høyere konsentrasjon i enkelte av prøvene fra fjordene og Breisunddjupet, fra 0,05 til 0,33 mg/kg. Dette betyr at prøven fra Vigrafjorden (R1067) har en konsentrasjon tilsvarende klasse II (0,25-2,6 mg/kg), mens alle øvrige prøver har konsentrasjoner tilsvarende klasse I (<0,25 mg/kg) for fjord- og kystsedimenter.

Kobber (Cu)

Cu er registrert i samtlige prøver, med konsentrasjoner fra <1,0-14,1 mg/kg i de tre prøvene fra Finnmark og størst konsentrasjon i R682. Prøvene fra Nordland VI varierer fra 4,3 til 23,4 mg/kg, med laveste konsentrasjoner i prøvene fra kontinentalsokkelen, og høyest konsentrasjon i R818. De 5 prøvene fra Mørebankene har lave konsentrasjoner (3,0-5,4 mg/kg), mens prøvene fra Breisunddjupet og fjordene har høyere konsentrasjoner (6,2-24,8 mg/kg) og høyeste konsentrasjon i Vigrafjorden (R1067). Samtlige 29 overflateprøver er i tilstandsklasse I for fjord- og kystsedimenter (<35 mg/kg).

Krom (Cr)

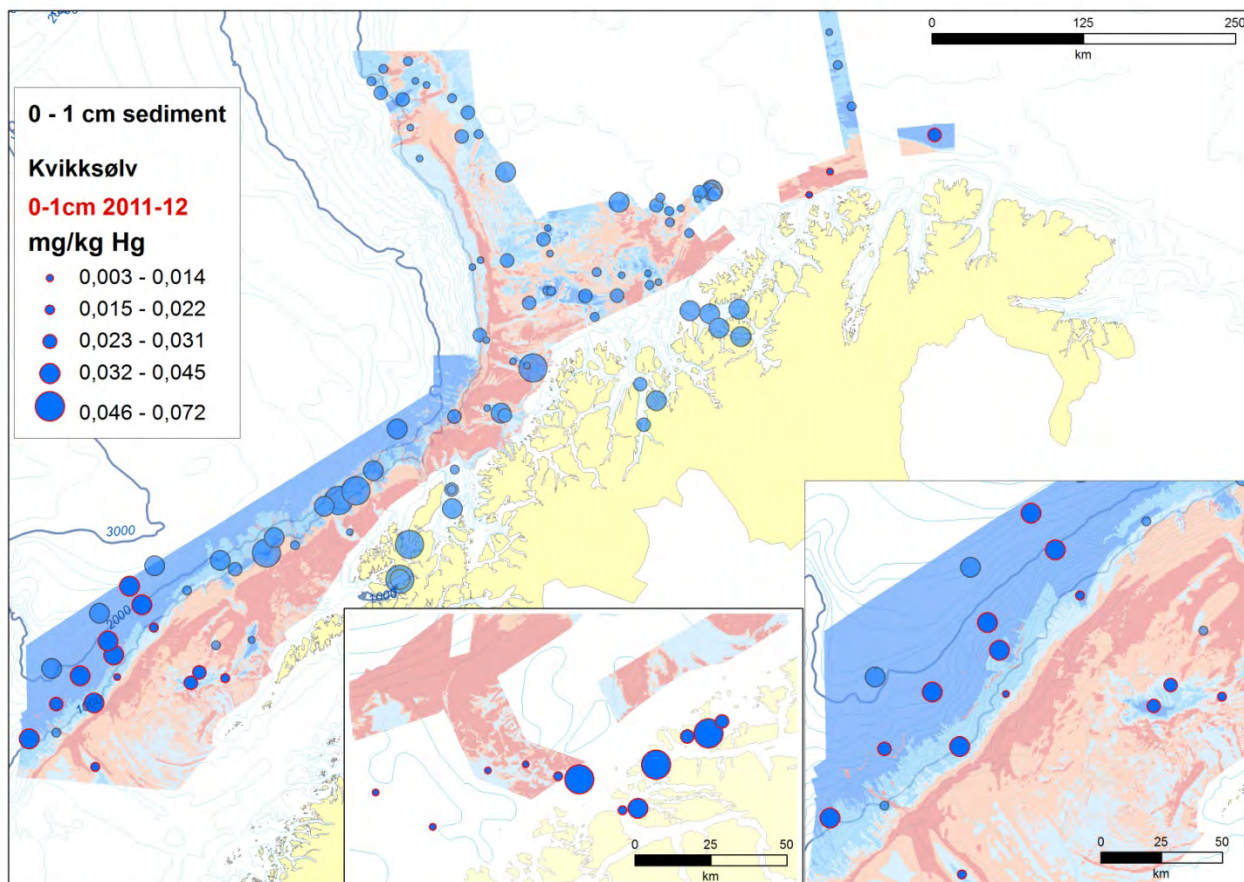
Krom varierer fra 5,2 til 35,4 mg/kg i de 3 prøvene fra Finnmark, med R682 med den høyeste konsentrasjon. Prøvene fra Nordland VI har Cr-verdier variierende fra 15,6 til 30,7 mg/kg og med høyest konsentrasjon i R818. De 5 prøvene fra Mørebankene har 6,6 til 9,7 mg/kg, mens prøvene fra de 7 stasjonene fra Breisunddjupet og fjordene har Cr-konsentrasjoner fra 8,3 til 24,0 mg/kg og høyest konsentrasjon i prøven fra Vigrafjorden (R1067). Samtlige 29 prøver er i tilstandsklasse I for kyst og fjordsedimenter (<70 mg/kg).

Kvikksølv (Hg)

Hg i overflateprøvene er vist i Figur 10. De 3 sedimentprøvene fra Finnmark har Hg-konsentrasjoner fra <0,005 til 0,0243 mg/kg, og høyest konsentrasjon i R682. De 14 prøvene fra Nordland VI varierer fra 0,0135 til 0,0429 mg/kg. Som for andre tungmetaller er det stasjonen R818 som har den høyeste konsentrasjonen.

De 5 stasjonene fra Mørebankene har lave konsentrasjoner, variierende fra 0,0099 til 0,0212 mg/kg TS. De 7 prøvene fra Breisunddjupet og fjordene har markant høyere Hg-konsentrasjoner, variierende fra 0,0205 til 0,076 mg/kg. De høyeste konsentrasjonene er i prøvene fra Vigrafjorden (R1067), Breisunddjupet (R1063) og Fjørtoft (R1070). Prøvene R1063 og R1065, som har lave TOC-verdier, lite finstoff og samtidig relativt høye Hg-konsentrasjoner er uvanlige. De høye verdiene kan tyde på lokale kilder for Hg inne i fjordene, noe også det relativt høye nivået av Hg i

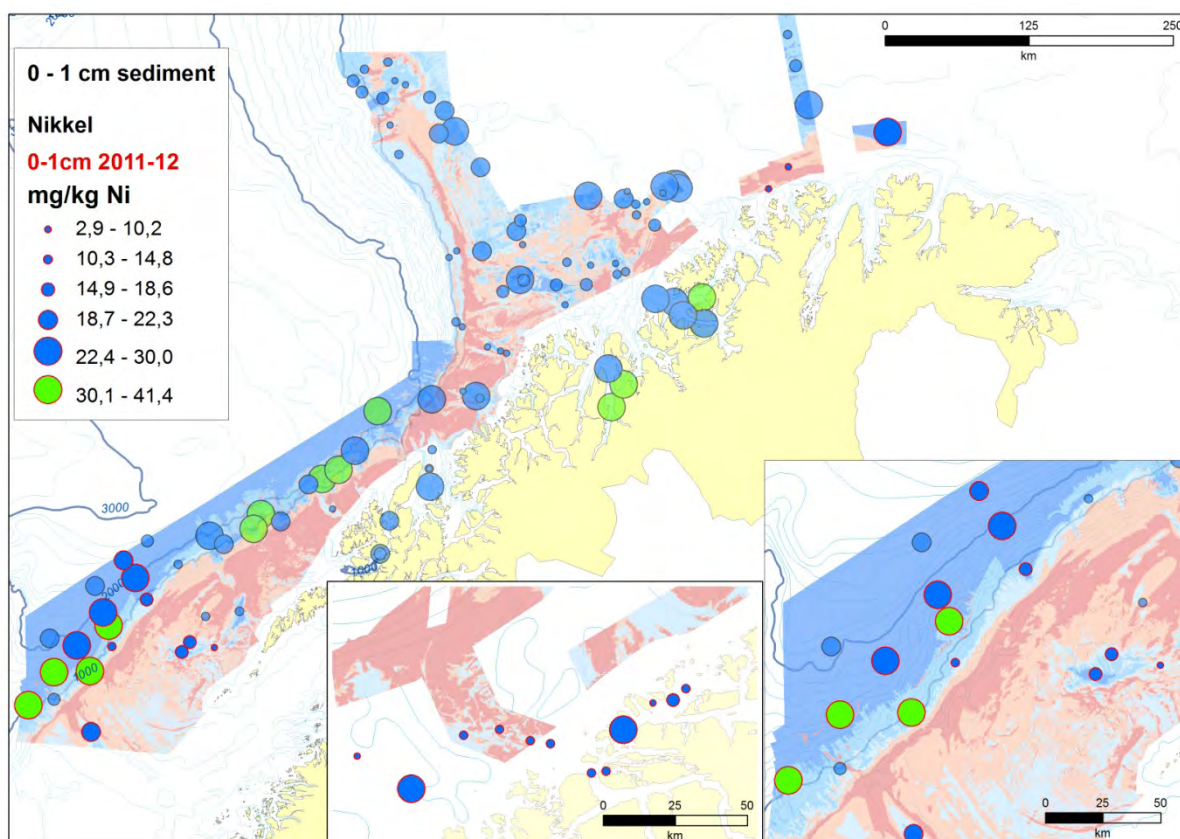
Vigrafjorden (R1067) kan tyde på. Samtlige 29 sedimentprøver er alle i tilstandsklasse I for fjord og kystsedimenter (<0,15 mg/kg).



Figur 10. Hg i overflateprøvene i 0-1 cm prøvene. Prøvene fra Mørebankene og fjordene er presentert i det innfelte kartet i midten og prøvene fra Nordland VI er vist nederst til høyre.

Nikkel (Ni)

Figur 11 viser Ni-konsentrasjon i overflateprøvene. De tre prøvene fra Finnmark varierer fra 2,9 til 27,6 mg/kg, med høyest konsentrasjon i R682. De 14 prøvene fra Nordland VI har konsentrasjoner fra 8,5 til 35,8 mg/kg. De høyeste konsentrasjonene finnes i prøver fra kontinentalskråningen, hvor det generelt er mer finkornige sedimenter sammenlignet med sedimentprøver fra kontinentalsokkelen. De 5 prøvene fra Mørebankene har Ni-konsentrasjoner på 9,7-23,5 mg/kg. Det er omtrent like konsentrasjoner i prøvene fra Breisunddjupet og fjordene, fra 10,0 til 25,7 mg/kg. 25 av de 29 prøvene er i tilstandsklasse I (<30 mg/kg), mens 4 prøver fra kontinentalskråningen i Nordland VI er i tilstandsklasse II (30-46 mg/kg).



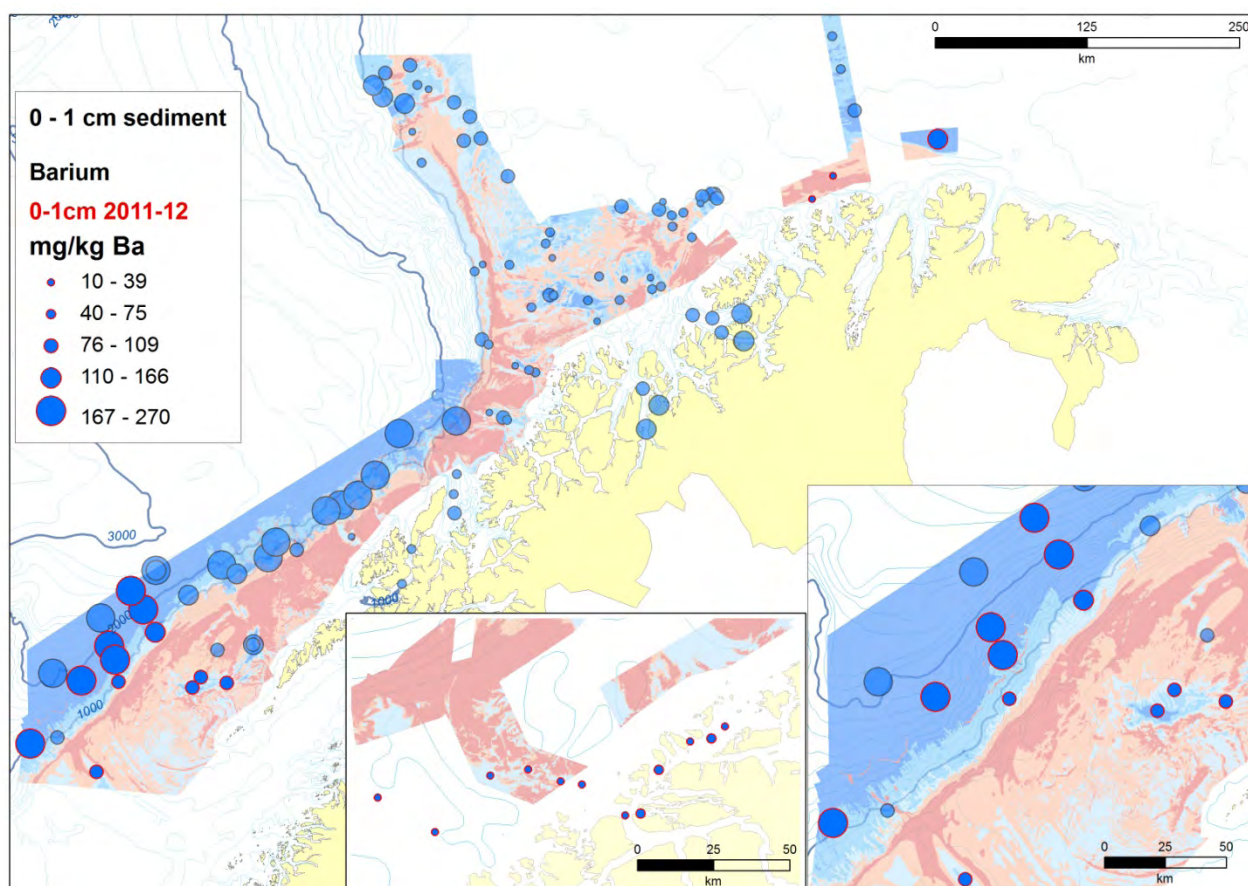
Figur 11. Nikkel i overflateprøver. Blå fargede sirkler angir tilstandsklasse I for kyst- og fjordsedimenter. Grønnfargede sirkler angir tilstandsklasse II (30-46 mg/kg). Prøver fra 2011-2012 er markert med rød omkrets. Prøvene fra Mørebankene og fjordene er presentert i det innfelte kartet i midten, og prøvene fra Nordland VI nederst til høyre.

Sink (Zn)

Sinkkonsentrasjonene varierer fra 10,6 mg/kg til 65,6 mg/kg på de 3 stasjonene fra Finnmark, med høyest konsentrasjon i R682. De 14 prøvene fra Nordland VI har Zn-konsentrasjoner fra 28,6 til 74,0 mg/kg, og høyest konsentrasjon i R818 på kontinentalskråningen. De 5 stasjonene på Mørebankene har lave Zn-konsentrasjoner, fra 16,0 til 24,0 mg/kg. De 7 sedimentprøvene fra Breisundet og fjordene har Zn-konsentrasjoner fra 22,2 til 72,1 mg/kg, og høyest nivå i Vigrafjorden (R1067). Samtlige 29 prøver har Zn konsentrasjoner tilsvarende bakgrunnsnivå, klasse I.

Barium (Ba)

Ba analyseres for å vurdere om eventuelle utslipp fra olje- og gassboring kan spores til overflatesedimentene. De 3 prøvene fra Finnmark har Ba fra 14,1 til 113,0 mg/kg og med den høyeste konsentrasjonen i R682. De 14 prøvene fra Nordland VI har Ba-konsentrasjoner fra 76,4 til 350 mg/kg. Den høyeste konsentrasjon er fra R879, som ligger på kontinentalskråningen på 1582 m havdyp. Prøvene har omtrent samme konsentrasjon som tidligere analyserte prøver fra kontinentalsokkel og kontinentalskråningen (Figur 12) rapportert i Jensen m. fl. (2007, 2008, 2009, 2010a og 2010b). De 5 prøvene fra Mørebankene har Ba-konsentrasjoner fra 26,7 til 38,9 mg/kg, mens prøvene fra Breisundet og fjordene har Ba konsentrasjoner fra 29,4-74,6 mg/kg, og dermed litt høyere enn på Mørebankene.



Figur 12. Barium i overflatesedimenter. Prøvene fra Mørebankene og fjordene er presentert i det innfelte kartet i midten, og prøvene fra Nordland VI nederst til høyre.

Tributyltinn (TBT)

TBT er et stoff som brukes for å hindre algevekst på skipsskrog, og er en meget toksisk, organisk tinnforbindelse (Braastad, 2000). Det er utført analyser på overflateprøver fra stasjonene R682 (Finnmark), R739, R749, R769, R818, R858 og R882 (Nordland VI), R997 og R1046 (Mørebankene), R1064 (Indre Breisund) og R1067 (Vigrafjorden). Resultatene viser at for samtlige stasjoner er analyseresultatene under deteksjonsgrensen på 1 µg/g sediment tørrvekt.

Resultatene fra analysene av overflatesedimentene er oppsummert i Tabell 4, hvor tilstandsklassene for metallene og TBT er vist, samt antall prøver innenfor hver av tilstandsklassene for metallene og TBT.

Tabell 4. Metaller, arsen (29 prøver) og TBT (11 prøver) i henhold til Miljødirektoratets tilstandsklasser for marine overflatesedimenter. Uthevet skrift viser antall prøver i intervallet 0-1 cm i hver av klassene I-V.

Parametere	Forurensingsnivåer				
	I Bakgrunn	II God	III Moderat	IV Dårlig	V Svært dårlig
Arsen (mg/kg) As	<20 29	20 – 52 0	52 – 76 0	76 – 580 0	>580 0
Bly (mg/kg) Pb	<30 27	30 – 83 2	83 – 100 0	100 – 720 0	>720 0
Kadmium (mg/kg) Cd	<0,25 28	0,25 – 2,6 1	2,6 – 15 0	15 – 140 0	>140 0
Kobber (mg/kg) Cu	<35 29	35 – 51 0	51 – 55 0	55 – 220 0	>220 0
Krom (mg/kg) Cr	<70 29	70 – 560 0	560 – 5900 0	5900 – 59000 0	>59000 0
Kvikksølv (mg/kg) Hg	<0,15 29	0,15 – 0,63 0	0,63 – 0,86 0	0,86 – 1,6 0	>1,6 0
Nikkel (mg/kg) Ni	<30 25	30 – 46 4	46 – 120 0	120 – 840 0	>840 0
Sink (mg/kg) Zn	<150 29	150 – 360 0	360 – 590 0	590 – 4500 0	>4500 0
TBT (µg/kg)	<1 11	1 – 5 0	5 – 20 0	20 – 100 0	>100 0

5.3 Analyser av sedimentkjerner

5.3.1 Visuell bedømmelse og XRI-analyser

Hele sedimentkjerner blir analysert med røntgenstråler (XRI) for å se sedimentære strukturer slik at det kan gjøres en kvalitativ vurdering for valg av stasjoner for dateringsanalyse, og geokjemisk analyse av hele sedimentkjerner. Det ble gjennomført XRI-undersøkelser på sedimentkjerner fra følgende stasjoner: R682, R726, R739, R749, R769, R818, R858 og R882. XRI-bildene finnes i Vedlegg 4. Eksempler blir presentert her.

Den 32 cm lange sedimentkjernen fra stasjon R682 fra Finnmark (403 m vanddyb) er beskrevet som olivengrå, homogent slam ombord. XRI-undersøkelse av sedimentkjernen viser homogene finkornige sedimenter, med økende grad av kompaksjon nedover i sedimentkjernen og løse, vannholdige sedimenter i de øverste centimeterne. Dette stemmer godt med beskrivelsen utført ombord. XRI-bilder av kjernen (Fig. 13) viser at sedimentene er homogene.

R0682MC001



Figur 13. XRI-bilder av R682 fra Finnmark. Målestokken til venstre i bildene har 5 cm intervaller med toppen øverst (0 cm).

Eksempler på sedimentkjerner fra Nordland VI er vist i figurene 14-16. R739 (Figur 14) er fra Vesterdjupet, kontinentalsokkelen. R769 og R818 er begge fra kontinentalsokkelen (Figurer 15 og 16).



Figur 14. XRI-bilde av sedimentkjerne fra stasjon R739 (264 m havdyp), kontinentalskråningen, Nordland VI. Målestokken til venstre i bildene har 5 cm intervaller med toppen øverst (0 cm).



Figur 15. XRI-bilde av sedimentkjerne fra stasjon R769 (1963 m havdyp), nedre del av kontinentalskråningen, Nordland VI. Målestokken til venstre i bildene har 5 cm intervaller med toppen øverst (0 cm).

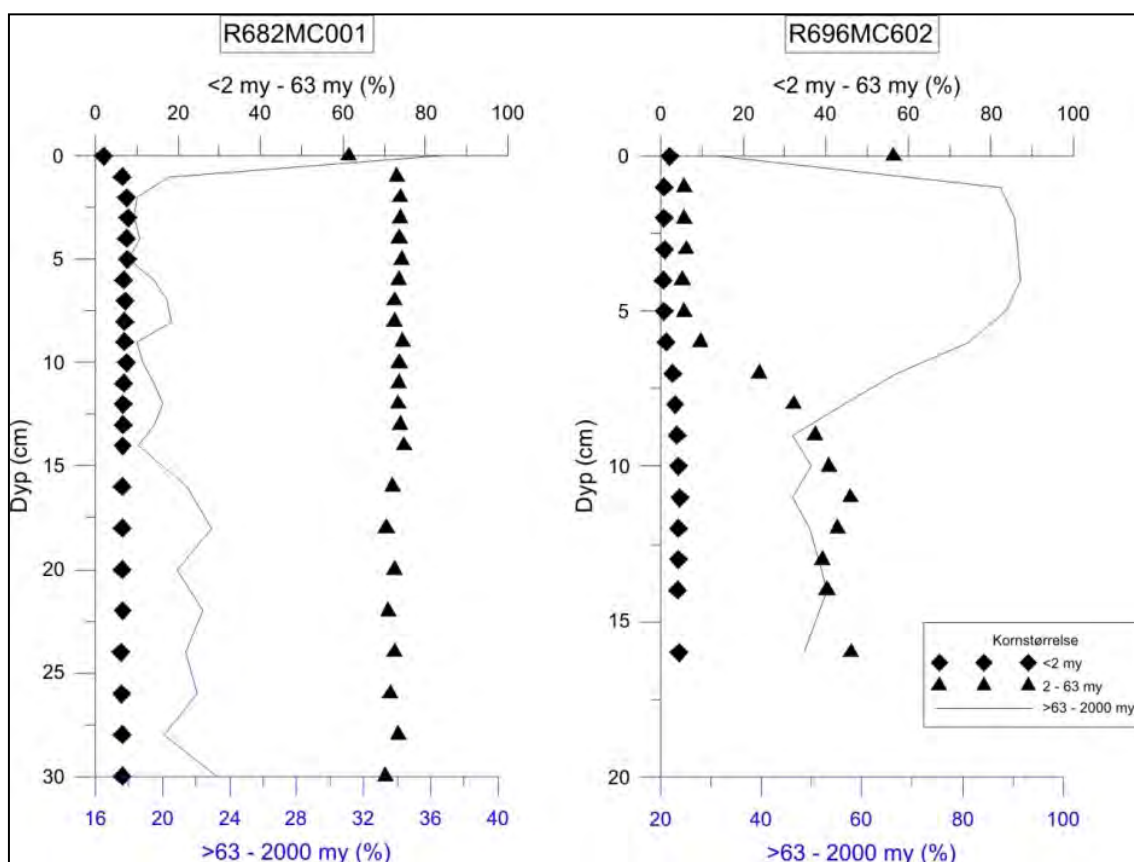


Figur 16. XRI-bilde av sedimentkjerne fra R818, kontinentalskråningen, Nordland VI. Lengden i cm er vist med tallene på venstre side av sedimentkjernen i 5 cm intervaller.

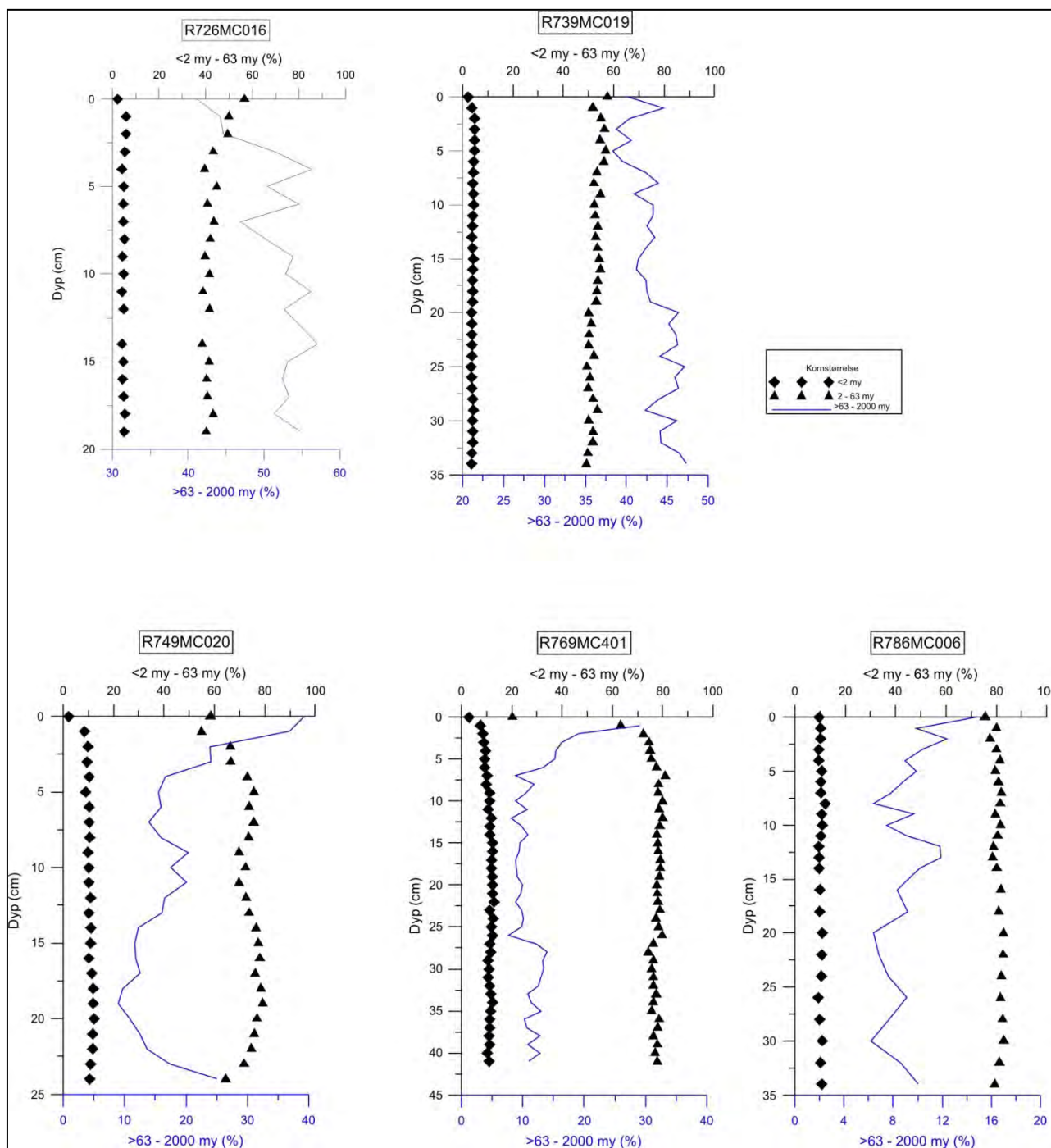
5.3.2 Kornstørrelsesfordeling

De to sedimentkjernene fra Finnmark, R682 og R696 har store forskjeller i andel finstoff (fraksjonene $<2 \mu\text{m} + 2\text{-}63 \mu\text{m}$) (Figur 17). R682 har opp mot 80% finstoff, med en reduksjon i de øverste 2 cm, mens andelen er betydelig lavere i R696, hvor andel finstoff reduseres markant fra ca. 40% til mindre enn 10% for så å øke markant i den øverste delen til nesten 60%. Det tyder på variable strømforhold på begge stasjonene, og med høyest energinivå på stasjon R696, som også ligger på minst havdyp og tettest på land av de to stasjonene.

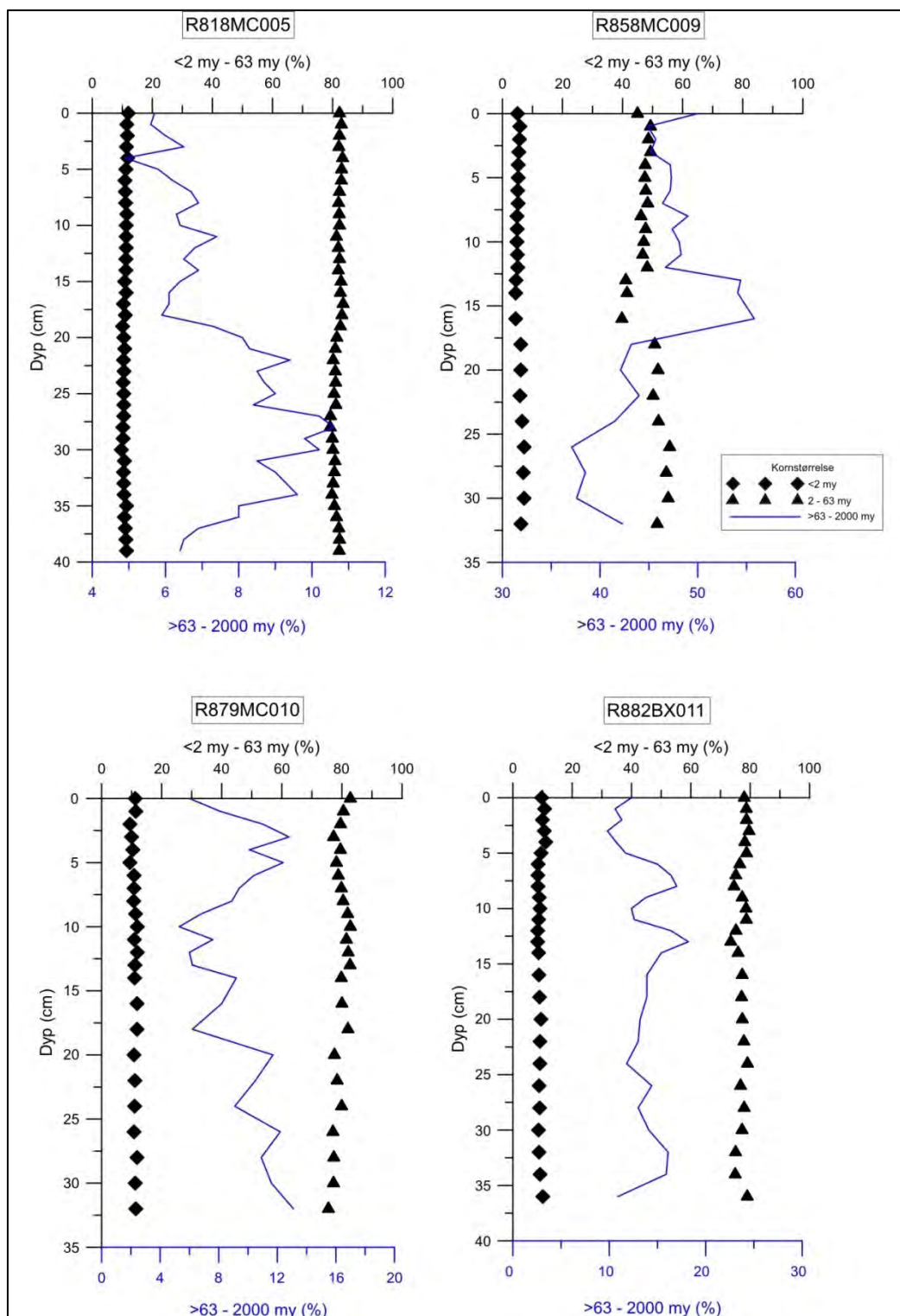
Sedimentkjernene R726 og R739 fra Vesterdjupeet i Nordland VI (kontinentalsokkelen) er forskjellige. R726 består overveiende av siltholdig sand, mens R739 overveiende består av sandholdig silt (Figur 18). Årsaken til forskjellene mellom de to geografisk nærliggende stasjoner kan være at R739 ligger på større havdyp sammenlignet med R726. Stasjon R858 lenger sør på kontinentalsokkelen har relativt jevn andel av finstoff gjennom sedimentkjernen, med unntak av et intervall fra 13-17 cm hvor andel silt reduseres og andel sand øker markant (Figur 18). I overveiende grad består sedimentene i R858 av sandholdig silt. De 5 sedimentkjernene R749, R769, R786, R818 og R882 (Figur 19) fra kontinentalskråningen har 80-90 % finstoff med enkelte unntak: øverst i R749 og R769 er det markant reduksjon i andel finstoff. Det kan skyldes endring i strømforhold på de to stasjonene slik at finstoff ikke blir avsatt i samme omfang. Andelen av sandfraksjonen mellom $63 \mu\text{m}$ og $2000 \mu\text{m}$ er under 15 % i disse kjernene og viser lite variasjon.



Figur 17. Kornfordelingskurver for R682 og R696 (fraksjonene $<2 \mu\text{m}$, $2\text{-}63 \mu\text{m}$, $63\text{-}2000 \mu\text{m}$). Dybdeskalaen til venstre er i centimeter.

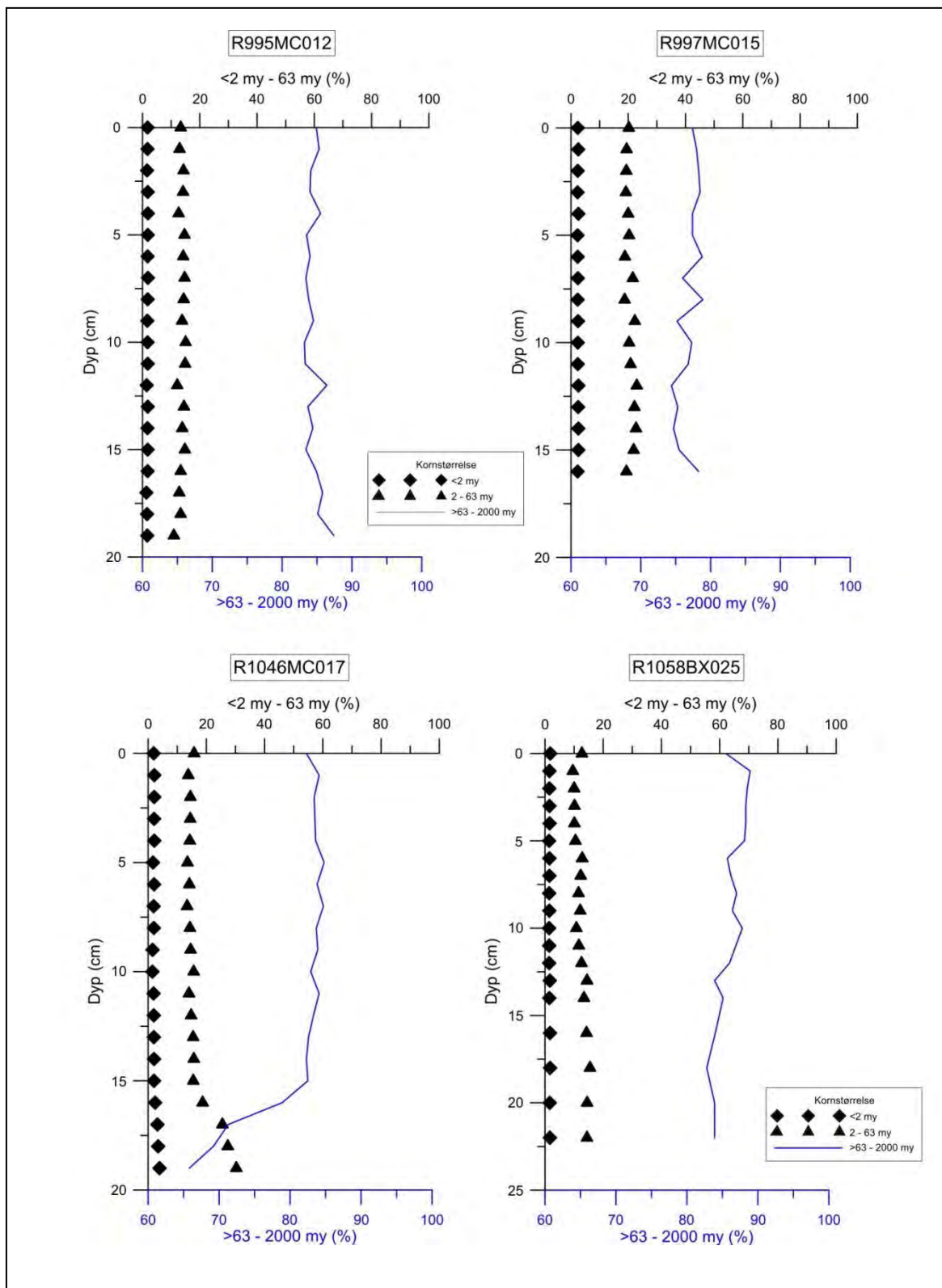


Figur 18. Kornfordelingskurver for R726, R739, R749, R769 og R786 fra kontinentalskråningen i Nordland VI (fraksjonene <math><2\ \mu\text{m}</math>, $2\text{-}63\ \mu\text{m}$, $63\text{-}2000\ \mu\text{m}$).



Figur 19. Kornfordelingskurver for R818, R858, R879 og R882 fra kontinentalskråningen i Nordland VI (fraksjonene <2 μm , 2-63 μm , 63-2000 μm).

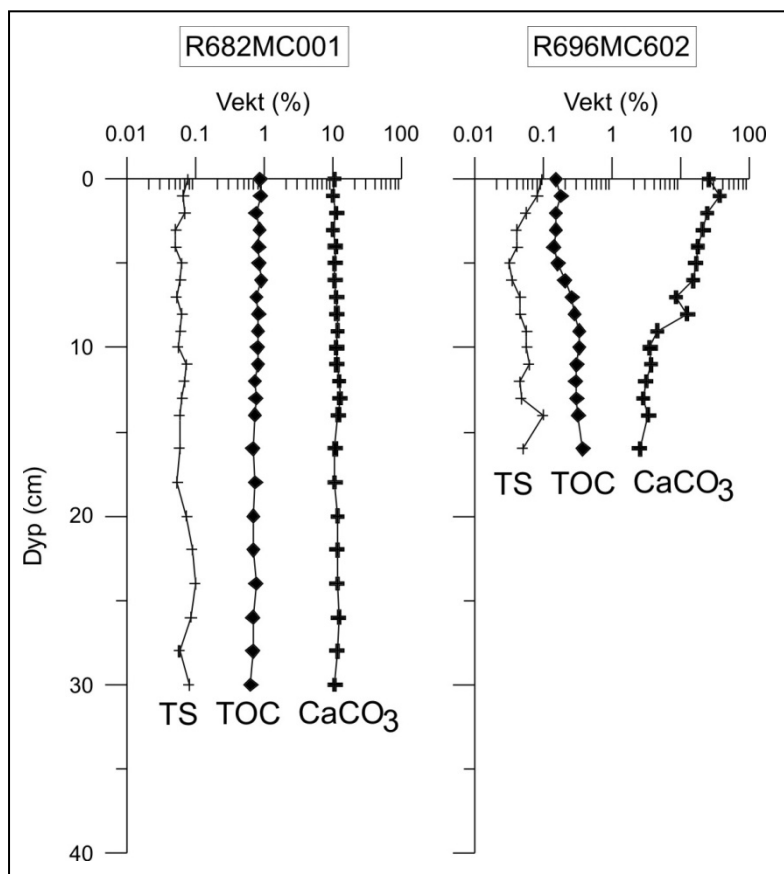
Sedimentkjernene fra Breisunddjupet (R995, R997) har sandfraksjoner på henholdsvis ca. 85 % og 80 % (Figur 20). De to stasjonene fra Mørebankene R1046 og R1058 har ca. 85 % sand og har dermed sedimentsammensetning lik de to stasjonene fra Breisunddjupet (Figur 20). Den høye andelen sand på stasjonene fra Mørebankene og Breisunddjupet tyder på et relativt høyt energinivå i vannmassene, med lite avsetning av finstoff.



Figur 20. Kornfordelingskurver for R995, R997, R1046 og R1058 fra Breisunddjupet og Mørebankene (fraksjonene $<2 \mu\text{m}$, $2\text{-}63\mu\text{m}$, $63\text{-}2000 \mu\text{m}$).

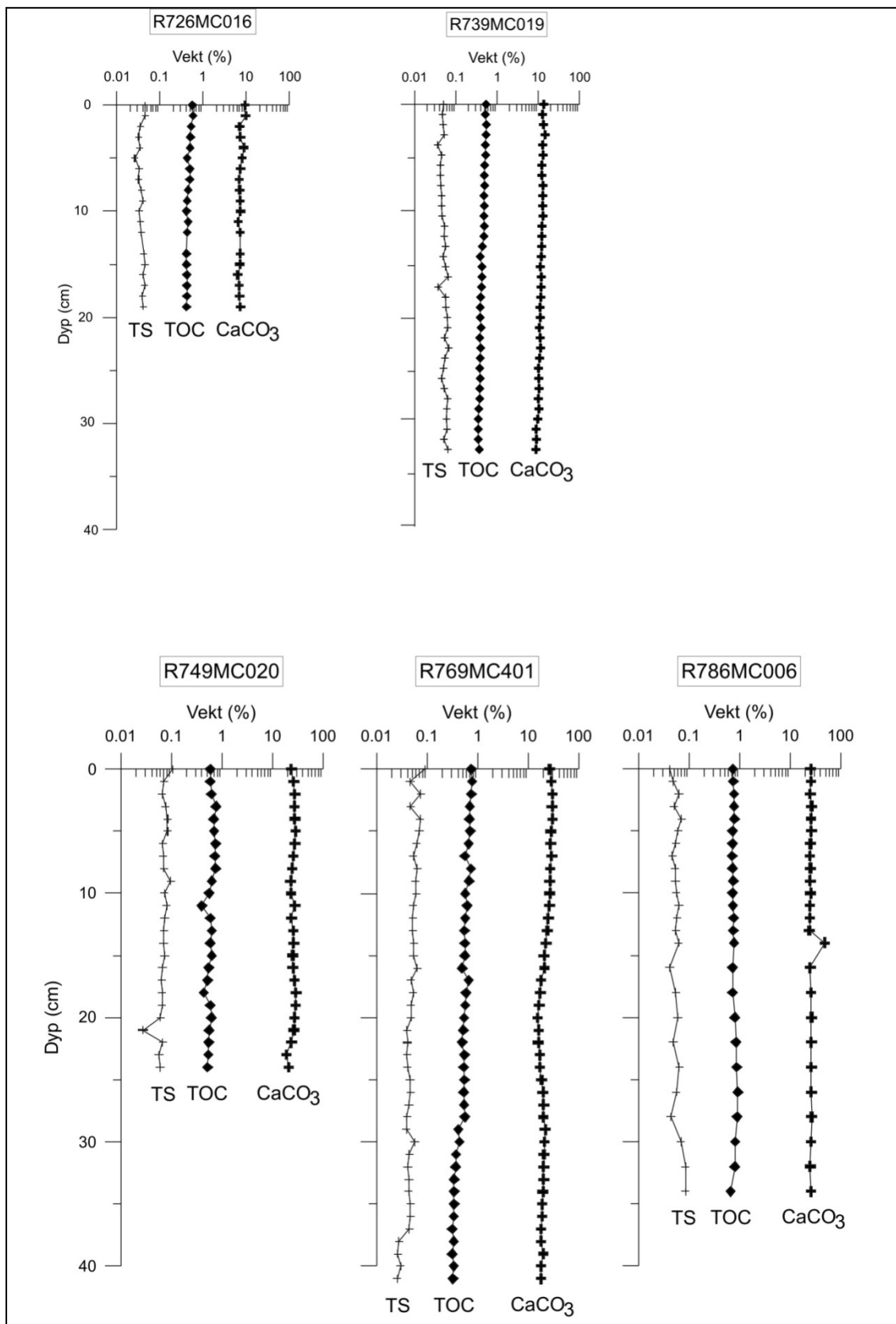
5.3.3 Total organisk karbon, karbonat og svovel

Innholdet av total organisk karbon (TOC) og karbonat (CaCO_3) varierer i forskjellig grad i de 2 sedimentkjernene R682 og R696 fra Finnmark. R682 har relativt stabil andel TOC og karbonat på henholdsvis 0,9 % og 10 % (Figur 21). R696 har markant lavere TOC sammenlignet med R682 og en tydelig minkende andel TOC fra ca. 0,5 % til 0,1 % øverst i sedimentkjernen, samtidig som andel karbonat øker markant (Figur 21).

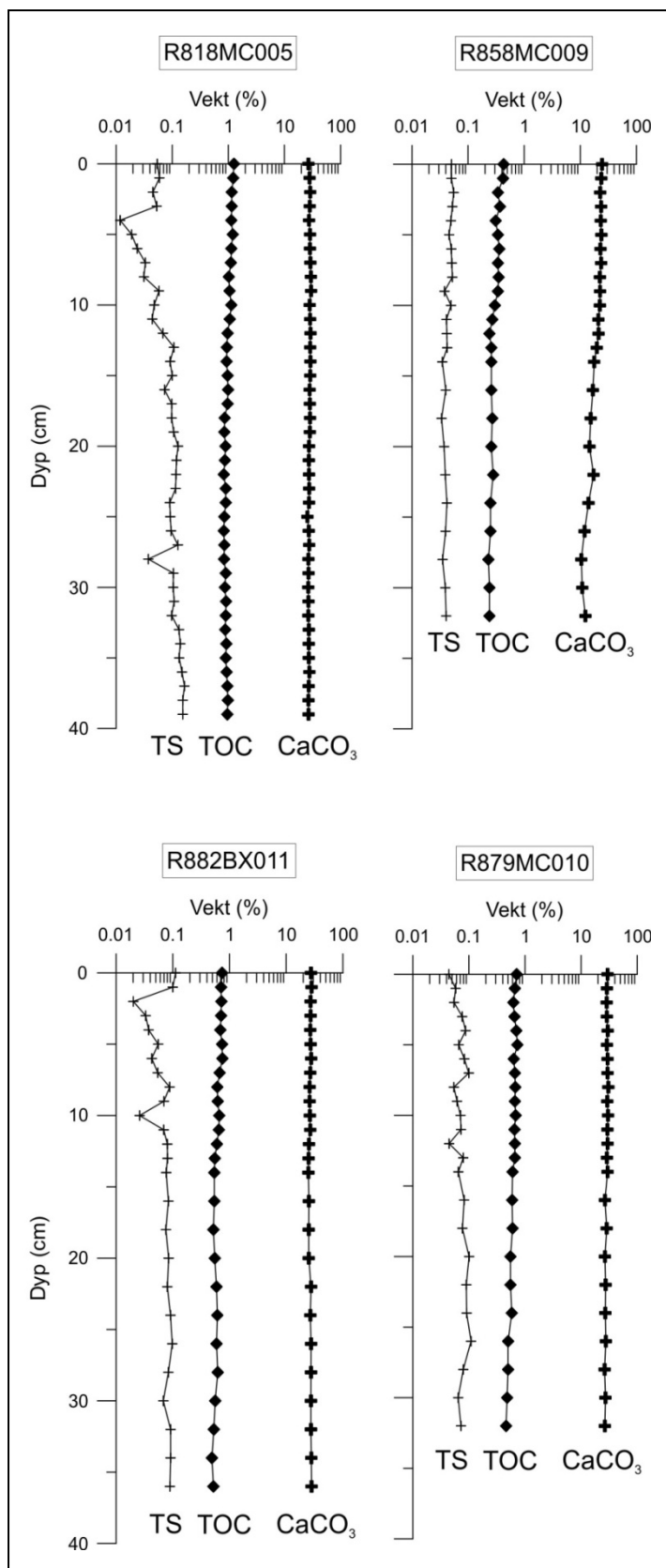


Figur 21. Variasjoner i TOC, karbonat (CaCO_3) og svovel (TS) i sedimentkjerner fra stasjonene R682 og R696 fra Finnmark. Dybdeskala til venstre er i centimeter. Vektprosentkala for de 2 sedimentkjernene er logaritmisk.

I Nordland VI har stasjonene R726 og R739 fra Vesterdjupet TOC-verdier på omtrent samme nivå, fra i underkant av 0,4 % til litt mer enn 0,5 %. Karbonat utgjør i underkant av 10% i R726 og i overkant av 10% i R739 (Figur 22). R858, som ligger lengre sør, har varierende fra 0,2-0,4 vekt % øverst (Figur 23), og dermed litt lavere enn de to stasjonene i Vesterdjupet. Andelen karbonat er betydelig høyere i R858, økende fra ca. 10% til 24% øverst. Stasjonene R749, R769, R786, R818, R879, og R882 fra kontinentalskråningen har svakt økende TOC-konsentrasjoner fra bunn til topp i sedimentkjernene, typisk økende fra 0,5 til 0,7 % på de fleste stasjonene. R818, lokalisert på den øvre delen av kontinentalskråningen, har høyere TOC-konsentrasjoner, økende fra 0,9 til 1,1 % fra bunn til topp. Karbonat utgjør mer enn 25 % på de fleste stasjonene på kontinentalskråningen, og det er relativt stabile nivåer fra bunn til topp på de fleste av de 6 stasjonene.

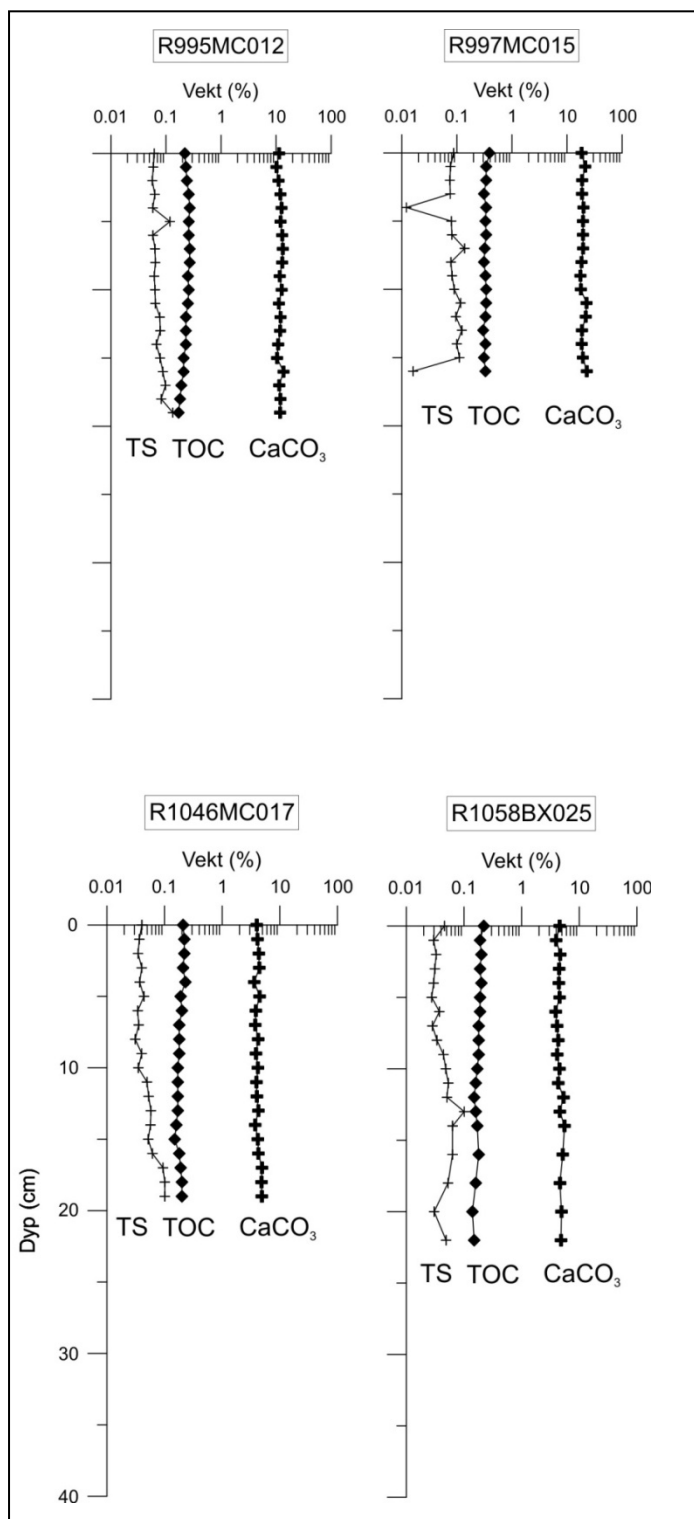


Figur 22. Variasjoner i total organisk karbon (TOC), karbonat (CaCO₃) og svovel (TS) i kjerner fra R726, R739, R749, R769 og R786 fra Nordland VI. Dybdeskala til venstre er i centimeter. Vektprosent skala for de 5 sedimentkjernene er logaritmisk.



Figur 23. Variasjoner i total organisk karbon (TOC), karbonat (CaCO₃) og svovel (TS) i kjerner fra R818, R858, R879 og R882 fra Nordland VI. Dybdeskala til venstre er i centimeter. Vektprosentkala for de 4 sedimentkjernene er logaritmisk.

I Breisunddjupet har R997 høyest TOC-verdier, fra 0,3 til 0,39 % og med relativt stabilt nivå gjennom hele sedimentkjernen. R995, også fra Breisunddjupet har TOC-verdier fra 0,17 til 0,27 %, uten store endringer fra bunn til topp (Figur 24). Karbonat utgjør 10-12 % i R995, mens karbonat i R997 varierer fra 17-23 %. Stasjonene R1046 og R1058 fra Mørebankene har stabile TOC-nivåer på ca. 0,2 % ned gjennom sedimentene. Karbonat utgjør lave andeler med 4-5 % i begge sedimentkjernene. S-innholdet, presentert sammen med TOC og karbonat (Figurer 21-24), er lave i samtlige sedimentkjerner (<0.1 vekt %).



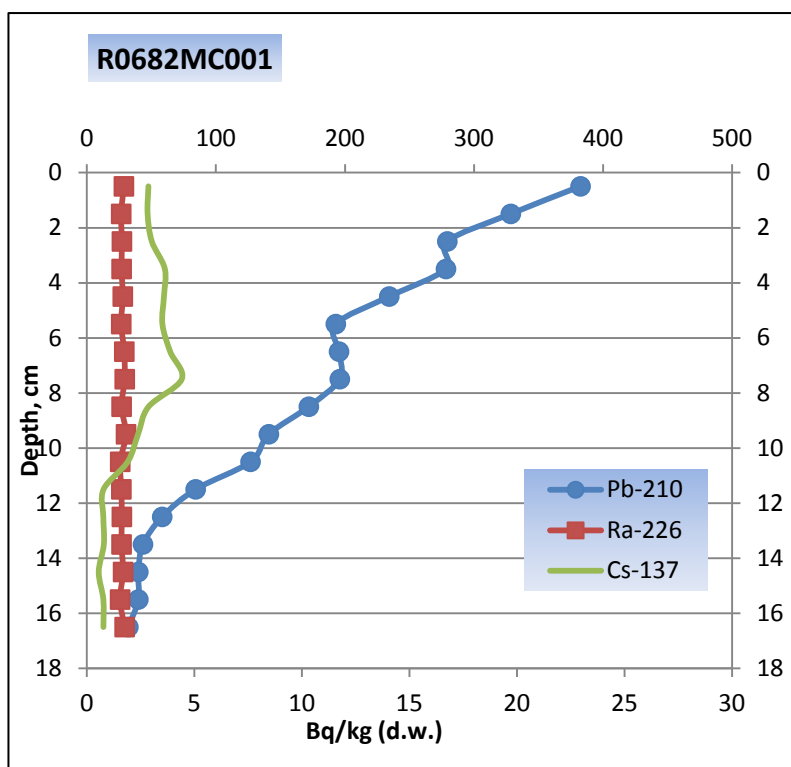
Figur 24. Variasjoner i total organisk karbon (TOC), karbonat (CaCO₃) og svovel (TS) i kjerner fra R995, R997, R1046 og R1058 fra Breisunddjupet og Mørebankene. Dybdeskala til venstre er i centimeter. Vektprosentkala for de 4 sedimentkjernene er logaritmiske.

5.4 Bly-isotop ^{210}Pb datering, ^{137}Cs målinger og sedimentakkumulasjonsrater

Bestemmelse av akkumulasjonsrater er viktig for å vurdere om det skjer en tilførsel av sedimenter, og hvorvidt denne tilførselen er stabil eller preget av perioder med manglende avsetning eller erosjon. Daterte sedimentkjerner gir også informasjon om mengden tilførsel av forurensende stoffer i moderne tid. Alderen på de øverste sedimentlagene og sedimentakkumulasjonsrater kan bestemmes ved måling av ^{210}Pb aktiviteten i sedimentene. Isotopen ^{210}Pb har en halveringstid på 22,3 år. Bakgrunnsverdien for ^{210}Pb bestemmes ut fra mengden av bakgrunnsstråling ^{210}Pb (= "supported" ^{210}Pb), som er uavhengig av sedimentasjon. Bestemmelsen av ^{210}Pb -bakgrunnsstråling skjer fra de dypere sjiktene i sedimentet, hvor konsentrasjonen er konstant fordi all ^{210}Pb (= "unsupported" ^{210}Pb) fra atmosfærisk nedfall er nedbrutt. Datering og bestemmelse av sedimentakkumulasjonsrater ble gjennomført på 9 sedimentkjerner i fra Finnmark (1), Nordland VI (6) og Mørebankene (2). ^{210}Pb og ^{137}Cs analyserapporten er presentert i Vedlegg 5.

Stasjon R682, Finnmark

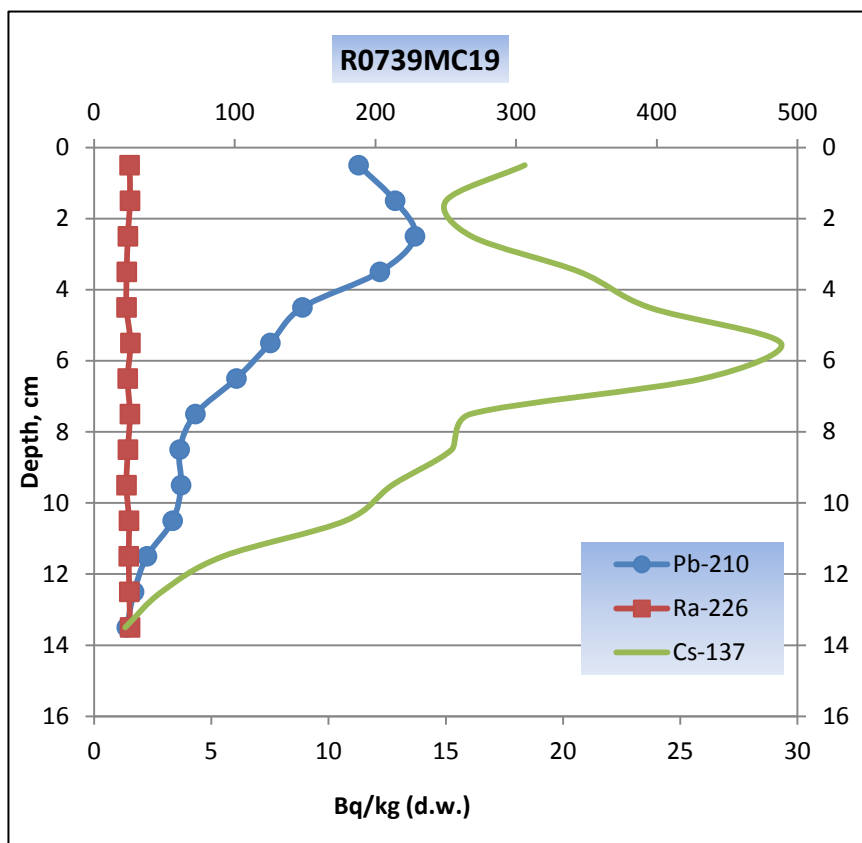
^{210}Pb og ^{137}Cs aktivitetsskurvene er vist i Figur 25. ^{210}Pb -aktivitet er målbart ned til 12,5 cm under overflaten. ^{137}Cs er til stede med lav aktivitet ned til 10 cm under overflaten. Fordelingen ligner på ^{137}Cs aktiviteten fra R531 lengre mot vest, ut for Nordkapp (Jensen m. fl., 2013). Det bekrefter ^{137}Cs -aktivitetene i R682 de tidligere observerte lave verdier og fordeling i R531, som trolig er påvirket av høy biologisk omsetning i sedimentene (Maiti m. fl., 2010, Carroll m. fl., 2008). Dermed blir det vanskelig å anvende ^{137}Cs for dateringsformål.



Figur 25. ^{210}Pb , ^{137}Cs og ^{226}Ra i R682, Finnmark.

Stasjon R739, Vesterdjupet, Nordland VI.

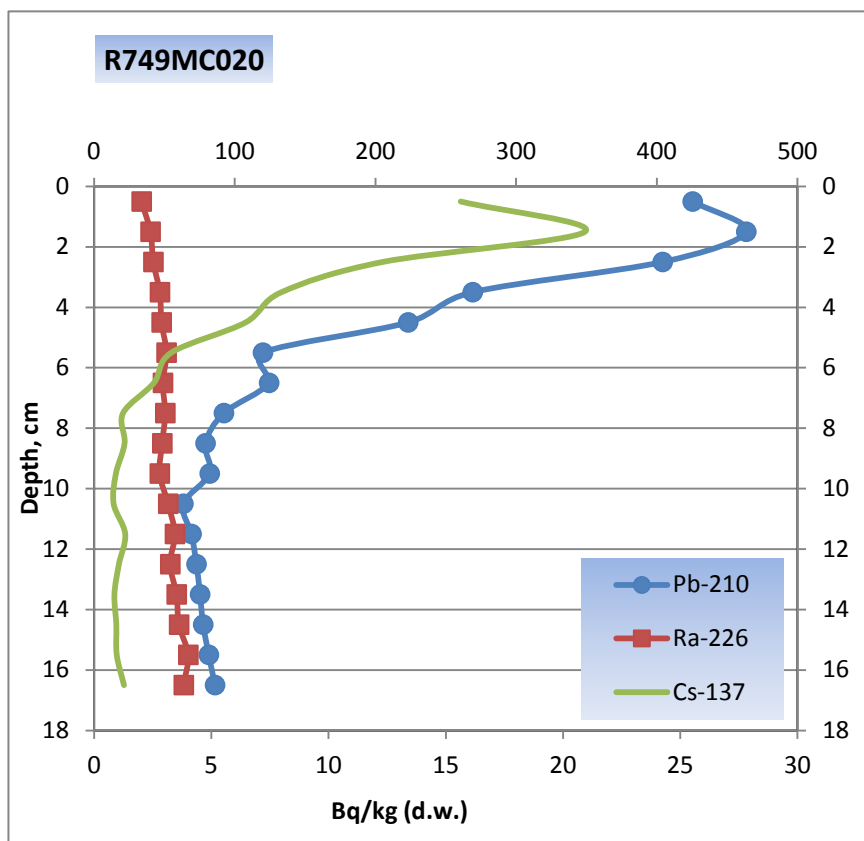
^{210}Pb -aktivitetsnivået har en uvanlig kurve med økende nivå fra 0-1 cm til 2-3 cm og deretter minker ^{210}Pb til bakgrunnsnivå ved 13-14 cm på denne stasjonen (Figur 26). ^{137}Cs -toppen ved 5-6 cm tilsvarer 1976 ifølge ^{210}Pb -dateringen. Den markante toppen svarer mest sannsynlig til utslipp fra Sellafield ifølge Sværen (2013). Observasjoner med Campod viser omfattende bioturbasjon på denne stasjonen. Det er ikke gjort observasjoner av trålspor. Økning i ^{137}Cs i de 2 øverste cm, og den samtidige reduksjon i ^{210}Pb kan muligvis forklares med omleiring av eldre sedimenter i form av erosjon av sedimenter i nærheten av Vesterdjupet.



Figur 26. ^{210}Pb , ^{137}Cs og ^{226}Ra i R739, Vesterdjupet, Nordland VI.

Stasjon R749, kontinentalskråningen, Nordland VI

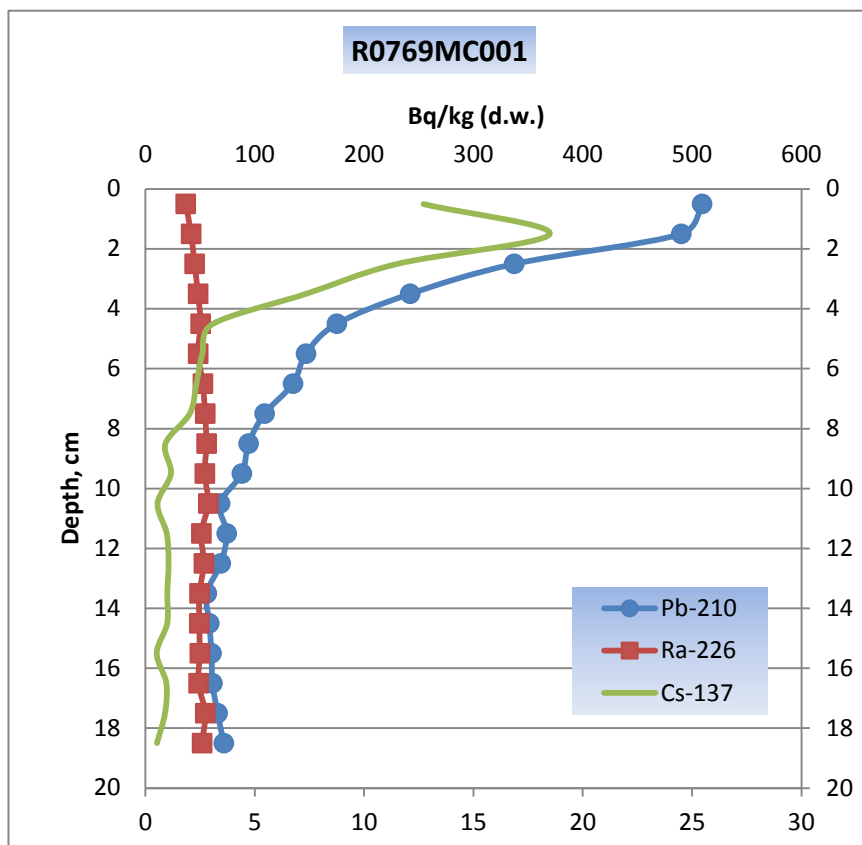
R749 fra 1863 m havdyp er fra den nedre del av kontinentalskråningen på Nordland VI. ^{210}Pb -aktivitetsmålingene viser at det finnes "unsupported" ^{210}Pb ned til 9-10 cm (Figur 27). Det er mulig at ^{210}Pb blir "dratt" dypere i sedimentene ved bioturbasjon. Det er datert en sedimentkjerne på stasjon R642 i Nordland VI lengre nede på kontinentalskråningen (2352 m) rapportert i Jensen m. fl. (2013). Det er likhetstrekk mellom R749 og R642, idet begge har høye ^{210}Pb nivåer i de øvre delene av sedimentkjernene og deretter en rask reduksjon i ^{210}Pb dypere i sedimentene. Tilsvarende gjelder for ^{137}Cs , som både i R642 (Jensen m. fl., 2013) og R749 har høyest aktivitetsnivå i de øvre delene av sedimentkjernene. Beregning av lineær sedimentasjonsrate gir ca. 0,9 millimeter/år for R749, hvilket er mer enn det som er beregnet for R642 (0,5 mm/år). Det er imidlertid stor usikkerhet forbundet med dateringene. Ifølge Sværen (2013) kan ^{137}Cs toppen i 1-2 cm tilskrives Tsjernobyl 1986.



Figur 27. ^{210}Pb , ^{137}Cs og ^{226}Ra i R749, kontinentalskråningen, Nordland VI.

Stasjon R769, kontinentalskråningen, Nordland VI

R769 er lokalisert på den nedre delen av kontinentalskråningen på 1963 m havdyp i Nordland VI, og kan derfor sammenlignes med R749 når det gjelder avsetningsmiljøet. ^{210}Pb -aktivitetsnivået reduseres raskt fra toppen av sedimentkjernen (Figur 28). Den korrigerte aldersberegningen gir en lineær sedimentasjonsrate på 0,9 millimeter/år, som tilsvarer R749. ^{137}Cs -aktivitetsnivåene har en fordeling som ligner på R749 med raskt avtagende aktivitetsnivå i prøvene under maksimalnivået ved 1-2 cm, og med omtrent samme nivåer. Det høyeste ^{137}Cs -nivå i prøven ved 1-2 cm kan sannsynligvis tilskrives Tsjernoby 1986 (Sværen, 2013).



Figur 28. ^{210}Pb , ^{137}Cs og ^{226}Ra i R769, kontinentalskråningen, Nordland VI.

5.4.1 ^{14}C -datering

Aldersmodellen basert på ^{137}Cs -aktivitet og ^{210}Pb -dateringer er testet på en prøve fra R769 med en radiokarbondatering utført på planktoniske og bentiske foraminiferer. 2000 foraminiferer ble plukket ut fra fraksjon $>100\ \mu\text{m}$ i prøven ved 5-6 cm dyp og målt ved 14CHRONO Centre, Queens University Belfast. Resultatet viser en alder på 1177 år B.P. ved 5-6 cm sedimentdybde.

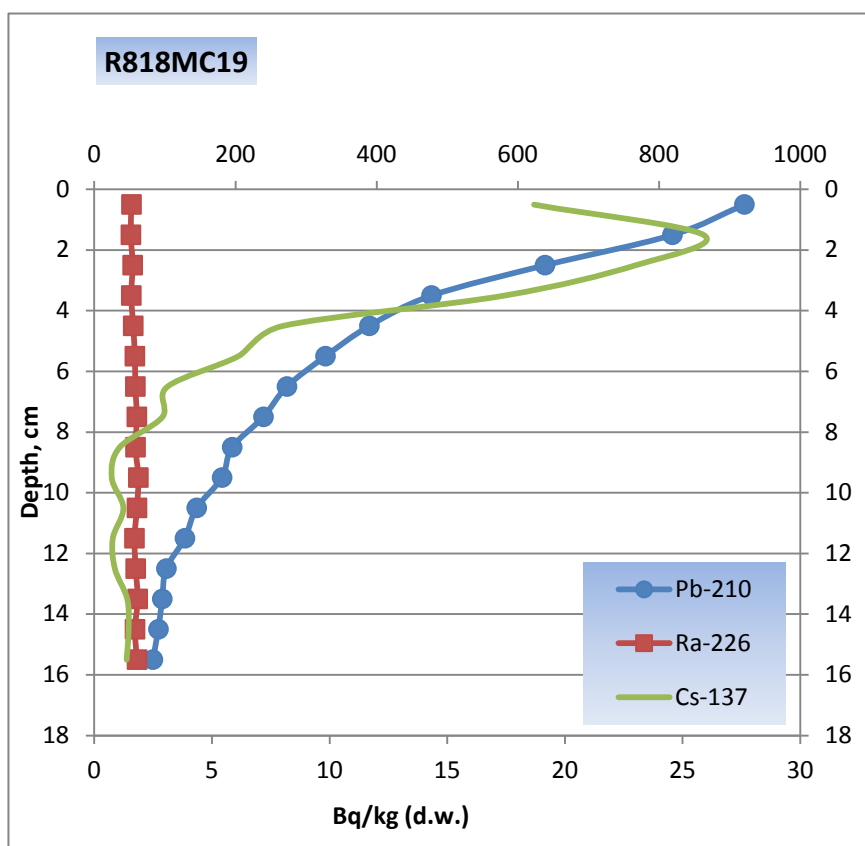
Radiokarbondateringer av marine organismer krever imidlertid noen korreksjoner for å gi riktige aldre i kalenderår. Årsaken er at i motsetning til planter og trær som tar opp "fersk" ^{14}C , tar det tid før den har kommet ned til havet og blandet seg slik at organismer tar den opp. Den tilsynelatende alderen varierer rundt i havet og også gjennom tiden på grunn av variasjoner i havstrømmer. For Barentshavet korrigerer man alderen fra radiokarbondateringer med den globale/regionale

reservoar faktoren (467 ± 41 år) (Aagaard-Sørensen et al. 2010). For prøven R769, ved 5-6 cm sedimentdyp, får man en alder på 660 år B.P. (1290 år A.D.). Sedimentasjonshastigheten for de øverste lagene ville da være 0,07 mm/år, det vil si en størrelsesorden mindre enn kalkulerte hastigheter basert på $^{137}\text{Cs}/^{210}\text{Pb}$ -dateringen. Den totale vurderingen av $^{137}\text{Cs}/^{210}\text{Pb}$ -baserte sedimentasjonsmodeller på dypere lag i alle kjerner må derfor ses som foreløpig med mulige justeringer i dypere sjikt i sedimentene. ^{14}C -dateringen av prøven ved 5-6 cm bekrefter tidligere vurderinger vedr. utfordringene med dateringer av sedimenter på kontinentalskråningen (Jensen m. fl., 2013), spesielt når det fremgår at unsupported ^{210}Pb ikke har nådd ned til bakgrunnsnivået ved 5-6 cm dyp i sedimentkjernen (Figur 28). Det reiser spørsmålet om ^{210}Pb kan være mobilt og bli transportert ned i sedimentene.

Stasjon R818, kontinentalskråningen, Nordland VI

Stasjon R818 fra kontinentalskråningen (912 m havdyp) har raskt avtakende ^{210}Pb -aktivitetsnivå fra toppen av sedimentkjernen (Figur 29). De høyeste ^{210}Pb -aktivitetsnivåene av samtlige 9 daterte sedimentkjerner er målt i R818 med ca. dobbelt så høye aktivitetsnivåer sammenlignet med de nest høyeste målingene. Den korrigerte ^{210}Pb alder er 1881 i 12-13 cm. Det gir en lineær sedimentasjonsrate på 1,0 millimeter pr. år.

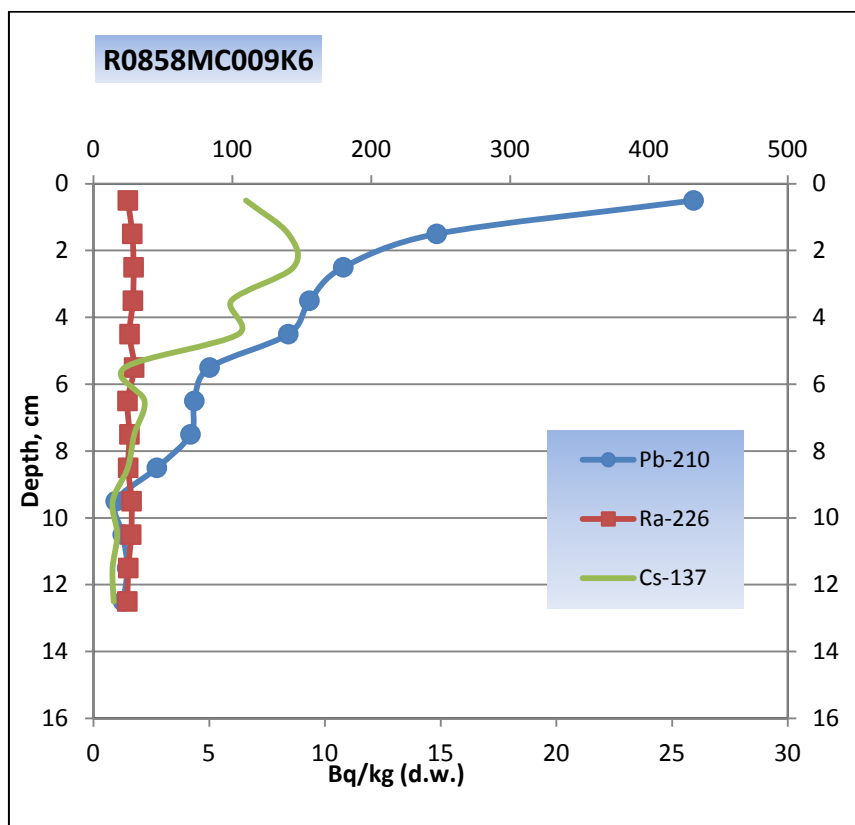
^{137}Cs har en topp ved 1-2 cm, og kurven ligner på ^{137}Cs -kurven på stasjon R749. Det kan derfor antas at det er samme kilde for ^{137}Cs på de to stasjonene. ^{137}Cs -nivåene er høyere i R818 enn i R749, som ligger lengre nede på kontinentalsokkelen.



Figur 29. ^{210}Pb , ^{137}Cs og ^{226}Ra i R818, kontinentalskråningen, Nordland VI.

Stasjon R858, kontinentalsokkelen, Nordland VI

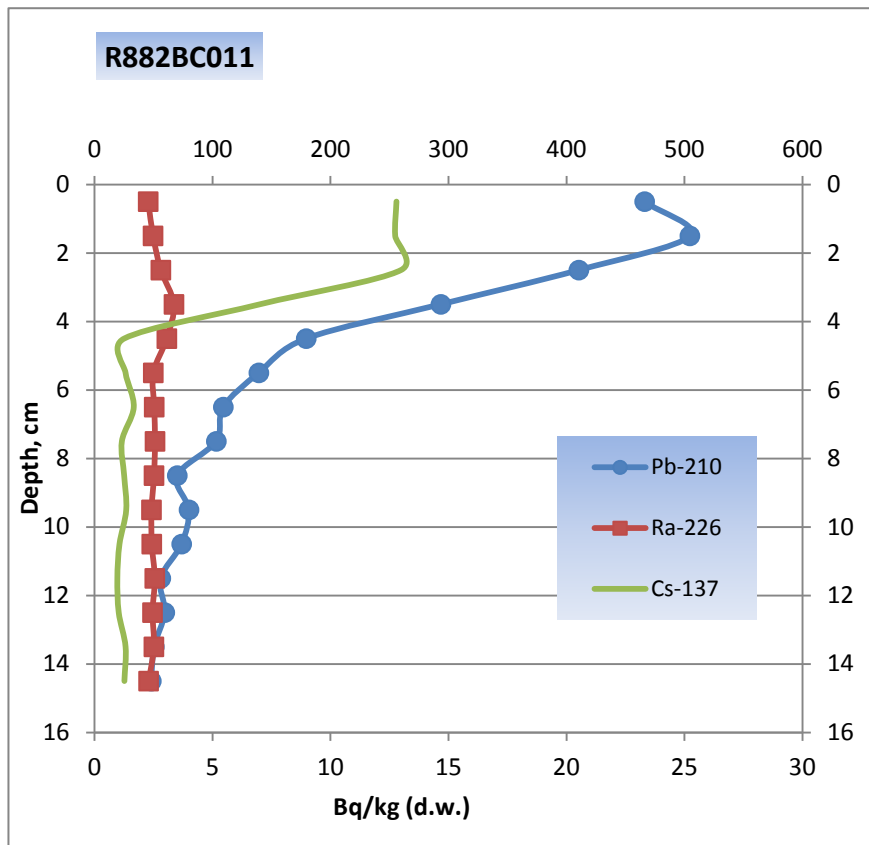
Stasjon R858 ligger på kontinentalsokkelen på Nordland VI på 477 m havdyp. ^{210}Pb -aktivitetsnivået faller markant fra 0-1 cm til 4-5 cm for deretter å falle mer markant til 5-6 cm og holde seg på et stabilt nivå (Figur 30). ^{137}Cs har to markante topper ved 2-3 cm og 4-5 cm, hvilket ifølge Sværen (2013) kan tilskrives Sellafield nederst og Tsjernobyl øverst (1986). Sammenlignet med ^{137}Cs -aktivitetsnivået i R739 fra Vesterdjuvet på kontinentalsokkelen er aktivitetsnivået i R858 noe lavere. Kurvene har også vidt forskjellige forløp (se presentasjon for R739 tidligere i dette avsnittet). Forskjeller i ^{137}Cs -kurvene for R739 i Vesterdjuvet og R858 kan tyde på at tilførsel fra Sellafield ikke har vært like på de to stasjonene, muligvis forårsaket av forskjeller i sedimentasjonsforhold på de 2 stasjonene.



Figur 30. ^{210}Pb , ^{137}Cs og ^{226}Ra i R858, kontinentalsokkelen, Nordland VI.

Stasjon R882, kontinentalskråningen, Nordland VI

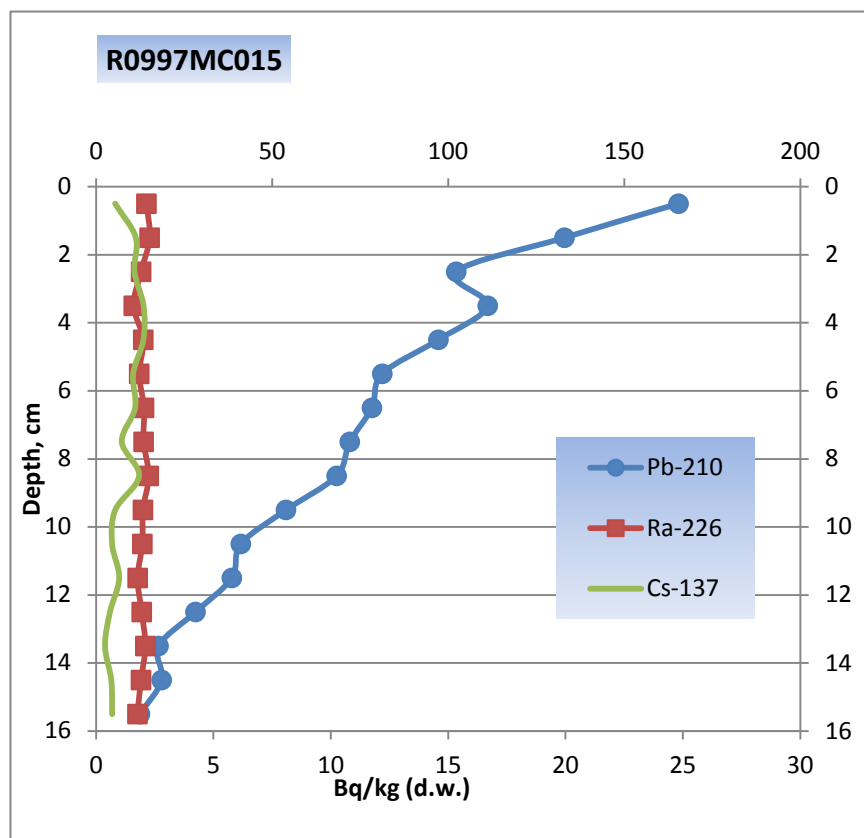
Stasjon R882 ligger på kontinentalskråningen i Nordland VI, og har raskt avtakende ^{210}Pb -aktivitetsnivå fra toppen av sedimentkjernen til 11-12 cm, hvor det ikke lengre er signal fra "unsupported" ^{210}Pb (Figur 31). ^{137}Cs har konstant aktivitetsnivå i de øverste 3 cm og deretter faller aktivitetsnivået markant ned til et lavt nivå fra 4-5 cm og ned gjennom sedimentkjernen. Det høye nivået i de øverste 3 cm kan tilskrives Tsjernobyl 1986, ifølge Sværen (2013).



Figur 31. ^{210}Pb , ^{137}Cs og ^{226}Ra i R882, kontinentalskråningen, Nordland VI.

Stasjon R997, Breisunddjupet, Møre

Stasjon R997 er lokalisert i Breisunddjupet utenfor Mørrekysten. ^{210}Pb -aktivitetsnivået avtar raskt i de øverste 3 prøvene. Deretter avtar ^{210}Pb -aktivitetsnivået inntil unsupported ^{210}Pb er borte ved 15-16 cm (Figur 32). ^{137}Cs har lavt aktivitetsnivå gjennom hele sedimentkjernens øverste 16 cm. Det er en svakt utviklet topp ved 8-9 cm, men ellers ingen andre klare topper. Dette gjør det vanskelig å bruke ^{137}Cs til dateringsformål. Alle målingene fra 9-10 cm til 15-16 cm er under deteksjonsgrensen.

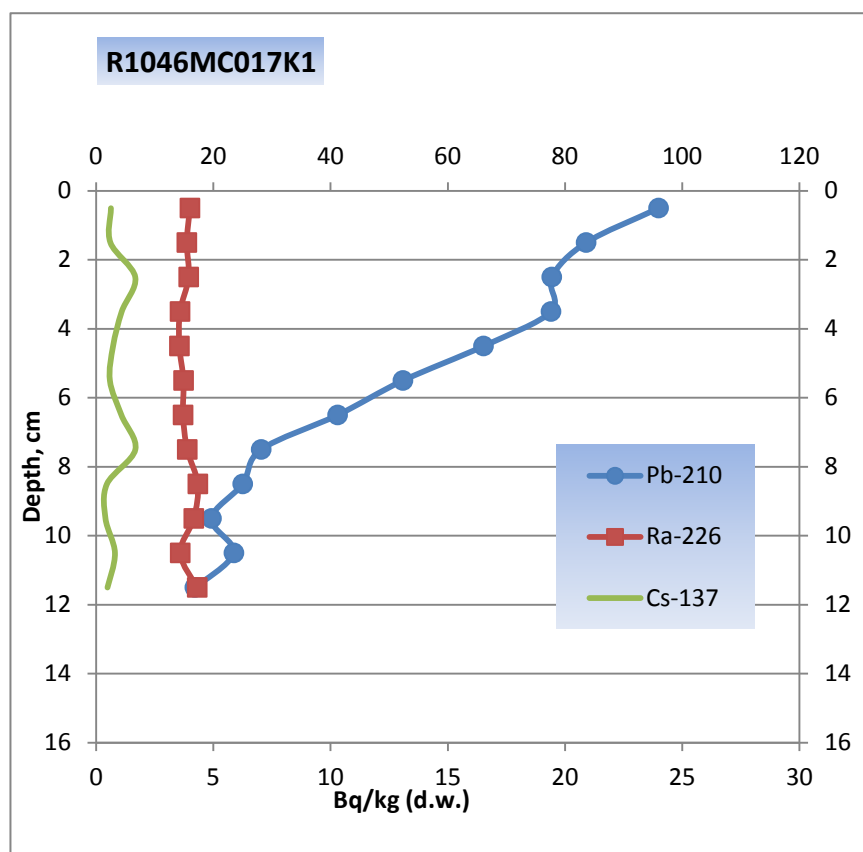


Figur 32. ^{210}Pb , ^{137}Cs og ^{226}Ra i R997, Breisunddjupet, Mørebankene.

Stasjon R1046, Mørebankene

Konsentrasjon av ^{210}Pb i kjernen fra stasjon R1046 på Mørebankene avtar raskt ned til 12 cm med enkelte svake økninger i 2 prøver, ved 3-4 cm og 10-11 cm (Figur 33). Økningen fra 2-3 cm til 3-4 cm likner en del på økningen som ses i tilsvarende dyp i R997. ^{210}Pb -aktiviteten er borte ved 11-12 cm. ^{210}Pb -aktivitetsnivået i R1046 har likhetstrekk med R997, med to klare forskjeller: ^{210}Pb -aktivitetsnivået er generelt lavere i R1046, og ^{210}Pb -aktivitetsnivået er borte ved 11-12 cm sammenlignet med 15-16 cm i R997. Dette tyder på litt lavere sedimentasjonsrate i R1046 enn i R997. ^{137}Cs -nivået er generelt lavt med to svake topper i 2 prøver, ved 2-3 cm og 7-8 cm. For en del prøver er ^{137}Cs -målingene under deteksjonsgrensen. Det gjelder for prøvene i intervallene 0-2 cm, 4-6 cm og 8-12 cm. Det generelle inntrykket er at det er lavere bidrag av både ^{210}Pb og ^{137}Cs i R1046 enn i R997, som sannsynligvis er en mer effektiv sedimentfelle.

De to daterte sedimentkjernene fra Breisunddjupet og Mørebankene har betydelig lavere ^{210}Pb og ^{137}Cs -aktivitetsnivå sammenlignet med sedimentkjernene fra Nordland VI, og lavere ^{210}Pb -aktivitetsnivå enn sedimentkjernen R682 fra Finnmark, mens det er sammenlignbare ^{137}Cs nivåer i de analyserte sedimentkjerner fra Finnmark og Mørebankene. En del av forklaringen på forskjellen er sannsynligvis de mer grovkornede sedimentene på Mørebankene, som dels betyr at mindre finstoff avsettes og dermed også mindre avsetning av ^{210}Pb .



Figur 33. ^{210}Pb , ^{137}Cs og ^{226}Ra i R1046, Mørebankene.

Resultatet av dateringene av de 9 sedimentkjernene er oppsummert i Tabell 5. Kvaliteten på dateringene er bestemt av Sværen (2013) på basis av opparbeiding av prøvene.

Tabell. 5: Daterte sedimentkjerner fra MAREANO-toktene i 2011 og 2012. MAR = masseakkumulasjonsrate; LSR = lineær sedimentasjons rate (dybde, 0-2 cm). Kalkulerte LSR er basert på korrigerte og ikke korrigerte årstall (se Vedlegg 5 for utfyllende informasjon).

Stasjon	Lokalitet	LSR mm/år	Maks. Alder/Dyp år A.D./cm	Kvalitet på datering (Skala 1-10)
R0682MC001	Finnmark, 403 m	0,83-1,17	1862/12.5	9
R0739MC019	Nordland VI, 264 m	0,82	1872/11.5	9
R0749MC020	Nordland VI, 1863 m	0,75-0,86	1885/9.5	8.5
R0769MC001	Nordland VI, 1963 m	0,72-1.31	1881/9,5	10
R0818MC005	Nordland VI, 912 m	0,95-1.25	1880/12.5	8.5
R0858MC010	Nordland VI, 477 m	0,79-0,91	1917/7.5	10
R0882BC011	Nordland VI, 1117 m	0,83	1873/11.5	10
R0997MC015	Breisunddjupet, 283 m	1,15	1903/12.5	9.5
R1046MC017	Mørebankene, 194 m	0,86	1891/10.5	10

5.5 Tungmetaller og arsen i 9 ²¹⁰Pb-daterte sedimentkjerner og 5 udaterte sedimentkjerner

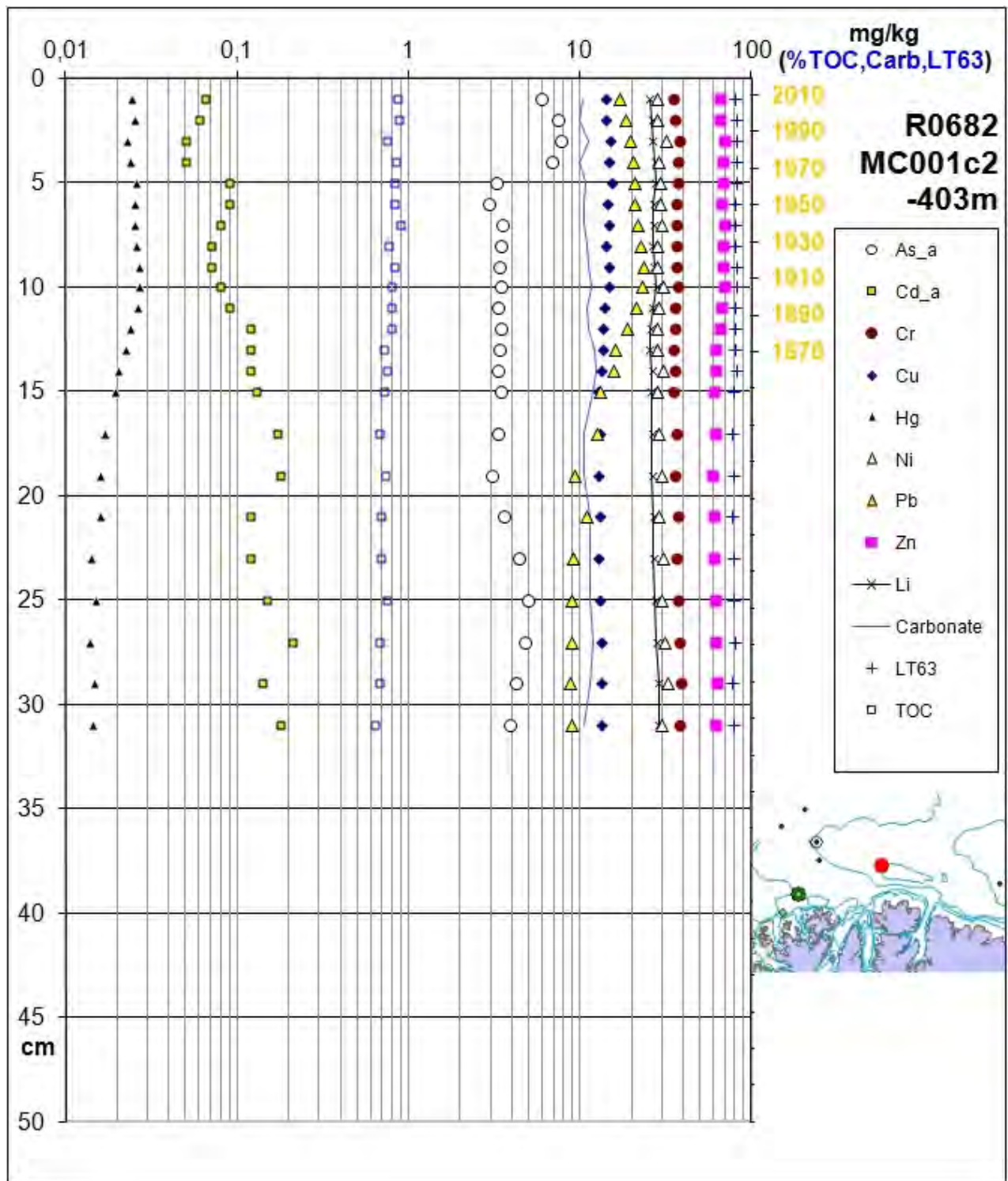
For å vurdere dagens forurensingstilstand er de 9 ²¹⁰Pb-daterte sedimentkjernene analysert. I tillegg er også sedimentkjerner fra 5 stasjoner uten datering valgt ut til analyse. Variasjoner i tungmetall, arsen og barium gjør det mulig å vurdere hvorvidt det har skjedd en endring i tilførsel og binding av disse stoffene i de øverste sedimentene i nyere tid. Endringer i tungmetallkonsentrasjoner kan skyldes naturlige forhold eller komme som resultat av menneskelig påvirkning. Analyseresultatene finnes i Vedlegg 1.

R682 – Finnmark, kontinentalsokkelen

Kjernen er 31 cm lang. Andel finstoff (<63 µm) varierer mellom 63% og 82% og øker gradvis mot toppen av sedimentkjernen. Stabile nivåer av finstoff indikerer at avsetningsforholdene har vært relativt stabile (Figur 34). TOC øker fra 0,63 % nederst i kjernen til ca. 0,89 % øverst i sedimentkjernen. Nivåene av Cr, Cu, Ni, og Zn er relativt stabile gjennom sedimentkjernen, hvilket fremgår av de statistiske dataene i Tabell 6. As og Cd viser større variasjon, med generelt avtakende konsentrasjoner mot toppen av sedimentkjernen. Cd varierer også betydelig, og er i to prøver under deteksjonsgrensen (Figur 34). Årsaken til at Cd-konsentrasjonen varierer betydelig kan skyldes at den påvirkes av redoksforholdene i sedimentene, med utfelling i overgangssonen fra oksiske til anoksiske forhold (diagenese). Hg og Pb øker mot toppen av sedimentkjernen fra ca. 10 cm. Årstallene markert til høyre i Figur 34 er basert på ²¹⁰Pb-dateringen, som antyder at Pb og Hg begge øker på slutten av 1800-tallet (dersom man ekstrapolerer årstallene nedover i sedimentkjernen). Hg har en 100% økning fra nederste til øverste del av sedimentkjernen, mens det for Pb er en økning på ca. 150% fra et relativt konstant nivå på mindre enn 10 mg/kg nederst i sedimentkjernen. Økningen for Hg og Pb tilskrives antropogen tilførsel enten gjennom atmosfæren eller via havstrømmer. Alle metallene har konsentrasjoner i klasse I, tilsvarende bakgrunnsnivå. Barium har relativt konstant konsentrasjon varierende fra ca. 104-117 mg/kg gjennom hele sedimentkjernen.

Tabell 6. Sedimentkjerne på stasjon R682 (0-31 cm): minimum, gjennomsnitt, median og maksimumsverdier for tungmetaller, arsen og barium (mg/kg)

Antall prøver		As mg/kg	Ba mg/kg	Cd mg/kg	Cr mg/kg	Cu mg/kg	Hg mg/kg	Ni mg/kg	Pb mg/kg	Zn mg/kg
N = 23	Min.	2,95	104,0	0,05	34,9	12,8	0,014	27,9	8,7	59,2
	Gjns.	4,22	110,7	0,11	36,7	13,8	0,021	29,3	16,0	64,5
	Med.	3,48	111,0	0,12	36,7	13,7	0,023	29,1	17,1	63,8
	Max.	7,67	117,0	0,21	39,1	15,2	0,027	32,1	23,4	69,8



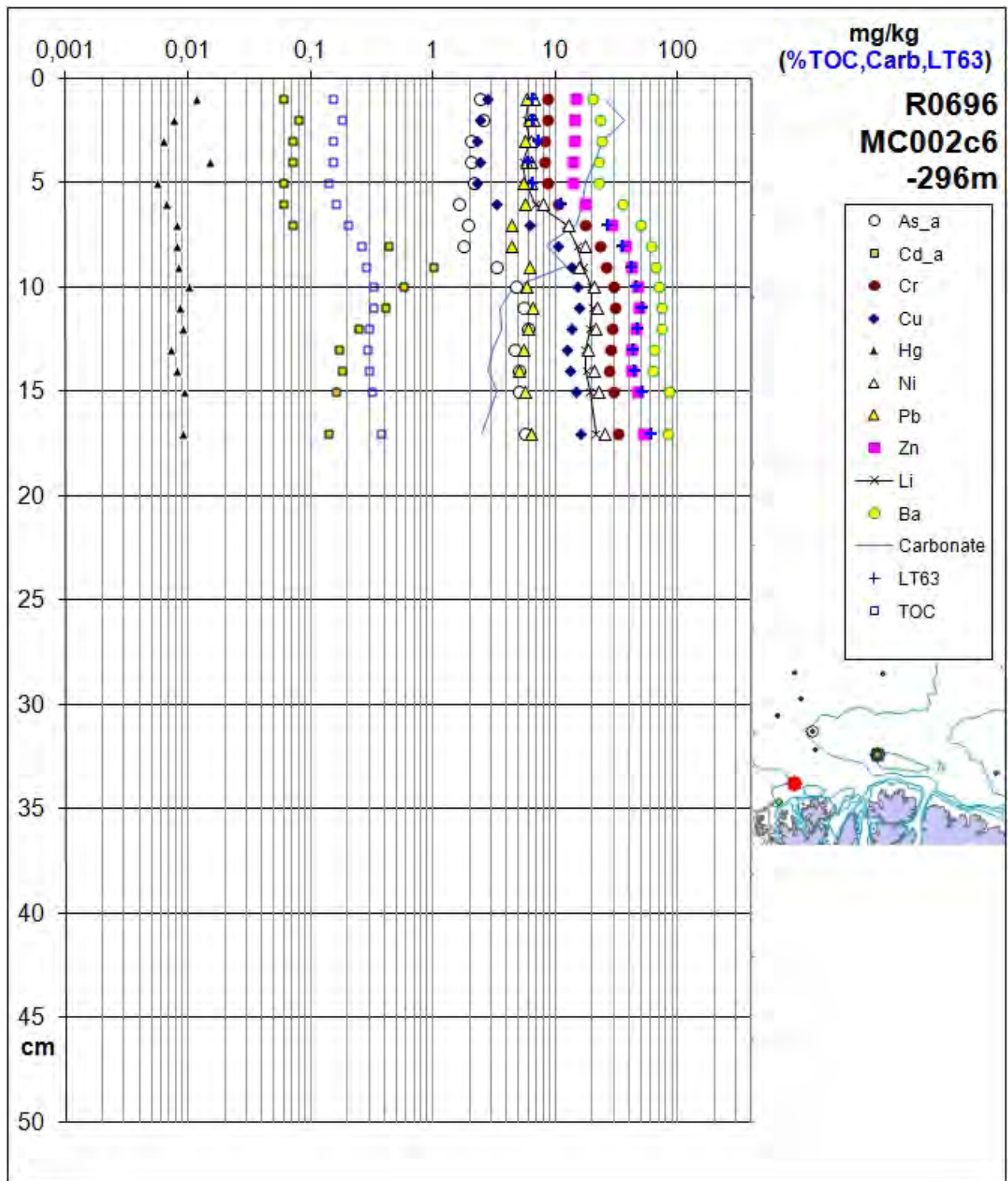
Figur 34. Tungmetall, arsen, barium, TOC, karbonat og finstoff i sedimentkjerne fra R682 (0-31 cm).

R696 – Finnmark

Denne sedimentkjernen fra stasjon R696 har noe mindre TOC og andel finstoff enn R682. Det er markant reduksjon i andel finstoff og TOC i de øverste 7 cm (Figur 35). Dette gjenspeiles også i nivåene på de fleste metallene som reduseres markant i konsentrasjon i de øverste 7 cm. De grovere sedimentene i toppen av sedimentkjernen tyder på endring til økt energinivå i vannmassene over tid og større energinivå enn på stasjon R682. Tungmetall-, arsen- og bariumkonsentrasjonene er noe mindre sammenlignet med R682 med unntak av Cd, som har høyere verdier for gjennomsnitt, medianverdi og maksimalverdi sammenlignet med R682.

Tabell 7. Sedimentkjerne på stasjon R696 (0-17 cm): minimum, gjennomsnitt, median og maksimumsverdier for tungmetaller, arsen og barium.

Antall prøver		As mg/kg	Ba mg/kg	Cd mg/kg	Cr mg/kg	Cu mg/kg	Hg mg/kg	Ni mg/kg	Pb mg/kg	Zn mg/kg
N = 17	Min.	1,62	19,9	0,06	8,2	2,3	0,006	6,3	4,3	14,0
	Gjsn.	3,52	52,1	0,24	20,4	9,1	0,009	14,7	5,6	33,7
	Med.	2,93	61,1	0,15	24,6	11,5	0,008	16,5	5,7	41,3
	Max.	5,94	84,6	1,02	32,1	16,0	0,015	25,0	6,5	51,9



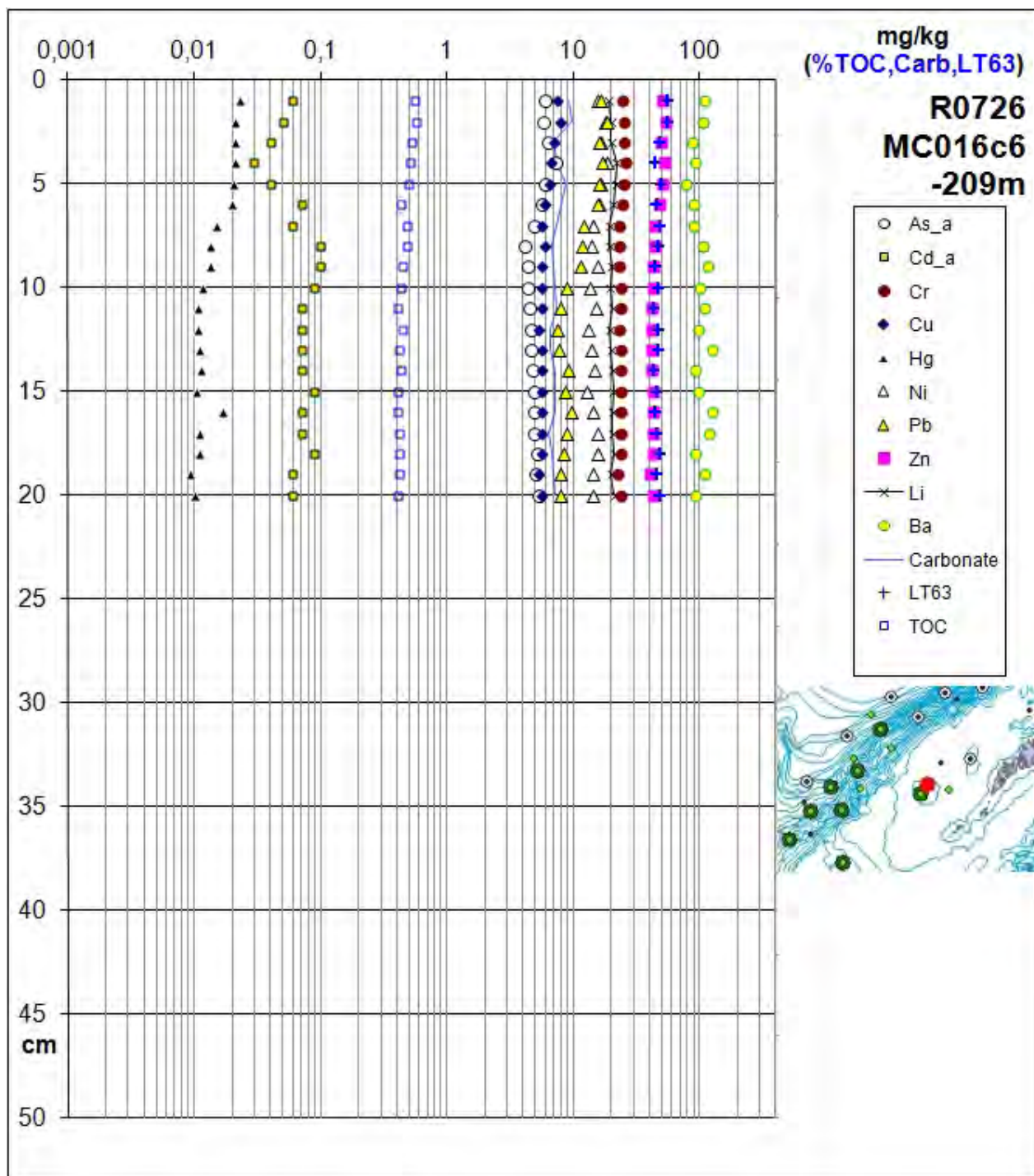
Figur 35. Tungmetall, arsen, barium, TOC, karbonat og finstoff i sedimentkjerne fra R696 (0-17 cm).

R726 – Nordland VI, kontinentalsokkelen.

Den 20 cm lange sedimentkjernen fra Nordland VI har konstant andel finstoff (<63 µm) på ca. 45-50% (Figur 36), og svakt økende andel TOC fra ca. 0,4 % nederst til ca. 0,6 % øverst. Cr, Cu, Ni, Zn og As har relativt konstante lave nivåer gjennom sedimentkjernen. Kilden til disse elementene tilskrives tilførsler fra sedimenter alene og ingen antropogene kilder. Hg og Pb øker mot toppen, med en økning på ca. 100 %, men fremdeles er det lave konsentrasjoner - for Hg fra ca. 0,010 mg/kg til ca. 0,020 mg/kg i de øverste prøvene, og for Pb 7-8 mg/kg nederst til 16-17 mg/kg i de øverste prøvene.

Tabell 8. Sedimentkjerne fra R726 (0-20 cm): minimum, gjennomsnitt, median og maksimumsverdier for tungmetaller, arsen og barium (mg/kg).

Antall prøver		As mg/kg	Ba mg/kg	Cd mg/kg	Cr mg/kg	Cu mg/kg	Hg mg/kg	Ni mg/kg	Pb mg/kg	Zn mg/kg
N = 20	Min.	4,12	78	0,03	22,7	5,3	0,009	12,7	7,5	41,0
	Gns.	5,16	101	0,07	24,0	6,0	0,015	15,1	11,3	44,9
	Med.	4,88	99	0,07	23,9	5,7	0,013	14,9	9,3	43,3
	Max.	7,27	126	0,10	26,1	7,9	0,023	18,5	18,4	53,5



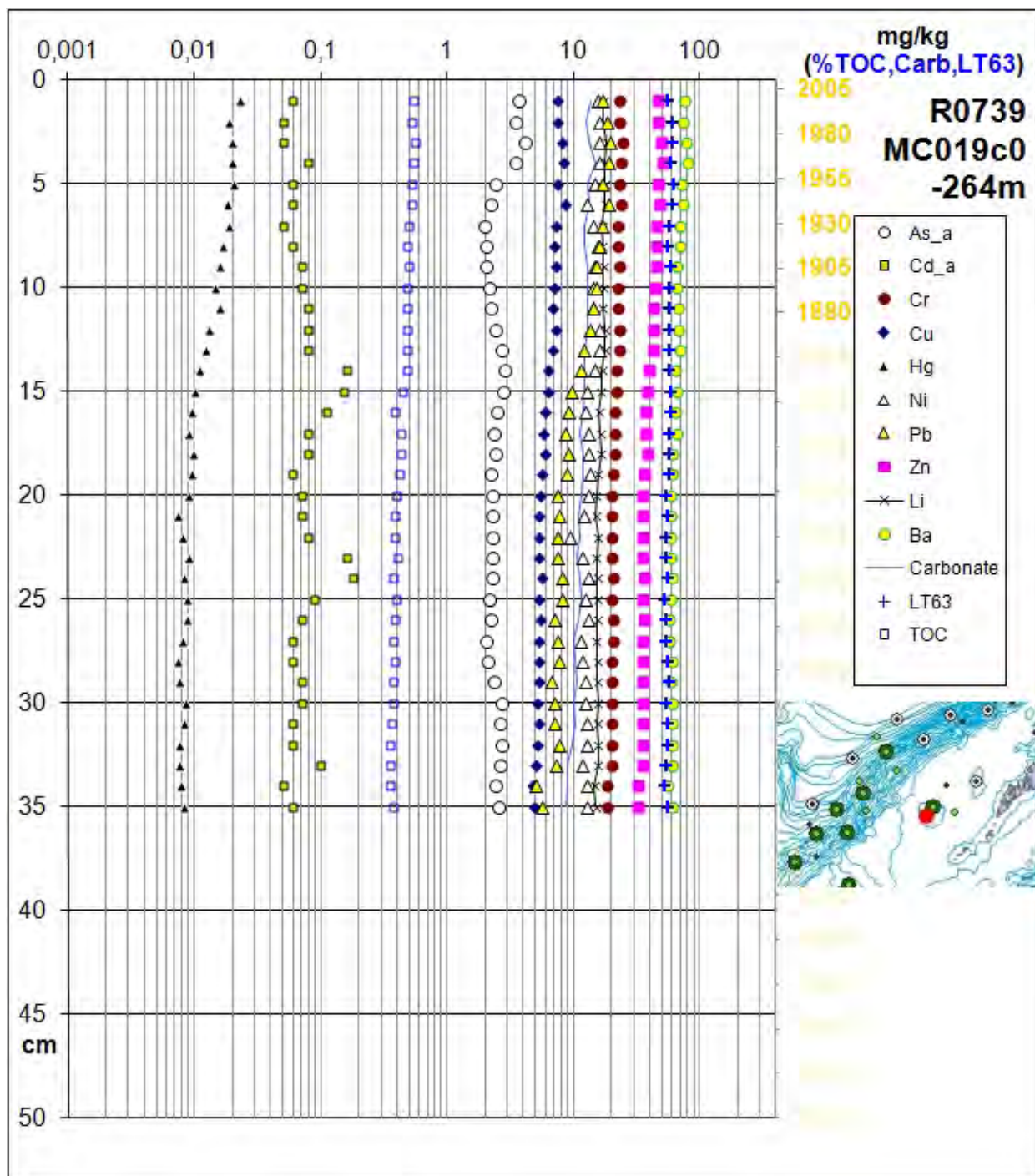
Figur 36. Tungmetall, arsen, barium, TOC, karbonat og finstoff i sedimentkjerne fra R726 (0-20 cm).

R739 – Nordland VI (Vesterdjupet)

Den 35 cm lange sedimentkjernen har konstant andel finstoff (<μm) på ca. 70 % (Figur 37). TOC-innholdet øker mot toppen fra 0,35 til 0,55 vekt %. De to parametrene, andel finstoff og TOC, indikerer at avsetningsforholdene på R739 har vært stabile i hele avsetningsperioden. Metallene Cr, Cu, Ni og Zn har konstante konsentrasjoner i hele sedimentkjernen. Barium har relativt konstante konsentrasjoner i hele sedimentkjernen. Hg har et bakgrunnsnivå på ca. 0,010 mg/kg fra 35 cm opp til 16-17 cm, konsentrasjonen øker deretter gradvis til 0,023 mg/kg øverst. Pb øker fra 6-8 mg/kg ved 16-35 cm til 19,5 mg/kg 2-3 cm under toppen, for så å reduseres til 17 mg/kg øverst i sedimentkjernen. ²¹⁰Pb-dateringen indikerer at økning i Hg og Pb begynte rundt 1870-1880. Sammenlignet med R726, som ligger geografisk nær R739, er det små forskjeller i metallkonsentrasjonene og trendene.

Tabell 8. Sedimentkjerne fra R739 (0-35 cm): minimum, gjennomsnitt, median og maksimumsverdier for tungmetaller, arsen og barium (mg/kg).

Antall prøver		As mg/kg	Ba mg/kg	Cd mg/kg	Cr mg/kg	Cu mg/kg	Hg mg/kg	Ni mg/kg	Pb mg/kg	Zn mg/kg
N = 35	Min.	2,0	55,0	0,05	18,6	4,8	0,007	9,4	5,0	32,2
	Gns.	2,5	64,5	0,08	21,4	6,2	0,012	13,5	11,0	39,5
	Med.	2,4	61,2	0,07	21,2	5,8	0,010	13,0	9,0	36,9
	Max.	4,2	80,0	0,18	24,2	8,6	0,023	16,2	19,5	50,8



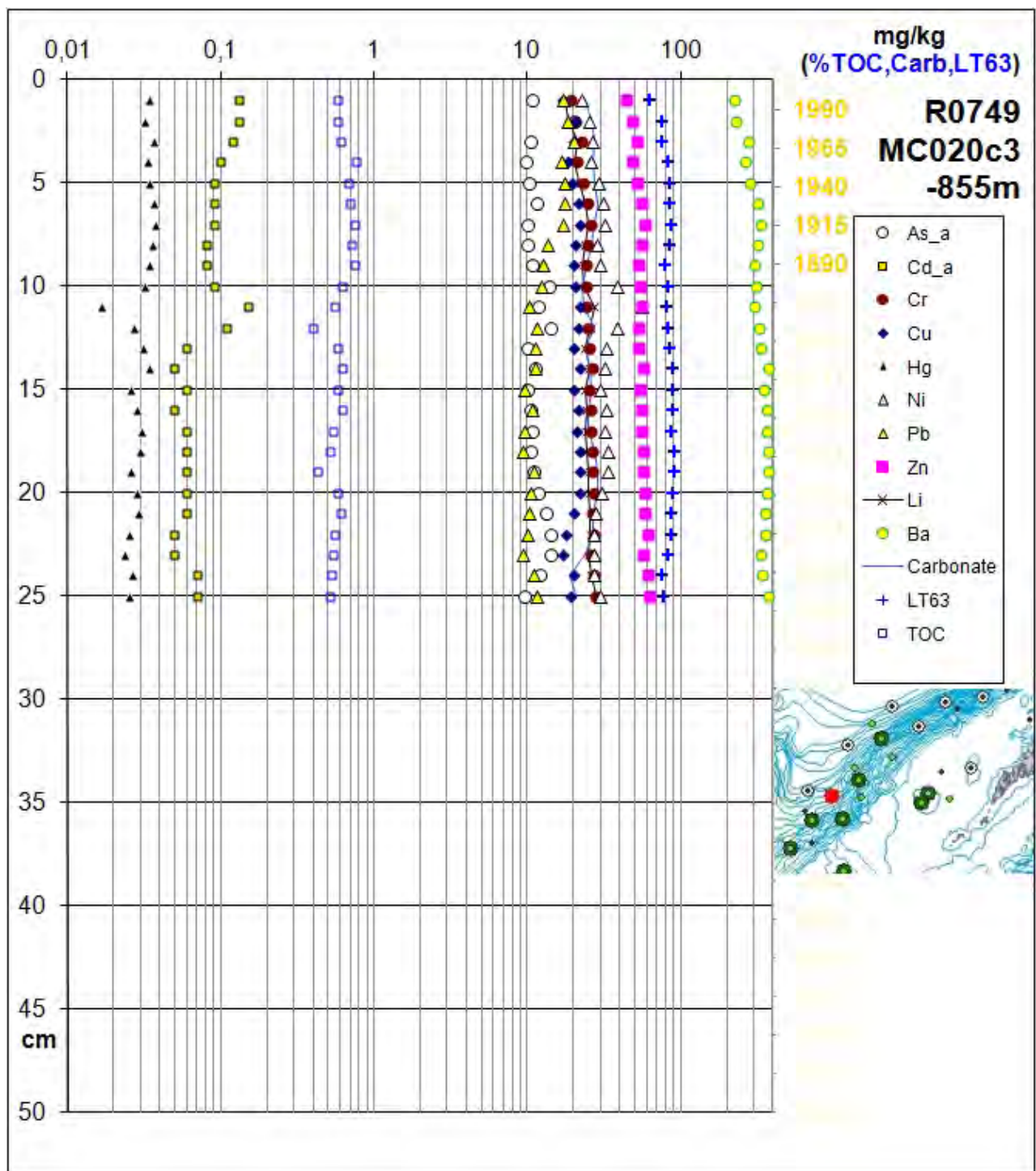
Figur 37. Tungmetall, arsen, barium, TOC, karbonat og finstoff i sedimentkjerne fra R739 (0-35 cm).

R749 – Nordland VI, kontinentalskråningen

Kjernen er 25 cm lang. Andelen av finstoff er ganske konstant fra bunnen og opp til 4 cm under overflaten, og deretter reduseres finstoffandelen markant i de øverste 4 cm (Figur 38). TOC varierer noe gjennom sedimentkjernen med lave verdier ved 18-19 cm og 11-12 cm for så øke gradvis igjen i noe som ligner sykliske variasjoner. Disse variasjonene kan skyldes ras som tilfører sedimenter med mindre TOC. Metallene Cr, Cu, Ni og Zn har relativt konstante konsentrasjoner gjennom sedimentkjernen opp til 4 cm, og reduseres i de øverste 4 centimeterne. Barium øker fra 149 mg/kg til 284 mg/kg og følger i høy grad andel finstoff. Pb har konstant konsentrasjon på ca. 8-11 mg/kg fra 37 cm til 6-7 cm. Fra 6 cm til toppen av sedimentkjernen øker Pb til mer enn 20 mg/kg. Cd øker markant fra under deteksjonsgrensen (0,02 mg/kg) nederst i sedimentkjernen til 0,15 mg/kg øverst. As har en motsatt trend med minkende konsentrasjoner fra bunnen til toppen av sedimentkjernen. Hg har fluktuerende lave konsentrasjoner (0,015-0,024 mg/kg) fra nederst i sedimentkjernen til 18-19 cm dyp. Fra 16-17 cm dyp til toppen av sedimentkjernen øker konsentrasjonen av Hg fra 0,024 til 0,033 mg/kg. ²¹⁰Pb-dateringen indikerer at økning i Hg skjer i siste del av 1800-tallet (Figur 38).

Tabell 9. Sedimentkjerne fra R749 (0-25 cm): minimum, gjennomsnitt, median og maksimumsverdier for tungmetaller, arsen og barium (mg/kg).

Antall prøver		As mg/kg	Ba mg/kg	Cd mg/kg	Cr mg/kg	Cu mg/kg	Hg mg/kg	Ni mg/kg	Pb mg/kg	Zn mg/kg
N = 25	Min.	9,6	223	0,05	19,1	17,0	0,017	22,8	9,3	44,1
	Gjsn.	12,8	325	0,08	24,9	20,4	0,030	31,1	12,8	55,8
	Med.	11,4	333	0,07	25,5	20,5	0,030	30,0	11,4	55,9
	Max.	20,3	375	1,02	28,0	22,3	0,037	55,4	20,3	63,0



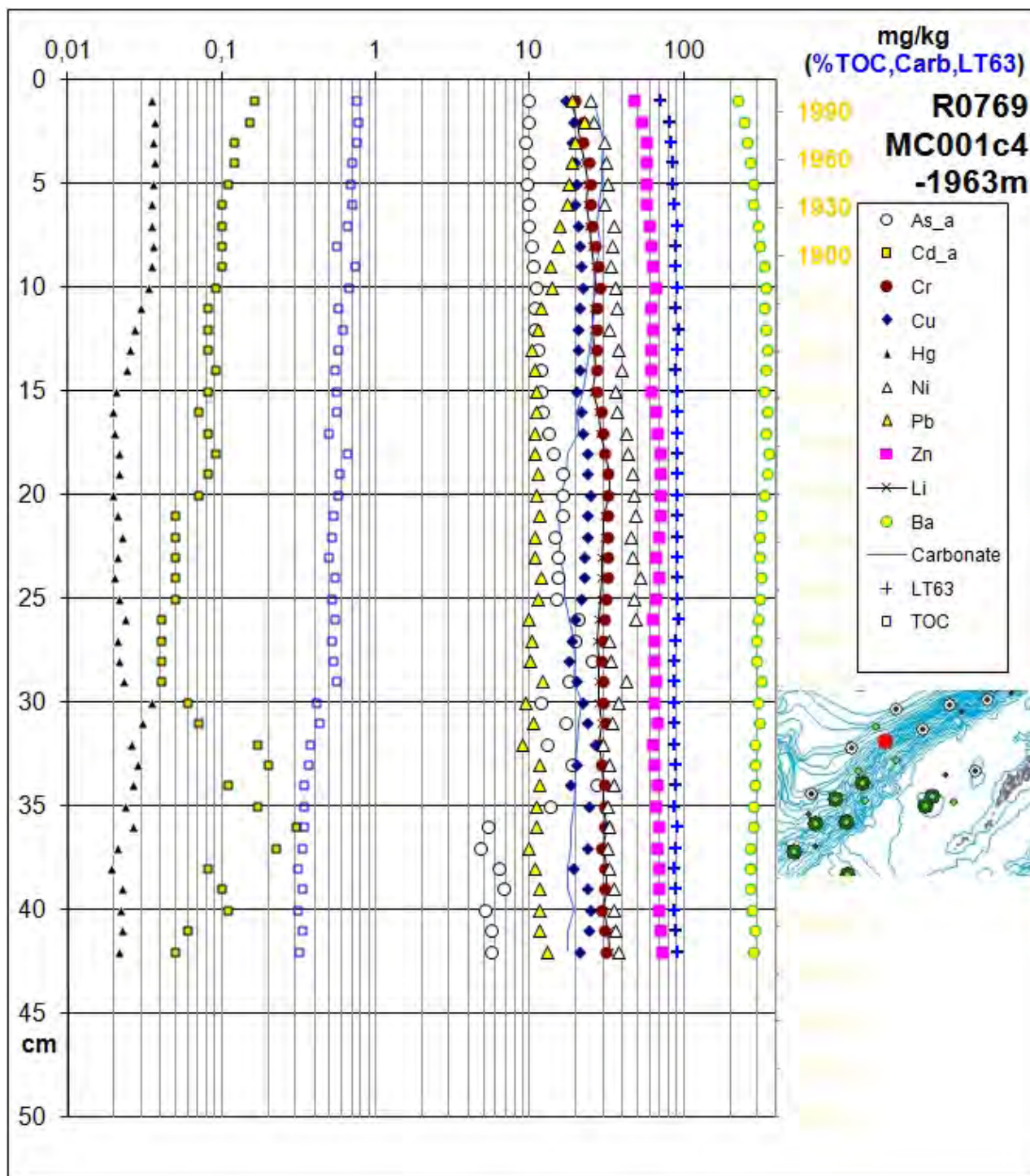
Figur 38. Tungmetall, arsen, barium, TOC, karbonat og finstoff i sedimentkjerne fra R749 (0-25 cm).

R769 – Nordland VI, kontinentalskråningen

Kjernen er 42 cm lang. Andelen av finstoff og TOC øker fra bunnen til toppen (Figur 39). Andel finstoff øker fra 58% til 81% i toppen. Andel TOC øker markant fra 0,25 vekt % nederst til ca. 0,8 vekt % øverst. Metallene Cr, Cu, Ni og Zn har relativt konstante konsentrasjoner gjennom sedimentkjernen. Barium øker fra 149 mg/kg til 284 mg/kg og følger i høy grad andel finstoff. Pb har konstant konsentrasjon på ca. 8-11 mg/kg fra 37 cm til 6-7 cm. Fra 6 cm til toppen av sedimentkjernen øker Pb til mer enn 20 mg/kg. Cd øker markant fra under deteksjonsgrensen (0,02 mg/kg) nederst i sedimentkjernen til 0,15mg/kg øverst. Hg har fluktuerende lave konsentrasjoner (0,015-0,024 mg/kg) fra nederst i sedimentkjernen til 18-19 cm dyp. Fra 16-17 cm dyp til toppen av sedimentkjernen øker konsentrasjonen av Hg fra 0,024 til 0,033 mg/kg. Datering med ²¹⁰Pb indikerer at økningen i både Hg og Pb begynte på slutten av 1800-tallet. ¹⁴C-dateringen fra 5-6 cm i denne sedimentkjernen gir imidlertid en mye høyere alder, 660 år BP (avsnitt 5.4), slik at tidspunktet for økningen i Hg og Pb må tas med forbehold. Årsak til økningen i Hg og Pb mot toppen av sedimentkjernen kan derfor ikke slås entydig fast. Bioturbasjon, forstyrrelser av sedimentasjonen, diagenese og usikkerhet i dateringene må vurderes.

Tabell 10. Sedimentkjerne fra R769 (0-42 cm): minimum, gjennomsnitt, median og maksimumsverdier for tungmetaller, arsen og barium (mg/kg).

Antall prøver		As mg/kg	Ba mg/kg	Cd mg/kg	Cr mg/kg	Cu mg/kg	Hg mg/kg	Ni mg/kg	Pb mg/kg	Zn mg/kg
N = 42	Min.	4,8	225,0	0,04	19,6	16,9	0,019	24,7	11,0	47,0
	Gjsn.	12,6	303,5	0,10	28,6	21,7	0,026	36,9	13,7	64,2
	Med.	11,7	302,5	0,08	29,5	21,2	0,024	35,2	12,2	65,0
	Max.	26,9	354,0	0,30	32,2	31,7	0,039	51,6	23,0	71,3



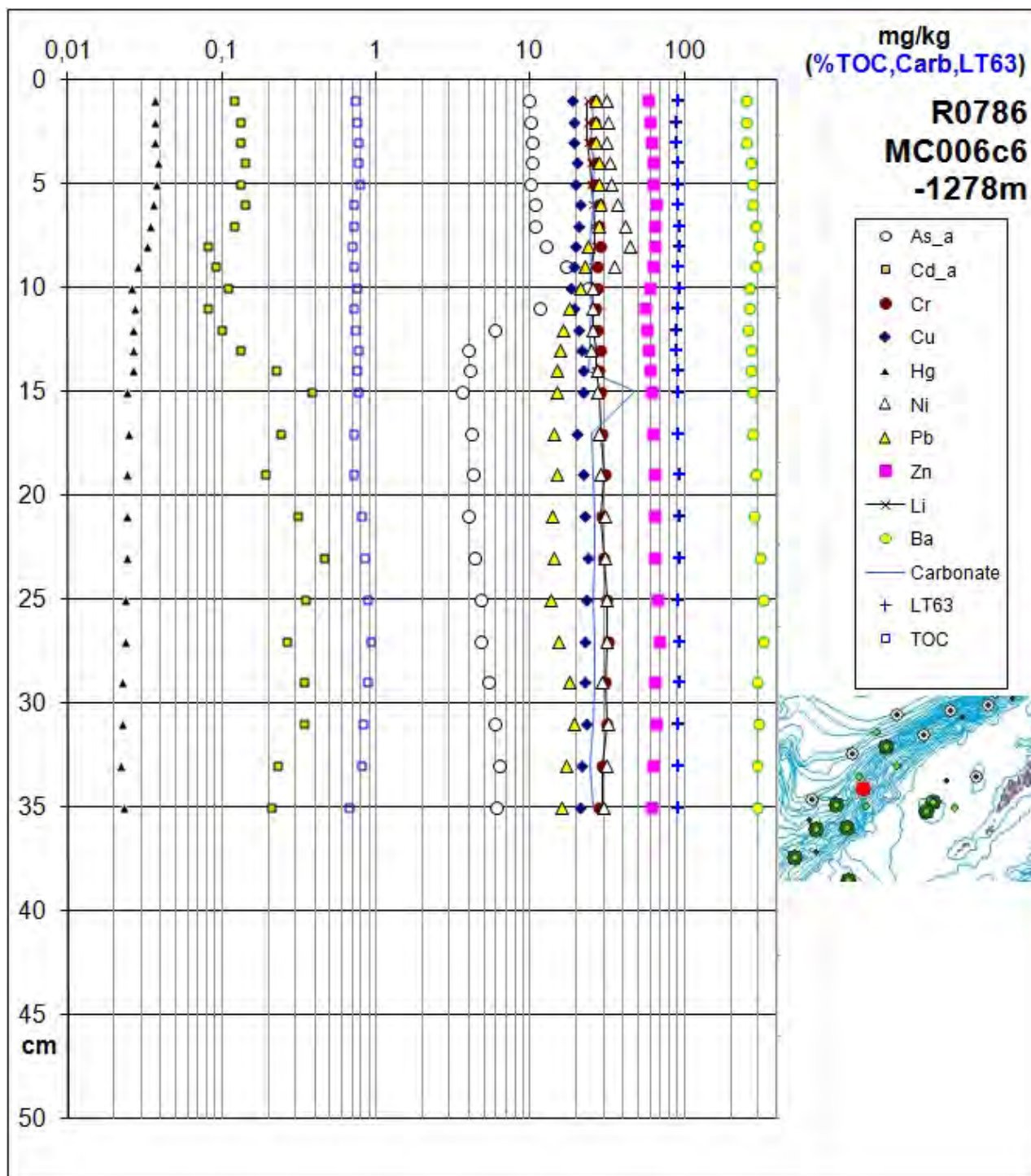
Figur 39. Tungmetall, arsen, barium, TOC, karbonat og finstoff i sedimentkjerne fra R769 (0-42 cm).

R786 – Nordland VI, kontinentalskråningen

Sedimentkjernen er 35 cm lang. Andelen av finstoff og TOC er ganske stabile fra bunnen til toppen (Figur 40). Andel finstoff øker fra 58% til 81% i toppen. Metallene Cr, Cu, Ni og Zn har relativt konstante konsentrasjoner gjennom sedimentkjernen (Figur 40). Barium varierer fra 250-326 mg/kg, og følger i høy grad andel finstoff. Pb har konstant konsentrasjon på 13-15 mg/kg fra 35 cm til 12-13 cm. Derfra øker Pb til maksimalt 28,2 mg/kg 5-6 cm under toppen. Så avtar Pb litt og er 26,4 mg/kg øverst. Cd reduseres markant fra bunnen til toppen av sedimentkjernen, mens den motsatte trend ses for As. Hg har fluktuerende lave konsentrasjoner (0,015-0,024 mg/kg) fra nederst i sedimentkjernen til 18-19 cm dyp. Fra 16-17 cm dyp til toppen av sedimentkjernen øker konsentrasjonen av Hg fra et bakgrunnsnivå på 0,022-0,024 mg/kg ved 14-35 cm opp til 0,037 mg/kg i den øverste delen av sedimentkjernen.

Tabell 11. Sedimentkjerne fra R786 (0-35 cm): minimum, gjennomsnitt, median og maksimumsverdier for tungmetaller, arsen og barium (mg/kg).

Antall prøver		As mg/kg	Ba mg/kg	Cd mg/kg	Cr mg/kg	Cu mg/kg	Hg mg/kg	Ni mg/kg	Pb mg/kg	Zn mg/kg
N = 25	Min.	3,6	250	0,06	25,5	18,4	0,022	24,9	13,5	56,2
	Gjsn.	8,2	283	0,20	28,3	21,0	0,028	31,0	19,7	62,5
	Med.	6,0	279	0,14	28,1	20,9	0,026	30,9	17,8	62,8
	Max.	23,7	326	0,46	31,8	23,8	0,038	44,6	28,2	68,3



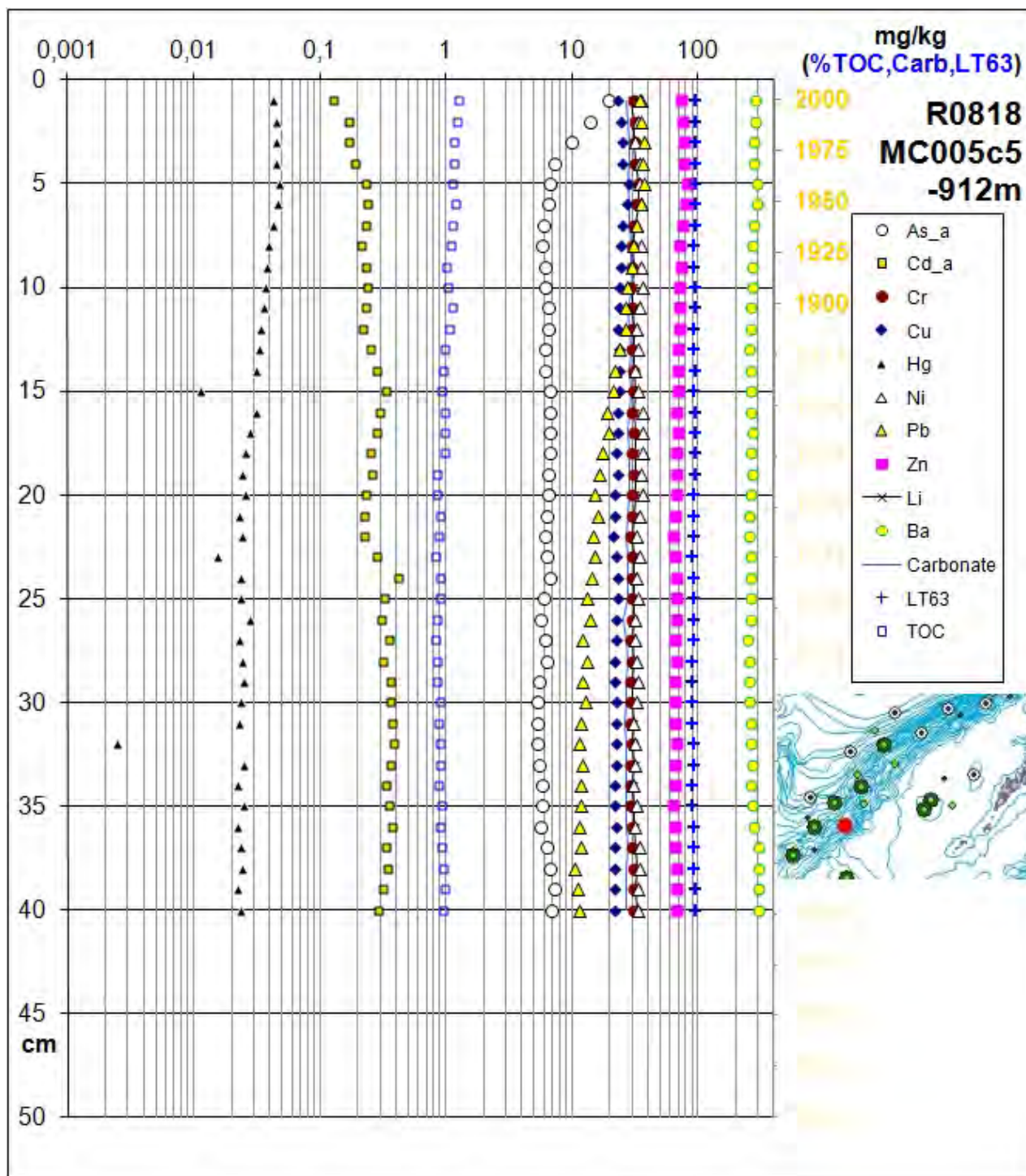
Figur 40. Tungmetall, arsen, barium, TOC, karbonat og finstoff i sedimentkjerne fra R786 (0-35 cm).

R818 – Nordland VI, kontinentalskråningen

Kjernen er 40 cm lang. Andel finstoff er høy (ca. 93%) og TOC øker fra ca. 0,9 til 1,2 vekt % (Figur 41). Metallene Cr, Cu, Ni og Zn har relativt konstante nivåer gjennom hele sedimentkjernen. As øker markant i de øverste 5 cm, fra et relativt konstant nivå på ca. 6 mg/kg til 19,3 mg/kg øverst. Cd minker i den øverste delen av sedimentkjernen. Hg øker fra et bakgrunnsnivå på ca. 0,025 mg/kg i intervallet 17-40 cm til 0,030-0,048 mg/kg i de øverste 17 cm av sedimentkjernen. Det finnes enkelte prøver i sedimentkjernen, hvor det er registrert meget lave Hg nivåer, som ikke følger trenden for øvrig for Hg. Det er uvanlig å se slike anomalier for Hg i sedimentkjerner. For Pb er det en gradvis økning fra 18 cm under toppen til øverst i sedimentkjernen, fra et bakgrunnsnivå på 11-16 mg/kg i intervallet 19-40 cm, til 37,2 mg/kg ved 2-3 cm. Basert på ²¹⁰Pb-dateringen ser det ut til at Hg øker fra midt på 1800-tallet, mens økningen for Pb starter omtrent i samme nivå. Ba har relativt konstant nivå gjennom hele sedimentkjernen.

Tabell 12. Sedimentkjerne R818 (0-40 cm): minimum, gjennomsnitt, median og maksimumsverdier for tungmetaller, arsen og barium (mg/kg).

Antall prøver		As mg/kg	Ba mg/kg	Cd mg/kg	Cr mg/kg	Cu mg/kg	Hg mg/kg	Ni mg/kg	Pb mg/kg	Zn mg/kg
N = 40	Min.	5,3	250,0	0,06	29,0	21,5	0,003	30,4	10,5	63,9
	Gjsn.	6,8	270,1	0,15	30,1	23,2	0,029	33,5	23,2	69,3
	Med.	6,3	265,0	0,12	29,9	22,8	0,025	33,6	19,0	67,5
	Max.	19,3	304,0	0,51	33,2	27,9	0,048	36,2	37,2	83,1



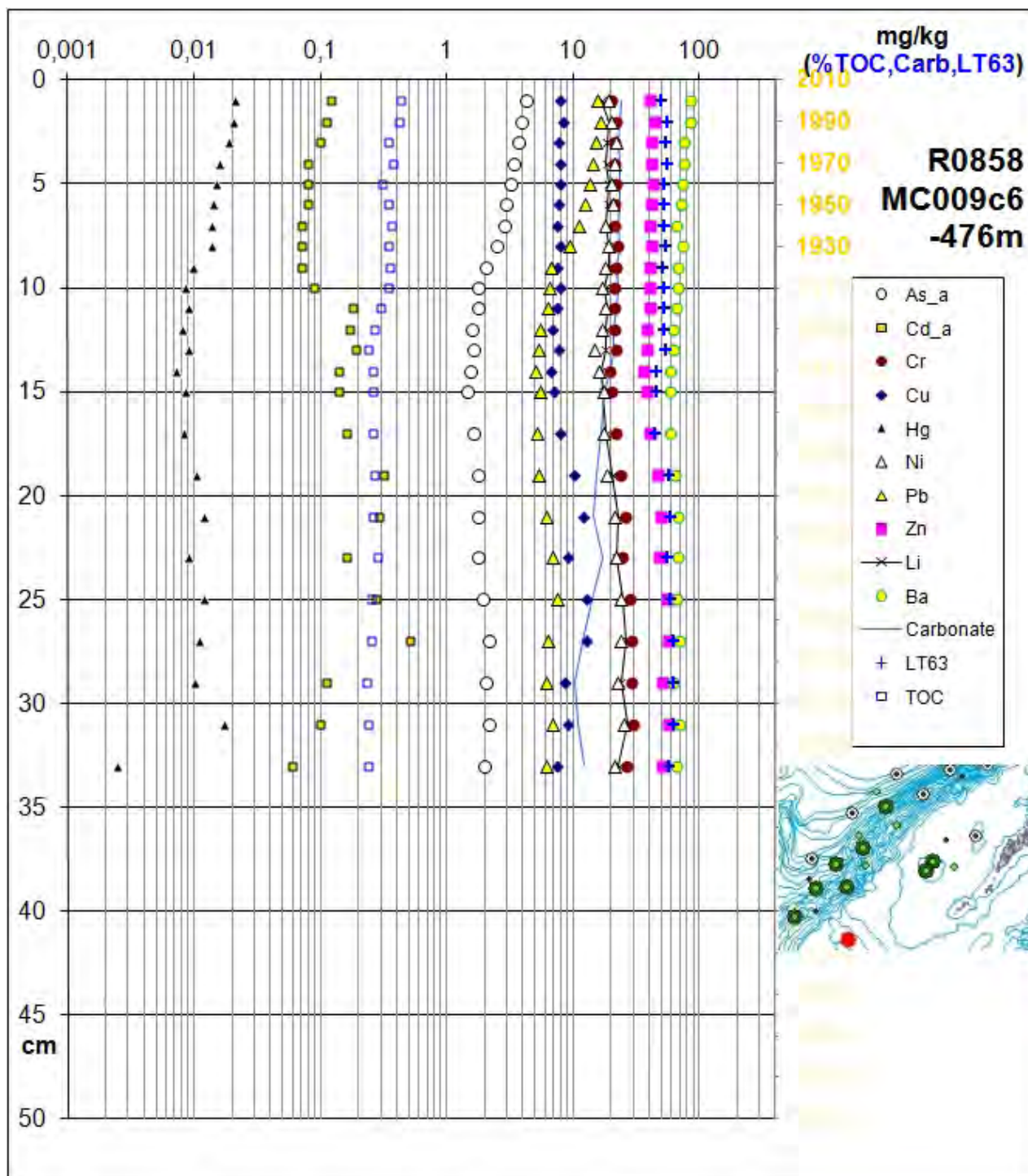
Figur 41. Tungmetall, arsen, barium, TOC, karbonat og finstoff i sedimentkjerne R818MC005 (0-40 cm).

R858 – Nordland VI, kontinentalsokkelen

Den 33 cm lange sedimentkjernen fra kontinentalsokkelen, Nordland VI, har TOC som øker fra ca. 0,25 til 0,5 vekt% fra nederst til øverst i sedimentkjernen. Andel finstoff varierer fra ca. 50% til ca. 60% (Figur 42). Metallene Cr, Cu, Ni og Zn har stabile nivåer gjennom hele sedimentkjernen. As, Hg og Pb øker fra 9 cm mot toppen av sedimentkjernen. Det antas at langtransportert Hg og Pb er årsaken til økningen for de to metallene. Årsaken til økningen i As er mer usikker, men kan skyldes kjemiske prosesser etter sedimentene ble avsatt. Det er markant nedgang i Cd-konsentrasjon mot toppen av sedimentkjernen, motsatt av trenden til As. ²¹⁰Pb-dateringen indikerer at økningen starter ca. 1910-1920, hvilket er noe senere sammenlignet med andre daterte stasjoner både på kontinentalsokkelen og kontinentalskråningen i Nordland VI.

Tabell 13. Sedimentkjerne R858 (0-33 cm): minimum, gjennomsnitt, median og maksimumsverdier for tungmetaller, arsen og barium.

Antall prøver		As mg/kg	Ba mg/kg	Cd mg/kg	Cr mg/kg	Cu mg/kg	Hg mg/kg	Ni mg/kg	Pb mg/kg	Zn mg/kg
N = 24	Min.	1,5	59,1	0,06	19,5	6,6	0,0025	14,7	6,9	35,9
	Gjsn.	2,3	68,2	0,15	23,2	8,5	0,0119	19,7	10,9	44,3
	Med.	2,0	67,2	0,12	21,8	8,0	0,0107	19,5	9,0	41,3
	Max.	4,2	85,1	0,51	29,8	12,9	0,0208	25,1	19,2	57,3



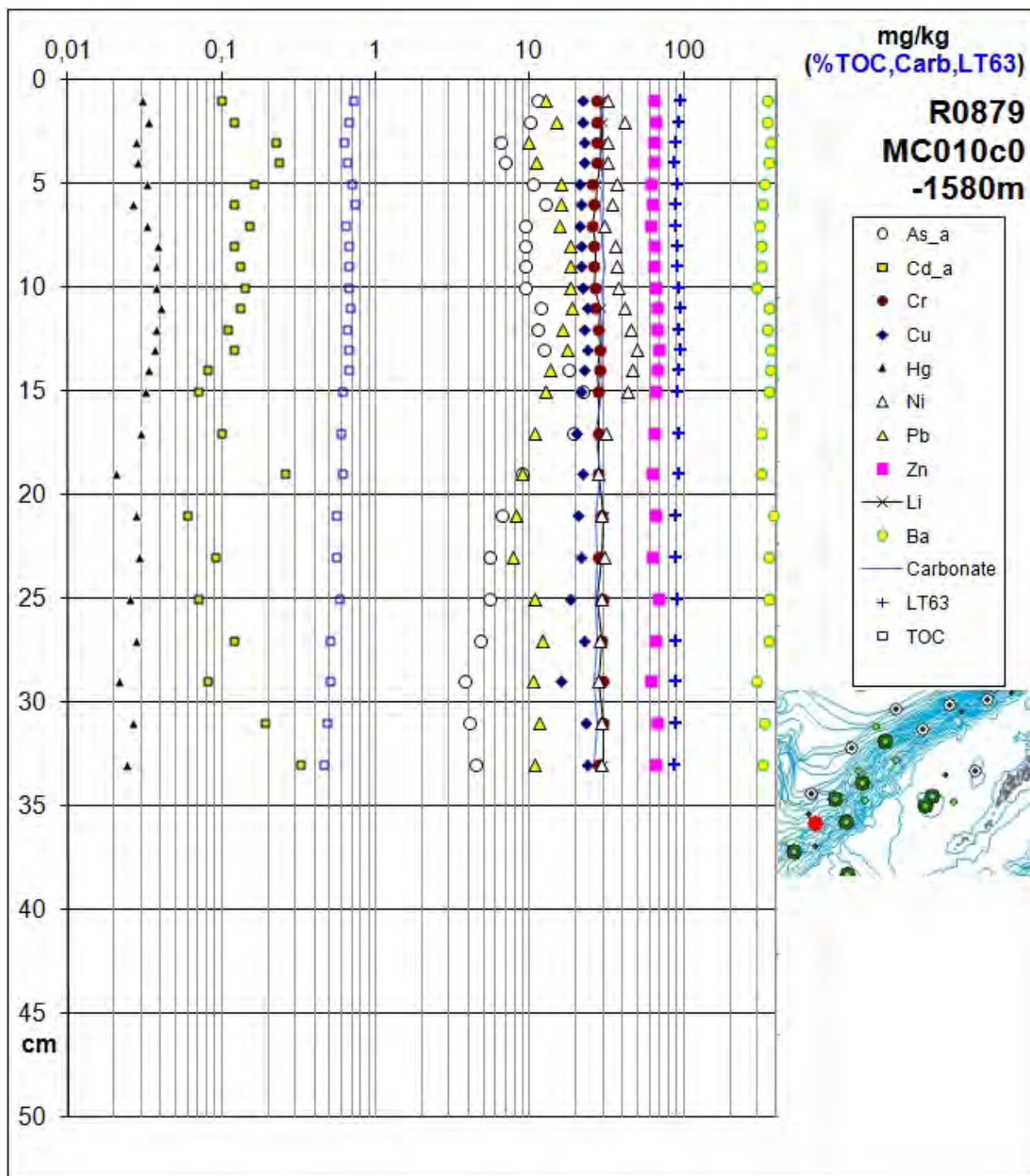
Figur 42. Tungmetall, arsen, barium, TOC, karbonat og finstoff i sedimentkjerne R858MC009 (0-33 cm).

R879 – Nordland VI, kontinentalskråningen

Den 33 cm lange sedimentkjernen fra Nordland VI har TOC som øker fra ca. 0,5 % nederst til ca. 0,7 % øverst, og med en finstoff andel på ca. 90% gjennom hele sedimentkjernen (Figur 43). Cr, Cu, Ni og Zn har relativt konstante konsentrasjoner gjennom hele sedimentkjernen, mens Cd og As er sterkt fluktuerende med motsatte trender, slik det er observert i andre sedimentkjerner. Også Hg og Pb utviser fluktuerende trender gjennom sedimentkjernen. Bakgrunnsnivået for Hg varierer mellom 0,02 og 0,03 mg/kg i den nedre del av sedimentkjernen, for så å øke til ca. 0,04 mg/kg mellom 8 og 13 cm som den høyeste konsentrasjon og heretter reduseres litt øverst. Pb utviser samme tendens til fluktuasjoner. En mulig årsak til fluktuasjonene i Hg og Pb kan være tilførsel av eldre finkornige sedimenter med omtrent samme kornstørrelse og TOC til denne stasjonen.

Tabell 14. Sedimentkjerne R879 (0-33 cm): minimum, gjennomsnitt, median og maksimumsverdier for tungmetaller, arsen og barium (mg/kg).

Antall prøver		As mg/kg	Ba mg/kg	Cd mg/kg	Cr mg/kg	Cu mg/kg	Hg mg/kg	Ni mg/kg	Pb mg/kg	Zn mg/kg
N = 24	Min.	3,8	208,0	0,060	19,2	15,8	0,020	19,0	7,7	48,1
	Gjsn.	9,7	333,8	0,138	27,2	21,6	0,031	34,1	13,6	64,7
	Med.	9,3	350,0	0,120	27,6	21,8	0,031	31,9	12,6	64,5
	Max.	22,1	379,0	0,327	29,8	23,7	0,041	49,4	19,1	69,1



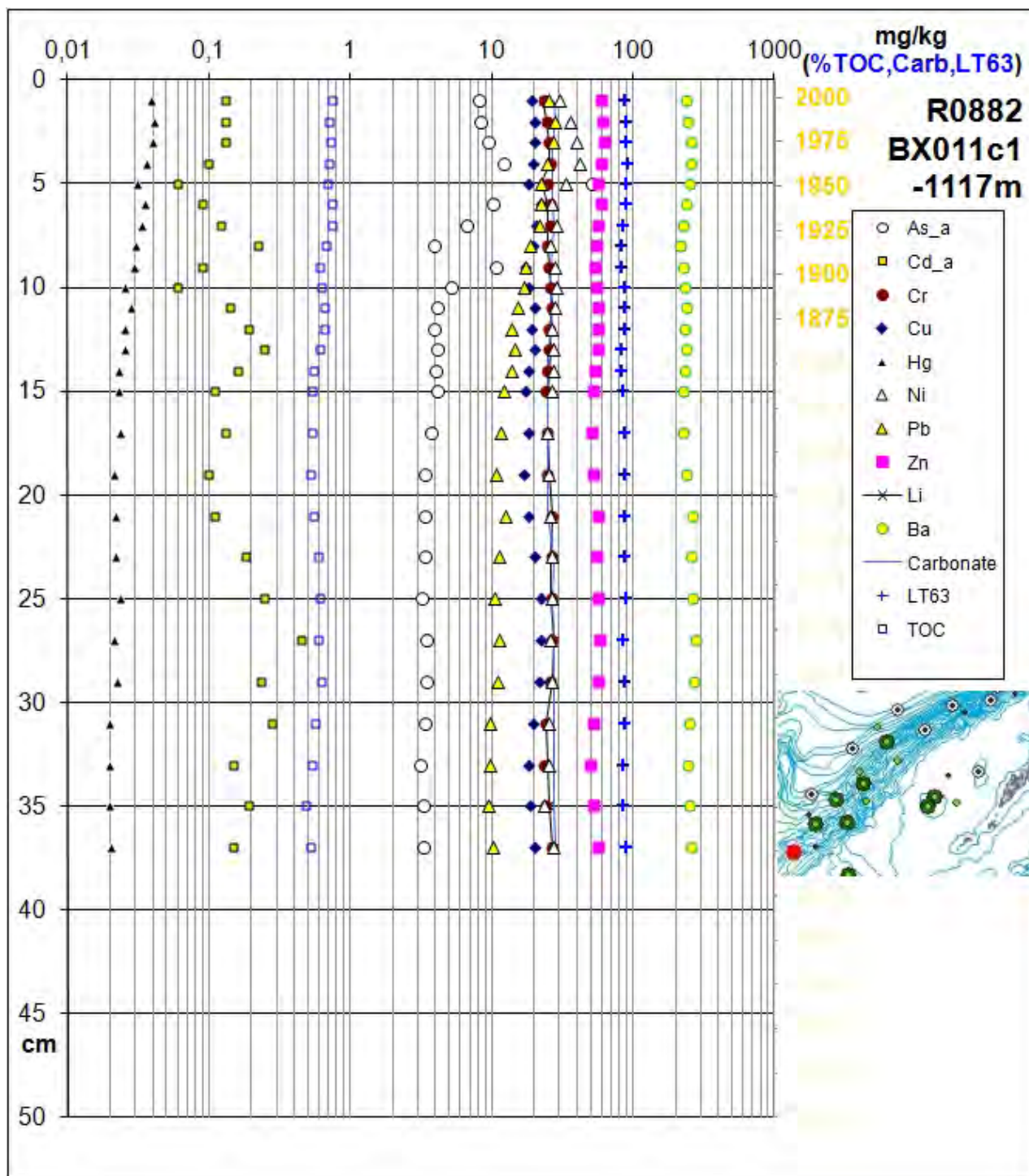
Figur 43. Tungmetall, arsen, barium, TOC, karbonat og finstoff i sedimentkerne R879MC010 (0-33 cm).

R882 – Nordland VI, kontinentalskråningen

Den 37cm lange sedimentkjernen fra kontinentalskråningen i Nordland VI har gradvis økende TOC fra 0,5 % nederst til ca. 0,75 % øverst, mens andel finstoff er relativt konstant (Figur 44). Cr, Cu, Ni, Zn og Ba har relativt konstante nivåer gjennom hele sedimentkjernen. Hg og Pb øker 100-150% fra 12-13 cm til toppen av sedimentkjernen. Cd har markant varierende konsentrasjoner gjennom sedimentkjernen, og As har også en del fluktuasjoner, men med motsatte trender sammenlignet med Cd. Variasjonene skyldes sannsynligvis påvirkning fra tidlig diagenetiske forhold for begge metallene. Basert på ²¹⁰Pb dateringen av sedimentkjernen ser det ut til at økningen i Hg og Pb begynte ca. 1850-1870.

Tabell 15. Sedimentkjerne fra R882 (0-37 cm): minimum, gjennomsnitt, median og maksimumsverdier for tungmetaller, arsen og barium (mg/kg).

Antall prøver		As mg/kg	Ba mg/kg	Cd mg/kg	Cr mg/kg	Cu mg/kg	Hg mg/kg	Ni mg/kg	Pb mg/kg	Zn mg/kg
N = 26	Min.	3,1	216,0	0,060	23,3	17,1	0,020	23,7	10,0	50,2
	Gjsn.	7,0	243,4	0,161	25,2	19,5	0,027	28,3	17,2	56,0
	Med.	4,0	242,0	0,135	25,2	19,5	0,024	26,6	15,2	56,2
	Max.	50,9	276,0	0,452	26,8	22,4	0,042	41,4	29,2	61,9



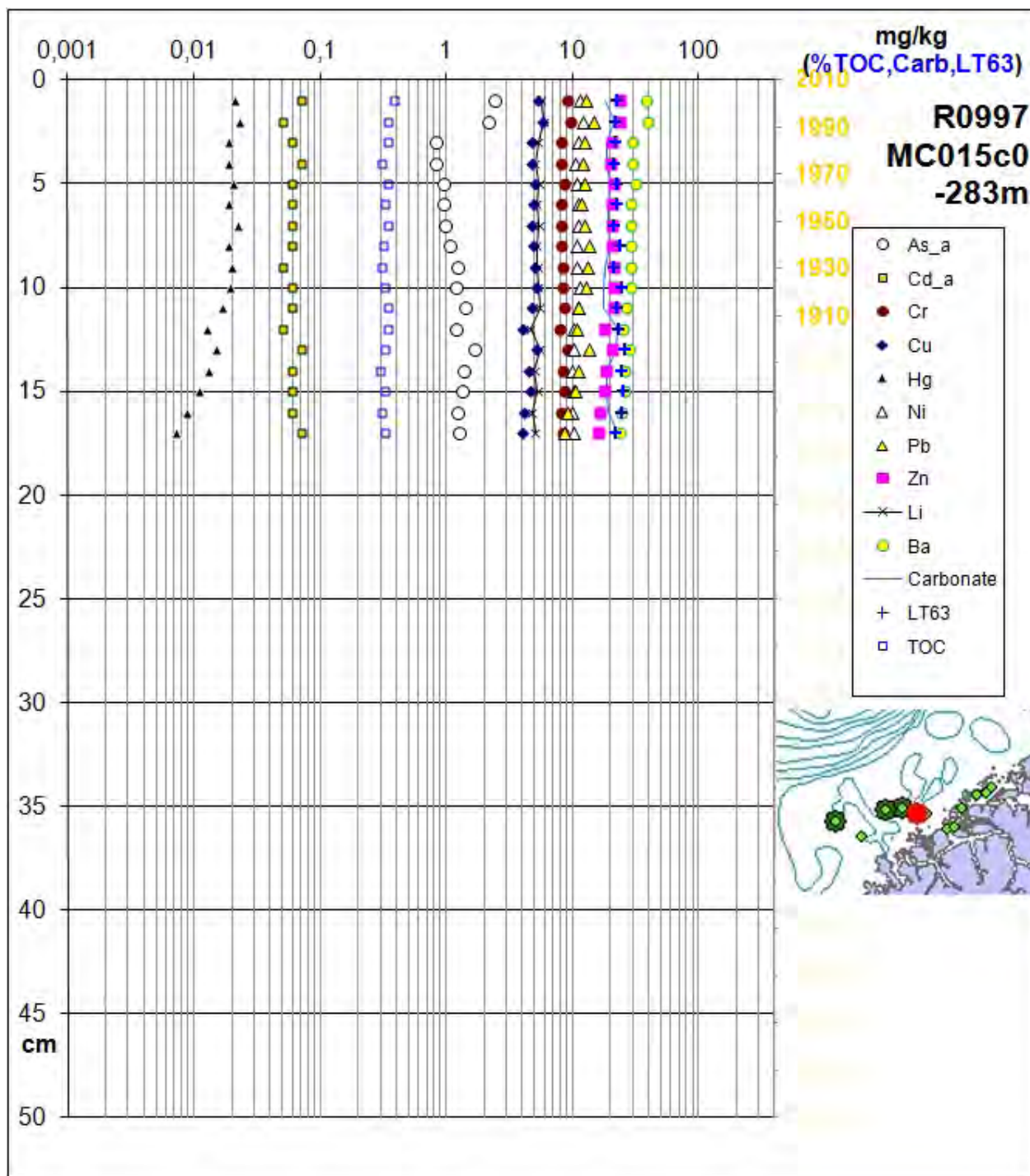
Figur 44. Tungmetall, arsen, barium, TOC, karbonat og finstoff i sedimentkjerne R882BC011 (0-37 cm).

R997 – Mørebankene, kontinentalsokkelen

Sedimentkjernen på 17 cm har en andel finstoff som varierer mellom ca. 20% og 30%. TOC varierer fra 0,3 til 0,4 vekt % (Figur 45). Cd, Cr, Cu, Ni, Zn og Ba har relativt konstante nivåer. Hg øker fra ca. 16-17 cm og når et forholdsvis konstant nivå på ca. 0,020 mg/kg fra ca. 10 cm. Pb øker moderat i samme nivå som Hg. Sedimentkjernen er såpass kort at det ikke er mulig å vurdere hvorvidt den nederste delen utgjør det naturlige bakgrunnsnivå. ²¹⁰Pb-dateringen indikerer at økning i Hg og Pb begynner på slutten av 1800-tallet.

Tabell 16. Sedimentkjerne R997 (0-17 cm): minimum, gjennomsnitt, median og maksimumsverdier for tungmetaller, arsen og barium (mg/kg).

Antall prøver		As mg/kg	Ba mg/kg	Cd mg/kg	Cr mg/kg	Cu mg/kg	Hg mg/kg	Ni mg/kg	Pb mg/kg	Zn mg/kg
N = 17	Min.	0,83	23,9	0,050	7,9	4,0	0,0073	9,9	7,9	15,9
	Gjsn.	1,30	29,1	0,061	8,4	4,8	0,0168	10,7	12,5	20,2
	Med.	1,22	28,9	0,060	8,3	4,8	0,0187	10,7	13,1	20,8
	Max.	2,42	39,1	0,070	9,6	5,8	0,0230	12,2	15,2	24,1



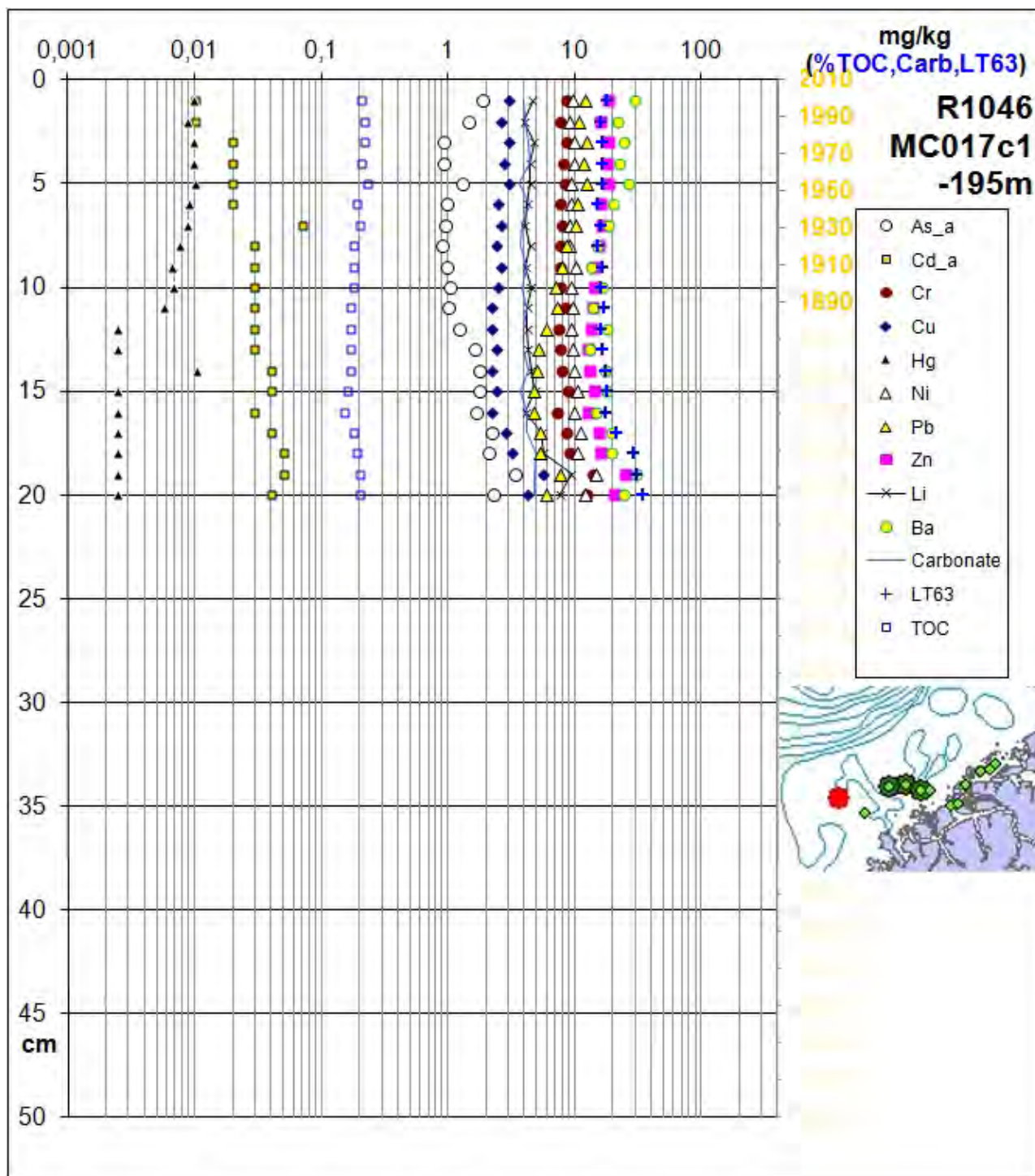
Figur 45. Tungmetall, arsen, barium, TOC, karbonat og finstoff i sedimentkjerne R997MC015 (0-17 cm).

R1046 – Mørebankene, kontinentalsokkelen

Den 20 cm lange sedimentkjernen har en finstoffandel på ca. 20% i de øverste 16 cm, og noe høyere andel i de nederste 4 cm. TOC utgjør ca. 0,2 vekt % gjennom hele sedimentkjernen (Figur 46). Metallene Cr, Cu, Ni og Zn har relativt konstante og lave konsentrasjoner, med høyest konsentrasjoner nederst. Dette kan sannsynligvis tilskrives den større andel av finstoff nederst i sedimentkjernen. Hg-nivåene er under deteksjonsgrensen på 0,005 mg/kg ved 15-20 cm og 11-13 cm. Det er en svak økning i Hg konsentrasjon fra 11 cm (0,006 mg/kg) opp til 5 cm (0,010 mg/kg). Pb har tilsvarende økning fra 12 cm til 5 cm fra ca. 4 mg/kg til ca. 11 mg/kg. ²¹⁰Pb-dateringen indikerer at Hg og Pb økningene finner sted ved slutten av 1800-tallet. Økningen i Hg fra nederst i sedimentkjernen (under deteksjonsgrensen) til ca. 0,010 mg/kg skyldes sannsynligvis menneskelig tilførsel. Det virkelige bakgrunnsnivå nederst i sedimentkjernen (12-20 cm) er ikke etablert fordi analyseresultatene er under deteksjonsgrensen (Figur 46).

Tabell 17. Sedimentkjerne R1046MC017 (0-20 cm): minimum, gjennomsnitt, median og maksimumsverdier for tungmetaller, arsen og barium (mg/kg).

Antall prøver		As mg/kg	Ba mg/kg	Cd mg/kg	Cr mg/kg	Cu mg/kg	Hg mg/kg	Ni mg/kg	Pb mg/kg	Zn mg/kg
N = 20	Min.	0,91	13,3	0,010	7,3	2,2	0,0025	9,1	3,7	12,7
	Gjsn.	1,52	19,9	0,032	8,6	2,8	0,0062	10,1	7,3	16,2
	Med.	1,38	19,0	0,030	8,0	2,6	0,0067	9,8	6,7	15,7
	Max.	3,41	30,8	0,070	14,1	5,7	0,0105	14,8	12,0	25,0



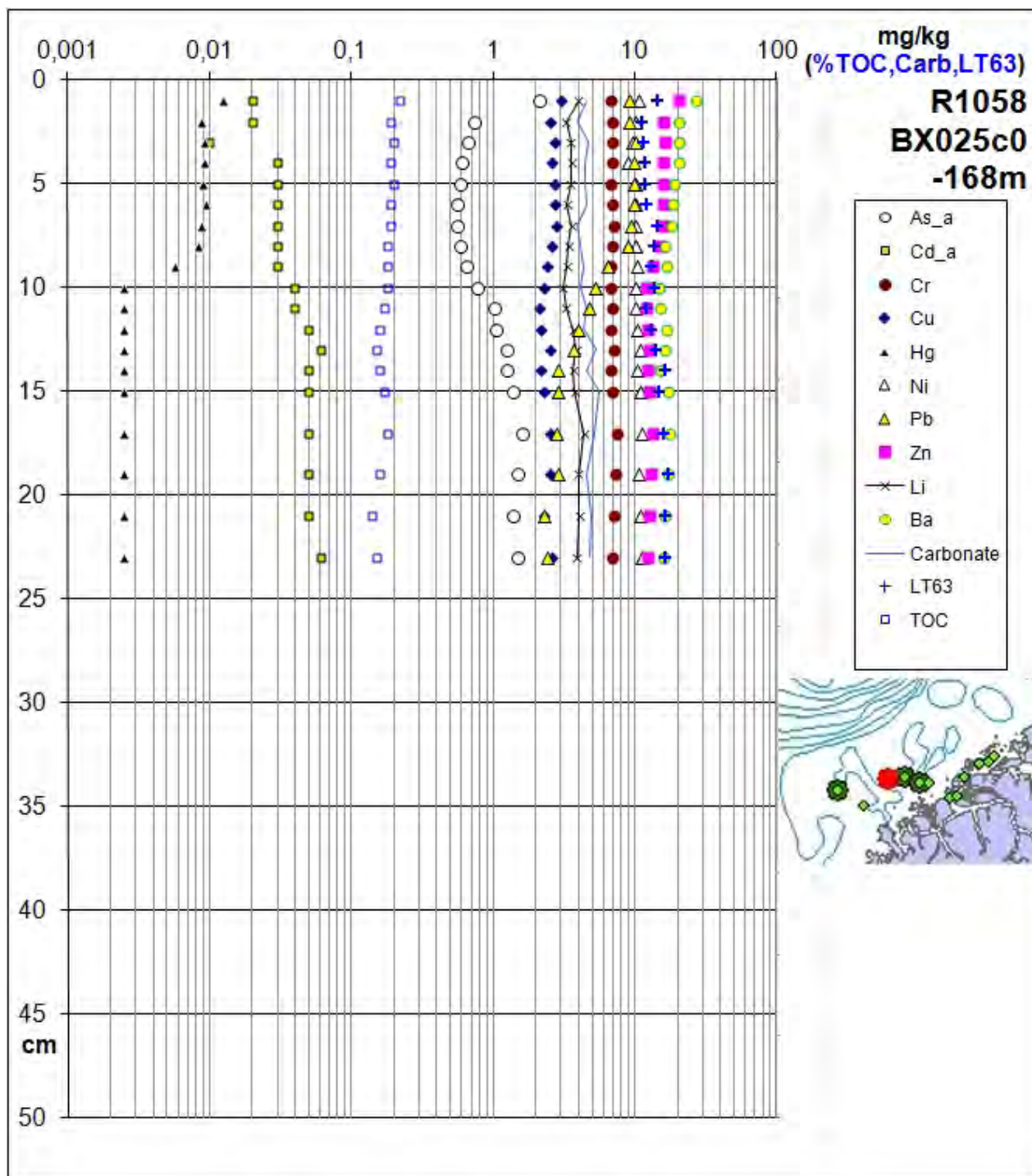
Figur 46. Tungmetall, arsen, barium, TOC, karbonat og finstoff i sedimentkjerne R1046MC017 (0- 20 cm).

R1058 – Mørebankene, kontinentalsokkelen

Den 23 cm lange sedimentkjernen har en finstoffandel på ca. 10-17 %. TOC utgjør 0,14-0,2 vekt % gjennom hele sedimentkjernen (Figur 47). Metallene Cr, Cu, Ni og Zn har relativt konstante og lave konsentrasjoner, med høyest konsentrasjoner nederst. Hg-nivåene er under deteksjonsgrensen på 0,005 mg/kg sediment ved 10-23 cm (Figur 46). Det er en økning i Hg konsentrasjon fra 0,006 mg/kg (8-9 cm) til ca. 0,010 mg/kg i de øverste 7 cm. Pb har tilsvarende økning fra et bakgrunnsnivå på 2-3 mg/kg nederst til 9-10 mg/kg øverst med en gradvis økning fra 12-13 cm. For både Hg og Pb tilskrives økningen primært menneskelig tilførsel.

Tabell 18. Sedimentkjerne R1058BX025 (0-23 cm): minimum, gjennomsnitt, median og maksimumsverdier for tungmetaller, arsen og barium (mg/kg).

Antall prøver		As mg/kg	Ba mg/kg	Cd mg/kg	Cr mg/kg	Cu mg/kg	Hg mg/kg	Ni mg/kg	Pb mg/kg	Zn mg/kg
N = 19	Min.	0,55	14,9	0,01	6,7	2,1	0,0025	8,9	2,3	12,0
	Gjsn.	1,04	17,8	0,04	7,0	2,5	0,0055	10,4	6,1	14,2
	Med.	1,03	17,1	0,04	6,9	2,5	0,0025	10,4	5,3	13,4
	Max.	2,04	26,7	0,06	7,5	3,0	0,0125	11,2	10,0	20,7



Figur 47. Tungmetall, arsen, barium, TOC, karbonat og finstoff i sedimentkjerne R1058BX025 (0- 23 cm).

6. OPPSUMMERING

Metall- og arsenkonsentrasjonene i overflatesedimentene er generelt lave, tilsvarende klasse I for kyst- og fjordsedimenter, med unntak av enkelte stasjoner fra kontinentalskråningen i Nordland VI, hvor Pb og Ni har nivåer tilsvarende tilstandsklasse II. Prøvene fra Finnmark og Mørebankene har alle lave metall- og As-konsentrasjoner. Vigrafjorden har Pb i konsentrasjon tilsvarende Klasse II. For Ni er det 4 stasjoner på kontinentalskråningen i Nordland VI der det er registrert Ni tilsvarende Klasse II (30-46 mg/kg). Ni-nivåene vurderes utelukkende å stamme fra naturlig forekommende Ni i sedimentene. Dette er basert på stabile Ni-nivåer registrert i samtlige analyserte sedimentkjerner. TBT-analyser av overflateprøver fra 11 stasjoner fra Finnmark, Nordland VI, Mørebankene og fjordprøver fra Mørekysten er alle under deteksjonsgrensen på 1 µg/g sediment tørrvekt.

Analyserte sedimentkjerner viser følgende generelle trekk: Det er stabile konsentrasjoner av Cr, Cu, Ni og Zn i stort sett alle sedimentkjerner. Disse metallene vurderes å stamme utelukkende fra naturlige geologiske kilder. As og Cd har varierende konsentrasjoner i flere av sedimentkjernene, og ofte med motsatte trender, slik at når As-konsentrasjonen øker, minker Cd-konsentrasjonen, og omvendt. Hg og Pb følger samme trender i de fleste analyserte sedimentkjernene. De dypeste prøvene har vanligvis lavest Hg- og Pb-konsentrasjoner, tilsvarende det naturlige bakgrunnsnivået. Bakgrunnsnivået varierer noe avhengig av innhold av finstoff og TOC, men er typisk 0,01 mg/kg for Hg og 10 mg/kg for Pb. Høyere oppe i sedimentkjernene øker innholdet av begge metallene. Typisk vil Hg ha økt til 2-3 ganger bakgrunnsnivå øverst, mens Pb vil ha økt 2 ganger noen få cm under toppen og deretter avta litt øverst. Økningen er registrert i Finnmark, Nordland VI og Mørebankene. Økningene i Hg og Pb tilskrives menneskelig tilførsel som er endt opp i sedimentene via havstrømmer og atmosfærisk tilførsel. Dateringene som er gjort med ^{210}Pb indikerer at økningen av Hg og Pb i sedimentkjernene starter enten sent på 1800-tallet eller tidlig på 1900-tallet. Økningen skyldes sannsynligvis økte utslipp i forbindelse med den industrielle utvikling siden 1800-tallet. En viss nedgang i Pb øverst i de fleste sedimentkjernene kan sannsynligvis knyttes til slutten på bruk av blyholdig bensin i mange industrialiserte land fra 1970-tallet. På enkelte stasjoner på kontinentalskråningen i Nordland VI gir både Hg og Pb-trendene inntrykk av at det skjer en resedimentasjon av eldre sedimenter med lavere Hg- og Pb-konsentrasjoner enn sedimenter fra nyere tid typisk vil ha.

Datering av til sammen 9 sedimentkjerner med ^{210}Pb og ^{137}Cs har gitt lineære sedimentasjonsrater som varierer mellom 0,7 og 1,3 millimeter/år. ^{14}C -datering av en prøve (5-6 cm) fra R769 fra kontinentalskråningen i Nordland VI ga en alder på 660 år B.P. Resultatet fra ^{14}C -dateringen bekrefter at det er utfordrende å få fram korrekte avsetningsrater, spesielt på kontinentalskråningen, og at sedimentasjonsrater basert kun på ^{210}Pb og ^{137}Cs kan være for høye.

7. REFERANSER

- Braastad, G. 2000: Kort innføring i toksikologi – økotoksikologisk risikovurdering – veiledning – Del IIA. SFT-rapport TA 1756, 46 sider.
- Bøe R., Dolan M., Thorsnes T., Lepland A., Olsen H., Totland O. & Elvenes S. 2010: Standard for geological seabed mapping offshore. NGU-rapport 2010.033, 15 sider.
- Carroll, J., Zaborska, A., Papucci, C., Schirone, A., Carroll, M.L., Pempkowiak, J. 2008. Accumulation of organic carbon in western Barents Sea sediments. *Deep Sea Research II*, 55, 2361-2371.
- Dehairs, F., Chesselet, R., and Jedwab, J., 1980. Discrete suspended particles of barite and the barium cycle in the ocean. *Earth Planetary Science Letters*, vol. 49, s. 528 – 550.
- Jensen, H.K.B., Knies, J., Finne, T.E. & Thorsnes, T. 2007: MAREANO 2006 - miljøgeokjemiske resultater fra Tromsøflaket, Ingøydjupet og Sørøysundet, NGU-rapport 2007.059, 249 sider inkl. vedlegg.
- Jensen, H.K.B., Knies, J., Finne, T.E. & Thorsnes, T. 2008: MAREANO 2007 - miljøgeokjemiske resultater fra Troms II og Troms III, NGU-rapport 2008.077, 253 sider inkl. vedlegg.
- Jensen, H.K.B., Knies, J., Finne, T.E. & Thorsnes, T. 2009: MAREANO 2008 – miljøgeokjemiske resultater fra havområdene utenfor Lofoten – Troms, NGU-rapport 2009.057, 31sider inkl. CD med vedlegg.
- Jensen, H.K.B., Knies, J., Finne, T.E. & Thorsnes, T. 2010a: MAREANO 2009 – miljøgeokjemiske resultater fra Eggakanten, NGU-rapport 2010.016, 31 sider inkl. CD med vedlegg.
- Jensen H. K. B., Knies J., Finne, T.E. & Thorsnes, T. 2010b: MAREANO 2009 –miljøgeokjemiske resultater fra Eggakanten, Tromsøflaket og Nordland VII, NGU-rapport 2010.063, 36 sider inkl. CD med vedlegg.
- Jensen H. K. B., Finne T. E. og Thorsnes T., 2011. MAREANO 2010 – miljøgeokjemiske resultater av overflatesedimenter fra områder utenfor Finnmark, Troms III og Nordland VI. NGU-rapport 2011.052, 22 sider og vedlegg.
- Jensen H. K. B., Knies J., Finne T. E. og Thorsnes T., 2013. Miljøkjemiske data og dateringsresultater fra 4 sedimentkjerner i Nordkapptransektet, Troms III og Nordland VI. 28 sider og vedlegg,.
- Knies, J., Jensen, H.K.B., Finne, T.E., Lepland, A. & Sæther, O. M. 2006: Sediment composition and heavy metal distribution in Barents Sea surface samples: Results from Institute of Marine Research 2003 and 2004 cruises. NGU-report 2006.067, 1-35.
- Lepland, A., Sæther O. M. & Thorsnes T. 2000: Accumulation of barium in recent Skagerrak sediments: sources and distribution control. *Marine Geology*, vol. 163, s. 13 – 26.
- Maiti, K., Carroll, J., Benitez-Nelson, C.R.B. 2010. Sedimentation and particle dynamics in the seasonal ice zone of the Barents Sea. *Journal of Marine Systems*, 79, 185-198.
- MAREANO 2012: Årsrapport, 21 sider. www.mareano.no.
- Molvær, J., Knutzen, J., Magnusson, J., Rygg, B., Skei, J. & Sørensen, J. 1997: Klassifisering av miljøkvalitet i fjorder og kystvann. Veiledning. SFT-rapport 97:03, TA-1467, 36 sider.

- Nuernberg C. C., Bohrmann G., Schlueter M. og Frank M., 1997. Barium accumulation in the Atlantic sector of the Southern Ocean. Results from 190,000-year records. *Paleoceanography*. Vol. 12 (4), s. 594 – 603.
- Olsgård F. and Gray J., 1995. A comprehensive analysis of the effects of offshore oil and gas exploration and production on the benthic communities of the Norwegian continental shelf. *Marine Ecology Progress Series*, vol. 122, pp. 277 – 306.
- Rye H., 1996. Miljøeffekter av utslipp fra borekjemikalier. Rapport fra OLF. IKU Petroleumsforskning. Rapport nr. 42.4053.00/01/96. 98 sider.
- SFT 2007: Veileder for klassifisering av miljøkvalitet i fjorder og kystfarvann. Revidering av klassifisering av metaller og organiske miljøgifter i vann og sedimenter. SFT-veileder 2229, 11 sider.
- Sværen, I., 2013. Cs-137 aktivitet i sediment og datering av kjernar i Mareano-prosjektet. HI-rapport 2013.
- Sæther O. M., Faye G., Thorsnes T., Rise L., Longva O. and Bøe R., 1996. Regional distribution of manganese, phosphorus, heavy metals, barium, and carbon in sea-bed sediments (0-2 cm) from the northern part of the Norwegian Skagerrak. *Geological Survey of Norway Bull.*, no. 430, p. 103-112.
- Thorsnes T. and Klungsøyr J., 1997. Contamination of Skagerrak sediments due to man-made inputs during the last 200 years. In: O. Longva and T. Thorsnes (Editors), *Skagerrak in the past and at the present - an integrated study of geology, chemistry, hydrography and microfossil ecology*. Geological Survey of Norway. Special Publication, vol. 8, p. 52-79.

Vedlegg 1

Prøveliste og analyseresultater. Kornstørrelsesfordeling (Coulter analyse), Leco (total S, total C og organisk C), HNO₃-ekstrahert og analysert med AAS (Hg, As, Cd, Pb, Se, Sn) og ICP-AES (30 elementer). Naturlige standarder Hynne og Nordkyn er inkludert i prøvelistene.

INSTRUMENT: Coulter LS 200

METODE: Metodeoppsettet er beskrevet i NGU-SD 5.11: Kornfordelingsanalyser: Coulter laser partikkelteller.

Kornfordelingsbestemmelse basert på laserdiffraksjon. Laserlys brytes i ulike vinkler avhengig av størrelsen på partiklene, og registreres så av en rekke detektorer. De registrerte vinklene tilsvarer gitte partikkelstørrelser, og antall partikler er relatert til den intensiteten som den korresponderende detektoren registrerer. Kornfordelingen bestemmes således på volum-basis, med antagelse om ens tetthet på materialet vil kumulativ volum% være identisk med kumulativ masse%. Beregning på volum/masse-basis er basert på antagelse om sfæriske partikler.

MÅLEOMRÅDE : 0.4 µm - 2000 mm

NB ! Metoden normaliserer alle data i måleområdet til sum 100 % (kumulativ %).

Måleområdet går kun ned til 0.4 µm og dette settes som nullpunkt mhp. kumulativ %.

Prøvene kan derfor inneholde materiale finere enn 0.4 µm.

ANALYSEUSIKKERHET: ± 10 % [kumulativ masse(volum) %] Usikkerheten er oppgitt med dekningsfaktor 2, tilsvarende et konfidensintervall på 95 %

Bestemmelse av usikkerhet er basert på sammenligning av oppnådde resultater med sertifikatverdier for kvartsstandard BCR-131, samt presisjonsdata.

MERK! Metoden tar utgangspunkt i antagelse om sfæriske partikler. For prøver som avviker fra dette kan usikkerheten være større.

PRESISJON: Det analyseres rutinemessig kontrollprøver som føres i kontrolldiagram (X-diagram). Disse kan forevises om ønskelig.

FORBEHANDLING: Ingen

ANTALL PRØVER: 205

ANMERKNINGER: Data for fraksjoner >2000 µm er fremkommet ved gravimetrisk bestemmelse.
Sikting over 2mm omfattes ikke akkreditering.

Gjengivelse av analysedata skal skje på en slik måte at meningsinnholdet i rapporten ikke endres.

Ferdig analysert

11-mar-13

Wieslawa Koziel

Dato

OPERATØR

INSTRUMENT: Coulter LS 200

METODE: Metodeoppsettet er beskrevet i NGU-SD 5.11: Kornfordelingsanalyser: Coulter laser partikkelteller.

Kornfordelingsbestemmelse basert på laserdiffraksjon. Laserlys brytes i ulike vinkler avhengig av størrelsen på partiklene, og registreres så av en rekke detektorer. De registrerte vinklene tilsvarer gitte partikkelstørrelser, og antall partikler er relatert til den intensiteten som den korresponderende detektoren registrerer. Kornfordelingen bestemmes således på volum-basis, med antagelse om ens tetthet på materialet vil kumulativ volum% være identisk med kumulativ masse%. Beregning på volum/masse-basis er basert på antagelse om sfæriske partikler.

MÅLEOMRÅDE : 0.4 µm - 2000 mm

NB ! Metoden normaliserer alle data i måleområdet til sum 100 % (kumulativ %).

Måleområdet går kun ned til 0.4 µm og dette settes som nullpunkt mhp. kumulativ %.

Prøvene kan derfor inneholde materiale finere enn 0.4 µm.

ANALYSEUSIKKERHET: ± 10 % [kumulativ masse(volum) %]

Usikkerheten er oppgitt med dekningsfaktor 2, tilsvarende et konfidensintervall på 95 %

Bestemmelse av usikkerhet er basert på sammenligning av oppnådde resultater med sertifikatverdier for kvartstandard BCR-131, samt presisjonsdata.

MERK! Metoden tar utgangspunkt i antagelse om sfæriske partikler. For prøver som avviker fra dette kan usikkerheten være større.

PRESISJON: Det analyseres rutinemessig kontrollprøver som føres i kontrolldiagram (X-diagram). Disse kan forevises om ønskelig.

FORBEHANDLING: Ingen

ANTALL PRØVER: 219

ANMERKNINGER: Data for fraksjoner >2000 µm er fremkommet ved gravimetrisk bestemmelse.

Gjengivelse av analysedata skal skje på en slik måte at meningsinnholdet i rapporten ikke endres.

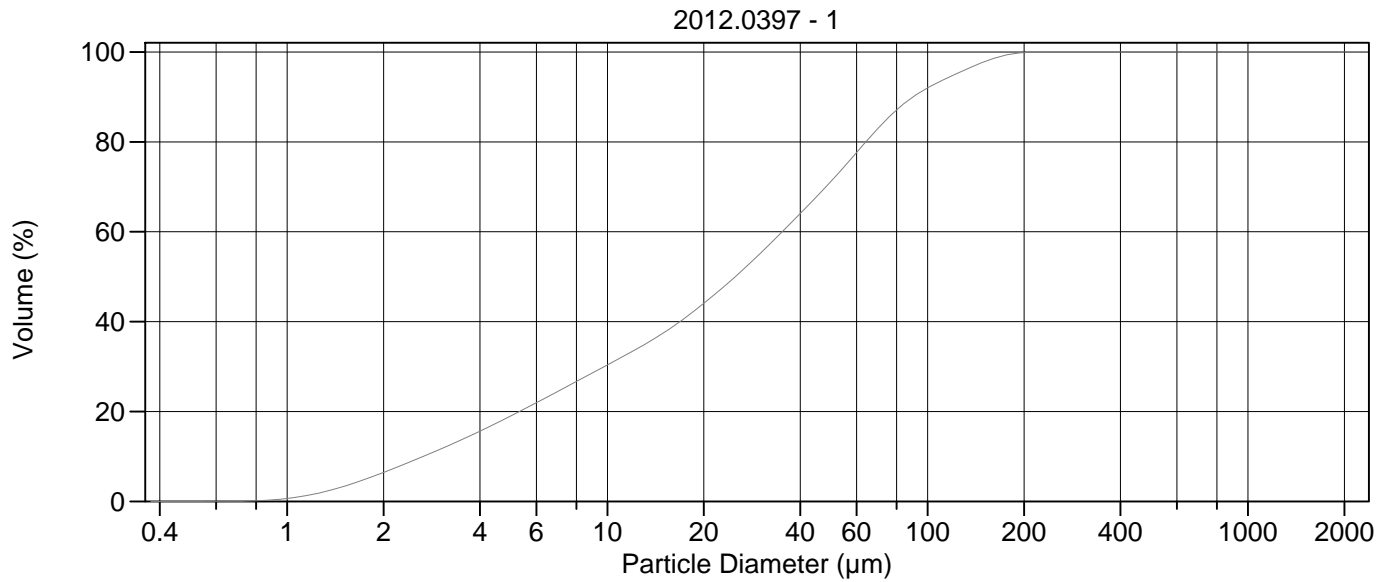
Ferdig analysert

18-apr-13

Wieslawa Koziel

Dato

OPERATØR



Volume Statistics (Arithmetic)

1#.\$02

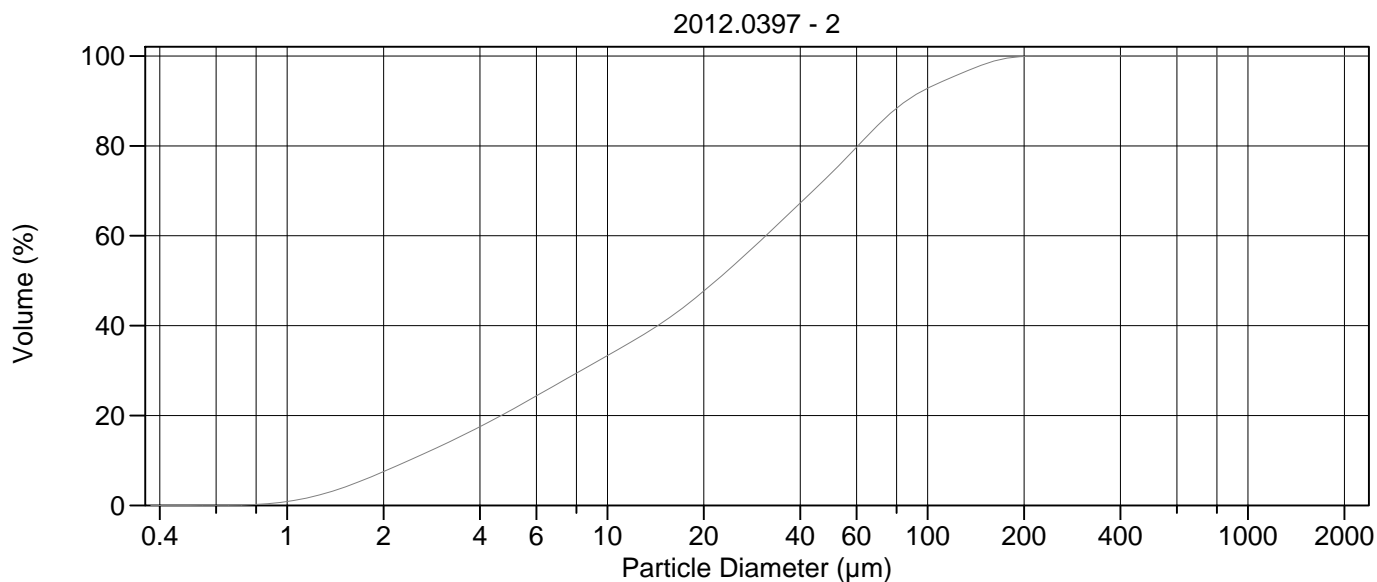
Calculations from 0.375 μm to 2000 μm

Volume	100.0%		
Mean:	37.63 μm	95% Conf. Limits:	0-113.4 μm
Median:	25.06 μm	S.D.:	38.68 μm
D(3,2):	7.964 μm	Variance:	1496 μm^2
Mean/Median Ratio:	1.501	C.V.:	103%
Mode:	60.52 μm	Skewness:	1.530 Right skewed
d ₁₀ :	2.659 μm	Kurtosis:	2.290 Leptokurtic
d ₅₀ :	25.06 μm		
d ₉₀ :	89.99 μm		
Specific Surf. Area	7534 cm^2/ml		

% <	10	25	50	75	90
Size μm	2.659	7.226	25.06	55.76	89.99

1#.\$02

Particle Diameter μm	Volume % <	Particle Diameter μm	Volume % <
2.000	6.45	1000	100
5.000	19.0	2000	100
10.00	30.4		
15.00	37.5		
20.00	44.1		
50.00	71.2		
60.00	77.6		
63.00	79.4		
70.00	83.1		
75.00	85.2		
90.00	90.0		
125.0	95.4		
200.0	99.9		
250.0	100.0		
400.0	100		
500.0	100		



Volume Statistics (Arithmetic) 2.\$02

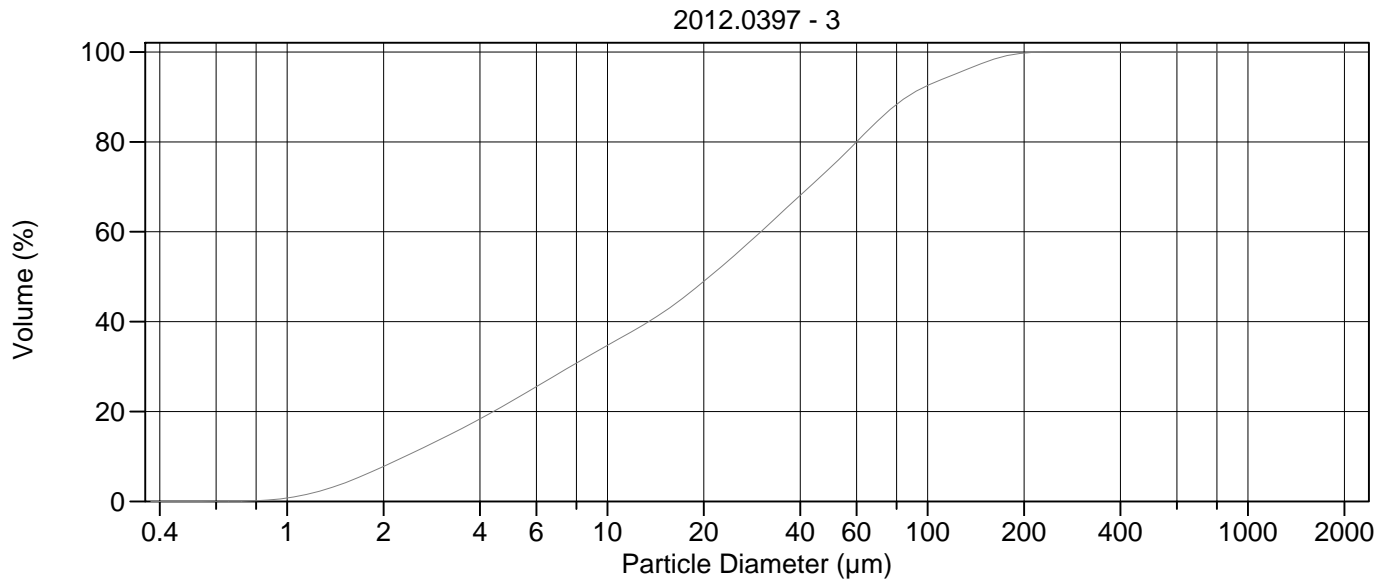
Calculations from 0.375 μm to 2000 μm

Volume	100.0%		
Mean:	34.96 μm	95% Conf. Limits:	0-108.4 μm
Median:	21.84 μm	S.D.:	37.46 μm
D(3,2):	7.203 μm	Variance:	1403 μm^2
Mean/Median Ratio:	1.601	C.V.:	107%
Mode:	60.52 μm	Skewness:	1.611 Right skewed
d ₁₀ :	2.401 μm	Kurtosis:	2.562 Leptokurtic
d ₅₀ :	21.84 μm		
d ₉₀ :	85.71 μm		
Specific Surf. Area	8330 cm^2/ml		

% <	10	25	50	75	90
Size μm	2.401	6.225	21.84	51.80	85.71

2.\$02

Particle Diameter μm	Volume % <	Particle Diameter μm	Volume % <
2.000	7.52	1000	100
5.000	21.2	2000	100
10.00	33.3		
15.00	40.9		
20.00	47.7		
50.00	73.9		
60.00	79.7		
63.00	81.3		
70.00	84.7		
75.00	86.7		
90.00	91.0		
125.0	95.9		
200.0	99.9		
250.0	100.0		
400.0	100		
500.0	100		



Volume Statistics (Arithmetic) 3.\$02

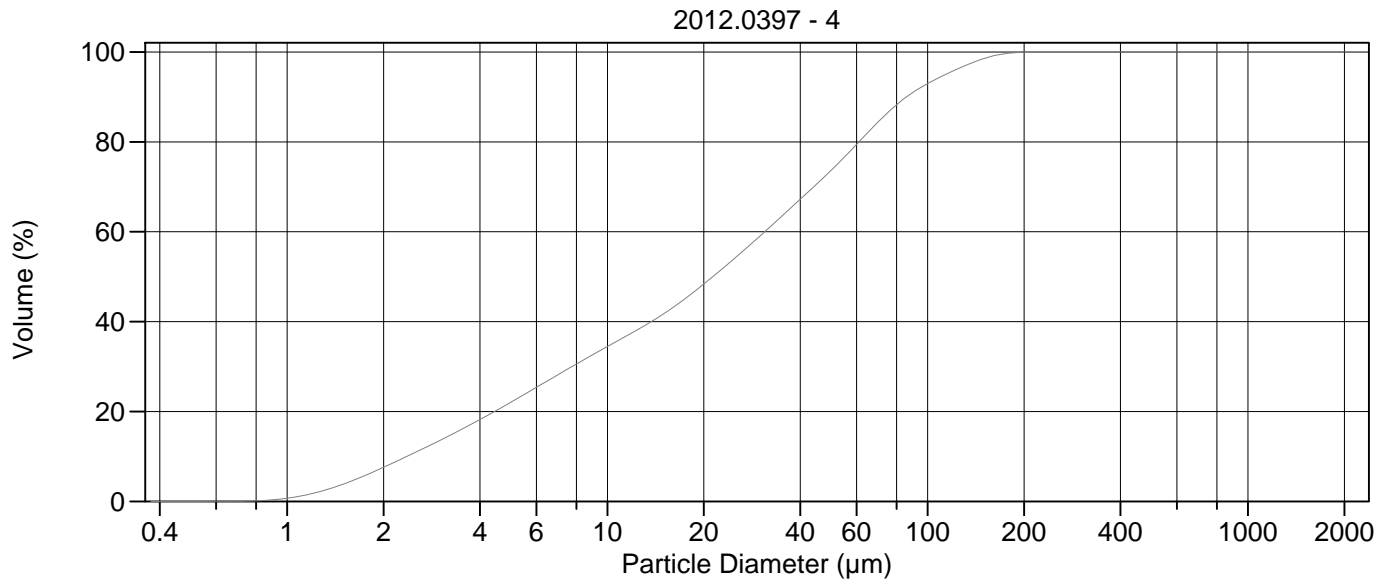
Calculations from 0.375 μm to 2000 μm

Volume	100.0%		
Mean:	34.87 μm	95% Conf. Limits:	0-111.1 μm
Median:	20.82 μm	S.D.:	38.90 μm
D(3,2):	7.019 μm	Variance:	1513 μm^2
Mean/Median Ratio:	1.675	C.V.:	112%
Mode:	60.52 μm	Skewness:	1.745 Right skewed
d ₁₀ :	2.333 μm	Kurtosis:	3.140 Leptokurtic
d ₅₀ :	20.82 μm		
d ₉₀ :	86.19 μm		
Specific Surf. Area	8548 cm^2/ml		

% <	10	25	50	75	90
Size μm	2.333	5.834	20.82	50.96	86.19

3.\$02

Particle Diameter μm	Volume % <	Particle Diameter μm	Volume % <
2.000	7.79	1000	100
5.000	22.2	2000	100
10.00	34.7		
15.00	42.2		
20.00	49.0		
50.00	74.4		
60.00	80.0		
63.00	81.5		
70.00	84.8		
75.00	86.7		
90.00	90.8		
125.0	95.4		
200.0	99.8		
250.0	100.0		
400.0	100		
500.0	100		



Volume Statistics (Arithmetic) 4.\$02

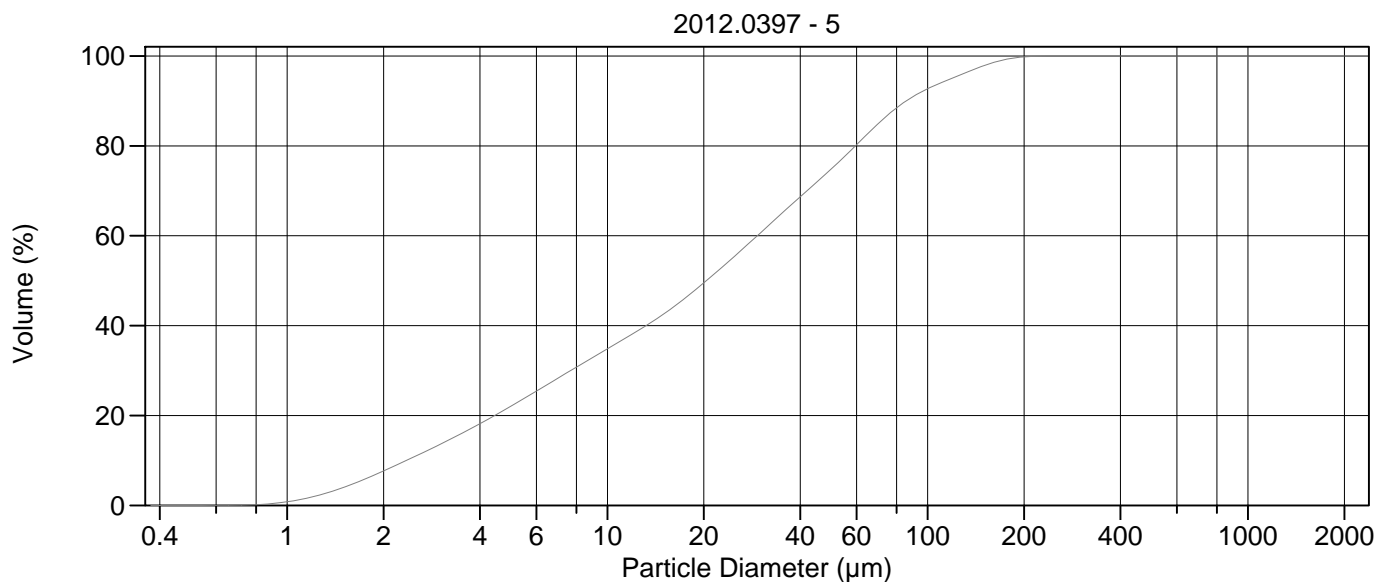
Calculations from 0.375 μm to 2000 μm

Volume	100.0%		
Mean:	34.53 μm	95% Conf. Limits:	0-106.6 μm
Median:	21.34 μm	S.D.:	36.74 μm
D(3,2):	7.111 μm	Variance:	1350 μm^2
Mean/Median Ratio:	1.618	C.V.:	106%
Mode:	60.52 μm	Skewness:	1.514 Right skewed
d ₁₀ :	2.365 μm	Kurtosis:	2.102 Leptokurtic
d ₅₀ :	21.34 μm		
d ₉₀ :	85.86 μm		
Specific Surf. Area	8438 cm^2/ml		

% <	10	25	50	75	90
Size μm	2.365	5.882	21.34	52.21	85.86

4.\$02

Particle Diameter μm	Volume % <	Particle Diameter μm	Volume % <
2.000	7.59	1000	100
5.000	22.1	2000	100
10.00	34.5		
15.00	41.7		
20.00	48.4		
50.00	73.7		
60.00	79.4		
63.00	81.0		
70.00	84.4		
75.00	86.5		
90.00	91.0		
125.0	96.3		
200.0	100.0		
250.0	100.0		
400.0	100		
500.0	100		



Volume Statistics (Arithmetic) 5.\$02

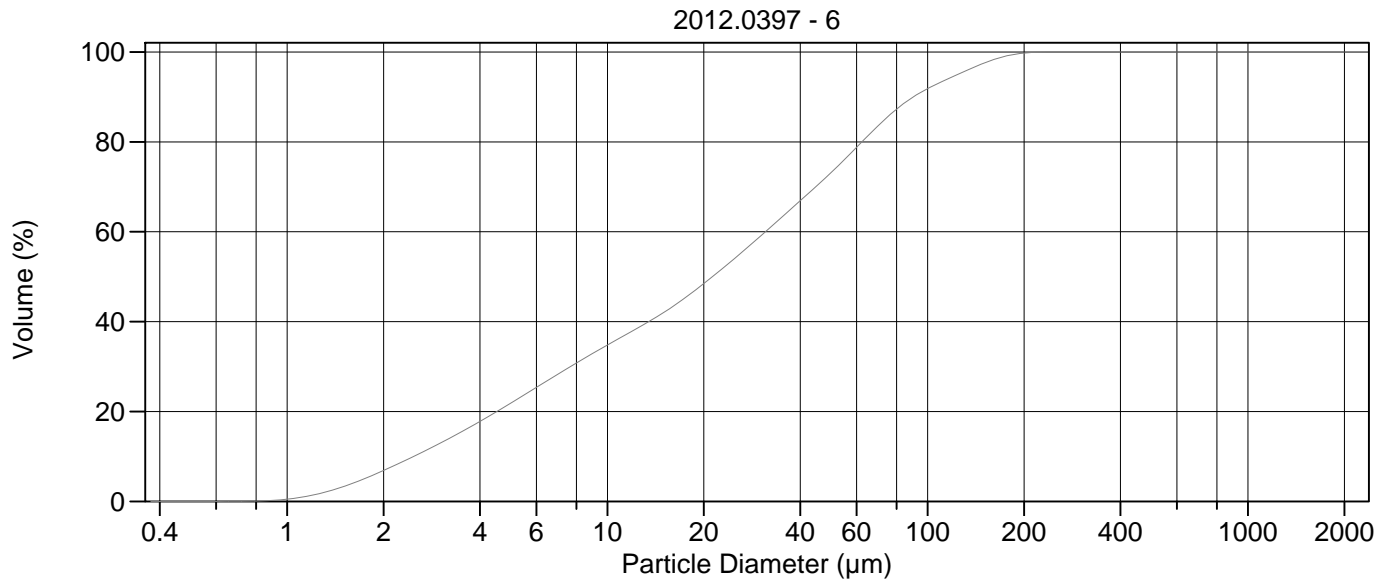
Calculations from 0.375 µm to 2000 µm

Volume	100.0%		
Mean:	34.37 µm	95% Conf. Limits:	0-109.4 µm
Median:	20.36 µm	S.D.:	38.28 µm
D(3,2):	7.023 µm	Variance:	1465 µm ²
Mean/Median Ratio:	1.688	C.V.:	111%
Mode:	60.52 µm	Skewness:	1.727 Right skewed
d ₁₀ :	2.358 µm	Kurtosis:	3.040 Leptokurtic
d ₅₀ :	20.36 µm		
d ₉₀ :	85.69 µm		
Specific Surf. Area	8543 cm ² /ml		

% <	10	25	50	75	90
Size µm	2.358	5.872	20.36	50.28	85.69

5.\$02

Particle Diameter µm	Volume % <	Particle Diameter µm	Volume % <
2.000	7.67	1000	100
5.000	22.1	2000	100
10.00	34.8		
15.00	42.6		
20.00	49.5		
50.00	74.8		
60.00	80.2		
63.00	81.8		
70.00	84.9		
75.00	86.8		
90.00	91.0		
125.0	95.7		
200.0	99.8		
250.0	100.0		
400.0	100		
500.0	100		



Volume Statistics (Arithmetic) 6.\$02

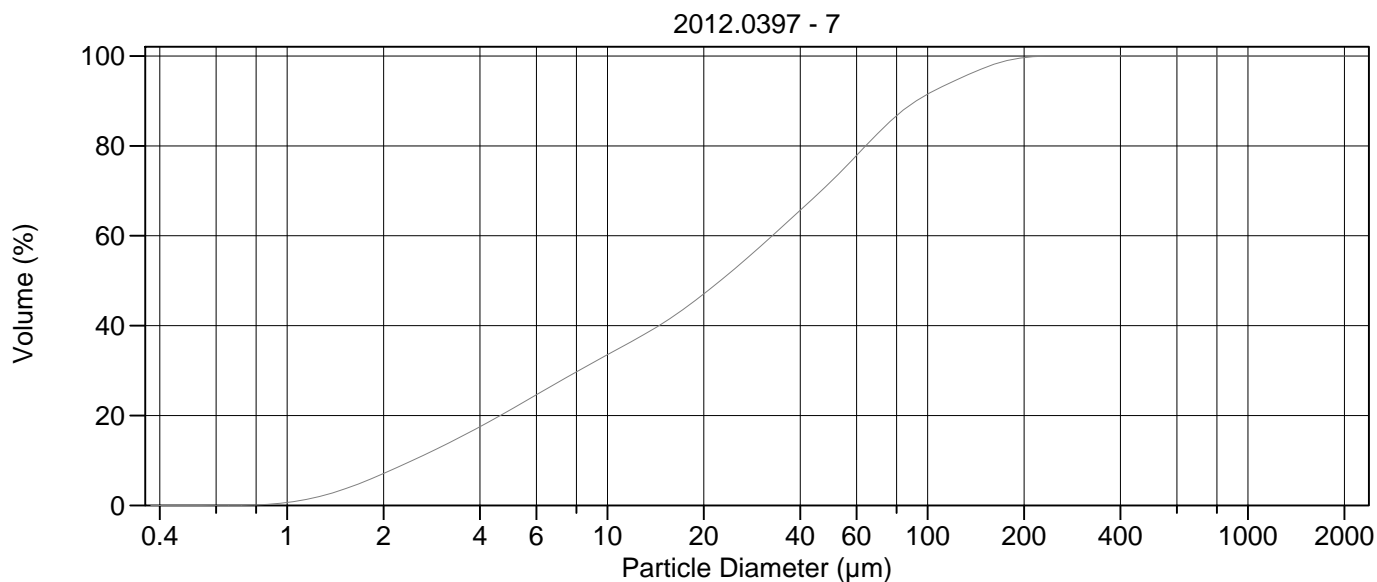
Calculations from 0.375 μm to 2000 μm

Volume	100.0%		
Mean:	35.94 μm	95% Conf. Limits:	0-114.0 μm
Median:	21.28 μm	S.D.:	39.81 μm
D(3,2):	7.345 μm	Variance:	1585 μm^2
Mean/Median Ratio:	1.689	C.V.:	111%
Mode:	60.52 μm	Skewness:	1.666 Right skewed
d ₁₀ :	2.483 μm	Kurtosis:	2.726 Leptokurtic
d ₅₀ :	21.28 μm		
d ₉₀ :	90.24 μm		
Specific Surf. Area	8169 cm^2/ml		

% <	10	25	50	75	90
Size μm	2.483	5.895	21.28	53.14	90.24

6.\$02

Particle Diameter μm	Volume % <	Particle Diameter μm	Volume % <
2.000	6.88	1000	100
5.000	21.9	2000	100
10.00	34.8		
15.00	42.0		
20.00	48.5		
50.00	73.2		
60.00	78.8		
63.00	80.3		
70.00	83.6		
75.00	85.6		
90.00	89.9		
125.0	95.1		
200.0	99.7		
250.0	100.0		
400.0	100		
500.0	100		



Volume Statistics (Arithmetic) 7.\$02

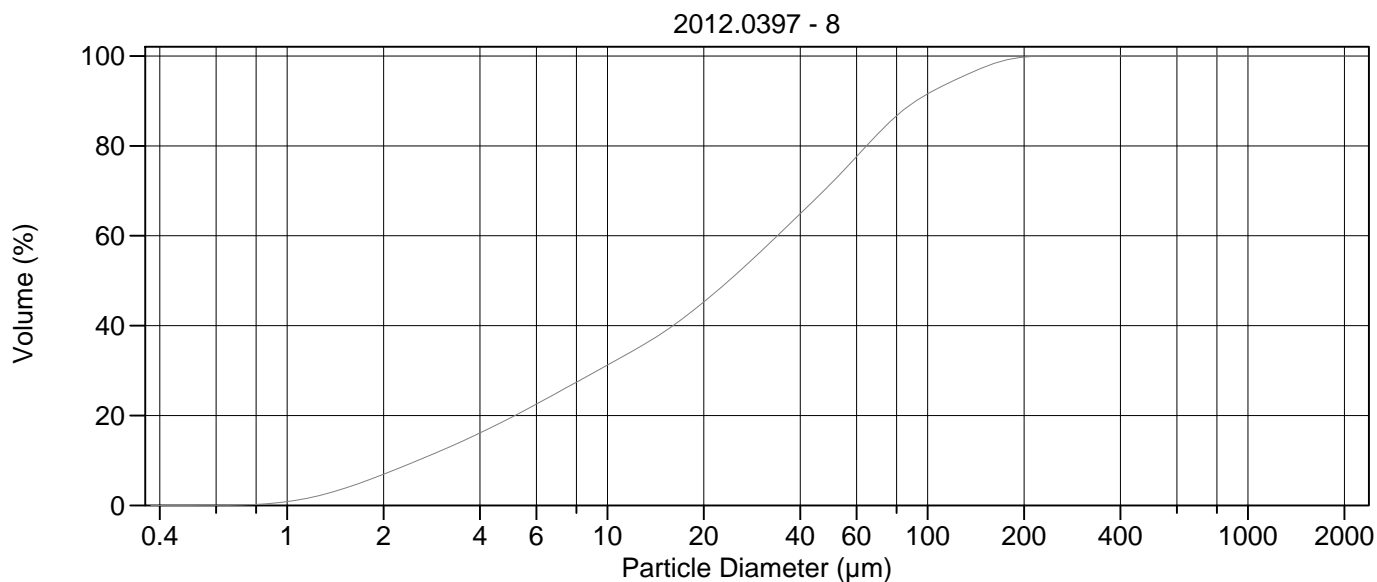
Calculations from 0.375 μm to 2000 μm

Volume	100.0%		
Mean:	37.07 μm	95% Conf. Limits:	0-116.6 μm
Median:	22.51 μm	S.D.:	40.59 μm
D(3,2):	7.384 μm	Variance:	1648 μm^2
Mean/Median Ratio:	1.647	C.V.:	110%
Mode:	60.52 μm	Skewness:	1.662 Right skewed
d ₁₀ :	2.464 μm	Kurtosis:	2.814 Leptokurtic
d ₅₀ :	22.51 μm		
d ₉₀ :	91.93 μm		
Specific Surf. Area	8126 cm^2/ml		

% <	10	25	50	75	90
Size μm	2.464	6.134	22.51	54.91	91.93

7.\$02

Particle Diameter μm	Volume % <	Particle Diameter μm	Volume % <
2.000	7.09	1000	100
5.000	21.3	2000	100
10.00	33.5		
15.00	40.7		
20.00	47.1		
50.00	72.1		
60.00	77.8		
63.00	79.5		
70.00	82.9		
75.00	84.9		
90.00	89.5		
125.0	94.9		
200.0	99.6		
250.0	100.0		
400.0	100		
500.0	100		



Volume Statistics (Arithmetic) 8.\$02

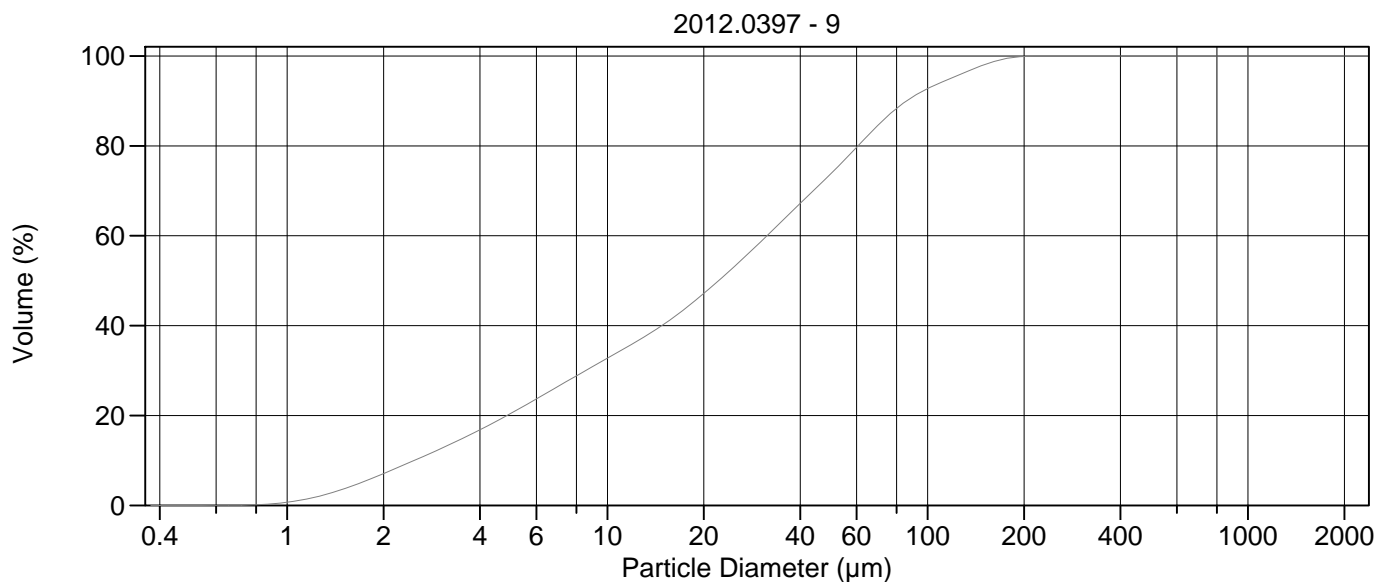
Calculations from 0.375 μm to 2000 μm

Volume	100.0%		
Mean:	37.60 μm	95% Conf. Limits:	0-115.6 μm
Median:	23.95 μm	S.D.:	39.79 μm
D(3,2):	7.654 μm	Variance:	1583 μm^2
Mean/Median Ratio:	1.570	C.V.:	106%
Mode:	60.52 μm	Skewness:	1.591 Right skewed
d ₁₀ :	2.559 μm	Kurtosis:	2.491 Leptokurtic
d ₅₀ :	23.95 μm		
d ₉₀ :	91.79 μm		
Specific Surf. Area	7839 cm^2/ml		

% <	10	25	50	75	90
Size μm	2.559	6.948	23.95	55.50	91.79

8.\$02

Particle Diameter μm	Volume % <	Particle Diameter μm	Volume % <
2.000	6.94	1000	100
5.000	19.5	2000	100
10.00	31.2		
15.00	38.6		
20.00	45.3		
50.00	71.7		
60.00	77.6		
63.00	79.3		
70.00	82.8		
75.00	84.9		
90.00	89.5		
125.0	95.0		
200.0	99.8		
250.0	100.0		
400.0	100		
500.0	100		



Volume Statistics (Arithmetic) 9.\$02

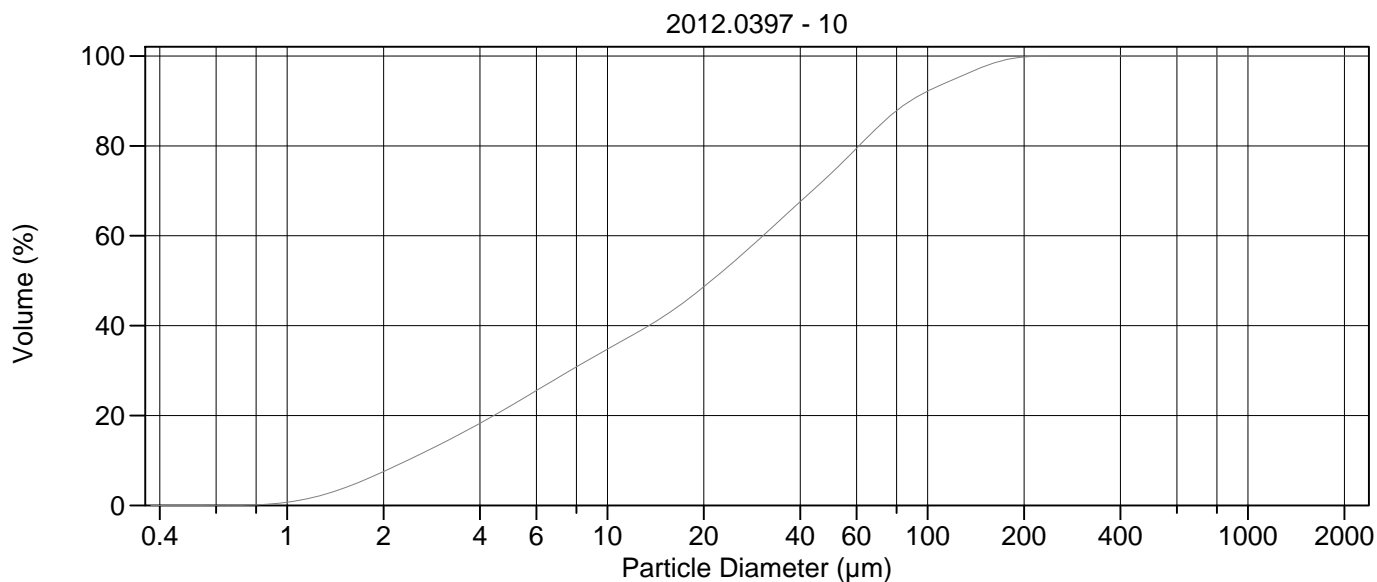
Calculations from 0.375 μm to 2000 μm

Volume	100.0%		
Mean:	35.26 μm	95% Conf. Limits:	0-109.1 μm
Median:	22.24 μm	S.D.:	37.66 μm
D(3,2):	7.453 μm	Variance:	1418 μm^2
Mean/Median Ratio:	1.585	C.V.:	107%
Mode:	60.52 μm	Skewness:	1.629 Right skewed
d ₁₀ :	2.494 μm	Kurtosis:	2.634 Leptokurtic
d ₅₀ :	22.24 μm		
d ₉₀ :	85.90 μm		
Specific Surf. Area	8051 cm^2/ml		

% <	10	25	50	75	90
Size μm	2.494	6.464	22.24	51.86	85.90

9.\$02

Particle Diameter μm	Volume % <	Particle Diameter μm	Volume % <
2.000	7.08	1000	100
5.000	20.5	2000	100
10.00	32.8		
15.00	40.3		
20.00	47.2		
50.00	73.9		
60.00	79.6		
63.00	81.3		
70.00	84.6		
75.00	86.6		
90.00	90.9		
125.0	95.8		
200.0	99.9		
250.0	100.0		
400.0	100		
500.0	100		



Volume Statistics (Arithmetic) 10#.\$02

Calculations from 0.375 μm to 2000 μm

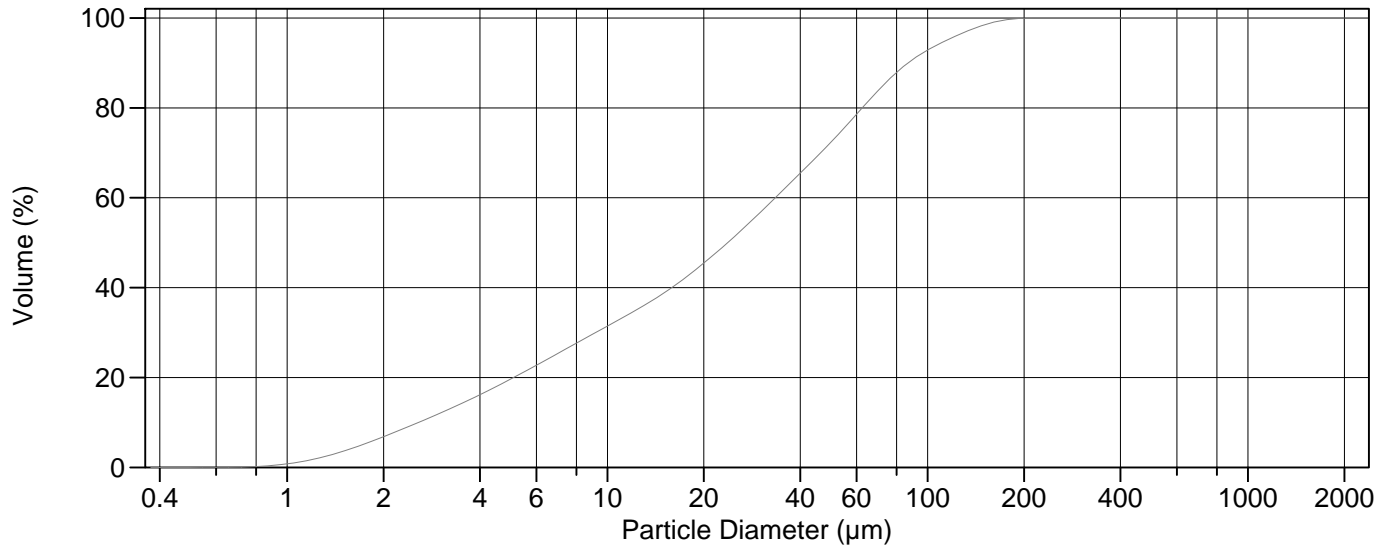
Volume	100.0%		
Mean:	35.31 μm	95% Conf. Limits:	0-112.1 μm
Median:	21.10 μm	S.D.:	39.17 μm
D(3,2):	7.102 μm	Variance:	1534 μm^2
Mean/Median Ratio:	1.674	C.V.:	111%
Mode:	60.52 μm	Skewness:	1.686 Right skewed
d ₁₀ :	2.373 μm	Kurtosis:	2.824 Leptokurtic
d ₅₀ :	21.10 μm		
d ₉₀ :	88.30 μm		
Specific Surf. Area	8448 cm^2/ml		

% <	10	25	50	75	90
Size μm	2.373	5.828	21.10	51.88	88.30

10#.\$02

Particle Diameter μm	Volume % <	Particle Diameter μm	Volume % <
2.000	7.53	1000	100
5.000	22.2	2000	100
10.00	34.8		
15.00	42.1		
20.00	48.6		
50.00	73.9		
60.00	79.4		
63.00	81.0		
70.00	84.2		
75.00	86.2		
90.00	90.4		
125.0	95.3		
200.0	99.8		
250.0	100.0		
400.0	100		
500.0	100		

2012.0397 - 11



Volume Statistics (Arithmetic) 11.\$02

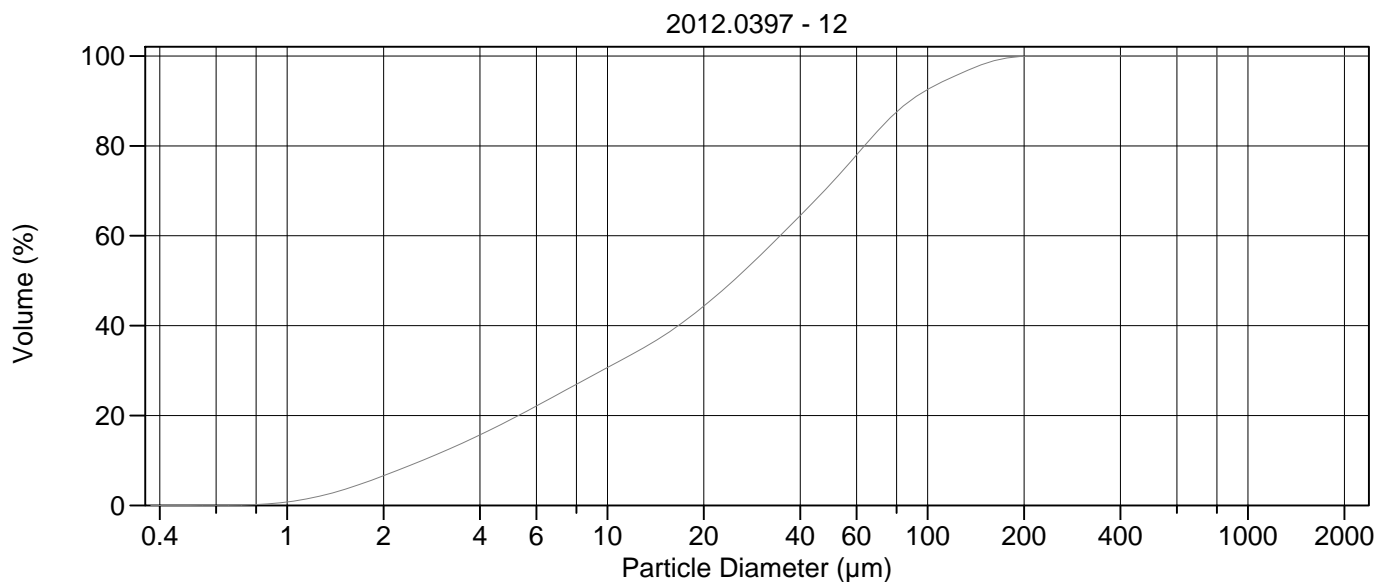
Calculations from 0.375 µm to 2000 µm

Volume	100.0%		
Mean:	36.00 µm	95% Conf. Limits:	0-108.2 µm
Median:	23.74 µm	S.D.:	36.85 µm
D(3,2):	7.654 µm	Variance:	1358 µm ²
Mean/Median Ratio:	1.516	C.V.:	102%
Mode:	60.52 µm	Skewness:	1.481 Right skewed
d ₁₀ :	2.571 µm	Kurtosis:	2.090 Leptokurtic
d ₅₀ :	23.74 µm		
d ₉₀ :	86.97 µm		
Specific Surf. Area	7839 cm ² /ml		

% <	10	25	50	75	90
Size µm	2.571	6.859	23.74	54.08	86.97

11.\$02

Particle Diameter µm	Volume % <	Particle Diameter µm	Volume % <
2.000	6.84	1000	100
5.000	19.7	2000	100
10.00	31.4		
15.00	38.8		
20.00	45.5		
50.00	72.4		
60.00	78.5		
63.00	80.3		
70.00	83.9		
75.00	86.0		
90.00	90.8		
125.0	96.3		
200.0	99.9		
250.0	100.0		
400.0	100		
500.0	100		



Volume Statistics (Arithmetic) 12.\$02

Calculations from 0.375 µm to 2000 µm

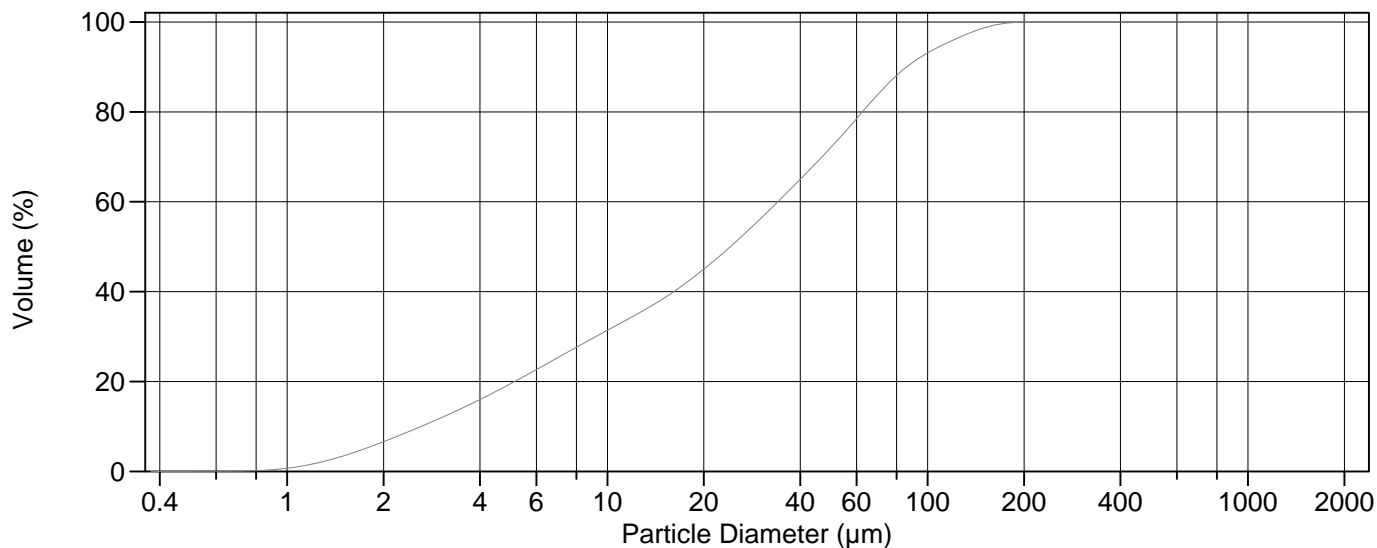
Volume	100.0%		
Mean:	36.86 µm	95% Conf. Limits:	0-110.3 µm
Median:	24.73 µm	S.D.:	37.46 µm
D(3,2):	7.851 µm	Variance:	1403 µm ²
Mean/Median Ratio:	1.491	C.V.:	102%
Mode:	60.52 µm	Skewness:	1.481 Right skewed
d ₁₀ :	2.639 µm	Kurtosis:	2.110 Leptokurtic
d ₅₀ :	24.73 µm		
d ₉₀ :	88.11 µm		
Specific Surf. Area	7642 cm ² /ml		

% <	10	25	50	75	90
Size µm	2.639	7.131	24.73	55.17	88.11

12.\$02

Particle Diameter µm	Volume % <	Particle Diameter µm	Volume % <
2.000	6.60	1000	100
5.000	19.1	2000	100
10.00	30.7		
15.00	37.8		
20.00	44.3		
50.00	71.6		
60.00	78.0		
63.00	79.7		
70.00	83.4		
75.00	85.7		
90.00	90.5		
125.0	95.9		
200.0	99.9		
250.0	100.0		
400.0	100		
500.0	100		

2012.0397 - 13



Volume Statistics (Arithmetic) 13.\$02

Calculations from 0.375 μm to 2000 μm

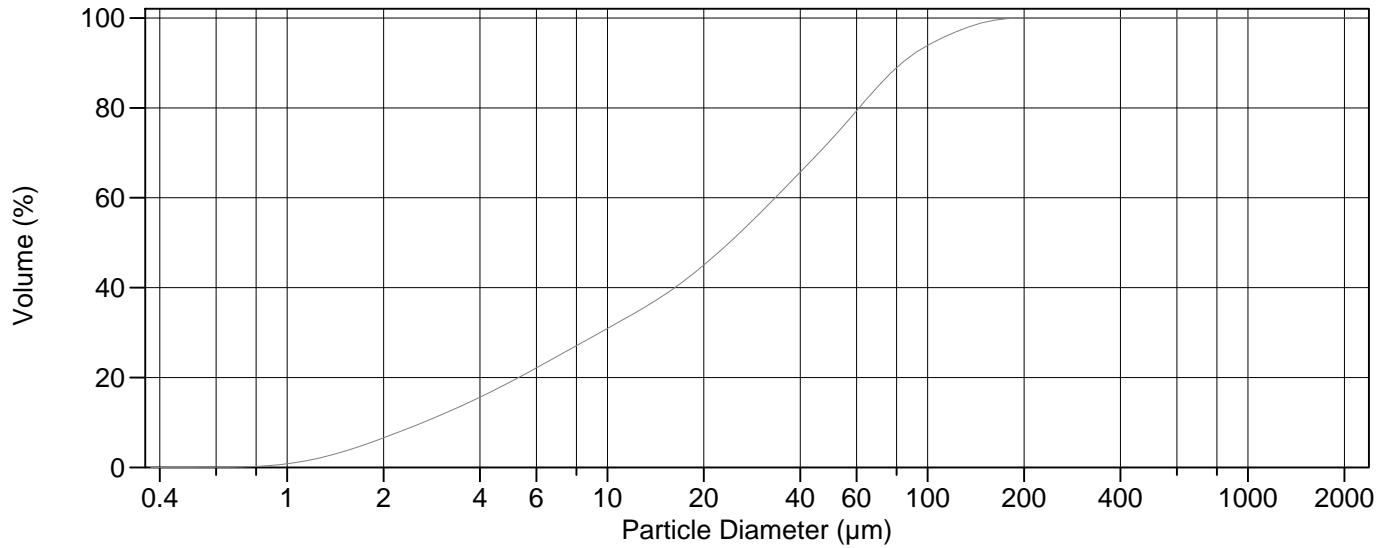
Volume	100.0%		
Mean:	35.92 μm	95% Conf. Limits:	0-106.8 μm
Median:	24.21 μm	S.D.:	36.15 μm
D(3,2):	7.774 μm	Variance:	1307 μm^2
Mean/Median Ratio:	1.484	C.V.:	101%
Mode:	60.52 μm	Skewness:	1.416 Right skewed
d ₁₀ :	2.619 μm	Kurtosis:	1.833 Leptokurtic
d ₅₀ :	24.21 μm		
d ₉₀ :	86.00 μm		
Specific Surf. Area	7718 cm^2/ml		

% <	10	25	50	75	90
Size μm	2.619	6.878	24.21	54.39	86.00

13.\$02

Particle Diameter μm	Volume % <	Particle Diameter μm	Volume % <
2.000	6.61	1000	100
5.000	19.5	2000	100
10.00	31.4		
15.00	38.5		
20.00	45.0		
50.00	72.1		
60.00	78.5		
63.00	80.3		
70.00	84.0		
75.00	86.2		
90.00	91.1		
125.0	96.5		
200.0	100.0		
250.0	100		
400.0	100		
500.0	100		

2012.0397 - 14



Volume Statistics (Arithmetic)

14.\$02

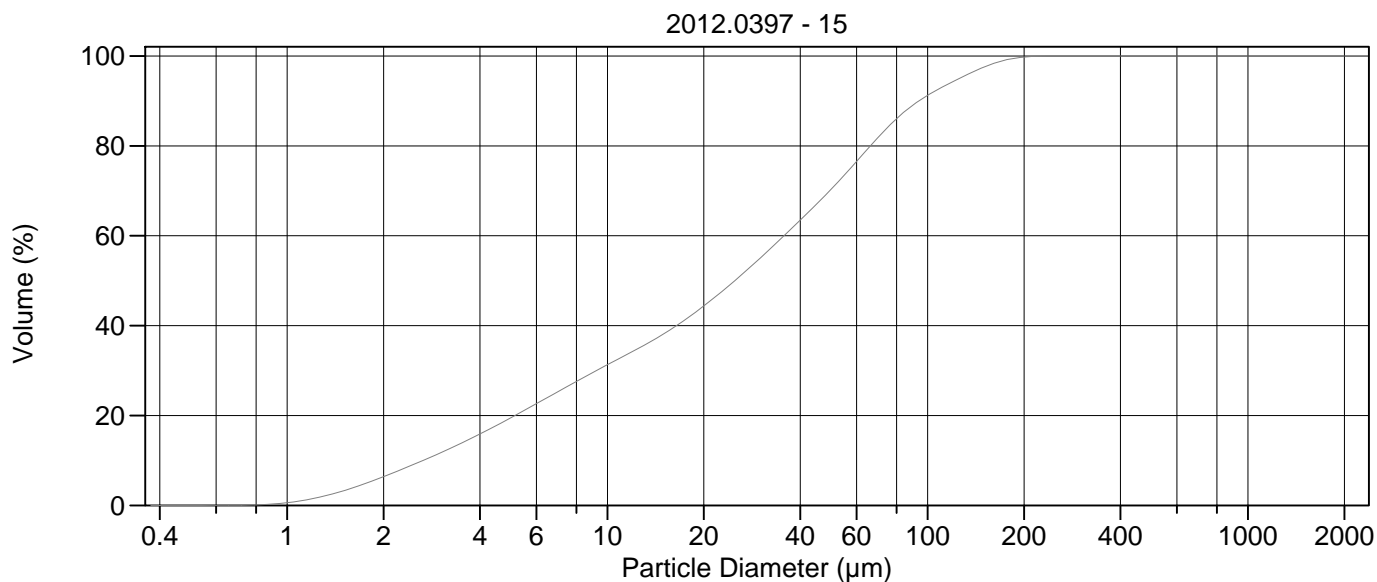
Calculations from 0.375 μm to 2000 μm

Volume	100.0%		
Mean:	35.04 μm	95% Conf. Limits:	0-103.0 μm
Median:	24.02 μm	S.D.:	34.69 μm
D(3,2):	7.795 μm	Variance:	1203 μm^2
Mean/Median Ratio:	1.459	C.V.:	99.0%
Mode:	60.52 μm	Skewness:	1.397 Right skewed
d ₁₀ :	2.655 μm	Kurtosis:	1.824 Leptokurtic
d ₅₀ :	24.02 μm		
d ₉₀ :	83.12 μm		
Specific Surf. Area	7697 cm^2/ml		

% <	10	25	50	75	90
Size μm	2.655	7.098	24.02	53.07	83.12

14.\$02

Particle Diameter μm	Volume % <	Particle Diameter μm	Volume % <
2.000	6.57	1000	100
5.000	19.1	2000	100
10.00	30.9		
15.00	38.3		
20.00	45.0		
50.00	72.9		
60.00	79.3		
63.00	81.1		
70.00	84.8		
75.00	87.0		
90.00	91.9		
125.0	97.1		
200.0	100.0		
250.0	100		
400.0	100		
500.0	100		



Volume Statistics (Arithmetic) 15.\$02

Calculations from 0.375 µm to 2000 µm

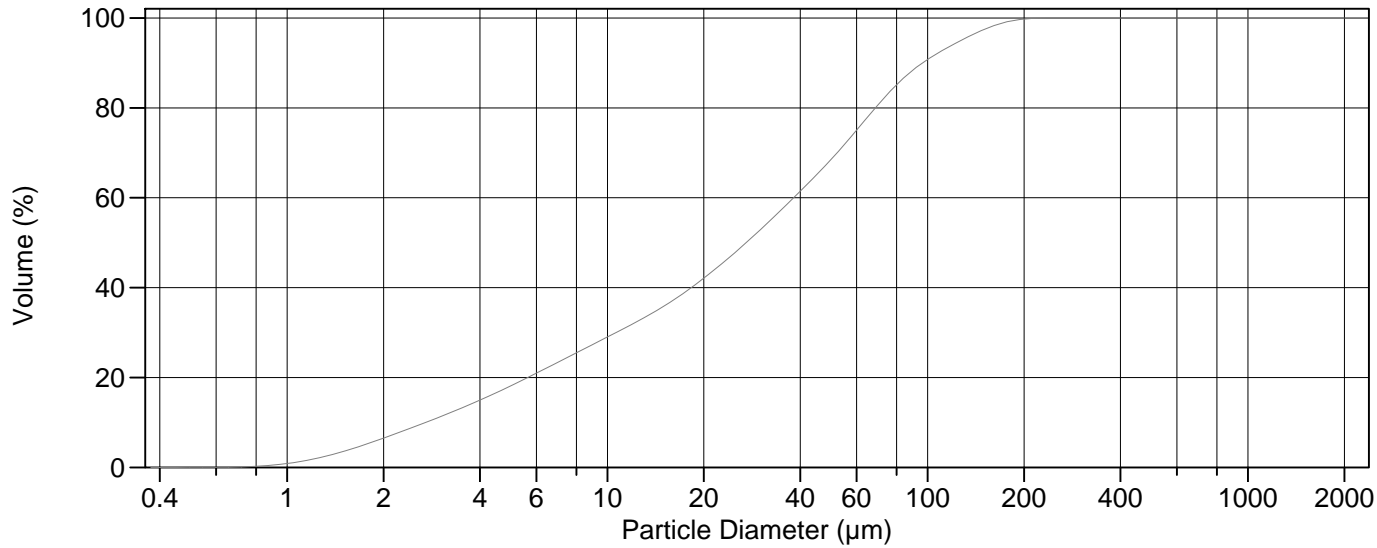
Volume	100.0%		
Mean:	38.48 µm	95% Conf. Limits:	0-117.1 µm
Median:	24.98 µm	S.D.:	40.11 µm
D(3,2):	7.914 µm	Variance:	1609 µm ²
Mean/Median Ratio:	1.540	C.V.:	104%
Mode:	60.52 µm	Skewness:	1.519 Right skewed
d ₁₀ :	2.656 µm	Kurtosis:	2.210 Leptokurtic
d ₅₀ :	24.98 µm		
d ₉₀ :	93.82 µm		
Specific Surf. Area	7581 cm ² /ml		

% <	10	25	50	75	90
Size µm	2.656	6.886	24.98	57.43	93.82

15.\$02

Particle Diameter µm	Volume % <	Particle Diameter µm	Volume % <
2.000	6.40	1000	100
5.000	19.5	2000	100
10.00	31.3		
15.00	38.2		
20.00	44.4		
50.00	70.4		
60.00	76.5		
63.00	78.2		
70.00	81.9		
75.00	84.1		
90.00	89.1		
125.0	94.9		
200.0	99.8		
250.0	100.0		
400.0	100		
500.0	100		

2012.0397 - 16



Volume Statistics (Arithmetic)

16#.\$02

Calculations from 0.375 μm to 2000 μm

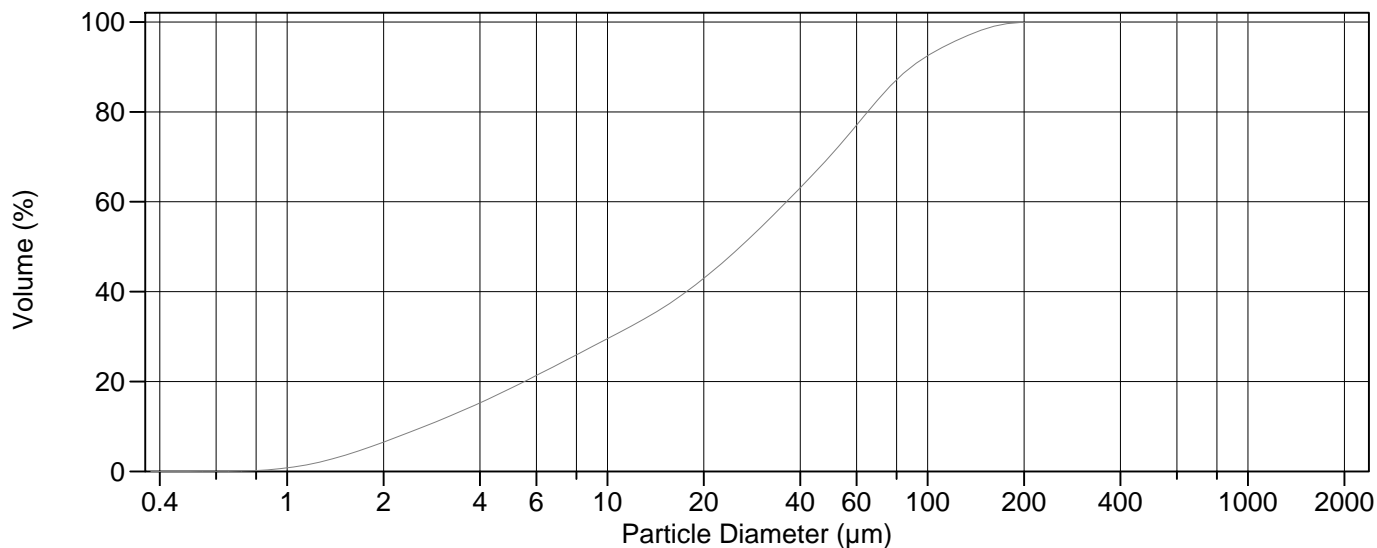
Volume	100.0%		
Mean:	40.12 μm	95% Conf. Limits:	0-119.5 μm
Median:	27.10 μm	S.D.:	40.48 μm
D(3,2):	8.100 μm	Variance:	1639 μm^2
Mean/Median Ratio:	1.480	C.V.:	101%
Mode:	60.52 μm	Skewness:	1.440 Right skewed
d ₁₀ :	2.706 μm	Kurtosis:	1.932 Leptokurtic
d ₅₀ :	27.10 μm		
d ₉₀ :	96.51 μm		
Specific Surf. Area	7407 cm^2/ml		

% <	10	25	50	75	90
Size μm	2.706	7.763	27.10	60.00	96.51

16#.\$02

Particle Diameter μm	Volume % <	Particle Diameter μm	Volume % <
2.000	6.52	1000	100
5.000	18.2	2000	100
10.00	29.0		
15.00	35.9		
20.00	42.1		
50.00	68.5		
60.00	75.0		
63.00	76.8		
70.00	80.7		
75.00	83.1		
90.00	88.4		
125.0	94.7		
200.0	99.8		
250.0	100.0		
400.0	100		
500.0	100		

2012.0397 - 17



Volume Statistics (Arithmetic) 17.\$02

Calculations from 0.375 µm to 2000 µm

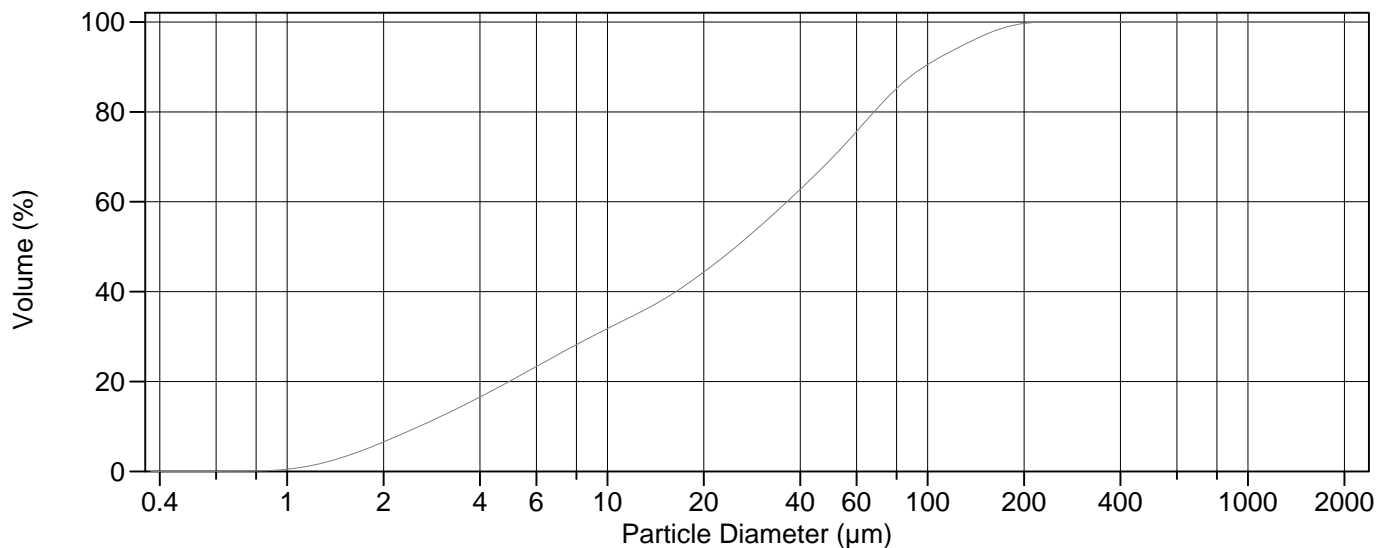
Volume	100.0%		
Mean:	37.65 µm	95% Conf. Limits:	0-110.7 µm
Median:	26.03 µm	S.D.:	37.26 µm
D(3,2):	8.020 µm	Variance:	1388 µm ²
Mean/Median Ratio:	1.447	C.V.:	99.0%
Mode:	60.52 µm	Skewness:	1.399 Right skewed
d ₁₀ :	2.681 µm	Kurtosis:	1.832 Leptokurtic
d ₅₀ :	26.03 µm		
d ₉₀ :	89.06 µm		
Specific Surf. Area	7481 cm ² /ml		

% <	10	25	50	75	90
Size µm	2.681	7.548	26.03	56.80	89.06

17.\$02

Particle Diameter µm	Volume % <	Particle Diameter µm	Volume % <
2.000	6.52	1000	100
5.000	18.5	2000	100
10.00	29.5		
15.00	36.5		
20.00	43.0		
50.00	70.4		
60.00	77.0		
63.00	78.9		
70.00	82.8		
75.00	85.1		
90.00	90.3		
125.0	96.1		
200.0	99.9		
250.0	100.0		
400.0	100		
500.0	100		

2012.0397 - 18



Volume Statistics (Arithmetic) 18.\$02

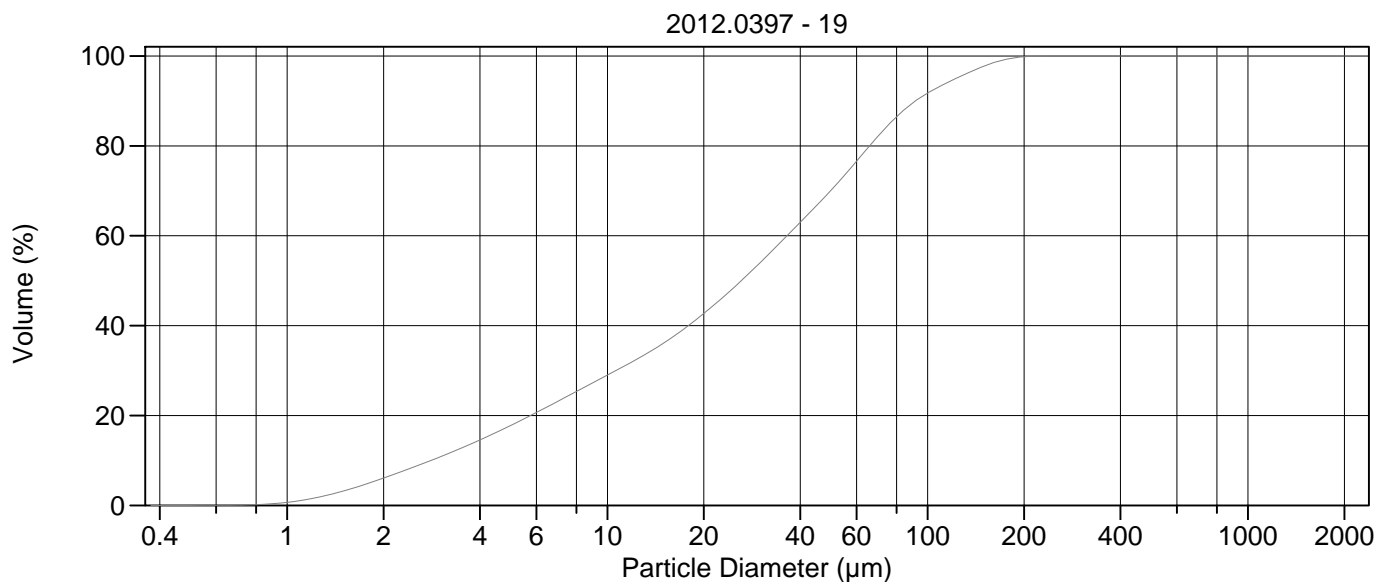
Calculations from 0.375 µm to 2000 µm

Volume	100.0%		
Mean:	39.44 µm	95% Conf. Limits:	0-121.1 µm
Median:	25.22 µm	S.D.:	41.65 µm
D(3,2):	7.834 µm	Variance:	1734 µm ²
Mean/Median Ratio:	1.564	C.V.:	106%
Mode:	60.52 µm	Skewness:	1.523 Right skewed
d ₁₀ :	2.582 µm	Kurtosis:	2.183 Leptokurtic
d ₅₀ :	25.22 µm		
d ₉₀ :	97.40 µm		
Specific Surf. Area	7659 cm ² /ml		

% <	10	25	50	75	90
Size µm	2.582	6.616	25.22	58.92	97.40

18.\$02

Particle Diameter µm	Volume % <	Particle Diameter µm	Volume % <
2.000	6.56	1000	100
5.000	20.2	2000	100
10.00	31.8		
15.00	38.3		
20.00	44.3		
50.00	69.5		
60.00	75.6		
63.00	77.4		
70.00	81.0		
75.00	83.2		
90.00	88.3		
125.0	94.3		
200.0	99.7		
250.0	100.0		
400.0	100		
500.0	100		



Volume Statistics (Arithmetic) 19.\$02

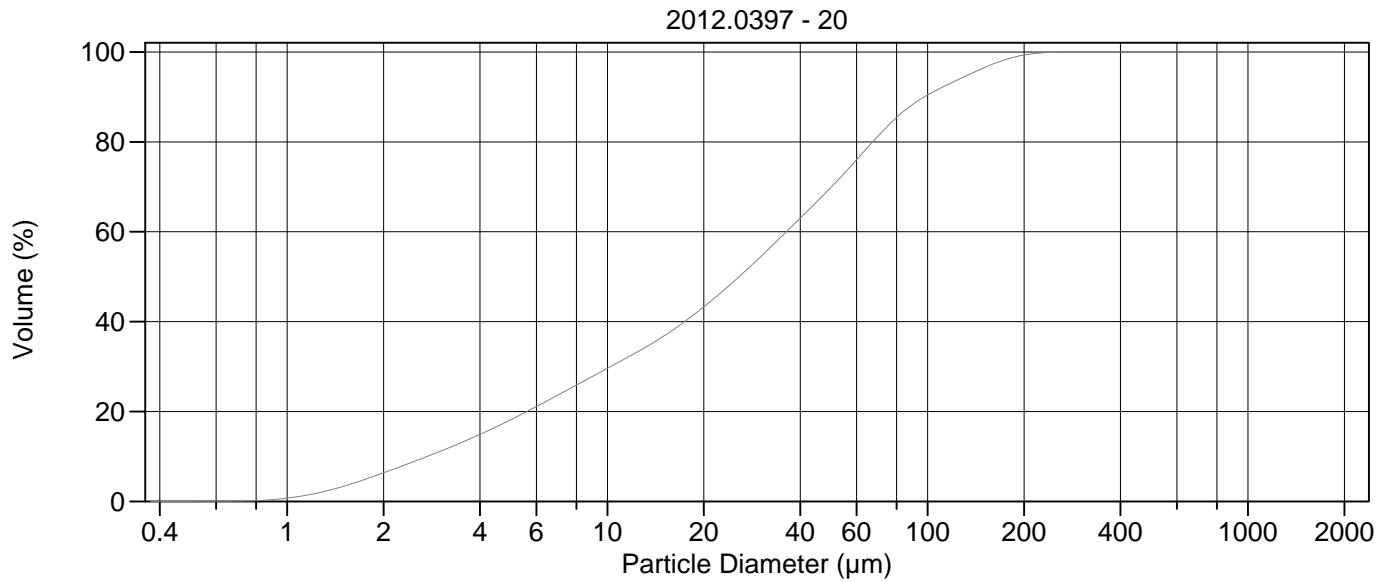
Calculations from 0.375 μm to 2000 μm

Volume	100.0%		
Mean:	38.66 μm	95% Conf. Limits:	0-115.1 μm
Median:	26.19 μm	S.D.:	39.02 μm
D(3,2):	8.298 μm	Variance:	1522 μm^2
Mean/Median Ratio:	1.476	C.V.:	101%
Mode:	60.52 μm	Skewness:	1.496 Right skewed
d ₁₀ :	2.812 μm	Kurtosis:	2.194 Leptokurtic
d ₅₀ :	26.19 μm		
d ₉₀ :	91.52 μm		
Specific Surf. Area	7230 cm^2/ml		

% <	10	25	50	75	90
Size μm	2.812	7.839	26.19	57.43	91.52

19.\$02

Particle Diameter μm	Volume % <	Particle Diameter μm	Volume % <
2.000	6.10	1000	100
5.000	17.8	2000	100
10.00	29.0		
15.00	36.1		
20.00	42.7		
50.00	70.2		
60.00	76.6		
63.00	78.4		
70.00	82.2		
75.00	84.5		
90.00	89.6		
125.0	95.3		
200.0	99.8		
250.0	100.0		
400.0	100		
500.0	100		



Volume Statistics (Arithmetic)

20.\$02

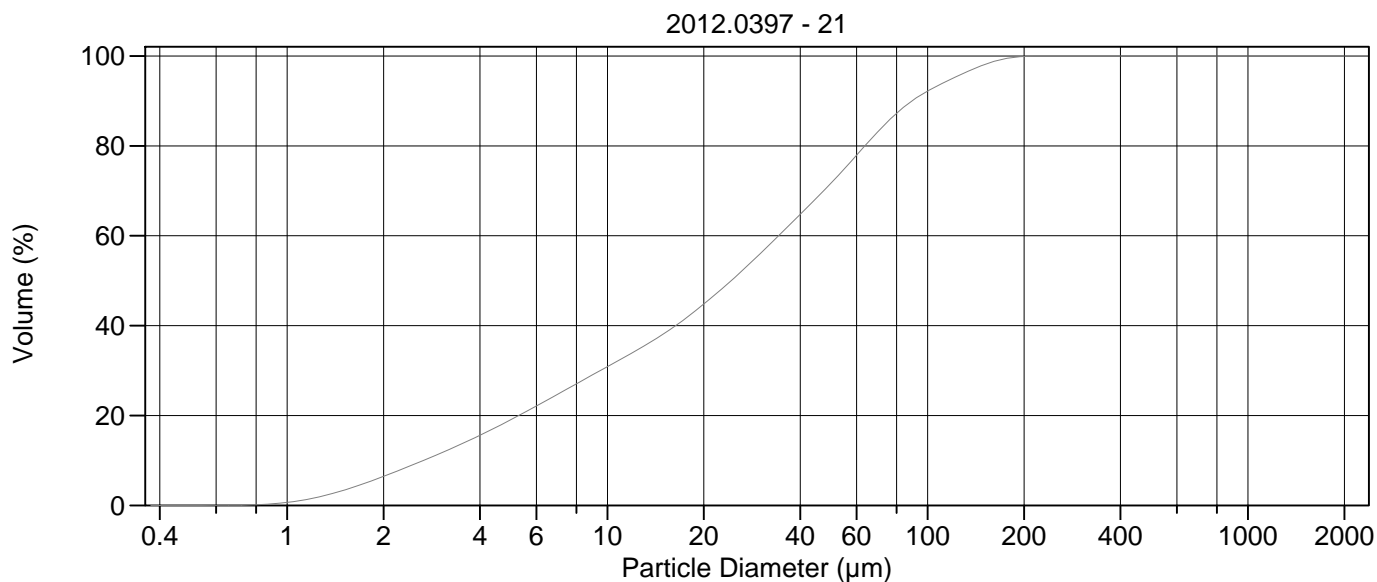
Calculations from 0.375 µm to 2000 µm

Volume	100.0%		
Mean:	40.20 µm	95% Conf. Limits:	0-124.4 µm
Median:	25.78 µm	S.D.:	42.94 µm
D(3,2):	8.138 µm	Variance:	1844 µm ²
Mean/Median Ratio:	1.559	C.V.:	107%
Mode:	60.52 µm	Skewness:	1.691 Right skewed
d ₁₀ :	2.738 µm	Kurtosis:	3.015 Leptokurtic
d ₅₀ :	25.78 µm		
d ₉₀ :	97.63 µm		
Specific Surf. Area	7373 cm ² /ml		

% <	10	25	50	75	90
Size µm	2.738	7.590	25.78	58.28	97.63

20.\$02

Particle Diameter µm	Volume % <	Particle Diameter µm	Volume % <
2.000	6.35	1000	100
5.000	18.2	2000	100
10.00	29.6		
15.00	36.8		
20.00	43.3		
50.00	69.9		
60.00	76.0		
63.00	77.7		
70.00	81.3		
75.00	83.5		
90.00	88.4		
125.0	93.9		
200.0	99.3		
250.0	99.9		
400.0	100		
500.0	100		



Volume Statistics (Arithmetic) 21.\$02

Calculations from 0.375 µm to 2000 µm

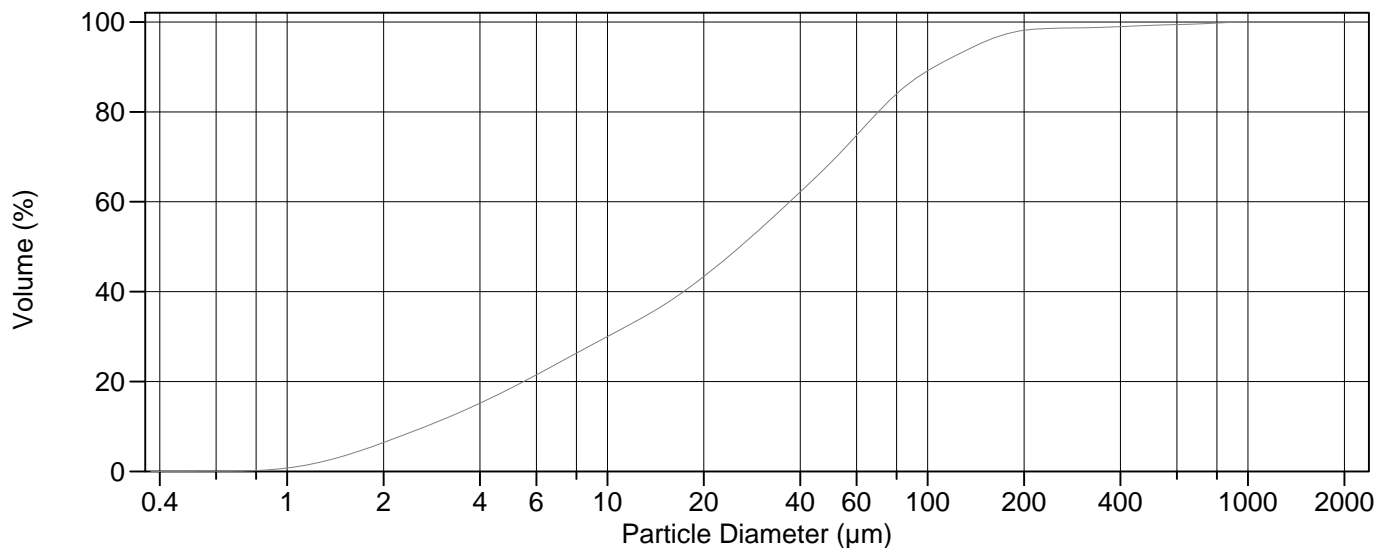
Volume	100.0%		
Mean:	37.02 µm	95% Conf. Limits:	0-111.7 µm
Median:	24.34 µm	S.D.:	38.12 µm
D(3,2):	7.905 µm	Variance:	1453 µm ²
Mean/Median Ratio:	1.521	C.V.:	103%
Mode:	60.52 µm	Skewness:	1.510 Right skewed
d ₁₀ :	2.664 µm	Kurtosis:	2.171 Leptokurtic
d ₅₀ :	24.34 µm		
d ₉₀ :	89.43 µm		
Specific Surf. Area	7590 cm ² /ml		

% <	10	25	50	75	90
Size µm	2.664	7.102	24.34	55.16	89.43

21.\$02

Particle Diameter µm	Volume % <	Particle Diameter µm	Volume % <
2.000	6.47	1000	100
5.000	19.1	2000	100
10.00	30.9		
15.00	38.2		
20.00	44.8		
50.00	71.7		
60.00	77.9		
63.00	79.6		
70.00	83.2		
75.00	85.4		
90.00	90.1		
125.0	95.6		
200.0	99.9		
250.0	100.0		
400.0	100		
500.0	100		

2012.0397 - 22



Volume Statistics (Arithmetic)

22.\$02

Calculations from 0.375 µm to 2000 µm

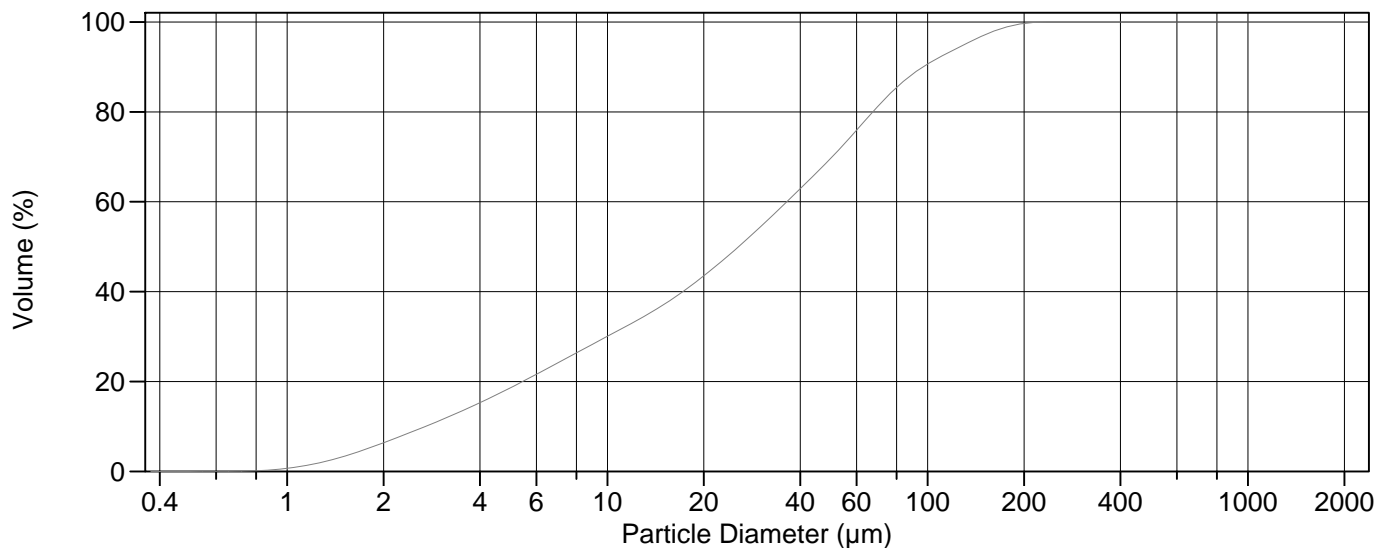
Volume	100.0%		
Mean:	47.07 µm	95% Conf. Limits:	0-200.4 µm
Median:	25.95 µm	S.D.:	78.21 µm
D(3,2):	8.069 µm	Variance:	6117 µm ²
Mean/Median Ratio:	1.814	C.V.:	166%
Mode:	60.52 µm	Skewness:	6.181 Right skewed
d ₁₀ :	2.709 µm	Kurtosis:	52.73 Leptokurtic
d ₅₀ :	25.95 µm		
d ₉₀ :	104.9 µm		
Specific Surf. Area	7436 cm ² /ml		

% <	10	25	50	75	90
Size µm	2.709	7.401	25.95	60.45	104.9

22.\$02

Particle Diameter µm	Volume % <	Particle Diameter µm	Volume % <
2.000	6.43	1000	100.0
5.000	18.5	2000	100
10.00	30.0		
15.00	37.0		
20.00	43.4		
50.00	68.8		
60.00	74.7		
63.00	76.4		
70.00	80.0		
75.00	82.1		
90.00	87.0		
125.0	92.9		
200.0	98.1		
250.0	98.6		
400.0	99.0		
500.0	99.3		

2012.0397 - 23



Volume Statistics (Arithmetic)

23#.\$02

Calculations from 0.375 μm to 2000 μm

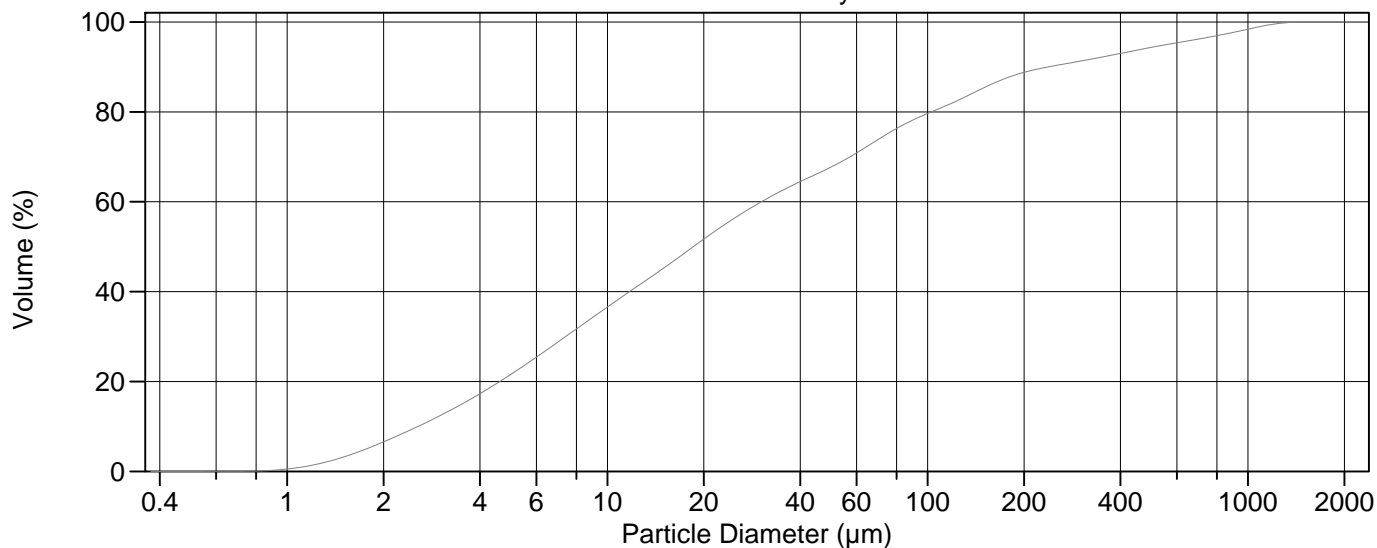
Volume	100.0%		
Mean:	39.59 μm	95% Conf. Limits:	0-120.7 μm
Median:	25.68 μm	S.D.:	41.36 μm
D(3,2):	8.066 μm	Variance:	1710 μm^2
Mean/Median Ratio:	1.542	C.V.:	104%
Mode:	60.52 μm	Skewness:	1.545 Right skewed
d ₁₀ :	2.700 μm	Kurtosis:	2.284 Leptokurtic
d ₅₀ :	25.68 μm		
d ₉₀ :	96.86 μm		
Specific Surf. Area	7439 cm^2/ml		

% <	10	25	50	75	90
Size μm	2.700	7.368	25.68	58.43	96.86

23#.\$02

Particle Diameter μm	Volume % <	Particle Diameter μm	Volume % <
2.000	6.38	1000	100
5.000	18.7	2000	100
10.00	30.1		
15.00	37.1		
20.00	43.5		
50.00	69.8		
60.00	75.9		
63.00	77.6		
70.00	81.3		
75.00	83.5		
90.00	88.5		
125.0	94.3		
200.0	99.7		
250.0	100.0		
400.0	100		
500.0	100		

2012.0397 - std. Hynne



Volume Statistics (Arithmetic)

24.\$02

Calculations from 0.375 µm to 2000 µm

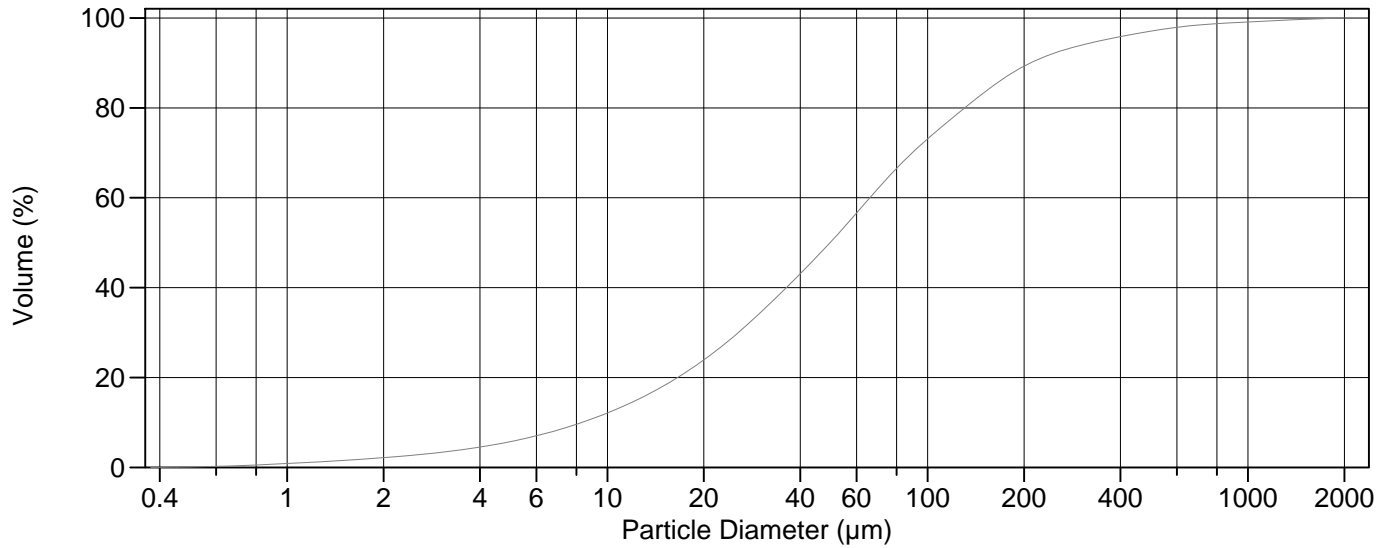
Volume	100.0%		
Mean:	96.46 µm	95% Conf. Limits:	0-506.1 µm
Median:	18.55 µm	S.D.:	209.0 µm
D(3,2):	7.428 µm	Variance:	43685 µm ²
Mean/Median Ratio:	5.199	C.V.:	217%
Mode:	18.00 µm	Skewness:	3.513 Right skewed
d ₁₀ :	2.563 µm	Kurtosis:	12.93 Leptokurtic
d ₅₀ :	18.55 µm		
d ₉₀ :	238.1 µm		
Specific Surf. Area	8078 cm ² /ml		

% <	10	25	50	75	90
Size µm	2.563	5.891	18.55	74.35	238.1

24.\$02

Particle Diameter µm	Volume % <	Particle Diameter µm	Volume % <
2.000	6.57	1000	98.4
5.000	21.6	2000	100
10.00	36.6		
15.00	45.2		
20.00	51.7		
50.00	67.7		
60.00	70.9		
63.00	71.8		
70.00	73.9		
75.00	75.2		
90.00	78.2		
125.0	82.6		
200.0	88.8		
250.0	90.3		
400.0	93.0		
500.0	94.4		

2012.0397 - std. MINN



Volume Statistics (Arithmetic)

25.\$02

Calculations from 0.375 µm to 2000 µm

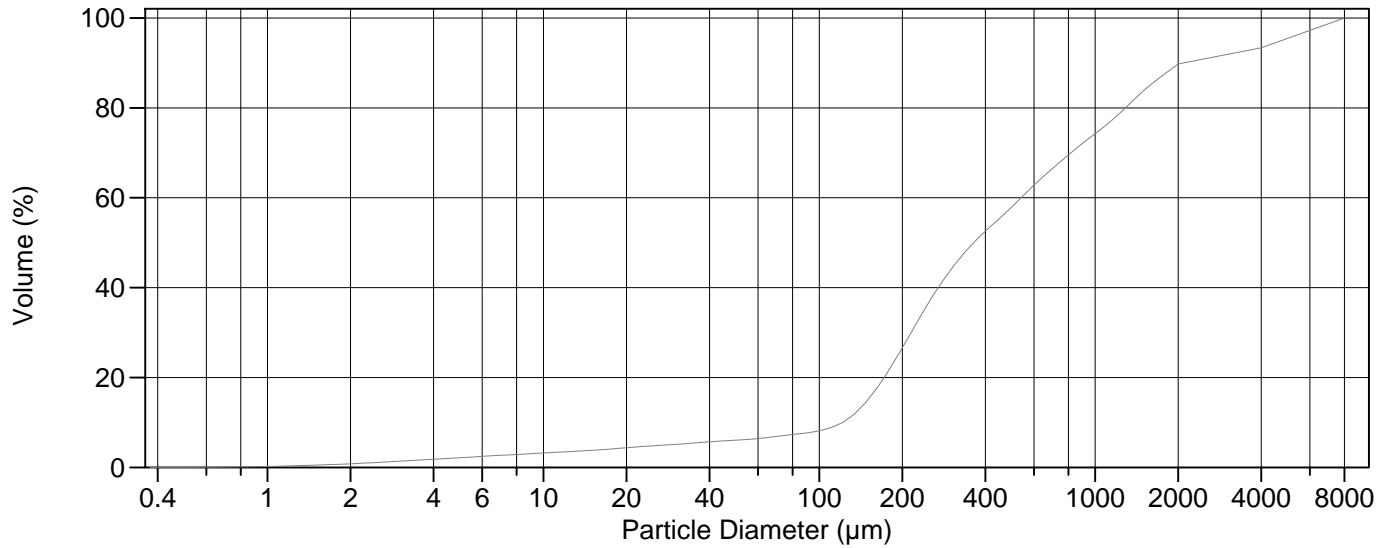
Volume	100.0%		
Mean:	99.19 µm	95% Conf. Limits:	0-434.8 µm
Median:	49.60 µm	S.D.:	171.2 µm
D(3,2):	15.89 µm	Variance:	29325 µm ²
Mean/Median Ratio:	2.000	C.V.:	173%
Mode:	60.52 µm	Skewness:	5.237 Right skewed
d ₁₀ :	8.317 µm	Kurtosis:	36.75 Leptokurtic
d ₅₀ :	49.60 µm		
d ₉₀ :	209.5 µm		
Specific Surf. Area	3777 cm ² /ml		

% <	10	25	50	75	90
Size µm	8.317	20.98	49.60	107.4	209.5

25.\$02

Particle Diameter µm	Volume % <	Particle Diameter µm	Volume % <
2.000	2.17	1000	99.1
5.000	5.76	2000	100
10.00	12.1		
15.00	18.1		
20.00	23.9		
50.00	50.3		
60.00	56.6		
63.00	58.3		
70.00	62.1		
75.00	64.4		
90.00	70.2		
125.0	78.9		
200.0	89.3		
250.0	92.2		
400.0	95.9		
500.0	97.1		

2012.0397 - 26



Volume Statistics (Arithmetic)

26a.\$02

Calculations from 0.375 µm to 8000 µm

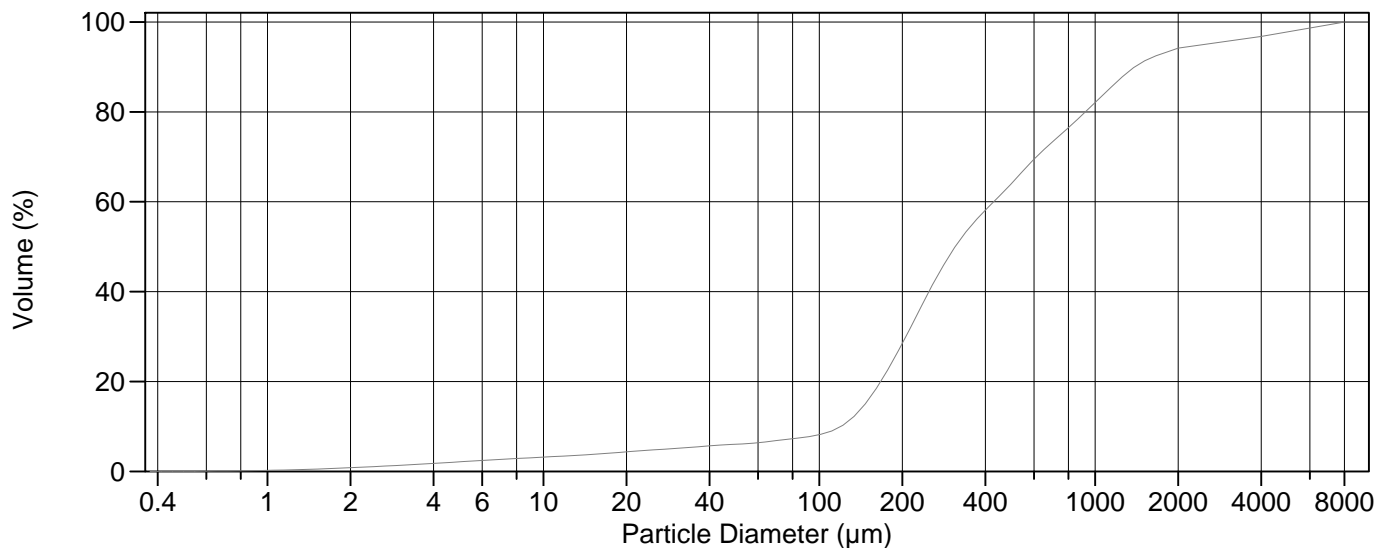
Volume	100.0%		
Mean:	941.4 µm	95% Conf. Limits:	0-3694 µm
Median:	363.1 µm	S.D.:	1404 µm
D(3,2):	57.70 µm	Variance:	1972429 µm ²
Mean/Median Ratio:	2.593	C.V.:	149%
Mode:	5657 µm	Skewness:	2.523 Right skewed
d ₁₀ :	121.5 µm	Kurtosis:	5.598 Leptokurtic
d ₅₀ :	363.1 µm		
d ₉₀ :	2128 µm		
Specific Surf. Area	1040 cm ² /ml		

% <	10	25	50	75	90
Size µm	121.5	193.0	363.1	1038	2128

26a.\$02

Particle Diameter µm	Volume % <	Particle Diameter µm	Volume % <
2.000	0.81	500.0	58.0
5.000	2.17	1000	74.2
10.00	3.21	2000	89.8
15.00	3.80	4000	93.4
20.00	4.37	8000	100
25.00	4.80	16000	100
50.00	6.06		
60.00	6.42		
63.00	6.55		
70.00	6.89		
75.00	7.12		
90.00	7.68		
125.0	10.5		
200.0	26.6		
250.0	36.8		
400.0	52.5		

2012.0397 - 27



Volume Statistics (Arithmetic)

27#a.\$02

Calculations from 0.375 µm to 8000 µm

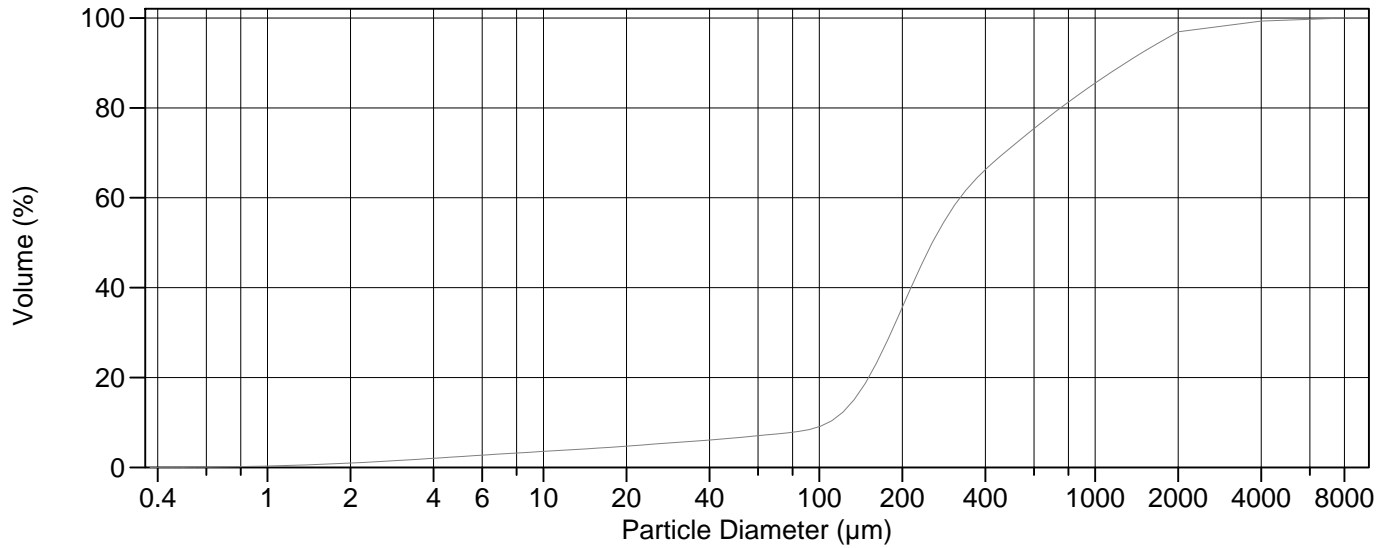
Volume	100.0%		
Mean:	688.2 µm	95% Conf. Limits:	0-2762 µm
Median:	310.7 µm	S.D.:	1058 µm
D(3,2):	56.53 µm	Variance:	1119687 µm ²
Mean/Median Ratio:	2.215	C.V.:	154%
Mode:	223.4 µm	Skewness:	3.508 Right skewed
d ₁₀ :	119.6 µm	Kurtosis:	13.07 Leptokurtic
d ₅₀ :	310.7 µm		
d ₉₀ :	1391 µm		
Specific Surf. Area	1061 cm ² /ml		

% <	10	25	50	75	90
Size µm	119.6	186.3	310.7	751.7	1391

27#a.\$02

Particle Diameter µm	Volume % <	Particle Diameter µm	Volume % <
2.000	0.82	500.0	64.2
5.000	2.14	1000	82.1
10.00	3.18	2000	94.2
15.00	3.78	4000	96.8
20.00	4.35	8000	100
25.00	4.78	16000	100
50.00	6.04		
60.00	6.39		
63.00	6.52		
70.00	6.86		
75.00	7.08		
90.00	7.67		
125.0	10.8		
200.0	28.5		
250.0	40.0		
400.0	58.1		

2012.0397 - 28



Volume Statistics (Arithmetic)

28a.\$02

Calculations from 0.375 µm to 8000 µm

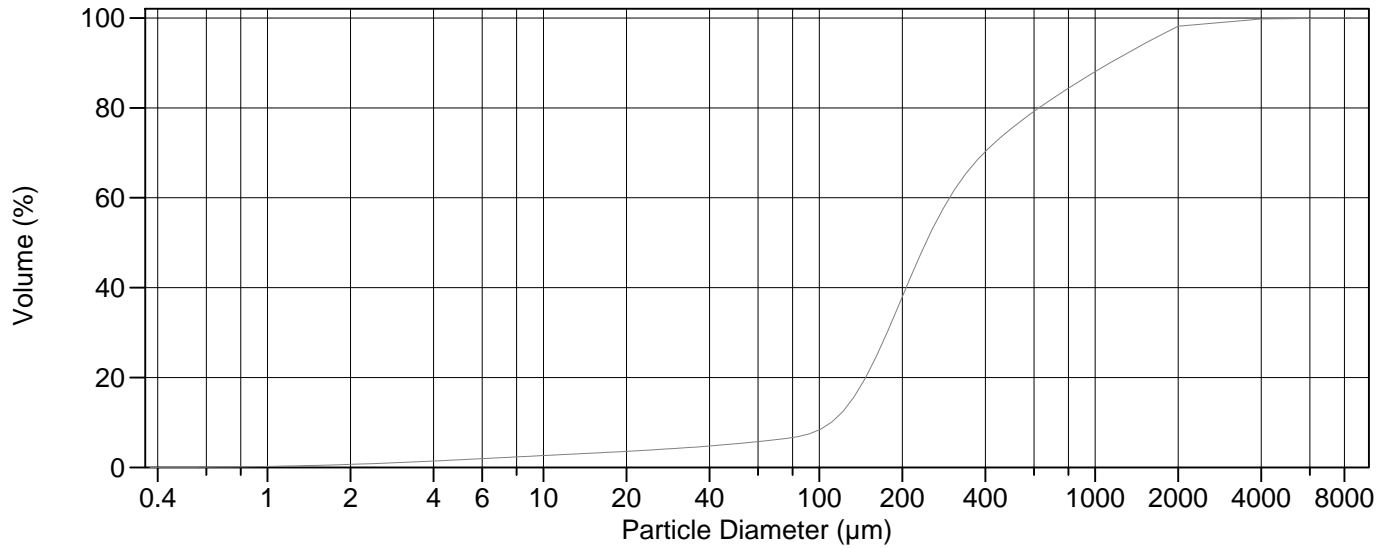
Volume	100.0%		
Mean:	519.9 µm	95% Conf. Limits:	0-1895 µm
Median:	256.6 µm	S.D.:	701.6 µm
D(3,2):	49.04 µm	Variance:	492178 µm ²
Mean/Median Ratio:	2.026	C.V.:	135%
Mode:	203.5 µm	Skewness:	3.730 Right skewed
d ₁₀ :	108.0 µm	Kurtosis:	19.65 Leptokurtic
d ₅₀ :	256.6 µm		
d ₉₀ :	1291 µm		
Specific Surf. Area	1223 cm ² /ml		

% <	10	25	50	75	90
Size µm	108.0	166.7	256.6	589.5	1291

28a.\$02

Particle Diameter µm	Volume % <	Particle Diameter µm	Volume % <
2.000	0.97	500.0	71.4
5.000	2.41	1000	85.5
10.00	3.56	2000	96.9
15.00	4.21	4000	99.3
20.00	4.73	8000	100
25.00	5.17	16000	100
50.00	6.58		
60.00	7.04		
63.00	7.18		
70.00	7.45		
75.00	7.63		
90.00	8.31		
125.0	13.0		
200.0	35.6		
250.0	48.5		
400.0	66.2		

2012.0397 - 29



Volume Statistics (Arithmetic)

29a.\$02

Calculations from 0.375 µm to 8000 µm

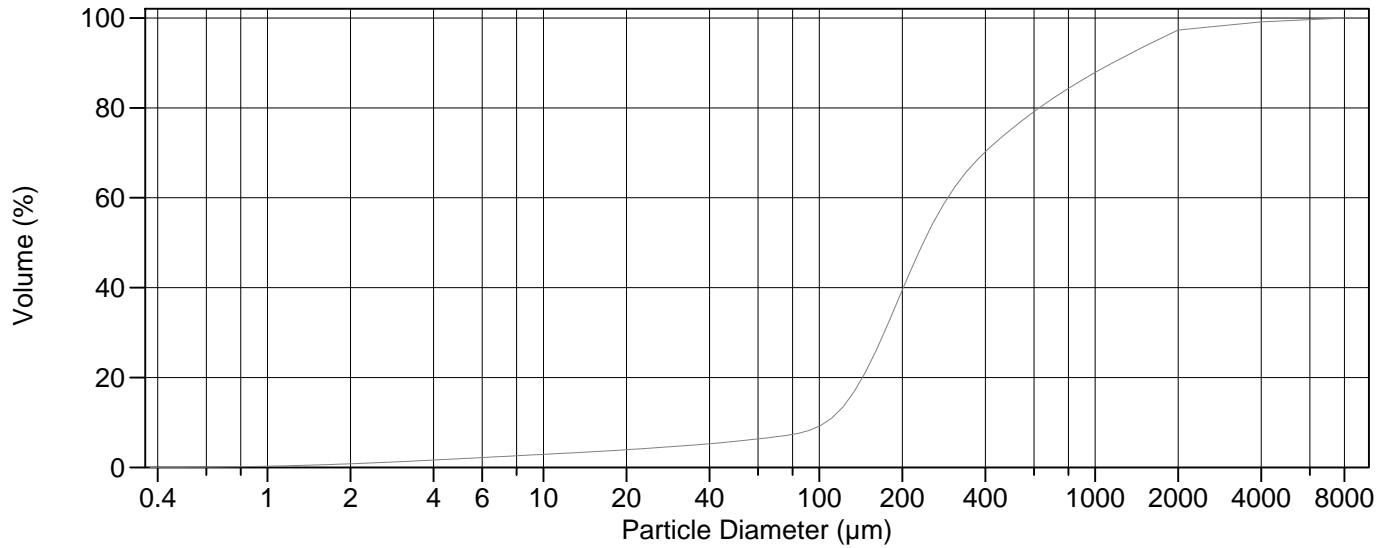
Volume	100.0%		
Mean:	452.2 µm	95% Conf. Limits:	0-1557 µm
Median:	243.7 µm	S.D.:	563.8 µm
D(3,2):	62.12 µm	Variance:	317841 µm ²
Mean/Median Ratio:	1.855	C.V.:	125%
Mode:	203.5 µm	Skewness:	3.533 Right skewed
d ₁₀ :	110.5 µm	Kurtosis:	19.56 Leptokurtic
d ₅₀ :	243.7 µm		
d ₉₀ :	1132 µm		
Specific Surf. Area	965.8 cm ² /ml		

% <	10	25	50	75	90
Size µm	110.5	161.9	243.7	487.5	1132

29a.\$02

Particle Diameter µm	Volume % <	Particle Diameter µm	Volume % <
2.000	0.68	500.0	75.5
5.000	1.70	1000	88.0
10.00	2.63	2000	98.2
15.00	3.17	4000	99.8
20.00	3.57	8000	100
25.00	3.91	16000	100
50.00	5.28		
60.00	5.75		
63.00	5.89		
70.00	6.18		
75.00	6.39		
90.00	7.32		
125.0	13.3		
200.0	37.9		
250.0	51.5		
400.0	70.3		

2012.0397 - 30



Volume Statistics (Arithmetic)

30a.\$02

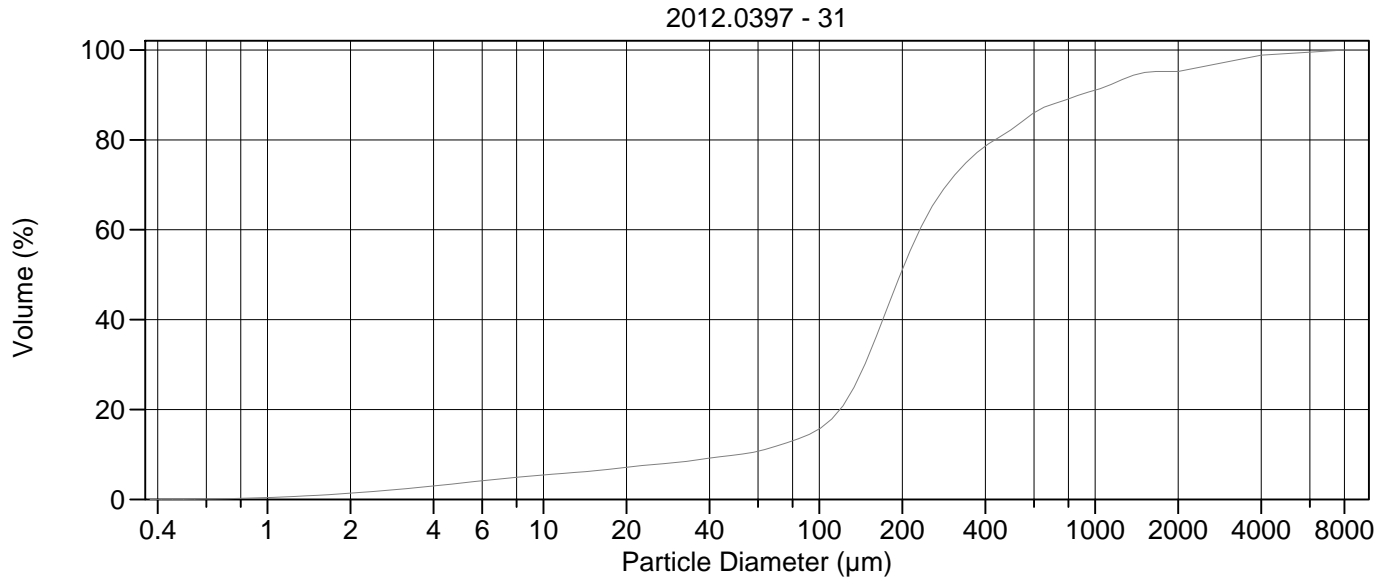
Calculations from 0.375 µm to 8000 µm

Volume	100.0%		
Mean:	480.4 µm	95% Conf. Limits:	0-1861 µm
Median:	238.4 µm	S.D.:	704.7 µm
D(3,2):	55.62 µm	Variance:	496549 µm ²
Mean/Median Ratio:	2.015	C.V.:	147%
Mode:	185.3 µm	Skewness:	4.322 Right skewed
d ₁₀ :	105.3 µm	Kurtosis:	24.81 Leptokurtic
d ₅₀ :	238.4 µm		
d ₉₀ :	1157 µm		
Specific Surf. Area	1079 cm ² /ml		

% <	10	25	50	75	90
Size µm	105.3	157.9	238.4	490.5	1157

30a.\$02

Particle Diameter µm	Volume % <	Particle Diameter µm	Volume % <
2.000	0.81	500.0	75.4
5.000	1.94	1000	87.9
10.00	2.90	2000	97.3
15.00	3.48	4000	99.1
20.00	3.93	8000	100
25.00	4.33	16000	100
50.00	5.81		
60.00	6.34		
63.00	6.49		
70.00	6.82		
75.00	7.06		
90.00	8.06		
125.0	14.3		
200.0	39.4		
250.0	52.6		
400.0	70.2		



Volume Statistics (Arithmetic) 31a.\$02

Calculations from 0.375 µm to 8000 µm

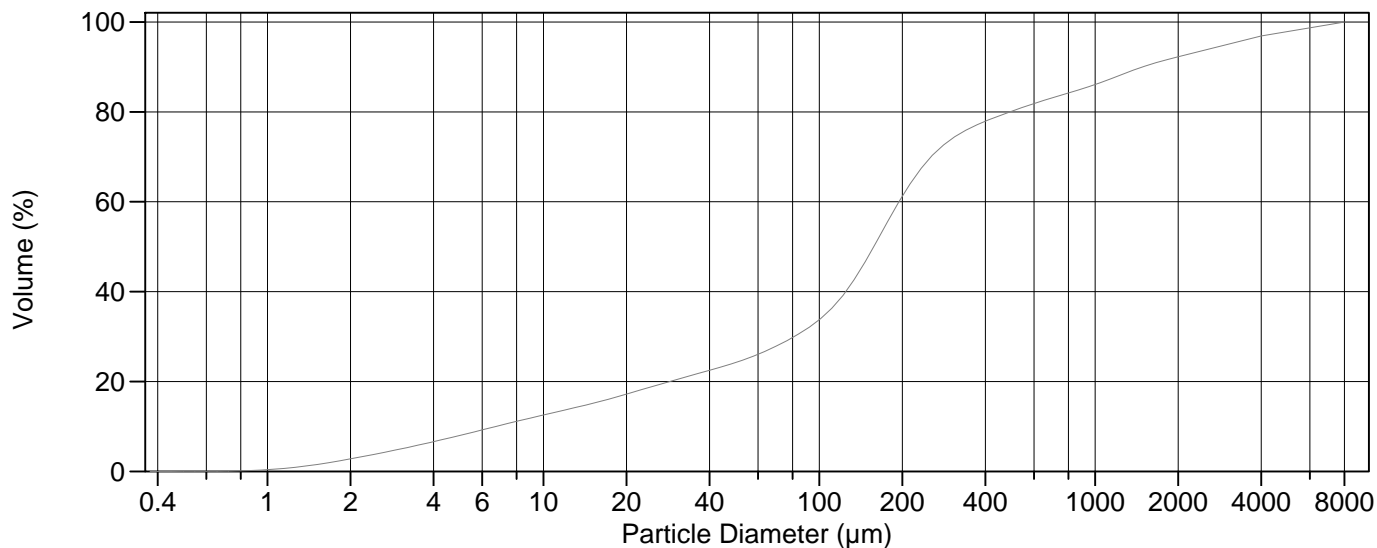
Volume	100.0%		
Mean:	428.0 µm	95% Conf. Limits:	0-1963 µm
Median:	196.6 µm	S.D.:	783.0 µm
D(3,2):	34.61 µm	Variance:	613154 µm ²
Mean/Median Ratio:	2.177	C.V.:	183%
Mode:	168.8 µm	Skewness:	4.432 Right skewed
d ₁₀ :	51.37 µm	Kurtosis:	22.76 Leptokurtic
d ₅₀ :	196.6 µm		
d ₉₀ :	877.8 µm		
Specific Surf. Area	1733 cm ² /ml		

% <	10	25	50	75	90
Size µm	51.37	133.9	196.6	341.4	877.8

31a.\$02

Particle Diameter µm	Volume % <	Particle Diameter µm	Volume % <
2.000	1.38	500.0	82.4
5.000	3.62	1000	91.1
10.00	5.44	2000	95.2
15.00	6.31	4000	98.9
20.00	7.13	8000	100
25.00	7.76	16000	100
50.00	9.91		
60.00	10.7		
63.00	11.0		
70.00	11.9		
75.00	12.5		
90.00	14.2		
125.0	21.9		
200.0	51.1		
250.0	63.9		
400.0	78.6		

2012.0397 - 32



Volume Statistics (Arithmetic)

32a.\$02

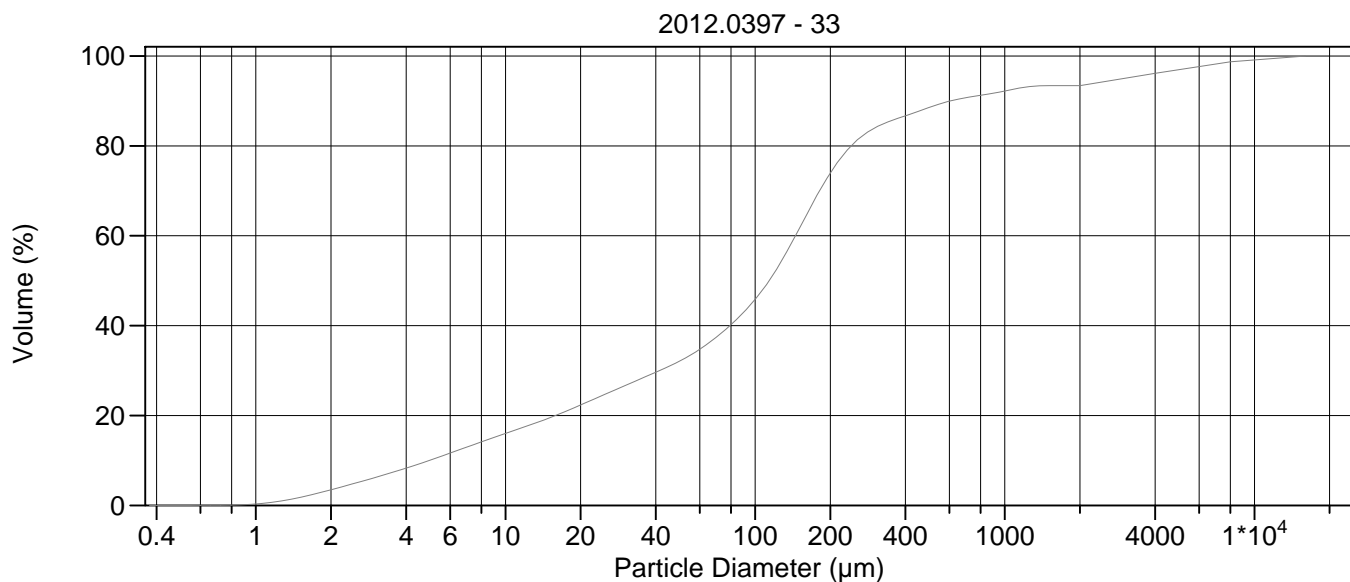
Calculations from 0.375 µm to 8000 µm

Volume	100.0%		
Mean:	541.8 µm	95% Conf. Limits:	0-2736 µm
Median:	157.7 µm	S.D.:	1119 µm
D(3,2):	18.51 µm	Variance:	1252736 µm ²
Mean/Median Ratio:	3.435	C.V.:	207%
Mode:	2828 µm	Skewness:	3.352 Right skewed
d ₁₀ :	6.732 µm	Kurtosis:	11.43 Leptokurtic
d ₅₀ :	157.7 µm		
d ₉₀ :	1484 µm		
Specific Surf. Area	3242 cm ² /ml		

% <	10	25	50	75	90
Size µm	6.732	54.22	157.7	320.3	1484

32a.\$02

Particle Diameter µm	Volume % <	Particle Diameter µm	Volume % <
2.000	2.79	500.0	80.2
5.000	8.03	1000	86.1
10.00	12.6	2000	92.3
15.00	15.1	4000	96.9
20.00	17.2	8000	100
25.00	18.9	16000	100
50.00	24.3		
60.00	26.1		
63.00	26.6		
70.00	27.9		
75.00	28.9		
90.00	31.7		
125.0	40.1		
200.0	61.2		
250.0	69.5		
400.0	77.9		



Volume Statistics (Arithmetic) 33a.\$02

Calculations from 0.375 µm to 16000 µm

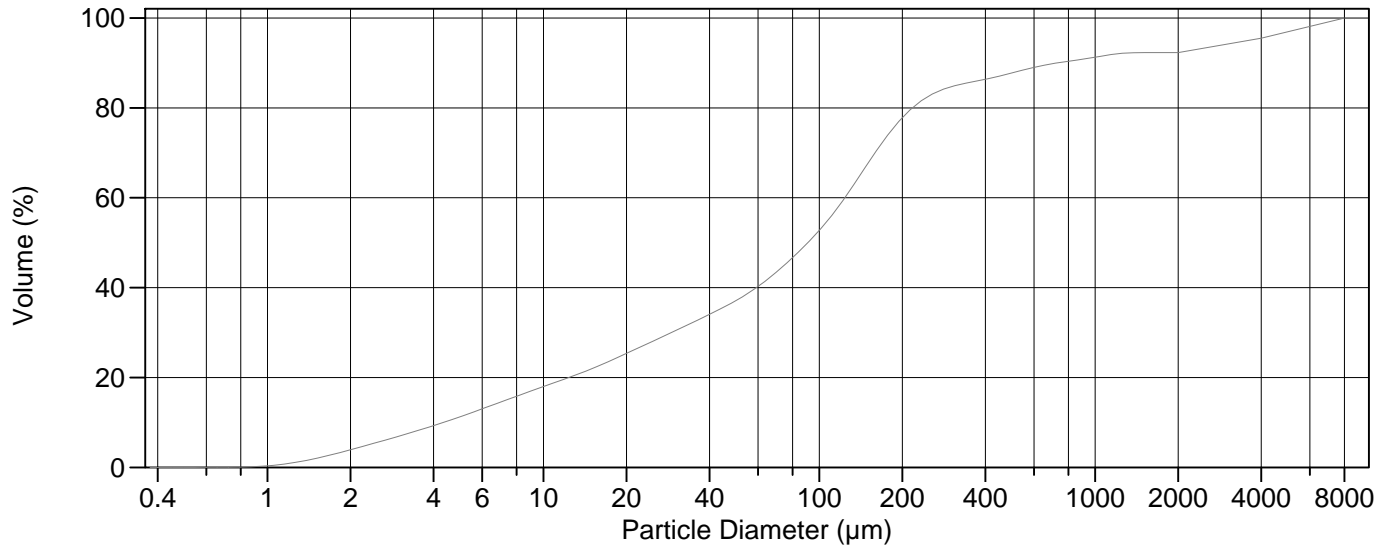
Volume	100.0%		
Mean:	504.8 µm	95% Conf. Limits:	0-3593 µm
Median:	113.8 µm	S.D.:	1575 µm
D(3,2):	14.91 µm	Variance:	2481715 µm ²
Mean/Median Ratio:	4.437	C.V.:	312%
Mode:	153.8 µm	Skewness:	5.109 Right skewed
d ₁₀ :	4.947 µm	Kurtosis:	28.45 Leptokurtic
d ₅₀ :	113.8 µm		
d ₉₀ :	605.3 µm		
Specific Surf. Area	4023 cm ² /ml		

% <	10	25	50	75	90
Size µm	4.947	25.74	113.8	206.1	605.3

33a.\$02

Particle Diameter µm	Volume % <	Particle Diameter µm	Volume % <
2.000	3.48	500.0	88.6
5.000	10.1	1000	92.2
10.00	16.0	2000	93.4
15.00	19.5	4000	96.1
20.00	22.4	8000	98.7
25.00	24.7	16000	100
50.00	32.2		
60.00	34.7		
63.00	35.5		
70.00	37.5		
75.00	38.8		
90.00	43.0		
125.0	53.6		
200.0	73.9		
250.0	80.7		
400.0	86.7		

2012.0397 - 34



Volume Statistics (Arithmetic)

34a.\$02

Calculations from 0.375 µm to 8000 µm

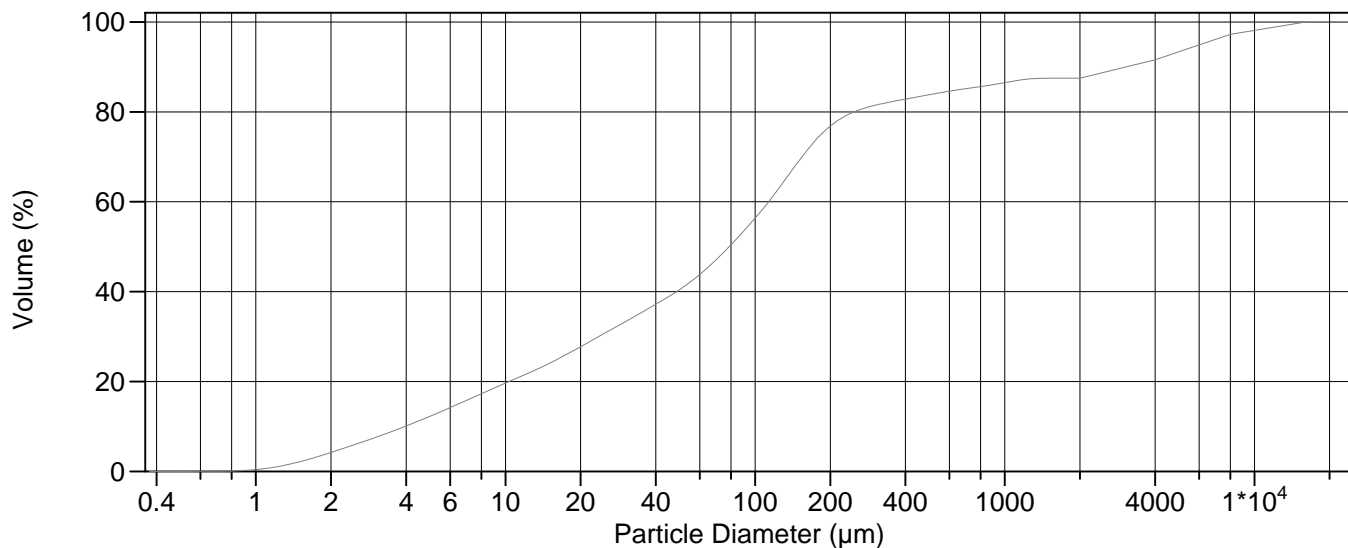
Volume	100.0%		
Mean:	462.2 µm	95% Conf. Limits:	0-2883 µm
Median:	90.92 µm	S.D.:	1235 µm
D(3,2):	13.32 µm	Variance:	1524837 µm ²
Mean/Median Ratio:	5.084	C.V.:	267%
Mode:	5657 µm	Skewness:	3.542 Right skewed
d ₁₀ :	4.339 µm	Kurtosis:	11.50 Leptokurtic
d ₅₀ :	90.92 µm		
d ₉₀ :	727.9 µm		
Specific Surf. Area	4503 cm ² /ml		

% <	10	25	50	75	90
Size µm	4.339	19.43	90.92	182.8	727.9

34a.\$02

Particle Diameter µm	Volume % <	Particle Diameter µm	Volume % <
2.000	3.94	500.0	87.8
5.000	11.3	1000	91.3
10.00	18.0	2000	92.3
15.00	22.0	4000	95.5
20.00	25.4	8000	100
25.00	28.1	16000	100
50.00	37.1		
60.00	40.3		
63.00	41.2		
70.00	43.5		
75.00	45.1		
90.00	49.7		
125.0	60.4		
200.0	77.8		
250.0	82.6		
400.0	86.4		

2012.0397 - 35



Volume Statistics (Arithmetic)

35#a.\$02

Calculations from 0.375 µm to 16000 µm

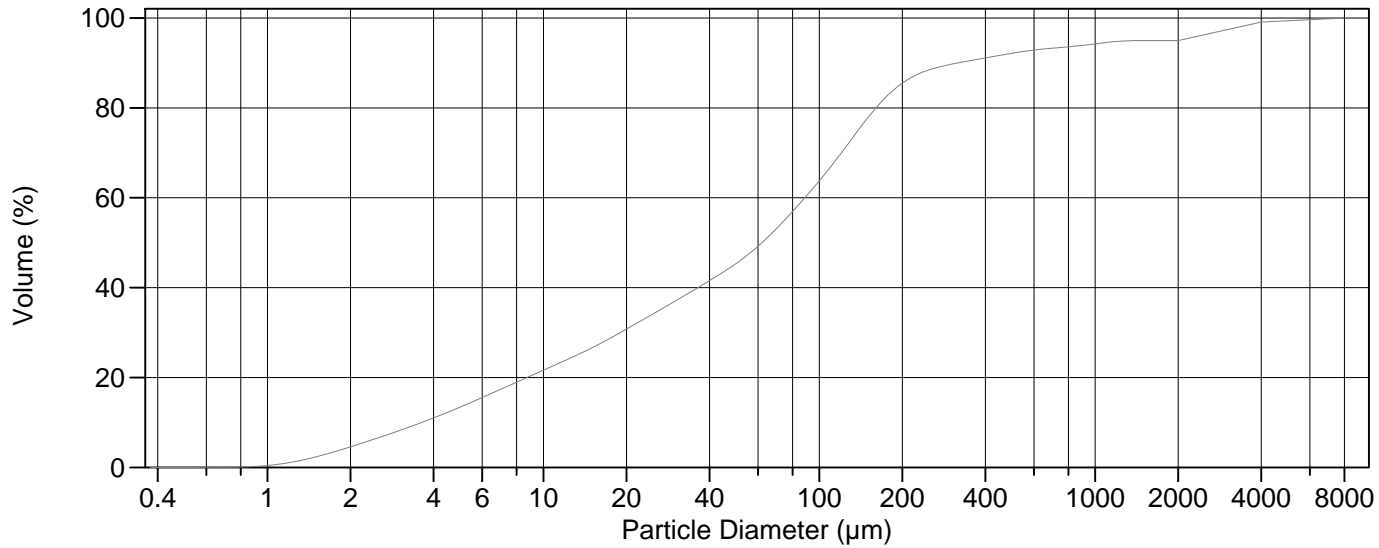
Volume	100.0%		
Mean:	844.5 µm	95% Conf. Limits:	0-5217 µm
Median:	78.64 µm	S.D.:	2231 µm
D(3,2):	12.37 µm	Variance:	4977138 µm ²
Mean/Median Ratio:	10.74	C.V.:	264%
Mode:	5657 µm	Skewness:	3.395 Right skewed
d ₁₀ :	3.957 µm	Kurtosis:	11.55 Leptokurtic
d ₅₀ :	78.64 µm		
d ₉₀ :	3225 µm		
Specific Surf. Area	4851 cm ² /ml		

% <	10	25	50	75	90
Size µm	3.957	16.21	78.64	184.2	3225

35#a.\$02

Particle Diameter µm	Volume % <	Particle Diameter µm	Volume % <
2.000	4.22	500.0	83.8
5.000	12.3	1000	86.5
10.00	19.6	2000	87.5
15.00	24.0	4000	91.6
20.00	27.7	8000	97.3
25.00	30.8	16000	100
50.00	40.5		
60.00	43.8		
63.00	44.8		
70.00	47.2		
75.00	48.8		
90.00	53.5		
125.0	63.1		
200.0	76.8		
250.0	80.0		
400.0	82.8		

2012.0397 - 36



Volume Statistics (Arithmetic)

36a.\$02

Calculations from 0.375 µm to 8000 µm

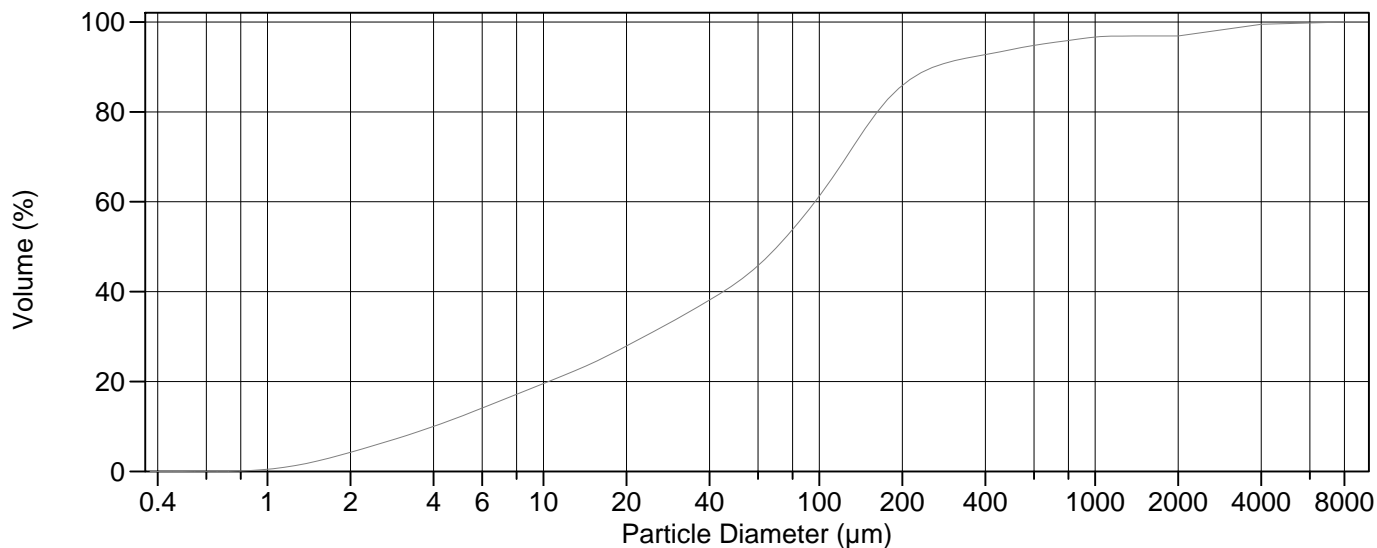
Volume	100.0%		
Mean:	260.8 µm	95% Conf. Limits:	0-1750 µm
Median:	61.96 µm	S.D.:	759.8 µm
D(3,2):	11.25 µm	Variance:	577235 µm ²
Mean/Median Ratio:	4.209	C.V.:	291%
Mode:	2828 µm	Skewness:	4.750 Right skewed
d ₁₀ :	3.624 µm	Kurtosis:	24.82 Leptokurtic
d ₅₀ :	61.96 µm		
d ₉₀ :	317.1 µm		
Specific Surf. Area	5333 cm ² /ml		

% <	10	25	50	75	90
Size µm	3.624	13.26	61.96	138.5	317.1

36a.\$02

Particle Diameter µm	Volume % <	Particle Diameter µm	Volume % <
2.000	4.58	500.0	92.2
5.000	13.4	1000	94.2
10.00	21.6	2000	95.0
15.00	26.6	4000	99.1
20.00	30.8	8000	100
25.00	34.2	16000	100
50.00	45.4		
60.00	49.2		
63.00	50.4		
70.00	53.2		
75.00	55.1		
90.00	60.4		
125.0	71.3		
200.0	85.5		
250.0	88.5		
400.0	91.1		

2012.0397 - 37



Volume Statistics (Arithmetic)

37a.\$02

Calculations from 0.375 µm to 8000 µm

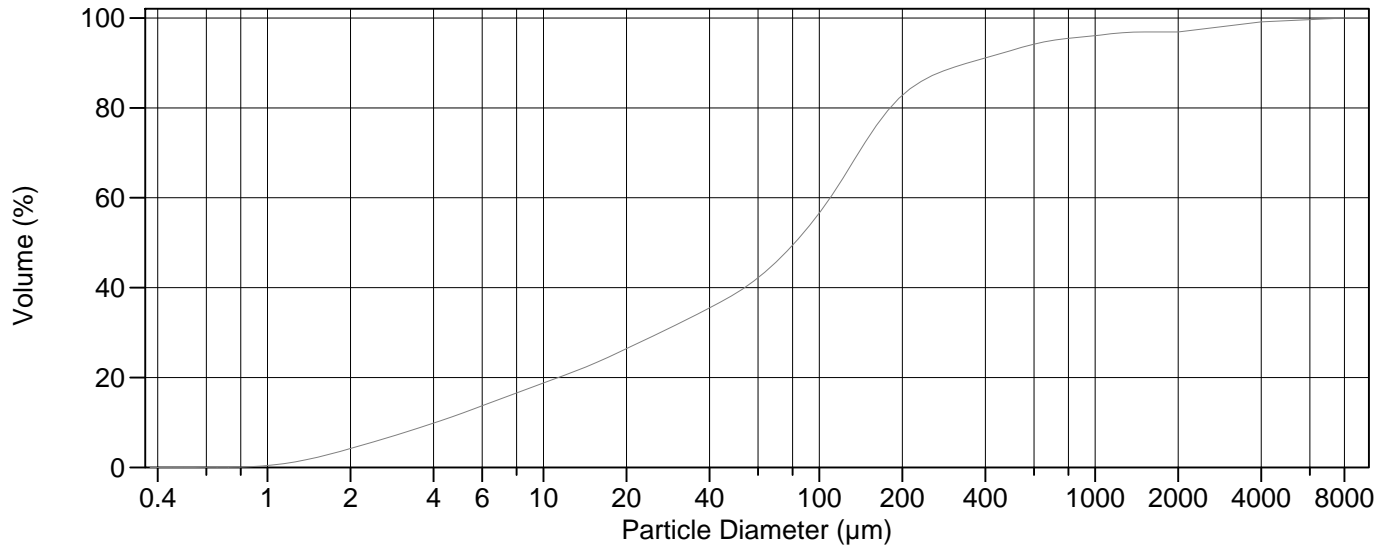
Volume	100.0%		
Mean:	203.2 µm	95% Conf. Limits:	0-1381 µm
Median:	70.40 µm	S.D.:	600.7 µm
D(3,2):	12.12 µm	Variance:	360844 µm ²
Mean/Median Ratio:	2.887	C.V.:	296%
Mode:	127.6 µm	Skewness:	6.007 Right skewed
d ₁₀ :	3.996 µm	Kurtosis:	41.20 Leptokurtic
d ₅₀ :	70.40 µm		
d ₉₀ :	260.3 µm		
Specific Surf. Area	4950 cm ² /ml		

% <	10	25	50	75	90
Size µm	3.996	16.15	70.40	142.2	260.3

37a.\$02

Particle Diameter µm	Volume % <	Particle Diameter µm	Volume % <
2.000	4.26	500.0	93.9
5.000	12.2	1000	96.6
10.00	19.5	2000	96.9
15.00	24.1	4000	99.5
20.00	27.9	8000	100
25.00	31.1	16000	100
50.00	41.9		
60.00	45.8		
63.00	47.0		
70.00	49.8		
75.00	51.8		
90.00	57.6		
125.0	69.8		
200.0	85.9		
250.0	89.5		
400.0	92.8		

2012.0397 - 38



Volume Statistics (Arithmetic)

38#a.\$02

Calculations from 0.375 µm to 8000 µm

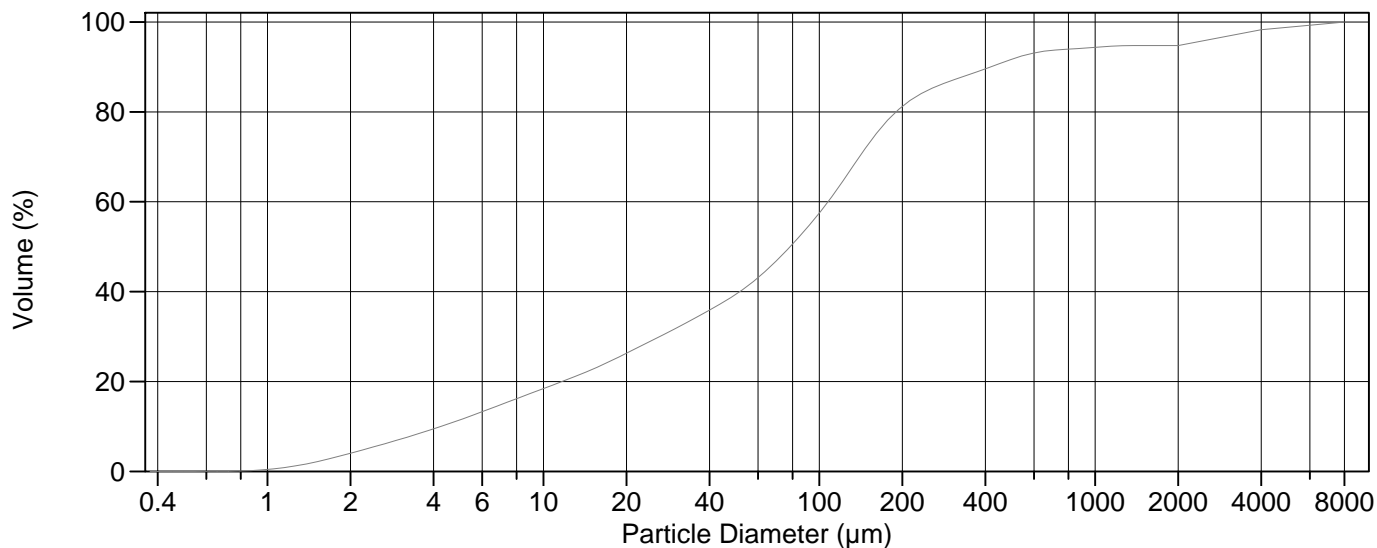
Volume	100.0%		
Mean:	229.6 µm	95% Conf. Limits:	0-1536 µm
Median:	81.59 µm	S.D.:	666.5 µm
D(3,2):	12.58 µm	Variance:	444233 µm ²
Mean/Median Ratio:	2.815	C.V.:	290%
Mode:	127.6 µm	Skewness:	5.991 Right skewed
d ₁₀ :	4.069 µm	Kurtosis:	40.04 Leptokurtic
d ₅₀ :	81.59 µm		
d ₉₀ :	345.6 µm		
Specific Surf. Area	4769 cm ² /ml		

% <	10	25	50	75	90
Size µm	4.069	17.88	81.59	156.9	345.6

38#a.\$02

Particle Diameter µm	Volume % <	Particle Diameter µm	Volume % <
2.000	4.21	500.0	92.8
5.000	11.9	1000	96.1
10.00	18.8	2000	96.9
15.00	22.9	4000	99.1
20.00	26.4	8000	100
25.00	29.2	16000	100
50.00	38.8		
60.00	42.2		
63.00	43.3		
70.00	45.8		
75.00	47.6		
90.00	53.0		
125.0	65.4		
200.0	82.8		
250.0	86.8		
400.0	91.1		

2012.0397 - 39



Volume Statistics (Arithmetic)

39a.\$02

Calculations from 0.375 µm to 8000 µm

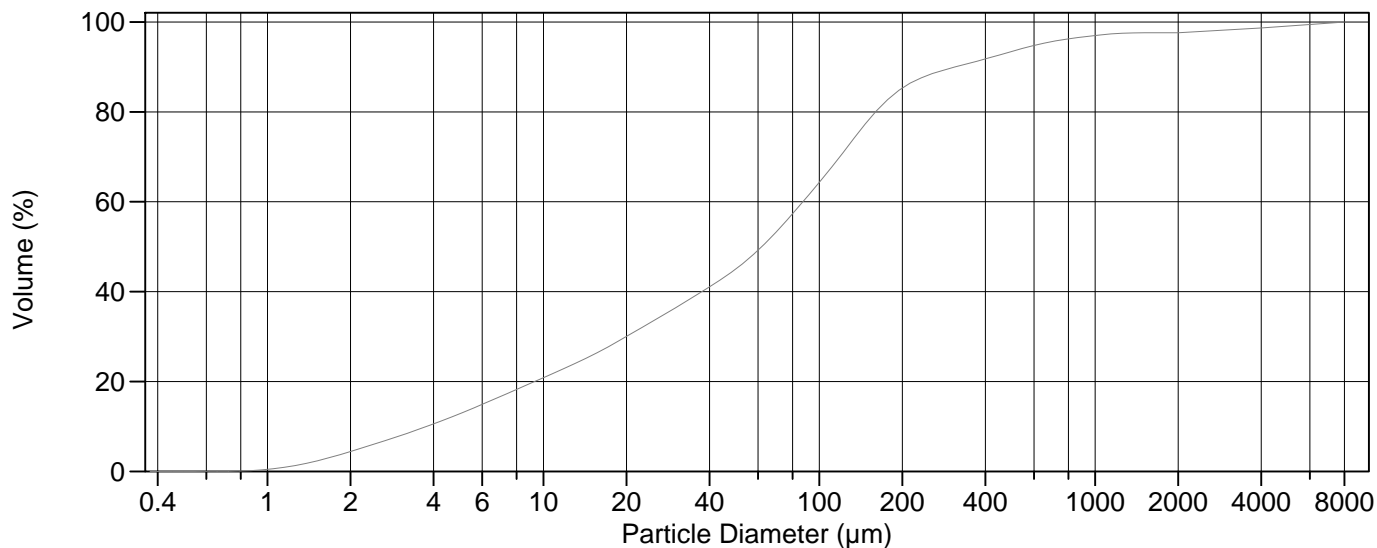
Volume	100.0%		
Mean:	303.8 µm	95% Conf. Limits:	0-2026 µm
Median:	78.42 µm	S.D.:	878.8 µm
D(3,2):	12.84 µm	Variance:	772310 µm ²
Mean/Median Ratio:	3.874	C.V.:	289%
Mode:	127.6 µm	Skewness:	4.707 Right skewed
d ₁₀ :	4.250 µm	Kurtosis:	23.08 Leptokurtic
d ₅₀ :	78.42 µm		
d ₉₀ :	417.2 µm		
Specific Surf. Area	4673 cm ² /ml		

% <	10	25	50	75	90
Size µm	4.250	18.13	78.42	160.3	417.2

39a.\$02

Particle Diameter µm	Volume % <	Particle Diameter µm	Volume % <
2.000	4.04	500.0	91.7
5.000	11.5	1000	94.4
10.00	18.4	2000	94.8
15.00	22.7	4000	98.3
20.00	26.3	8000	100
25.00	29.3	16000	100
50.00	39.5		
60.00	43.1		
63.00	44.3		
70.00	46.9		
75.00	48.8		
90.00	54.1		
125.0	65.6		
200.0	81.2		
250.0	84.9		
400.0	89.6		

2012.0397 - 40



Volume Statistics (Arithmetic)

40a.\$02

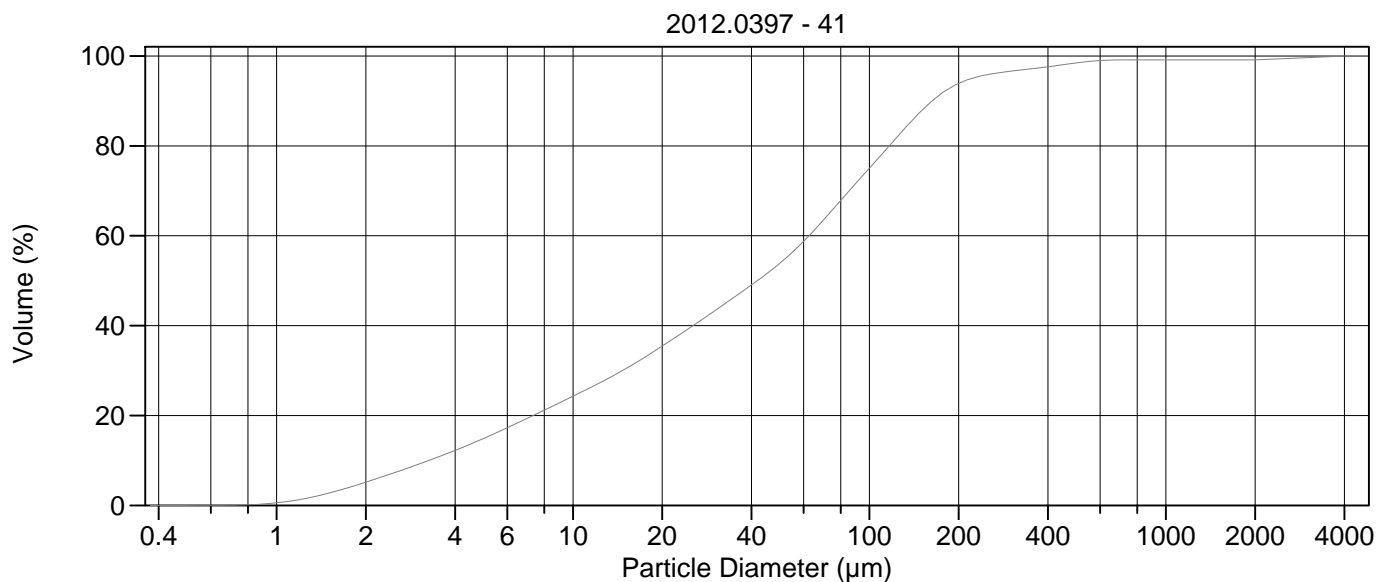
Calculations from 0.375 µm to 8000 µm

Volume	100.0%		
Mean:	212.1 µm	95% Conf. Limits:	0-1602 µm
Median:	61.88 µm	S.D.:	709.0 µm
D(3,2):	11.54 µm	Variance:	502630 µm ²
Mean/Median Ratio:	3.428	C.V.:	334%
Mode:	127.6 µm	Skewness:	6.538 Right skewed
d ₁₀ :	3.774 µm	Kurtosis:	44.95 Leptokurtic
d ₅₀ :	61.88 µm		
d ₉₀ :	310.6 µm		
Specific Surf. Area	5201 cm ² /ml		

% <	10	25	50	75	90
Size µm	3.774	14.10	61.88	137.2	310.6

40a.\$02

Particle Diameter µm	Volume % <	Particle Diameter µm	Volume % <
2.000	4.43	500.0	93.5
5.000	12.9	1000	97.0
10.00	20.9	2000	97.6
15.00	25.8	4000	98.7
20.00	30.0	8000	100
25.00	33.5	16000	100
50.00	45.1		
60.00	49.2		
63.00	50.5		
70.00	53.4		
75.00	55.4		
90.00	61.0		
125.0	71.8		
200.0	85.3		
250.0	88.2		
400.0	91.8		



Volume Statistics (Arithmetic) 41a.\$02

Calculations from 0.375 µm to 4000 µm

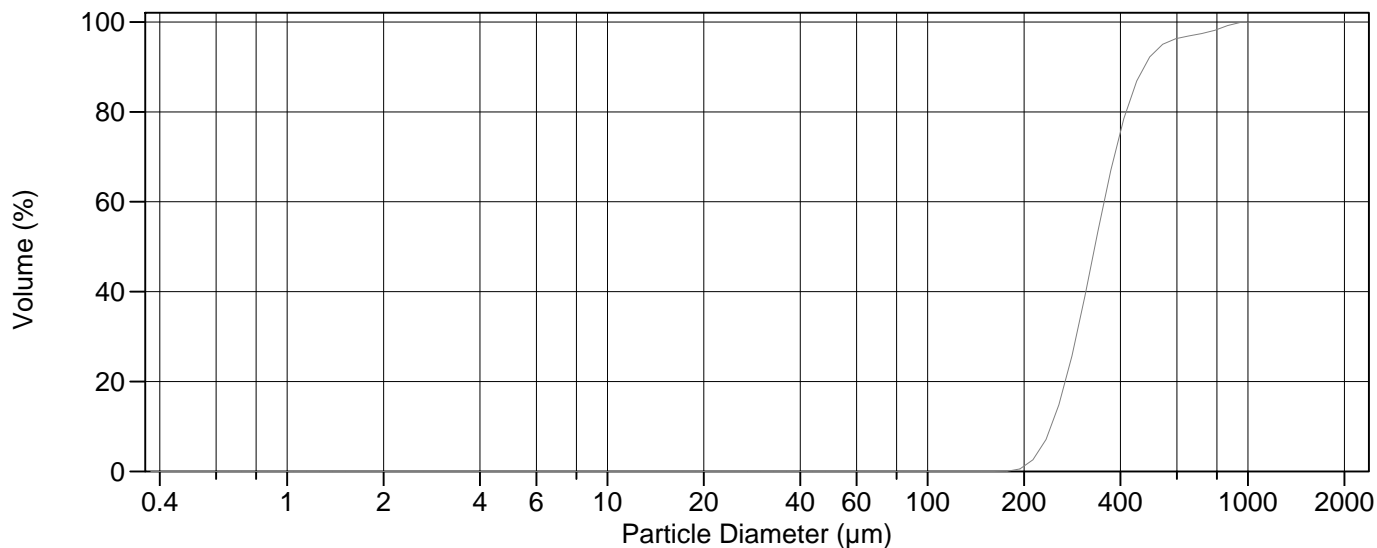
Volume	100.0%		
Mean:	91.90 µm	95% Conf. Limits:	0-615.4 µm
Median:	41.84 µm	S.D.:	267.1 µm
D(3,2):	9.902 µm	Variance:	71340 µm ²
Mean/Median Ratio:	2.196	C.V.:	291%
Mode:	80.08 µm	Skewness:	9.203 Right skewed
d ₁₀ :	3.270 µm	Kurtosis:	90.78 Leptokurtic
d ₅₀ :	41.84 µm		
d ₉₀ :	162.7 µm		
Specific Surf. Area	6060 cm ² /ml		

% <	10	25	50	75	90
Size µm	3.270	10.51	41.84	99.89	162.7

41a.\$02

Particle Diameter µm	Volume % <	Particle Diameter µm	Volume % <
2.000	5.17	500.0	98.5
5.000	14.9	1000	99.2
10.00	24.3	2000	99.2
15.00	30.3	4000	100
20.00	35.4	8000	100
25.00	39.7	16000	100
50.00	54.0		
60.00	58.8		
63.00	60.2		
70.00	63.5		
75.00	65.7		
90.00	71.7		
125.0	82.2		
200.0	93.9		
250.0	95.9		
400.0	97.6		

2012.0397 - 42



Volume Statistics (Arithmetic) 42.\$02

Calculations from 0.375 µm to 2000 µm

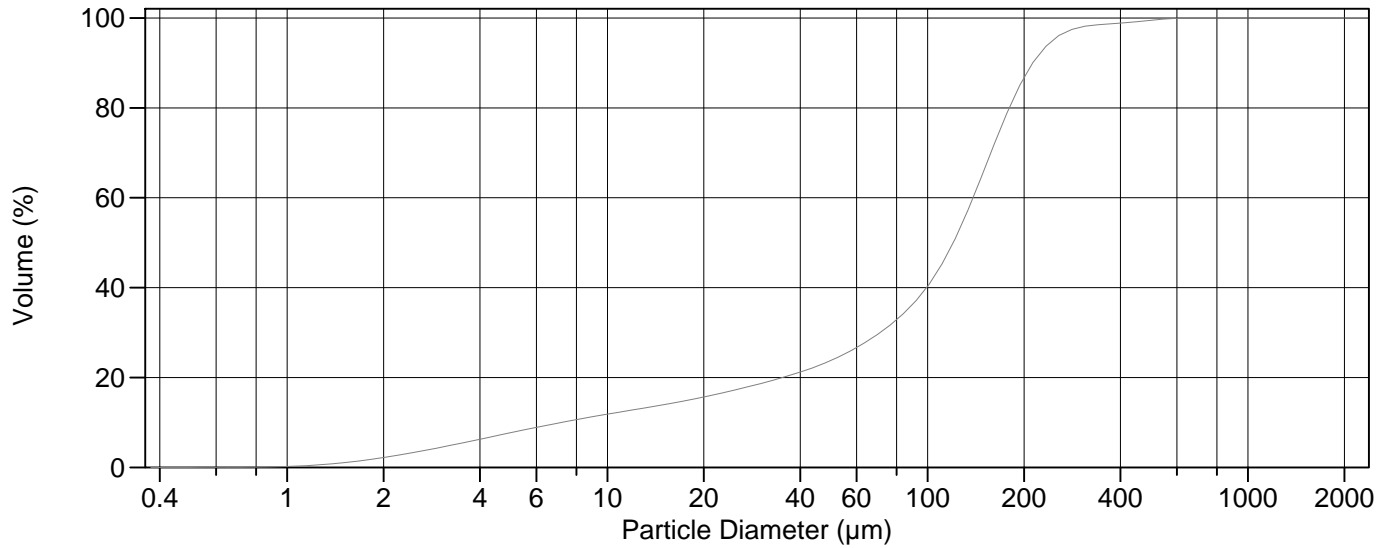
Volume	100.0%		
Mean:	354.4 µm	95% Conf. Limits:	128.1-580.8 µm
Median:	332.7 µm	S.D.:	115.5 µm
D(3,2):	327.3 µm	Variance:	13334 µm ²
Mean/Median Ratio:	1.065	C.V.:	32.6%
Mode:	324.3 µm	Skewness:	2.095 Right skewed
d ₁₀ :	242.7 µm	Kurtosis:	6.471 Leptokurtic
d ₅₀ :	332.7 µm		
d ₉₀ :	475.2 µm		
Specific Surf. Area	183.3 cm ² /ml		

% <	10	25	50	75	90
Size µm	242.7	280.5	332.7	398.5	475.2

42.\$02

Particle Diameter µm	Volume % <	Particle Diameter µm	Volume % <
2.000	0	500.0	92.6
5.000	0	1000	100.0
10.00	0	2000	100
15.00	0		
20.00	0		
25.00	0		
50.00	0		
60.00	0		
63.00	0		
70.00	0		
75.00	0		
90.00	0		
125.0	0		
200.0	1.17		
250.0	12.5		
400.0	75.5		

2012.0397 - 43



Volume Statistics (Arithmetic)

43.\$02

Calculations from 0.375 µm to 2000 µm

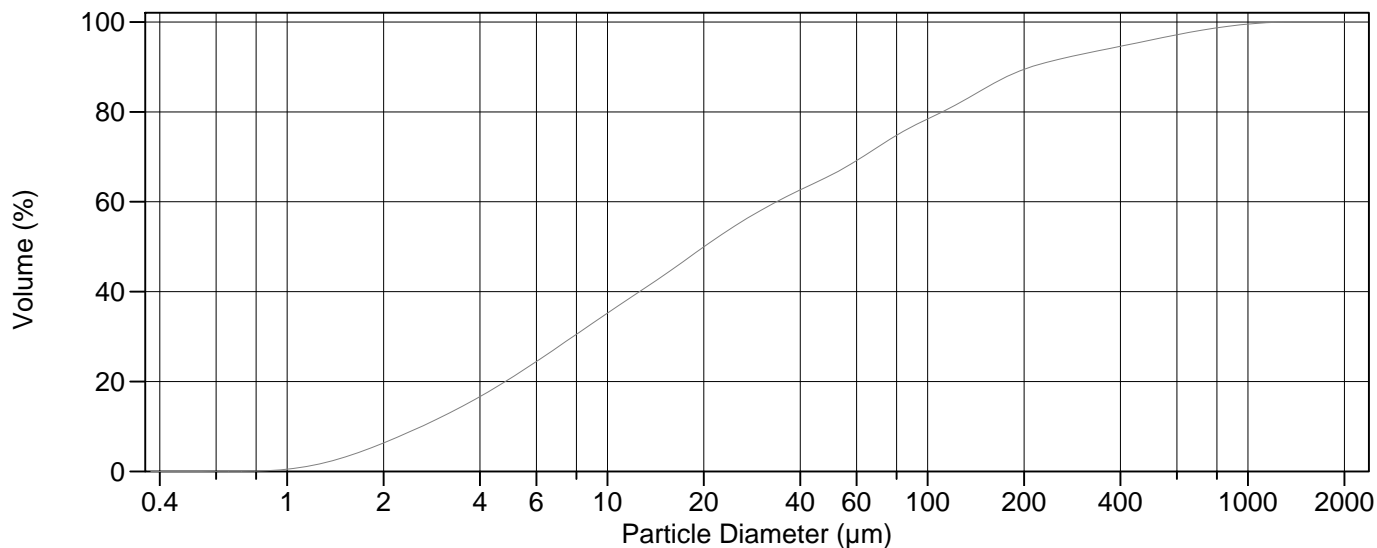
Volume	100.0%	95% Conf. Limits:	0-285.2 µm
Mean:	119.1 µm	S.D.:	84.72 µm
Median:	120.1 µm	Variance:	7177 µm ²
D(3,2):	19.74 µm	C.V.:	71.1%
Mean/Median Ratio:	0.992	Skewness:	1.149 Right skewed
Mode:	153.8 µm	Kurtosis:	3.915 Leptokurtic
d ₁₀ :	7.184 µm		
d ₅₀ :	120.1 µm		
d ₉₀ :	212.9 µm		
Specific Surf. Area	3039 cm ² /ml		

% <	10	25	50	75	90
Size µm	7.184	54.26	120.1	168.2	212.9

43.\$02

Particle Diameter µm	Volume % <	Particle Diameter µm	Volume % <
2.000	2.19	500.0	99.5
5.000	7.73	1000	100
10.00	11.9	2000	100
15.00	14.0		
20.00	15.7		
25.00	17.2		
50.00	23.8		
60.00	26.7		
63.00	27.6		
70.00	29.7		
75.00	31.3		
90.00	36.4		
125.0	52.6		
200.0	86.6		
250.0	95.4		
400.0	98.9		

2012.0397 - 44



Volume Statistics (Arithmetic) 44.\$02

Calculations from 0.375 µm to 2000 µm

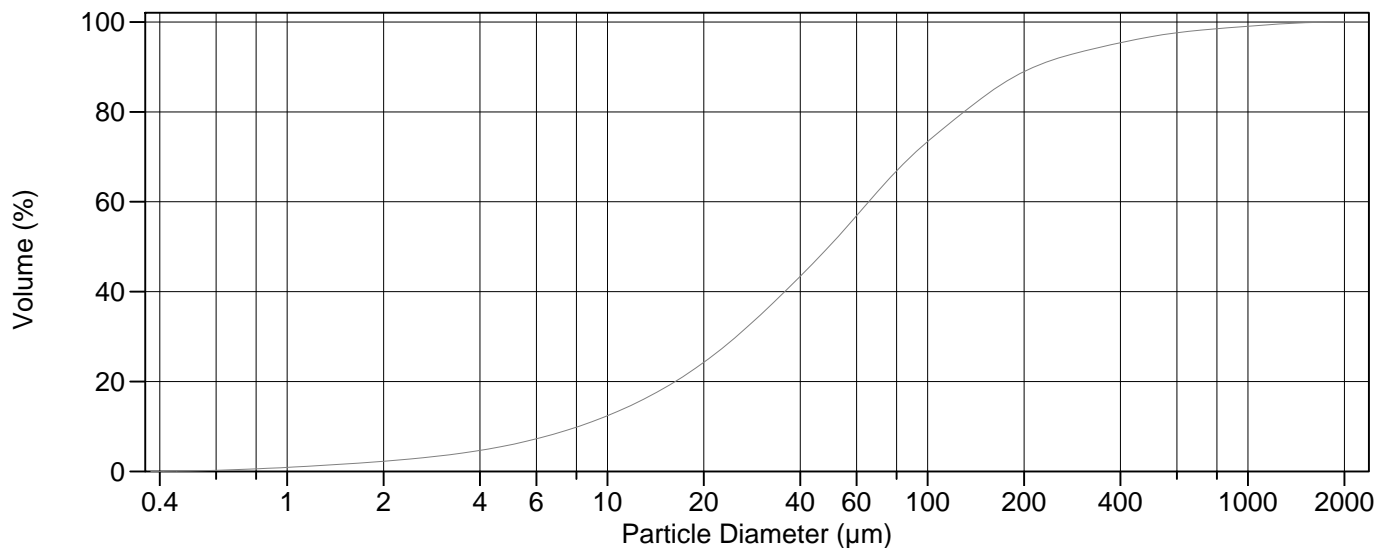
Volume	100.0%		
Mean:	83.68 µm	95% Conf. Limits:	0-402.9 µm
Median:	20.05 µm	S.D.:	162.9 µm
D(3,2):	7.674 µm	Variance:	26531 µm ²
Mean/Median Ratio:	4.173	C.V.:	195%
Mode:	18.00 µm	Skewness:	3.563 Right skewed
d ₁₀ :	2.627 µm	Kurtosis:	14.70 Leptokurtic
d ₅₀ :	20.05 µm		
d ₉₀ :	210.4 µm		
Specific Surf. Area	7818 cm ² /ml		

% <	10	25	50	75	90
Size µm	2.627	6.160	20.05	80.96	210.4

44.\$02

Particle Diameter µm	Volume % <	Particle Diameter µm	Volume % <
2.000	6.34	500.0	96.0
5.000	20.8	1000	99.5
10.00	35.2	2000	100
15.00	43.6		
20.00	49.9		
25.00	54.6		
50.00	66.0		
60.00	69.1		
63.00	70.1		
70.00	72.2		
75.00	73.6		
90.00	76.8		
125.0	81.9		
200.0	89.4		
250.0	91.5		
400.0	94.6		

2012.0397 - stand. MINN



Volume Statistics (Arithmetic) 45.\$02

Calculations from 0.375 µm to 2000 µm

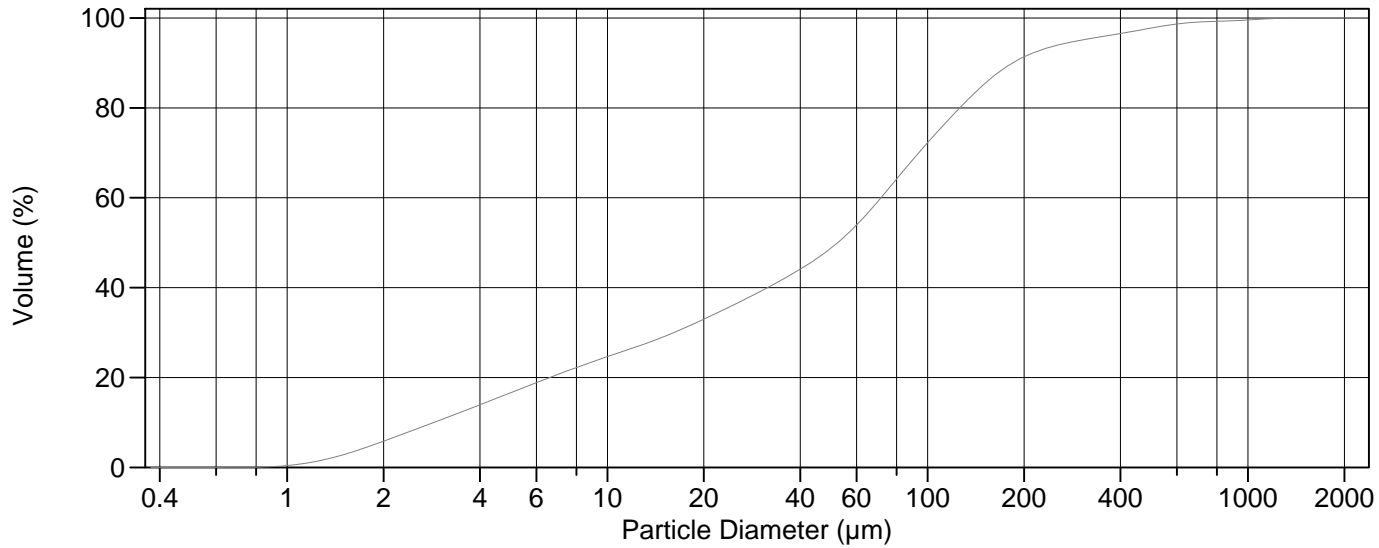
Volume	100.0%		
Mean:	100.9 µm	95% Conf. Limits:	0-438.5 µm
Median:	49.17 µm	S.D.:	172.2 µm
D(3,2):	15.55 µm	Variance:	29664 µm ²
Mean/Median Ratio:	2.052	C.V.:	171%
Mode:	60.52 µm	Skewness:	4.629 Right skewed
d ₁₀ :	8.120 µm	Kurtosis:	27.71 Leptokurtic
d ₅₀ :	49.17 µm		
d ₉₀ :	215.1 µm		
Specific Surf. Area	3859 cm ² /ml		

% <	10	25	50	75	90
Size µm	8.120	20.66	49.17	106.4	215.1

45.\$02

Particle Diameter µm	Volume % <	Particle Diameter µm	Volume % <
2.000	2.26	500.0	96.7
5.000	5.94	1000	99.0
10.00	12.4	2000	100
15.00	18.5		
20.00	24.3		
25.00	29.7		
50.00	50.6		
60.00	56.9		
63.00	58.6		
70.00	62.4		
75.00	64.7		
90.00	70.5		
125.0	79.1		
200.0	88.9		
250.0	91.7		
400.0	95.4		

2012.0397 - 46



Volume Statistics (Arithmetic)

46#.\$02

Calculations from 0.375 µm to 2000 µm

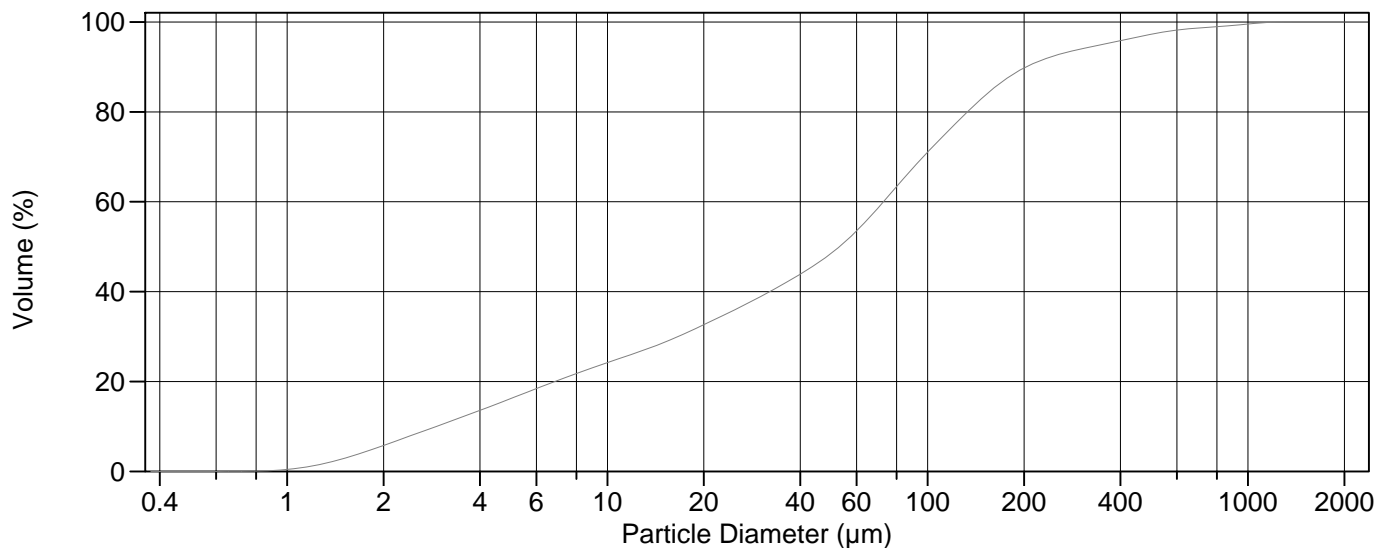
Volume	100.0%		
Mean:	87.24 µm	95% Conf. Limits:	0-348.6 µm
Median:	52.41 µm	S.D.:	133.3 µm
D(3,2):	9.633 µm	Variance:	17778 µm ²
Mean/Median Ratio:	1.665	C.V.:	153%
Mode:	80.08 µm	Skewness:	4.243 Right skewed
d ₁₀ :	2.869 µm	Kurtosis:	25.03 Leptokurtic
d ₅₀ :	52.41 µm		
d ₉₀ :	184.5 µm		
Specific Surf. Area	6228 cm ² /ml		

% <	10	25	50	75	90
Size µm	2.869	10.34	52.41	108.4	184.5

46#.\$02

Particle Diameter µm	Volume % <	Particle Diameter µm	Volume % <
2.000	5.83	1000	99.6
5.000	16.6	2000	100
10.00	24.6		
15.00	29.1		
20.00	33.0		
50.00	48.8		
60.00	53.9		
63.00	55.5		
70.00	59.2		
75.00	61.8		
90.00	68.5		
125.0	79.7		
200.0	91.3		
250.0	93.8		
400.0	96.6		
500.0	97.8		

2012.0397 - 47



Volume Statistics (Arithmetic)

47.\$02

Calculations from 0.375 µm to 2000 µm

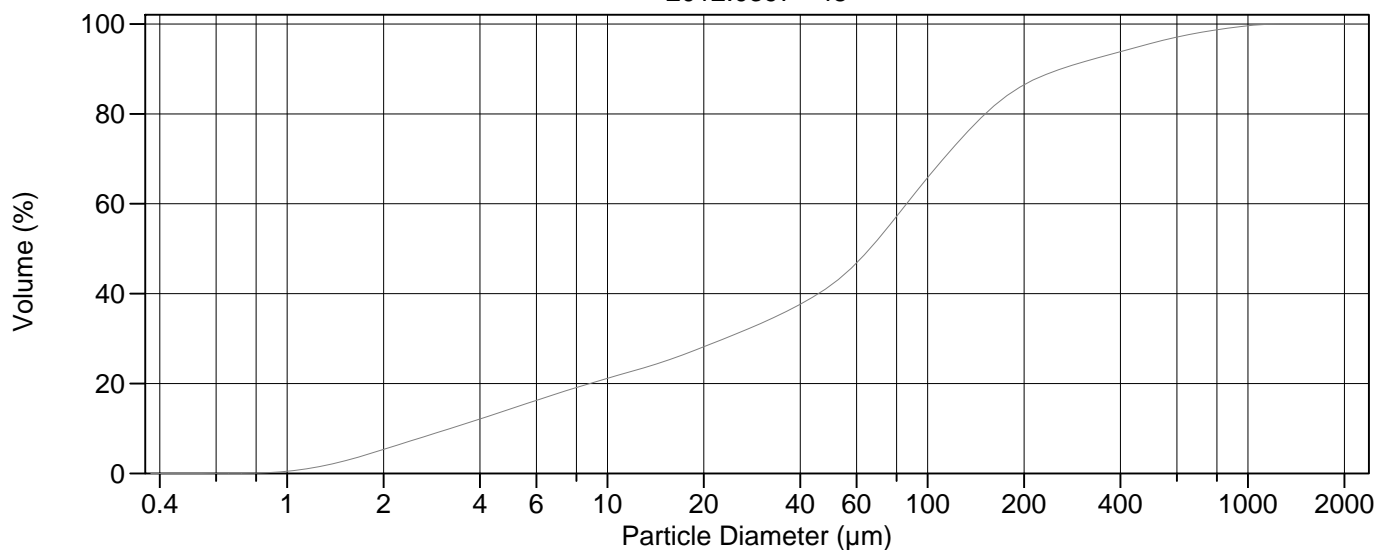
Volume	100.0%		
Mean:	93.64 µm	95% Conf. Limits:	0-375.9 µm
Median:	53.06 µm	S.D.:	144.0 µm
D(3,2):	9.767 µm	Variance:	20742 µm ²
Mean/Median Ratio:	1.765	C.V.:	154%
Mode:	72.95 µm	Skewness:	3.783 Right skewed
d ₁₀ :	2.922 µm	Kurtosis:	18.56 Leptokurtic
d ₅₀ :	53.06 µm		
d ₉₀ :	203.3 µm		
Specific Surf. Area	6143 cm ² /ml		

% <	10	25	50	75	90
Size µm	2.922	10.77	53.06	113.2	203.3

47.\$02

Particle Diameter µm	Volume % <	Particle Diameter µm	Volume % <
2.000	5.77	1000	99.5
5.000	16.2	2000	100
10.00	24.2		
15.00	28.7		
20.00	32.6		
50.00	48.5		
60.00	53.5		
63.00	55.1		
70.00	58.6		
75.00	61.1		
90.00	67.5		
125.0	78.1		
200.0	89.8		
250.0	92.5		
400.0	95.8		
500.0	97.3		

2012.0397 - 48



Volume Statistics (Arithmetic)

48#.\$02

Calculations from 0.375 µm to 2000 µm

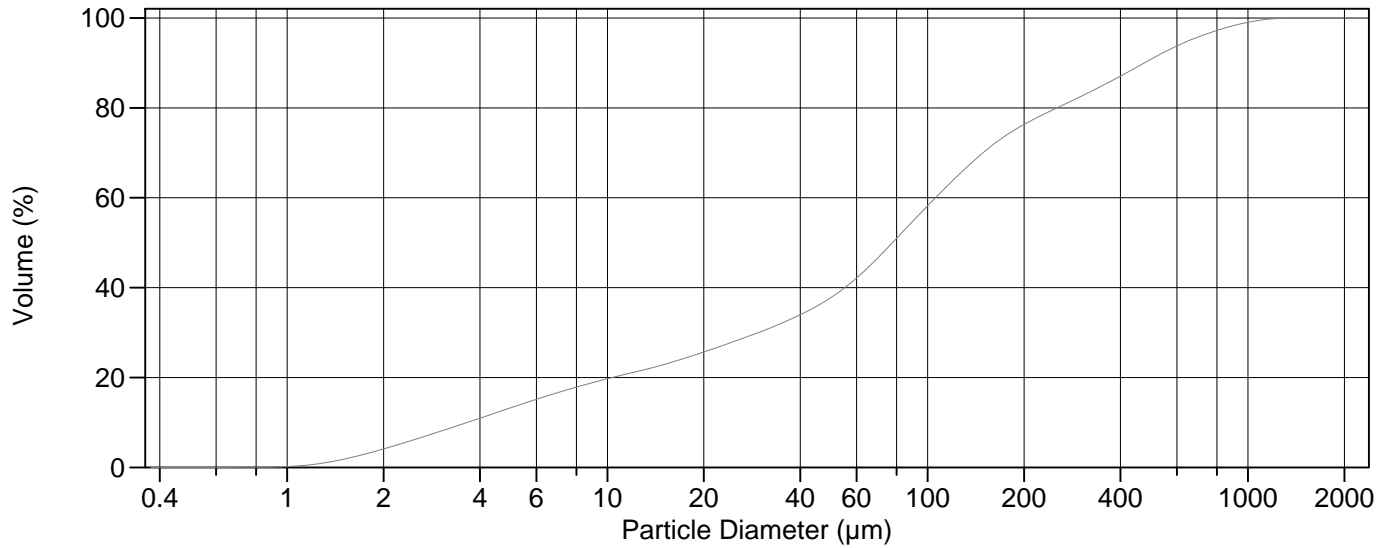
Volume	100.0%		
Mean:	112.5 µm	95% Conf. Limits:	0-430.0 µm
Median:	66.01 µm	S.D.:	162.0 µm
D(3,2):	10.84 µm	Variance:	26246 µm ²
Mean/Median Ratio:	1.704	C.V.:	144%
Mode:	80.08 µm	Skewness:	3.075 Right skewed
d ₁₀ :	3.234 µm	Kurtosis:	11.33 Leptokurtic
d ₅₀ :	66.01 µm		
d ₉₀ :	260.5 µm		
Specific Surf. Area	5536 cm ² /ml		

% <	10	25	50	75	90
Size µm	3.234	15.17	66.01	129.3	260.5

48#.\$02

Particle Diameter µm	Volume % <	Particle Diameter µm	Volume % <
2.000	5.34	500.0	95.7
5.000	14.4	1000	99.6
10.00	21.2	2000	100
15.00	24.9		
20.00	28.2		
25.00	30.9		
50.00	41.9		
60.00	46.8		
63.00	48.4		
70.00	52.1		
75.00	54.7		
90.00	61.8		
125.0	73.9		
200.0	86.4		
250.0	89.5		
400.0	93.9		

2012.0397 - 49



Volume Statistics (Arithmetic)

49.\$02

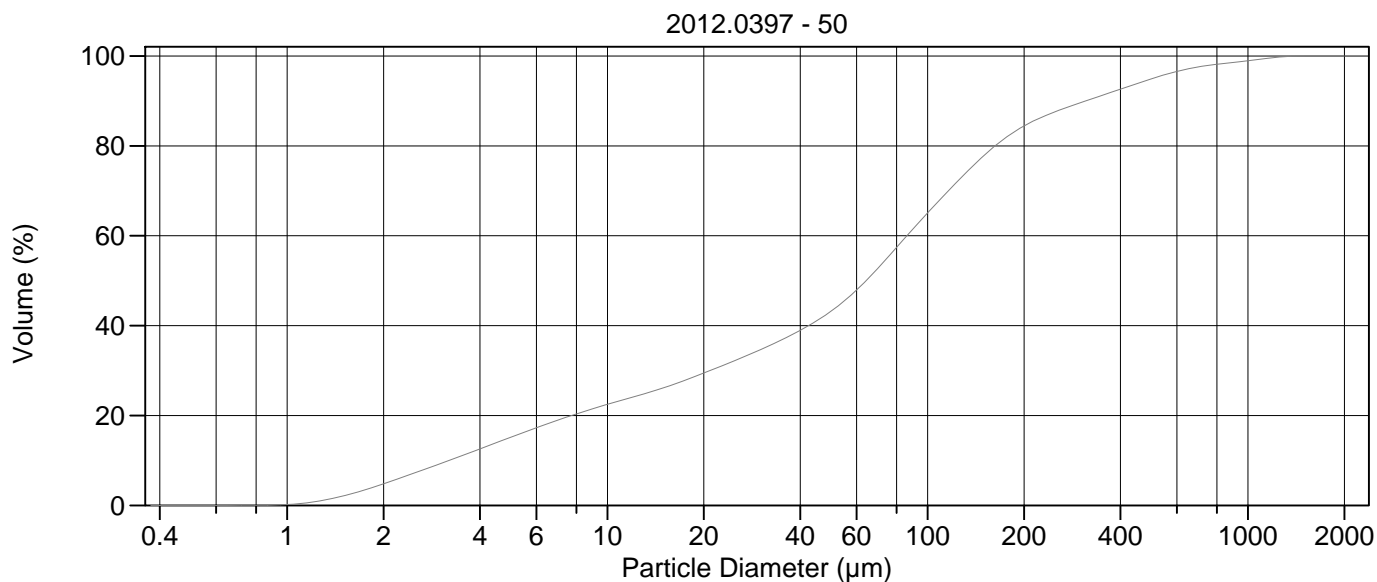
Calculations from 0.375 µm to 2000 µm

Volume	100.0%		
Mean:	160.6 µm	95% Conf. Limits:	0-588.5 µm
Median:	77.65 µm	S.D.:	218.3 µm
D(3,2):	12.51 µm	Variance:	47665 µm ²
Mean/Median Ratio:	2.069	C.V.:	136%
Mode:	80.08 µm	Skewness:	2.168 Right skewed
d ₁₀ :	3.652 µm	Kurtosis:	4.808 Leptokurtic
d ₅₀ :	77.65 µm		
d ₉₀ :	475.2 µm		
Specific Surf. Area	4798 cm ² /ml		

% <	10	25	50	75	90
Size µm	3.652	18.71	77.65	186.2	475.2

49.\$02

Particle Diameter µm	Volume % <	Particle Diameter µm	Volume % <
2.000	4.11	500.0	90.9
5.000	13.3	1000	99.0
10.00	19.7	2000	100
15.00	22.9		
20.00	25.7		
25.00	28.1		
50.00	37.8		
60.00	42.1		
63.00	43.5		
70.00	46.7		
75.00	48.9		
90.00	54.8		
125.0	65.1		
200.0	76.3		
250.0	79.8		
400.0	87.1		



Volume Statistics (Arithmetic)

50.\$02

Calculations from 0.375 µm to 2000 µm

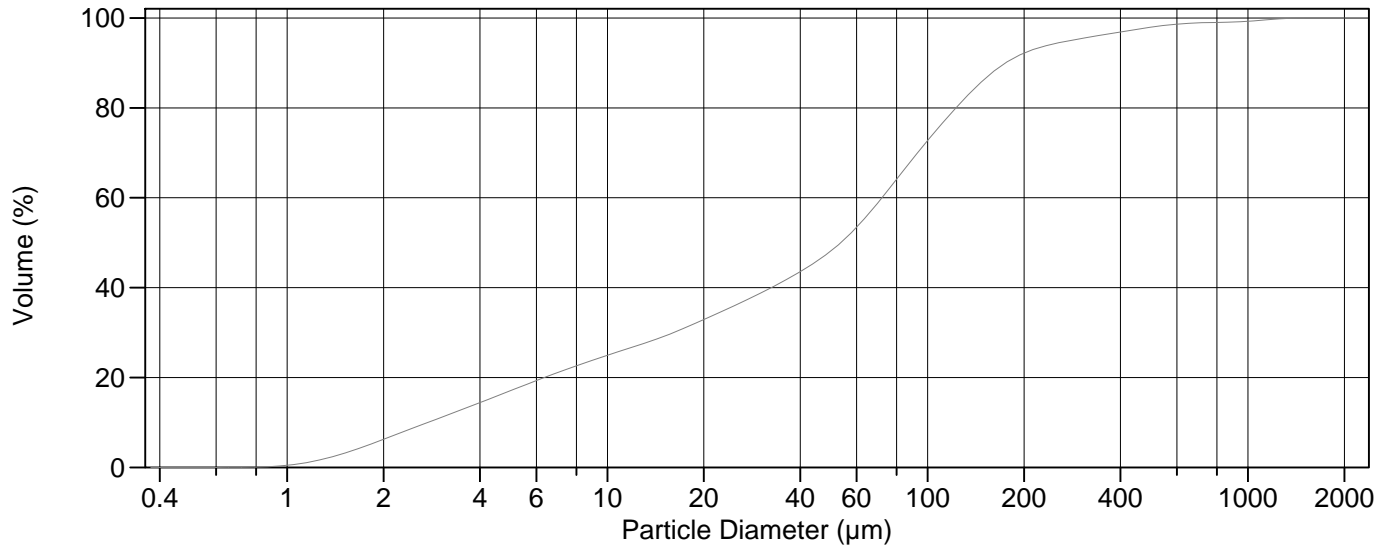
Volume	100.0%		
Mean:	122.2 µm	95% Conf. Limits:	0-488.6 µm
Median:	64.26 µm	S.D.:	186.9 µm
D(3,2):	10.95 µm	Variance:	34948 µm ²
Mean/Median Ratio:	1.901	C.V.:	153%
Mode:	80.08 µm	Skewness:	3.217 Right skewed
d ₁₀ :	3.202 µm	Kurtosis:	12.61 Leptokurtic
d ₅₀ :	64.26 µm		
d ₉₀ :	311.0 µm		
Specific Surf. Area	5478 cm ² /ml		

% <	10	25	50	75	90
Size µm	3.202	13.27	64.26	136.0	311.0

50.\$02

Particle Diameter µm	Volume % <	Particle Diameter µm	Volume % <
2.000	4.81	500.0	94.9
5.000	15.2	1000	98.9
10.00	22.5	2000	100
15.00	26.2		
20.00	29.5		
25.00	32.2		
50.00	43.2		
60.00	47.9		
63.00	49.4		
70.00	52.8		
75.00	55.2		
90.00	61.5		
125.0	72.4		
200.0	84.4		
250.0	87.6		
400.0	92.6		

2012.0397 - 51



Volume Statistics (Arithmetic)

51.\$02

Calculations from 0.375 µm to 2000 µm

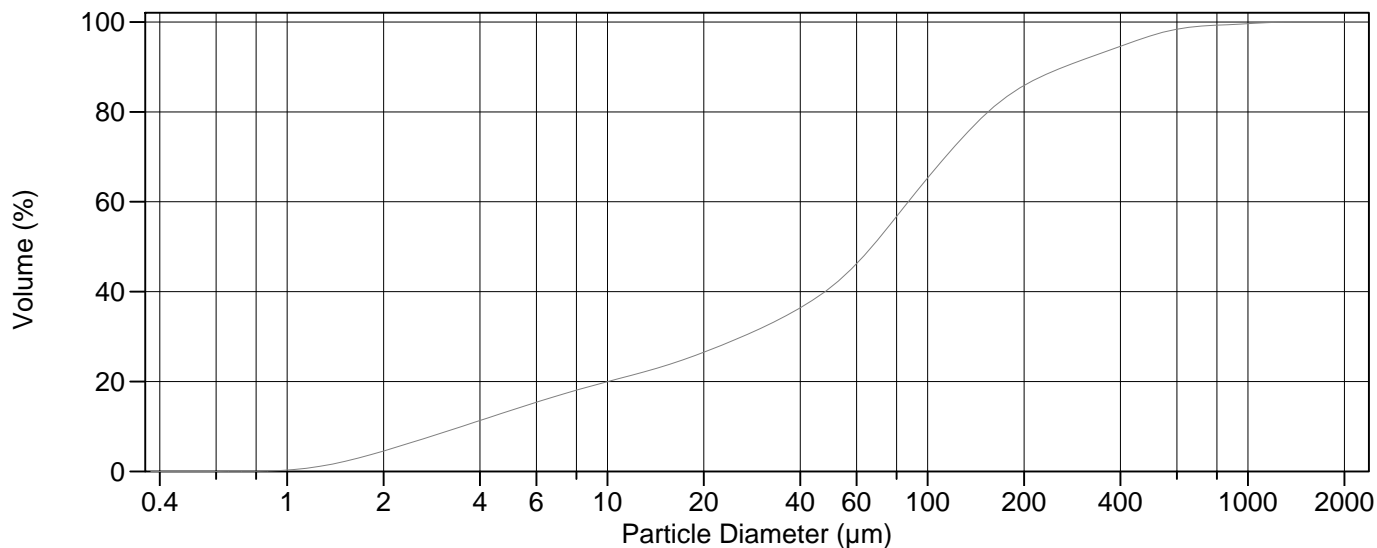
Volume	100.0%	95% Conf. Limits:	0-361.6 µm
Mean:	86.78 µm	S.D.:	140.2 µm
Median:	53.54 µm	Variance:	19659 µm ²
D(3,2):	9.364 µm	C.V.:	162%
Mean/Median Ratio:	1.621	Skewness:	4.851 Right skewed
Mode:	80.08 µm	Kurtosis:	31.30 Leptokurtic
d ₁₀ :	2.752 µm		
d ₅₀ :	53.54 µm		
d ₉₀ :	174.9 µm		
Specific Surf. Area	6407 cm ² /ml		

% <	10	25	50	75	90
Size µm	2.752	10.05	53.54	106.4	174.9

51.\$02

Particle Diameter µm	Volume % <	Particle Diameter µm	Volume % <
2.000	6.25	500.0	98.0
5.000	17.1	1000	99.3
10.00	25.0	2000	100
15.00	29.1		
20.00	32.9		
25.00	36.1		
50.00	48.2		
60.00	53.4		
63.00	55.1		
70.00	58.9		
75.00	61.6		
90.00	68.7		
125.0	80.6		
200.0	92.2		
250.0	94.3		
400.0	96.9		

2012.0397 - 52



Volume Statistics (Arithmetic)

52#.\$02

Calculations from 0.375 µm to 2000 µm

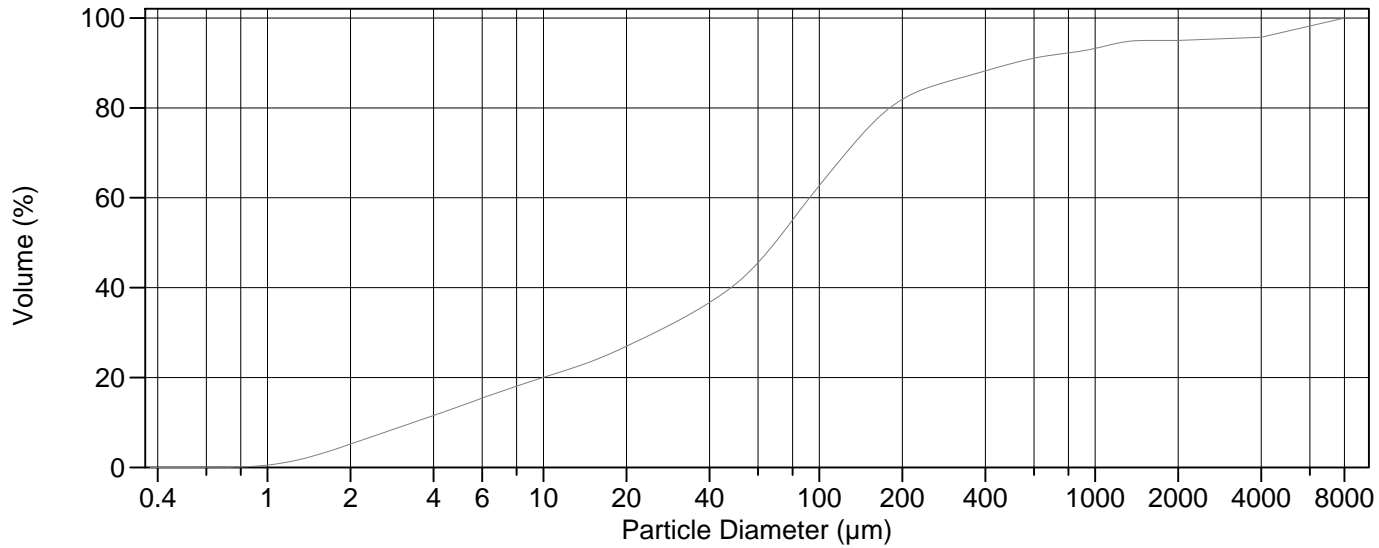
Volume	100.0%		
Mean:	109.3 µm	95% Conf. Limits:	0-396.9 µm
Median:	67.01 µm	S.D.:	146.7 µm
D(3,2):	11.77 µm	Variance:	21534 µm ²
Mean/Median Ratio:	1.631	C.V.:	134%
Mode:	80.08 µm	Skewness:	3.124 Right skewed
d ₁₀ :	3.510 µm	Kurtosis:	13.74 Leptokurtic
d ₅₀ :	67.01 µm		
d ₉₀ :	266.7 µm		
Specific Surf. Area	5100 cm ² /ml		

% <	10	25	50	75	90
Size µm	3.510	17.50	67.01	131.4	266.7

52#.\$02

Particle Diameter µm	Volume % <	Particle Diameter µm	Volume % <
2.000	4.54	500.0	97.0
5.000	13.6	1000	99.6
10.00	20.0	2000	100
15.00	23.4		
20.00	26.5		
25.00	29.3		
50.00	41.1		
60.00	46.2		
63.00	47.8		
70.00	51.6		
75.00	54.2		
90.00	61.3		
125.0	73.3		
200.0	85.8		
250.0	89.2		
400.0	94.6		

2012.0397 - 53



Volume Statistics (Arithmetic)

53a.\$02

Calculations from 0.375 µm to 8000 µm

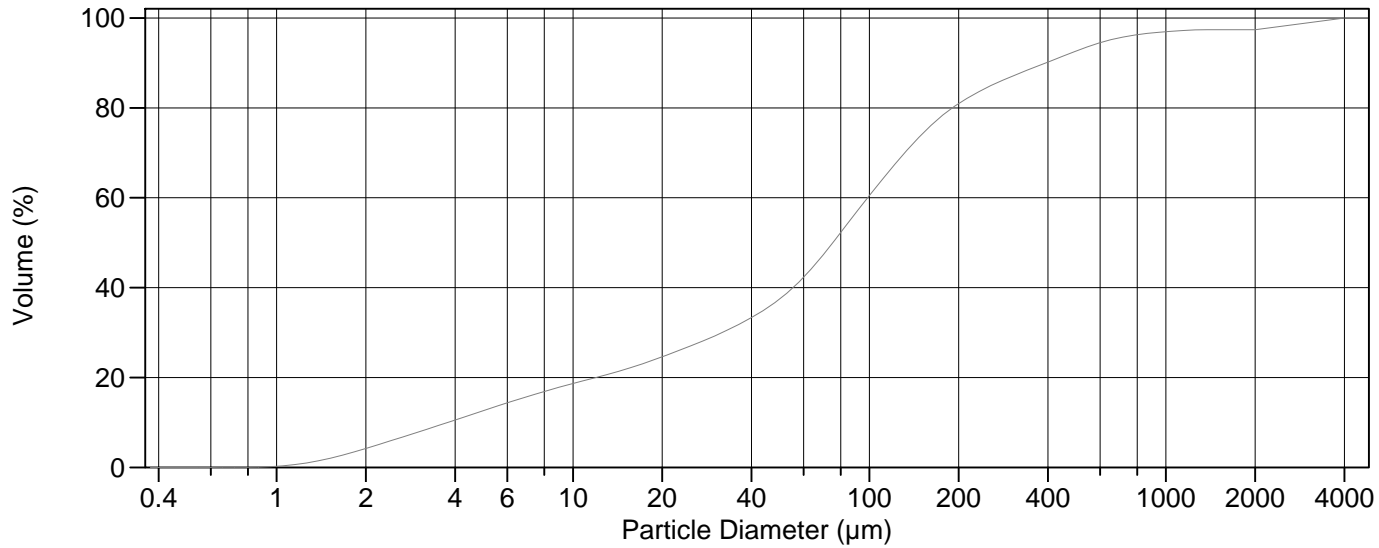
Volume	100.0%		
Mean:	380.5 µm	95% Conf. Limits:	0-2646 µm
Median:	69.08 µm	S.D.:	1156 µm
D(3,2):	11.26 µm	Variance:	1336354 µm ²
Mean/Median Ratio:	5.507	C.V.:	304%
Mode:	5657 µm	Skewness:	4.125 Right skewed
d ₁₀ :	3.385 µm	Kurtosis:	15.73 Leptokurtic
d ₅₀ :	69.08 µm		
d ₉₀ :	506.7 µm		
Specific Surf. Area	5328 cm ² /ml		

% <	10	25	50	75	90
Size µm	3.385	17.00	69.08	147.4	506.7

53a.\$02

Particle Diameter µm	Volume % <	Particle Diameter µm	Volume % <
2.000	5.21	500.0	89.9
5.000	13.7	1000	93.2
10.00	20.0	2000	95.0
15.00	23.6	4000	95.7
20.00	27.0	8000	100
25.00	29.8	16000	100
50.00	40.9		
60.00	45.6		
63.00	47.0		
70.00	50.4		
75.00	52.8		
90.00	59.1		
125.0	69.9		
200.0	81.9		
250.0	84.6		
400.0	88.2		

2012.0397 - 54



Volume Statistics (Arithmetic)

54a.\$02

Calculations from 0.375 µm to 4000 µm

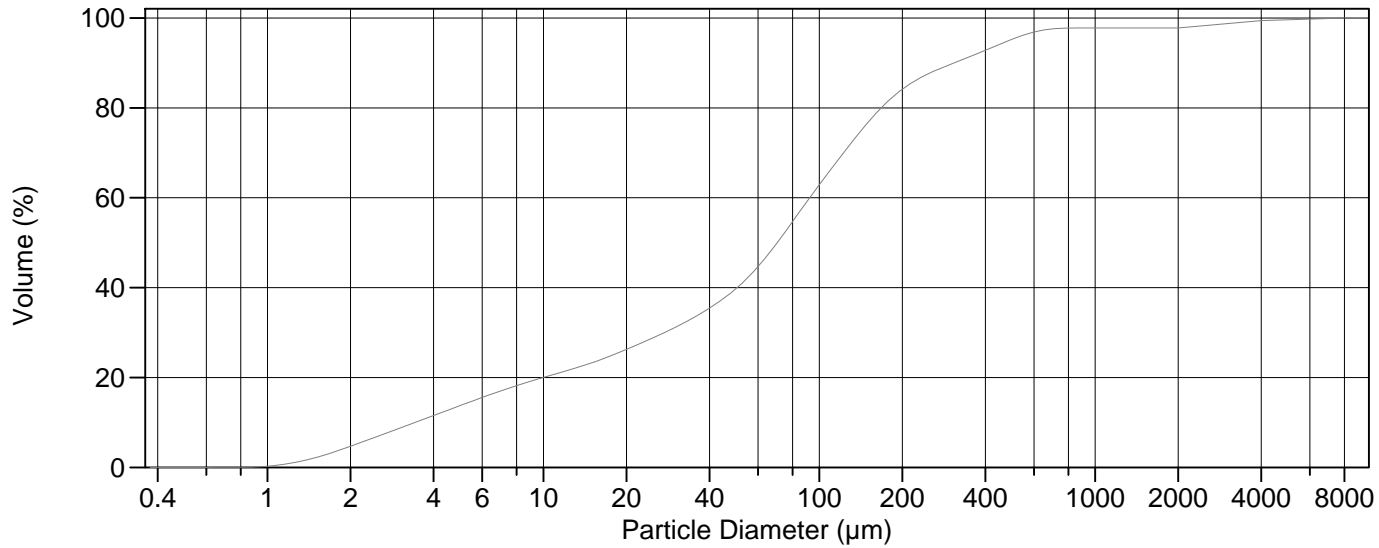
Volume	100.0%		
Mean:	195.0 µm	95% Conf. Limits:	0-1098 µm
Median:	75.26 µm	S.D.:	460.8 µm
D(3,2):	12.67 µm	Variance:	212361 µm ²
Mean/Median Ratio:	2.591	C.V.:	236%
Mode:	80.08 µm	Skewness:	4.906 Right skewed
d ₁₀ :	3.779 µm	Kurtosis:	24.79 Leptokurtic
d ₅₀ :	75.26 µm		
d ₉₀ :	393.4 µm		
Specific Surf. Area	4737 cm ² /ml		

% <	10	25	50	75	90
Size µm	3.779	20.71	75.26	155.3	393.4

54a.\$02

Particle Diameter µm	Volume % <	Particle Diameter µm	Volume % <
2.000	4.22	500.0	92.7
5.000	12.6	1000	97.0
10.00	18.7	2000	97.4
15.00	21.8	4000	100
20.00	24.6	8000	100
25.00	27.1	16000	100
50.00	37.6		
60.00	42.3		
63.00	43.8		
70.00	47.4		
75.00	49.9		
90.00	56.6		
125.0	68.3		
200.0	80.9		
250.0	84.6		
400.0	90.2		

2012.0397 - 55



Volume Statistics (Arithmetic)

55a.\$02

Calculations from 0.375 µm to 8000 µm

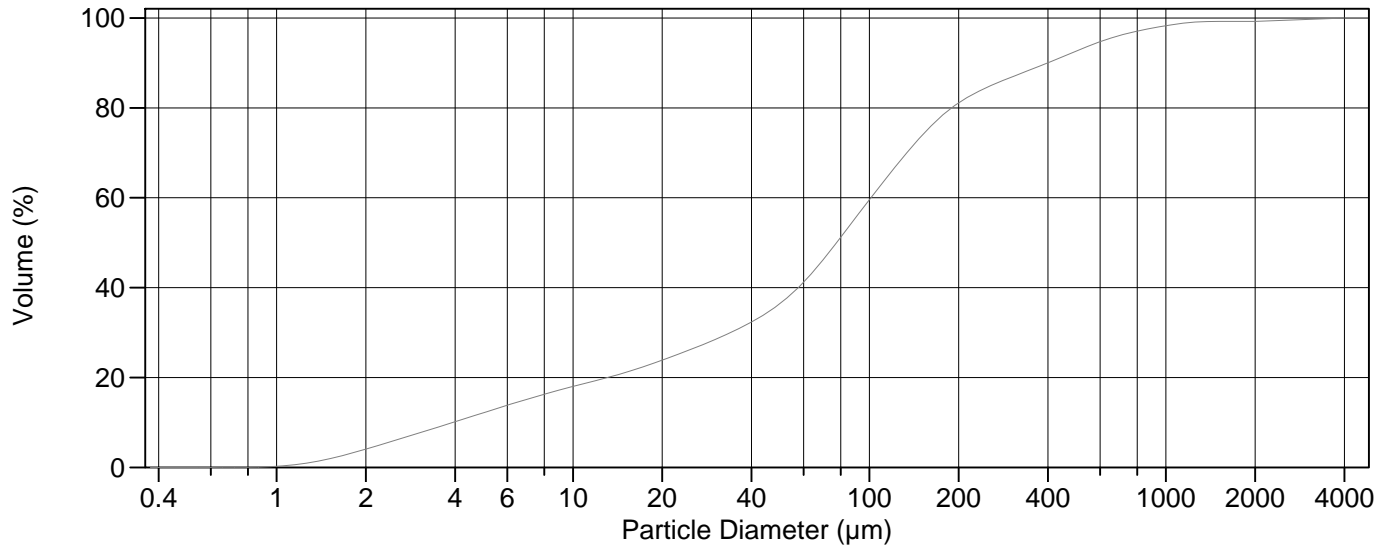
Volume	100.0%	95% Conf. Limits:	0-1269 µm
Mean:	182.0 µm	S.D.:	554.8 µm
Median:	70.38 µm	Variance:	307848 µm ²
D(3,2):	11.72 µm	C.V.:	305%
Mean/Median Ratio:	2.586	Skewness:	7.268 Right skewed
Mode:	80.08 µm	Kurtosis:	59.59 Leptokurtic
d ₁₀ :	3.428 µm		
d ₅₀ :	70.38 µm		
d ₉₀ :	307.7 µm		
Specific Surf. Area	5119 cm ² /ml		

% <	10	25	50	75	90
Size µm	3.428	17.83	70.38	142.2	307.7

55a.\$02

Particle Diameter µm	Volume % <	Particle Diameter µm	Volume % <
2.000	4.72	500.0	95.3
5.000	13.8	1000	97.8
10.00	20.0	2000	97.8
15.00	23.3	4000	99.4
20.00	26.3	8000	100
25.00	28.8	16000	100
50.00	39.8		
60.00	44.7		
63.00	46.2		
70.00	49.8		
75.00	52.3		
90.00	59.0		
125.0	70.7		
200.0	84.1		
250.0	87.7		
400.0	92.8		

2012.0397 - 56



Volume Statistics (Arithmetic)

56#a.\$02

Calculations from 0.375 µm to 4000 µm

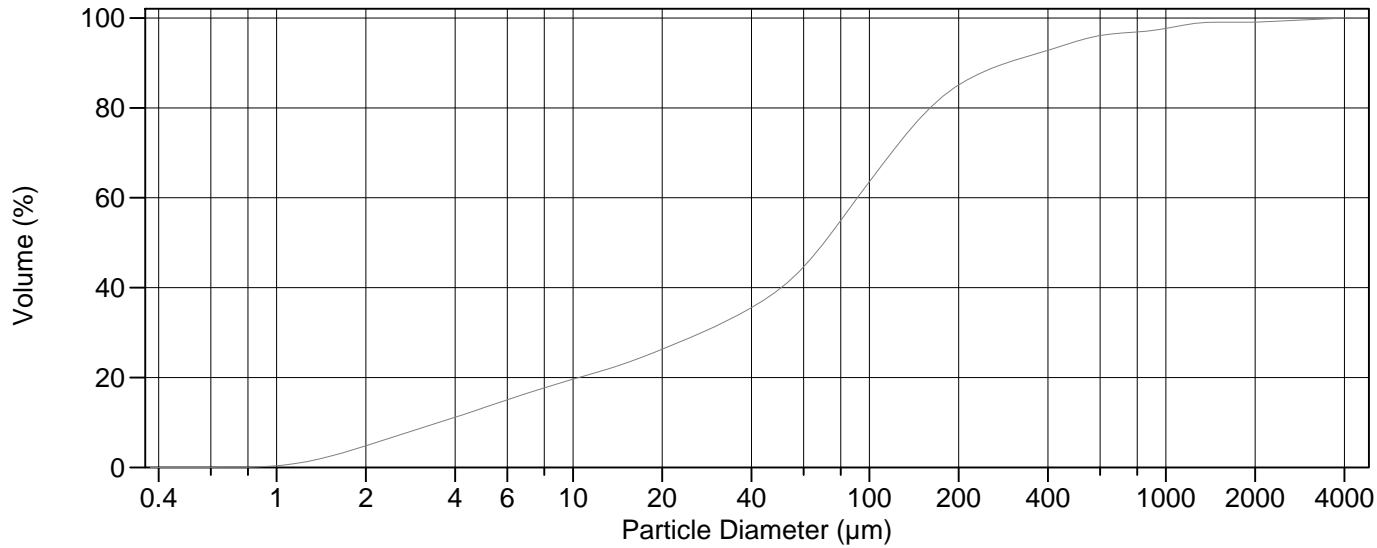
Volume	100.0%			
Mean:	160.3 µm	95% Conf. Limits:	0-756.1 µm	
Median:	77.50 µm	S.D.:	304.0 µm	
D(3,2):	13.07 µm	Variance:	92428 µm ²	
Mean/Median Ratio:	2.068	C.V.:	190%	
Mode:	87.90 µm	Skewness:	5.734 Right skewed	
d ₁₀ :	3.931 µm	Kurtosis:	43.38 Leptokurtic	
d ₅₀ :	77.50 µm			
d ₉₀ :	398.6 µm			
Specific Surf. Area	4591 cm ² /ml			

% <	10	25	50	75	90
Size µm	3.931	22.26	77.50	156.3	398.6

56#a.\$02

Particle Diameter µm	Volume % <	Particle Diameter µm	Volume % <
2.000	4.07	500.0	92.7
5.000	12.2	1000	98.3
10.00	18.0	2000	99.3
15.00	21.1	4000	100
20.00	23.9	8000	100
25.00	26.3	16000	100
50.00	36.5		
60.00	41.2		
63.00	42.7		
70.00	46.3		
75.00	48.8		
90.00	55.6		
125.0	67.6		
200.0	81.1		
250.0	84.6		
400.0	90.0		

2012.0397 - 57



Volume Statistics (Arithmetic)

57a.\$02

Calculations from 0.375 µm to 4000 µm

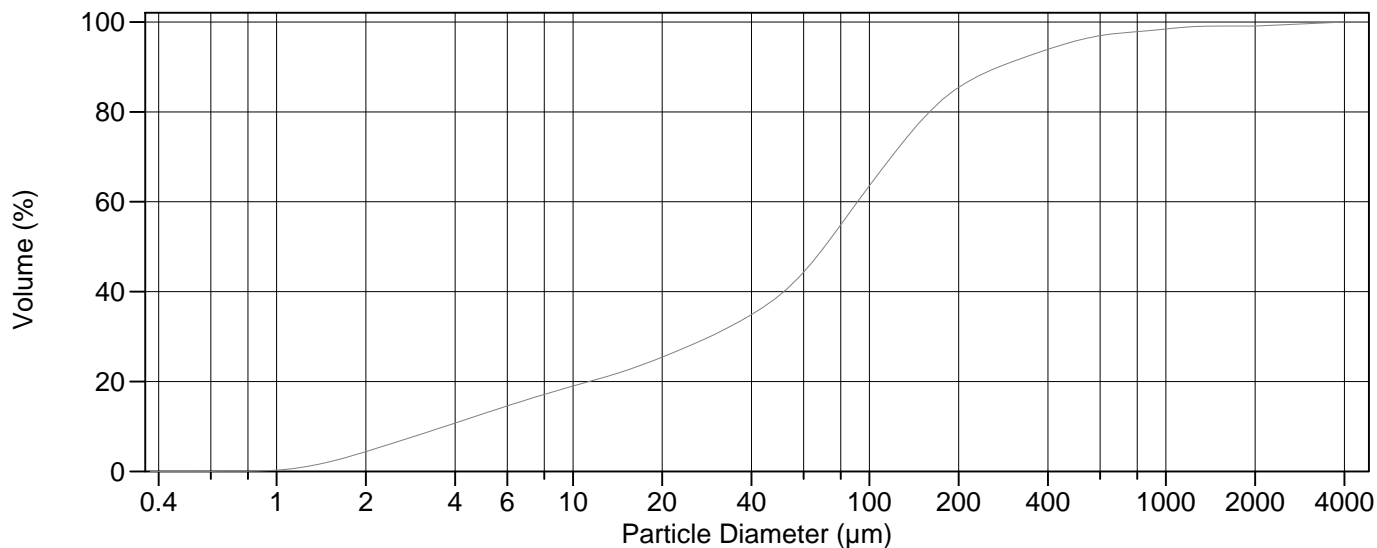
Volume	100.0%			
Mean:	145.9 µm	95% Conf. Limits:	0-771.5 µm	
Median:	70.27 µm	S.D.:	319.2 µm	
D(3,2):	11.72 µm	Variance:	101882 µm ²	
Mean/Median Ratio:	2.076	C.V.:	219%	
Mode:	87.90 µm	Skewness:	6.148 Right skewed	
d ₁₀ :	3.530 µm	Kurtosis:	45.31 Leptokurtic	
d ₅₀ :	70.27 µm			
d ₉₀ :	290.4 µm			
Specific Surf. Area	5119 cm ² /ml			

% <	10	25	50	75	90
Size µm	3.530	17.87	70.27	136.6	290.4

57a.\$02

Particle Diameter µm	Volume % <	Particle Diameter µm	Volume % <
2.000	4.83	500.0	94.8
5.000	13.3	1000	97.7
10.00	19.6	2000	99.1
15.00	23.1	4000	100
20.00	26.3	8000	100
25.00	29.0	16000	100
50.00	39.8		
60.00	44.6		
63.00	46.2		
70.00	49.9		
75.00	52.4		
90.00	59.5		
125.0	71.9		
200.0	85.1		
250.0	88.4		
400.0	92.8		

2012.0397 - 58



Volume Statistics (Arithmetic)

58a.\$02

Calculations from 0.375 µm to 4000 µm

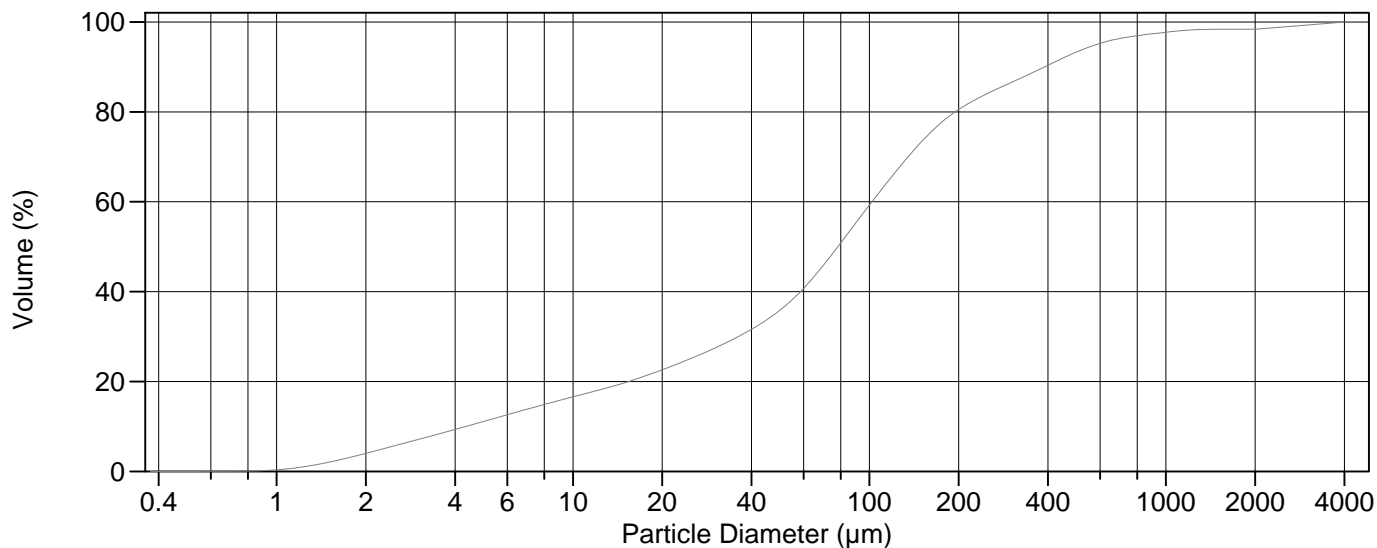
Volume	100.0%		
Mean:	137.5 µm	95% Conf. Limits:	0-729.4 µm
Median:	70.58 µm	S.D.:	302.0 µm
D(3,2):	12.26 µm	Variance:	91222 µm ²
Mean/Median Ratio:	1.948	C.V.:	220%
Mode:	80.08 µm	Skewness:	6.863 Right skewed
d ₁₀ :	3.696 µm	Kurtosis:	55.61 Leptokurtic
d ₅₀ :	70.58 µm		
d ₉₀ :	273.5 µm		
Specific Surf. Area	4893 cm ² /ml		

% <	10	25	50	75	90
Size µm	3.696	19.25	70.58	136.4	273.5

58a.\$02

Particle Diameter µm	Volume % <	Particle Diameter µm	Volume % <
2.000	4.40	500.0	95.8
5.000	12.9	1000	98.5
10.00	19.0	2000	99.1
15.00	22.4	4000	100
20.00	25.4	8000	100
25.00	28.1	16000	100
50.00	39.3		
60.00	44.4		
63.00	45.9		
70.00	49.7		
75.00	52.3		
90.00	59.5		
125.0	71.9		
200.0	85.4		
250.0	88.9		
400.0	93.9		

2012.0397 - 59



Volume Statistics (Arithmetic)

59a.\$02

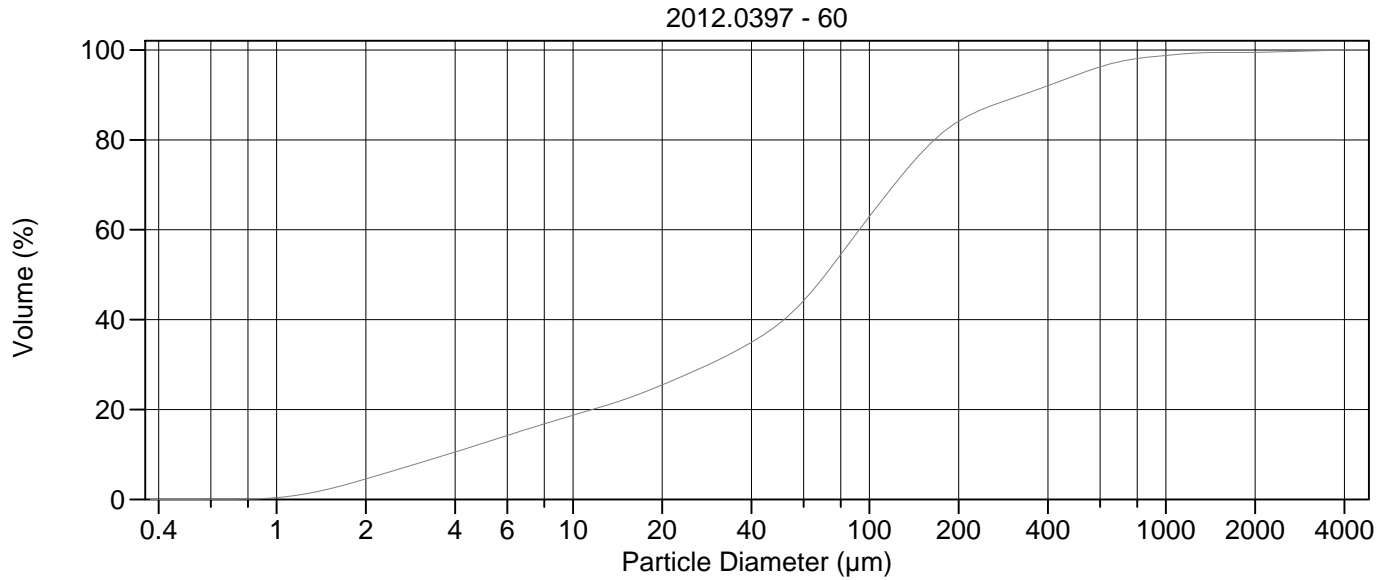
Calculations from 0.375 µm to 4000 µm

Volume	100.0%		
Mean:	176.3 µm	95% Conf. Limits:	0-926.1 µm
Median:	78.30 µm	S.D.:	382.6 µm
D(3,2):	13.59 µm	Variance:	146350 µm ²
Mean/Median Ratio:	2.252	C.V.:	217%
Mode:	87.90 µm	Skewness:	5.569 Right skewed
d ₁₀ :	4.349 µm	Kurtosis:	34.68 Leptokurtic
d ₅₀ :	78.30 µm		
d ₉₀ :	389.8 µm		
Specific Surf. Area	4415 cm ² /ml		

% <	10	25	50	75	90
Size µm	4.349	24.74	78.30	158.4	389.8

59a.\$02

Particle Diameter µm	Volume % <	Particle Diameter µm	Volume % <
2.000	4.01	500.0	93.3
5.000	11.1	1000	97.7
10.00	16.6	2000	98.4
15.00	19.8	4000	100
20.00	22.6	8000	100
25.00	25.1	16000	100
50.00	35.9		
60.00	40.7		
63.00	42.3		
70.00	45.9		
75.00	48.4		
90.00	55.3		
125.0	67.3		
200.0	80.5		
250.0	84.1		
400.0	90.4		



Volume Statistics (Arithmetic)

60a.\$02

Calculations from 0.375 µm to 4000 µm

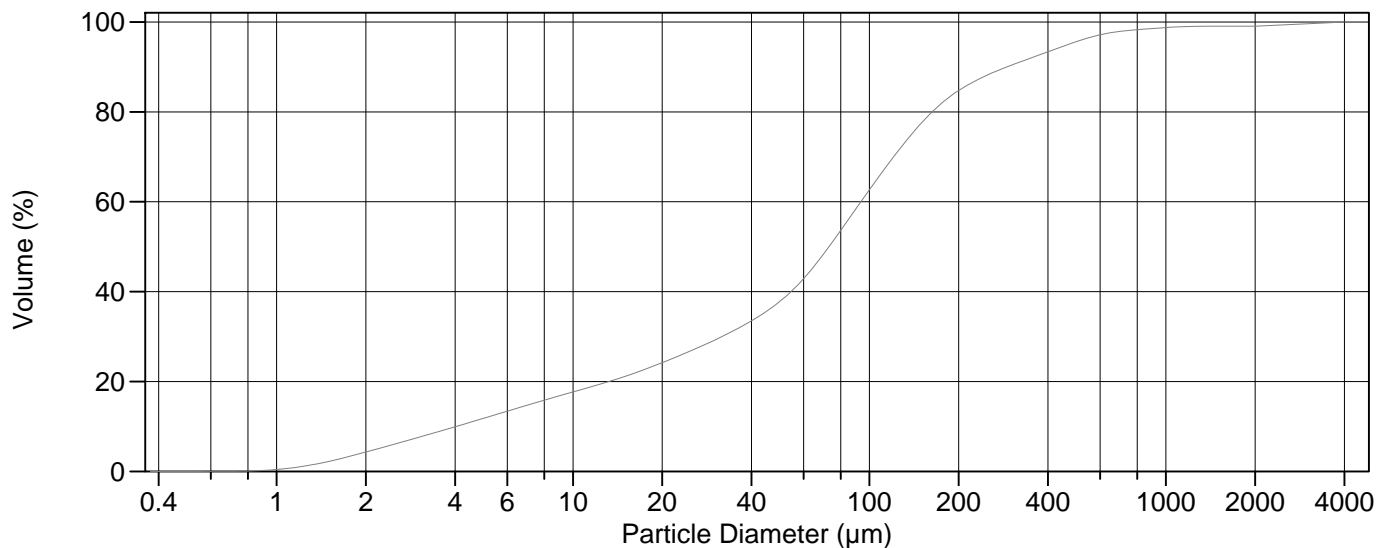
Volume	100.0%		
Mean:	137.9 µm	95% Conf. Limits:	0-655.8 µm
Median:	71.06 µm	S.D.:	264.3 µm
D(3,2):	12.18 µm	Variance:	69829 µm ²
Mean/Median Ratio:	1.940	C.V.:	192%
Mode:	80.08 µm	Skewness:	6.508 Right skewed
d ₁₀ :	3.767 µm	Kurtosis:	57.63 Leptokurtic
d ₅₀ :	71.06 µm		
d ₉₀ :	327.0 µm		
Specific Surf. Area	4925 cm ² /ml		

% <	10	25	50	75	90
Size µm	3.767	19.18	71.06	140.3	327.0

60a.\$02

Particle Diameter µm	Volume % <	Particle Diameter µm	Volume % <
2.000	4.56	500.0	94.4
5.000	12.5	1000	98.8
10.00	18.7	2000	99.5
15.00	22.3	4000	100
20.00	25.5	8000	100
25.00	28.2	16000	100
50.00	39.3		
60.00	44.2		
63.00	45.8		
70.00	49.5		
75.00	52.0		
90.00	59.0		
125.0	71.1		
200.0	84.1		
250.0	87.2		
400.0	92.0		

2012.0397 - 61



Volume Statistics (Arithmetic)

61a.\$02

Calculations from 0.375 µm to 4000 µm

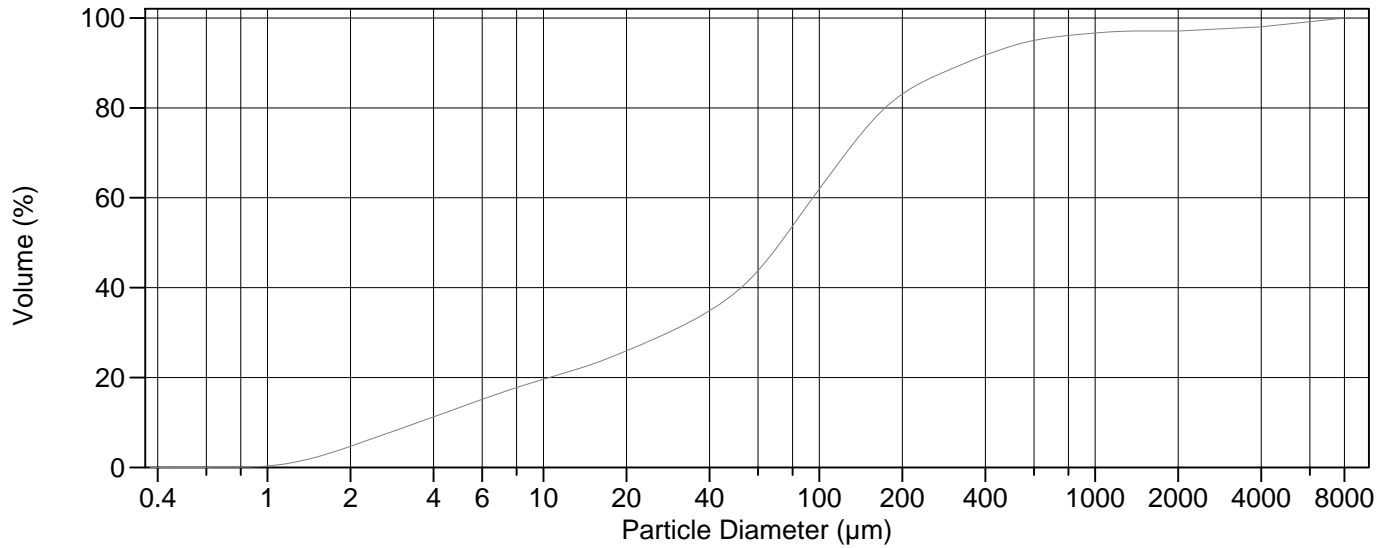
Volume	100.0%		
Mean:	139.5 µm	95% Conf. Limits:	0-729.1 µm
Median:	73.09 µm	S.D.:	300.8 µm
D(3,2):	12.73 µm	Variance:	90482 µm ²
Mean/Median Ratio:	1.909	C.V.:	216%
Mode:	87.90 µm	Skewness:	7.005 Right skewed
d ₁₀ :	4.037 µm	Kurtosis:	57.77 Leptokurtic
d ₅₀ :	73.09 µm		
d ₉₀ :	291.3 µm		
Specific Surf. Area	4714 cm ² /ml		

% <	10	25	50	75	90
Size µm	4.037	21.45	73.09	138.8	291.3

61a.\$02

Particle Diameter µm	Volume % <	Particle Diameter µm	Volume % <
2.000	4.31	500.0	95.6
5.000	11.8	1000	98.8
10.00	17.7	2000	99.1
15.00	21.1	4000	100
20.00	24.2	8000	100
25.00	26.8	16000	100
50.00	37.9		
60.00	42.9		
63.00	44.5		
70.00	48.3		
75.00	51.0		
90.00	58.4		
125.0	71.3		
200.0	84.7		
250.0	88.2		
400.0	93.4		

2012.0397 - 62



Volume Statistics (Arithmetic)

62a.\$02

Calculations from 0.375 µm to 8000 µm

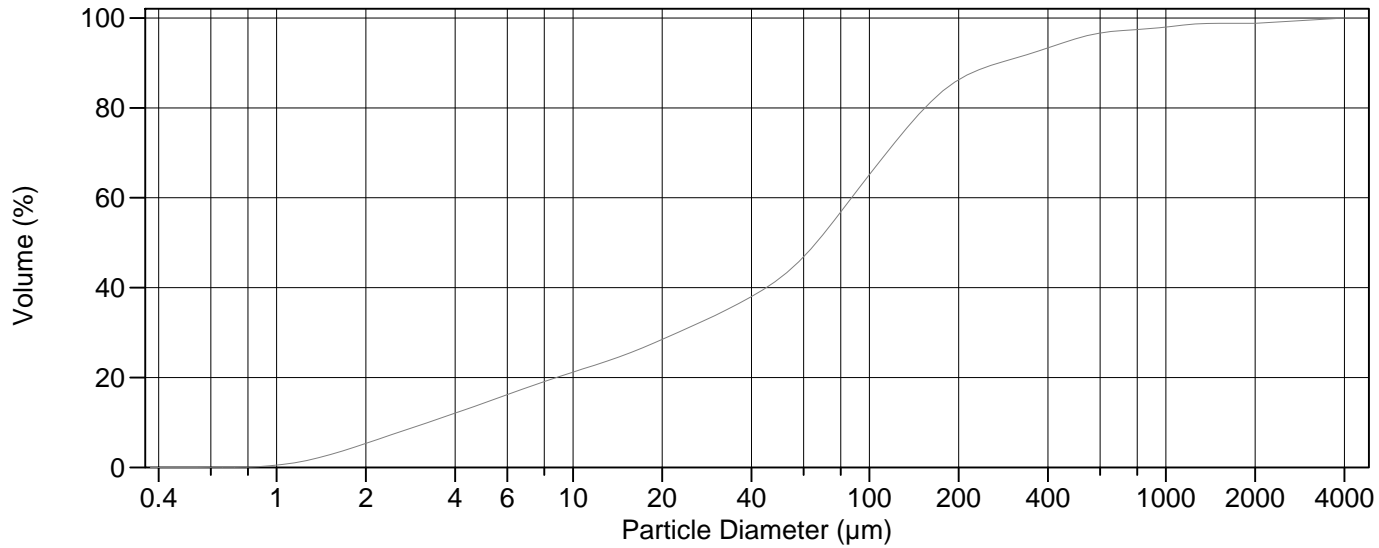
Volume	100.0%		
Mean:	247.1 µm	95% Conf. Limits:	0-1858 µm
Median:	72.34 µm	S.D.:	822.1 µm
D(3,2):	11.87 µm	Variance:	675839 µm ²
Mean/Median Ratio:	3.416	C.V.:	333%
Mode:	87.90 µm	Skewness:	5.870 Right skewed
d ₁₀ :	3.514 µm	Kurtosis:	34.66 Leptokurtic
d ₅₀ :	72.34 µm		
d ₉₀ :	338.8 µm		
Specific Surf. Area	5055 cm ² /ml		

% <	10	25	50	75	90
Size µm	3.514	18.38	72.34	145.4	338.8

62a.\$02

Particle Diameter µm	Volume % <	Particle Diameter µm	Volume % <
2.000	4.71	500.0	93.8
5.000	13.4	1000	96.6
10.00	19.6	2000	97.1
15.00	22.9	4000	98.0
20.00	25.9	8000	100
25.00	28.5	16000	100
50.00	39.1		
60.00	43.8		
63.00	45.3		
70.00	48.8		
75.00	51.3		
90.00	58.1		
125.0	69.9		
200.0	83.1		
250.0	86.4		
400.0	91.7		

2012.0397 - 63



Volume Statistics (Arithmetic)

63a.\$02

Calculations from 0.375 µm to 4000 µm

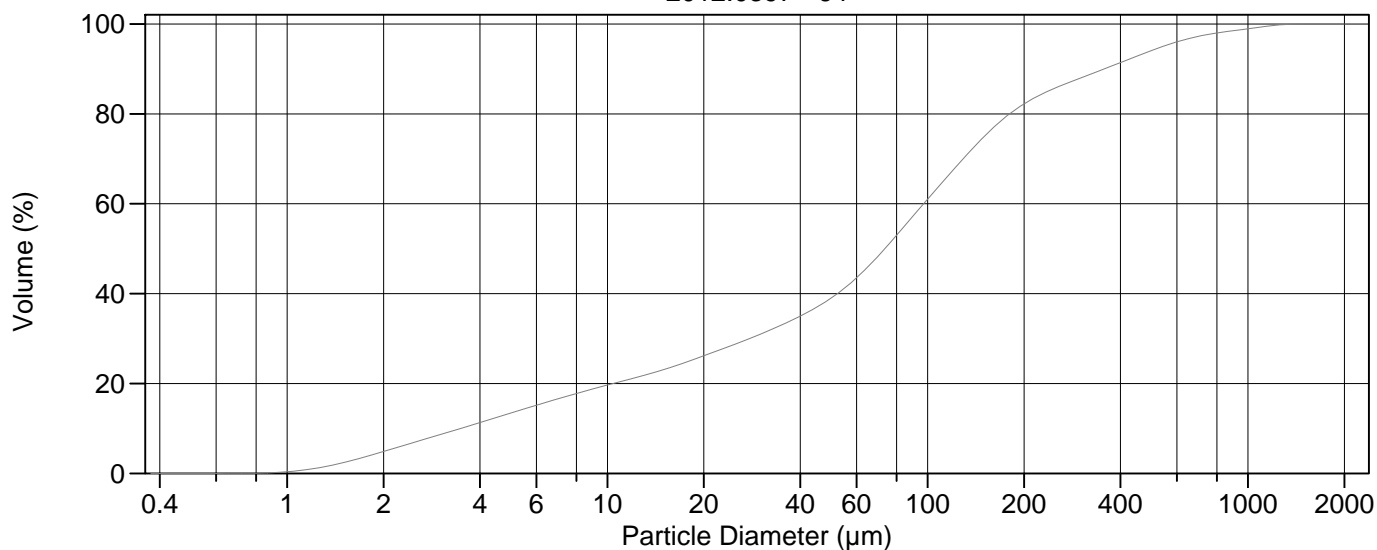
Volume	100.0%		
Mean:	141.9 µm	95% Conf. Limits:	0-800.6 µm
Median:	66.19 µm	S.D.:	336.0 µm
D(3,2):	10.82 µm	Variance:	112929 µm ²
Mean/Median Ratio:	2.145	C.V.:	237%
Mode:	80.08 µm	Skewness:	6.384 Right skewed
d ₁₀ :	3.244 µm	Kurtosis:	46.20 Leptokurtic
d ₅₀ :	66.19 µm		
d ₉₀ :	273.8 µm		
Specific Surf. Area	5547 cm ² /ml		

% <	10	25	50	75	90
Size µm	3.244	14.89	66.19	131.8	273.8

63a.\$02

Particle Diameter µm	Volume % <	Particle Diameter µm	Volume % <
2.000	5.35	500.0	95.4
5.000	14.3	1000	98.0
10.00	21.2	2000	98.8
15.00	25.1	4000	100
20.00	28.5	8000	100
25.00	31.3	16000	100
50.00	42.2		
60.00	46.9		
63.00	48.4		
70.00	51.9		
75.00	54.4		
90.00	61.2		
125.0	73.1		
200.0	86.2		
250.0	89.2		
400.0	93.4		

2012.0397 - 64



Volume Statistics (Arithmetic)

64.\$02

Calculations from 0.375 µm to 2000 µm

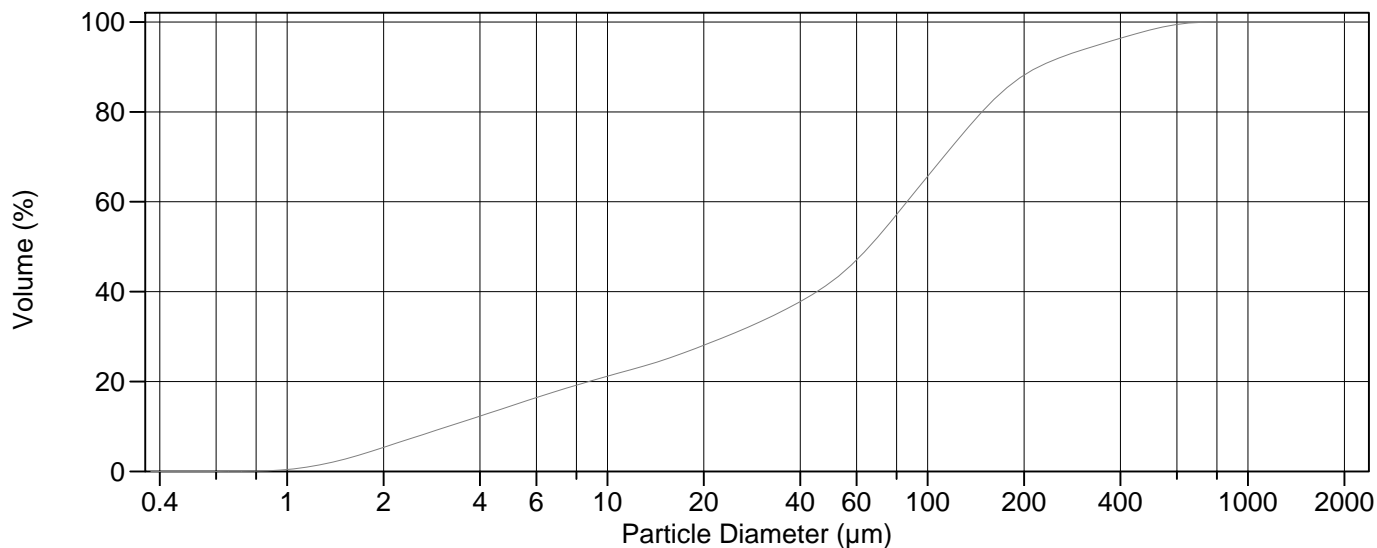
Volume	100.0%		
Mean:	134.6 µm	95% Conf. Limits:	0-514.0 µm
Median:	73.47 µm	S.D.:	193.6 µm
D(3,2):	11.73 µm	Variance:	37476 µm ²
Mean/Median Ratio:	1.832	C.V.:	144%
Mode:	87.90 µm	Skewness:	2.916 Right skewed
d ₁₀ :	3.480 µm	Kurtosis:	10.22 Leptokurtic
d ₅₀ :	73.47 µm		
d ₉₀ :	355.7 µm		
Specific Surf. Area	5117 cm ² /ml		

% <	10	25	50	75	90
Size µm	3.480	18.02	73.47	150.5	355.7

64.\$02

Particle Diameter µm	Volume % <	Particle Diameter µm	Volume % <
2.000	4.87	500.0	94.1
5.000	13.4	1000	98.9
10.00	19.7	2000	100
15.00	23.1		
20.00	26.2		
25.00	28.7		
50.00	39.0		
60.00	43.5		
63.00	45.0		
70.00	48.4		
75.00	50.7		
90.00	57.3		
125.0	68.9		
200.0	82.2		
250.0	85.7		
400.0	91.4		

2012.0397 - 65



Volume Statistics (Arithmetic)

65.\$02

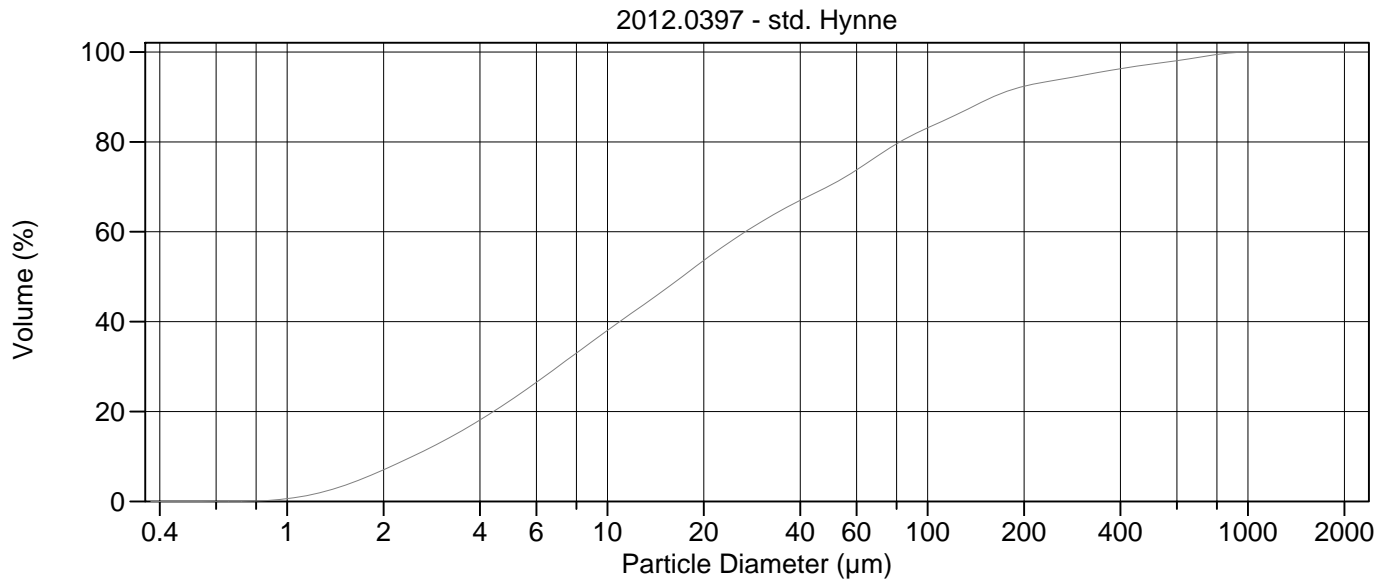
Calculations from 0.375 µm to 2000 µm

Volume	100.0%		
Mean:	96.54 µm	95% Conf. Limits:	0-319.3 µm
Median:	65.71 µm	S.D.:	113.7 µm
D(3,2):	10.82 µm	Variance:	12918 µm ²
Mean/Median Ratio:	1.469	C.V.:	118%
Mode:	87.90 µm	Skewness:	2.246 Right skewed
d ₁₀ :	3.180 µm	Kurtosis:	6.059 Leptokurtic
d ₅₀ :	65.71 µm		
d ₉₀ :	222.4 µm		
Specific Surf. Area	5547 cm ² /ml		

% <	10	25	50	75	90
Size µm	3.180	15.27	65.71	128.4	222.4

65.\$02

Particle Diameter µm	Volume % <	Particle Diameter µm	Volume % <
2.000	5.35	500.0	98.3
5.000	14.6	1000	100
10.00	21.2	2000	100
15.00	24.8		
20.00	28.1		
25.00	30.8		
50.00	42.2		
60.00	47.1		
63.00	48.6		
70.00	52.2		
75.00	54.7		
90.00	61.7		
125.0	74.0		
200.0	88.1		
250.0	91.6		
400.0	96.4		



Volume Statistics (Arithmetic)

66.\$02

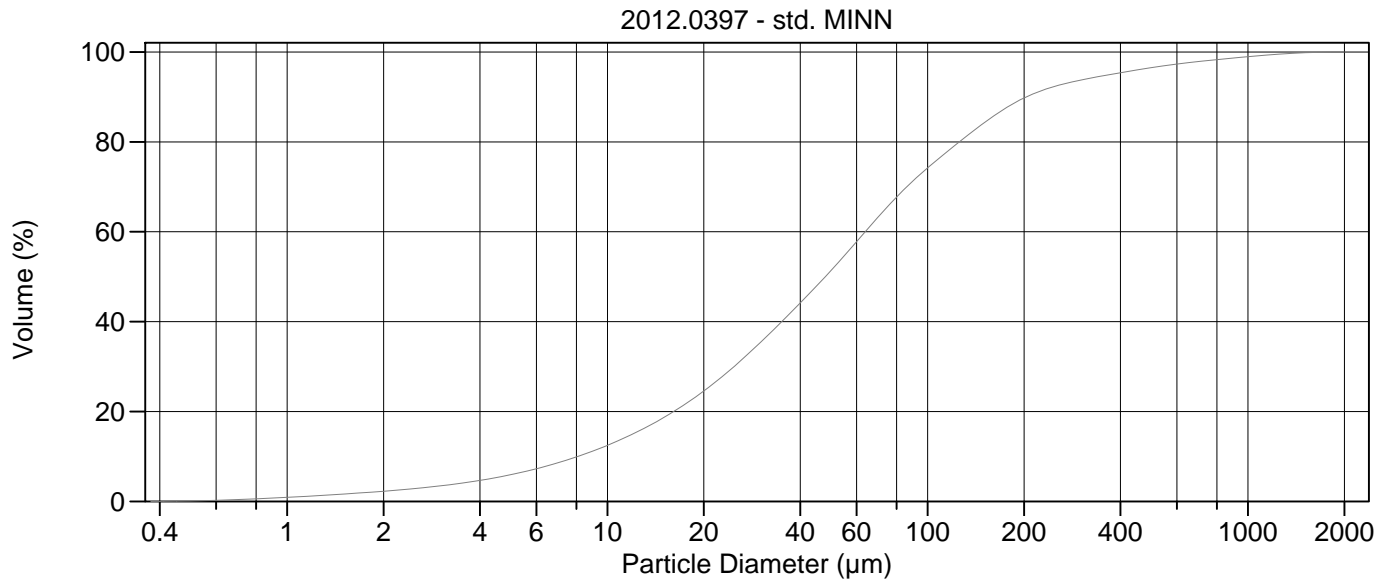
Calculations from 0.375 µm to 2000 µm

Volume	100.0%		
Mean:	65.61 µm	95% Conf. Limits:	0-321.4 µm
Median:	17.11 µm	S.D.:	130.5 µm
D(3,2):	7.078 µm	Variance:	17029 µm ²
Mean/Median Ratio:	3.834	C.V.:	199%
Mode:	18.00 µm	Skewness:	3.746 Right skewed
d ₁₀ :	2.463 µm	Kurtosis:	15.80 Leptokurtic
d ₅₀ :	17.11 µm		
d ₉₀ :	159.9 µm		
Specific Surf. Area	8477 cm ² /ml		

% <	10	25	50	75	90
Size µm	2.463	5.605	17.11	63.79	159.9

66.\$02

Particle Diameter µm	Volume % <	Particle Diameter µm	Volume % <
2.000	7.03	500.0	97.3
5.000	22.5	1000	100.0
10.00	38.0	2000	100
15.00	47.0		
20.00	53.6		
25.00	58.5		
50.00	70.5		
60.00	73.7		
63.00	74.7		
70.00	76.9		
75.00	78.3		
90.00	81.6		
125.0	86.3		
200.0	92.4		
250.0	93.7		
400.0	96.3		



Volume Statistics (Arithmetic) 67.\$02

Calculations from 0.375 µm to 2000 µm

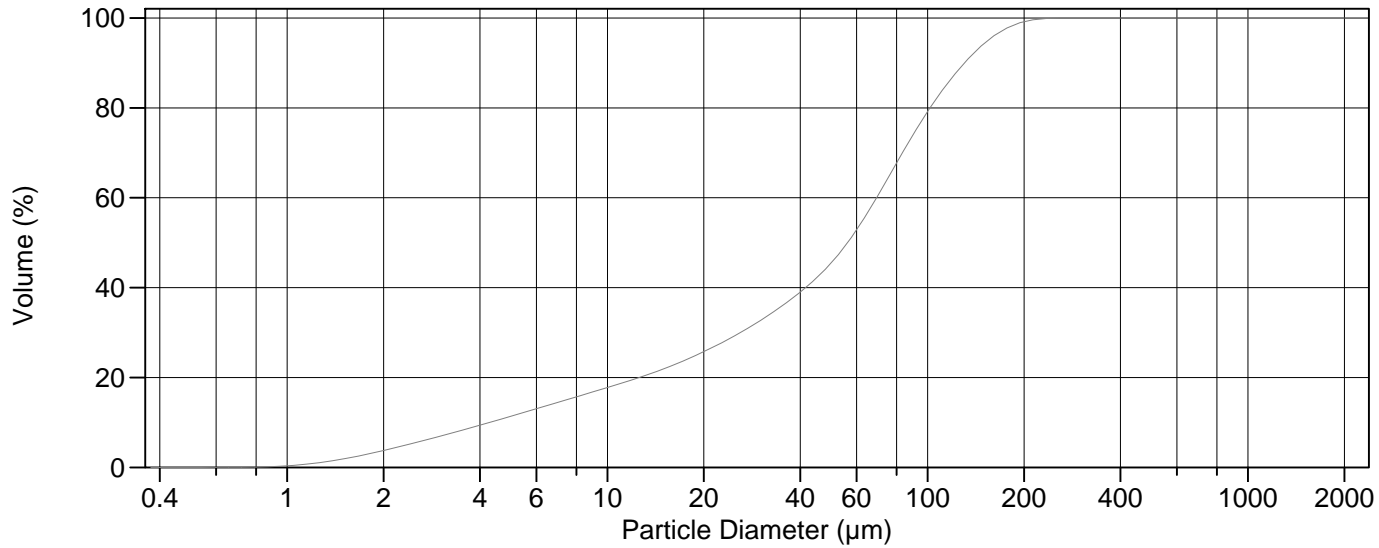
Volume	100.0%		
Mean:	99.99 µm	95% Conf. Limits:	0-445.5 µm
Median:	47.90 µm	S.D.:	176.3 µm
D(3,2):	15.44 µm	Variance:	31074 µm ²
Mean/Median Ratio:	2.088	C.V.:	176%
Mode:	60.52 µm	Skewness:	4.643 Right skewed
d ₁₀ :	8.080 µm	Kurtosis:	26.94 Leptokurtic
d ₅₀ :	47.90 µm		
d ₉₀ :	203.7 µm		
Specific Surf. Area	3887 cm ² /ml		

% <	10	25	50	75	90
Size µm	8.080	20.37	47.90	103.0	203.7

67.\$02

Particle Diameter µm	Volume % <	Particle Diameter µm	Volume % <
2.000	2.26	500.0	96.5
5.000	5.96	1000	99.0
10.00	12.5	2000	100
15.00	18.7		
20.00	24.6		
25.00	30.2		
50.00	51.4		
60.00	57.8		
63.00	59.5		
70.00	63.3		
75.00	65.6		
90.00	71.3		
125.0	79.9		
200.0	89.7		
250.0	92.4		
400.0	95.4		

2012.0397 - 68



Volume Statistics (Arithmetic)

68.\$02

Calculations from 0.375 µm to 2000 µm

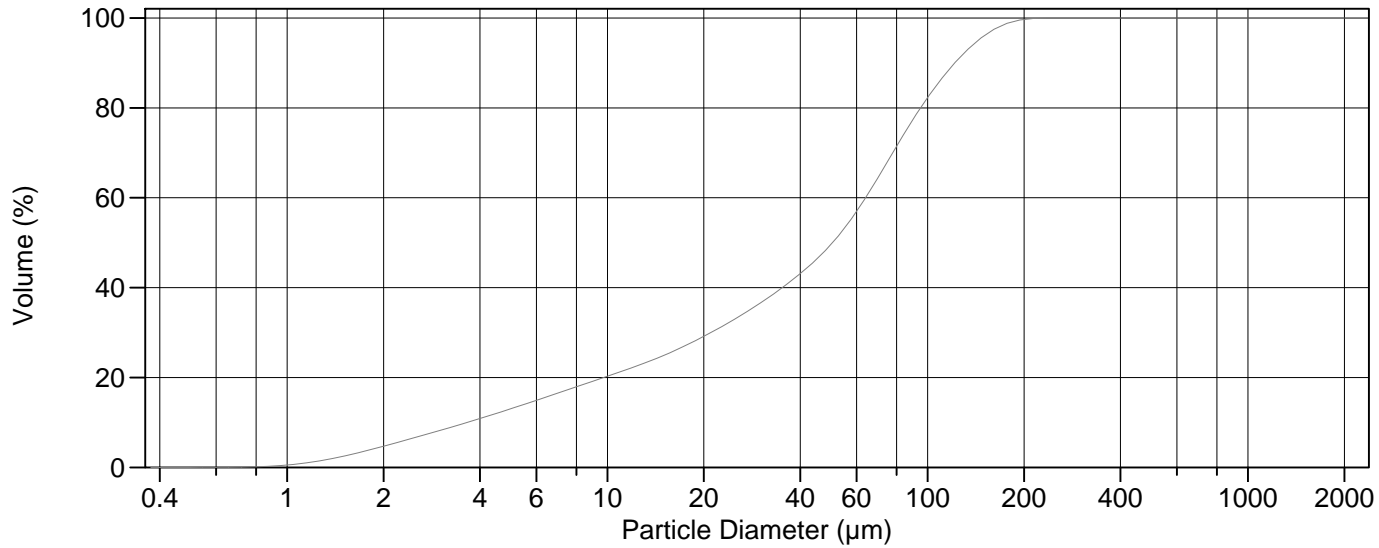
Volume	100.0%		
Mean:	61.78 µm	95% Conf. Limits:	0-157.0 µm
Median:	56.22 µm	S.D.:	48.60 µm
D(3,2):	12.67 µm	Variance:	2362 µm ²
Mean/Median Ratio:	1.099	C.V.:	78.7%
Mode:	80.08 µm	Skewness:	0.759 Right skewed
d ₁₀ :	4.286 µm	Kurtosis:	0.104 Leptokurtic
d ₅₀ :	56.22 µm		
d ₉₀ :	130.4 µm		
Specific Surf. Area	4735 cm ² /ml		

% <	10	25	50	75	90
Size µm	4.286	18.98	56.22	91.70	130.4

68.\$02

Particle Diameter µm	Volume % <	Particle Diameter µm	Volume % <
2.000	3.77	500.0	100
5.000	11.4	1000	100
10.00	17.8	2000	100
15.00	21.9		
20.00	25.8		
25.00	29.3		
50.00	45.5		
60.00	52.9		
63.00	55.2		
70.00	60.6		
75.00	64.3		
90.00	74.0		
125.0	88.5		
200.0	99.2		
250.0	100.0		
400.0	100		

2012.0397 - 69



Volume Statistics (Arithmetic)

69.\$02

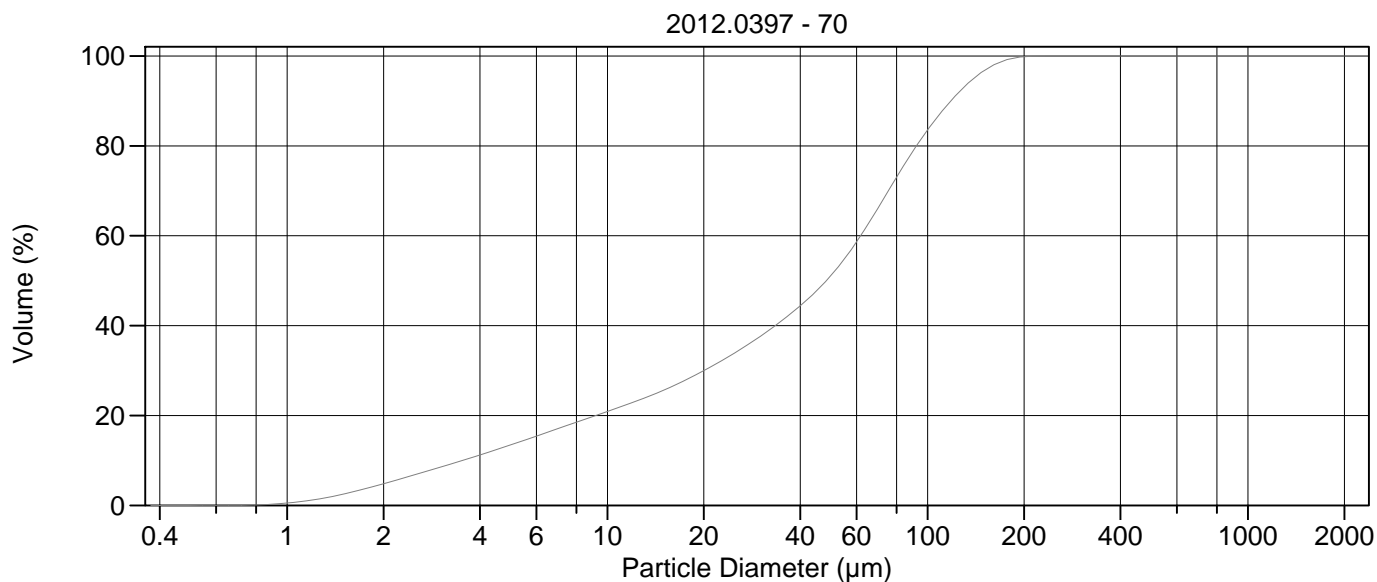
Calculations from 0.375 µm to 2000 µm

Volume	100.0%		
Mean:	56.40 µm	95% Conf. Limits:	0-146.2 µm
Median:	50.44 µm	S.D.:	45.82 µm
D(3,2):	11.03 µm	Variance:	2100 µm ²
Mean/Median Ratio:	1.118	C.V.:	81.2%
Mode:	72.95 µm	Skewness:	0.752 Right skewed
d ₁₀ :	3.648 µm	Kurtosis:	-0.026 Platykurtic
d ₅₀ :	50.44 µm		
d ₉₀ :	121.4 µm		
Specific Surf. Area	5439 cm ² /ml		

% <	10	25	50	75	90
Size µm	3.648	15.09	50.44	85.70	121.4

69.\$02

Particle Diameter µm	Volume % <	Particle Diameter µm	Volume % <
2.000	4.72	500.0	100
5.000	13.1	1000	100
10.00	20.3	2000	100
15.00	24.9		
20.00	29.2		
25.00	33.0		
50.00	49.7		
60.00	57.0		
63.00	59.2		
70.00	64.5		
75.00	68.1		
90.00	77.4		
125.0	90.9		
200.0	99.7		
250.0	100.0		
400.0	100		



Volume Statistics (Arithmetic) 70.\$02

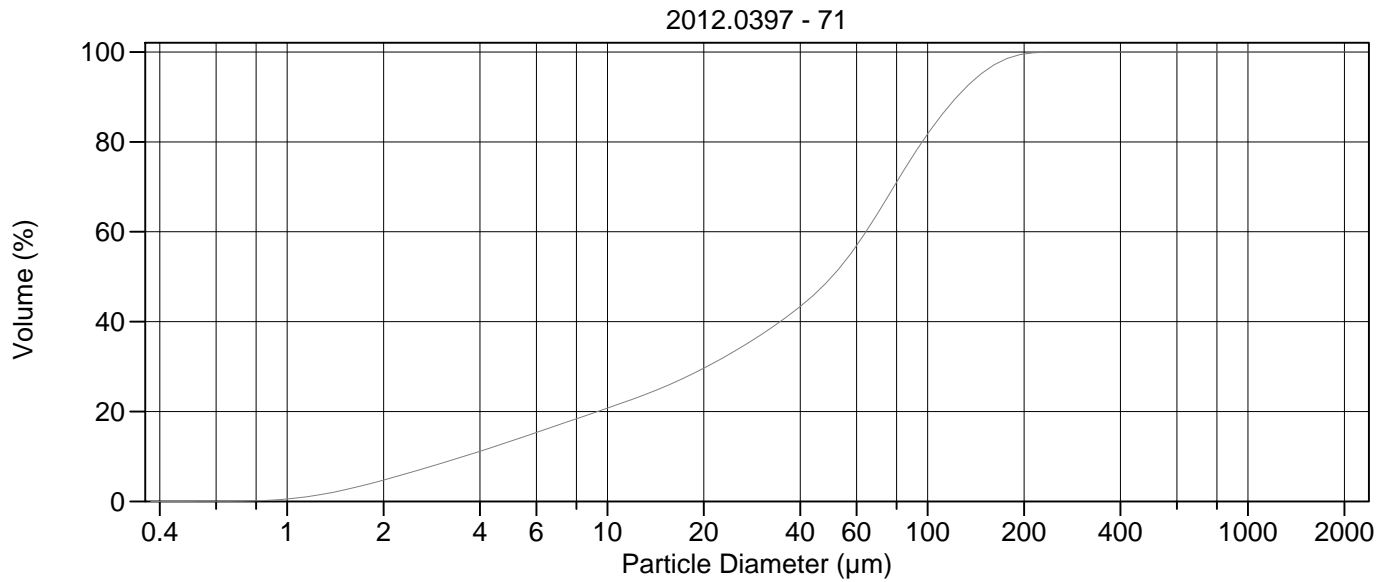
Calculations from 0.375 µm to 2000 µm

Volume	100.0%		
Mean:	54.45 µm	95% Conf. Limits:	0-141.5 µm
Median:	48.28 µm	S.D.:	44.41 µm
D(3,2):	10.77 µm	Variance:	1973 µm ²
Mean/Median Ratio:	1.128	C.V.:	81.6%
Mode:	72.95 µm	Skewness:	0.740 Right skewed
d ₁₀ :	3.526 µm	Kurtosis:	-0.107 Platykurtic
d ₅₀ :	48.28 µm		
d ₉₀ :	118.2 µm		
Specific Surf. Area	5569 cm ² /ml		

% <	10	25	50	75	90
Size µm	3.526	14.29	48.28	83.10	118.2

70.\$02

Particle Diameter µm	Volume % <	Particle Diameter µm	Volume % <
2.000	4.83	500.0	100
5.000	13.5	1000	100
10.00	20.9	2000	100
15.00	25.6		
20.00	30.0		
25.00	33.9		
50.00	51.2		
60.00	58.6		
63.00	60.9		
70.00	66.2		
75.00	69.7		
90.00	78.8		
125.0	91.9		
200.0	99.8		
250.0	100.0		
400.0	100		



Volume Statistics (Arithmetic)

71#.\$02

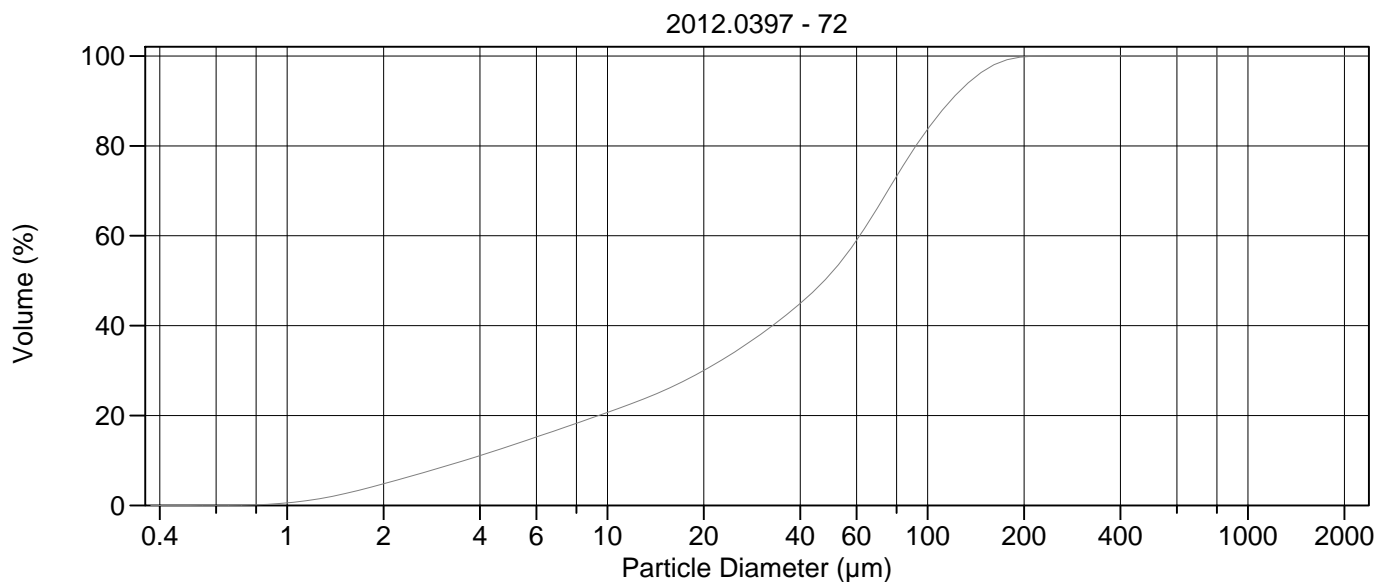
Calculations from 0.375 µm to 2000 µm

Volume	100.0%		
Mean:	56.77 µm	95% Conf. Limits:	0-148.5 µm
Median:	50.27 µm	S.D.:	46.79 µm
D(3,2):	10.86 µm	Variance:	2189 µm ²
Mean/Median Ratio:	1.129	C.V.:	82.4%
Mode:	72.95 µm	Skewness:	0.778 Right skewed
d ₁₀ :	3.556 µm	Kurtosis:	0.023 Leptokurtic
d ₅₀ :	50.27 µm		
d ₉₀ :	123.4 µm		
Specific Surf. Area	5523 cm ² /ml		

% <	10	25	50	75	90
Size µm	3.556	14.50	50.27	86.58	123.4

71#.\$02

Particle Diameter µm	Volume % <	Particle Diameter µm	Volume % <
2.000	4.76	500.0	100
5.000	13.4	1000	100
10.00	20.8	2000	100
15.00	25.4		
20.00	29.7		
25.00	33.5		
50.00	49.8		
60.00	56.9		
63.00	59.1		
70.00	64.2		
75.00	67.7		
90.00	76.9		
125.0	90.4		
200.0	99.5		
250.0	100.0		
400.0	100		



Volume Statistics (Arithmetic) 72.\$02

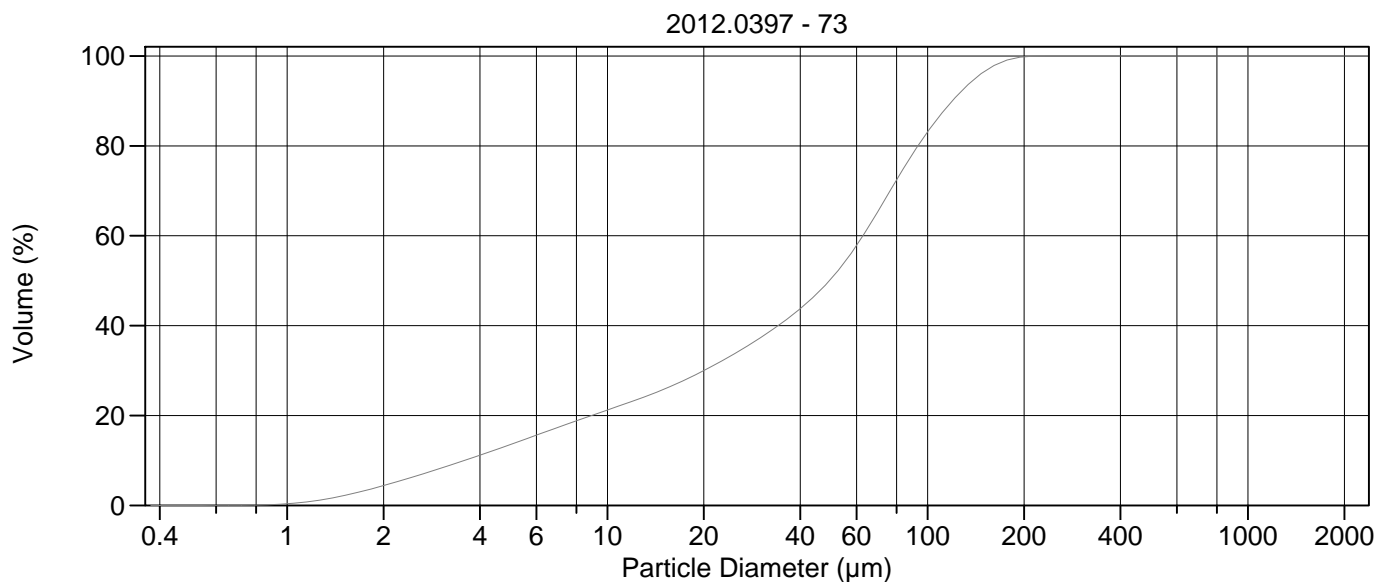
Calculations from 0.375 µm to 2000 µm

Volume	100.0%	95% Conf. Limits:	0-141.1 µm
Mean:	54.19 µm	S.D.:	44.34 µm
Median:	47.56 µm	Variance:	1966 µm ²
D(3,2):	10.79 µm	C.V.:	81.8%
Mean/Median Ratio:	1.139	Skewness:	0.756 Right skewed
Mode:	72.95 µm	Kurtosis:	-0.075 Platykurtic
d ₁₀ :	3.574 µm		
d ₅₀ :	47.56 µm		
d ₉₀ :	117.9 µm		
Specific Surf. Area	5562 cm ² /ml		

% <	10	25	50	75	90
Size µm	3.574	14.41	47.56	82.82	117.9

72.\$02

Particle Diameter µm	Volume % <	Particle Diameter µm	Volume % <
2.000	4.80	500.0	100
5.000	13.3	1000	100
10.00	20.7	2000	100
15.00	25.5		
20.00	30.0		
25.00	34.2		
50.00	51.7		
60.00	59.0		
63.00	61.2		
70.00	66.4		
75.00	70.0		
90.00	79.0		
125.0	92.0		
200.0	99.8		
250.0	100.0		
400.0	100		



Volume Statistics (Arithmetic) 73.\$02

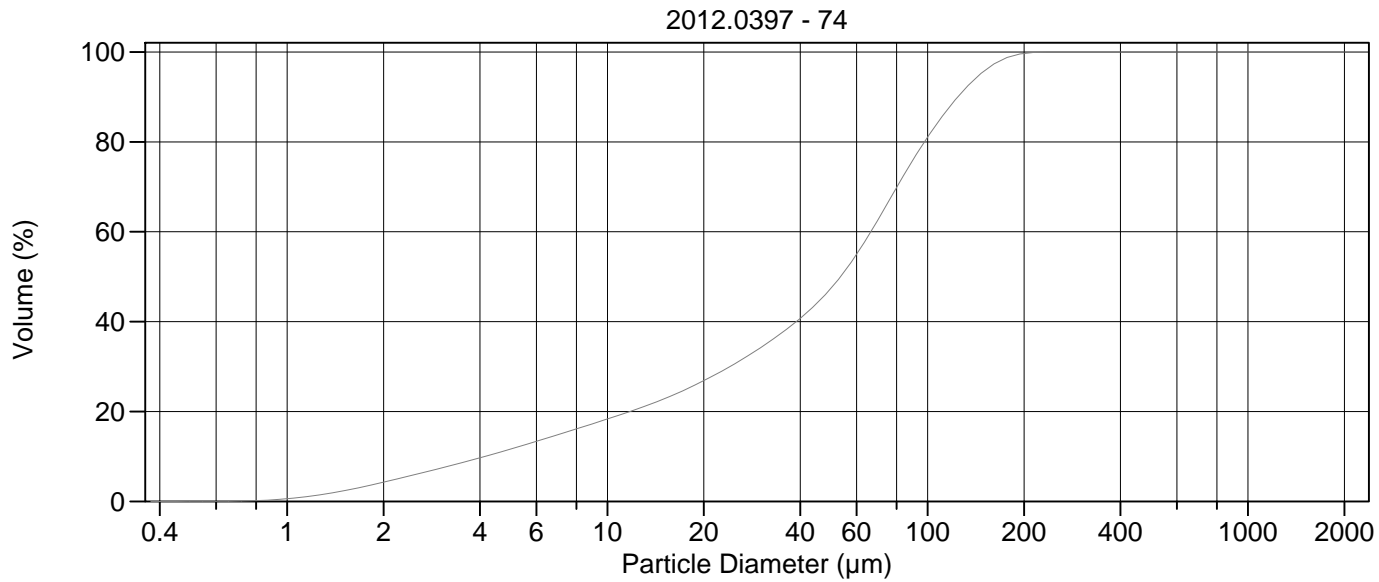
Calculations from 0.375 µm to 2000 µm

Volume	100.0%		
Mean:	55.12 µm	95% Conf. Limits:	0-143.2 µm
Median:	49.35 µm	S.D.:	44.94 µm
D(3,2):	11.06 µm	Variance:	2020 µm ²
Mean/Median Ratio:	1.117	C.V.:	81.5%
Mode:	72.95 µm	Skewness:	0.731 Right skewed
d ₁₀ :	3.579 µm	Kurtosis:	-0.118 Platykurtic
d ₅₀ :	49.35 µm		
d ₉₀ :	119.4 µm		
Specific Surf. Area	5427 cm ² /ml		

% <	10	25	50	75	90
Size µm	3.579	14.03	49.35	84.04	119.4

73.\$02

Particle Diameter µm	Volume % <	Particle Diameter µm	Volume % <
2.000	4.41	500.0	100
5.000	13.6	1000	100
10.00	21.2	2000	100
15.00	25.8		
20.00	30.0		
25.00	33.8		
50.00	50.5		
60.00	57.9		
63.00	60.2		
70.00	65.5		
75.00	69.1		
90.00	78.3		
125.0	91.5		
200.0	99.8		
250.0	100.0		
400.0	100		



Volume Statistics (Arithmetic) 74.\$02

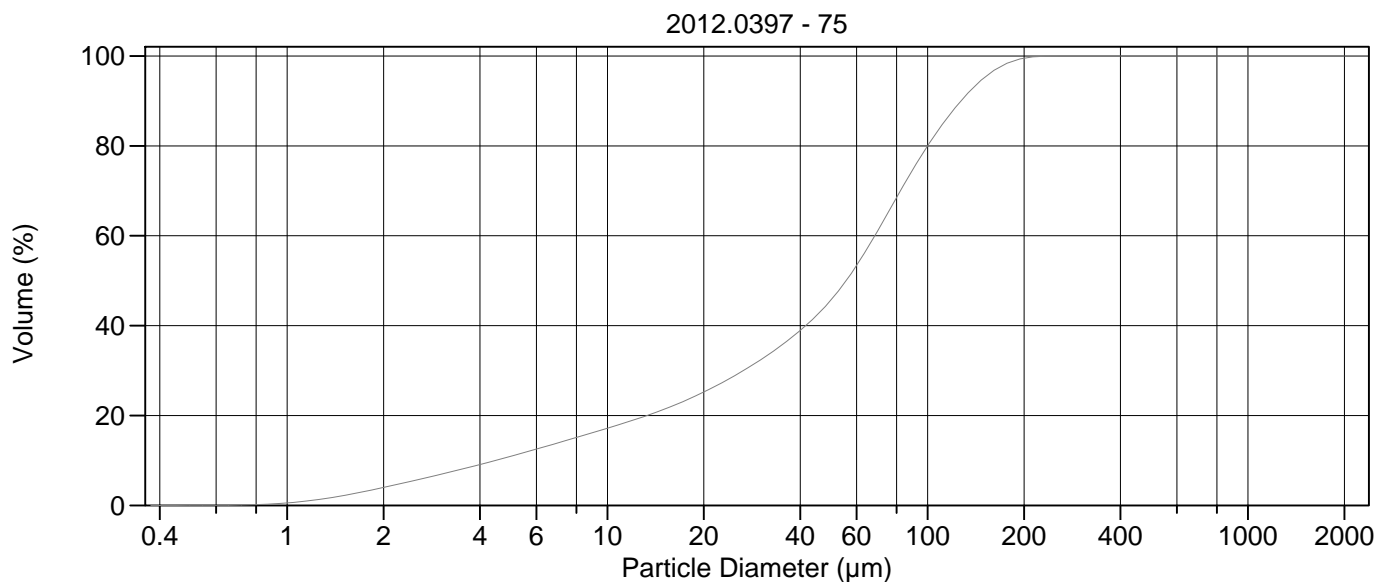
Calculations from 0.375 µm to 2000 µm

Volume	100.0%	95% Conf. Limits:	0-148.8 µm
Mean:	58.70 µm	S.D.:	45.99 µm
Median:	53.48 µm	Variance:	2115 µm ²
D(3,2):	11.87 µm	C.V.:	78.3%
Mean/Median Ratio:	1.097	Skewness:	0.694 Right skewed
Mode:	72.95 µm	Kurtosis:	-0.132 Platykurtic
d ₁₀ :	4.143 µm		
d ₅₀ :	53.48 µm		
d ₉₀ :	124.2 µm		
Specific Surf. Area	5053 cm ² /ml		

% <	10	25	50	75	90
Size µm	4.143	17.68	53.48	88.32	124.2

74.\$02

Particle Diameter µm	Volume % <	Particle Diameter µm	Volume % <
2.000	4.28	500.0	100
5.000	11.7	1000	100
10.00	18.3	2000	100
15.00	22.8		
20.00	26.9		
25.00	30.6		
50.00	47.5		
60.00	55.0		
63.00	57.3		
70.00	62.7		
75.00	66.4		
90.00	76.0		
125.0	90.2		
200.0	99.7		
250.0	100.0		
400.0	100		



Volume Statistics (Arithmetic) 75.\$02

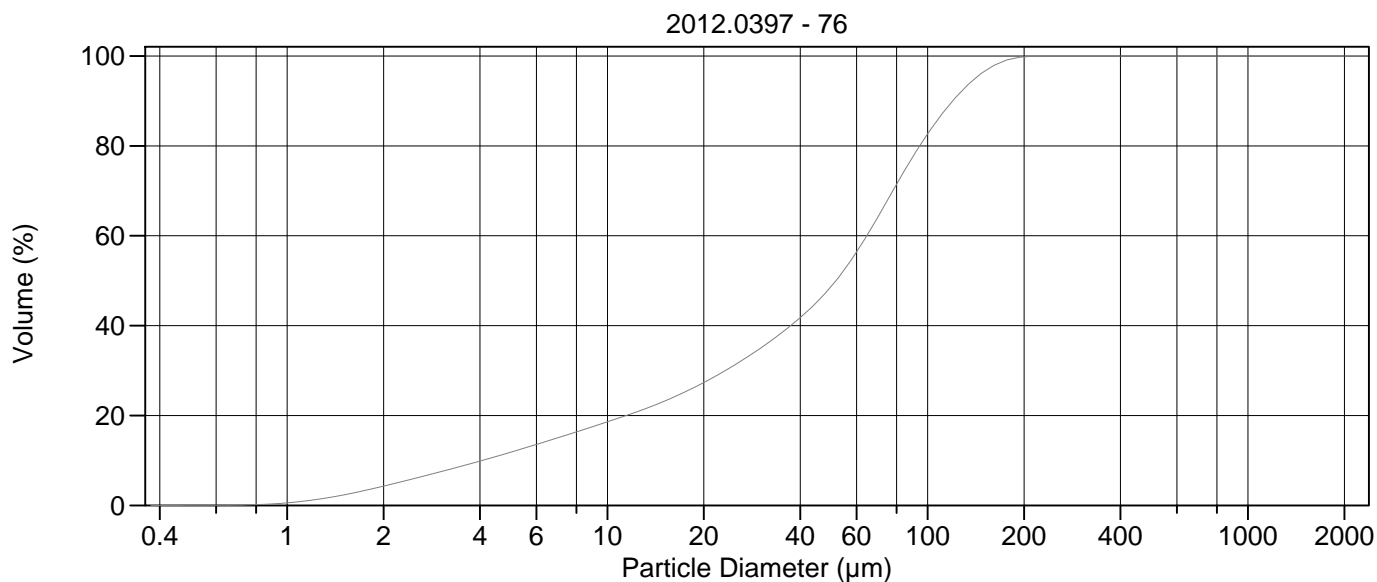
Calculations from 0.375 µm to 2000 µm

Volume	100.0%		
Mean:	60.77 µm	95% Conf. Limits:	0-152.5 µm
Median:	55.66 µm	S.D.:	46.81 µm
D(3,2):	12.52 µm	Variance:	2191 µm ²
Mean/Median Ratio:	1.092	C.V.:	77.0%
Mode:	72.95 µm	Skewness:	0.700 Right skewed
d ₁₀ :	4.469 µm	Kurtosis:	-0.056 Platykurtic
d ₅₀ :	55.66 µm		
d ₉₀ :	127.2 µm		
Specific Surf. Area	4791 cm ² /ml		

% <	10	25	50	75	90
Size µm	4.469	19.69	55.66	90.34	127.2

75.\$02

Particle Diameter µm	Volume % <	Particle Diameter µm	Volume % <
2.000	3.99	500.0	100
5.000	10.9	1000	100
10.00	17.2	2000	100
15.00	21.4		
20.00	25.2		
25.00	28.9		
50.00	45.8		
60.00	53.4		
63.00	55.8		
70.00	61.2		
75.00	65.0		
90.00	74.8		
125.0	89.4		
200.0	99.5		
250.0	100.0		
400.0	100		



Volume Statistics (Arithmetic) 76.\$02

Calculations from 0.375 μm to 2000 μm

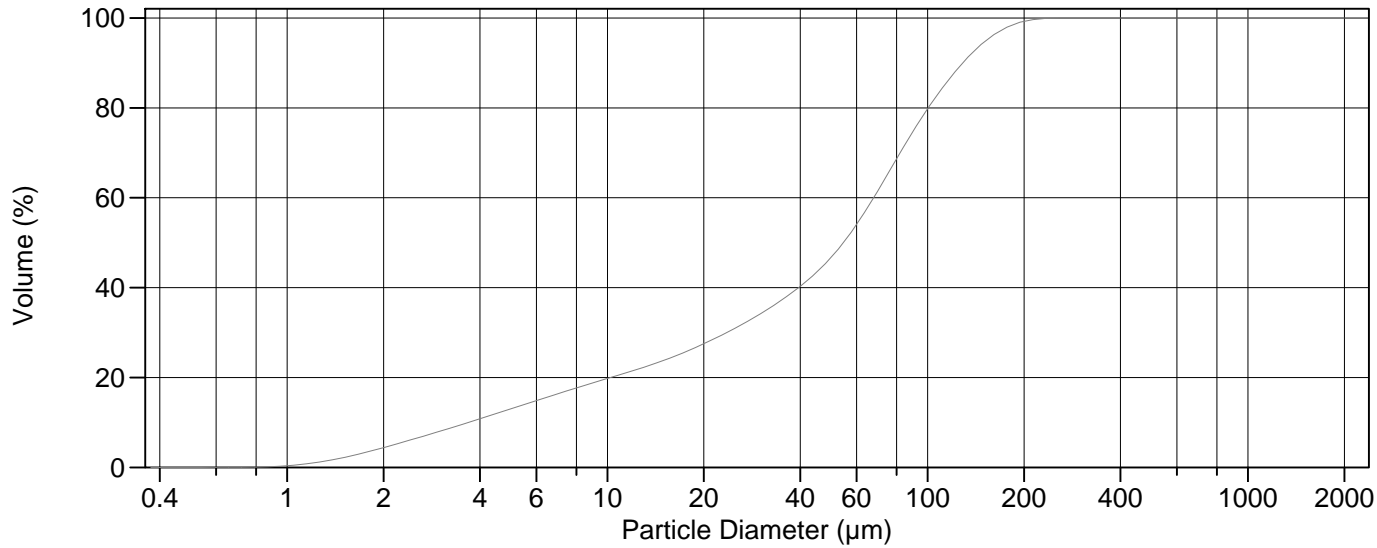
Volume	100.0%		
Mean:	56.77 μm	95% Conf. Limits:	0-143.8 μm
Median:	51.73 μm	S.D.:	44.40 μm
D(3,2):	11.74 μm	Variance:	1972 μm^2
Mean/Median Ratio:	1.097	C.V.:	78.2%
Mode:	72.95 μm	Skewness:	0.690 Right skewed
d ₁₀ :	4.070 μm	Kurtosis:	-0.142 Platykurtic
d ₅₀ :	51.73 μm		
d ₉₀ :	119.7 μm		
Specific Surf. Area	5112 cm^2/ml		

% <	10	25	50	75	90
Size μm	4.070	17.19	51.73	85.50	119.7

76.\$02

Particle Diameter μm	Volume % <	Particle Diameter μm	Volume % <
2.000	4.30	500.0	100
5.000	11.8	1000	100
10.00	18.6	2000	100
15.00	23.1		
20.00	27.3		
25.00	31.3		
50.00	48.7		
60.00	56.4		
63.00	58.8		
70.00	64.3		
75.00	68.0		
90.00	77.6		
125.0	91.5		
200.0	99.8		
250.0	100.0		
400.0	100		

2012.0397 - 77



Volume Statistics (Arithmetic)

77.\$02

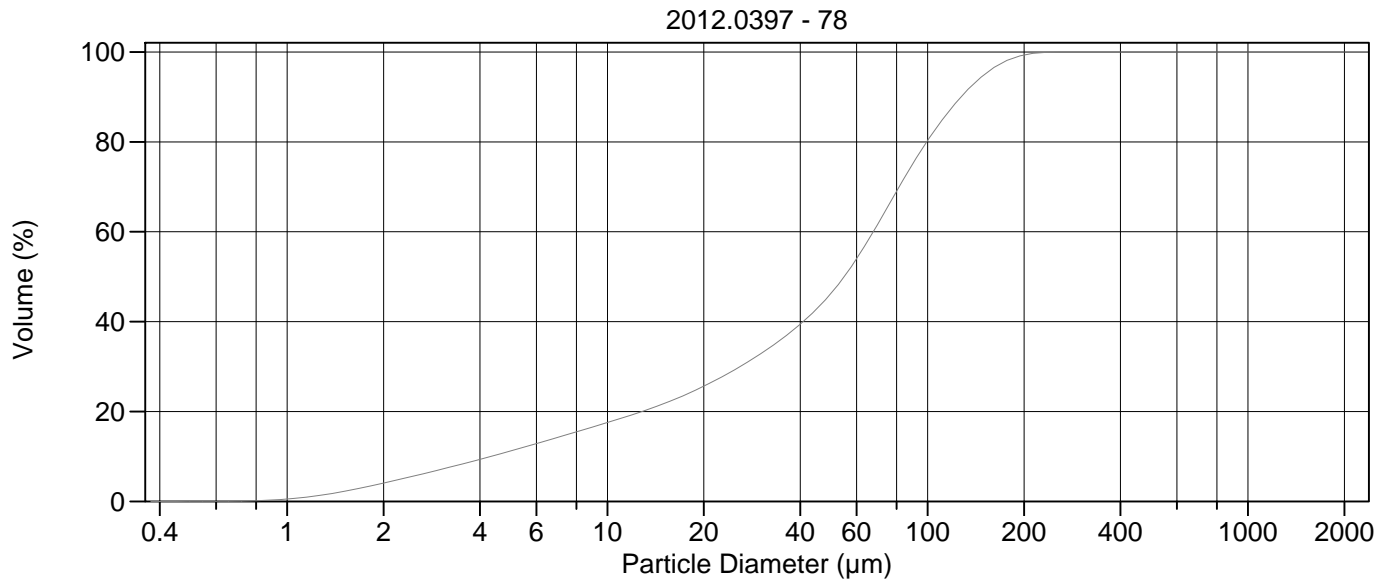
Calculations from 0.375 µm to 2000 µm

Volume	100.0%		
Mean:	60.19 µm	95% Conf. Limits:	0-155.2 µm
Median:	54.55 µm	S.D.:	48.50 µm
D(3,2):	11.52 µm	Variance:	2352 µm ²
Mean/Median Ratio:	1.103	C.V.:	80.6%
Mode:	72.95 µm	Skewness:	0.762 Right skewed
d ₁₀ :	3.679 µm	Kurtosis:	0.080 Leptokurtic
d ₅₀ :	54.55 µm		
d ₉₀ :	128.8 µm		
Specific Surf. Area	5207 cm ² /ml		

% <	10	25	50	75	90
Size µm	3.679	16.57	54.55	90.45	128.8

77.\$02

Particle Diameter µm	Volume % <	Particle Diameter µm	Volume % <
2.000	4.41	500.0	100
5.000	13.0	1000	100
10.00	19.8	2000	100
15.00	23.8		
20.00	27.5		
25.00	30.9		
50.00	46.8		
60.00	54.1		
63.00	56.3		
70.00	61.6		
75.00	65.3		
90.00	74.7		
125.0	89.0		
200.0	99.2		
250.0	100.0		
400.0	100		



Volume Statistics (Arithmetic) 78.\$02

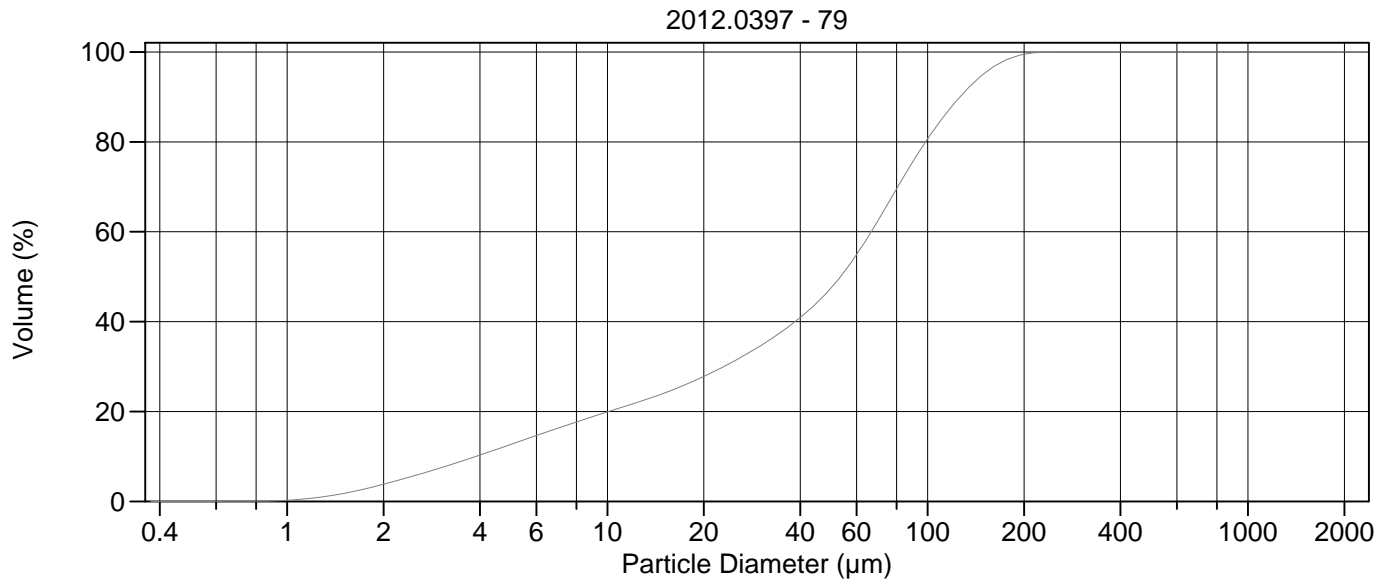
Calculations from 0.375 µm to 2000 µm

Volume	100.0%		
Mean:	60.47 µm	95% Conf. Limits:	0-153.3 µm
Median:	54.89 µm	S.D.:	47.34 µm
D(3,2):	12.34 µm	Variance:	2241 µm ²
Mean/Median Ratio:	1.101	C.V.:	78.3%
Mode:	72.95 µm	Skewness:	0.766 Right skewed
d ₁₀ :	4.321 µm	Kurtosis:	0.139 Leptokurtic
d ₅₀ :	54.89 µm		
d ₉₀ :	127.3 µm		
Specific Surf. Area	4864 cm ² /ml		

% <	10	25	50	75	90
Size µm	4.321	19.16	54.89	89.65	127.3

78.\$02

Particle Diameter µm	Volume % <	Particle Diameter µm	Volume % <
2.000	4.07	500.0	100
5.000	11.2	1000	100
10.00	17.6	2000	100
15.00	21.7		
20.00	25.6		
25.00	29.3		
50.00	46.3		
60.00	54.0		
63.00	56.4		
70.00	61.8		
75.00	65.5		
90.00	75.2		
125.0	89.4		
200.0	99.3		
250.0	100.0		
400.0	100		



Volume Statistics (Arithmetic)

79.\$02

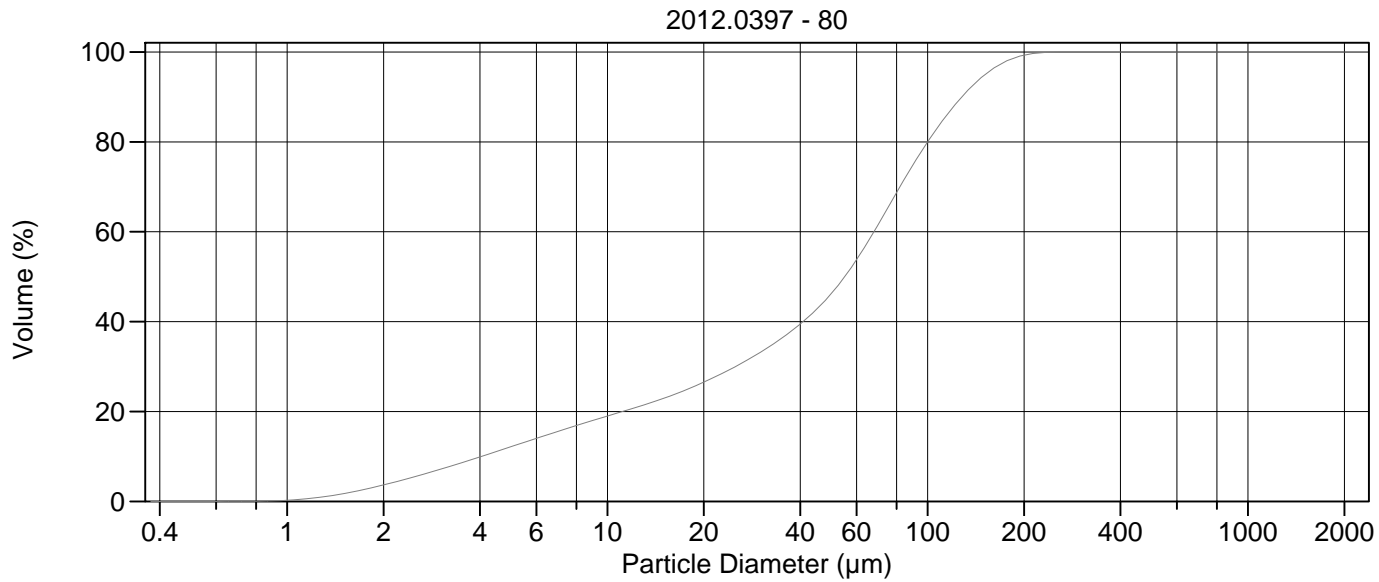
Calculations from 0.375 μm to 2000 μm

Volume	100.0%		
Mean:	58.98 μm	95% Conf. Limits:	0-151.7 μm
Median:	53.47 μm	S.D.:	47.29 μm
D(3,2):	12.01 μm	Variance:	2237 μm^2
Mean/Median Ratio:	1.103	C.V.:	80.2%
Mode:	72.95 μm	Skewness:	0.739 Right skewed
d ₁₀ :	3.877 μm	Kurtosis:	-0.017 Platykurtic
d ₅₀ :	53.47 μm		
d ₉₀ :	126.2 μm		
Specific Surf. Area	4997 cm^2/ml		

% <	10	25	50	75	90
Size μm	3.877	16.23	53.47	88.88	126.2

79.\$02

Particle Diameter μm	Volume % <	Particle Diameter μm	Volume % <
2.000	3.81	500.0	100
5.000	12.7	1000	100
10.00	19.9	2000	100
15.00	24.1		
20.00	27.8		
25.00	31.3		
50.00	47.5		
60.00	54.9		
63.00	57.2		
70.00	62.5		
75.00	66.2		
90.00	75.6		
125.0	89.7		
200.0	99.5		
250.0	100.0		
400.0	100		



Volume Statistics (Arithmetic)

80.\$02

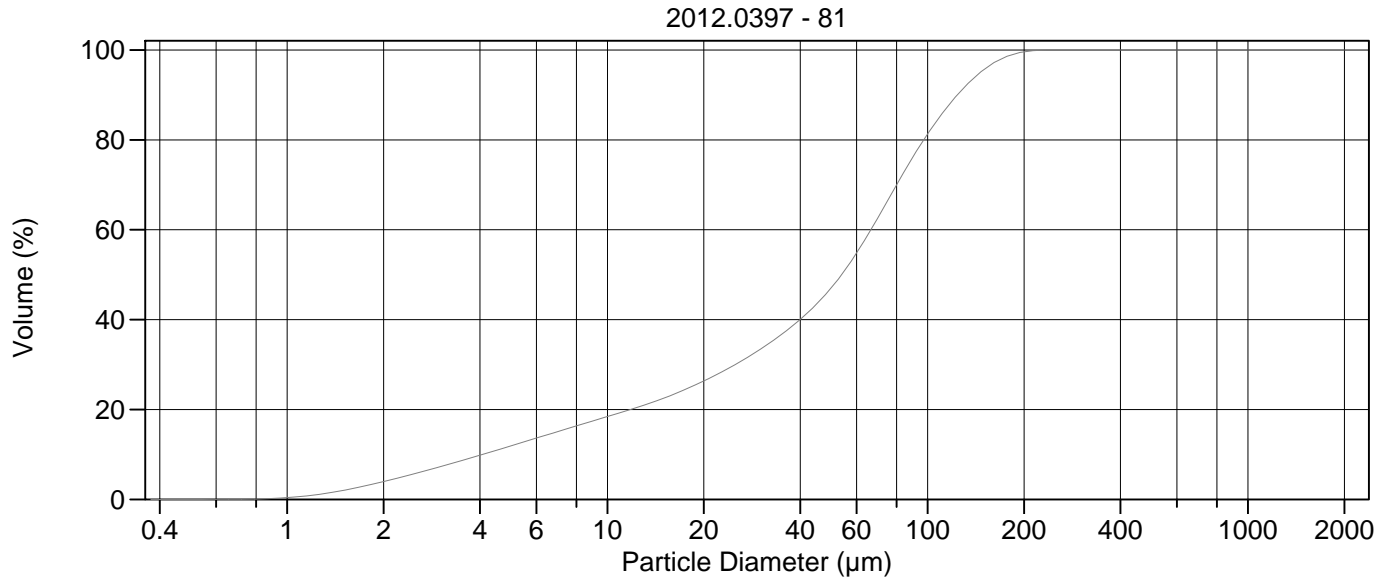
Calculations from 0.375 µm to 2000 µm

Volume	100.0%		
Mean:	60.49 µm	95% Conf. Limits:	0-154.4 µm
Median:	55.10 µm	S.D.:	47.91 µm
D(3,2):	12.43 µm	Variance:	2295 µm ²
Mean/Median Ratio:	1.098	C.V.:	79.2%
Mode:	72.95 µm	Skewness:	0.758 Right skewed
d ₁₀ :	4.040 µm	Kurtosis:	0.114 Leptokurtic
d ₅₀ :	55.10 µm		
d ₉₀ :	128.0 µm		
Specific Surf. Area	4828 cm ² /ml		

% <	10	25	50	75	90
Size µm	4.040	17.84	55.10	90.19	128.0

80.\$02

Particle Diameter µm	Volume % <	Particle Diameter µm	Volume % <
2.000	3.67	500.0	100
5.000	12.2	1000	100
10.00	19.0	2000	100
15.00	22.9		
20.00	26.5		
25.00	29.9		
50.00	46.2		
60.00	53.8		
63.00	56.1		
70.00	61.6		
75.00	65.3		
90.00	74.9		
125.0	89.2		
200.0	99.3		
250.0	100.0		
400.0	100		



Volume Statistics (Arithmetic)

81.\$02

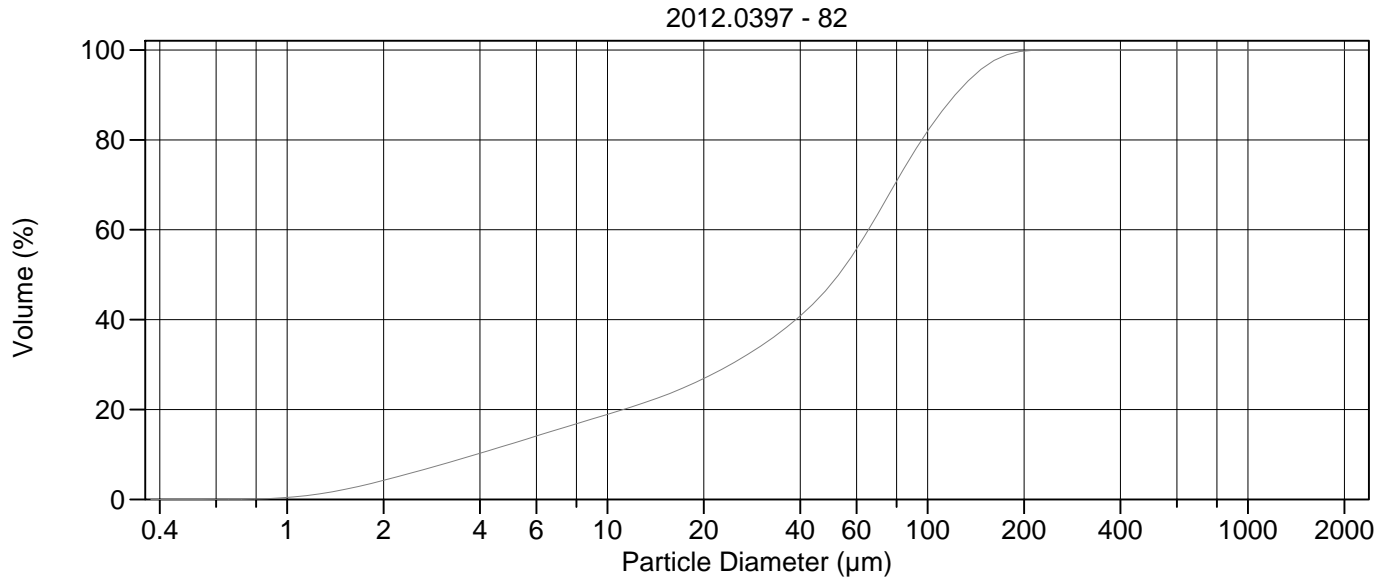
Calculations from 0.375 μm to 2000 μm

Volume	100.0%		
Mean:	58.91 μm	95% Conf. Limits:	0-149.1 μm
Median:	53.88 μm	S.D.:	45.99 μm
D(3,2):	12.21 μm	Variance:	2115 μm^2
Mean/Median Ratio:	1.093	C.V.:	78.1%
Mode:	72.95 μm	Skewness:	0.719 Right skewed
d ₁₀ :	4.079 μm	Kurtosis:	-0.0072 Platykurtic
d ₅₀ :	53.88 μm		
d ₉₀ :	123.8 μm		
Specific Surf. Area	4915 cm^2/ml		

% <	10	25	50	75	90
Size μm	4.079	18.21	53.88	87.93	123.8

81.\$02

Particle Diameter μm	Volume % <	Particle Diameter μm	Volume % <
2.000	3.97	500.0	100
5.000	11.9	1000	100
10.00	18.4	2000	100
15.00	22.5		
20.00	26.3		
25.00	30.0		
50.00	47.1		
60.00	54.8		
63.00	57.2		
70.00	62.8		
75.00	66.5		
90.00	76.2		
125.0	90.3		
200.0	99.6		
250.0	100.0		
400.0	100		



Volume Statistics (Arithmetic)

82.\$02

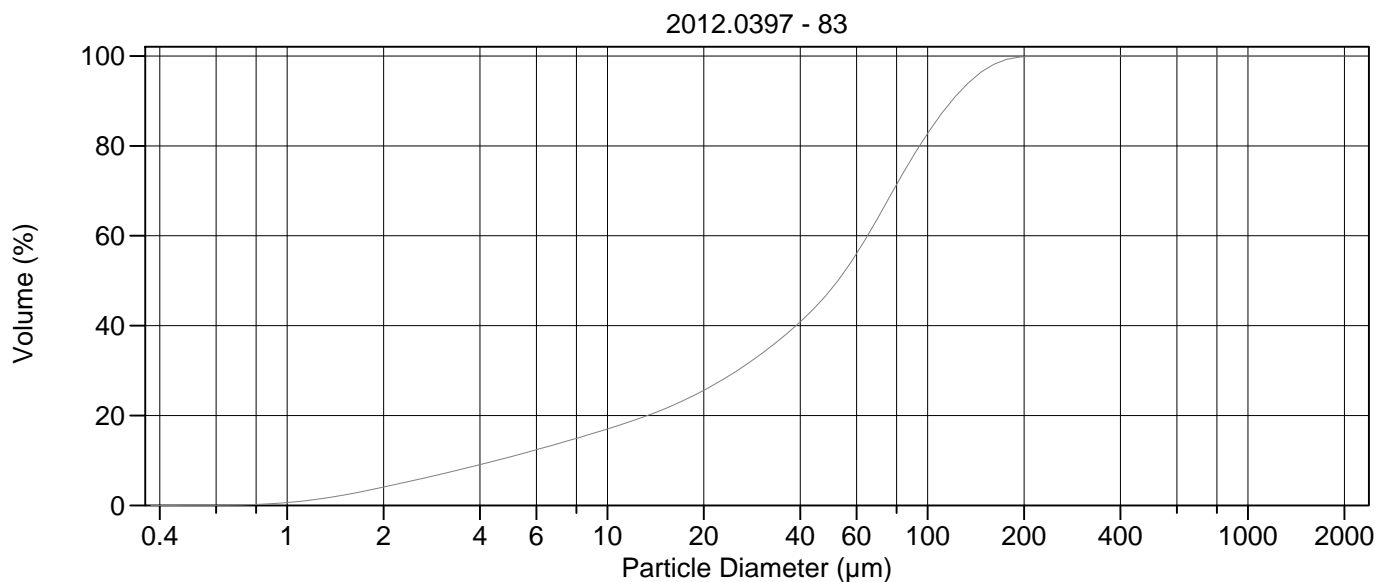
Calculations from 0.375 μm to 2000 μm

Volume	100.0%	95% Conf. Limits:	0-146.2 μm
Mean:	57.73 μm	S.D.:	45.14 μm
Median:	52.76 μm	Variance:	2037 μm^2
D(3,2):	11.80 μm	C.V.:	78.2%
Mean/Median Ratio:	1.094	Skewness:	0.689 Right skewed
Mode:	72.95 μm	Kurtosis:	-0.125 Platykurtic
d ₁₀ :	3.888 μm		
d ₅₀ :	52.76 μm		
d ₉₀ :	121.7 μm		
Specific Surf. Area	5087 cm^2/ml		

% <	10	25	50	75	90
Size μm	3.888	17.49	52.76	86.67	121.7

82.\$02

Particle Diameter μm	Volume % <	Particle Diameter μm	Volume % <
2.000	4.24	500.0	100
5.000	12.3	1000	100
10.00	18.9	2000	100
15.00	23.1		
20.00	26.9		
25.00	30.6		
50.00	47.9		
60.00	55.7		
63.00	58.1		
70.00	63.6		
75.00	67.4		
90.00	76.9		
125.0	90.9		
200.0	99.7		
250.0	100.0		
400.0	100		



Volume Statistics (Arithmetic)

83.\$02

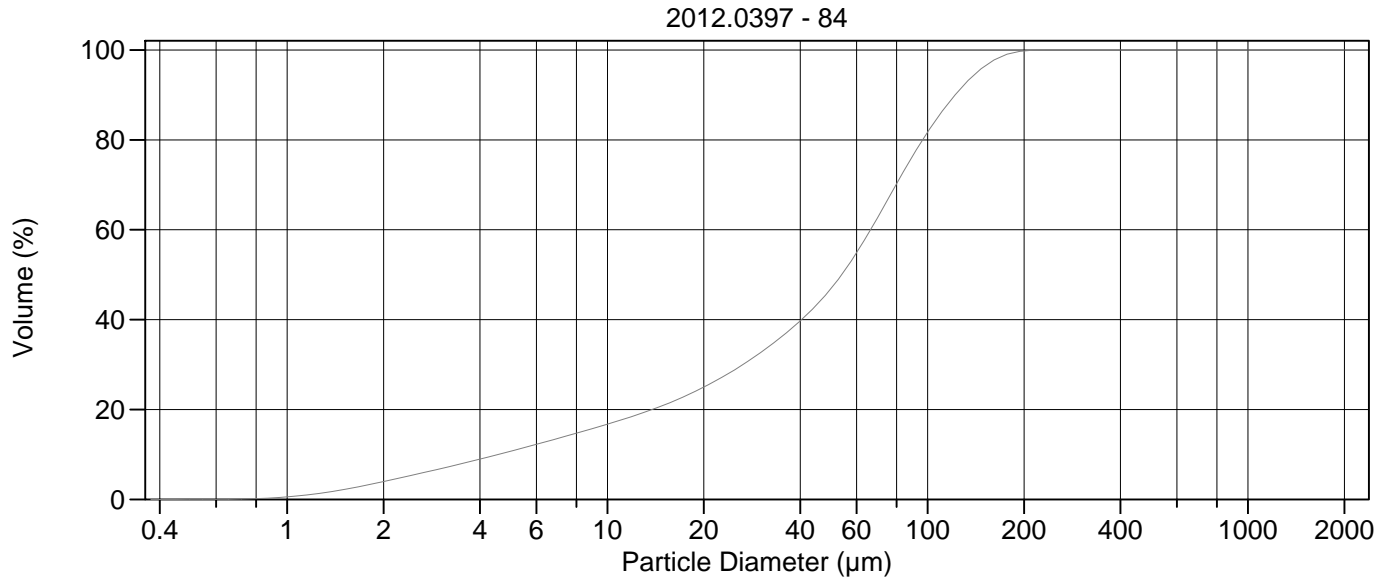
Calculations from 0.375 µm to 2000 µm

Volume	100.0%	95% Conf. Limits:	0-142.5 µm
Mean:	57.25 µm	S.D.:	43.52 µm
Median:	52.47 µm	Variance:	1894 µm ²
D(3,2):	12.32 µm	C.V.:	76.0%
Mean/Median Ratio:	1.091	Skewness:	0.661 Right skewed
Mode:	72.95 µm	Kurtosis:	-0.171 Platykurtic
d ₁₀ :	4.507 µm		
d ₅₀ :	52.47 µm		
d ₉₀ :	118.9 µm		
Specific Surf. Area	4872 cm ² /ml		

% <	10	25	50	75	90
Size µm	4.507	19.26	52.47	85.54	118.9

83.\$02

Particle Diameter µm	Volume % <	Particle Diameter µm	Volume % <
2.000	4.08	500.0	100
5.000	10.8	1000	100
10.00	17.0	2000	100
15.00	21.4		
20.00	25.6		
25.00	29.7		
50.00	48.1		
60.00	56.0		
63.00	58.5		
70.00	64.1		
75.00	67.8		
90.00	77.6		
125.0	91.8		
200.0	99.8		
250.0	100.0		
400.0	100		



Volume Statistics (Arithmetic)

84.\$02

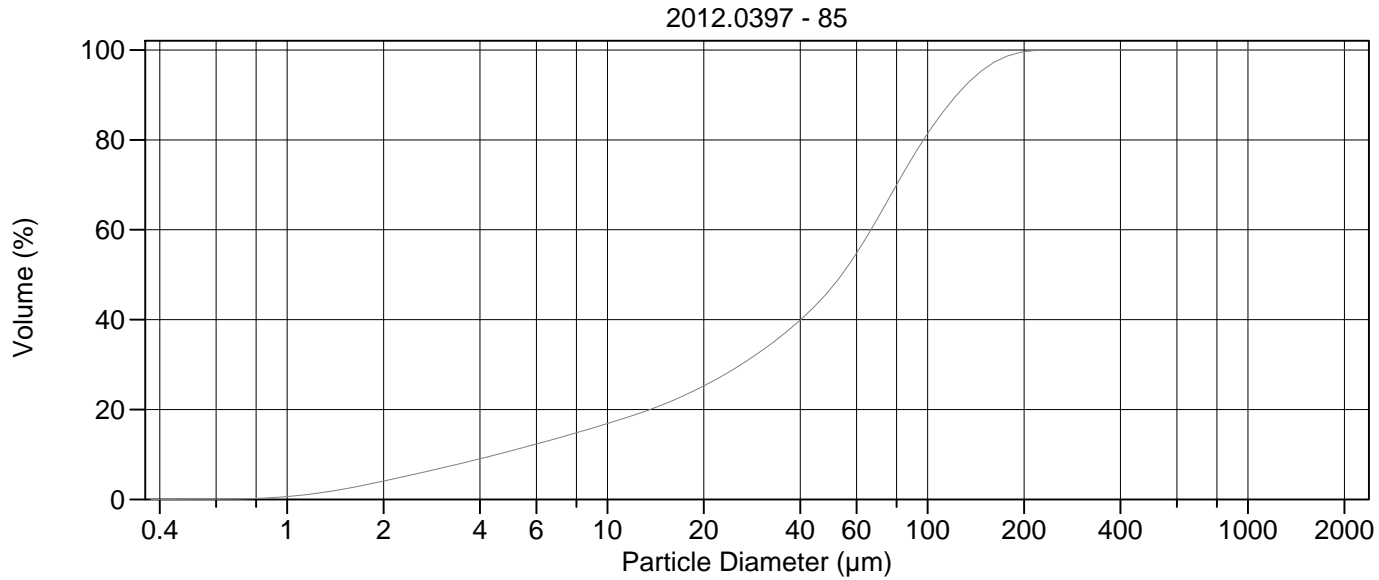
Calculations from 0.375 µm to 2000 µm

Volume	100.0%		
Mean:	58.72 µm	95% Conf. Limits:	0-145.9 µm
Median:	53.93 µm	S.D.:	44.48 µm
D(3,2):	12.59 µm	Variance:	1978 µm ²
Mean/Median Ratio:	1.089	C.V.:	75.8%
Mode:	72.95 µm	Skewness:	0.660 Right skewed
d ₁₀ :	4.565 µm	Kurtosis:	-0.168 Platykurtic
d ₅₀ :	53.93 µm		
d ₉₀ :	121.7 µm		
Specific Surf. Area	4767 cm ² /ml		

% <	10	25	50	75	90
Size µm	4.565	20.00	53.93	87.42	121.7

84.\$02

Particle Diameter µm	Volume % <	Particle Diameter µm	Volume % <
2.000	3.97	500.0	100
5.000	10.7	1000	100
10.00	16.7	2000	100
15.00	21.0		
20.00	25.0		
25.00	28.9		
50.00	47.0		
60.00	54.9		
63.00	57.3		
70.00	62.9		
75.00	66.7		
90.00	76.5		
125.0	90.9		
200.0	99.8		
250.0	100.0		
400.0	100		



Volume Statistics (Arithmetic)

85.\$02

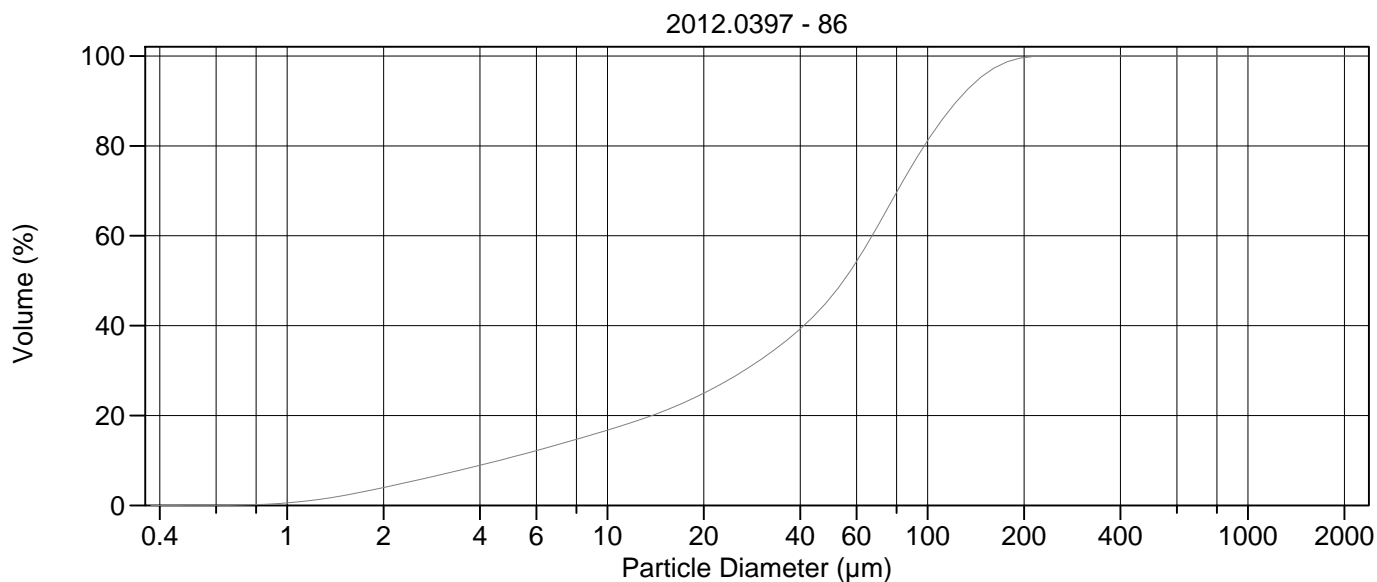
Calculations from 0.375 µm to 2000 µm

Volume	100.0%		
Mean:	59.17 µm	95% Conf. Limits:	0-148.4 µm
Median:	53.92 µm	S.D.:	45.54 µm
D(3,2):	12.41 µm	Variance:	2074 µm ²
Mean/Median Ratio:	1.097	C.V.:	77.0%
Mode:	72.95 µm	Skewness:	0.724 Right skewed
d ₁₀ :	4.524 µm	Kurtosis:	0.019 Leptokurtic
d ₅₀ :	53.92 µm		
d ₉₀ :	123.3 µm		
Specific Surf. Area	4836 cm ² /ml		

% <	10	25	50	75	90
Size µm	4.524	19.68	53.92	87.87	123.3

85.\$02

Particle Diameter µm	Volume % <	Particle Diameter µm	Volume % <
2.000	4.08	500.0	100
5.000	10.8	1000	100
10.00	16.9	2000	100
15.00	21.2		
20.00	25.3		
25.00	29.1		
50.00	47.0		
60.00	54.8		
63.00	57.2		
70.00	62.7		
75.00	66.5		
90.00	76.3		
125.0	90.4		
200.0	99.6		
250.0	100.0		
400.0	100		



Volume Statistics (Arithmetic)

86.\$02

Calculations from 0.375 μm to 2000 μm

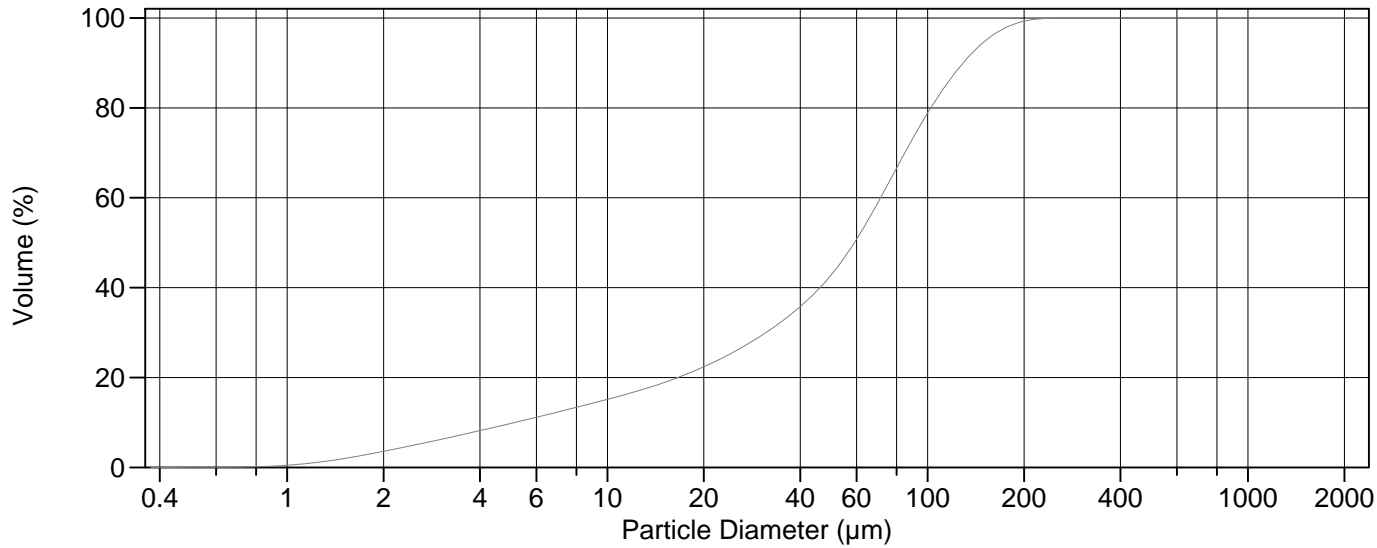
Volume	100.0%		
Mean:	59.57 μm	95% Conf. Limits:	0-148.6 μm
Median:	54.64 μm	S.D.:	45.44 μm
D(3,2):	12.62 μm	Variance:	2065 μm^2
Mean/Median Ratio:	1.090	C.V.:	76.3%
Mode:	72.95 μm	Skewness:	0.698 Right skewed
d ₁₀ :	4.594 μm	Kurtosis:	-0.038 Platykurtic
d ₅₀ :	54.64 μm		
d ₉₀ :	123.6 μm		
Specific Surf. Area	4753 cm^2/ml		

% <	10	25	50	75	90
Size μm	4.594	20.03	54.64	88.37	123.6

86.\$02

Particle Diameter μm	Volume % <	Particle Diameter μm	Volume % <
2.000	3.98	500.0	100
5.000	10.7	1000	100
10.00	16.7	2000	100
15.00	21.0		
20.00	25.0		
25.00	28.8		
50.00	46.4		
60.00	54.3		
63.00	56.7		
70.00	62.3		
75.00	66.1		
90.00	76.0		
125.0	90.4		
200.0	99.6		
250.0	100.0		
400.0	100		

2012.0397 - 87



Volume Statistics (Arithmetic)

87.\$02

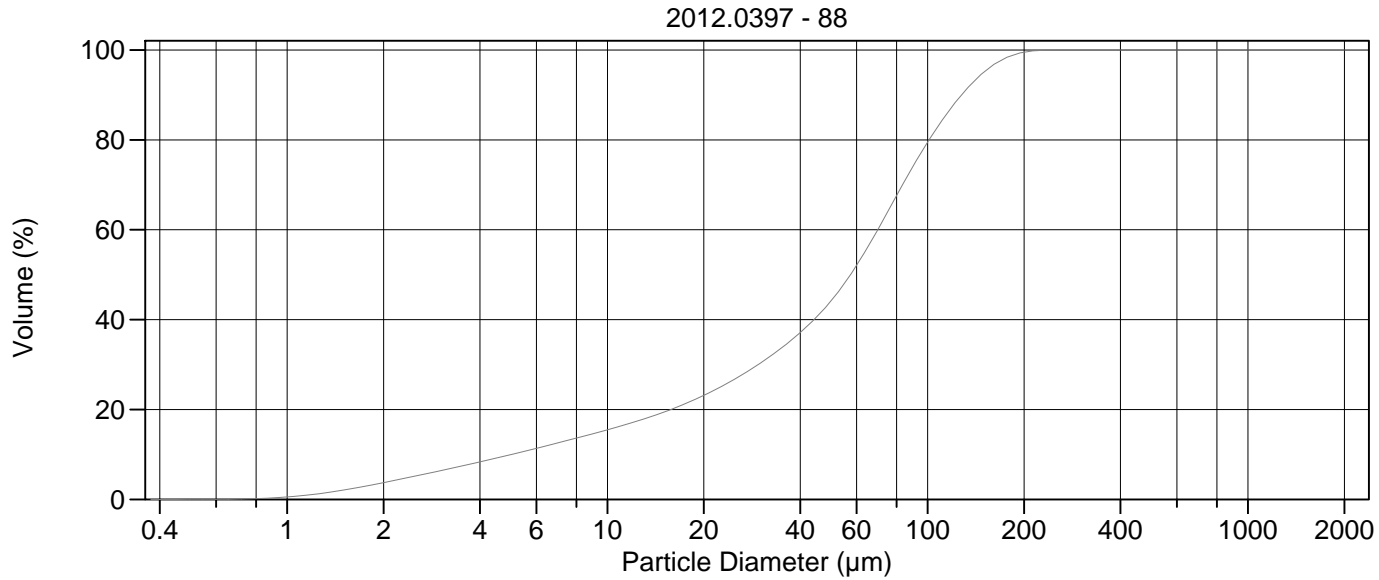
Calculations from 0.375 µm to 2000 µm

Volume	100.0%		
Mean:	63.65 µm	95% Conf. Limits:	0-156.0 µm
Median:	59.09 µm	S.D.:	47.10 µm
D(3,2):	13.77 µm	Variance:	2219 µm ²
Mean/Median Ratio:	1.077	C.V.:	74.0%
Mode:	80.08 µm	Skewness:	0.696 Right skewed
d ₁₀ :	5.141 µm	Kurtosis:	0.097 Leptokurtic
d ₅₀ :	59.09 µm		
d ₉₀ :	129.2 µm		
Specific Surf. Area	4359 cm ² /ml		

% <	10	25	50	75	90
Size µm	5.141	23.79	59.09	92.80	129.2

87.\$02

Particle Diameter µm	Volume % <	Particle Diameter µm	Volume % <
2.000	3.57	500.0	100
5.000	9.79	1000	100
10.00	15.1	2000	100
15.00	18.9		
20.00	22.4		
25.00	25.8		
50.00	42.8		
60.00	50.8		
63.00	53.2		
70.00	59.0		
75.00	62.9		
90.00	73.3		
125.0	88.8		
200.0	99.3		
250.0	100.0		
400.0	100		



Volume Statistics (Arithmetic)

88#.\$02

Calculations from 0.375 µm to 2000 µm

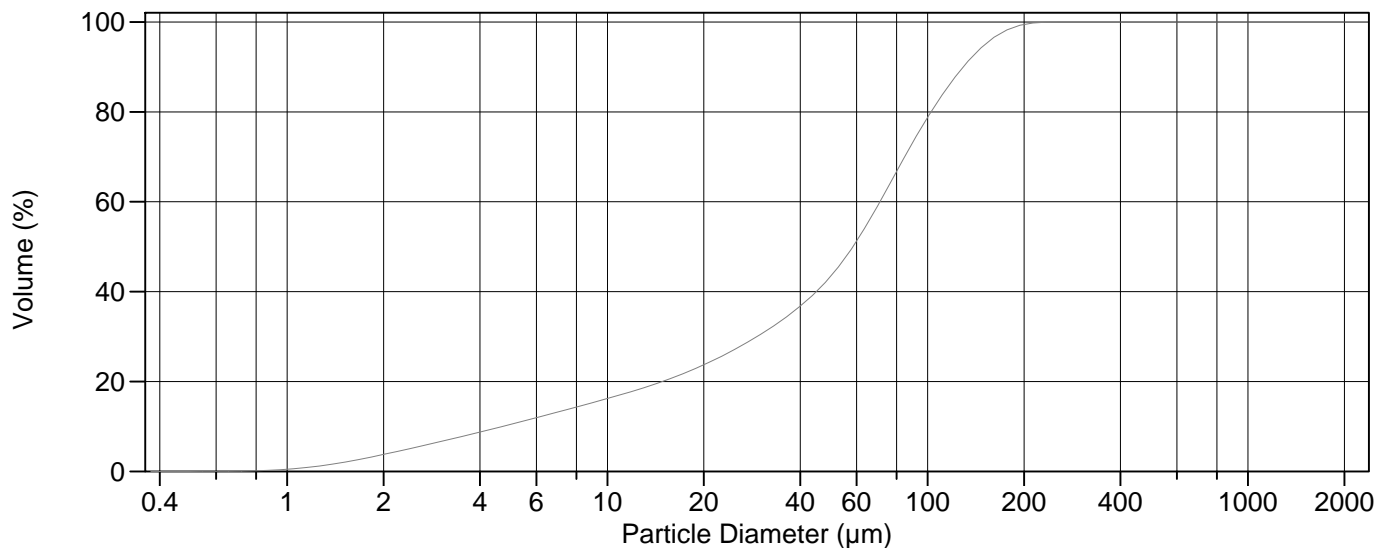
Volume	100.0%		
Mean:	62.23 µm	95% Conf. Limits:	0-153.2 µm
Median:	57.45 µm	S.D.:	46.39 µm
D(3,2):	13.36 µm	Variance:	2152 µm ²
Mean/Median Ratio:	1.083	C.V.:	74.6%
Mode:	80.08 µm	Skewness:	0.671 Right skewed
d ₁₀ :	5.020 µm	Kurtosis:	-0.065 Platykurtic
d ₅₀ :	57.45 µm		
d ₉₀ :	127.7 µm		
Specific Surf. Area	4491 cm ² /ml		

% <	10	25	50	75	90
Size µm	5.020	22.53	57.45	91.47	127.7

88#.\$02

Particle Diameter µm	Volume % <	Particle Diameter µm	Volume % <
2.000	3.73	500.0	100
5.000	9.97	1000	100
10.00	15.5	2000	100
15.00	19.4		
20.00	23.2		
25.00	26.8		
50.00	44.2		
60.00	52.1		
63.00	54.5		
70.00	60.1		
75.00	64.0		
90.00	74.1		
125.0	89.2		
200.0	99.5		
250.0	100.0		
400.0	100		

2012.0397 - 89



Volume Statistics (Arithmetic)

89.\$02

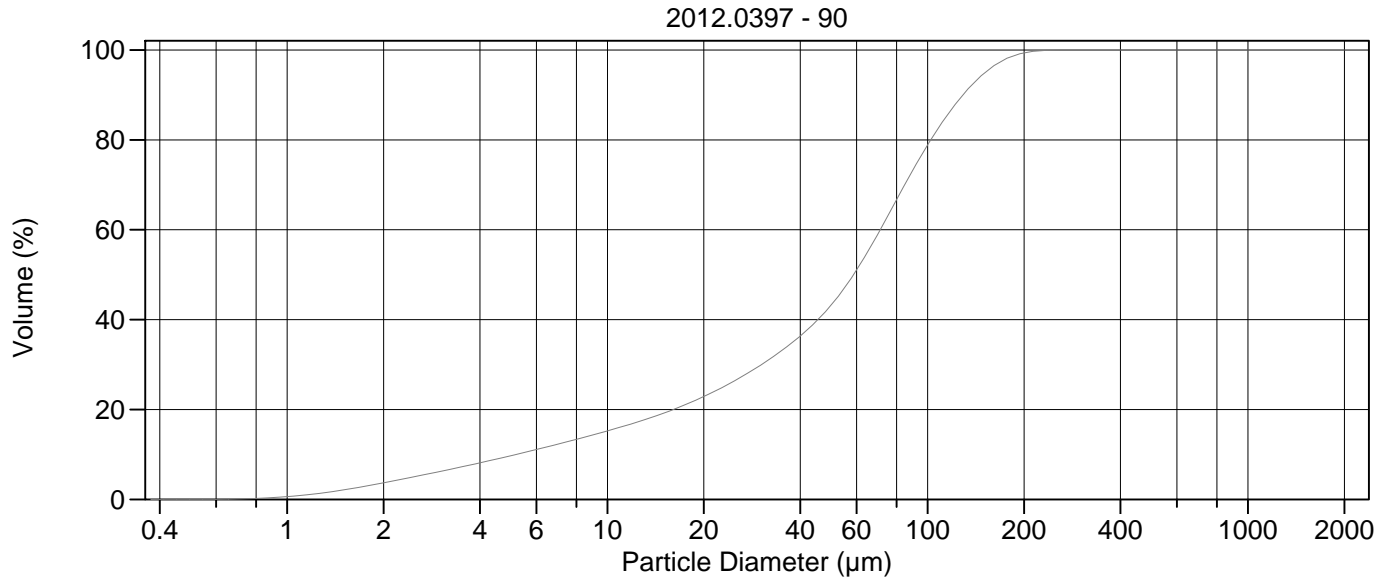
Calculations from 0.375 µm to 2000 µm

Volume	100.0%	95% Conf. Limits:	0-155.3 µm
Mean:	62.89 µm	S.D.:	47.14 µm
Median:	58.45 µm	Variance:	2223 µm ²
D(3,2):	13.17 µm	C.V.:	75.0%
Mean/Median Ratio:	1.076	Skewness:	0.650 Right skewed
Mode:	80.08 µm	Kurtosis:	-0.117 Platykurtic
d ₁₀ :	4.700 µm		
d ₅₀ :	58.45 µm		
d ₉₀ :	129.3 µm		
Specific Surf. Area	4557 cm ² /ml		

% <	10	25	50	75	90
Size µm	4.700	21.81	58.45	92.86	129.3

89.\$02

Particle Diameter µm	Volume % <	Particle Diameter µm	Volume % <
2.000	3.78	500.0	100
5.000	10.5	1000	100
10.00	16.2	2000	100
15.00	20.1		
20.00	23.7		
25.00	27.2		
50.00	43.6		
60.00	51.2		
63.00	53.7		
70.00	59.3		
75.00	63.1		
90.00	73.3		
125.0	88.7		
200.0	99.4		
250.0	100.0		
400.0	100		



Volume Statistics (Arithmetic)

90.\$02

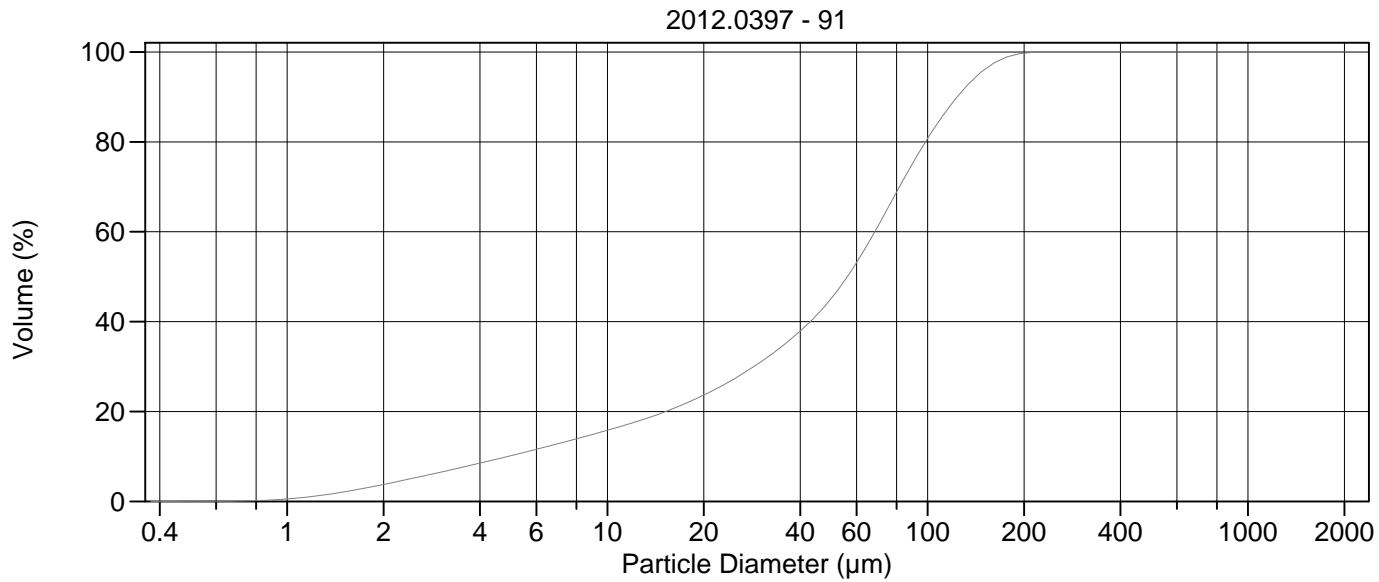
Calculations from 0.375 μm to 2000 μm

Volume	100.0%	95% Conf. Limits:	0-155.4 μm
Mean:	63.26 μm	S.D.:	47.00 μm
Median:	58.73 μm	Variance:	2209 μm^2
D(3,2):	13.45 μm	C.V.:	74.3%
Mean/Median Ratio:	1.077	Skewness:	0.679 Right skewed
Mode:	80.08 μm	Kurtosis:	0.0090 Leptokurtic
d ₁₀ :	5.190 μm		
d ₅₀ :	58.73 μm		
d ₉₀ :	129.0 μm		
Specific Surf. Area	4460 cm^2/ml		

% <	10	25	50	75	90
Size μm	5.190	22.95	58.73	92.74	129.0

90.\$02

Particle Diameter μm	Volume % <	Particle Diameter μm	Volume % <
2.000	3.71	500.0	100
5.000	9.72	1000	100
10.00	15.2	2000	100
15.00	19.2		
20.00	22.9		
25.00	26.4		
50.00	43.3		
60.00	51.0		
63.00	53.5		
70.00	59.1		
75.00	63.0		
90.00	73.3		
125.0	88.8		
200.0	99.4		
250.0	100.0		
400.0	100		



Volume Statistics (Arithmetic) 91.\$02

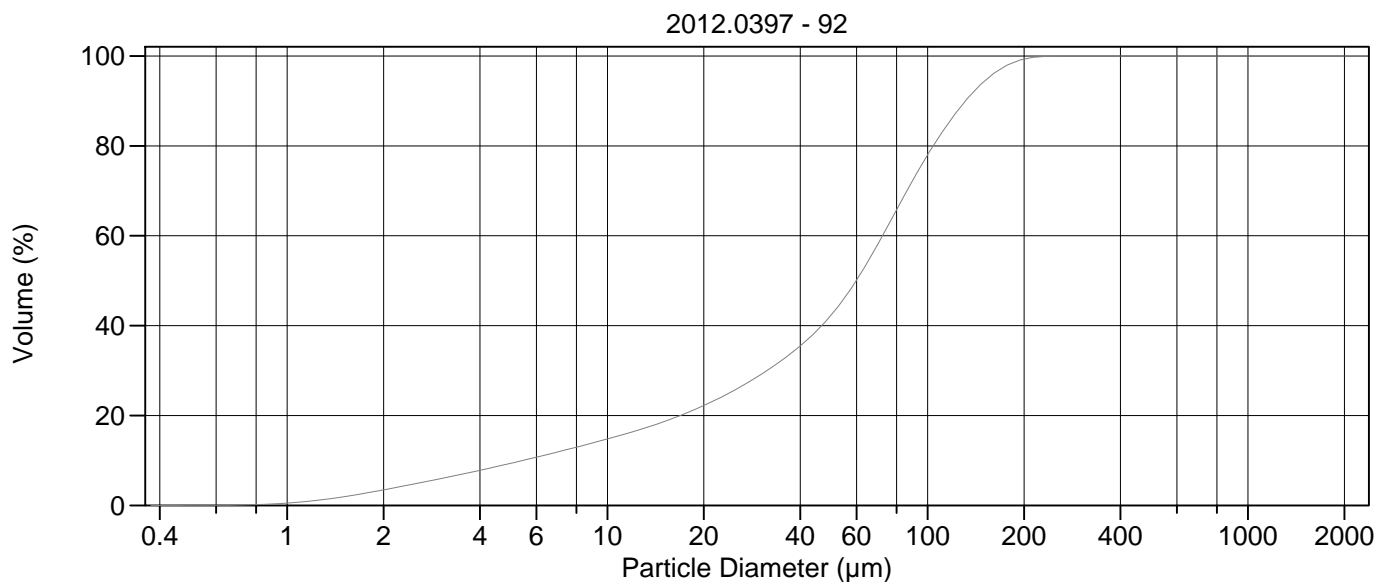
Calculations from 0.375 μm to 2000 μm

Volume	100.0%		
Mean:	60.48 μm	95% Conf. Limits:	0-148.3 μm
Median:	56.18 μm	S.D.:	44.82 μm
D(3,2):	13.15 μm	Variance:	2009 μm^2
Mean/Median Ratio:	1.077	C.V.:	74.1%
Mode:	72.95 μm	Skewness:	0.630 Right skewed
d ₁₀ :	4.889 μm	Kurtosis:	-0.175 Platykurtic
d ₅₀ :	56.18 μm		
d ₉₀ :	123.6 μm		
Specific Surf. Area	4563 cm^2/ml		

% <	10	25	50	75	90
Size μm	4.889	21.78	56.18	89.42	123.6

91.\$02

Particle Diameter μm	Volume % <	Particle Diameter μm	Volume % <
2.000	3.77	500.0	100
5.000	10.2	1000	100
10.00	15.8	2000	100
15.00	19.8		
20.00	23.7		
25.00	27.4		
50.00	45.1		
60.00	53.1		
63.00	55.6		
70.00	61.3		
75.00	65.2		
90.00	75.4		
125.0	90.4		
200.0	99.7		
250.0	100.0		
400.0	100		



Volume Statistics (Arithmetic) 92.\$02

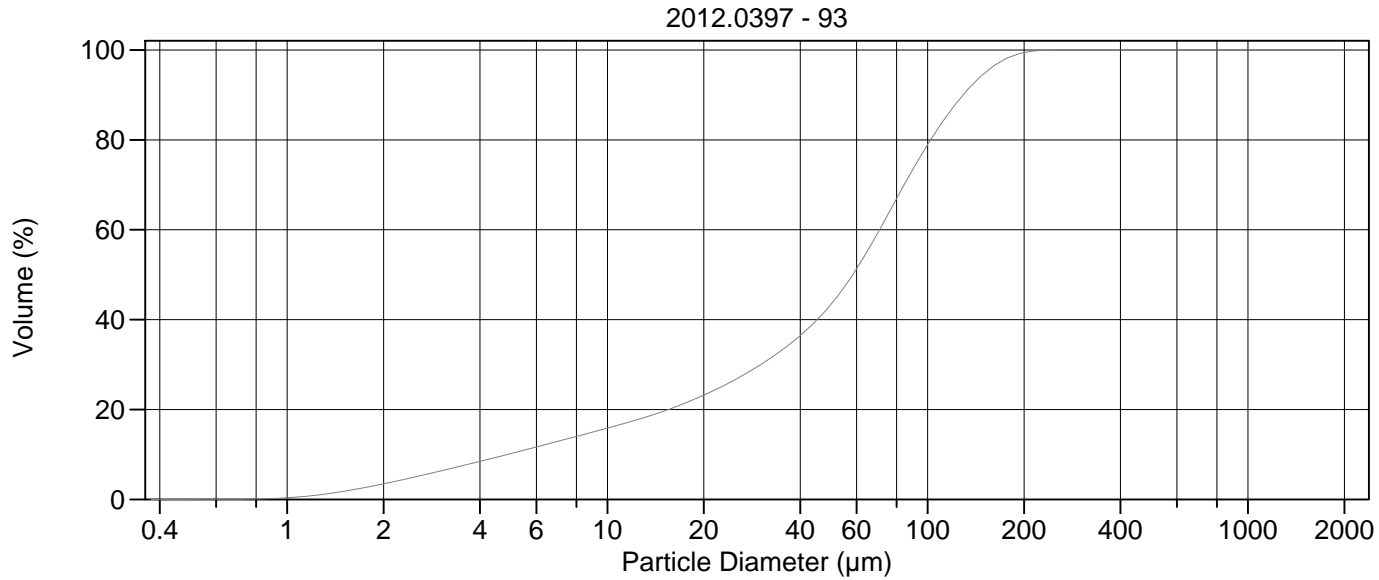
Calculations from 0.375 μm to 2000 μm

Volume	100.0%		
Mean:	64.53 μm	95% Conf. Limits:	0-157.8 μm
Median:	59.85 μm	S.D.:	47.58 μm
D(3,2):	14.04 μm	Variance:	2264 μm^2
Mean/Median Ratio:	1.078	C.V.:	73.7%
Mode:	80.08 μm	Skewness:	0.667 Right skewed
d ₁₀ :	5.448 μm	Kurtosis:	-0.033 Platykurtic
d ₅₀ :	59.85 μm		
d ₉₀ :	131.3 μm		
Specific Surf. Area	4273 cm^2/ml		

% <	10	25	50	75	90
Size μm	5.448	23.99	59.85	94.40	131.3

92.\$02

Particle Diameter μm	Volume % <	Particle Diameter μm	Volume % <
2.000	3.46	500.0	100
5.000	9.37	1000	100
10.00	14.8	2000	100
15.00	18.6		
20.00	22.2		
25.00	25.7		
50.00	42.4		
60.00	50.1		
63.00	52.6		
70.00	58.2		
75.00	62.1		
90.00	72.4		
125.0	88.1		
200.0	99.3		
250.0	100.0		
400.0	100		



Volume Statistics (Arithmetic) 93.\$02

Calculations from 0.375 μm to 2000 μm

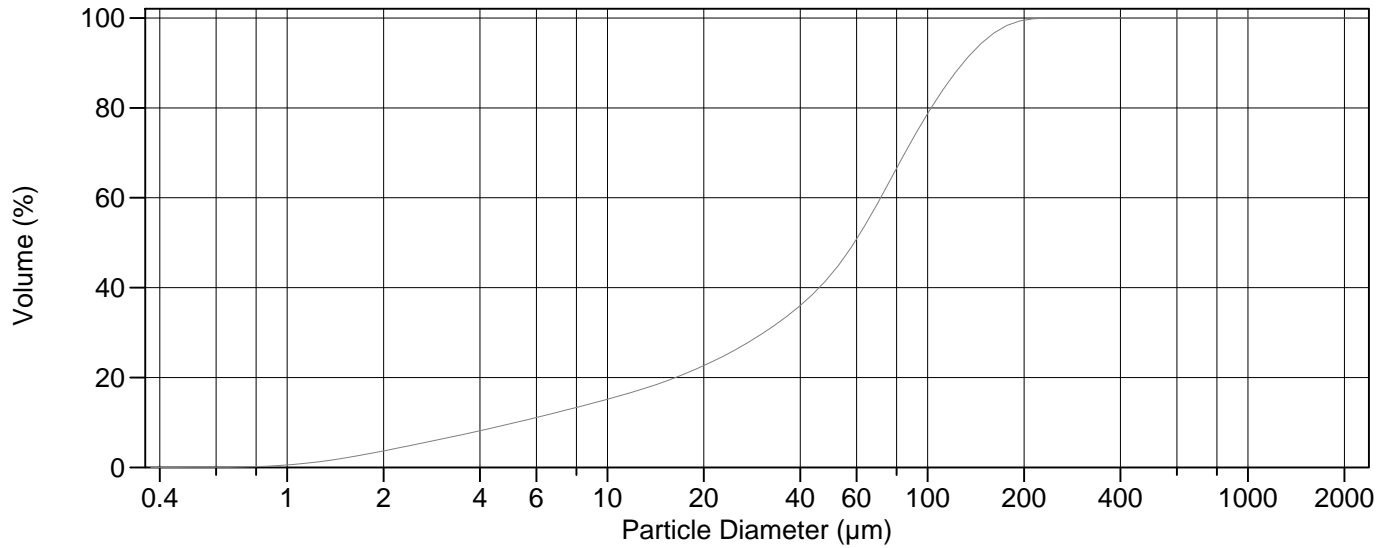
Volume	100.0%		
Mean:	63.01 μm	95% Conf. Limits:	0-155.2 μm
Median:	58.40 μm	S.D.:	47.01 μm
D(3,2):	13.67 μm	Variance:	2210 μm^2
Mean/Median Ratio:	1.079	C.V.:	74.6%
Mode:	80.08 μm	Skewness:	0.667 Right skewed
d ₁₀ :	4.873 μm	Kurtosis:	-0.059 Platykurtic
d ₅₀ :	58.40 μm		
d ₉₀ :	129.2 μm		
Specific Surf. Area	4390 cm^2/ml		

% <	10	25	50	75	90
Size μm	4.873	22.61	58.40	92.51	129.2

93.\$02

Particle Diameter μm	Volume % <	Particle Diameter μm	Volume % <
2.000	3.47	500.0	100
5.000	10.2	1000	100
10.00	15.9	2000	100
15.00	19.6		
20.00	23.2		
25.00	26.6		
50.00	43.5		
60.00	51.3		
63.00	53.8		
70.00	59.4		
75.00	63.3		
90.00	73.5		
125.0	88.8		
200.0	99.4		
250.0	100.0		
400.0	100		

2012.0397 - 94



Volume Statistics (Arithmetic)

94.\$02

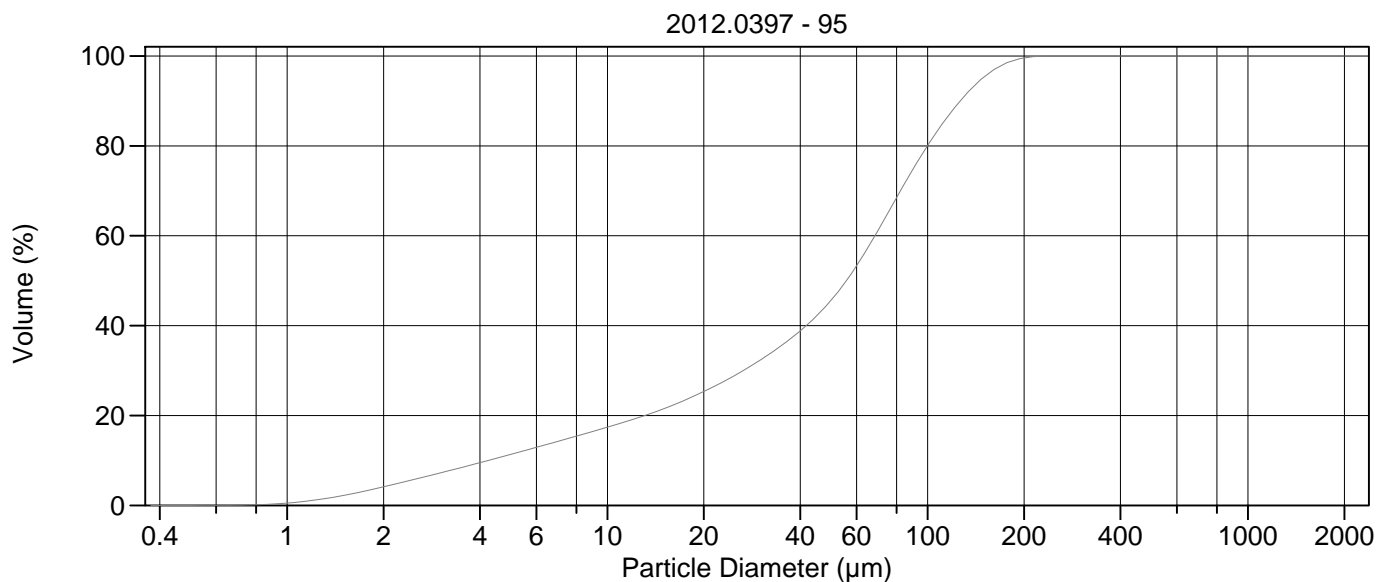
Calculations from 0.375 µm to 2000 µm

Volume	100.0%		
Mean:	63.39 µm	95% Conf. Limits:	0-154.9 µm
Median:	59.01 µm	S.D.:	46.67 µm
D(3,2):	13.59 µm	Variance:	2178 µm ²
Mean/Median Ratio:	1.074	C.V.:	73.6%
Mode:	80.08 µm	Skewness:	0.637 Right skewed
d ₁₀ :	5.173 µm	Kurtosis:	-0.123 Platykurtic
d ₅₀ :	59.01 µm		
d ₉₀ :	129.2 µm		
Specific Surf. Area	4414 cm ² /ml		

% <	10	25	50	75	90
Size µm	5.173	23.37	59.01	93.03	129.2

94.\$02

Particle Diameter µm	Volume % <	Particle Diameter µm	Volume % <
2.000	3.67	500.0	100
5.000	9.75	1000	100
10.00	15.2	2000	100
15.00	19.0		
20.00	22.6		
25.00	26.1		
50.00	43.0		
60.00	50.8		
63.00	53.3		
70.00	59.0		
75.00	62.9		
90.00	73.2		
125.0	88.8		
200.0	99.5		
250.0	100.0		
400.0	100		



Volume Statistics (Arithmetic)

95.\$02

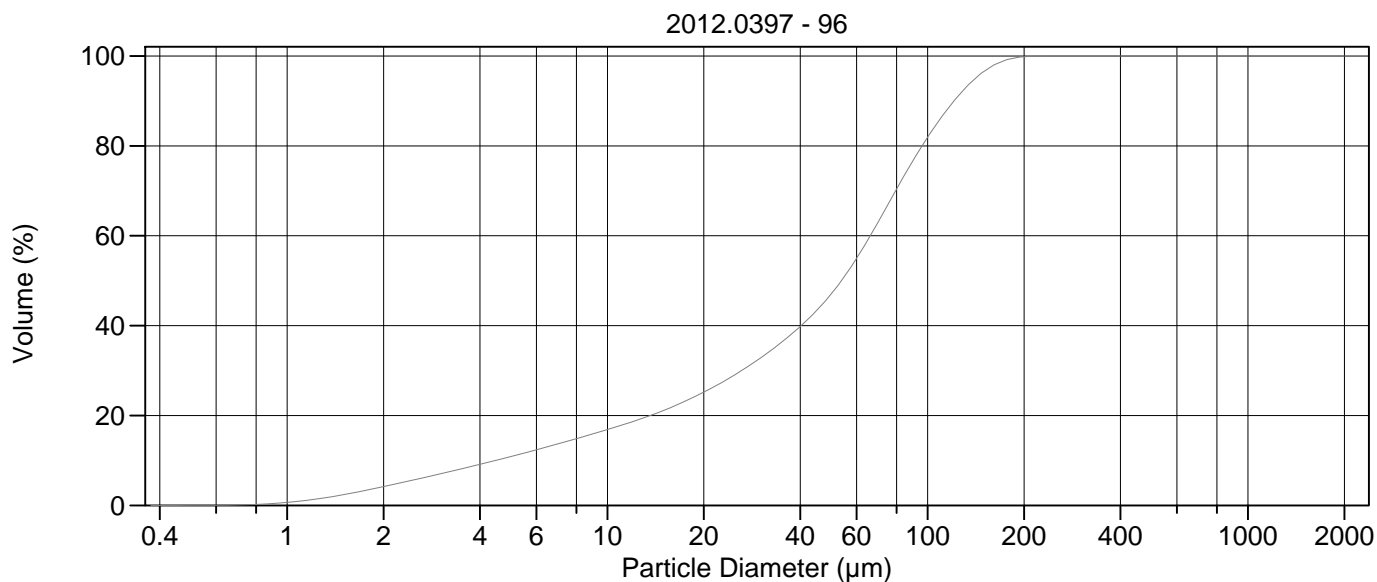
Calculations from 0.375 µm to 2000 µm

Volume	100.0%		
Mean:	60.58 µm	95% Conf. Limits:	0-151.8 µm
Median:	55.75 µm	S.D.:	46.52 µm
D(3,2):	12.33 µm	Variance:	2165 µm ²
Mean/Median Ratio:	1.087	C.V.:	76.8%
Mode:	72.95 µm	Skewness:	0.677 Right skewed
d ₁₀ :	4.250 µm	Kurtosis:	-0.107 Platykurtic
d ₅₀ :	55.75 µm		
d ₉₀ :	126.5 µm		
Specific Surf. Area	4864 cm ² /ml		

% <	10	25	50	75	90
Size µm	4.250	19.53	55.75	90.31	126.5

95.\$02

Particle Diameter µm	Volume % <	Particle Diameter µm	Volume % <
2.000	4.14	500.0	100
5.000	11.3	1000	100
10.00	17.4	2000	100
15.00	21.5		
20.00	25.4		
25.00	28.9		
50.00	45.7		
60.00	53.3		
63.00	55.7		
70.00	61.2		
75.00	65.0		
90.00	74.8		
125.0	89.6		
200.0	99.6		
250.0	100.0		
400.0	100		



Volume Statistics (Arithmetic)

96#.\$02

Calculations from 0.375 μm to 2000 μm

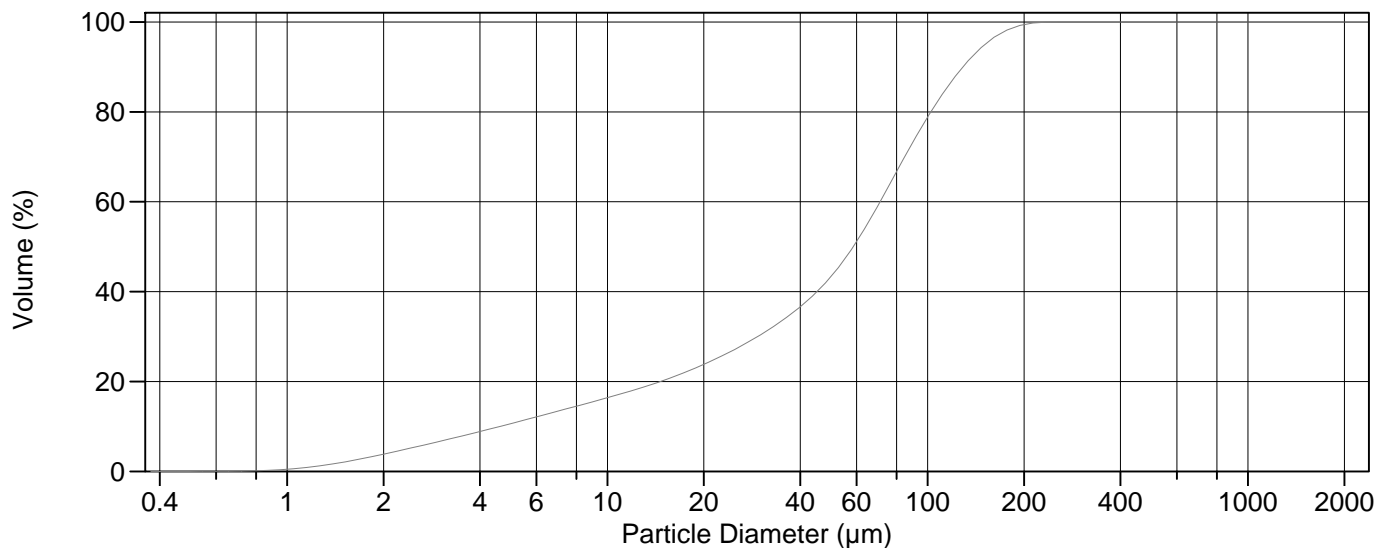
Volume	100.0%		
Mean:	58.34 μm	95% Conf. Limits:	0-144.7 μm
Median:	53.83 μm	S.D.:	44.05 μm
D(3,2):	12.28 μm	Variance:	1940 μm^2
Mean/Median Ratio:	1.084	C.V.:	75.5%
Mode:	72.95 μm	Skewness:	0.635 Right skewed
d ₁₀ :	4.482 μm	Kurtosis:	-0.225 Platykurtic
d ₅₀ :	53.83 μm		
d ₉₀ :	120.8 μm		
Specific Surf. Area	4886 cm^2/ml		

% <	10	25	50	75	90
Size μm	4.482	19.75	53.83	87.13	120.8

96#.\$02

Particle Diameter μm	Volume % <	Particle Diameter μm	Volume % <
2.000	4.19	500.0	100
5.000	10.9	1000	100
10.00	16.9	2000	100
15.00	21.1		
20.00	25.2		
25.00	29.1		
50.00	47.0		
60.00	55.0		
63.00	57.4		
70.00	63.0		
75.00	66.8		
90.00	76.7		
125.0	91.2		
200.0	99.8		
250.0	100.0		
400.0	100		

2012.0397 - 97



Volume Statistics (Arithmetic)

97#.\$02

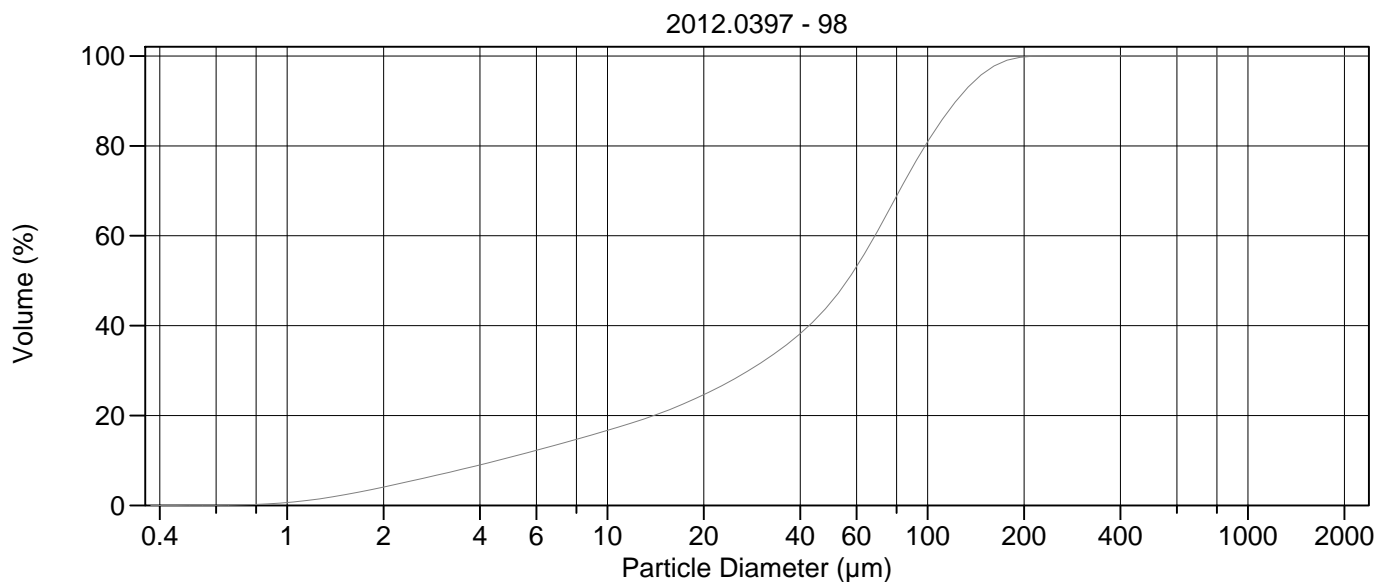
Calculations from 0.375 µm to 2000 µm

Volume	100.0%		
Mean:	62.89 µm	95% Conf. Limits:	0-155.3 µm
Median:	58.59 µm	S.D.:	47.17 µm
D(3,2):	13.04 µm	Variance:	2225 µm ²
Mean/Median Ratio:	1.073	C.V.:	75.0%
Mode:	80.08 µm	Skewness:	0.654 Right skewed
d ₁₀ :	4.615 µm	Kurtosis:	-0.082 Platykurtic
d ₅₀ :	58.59 µm		
d ₉₀ :	129.0 µm		
Specific Surf. Area	4601 cm ² /ml		

% <	10	25	50	75	90
Size µm	4.615	21.73	58.59	92.80	129.0

97#.\$02

Particle Diameter µm	Volume % <	Particle Diameter µm	Volume % <
2.000	3.84	500.0	100
5.000	10.6	1000	100
10.00	16.4	2000	100
15.00	20.2		
20.00	23.8		
25.00	27.2		
50.00	43.4		
60.00	51.1		
63.00	53.6		
70.00	59.2		
75.00	63.1		
90.00	73.3		
125.0	88.8		
200.0	99.4		
250.0	100.0		
400.0	100		



Volume Statistics (Arithmetic)

98.\$02

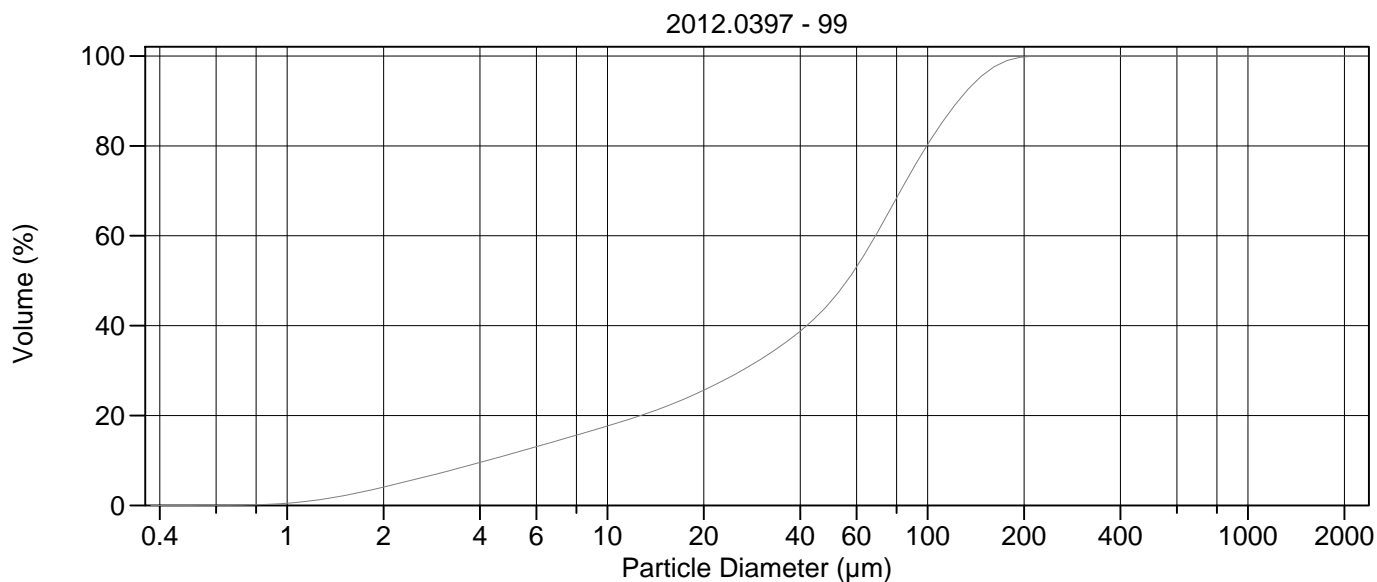
Calculations from 0.375 μm to 2000 μm

Volume	100.0%		
Mean:	59.96 μm	95% Conf. Limits:	0-147.6 μm
Median:	56.11 μm	S.D.:	44.69 μm
D(3,2):	12.51 μm	Variance:	1997 μm^2
Mean/Median Ratio:	1.069	C.V.:	74.5%
Mode:	80.08 μm	Skewness:	0.599 Right skewed
d ₁₀ :	4.545 μm	Kurtosis:	-0.261 Platykurtic
d ₅₀ :	56.11 μm		
d ₉₀ :	122.7 μm		
Specific Surf. Area	4798 cm^2/ml		

% <	10	25	50	75	90
Size μm	4.545	20.49	56.11	89.32	122.7

98.\$02

Particle Diameter μm	Volume % <	Particle Diameter μm	Volume % <
2.000	4.09	500.0	100
5.000	10.8	1000	100
10.00	16.7	2000	100
15.00	20.8		
20.00	24.6		
25.00	28.2		
50.00	45.3		
60.00	53.1		
63.00	55.6		
70.00	61.3		
75.00	65.2		
90.00	75.4		
125.0	90.6		
200.0	99.8		
250.0	100.0		
400.0	100		



Volume Statistics (Arithmetic) 99.\$02

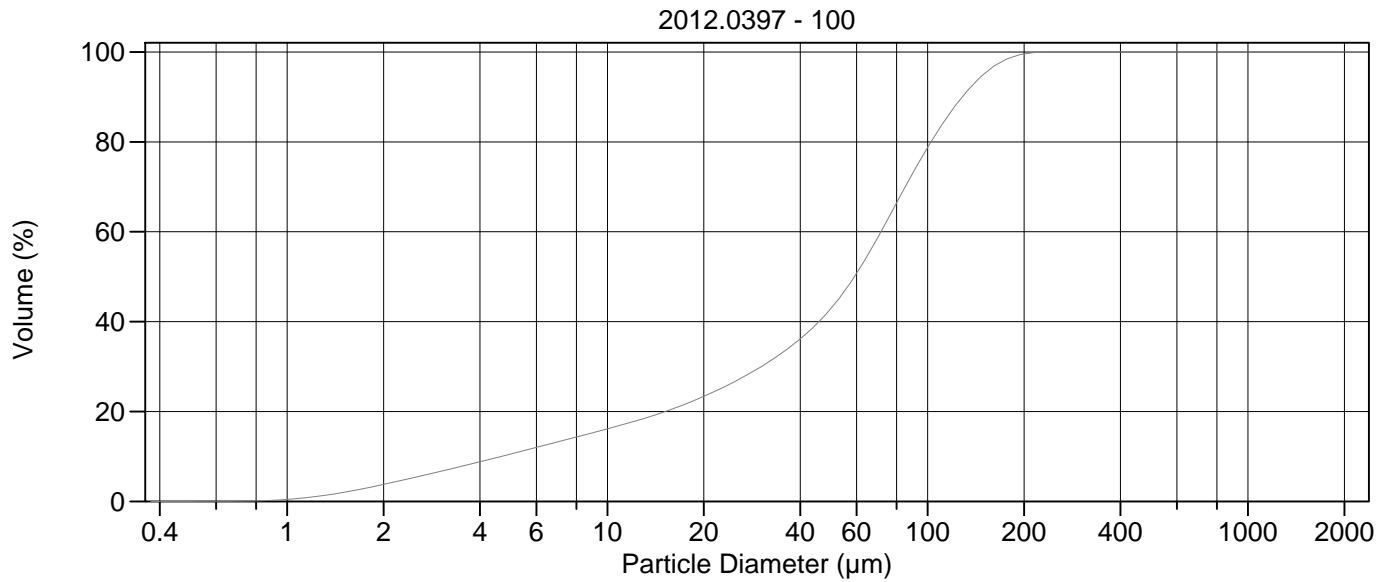
Calculations from 0.375 μm to 2000 μm

Volume	100.0%		
Mean:	60.07 μm	95% Conf. Limits:	0-149.4 μm
Median:	56.07 μm	S.D.:	45.56 μm
D(3,2):	12.34 μm	Variance:	2076 μm^2
Mean/Median Ratio:	1.071	C.V.:	75.8%
Mode:	80.08 μm	Skewness:	0.599 Right skewed
d ₁₀ :	4.221 μm	Kurtosis:	-0.310 Platykurtic
d ₅₀ :	56.07 μm		
d ₉₀ :	124.6 μm		
Specific Surf. Area	4864 cm^2/ml		

% <	10	25	50	75	90
Size μm	4.221	19.13	56.07	90.19	124.6

99.\$02

Particle Diameter μm	Volume % <	Particle Diameter μm	Volume % <
2.000	4.08	500.0	100
5.000	11.4	1000	100
10.00	17.7	2000	100
15.00	21.8		
20.00	25.6		
25.00	29.2		
50.00	45.5		
60.00	53.1		
63.00	55.5		
70.00	61.0		
75.00	64.8		
90.00	74.9		
125.0	90.1		
200.0	99.8		
250.0	100.0		
400.0	100		



Volume Statistics (Arithmetic) 100.\$02

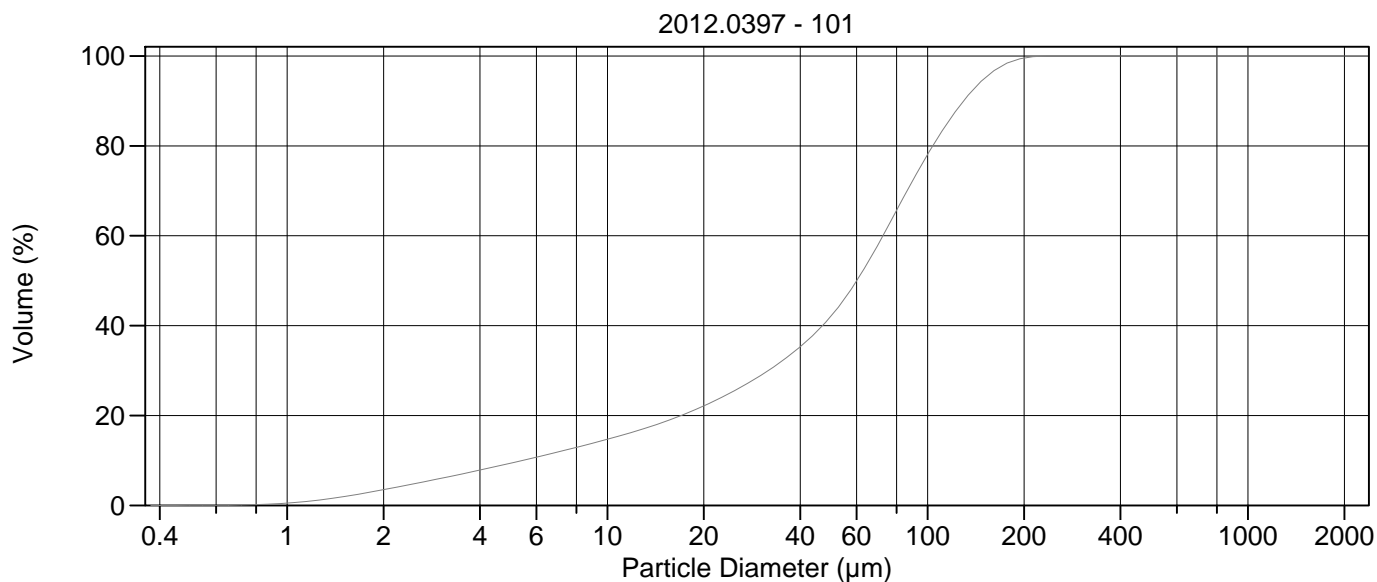
Calculations from 0.375 µm to 2000 µm

Volume	100.0%		
Mean:	63.01 µm	95% Conf. Limits:	0-154.3 µm
Median:	59.10 µm	S.D.:	46.58 µm
D(3,2):	13.21 µm	Variance:	2170 µm ²
Mean/Median Ratio:	1.066	C.V.:	73.9%
Mode:	80.08 µm	Skewness:	0.608 Right skewed
d ₁₀ :	4.663 µm	Kurtosis:	-0.185 Platykurtic
d ₅₀ :	59.10 µm		
d ₉₀ :	128.4 µm		
Specific Surf. Area	4542 cm ² /ml		

% <	10	25	50	75	90
Size µm	4.663	22.42	59.10	93.08	128.4

100.\$02

Particle Diameter µm	Volume % <	Particle Diameter µm	Volume % <
2.000	3.78	500.0	100
5.000	10.5	1000	100
10.00	16.1	2000	100
15.00	19.9		
20.00	23.4		
25.00	26.7		
50.00	43.0		
60.00	50.7		
63.00	53.2		
70.00	58.8		
75.00	62.7		
90.00	73.1		
125.0	89.0		
200.0	99.5		
250.0	100.0		
400.0	100		



Volume Statistics (Arithmetic) 101.\$02

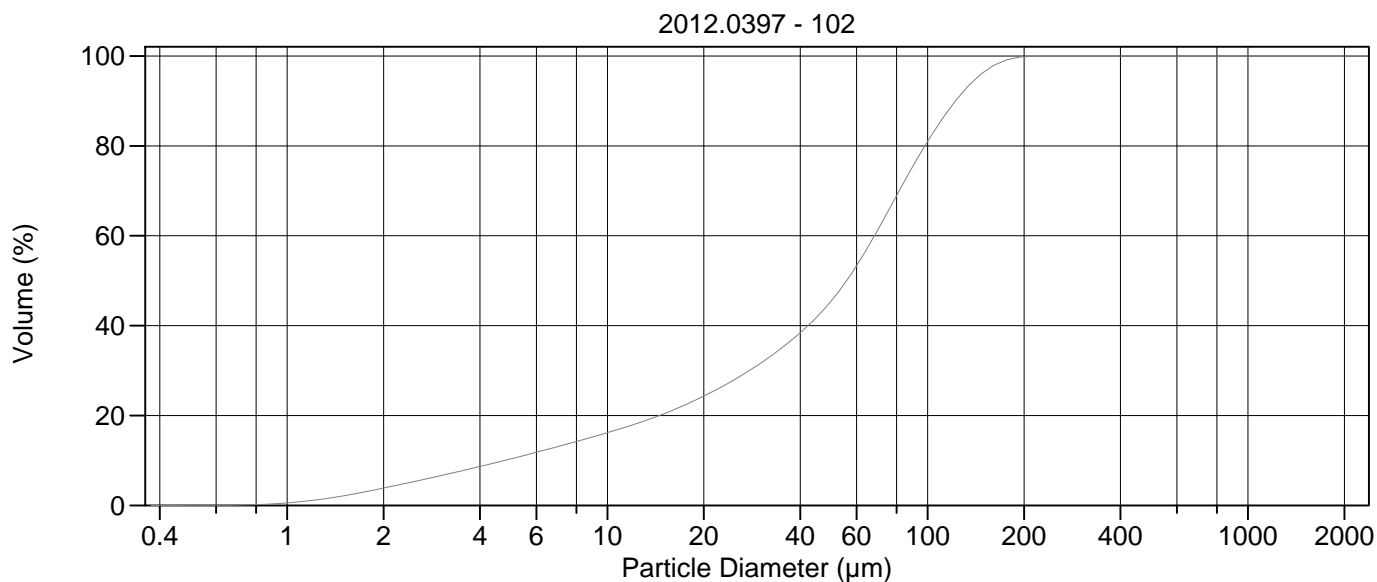
Calculations from 0.375 μm to 2000 μm

Volume	100.0%		
Mean:	64.16 μm	95% Conf. Limits:	0-155.5 μm
Median:	60.08 μm	S.D.:	46.60 μm
D(3,2):	14.00 μm	Variance:	2171 μm^2
Mean/Median Ratio:	1.068	C.V.:	72.6%
Mode:	80.08 μm	Skewness:	0.599 Right skewed
d ₁₀ :	5.432 μm	Kurtosis:	-0.197 Platykurtic
d ₅₀ :	60.08 μm		
d ₉₀ :	129.6 μm		
Specific Surf. Area	4286 cm^2/ml		

% <	10	25	50	75	90
Size μm	5.432	24.16	60.08	94.37	129.6

101.\$02

Particle Diameter μm	Volume % <	Particle Diameter μm	Volume % <
2.000	3.50	500.0	100
5.000	9.41	1000	100
10.00	14.7	2000	100
15.00	18.6		
20.00	22.2		
25.00	25.6		
50.00	42.2		
60.00	49.9		
63.00	52.4		
70.00	58.0		
75.00	62.0		
90.00	72.4		
125.0	88.6		
200.0	99.5		
250.0	100.0		
400.0	100		



Volume Statistics (Arithmetic) 102.\$02

Calculations from 0.375 μm to 2000 μm

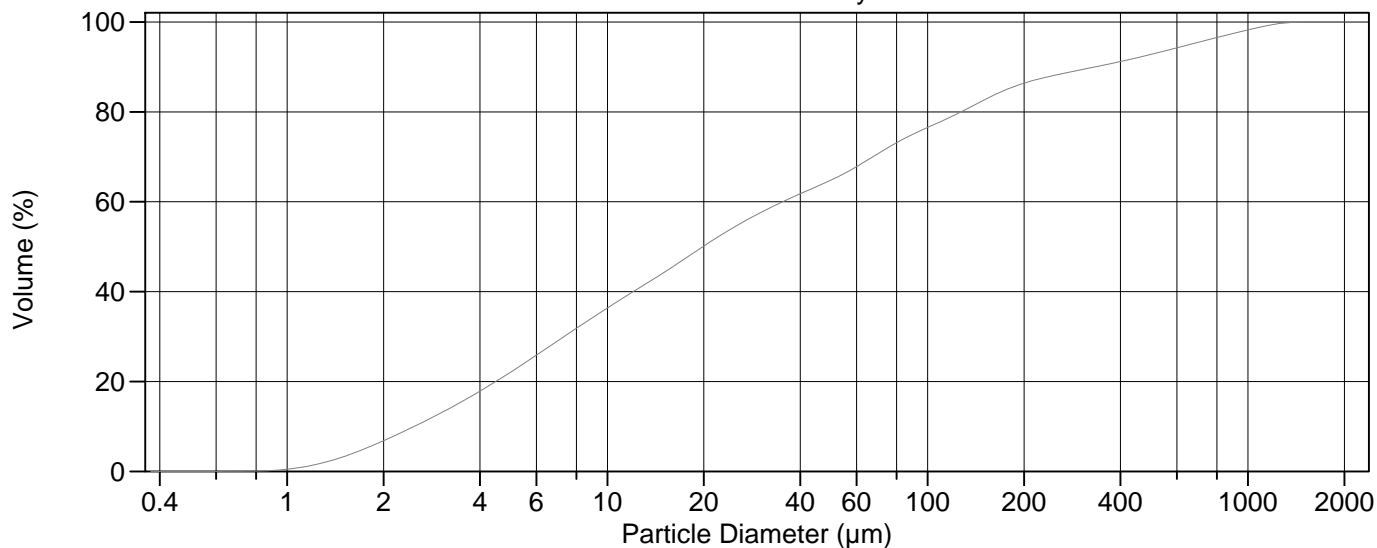
Volume	100.0%		
Mean:	59.80 μm	95% Conf. Limits:	0-146.6 μm
Median:	55.85 μm	S.D.:	44.28 μm
D(3,2):	12.93 μm	Variance:	1961 μm^2
Mean/Median Ratio:	1.071	C.V.:	74.1%
Mode:	80.08 μm	Skewness:	0.589 Right skewed
d ₁₀ :	4.774 μm	Kurtosis:	-0.295 Platykurtic
d ₅₀ :	55.85 μm		
d ₉₀ :	122.0 μm		
Specific Surf. Area	4642 cm^2/ml		

% <	10	25	50	75	90
Size μm	4.774	20.89	55.85	89.20	122.0

102.\$02

Particle Diameter μm	Volume % <	Particle Diameter μm	Volume % <
2.000	3.85	500.0	100
5.000	10.4	1000	100
10.00	16.2	2000	100
15.00	20.4		
20.00	24.3		
25.00	28.0		
50.00	45.5		
60.00	53.3		
63.00	55.8		
70.00	61.4		
75.00	65.3		
90.00	75.5		
125.0	90.8		
200.0	99.8		
250.0	100.0		
400.0	100		

2012.0397 - Stand. Hynne



Volume Statistics (Arithmetic) 103.\$02

Calculations from 0.375 µm to 2000 µm

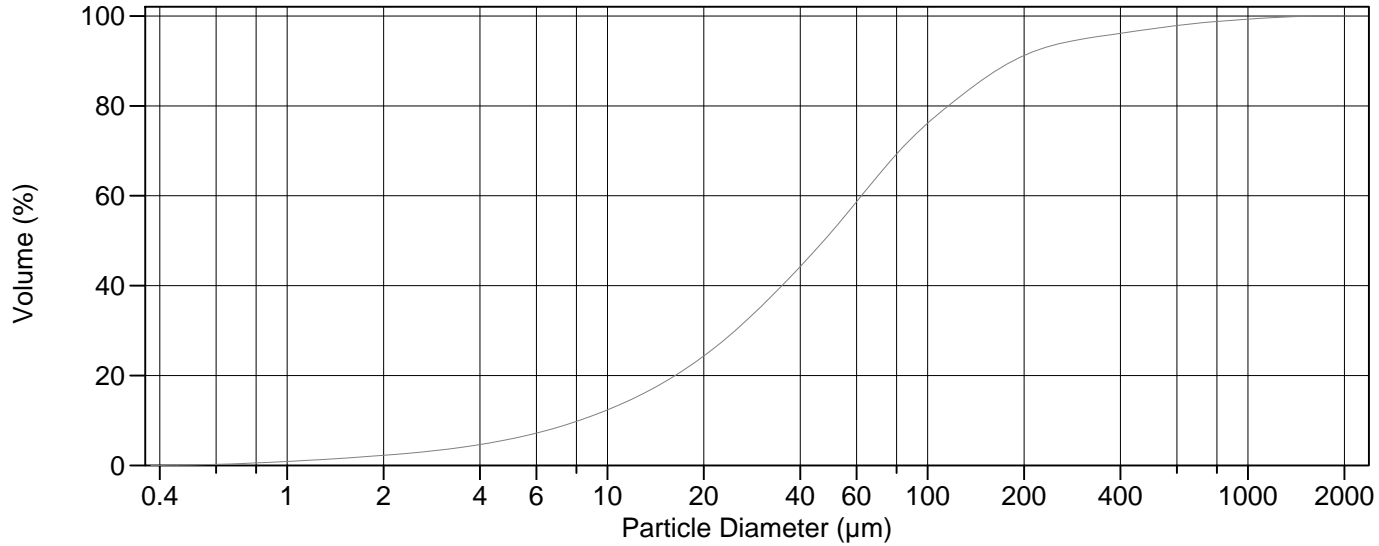
Volume	100.0%		
Mean:	110.8 µm	95% Conf. Limits:	0-551.8 µm
Median:	19.87 µm	S.D.:	225.0 µm
D(3,2):	7.415 µm	Variance:	50629 µm ²
Mean/Median Ratio:	5.575	C.V.:	203%
Mode:	6.452 µm	Skewness:	3.093 Right skewed
d ₁₀ :	2.492 µm	Kurtosis:	9.766 Leptokurtic
d ₅₀ :	19.87 µm		
d ₉₀ :	332.2 µm		
Specific Surf. Area	8092 cm ² /ml		

% <	10	25	50	75	90
Size µm	2.492	5.761	19.87	89.77	332.2

103.\$02

Particle Diameter µm	Volume % <	Particle Diameter µm	Volume % <
2.000	6.83	500.0	92.8
5.000	22.1	1000	98.2
10.00	36.4	2000	100
15.00	44.2		
20.00	50.1		
25.00	54.5		
50.00	64.8		
60.00	67.8		
63.00	68.7		
70.00	70.7		
75.00	72.0		
90.00	75.0		
125.0	79.7		
200.0	86.4		
250.0	88.2		
400.0	91.2		

2012.0397 - Stand. MINN



Volume Statistics (Arithmetic) 104.\$02

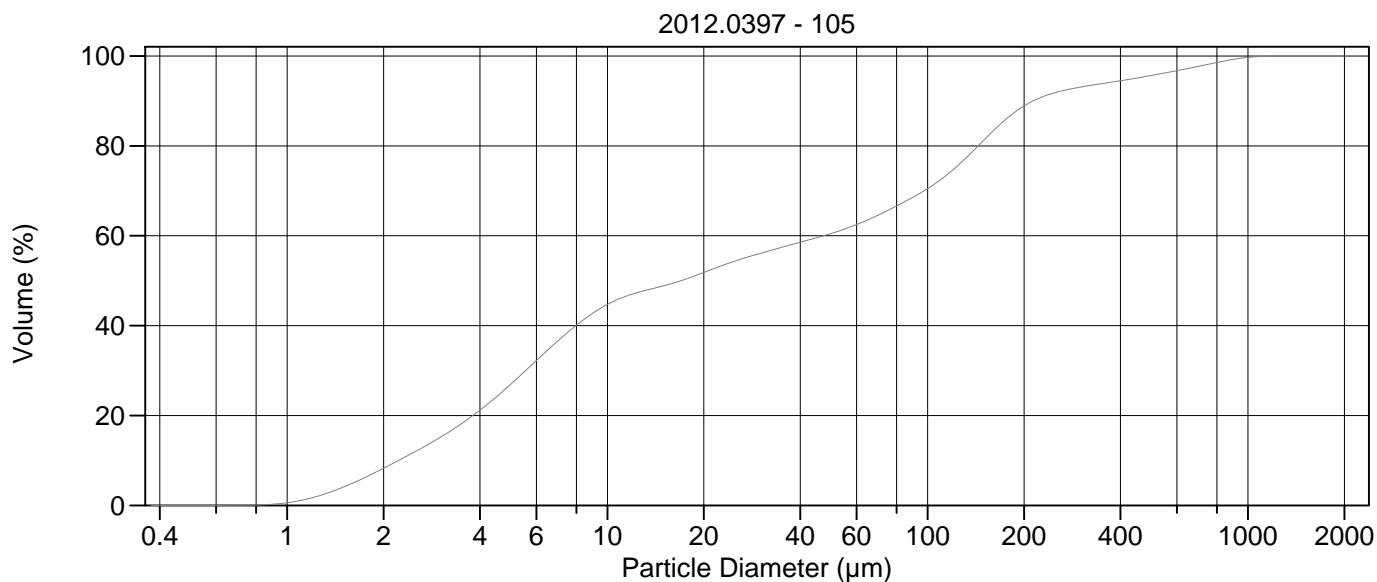
Calculations from 0.375 µm to 2000 µm

Volume	100.0%		
Mean:	91.19 µm	95% Conf. Limits:	0-394.0 µm
Median:	47.40 µm	S.D.:	154.5 µm
D(3,2):	15.49 µm	Variance:	23865 µm ²
Mean/Median Ratio:	1.924	C.V.:	169%
Mode:	60.52 µm	Skewness:	4.818 Right skewed
d ₁₀ :	8.163 µm	Kurtosis:	29.79 Leptokurtic
d ₅₀ :	47.40 µm		
d ₉₀ :	184.7 µm		
Specific Surf. Area	3874 cm ² /ml		

% <	10	25	50	75	90
Size µm	8.163	20.57	47.40	96.05	184.7

104.\$02

Particle Diameter µm	Volume % <	Particle Diameter µm	Volume % <
2.000	2.24	500.0	97.1
5.000	5.90	1000	99.3
10.00	12.3	2000	100
15.00	18.5		
20.00	24.3		
25.00	29.9		
50.00	51.9		
60.00	58.6		
63.00	60.5		
70.00	64.5		
75.00	67.0		
90.00	73.1		
125.0	81.8		
200.0	91.2		
250.0	93.6		
400.0	96.1		



Volume Statistics (Arithmetic)

105#.\$02

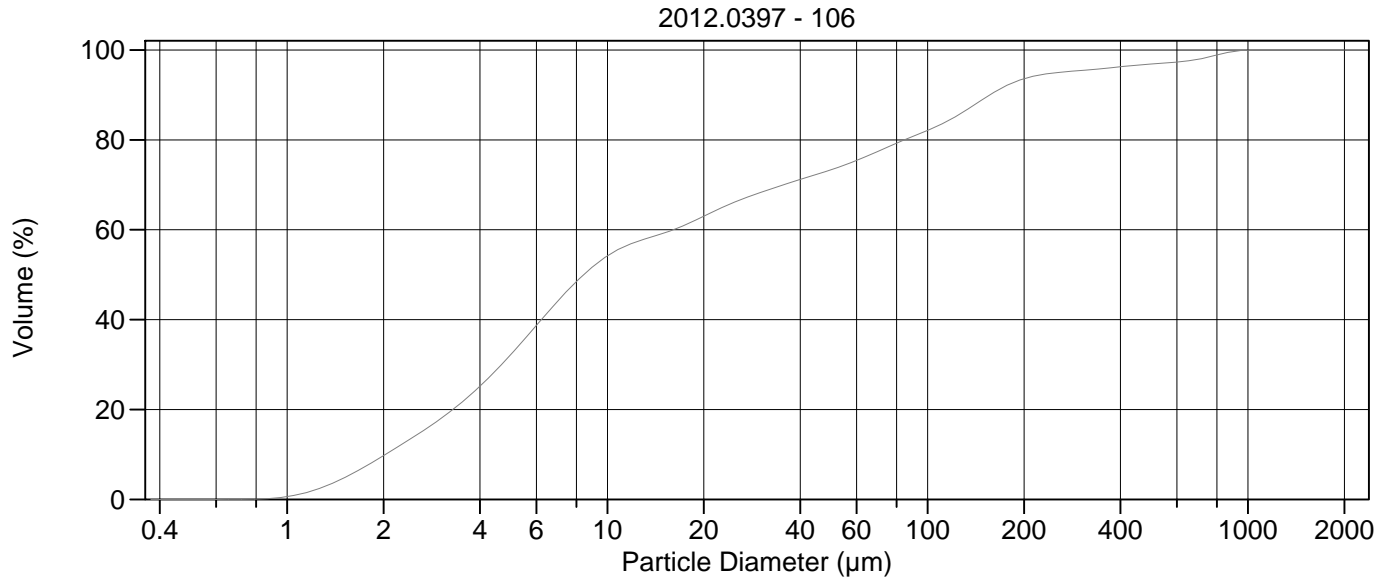
Calculations from 0.375 µm to 2000 µm

Volume	100.0%		
Mean:	91.71 µm	95% Conf. Limits:	0-415.2 µm
Median:	17.01 µm	S.D.:	165.0 µm
D(3,2):	6.481 µm	Variance:	27233 µm ²
Mean/Median Ratio:	5.392	C.V.:	180%
Mode:	140.1 µm	Skewness:	3.206 Right skewed
d ₁₀ :	2.231 µm	Kurtosis:	11.59 Leptokurtic
d ₅₀ :	17.01 µm		
d ₉₀ :	212.9 µm		
Specific Surf. Area	9258 cm ² /ml		

% <	10	25	50	75	90
Size µm	2.231	4.647	17.01	121.5	212.9

105#.\$02

Particle Diameter µm	Volume % <	Particle Diameter µm	Volume % <
2.000	8.26	500.0	95.7
5.000	27.0	1000	99.7
10.00	44.7	2000	100
15.00	48.9		
20.00	51.8		
25.00	54.4		
50.00	60.5		
60.00	62.5		
63.00	63.1		
70.00	64.6		
75.00	65.6		
90.00	68.6		
125.0	75.8		
200.0	88.9		
250.0	91.8		
400.0	94.5		



Volume Statistics (Arithmetic)

106#.\$02

Calculations from 0.375 µm to 2000 µm

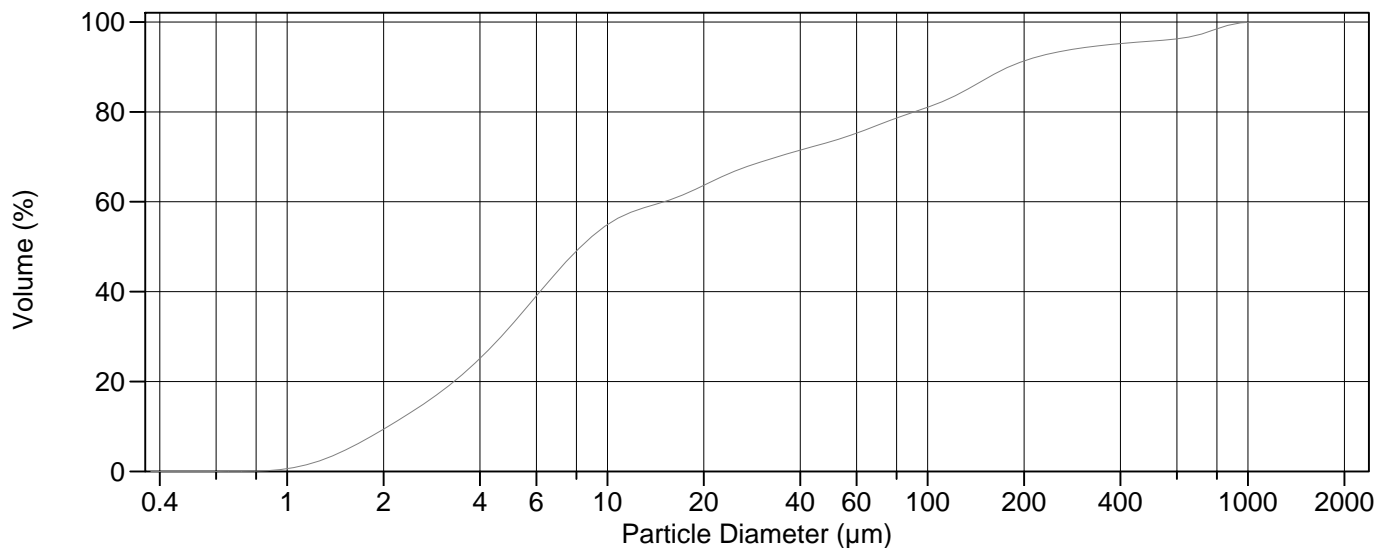
Volume	100.0%		
Mean:	62.99 µm	95% Conf. Limits:	0-341.8 µm
Median:	8.439 µm	S.D.:	142.3 µm
D(3,2):	5.462 µm	Variance:	20240 µm ²
Mean/Median Ratio:	7.464	C.V.:	226%
Mode:	5.878 µm	Skewness:	4.020 Right skewed
d ₁₀ :	2.029 µm	Kurtosis:	17.53 Leptokurtic
d ₅₀ :	8.439 µm		
d ₉₀ :	156.5 µm		
Specific Surf. Area	10985 cm ² /ml		

% <	10	25	50	75	90
Size µm	2.029	3.974	8.439	58.02	156.5

106#.\$02

Particle Diameter µm	Volume % <	Particle Diameter µm	Volume % <
2.000	9.74	500.0	96.9
5.000	32.2	1000	99.9
10.00	54.2	2000	100
15.00	59.3		
20.00	63.0		
25.00	66.2		
50.00	73.4		
60.00	75.4		
63.00	76.0		
70.00	77.5		
75.00	78.4		
90.00	80.8		
125.0	85.6		
200.0	93.6		
250.0	94.9		
400.0	96.3		

2012.0397 - 107



Volume Statistics (Arithmetic) 107.\$02

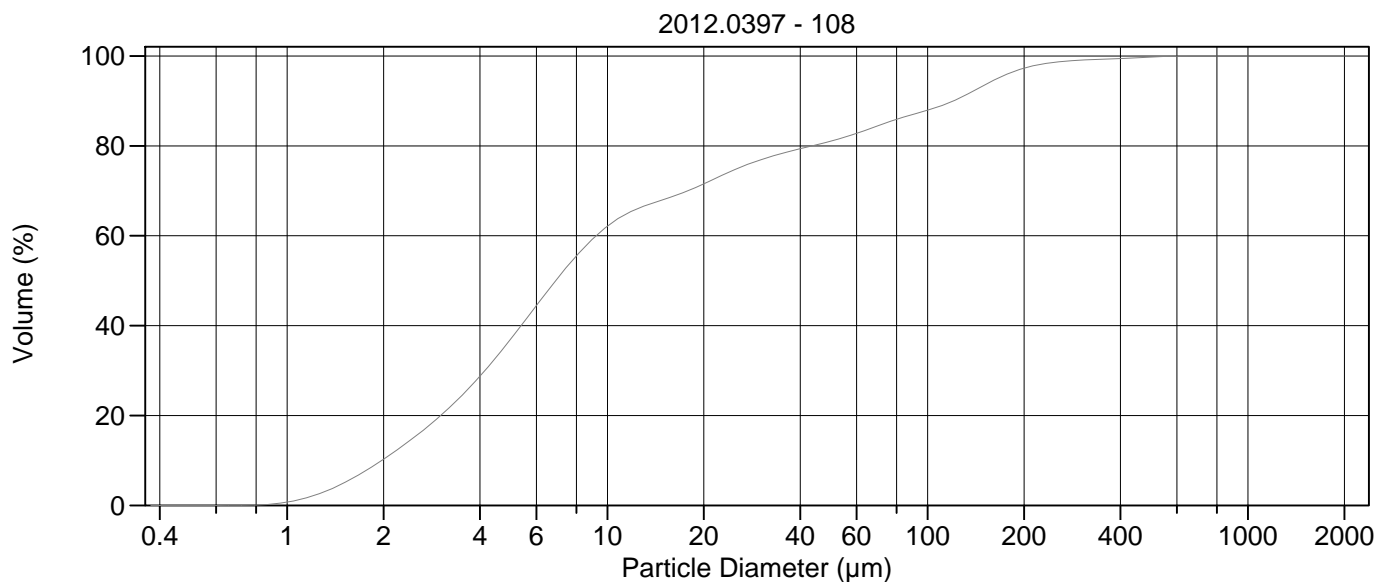
Calculations from 0.375 µm to 2000 µm

Volume	100.0%		
Mean:	71.90 µm	95% Conf. Limits:	0-389.1 µm
Median:	8.262 µm	S.D.:	161.8 µm
D(3,2):	5.480 µm	Variance:	26195 µm ²
Mean/Median Ratio:	8.702	C.V.:	225%
Mode:	5.878 µm	Skewness:	3.563 Right skewed
d ₁₀ :	2.067 µm	Kurtosis:	13.01 Leptokurtic
d ₅₀ :	8.262 µm		
d ₉₀ :	179.2 µm		
Specific Surf. Area	10948 cm ² /ml		

% <	10	25	50	75	90
Size µm	2.067	3.981	8.262	58.54	179.2

107.\$02

Particle Diameter µm	Volume % <	Particle Diameter µm	Volume % <
2.000	9.40	500.0	95.8
5.000	32.4	1000	99.9
10.00	54.9	2000	100
15.00	60.0		
20.00	63.7		
25.00	66.8		
50.00	73.4		
60.00	75.3		
63.00	75.8		
70.00	77.1		
75.00	77.9		
90.00	79.9		
125.0	84.0		
200.0	91.3		
250.0	93.2		
400.0	95.2		



Volume Statistics (Arithmetic) 108#.\$02

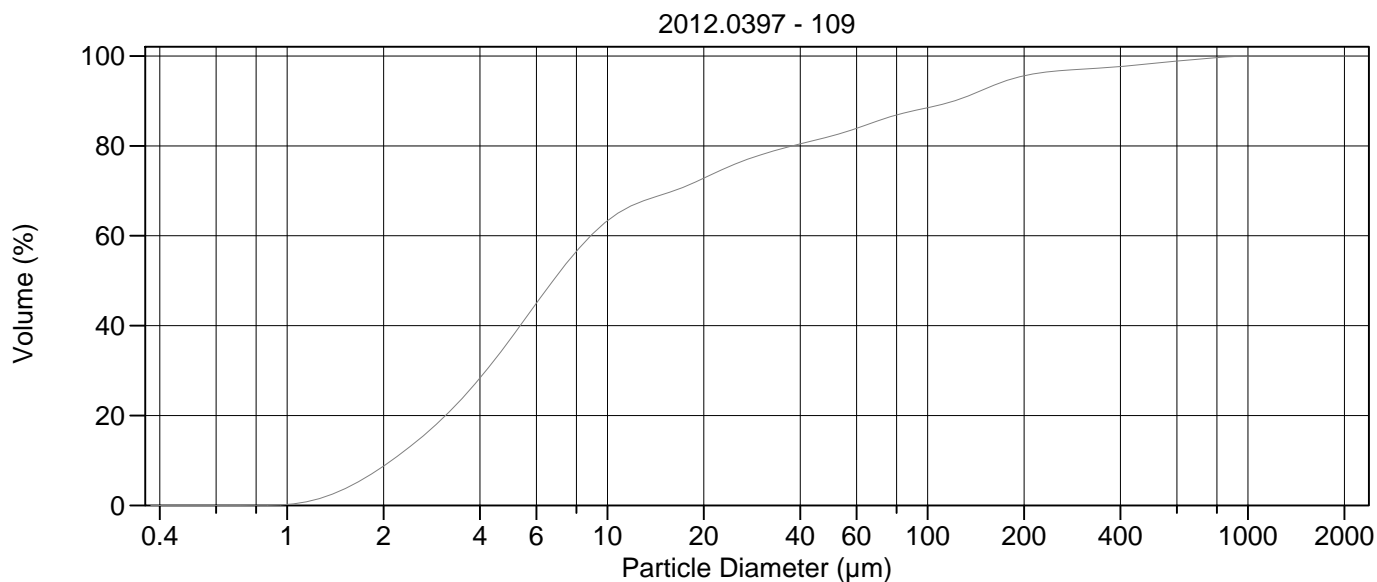
Calculations from 0.375 µm to 2000 µm

Volume	100.0%		
Mean:	33.66 µm	95% Conf. Limits:	0-160.4 µm
Median:	6.897 µm	S.D.:	64.65 µm
D(3,2):	4.883 µm	Variance:	4179 µm ²
Mean/Median Ratio:	4.881	C.V.:	192%
Mode:	5.878 µm	Skewness:	3.611 Right skewed
d ₁₀ :	1.973 µm	Kurtosis:	18.06 Leptokurtic
d ₅₀ :	6.897 µm		
d ₉₀ :	120.1 µm		
Specific Surf. Area	12287 cm ² /ml		

% <	10	25	50	75	90
Size µm	1.973	3.572	6.897	25.55	120.1

108#.\$02

Particle Diameter µm	Volume % <	Particle Diameter µm	Volume % <
2.000	10.3	500.0	99.8
5.000	37.1	1000	100
10.00	62.1	2000	100
15.00	68.1		
20.00	71.6		
25.00	74.7		
50.00	81.1		
60.00	82.8		
63.00	83.3		
70.00	84.5		
75.00	85.2		
90.00	87.0		
125.0	90.6		
200.0	97.3		
250.0	98.6		
400.0	99.4		



Volume Statistics (Arithmetic) 109#.\$02

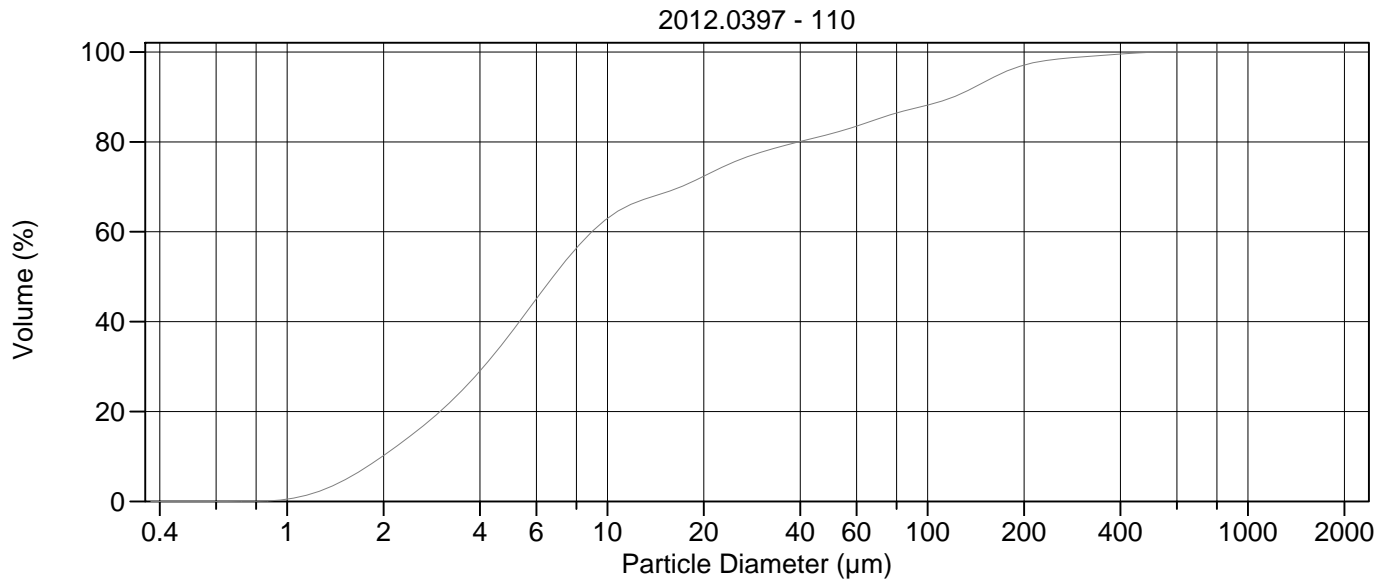
Calculations from 0.375 µm to 2000 µm

Volume	100.0%		
Mean:	41.89 µm	95% Conf. Limits:	0-249.7 µm
Median:	6.758 µm	S.D.:	106.0 µm
D(3,2):	5.075 µm	Variance:	11241 µm ²
Mean/Median Ratio:	6.199	C.V.:	253%
Mode:	5.878 µm	Skewness:	4.839 Right skewed
d ₁₀ :	2.119 µm	Kurtosis:	27.43 Leptokurtic
d ₅₀ :	6.758 µm		
d ₉₀ :	120.9 µm		
Specific Surf. Area	11822 cm ² /ml		

% <	10	25	50	75	90
Size µm	2.119	3.645	6.758	23.30	120.9

109#.\$02

Particle Diameter µm	Volume % <	Particle Diameter µm	Volume % <
2.000	8.75	500.0	98.3
5.000	37.2	1000	100.0
10.00	63.3	2000	100
15.00	69.2		
20.00	72.8		
25.00	76.0		
50.00	82.2		
60.00	83.9		
63.00	84.4		
70.00	85.6		
75.00	86.3		
90.00	87.8		
125.0	90.3		
200.0	95.6		
250.0	96.6		
400.0	97.7		



Volume Statistics (Arithmetic) 110.\$02

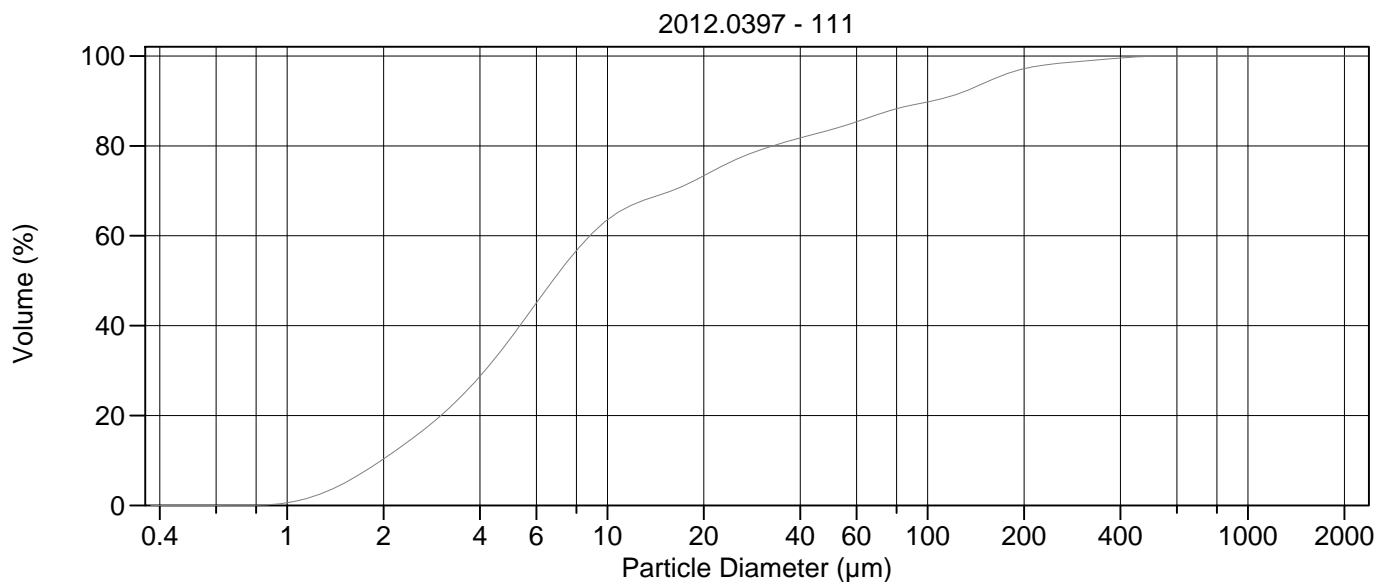
Calculations from 0.375 µm to 2000 µm

Volume	100.0%		
Mean:	33.17 µm	95% Conf. Limits:	0-158.4 µm
Median:	6.761 µm	S.D.:	63.90 µm
D(3,2):	4.886 µm	Variance:	4083 µm ²
Mean/Median Ratio:	4.907	C.V.:	193%
Mode:	5.878 µm	Skewness:	3.318 Right skewed
d ₁₀ :	1.983 µm	Kurtosis:	13.88 Leptokurtic
d ₅₀ :	6.761 µm		
d ₉₀ :	120.3 µm		
Specific Surf. Area	12281 cm ² /ml		

% <	10	25	50	75	90
Size µm	1.983	3.550	6.761	23.89	120.3

110.\$02

Particle Diameter µm	Volume % <	Particle Diameter µm	Volume % <
2.000	10.2	500.0	99.9
5.000	37.5	1000	100
10.00	63.0	2000	100
15.00	68.6		
20.00	72.4		
25.00	75.6		
50.00	81.8		
60.00	83.5		
63.00	84.0		
70.00	85.1		
75.00	85.8		
90.00	87.4		
125.0	90.5		
200.0	97.1		
250.0	98.4		
400.0	99.5		



Volume Statistics (Arithmetic) 111.\$02

Calculations from 0.375 µm to 2000 µm

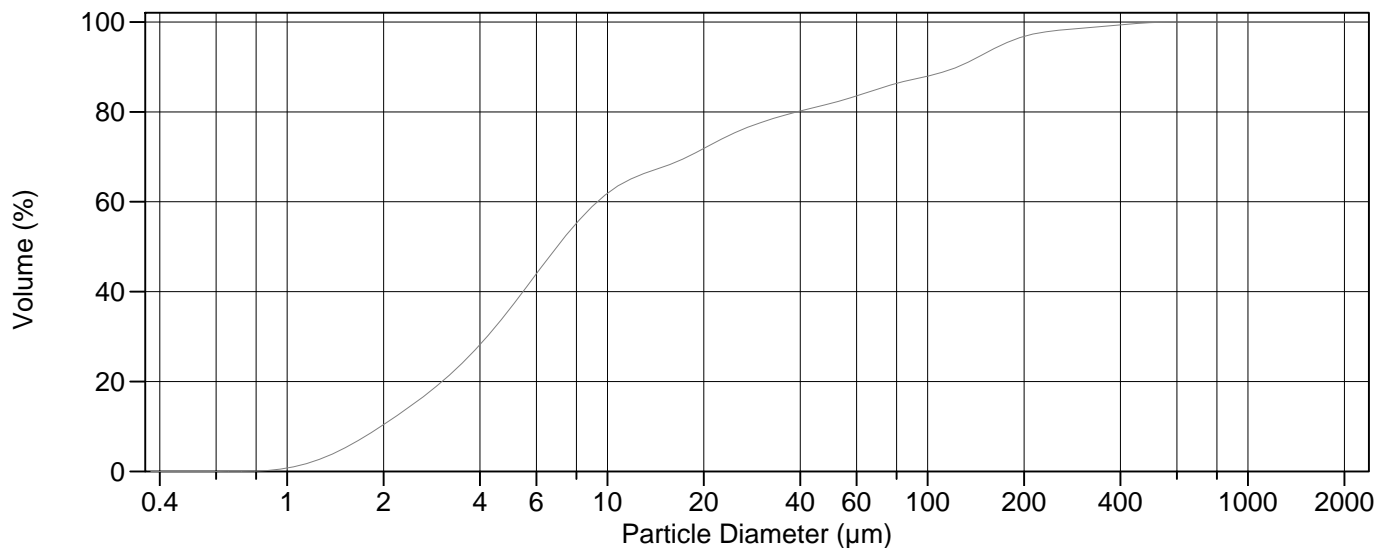
Volume	100.0%		
Mean:	31.06 µm	95% Conf. Limits:	0-153.1 µm
Median:	6.746 µm	S.D.:	62.26 µm
D(3,2):	4.841 µm	Variance:	3877 µm ²
Mean/Median Ratio:	4.605	C.V.:	200%
Mode:	5.878 µm	Skewness:	3.558 Right skewed
d ₁₀ :	1.969 µm	Kurtosis:	15.46 Leptokurtic
d ₅₀ :	6.746 µm		
d ₉₀ :	103.2 µm		
Specific Surf. Area	12395 cm ² /ml		

% <	10	25	50	75	90
Size µm	1.969	3.579	6.746	22.11	103.2

111.\$02

Particle Diameter µm	Volume % <	Particle Diameter µm	Volume % <
2.000	10.3	500.0	99.9
5.000	37.3	1000	100
10.00	63.5	2000	100
15.00	69.4		
20.00	73.4		
25.00	76.9		
50.00	83.6		
60.00	85.4		
63.00	85.9		
70.00	87.0		
75.00	87.7		
90.00	89.1		
125.0	91.6		
200.0	97.2		
250.0	98.3		
400.0	99.5		

2012.0397 - 112



Volume Statistics (Arithmetic) 112.\$02

Calculations from 0.375 µm to 2000 µm

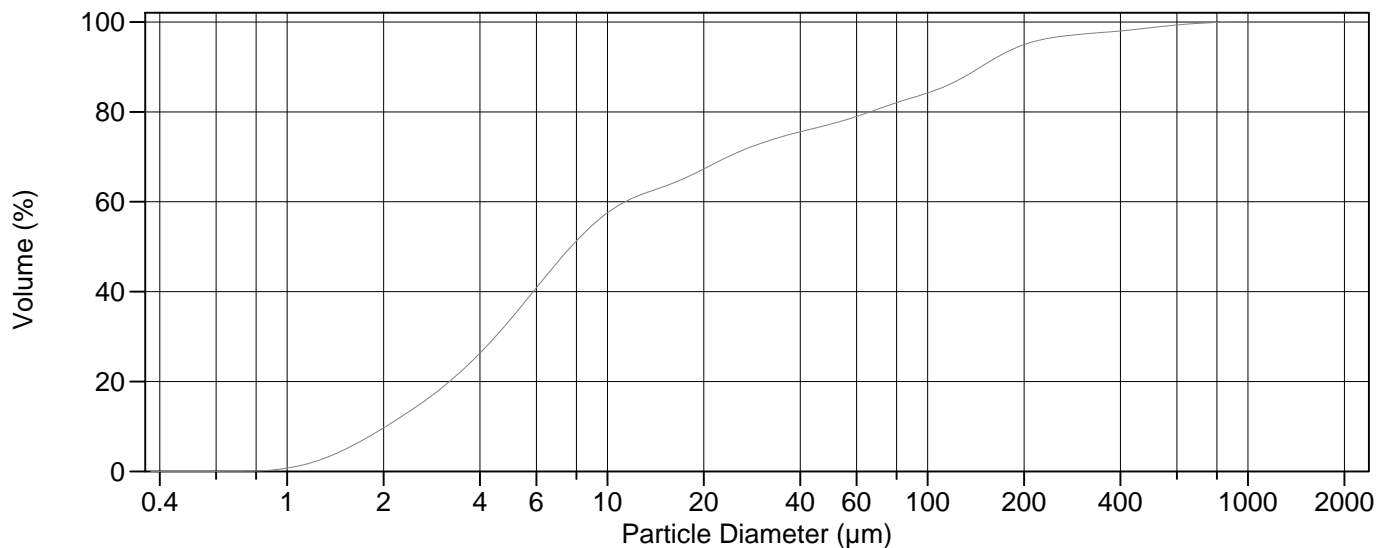
Volume	100.0%		
Mean:	34.37 µm	95% Conf. Limits:	0-166.4 µm
Median:	6.970 µm	S.D.:	67.34 µm
D(3,2):	4.896 µm	Variance:	4535 µm ²
Mean/Median Ratio:	4.932	C.V.:	196%
Mode:	5.878 µm	Skewness:	3.401 Right skewed
d ₁₀ :	1.961 µm	Kurtosis:	14.29 Leptokurtic
d ₅₀ :	6.970 µm		
d ₉₀ :	123.8 µm		
Specific Surf. Area	12256 cm ² /ml		

% <	10	25	50	75	90
Size µm	1.961	3.624	6.970	24.40	123.8

112.\$02

Particle Diameter µm	Volume % <	Particle Diameter µm	Volume % <
2.000	10.4	500.0	99.9
5.000	36.5	1000	100
10.00	61.9	2000	100
15.00	67.8		
20.00	71.8		
25.00	75.4		
50.00	81.9		
60.00	83.5		
63.00	84.0		
70.00	85.1		
75.00	85.8		
90.00	87.2		
125.0	90.1		
200.0	96.8		
250.0	98.1		
400.0	99.4		

2012.0397 - 113



Volume Statistics (Arithmetic)

113#.\$02

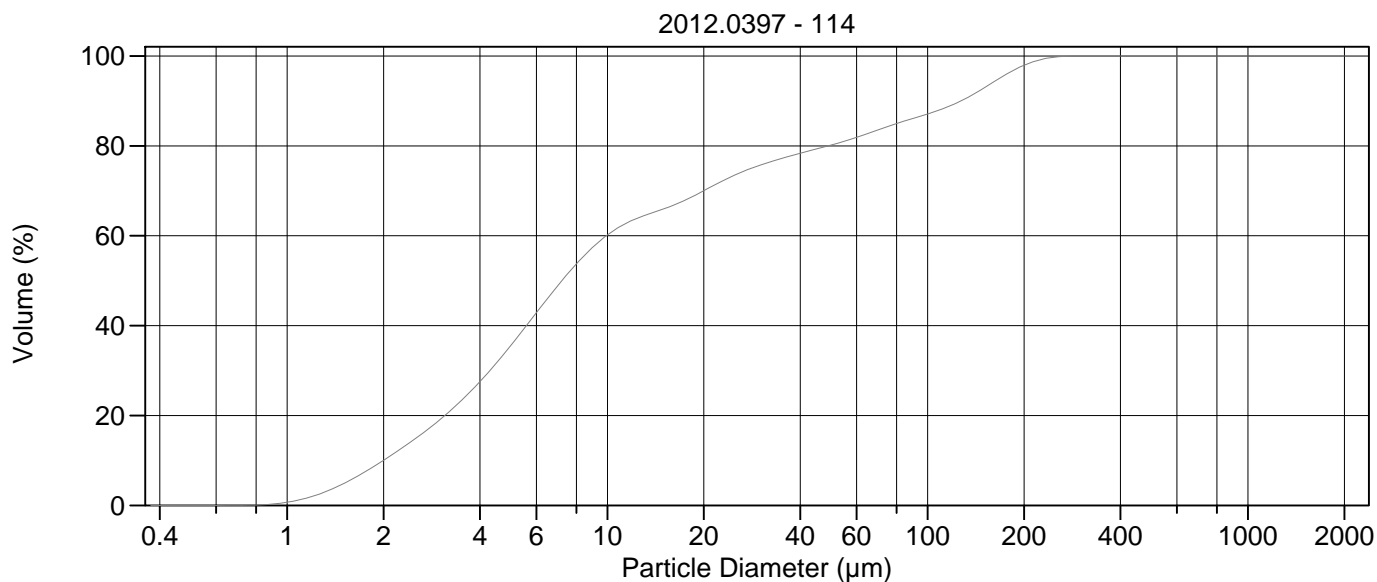
Calculations from 0.375 µm to 2000 µm

Volume	100.0%		
Mean:	46.88 µm	95% Conf. Limits:	0-237.7 µm
Median:	7.710 µm	S.D.:	97.36 µm
D(3,2):	5.232 µm	Variance:	9478 µm ²
Mean/Median Ratio:	6.080	C.V.:	208%
Mode:	5.878 µm	Skewness:	4.027 Right skewed
d ₁₀ :	2.036 µm	Kurtosis:	20.66 Leptokurtic
d ₅₀ :	7.710 µm		
d ₉₀ :	146.5 µm		
Specific Surf. Area	11469 cm ² /ml		

% <	10	25	50	75	90
Size µm	2.036	3.834	7.710	37.29	146.5

113#.\$02

Particle Diameter µm	Volume % <	Particle Diameter µm	Volume % <
2.000	9.67	500.0	98.7
5.000	34.0	1000	100.0
10.00	57.5	2000	100
15.00	63.4		
20.00	67.3		
25.00	70.7		
50.00	77.3		
60.00	79.0		
63.00	79.5		
70.00	80.6		
75.00	81.4		
90.00	83.2		
125.0	87.1		
200.0	95.0		
250.0	96.6		
400.0	98.0		



Volume Statistics (Arithmetic)

114#.\$02

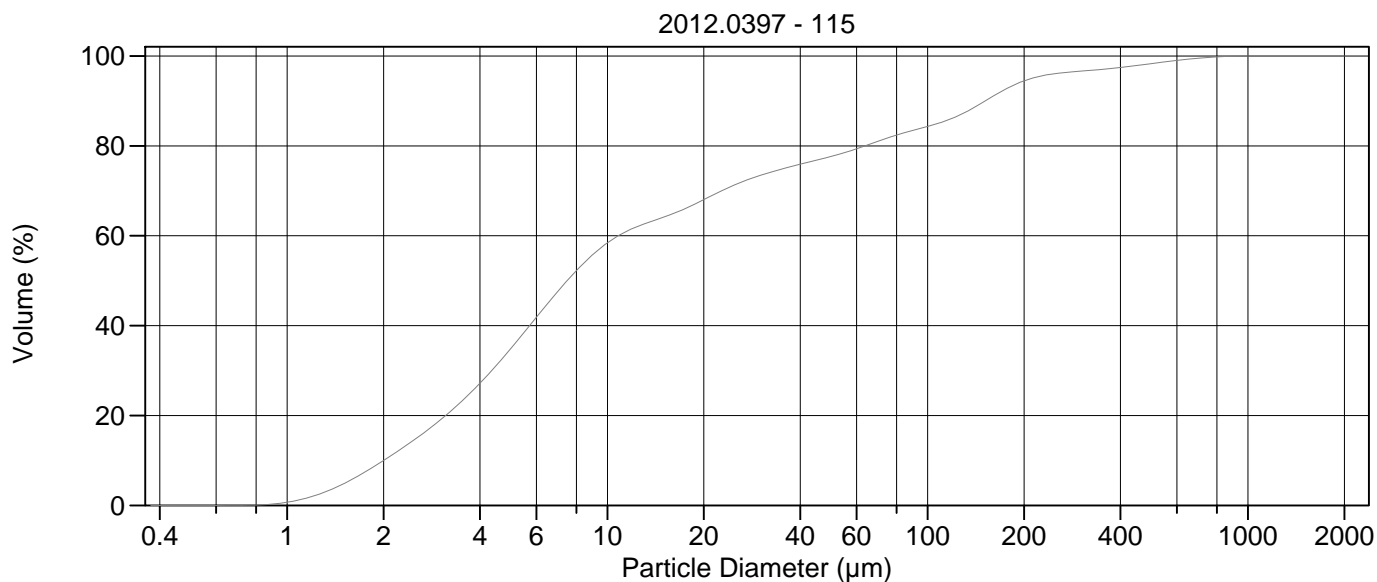
Calculations from 0.375 µm to 2000 µm

Volume	100.0%		
Mean:	32.87 µm	95% Conf. Limits:	0-138.7 µm
Median:	7.214 µm	S.D.:	53.98 µm
D(3,2):	5.031 µm	Variance:	2914 µm ²
Mean/Median Ratio:	4.557	C.V.:	164%
Mode:	5.878 µm	Skewness:	2.104 Right skewed
d ₁₀ :	1.998 µm	Kurtosis:	3.520 Leptokurtic
d ₅₀ :	7.214 µm		
d ₉₀ :	126.9 µm		
Specific Surf. Area	11926 cm ² /ml		

% <	10	25	50	75	90
Size µm	1.998	3.695	7.214	28.14	126.9

114#.\$02

Particle Diameter µm	Volume % <	Particle Diameter µm	Volume % <
2.000	10.0	500.0	100
5.000	35.6	1000	100
10.00	60.2	2000	100
15.00	66.0		
20.00	70.0		
25.00	73.5		
50.00	80.2		
60.00	81.9		
63.00	82.4		
70.00	83.6		
75.00	84.3		
90.00	86.1		
125.0	89.8		
200.0	97.9		
250.0	99.7		
400.0	100		



Volume Statistics (Arithmetic) 115.\$02

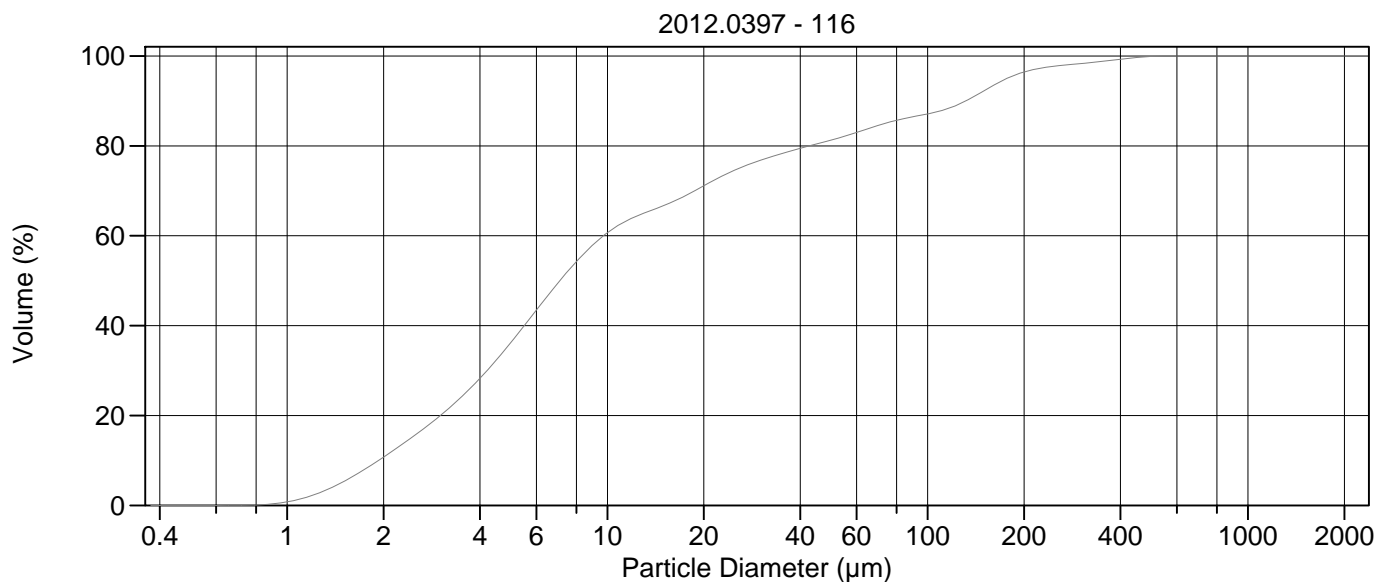
Calculations from 0.375 µm to 2000 µm

Volume	100.0%		
Mean:	49.37 µm	95% Conf. Limits:	0-259.9 µm
Median:	7.483 µm	S.D.:	107.4 µm
D(3,2):	5.134 µm	Variance:	11535 µm ²
Mean/Median Ratio:	6.598	C.V.:	218%
Mode:	5.878 µm	Skewness:	4.023 Right skewed
d ₁₀ :	2.003 µm	Kurtosis:	19.53 Leptokurtic
d ₅₀ :	7.483 µm		
d ₉₀ :	151.4 µm		
Specific Surf. Area	11687 cm ² /ml		

% <	10	25	50	75	90
Size µm	2.003	3.731	7.483	35.65	151.4

115.\$02

Particle Diameter µm	Volume % <	Particle Diameter µm	Volume % <
2.000	9.97	500.0	98.3
5.000	34.9	1000	100.0
10.00	58.4	2000	100
15.00	64.2		
20.00	68.0		
25.00	71.3		
50.00	77.7		
60.00	79.3		
63.00	79.9		
70.00	81.0		
75.00	81.8		
90.00	83.5		
125.0	86.8		
200.0	94.5		
250.0	96.1		
400.0	97.4		



Volume Statistics (Arithmetic) 116.\$02

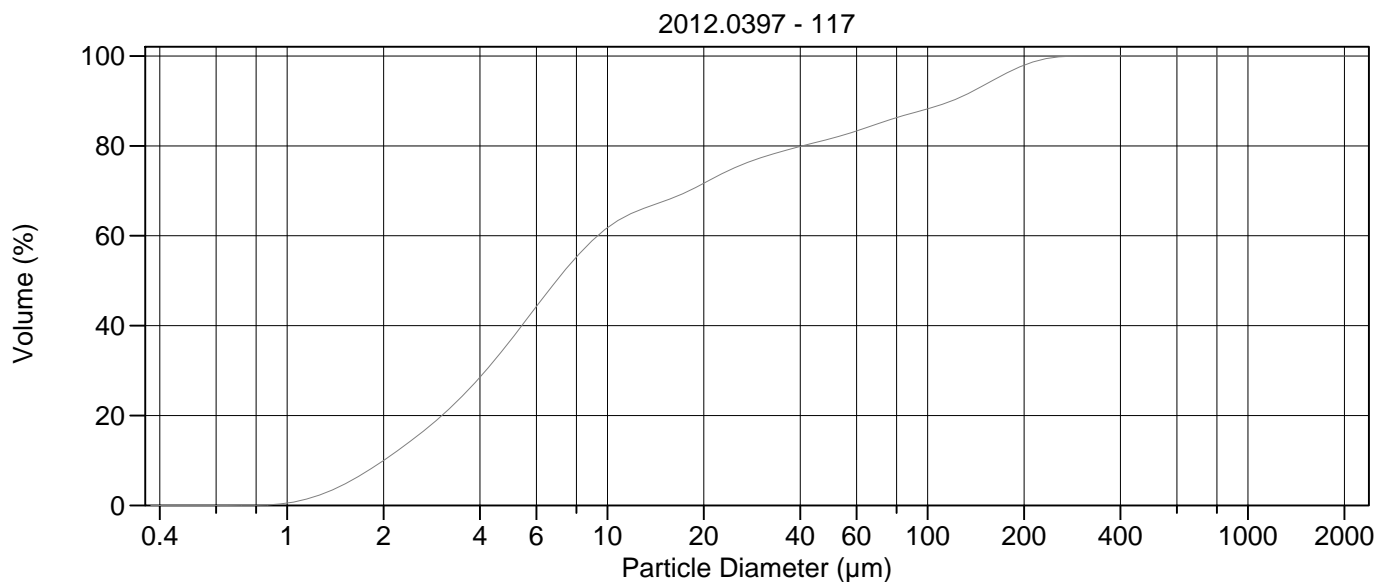
Calculations from 0.375 µm to 2000 µm

Volume	100.0%		
Mean:	36.22 µm	95% Conf. Limits:	0-174.1 µm
Median:	7.111 µm	S.D.:	70.35 µm
D(3,2):	4.895 µm	Variance:	4949 µm ²
Mean/Median Ratio:	5.093	C.V.:	194%
Mode:	5.878 µm	Skewness:	3.265 Right skewed
d ₁₀ :	1.930 µm	Kurtosis:	12.75 Leptokurtic
d ₅₀ :	7.111 µm		
d ₉₀ :	131.5 µm		
Specific Surf. Area	12257 cm ² /ml		

% <	10	25	50	75	90
Size µm	1.930	3.604	7.111	25.77	131.5

116.\$02

Particle Diameter µm	Volume % <	Particle Diameter µm	Volume % <
2.000	10.8	500.0	99.9
5.000	36.2	1000	100
10.00	60.7	2000	100
15.00	66.7		
20.00	71.1		
25.00	74.6		
50.00	81.3		
60.00	83.0		
63.00	83.5		
70.00	84.5		
75.00	85.2		
90.00	86.5		
125.0	89.3		
200.0	96.4		
250.0	97.7		
400.0	99.3		



Volume Statistics (Arithmetic) 117.\$02

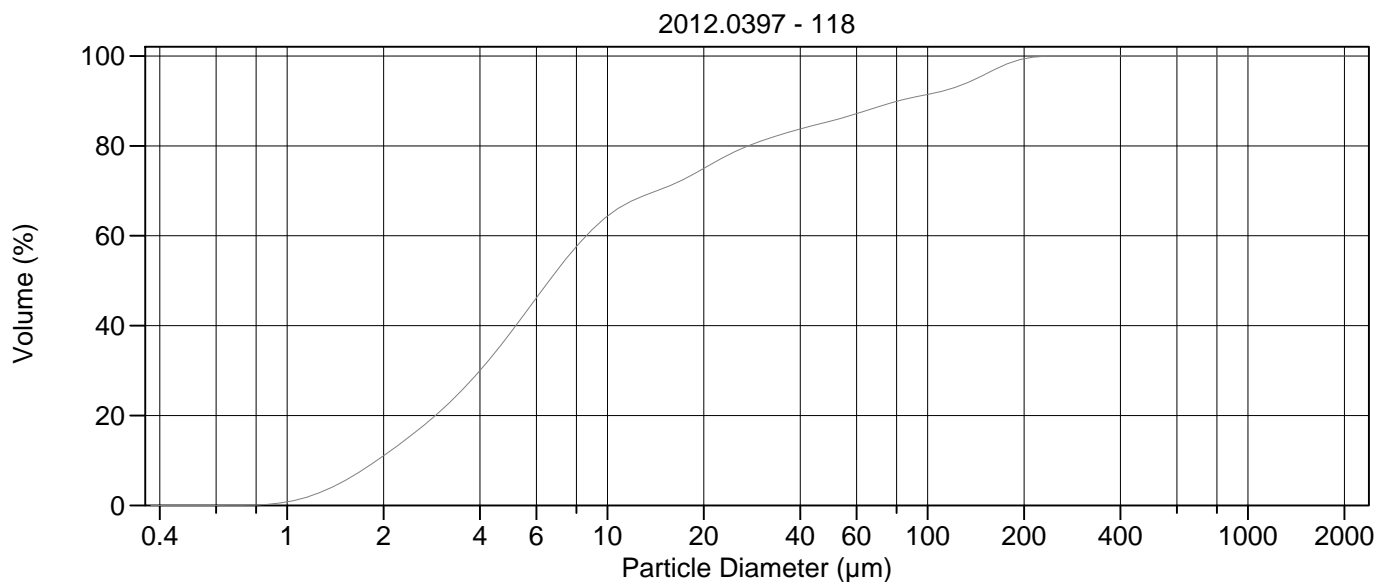
Calculations from 0.375 µm to 2000 µm

Volume	100.0%		
Mean:	30.92 µm	95% Conf. Limits:	0-133.9 µm
Median:	6.937 µm	S.D.:	52.55 µm
D(3,2):	4.951 µm	Variance:	2761 µm ²
Mean/Median Ratio:	4.458	C.V.:	170%
Mode:	5.878 µm	Skewness:	2.264 Right skewed
d ₁₀ :	2.000 µm	Kurtosis:	4.351 Leptokurtic
d ₅₀ :	6.937 µm		
d ₉₀ :	118.6 µm		
Specific Surf. Area	12119 cm ² /ml		

% <	10	25	50	75	90
Size µm	2.000	3.598	6.937	24.73	118.6

117.\$02

Particle Diameter µm	Volume % <	Particle Diameter µm	Volume % <
2.000	10.0	500.0	100
5.000	36.8	1000	100
10.00	61.8	2000	100
15.00	67.7		
20.00	71.7		
25.00	75.2		
50.00	81.7		
60.00	83.3		
63.00	83.8		
70.00	85.0		
75.00	85.7		
90.00	87.3		
125.0	90.7		
200.0	97.9		
250.0	99.7		
400.0	100		



Volume Statistics (Arithmetic) 118.\$02

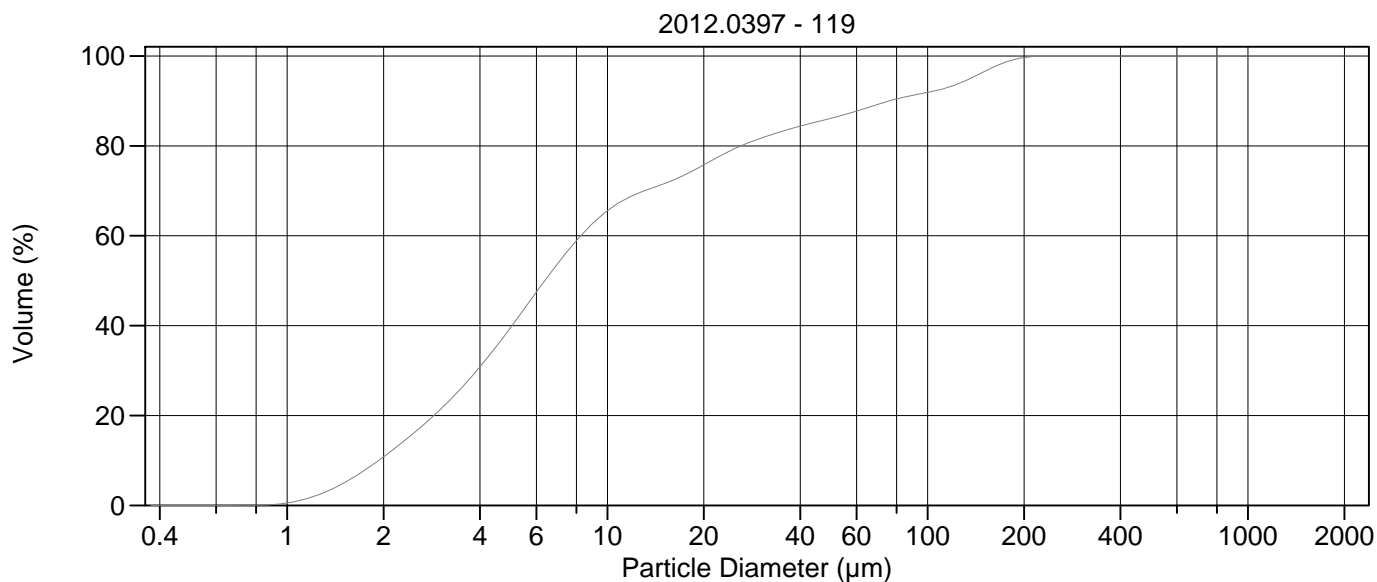
Calculations from 0.375 µm to 2000 µm

Volume	100.0%		
Mean:	24.76 µm	95% Conf. Limits:	0-109.6 µm
Median:	6.583 µm	S.D.:	43.31 µm
D(3,2):	4.662 µm	Variance:	1876 µm ²
Mean/Median Ratio:	3.761	C.V.:	175%
Mode:	5.878 µm	Skewness:	2.542 Right skewed
d ₁₀ :	1.908 µm	Kurtosis:	5.767 Leptokurtic
d ₅₀ :	6.583 µm		
d ₉₀ :	80.92 µm		
Specific Surf. Area	12870 cm ² /ml		

% <	10	25	50	75	90
Size µm	1.908	3.445	6.583	20.02	80.92

118.\$02

Particle Diameter µm	Volume % <	Particle Diameter µm	Volume % <
2.000	11.0	500.0	100
5.000	38.5	1000	100
10.00	64.3	2000	100
15.00	70.6		
20.00	75.0		
25.00	78.7		
50.00	85.6		
60.00	87.2		
63.00	87.6		
70.00	88.7		
75.00	89.4		
90.00	90.8		
125.0	93.3		
200.0	99.4		
250.0	100.0		
400.0	100		



Volume Statistics (Arithmetic) 119.\$02

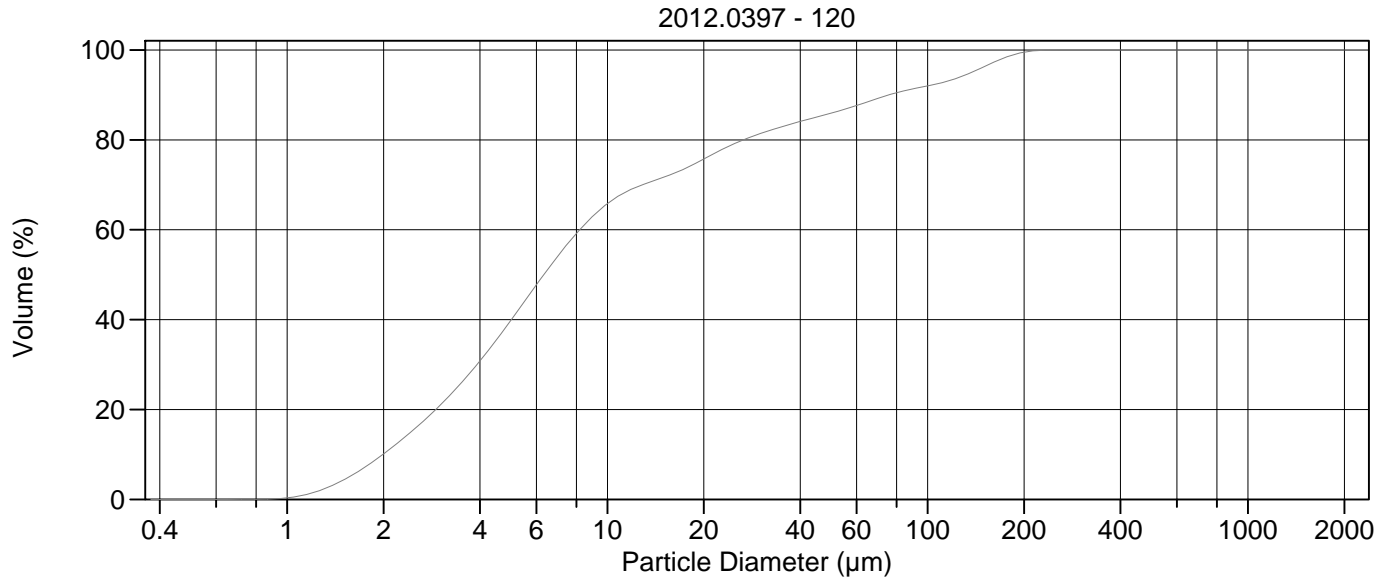
Calculations from 0.375 µm to 2000 µm

Volume	100.0%		
Mean:	23.53 µm	95% Conf. Limits:	0-104.3 µm
Median:	6.379 µm	S.D.:	41.21 µm
D(3,2):	4.642 µm	Variance:	1699 µm ²
Mean/Median Ratio:	3.689	C.V.:	175%
Mode:	5.878 µm	Skewness:	2.569 Right skewed
d ₁₀ :	1.931 µm	Kurtosis:	5.920 Leptokurtic
d ₅₀ :	6.379 µm		
d ₉₀ :	75.79 µm		
Specific Surf. Area	12924 cm ² /ml		

% <	10	25	50	75	90
Size µm	1.931	3.384	6.379	19.10	75.79

119.\$02

Particle Diameter µm	Volume % <	Particle Diameter µm	Volume % <
2.000	10.8	500.0	100
5.000	39.7	1000	100
10.00	65.6	2000	100
15.00	71.6		
20.00	75.8		
25.00	79.4		
50.00	86.2		
60.00	87.8		
63.00	88.2		
70.00	89.3		
75.00	89.9		
90.00	91.3		
125.0	93.9		
200.0	99.6		
250.0	100.0		
400.0	100		



Volume Statistics (Arithmetic)

120#.\$02

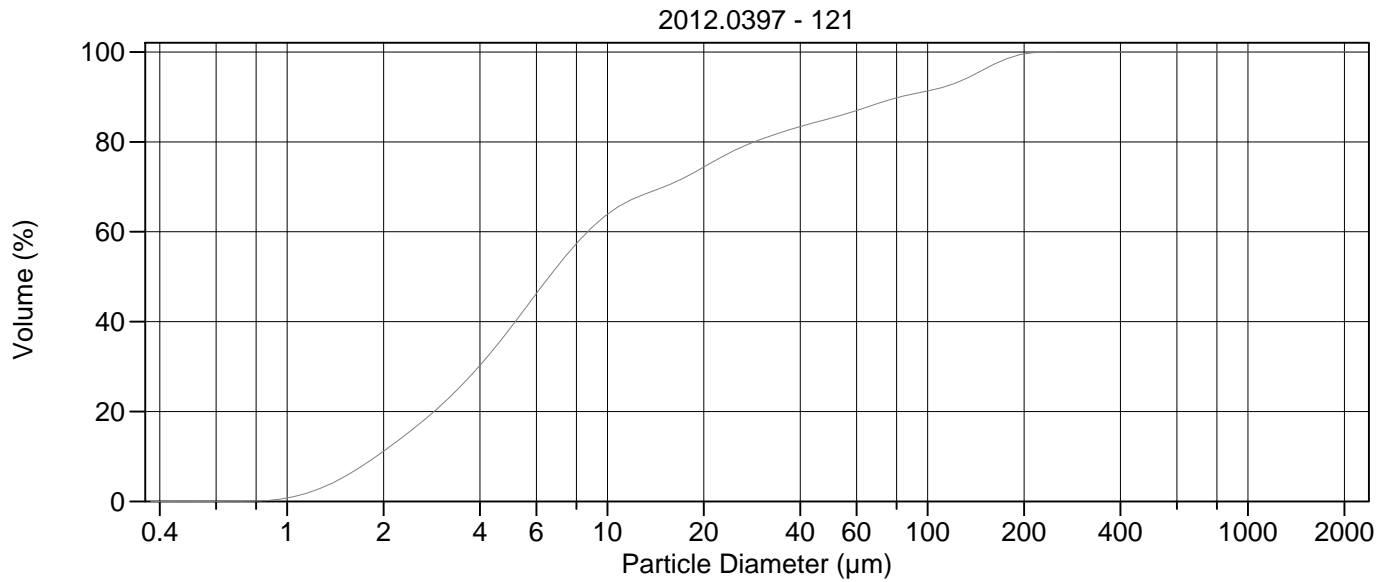
Calculations from 0.375 µm to 2000 µm

Volume	100.0%		
Mean:	23.75 µm	95% Conf. Limits:	0-105.7 µm
Median:	6.336 µm	S.D.:	41.80 µm
D(3,2):	4.720 µm	Variance:	1748 µm ²
Mean/Median Ratio:	3.748	C.V.:	176%
Mode:	5.355 µm	Skewness:	2.604 Right skewed
d ₁₀ :	1.991 µm	Kurtosis:	6.189 Leptokurtic
d ₅₀ :	6.336 µm		
d ₉₀ :	75.57 µm		
Specific Surf. Area	12712 cm ² /ml		

% <	10	25	50	75	90
Size µm	1.991	3.405	6.336	19.12	75.57

120#.\$02

Particle Diameter µm	Volume % <	Particle Diameter µm	Volume % <
2.000	10.1	500.0	100
5.000	39.9	1000	100
10.00	65.8	2000	100
15.00	71.7		
20.00	75.7		
25.00	79.2		
50.00	86.0		
60.00	87.6		
63.00	88.2		
70.00	89.3		
75.00	89.9		
90.00	91.4		
125.0	93.9		
200.0	99.5		
250.0	100.0		
400.0	100		



Volume Statistics (Arithmetic) 121.\$02

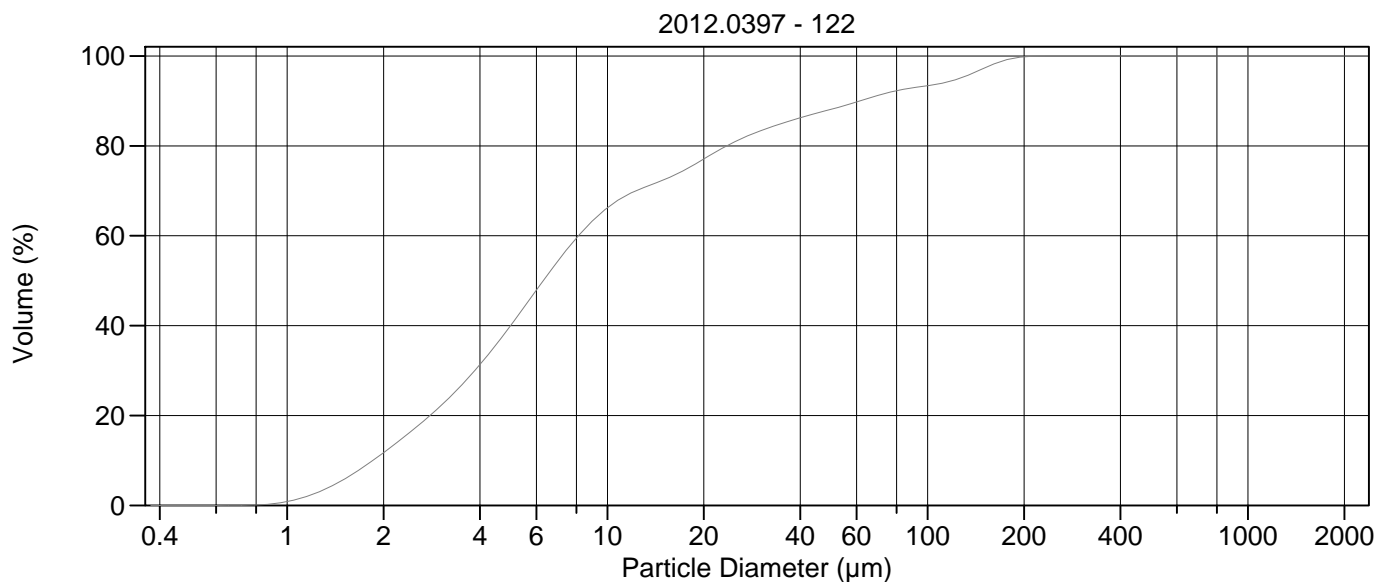
Calculations from 0.375 µm to 2000 µm

Volume	100.0%		
Mean:	24.81 µm	95% Conf. Limits:	0-108.5 µm
Median:	6.586 µm	S.D.:	42.69 µm
D(3,2):	4.657 µm	Variance:	1822 µm ²
Mean/Median Ratio:	3.768	C.V.:	172%
Mode:	5.878 µm	Skewness:	2.479 Right skewed
d ₁₀ :	1.898 µm	Kurtosis:	5.423 Leptokurtic
d ₅₀ :	6.586 µm		
d ₉₀ :	82.03 µm		
Specific Surf. Area	12885 cm ² /ml		

% <	10	25	50	75	90
Size µm	1.898	3.414	6.586	20.67	82.03

121.\$02

Particle Diameter µm	Volume % <	Particle Diameter µm	Volume % <
2.000	11.2	500.0	100
5.000	38.7	1000	100
10.00	63.9	2000	100
15.00	70.0		
20.00	74.4		
25.00	78.1		
50.00	85.3		
60.00	87.0		
63.00	87.5		
70.00	88.6		
75.00	89.2		
90.00	90.7		
125.0	93.4		
200.0	99.5		
250.0	100.0		
400.0	100		



Volume Statistics (Arithmetic) 122.\$02

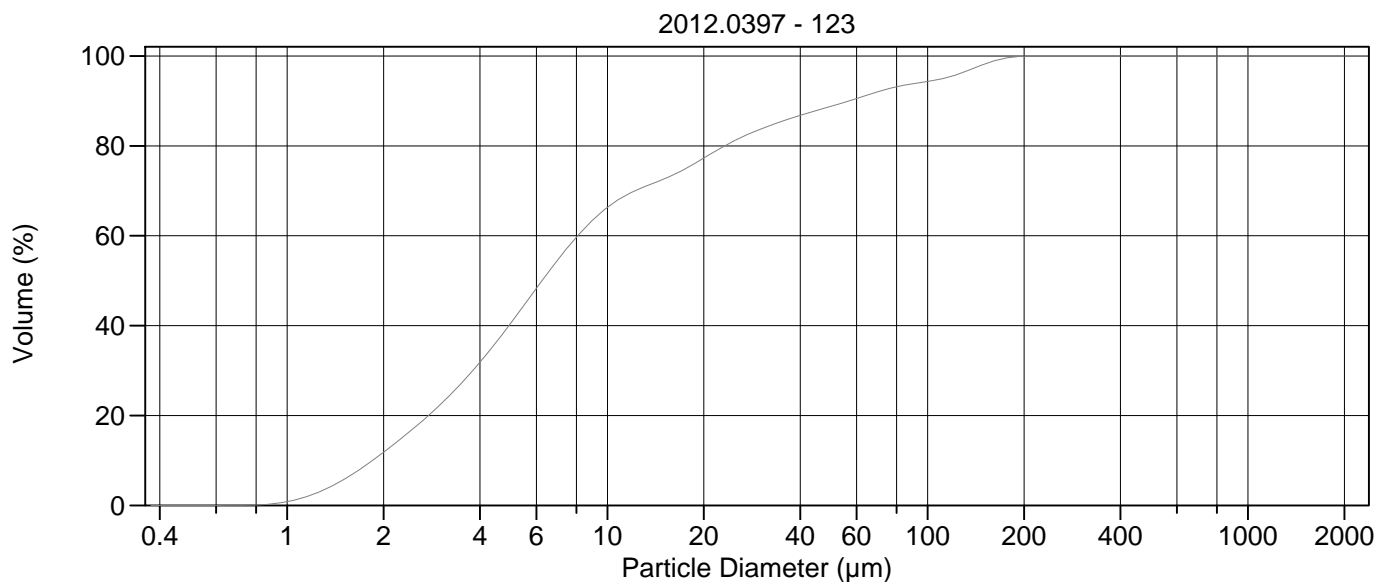
Calculations from 0.375 µm to 2000 µm

Volume	100.0%		
Mean:	21.13 µm	95% Conf. Limits:	0-94.56 µm
Median:	6.309 µm	S.D.:	37.47 µm
D(3,2):	4.484 µm	Variance:	1404 µm ²
Mean/Median Ratio:	3.349	C.V.:	177%
Mode:	5.878 µm	Skewness:	2.812 Right skewed
d ₁₀ :	1.853 µm	Kurtosis:	7.470 Leptokurtic
d ₅₀ :	6.309 µm		
d ₉₀ :	61.50 µm		
Specific Surf. Area	13382 cm ² /ml		

% <	10	25	50	75	90
Size µm	1.853	3.317	6.309	17.83	61.50

122.\$02

Particle Diameter µm	Volume % <	Particle Diameter µm	Volume % <
2.000	11.7	500.0	100
5.000	40.1	1000	100
10.00	66.2	2000	100
15.00	72.5		
20.00	77.1		
25.00	80.9		
50.00	88.1		
60.00	89.8		
63.00	90.2		
70.00	91.2		
75.00	91.8		
90.00	92.9		
125.0	95.0		
200.0	99.8		
250.0	100.0		
400.0	100		



Volume Statistics (Arithmetic) 123.\$02

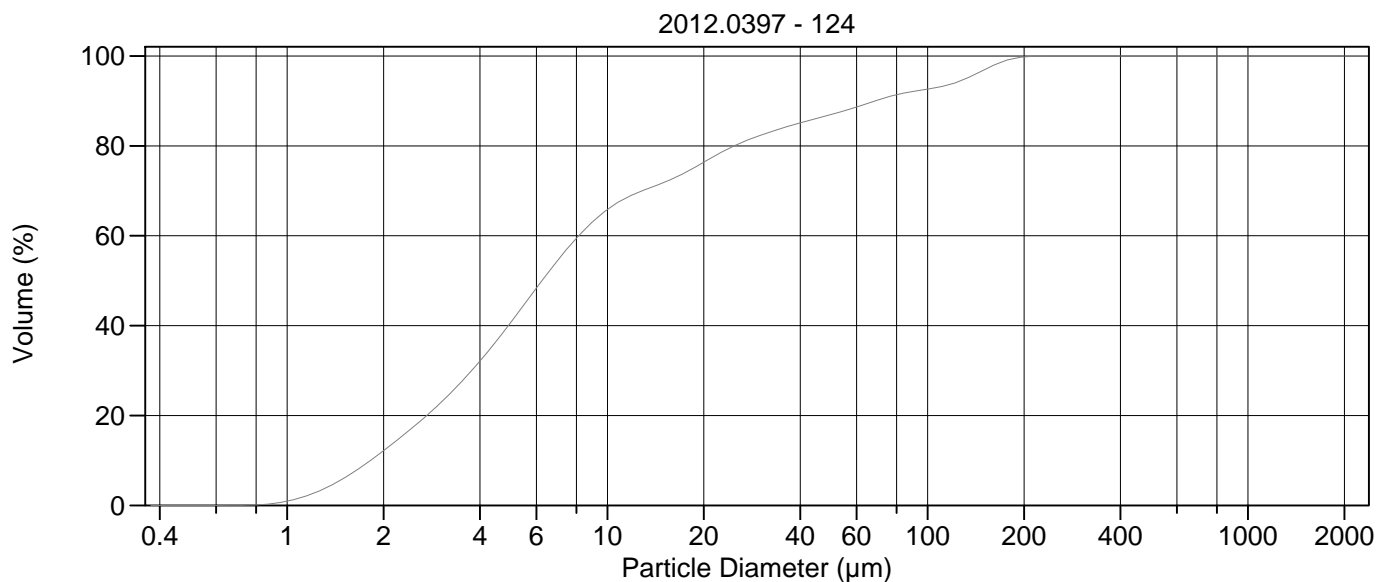
Calculations from 0.375 µm to 2000 µm

Volume	100.0%		
Mean:	19.80 µm	95% Conf. Limits:	0-87.02 µm
Median:	6.250 µm	S.D.:	34.30 µm
D(3,2):	4.453 µm	Variance:	1176 µm ²
Mean/Median Ratio:	3.168	C.V.:	173%
Mode:	5.878 µm	Skewness:	2.865 Right skewed
d ₁₀ :	1.849 µm	Kurtosis:	7.997 Leptokurtic
d ₅₀ :	6.250 µm		
d ₉₀ :	56.87 µm		
Specific Surf. Area	13473 cm ² /ml		

% <	10	25	50	75	90
Size µm	1.849	3.273	6.250	17.62	56.87

123.\$02

Particle Diameter µm	Volume % <	Particle Diameter µm	Volume % <
2.000	11.8	500.0	100
5.000	40.6	1000	100
10.00	66.3	2000	100
15.00	72.6		
20.00	77.3		
25.00	81.2		
50.00	88.8		
60.00	90.5		
63.00	91.0		
70.00	92.1		
75.00	92.7		
90.00	93.8		
125.0	96.0		
200.0	99.9		
250.0	100.0		
400.0	100		



Volume Statistics (Arithmetic) 124.\$02

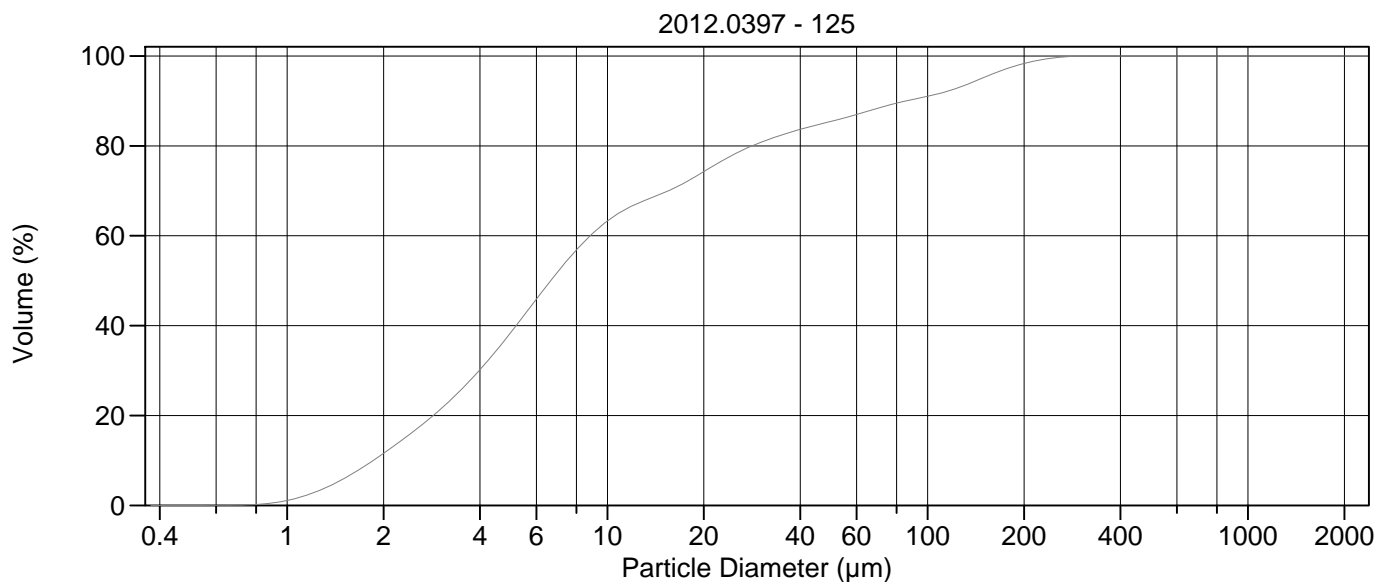
Calculations from 0.375 µm to 2000 µm

Volume	100.0%		
Mean:	22.34 µm	95% Conf. Limits:	0-99.44 µm
Median:	6.247 µm	S.D.:	39.34 µm
D(3,2):	4.428 µm	Variance:	1547 µm ²
Mean/Median Ratio:	3.576	C.V.:	176%
Mode:	5.355 µm	Skewness:	2.652 Right skewed
d ₁₀ :	1.821 µm	Kurtosis:	6.410 Leptokurtic
d ₅₀ :	6.247 µm		
d ₉₀ :	68.49 µm		
Specific Surf. Area	13550 cm ² /ml		

% <	10	25	50	75	90
Size µm	1.821	3.239	6.247	18.51	68.49

124.\$02

Particle Diameter µm	Volume % <	Particle Diameter µm	Volume % <
2.000	12.2	500.0	100
5.000	40.8	1000	100
10.00	65.8	2000	100
15.00	71.8		
20.00	76.4		
25.00	80.1		
50.00	87.0		
60.00	88.6		
63.00	89.1		
70.00	90.2		
75.00	90.9		
90.00	92.1		
125.0	94.3		
200.0	99.8		
250.0	100.0		
400.0	100		



Volume Statistics (Arithmetic) 125#.\$02

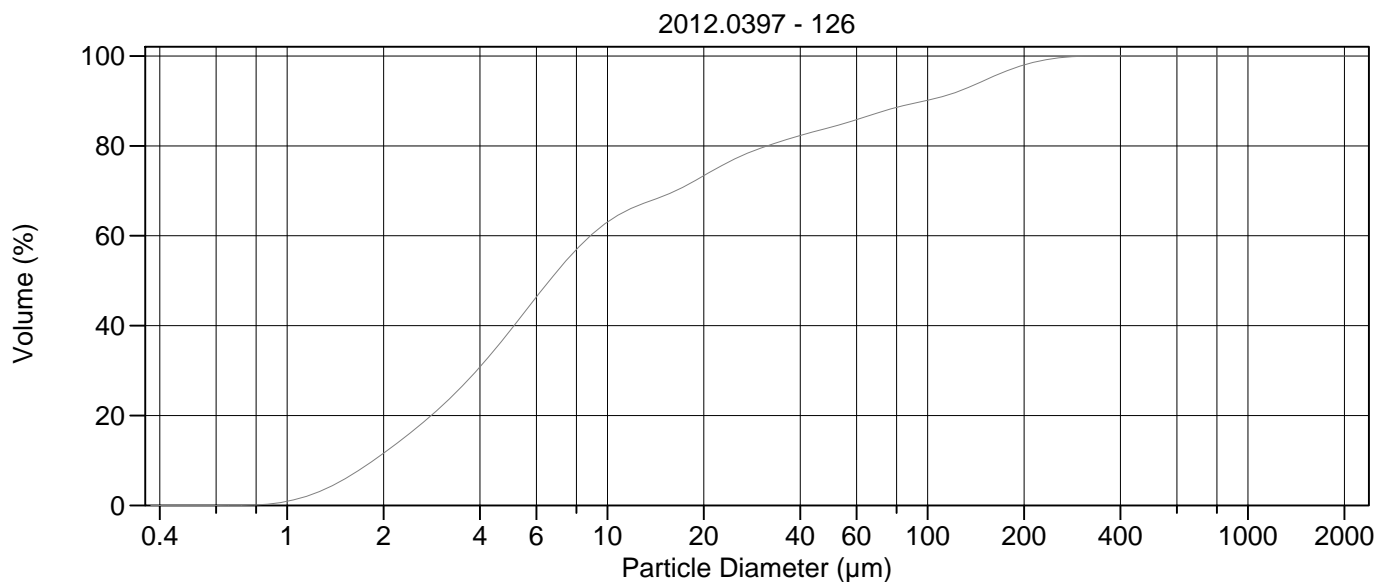
Calculations from 0.375 µm to 2000 µm

Volume	100.0%		
Mean:	26.23 µm	95% Conf. Limits:	0-119.4 µm
Median:	6.652 µm	S.D.:	47.54 µm
D(3,2):	4.597 µm	Variance:	2260 µm ²
Mean/Median Ratio:	3.942	C.V.:	181%
Mode:	5.878 µm	Skewness:	2.754 Right skewed
d ₁₀ :	1.857 µm	Kurtosis:	7.444 Leptokurtic
d ₅₀ :	6.652 µm		
d ₉₀ :	85.46 µm		
Specific Surf. Area	13052 cm ² /ml		

% <	10	25	50	75	90
Size µm	1.857	3.411	6.652	20.78	85.46

125#.\$02

Particle Diameter µm	Volume % <	Particle Diameter µm	Volume % <
2.000	11.6	500.0	100
5.000	38.5	1000	100
10.00	63.3	2000	100
15.00	69.6		
20.00	74.3		
25.00	78.2		
50.00	85.5		
60.00	87.0		
63.00	87.4		
70.00	88.4		
75.00	89.0		
90.00	90.3		
125.0	93.0		
200.0	98.3		
250.0	99.6		
400.0	100		



Volume Statistics (Arithmetic) 126.\$02

Calculations from 0.375 µm to 2000 µm

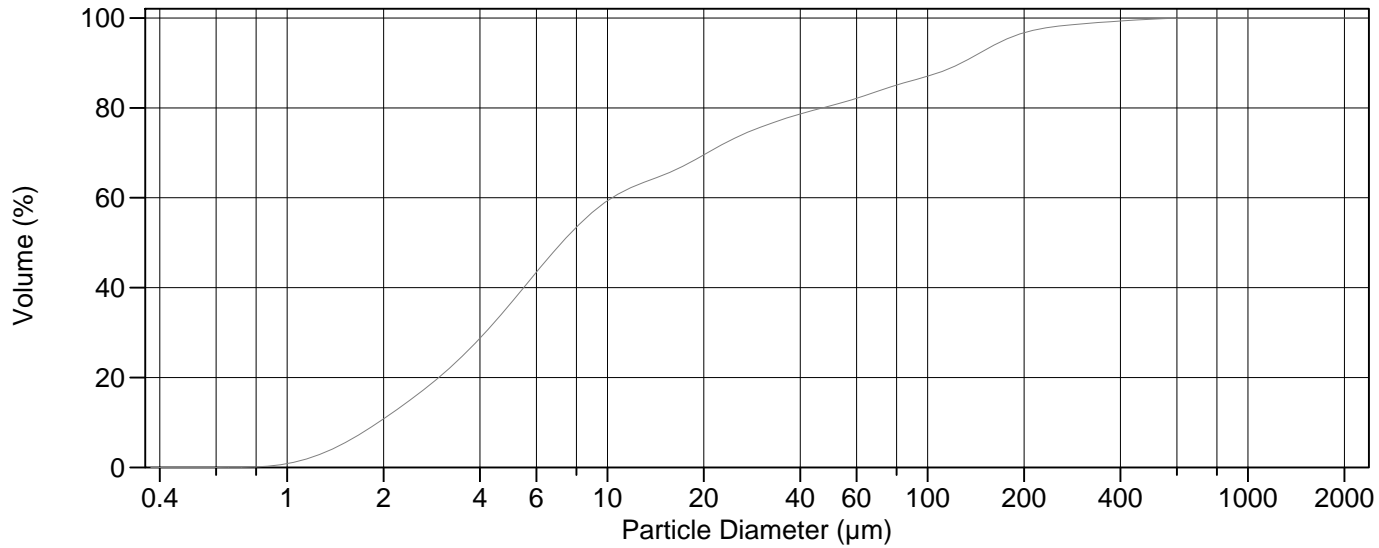
Volume	100.0%		
Mean:	27.96 µm	95% Conf. Limits:	0-126.5 µm
Median:	6.592 µm	S.D.:	50.25 µm
D(3,2):	4.613 µm	Variance:	2525 µm ²
Mean/Median Ratio:	4.242	C.V.:	180%
Mode:	5.355 µm	Skewness:	2.633 Right skewed
d ₁₀ :	1.861 µm	Kurtosis:	6.682 Leptokurtic
d ₅₀ :	6.592 µm		
d ₉₀ :	97.72 µm		
Specific Surf. Area	13007 cm ² /ml		

% <	10	25	50	75	90
Size µm	1.861	3.353	6.592	21.96	97.72

126.\$02

Particle Diameter µm	Volume % <	Particle Diameter µm	Volume % <
2.000	11.6	500.0	100
5.000	39.1	1000	100
10.00	63.0	2000	100
15.00	68.9		
20.00	73.4		
25.00	77.1		
50.00	84.2		
60.00	85.8		
63.00	86.3		
70.00	87.4		
75.00	88.0		
90.00	89.4		
125.0	92.1		
200.0	98.0		
250.0	99.5		
400.0	100.0		

2012.0397 - 127



Volume Statistics (Arithmetic) 127.\$02

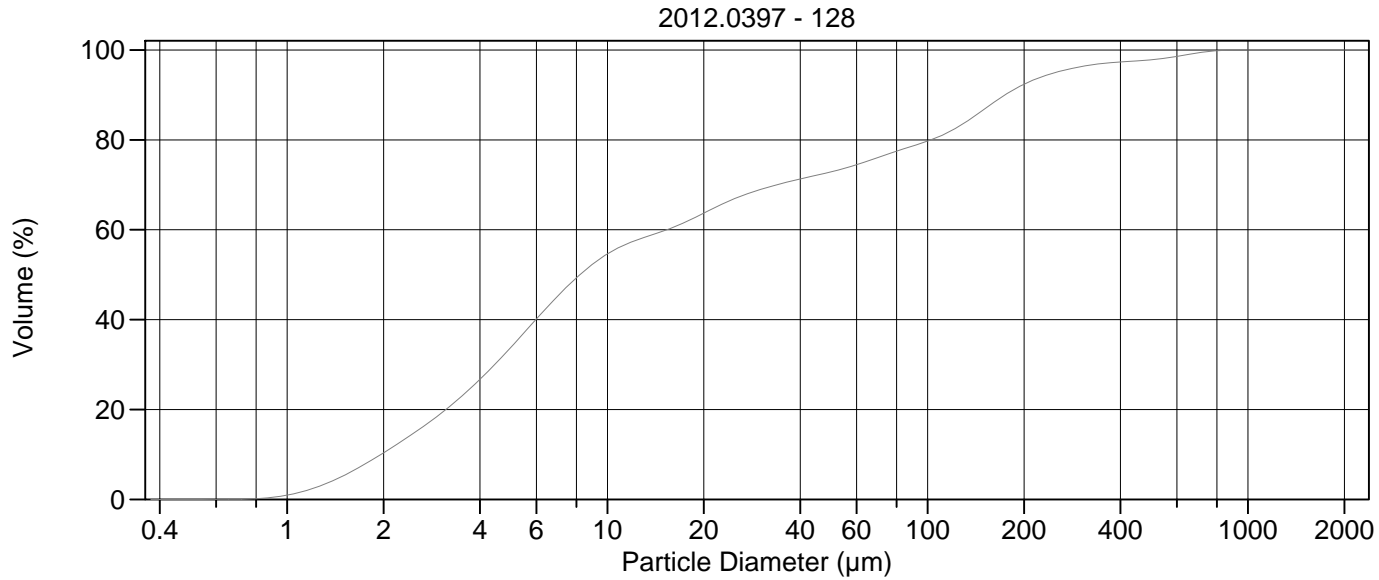
Calculations from 0.375 µm to 2000 µm

Volume	100.0%		
Mean:	36.30 µm	95% Conf. Limits:	0-172.2 µm
Median:	7.206 µm	S.D.:	69.33 µm
D(3,2):	4.904 µm	Variance:	4807 µm ²
Mean/Median Ratio:	5.038	C.V.:	191%
Mode:	5.355 µm	Skewness:	3.506 Right skewed
d ₁₀ :	1.926 µm	Kurtosis:	16.35 Leptokurtic
d ₅₀ :	7.206 µm		
d ₉₀ :	127.5 µm		
Specific Surf. Area	12235 cm ² /ml		

% <	10	25	50	75	90
Size µm	1.926	3.551	7.206	28.41	127.5

127.\$02

Particle Diameter µm	Volume % <	Particle Diameter µm	Volume % <
2.000	10.8	500.0	99.7
5.000	36.6	1000	100
10.00	59.3	2000	100
15.00	65.1		
20.00	69.5		
25.00	73.3		
50.00	80.5		
60.00	82.1		
63.00	82.6		
70.00	83.7		
75.00	84.4		
90.00	86.1		
125.0	89.7		
200.0	96.7		
250.0	98.1		
400.0	99.3		



Volume Statistics (Arithmetic) 128.\$02

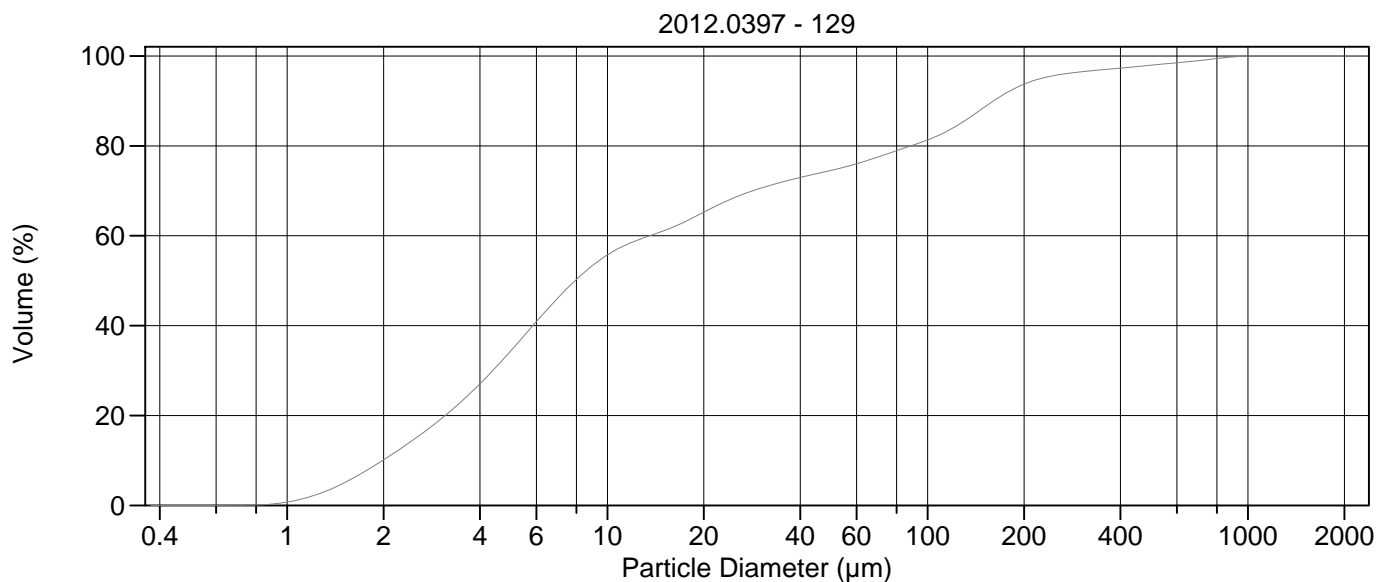
Calculations from 0.375 µm to 2000 µm

Volume	100.0%		
Mean:	59.19 µm	95% Conf. Limits:	0-287.6 µm
Median:	8.203 µm	S.D.:	116.5 µm
D(3,2):	5.242 µm	Variance:	13580 µm ²
Mean/Median Ratio:	7.215	C.V.:	197%
Mode:	5.355 µm	Skewness:	3.514 Right skewed
d ₁₀ :	1.964 µm	Kurtosis:	14.78 Leptokurtic
d ₅₀ :	8.203 µm		
d ₉₀ :	174.2 µm		
Specific Surf. Area	11446 cm ² /ml		

% <	10	25	50	75	90
Size µm	1.964	3.773	8.203	63.23	174.2

128.\$02

Particle Diameter µm	Volume % <	Particle Diameter µm	Volume % <
2.000	10.4	500.0	97.8
5.000	33.8	1000	100.0
10.00	54.6	2000	100
15.00	59.8		
20.00	63.7		
25.00	67.0		
50.00	72.9		
60.00	74.5		
63.00	75.0		
70.00	76.1		
75.00	76.8		
90.00	78.7		
125.0	83.0		
200.0	92.4		
250.0	95.0		
400.0	97.3		



Volume Statistics (Arithmetic) 129.\$02

Calculations from 0.375 µm to 2000 µm

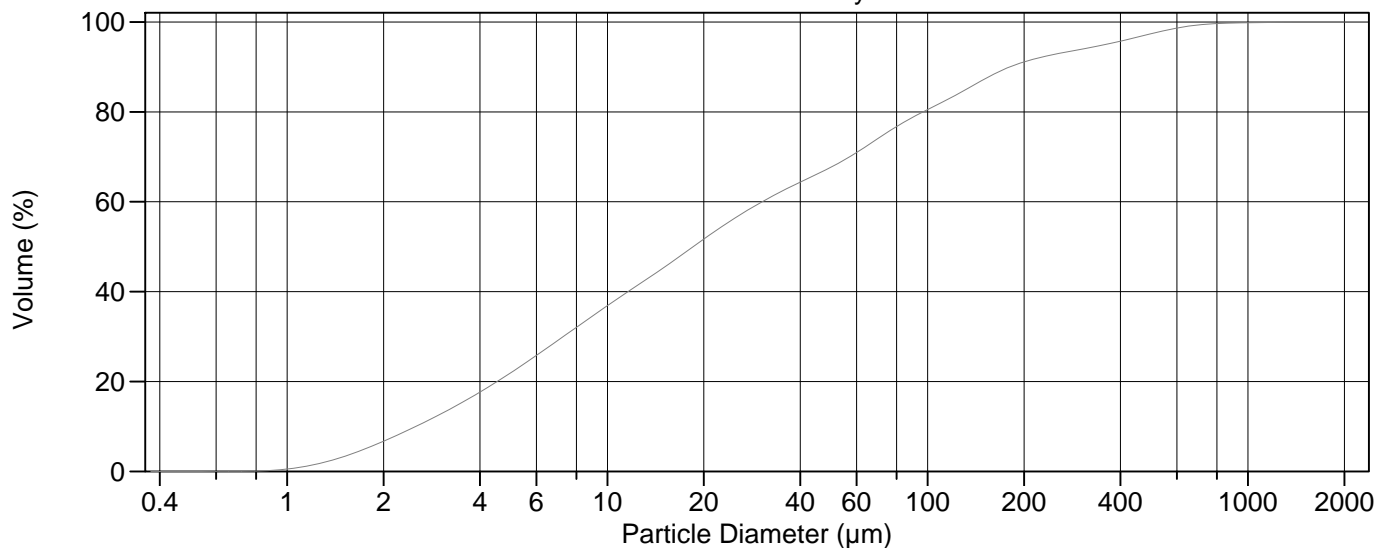
Volume	100.0%		
Mean:	56.37 µm	95% Conf. Limits:	0-292.7 µm
Median:	7.930 µm	S.D.:	120.6 µm
D(3,2):	5.227 µm	Variance:	14541 µm ²
Mean/Median Ratio:	7.109	C.V.:	214%
Mode:	5.355 µm	Skewness:	4.130 Right skewed
d ₁₀ :	1.987 µm	Kurtosis:	20.63 Leptokurtic
d ₅₀ :	7.930 µm		
d ₉₀ :	160.5 µm		
Specific Surf. Area	11478 cm ² /ml		

% <	10	25	50	75	90
Size µm	1.987	3.737	7.930	53.21	160.5

129.\$02

Particle Diameter µm	Volume % <	Particle Diameter µm	Volume % <
2.000	10.1	500.0	98.0
5.000	34.4	1000	100.0
10.00	55.7	2000	100
15.00	61.1		
20.00	65.2		
25.00	68.6		
50.00	74.5		
60.00	76.0		
63.00	76.5		
70.00	77.5		
75.00	78.3		
90.00	80.2		
125.0	84.7		
200.0	93.7		
250.0	95.7		
400.0	97.3		

2012.0397 - stand. Hynne



Volume Statistics (Arithmetic) 130.\$02

Calculations from 0.375 µm to 2000 µm

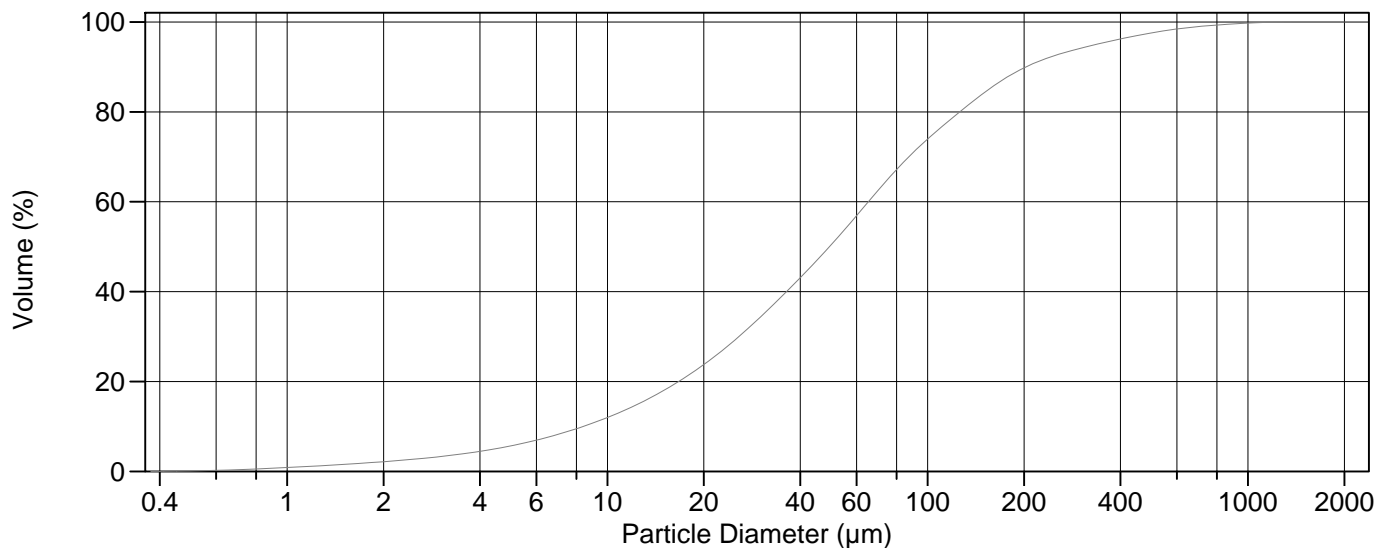
Volume	100.0%		
Mean:	70.76 µm	95% Conf. Limits:	0-329.2 µm
Median:	18.53 µm	S.D.:	131.9 µm
D(3,2):	7.335 µm	Variance:	17384 µm ²
Mean/Median Ratio:	3.818	C.V.:	186%
Mode:	18.00 µm	Skewness:	3.625 Right skewed
d ₁₀ :	2.522 µm	Kurtosis:	17.09 Leptokurtic
d ₅₀ :	18.53 µm		
d ₉₀ :	180.6 µm		
Specific Surf. Area	8180 cm ² /ml		

% <	10	25	50	75	90
Size µm	2.522	5.784	18.53	73.25	180.6

130.\$02

Particle Diameter µm	Volume % <	Particle Diameter µm	Volume % <
2.000	6.72	500.0	97.4
5.000	22.0	1000	99.8
10.00	36.9	2000	100
15.00	45.3		
20.00	51.7		
25.00	56.4		
50.00	67.7		
60.00	70.9		
63.00	71.9		
70.00	74.1		
75.00	75.5		
90.00	78.8		
125.0	84.1		
200.0	91.1		
250.0	92.8		
400.0	95.7		

2012.0397 - stand. MINN



Volume Statistics (Arithmetic) 131.\$02

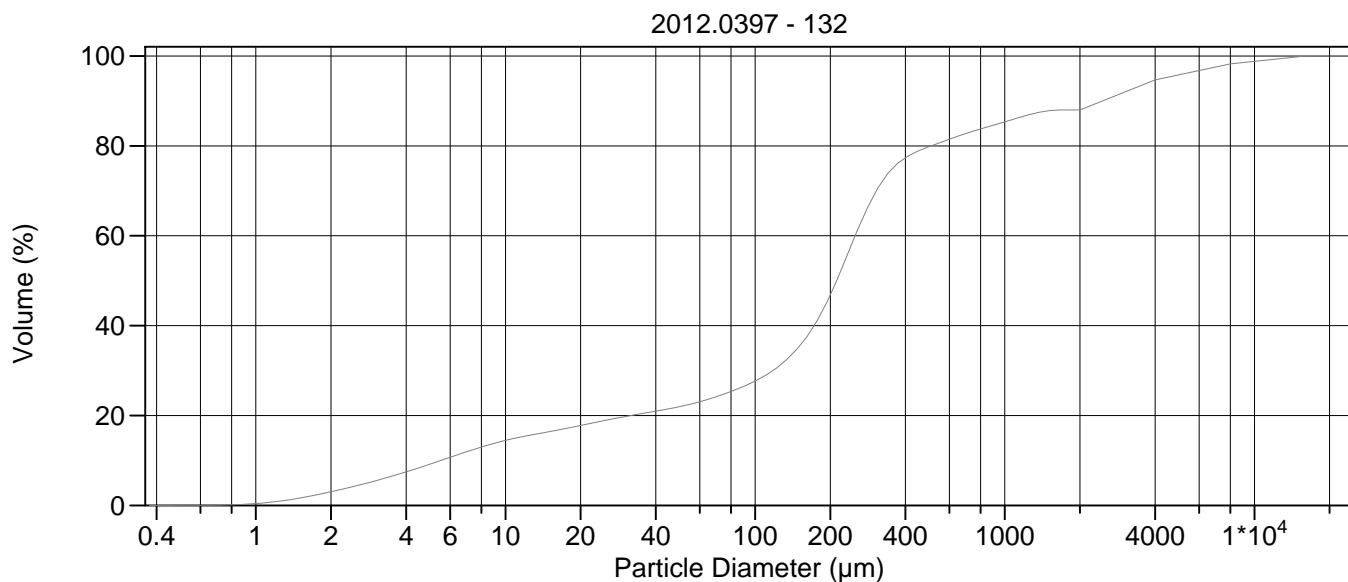
Calculations from 0.375 µm to 2000 µm

Volume	100.0%		
Mean:	91.30 µm	95% Conf. Limits:	0-351.3 µm
Median:	49.39 µm	S.D.:	132.7 µm
D(3,2):	15.93 µm	Variance:	17602 µm ²
Mean/Median Ratio:	1.848	C.V.:	145%
Mode:	60.52 µm	Skewness:	3.776 Right skewed
d ₁₀ :	8.401 µm	Kurtosis:	19.00 Leptokurtic
d ₅₀ :	49.39 µm		
d ₉₀ :	203.1 µm		
Specific Surf. Area	3766 cm ² /ml		

% <	10	25	50	75	90
Size µm	8.401	21.11	49.39	103.9	203.1

131.\$02

Particle Diameter µm	Volume % <	Particle Diameter µm	Volume % <
2.000	2.16	500.0	97.6
5.000	5.69	1000	99.7
10.00	12.0	2000	100
15.00	18.0		
20.00	23.8		
25.00	29.2		
50.00	50.4		
60.00	56.9		
63.00	58.7		
70.00	62.6		
75.00	65.0		
90.00	70.9		
125.0	79.8		
200.0	89.8		
250.0	92.5		
400.0	96.2		



Volume Statistics (Arithmetic) 132#a.\$02

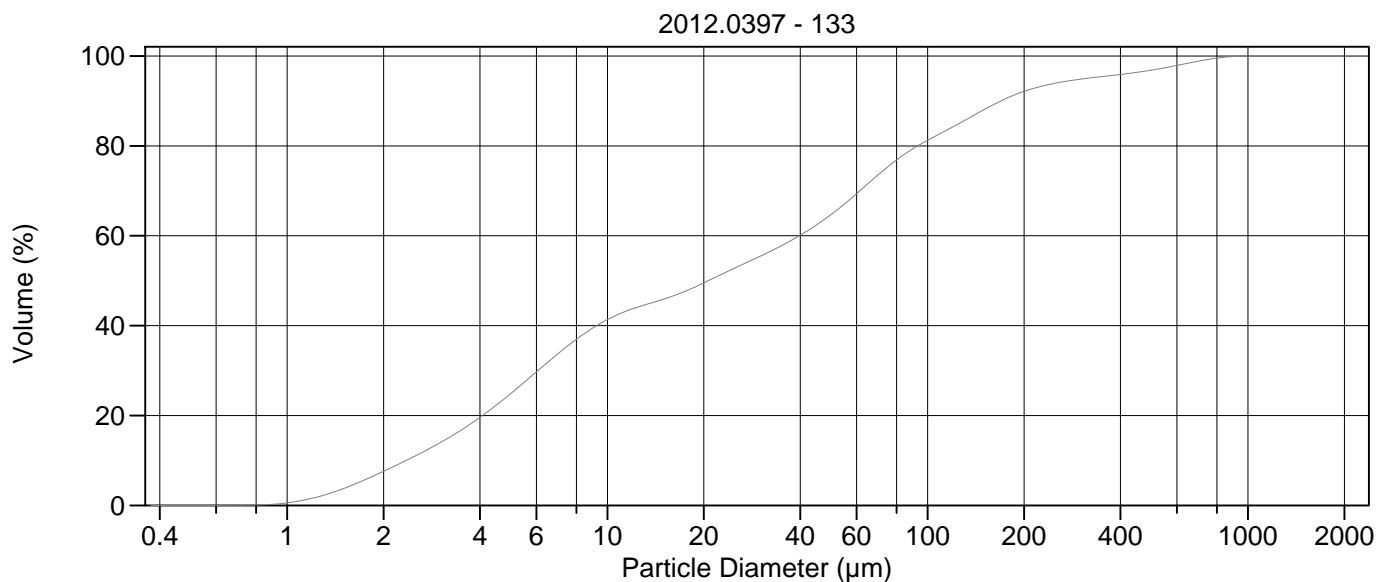
Calculations from 0.375 µm to 16000 µm

Volume	100.0%		
Mean:	791.0 µm	95% Conf. Limits:	0-4406 µm
Median:	212.2 µm	S.D.:	1845 µm
D(3,2):	17.46 µm	Variance:	3402629 µm ²
Mean/Median Ratio:	3.728	C.V.:	233%
Mode:	2828 µm	Skewness:	3.976 Right skewed
d ₁₀ :	5.508 µm	Kurtosis:	17.47 Leptokurtic
d ₅₀ :	212.2 µm		
d ₉₀ :	2597 µm		
Specific Surf. Area	3436 cm ² /ml		

% <	10	25	50	75	90
Size µm	5.508	76.91	212.2	356.2	2597

132#a.\$02

Particle Diameter µm	Volume % <	Particle Diameter µm	Volume % <
2.000	3.04	500.0	79.9
5.000	9.21	1000	85.4
10.00	14.5	2000	88.0
15.00	16.4	4000	94.7
20.00	17.8	8000	98.2
25.00	18.9	16000	100
50.00	22.0		
60.00	23.1		
63.00	23.4		
70.00	24.2		
75.00	24.8		
90.00	26.5		
125.0	31.1		
200.0	46.8		
250.0	59.6		
400.0	77.3		



Volume Statistics (Arithmetic) 133#.\$02

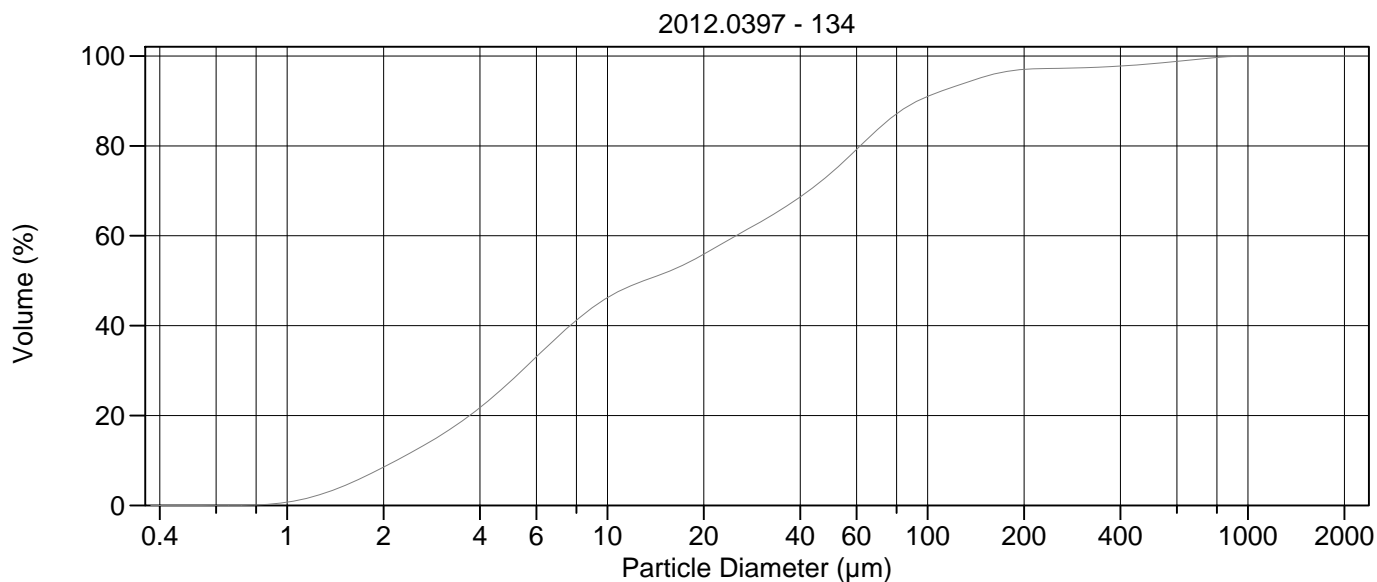
Calculations from 0.375 µm to 2000 µm

Volume	100.0%		
Mean:	70.72 µm	95% Conf. Limits:	0-330.6 µm
Median:	20.65 µm	S.D.:	132.6 µm
D(3,2):	6.837 µm	Variance:	17581 µm ²
Mean/Median Ratio:	3.425	C.V.:	188%
Mode:	66.44 µm	Skewness:	3.559 Right skewed
d ₁₀ :	2.354 µm	Kurtosis:	14.12 Leptokurtic
d ₅₀ :	20.65 µm		
d ₉₀ :	169.5 µm		
Specific Surf. Area	8776 cm ² /ml		

% <	10	25	50	75	90
Size µm	2.354	5.017	20.65	74.07	169.5

133#.\$02

Particle Diameter µm	Volume % <	Particle Diameter µm	Volume % <
2.000	7.59	500.0	96.9
5.000	24.9	1000	100.0
10.00	41.4	2000	100
15.00	45.9		
20.00	49.5		
25.00	52.8		
50.00	64.7		
60.00	69.4		
63.00	70.7		
70.00	73.6		
75.00	75.3		
90.00	79.4		
125.0	84.9		
200.0	92.1		
250.0	93.9		
400.0	95.9		



Volume Statistics (Arithmetic) 134.\$02

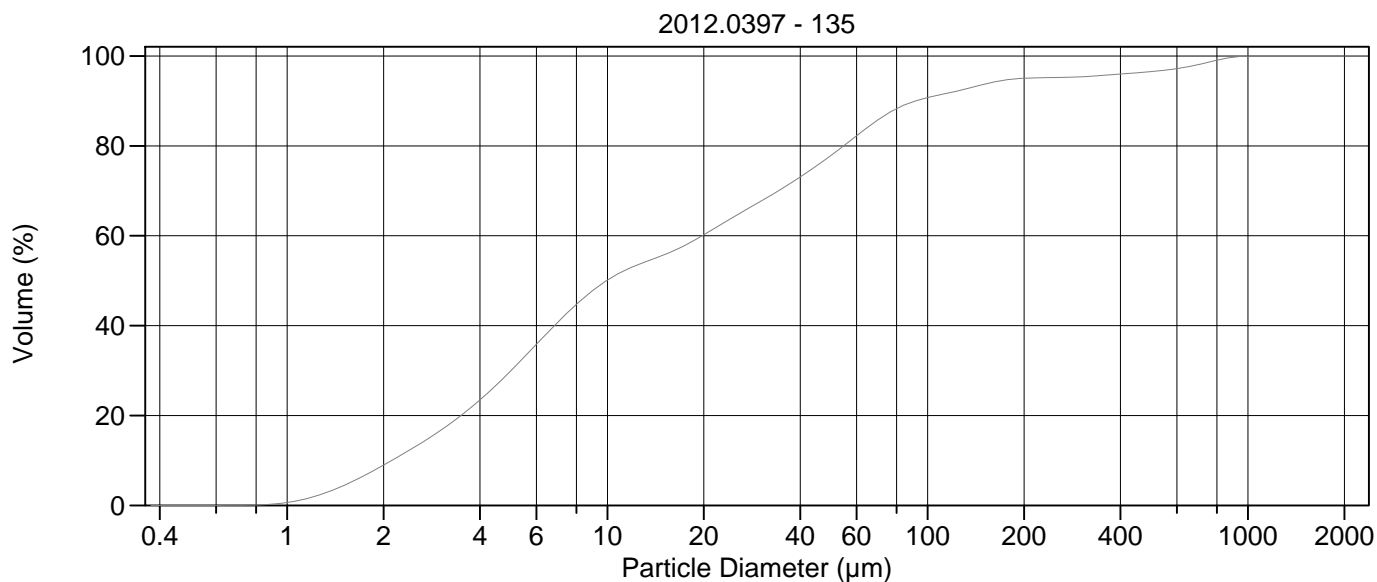
Calculations from 0.375 µm to 2000 µm

Volume	100.0%		
Mean:	45.79 µm	95% Conf. Limits:	0-243.4 µm
Median:	13.00 µm	S.D.:	100.8 µm
D(3,2):	6.102 µm	Variance:	10170 µm ²
Mean/Median Ratio:	3.523	C.V.:	220%
Mode:	60.52 µm	Skewness:	5.336 Right skewed
d ₁₀ :	2.193 µm	Kurtosis:	32.81 Leptokurtic
d ₅₀ :	13.00 µm		
d ₉₀ :	92.96 µm		
Specific Surf. Area	9834 cm ² /ml		

% <	10	25	50	75	90
Size µm	2.193	4.537	13.00	51.86	92.96

134.\$02

Particle Diameter µm	Volume % <	Particle Diameter µm	Volume % <
2.000	8.52	500.0	98.3
5.000	27.7	1000	100.0
10.00	46.2	2000	100
15.00	51.6		
20.00	55.9		
25.00	59.9		
50.00	74.0		
60.00	79.2		
63.00	80.7		
70.00	83.8		
75.00	85.6		
90.00	89.5		
125.0	93.5		
200.0	97.0		
250.0	97.2		
400.0	97.8		



Volume Statistics (Arithmetic) 135.\$02

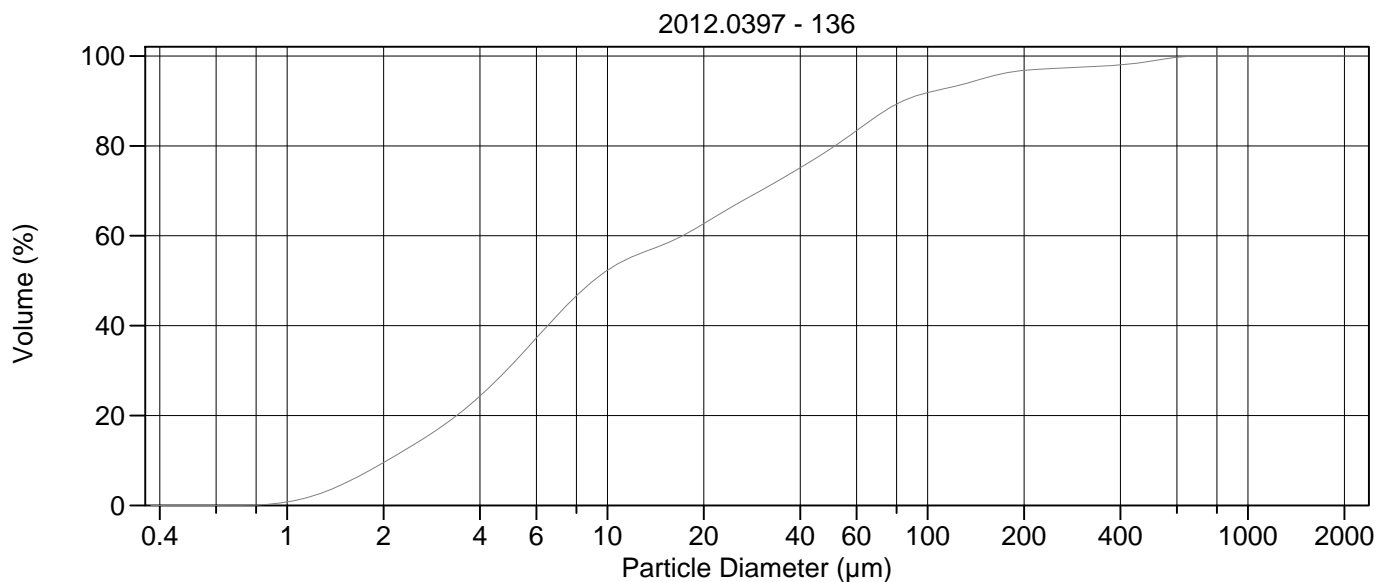
Calculations from 0.375 µm to 2000 µm

Volume	100.0%		
Mean:	54.64 µm	95% Conf. Limits:	0-326.5 µm
Median:	9.926 µm	S.D.:	138.7 µm
D(3,2):	5.750 µm	Variance:	19244 µm ²
Mean/Median Ratio:	5.505	C.V.:	254%
Mode:	5.878 µm	Skewness:	4.383 Right skewed
d ₁₀ :	2.123 µm	Kurtosis:	19.59 Leptokurtic
d ₅₀ :	9.926 µm		
d ₉₀ :	91.55 µm		
Specific Surf. Area	10434 cm ² /ml		

% <	10	25	50	75	90
Size µm	2.123	4.229	9.926	43.84	91.55

135.\$02

Particle Diameter µm	Volume % <	Particle Diameter µm	Volume % <
2.000	8.96	500.0	96.5
5.000	30.0	1000	100.0
10.00	50.1	2000	100
15.00	55.7		
20.00	60.2		
25.00	64.4		
50.00	77.9		
60.00	82.2		
63.00	83.4		
70.00	85.8		
75.00	87.2		
90.00	89.8		
125.0	92.3		
200.0	95.0		
250.0	95.2		
400.0	96.0		



Volume Statistics (Arithmetic) 136.\$02

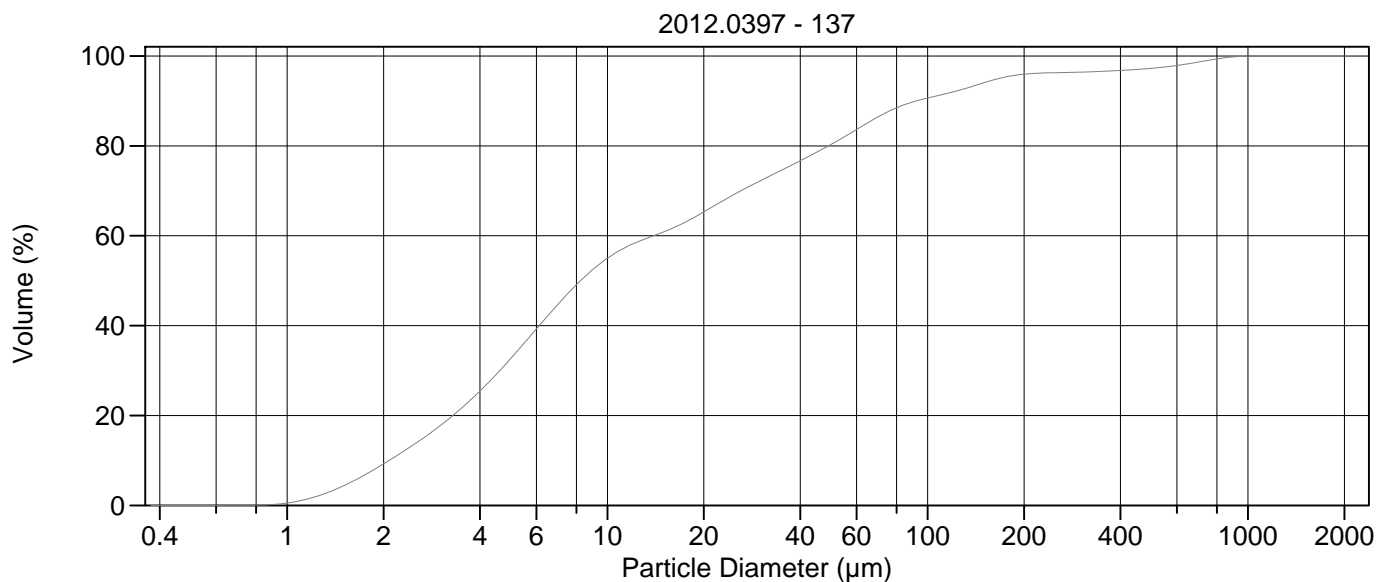
Calculations from 0.375 µm to 2000 µm

Volume	100.0%		
Mean:	38.60 µm	95% Conf. Limits:	0-200.5 µm
Median:	9.044 µm	S.D.:	82.60 µm
D(3,2):	5.506 µm	Variance:	6822 µm ²
Mean/Median Ratio:	4.268	C.V.:	214%
Mode:	5.878 µm	Skewness:	4.618 Right skewed
d ₁₀ :	2.053 µm	Kurtosis:	24.26 Leptokurtic
d ₅₀ :	9.044 µm		
d ₉₀ :	83.62 µm		
Specific Surf. Area	10897 cm ² /ml		

% <	10	25	50	75	90
Size µm	2.053	4.097	9.044	39.70	83.62

136.\$02

Particle Diameter µm	Volume % <	Particle Diameter µm	Volume % <
2.000	9.54	500.0	98.9
5.000	31.1	1000	100
10.00	52.3	2000	100
15.00	58.1		
20.00	62.7		
25.00	66.8		
50.00	79.4		
60.00	83.4		
63.00	84.5		
70.00	86.8		
75.00	88.2		
90.00	90.9		
125.0	93.5		
200.0	96.8		
250.0	97.3		
400.0	98.0		



Volume Statistics (Arithmetic) 137.\$02

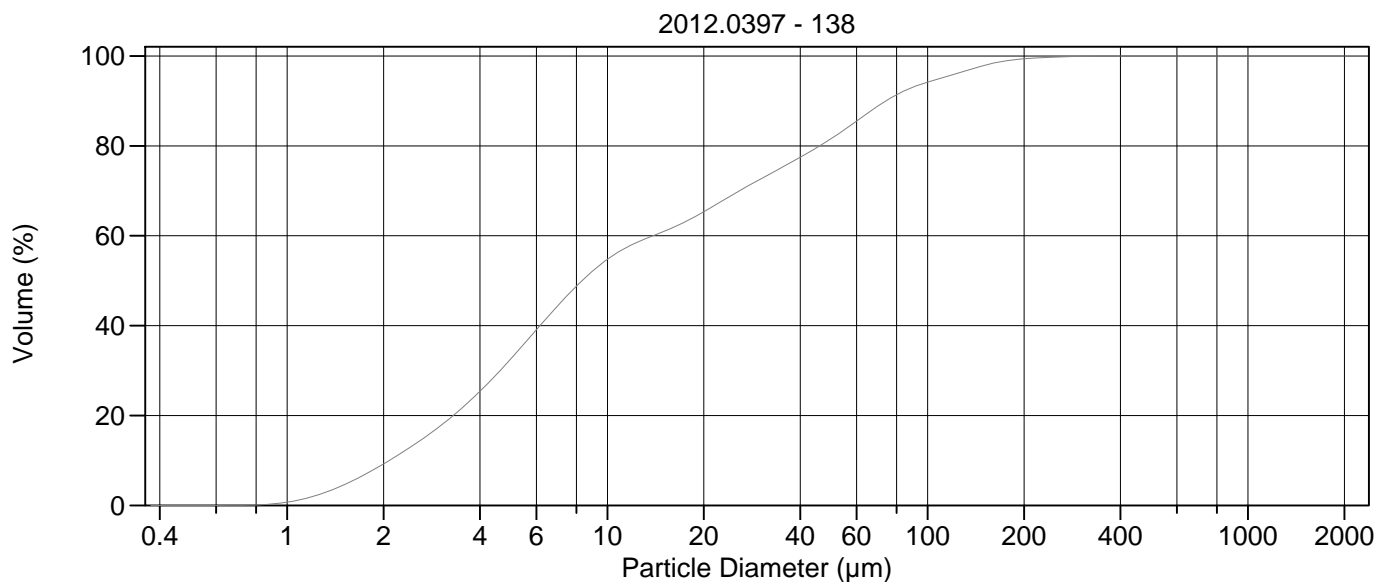
Calculations from 0.375 µm to 2000 µm

Volume	100.0%		
Mean:	47.22 µm	95% Conf. Limits:	0-289.2 µm
Median:	8.245 µm	S.D.:	123.5 µm
D(3,2):	5.413 µm	Variance:	15243 µm ²
Mean/Median Ratio:	5.727	C.V.:	261%
Mode:	5.878 µm	Skewness:	4.809 Right skewed
d ₁₀ :	2.083 µm	Kurtosis:	24.50 Leptokurtic
d ₅₀ :	8.245 µm		
d ₉₀ :	91.93 µm		
Specific Surf. Area	11084 cm ² /ml		

% <	10	25	50	75	90
Size µm	2.083	3.941	8.245	35.93	91.93

137.\$02

Particle Diameter µm	Volume % <	Particle Diameter µm	Volume % <
2.000	9.24	500.0	97.3
5.000	32.7	1000	100.0
10.00	55.0	2000	100
15.00	60.9		
20.00	65.3		
25.00	69.3		
50.00	80.3		
60.00	83.6		
63.00	84.6		
70.00	86.5		
75.00	87.6		
90.00	89.8		
125.0	92.3		
200.0	96.0		
250.0	96.3		
400.0	96.8		



Volume Statistics (Arithmetic) 138.\$02

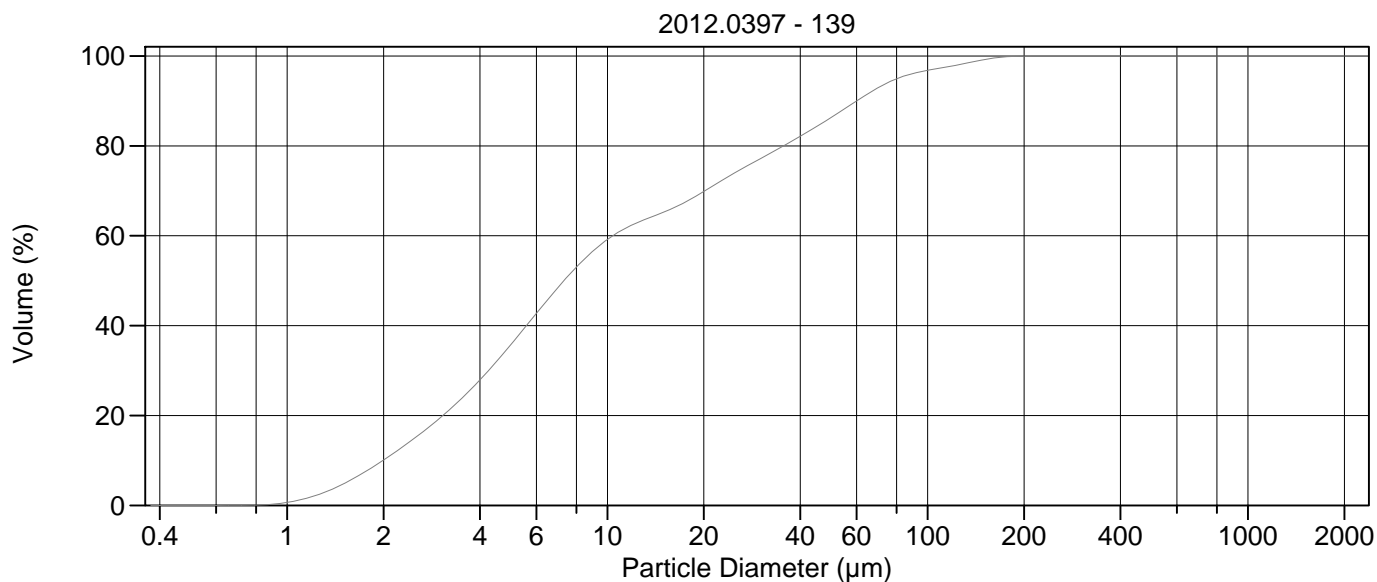
Calculations from 0.375 µm to 2000 µm

Volume	100.0%		
Mean:	26.62 µm	95% Conf. Limits:	0-102.9 µm
Median:	8.338 µm	S.D.:	38.90 µm
D(3,2):	5.372 µm	Variance:	1514 µm ²
Mean/Median Ratio:	3.193	C.V.:	146%
Mode:	5.878 µm	Skewness:	2.661 Right skewed
d ₁₀ :	2.086 µm	Kurtosis:	9.136 Leptokurtic
d ₅₀ :	8.338 µm		
d ₉₀ :	74.06 µm		
Specific Surf. Area	11170 cm ² /ml		

% <	10	25	50	75	90
Size µm	2.086	3.948	8.338	34.66	74.06

138.\$02

Particle Diameter µm	Volume % <	Particle Diameter µm	Volume % <
2.000	9.23	500.0	100
5.000	32.6	1000	100
10.00	54.7	2000	100
15.00	61.0		
20.00	65.3		
25.00	69.4		
50.00	81.6		
60.00	85.5		
63.00	86.6		
70.00	88.9		
75.00	90.3		
90.00	93.1		
125.0	96.2		
200.0	99.4		
250.0	99.8		
400.0	100.0		



Volume Statistics (Arithmetic) 139.\$02

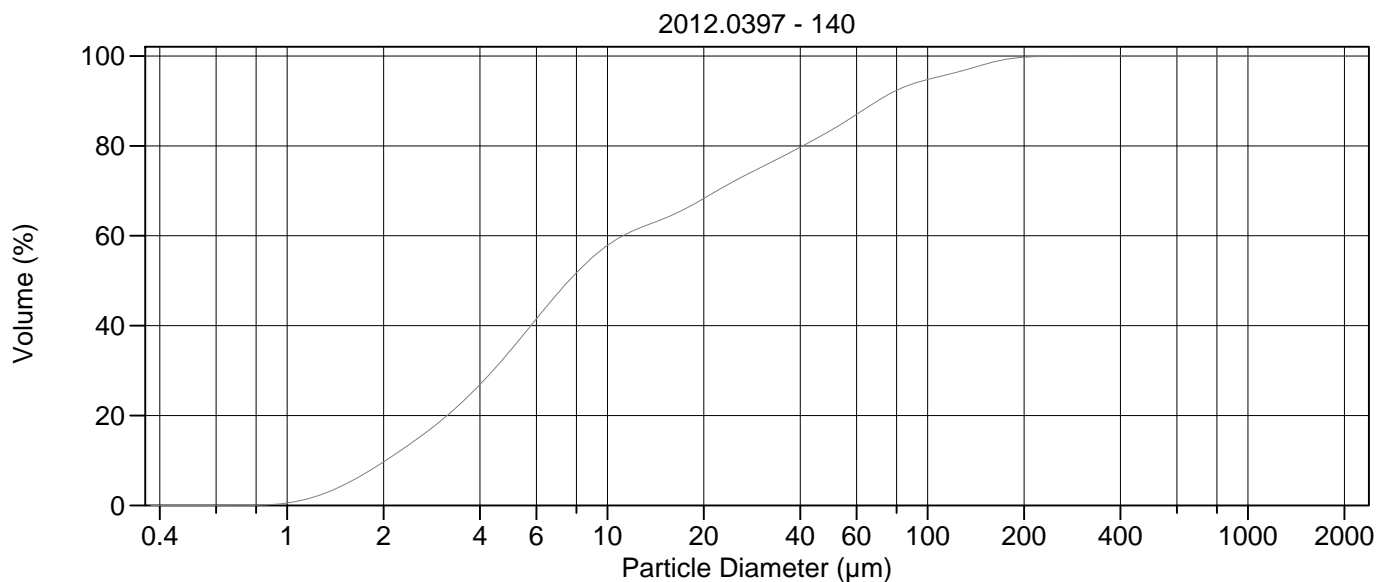
Calculations from 0.375 µm to 2000 µm

Volume	100.0%		
Mean:	20.97 µm	95% Conf. Limits:	0-78.99 µm
Median:	7.315 µm	S.D.:	29.60 µm
D(3,2):	4.991 µm	Variance:	876.0 µm ²
Mean/Median Ratio:	2.867	C.V.:	141%
Mode:	5.878 µm	Skewness:	2.454 Right skewed
d ₁₀ :	1.991 µm	Kurtosis:	6.848 Leptokurtic
d ₅₀ :	7.315 µm		
d ₉₀ :	60.10 µm		
Specific Surf. Area	12023 cm ² /ml		

% <	10	25	50	75	90
Size µm	1.991	3.647	7.315	26.45	60.10

139.\$02

Particle Diameter µm	Volume % <	Particle Diameter µm	Volume % <
2.000	10.1	500.0	100
5.000	35.8	1000	100
10.00	59.2	2000	100
15.00	65.3		
20.00	69.9		
25.00	74.0		
50.00	86.3		
60.00	90.0		
63.00	91.0		
70.00	92.9		
75.00	94.0		
90.00	96.1		
125.0	98.1		
200.0	100.0		
250.0	100		
400.0	100		



Volume Statistics (Arithmetic) 140.\$02

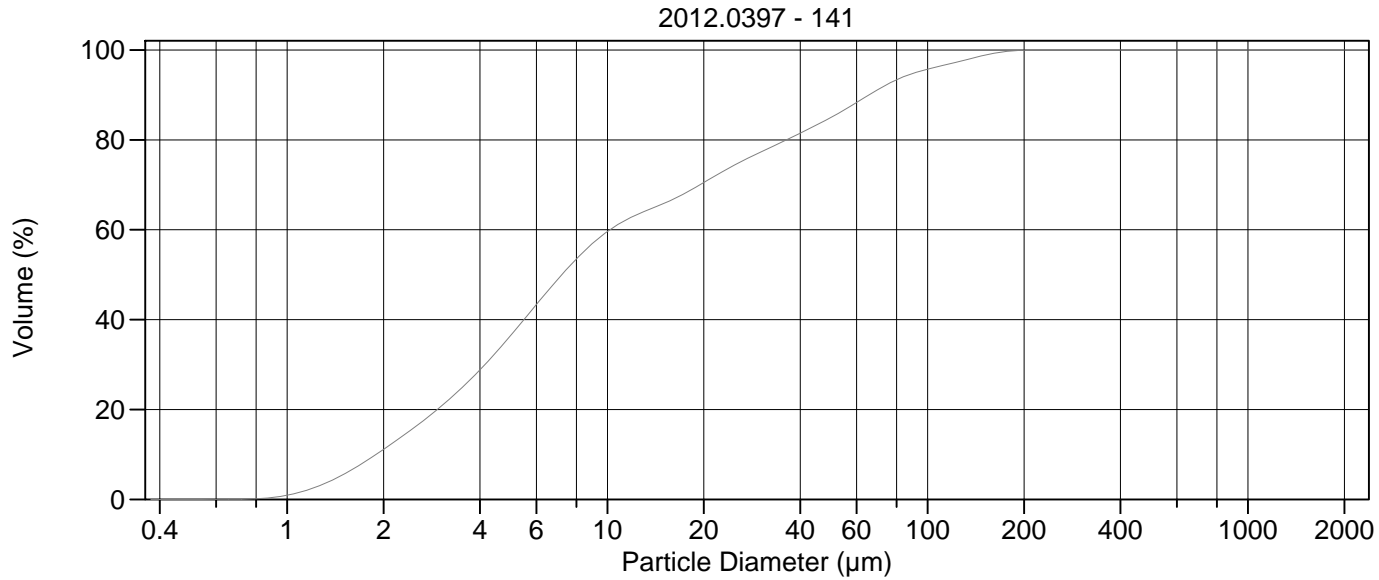
Calculations from 0.375 µm to 2000 µm

Volume	100.0%		
Mean:	24.32 µm	95% Conf. Limits:	0-94.70 µm
Median:	7.590 µm	S.D.:	35.91 µm
D(3,2):	5.159 µm	Variance:	1289 µm ²
Mean/Median Ratio:	3.205	C.V.:	148%
Mode:	5.878 µm	Skewness:	2.483 Right skewed
d ₁₀ :	2.032 µm	Kurtosis:	6.897 Leptokurtic
d ₅₀ :	7.590 µm		
d ₉₀ :	69.61 µm		
Specific Surf. Area	11629 cm ² /ml		

% <	10	25	50	75	90
Size µm	2.032	3.764	7.590	29.76	69.61

140.\$02

Particle Diameter µm	Volume % <	Particle Diameter µm	Volume % <
2.000	9.68	500.0	100
5.000	34.6	1000	100
10.00	57.9	2000	100
15.00	63.8		
20.00	68.3		
25.00	72.2		
50.00	83.5		
60.00	87.0		
63.00	88.0		
70.00	90.1		
75.00	91.3		
90.00	93.8		
125.0	96.5		
200.0	99.7		
250.0	100.0		
400.0	100		



Volume Statistics (Arithmetic) 141.\$02

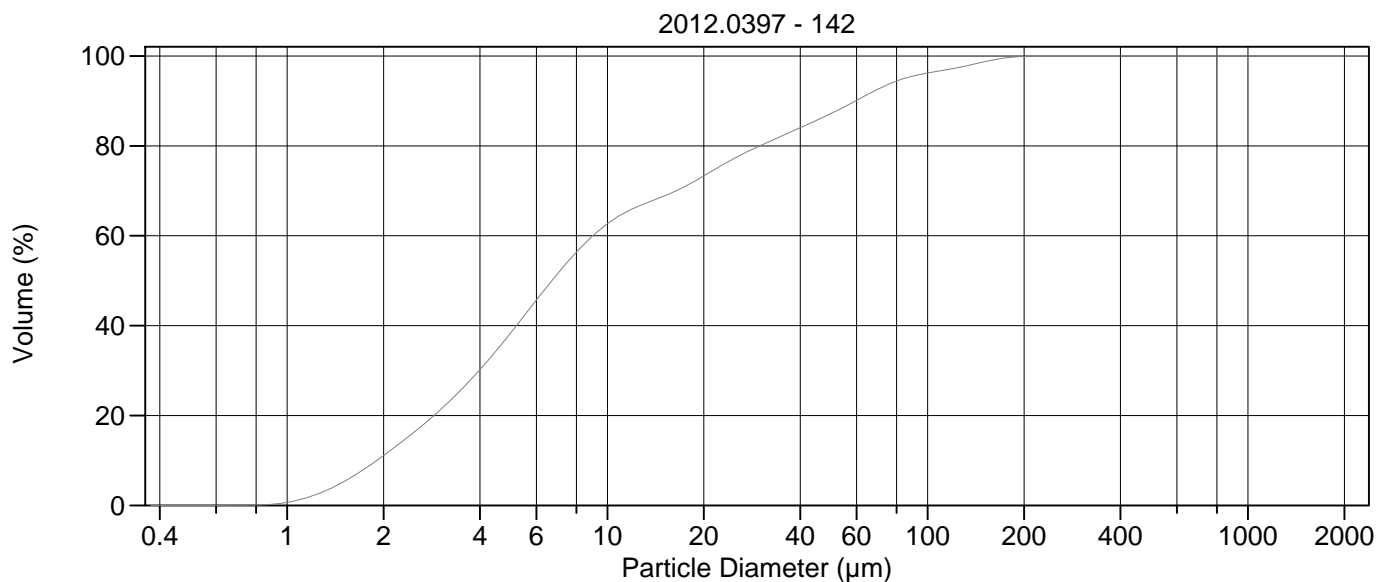
Calculations from 0.375 µm to 2000 µm

Volume	100.0%		
Mean:	22.11 µm	95% Conf. Limits:	0-85.79 µm
Median:	7.210 µm	S.D.:	32.49 µm
D(3,2):	4.812 µm	Variance:	1056 µm ²
Mean/Median Ratio:	3.067	C.V.:	147%
Mode:	5.878 µm	Skewness:	2.423 Right skewed
d ₁₀ :	1.896 µm	Kurtosis:	6.275 Leptokurtic
d ₅₀ :	7.210 µm		
d ₉₀ :	65.61 µm		
Specific Surf. Area	12468 cm ² /ml		

% <	10	25	50	75	90
Size µm	1.896	3.531	7.210	25.91	65.61

141.\$02

Particle Diameter µm	Volume % <	Particle Diameter µm	Volume % <
2.000	11.1	500.0	100
5.000	36.5	1000	100
10.00	59.6	2000	100
15.00	65.8		
20.00	70.5		
25.00	74.5		
50.00	85.0		
60.00	88.3		
63.00	89.2		
70.00	91.2		
75.00	92.4		
90.00	94.8		
125.0	97.4		
200.0	99.9		
250.0	100.0		
400.0	100		



Volume Statistics (Arithmetic)

142#.\$02

Calculations from 0.375 µm to 2000 µm

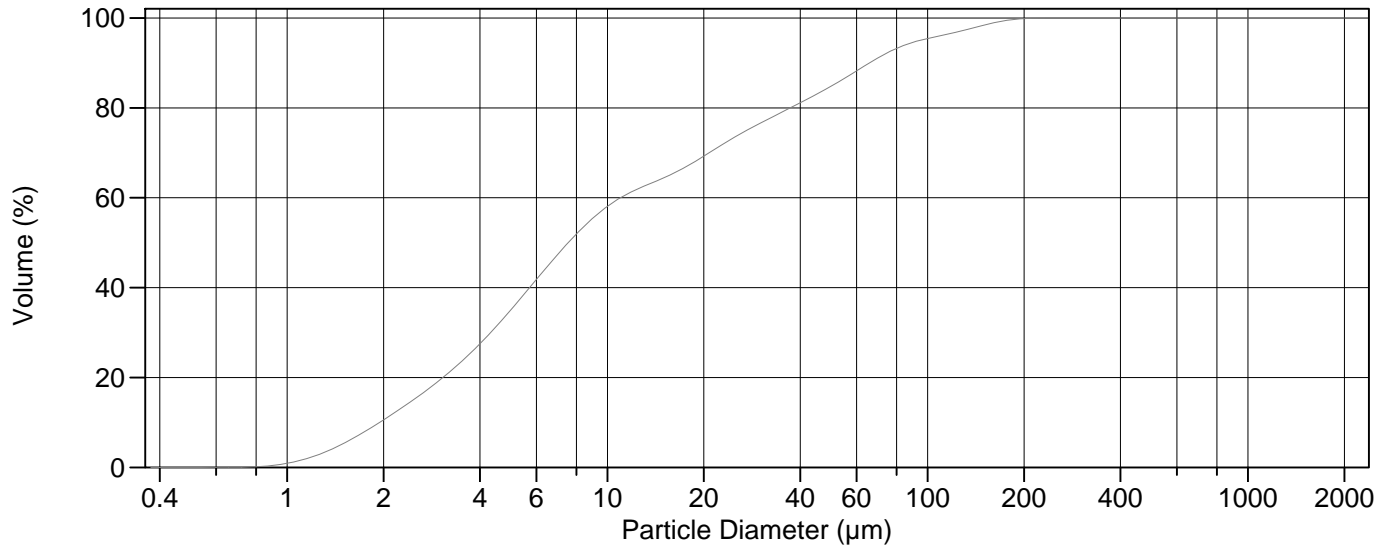
Volume	100.0%		
Mean:	20.24 µm	95% Conf. Limits:	0-81.89 µm
Median:	6.704 µm	S.D.:	31.46 µm
D(3,2):	4.696 µm	Variance:	989.5 µm ²
Mean/Median Ratio:	3.018	C.V.:	155%
Mode:	5.878 µm	Skewness:	2.762 Right skewed
d ₁₀ :	1.907 µm	Kurtosis:	8.490 Leptokurtic
d ₅₀ :	6.704 µm		
d ₉₀ :	59.59 µm		
Specific Surf. Area	12777 cm ² /ml		

% <	10	25	50	75	90
Size µm	1.907	3.414	6.704	21.93	59.59

142#.\$02

Particle Diameter µm	Volume % <	Particle Diameter µm	Volume % <
2.000	11.1	500.0	100
5.000	38.4	1000	100
10.00	62.7	2000	100
15.00	68.8		
20.00	73.3		
25.00	77.3		
50.00	87.2		
60.00	90.1		
63.00	90.9		
70.00	92.6		
75.00	93.6		
90.00	95.5		
125.0	97.5		
200.0	99.9		
250.0	100.0		
400.0	100		

2012.0397 - 143



Volume Statistics (Arithmetic) 143.\$02

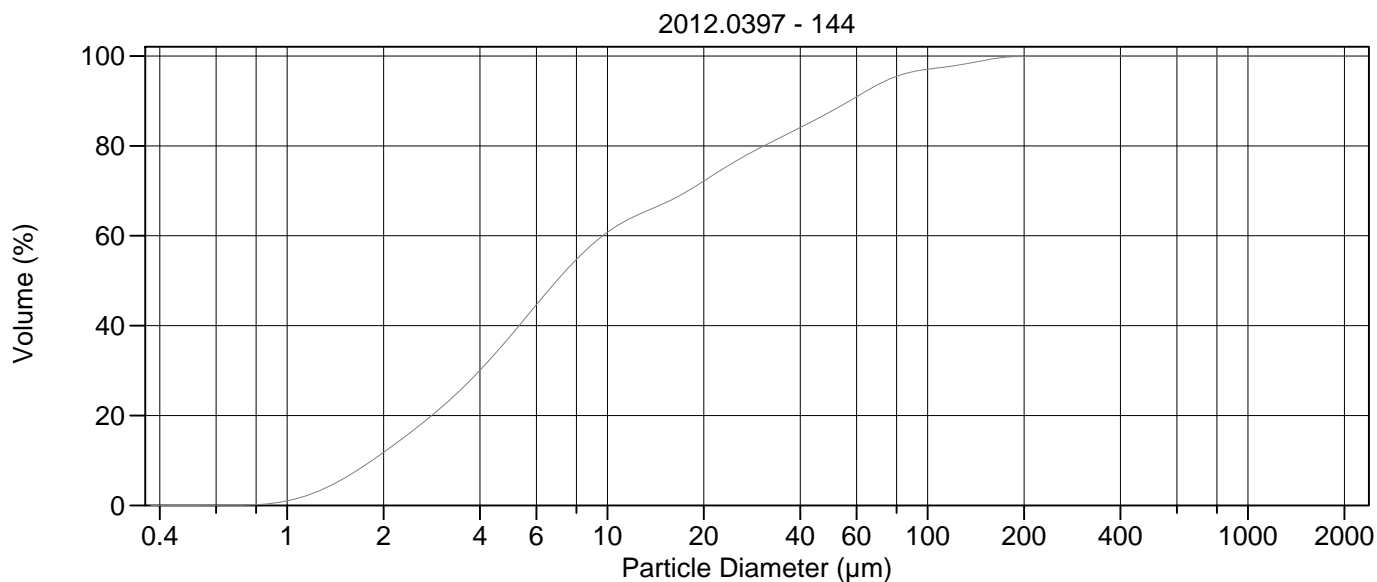
Calculations from 0.375 µm to 2000 µm

Volume	100.0%		
Mean:	22.95 µm	95% Conf. Limits:	0-89.23 µm
Median:	7.545 µm	S.D.:	33.82 µm
D(3,2):	4.968 µm	Variance:	1144 µm ²
Mean/Median Ratio:	3.042	C.V.:	147%
Mode:	5.878 µm	Skewness:	2.514 Right skewed
d ₁₀ :	1.944 µm	Kurtosis:	6.921 Leptokurtic
d ₅₀ :	7.545 µm		
d ₉₀ :	65.89 µm		
Specific Surf. Area	12078 cm ² /ml		

% <	10	25	50	75	90
Size µm	1.944	3.681	7.545	27.22	65.89

143.\$02

Particle Diameter µm	Volume % <	Particle Diameter µm	Volume % <
2.000	10.6	500.0	100
5.000	35.1	1000	100
10.00	58.1	2000	100
15.00	64.4		
20.00	69.3		
25.00	73.5		
50.00	84.8		
60.00	88.2		
63.00	89.2		
70.00	91.1		
75.00	92.3		
90.00	94.6		
125.0	97.0		
200.0	99.8		
250.0	100.0		
400.0	100		



Volume Statistics (Arithmetic) 144.\$02

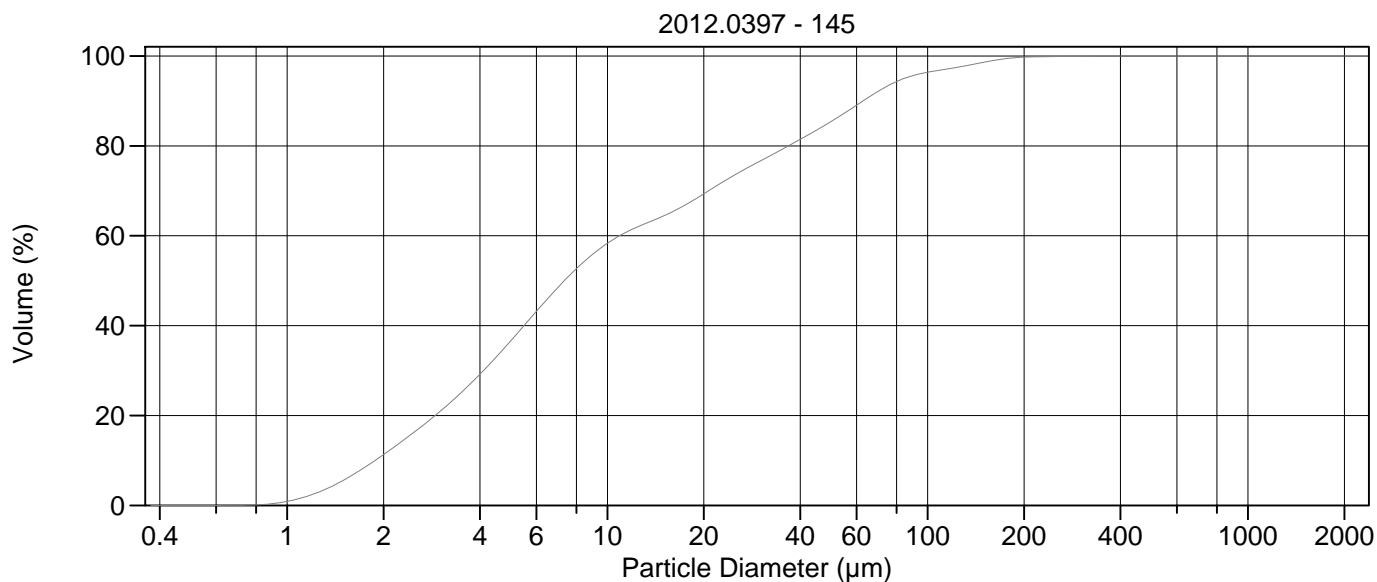
Calculations from 0.375 µm to 2000 µm

Volume	100.0%		
Mean:	19.72 µm	95% Conf. Limits:	0-76.97 µm
Median:	6.956 µm	S.D.:	29.21 µm
D(3,2):	4.646 µm	Variance:	853.3 µm ²
Mean/Median Ratio:	2.834	C.V.:	148%
Mode:	5.878 µm	Skewness:	2.737 Right skewed
d ₁₀ :	1.844 µm	Kurtosis:	8.781 Leptokurtic
d ₅₀ :	6.956 µm		
d ₉₀ :	57.03 µm		
Specific Surf. Area	12914 cm ² /ml		

% <	10	25	50	75	90
Size µm	1.844	3.397	6.956	23.08	57.03

144.\$02

Particle Diameter µm	Volume % <	Particle Diameter µm	Volume % <
2.000	11.8	500.0	100
5.000	37.8	1000	100
10.00	60.8	2000	100
15.00	67.2		
20.00	72.2		
25.00	76.5		
50.00	87.7		
60.00	90.9		
63.00	91.8		
70.00	93.6		
75.00	94.7		
90.00	96.5		
125.0	98.0		
200.0	100.0		
250.0	100.0		
400.0	100		



Volume Statistics (Arithmetic) 145.\$02

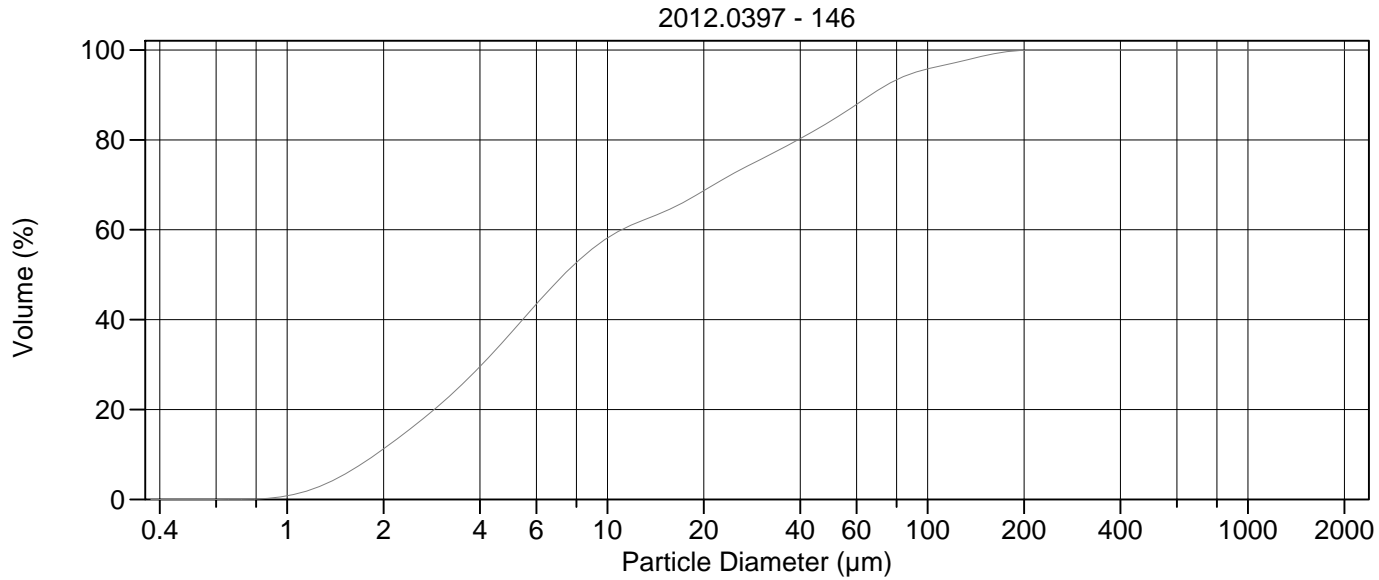
Calculations from 0.375 µm to 2000 µm

Volume	100.0%		
Mean:	22.14 µm	95% Conf. Limits:	0-86.89 µm
Median:	7.337 µm	S.D.:	33.04 µm
D(3,2):	4.822 µm	Variance:	1091 µm ²
Mean/Median Ratio:	3.017	C.V.:	149%
Mode:	5.355 µm	Skewness:	2.954 Right skewed
d ₁₀ :	1.883 µm	Kurtosis:	12.19 Leptokurtic
d ₅₀ :	7.337 µm		
d ₉₀ :	62.82 µm		
Specific Surf. Area	12444 cm ² /ml		

% <	10	25	50	75	90
Size µm	1.883	3.483	7.337	27.16	62.82

145.\$02

Particle Diameter µm	Volume % <	Particle Diameter µm	Volume % <
2.000	11.3	500.0	100
5.000	36.7	1000	100
10.00	58.3	2000	100
15.00	64.4		
20.00	69.3		
25.00	73.6		
50.00	85.4		
60.00	89.0		
63.00	90.1		
70.00	92.1		
75.00	93.3		
90.00	95.6		
125.0	97.5		
200.0	99.7		
250.0	99.9		
400.0	100.0		



Volume Statistics (Arithmetic) 146.\$02

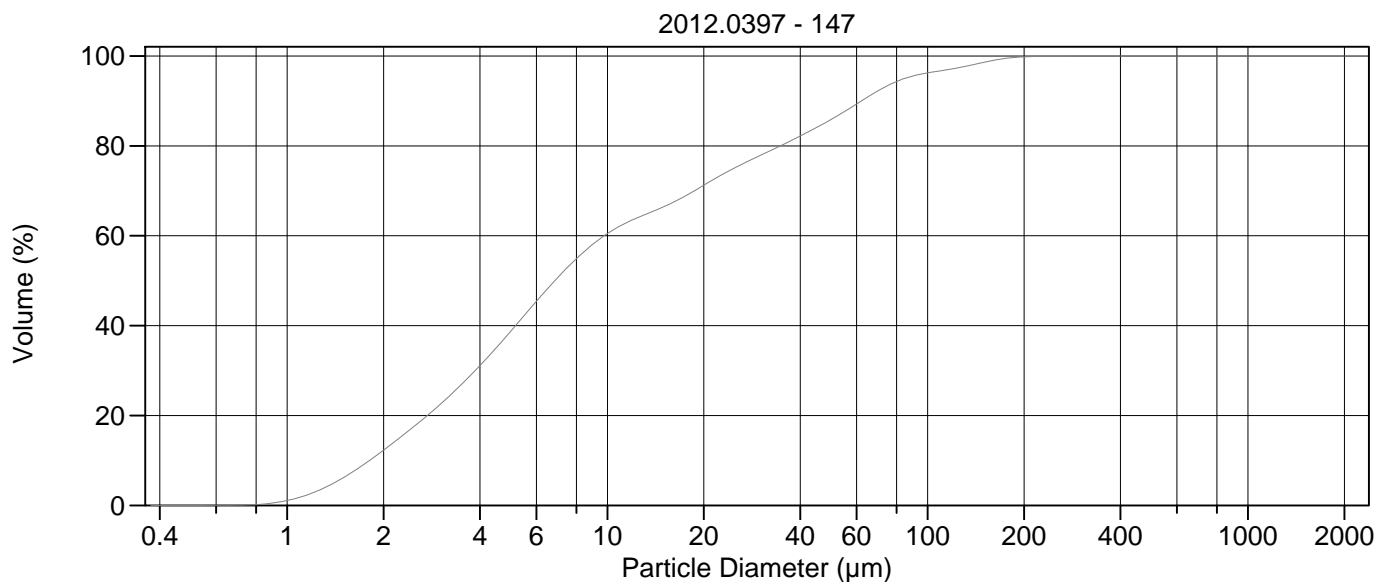
Calculations from 0.375 µm to 2000 µm

Volume	100.0%		
Mean:	22.87 µm	95% Conf. Limits:	0-87.44 µm
Median:	7.308 µm	S.D.:	32.94 µm
D(3,2):	4.837 µm	Variance:	1085 µm ²
Mean/Median Ratio:	3.129	C.V.:	144%
Mode:	5.355 µm	Skewness:	2.381 Right skewed
d ₁₀ :	1.891 µm	Kurtosis:	6.238 Leptokurtic
d ₅₀ :	7.308 µm		
d ₉₀ :	66.42 µm		
Specific Surf. Area	12403 cm ² /ml		

% <	10	25	50	75	90
Size µm	1.891	3.447	7.308	28.87	66.42

146.\$02

Particle Diameter µm	Volume % <	Particle Diameter µm	Volume % <
2.000	11.2	500.0	100
5.000	37.0	1000	100
10.00	58.2	2000	100
15.00	64.0		
20.00	68.7		
25.00	72.7		
50.00	84.3		
60.00	87.9		
63.00	88.9		
70.00	91.1		
75.00	92.3		
90.00	94.8		
125.0	97.4		
200.0	99.9		
250.0	100.0		
400.0	100		



Volume Statistics (Arithmetic) 147#.\$02

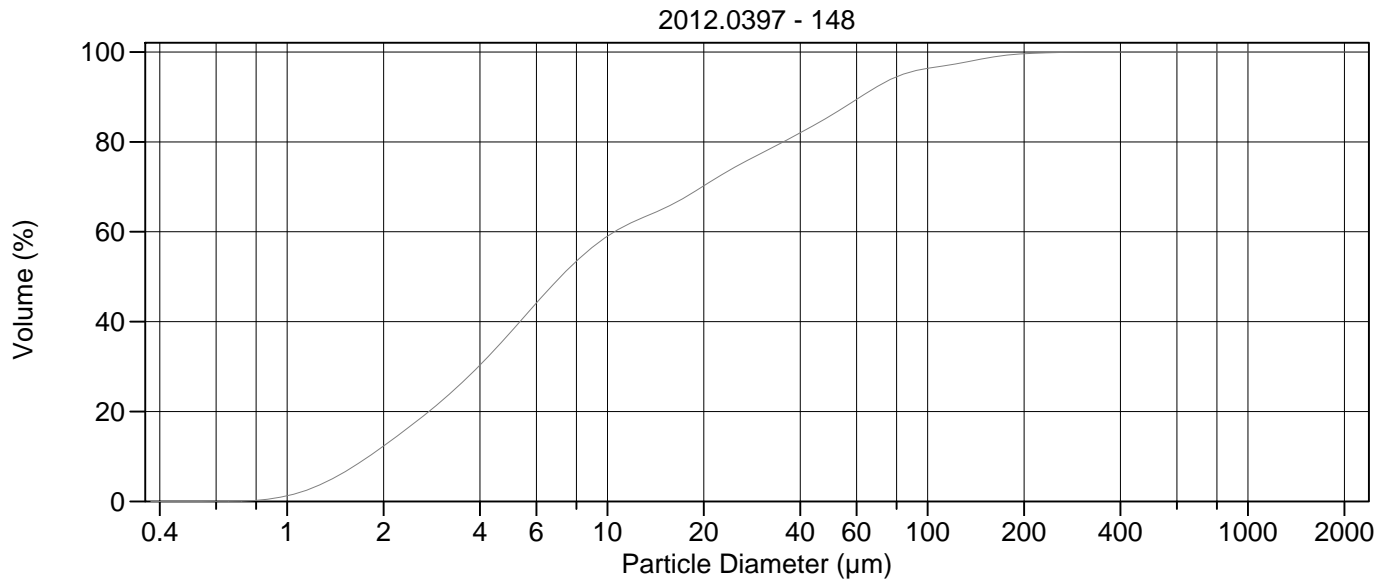
Calculations from 0.375 µm to 2000 µm

Volume	100.0%		
Mean:	21.39 µm	95% Conf. Limits:	0-85.53 µm
Median:	6.854 µm	S.D.:	32.73 µm
D(3,2):	4.579 µm	Variance:	1071 µm ²
Mean/Median Ratio:	3.121	C.V.:	153%
Mode:	5.355 µm	Skewness:	2.856 Right skewed
d ₁₀ :	1.810 µm	Kurtosis:	10.60 Leptokurtic
d ₅₀ :	6.854 µm		
d ₉₀ :	62.16 µm		
Specific Surf. Area	13104 cm ² /ml		

% <	10	25	50	75	90
Size µm	1.810	3.284	6.854	24.79	62.16

147#.\$02

Particle Diameter µm	Volume % <	Particle Diameter µm	Volume % <
2.000	12.3	500.0	100
5.000	38.8	1000	100
10.00	60.5	2000	100
15.00	66.5		
20.00	71.2		
25.00	75.1		
50.00	85.9		
60.00	89.3		
63.00	90.3		
70.00	92.3		
75.00	93.4		
90.00	95.5		
125.0	97.4		
200.0	99.8		
250.0	99.9		
400.0	100.0		



Volume Statistics (Arithmetic) 148.\$02

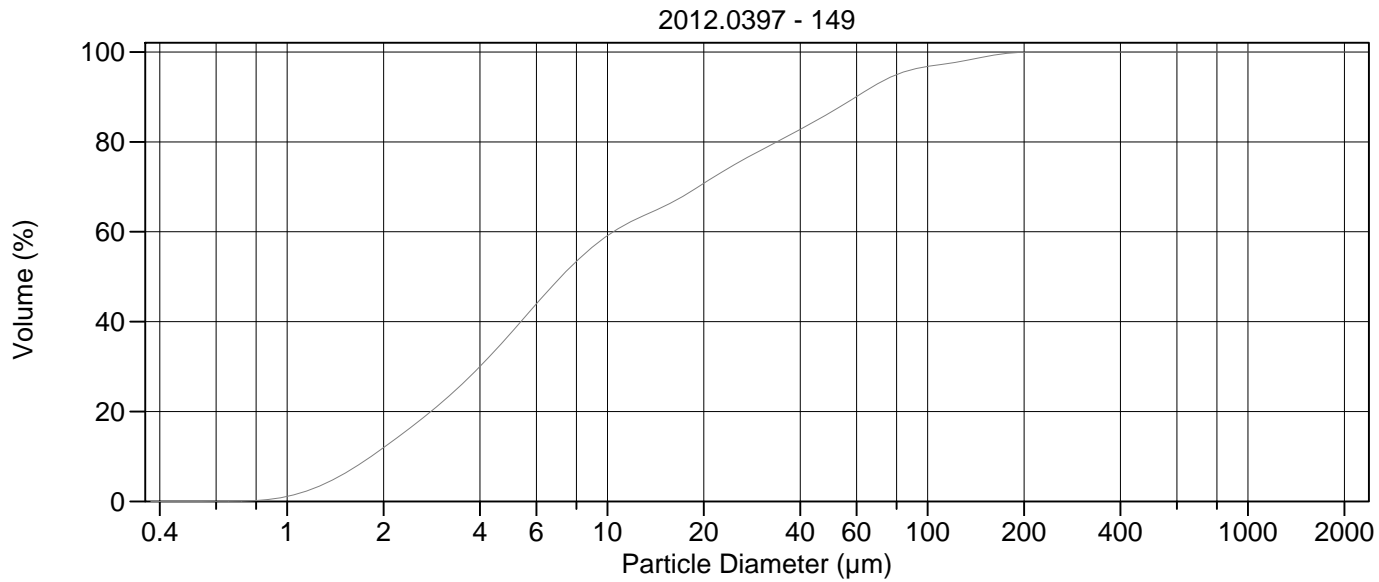
Calculations from 0.375 µm to 2000 µm

Volume	100.0%		
Mean:	21.79 µm	95% Conf. Limits:	0-87.28 µm
Median:	7.152 µm	S.D.:	33.42 µm
D(3,2):	4.620 µm	Variance:	1117 µm ²
Mean/Median Ratio:	3.047	C.V.:	153%
Mode:	5.355 µm	Skewness:	3.061 Right skewed
d ₁₀ :	1.799 µm	Kurtosis:	12.57 Leptokurtic
d ₅₀ :	7.152 µm		
d ₉₀ :	61.68 µm		
Specific Surf. Area	12986 cm ² /ml		

% <	10	25	50	75	90
Size µm	1.799	3.346	7.152	25.97	61.68

148.\$02

Particle Diameter µm	Volume % <	Particle Diameter µm	Volume % <
2.000	12.3	500.0	100
5.000	37.7	1000	100
10.00	59.0	2000	100
15.00	65.2		
20.00	70.2		
25.00	74.4		
50.00	85.9		
60.00	89.4		
63.00	90.4		
70.00	92.4		
75.00	93.6		
90.00	95.7		
125.0	97.5		
200.0	99.6		
250.0	99.9		
400.0	100.0		



Volume Statistics (Arithmetic) 149.\$02

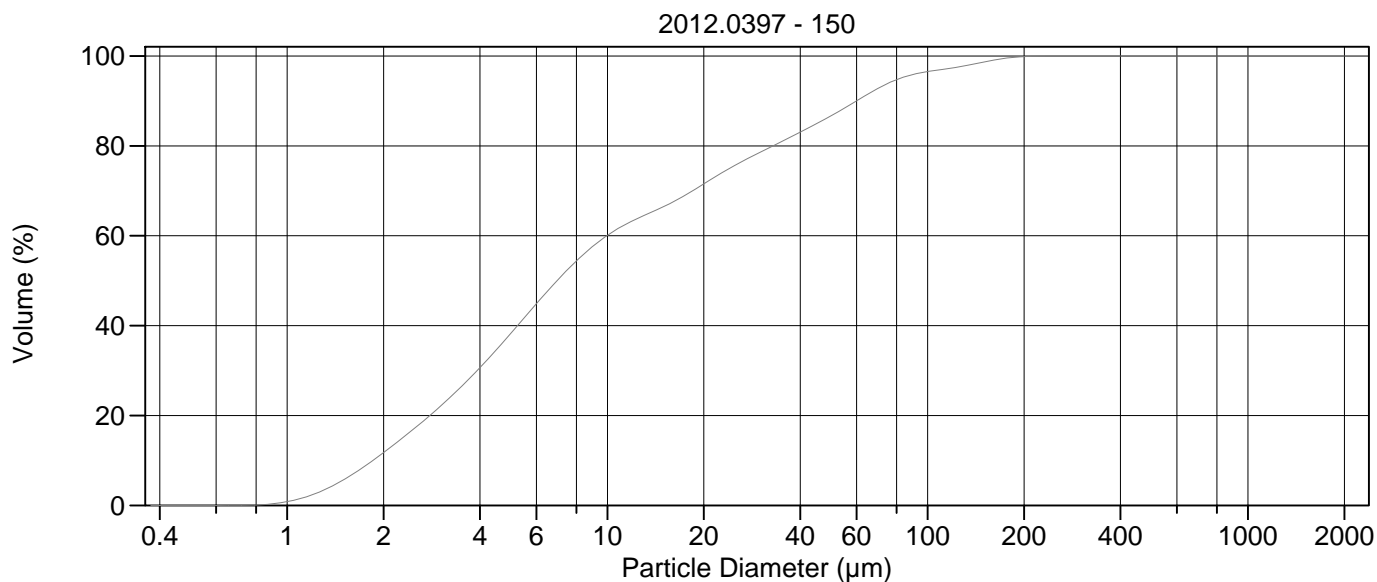
Calculations from 0.375 µm to 2000 µm

Volume	100.0%		
Mean:	20.74 µm	95% Conf. Limits:	0-80.07 µm
Median:	7.177 µm	S.D.:	30.27 µm
D(3,2):	4.670 µm	Variance:	916.1 µm ²
Mean/Median Ratio:	2.890	C.V.:	146%
Mode:	5.355 µm	Skewness:	2.621 Right skewed
d ₁₀ :	1.829 µm	Kurtosis:	7.984 Leptokurtic
d ₅₀ :	7.177 µm		
d ₉₀ :	59.75 µm		
Specific Surf. Area	12849 cm ² /ml		

% <	10	25	50	75	90
Size µm	1.829	3.386	7.177	25.00	59.75

149.\$02

Particle Diameter µm	Volume % <	Particle Diameter µm	Volume % <
2.000	12.0	500.0	100
5.000	37.5	1000	100
10.00	59.1	2000	100
15.00	65.6		
20.00	70.8		
25.00	75.0		
50.00	86.6		
60.00	90.1		
63.00	91.0		
70.00	93.0		
75.00	94.1		
90.00	96.1		
125.0	97.8		
200.0	99.9		
250.0	100.0		
400.0	100		



Volume Statistics (Arithmetic) 150.\$02

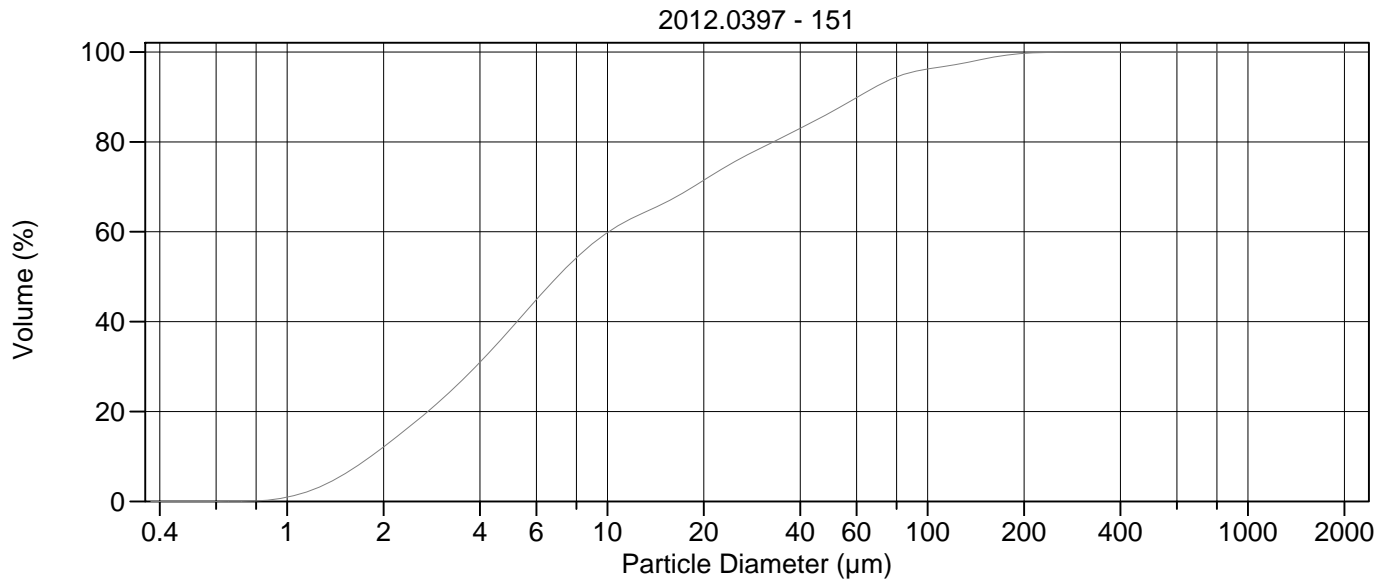
Calculations from 0.375 µm to 2000 µm

Volume	100.0%		
Mean:	20.79 µm	95% Conf. Limits:	0-82.24 µm
Median:	6.967 µm	S.D.:	31.35 µm
D(3,2):	4.671 µm	Variance:	983.1 µm ²
Mean/Median Ratio:	2.984	C.V.:	151%
Mode:	5.355 µm	Skewness:	2.746 Right skewed
d ₁₀ :	1.853 µm	Kurtosis:	8.782 Leptokurtic
d ₅₀ :	6.967 µm		
d ₉₀ :	60.05 µm		
Specific Surf. Area	12844 cm ² /ml		

% <	10	25	50	75	90
Size µm	1.853	3.335	6.967	24.08	60.05

150.\$02

Particle Diameter µm	Volume % <	Particle Diameter µm	Volume % <
2.000	11.8	500.0	100
5.000	38.3	1000	100
10.00	60.1	2000	100
15.00	66.5		
20.00	71.5		
25.00	75.7		
50.00	86.7		
60.00	90.0		
63.00	90.9		
70.00	92.8		
75.00	93.9		
90.00	95.9		
125.0	97.6		
200.0	99.9		
250.0	100.0		
400.0	100		



Volume Statistics (Arithmetic) 151.\$02

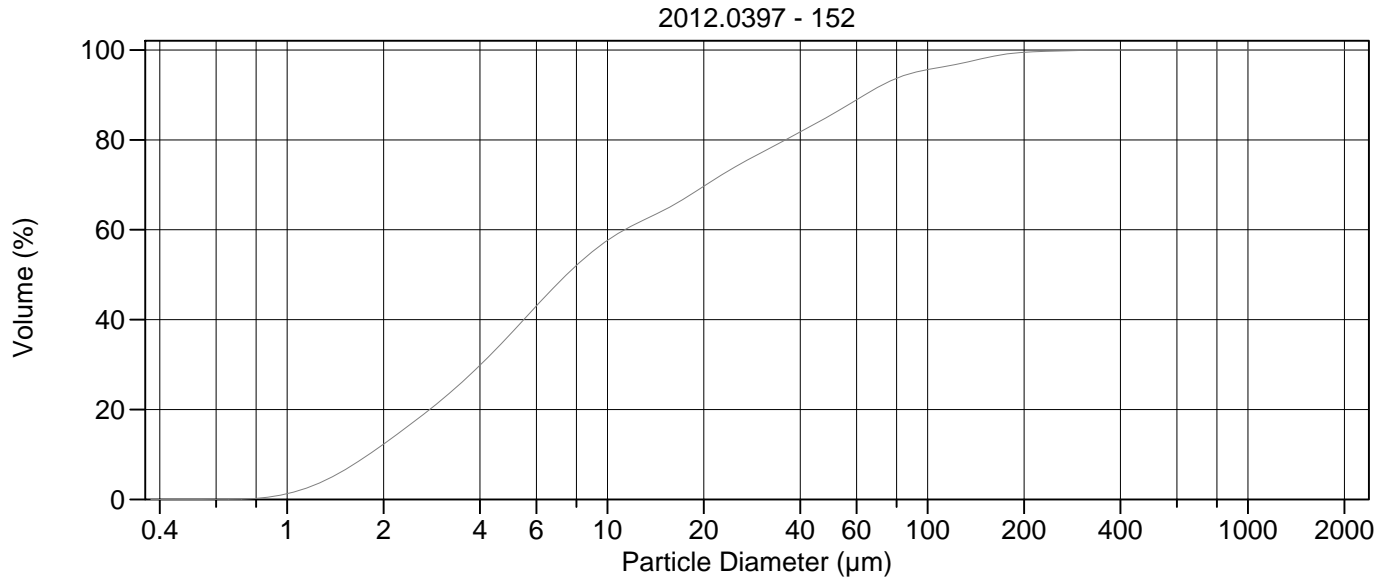
Calculations from 0.375 µm to 2000 µm

Volume	100.0%		
Mean:	21.25 µm	95% Conf. Limits:	0-85.96 µm
Median:	6.990 µm	S.D.:	33.02 µm
D(3,2):	4.625 µm	Variance:	1090 µm ²
Mean/Median Ratio:	3.040	C.V.:	155%
Mode:	5.355 µm	Skewness:	2.968 Right skewed
d ₁₀ :	1.825 µm	Kurtosis:	10.92 Leptokurtic
d ₅₀ :	6.990 µm		
d ₉₀ :	60.56 µm		
Specific Surf. Area	12973 cm ² /ml		

% <	10	25	50	75	90
Size µm	1.825	3.293	6.990	24.16	60.56

151.\$02

Particle Diameter µm	Volume % <	Particle Diameter µm	Volume % <
2.000	12.1	500.0	100
5.000	38.5	1000	100
10.00	59.8	2000	100
15.00	66.3		
20.00	71.5		
25.00	75.6		
50.00	86.6		
60.00	89.8		
63.00	90.7		
70.00	92.6		
75.00	93.6		
90.00	95.6		
125.0	97.3		
200.0	99.7		
250.0	99.9		
400.0	100.0		



Volume Statistics (Arithmetic) 152.\$02

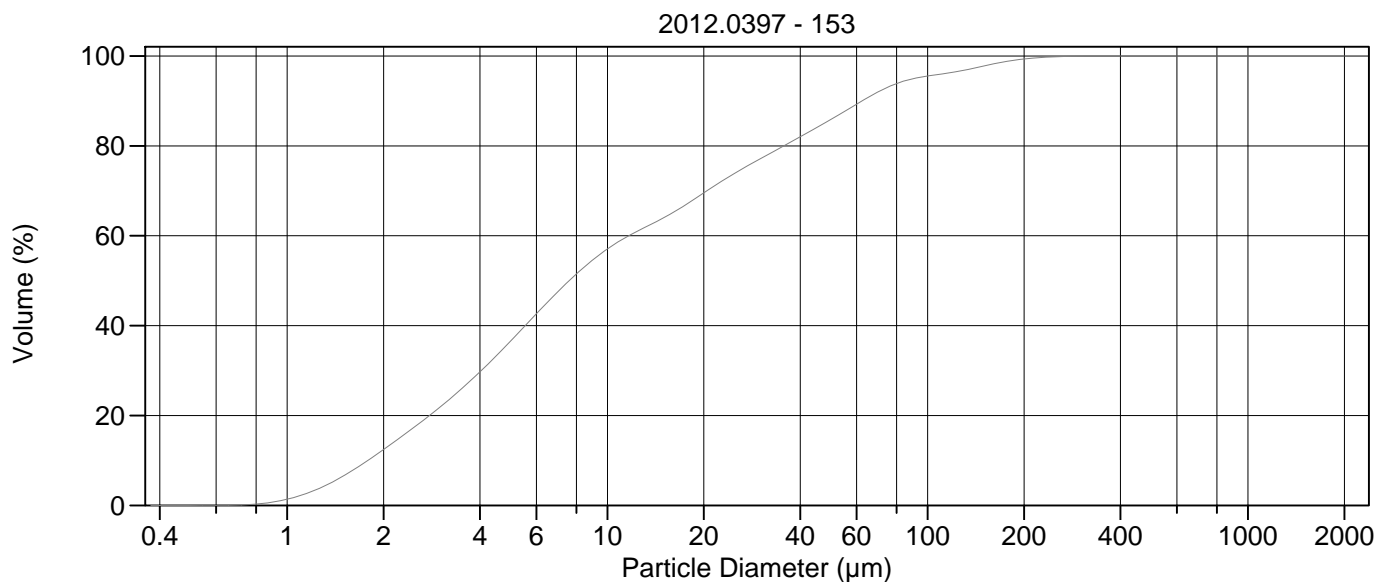
Calculations from 0.375 µm to 2000 µm

Volume	100.0%		
Mean:	22.88 µm	95% Conf. Limits:	0-93.26 µm
Median:	7.454 µm	S.D.:	35.91 µm
D(3,2):	4.675 µm	Variance:	1290 µm ²
Mean/Median Ratio:	3.069	C.V.:	157%
Mode:	5.355 µm	Skewness:	3.194 Right skewed
d ₁₀ :	1.799 µm	Kurtosis:	13.83 Leptokurtic
d ₅₀ :	7.454 µm		
d ₉₀ :	63.56 µm		
Specific Surf. Area	12835 cm ² /ml		

% <	10	25	50	75	90
Size µm	1.799	3.380	7.454	26.59	63.56

152.\$02

Particle Diameter µm	Volume % <	Particle Diameter µm	Volume % <
2.000	12.3	500.0	100
5.000	36.9	1000	100
10.00	57.6	2000	100
15.00	64.3		
20.00	69.7		
25.00	74.0		
50.00	85.6		
60.00	88.9		
63.00	89.8		
70.00	91.7		
75.00	92.8		
90.00	94.9		
125.0	96.9		
200.0	99.5		
250.0	99.8		
400.0	100.0		



Volume Statistics (Arithmetic) 153.\$02

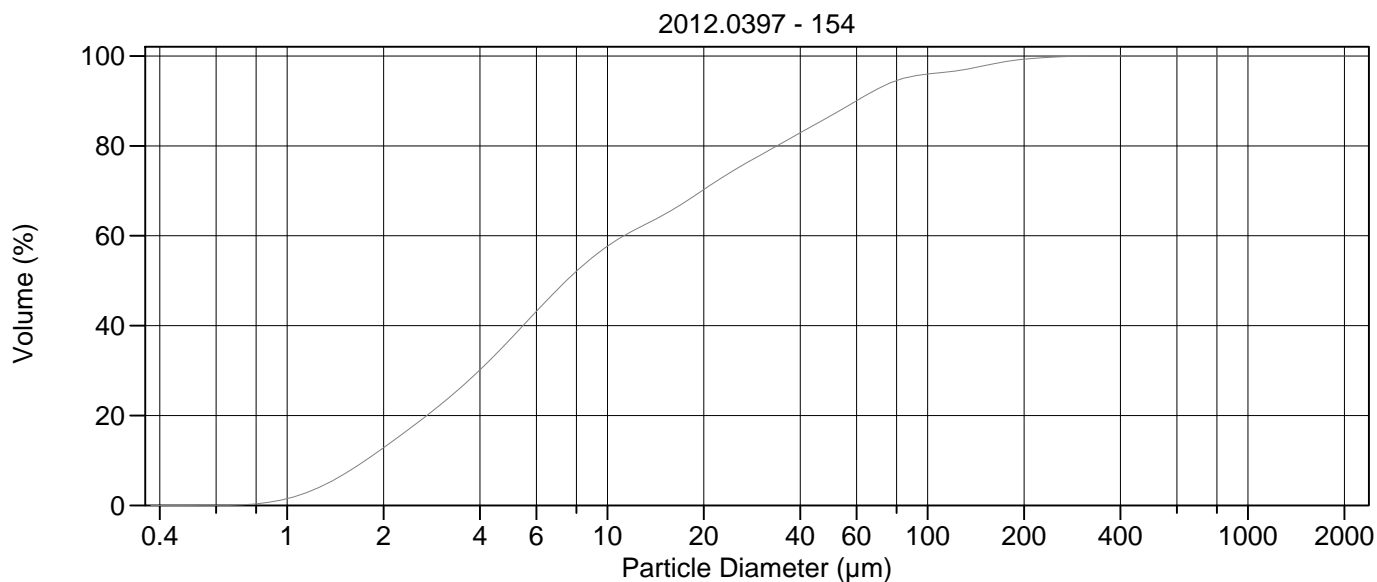
Calculations from 0.375 µm to 2000 µm

Volume	100.0%		
Mean:	23.04 µm	95% Conf. Limits:	0-94.41 µm
Median:	7.598 µm	S.D.:	36.41 µm
D(3,2):	4.668 µm	Variance:	1326 µm ²
Mean/Median Ratio:	3.032	C.V.:	158%
Mode:	5.355 µm	Skewness:	3.100 Right skewed
d ₁₀ :	1.788 µm	Kurtosis:	11.80 Leptokurtic
d ₅₀ :	7.598 µm		
d ₉₀ :	62.45 µm		
Specific Surf. Area	12852 cm ² /ml		

% <	10	25	50	75	90
Size µm	1.788	3.386	7.598	26.55	62.45

153.\$02

Particle Diameter µm	Volume % <	Particle Diameter µm	Volume % <
2.000	12.4	500.0	100
5.000	36.6	1000	100
10.00	57.1	2000	100
15.00	64.0		
20.00	69.5		
25.00	73.9		
50.00	85.9		
60.00	89.2		
63.00	90.2		
70.00	92.0		
75.00	93.0		
90.00	94.9		
125.0	96.6		
200.0	99.3		
250.0	99.8		
400.0	100.0		



Volume Statistics (Arithmetic) 154.\$02

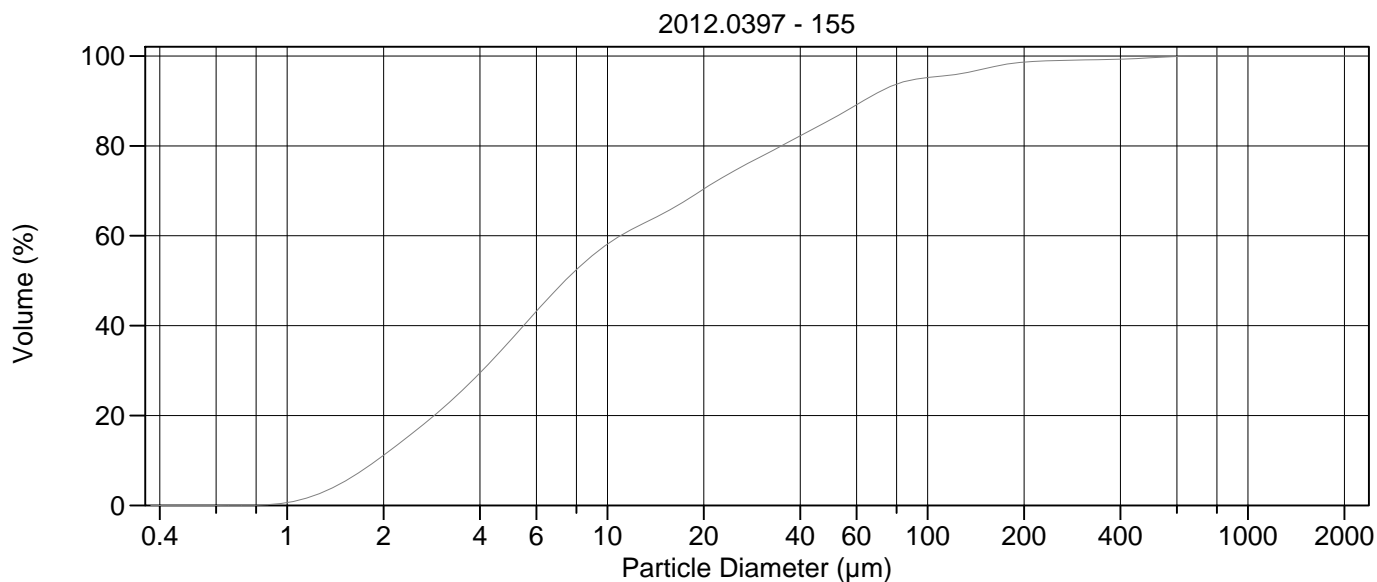
Calculations from 0.375 µm to 2000 µm

Volume	100.0%		
Mean:	22.30 µm	95% Conf. Limits:	0-92.91 µm
Median:	7.440 µm	S.D.:	36.02 µm
D(3,2):	4.577 µm	Variance:	1298 µm ²
Mean/Median Ratio:	2.997	C.V.:	162%
Mode:	5.355 µm	Skewness:	3.351 Right skewed
d ₁₀ :	1.756 µm	Kurtosis:	14.19 Leptokurtic
d ₅₀ :	7.440 µm		
d ₉₀ :	59.88 µm		
Specific Surf. Area	13110 cm ² /ml		

% <	10	25	50	75	90
Size µm	1.756	3.329	7.440	25.43	59.88

154.\$02

Particle Diameter µm	Volume % <	Particle Diameter µm	Volume % <
2.000	12.8	500.0	100
5.000	37.1	1000	100
10.00	57.7	2000	100
15.00	64.7		
20.00	70.3		
25.00	74.7		
50.00	86.8		
60.00	90.0		
63.00	90.9		
70.00	92.8		
75.00	93.8		
90.00	95.5		
125.0	96.8		
200.0	99.3		
250.0	99.8		
400.0	100.0		



Volume Statistics (Arithmetic)

155#.\$02

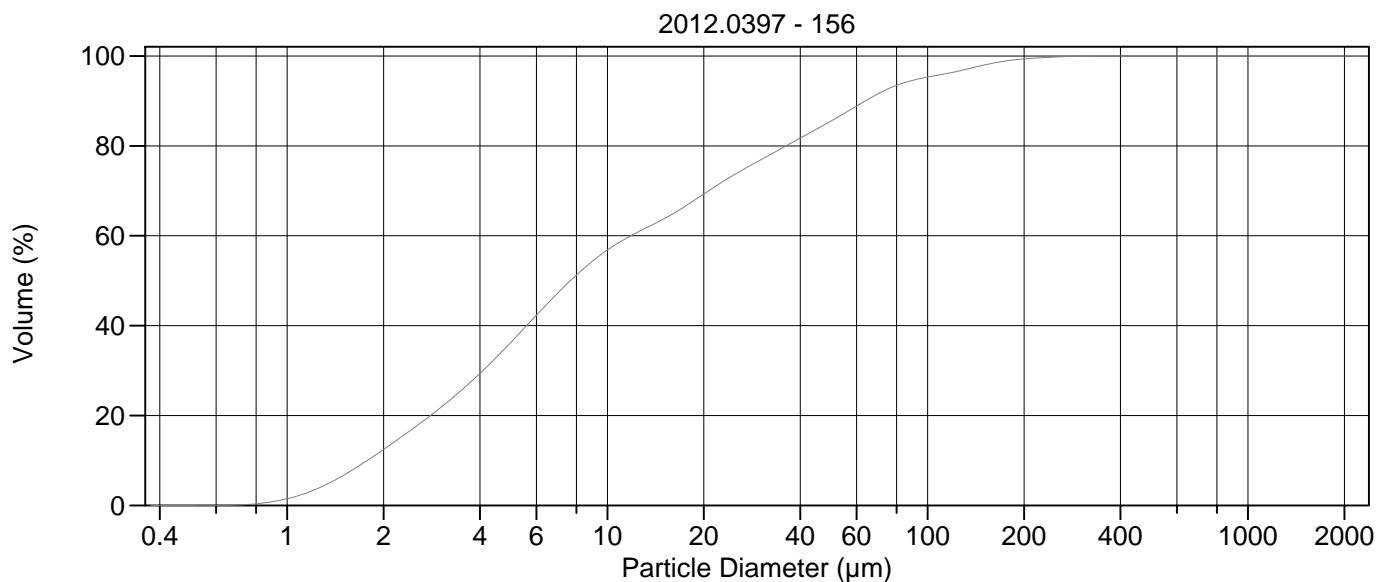
Calculations from 0.375 µm to 2000 µm

Volume	100.0%		
Mean:	25.94 µm	95% Conf. Limits:	0-135.5 µm
Median:	7.375 µm	S.D.:	55.89 µm
D(3,2):	4.856 µm	Variance:	3124 µm ²
Mean/Median Ratio:	3.518	C.V.:	215%
Mode:	5.355 µm	Skewness:	6.072 Right skewed
d ₁₀ :	1.903 µm	Kurtosis:	48.25 Leptokurtic
d ₅₀ :	7.375 µm		
d ₉₀ :	62.87 µm		
Specific Surf. Area	12356 cm ² /ml		

% <	10	25	50	75	90
Size µm	1.903	3.449	7.375	25.71	62.87

155#.\$02

Particle Diameter µm	Volume % <	Particle Diameter µm	Volume % <
2.000	11.1	500.0	99.6
5.000	36.8	1000	100
10.00	58.1	2000	100
15.00	65.0		
20.00	70.4		
25.00	74.5		
50.00	85.9		
60.00	89.1		
63.00	90.0		
70.00	91.9		
75.00	92.9		
90.00	94.7		
125.0	96.0		
200.0	98.6		
250.0	99.0		
400.0	99.3		



Volume Statistics (Arithmetic) 156.\$02

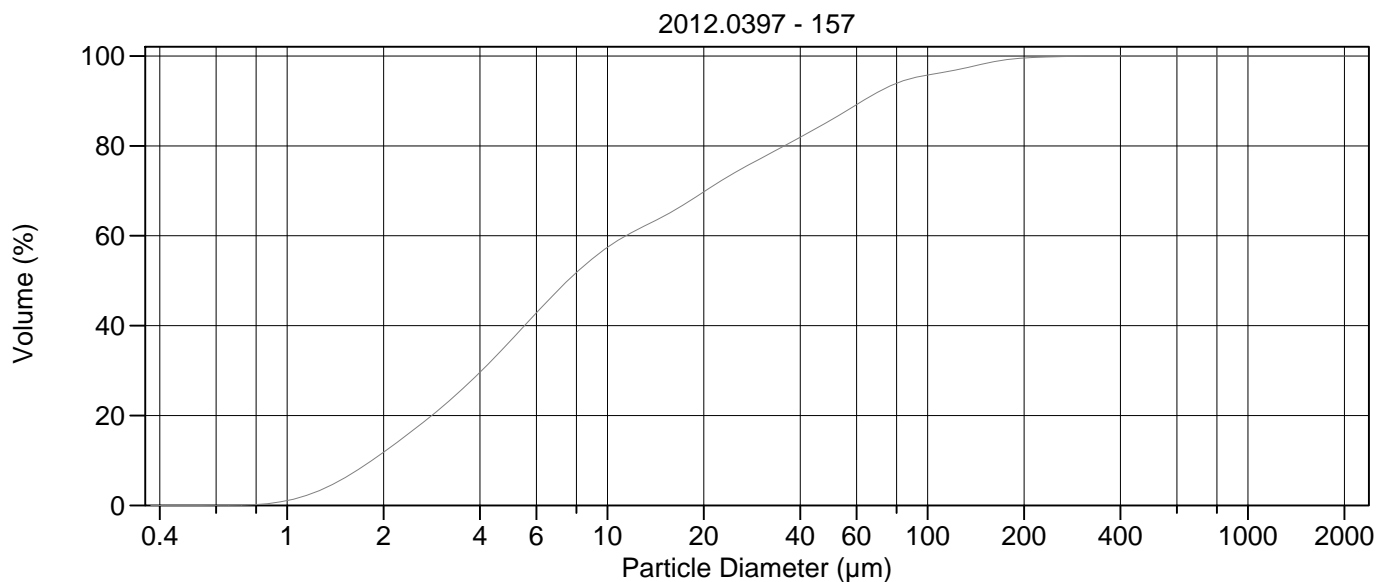
Calculations from 0.375 µm to 2000 µm

Volume	100.0%		
Mean:	23.32 µm	95% Conf. Limits:	0-95.17 µm
Median:	7.667 µm	S.D.:	36.65 µm
D(3,2):	4.673 µm	Variance:	1344 µm ²
Mean/Median Ratio:	3.042	C.V.:	157%
Mode:	5.878 µm	Skewness:	3.107 Right skewed
d ₁₀ :	1.782 µm	Kurtosis:	12.32 Leptokurtic
d ₅₀ :	7.667 µm		
d ₉₀ :	63.88 µm		
Specific Surf. Area	12840 cm ² /ml		

% <	10	25	50	75	90
Size µm	1.782	3.422	7.667	26.95	63.88

156.\$02

Particle Diameter µm	Volume % <	Particle Diameter µm	Volume % <
2.000	12.4	500.0	100
5.000	36.3	1000	100
10.00	56.8	2000	100
15.00	63.7		
20.00	69.3		
25.00	73.7		
50.00	85.5		
60.00	88.8		
63.00	89.8		
70.00	91.6		
75.00	92.6		
90.00	94.6		
125.0	96.7		
200.0	99.4		
250.0	99.8		
400.0	100.0		



Volume Statistics (Arithmetic) 157.\$02

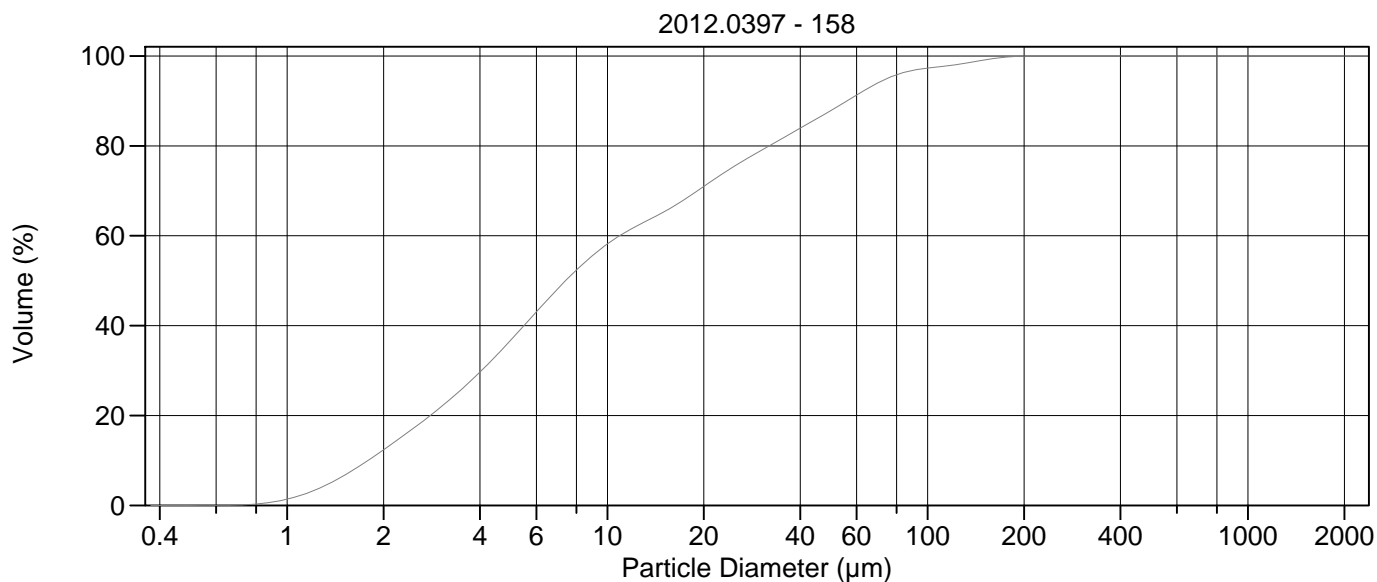
Calculations from 0.375 µm to 2000 µm

Volume	100.0%		
Mean:	22.58 µm	95% Conf. Limits:	0-90.90 µm
Median:	7.519 µm	S.D.:	34.86 µm
D(3,2):	4.751 µm	Variance:	1215 µm ²
Mean/Median Ratio:	3.003	C.V.:	154%
Mode:	5.355 µm	Skewness:	3.049 Right skewed
d ₁₀ :	1.840 µm	Kurtosis:	12.07 Leptokurtic
d ₅₀ :	7.519 µm		
d ₉₀ :	62.70 µm		
Specific Surf. Area	12629 cm ² /ml		

% <	10	25	50	75	90
Size µm	1.840	3.414	7.519	26.42	62.70

157.\$02

Particle Diameter µm	Volume % <	Particle Diameter µm	Volume % <
2.000	11.8	500.0	100
5.000	36.7	1000	100
10.00	57.4	2000	100
15.00	64.4		
20.00	69.8		
25.00	74.1		
50.00	85.8		
60.00	89.1		
63.00	90.1		
70.00	92.0		
75.00	93.1		
90.00	95.1		
125.0	97.0		
200.0	99.5		
250.0	99.8		
400.0	100.0		



Volume Statistics (Arithmetic) 158.\$02

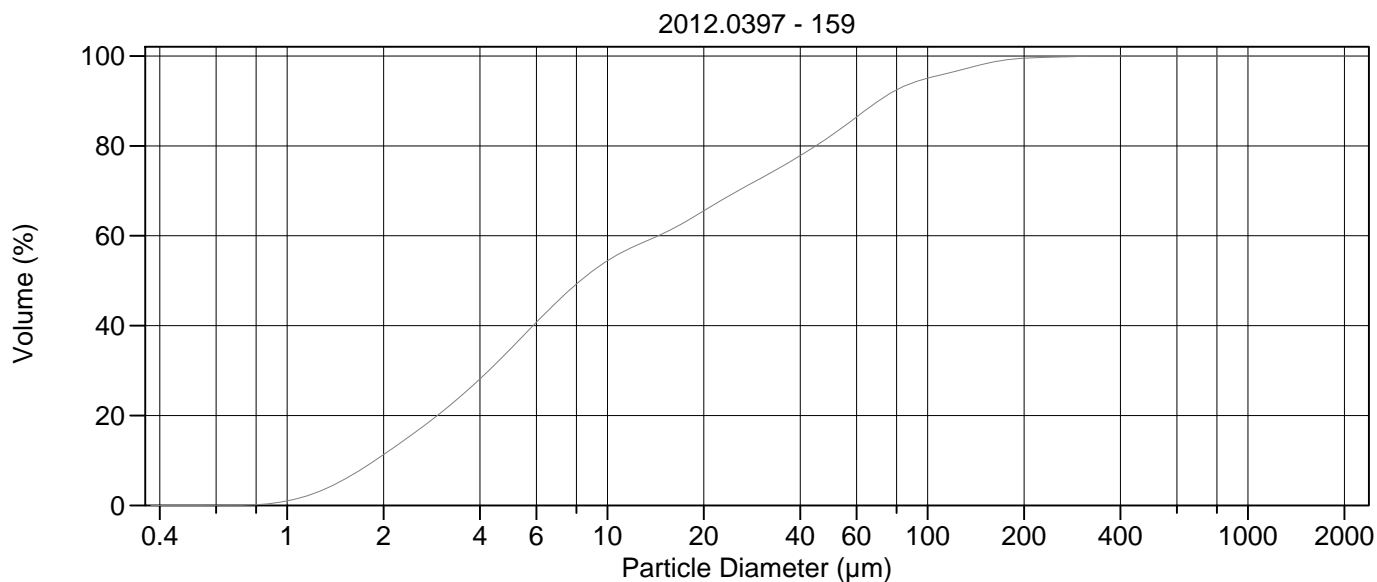
Calculations from 0.375 µm to 2000 µm

Volume	100.0%		
Mean:	19.86 µm	95% Conf. Limits:	0-75.59 µm
Median:	7.398 µm	S.D.:	28.44 µm
D(3,2):	4.627 µm	Variance:	808.6 µm ²
Mean/Median Ratio:	2.684	C.V.:	143%
Mode:	5.878 µm	Skewness:	2.712 Right skewed
d ₁₀ :	1.791 µm	Kurtosis:	8.896 Leptokurtic
d ₅₀ :	7.398 µm		
d ₉₀ :	56.03 µm		
Specific Surf. Area	12968 cm ² /ml		

% <	10	25	50	75	90
Size µm	1.791	3.401	7.398	24.31	56.03

158.\$02

Particle Diameter µm	Volume % <	Particle Diameter µm	Volume % <
2.000	12.4	500.0	100
5.000	36.8	1000	100
10.00	58.2	2000	100
15.00	65.3		
20.00	71.0		
25.00	75.6		
50.00	87.9		
60.00	91.3		
63.00	92.2		
70.00	94.0		
75.00	95.1		
90.00	96.8		
125.0	98.2		
200.0	100.0		
250.0	100.0		
400.0	100		



Volume Statistics (Arithmetic) 159.\$02

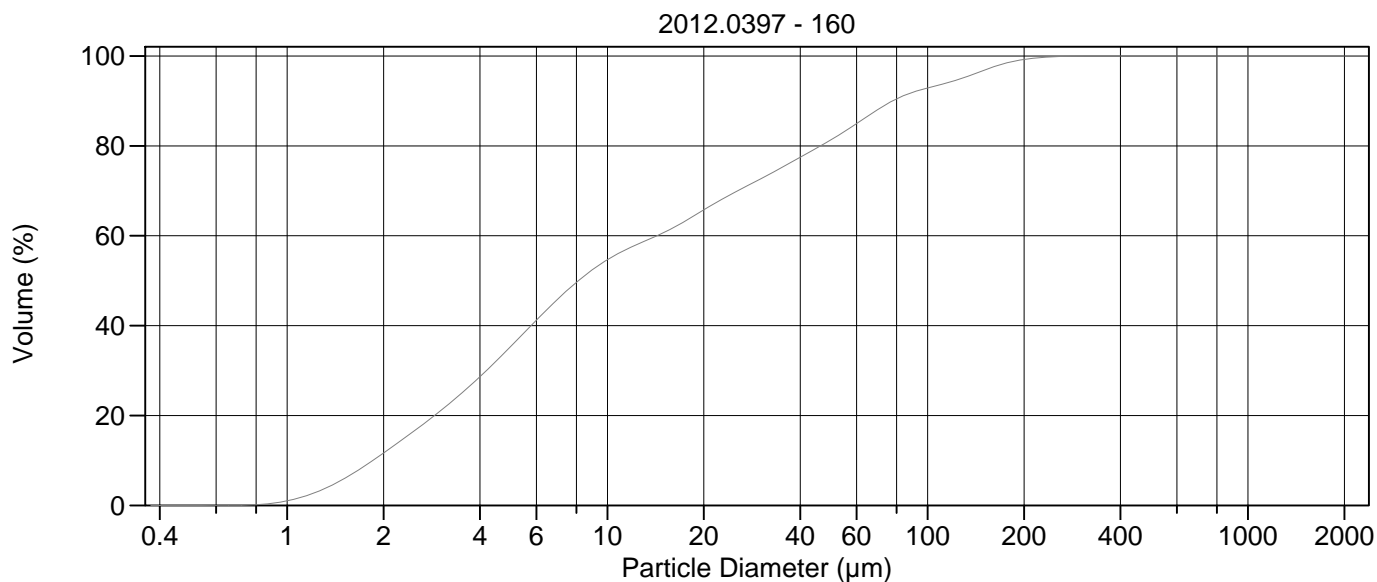
Calculations from 0.375 µm to 2000 µm

Volume	100.0%		
Mean:	25.54 µm	95% Conf. Limits:	0-98.43 µm
Median:	8.231 µm	S.D.:	37.19 µm
D(3,2):	4.991 µm	Variance:	1383 µm ²
Mean/Median Ratio:	3.102	C.V.:	146%
Mode:	5.355 µm	Skewness:	2.801 Right skewed
d ₁₀ :	1.882 µm	Kurtosis:	10.96 Leptokurtic
d ₅₀ :	8.231 µm		
d ₉₀ :	70.14 µm		
Specific Surf. Area	12021 cm ² /ml		

% <	10	25	50	75	90
Size µm	1.882	3.575	8.231	34.28	70.14

159.\$02

Particle Diameter µm	Volume % <	Particle Diameter µm	Volume % <
2.000	11.3	500.0	100
5.000	34.9	1000	100
10.00	54.4	2000	100
15.00	60.6		
20.00	65.5		
25.00	69.6		
50.00	82.3		
60.00	86.4		
63.00	87.6		
70.00	90.0		
75.00	91.3		
90.00	94.1		
125.0	96.8		
200.0	99.5		
250.0	99.8		
400.0	100.0		



Volume Statistics (Arithmetic) 160.\$02

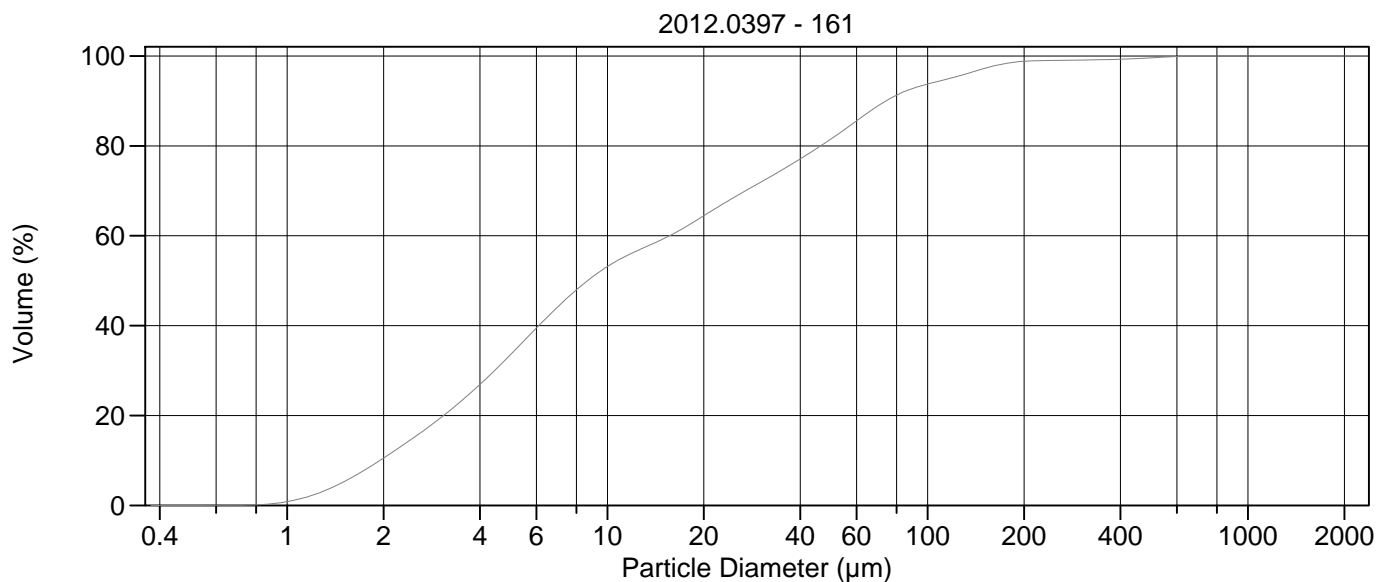
Calculations from 0.375 µm to 2000 µm

Volume	100.0%		
Mean:	27.76 µm	95% Conf. Limits:	0-109.7 µm
Median:	8.115 µm	S.D.:	41.79 µm
D(3,2):	4.933 µm	Variance:	1746 µm ²
Mean/Median Ratio:	3.421	C.V.:	151%
Mode:	5.355 µm	Skewness:	2.466 Right skewed
d ₁₀ :	1.854 µm	Kurtosis:	6.664 Leptokurtic
d ₅₀ :	8.115 µm		
d ₉₀ :	77.72 µm		
Specific Surf. Area	12163 cm ² /ml		

% <	10	25	50	75	90
Size µm	1.854	3.508	8.115	34.68	77.72

160.\$02

Particle Diameter µm	Volume % <	Particle Diameter µm	Volume % <
2.000	11.6	500.0	100
5.000	35.4	1000	100
10.00	54.7	2000	100
15.00	60.7		
20.00	65.7		
25.00	69.7		
50.00	81.4		
60.00	84.9		
63.00	86.0		
70.00	88.1		
75.00	89.4		
90.00	91.9		
125.0	94.8		
200.0	99.2		
250.0	99.8		
400.0	100		



Volume Statistics (Arithmetic) 161.\$02

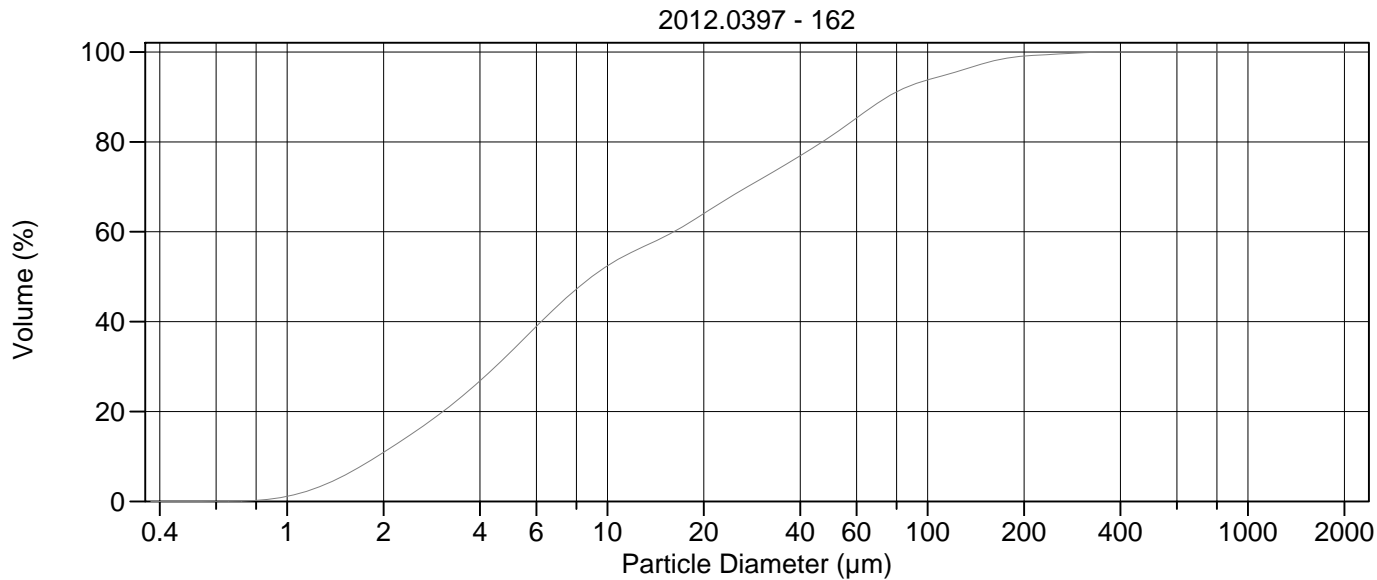
Calculations from 0.375 µm to 2000 µm

Volume	100.0%		
Mean:	29.91 µm	95% Conf. Limits:	0-141.8 µm
Median:	8.677 µm	S.D.:	57.08 µm
D(3,2):	5.194 µm	Variance:	3258 µm ²
Mean/Median Ratio:	3.447	C.V.:	191%
Mode:	5.355 µm	Skewness:	5.605 Right skewed
d ₁₀ :	1.950 µm	Kurtosis:	43.38 Leptokurtic
d ₅₀ :	8.677 µm		
d ₉₀ :	74.10 µm		
Specific Surf. Area	11553 cm ² /ml		

% <	10	25	50	75	90
Size µm	1.950	3.736	8.677	35.78	74.10

161.\$02

Particle Diameter µm	Volume % <	Particle Diameter µm	Volume % <
2.000	10.5	500.0	99.6
5.000	33.6	1000	100
10.00	53.1	2000	100
15.00	59.4		
20.00	64.4		
25.00	68.7		
50.00	81.6		
60.00	85.6		
63.00	86.7		
70.00	88.9		
75.00	90.2		
90.00	92.8		
125.0	95.5		
200.0	98.8		
250.0	99.0		
400.0	99.3		



Volume Statistics (Arithmetic) 162.\$02

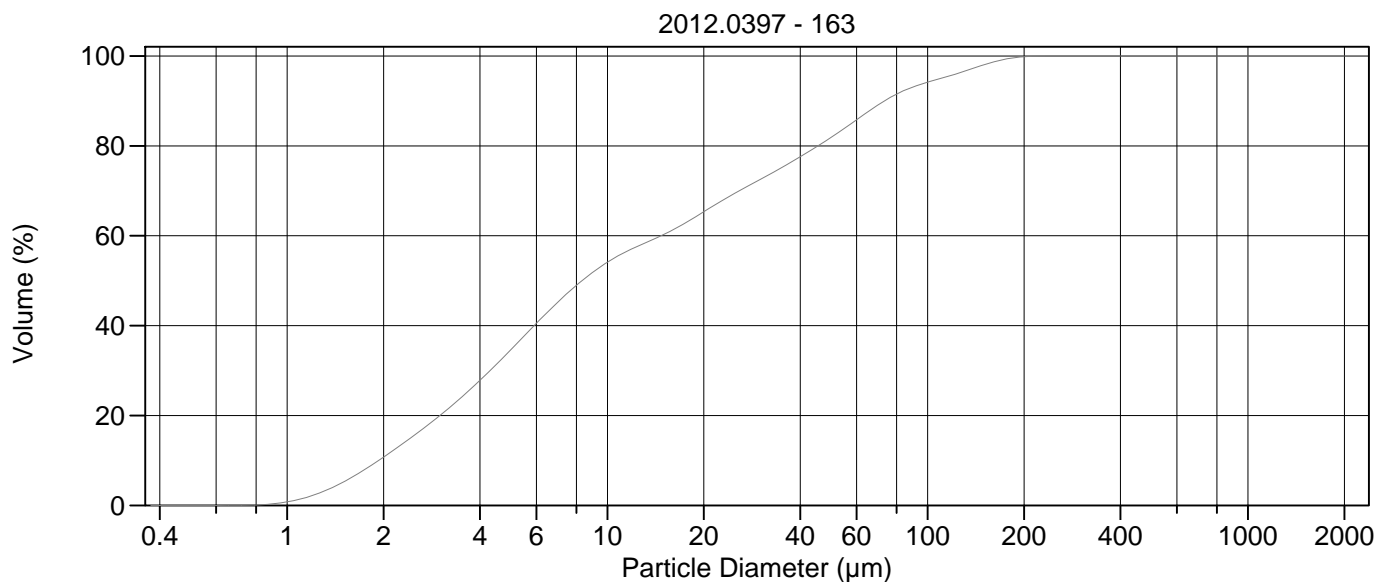
Calculations from 0.375 µm to 2000 µm

Volume	100.0%		
Mean:	27.85 µm	95% Conf. Limits:	0-109.8 µm
Median:	8.931 µm	S.D.:	41.79 µm
D(3,2):	5.137 µm	Variance:	1746 µm ²
Mean/Median Ratio:	3.119	C.V.:	150%
Mode:	5.355 µm	Skewness:	2.946 Right skewed
d ₁₀ :	1.911 µm	Kurtosis:	11.71 Leptokurtic
d ₅₀ :	8.931 µm		
d ₉₀ :	74.88 µm		
Specific Surf. Area	11681 cm ² /ml		

% <	10	25	50	75	90
Size µm	1.911	3.743	8.931	36.13	74.88

162.\$02

Particle Diameter µm	Volume % <	Particle Diameter µm	Volume % <
2.000	10.9	500.0	100
5.000	33.3	1000	100
10.00	52.4	2000	100
15.00	58.8		
20.00	64.0		
25.00	68.4		
50.00	81.3		
60.00	85.3		
63.00	86.4		
70.00	88.7		
75.00	90.0		
90.00	92.7		
125.0	95.7		
200.0	99.1		
250.0	99.5		
400.0	100.0		



Volume Statistics (Arithmetic) 163.\$02

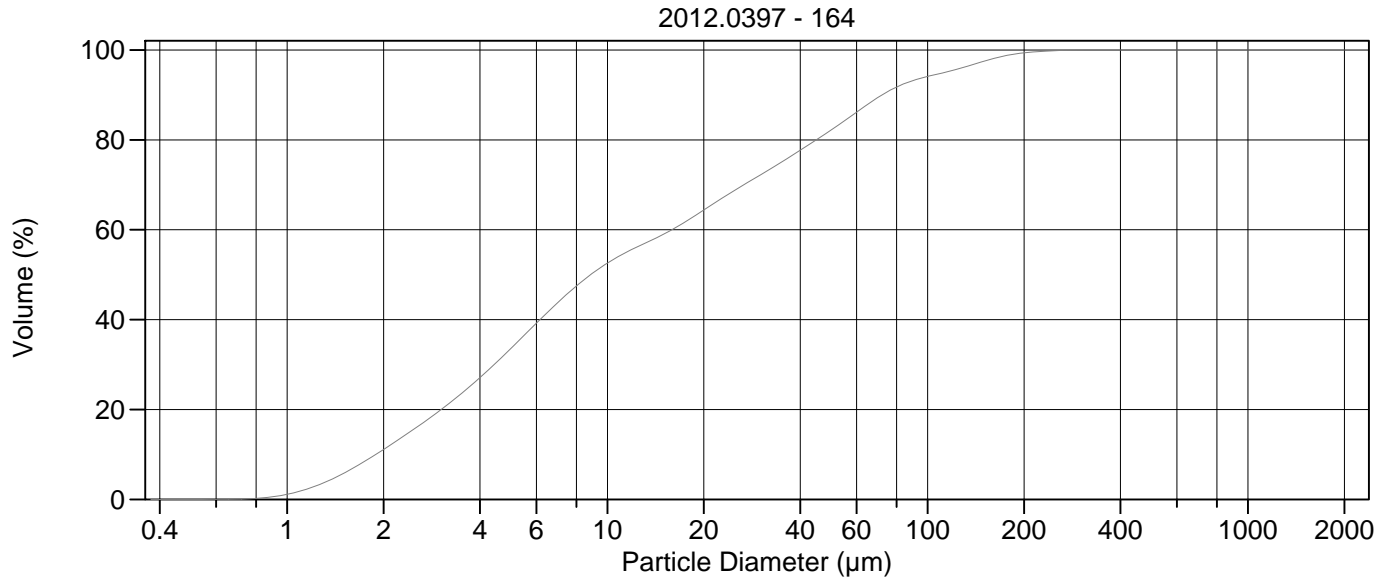
Calculations from 0.375 µm to 2000 µm

Volume	100.0%		
Mean:	26.02 µm	95% Conf. Limits:	0-97.77 µm
Median:	8.330 µm	S.D.:	36.61 µm
D(3,2):	5.101 µm	Variance:	1340 µm ²
Mean/Median Ratio:	3.123	C.V.:	141%
Mode:	5.355 µm	Skewness:	2.220 Right skewed
d ₁₀ :	1.932 µm	Kurtosis:	5.085 Leptokurtic
d ₅₀ :	8.330 µm		
d ₉₀ :	73.34 µm		
Specific Surf. Area	11762 cm ² /ml		

% <	10	25	50	75	90
Size µm	1.932	3.625	8.330	34.69	73.34

163.\$02

Particle Diameter µm	Volume % <	Particle Diameter µm	Volume % <
2.000	10.7	500.0	100
5.000	34.7	1000	100
10.00	54.1	2000	100
15.00	60.3		
20.00	65.3		
25.00	69.5		
50.00	81.9		
60.00	85.8		
63.00	86.9		
70.00	89.1		
75.00	90.4		
90.00	93.1		
125.0	96.2		
200.0	99.8		
250.0	100.0		
400.0	100		



Volume Statistics (Arithmetic)

164#.\$02

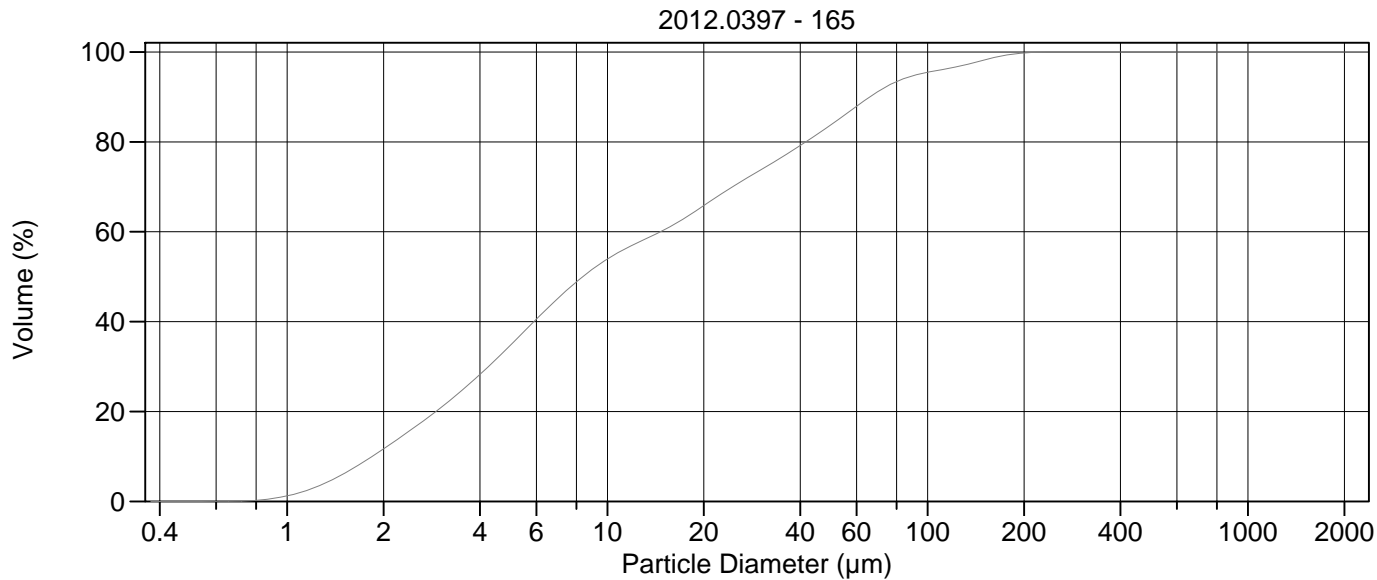
Calculations from 0.375 µm to 2000 µm

Volume	100.0%		
Mean:	26.80 µm	95% Conf. Limits:	0-103.2 µm
Median:	8.861 µm	S.D.:	38.97 µm
D(3,2):	5.090 µm	Variance:	1519 µm ²
Mean/Median Ratio:	3.024	C.V.:	145%
Mode:	5.355 µm	Skewness:	2.591 Right skewed
d ₁₀ :	1.893 µm	Kurtosis:	8.031 Leptokurtic
d ₅₀ :	8.861 µm		
d ₉₀ :	72.10 µm		
Specific Surf. Area	11787 cm ² /ml		

% <	10	25	50	75	90
Size µm	1.893	3.701	8.861	34.88	72.10

164#.\$02

Particle Diameter µm	Volume % <	Particle Diameter µm	Volume % <
2.000	11.1	500.0	100
5.000	33.6	1000	100
10.00	52.6	2000	100
15.00	59.0		
20.00	64.4		
25.00	68.8		
50.00	82.2		
60.00	86.2		
63.00	87.3		
70.00	89.5		
75.00	90.7		
90.00	93.2		
125.0	95.8		
200.0	99.4		
250.0	99.8		
400.0	100.0		



Volume Statistics (Arithmetic) 165.\$02

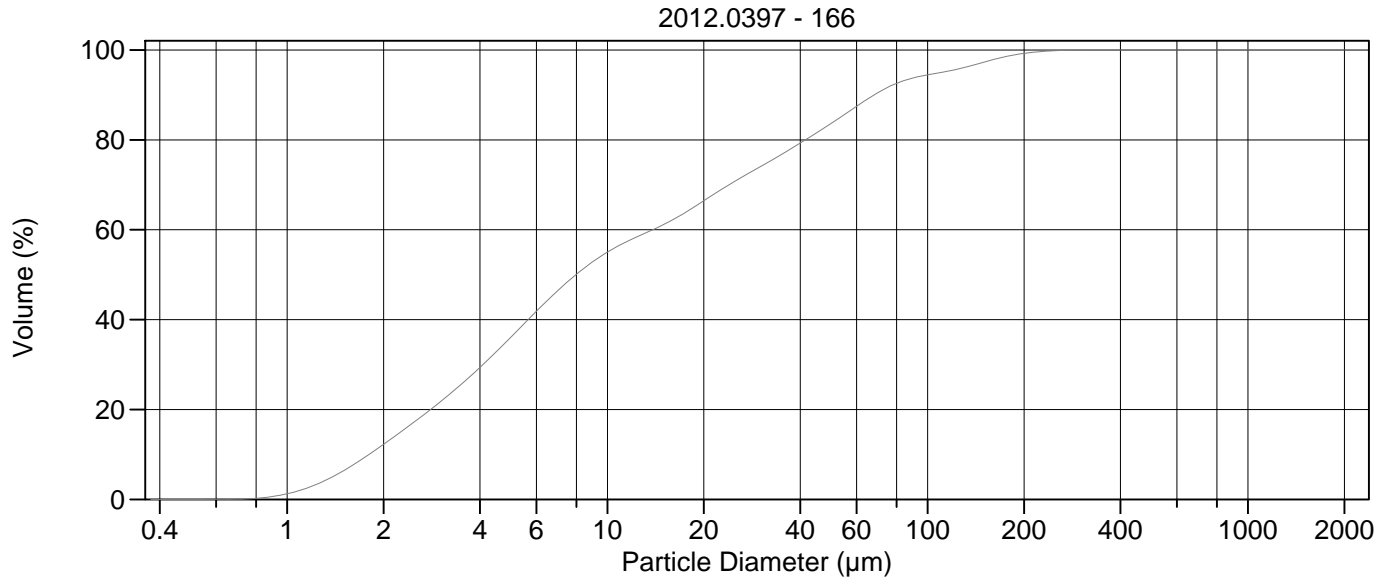
Calculations from 0.375 µm to 2000 µm

Volume	100.0%		
Mean:	24.32 µm	95% Conf. Limits:	0-91.80 µm
Median:	8.384 µm	S.D.:	34.43 µm
D(3,2):	4.915 µm	Variance:	1185 µm ²
Mean/Median Ratio:	2.901	C.V.:	142%
Mode:	5.355 µm	Skewness:	2.475 Right skewed
d ₁₀ :	1.844 µm	Kurtosis:	6.996 Leptokurtic
d ₅₀ :	8.384 µm		
d ₉₀ :	66.05 µm		
Specific Surf. Area	12208 cm ² /ml		

% <	10	25	50	75	90
Size µm	1.844	3.553	8.384	32.19	66.05

165.\$02

Particle Diameter µm	Volume % <	Particle Diameter µm	Volume % <
2.000	11.7	500.0	100
5.000	34.9	1000	100
10.00	53.9	2000	100
15.00	60.4		
20.00	65.8		
25.00	70.3		
50.00	83.8		
60.00	87.9		
63.00	89.0		
70.00	91.2		
75.00	92.4		
90.00	94.7		
125.0	96.8		
200.0	99.8		
250.0	100.0		
400.0	100		



Volume Statistics (Arithmetic) 166.\$02

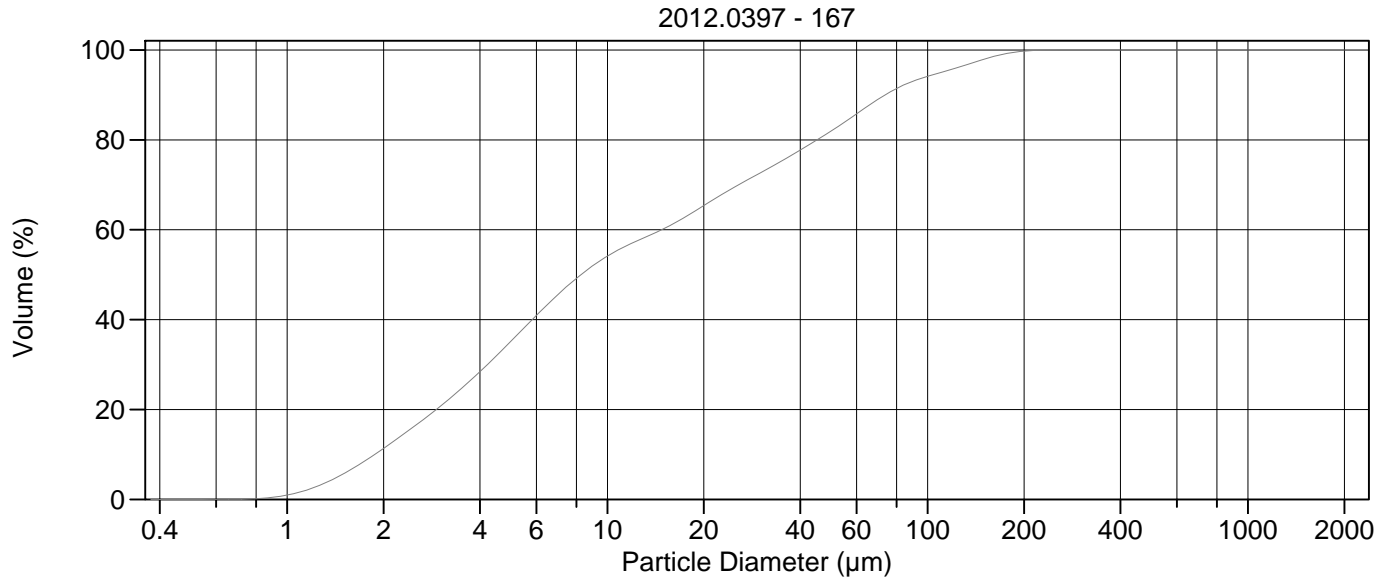
Calculations from 0.375 µm to 2000 µm

Volume	100.0%		
Mean:	25.50 µm	95% Conf. Limits:	0-101.8 µm
Median:	7.979 µm	S.D.:	38.95 µm
D(3,2):	4.789 µm	Variance:	1517 µm ²
Mean/Median Ratio:	3.196	C.V.:	153%
Mode:	5.355 µm	Skewness:	2.769 Right skewed
d ₁₀ :	1.803 µm	Kurtosis:	8.965 Leptokurtic
d ₅₀ :	7.979 µm		
d ₉₀ :	68.05 µm		
Specific Surf. Area	12528 cm ² /ml		

% <	10	25	50	75	90
Size µm	1.803	3.419	7.979	31.72	68.05

166.\$02

Particle Diameter µm	Volume % <	Particle Diameter µm	Volume % <
2.000	12.2	500.0	100
5.000	36.1	1000	100
10.00	55.0	2000	100
15.00	61.2		
20.00	66.5		
25.00	70.8		
50.00	83.7		
60.00	87.5		
63.00	88.5		
70.00	90.5		
75.00	91.7		
90.00	93.8		
125.0	95.8		
200.0	99.2		
250.0	99.8		
400.0	100		



Volume Statistics (Arithmetic) 167.\$02

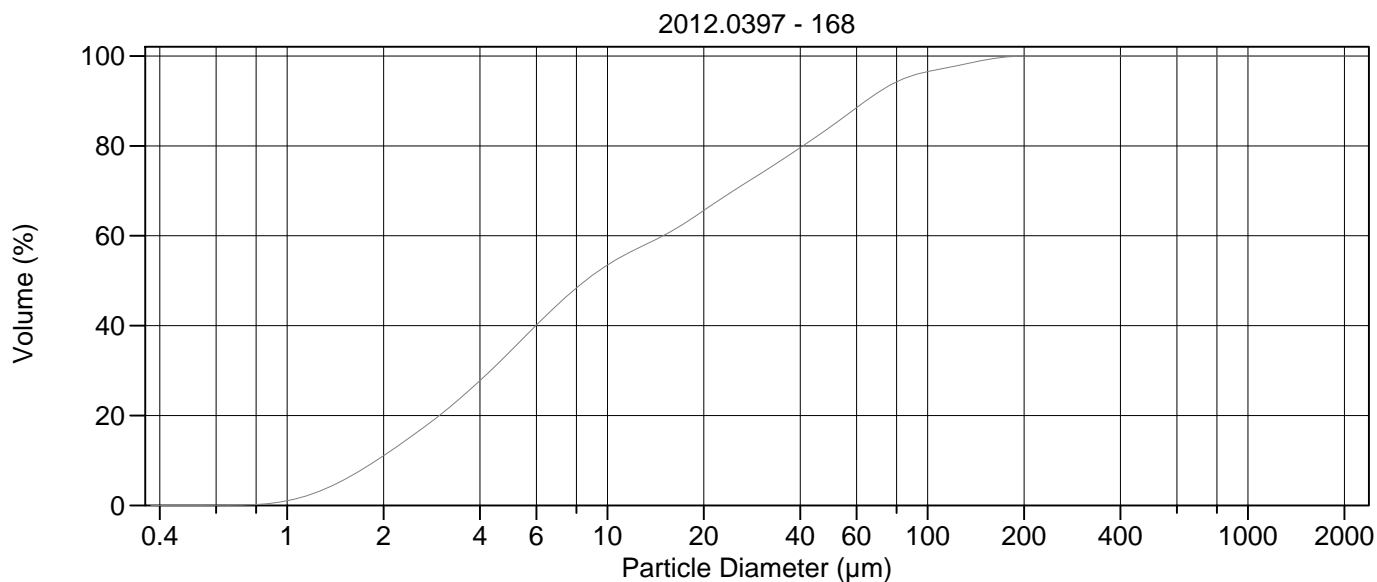
Calculations from 0.375 µm to 2000 µm

Volume	100.0%		
Mean:	26.08 µm	95% Conf. Limits:	0-98.77 µm
Median:	8.267 µm	S.D.:	37.09 µm
D(3,2):	4.985 µm	Variance:	1375 µm ²
Mean/Median Ratio:	3.155	C.V.:	142%
Mode:	5.355 µm	Skewness:	2.276 Right skewed
d ₁₀ :	1.878 µm	Kurtosis:	5.488 Leptokurtic
d ₅₀ :	8.267 µm		
d ₉₀ :	73.67 µm		
Specific Surf. Area	12035 cm ² /ml		

% <	10	25	50	75	90
Size µm	1.878	3.541	8.267	34.42	73.67

167.\$02

Particle Diameter µm	Volume % <	Particle Diameter µm	Volume % <
2.000	11.3	500.0	100
5.000	35.2	1000	100
10.00	54.1	2000	100
15.00	60.2		
20.00	65.4		
25.00	69.6		
50.00	82.0		
60.00	85.8		
63.00	86.8		
70.00	89.0		
75.00	90.3		
90.00	93.0		
125.0	96.2		
200.0	99.7		
250.0	100.0		
400.0	100		



Volume Statistics (Arithmetic) 168.\$02

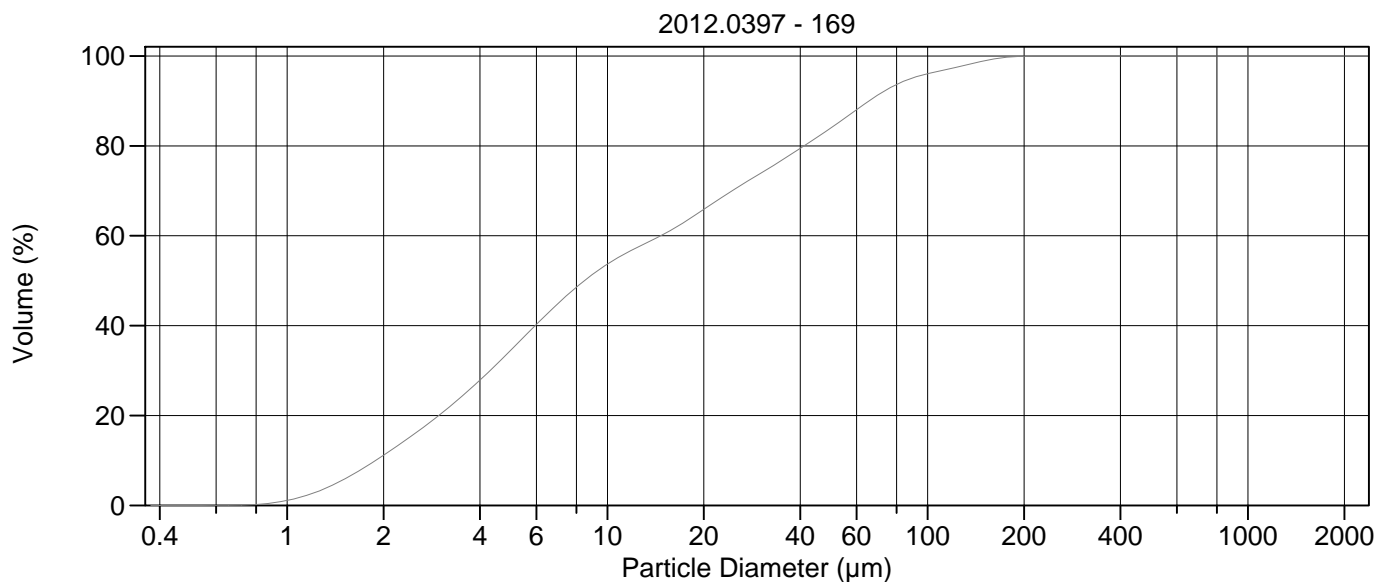
Calculations from 0.375 µm to 2000 µm

Volume	100.0%		
Mean:	23.15 µm	95% Conf. Limits:	0-83.61 µm
Median:	8.545 µm	S.D.:	30.84 µm
D(3,2):	5.030 µm	Variance:	951.3 µm ²
Mean/Median Ratio:	2.710	C.V.:	133%
Mode:	5.355 µm	Skewness:	2.252 Right skewed
d ₁₀ :	1.900 µm	Kurtosis:	5.815 Leptokurtic
d ₅₀ :	8.545 µm		
d ₉₀ :	64.06 µm		
Specific Surf. Area	11928 cm ² /ml		

% <	10	25	50	75	90
Size µm	1.900	3.624	8.545	31.95	64.06

168.\$02

Particle Diameter µm	Volume % <	Particle Diameter µm	Volume % <
2.000	11.1	500.0	100
5.000	34.4	1000	100
10.00	53.5	2000	100
15.00	60.1		
20.00	65.6		
25.00	70.2		
50.00	84.4		
60.00	88.5		
63.00	89.6		
70.00	91.9		
75.00	93.2		
90.00	95.7		
125.0	97.9		
200.0	100.0		
250.0	100.0		
400.0	100		



Volume Statistics (Arithmetic) 169.\$02

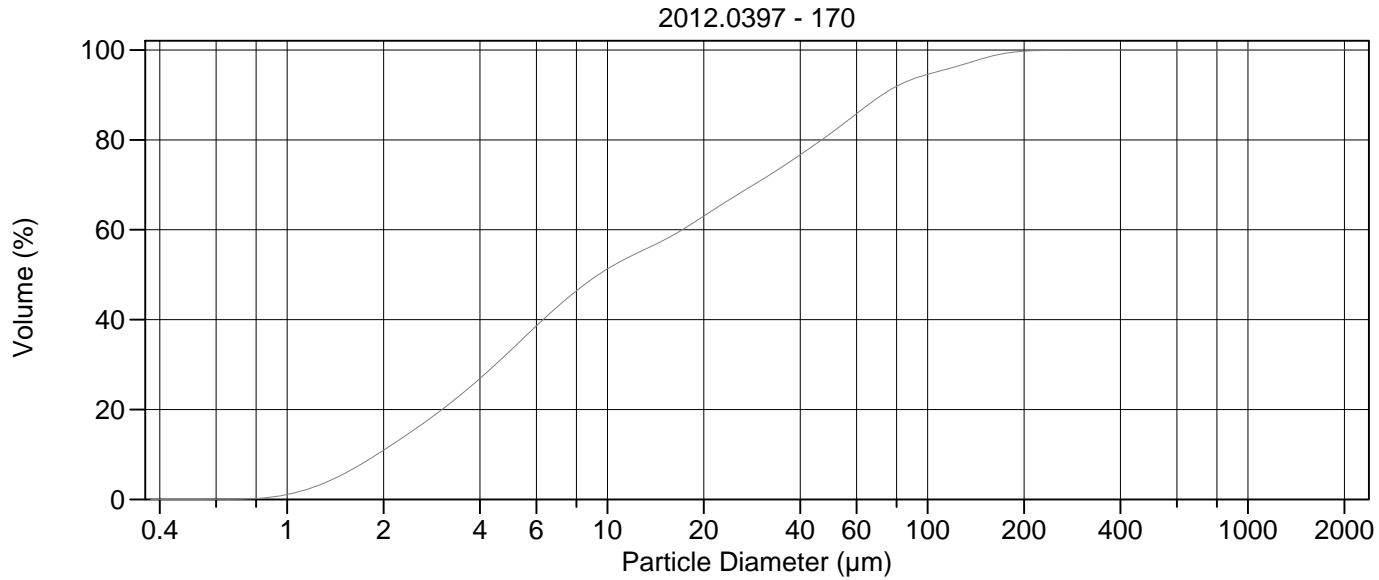
Calculations from 0.375 µm to 2000 µm

Volume	100.0%		
Mean:	23.58 µm	95% Conf. Limits:	0-86.24 µm
Median:	8.482 µm	S.D.:	31.97 µm
D(3,2):	5.000 µm	Variance:	1022 µm ²
Mean/Median Ratio:	2.780	C.V.:	136%
Mode:	5.355 µm	Skewness:	2.268 Right skewed
d ₁₀ :	1.891 µm	Kurtosis:	5.758 Leptokurtic
d ₅₀ :	8.482 µm		
d ₉₀ :	65.69 µm		
Specific Surf. Area	12000 cm ² /ml		

% <	10	25	50	75	90
Size µm	1.891	3.609	8.482	31.92	65.69

169.\$02

Particle Diameter µm	Volume % <	Particle Diameter µm	Volume % <
2.000	11.2	500.0	100
5.000	34.6	1000	100
10.00	53.7	2000	100
15.00	60.4		
20.00	65.9		
25.00	70.4		
50.00	84.0		
60.00	88.0		
63.00	89.1		
70.00	91.4		
75.00	92.6		
90.00	95.1		
125.0	97.6		
200.0	99.9		
250.0	100.0		
400.0	100		



Volume Statistics (Arithmetic) 170.\$02

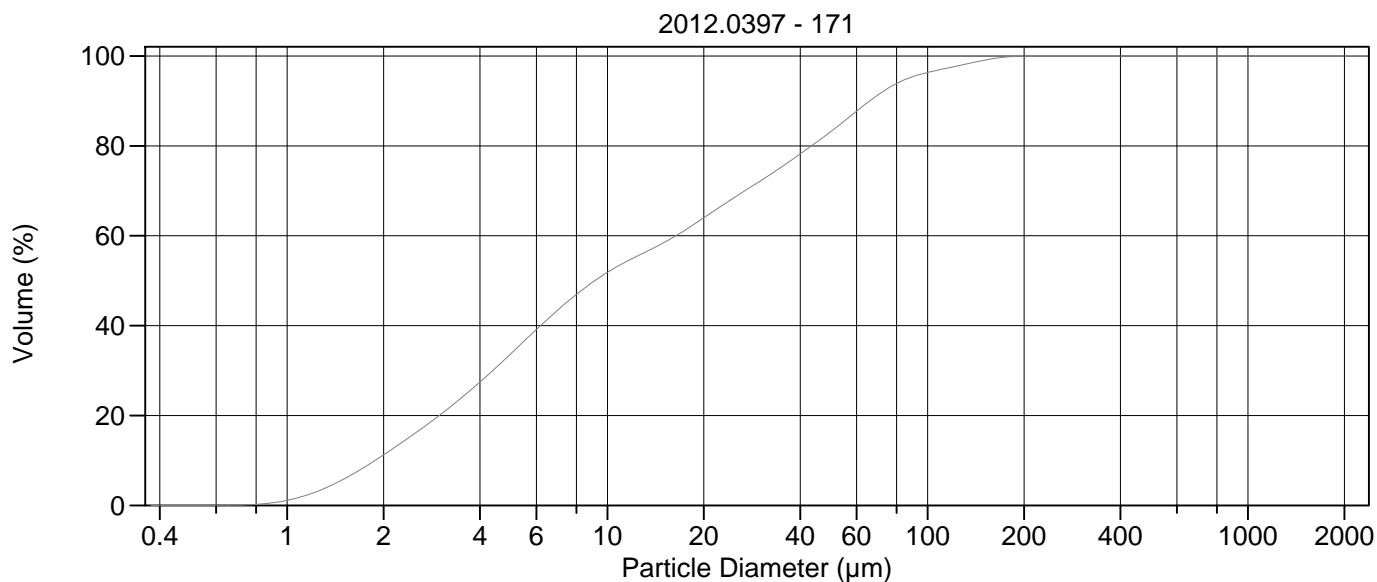
Calculations from 0.375 µm to 2000 µm

Volume	100.0%		
Mean:	26.61 µm	95% Conf. Limits:	0-97.99 µm
Median:	9.381 µm	S.D.:	36.42 µm
D(3,2):	5.166 µm	Variance:	1326 µm ²
Mean/Median Ratio:	2.836	C.V.:	137%
Mode:	5.355 µm	Skewness:	2.344 Right skewed
d ₁₀ :	1.909 µm	Kurtosis:	6.711 Leptokurtic
d ₅₀ :	9.381 µm		
d ₉₀ :	72.13 µm		
Specific Surf. Area	11615 cm ² /ml		

% <	10	25	50	75	90
Size µm	1.909	3.722	9.381	36.90	72.13

170.\$02

Particle Diameter µm	Volume % <	Particle Diameter µm	Volume % <
2.000	10.9	500.0	100
5.000	33.2	1000	100
10.00	51.3	2000	100
15.00	57.7		
20.00	63.0		
25.00	67.5		
50.00	81.5		
60.00	85.8		
63.00	87.0		
70.00	89.4		
75.00	90.8		
90.00	93.5		
125.0	96.5		
200.0	99.7		
250.0	99.9		
400.0	100.0		



Volume Statistics (Arithmetic)

171#.\$02

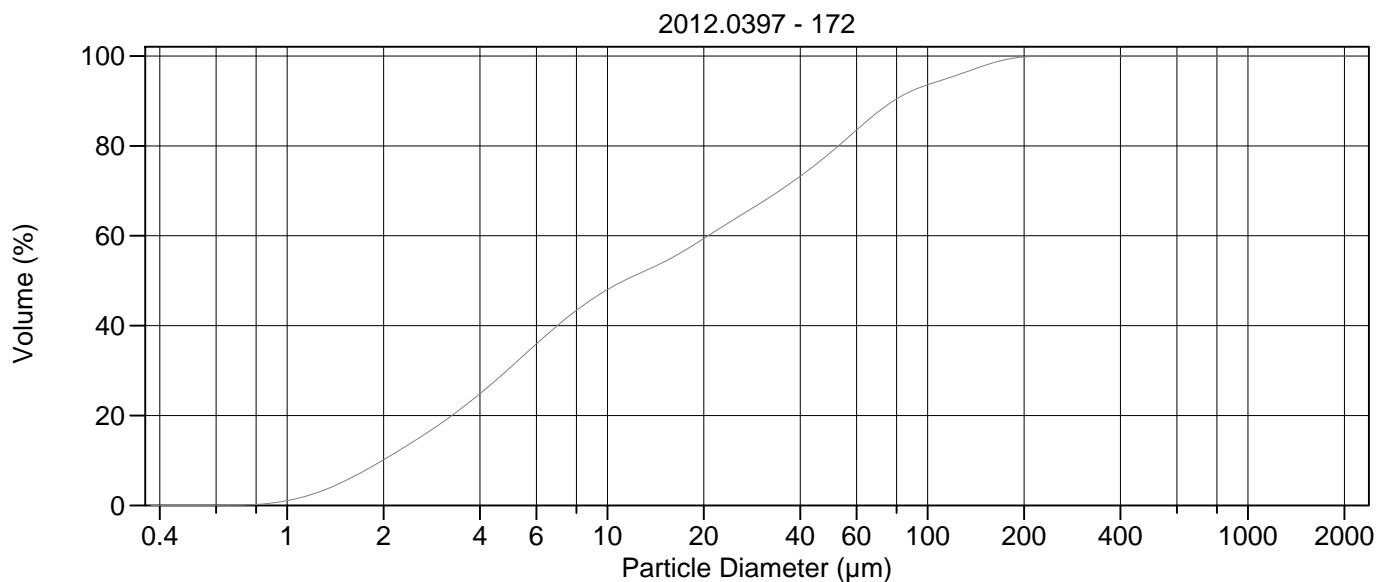
Calculations from 0.375 µm to 2000 µm

Volume	100.0%		
Mean:	24.12 µm	95% Conf. Limits:	0-85.60 µm
Median:	9.136 µm	S.D.:	31.37 µm
D(3,2):	5.071 µm	Variance:	984.1 µm ²
Mean/Median Ratio:	2.640	C.V.:	130%
Mode:	5.355 µm	Skewness:	2.137 Right skewed
d ₁₀ :	1.882 µm	Kurtosis:	5.177 Leptokurtic
d ₅₀ :	9.136 µm		
d ₉₀ :	66.01 µm		
Specific Surf. Area	11831 cm ² /ml		

% <	10	25	50	75	90
Size µm	1.882	3.649	9.136	34.45	66.01

171#.\$02

Particle Diameter µm	Volume % <	Particle Diameter µm	Volume % <
2.000	11.2	500.0	100
5.000	33.8	1000	100
10.00	51.8	2000	100
15.00	58.5		
20.00	64.0		
25.00	68.6		
50.00	83.2		
60.00	87.7		
63.00	88.9		
70.00	91.4		
75.00	92.8		
90.00	95.4		
125.0	97.8		
200.0	100.0		
250.0	100.0		
400.0	100		



Volume Statistics (Arithmetic) 172.\$02

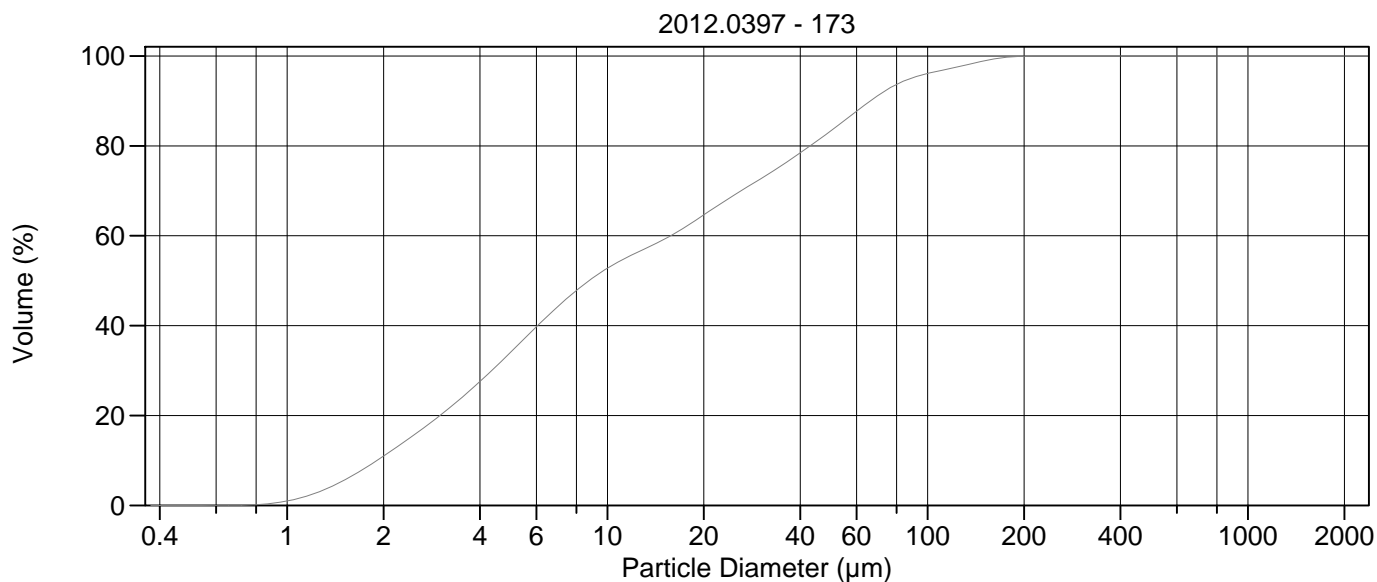
Calculations from 0.375 µm to 2000 µm

Volume	100.0%		
Mean:	29.37 µm	95% Conf. Limits:	0-103.6 µm
Median:	11.27 µm	S.D.:	37.90 µm
D(3,2):	5.502 µm	Variance:	1436 µm ²
Mean/Median Ratio:	2.606	C.V.:	129%
Mode:	5.355 µm	Skewness:	1.993 Right skewed
d ₁₀ :	1.984 µm	Kurtosis:	4.109 Leptokurtic
d ₅₀ :	11.27 µm		
d ₉₀ :	78.13 µm		
Specific Surf. Area	10904 cm ² /ml		

% <	10	25	50	75	90
Size µm	1.984	4.023	11.27	43.13	78.13

172.\$02

Particle Diameter µm	Volume % <	Particle Diameter µm	Volume % <
2.000	10.1	500.0	100
5.000	30.8	1000	100
10.00	48.0	2000	100
15.00	54.2		
20.00	59.4		
25.00	63.8		
50.00	78.6		
60.00	83.5		
63.00	84.9		
70.00	87.6		
75.00	89.2		
90.00	92.3		
125.0	95.9		
200.0	99.8		
250.0	100.0		
400.0	100		



Volume Statistics (Arithmetic) 173.\$02

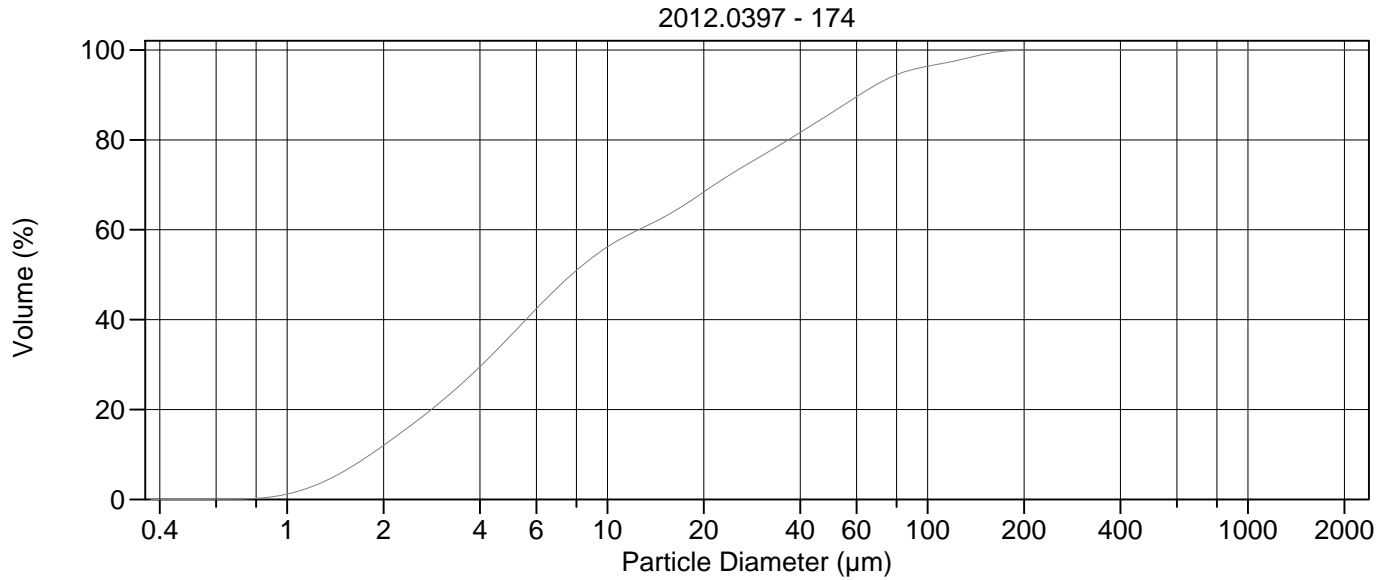
Calculations from 0.375 µm to 2000 µm

Volume	100.0%		
Mean:	24.10 µm	95% Conf. Limits:	0-86.86 µm
Median:	8.766 µm	S.D.:	32.02 µm
D(3,2):	5.087 µm	Variance:	1025 µm ²
Mean/Median Ratio:	2.750	C.V.:	133%
Mode:	5.355 µm	Skewness:	2.208 Right skewed
d ₁₀ :	1.909 µm	Kurtosis:	5.521 Leptokurtic
d ₅₀ :	8.766 µm		
d ₉₀ :	66.23 µm		
Specific Surf. Area	11795 cm ² /ml		

% <	10	25	50	75	90
Size µm	1.909	3.645	8.766	33.90	66.23

173.\$02

Particle Diameter µm	Volume % <	Particle Diameter µm	Volume % <
2.000	11.0	500.0	100
5.000	34.1	1000	100
10.00	52.8	2000	100
15.00	59.2		
20.00	64.6		
25.00	69.2		
50.00	83.4		
60.00	87.7		
63.00	88.9		
70.00	91.2		
75.00	92.6		
90.00	95.2		
125.0	97.6		
200.0	99.9		
250.0	100.0		
400.0	100		



Volume Statistics (Arithmetic) 174.\$02

Calculations from 0.375 µm to 2000 µm

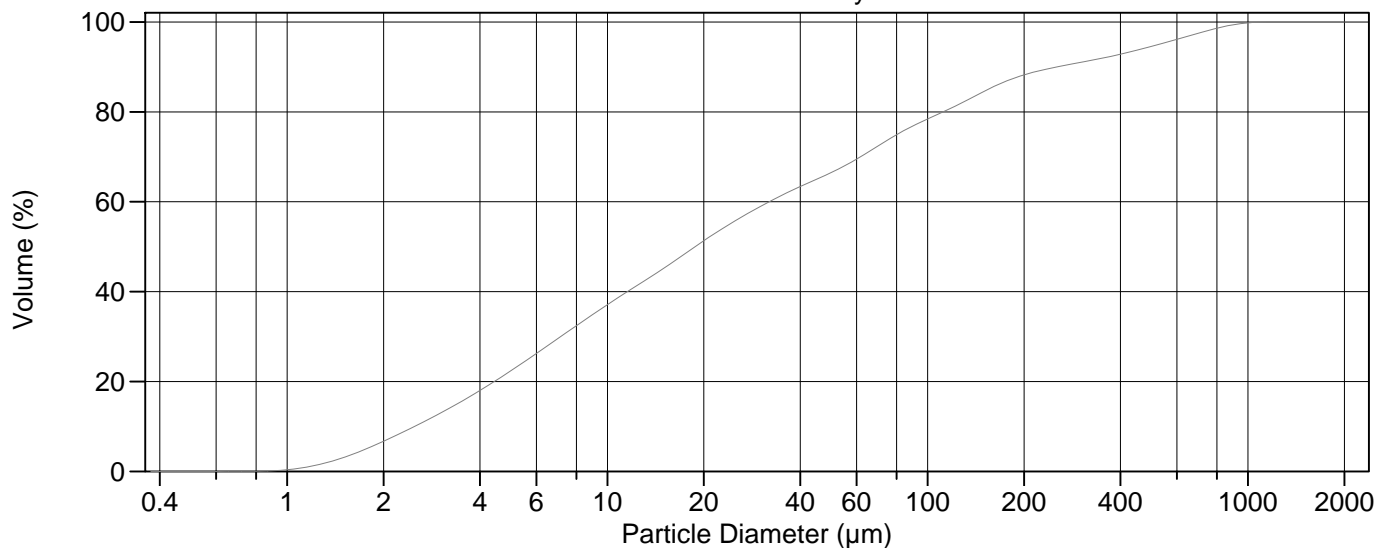
Volume	100.0%		
Mean:	21.81 µm	95% Conf. Limits:	0-81.71 µm
Median:	7.728 µm	S.D.:	30.56 µm
D(3,2):	4.756 µm	Variance:	934.1 µm ²
Mean/Median Ratio:	2.822	C.V.:	140%
Mode:	5.355 µm	Skewness:	2.418 Right skewed
d ₁₀ :	1.822 µm	Kurtosis:	6.560 Leptokurtic
d ₅₀ :	7.728 µm		
d ₉₀ :	61.26 µm		
Specific Surf. Area	12616 cm ² /ml		

% <	10	25	50	75	90
Size µm	1.822	3.416	7.728	27.99	61.26

174.\$02

Particle Diameter µm	Volume % <	Particle Diameter µm	Volume % <
2.000	12.0	500.0	100
5.000	36.5	1000	100
10.00	56.2	2000	100
15.00	62.8		
20.00	68.4		
25.00	72.9		
50.00	86.0		
60.00	89.6		
63.00	90.6		
70.00	92.5		
75.00	93.6		
90.00	95.7		
125.0	97.8		
200.0	100.0		
250.0	100		
400.0	100		

2012.0397 - stand. Hynne



Volume Statistics (Arithmetic) 175.\$02

Calculations from 0.375 µm to 2000 µm

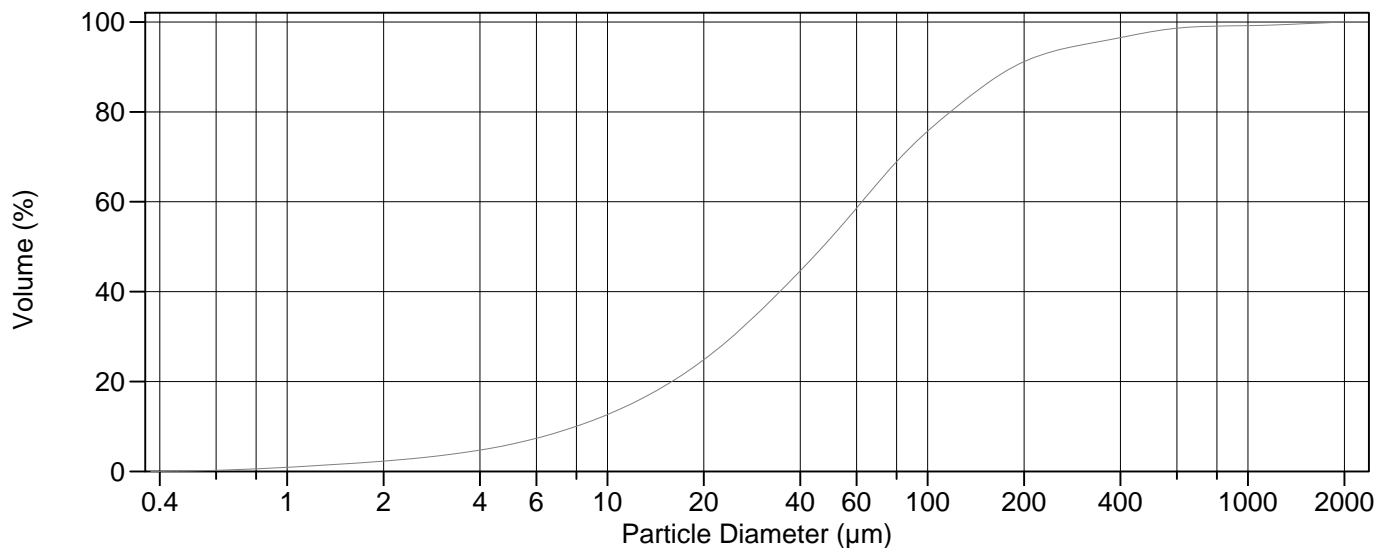
Volume	100.0%		
Mean:	90.13 µm	95% Conf. Limits:	0-430.9 µm
Median:	18.79 µm	S.D.:	173.9 µm
D(3,2):	7.375 µm	Variance:	30226 µm ²
Mean/Median Ratio:	4.797	C.V.:	193%
Mode:	7.083 µm	Skewness:	2.989 Right skewed
d ₁₀ :	2.501 µm	Kurtosis:	9.070 Leptokurtic
d ₅₀ :	18.79 µm		
d ₉₀ :	253.1 µm		
Specific Surf. Area	8136 cm ² /ml		

% <	10	25	50	75	90
Size µm	2.501	5.662	18.79	80.41	253.1

175.\$02

Particle Diameter µm	Volume % <	Particle Diameter µm	Volume % <
2.000	6.70	500.0	94.6
5.000	22.4	1000	99.8
10.00	37.1	2000	100
15.00	45.2		
20.00	51.3		
25.00	55.7		
50.00	66.5		
60.00	69.5		
63.00	70.4		
70.00	72.4		
75.00	73.7		
90.00	76.9		
125.0	81.7		
200.0	88.2		
250.0	89.9		
400.0	92.8		

2012.0397 - stand. MINN



Volume Statistics (Arithmetic) 176.\$02

Calculations from 0.375 µm to 2000 µm

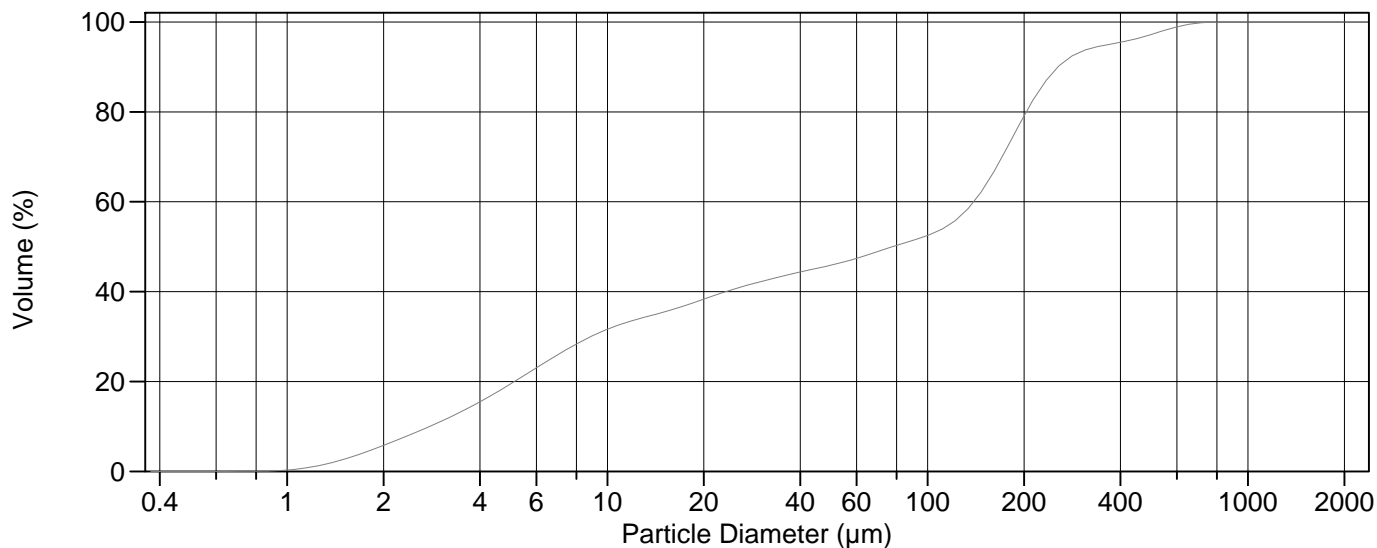
Volume	100.0%		
Mean:	90.72 µm	95% Conf. Limits:	0-412.4 µm
Median:	47.10 µm	S.D.:	164.1 µm
D(3,2):	15.22 µm	Variance:	26931 µm ²
Mean/Median Ratio:	1.926	C.V.:	181%
Mode:	60.52 µm	Skewness:	6.228 Right skewed
d ₁₀ :	7.970 µm	Kurtosis:	51.41 Leptokurtic
d ₅₀ :	47.10 µm		
d ₉₀ :	185.5 µm		
Specific Surf. Area	3943 cm ² /ml		

% <	10	25	50	75	90
Size µm	7.970	20.13	47.10	97.58	185.5

176.\$02

Particle Diameter µm	Volume % <	Particle Diameter µm	Volume % <
2.000	2.30	500.0	97.8
5.000	6.04	1000	99.2
10.00	12.7	2000	100
15.00	18.9		
20.00	24.8		
25.00	30.5		
50.00	52.0		
60.00	58.6		
63.00	60.4		
70.00	64.3		
75.00	66.7		
90.00	72.7		
125.0	81.5		
200.0	91.2		
250.0	93.6		
400.0	96.5		

2012.0397 - 177



Volume Statistics (Arithmetic)

177#.\$02

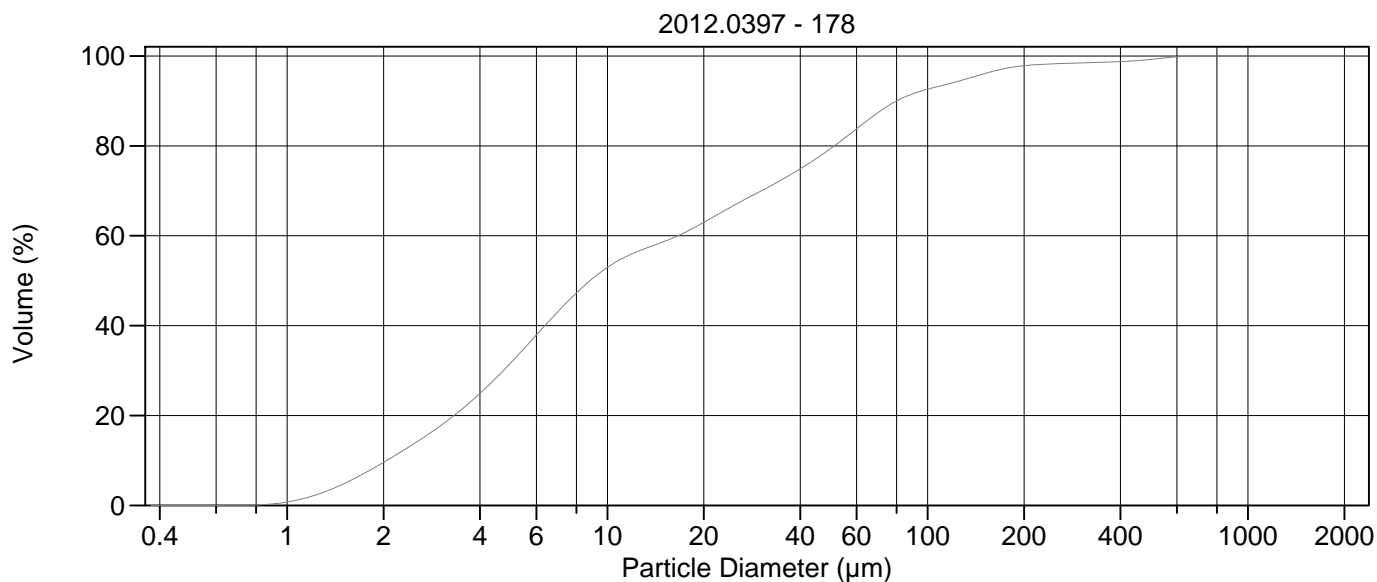
Calculations from 0.375 µm to 2000 µm

Volume	100.0%		
Mean:	116.3 µm	95% Conf. Limits:	0-375.9 µm
Median:	77.63 µm	S.D.:	132.5 µm
D(3,2):	8.927 µm	Variance:	17554 µm ²
Mean/Median Ratio:	1.498	C.V.:	114%
Mode:	185.3 µm	Skewness:	1.663 Right skewed
d ₁₀ :	2.786 µm	Kurtosis:	3.558 Leptokurtic
d ₅₀ :	77.63 µm		
d ₉₀ :	255.2 µm		
Specific Surf. Area	6721 cm ² /ml		

% <	10	25	50	75	90
Size µm	2.786	6.645	77.63	186.3	255.2

177#.\$02

Particle Diameter µm	Volume % <	Particle Diameter µm	Volume % <
2.000	5.80	500.0	97.2
5.000	19.5	1000	100
10.00	31.6	2000	100
15.00	35.4		
20.00	38.3		
25.00	40.6		
50.00	45.9		
60.00	47.4		
63.00	47.9		
70.00	49.0		
75.00	49.7		
90.00	51.4		
125.0	56.5		
200.0	79.0		
250.0	89.3		
400.0	95.5		



Volume Statistics (Arithmetic) 178.\$02

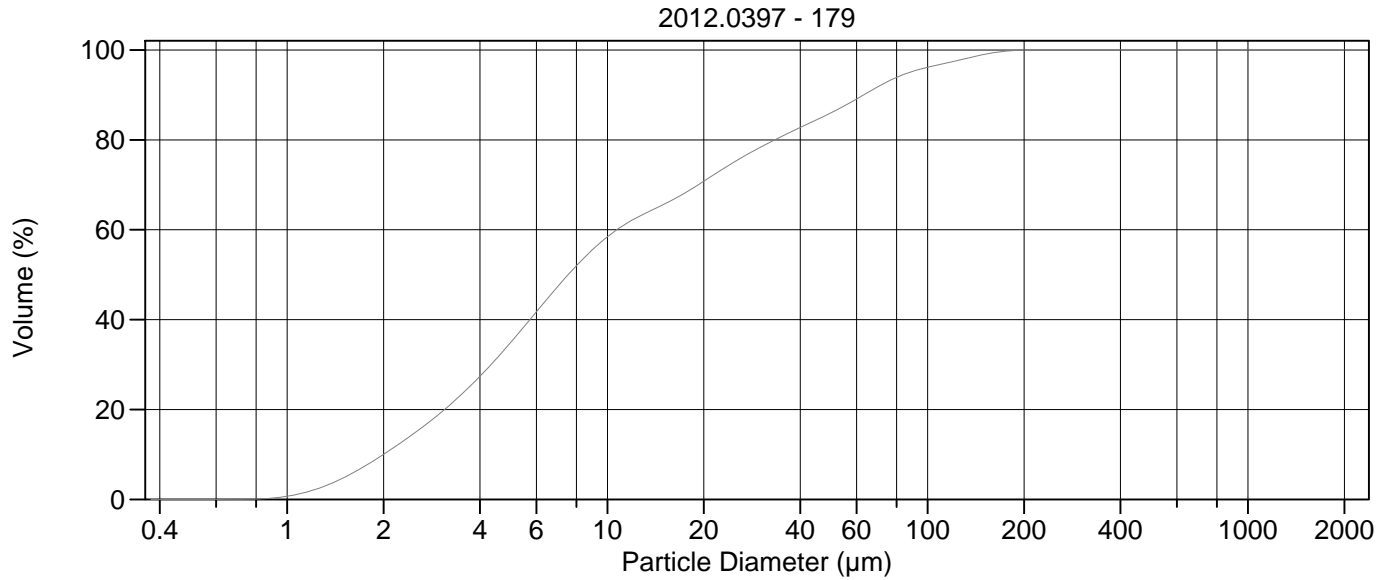
Calculations from 0.375 µm to 2000 µm

Volume	100.0%		
Mean:	34.56 µm	95% Conf. Limits:	0-171.5 µm
Median:	8.821 µm	S.D.:	69.85 µm
D(3,2):	5.446 µm	Variance:	4879 µm ²
Mean/Median Ratio:	3.919	C.V.:	202%
Mode:	5.878 µm	Skewness:	5.107 Right skewed
d ₁₀ :	2.046 µm	Kurtosis:	32.42 Leptokurtic
d ₅₀ :	8.821 µm		
d ₉₀ :	80.16 µm		
Specific Surf. Area	11017 cm ² /ml		

% <	10	25	50	75	90
Size µm	2.046	4.013	8.821	40.25	80.16

178.\$02

Particle Diameter µm	Volume % <	Particle Diameter µm	Volume % <
2.000	9.59	500.0	99.3
5.000	31.8	1000	100
10.00	53.0	2000	100
15.00	58.7		
20.00	63.0		
25.00	66.9		
50.00	79.5		
60.00	83.8		
63.00	85.0		
70.00	87.4		
75.00	88.8		
90.00	91.6		
125.0	94.4		
200.0	97.8		
250.0	98.3		
400.0	98.8		



Volume Statistics (Arithmetic) 179.\$02

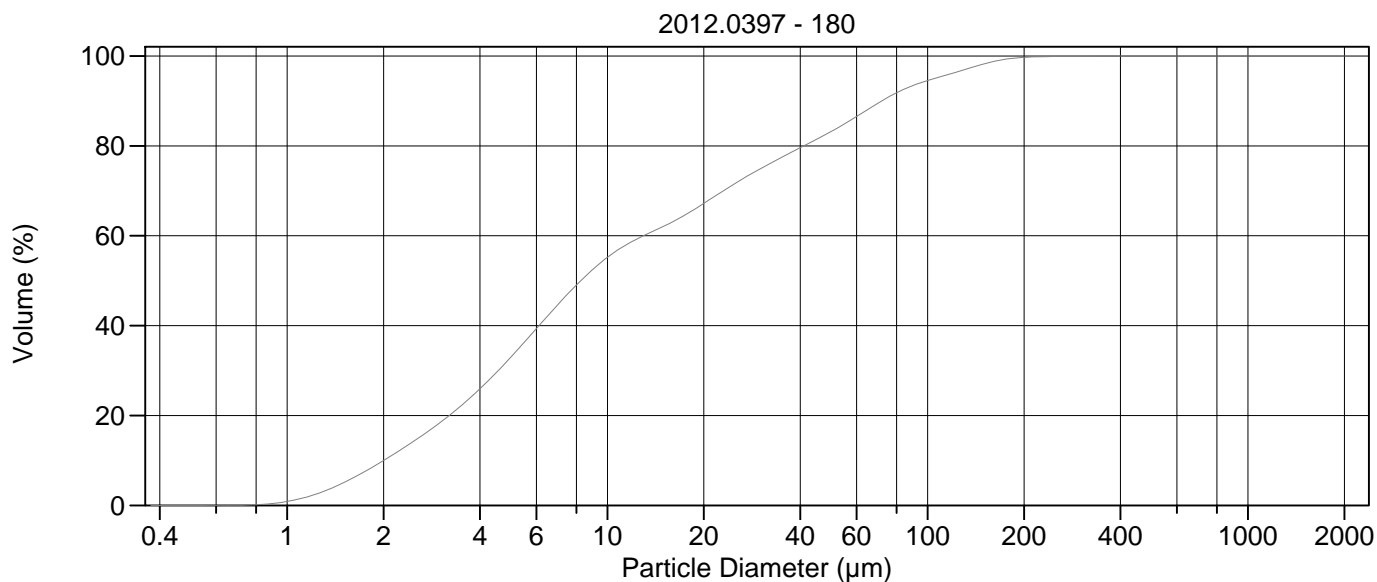
Calculations from 0.375 µm to 2000 µm

Volume	100.0%		
Mean:	21.44 µm	95% Conf. Limits:	0-82.39 µm
Median:	7.545 µm	S.D.:	31.09 µm
D(3,2):	5.029 µm	Variance:	966.9 µm ²
Mean/Median Ratio:	2.842	C.V.:	145%
Mode:	5.878 µm	Skewness:	2.489 Right skewed
d ₁₀ :	1.999 µm	Kurtosis:	6.746 Leptokurtic
d ₅₀ :	7.545 µm		
d ₉₀ :	63.08 µm		
Specific Surf. Area	11930 cm ² /ml		

% <	10	25	50	75	90
Size µm	1.999	3.702	7.545	24.77	63.08

179.\$02

Particle Diameter µm	Volume % <	Particle Diameter µm	Volume % <
2.000	10.0	500.0	100
5.000	35.0	1000	100
10.00	58.4	2000	100
15.00	65.7		
20.00	70.8		
25.00	75.2		
50.00	86.1		
60.00	89.1		
63.00	90.0		
70.00	91.9		
75.00	93.0		
90.00	95.3		
125.0	97.7		
200.0	100.0		
250.0	100.0		
400.0	100		



Volume Statistics (Arithmetic)

180#.\$02

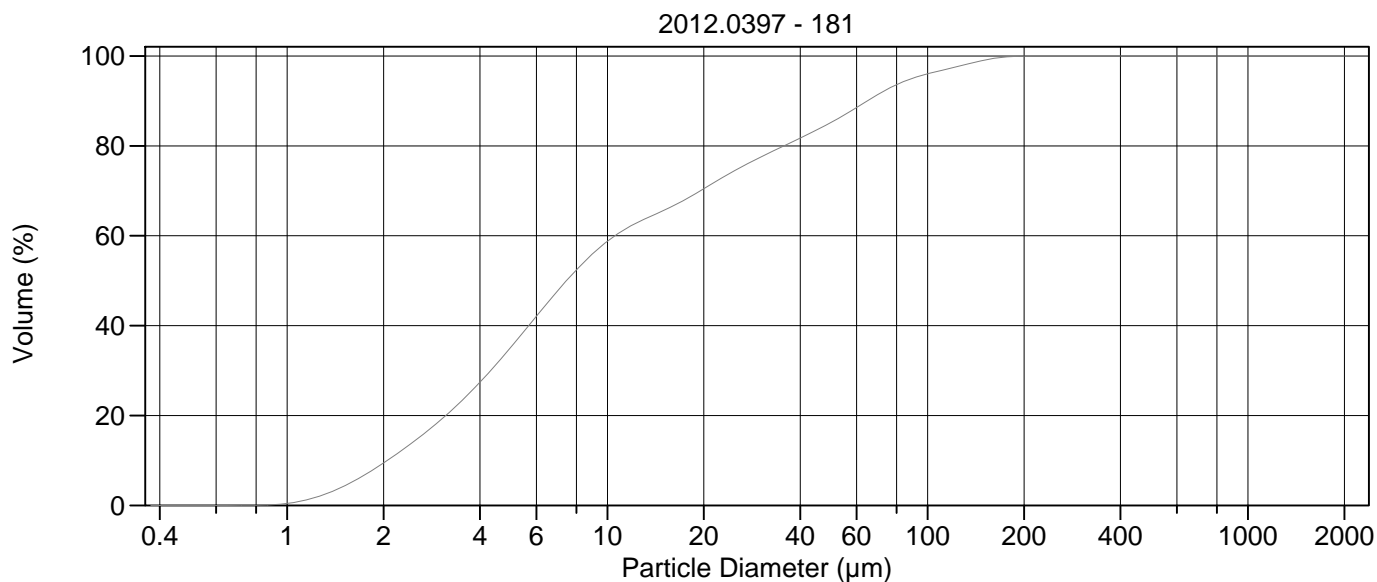
Calculations from 0.375 µm to 2000 µm

Volume	100.0%		
Mean:	25.00 µm	95% Conf. Limits:	0-96.42 µm
Median:	8.255 µm	S.D.:	36.44 µm
D(3,2):	5.201 µm	Variance:	1328 µm ²
Mean/Median Ratio:	3.028	C.V.:	146%
Mode:	5.878 µm	Skewness:	2.566 Right skewed
d ₁₀ :	2.001 µm	Kurtosis:	8.206 Leptokurtic
d ₅₀ :	8.255 µm		
d ₉₀ :	71.91 µm		
Specific Surf. Area	11536 cm ² /ml		

% <	10	25	50	75	90
Size µm	2.001	3.869	8.255	30.19	71.91

180#.\$02

Particle Diameter µm	Volume % <	Particle Diameter µm	Volume % <
2.000	9.99	500.0	100
5.000	33.0	1000	100
10.00	55.2	2000	100
15.00	62.1		
20.00	67.2		
25.00	71.6		
50.00	83.2		
60.00	86.5		
63.00	87.5		
70.00	89.5		
75.00	90.8		
90.00	93.4		
125.0	96.6		
200.0	99.7		
250.0	99.9		
400.0	100.0		



Volume Statistics (Arithmetic) 181.\$02

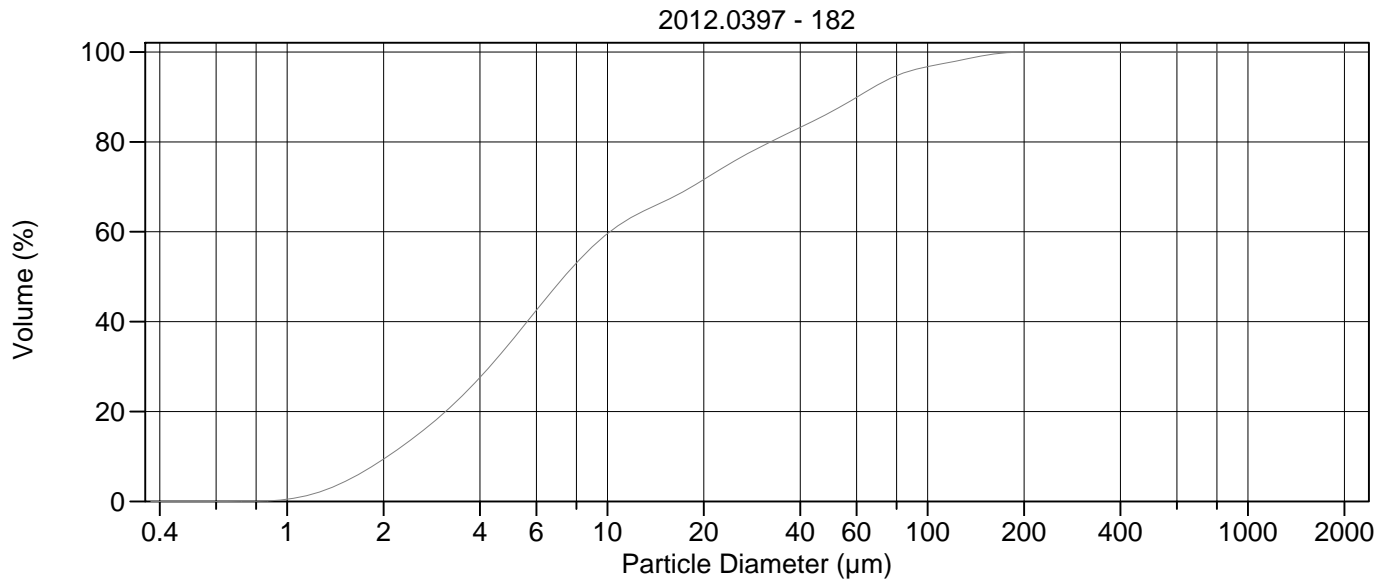
Calculations from 0.375 µm to 2000 µm

Volume	100.0%		
Mean:	21.85 µm	95% Conf. Limits:	0-83.33 µm
Median:	7.448 µm	S.D.:	31.37 µm
D(3,2):	5.120 µm	Variance:	983.9 µm ²
Mean/Median Ratio:	2.934	C.V.:	144%
Mode:	5.878 µm	Skewness:	2.373 Right skewed
d ₁₀ :	2.055 µm	Kurtosis:	5.987 Leptokurtic
d ₅₀ :	7.448 µm		
d ₉₀ :	64.81 µm		
Specific Surf. Area	11719 cm ² /ml		

% <	10	25	50	75	90
Size µm	2.055	3.711	7.448	25.72	64.81

181.\$02

Particle Diameter µm	Volume % <	Particle Diameter µm	Volume % <
2.000	9.44	500.0	100
5.000	35.2	1000	100
10.00	58.8	2000	100
15.00	65.6		
20.00	70.5		
25.00	74.5		
50.00	85.2		
60.00	88.5		
63.00	89.5		
70.00	91.5		
75.00	92.6		
90.00	95.1		
125.0	97.7		
200.0	100.0		
250.0	100.0		
400.0	100		



Volume Statistics (Arithmetic) 182.\$02

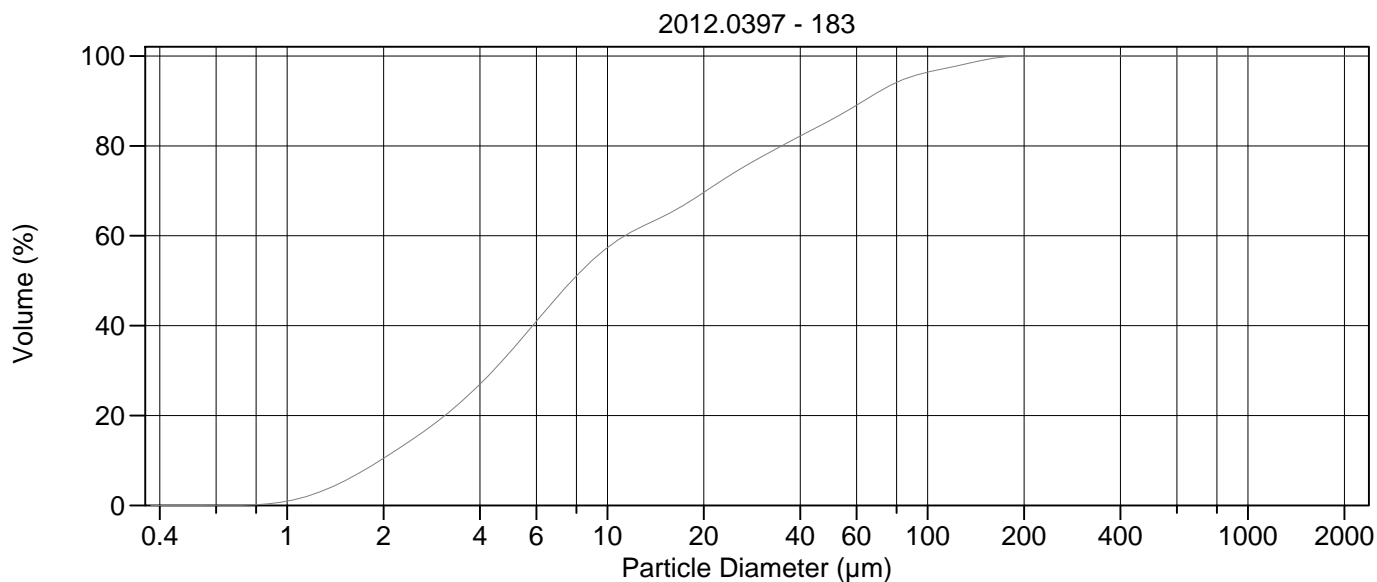
Calculations from 0.375 µm to 2000 µm

Volume	100.0%		
Mean:	20.51 µm	95% Conf. Limits:	0-78.35 µm
Median:	7.329 µm	S.D.:	29.51 µm
D(3,2):	5.069 µm	Variance:	871.0 µm ²
Mean/Median Ratio:	2.798	C.V.:	144%
Mode:	5.878 µm	Skewness:	2.516 Right skewed
d ₁₀ :	2.058 µm	Kurtosis:	7.057 Leptokurtic
d ₅₀ :	7.329 µm		
d ₉₀ :	60.31 µm		
Specific Surf. Area	11837 cm ² /ml		

% <	10	25	50	75	90
Size µm	2.058	3.694	7.329	23.94	60.31

182.\$02

Particle Diameter µm	Volume % <	Particle Diameter µm	Volume % <
2.000	9.42	500.0	100
5.000	35.5	1000	100
10.00	59.6	2000	100
15.00	66.7		
20.00	71.6		
25.00	75.8		
50.00	86.7		
60.00	89.9		
63.00	90.8		
70.00	92.7		
75.00	93.8		
90.00	96.0		
125.0	98.1		
200.0	100.0		
250.0	100.0		
400.0	100		



Volume Statistics (Arithmetic) 183.\$02

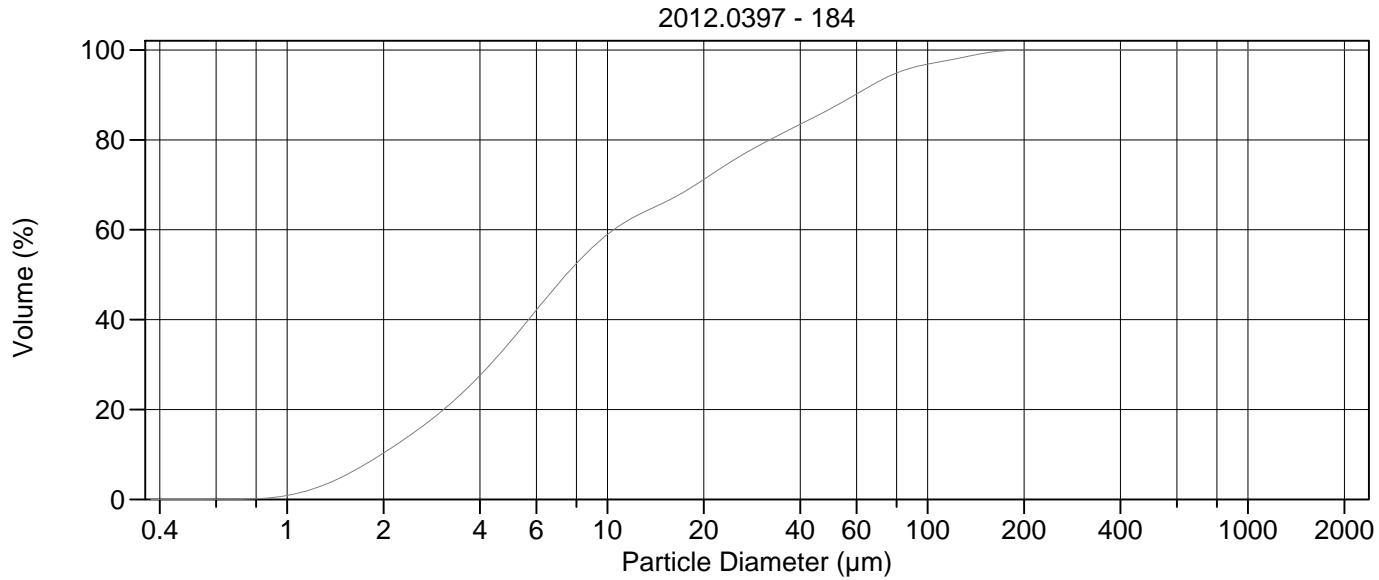
Calculations from 0.375 µm to 2000 µm

Volume	100.0%		
Mean:	21.65 µm	95% Conf. Limits:	0-81.51 µm
Median:	7.757 µm	S.D.:	30.54 µm
D(3,2):	5.003 µm	Variance:	932.5 µm ²
Mean/Median Ratio:	2.791	C.V.:	141%
Mode:	5.878 µm	Skewness:	2.403 Right skewed
d ₁₀ :	1.953 µm	Kurtosis:	6.308 Leptokurtic
d ₅₀ :	7.757 µm		
d ₉₀ :	63.07 µm		
Specific Surf. Area	11992 cm ² /ml		

% <	10	25	50	75	90
Size µm	1.953	3.743	7.757	26.22	63.07

183.\$02

Particle Diameter µm	Volume % <	Particle Diameter µm	Volume % <
2.000	10.5	500.0	100
5.000	34.3	1000	100
10.00	57.4	2000	100
15.00	64.4		
20.00	69.7		
25.00	74.1		
50.00	85.8		
60.00	89.0		
63.00	90.0		
70.00	92.0		
75.00	93.1		
90.00	95.5		
125.0	97.9		
200.0	100.0		
250.0	100		
400.0	100		



Volume Statistics (Arithmetic) 184.\$02

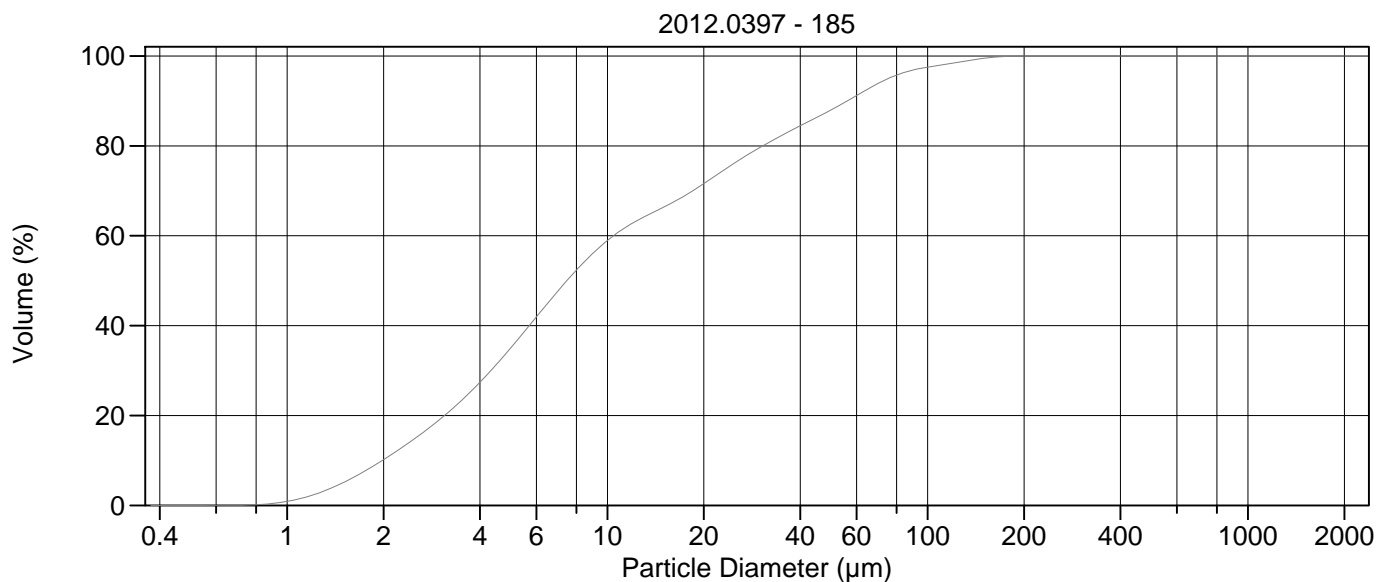
Calculations from 0.375 µm to 2000 µm

Volume	100.0%		
Mean:	20.39 µm	95% Conf. Limits:	0-77.35 µm
Median:	7.430 µm	S.D.:	29.06 µm
D(3,2):	4.945 µm	Variance:	844.6 µm ²
Mean/Median Ratio:	2.744	C.V.:	143%
Mode:	5.878 µm	Skewness:	2.510 Right skewed
d ₁₀ :	1.969 µm	Kurtosis:	7.052 Leptokurtic
d ₅₀ :	7.430 µm		
d ₉₀ :	59.37 µm		
Specific Surf. Area	12134 cm ² /ml		

% <	10	25	50	75	90
Size µm	1.969	3.683	7.430	24.18	59.37

184.\$02

Particle Diameter µm	Volume % <	Particle Diameter µm	Volume % <
2.000	10.3	500.0	100
5.000	35.3	1000	100
10.00	58.9	2000	100
15.00	66.0		
20.00	71.2		
25.00	75.7		
50.00	87.0		
60.00	90.2		
63.00	91.1		
70.00	92.9		
75.00	94.0		
90.00	96.1		
125.0	98.2		
200.0	100.0		
250.0	100		
400.0	100		



Volume Statistics (Arithmetic) 185.\$02

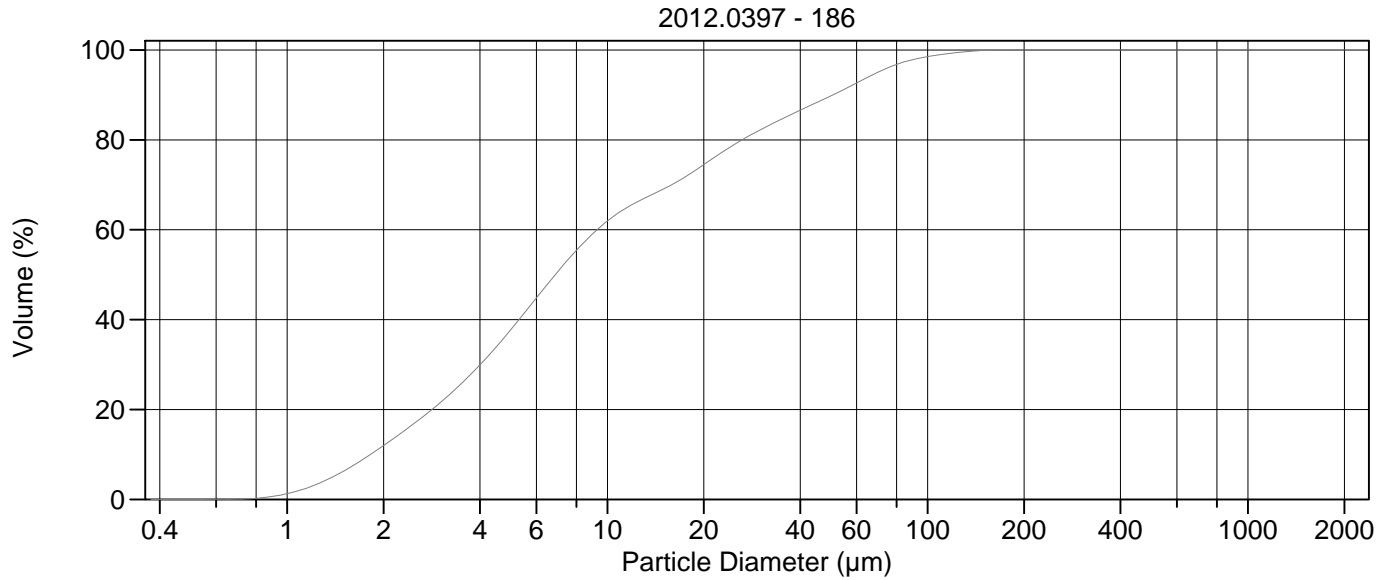
Calculations from 0.375 µm to 2000 µm

Volume	100.0%		
Mean:	19.43 µm	95% Conf. Limits:	0-72.55 µm
Median:	7.467 µm	S.D.:	27.10 µm
D(3,2):	4.951 µm	Variance:	734.5 µm ²
Mean/Median Ratio:	2.601	C.V.:	140%
Mode:	5.878 µm	Skewness:	2.541 Right skewed
d ₁₀ :	1.982 µm	Kurtosis:	7.520 Leptokurtic
d ₅₀ :	7.467 µm		
d ₉₀ :	56.17 µm		
Specific Surf. Area	12118 cm ² /ml		

% <	10	25	50	75	90
Size µm	1.982	3.702	7.467	23.54	56.17

185.\$02

Particle Diameter µm	Volume % <	Particle Diameter µm	Volume % <
2.000	10.2	500.0	100
5.000	35.1	1000	100
10.00	58.9	2000	100
15.00	66.4		
20.00	71.6		
25.00	76.2		
50.00	88.0		
60.00	91.2		
63.00	92.1		
70.00	93.9		
75.00	94.9		
90.00	96.9		
125.0	98.6		
200.0	100.0		
250.0	100		
400.0	100		



Volume Statistics (Arithmetic)

186#.\$02

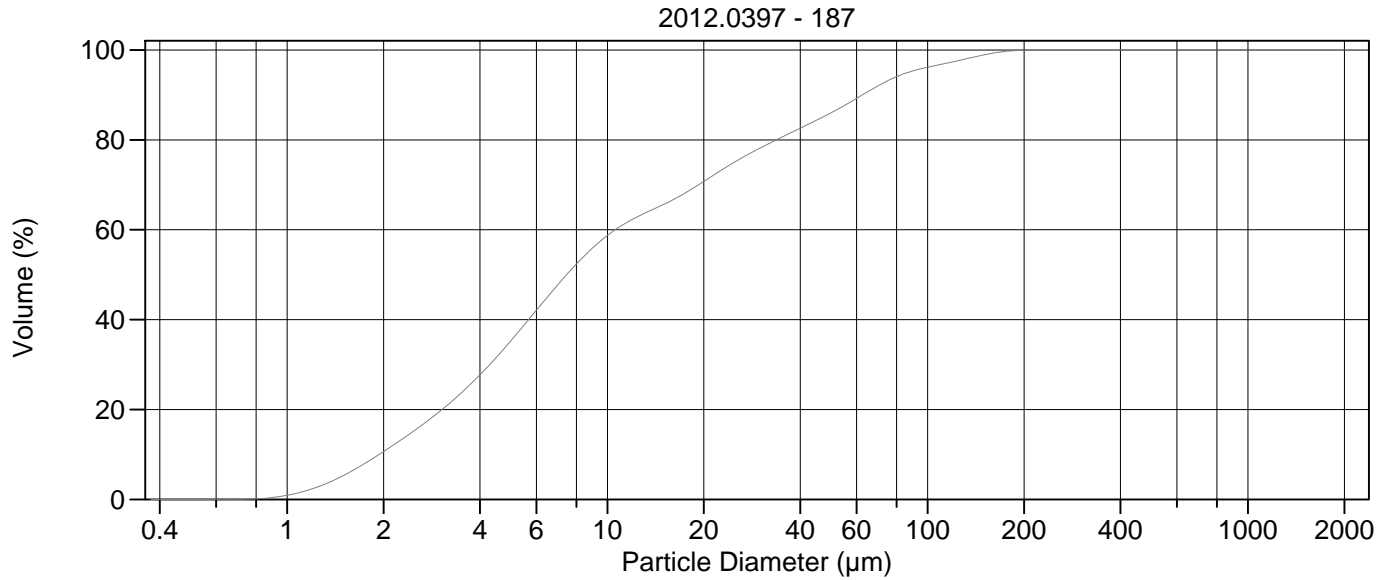
Calculations from 0.375 µm to 2000 µm

Volume	100.0%		
Mean:	17.14 µm	95% Conf. Limits:	0-63.29 µm
Median:	6.875 µm	S.D.:	23.55 µm
D(3,2):	4.555 µm	Variance:	554.5 µm ²
Mean/Median Ratio:	2.493	C.V.:	137%
Mode:	5.878 µm	Skewness:	2.419 Right skewed
d ₁₀ :	1.822 µm	Kurtosis:	6.557 Leptokurtic
d ₅₀ :	6.875 µm		
d ₉₀ :	50.58 µm		
Specific Surf. Area	13172 cm ² /ml		

% <	10	25	50	75	90
Size µm	1.822	3.411	6.875	20.47	50.58

186#.\$02

Particle Diameter µm	Volume % <	Particle Diameter µm	Volume % <
2.000	12.0	500.0	100
5.000	37.8	1000	100
10.00	62.0	2000	100
15.00	69.1		
20.00	74.5		
25.00	79.1		
50.00	89.8		
60.00	92.7		
63.00	93.4		
70.00	95.1		
75.00	96.0		
90.00	97.9		
125.0	99.5		
200.0	100.0		
250.0	100		
400.0	100		



Volume Statistics (Arithmetic) 187.\$02

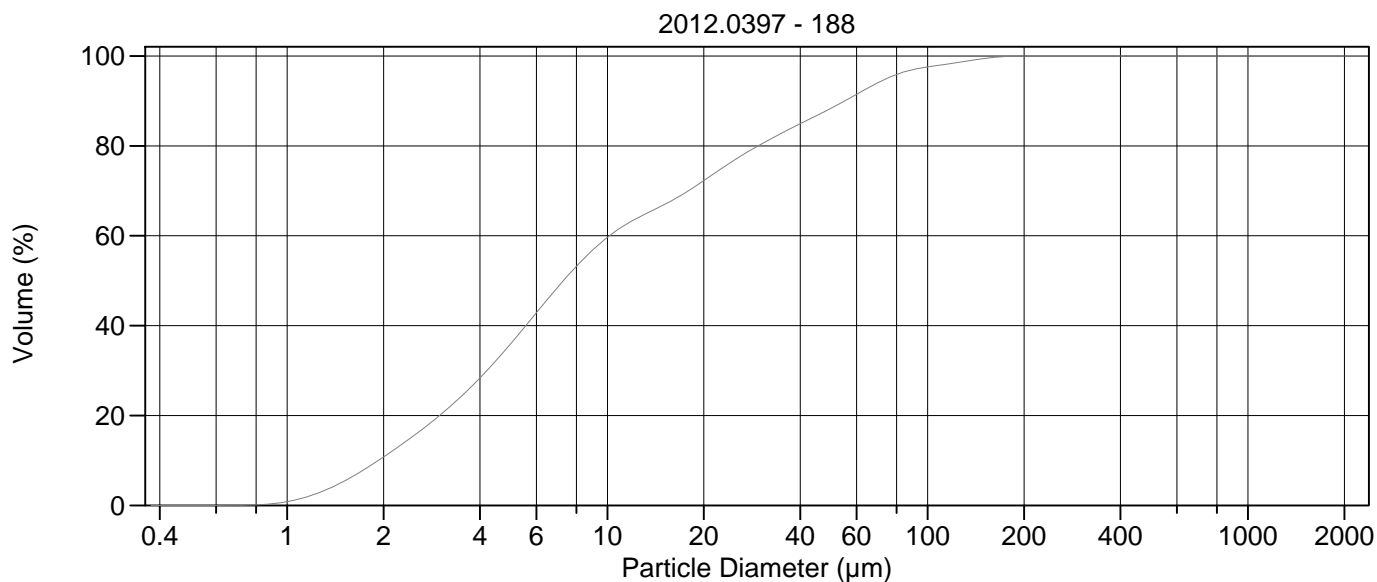
Calculations from 0.375 µm to 2000 µm

Volume	100.0%		
Mean:	21.43 µm	95% Conf. Limits:	0-82.69 µm
Median:	7.453 µm	S.D.:	31.25 µm
D(3,2):	4.923 µm	Variance:	976.7 µm ²
Mean/Median Ratio:	2.876	C.V.:	146%
Mode:	5.878 µm	Skewness:	2.525 Right skewed
d ₁₀ :	1.940 µm	Kurtosis:	7.030 Leptokurtic
d ₅₀ :	7.453 µm		
d ₉₀ :	62.54 µm		
Specific Surf. Area	12187 cm ² /ml		

% <	10	25	50	75	90
Size µm	1.940	3.657	7.453	24.85	62.54

187.\$02

Particle Diameter µm	Volume % <	Particle Diameter µm	Volume % <
2.000	10.6	500.0	100
5.000	35.3	1000	100
10.00	58.7	2000	100
15.00	65.6		
20.00	70.7		
25.00	75.1		
50.00	86.0		
60.00	89.2		
63.00	90.1		
70.00	92.0		
75.00	93.1		
90.00	95.4		
125.0	97.6		
200.0	99.9		
250.0	100.0		
400.0	100		



Volume Statistics (Arithmetic) 188.\$02

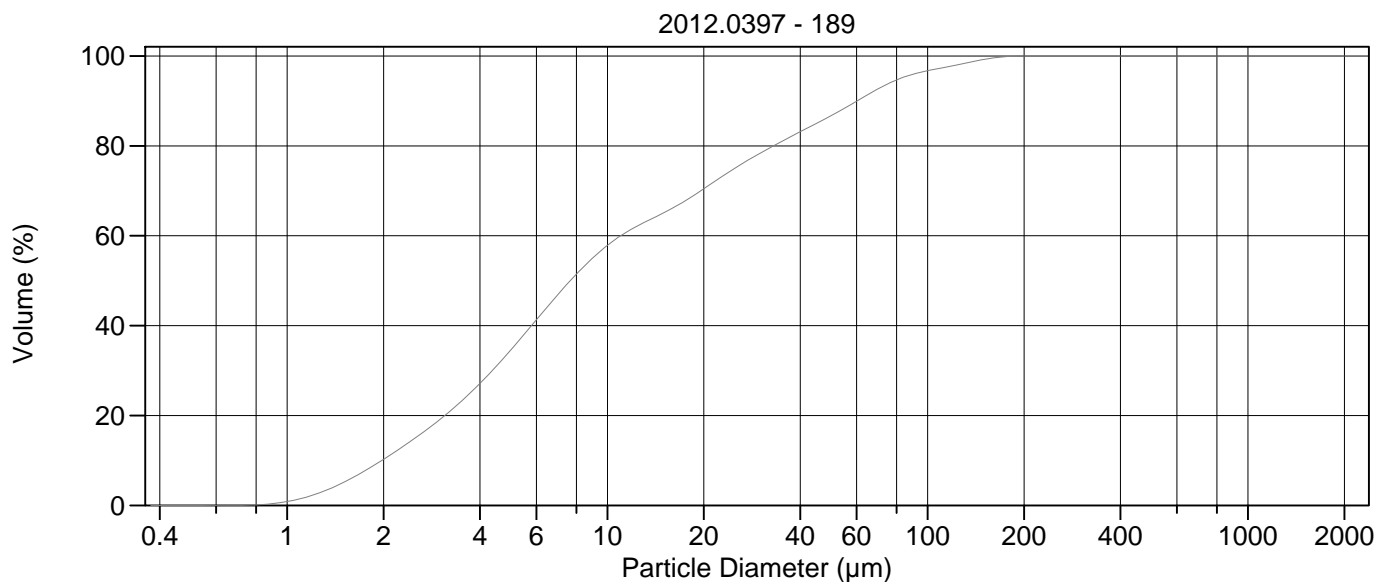
Calculations from 0.375 µm to 2000 µm

Volume	100.0%		
Mean:	19.07 µm	95% Conf. Limits:	0-71.98 µm
Median:	7.289 µm	S.D.:	26.99 µm
D(3,2):	4.843 µm	Variance:	728.7 µm ²
Mean/Median Ratio:	2.616	C.V.:	142%
Mode:	5.878 µm	Skewness:	2.620 Right skewed
d ₁₀ :	1.927 µm	Kurtosis:	8.081 Leptokurtic
d ₅₀ :	7.289 µm		
d ₉₀ :	55.12 µm		
Specific Surf. Area	12388 cm ² /ml		

% <	10	25	50	75	90
Size µm	1.927	3.586	7.289	22.73	55.12

188.\$02

Particle Diameter µm	Volume % <	Particle Diameter µm	Volume % <
2.000	10.8	500.0	100
5.000	36.0	1000	100
10.00	59.6	2000	100
15.00	66.9		
20.00	72.3		
25.00	76.9		
50.00	88.4		
60.00	91.5		
63.00	92.3		
70.00	94.1		
75.00	95.1		
90.00	97.0		
125.0	98.6		
200.0	100.0		
250.0	100		
400.0	100		



Volume Statistics (Arithmetic) 189.\$02

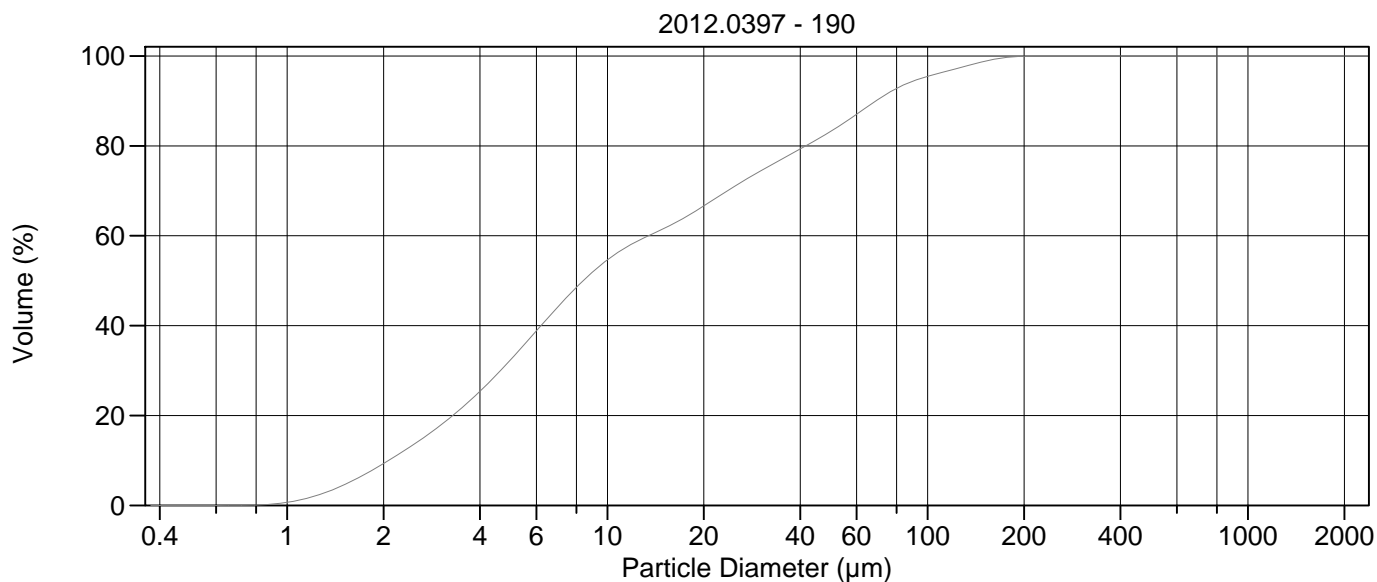
Calculations from 0.375 µm to 2000 µm

Volume	100.0%		
Mean:	20.83 µm	95% Conf. Limits:	0-78.55 µm
Median:	7.665 µm	S.D.:	29.45 µm
D(3,2):	5.007 µm	Variance:	867.2 µm ²
Mean/Median Ratio:	2.718	C.V.:	141%
Mode:	5.878 µm	Skewness:	2.481 Right skewed
d ₁₀ :	1.975 µm	Kurtosis:	6.869 Leptokurtic
d ₅₀ :	7.665 µm		
d ₉₀ :	60.30 µm		
Specific Surf. Area	11983 cm ² /ml		

% <	10	25	50	75	90
Size µm	1.975	3.726	7.665	24.94	60.30

189.\$02

Particle Diameter µm	Volume % <	Particle Diameter µm	Volume % <
2.000	10.3	500.0	100
5.000	34.6	1000	100
10.00	57.9	2000	100
15.00	65.1		
20.00	70.5		
25.00	75.0		
50.00	86.7		
60.00	89.9		
63.00	90.8		
70.00	92.7		
75.00	93.8		
90.00	95.9		
125.0	98.1		
200.0	100.0		
250.0	100		
400.0	100		



Volume Statistics (Arithmetic) 190.\$02

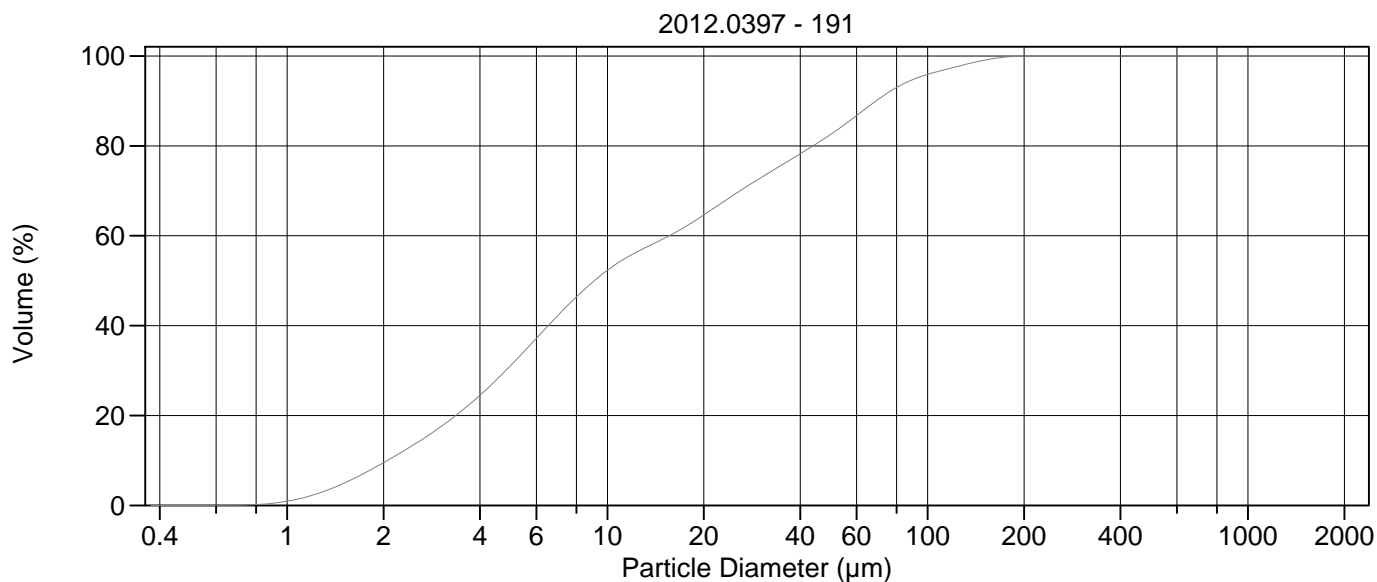
Calculations from 0.375 µm to 2000 µm

Volume	100.0%		
Mean:	24.14 µm	95% Conf. Limits:	0-89.19 µm
Median:	8.410 µm	S.D.:	33.19 µm
D(3,2):	5.349 µm	Variance:	1101 µm ²
Mean/Median Ratio:	2.871	C.V.:	137%
Mode:	5.878 µm	Skewness:	2.241 Right skewed
d ₁₀ :	2.076 µm	Kurtosis:	5.361 Leptokurtic
d ₅₀ :	8.410 µm		
d ₉₀ :	68.87 µm		
Specific Surf. Area	11218 cm ² /ml		

% <	10	25	50	75	90
Size µm	2.076	3.949	8.410	31.11	68.87

190.\$02

Particle Diameter µm	Volume % <	Particle Diameter µm	Volume % <
2.000	9.31	500.0	100
5.000	32.5	1000	100
10.00	54.6	2000	100
15.00	61.6		
20.00	66.6		
25.00	71.1		
50.00	83.3		
60.00	87.0		
63.00	88.1		
70.00	90.3		
75.00	91.7		
90.00	94.4		
125.0	97.3		
200.0	99.9		
250.0	100.0		
400.0	100		



Volume Statistics (Arithmetic) 191.\$02

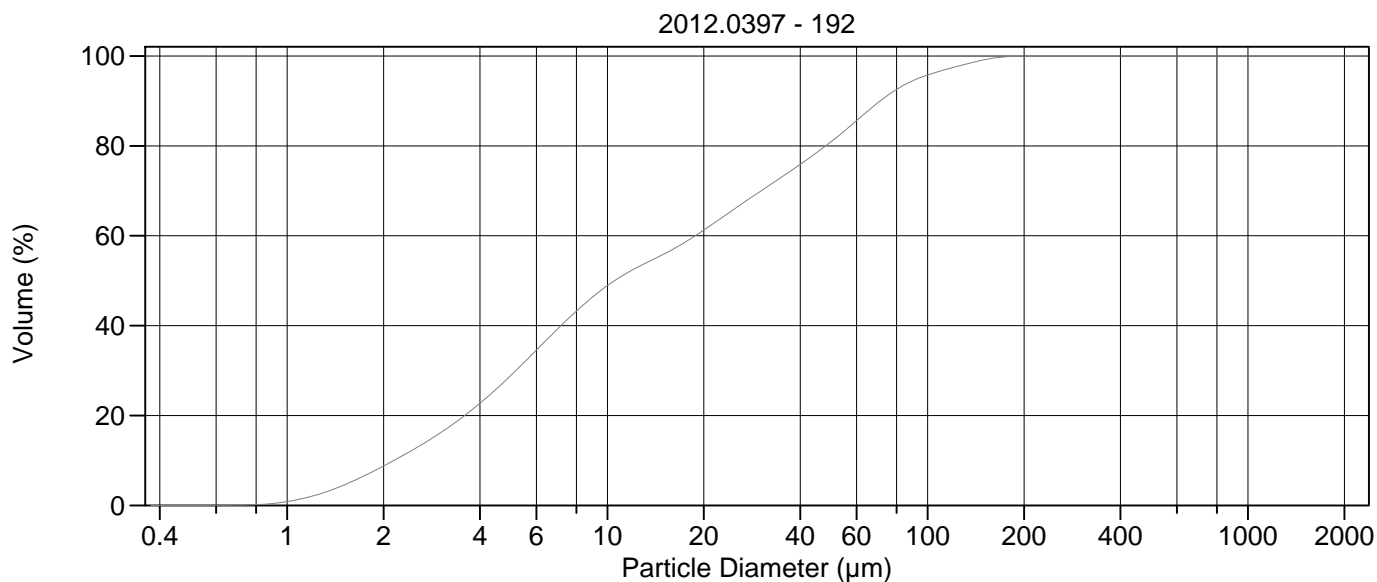
Calculations from 0.375 µm to 2000 µm

Volume	100.0%		
Mean:	24.58 µm	95% Conf. Limits:	0-87.60 µm
Median:	9.098 µm	S.D.:	32.15 µm
D(3,2):	5.418 µm	Variance:	1034 µm ²
Mean/Median Ratio:	2.702	C.V.:	131%
Mode:	5.878 µm	Skewness:	2.099 Right skewed
d ₁₀ :	2.058 µm	Kurtosis:	4.750 Leptokurtic
d ₅₀ :	9.098 µm		
d ₉₀ :	68.95 µm		
Specific Surf. Area	11074 cm ² /ml		

% <	10	25	50	75	90
Size µm	2.058	4.072	9.098	33.67	68.95

191.\$02

Particle Diameter µm	Volume % <	Particle Diameter µm	Volume % <
2.000	9.50	500.0	100
5.000	31.2	1000	100
10.00	52.3	2000	100
15.00	59.4		
20.00	64.6		
25.00	69.3		
50.00	82.6		
60.00	86.7		
63.00	87.9		
70.00	90.3		
75.00	91.8		
90.00	94.8		
125.0	97.7		
200.0	100.0		
250.0	100.0		
400.0	100		



Volume Statistics (Arithmetic) 192.\$02

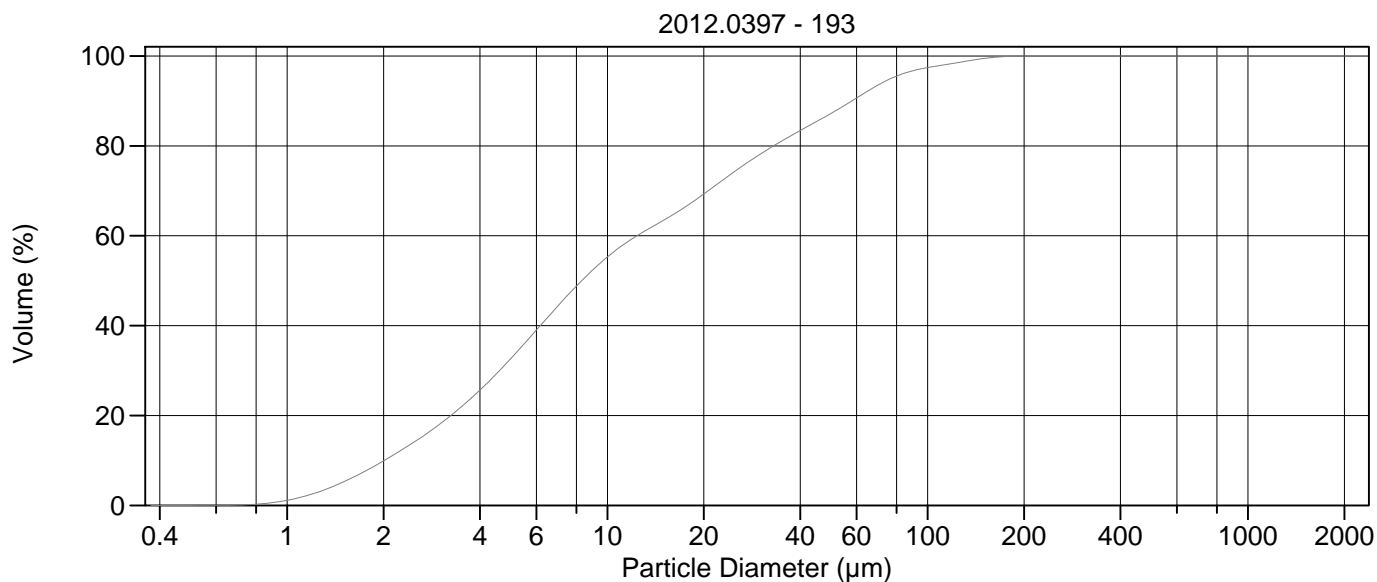
Calculations from 0.375 µm to 2000 µm

Volume	100.0%		
Mean:	26.21 µm	95% Conf. Limits:	0-89.66 µm
Median:	10.53 µm	S.D.:	32.37 µm
D(3,2):	5.768 µm	Variance:	1048 µm ²
Mean/Median Ratio:	2.489	C.V.:	123%
Mode:	5.878 µm	Skewness:	1.908 Right skewed
d ₁₀ :	2.156 µm	Kurtosis:	3.820 Leptokurtic
d ₅₀ :	10.53 µm		
d ₉₀ :	71.11 µm		
Specific Surf. Area	10403 cm ² /ml		

% <	10	25	50	75	90
Size µm	2.156	4.358	10.53	38.37	71.11

192.\$02

Particle Diameter µm	Volume % <	Particle Diameter µm	Volume % <
2.000	8.76	500.0	100
5.000	28.9	1000	100
10.00	48.9	2000	100
15.00	55.9		
20.00	61.2		
25.00	66.0		
50.00	80.9		
60.00	85.6		
63.00	86.9		
70.00	89.6		
75.00	91.2		
90.00	94.5		
125.0	97.8		
200.0	100.0		
250.0	100		
400.0	100		



Volume Statistics (Arithmetic) 193.\$02

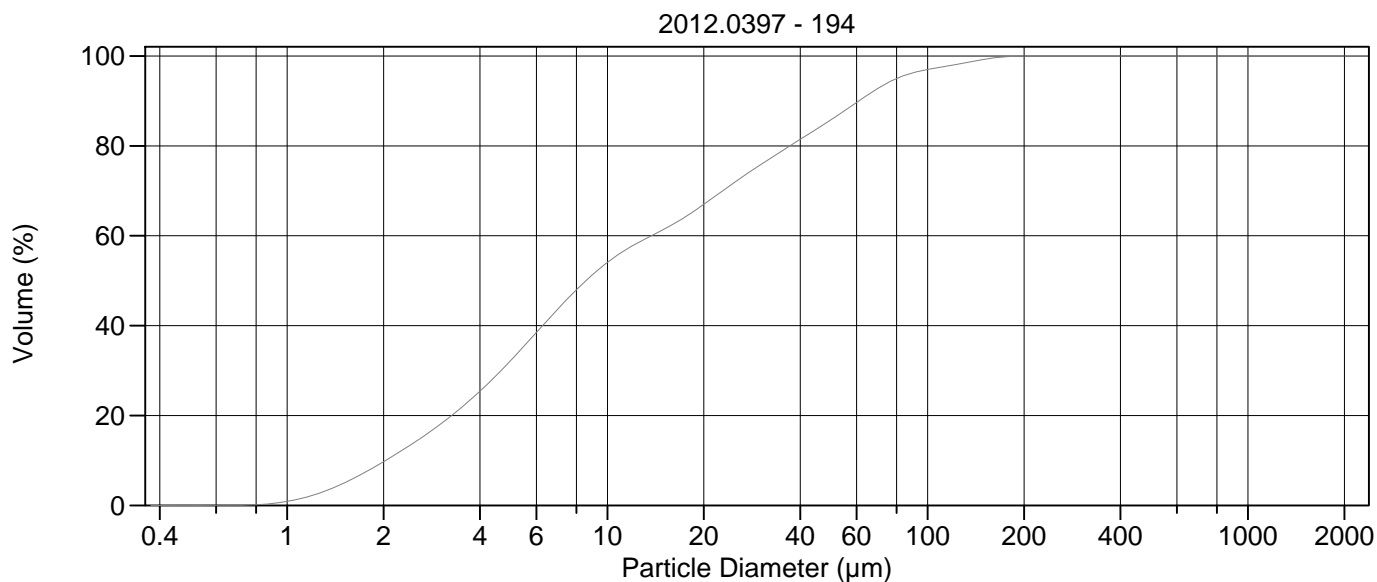
Calculations from 0.375 µm to 2000 µm

Volume	100.0%		
Mean:	20.53 µm	95% Conf. Limits:	0-74.54 µm
Median:	8.312 µm	S.D.:	27.55 µm
D(3,2):	5.133 µm	Variance:	759.2 µm ²
Mean/Median Ratio:	2.470	C.V.:	134%
Mode:	5.878 µm	Skewness:	2.439 Right skewed
d ₁₀ :	2.011 µm	Kurtosis:	6.987 Leptokurtic
d ₅₀ :	8.312 µm		
d ₉₀ :	57.98 µm		
Specific Surf. Area	11690 cm ² /ml		

% <	10	25	50	75	90
Size µm	2.011	3.911	8.312	25.78	57.98

193.\$02

Particle Diameter µm	Volume % <	Particle Diameter µm	Volume % <
2.000	9.90	500.0	100
5.000	32.7	1000	100
10.00	55.3	2000	100
15.00	63.5		
20.00	69.3		
25.00	74.4		
50.00	87.2		
60.00	90.6		
63.00	91.6		
70.00	93.6		
75.00	94.7		
90.00	96.7		
125.0	98.6		
200.0	100.0		
250.0	100		
400.0	100		



Volume Statistics (Arithmetic) 194.\$02

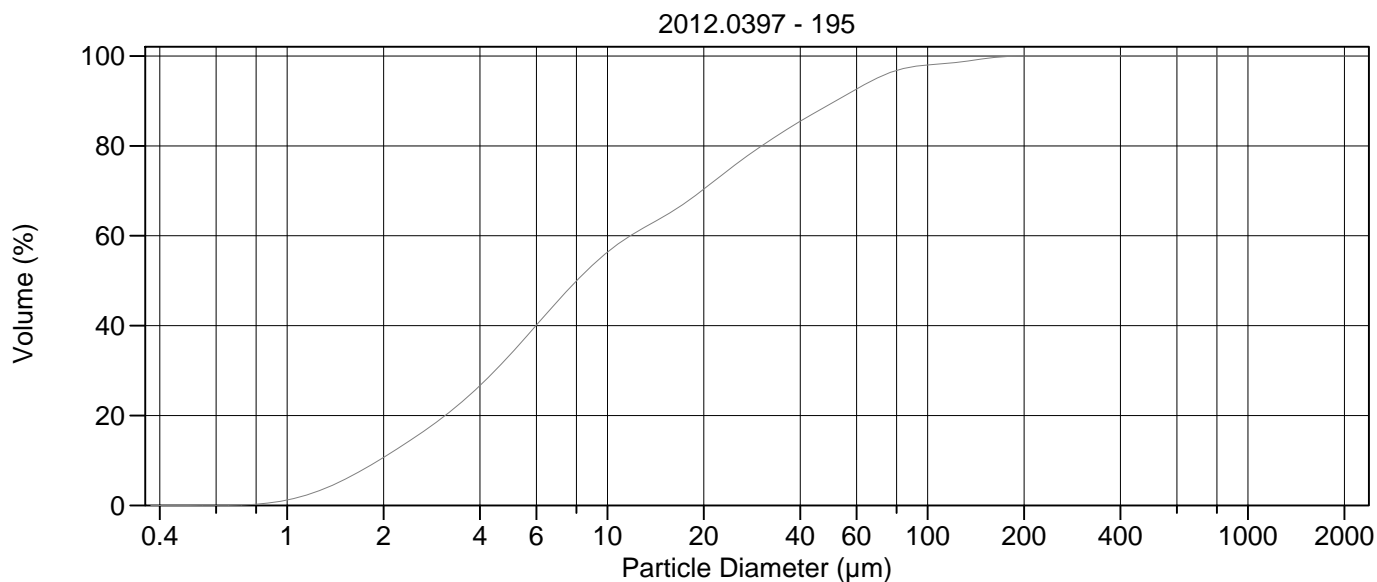
Calculations from 0.375 µm to 2000 µm

Volume	100.0%		
Mean:	21.98 µm	95% Conf. Limits:	0-79.18 µm
Median:	8.577 µm	S.D.:	29.19 µm
D(3,2):	5.267 µm	Variance:	851.8 µm ²
Mean/Median Ratio:	2.562	C.V.:	133%
Mode:	5.878 µm	Skewness:	2.354 Right skewed
d ₁₀ :	2.029 µm	Kurtosis:	6.477 Leptokurtic
d ₅₀ :	8.577 µm		
d ₉₀ :	61.03 µm		
Specific Surf. Area	11392 cm ² /ml		

% <	10	25	50	75	90
Size µm	2.029	3.943	8.577	28.94	61.03

194.\$02

Particle Diameter µm	Volume % <	Particle Diameter µm	Volume % <
2.000	9.73	500.0	100
5.000	32.3	1000	100
10.00	54.1	2000	100
15.00	61.4		
20.00	67.0		
25.00	71.9		
50.00	85.8		
60.00	89.6		
63.00	90.7		
70.00	92.8		
75.00	94.0		
90.00	96.3		
125.0	98.2		
200.0	100.0		
250.0	100		
400.0	100		



Volume Statistics (Arithmetic) 195.\$02

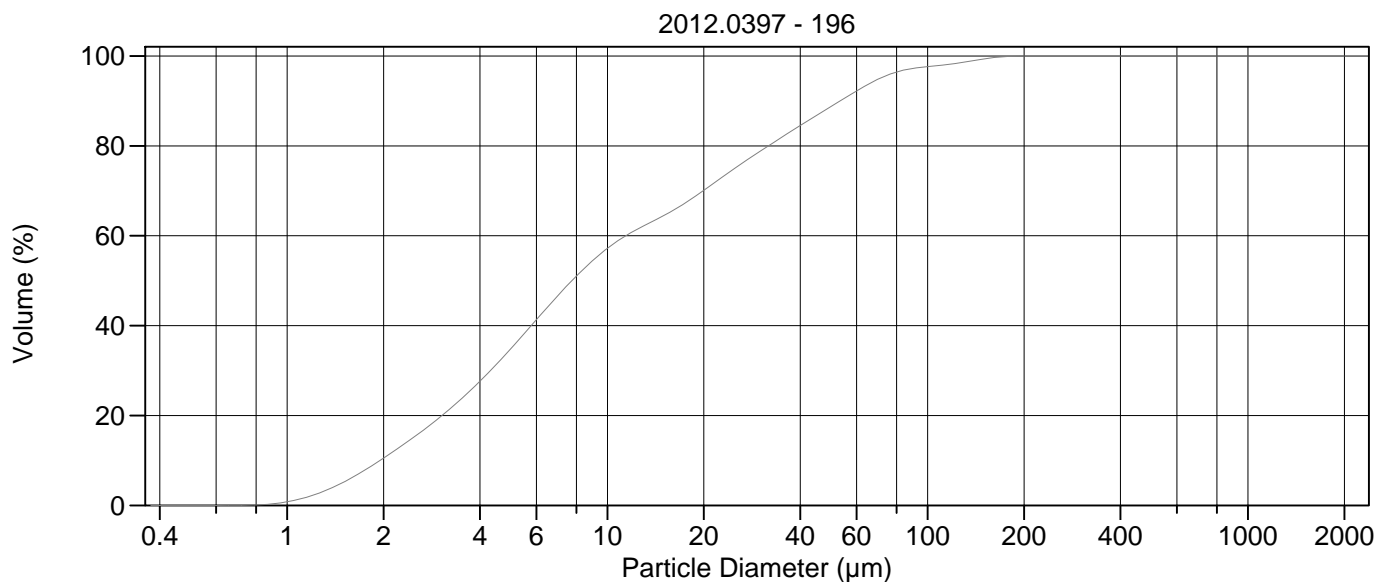
Calculations from 0.375 µm to 2000 µm

Volume	100.0%		
Mean:	19.05 µm	95% Conf. Limits:	0-69.66 µm
Median:	8.020 µm	S.D.:	25.82 µm
D(3,2):	4.960 µm	Variance:	666.7 µm ²
Mean/Median Ratio:	2.375	C.V.:	136%
Mode:	5.878 µm	Skewness:	2.761 Right skewed
d ₁₀ :	1.931 µm	Kurtosis:	9.749 Leptokurtic
d ₅₀ :	8.020 µm		
d ₉₀ :	51.64 µm		
Specific Surf. Area	12098 cm ² /ml		

% <	10	25	50	75	90
Size µm	1.931	3.773	8.020	24.26	51.64

195.\$02

Particle Diameter µm	Volume % <	Particle Diameter µm	Volume % <
2.000	10.7	500.0	100
5.000	33.7	1000	100
10.00	56.3	2000	100
15.00	64.3		
20.00	70.4		
25.00	75.7		
50.00	89.4		
60.00	92.6		
63.00	93.5		
70.00	95.2		
75.00	96.1		
90.00	97.6		
125.0	98.6		
200.0	100.0		
250.0	100		
400.0	100		



Volume Statistics (Arithmetic) 196.\$02

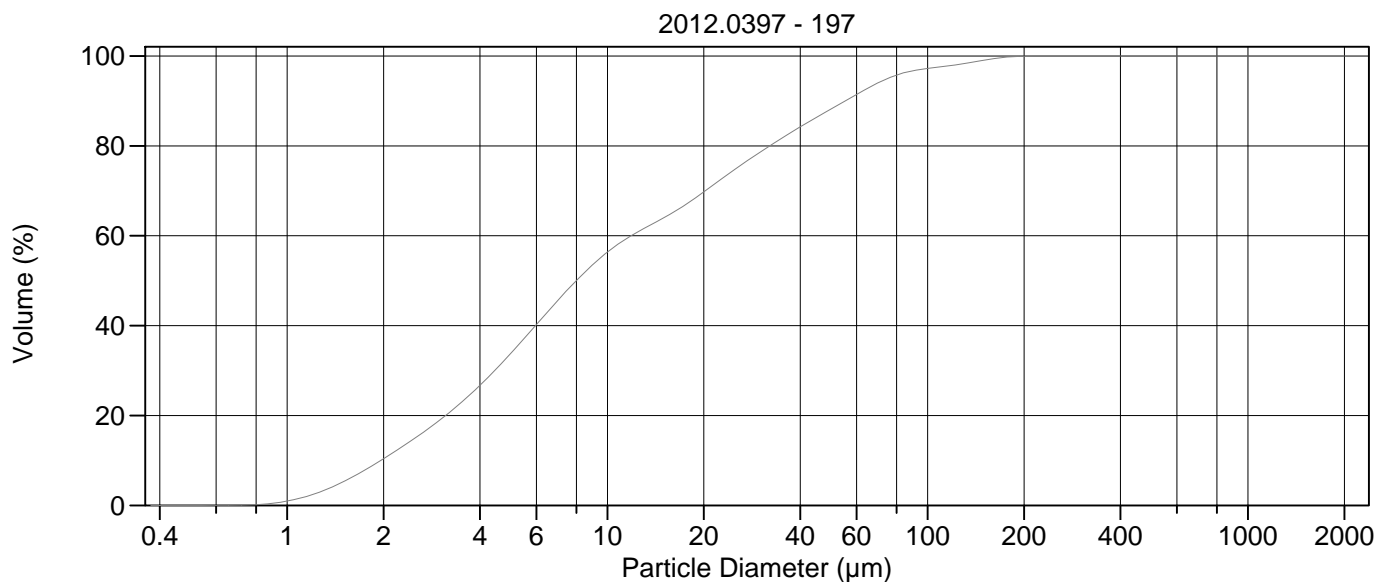
Calculations from 0.375 µm to 2000 µm

Volume	100.0%		
Mean:	19.50 µm	95% Conf. Limits:	0-71.96 µm
Median:	7.753 µm	S.D.:	26.77 µm
D(3,2):	4.977 µm	Variance:	716.5 µm ²
Mean/Median Ratio:	2.515	C.V.:	137%
Mode:	5.878 µm	Skewness:	2.680 Right skewed
d ₁₀ :	1.952 µm	Kurtosis:	8.888 Leptokurtic
d ₅₀ :	7.753 µm		
d ₉₀ :	53.31 µm		
Specific Surf. Area	12055 cm ² /ml		

% <	10	25	50	75	90
Size µm	1.952	3.662	7.753	24.96	53.31

196.\$02

Particle Diameter µm	Volume % <	Particle Diameter µm	Volume % <
2.000	10.5	500.0	100
5.000	34.9	1000	100
10.00	57.2	2000	100
15.00	64.5		
20.00	70.1		
25.00	75.0		
50.00	88.8		
60.00	92.2		
63.00	93.1		
70.00	94.8		
75.00	95.7		
90.00	97.2		
125.0	98.5		
200.0	100.0		
250.0	100		
400.0	100		



Volume Statistics (Arithmetic) 197.\$02

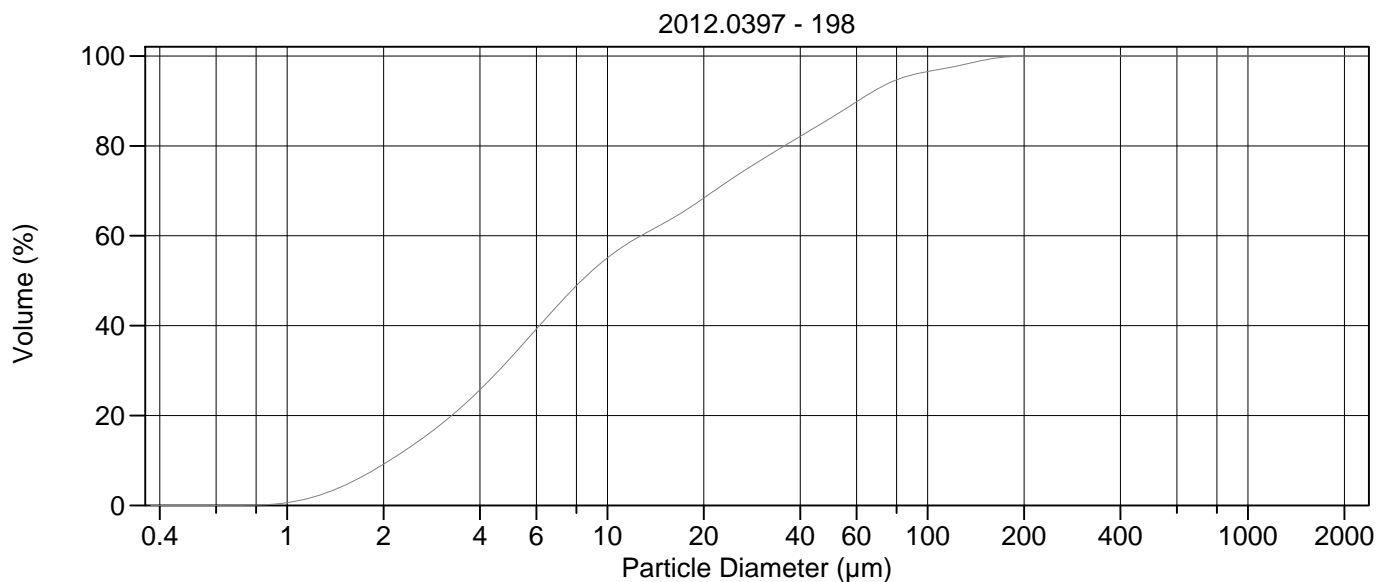
Calculations from 0.375 µm to 2000 µm

Volume	100.0%		
Mean:	20.28 µm	95% Conf. Limits:	0-76.01 µm
Median:	7.997 µm	S.D.:	28.44 µm
D(3,2):	5.033 µm	Variance:	808.6 µm ²
Mean/Median Ratio:	2.536	C.V.:	140%
Mode:	5.878 µm	Skewness:	2.747 Right skewed
d ₁₀ :	1.963 µm	Kurtosis:	9.181 Leptokurtic
d ₅₀ :	7.997 µm		
d ₉₀ :	55.36 µm		
Specific Surf. Area	11920 cm ² /ml		

% <	10	25	50	75	90
Size µm	1.963	3.770	7.997	25.24	55.36

197.\$02

Particle Diameter µm	Volume % <	Particle Diameter µm	Volume % <
2.000	10.4	500.0	100
5.000	33.8	1000	100
10.00	56.4	2000	100
15.00	64.0		
20.00	69.8		
25.00	74.8		
50.00	88.2		
60.00	91.4		
63.00	92.3		
70.00	94.0		
75.00	95.0		
90.00	96.7		
125.0	98.1		
200.0	100.0		
250.0	100.0		
400.0	100		



Volume Statistics (Arithmetic) 198.\$02

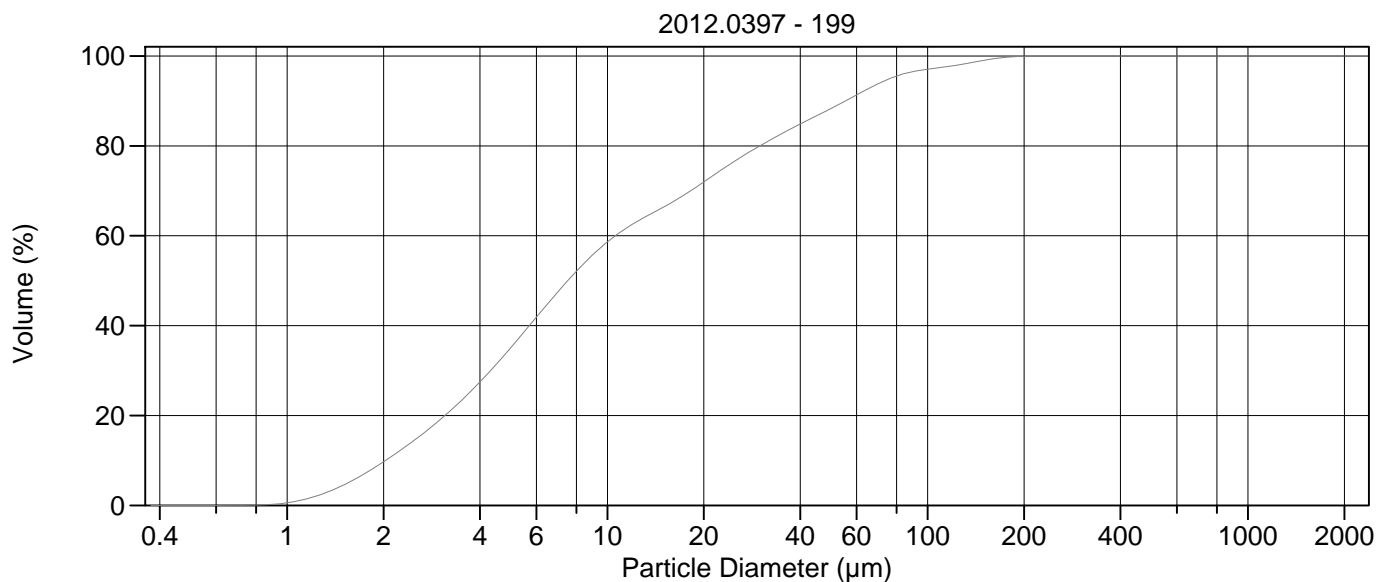
Calculations from 0.375 µm to 2000 µm

Volume	100.0%		
Mean:	21.82 µm	95% Conf. Limits:	0-80.74 µm
Median:	8.305 µm	S.D.:	30.06 µm
D(3,2):	5.310 µm	Variance:	903.6 µm ²
Mean/Median Ratio:	2.627	C.V.:	138%
Mode:	5.878 µm	Skewness:	2.474 Right skewed
d ₁₀ :	2.090 µm	Kurtosis:	6.980 Leptokurtic
d ₅₀ :	8.305 µm		
d ₉₀ :	60.59 µm		
Specific Surf. Area	11300 cm ² /ml		

% <	10	25	50	75	90
Size µm	2.090	3.902	8.305	27.42	60.59

198.\$02

Particle Diameter µm	Volume % <	Particle Diameter µm	Volume % <
2.000	9.16	500.0	100
5.000	32.9	1000	100
10.00	55.1	2000	100
15.00	62.8		
20.00	68.4		
25.00	73.1		
50.00	86.3		
60.00	89.8		
63.00	90.8		
70.00	92.7		
75.00	93.8		
90.00	95.9		
125.0	97.9		
200.0	100.0		
250.0	100.0		
400.0	100		



Volume Statistics (Arithmetic) 199.\$02

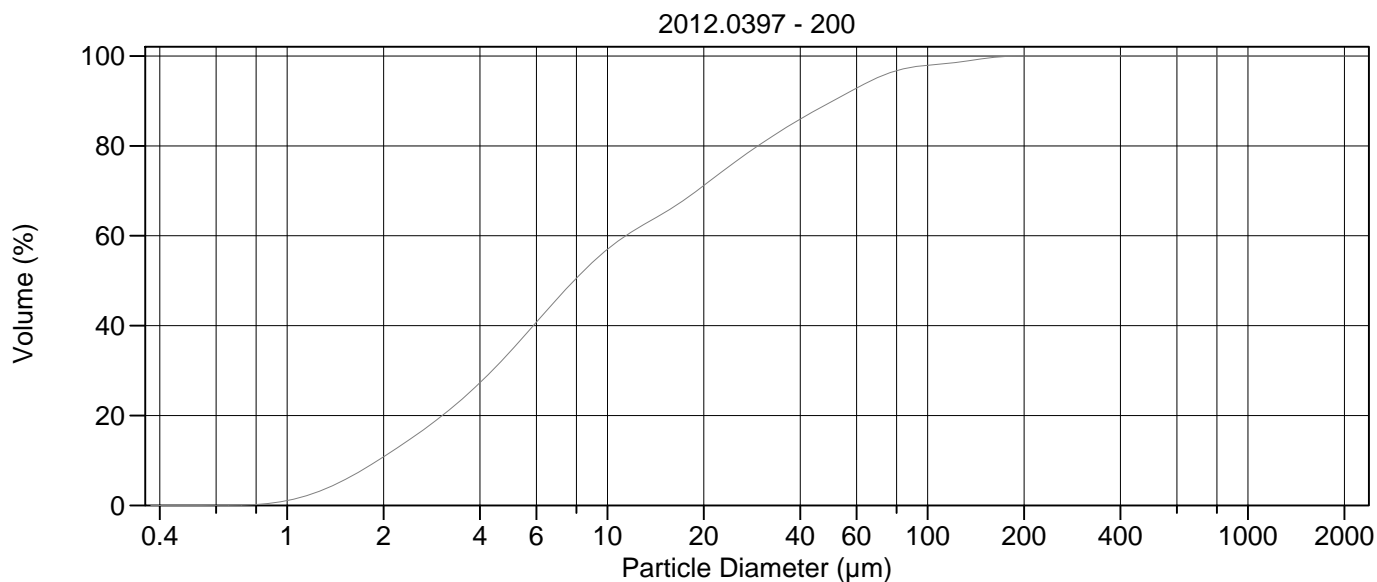
Calculations from 0.375 µm to 2000 µm

Volume	100.0%		
Mean:	19.76 µm	95% Conf. Limits:	0-76.20 µm
Median:	7.515 µm	S.D.:	28.80 µm
D(3,2):	5.043 µm	Variance:	829.2 µm ²
Mean/Median Ratio:	2.630	C.V.:	146%
Mode:	5.878 µm	Skewness:	2.815 Right skewed
d ₁₀ :	2.030 µm	Kurtosis:	9.358 Leptokurtic
d ₅₀ :	7.515 µm		
d ₉₀ :	55.46 µm		
Specific Surf. Area	11897 cm ² /ml		

% <	10	25	50	75	90
Size µm	2.030	3.700	7.515	23.06	55.46

199.\$02

Particle Diameter µm	Volume % <	Particle Diameter µm	Volume % <
2.000	9.70	500.0	100
5.000	35.1	1000	100
10.00	58.6	2000	100
15.00	66.4		
20.00	72.0		
25.00	76.7		
50.00	88.3		
60.00	91.3		
63.00	92.1		
70.00	93.8		
75.00	94.8		
90.00	96.5		
125.0	98.0		
200.0	99.9		
250.0	100.0		
400.0	100		



Volume Statistics (Arithmetic) 200.\$02

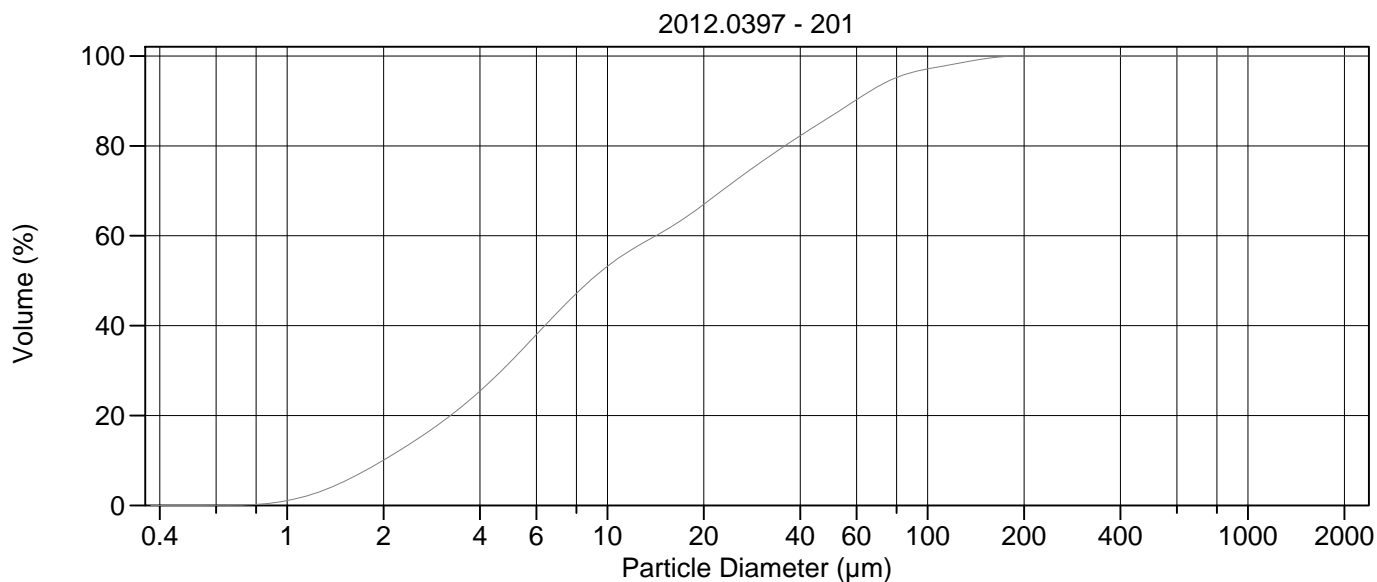
Calculations from 0.375 µm to 2000 µm

Volume	100.0%		
Mean:	18.73 µm	95% Conf. Limits:	0-69.00 µm
Median:	7.872 µm	S.D.:	25.65 µm
D(3,2):	4.917 µm	Variance:	657.8 µm ²
Mean/Median Ratio:	2.379	C.V.:	137%
Mode:	5.878 µm	Skewness:	2.785 Right skewed
d ₁₀ :	1.922 µm	Kurtosis:	9.776 Leptokurtic
d ₅₀ :	7.872 µm		
d ₉₀ :	50.63 µm		
Specific Surf. Area	12202 cm ² /ml		

% <	10	25	50	75	90
Size µm	1.922	3.693	7.872	23.54	50.63

200.\$02

Particle Diameter µm	Volume % <	Particle Diameter µm	Volume % <
2.000	10.8	500.0	100
5.000	34.4	1000	100
10.00	57.0	2000	100
15.00	65.1		
20.00	71.2		
25.00	76.4		
50.00	89.8		
60.00	92.8		
63.00	93.6		
70.00	95.2		
75.00	96.1		
90.00	97.5		
125.0	98.7		
200.0	100.0		
250.0	100		
400.0	100		



Volume Statistics (Arithmetic) 201.\$02

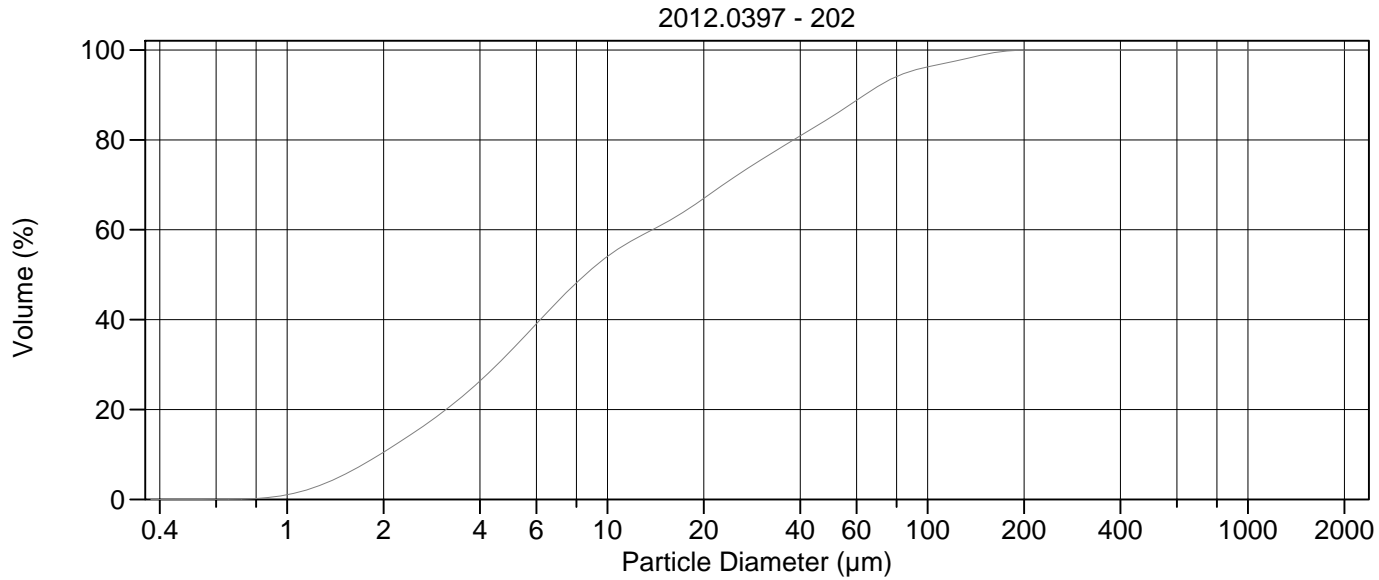
Calculations from 0.375 µm to 2000 µm

Volume	100.0%		
Mean:	21.57 µm	95% Conf. Limits:	0-77.11 µm
Median:	8.830 µm	S.D.:	28.33 µm
D(3,2):	5.217 µm	Variance:	802.8 µm ²
Mean/Median Ratio:	2.443	C.V.:	131%
Mode:	5.878 µm	Skewness:	2.361 Right skewed
d ₁₀ :	1.992 µm	Kurtosis:	6.534 Leptokurtic
d ₅₀ :	8.830 µm		
d ₉₀ :	59.22 µm		
Specific Surf. Area	11502 cm ² /ml		

% <	10	25	50	75	90
Size µm	1.992	3.936	8.830	28.34	59.22

201.\$02

Particle Diameter µm	Volume % <	Particle Diameter µm	Volume % <
2.000	10.1	500.0	100
5.000	32.1	1000	100
10.00	53.2	2000	100
15.00	61.0		
20.00	67.0		
25.00	72.2		
50.00	86.6		
60.00	90.3		
63.00	91.3		
70.00	93.2		
75.00	94.3		
90.00	96.4		
125.0	98.4		
200.0	100.0		
250.0	100		
400.0	100		



Volume Statistics (Arithmetic)

202#.\$02

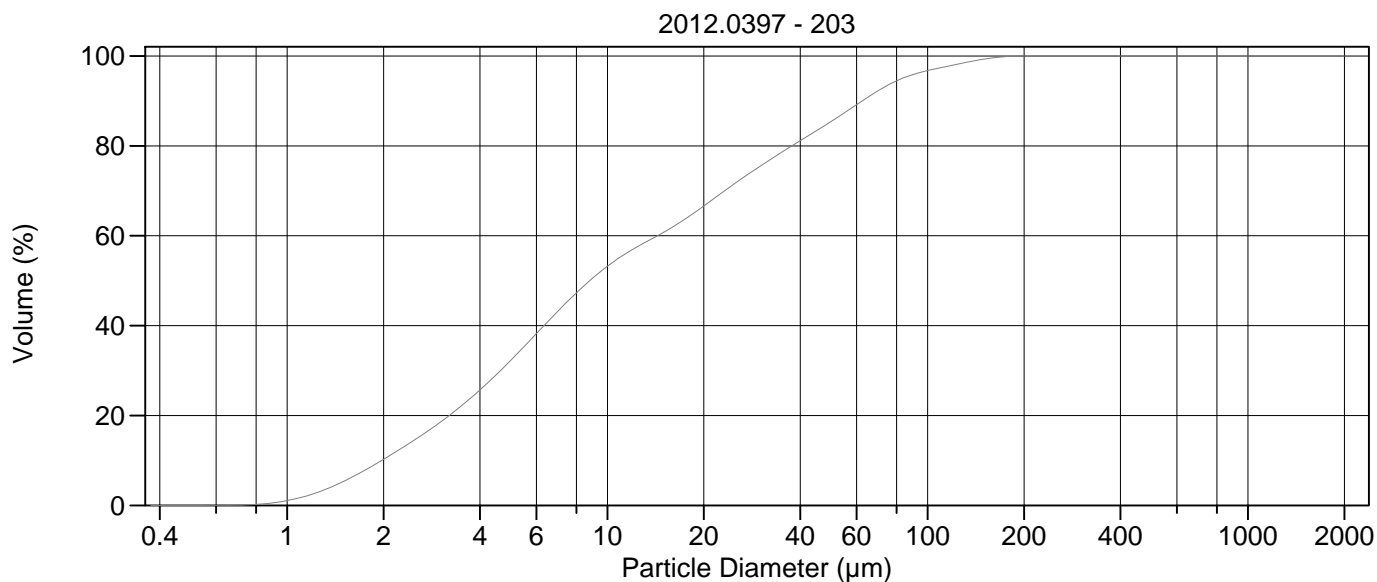
Calculations from 0.375 µm to 2000 µm

Volume	100.0%		
Mean:	22.79 µm	95% Conf. Limits:	0-83.80 µm
Median:	8.536 µm	S.D.:	31.13 µm
D(3,2):	5.122 µm	Variance:	968.9 µm ²
Mean/Median Ratio:	2.670	C.V.:	137%
Mode:	5.878 µm	Skewness:	2.367 Right skewed
d ₁₀ :	1.949 µm	Kurtosis:	6.304 Leptokurtic
d ₅₀ :	8.536 µm		
d ₉₀ :	63.51 µm		
Specific Surf. Area	11714 cm ² /ml		

% <	10	25	50	75	90
Size µm	1.949	3.810	8.536	29.35	63.51

202#.\$02

Particle Diameter µm	Volume % <	Particle Diameter µm	Volume % <
2.000	10.5	500.0	100
5.000	33.1	1000	100
10.00	54.1	2000	100
15.00	61.3		
20.00	67.0		
25.00	71.8		
50.00	85.1		
60.00	88.8		
63.00	89.8		
70.00	91.9		
75.00	93.1		
90.00	95.4		
125.0	97.7		
200.0	100.0		
250.0	100.0		
400.0	100		



Volume Statistics (Arithmetic) 203.\$02

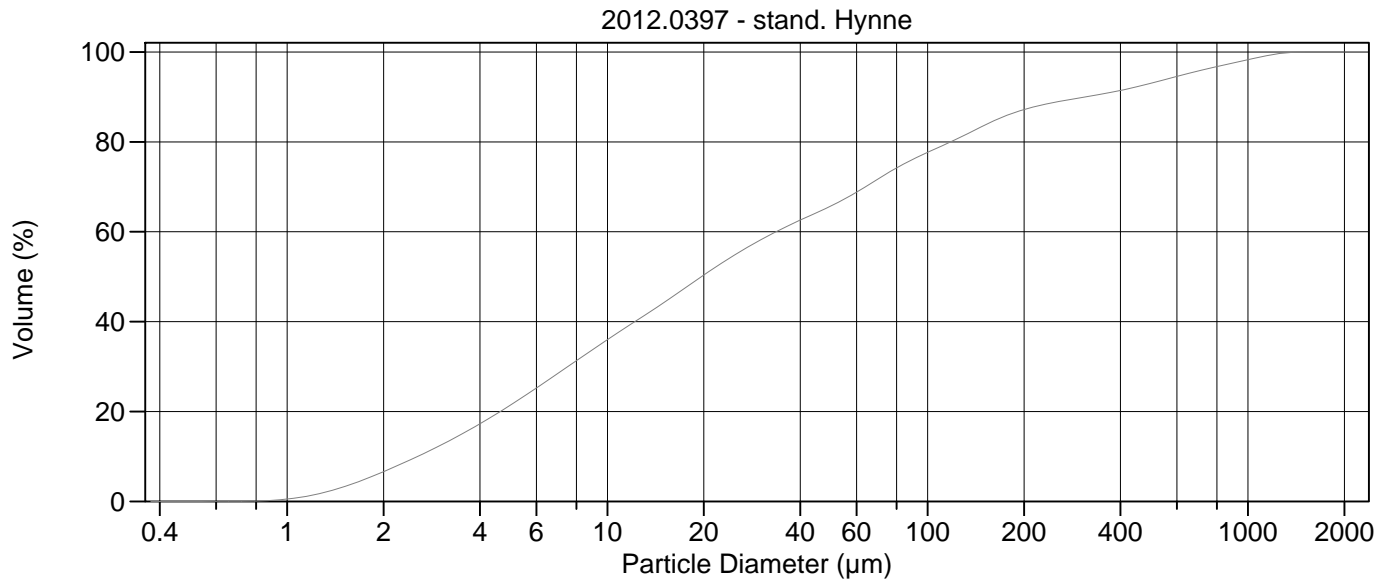
Calculations from 0.375 µm to 2000 µm

Volume	100.0%		
Mean:	22.36 µm	95% Conf. Limits:	0-80.22 µm
Median:	8.803 µm	S.D.:	29.52 µm
D(3,2):	5.198 µm	Variance:	871.6 µm ²
Mean/Median Ratio:	2.540	C.V.:	132%
Mode:	5.878 µm	Skewness:	2.265 Right skewed
d ₁₀ :	1.975 µm	Kurtosis:	5.781 Leptokurtic
d ₅₀ :	8.803 µm		
d ₉₀ :	62.47 µm		
Specific Surf. Area	11543 cm ² /ml		

% <	10	25	50	75	90
Size µm	1.975	3.899	8.803	29.32	62.47

203.\$02

Particle Diameter µm	Volume % <	Particle Diameter µm	Volume % <
2.000	10.2	500.0	100
5.000	32.3	1000	100
10.00	53.2	2000	100
15.00	60.8		
20.00	66.6		
25.00	71.7		
50.00	85.4		
60.00	89.1		
63.00	90.2		
70.00	92.3		
75.00	93.5		
90.00	95.9		
125.0	98.2		
200.0	100.0		
250.0	100		
400.0	100		



Volume Statistics (Arithmetic) 204.\$02

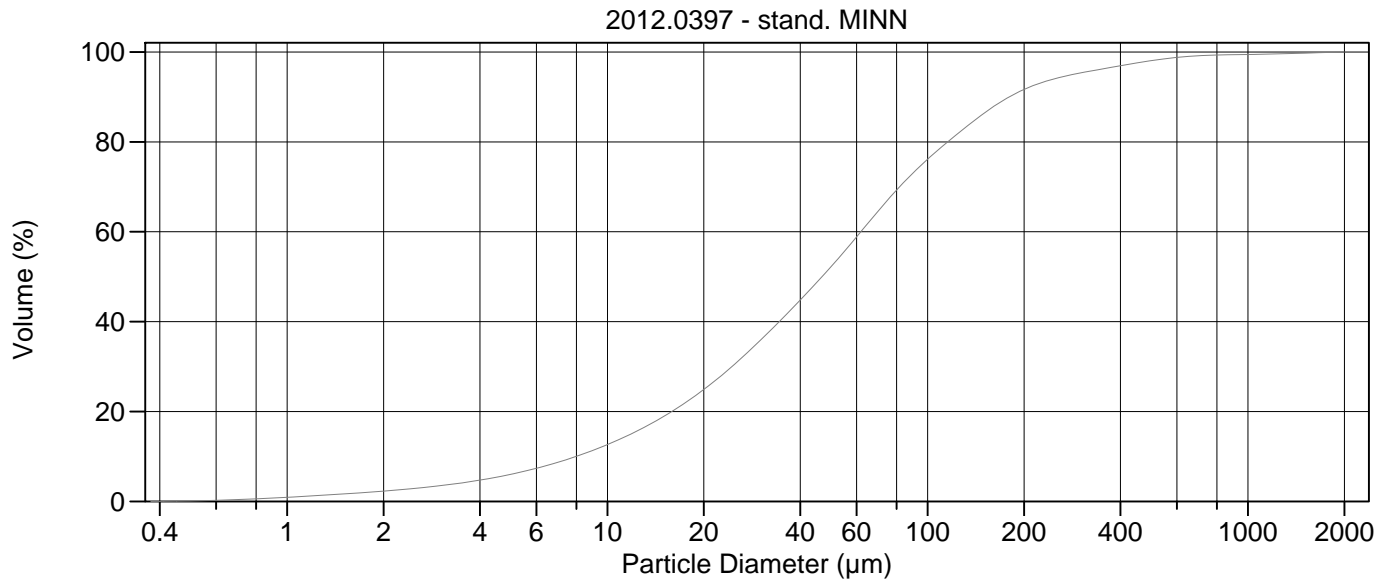
Calculations from 0.375 µm to 2000 µm

Volume	100.0%			
Mean:	106.8 µm	95% Conf. Limits:	0-540.1 µm	
Median:	19.66 µm	S.D.:	221.0 µm	
D(3,2):	7.507 µm	Variance:	48858 µm ²	
Mean/Median Ratio:	5.434	C.V.:	207%	
Mode:	18.00 µm	Skewness:	3.192 Right skewed	
d ₁₀ :	2.554 µm	Kurtosis:	10.49 Leptokurtic	
d ₅₀ :	19.66 µm			
d ₉₀ :	310.4 µm			
Specific Surf. Area	7993 cm ² /ml			

% <	10	25	50	75	90
Size µm	2.554	5.941	19.66	83.67	310.4

204.\$02

Particle Diameter µm	Volume % <	Particle Diameter µm	Volume % <
2.000	6.62	500.0	93.1
5.000	21.5	1000	98.3
10.00	36.0	2000	100
15.00	44.2		
20.00	50.4		
25.00	54.9		
50.00	65.8		
60.00	68.8		
63.00	69.7		
70.00	71.7		
75.00	73.0		
90.00	76.1		
125.0	80.8		
200.0	87.2		
250.0	88.8		
400.0	91.5		



Volume Statistics (Arithmetic)

205.\$02

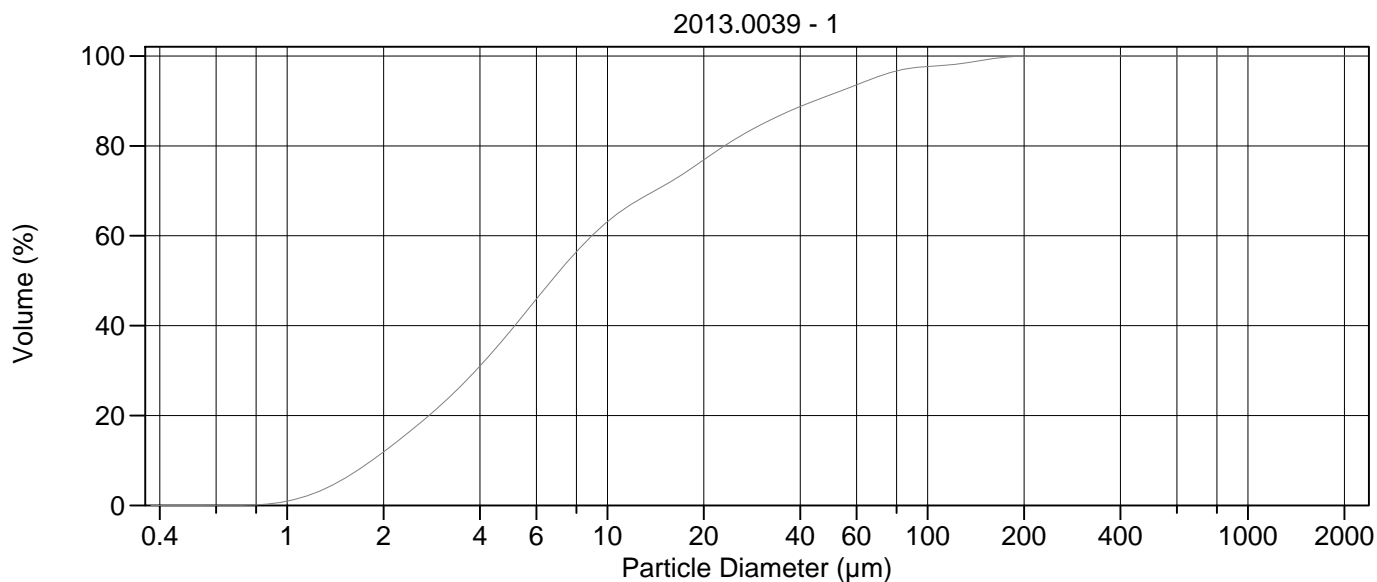
Calculations from 0.375 µm to 2000 µm

Volume	100.0%		
Mean:	86.36 µm	95% Conf. Limits:	0-374.2 µm
Median:	46.82 µm	S.D.:	146.8 µm
D(3,2):	15.21 µm	Variance:	21565 µm ²
Mean/Median Ratio:	1.844	C.V.:	170%
Mode:	60.52 µm	Skewness:	6.261 Right skewed
d ₁₀ :	7.981 µm	Kurtosis:	55.77 Leptokurtic
d ₅₀ :	46.82 µm		
d ₉₀ :	179.6 µm		
Specific Surf. Area	3945 cm ² /ml		

% <	10	25	50	75	90
Size µm	7.981	20.09	46.82	96.11	179.6

205.\$02

Particle Diameter µm	Volume % <	Particle Diameter µm	Volume % <
2.000	2.29	500.0	98.1
5.000	6.03	1000	99.5
10.00	12.6	2000	100
15.00	18.9		
20.00	24.9		
25.00	30.6		
50.00	52.2		
60.00	58.8		
63.00	60.7		
70.00	64.6		
75.00	67.1		
90.00	73.1		
125.0	82.0		
200.0	91.7		
250.0	94.1		
400.0	96.9		



Volume Statistics (Arithmetic) 1.\$02

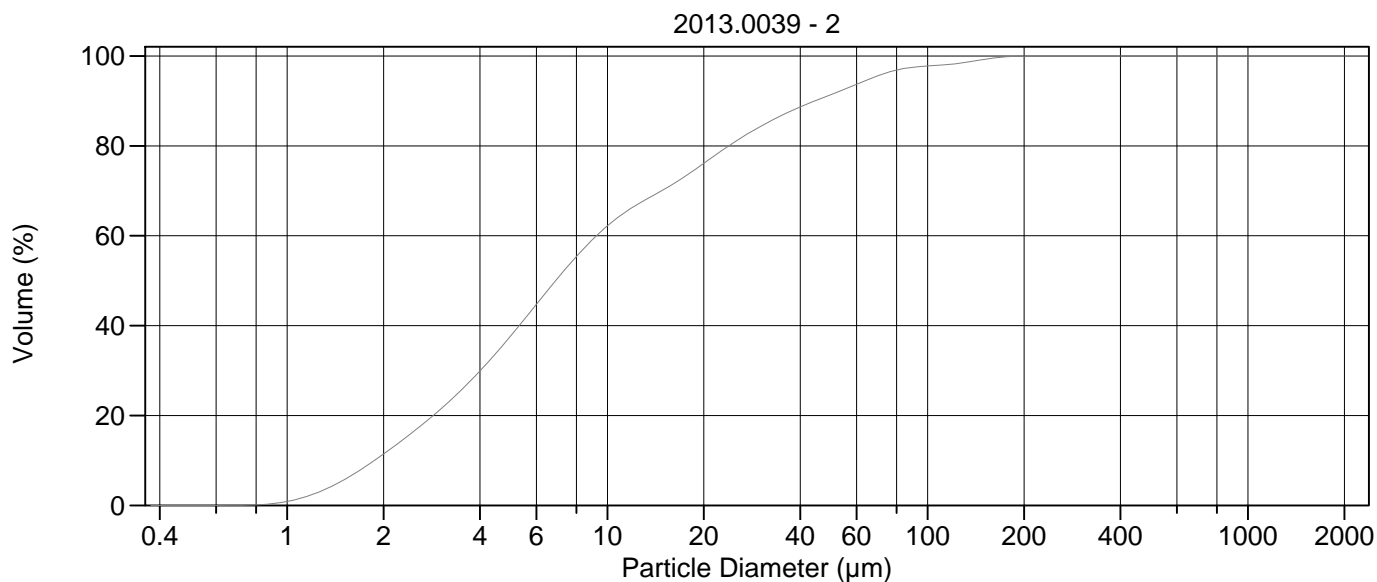
Calculations from 0.375 µm to 2000 µm

Volume	100.0%		
Mean:	16.82 µm	95% Conf. Limits:	0-68.56 µm
Median:	6.684 µm	S.D.:	26.40 µm
D(3,2):	4.517 µm	Variance:	697.0 µm ²
Mean/Median Ratio:	2.516	C.V.:	157%
Mode:	5.878 µm	Skewness:	3.366 Right skewed
d ₁₀ :	1.840 µm	Kurtosis:	13.62 Leptokurtic
d ₅₀ :	6.684 µm		
d ₉₀ :	44.22 µm		
Specific Surf. Area	13284 cm ² /ml		

% <	10	25	50	75	90
Size µm	1.840	3.311	6.684	18.32	44.22

1.\$02

Particle Diameter µm	Volume % <	Particle Diameter µm	Volume % <
2.000	11.9	500.0	100
5.000	38.9	1000	100
10.00	63.1	2000	100
15.00	71.1		
20.00	76.9		
25.00	81.5		
50.00	91.4		
60.00	93.6		
63.00	94.2		
70.00	95.4		
75.00	96.1		
90.00	97.3		
125.0	98.2		
200.0	100.0		
250.0	100.0		
400.0	100		



Volume Statistics (Arithmetic) 2.\$02

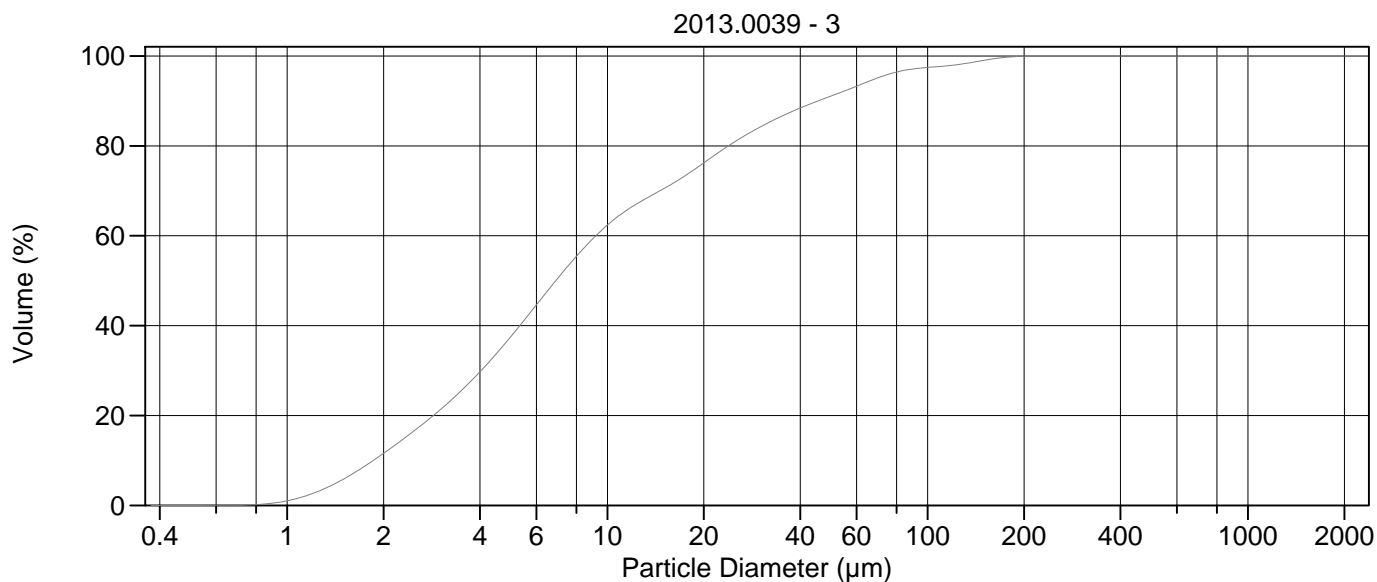
Calculations from 0.375 μm to 2000 μm

Volume	100.0%		
Mean:	16.88 μm	95% Conf. Limits:	0-67.22 μm
Median:	6.892 μm	S.D.:	25.68 μm
D(3,2):	4.627 μm	Variance:	659.7 μm^2
Mean/Median Ratio:	2.449	C.V.:	152%
Mode:	5.878 μm	Skewness:	3.273 Right skewed
d ₁₀ :	1.875 μm	Kurtosis:	12.98 Leptokurtic
d ₅₀ :	6.892 μm		
d ₉₀ :	44.41 μm		
Specific Surf. Area	12968 cm^2/ml		

% <	10	25	50	75	90
Size μm	1.875	3.421	6.892	19.02	44.41

2.\$02

Particle Diameter μm	Volume % <	Particle Diameter μm	Volume % <
2.000	11.4	500.0	100
5.000	37.8	1000	100
10.00	62.2	2000	100
15.00	70.3		
20.00	76.1		
25.00	80.9		
50.00	91.4		
60.00	93.7		
63.00	94.3		
70.00	95.6		
75.00	96.3		
90.00	97.5		
125.0	98.4		
200.0	100.0		
250.0	100		
400.0	100		



Volume Statistics (Arithmetic) 3.\$02

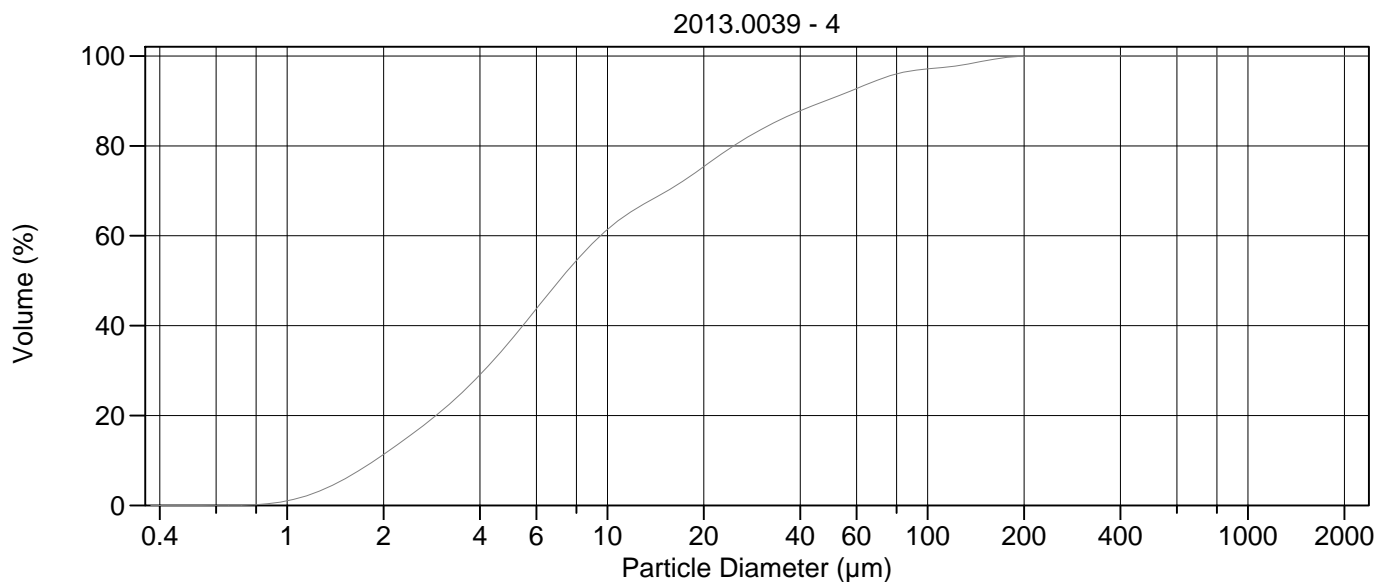
Calculations from 0.375 µm to 2000 µm

Volume	100.0%		
Mean:	17.30 µm	95% Conf. Limits:	0-70.26 µm
Median:	6.903 µm	S.D.:	27.02 µm
D(3,2):	4.601 µm	Variance:	730.1 µm ²
Mean/Median Ratio:	2.506	C.V.:	156%
Mode:	5.878 µm	Skewness:	3.308 Right skewed
d ₁₀ :	1.859 µm	Kurtosis:	12.99 Leptokurtic
d ₅₀ :	6.903 µm		
d ₉₀ :	45.51 µm		
Specific Surf. Area	13039 cm ² /ml		

% <	10	25	50	75	90
Size µm	1.859	3.436	6.903	18.91	45.51

3.\$02

Particle Diameter µm	Volume % <	Particle Diameter µm	Volume % <
2.000	11.6	500.0	100
5.000	37.6	1000	100
10.00	62.4	2000	100
15.00	70.5		
20.00	76.2		
25.00	80.9		
50.00	91.1		
60.00	93.3		
63.00	93.9		
70.00	95.2		
75.00	95.9		
90.00	97.1		
125.0	98.1		
200.0	100.0		
250.0	100.0		
400.0	100		



Volume Statistics (Arithmetic) 4.\$02

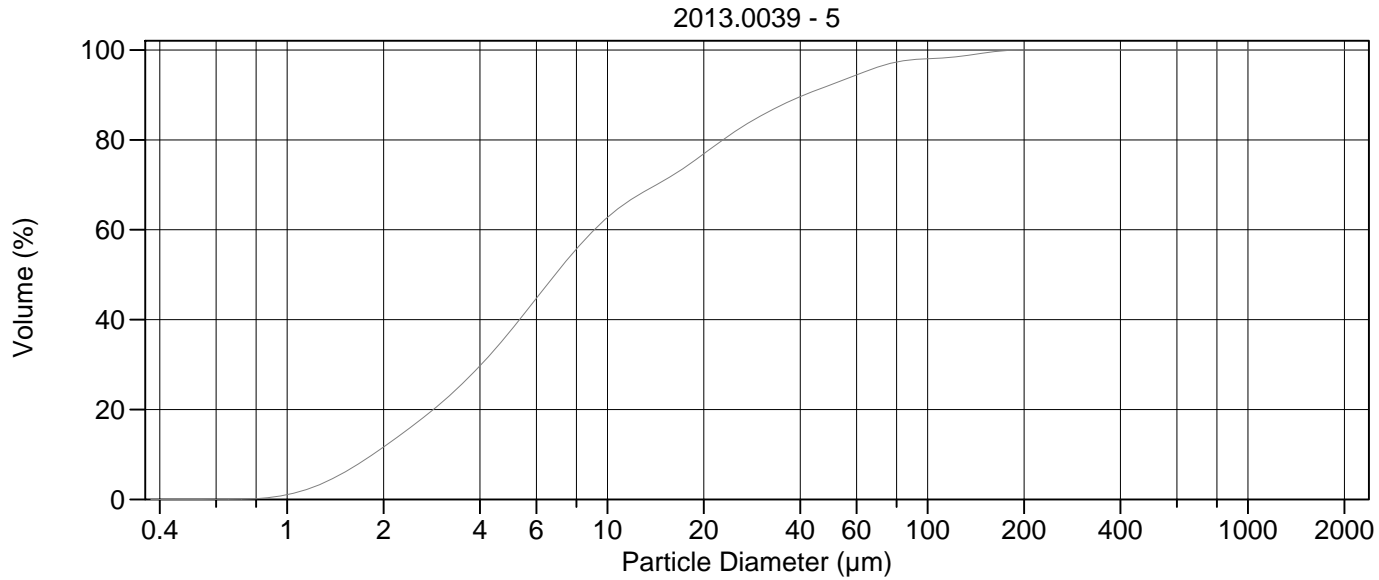
Calculations from 0.375 µm to 2000 µm

Volume	100.0%		
Mean:	18.03 µm	95% Conf. Limits:	0-73.33 µm
Median:	7.077 µm	S.D.:	28.21 µm
D(3,2):	4.677 µm	Variance:	796.0 µm ²
Mean/Median Ratio:	2.548	C.V.:	156%
Mode:	5.878 µm	Skewness:	3.238 Right skewed
d ₁₀ :	1.878 µm	Kurtosis:	12.25 Leptokurtic
d ₅₀ :	7.077 µm		
d ₉₀ :	47.83 µm		
Specific Surf. Area	12830 cm ² /ml		

% <	10	25	50	75	90
Size µm	1.878	3.504	7.077	19.67	47.83

4.\$02

Particle Diameter µm	Volume % <	Particle Diameter µm	Volume % <
2.000	11.3	500.0	100
5.000	36.8	1000	100
10.00	61.4	2000	100
15.00	69.5		
20.00	75.4		
25.00	80.2		
50.00	90.5		
60.00	92.7		
63.00	93.4		
70.00	94.7		
75.00	95.4		
90.00	96.7		
125.0	97.9		
200.0	99.9		
250.0	100.0		
400.0	100		



Volume Statistics (Arithmetic) 5.\$02

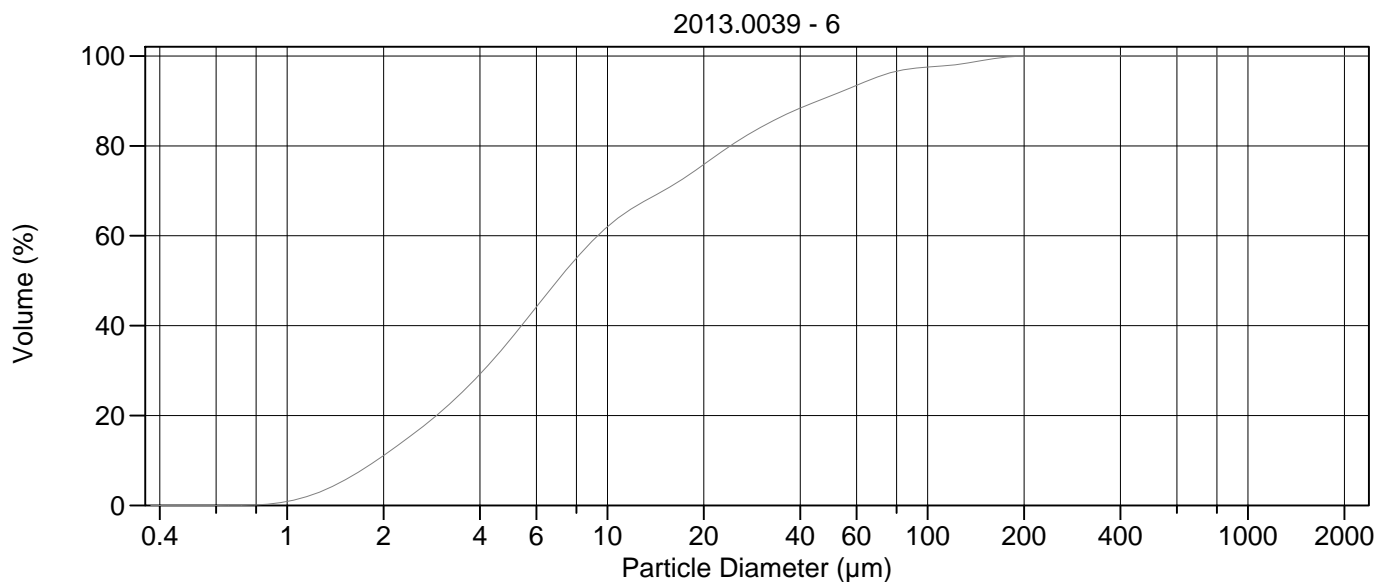
Calculations from 0.375 µm to 2000 µm

Volume	100.0%		
Mean:	16.15 µm	95% Conf. Limits:	0-64.06 µm
Median:	6.867 µm	S.D.:	24.45 µm
D(3,2):	4.575 µm	Variance:	597.6 µm ²
Mean/Median Ratio:	2.352	C.V.:	151%
Mode:	5.878 µm	Skewness:	3.426 Right skewed
d ₁₀ :	1.852 µm	Kurtosis:	14.57 Leptokurtic
d ₅₀ :	6.867 µm		
d ₉₀ :	41.23 µm		
Specific Surf. Area	13115 cm ² /ml		

% <	10	25	50	75	90
Size µm	1.852	3.436	6.867	18.39	41.23

5.\$02

Particle Diameter µm	Volume % <	Particle Diameter µm	Volume % <
2.000	11.7	500.0	100
5.000	37.6	1000	100
10.00	62.7	2000	100
15.00	70.9		
20.00	76.9		
25.00	81.9		
50.00	92.3		
60.00	94.4		
63.00	95.0		
70.00	96.2		
75.00	96.9		
90.00	97.8		
125.0	98.5		
200.0	100.0		
250.0	100		
400.0	100		



Volume Statistics (Arithmetic) 6.\$02

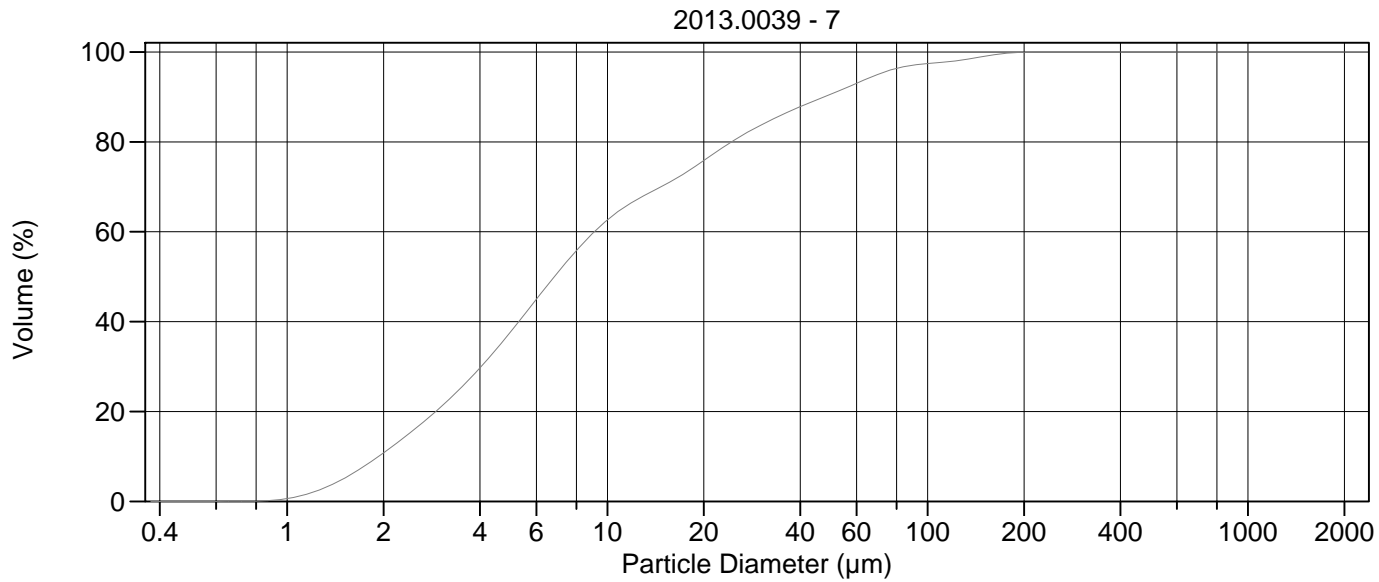
Calculations from 0.375 µm to 2000 µm

Volume	100.0%		
Mean:	17.30 µm	95% Conf. Limits:	0-69.62 µm
Median:	6.985 µm	S.D.:	26.69 µm
D(3,2):	4.691 µm	Variance:	712.5 µm ²
Mean/Median Ratio:	2.476	C.V.:	154%
Mode:	5.878 µm	Skewness:	3.315 Right skewed
d ₁₀ :	1.900 µm	Kurtosis:	13.18 Leptokurtic
d ₅₀ :	6.985 µm		
d ₉₀ :	45.40 µm		
Specific Surf. Area	12790 cm ² /ml		

% <	10	25	50	75	90
Size µm	1.900	3.499	6.985	19.25	45.40

6.\$02

Particle Diameter µm	Volume % <	Particle Diameter µm	Volume % <
2.000	11.1	500.0	100
5.000	37.1	1000	100
10.00	62.0	2000	100
15.00	70.1		
20.00	75.8		
25.00	80.7		
50.00	91.2		
60.00	93.5		
63.00	94.1		
70.00	95.4		
75.00	96.1		
90.00	97.2		
125.0	98.2		
200.0	100.0		
250.0	100.0		
400.0	100		



Volume Statistics (Arithmetic)

7#.\$02

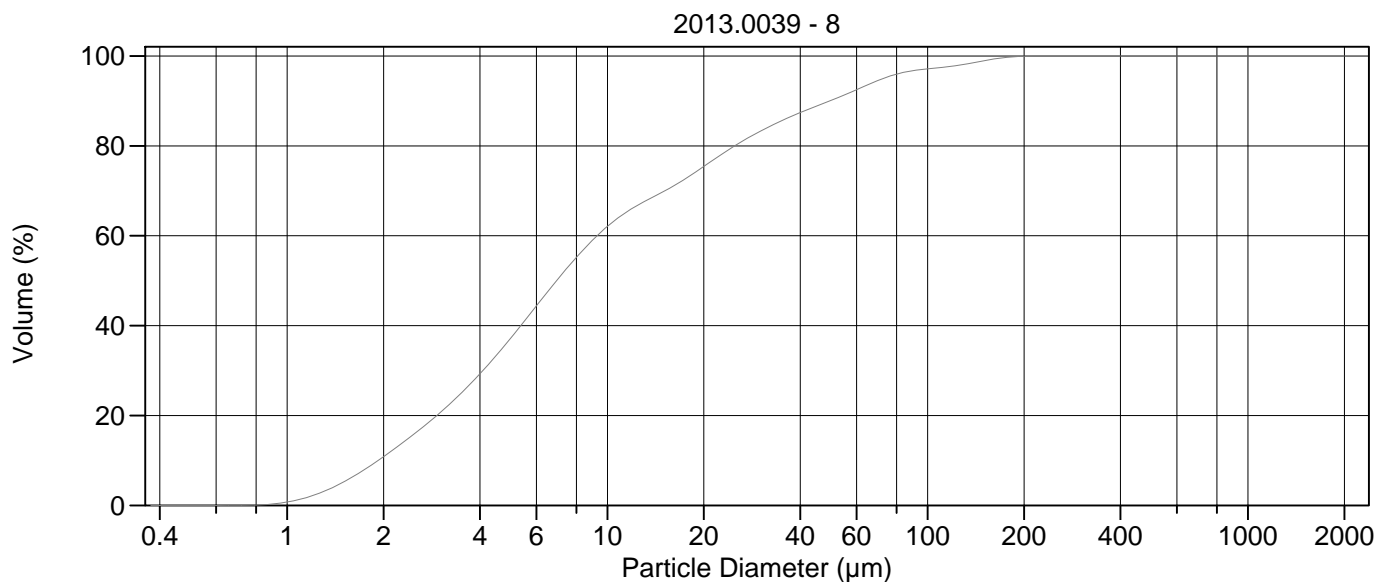
Calculations from 0.375 µm to 2000 µm

Volume	100.0%		
Mean:	17.54 µm	95% Conf. Limits:	0-70.98 µm
Median:	6.827 µm	S.D.:	27.27 µm
D(3,2):	4.713 µm	Variance:	743.5 µm ²
Mean/Median Ratio:	2.569	C.V.:	155%
Mode:	5.878 µm	Skewness:	3.241 Right skewed
d ₁₀ :	1.930 µm	Kurtosis:	12.51 Leptokurtic
d ₅₀ :	6.827 µm		
d ₉₀ :	47.46 µm		
Specific Surf. Area	12731 cm ² /ml		

% <	10	25	50	75	90
Size µm	1.930	3.459	6.827	19.21	47.46

7#.\$02

Particle Diameter µm	Volume % <	Particle Diameter µm	Volume % <
2.000	10.8	500.0	100
5.000	37.8	1000	100
10.00	62.6	2000	100
15.00	70.3		
20.00	75.9		
25.00	80.5		
50.00	90.6		
60.00	93.0		
63.00	93.7		
70.00	95.0		
75.00	95.8		
90.00	97.1		
125.0	98.1		
200.0	99.9		
250.0	100.0		
400.0	100		



Volume Statistics (Arithmetic) 8.\$02

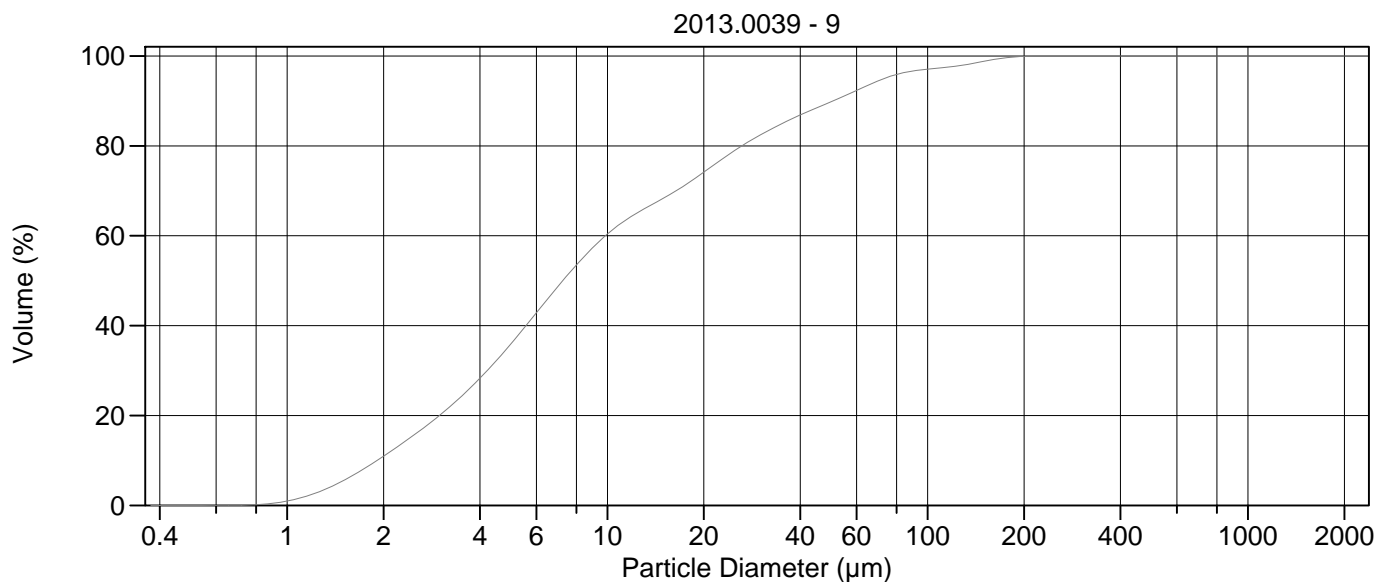
Calculations from 0.375 µm to 2000 µm

Volume	100.0%		
Mean:	18.09 µm	95% Conf. Limits:	0-73.44 µm
Median:	6.944 µm	S.D.:	28.24 µm
D(3,2):	4.730 µm	Variance:	797.4 µm ²
Mean/Median Ratio:	2.605	C.V.:	156%
Mode:	5.878 µm	Skewness:	3.169 Right skewed
d ₁₀ :	1.924 µm	Kurtosis:	11.72 Leptokurtic
d ₅₀ :	6.944 µm		
d ₉₀ :	49.46 µm		
Specific Surf. Area	12684 cm ² /ml		

% <	10	25	50	75	90
Size µm	1.924	3.496	6.944	19.63	49.46

8.\$02

Particle Diameter µm	Volume % <	Particle Diameter µm	Volume % <
2.000	10.8	500.0	100
5.000	37.3	1000	100
10.00	62.1	2000	100
15.00	69.9		
20.00	75.4		
25.00	80.0		
50.00	90.1		
60.00	92.5		
63.00	93.2		
70.00	94.6		
75.00	95.3		
90.00	96.7		
125.0	97.9		
200.0	99.9		
250.0	100.0		
400.0	100		



Volume Statistics (Arithmetic) 9.\$02

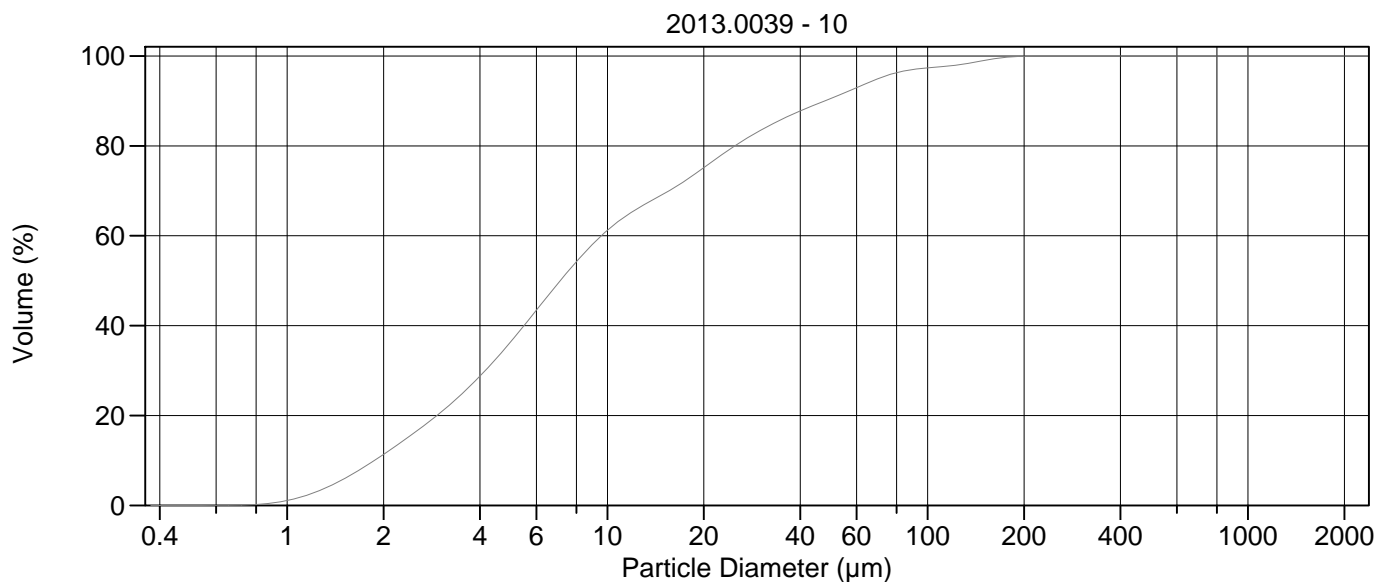
Calculations from 0.375 µm to 2000 µm

Volume	100.0%		
Mean:	18.69 µm	95% Conf. Limits:	0-75.06 µm
Median:	7.258 µm	S.D.:	28.76 µm
D(3,2):	4.780 µm	Variance:	827.1 µm ²
Mean/Median Ratio:	2.576	C.V.:	154%
Mode:	5.878 µm	Skewness:	3.148 Right skewed
d ₁₀ :	1.910 µm	Kurtosis:	11.65 Leptokurtic
d ₅₀ :	7.258 µm		
d ₉₀ :	50.69 µm		
Specific Surf. Area	12553 cm ² /ml		

% <	10	25	50	75	90
Size µm	1.910	3.590	7.258	20.76	50.69

9.\$02

Particle Diameter µm	Volume % <	Particle Diameter µm	Volume % <
2.000	11.0	500.0	100
5.000	35.9	1000	100
10.00	60.4	2000	100
15.00	68.4		
20.00	74.1		
25.00	79.0		
50.00	89.8		
60.00	92.3		
63.00	93.0		
70.00	94.5		
75.00	95.3		
90.00	96.7		
125.0	97.8		
200.0	99.9		
250.0	100.0		
400.0	100		



Volume Statistics (Arithmetic) 10.\$02

Calculations from 0.375 µm to 2000 µm

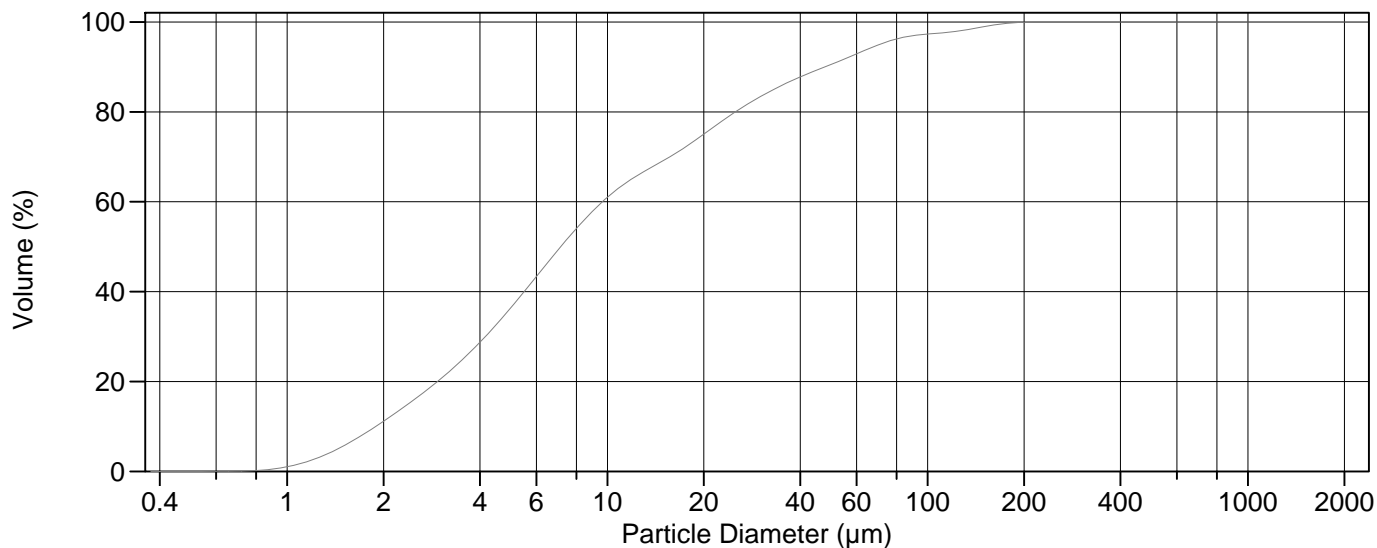
Volume	100.0%		
Mean:	17.87 µm	95% Conf. Limits:	0-71.74 µm
Median:	7.130 µm	S.D.:	27.49 µm
D(3,2):	4.682 µm	Variance:	755.6 µm ²
Mean/Median Ratio:	2.506	C.V.:	154%
Mode:	5.878 µm	Skewness:	3.224 Right skewed
d ₁₀ :	1.874 µm	Kurtosis:	12.35 Leptokurtic
d ₅₀ :	7.130 µm		
d ₉₀ :	47.72 µm		
Specific Surf. Area	12815 cm ² /ml		

% <	10	25	50	75	90
Size µm	1.874	3.534	7.130	19.87	47.72

10.\$02

Particle Diameter µm	Volume % <	Particle Diameter µm	Volume % <
2.000	11.4	500.0	100
5.000	36.5	1000	100
10.00	61.2	2000	100
15.00	69.3		
20.00	75.1		
25.00	80.0		
50.00	90.6		
60.00	92.9		
63.00	93.6		
70.00	95.0		
75.00	95.7		
90.00	97.0		
125.0	98.1		
200.0	99.9		
250.0	100.0		
400.0	100		

2013.0039 - 11



Volume Statistics (Arithmetic) 11.\$02

Calculations from 0.375 µm to 2000 µm

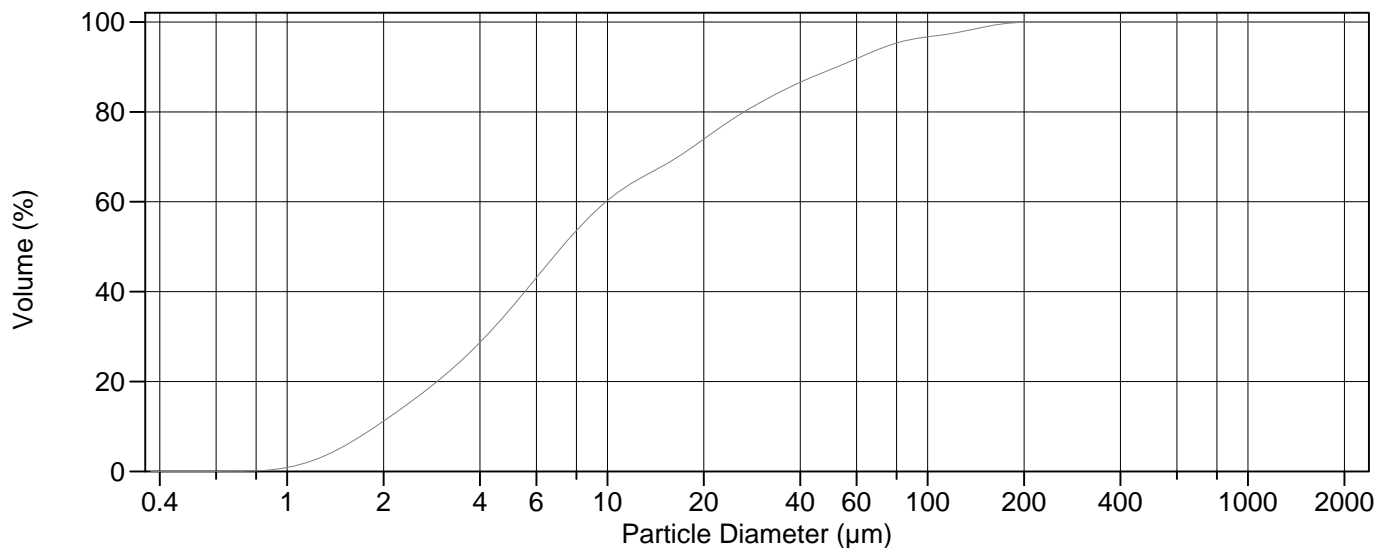
Volume	100.0%		
Mean:	17.96 µm	95% Conf. Limits:	0-72.18 µm
Median:	7.155 µm	S.D.:	27.66 µm
D(3,2):	4.714 µm	Variance:	765.3 µm ²
Mean/Median Ratio:	2.510	C.V.:	154%
Mode:	5.878 µm	Skewness:	3.229 Right skewed
d ₁₀ :	1.893 µm	Kurtosis:	12.37 Leptokurtic
d ₅₀ :	7.155 µm		
d ₉₀ :	47.72 µm		
Specific Surf. Area	12728 cm ² /ml		

% <	10	25	50	75	90
Size µm	1.893	3.541	7.155	19.97	47.72

11.\$02

Particle Diameter µm	Volume % <	Particle Diameter µm	Volume % <
2.000	11.2	500.0	100
5.000	36.4	1000	100
10.00	61.0	2000	100
15.00	69.2		
20.00	75.0		
25.00	79.9		
50.00	90.6		
60.00	92.9		
63.00	93.5		
70.00	94.9		
75.00	95.7		
90.00	96.9		
125.0	98.0		
200.0	99.9		
250.0	100.0		
400.0	100		

2013.0039 - 12



Volume Statistics (Arithmetic) 12.\$02

Calculations from 0.375 µm to 2000 µm

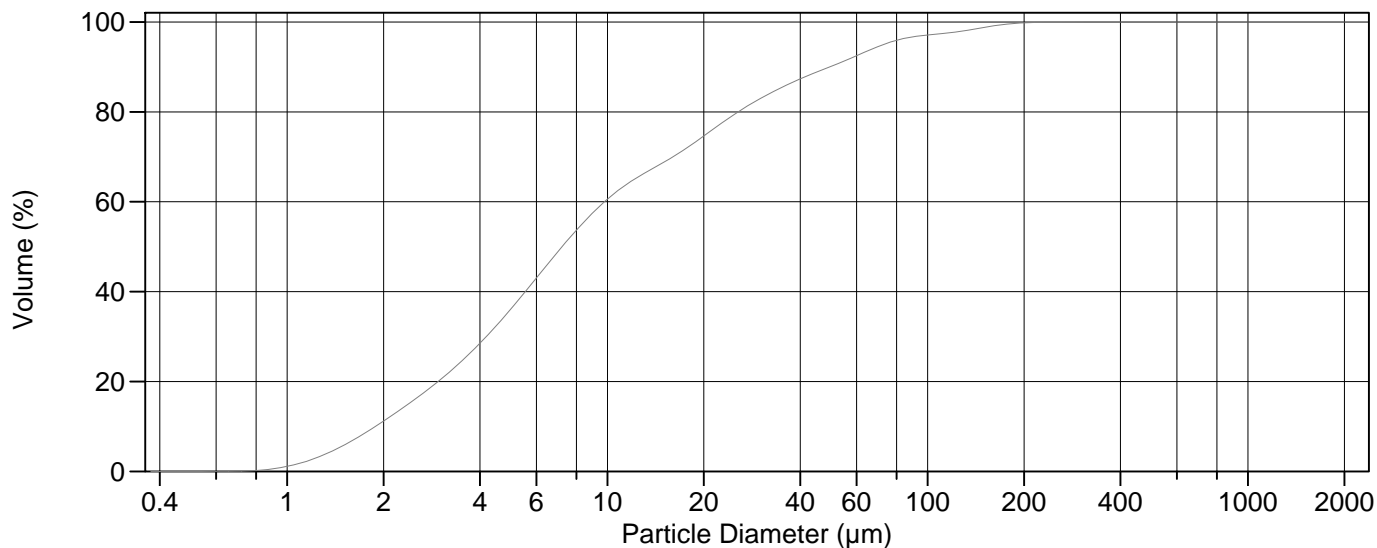
Volume	100.0%		
Mean:	19.07 µm	95% Conf. Limits:	0-76.56 µm
Median:	7.228 µm	S.D.:	29.33 µm
D(3,2):	4.763 µm	Variance:	860.4 µm ²
Mean/Median Ratio:	2.639	C.V.:	154%
Mode:	5.878 µm	Skewness:	3.007 Right skewed
d ₁₀ :	1.893 µm	Kurtosis:	10.31 Leptokurtic
d ₅₀ :	7.228 µm		
d ₉₀ :	52.05 µm		
Specific Surf. Area	12598 cm ² /ml		

% <	10	25	50	75	90
Size µm	1.893	3.539	7.228	20.98	52.05

12.\$02

Particle Diameter µm	Volume % <	Particle Diameter µm	Volume % <
2.000	11.2	500.0	100
5.000	36.3	1000	100
10.00	60.3	2000	100
15.00	68.1		
20.00	73.9		
25.00	78.7		
50.00	89.5		
60.00	91.8		
63.00	92.5		
70.00	93.9		
75.00	94.7		
90.00	96.2		
125.0	97.7		
200.0	99.9		
250.0	100.0		
400.0	100		

2013.0039 - 13



Volume Statistics (Arithmetic) 13.\$02

Calculations from 0.375 µm to 2000 µm

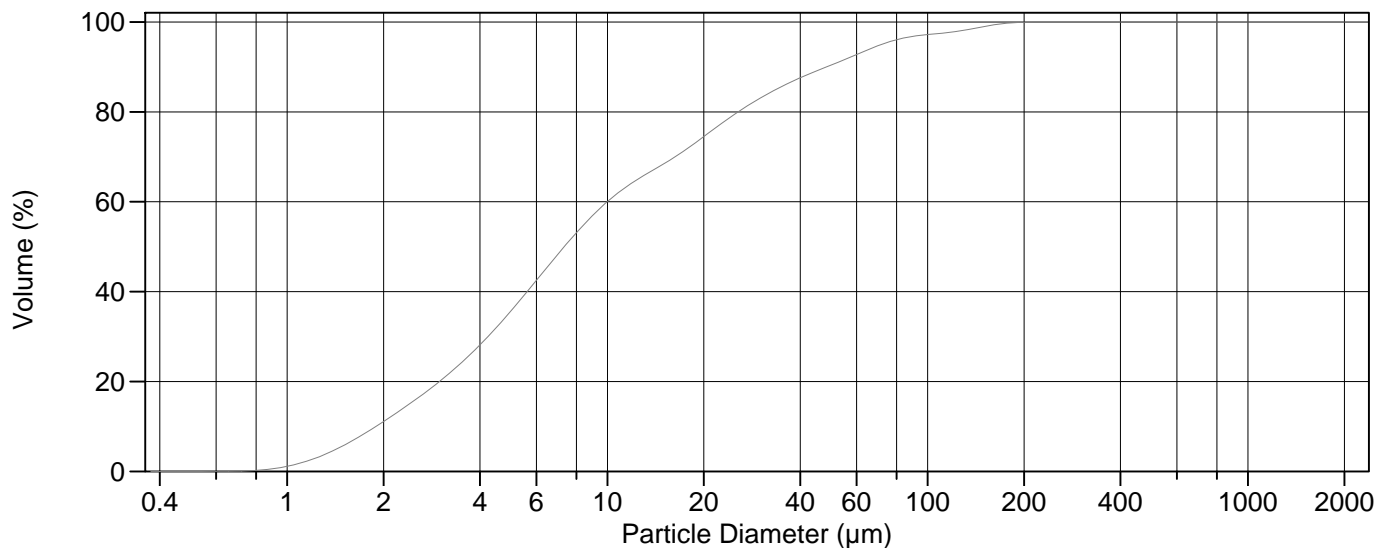
Volume	100.0%		
Mean:	18.57 µm	95% Conf. Limits:	0-76.33 µm
Median:	7.225 µm	S.D.:	29.47 µm
D(3,2):	4.720 µm	Variance:	868.6 µm ²
Mean/Median Ratio:	2.570	C.V.:	159%
Mode:	5.878 µm	Skewness:	3.547 Right skewed
d ₁₀ :	1.887 µm	Kurtosis:	16.64 Leptokurtic
d ₅₀ :	7.225 µm		
d ₉₀ :	49.43 µm		
Specific Surf. Area	12711 cm ² /ml		

% <	10	25	50	75	90
Size µm	1.887	3.563	7.225	20.32	49.43

13.\$02

Particle Diameter µm	Volume % <	Particle Diameter µm	Volume % <
2.000	11.2	500.0	100
5.000	36.1	1000	100
10.00	60.6	2000	100
15.00	68.8		
20.00	74.6		
25.00	79.5		
50.00	90.1		
60.00	92.5		
63.00	93.2		
70.00	94.5		
75.00	95.3		
90.00	96.7		
125.0	97.9		
200.0	99.8		
250.0	99.9		
400.0	100.0		

2013.0039 - 14



Volume Statistics (Arithmetic) 14.\$02

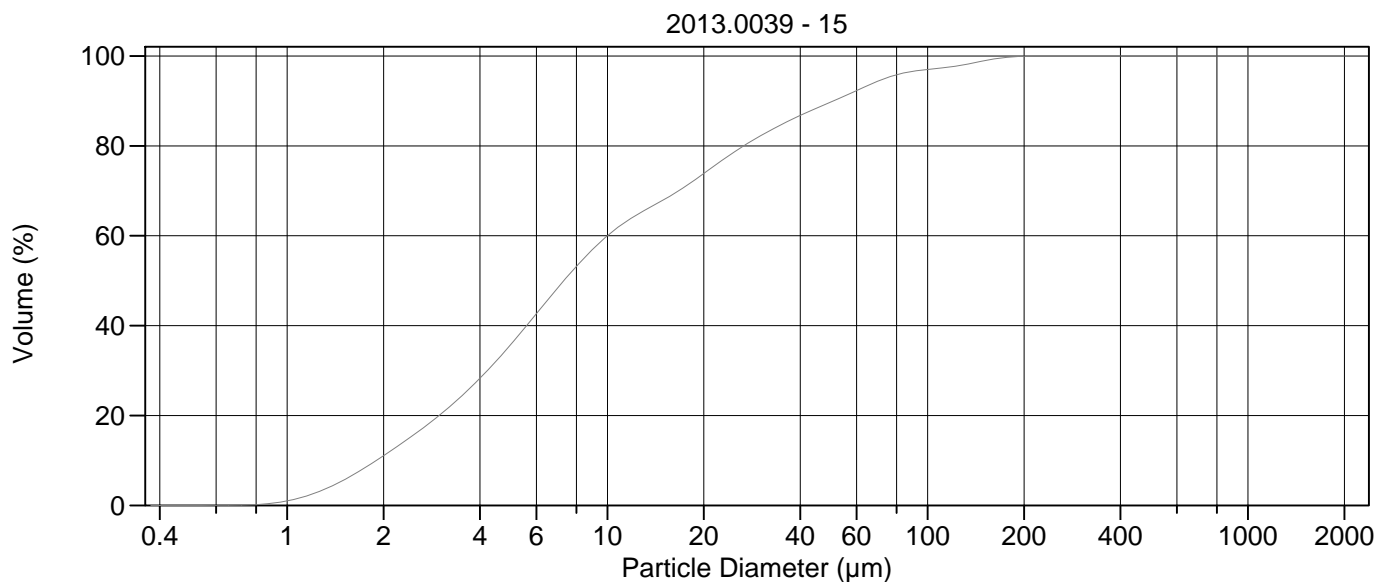
Calculations from 0.375 µm to 2000 µm

Volume	100.0%		
Mean:	18.26 µm	95% Conf. Limits:	0-72.79 µm
Median:	7.333 µm	S.D.:	27.82 µm
D(3,2):	4.753 µm	Variance:	774.0 µm ²
Mean/Median Ratio:	2.490	C.V.:	152%
Mode:	5.878 µm	Skewness:	3.168 Right skewed
d ₁₀ :	1.894 µm	Kurtosis:	11.82 Leptokurtic
d ₅₀ :	7.333 µm		
d ₉₀ :	48.28 µm		
Specific Surf. Area	12624 cm ² /ml		

% <	10	25	50	75	90
Size µm	1.894	3.602	7.333	20.44	48.28

14.\$02

Particle Diameter µm	Volume % <	Particle Diameter µm	Volume % <
2.000	11.1	500.0	100
5.000	35.7	1000	100
10.00	60.0	2000	100
15.00	68.4		
20.00	74.5		
25.00	79.5		
50.00	90.4		
60.00	92.7		
63.00	93.4		
70.00	94.7		
75.00	95.5		
90.00	96.8		
125.0	98.0		
200.0	99.9		
250.0	100.0		
400.0	100		



Volume Statistics (Arithmetic)

15#.\$02

Calculations from 0.375 µm to 2000 µm

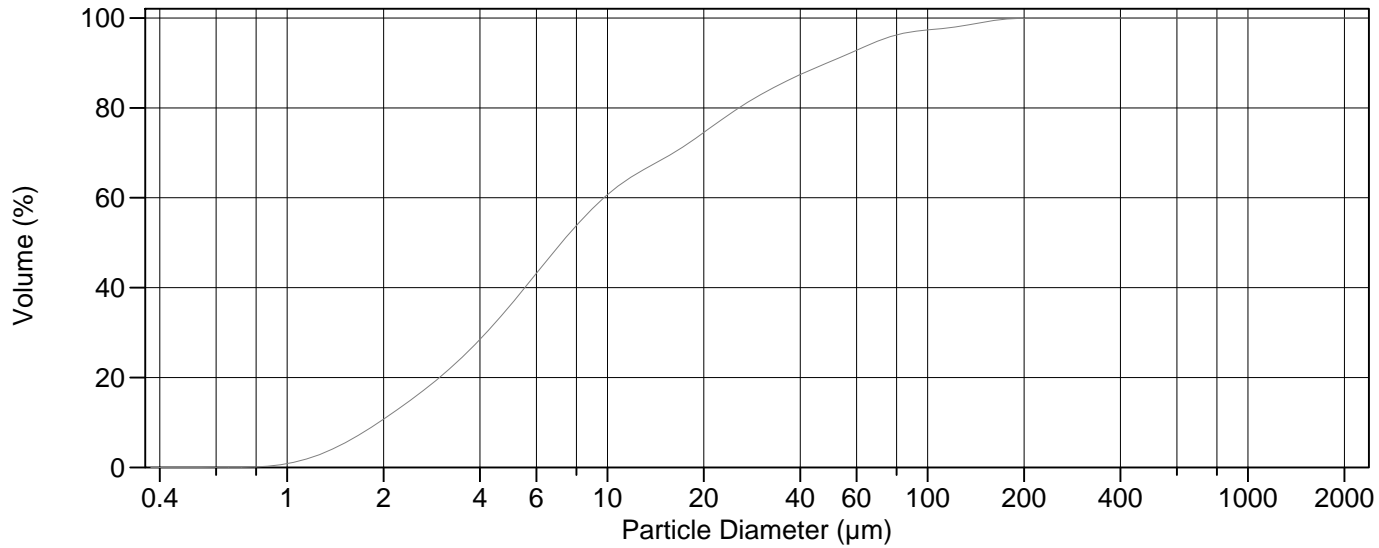
Volume	100.0%		
Mean:	18.77 µm	95% Conf. Limits:	0-74.74 µm
Median:	7.311 µm	S.D.:	28.56 µm
D(3,2):	4.777 µm	Variance:	815.6 µm ²
Mean/Median Ratio:	2.567	C.V.:	152%
Mode:	5.878 µm	Skewness:	3.072 Right skewed
d ₁₀ :	1.901 µm	Kurtosis:	11.02 Leptokurtic
d ₅₀ :	7.311 µm		
d ₉₀ :	50.82 µm		
Specific Surf. Area	12559 cm ² /ml		

% <	10	25	50	75	90
Size µm	1.901	3.588	7.311	21.05	50.82

15#.\$02

Particle Diameter µm	Volume % <	Particle Diameter µm	Volume % <
2.000	11.0	500.0	100
5.000	35.8	1000	100
10.00	60.0	2000	100
15.00	68.0		
20.00	73.8		
25.00	78.8		
50.00	89.8		
60.00	92.3		
63.00	93.0		
70.00	94.4		
75.00	95.2		
90.00	96.6		
125.0	97.9		
200.0	99.9		
250.0	100.0		
400.0	100		

2013.0039 - 16



Volume Statistics (Arithmetic)

16.\$02

Calculations from 0.375 µm to 2000 µm

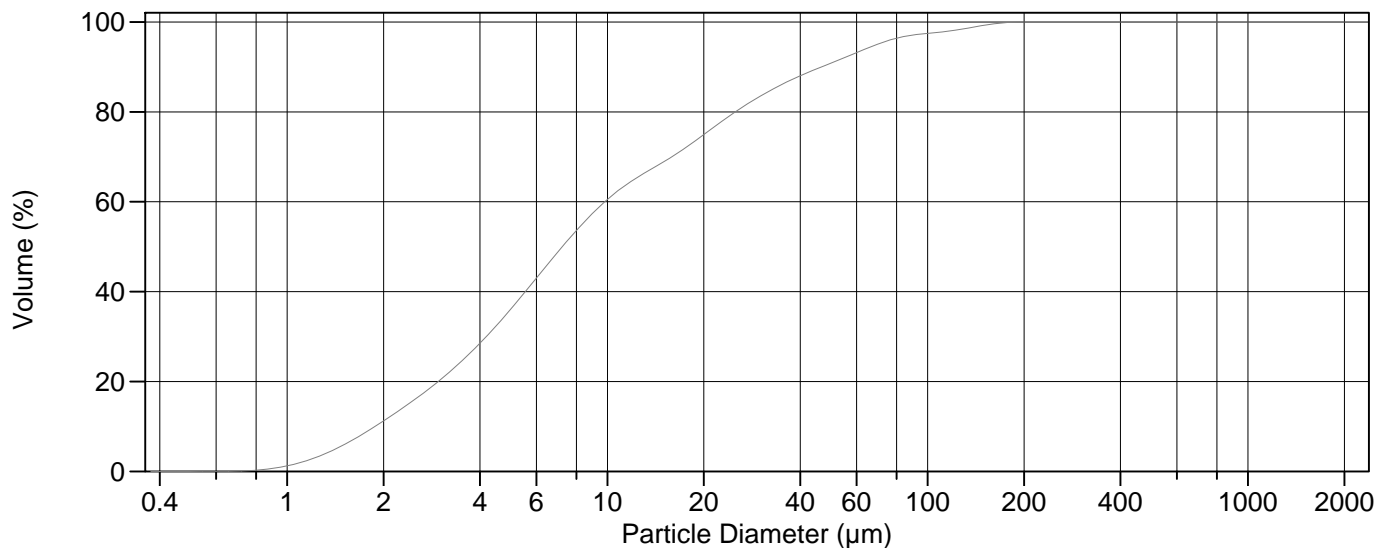
Volume	100.0%		
Mean:	18.09 µm	95% Conf. Limits:	0-71.74 µm
Median:	7.196 µm	S.D.:	27.37 µm
D(3,2):	4.796 µm	Variance:	749.3 µm ²
Mean/Median Ratio:	2.514	C.V.:	151%
Mode:	5.878 µm	Skewness:	3.137 Right skewed
d ₁₀ :	1.933 µm	Kurtosis:	11.71 Leptokurtic
d ₅₀ :	7.196 µm		
d ₉₀ :	48.59 µm		
Specific Surf. Area	12511 cm ² /ml		

% <	10	25	50	75	90
Size µm	1.933	3.576	7.196	20.42	48.59

16.\$02

Particle Diameter µm	Volume % <	Particle Diameter µm	Volume % <
2.000	10.7	500.0	100
5.000	36.2	1000	100
10.00	60.7	2000	100
15.00	68.7		
20.00	74.5		
25.00	79.4		
50.00	90.4		
60.00	92.8		
63.00	93.5		
70.00	94.9		
75.00	95.6		
90.00	97.0		
125.0	98.1		
200.0	100.0		
250.0	100.0		
400.0	100		

2013.0039 - 17



Volume Statistics (Arithmetic)

17.\$02

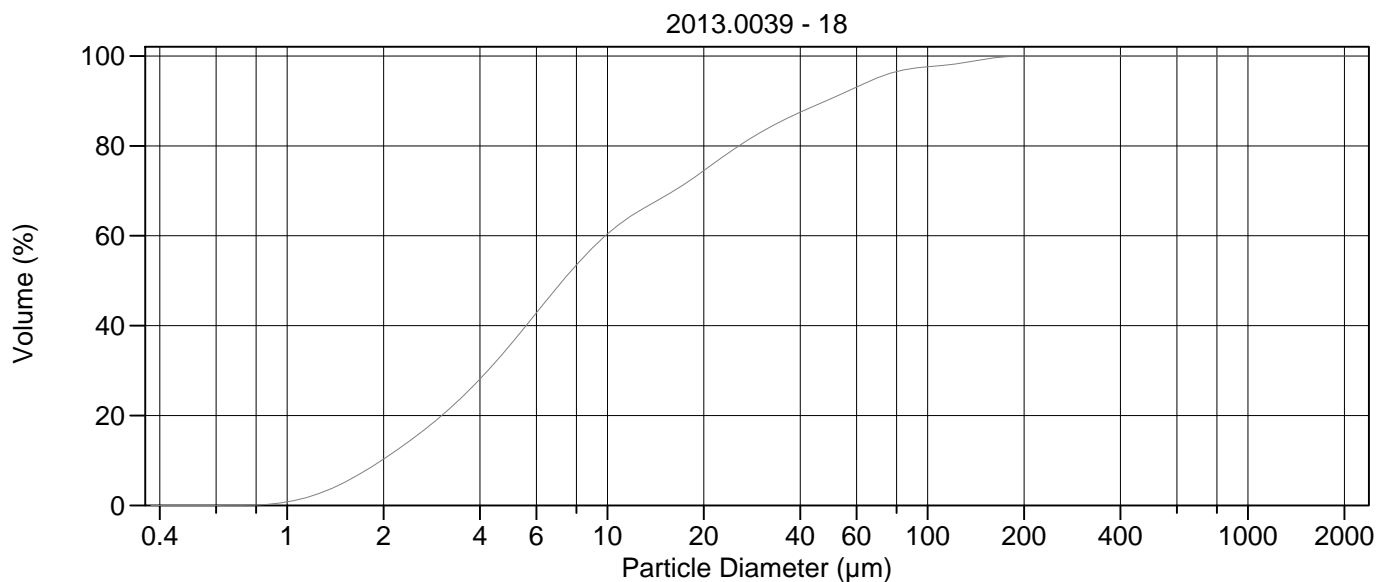
Calculations from 0.375 µm to 2000 µm

Volume	100.0%		
Mean:	17.64 µm	95% Conf. Limits:	0-69.38 µm
Median:	7.235 µm	S.D.:	26.40 µm
D(3,2):	4.698 µm	Variance:	696.8 µm ²
Mean/Median Ratio:	2.439	C.V.:	150%
Mode:	5.878 µm	Skewness:	3.116 Right skewed
d ₁₀ :	1.882 µm	Kurtosis:	11.51 Leptokurtic
d ₅₀ :	7.235 µm		
d ₉₀ :	46.60 µm		
Specific Surf. Area	12771 cm ² /ml		

% <	10	25	50	75	90
Size µm	1.882	3.563	7.235	20.05	46.60

17.\$02

Particle Diameter µm	Volume % <	Particle Diameter µm	Volume % <
2.000	11.2	500.0	100
5.000	36.1	1000	100
10.00	60.5	2000	100
15.00	68.9		
20.00	74.9		
25.00	80.0		
50.00	90.9		
60.00	93.2		
63.00	93.8		
70.00	95.1		
75.00	95.8		
90.00	97.1		
125.0	98.3		
200.0	100.0		
250.0	100		
400.0	100		



Volume Statistics (Arithmetic) 18.\$02

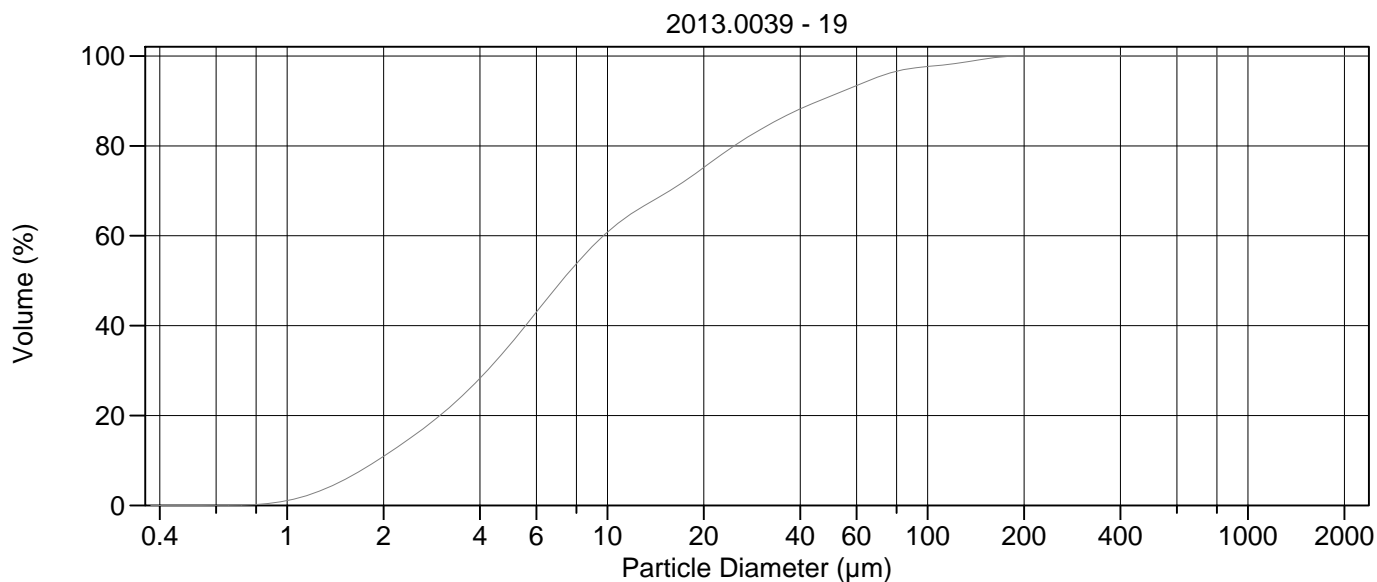
Calculations from 0.375 µm to 2000 µm

Volume	100.0%		
Mean:	17.81 µm	95% Conf. Limits:	0-69.40 µm
Median:	7.258 µm	S.D.:	26.32 µm
D(3,2):	4.861 µm	Variance:	692.8 µm ²
Mean/Median Ratio:	2.454	C.V.:	148%
Mode:	5.878 µm	Skewness:	3.077 Right skewed
d ₁₀ :	1.972 µm	Kurtosis:	11.39 Leptokurtic
d ₅₀ :	7.258 µm		
d ₉₀ :	48.08 µm		
Specific Surf. Area	12344 cm ² /ml		

% <	10	25	50	75	90
Size µm	1.972	3.624	7.258	20.46	48.08

18.\$02

Particle Diameter µm	Volume % <	Particle Diameter µm	Volume % <
2.000	10.3	500.0	100
5.000	35.9	1000	100
10.00	60.4	2000	100
15.00	68.7		
20.00	74.5		
25.00	79.4		
50.00	90.5		
60.00	93.1		
63.00	93.8		
70.00	95.2		
75.00	96.0		
90.00	97.2		
125.0	98.3		
200.0	100.0		
250.0	100		
400.0	100		



Volume Statistics (Arithmetic) 19.\$02

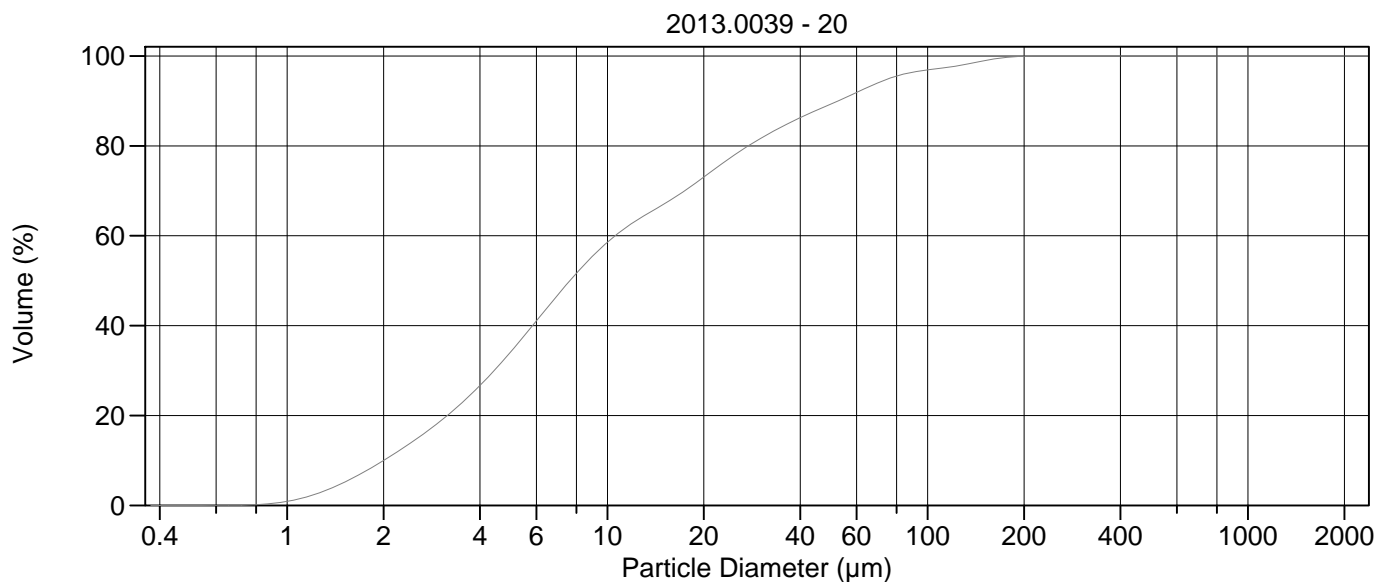
Calculations from 0.375 µm to 2000 µm

Volume	100.0%		
Mean:	17.38 µm	95% Conf. Limits:	0-67.94 µm
Median:	7.213 µm	S.D.:	25.80 µm
D(3,2):	4.745 µm	Variance:	665.5 µm ²
Mean/Median Ratio:	2.409	C.V.:	148%
Mode:	5.878 µm	Skewness:	3.136 Right skewed
d ₁₀ :	1.913 µm	Kurtosis:	11.83 Leptokurtic
d ₅₀ :	7.213 µm		
d ₉₀ :	45.74 µm		
Specific Surf. Area	12645 cm ² /ml		

% <	10	25	50	75	90
Size µm	1.913	3.597	7.213	19.85	45.74

19.\$02

Particle Diameter µm	Volume % <	Particle Diameter µm	Volume % <
2.000	10.9	500.0	100
5.000	36.0	1000	100
10.00	60.8	2000	100
15.00	69.2		
20.00	75.2		
25.00	80.1		
50.00	91.1		
60.00	93.4		
63.00	94.0		
70.00	95.3		
75.00	96.0		
90.00	97.3		
125.0	98.4		
200.0	100.0		
250.0	100		
400.0	100		



Volume Statistics (Arithmetic) 20.\$02

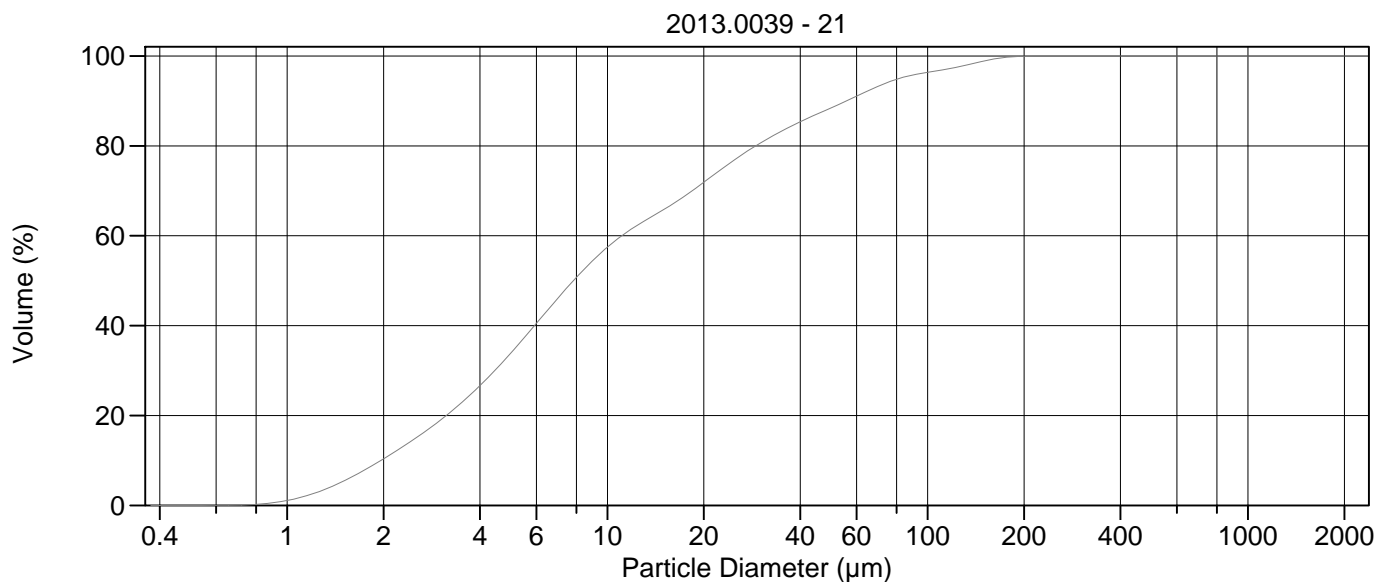
Calculations from 0.375 µm to 2000 µm

Volume	100.0%		
Mean:	19.34 µm	95% Conf. Limits:	0-75.96 µm
Median:	7.644 µm	S.D.:	28.89 µm
D(3,2):	4.994 µm	Variance:	834.6 µm ²
Mean/Median Ratio:	2.530	C.V.:	149%
Mode:	5.878 µm	Skewness:	2.992 Right skewed
d ₁₀ :	2.000 µm	Kurtosis:	10.42 Leptokurtic
d ₅₀ :	7.644 µm		
d ₉₀ :	52.51 µm		
Specific Surf. Area	12014 cm ² /ml		

% <	10	25	50	75	90
Size µm	2.000	3.787	7.644	21.78	52.51

20.\$02

Particle Diameter µm	Volume % <	Particle Diameter µm	Volume % <
2.000	10.00	500.0	100
5.000	34.2	1000	100
10.00	58.6	2000	100
15.00	67.0		
20.00	73.1		
25.00	78.1		
50.00	89.3		
60.00	91.9		
63.00	92.6		
70.00	94.0		
75.00	94.9		
90.00	96.4		
125.0	97.9		
200.0	99.9		
250.0	100.0		
400.0	100		



Volume Statistics (Arithmetic) 21.\$02

Calculations from 0.375 µm to 2000 µm

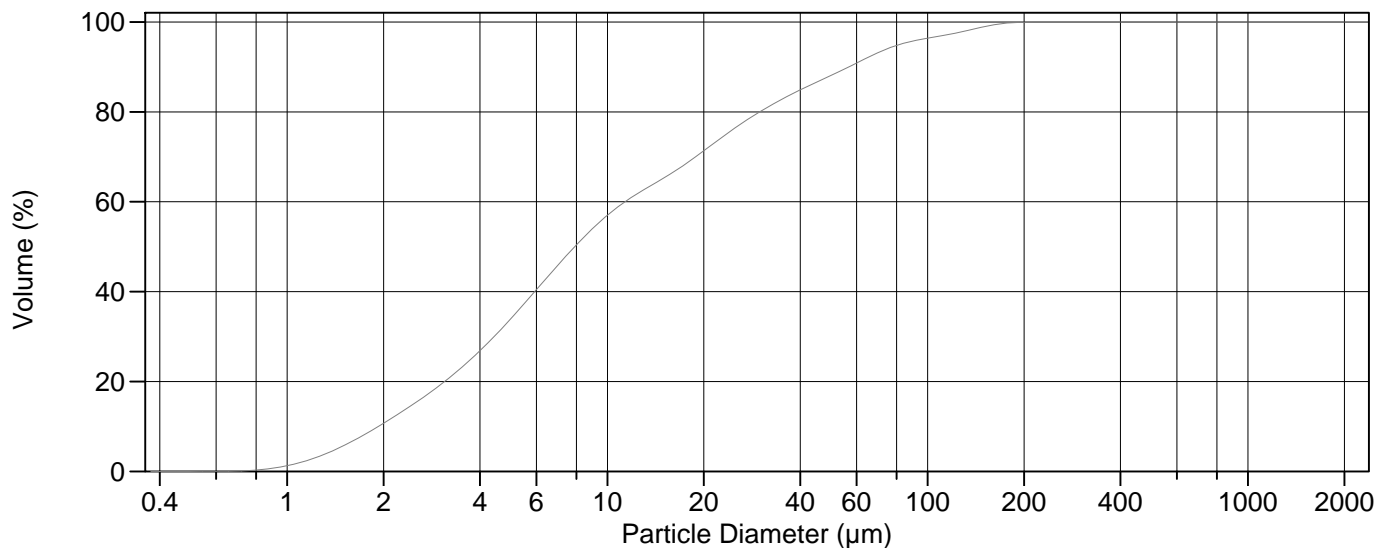
Volume	100.0%		
Mean:	20.26 µm	95% Conf. Limits:	0-79.14 µm
Median:	7.838 µm	S.D.:	30.04 µm
D(3,2):	4.973 µm	Variance:	902.5 µm ²
Mean/Median Ratio:	2.585	C.V.:	148%
Mode:	5.878 µm	Skewness:	2.820 Right skewed
d ₁₀ :	1.962 µm	Kurtosis:	8.937 Leptokurtic
d ₅₀ :	7.838 µm		
d ₉₀ :	55.80 µm		
Specific Surf. Area	12064 cm ² /ml		

% <	10	25	50	75	90
Size µm	1.962	3.782	7.838	22.87	55.80

21.\$02

Particle Diameter µm	Volume % <	Particle Diameter µm	Volume % <
2.000	10.4	500.0	100
5.000	33.9	1000	100
10.00	57.5	2000	100
15.00	65.8		
20.00	71.9		
25.00	77.0		
50.00	88.5		
60.00	91.1		
63.00	91.8		
70.00	93.3		
75.00	94.1		
90.00	95.8		
125.0	97.6		
200.0	99.9		
250.0	100.0		
400.0	100		

2013.0039 - 22



Volume Statistics (Arithmetic)

22#.\$02

Calculations from 0.375 µm to 2000 µm

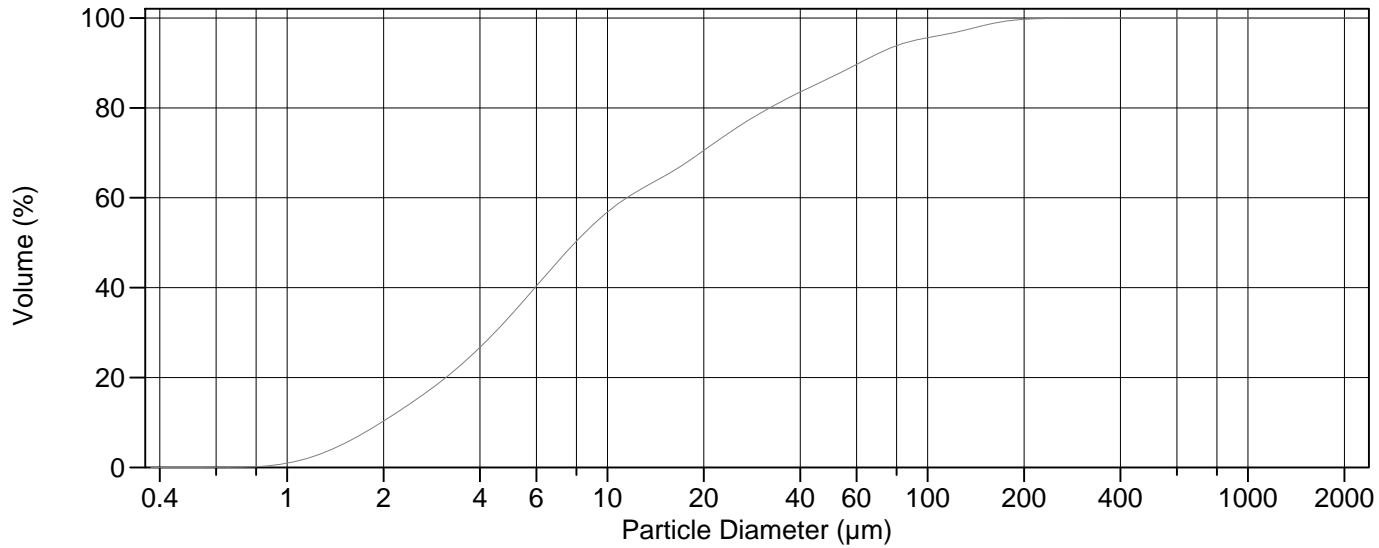
Volume	100.0%		
Mean:	20.47 µm	95% Conf. Limits:	0-79.21 µm
Median:	7.910 µm	S.D.:	29.97 µm
D(3,2):	4.924 µm	Variance:	898.3 µm ²
Mean/Median Ratio:	2.588	C.V.:	146%
Mode:	5.878 µm	Skewness:	2.749 Right skewed
d ₁₀ :	1.927 µm	Kurtosis:	8.494 Leptokurtic
d ₅₀ :	7.910 µm		
d ₉₀ :	56.75 µm		
Specific Surf. Area	12186 cm ² /ml		

% <	10	25	50	75	90
Size µm	1.927	3.752	7.910	23.48	56.75

22#.\$02

Particle Diameter µm	Volume % <	Particle Diameter µm	Volume % <
2.000	10.7	500.0	100
5.000	34.0	1000	100
10.00	57.0	2000	100
15.00	65.3		
20.00	71.3		
25.00	76.4		
50.00	88.1		
60.00	90.8		
63.00	91.6		
70.00	93.2		
75.00	94.1		
90.00	95.8		
125.0	97.7		
200.0	100.0		
250.0	100.0		
400.0	100		

2013.0039 - 23



Volume Statistics (Arithmetic)

23.\$02

Calculations from 0.375 µm to 2000 µm

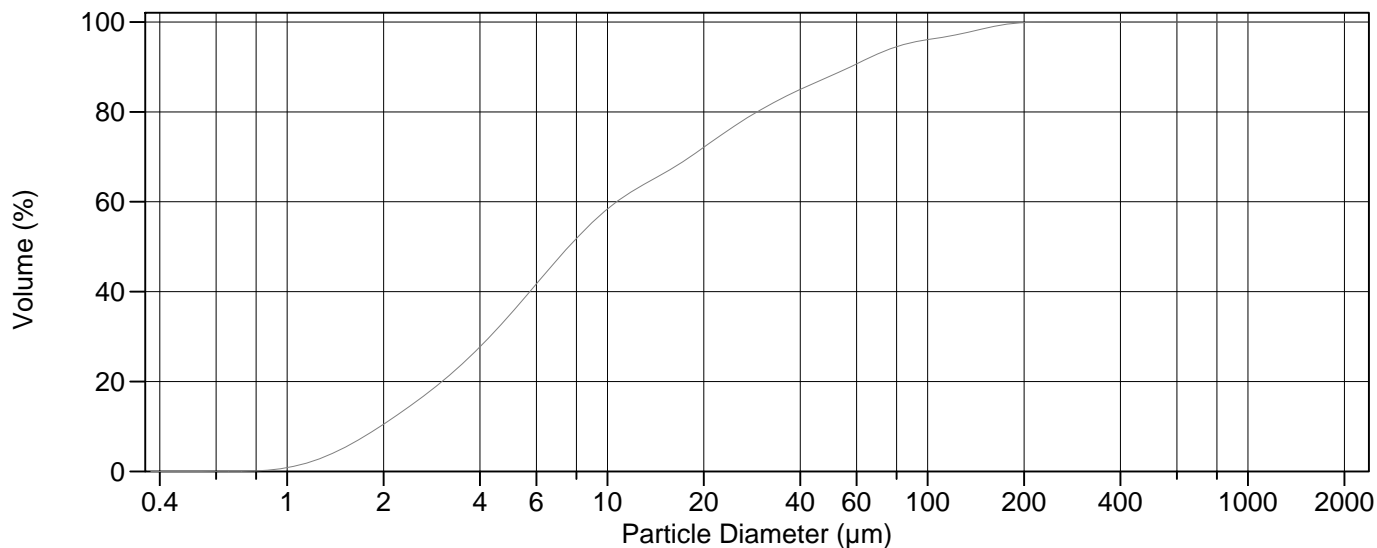
Volume	100.0%		
Mean:	22.10 µm	95% Conf. Limits:	0-88.40 µm
Median:	7.929 µm	S.D.:	33.83 µm
D(3,2):	5.035 µm	Variance:	1144 µm ²
Mean/Median Ratio:	2.787	C.V.:	153%
Mode:	5.878 µm	Skewness:	2.980 Right skewed
d ₁₀ :	1.969 µm	Kurtosis:	10.99 Leptokurtic
d ₅₀ :	7.929 µm		
d ₉₀ :	61.34 µm		
Specific Surf. Area	11916 cm ² /ml		

% <	10	25	50	75	90
Size µm	1.969	3.772	7.929	24.62	61.34

23.\$02

Particle Diameter µm	Volume % <	Particle Diameter µm	Volume % <
2.000	10.3	500.0	100
5.000	33.9	1000	100
10.00	56.8	2000	100
15.00	64.7		
20.00	70.5		
25.00	75.3		
50.00	86.8		
60.00	89.6		
63.00	90.4		
70.00	92.1		
75.00	93.0		
90.00	94.9		
125.0	97.0		
200.0	99.7		
250.0	99.9		
400.0	100.0		

2013.0039 - 24



Volume Statistics (Arithmetic)

24.\$02

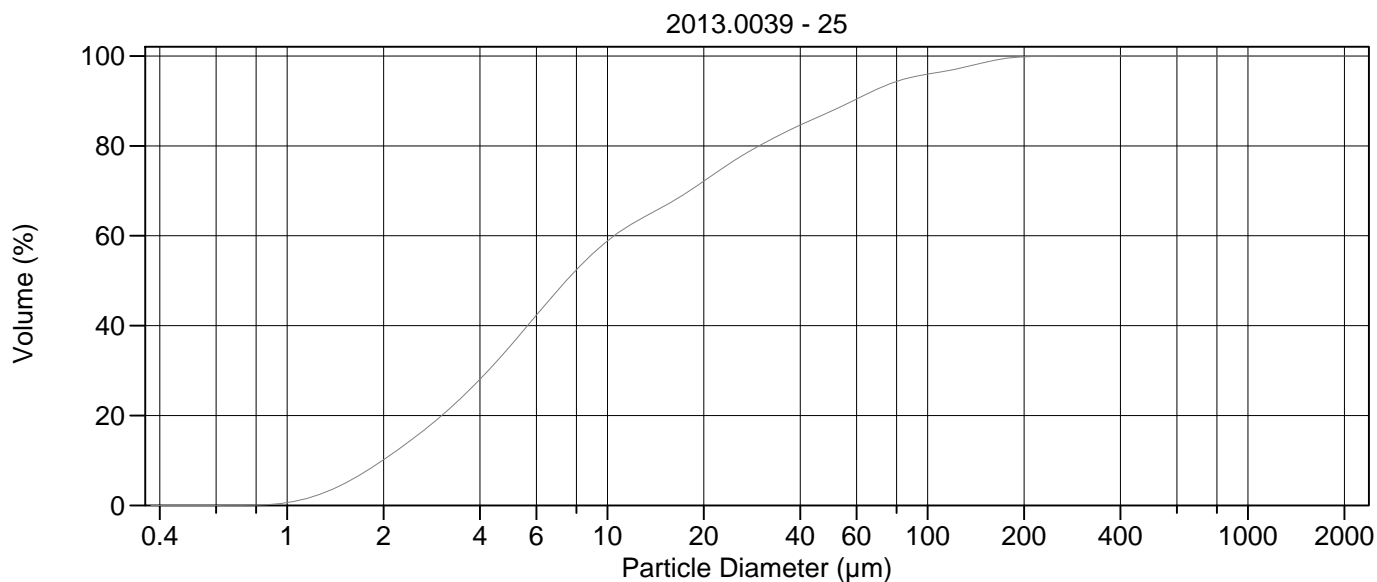
Calculations from 0.375 µm to 2000 µm

Volume	100.0%		
Mean:	20.66 µm	95% Conf. Limits:	0-82.57 µm
Median:	7.579 µm	S.D.:	31.58 µm
D(3,2):	4.931 µm	Variance:	997.5 µm ²
Mean/Median Ratio:	2.726	C.V.:	153%
Mode:	5.878 µm	Skewness:	2.885 Right skewed
d ₁₀ :	1.953 µm	Kurtosis:	9.341 Leptokurtic
d ₅₀ :	7.579 µm		
d ₉₀ :	57.34 µm		
Specific Surf. Area	12168 cm ² /ml		

% <	10	25	50	75	90
Size µm	1.953	3.657	7.579	22.80	57.34

24.\$02

Particle Diameter µm	Volume % <	Particle Diameter µm	Volume % <
2.000	10.5	500.0	100
5.000	35.1	1000	100
10.00	58.4	2000	100
15.00	66.3		
20.00	72.1		
25.00	76.9		
50.00	88.1		
60.00	90.7		
63.00	91.4		
70.00	92.9		
75.00	93.8		
90.00	95.5		
125.0	97.3		
200.0	99.9		
250.0	100.0		
400.0	100		



Volume Statistics (Arithmetic) 25.\$02

Calculations from 0.375 µm to 2000 µm

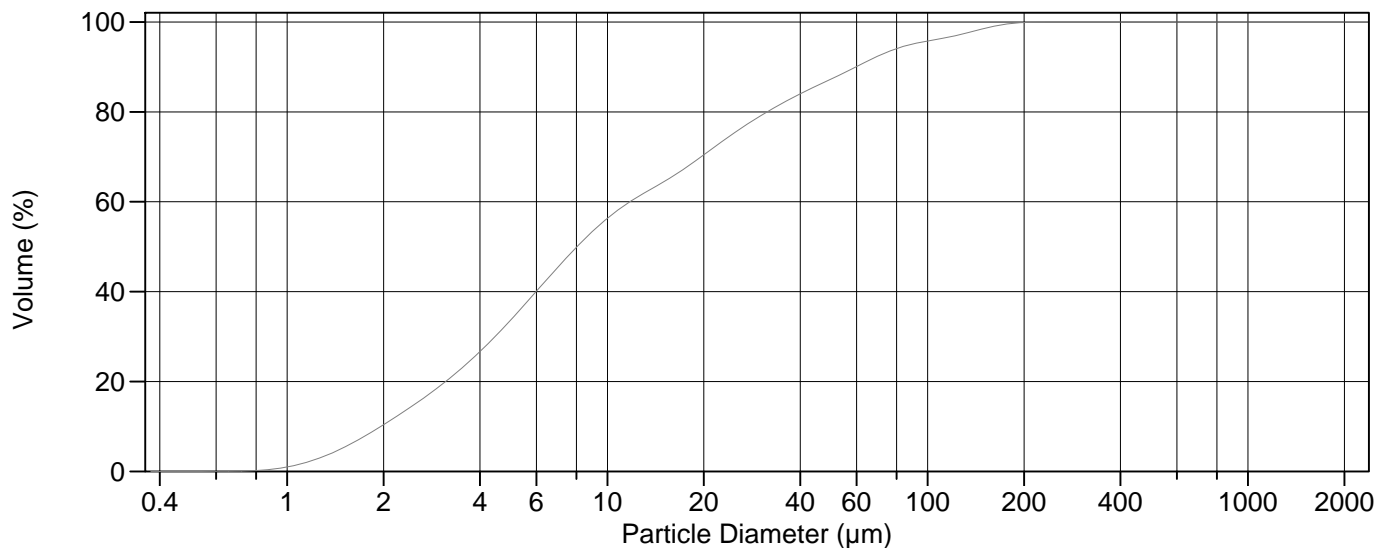
Volume	100.0%		
Mean:	20.87 µm	95% Conf. Limits:	0-84.20 µm
Median:	7.437 µm	S.D.:	32.31 µm
D(3,2):	4.967 µm	Variance:	1044 µm ²
Mean/Median Ratio:	2.807	C.V.:	155%
Mode:	5.878 µm	Skewness:	3.003 Right skewed
d ₁₀ :	1.986 µm	Kurtosis:	11.02 Leptokurtic
d ₅₀ :	7.437 µm		
d ₉₀ :	58.39 µm		
Specific Surf. Area	12079 cm ² /ml		

% <	10	25	50	75	90
Size µm	1.986	3.626	7.437	22.84	58.39

25.\$02

Particle Diameter µm	Volume % <	Particle Diameter µm	Volume % <
2.000	10.2	500.0	100
5.000	35.6	1000	100
10.00	58.8	2000	100
15.00	66.5		
20.00	72.2		
25.00	76.8		
50.00	87.7		
60.00	90.4		
63.00	91.2		
70.00	92.7		
75.00	93.6		
90.00	95.3		
125.0	97.2		
200.0	99.8		
250.0	99.9		
400.0	100.0		

2013.0039 - 26



Volume Statistics (Arithmetic)

26.\$02

Calculations from 0.375 µm to 2000 µm

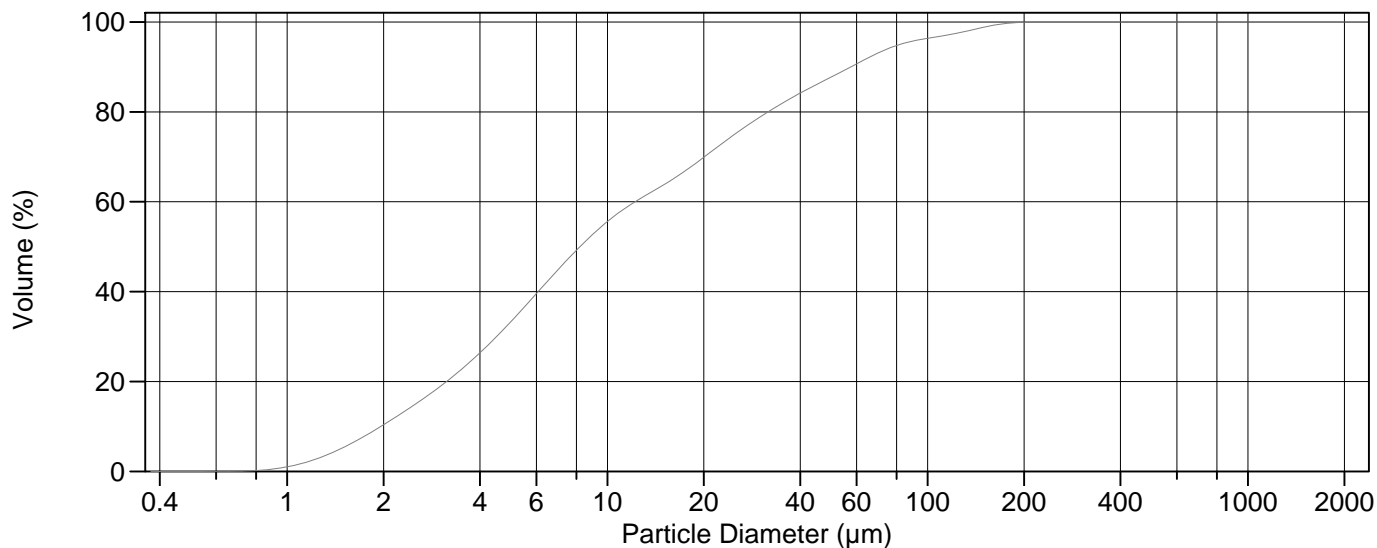
Volume	100.0%		
Mean:	21.62 µm	95% Conf. Limits:	0-84.68 µm
Median:	8.038 µm	S.D.:	32.17 µm
D(3,2):	5.034 µm	Variance:	1035 µm ²
Mean/Median Ratio:	2.689	C.V.:	149%
Mode:	5.878 µm	Skewness:	2.748 Right skewed
d ₁₀ :	1.962 µm	Kurtosis:	8.359 Leptokurtic
d ₅₀ :	8.038 µm		
d ₉₀ :	59.71 µm		
Specific Surf. Area	11920 cm ² /ml		

% <	10	25	50	75	90
Size µm	1.962	3.774	8.038	24.52	59.71

26.\$02

Particle Diameter µm	Volume % <	Particle Diameter µm	Volume % <
2.000	10.4	500.0	100
5.000	33.7	1000	100
10.00	56.3	2000	100
15.00	64.5		
20.00	70.4		
25.00	75.4		
50.00	87.3		
60.00	90.1		
63.00	90.8		
70.00	92.4		
75.00	93.3		
90.00	95.1		
125.0	97.1		
200.0	99.9		
250.0	100.0		
400.0	100		

2013.0039 - 27



Volume Statistics (Arithmetic)

27.\$02

Calculations from 0.375 µm to 2000 µm

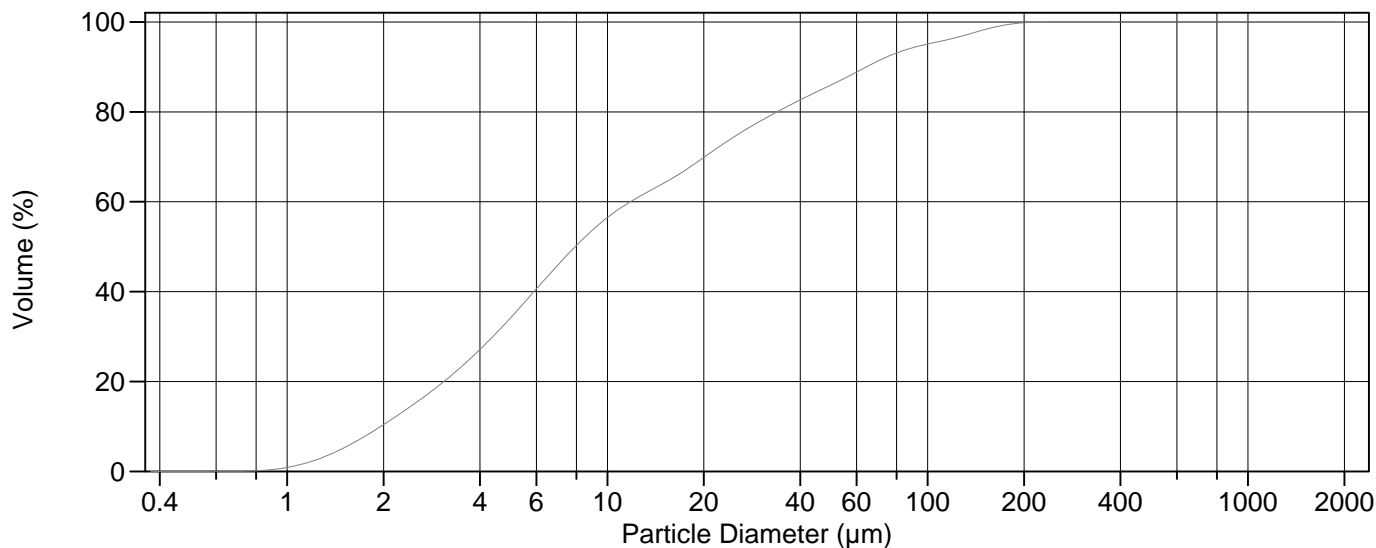
Volume	100.0%		
Mean:	21.08 µm	95% Conf. Limits:	0-80.60 µm
Median:	8.203 µm	S.D.:	30.36 µm
D(3,2):	5.061 µm	Variance:	922.0 µm ²
Mean/Median Ratio:	2.570	C.V.:	144%
Mode:	5.878 µm	Skewness:	2.722 Right skewed
d ₁₀ :	1.962 µm	Kurtosis:	8.435 Leptokurtic
d ₅₀ :	8.203 µm		
d ₉₀ :	57.55 µm		
Specific Surf. Area	11856 cm ² /ml		

% <	10	25	50	75	90
Size µm	1.962	3.808	8.203	24.92	57.55

27.\$02

Particle Diameter µm	Volume % <	Particle Diameter µm	Volume % <
2.000	10.4	500.0	100
5.000	33.3	1000	100
10.00	55.6	2000	100
15.00	63.8		
20.00	69.9		
25.00	75.1		
50.00	87.7		
60.00	90.7		
63.00	91.5		
70.00	93.1		
75.00	94.0		
90.00	95.8		
125.0	97.6		
200.0	99.9		
250.0	100.0		
400.0	100		

2013.0039 - 28



Volume Statistics (Arithmetic)

28.\$02

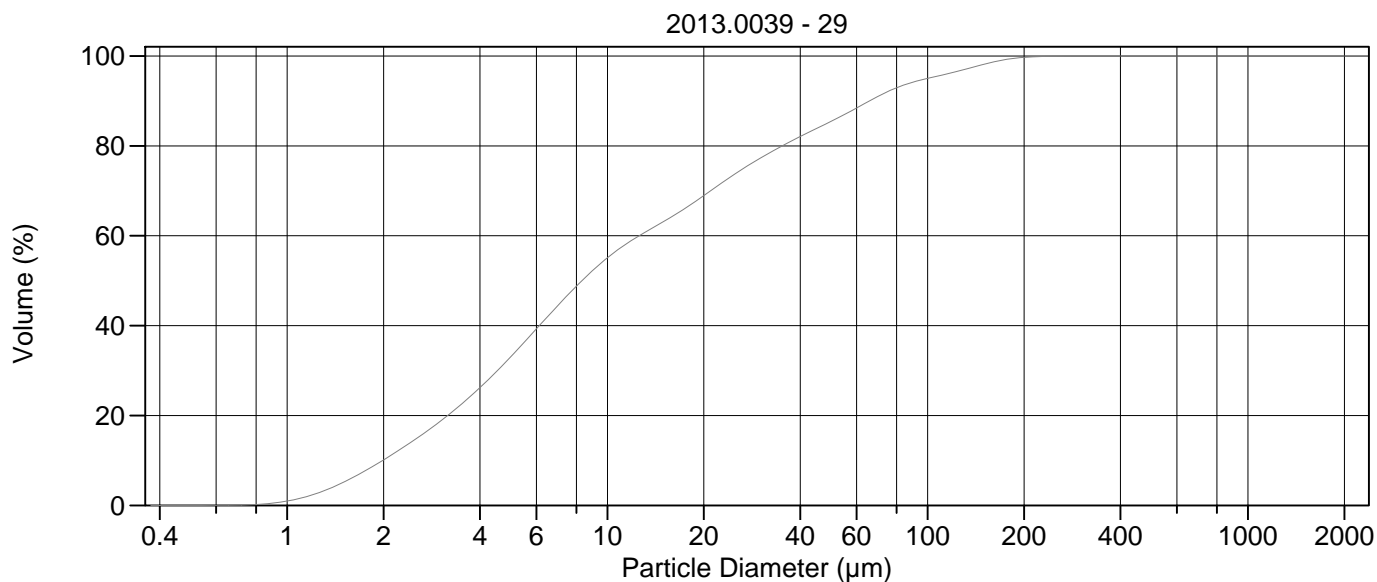
Calculations from 0.375 µm to 2000 µm

Volume	100.0%		
Mean:	22.77 µm	95% Conf. Limits:	0-89.62 µm
Median:	7.940 µm	S.D.:	34.11 µm
D(3,2):	5.036 µm	Variance:	1163 µm ²
Mean/Median Ratio:	2.868	C.V.:	150%
Mode:	5.878 µm	Skewness:	2.619 Right skewed
d ₁₀ :	1.961 µm	Kurtosis:	7.364 Leptokurtic
d ₅₀ :	7.940 µm		
d ₉₀ :	64.36 µm		
Specific Surf. Area	11915 cm ² /ml		

% <	10	25	50	75	90
Size µm	1.961	3.721	7.940	25.57	64.36

28.\$02

Particle Diameter µm	Volume % <	Particle Diameter µm	Volume % <
2.000	10.4	500.0	100
5.000	34.3	1000	100
10.00	56.5	2000	100
15.00	64.1		
20.00	69.8		
25.00	74.6		
50.00	86.0		
60.00	88.9		
63.00	89.7		
70.00	91.3		
75.00	92.3		
90.00	94.3		
125.0	96.7		
200.0	99.8		
250.0	100.0		
400.0	100		



Volume Statistics (Arithmetic) 29.\$02

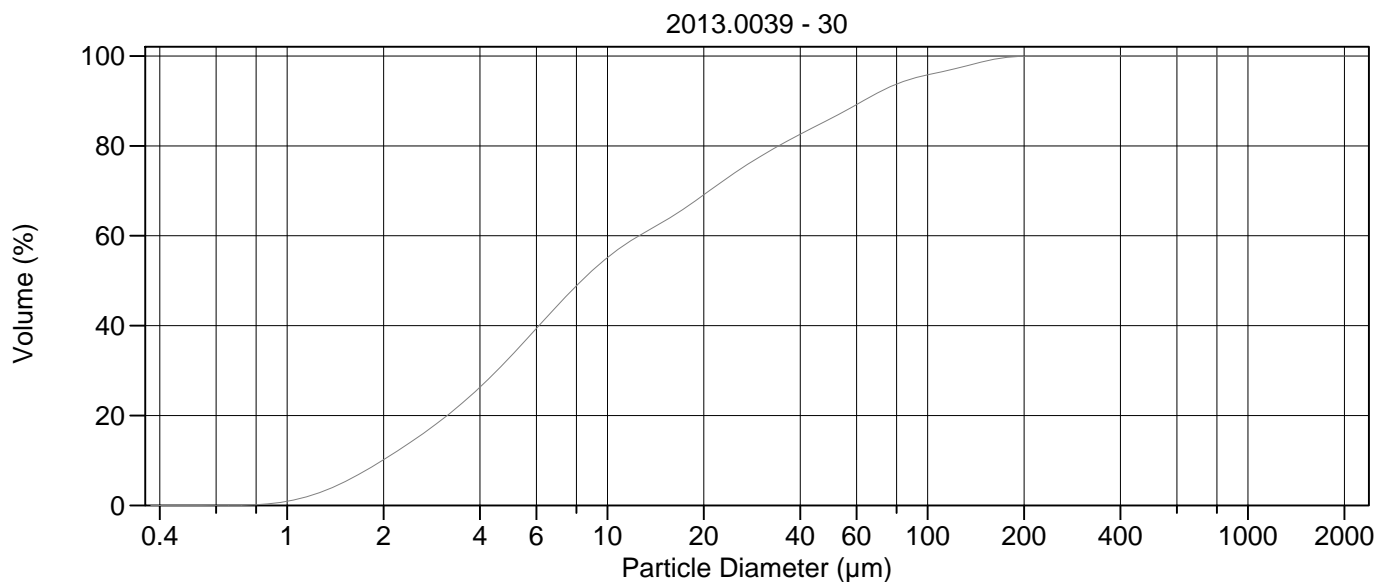
Calculations from 0.375 µm to 2000 µm

Volume	100.0%		
Mean:	23.45 µm	95% Conf. Limits:	0-92.05 µm
Median:	8.328 µm	S.D.:	35.00 µm
D(3,2):	5.136 µm	Variance:	1225 µm ²
Mean/Median Ratio:	2.816	C.V.:	149%
Mode:	5.878 µm	Skewness:	2.698 Right skewed
d ₁₀ :	1.988 µm	Kurtosis:	8.321 Leptokurtic
d ₅₀ :	8.328 µm		
d ₉₀ :	65.86 µm		
Specific Surf. Area	11682 cm ² /ml		

% <	10	25	50	75	90
Size µm	1.988	3.833	8.328	26.64	65.86

29.\$02

Particle Diameter µm	Volume % <	Particle Diameter µm	Volume % <
2.000	10.1	500.0	100
5.000	33.1	1000	100
10.00	55.1	2000	100
15.00	63.2		
20.00	68.9		
25.00	73.7		
50.00	85.5		
60.00	88.4		
63.00	89.3		
70.00	91.0		
75.00	92.1		
90.00	94.2		
125.0	96.7		
200.0	99.7		
250.0	100.0		
400.0	100		



Volume Statistics (Arithmetic)

30.\$02

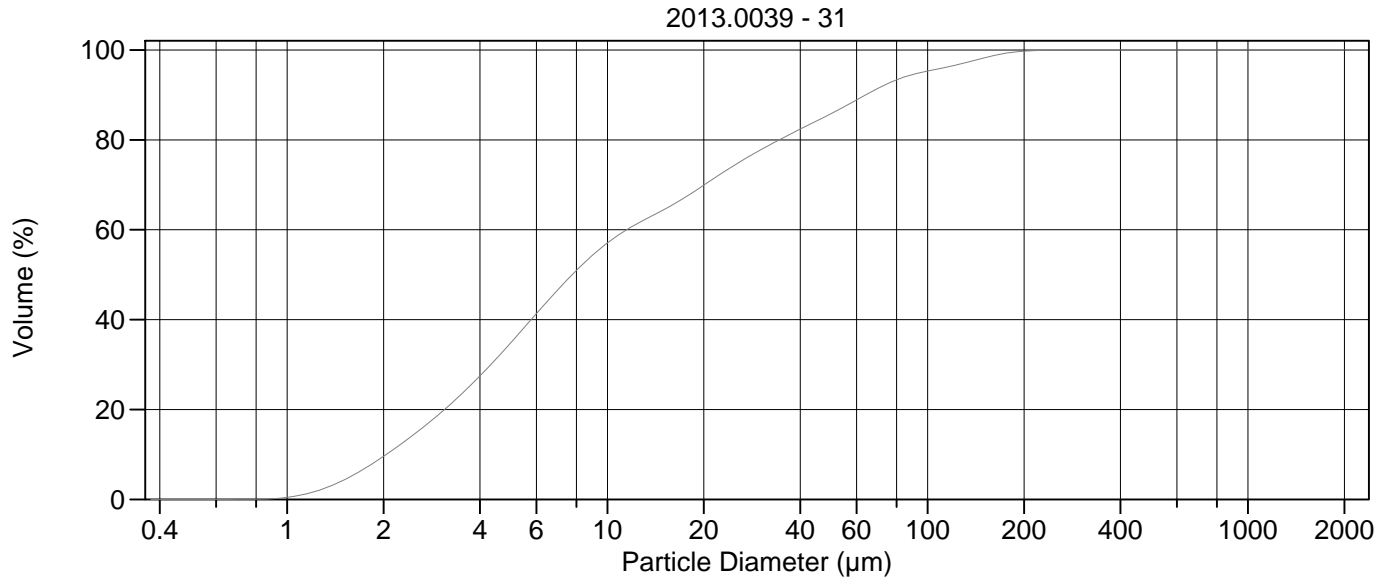
Calculations from 0.375 µm to 2000 µm

Volume	100.0%		
Mean:	22.27 µm	95% Conf. Limits:	0-84.71 µm
Median:	8.309 µm	S.D.:	31.85 µm
D(3,2):	5.129 µm	Variance:	1015 µm ²
Mean/Median Ratio:	2.681	C.V.:	143%
Mode:	5.878 µm	Skewness:	2.524 Right skewed
d ₁₀ :	1.984 µm	Kurtosis:	6.967 Leptokurtic
d ₅₀ :	8.309 µm		
d ₉₀ :	62.84 µm		
Specific Surf. Area	11698 cm ² /ml		

% <	10	25	50	75	90
Size µm	1.984	3.820	8.309	26.25	62.84

30.\$02

Particle Diameter µm	Volume % <	Particle Diameter µm	Volume % <
2.000	10.2	500.0	100
5.000	33.2	1000	100
10.00	55.1	2000	100
15.00	63.2		
20.00	69.1		
25.00	74.0		
50.00	86.1		
60.00	89.2		
63.00	90.0		
70.00	91.8		
75.00	92.9		
90.00	95.0		
125.0	97.4		
200.0	99.9		
250.0	100.0		
400.0	100		



Volume Statistics (Arithmetic) 31.\$02

Calculations from 0.375 µm to 2000 µm

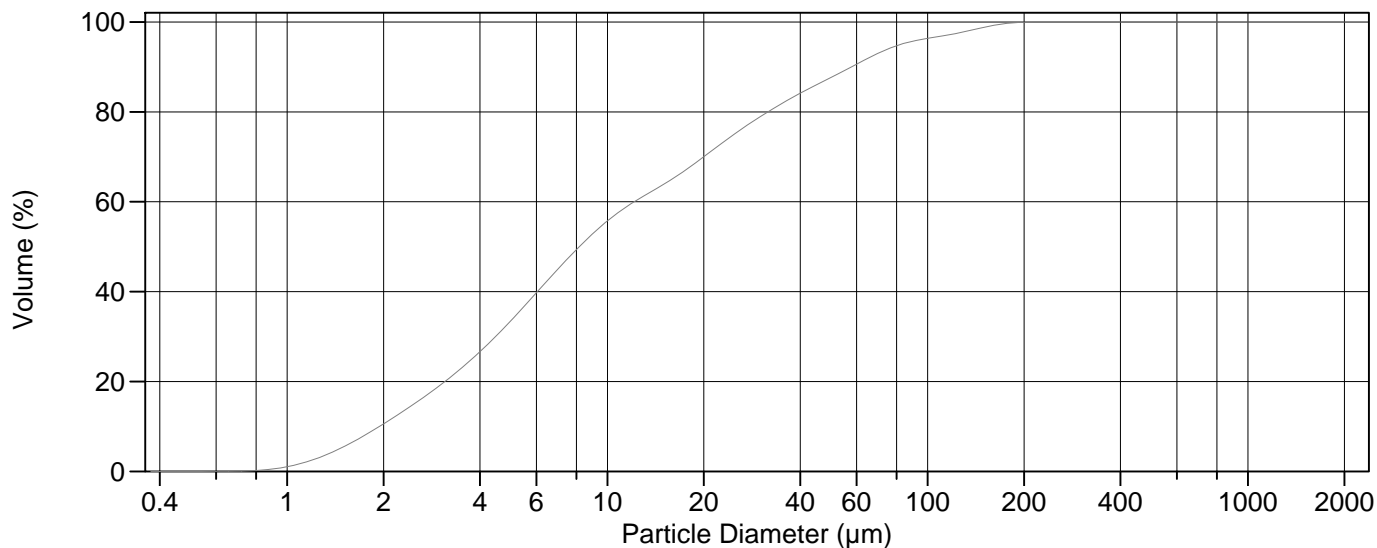
Volume	100.0%		
Mean:	22.73 µm	95% Conf. Limits:	0-90.02 µm
Median:	7.770 µm	S.D.:	34.33 µm
D(3,2):	5.146 µm	Variance:	1179 µm ²
Mean/Median Ratio:	2.926	C.V.:	151%
Mode:	5.878 µm	Skewness:	2.737 Right skewed
d ₁₀ :	2.040 µm	Kurtosis:	8.622 Leptokurtic
d ₅₀ :	7.770 µm		
d ₉₀ :	64.03 µm		
Specific Surf. Area	11659 cm ² /ml		

% <	10	25	50	75	90
Size µm	2.040	3.692	7.770	25.78	64.03

31.\$02

Particle Diameter µm	Volume % <	Particle Diameter µm	Volume % <
2.000	9.58	500.0	100
5.000	34.9	1000	100
10.00	57.1	2000	100
15.00	64.5		
20.00	69.9		
25.00	74.4		
50.00	85.8		
60.00	88.9		
63.00	89.7		
70.00	91.5		
75.00	92.5		
90.00	94.6		
125.0	96.8		
200.0	99.7		
250.0	100.0		
400.0	100.0		

2013.0039 - 32



Volume Statistics (Arithmetic)

32.\$02

Calculations from 0.375 µm to 2000 µm

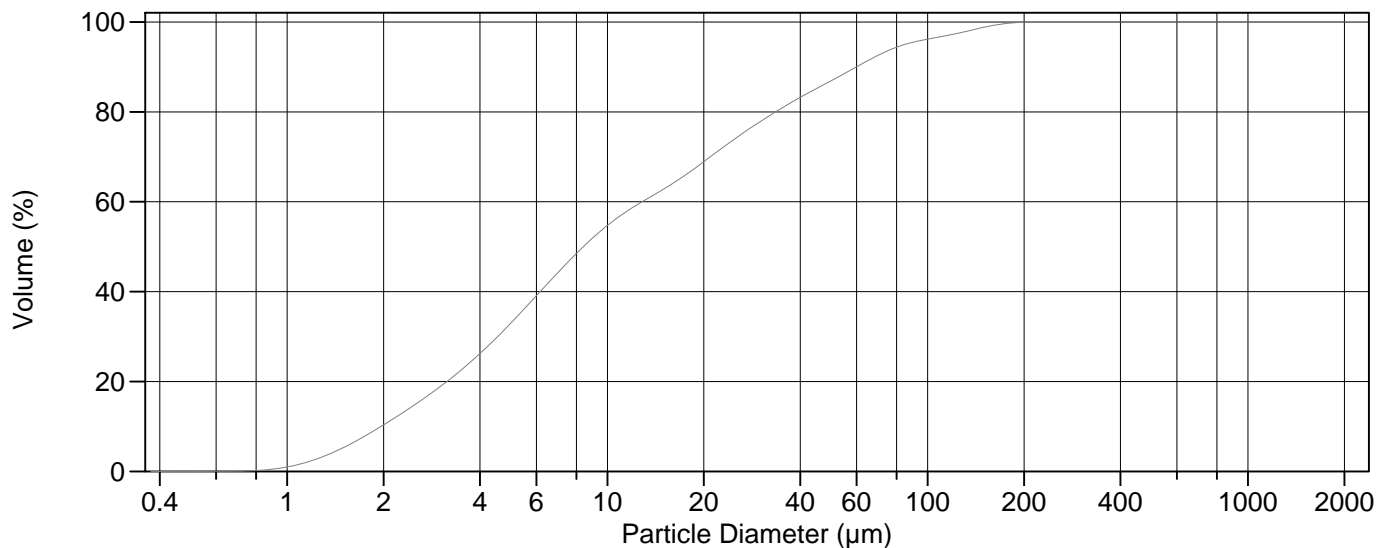
Volume	100.0%		
Mean:	21.09 µm	95% Conf. Limits:	0-80.89 µm
Median:	8.162 µm	S.D.:	30.51 µm
D(3,2):	5.022 µm	Variance:	930.8 µm ²
Mean/Median Ratio:	2.584	C.V.:	145%
Mode:	5.878 µm	Skewness:	2.730 Right skewed
d ₁₀ :	1.942 µm	Kurtosis:	8.489 Leptokurtic
d ₅₀ :	8.162 µm		
d ₉₀ :	57.76 µm		
Specific Surf. Area	11948 cm ² /ml		

% <	10	25	50	75	90
Size µm	1.942	3.773	8.162	24.82	57.76

32.\$02

Particle Diameter µm	Volume % <	Particle Diameter µm	Volume % <
2.000	10.6	500.0	100
5.000	33.5	1000	100
10.00	55.7	2000	100
15.00	63.9		
20.00	70.0		
25.00	75.2		
50.00	87.7		
60.00	90.6		
63.00	91.4		
70.00	93.0		
75.00	94.0		
90.00	95.7		
125.0	97.6		
200.0	99.9		
250.0	100.0		
400.0	100		

2013.0039 - 33



Volume Statistics (Arithmetic) 33.\$02

Calculations from 0.375 µm to 2000 µm

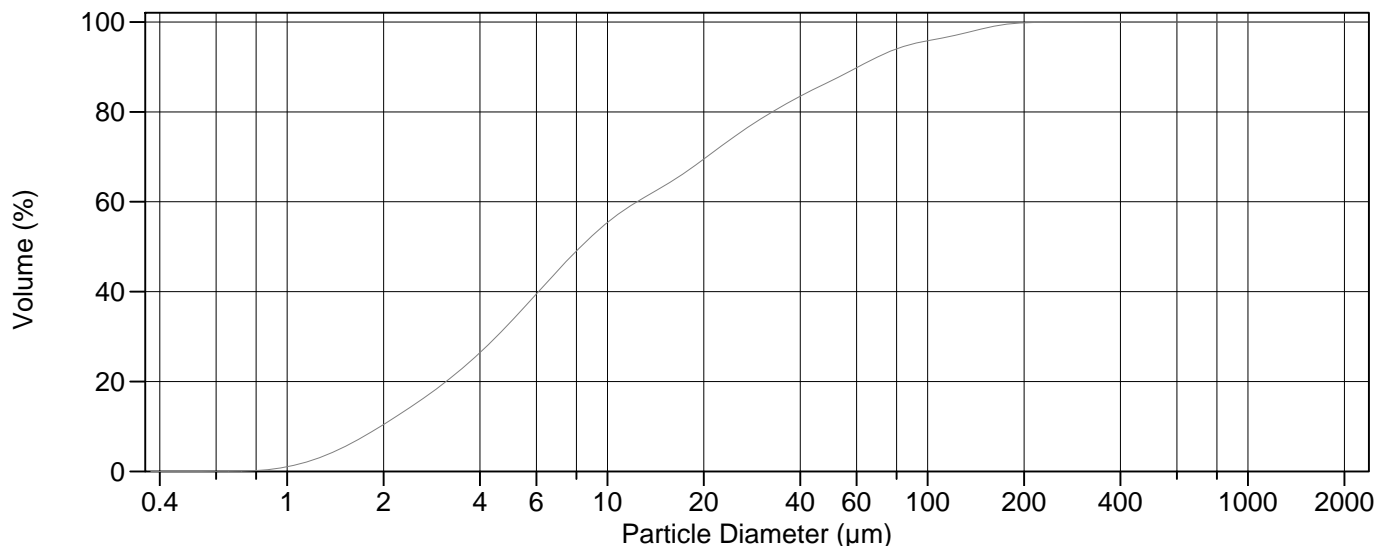
Volume	100.0%		
Mean:	21.77 µm	95% Conf. Limits:	0-82.39 µm
Median:	8.419 µm	S.D.:	30.93 µm
D(3,2):	5.110 µm	Variance:	956.4 µm ²
Mean/Median Ratio:	2.586	C.V.:	142%
Mode:	5.878 µm	Skewness:	2.614 Right skewed
d ₁₀ :	1.965 µm	Kurtosis:	7.716 Leptokurtic
d ₅₀ :	8.419 µm		
d ₉₀ :	59.97 µm		
Specific Surf. Area	11743 cm ² /ml		

% <	10	25	50	75	90
Size µm	1.965	3.828	8.419	26.18	59.97

33.\$02

Particle Diameter µm	Volume % <	Particle Diameter µm	Volume % <
2.000	10.3	500.0	100
5.000	33.0	1000	100
10.00	54.7	2000	100
15.00	62.8		
20.00	68.9		
25.00	74.0		
50.00	86.9		
60.00	90.0		
63.00	90.9		
70.00	92.6		
75.00	93.6		
90.00	95.5		
125.0	97.5		
200.0	99.9		
250.0	100.0		
400.0	100		

2013.0039 - 34



Volume Statistics (Arithmetic)

34.\$02

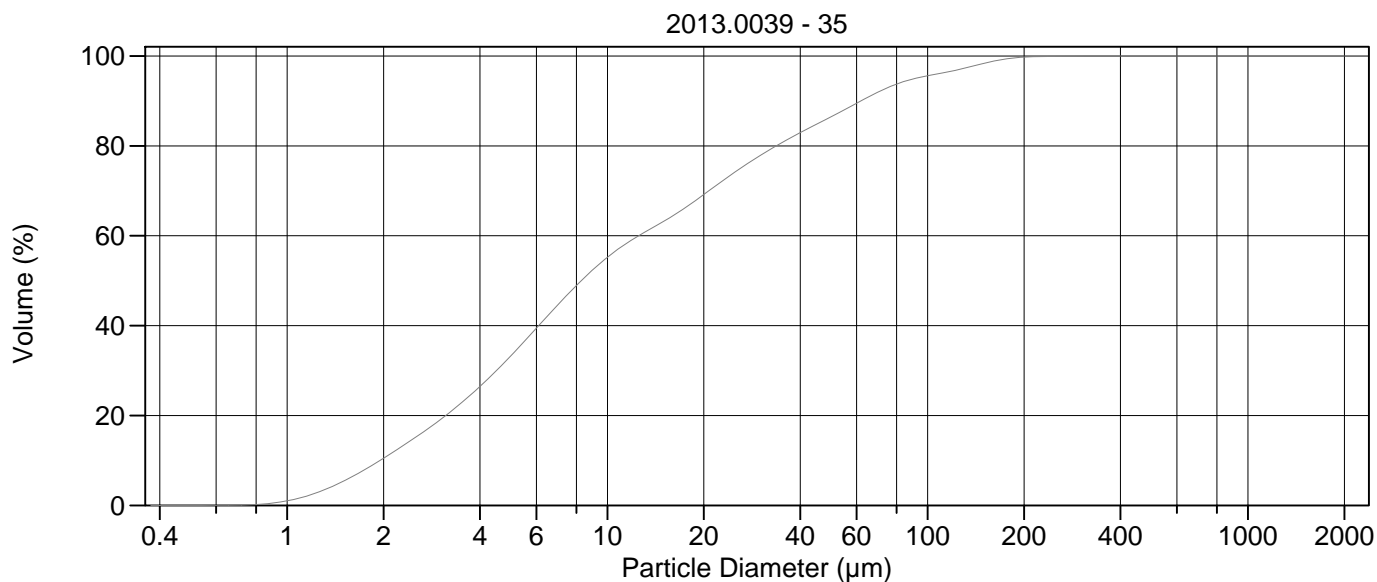
Calculations from 0.375 µm to 2000 µm

Volume	100.0%		
Mean:	22.04 µm	95% Conf. Limits:	0-86.04 µm
Median:	8.257 µm	S.D.:	32.65 µm
D(3,2):	5.065 µm	Variance:	1066 µm ²
Mean/Median Ratio:	2.669	C.V.:	148%
Mode:	5.878 µm	Skewness:	2.891 Right skewed
d ₁₀ :	1.956 µm	Kurtosis:	10.58 Leptokurtic
d ₅₀ :	8.257 µm		
d ₉₀ :	60.70 µm		
Specific Surf. Area	11845 cm ² /ml		

% <	10	25	50	75	90
Size µm	1.956	3.801	8.257	25.50	60.70

34.\$02

Particle Diameter µm	Volume % <	Particle Diameter µm	Volume % <
2.000	10.4	500.0	100
5.000	33.3	1000	100
10.00	55.4	2000	100
15.00	63.5		
20.00	69.5		
25.00	74.6		
50.00	86.9		
60.00	89.8		
63.00	90.6		
70.00	92.3		
75.00	93.2		
90.00	95.1		
125.0	97.2		
200.0	99.8		
250.0	99.9		
400.0	100.0		



Volume Statistics (Arithmetic) 35.\$02

Calculations from 0.375 µm to 2000 µm

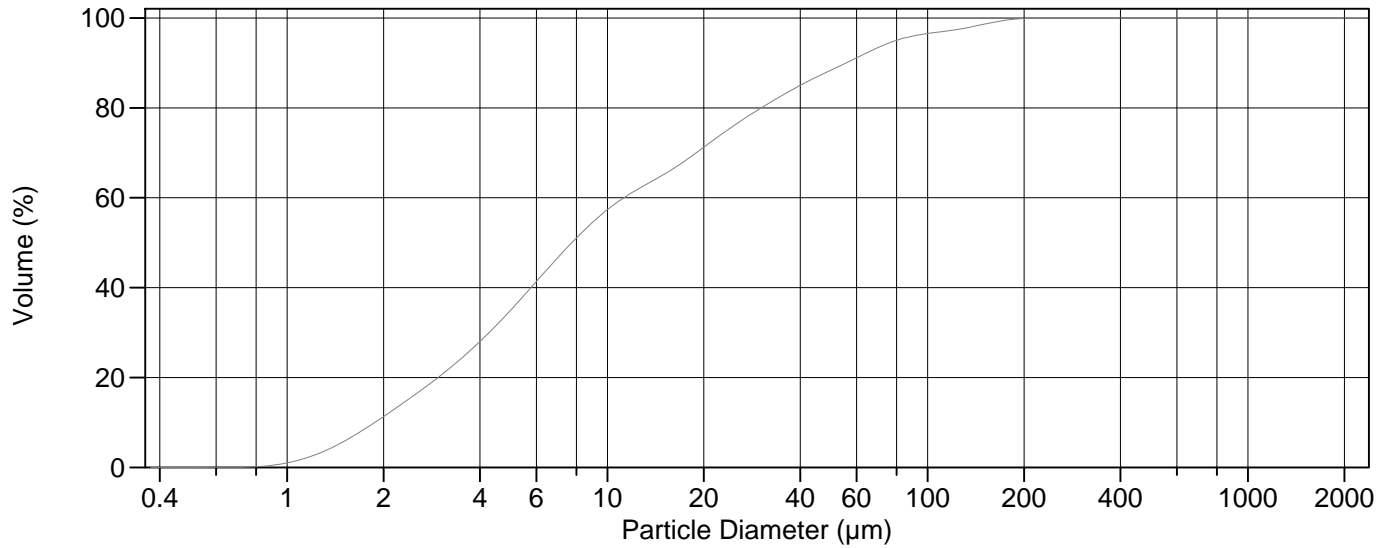
Volume	100.0%		
Mean:	22.57 µm	95% Conf. Limits:	0-88.68 µm
Median:	8.288 µm	S.D.:	33.73 µm
D(3,2):	5.068 µm	Variance:	1138 µm ²
Mean/Median Ratio:	2.723	C.V.:	149%
Mode:	5.878 µm	Skewness:	2.903 Right skewed
d ₁₀ :	1.950 µm	Kurtosis:	10.55 Leptokurtic
d ₅₀ :	8.288 µm		
d ₉₀ :	61.96 µm		
Specific Surf. Area	11838 cm ² /ml		

% <	10	25	50	75	90
Size µm	1.950	3.795	8.288	26.03	61.96

35.\$02

Particle Diameter µm	Volume % <	Particle Diameter µm	Volume % <
2.000	10.5	500.0	100
5.000	33.3	1000	100
10.00	55.2	2000	100
15.00	63.2		
20.00	69.2		
25.00	74.2		
50.00	86.5		
60.00	89.5		
63.00	90.3		
70.00	92.0		
75.00	93.0		
90.00	94.9		
125.0	97.0		
200.0	99.7		
250.0	99.9		
400.0	100.0		

2013.0039 - 36



Volume Statistics (Arithmetic)

36#.\$02

Calculations from 0.375 µm to 2000 µm

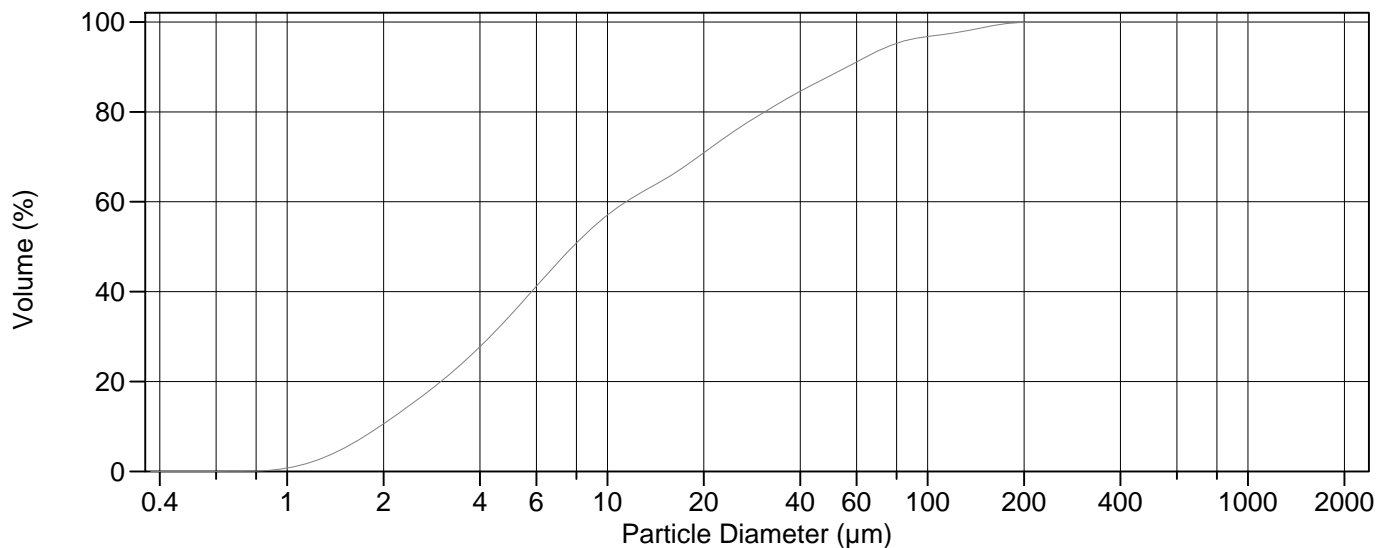
Volume	100.0%		
Mean:	20.48 µm	95% Conf. Limits:	0-80.63 µm
Median:	7.748 µm	S.D.:	30.69 µm
D(3,2):	4.854 µm	Variance:	941.9 µm ²
Mean/Median Ratio:	2.643	C.V.:	150%
Mode:	5.878 µm	Skewness:	2.930 Right skewed
d ₁₀ :	1.879 µm	Kurtosis:	9.973 Leptokurtic
d ₅₀ :	7.748 µm		
d ₉₀ :	55.69 µm		
Specific Surf. Area	12360 cm ² /ml		

% <	10	25	50	75	90
Size µm	1.879	3.598	7.748	23.64	55.69

36#.\$02

Particle Diameter µm	Volume % <	Particle Diameter µm	Volume % <
2.000	11.3	500.0	100
5.000	35.0	1000	100
10.00	57.4	2000	100
15.00	65.2		
20.00	71.2		
25.00	76.2		
50.00	88.4		
60.00	91.1		
63.00	91.9		
70.00	93.4		
75.00	94.3		
90.00	96.0		
125.0	97.5		
200.0	99.9		
250.0	100.0		
400.0	100		

2013.0039 - 37



Volume Statistics (Arithmetic)

37.\$02

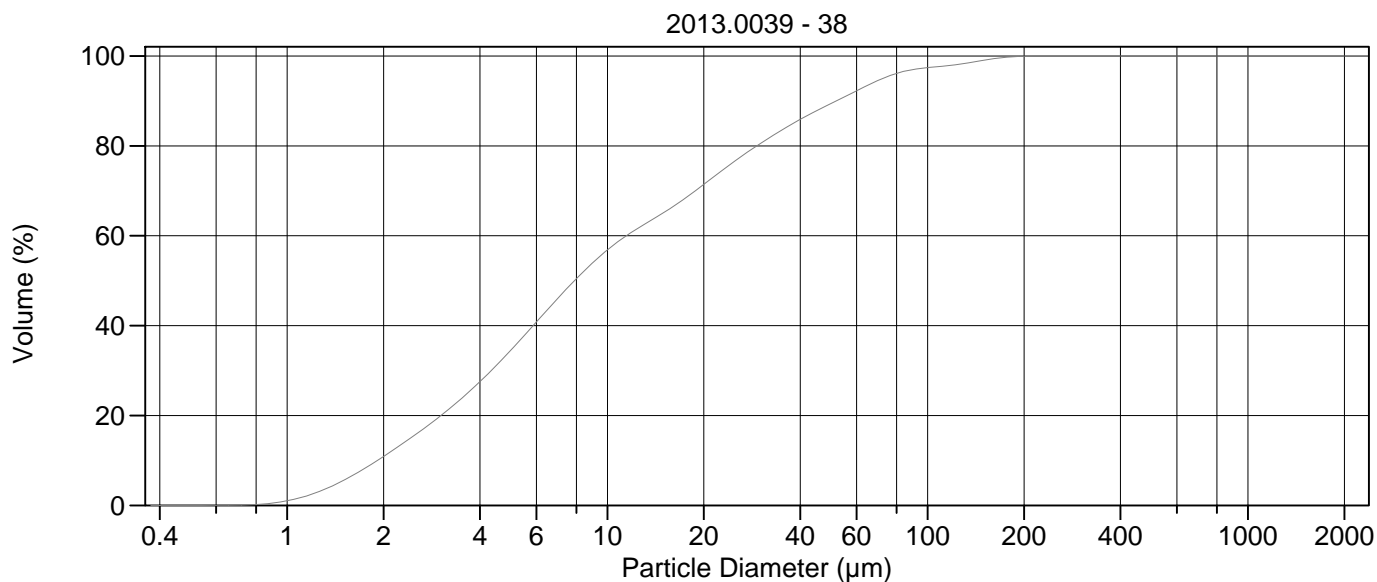
Calculations from 0.375 µm to 2000 µm

Volume	100.0%		
Mean:	20.42 µm	95% Conf. Limits:	0-78.96 µm
Median:	7.806 µm	S.D.:	29.87 µm
D(3,2):	4.976 µm	Variance:	892.0 µm ²
Mean/Median Ratio:	2.616	C.V.:	146%
Mode:	5.878 µm	Skewness:	2.840 Right skewed
d ₁₀ :	1.945 µm	Kurtosis:	9.466 Leptokurtic
d ₅₀ :	7.806 µm		
d ₉₀ :	56.07 µm		
Specific Surf. Area	12058 cm ² /ml		

% <	10	25	50	75	90
Size µm	1.945	3.642	7.806	24.08	56.07

37.\$02

Particle Diameter µm	Volume % <	Particle Diameter µm	Volume % <
2.000	10.6	500.0	100
5.000	34.9	1000	100
10.00	57.0	2000	100
15.00	64.9		
20.00	70.9		
25.00	75.8		
50.00	88.2		
60.00	91.1		
63.00	91.9		
70.00	93.6		
75.00	94.5		
90.00	96.2		
125.0	97.7		
200.0	99.9		
250.0	100.0		
400.0	100		



Volume Statistics (Arithmetic) 38.\$02

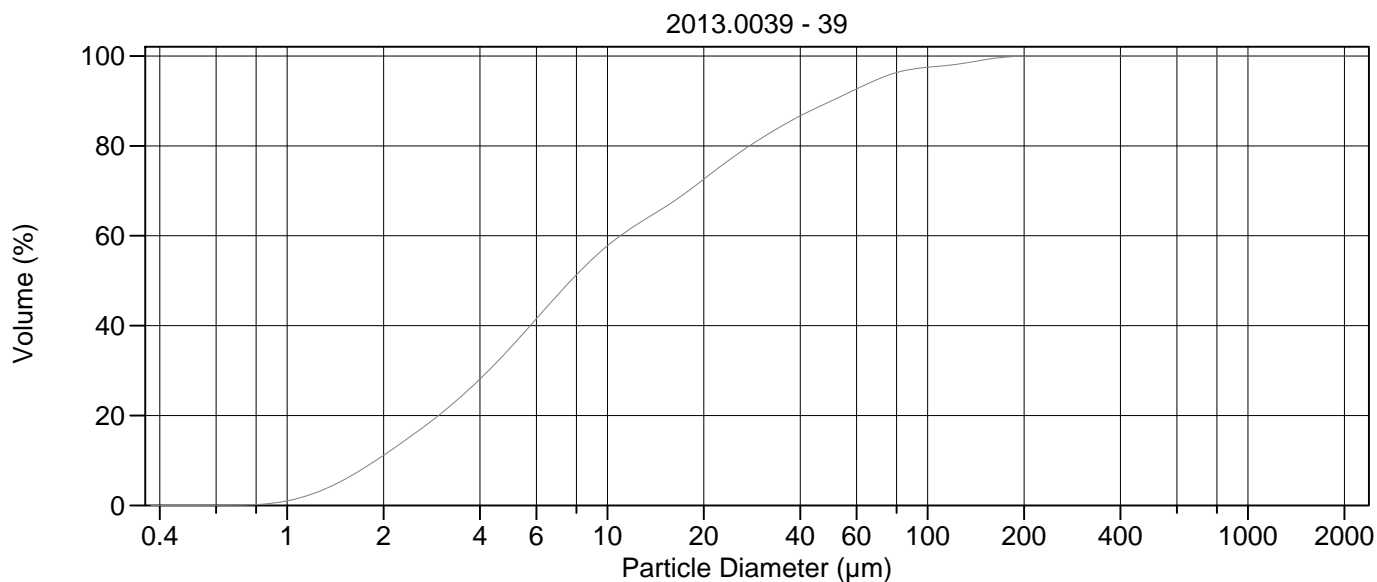
Calculations from 0.375 µm to 2000 µm

Volume	100.0%		
Mean:	19.33 µm	95% Conf. Limits:	0-73.69 µm
Median:	7.897 µm	S.D.:	27.73 µm
D(3,2):	4.910 µm	Variance:	769.1 µm ²
Mean/Median Ratio:	2.448	C.V.:	143%
Mode:	5.878 µm	Skewness:	2.950 Right skewed
d ₁₀ :	1.915 µm	Kurtosis:	10.66 Leptokurtic
d ₅₀ :	7.897 µm		
d ₉₀ :	51.89 µm		
Specific Surf. Area	12221 cm ² /ml		

% <	10	25	50	75	90
Size µm	1.915	3.661	7.897	23.28	51.89

38.\$02

Particle Diameter µm	Volume % <	Particle Diameter µm	Volume % <
2.000	10.9	500.0	100
5.000	34.6	1000	100
10.00	56.8	2000	100
15.00	65.2		
20.00	71.4		
25.00	76.6		
50.00	89.4		
60.00	92.2		
63.00	93.0		
70.00	94.6		
75.00	95.4		
90.00	97.0		
125.0	98.2		
200.0	99.9		
250.0	100.0		
400.0	100		



Volume Statistics (Arithmetic) 39.\$02

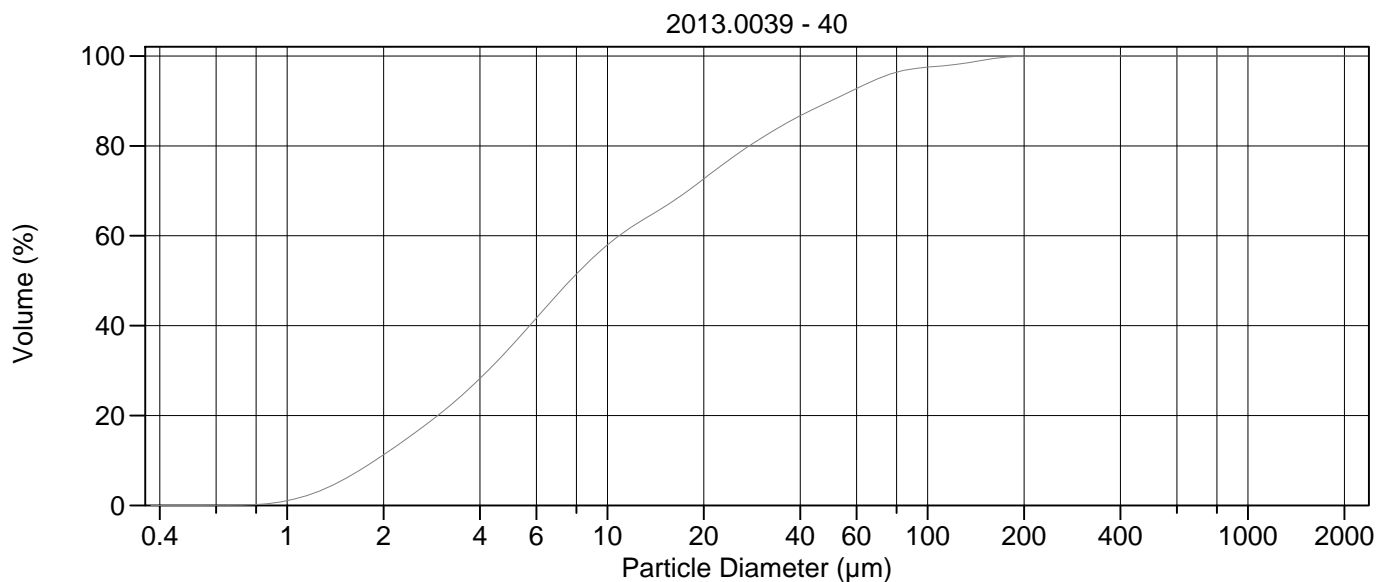
Calculations from 0.375 µm to 2000 µm

Volume	100.0%		
Mean:	18.71 µm	95% Conf. Limits:	0-71.95 µm
Median:	7.695 µm	S.D.:	27.16 µm
D(3,2):	4.833 µm	Variance:	737.6 µm ²
Mean/Median Ratio:	2.432	C.V.:	145%
Mode:	5.878 µm	Skewness:	3.018 Right skewed
d ₁₀ :	1.894 µm	Kurtosis:	11.10 Leptokurtic
d ₅₀ :	7.695 µm		
d ₉₀ :	50.05 µm		
Specific Surf. Area	12416 cm ² /ml		

% <	10	25	50	75	90
Size µm	1.894	3.592	7.695	22.14	50.05

39.\$02

Particle Diameter µm	Volume % <	Particle Diameter µm	Volume % <
2.000	11.1	500.0	100
5.000	35.2	1000	100
10.00	57.8	2000	100
15.00	66.2		
20.00	72.6		
25.00	77.8		
50.00	90.0		
60.00	92.7		
63.00	93.4		
70.00	94.9		
75.00	95.7		
90.00	97.1		
125.0	98.2		
200.0	100.0		
250.0	100.0		
400.0	100		



Volume Statistics (Arithmetic) 40.\$02

Calculations from 0.375 µm to 2000 µm

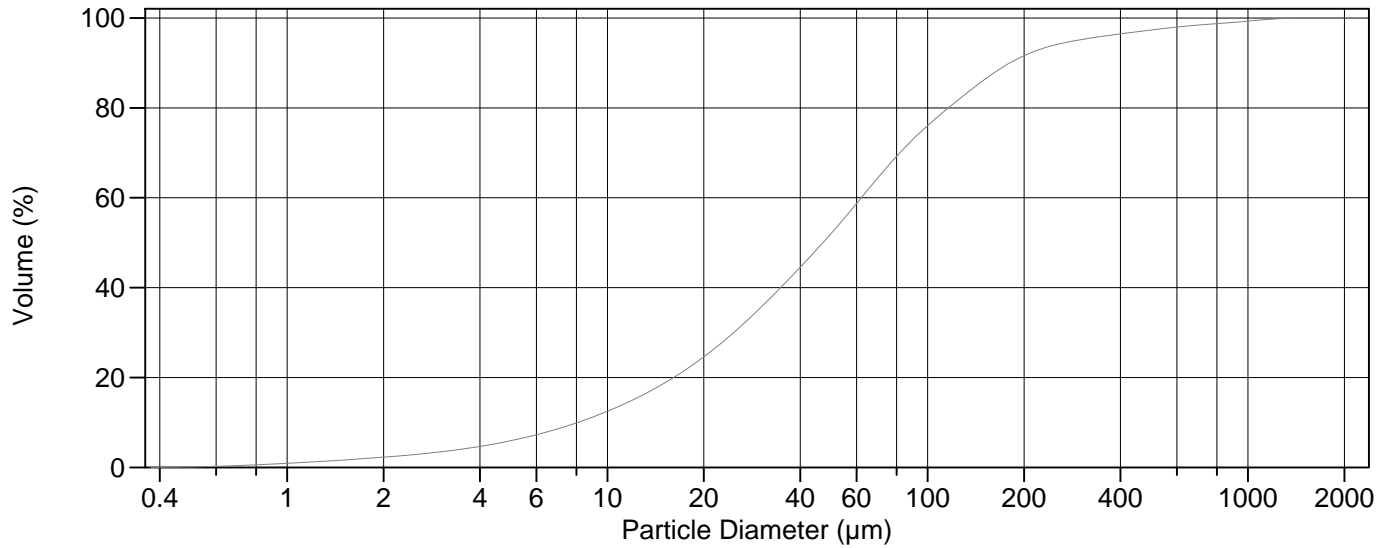
Volume	100.0%		
Mean:	18.64 µm	95% Conf. Limits:	0-71.78 µm
Median:	7.650 µm	S.D.:	27.11 µm
D(3,2):	4.807 µm	Variance:	735.1 µm ²
Mean/Median Ratio:	2.437	C.V.:	145%
Mode:	5.878 µm	Skewness:	3.035 Right skewed
d ₁₀ :	1.884 µm	Kurtosis:	11.25 Leptokurtic
d ₅₀ :	7.650 µm		
d ₉₀ :	49.83 µm		
Specific Surf. Area	12483 cm ² /ml		

% <	10	25	50	75	90
Size µm	1.884	3.576	7.650	22.10	49.83

40.\$02

Particle Diameter µm	Volume % <	Particle Diameter µm	Volume % <
2.000	11.3	500.0	100
5.000	35.4	1000	100
10.00	58.0	2000	100
15.00	66.4		
20.00	72.6		
25.00	77.8		
50.00	90.1		
60.00	92.7		
63.00	93.5		
70.00	95.0		
75.00	95.8		
90.00	97.1		
125.0	98.2		
200.0	100.0		
250.0	100.0		
400.0	100		

2013.0039 - stand. MINN



Volume Statistics (Arithmetic) 42.\$02

Calculations from 0.375 µm to 2000 µm

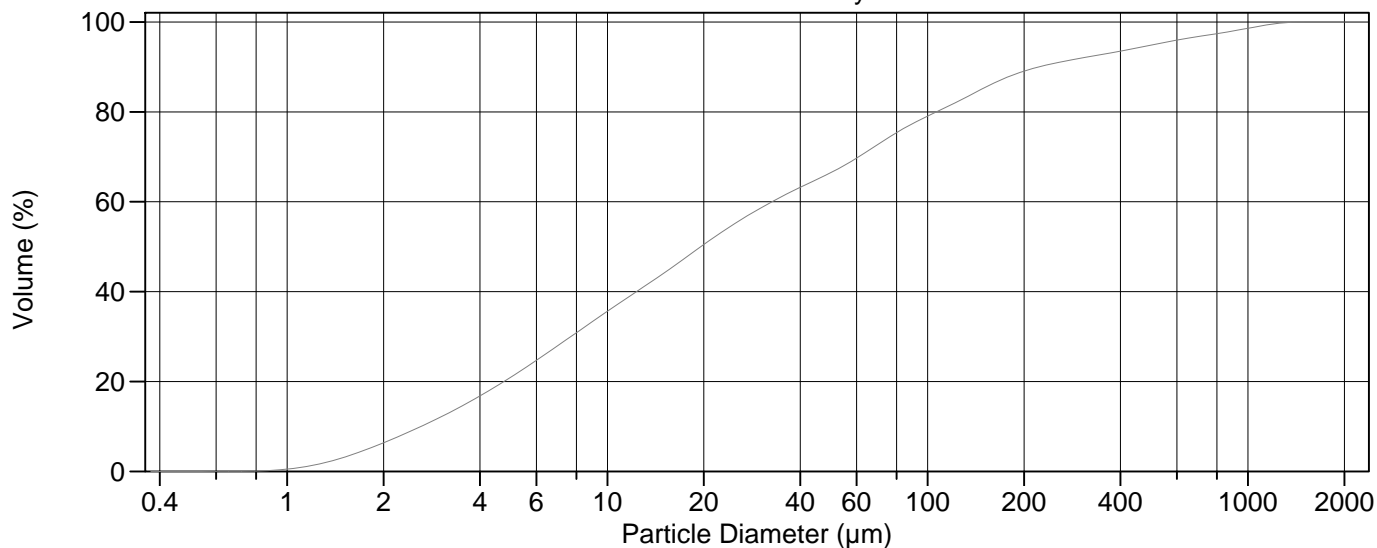
Volume	100.0%		
Mean:	89.14 µm	95% Conf. Limits:	0-378.1 µm
Median:	47.12 µm	S.D.:	147.4 µm
D(3,2):	15.33 µm	Variance:	21739 µm ²
Mean/Median Ratio:	1.892	C.V.:	165%
Mode:	60.52 µm	Skewness:	4.619 Right skewed
d ₁₀ :	8.075 µm	Kurtosis:	26.34 Leptokurtic
d ₅₀ :	47.12 µm		
d ₉₀ :	180.7 µm		
Specific Surf. Area	3913 cm ² /ml		

% <	10	25	50	75	90
Size µm	8.075	20.35	47.12	96.37	180.7

42.\$02

Particle Diameter µm	Volume % <	Particle Diameter µm	Volume % <
2.000	2.27	500.0	97.3
5.000	5.96	1000	99.3
10.00	12.5	2000	100
15.00	18.7		
20.00	24.6		
25.00	30.2		
50.00	52.1		
60.00	58.7		
63.00	60.6		
70.00	64.5		
75.00	67.0		
90.00	73.0		
125.0	81.9		
200.0	91.6		
250.0	94.0		
400.0	96.5		

2013.0039 - stand. Hynne



Volume Statistics (Arithmetic) 41.\$02

Calculations from 0.375 µm to 2000 µm

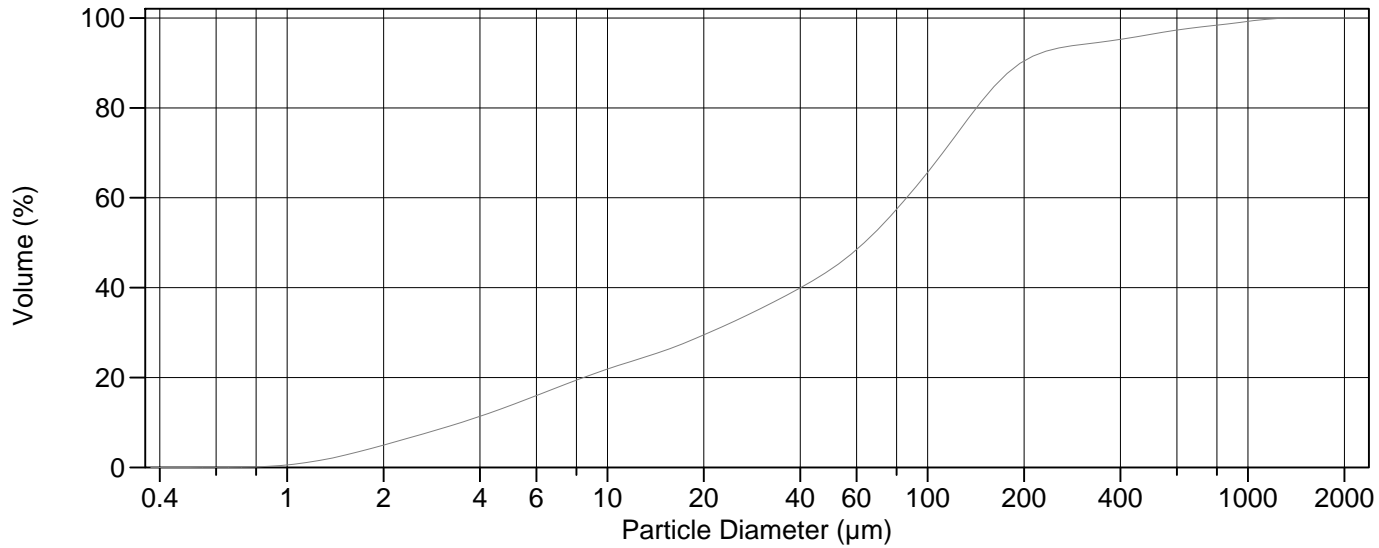
Volume	100.0%		
Mean:	93.36 µm	95% Conf. Limits:	0-481.9 µm
Median:	19.59 µm	S.D.:	198.2 µm
D(3,2):	7.612 µm	Variance:	39302 µm ²
Mean/Median Ratio:	4.765	C.V.:	212%
Mode:	18.00 µm	Skewness:	3.646 Right skewed
d ₁₀ :	2.617 µm	Kurtosis:	14.38 Leptokurtic
d ₅₀ :	19.59 µm		
d ₉₀ :	222.6 µm		
Specific Surf. Area	7882 cm ² /ml		

% <	10	25	50	75	90
Size µm	2.617	6.086	19.59	78.38	222.6

41.\$02

Particle Diameter µm	Volume % <	Particle Diameter µm	Volume % <
2.000	6.37	500.0	94.9
5.000	21.0	1000	98.6
10.00	35.6	2000	100
15.00	44.1		
20.00	50.5		
25.00	55.2		
50.00	66.5		
60.00	69.7		
63.00	70.7		
70.00	72.8		
75.00	74.2		
90.00	77.4		
125.0	82.4		
200.0	89.0		
250.0	90.8		
400.0	93.5		

2013.0039 - 43



Volume Statistics (Arithmetic)

43#.\$02

Calculations from 0.375 µm to 2000 µm

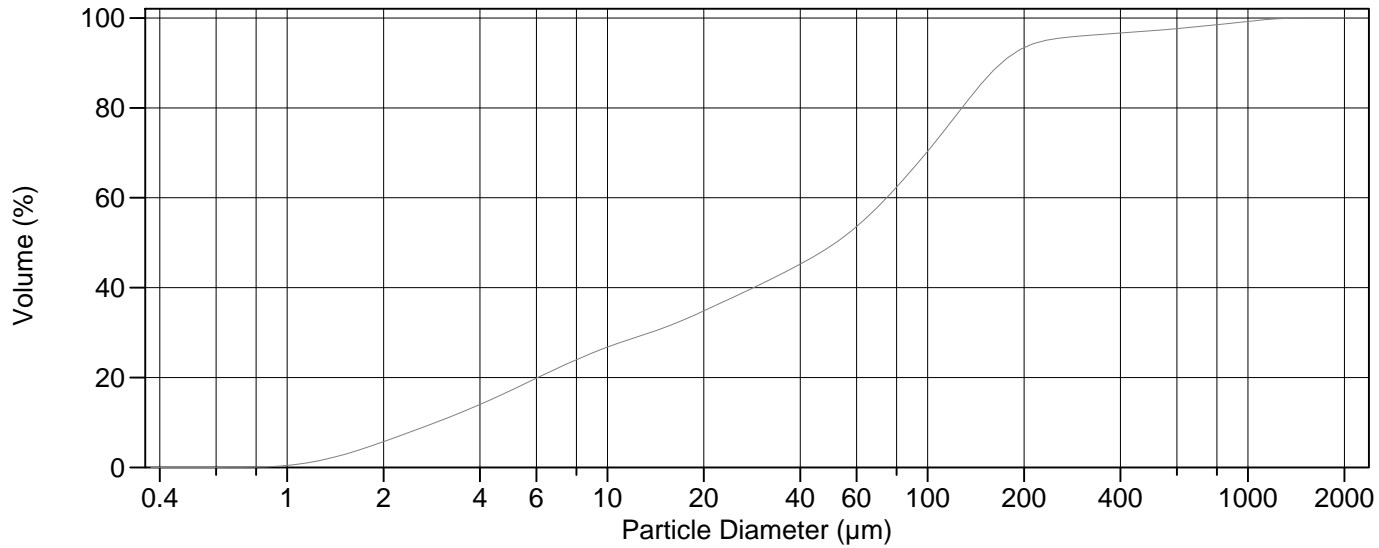
Volume	100.0%		
Mean:	103.9 µm	95% Conf. Limits:	0-419.5 µm
Median:	63.40 µm	S.D.:	161.0 µm
D(3,2):	10.90 µm	Variance:	25922 µm ²
Mean/Median Ratio:	1.639	C.V.:	155%
Mode:	127.6 µm	Skewness:	3.889 Right skewed
d ₁₀ :	3.496 µm	Kurtosis:	18.40 Leptokurtic
d ₅₀ :	63.40 µm		
d ₉₀ :	195.4 µm		
Specific Surf. Area	5503 cm ² /ml		

% <	10	25	50	75	90
Size µm	3.496	13.71	63.40	125.8	195.4

43#.\$02

Particle Diameter µm	Volume % <	Particle Diameter µm	Volume % <
2.000	4.97	500.0	96.4
5.000	13.8	1000	99.2
10.00	21.9	2000	100
15.00	25.9		
20.00	29.5		
25.00	32.6		
50.00	44.1		
60.00	48.5		
63.00	49.8		
70.00	53.0		
75.00	55.2		
90.00	61.7		
125.0	74.7		
200.0	90.4		
250.0	93.1		
400.0	95.2		

2013.0039 - 44



Volume Statistics (Arithmetic)

44#.\$02

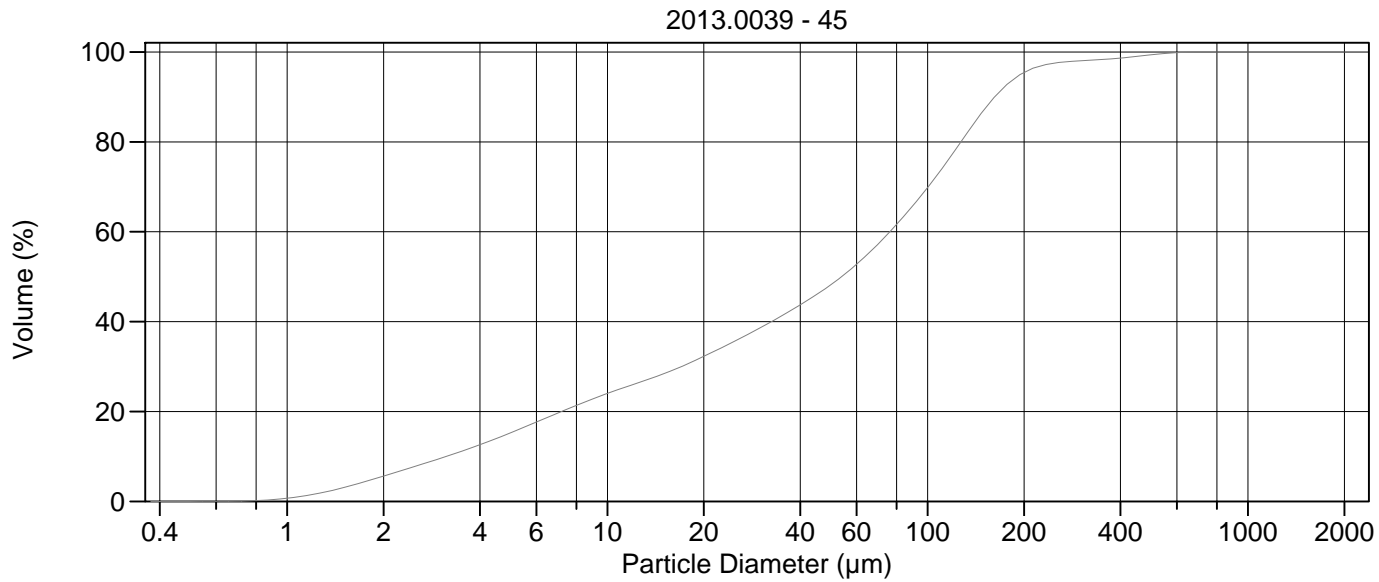
Calculations from 0.375 µm to 2000 µm

Volume	100.0%		
Mean:	89.20 µm	95% Conf. Limits:	0-386.2 µm
Median:	51.64 µm	S.D.:	151.5 µm
D(3,2):	9.392 µm	Variance:	22956 µm ²
Mean/Median Ratio:	1.727	C.V.:	170%
Mode:	127.6 µm	Skewness:	4.607 Right skewed
d ₁₀ :	2.910 µm	Kurtosis:	25.73 Leptokurtic
d ₅₀ :	51.64 µm		
d ₉₀ :	170.3 µm		
Specific Surf. Area	6389 cm ² /ml		

% <	10	25	50	75	90
Size µm	2.910	8.665	51.64	112.9	170.3

44#.\$02

Particle Diameter µm	Volume % <	Particle Diameter µm	Volume % <
2.000	5.74	500.0	97.2
5.000	17.1	1000	99.2
10.00	26.8	2000	100
15.00	31.1		
20.00	34.8		
25.00	38.0		
50.00	49.3		
60.00	53.6		
63.00	54.9		
70.00	58.0		
75.00	60.2		
90.00	66.5		
125.0	79.1		
200.0	93.4		
250.0	95.4		
400.0	96.7		



Volume Statistics (Arithmetic)

45#.\$02

Calculations from 0.375 µm to 2000 µm

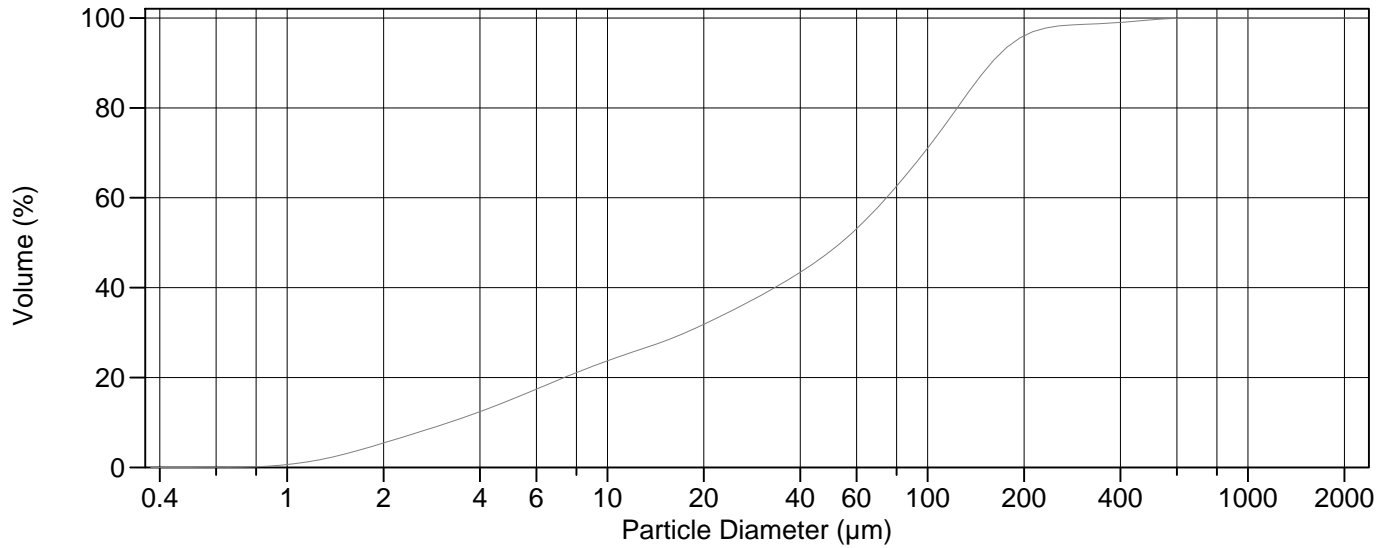
Volume	100.0%		
Mean:	74.01 µm	95% Conf. Limits:	0-234.2 µm
Median:	53.90 µm	S.D.:	81.75 µm
D(3,2):	9.845 µm	Variance:	6683 µm ²
Mean/Median Ratio:	1.373	C.V.:	110%
Mode:	127.6 µm	Skewness:	2.555 Right skewed
d ₁₀ :	3.135 µm	Kurtosis:	10.86 Leptokurtic
d ₅₀ :	53.90 µm		
d ₉₀ :	161.8 µm		
Specific Surf. Area	6094 cm ² /ml		

% <	10	25	50	75	90
Size µm	3.135	10.93	53.90	113.3	161.8

45#.\$02

Particle Diameter µm	Volume % <	Particle Diameter µm	Volume % <
2.000	5.64	500.0	99.4
5.000	15.3	1000	100
10.00	24.0	2000	100
15.00	28.4		
20.00	32.3		
25.00	35.7		
50.00	48.3		
60.00	52.8		
63.00	54.1		
70.00	57.3		
75.00	59.5		
90.00	65.8		
125.0	79.3		
200.0	95.4		
250.0	97.5		
400.0	98.7		

2013.0039 - 46



Volume Statistics (Arithmetic)

46.\$02

Calculations from 0.375 µm to 2000 µm

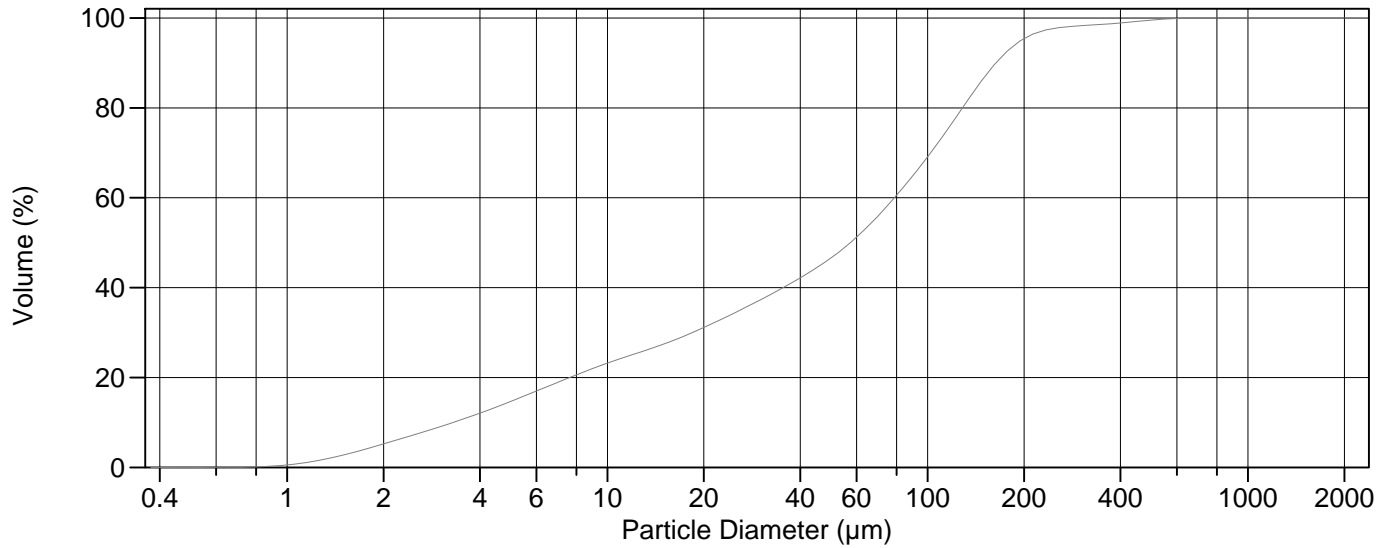
Volume	100.0%		
Mean:	71.39 µm	95% Conf. Limits:	0-219.2 µm
Median:	53.67 µm	S.D.:	75.43 µm
D(3,2):	10.03 µm	Variance:	5690 µm ²
Mean/Median Ratio:	1.330	C.V.:	106%
Mode:	127.6 µm	Skewness:	2.368 Right skewed
d ₁₀ :	3.201 µm	Kurtosis:	10.14 Leptokurtic
d ₅₀ :	53.67 µm		
d ₉₀ :	158.3 µm		
Specific Surf. Area	5979 cm ² /ml		

% <	10	25	50	75	90
Size µm	3.201	11.26	53.67	110.1	158.3

46.\$02

Particle Diameter µm	Volume % <	Particle Diameter µm	Volume % <
2.000	5.44	500.0	99.6
5.000	15.1	1000	100
10.00	23.7	2000	100
15.00	28.1		
20.00	31.8		
25.00	35.2		
50.00	48.2		
60.00	53.1		
63.00	54.6		
70.00	58.0		
75.00	60.3		
90.00	67.0		
125.0	80.4		
200.0	96.0		
250.0	98.1		
400.0	99.0		

2013.0039 - 47



Volume Statistics (Arithmetic) 47.\$02

Calculations from 0.375 µm to 2000 µm

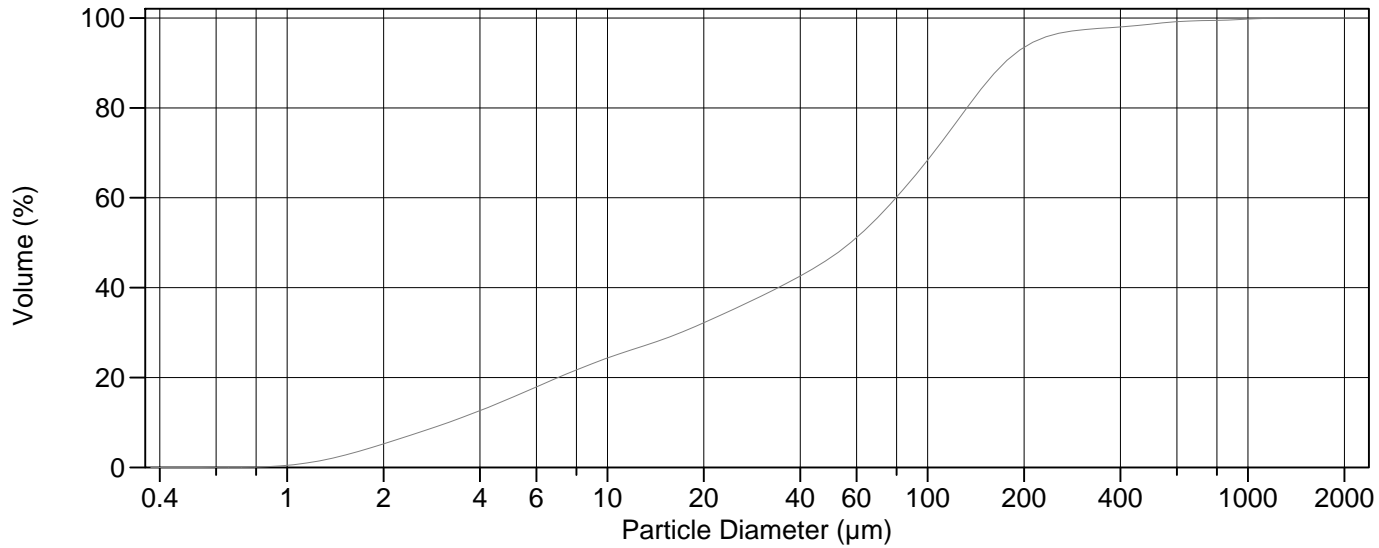
Volume	100.0%		
Mean:	74.84 µm	95% Conf. Limits:	0-229.2 µm
Median:	57.37 µm	S.D.:	78.76 µm
D(3,2):	10.35 µm	Variance:	6203 µm ²
Mean/Median Ratio:	1.304	C.V.:	105%
Mode:	127.6 µm	Skewness:	2.331 Right skewed
d ₁₀ :	3.297 µm	Kurtosis:	9.643 Leptokurtic
d ₅₀ :	57.37 µm		
d ₉₀ :	163.5 µm		
Specific Surf. Area	5799 cm ² /ml		

% <	10	25	50	75	90
Size µm	3.297	11.87	57.37	114.9	163.5

47.\$02

Particle Diameter µm	Volume % <	Particle Diameter µm	Volume % <
2.000	5.22	500.0	99.5
5.000	14.7	1000	100
10.00	23.2	2000	100
15.00	27.4		
20.00	31.1		
25.00	34.4		
50.00	46.6		
60.00	51.2		
63.00	52.7		
70.00	56.0		
75.00	58.3		
90.00	65.0		
125.0	78.8		
200.0	95.4		
250.0	97.7		
400.0	98.9		

2013.0039 - 48



Volume Statistics (Arithmetic)

48.\$02

Calculations from 0.375 µm to 2000 µm

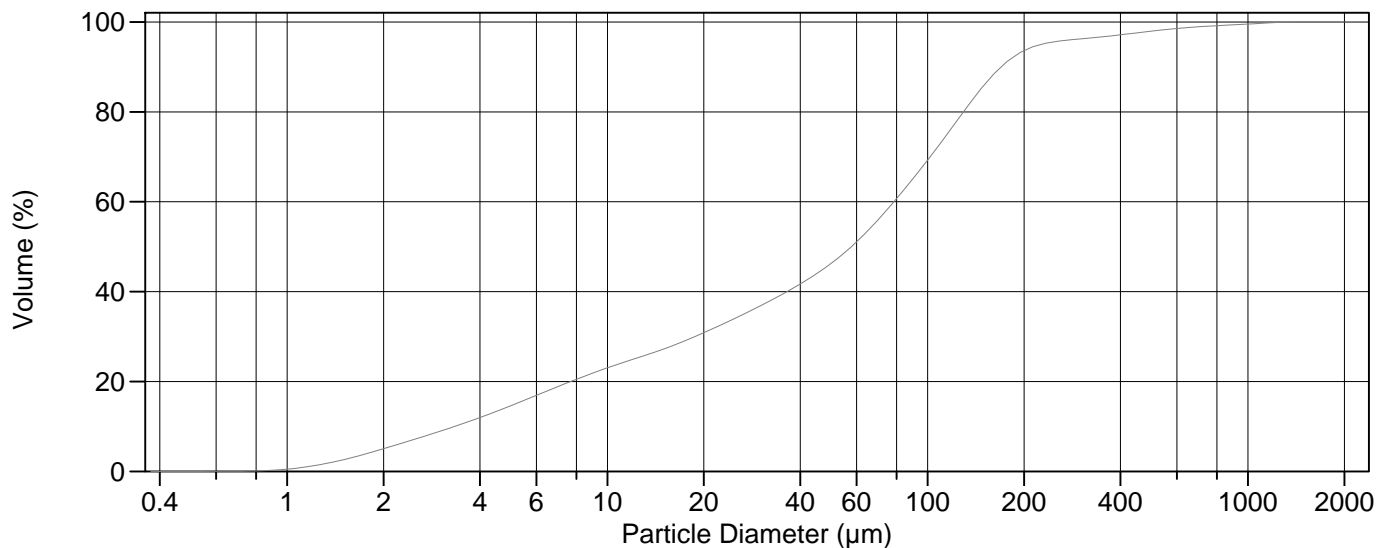
Volume	100.0%		
Mean:	82.50 µm	95% Conf. Limits:	0-299.1 µm
Median:	57.47 µm	S.D.:	110.5 µm
D(3,2):	10.16 µm	Variance:	12209 µm ²
Mean/Median Ratio:	1.436	C.V.:	134%
Mode:	127.6 µm	Skewness:	4.466 Right skewed
d ₁₀ :	3.185 µm	Kurtosis:	31.10 Leptokurtic
d ₅₀ :	57.47 µm		
d ₉₀ :	173.7 µm		
Specific Surf. Area	5908 cm ² /ml		

% <	10	25	50	75	90
Size µm	3.185	10.63	57.47	117.8	173.7

48.\$02

Particle Diameter µm	Volume % <	Particle Diameter µm	Volume % <
2.000	5.23	500.0	98.7
5.000	15.5	1000	99.7
10.00	24.3	2000	100
15.00	28.6		
20.00	32.2		
25.00	35.3		
50.00	46.8		
60.00	51.1		
63.00	52.5		
70.00	55.7		
75.00	58.0		
90.00	64.4		
125.0	77.5		
200.0	93.4		
250.0	96.4		
400.0	98.0		

2013.0039 - 49



Volume Statistics (Arithmetic)

49.\$02

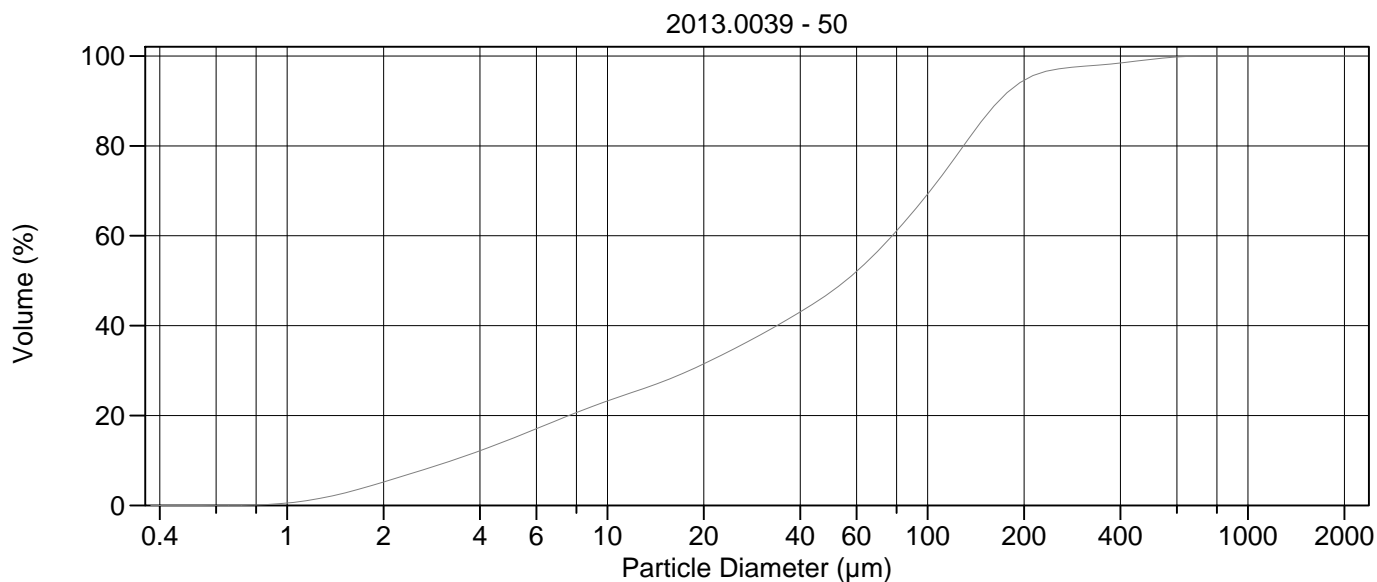
Calculations from 0.375 µm to 2000 µm

Volume	100.0%		
Mean:	86.97 µm	95% Conf. Limits:	0-341.4 µm
Median:	57.80 µm	S.D.:	129.8 µm
D(3,2):	10.51 µm	Variance:	16852 µm ²
Mean/Median Ratio:	1.505	C.V.:	149%
Mode:	127.6 µm	Skewness:	4.736 Right skewed
d ₁₀ :	3.334 µm	Kurtosis:	30.66 Leptokurtic
d ₅₀ :	57.80 µm		
d ₉₀ :	169.9 µm		
Specific Surf. Area	5707 cm ² /ml		

% <	10	25	50	75	90
Size µm	3.334	12.08	57.80	115.0	169.9

49.\$02

Particle Diameter µm	Volume % <	Particle Diameter µm	Volume % <
2.000	5.05	500.0	98.0
5.000	14.6	1000	99.5
10.00	23.0	2000	100
15.00	27.2		
20.00	30.8		
25.00	34.0		
50.00	46.3		
60.00	51.1		
63.00	52.6		
70.00	56.0		
75.00	58.4		
90.00	65.1		
125.0	78.5		
200.0	93.6		
250.0	95.6		
400.0	97.2		



Volume Statistics (Arithmetic)

50#.\$02

Calculations from 0.375 µm to 2000 µm

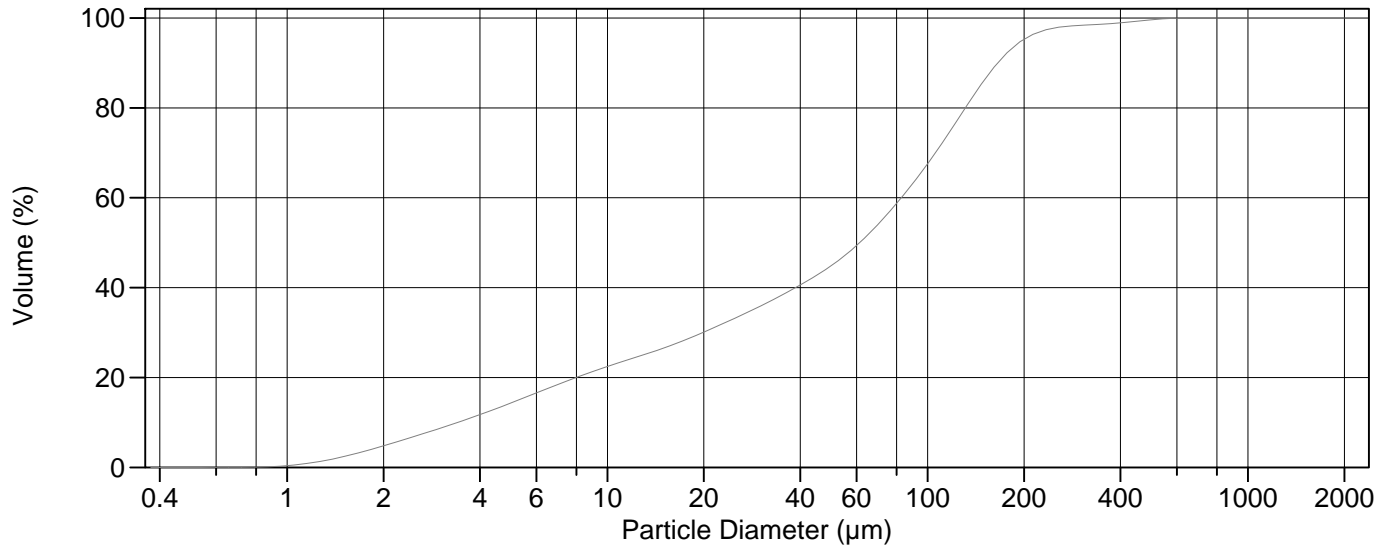
Volume	100.0%		
Mean:	76.63 µm	95% Conf. Limits:	0-244.5 µm
Median:	55.47 µm	S.D.:	85.65 µm
D(3,2):	10.32 µm	Variance:	7336 µm ²
Mean/Median Ratio:	1.381	C.V.:	112%
Mode:	127.6 µm	Skewness:	2.558 Right skewed
d ₁₀ :	3.275 µm	Kurtosis:	10.35 Leptokurtic
d ₅₀ :	55.47 µm		
d ₉₀ :	167.0 µm		
Specific Surf. Area	5813 cm ² /ml		

% <	10	25	50	75	90
Size µm	3.275	11.79	55.47	115.2	167.0

50#.\$02

Particle Diameter µm	Volume % <	Particle Diameter µm	Volume % <
2.000	5.20	500.0	99.3
5.000	14.8	1000	100
10.00	23.2	2000	100
15.00	27.6		
20.00	31.5		
25.00	34.9		
50.00	47.6		
60.00	52.1		
63.00	53.4		
70.00	56.7		
75.00	58.9		
90.00	65.3		
125.0	78.5		
200.0	94.6		
250.0	97.0		
400.0	98.5		

2013.0039 - 51



Volume Statistics (Arithmetic)

51.\$02

Calculations from 0.375 µm to 2000 µm

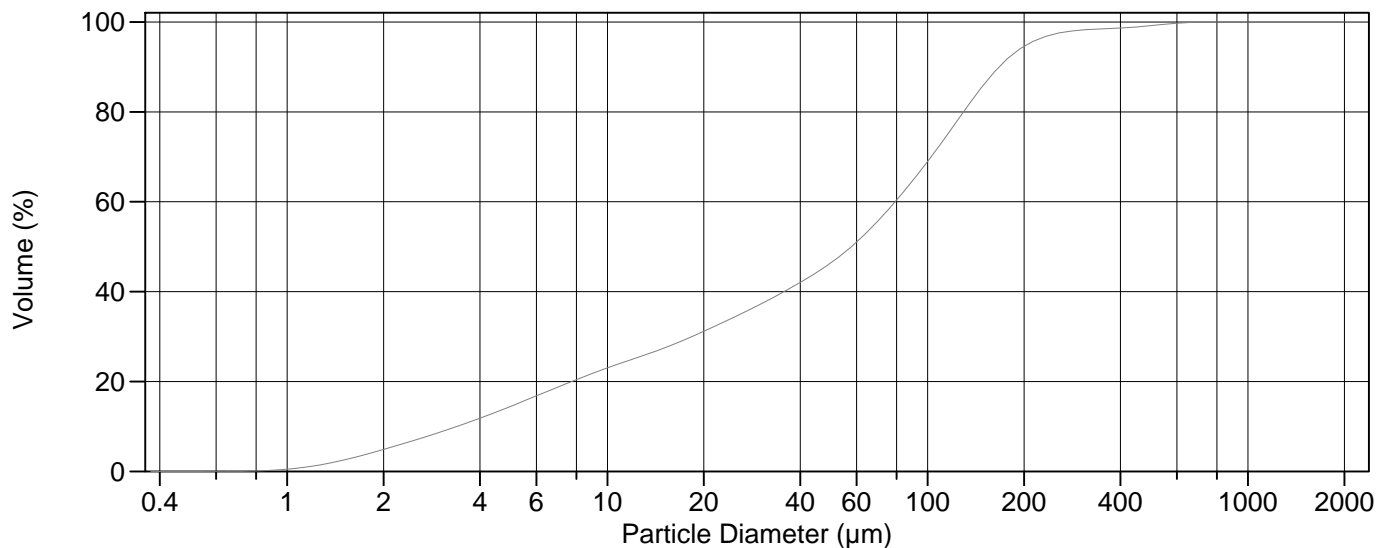
Volume	100.0%		
Mean:	76.77 µm	95% Conf. Limits:	0-229.3 µm
Median:	61.32 µm	S.D.:	77.82 µm
D(3,2):	10.85 µm	Variance:	6055 µm ²
Mean/Median Ratio:	1.252	C.V.:	101%
Mode:	127.6 µm	Skewness:	2.134 Right skewed
d ₁₀ :	3.406 µm	Kurtosis:	8.247 Leptokurtic
d ₅₀ :	61.32 µm		
d ₉₀ :	165.7 µm		
Specific Surf. Area	5530 cm ² /ml		

% <	10	25	50	75	90
Size µm	3.406	12.89	61.32	118.0	165.7

51.\$02

Particle Diameter µm	Volume % <	Particle Diameter µm	Volume % <
2.000	4.82	500.0	99.6
5.000	14.3	1000	100
10.00	22.5	2000	100
15.00	26.6		
20.00	30.1		
25.00	33.2		
50.00	44.9		
60.00	49.4		
63.00	50.8		
70.00	54.1		
75.00	56.4		
90.00	63.3		
125.0	77.7		
200.0	95.2		
250.0	97.8		
400.0	98.9		

2013.0039 - 52



Volume Statistics (Arithmetic)

52.\$02

Calculations from 0.375 µm to 2000 µm

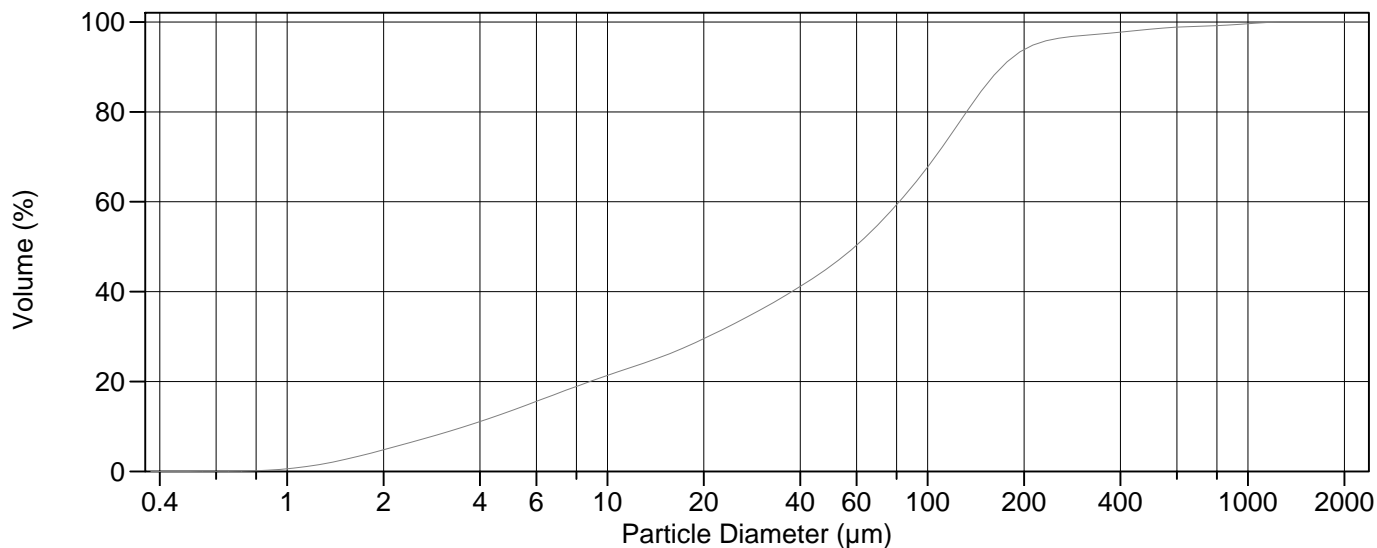
Volume	100.0%		
Mean:	76.77 µm	95% Conf. Limits:	0-242.1 µm
Median:	57.80 µm	S.D.:	84.36 µm
D(3,2):	10.60 µm	Variance:	7116 µm ²
Mean/Median Ratio:	1.328	C.V.:	110%
Mode:	127.6 µm	Skewness:	2.669 Right skewed
d ₁₀ :	3.391 µm	Kurtosis:	12.08 Leptokurtic
d ₅₀ :	57.80 µm		
d ₉₀ :	167.4 µm		
Specific Surf. Area	5660 cm ² /ml		

% <	10	25	50	75	90
Size µm	3.391	12.01	57.80	115.4	167.4

52.\$02

Particle Diameter µm	Volume % <	Particle Diameter µm	Volume % <
2.000	4.88	500.0	99.2
5.000	14.5	1000	100
10.00	23.0	2000	100
15.00	27.4		
20.00	31.2		
25.00	34.4		
50.00	46.5		
60.00	51.0		
63.00	52.4		
70.00	55.8		
75.00	58.1		
90.00	64.8		
125.0	78.5		
200.0	94.5		
250.0	97.3		
400.0	98.7		

2013.0039 - 53



Volume Statistics (Arithmetic)

53.\$02

Calculations from 0.375 µm to 2000 µm

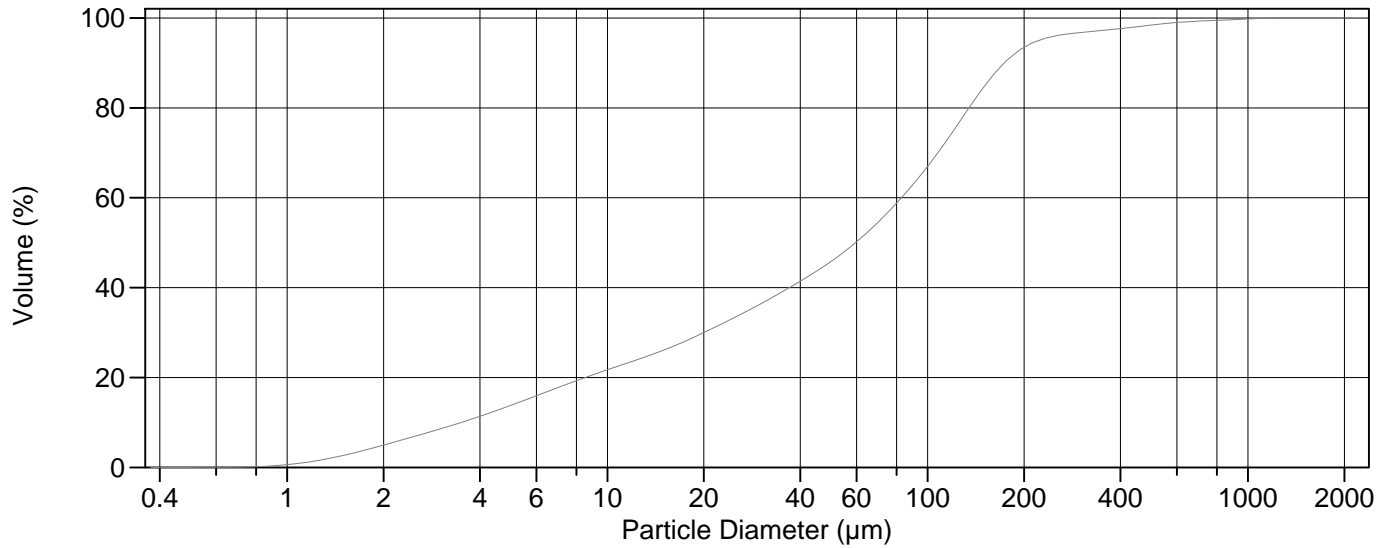
Volume	100.0%		
Mean:	85.84 µm	95% Conf. Limits:	0-321.3 µm
Median:	59.29 µm	S.D.:	120.1 µm
D(3,2):	11.00 µm	Variance:	14427 µm ²
Mean/Median Ratio:	1.448	C.V.:	140%
Mode:	127.6 µm	Skewness:	4.735 Right skewed
d ₁₀ :	3.592 µm	Kurtosis:	31.56 Leptokurtic
d ₅₀ :	59.29 µm		
d ₉₀ :	170.8 µm		
Specific Surf. Area	5454 cm ² /ml		

% <	10	25	50	75	90
Size µm	3.592	14.13	59.29	118.4	170.8

53.\$02

Particle Diameter µm	Volume % <	Particle Diameter µm	Volume % <
2.000	4.81	500.0	98.4
5.000	13.5	1000	99.6
10.00	21.4	2000	100
15.00	25.7		
20.00	29.5		
25.00	32.9		
50.00	45.8		
60.00	50.3		
63.00	51.7		
70.00	54.9		
75.00	57.1		
90.00	63.6		
125.0	77.4		
200.0	93.8		
250.0	96.2		
400.0	97.7		

2013.0039 - 54



Volume Statistics (Arithmetic)

54.\$02

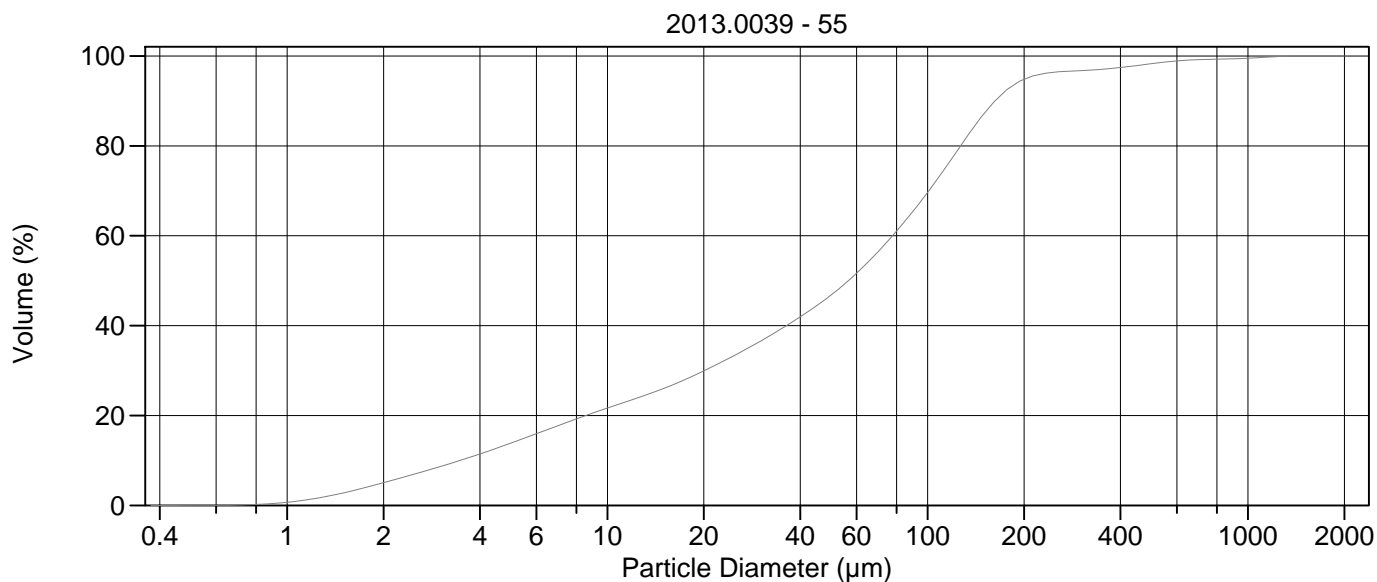
Calculations from 0.375 µm to 2000 µm

Volume	100.0%		
Mean:	85.70 µm	95% Conf. Limits:	0-307.4 µm
Median:	59.57 µm	S.D.:	113.1 µm
D(3,2):	10.78 µm	Variance:	12796 µm ²
Mean/Median Ratio:	1.439	C.V.:	132%
Mode:	127.6 µm	Skewness:	4.168 Right skewed
d ₁₀ :	3.493 µm	Kurtosis:	26.11 Leptokurtic
d ₅₀ :	59.57 µm		
d ₉₀ :	173.5 µm		
Specific Surf. Area	5563 cm ² /ml		

% <	10	25	50	75	90
Size µm	3.493	13.64	59.57	120.6	173.5

54.\$02

Particle Diameter µm	Volume % <	Particle Diameter µm	Volume % <
2.000	4.97	500.0	98.4
5.000	13.8	1000	99.8
10.00	21.7	2000	100
15.00	26.1		
20.00	30.0		
25.00	33.4		
50.00	45.8		
60.00	50.2		
63.00	51.5		
70.00	54.6		
75.00	56.7		
90.00	63.0		
125.0	76.6		
200.0	93.4		
250.0	96.0		
400.0	97.6		



Volume Statistics (Arithmetic)

55#.\$02

Calculations from 0.375 µm to 2000 µm

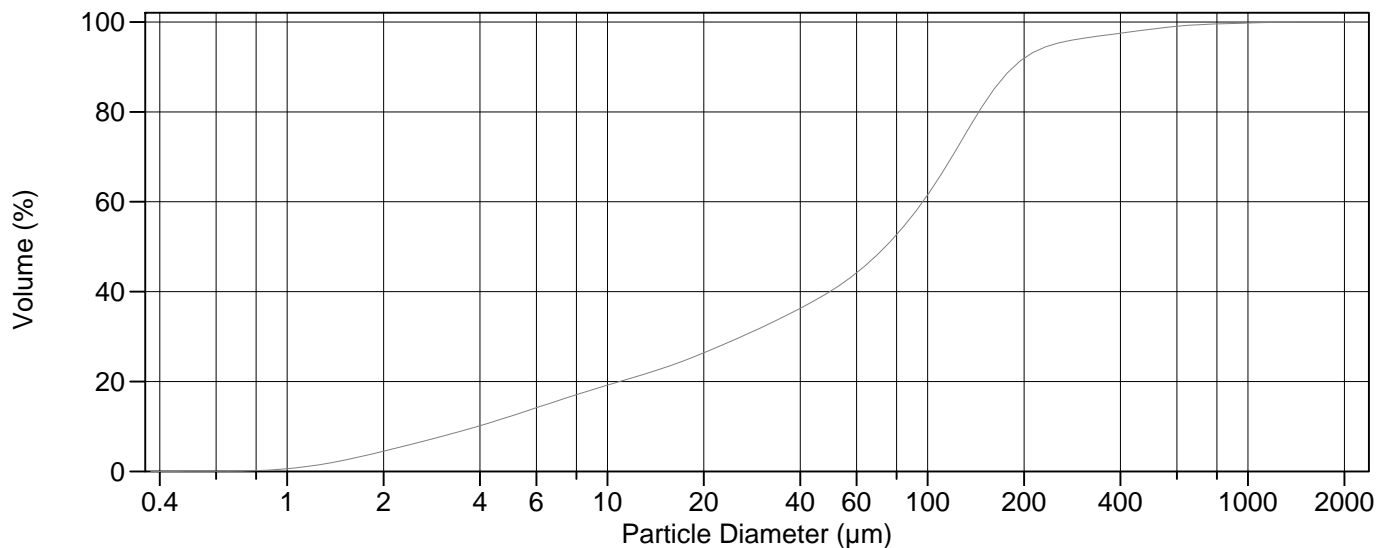
Volume	100.0%		
Mean:	83.63 µm	95% Conf. Limits:	0-325.5 µm
Median:	56.59 µm	S.D.:	123.4 µm
D(3,2):	10.64 µm	Variance:	15223 µm ²
Mean/Median Ratio:	1.478	C.V.:	148%
Mode:	127.6 µm	Skewness:	5.180 Right skewed
d ₁₀ :	3.465 µm	Kurtosis:	37.54 Leptokurtic
d ₅₀ :	56.59 µm		
d ₉₀ :	162.2 µm		
Specific Surf. Area	5640 cm ² /ml		

% <	10	25	50	75	90
Size µm	3.465	13.73	56.59	113.4	162.2

55#.\$02

Particle Diameter µm	Volume % <	Particle Diameter µm	Volume % <
2.000	5.05	500.0	98.3
5.000	13.9	1000	99.5
10.00	21.7	2000	100
15.00	26.0		
20.00	29.9		
25.00	33.4		
50.00	46.8		
60.00	51.6		
63.00	53.1		
70.00	56.4		
75.00	58.8		
90.00	65.5		
125.0	79.4		
200.0	94.8		
250.0	96.4		
400.0	97.4		

2013.0039 - 56



Volume Statistics (Arithmetic)

56.\$02

Calculations from 0.375 µm to 2000 µm

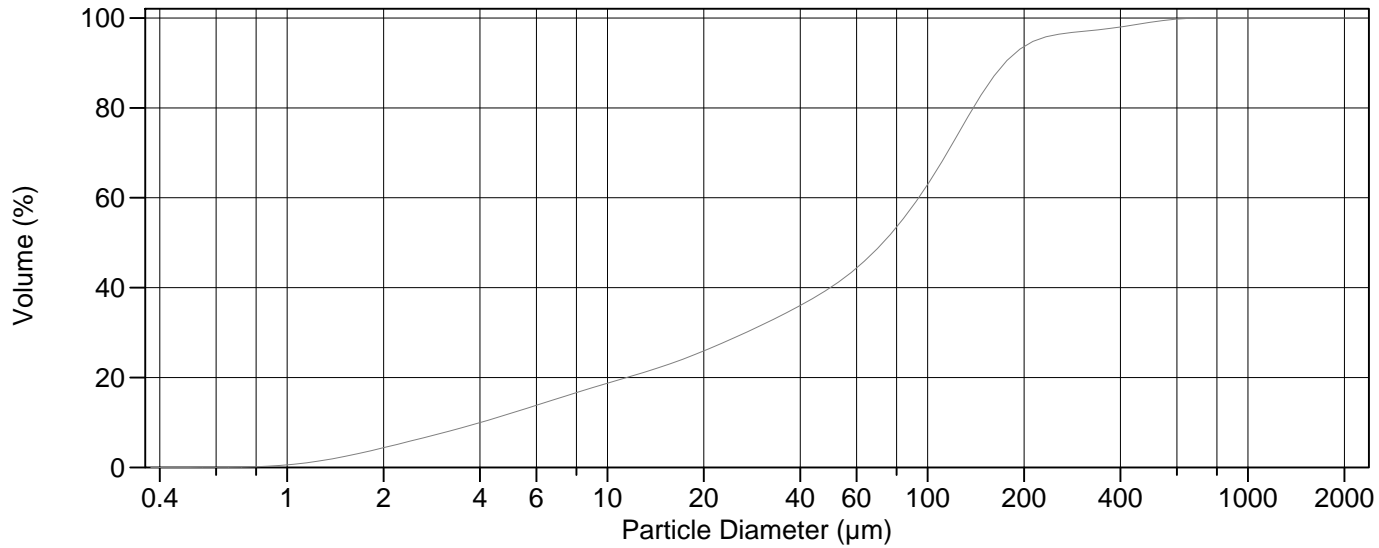
Volume	100.0%		
Mean:	94.82 µm	95% Conf. Limits:	0-320.1 µm
Median:	73.73 µm	S.D.:	115.0 µm
D(3,2):	11.95 µm	Variance:	13214 µm ²
Mean/Median Ratio:	1.286	C.V.:	121%
Mode:	127.6 µm	Skewness:	3.957 Right skewed
d ₁₀ :	3.926 µm	Kurtosis:	25.40 Leptokurtic
d ₅₀ :	73.73 µm		
d ₉₀ :	185.7 µm		
Specific Surf. Area	5022 cm ² /ml		

% <	10	25	50	75	90
Size µm	3.926	17.88	73.73	131.0	185.7

56.\$02

Particle Diameter µm	Volume % <	Particle Diameter µm	Volume % <
2.000	4.49	500.0	98.4
5.000	12.3	1000	99.8
10.00	19.2	2000	100
15.00	23.0		
20.00	26.4		
25.00	29.3		
50.00	40.2		
60.00	44.2		
63.00	45.4		
70.00	48.4		
75.00	50.5		
90.00	57.1		
125.0	72.5		
200.0	91.9		
250.0	95.1		
400.0	97.5		

2013.0039 - 57



Volume Statistics (Arithmetic)

57.\$02

Calculations from 0.375 µm to 2000 µm

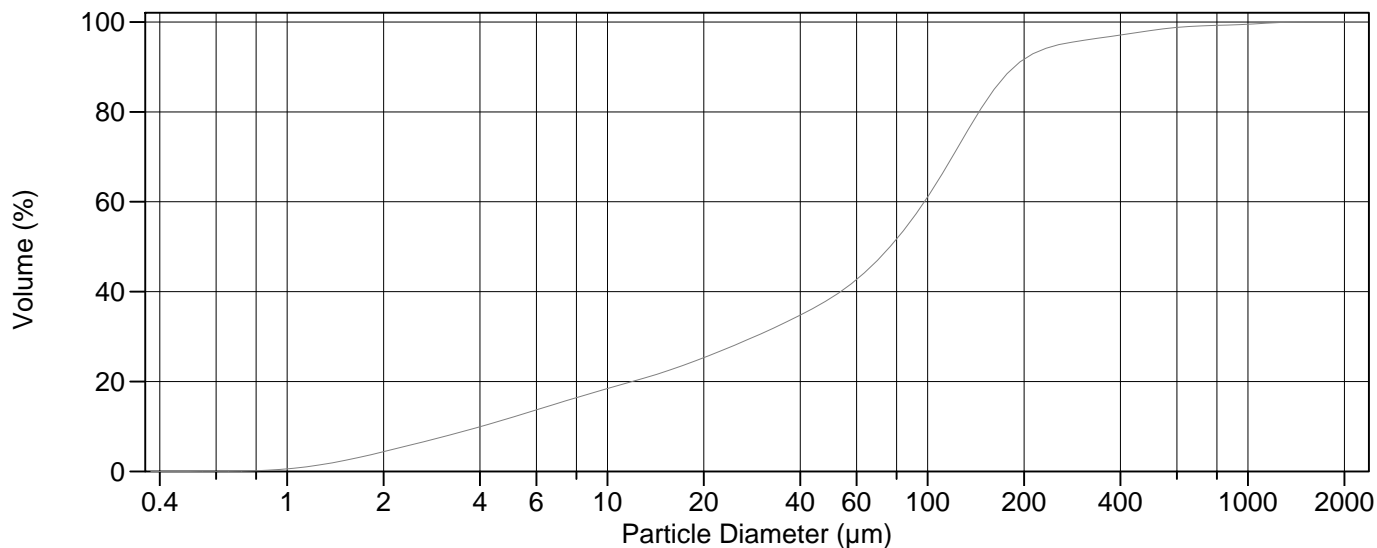
Volume	100.0%		
Mean:	87.67 µm	95% Conf. Limits:	0-264.9 µm
Median:	72.48 µm	S.D.:	90.42 µm
D(3,2):	12.15 µm	Variance:	8177 µm ²
Mean/Median Ratio:	1.210	C.V.:	103%
Mode:	127.6 µm	Skewness:	2.432 Right skewed
d ₁₀ :	4.017 µm	Kurtosis:	9.208 Leptokurtic
d ₅₀ :	72.48 µm		
d ₉₀ :	174.3 µm		
Specific Surf. Area	4937 cm ² /ml		

% <	10	25	50	75	90
Size µm	4.017	18.57	72.48	126.4	174.3

57.\$02

Particle Diameter µm	Volume % <	Particle Diameter µm	Volume % <
2.000	4.38	500.0	99.1
5.000	12.0	1000	100
10.00	18.7	2000	100
15.00	22.6		
20.00	25.9		
25.00	28.9		
50.00	40.1		
60.00	44.4		
63.00	45.7		
70.00	48.9		
75.00	51.2		
90.00	58.2		
125.0	74.4		
200.0	93.6		
250.0	96.2		
400.0	98.0		

2013.0039 - 59



Volume Statistics (Arithmetic)

59.\$02

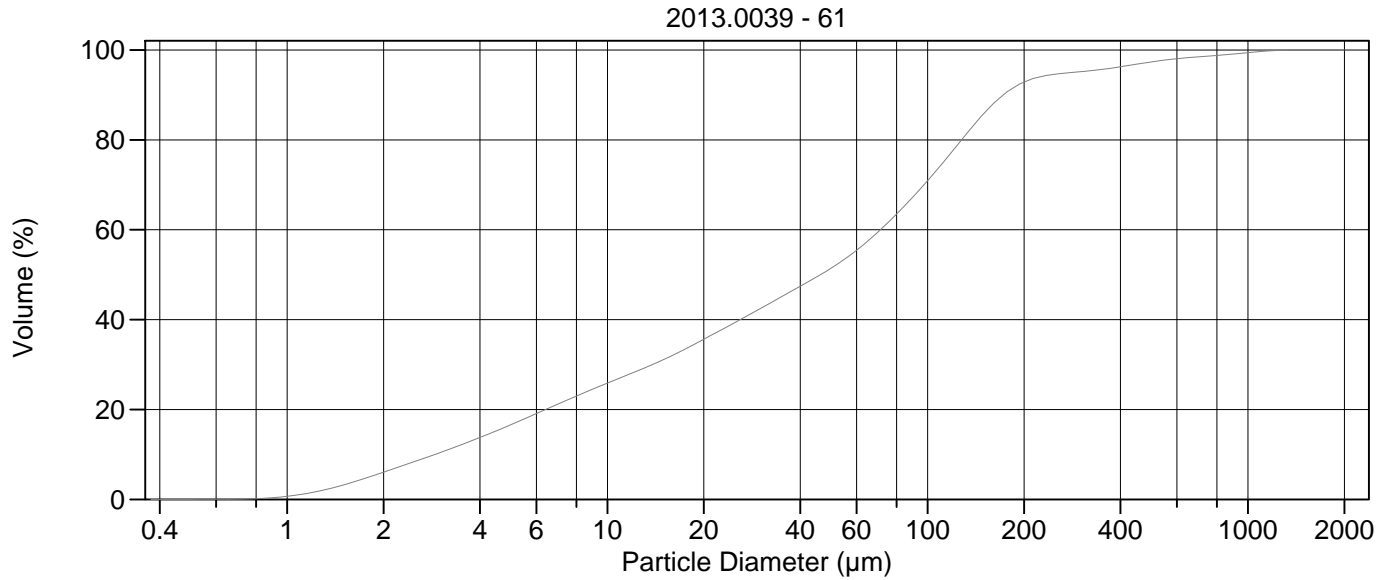
Calculations from 0.375 µm to 2000 µm

Volume	100.0%		
Mean:	99.21 µm	95% Conf. Limits:	0-352.7 µm
Median:	76.29 µm	S.D.:	129.4 µm
D(3,2):	12.32 µm	Variance:	16733 µm ²
Mean/Median Ratio:	1.300	C.V.:	130%
Mode:	127.6 µm	Skewness:	4.524 Right skewed
d ₁₀ :	4.031 µm	Kurtosis:	30.11 Leptokurtic
d ₅₀ :	76.29 µm		
d ₉₀ :	186.8 µm		
Specific Surf. Area	4872 cm ² /ml		

% <	10	25	50	75	90
Size µm	4.031	19.49	76.29	131.2	186.8

59.\$02

Particle Diameter µm	Volume % <	Particle Diameter µm	Volume % <
2.000	4.39	500.0	98.1
5.000	12.0	1000	99.5
10.00	18.4	2000	100
15.00	22.1		
20.00	25.3		
25.00	28.1		
50.00	38.6		
60.00	42.7		
63.00	44.0		
70.00	47.1		
75.00	49.4		
90.00	56.4		
125.0	72.4		
200.0	91.7		
250.0	94.7		
400.0	97.1		



Volume Statistics (Arithmetic)

61#.\$02

Calculations from 0.375 µm to 2000 µm

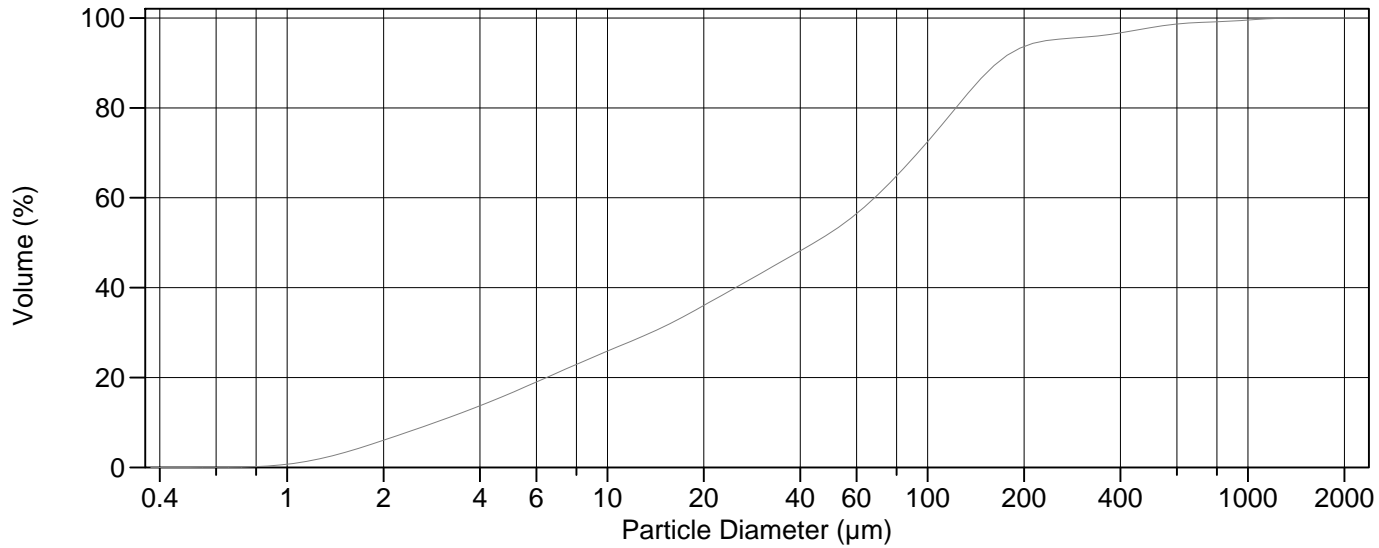
Volume	100.0%		
Mean:	87.69 µm	95% Conf. Limits:	0-371.5 µm
Median:	46.26 µm	S.D.:	144.8 µm
D(3,2):	9.210 µm	Variance:	20967 µm ²
Mean/Median Ratio:	1.895	C.V.:	165%
Mode:	127.6 µm	Skewness:	4.337 Right skewed
d ₁₀ :	2.892 µm	Kurtosis:	23.71 Leptokurtic
d ₅₀ :	46.26 µm		
d ₉₀ :	172.4 µm		
Specific Surf. Area	6515 cm ² /ml		

% <	10	25	50	75	90
Size µm	2.892	9.336	46.26	111.9	172.4

61#.\$02

Particle Diameter µm	Volume % <	Particle Diameter µm	Volume % <
2.000	6.04	500.0	97.4
5.000	16.6	1000	99.4
10.00	25.9	2000	100
15.00	31.1		
20.00	35.6		
25.00	39.4		
50.00	51.5		
60.00	55.4		
63.00	56.7		
70.00	59.5		
75.00	61.5		
90.00	67.3		
125.0	79.2		
200.0	92.8		
250.0	94.6		
400.0	96.3		

2013.0039 - 63



Volume Statistics (Arithmetic)

63.\$02

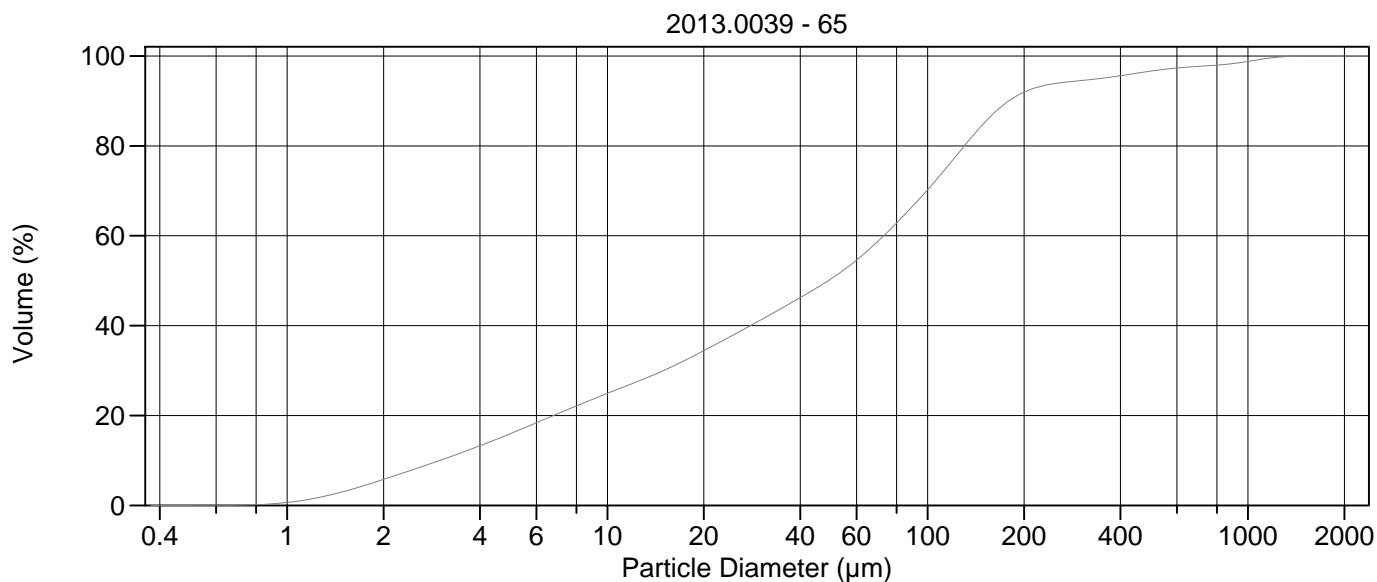
Calculations from 0.375 µm to 2000 µm

Volume	100.0%		
Mean:	81.83 µm	95% Conf. Limits:	0-339.5 µm
Median:	44.24 µm	S.D.:	131.5 µm
D(3,2):	9.173 µm	Variance:	17282 µm ²
Mean/Median Ratio:	1.850	C.V.:	161%
Mode:	116.3 µm	Skewness:	4.554 Right skewed
d ₁₀ :	2.900 µm	Kurtosis:	27.84 Leptokurtic
d ₅₀ :	44.24 µm		
d ₉₀ :	165.1 µm		
Specific Surf. Area	6541 cm ² /ml		

% <	10	25	50	75	90
Size µm	2.900	9.362	44.24	107.2	165.1

63.\$02

Particle Diameter µm	Volume % <	Particle Diameter µm	Volume % <
2.000	6.05	500.0	97.9
5.000	16.5	1000	99.5
10.00	25.9	2000	100
15.00	31.3		
20.00	36.0		
25.00	39.9		
50.00	52.3		
60.00	56.5		
63.00	57.7		
70.00	60.7		
75.00	62.8		
90.00	68.8		
125.0	80.8		
200.0	93.6		
250.0	95.2		
400.0	96.7		



Volume Statistics (Arithmetic)

65.\$02

Calculations from 0.375 µm to 2000 µm

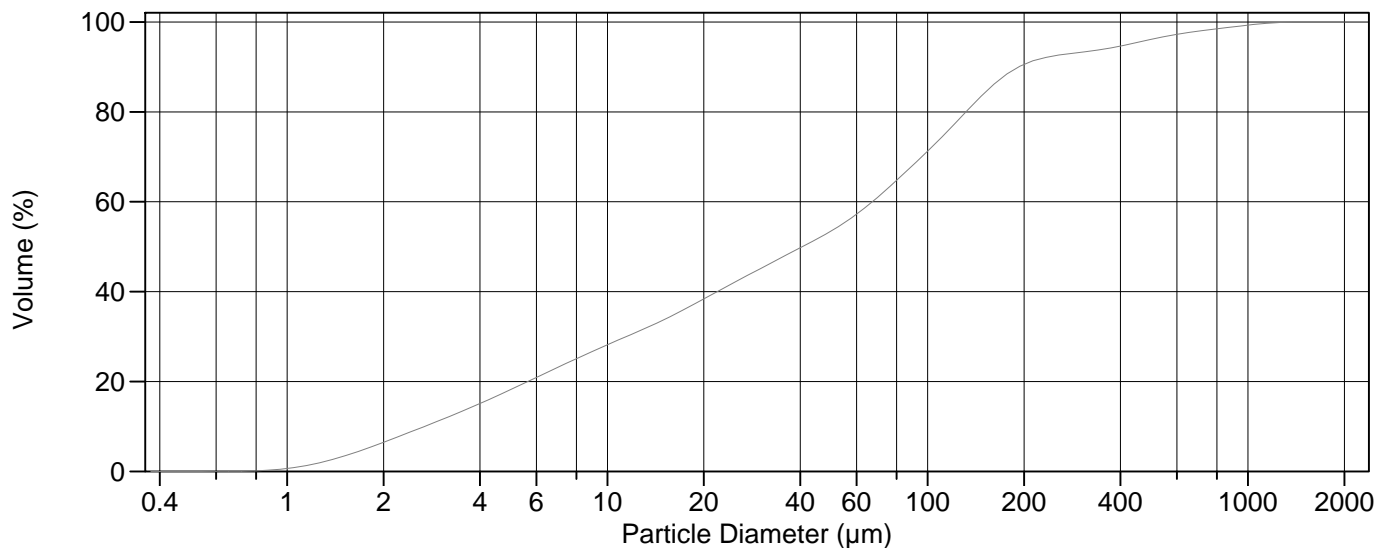
Volume	100.0%		
Mean:	96.39 µm	95% Conf. Limits:	0-431.8 µm
Median:	48.95 µm	S.D.:	171.1 µm
D(3,2):	9.536 µm	Variance:	29280 µm ²
Mean/Median Ratio:	1.969	C.V.:	178%
Mode:	127.6 µm	Skewness:	4.319 Right skewed
d ₁₀ :	2.997 µm	Kurtosis:	21.66 Leptokurtic
d ₅₀ :	48.95 µm		
d ₉₀ :	178.9 µm		
Specific Surf. Area	6292 cm ² /ml		

% <	10	25	50	75	90
Size µm	2.997	10.06	48.95	114.1	178.9

65.\$02

Particle Diameter µm	Volume % <	Particle Diameter µm	Volume % <
2.000	5.79	500.0	96.7
5.000	16.0	1000	98.8
10.00	24.9	2000	100
15.00	30.0		
20.00	34.4		
25.00	38.1		
50.00	50.4		
60.00	54.6		
63.00	55.8		
70.00	58.8		
75.00	60.9		
90.00	66.7		
125.0	78.4		
200.0	91.9		
250.0	93.9		
400.0	95.6		

2013.0039 - 67



Volume Statistics (Arithmetic)

67#.\$02

Calculations from 0.375 µm to 2000 µm

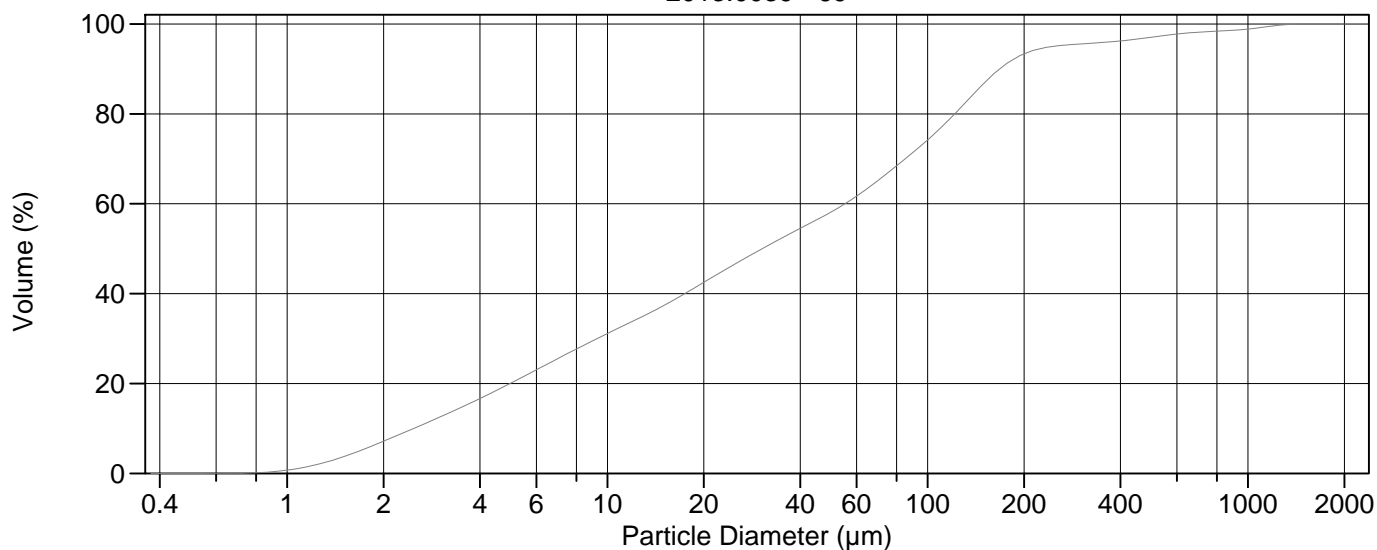
Volume	100.0%		
Mean:	95.31 µm	95% Conf. Limits:	0-417.8 µm
Median:	40.59 µm	S.D.:	164.5 µm
D(3,2):	8.639 µm	Variance:	27064 µm ²
Mean/Median Ratio:	2.348	C.V.:	173%
Mode:	127.6 µm	Skewness:	3.756 Right skewed
d ₁₀ :	2.683 µm	Kurtosis:	16.91 Leptokurtic
d ₅₀ :	40.59 µm		
d ₉₀ :	192.5 µm		
Specific Surf. Area	6945 cm ² /ml		

% <	10	25	50	75	90
Size µm	2.683	7.959	40.59	112.9	192.5

67#.\$02

Particle Diameter µm	Volume % <	Particle Diameter µm	Volume % <
2.000	6.49	500.0	96.2
5.000	18.2	1000	99.3
10.00	28.2	2000	100
15.00	33.7		
20.00	38.4		
25.00	42.1		
50.00	53.5		
60.00	57.2		
63.00	58.4		
70.00	61.1		
75.00	63.0		
90.00	68.2		
125.0	78.3		
200.0	90.5		
250.0	92.5		
400.0	94.6		

2013.0039 - 69



Volume Statistics (Arithmetic)

69.\$02

Calculations from 0.375 µm to 2000 µm

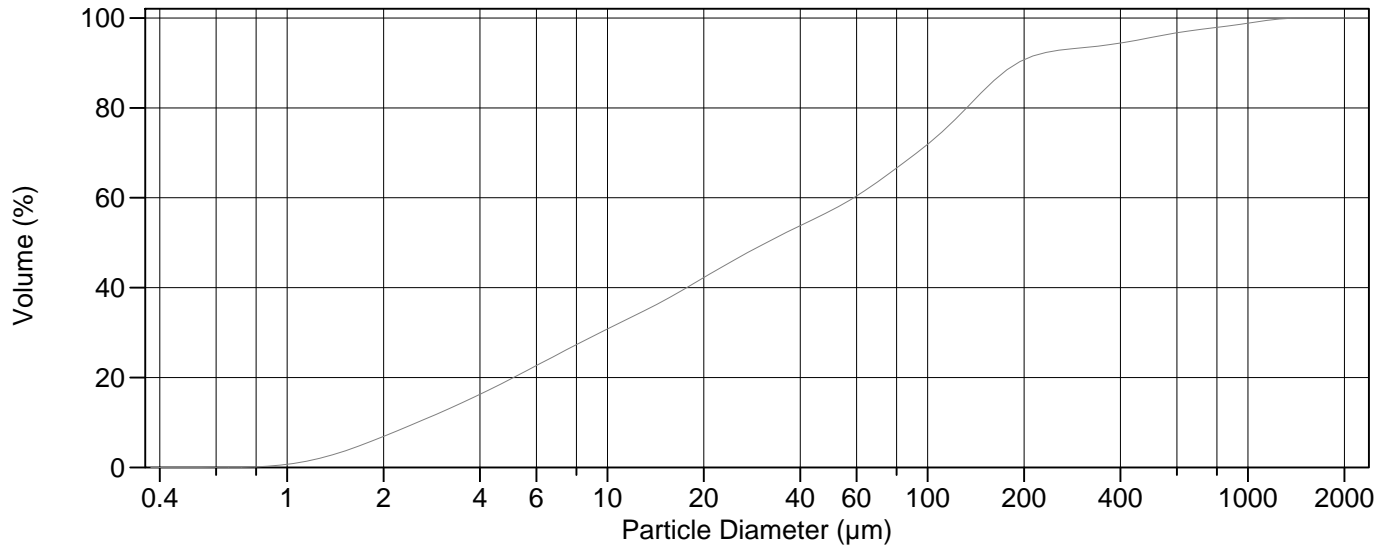
Volume	100.0%		
Mean:	83.46 µm	95% Conf. Limits:	0-401.7 µm
Median:	30.45 µm	S.D.:	162.4 µm
D(3,2):	7.884 µm	Variance:	26367 µm ²
Mean/Median Ratio:	2.741	C.V.:	195%
Mode:	127.6 µm	Skewness:	4.759 Right skewed
d ₁₀ :	2.484 µm	Kurtosis:	26.84 Leptokurtic
d ₅₀ :	30.45 µm		
d ₉₀ :	168.2 µm		
Specific Surf. Area	7611 cm ² /ml		

% <	10	25	50	75	90
Size µm	2.484	6.765	30.45	102.9	168.2

69.\$02

Particle Diameter µm	Volume % <	Particle Diameter µm	Volume % <
2.000	7.16	500.0	97.1
5.000	20.1	1000	98.9
10.00	31.1	2000	100
15.00	37.3		
20.00	42.5		
25.00	46.6		
50.00	58.2		
60.00	61.7		
63.00	62.8		
70.00	65.2		
75.00	66.9		
90.00	71.4		
125.0	80.9		
200.0	93.3		
250.0	95.1		
400.0	96.2		

2013.0039 - 71



Volume Statistics (Arithmetic)

71#.\$02

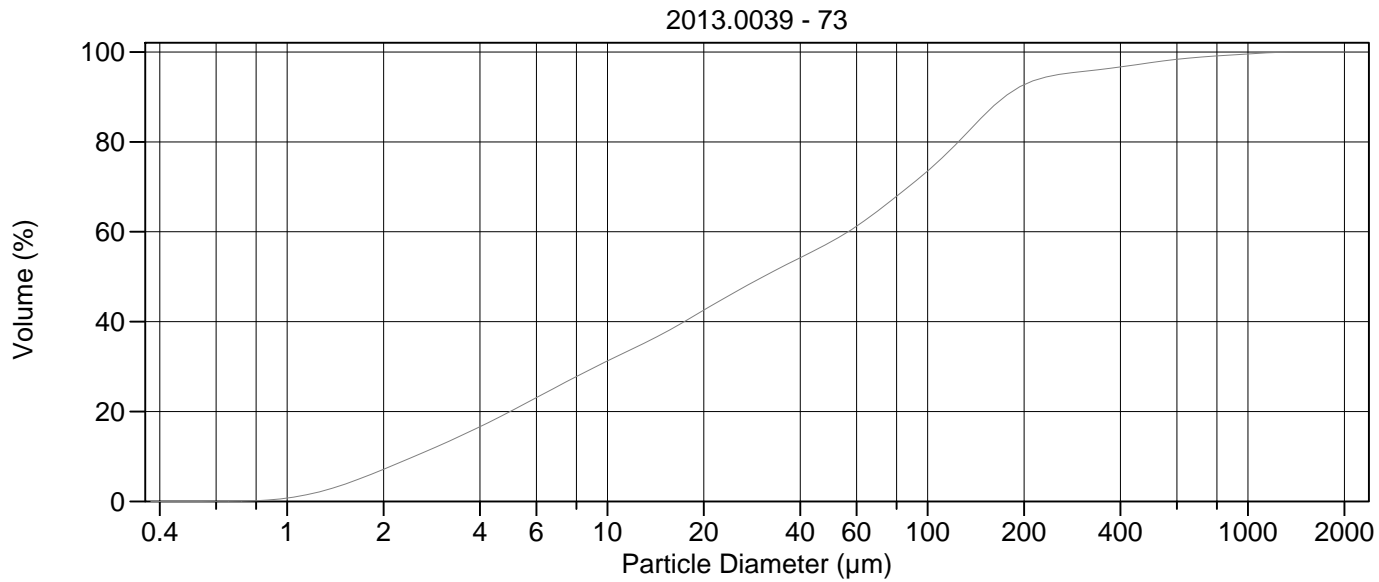
Calculations from 0.375 µm to 2000 µm

Volume	100.0%		
Mean:	96.29 µm	95% Conf. Limits:	0-451.4 µm
Median:	31.37 µm	S.D.:	181.2 µm
D(3,2):	8.066 µm	Variance:	32820 µm ²
Mean/Median Ratio:	3.070	C.V.:	188%
Mode:	140.1 µm	Skewness:	3.873 Right skewed
d ₁₀ :	2.548 µm	Kurtosis:	17.18 Leptokurtic
d ₅₀ :	31.37 µm		
d ₉₀ :	191.3 µm		
Specific Surf. Area	7438 cm ² /ml		

% <	10	25	50	75	90
Size µm	2.548	6.937	31.37	112.3	191.3

71#.\$02

Particle Diameter µm	Volume % <	Particle Diameter µm	Volume % <
2.000	6.89	500.0	95.7
5.000	19.7	1000	98.8
10.00	30.8	2000	100
15.00	37.1		
20.00	42.2		
25.00	46.2		
50.00	57.2		
60.00	60.4		
63.00	61.4		
70.00	63.6		
75.00	65.2		
90.00	69.3		
125.0	78.2		
200.0	90.7		
250.0	92.7		
400.0	94.4		



Volume Statistics (Arithmetic)

73.\$02

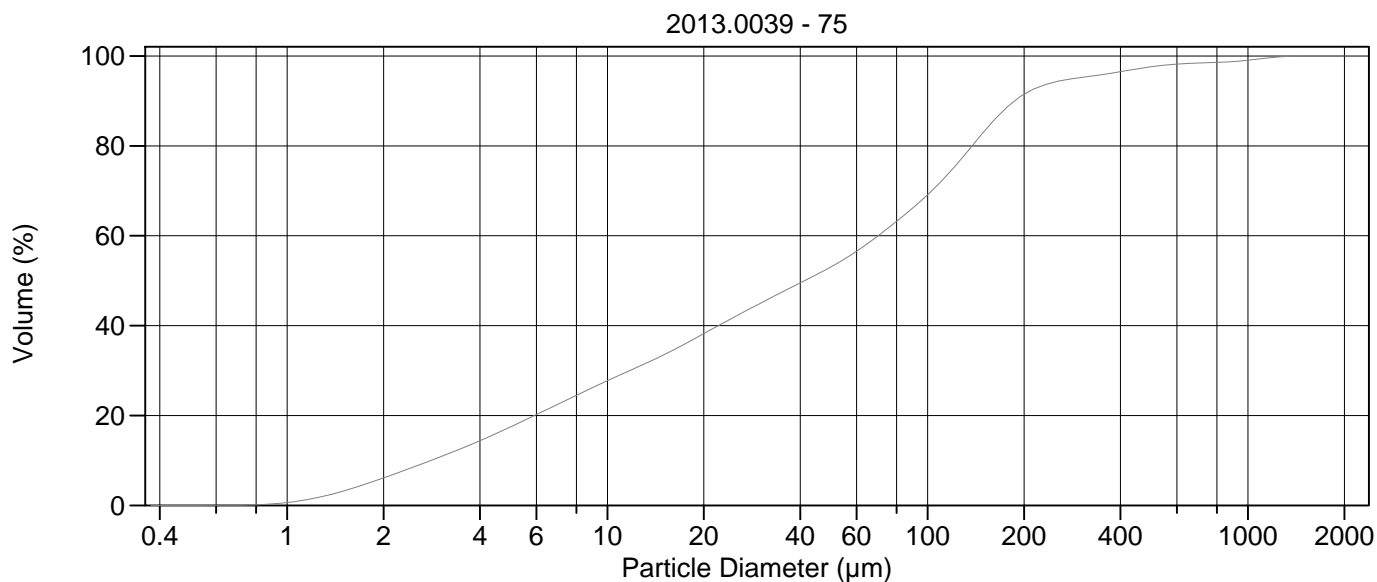
Calculations from 0.375 μm to 2000 μm

Volume	100.0%		
Mean:	79.27 μm	95% Conf. Limits:	0-346.1 μm
Median:	30.71 μm	S.D.:	136.1 μm
D(3,2):	7.885 μm	Variance:	18530 μm^2
Mean/Median Ratio:	2.581	C.V.:	172%
Mode:	140.1 μm	Skewness:	4.355 Right skewed
d ₁₀ :	2.491 μm	Kurtosis:	25.13 Leptokurtic
d ₅₀ :	30.71 μm		
d ₉₀ :	173.7 μm		
Specific Surf. Area	7609 cm^2/ml		

% <	10	25	50	75	90
Size μm	2.491	6.742	30.71	105.5	173.7

73.\$02

Particle Diameter μm	Volume % <	Particle Diameter μm	Volume % <
2.000	7.15	500.0	97.7
5.000	20.1	1000	99.6
10.00	31.2	2000	100
15.00	37.4		
20.00	42.5		
25.00	46.6		
50.00	57.8		
60.00	61.2		
63.00	62.3		
70.00	64.7		
75.00	66.3		
90.00	70.8		
125.0	80.1		
200.0	92.7		
250.0	94.8		
400.0	96.7		



Volume Statistics (Arithmetic) 75.\$02

Calculations from 0.375 μm to 2000 μm

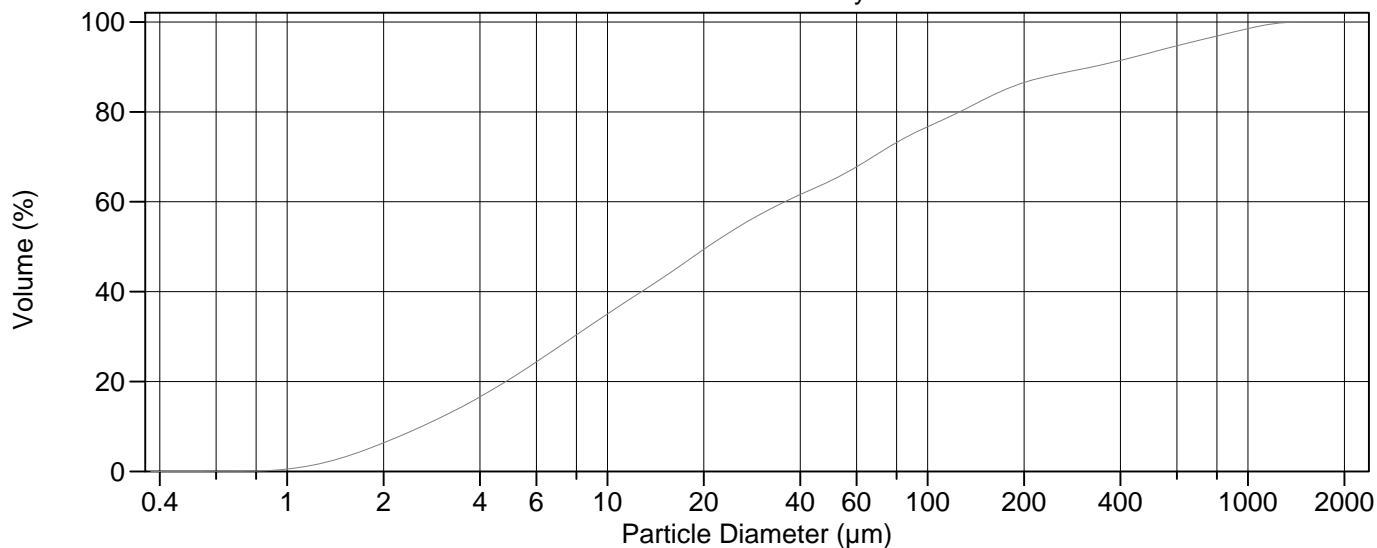
Volume	100.0%		
Mean:	90.35 μm	95% Conf. Limits:	0-392.5 μm
Median:	41.24 μm	S.D.:	154.1 μm
D(3,2):	8.897 μm	Variance:	23762 μm^2
Mean/Median Ratio:	2.191	C.V.:	171%
Mode:	140.1 μm	Skewness:	4.541 Right skewed
d ₁₀ :	2.813 μm	Kurtosis:	26.18 Leptokurtic
d ₅₀ :	41.24 μm		
d ₉₀ :	187.1 μm		
Specific Surf. Area	6744 cm^2/ml		

% <	10	25	50	75	90
Size μm	2.813	8.278	41.24	120.1	187.1

75.\$02

Particle Diameter μm	Volume % <	Particle Diameter μm	Volume % <
2.000	6.12	500.0	97.6
5.000	17.5	1000	99.1
10.00	27.7	2000	100
15.00	33.5		
20.00	38.2		
25.00	42.0		
50.00	53.1		
60.00	56.6		
63.00	57.6		
70.00	60.0		
75.00	61.6		
90.00	66.2		
125.0	76.4		
200.0	91.4		
250.0	94.2		
400.0	96.5		

2013.0039 - stand. Hynne



Volume Statistics (Arithmetic) 108.\$02

Calculations from 0.375 µm to 2000 µm

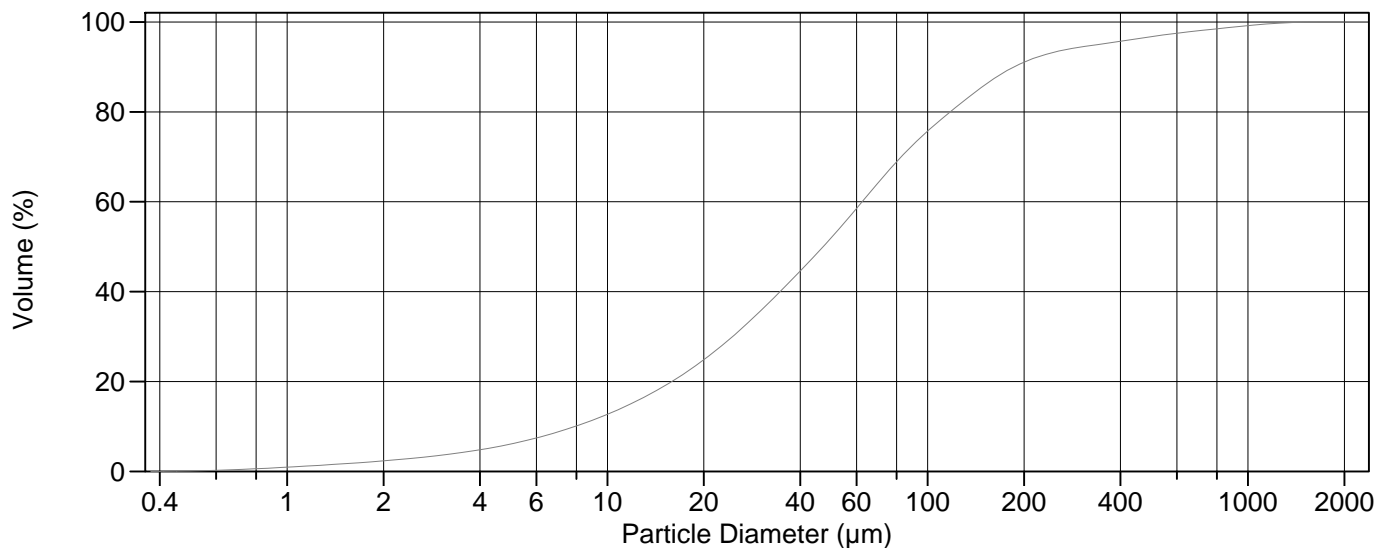
Volume	100.0%	95% Conf. Limits:	0-530.9 µm
Mean:	107.8 µm	S.D.:	215.8 µm
Median:	20.57 µm	Variance:	46589 µm ²
D(3,2):	7.723 µm	C.V.:	200%
Mean/Median Ratio:	5.240	Skewness:	3.100 Right skewed
Mode:	18.00 µm	Kurtosis:	9.917 Leptokurtic
d ₁₀ :	2.632 µm		
d ₅₀ :	20.57 µm		
d ₉₀ :	325.6 µm		
Specific Surf. Area	7769 cm ² /ml		

% <	10	25	50	75	90
Size µm	2.632	6.187	20.57	89.19	325.6

108.\$02

Particle Diameter µm	Volume % <	Particle Diameter µm	Volume % <
2.000	6.35	500.0	93.2
5.000	20.7	1000	98.5
10.00	35.0	2000	100
15.00	43.2		
20.00	49.4		
25.00	53.9		
50.00	64.7		
60.00	67.8		
63.00	68.7		
70.00	70.7		
75.00	72.0		
90.00	75.1		
125.0	79.9		
200.0	86.5		
250.0	88.3		
400.0	91.4		

2013.0039 - stand. MINN



Volume Statistics (Arithmetic) 109.\$02

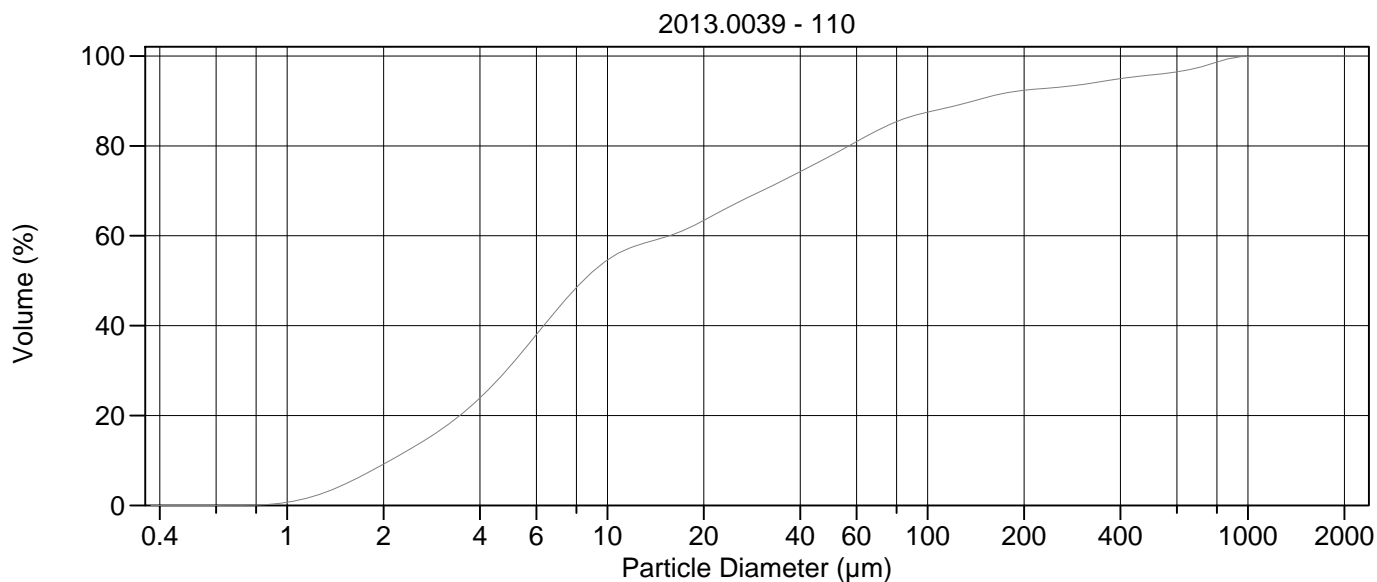
Calculations from 0.375 µm to 2000 µm

Volume	100.0%		
Mean:	93.82 µm	95% Conf. Limits:	0-409.3 µm
Median:	47.19 µm	S.D.:	161.0 µm
D(3,2):	15.11 µm	Variance:	25907 µm ²
Mean/Median Ratio:	1.988	C.V.:	172%
Mode:	66.44 µm	Skewness:	4.474 Right skewed
d ₁₀ :	7.925 µm	Kurtosis:	24.35 Leptokurtic
d ₅₀ :	47.19 µm		
d ₉₀ :	186.3 µm		
Specific Surf. Area	3971 cm ² /ml		

% <	10	25	50	75	90
Size µm	7.925	20.13	47.19	97.52	186.3

109.\$02

Particle Diameter µm	Volume % <	Particle Diameter µm	Volume % <
2.000	2.35	500.0	96.7
5.000	6.11	1000	99.2
10.00	12.7	2000	100
15.00	18.9		
20.00	24.8		
25.00	30.5		
50.00	52.0		
60.00	58.5		
63.00	60.3		
70.00	64.2		
75.00	66.7		
90.00	72.7		
125.0	81.5		
200.0	91.0		
250.0	93.3		
400.0	95.7		



Volume Statistics (Arithmetic) 110.\$02

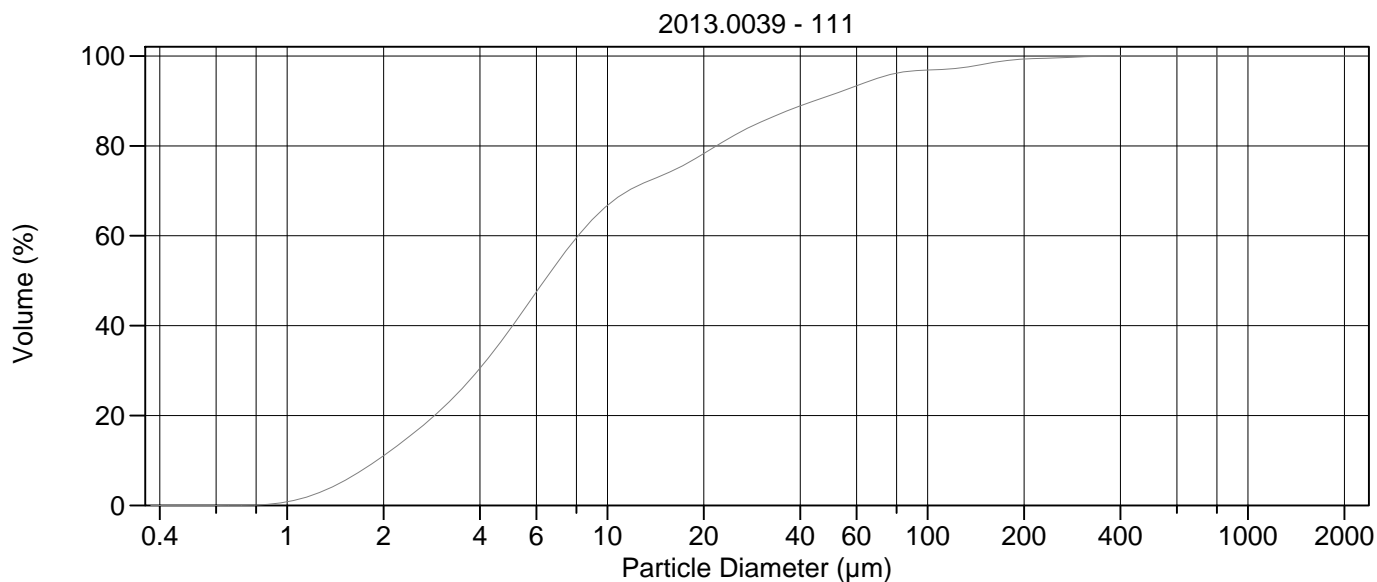
Calculations from 0.375 µm to 2000 µm

Volume	100.0%		
Mean:	64.48 µm	95% Conf. Limits:	0-374.7 µm
Median:	8.407 µm	S.D.:	158.3 µm
D(3,2):	5.535 µm	Variance:	25047 µm ²
Mean/Median Ratio:	7.670	C.V.:	245%
Mode:	5.878 µm	Skewness:	3.739 Right skewed
d ₁₀ :	2.099 µm	Kurtosis:	13.97 Leptokurtic
d ₅₀ :	8.407 µm		
d ₉₀ :	139.2 µm		
Specific Surf. Area	10839 cm ² /ml		

% <	10	25	50	75	90
Size µm	2.099	4.148	8.407	41.88	139.2

110.\$02

Particle Diameter µm	Volume % <	Particle Diameter µm	Volume % <
2.000	9.18	500.0	95.8
5.000	31.2	1000	99.9
10.00	54.6	2000	100
15.00	59.6		
20.00	63.4		
25.00	67.1		
50.00	77.9		
60.00	80.9		
63.00	81.8		
70.00	83.5		
75.00	84.5		
90.00	86.7		
125.0	89.1		
200.0	92.4		
250.0	93.0		
400.0	95.0		



Volume Statistics (Arithmetic) 111.\$02

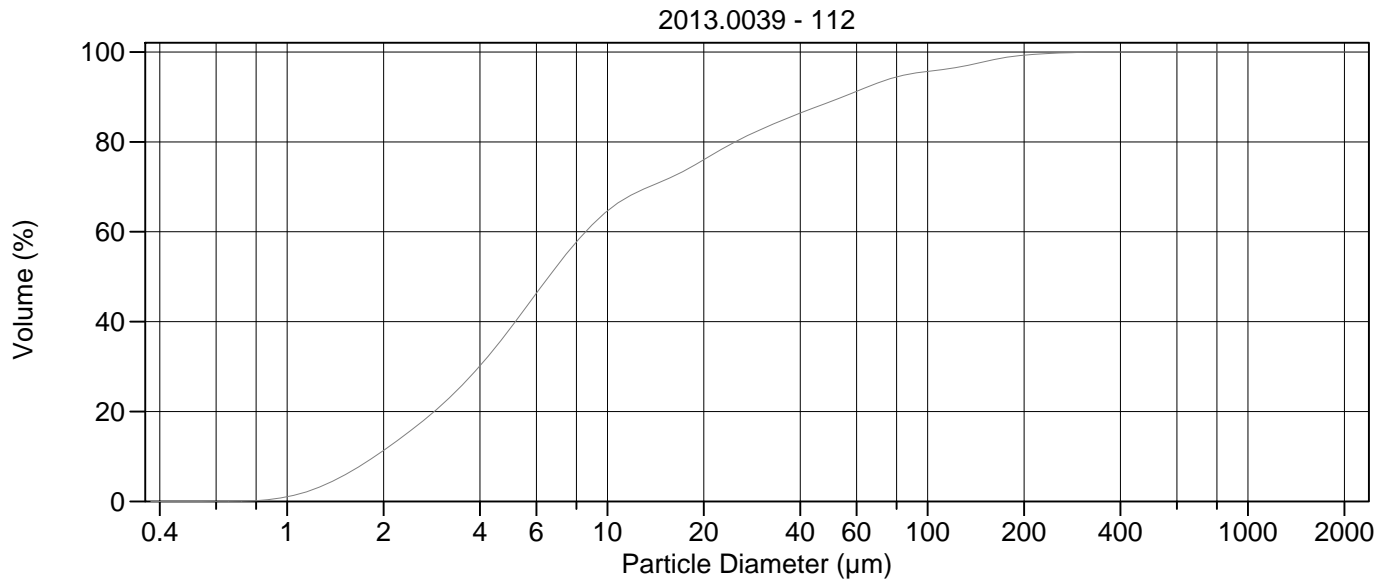
Calculations from 0.375 µm to 2000 µm

Volume	100.0%		
Mean:	17.87 µm	95% Conf. Limits:	0-85.03 µm
Median:	6.359 µm	S.D.:	34.27 µm
D(3,2):	4.535 µm	Variance:	1174 µm ²
Mean/Median Ratio:	2.810	C.V.:	192%
Mode:	5.878 µm	Skewness:	4.729 Right skewed
d ₁₀ :	1.905 µm	Kurtosis:	29.10 Leptokurtic
d ₅₀ :	6.359 µm		
d ₉₀ :	44.17 µm		
Specific Surf. Area	13229 cm ² /ml		

% <	10	25	50	75	90
Size µm	1.905	3.411	6.359	16.56	44.17

111.\$02

Particle Diameter µm	Volume % <	Particle Diameter µm	Volume % <
2.000	11.1	500.0	100
5.000	39.4	1000	100
10.00	66.8	2000	100
15.00	73.6		
20.00	78.3		
25.00	82.4		
50.00	91.3		
60.00	93.4		
63.00	93.9		
70.00	95.1		
75.00	95.7		
90.00	96.7		
125.0	97.3		
200.0	99.3		
250.0	99.6		
400.0	100.0		



Volume Statistics (Arithmetic) 112.\$02

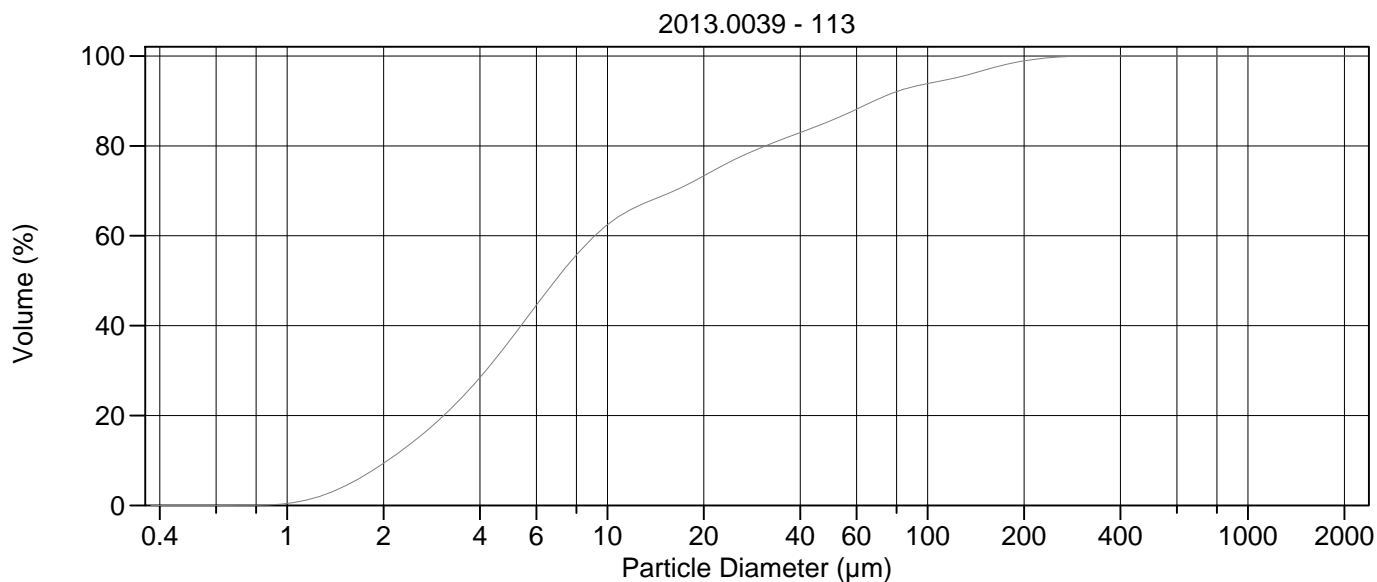
Calculations from 0.375 µm to 2000 µm

Volume	100.0%		
Mean:	20.08 µm	95% Conf. Limits:	0-90.80 µm
Median:	6.564 µm	S.D.:	36.08 µm
D(3,2):	4.569 µm	Variance:	1302 µm ²
Mean/Median Ratio:	3.060	C.V.:	180%
Mode:	5.878 µm	Skewness:	3.698 Right skewed
d ₁₀ :	1.878 µm	Kurtosis:	16.83 Leptokurtic
d ₅₀ :	6.564 µm		
d ₉₀ :	54.30 µm		
Specific Surf. Area	13133 cm ² /ml		

% <	10	25	50	75	90
Size µm	1.878	3.424	6.564	18.91	54.30

112.\$02

Particle Diameter µm	Volume % <	Particle Diameter µm	Volume % <
2.000	11.3	500.0	100
5.000	38.7	1000	100
10.00	64.6	2000	100
15.00	71.4		
20.00	76.0		
25.00	80.0		
50.00	89.0		
60.00	91.2		
63.00	91.9		
70.00	93.1		
75.00	93.9		
90.00	95.2		
125.0	96.6		
200.0	99.3		
250.0	99.7		
400.0	100.0		



Volume Statistics (Arithmetic) 113.\$02

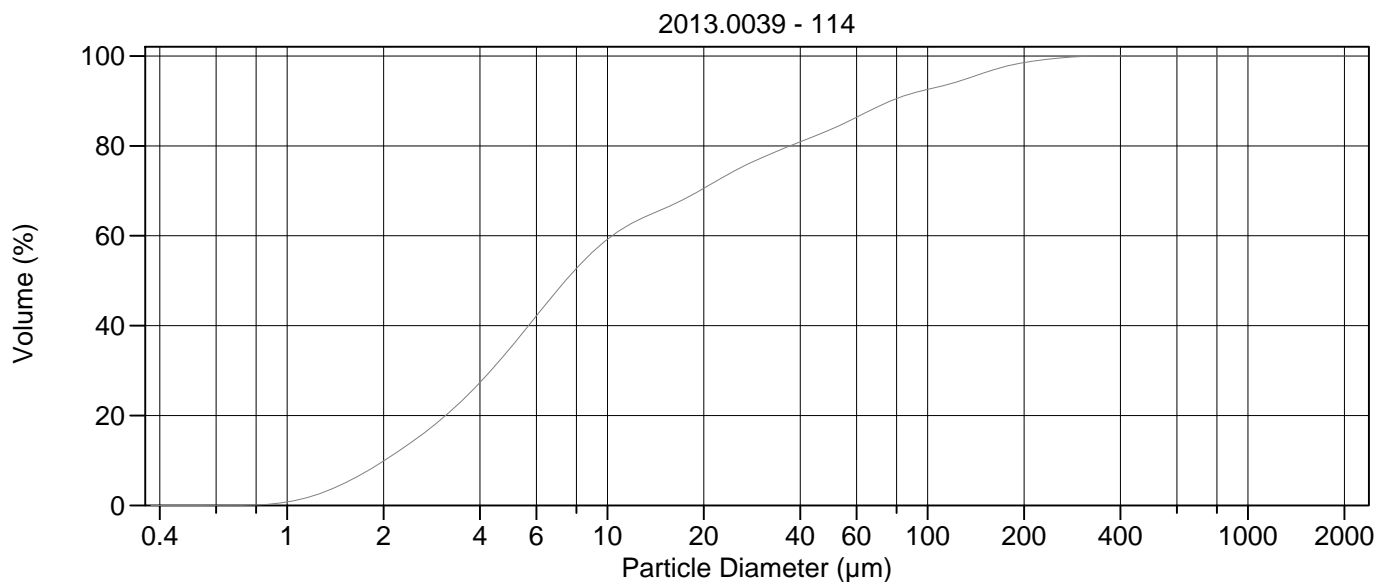
Calculations from 0.375 µm to 2000 µm

Volume	100.0%		
Mean:	23.82 µm	95% Conf. Limits:	0-104.6 µm
Median:	6.869 µm	S.D.:	41.22 µm
D(3,2):	4.968 µm	Variance:	1699 µm ²
Mean/Median Ratio:	3.468	C.V.:	173%
Mode:	5.878 µm	Skewness:	3.039 Right skewed
d ₁₀ :	2.061 µm	Kurtosis:	10.22 Leptokurtic
d ₅₀ :	6.869 µm		
d ₉₀ :	68.00 µm		
Specific Surf. Area	12078 cm ² /ml		

% <	10	25	50	75	90
Size µm	2.061	3.619	6.869	22.09	68.00

113.\$02

Particle Diameter µm	Volume % <	Particle Diameter µm	Volume % <
2.000	9.37	500.0	100
5.000	37.0	1000	100
10.00	62.4	2000	100
15.00	69.0		
20.00	73.3		
25.00	77.0		
50.00	85.6		
60.00	88.1		
63.00	88.9		
70.00	90.4		
75.00	91.3		
90.00	93.2		
125.0	95.3		
200.0	98.9		
250.0	99.7		
400.0	100.0		



Volume Statistics (Arithmetic) 114.\$02

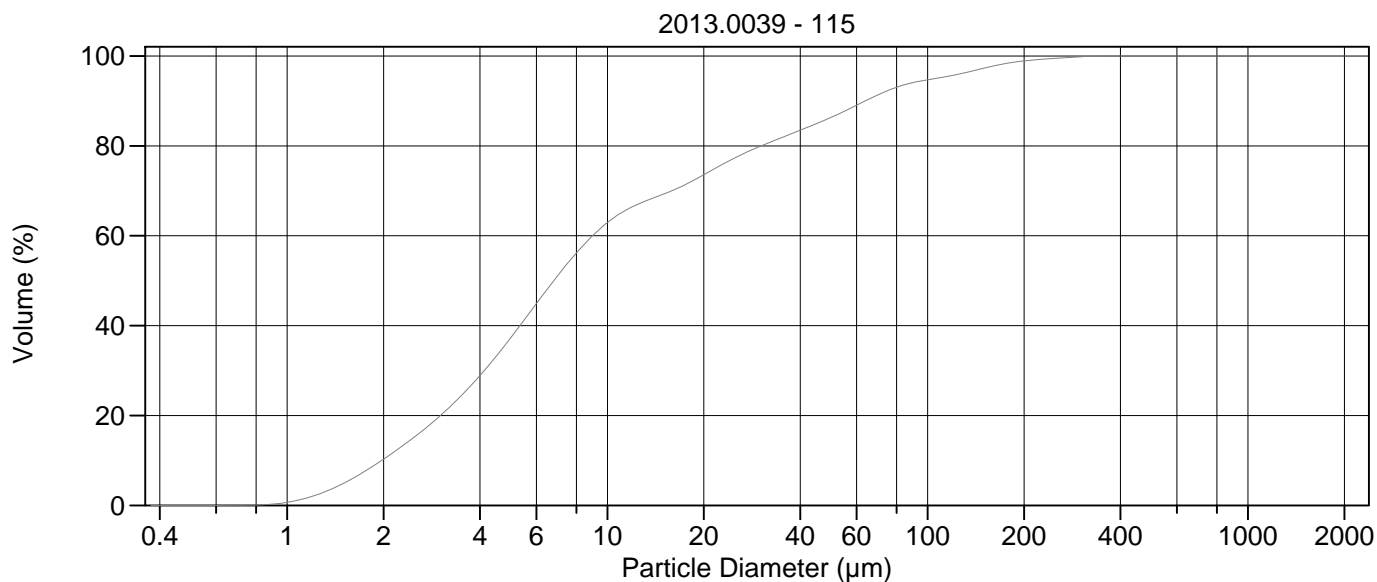
Calculations from 0.375 µm to 2000 µm

Volume	100.0%		
Mean:	26.72 µm	95% Conf. Limits:	0-115.6 µm
Median:	7.393 µm	S.D.:	45.35 µm
D(3,2):	5.034 µm	Variance:	2057 µm ²
Mean/Median Ratio:	3.614	C.V.:	170%
Mode:	5.878 µm	Skewness:	2.934 Right skewed
d ₁₀ :	2.013 µm	Kurtosis:	9.708 Leptokurtic
d ₅₀ :	7.393 µm		
d ₉₀ :	76.43 µm		
Specific Surf. Area	11919 cm ² /ml		

% <	10	25	50	75	90
Size µm	2.013	3.716	7.393	25.86	76.43

114.\$02

Particle Diameter µm	Volume % <	Particle Diameter µm	Volume % <
2.000	9.87	500.0	100
5.000	35.2	1000	100
10.00	59.2	2000	100
15.00	66.0		
20.00	70.6		
25.00	74.5		
50.00	83.7		
60.00	86.4		
63.00	87.1		
70.00	88.8		
75.00	89.7		
90.00	91.7		
125.0	94.4		
200.0	98.5		
250.0	99.4		
400.0	100.0		



Volume Statistics (Arithmetic) 115.\$02

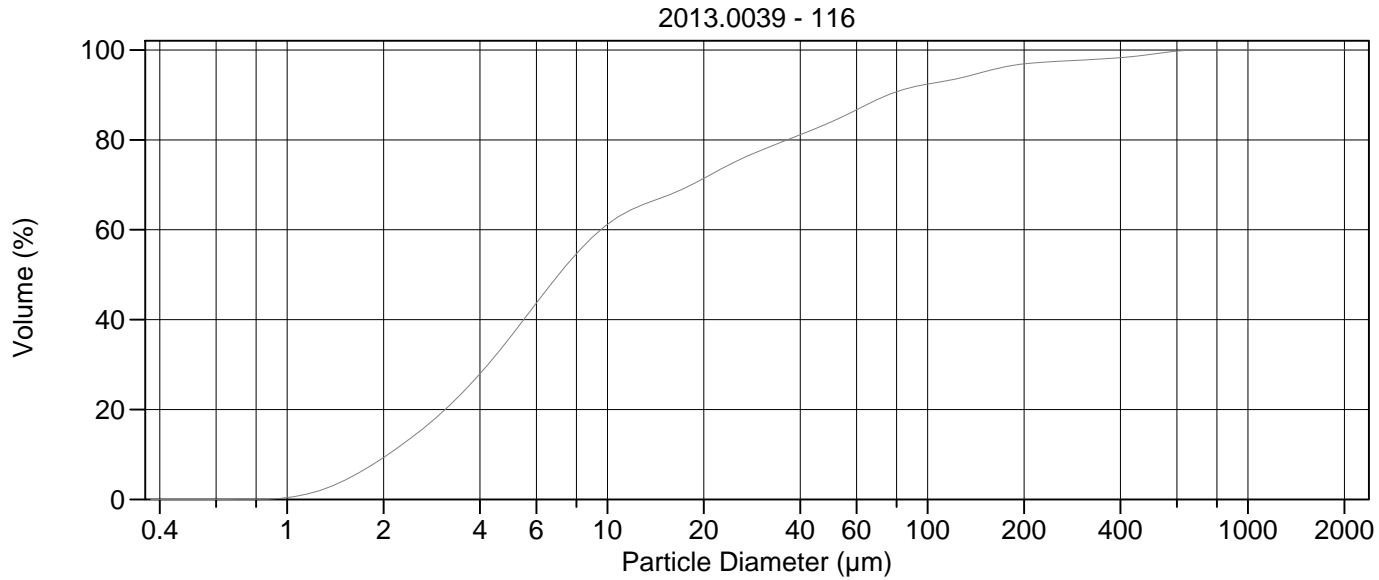
Calculations from 0.375 µm to 2000 µm

Volume	100.0%		
Mean:	22.94 µm	95% Conf. Limits:	0-103.0 µm
Median:	6.799 µm	S.D.:	40.82 µm
D(3,2):	4.818 µm	Variance:	1667 µm ²
Mean/Median Ratio:	3.375	C.V.:	178%
Mode:	5.878 µm	Skewness:	3.511 Right skewed
d ₁₀ :	1.974 µm	Kurtosis:	15.17 Leptokurtic
d ₅₀ :	6.799 µm		
d ₉₀ :	63.82 µm		
Specific Surf. Area	12454 cm ² /ml		

% <	10	25	50	75	90
Size µm	1.974	3.562	6.799	21.72	63.82

115.\$02

Particle Diameter µm	Volume % <	Particle Diameter µm	Volume % <
2.000	10.3	500.0	100
5.000	37.3	1000	100
10.00	62.9	2000	100
15.00	69.3		
20.00	73.6		
25.00	77.3		
50.00	86.3		
60.00	89.0		
63.00	89.8		
70.00	91.4		
75.00	92.3		
90.00	94.1		
125.0	96.0		
200.0	98.9		
250.0	99.5		
400.0	100.0		



Volume Statistics (Arithmetic)

116#.\$02

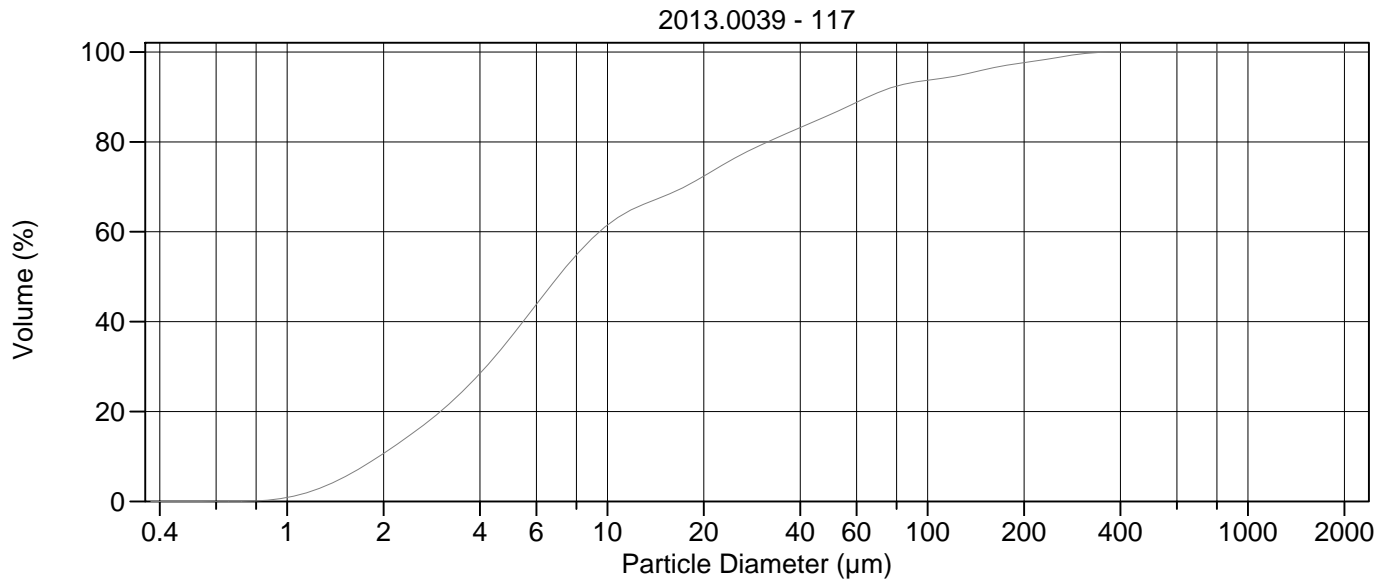
Calculations from 0.375 µm to 2000 µm

Volume	100.0%		
Mean:	33.24 µm	95% Conf. Limits:	0-188.3 µm
Median:	7.048 µm	S.D.:	79.13 µm
D(3,2):	5.059 µm	Variance:	6261 µm ²
Mean/Median Ratio:	4.717	C.V.:	238%
Mode:	5.878 µm	Skewness:	4.820 Right skewed
d ₁₀ :	2.066 µm	Kurtosis:	26.42 Leptokurtic
d ₅₀ :	7.048 µm		
d ₉₀ :	75.13 µm		
Specific Surf. Area	11859 cm ² /ml		

% <	10	25	50	75	90
Size µm	2.066	3.666	7.048	24.84	75.13

116#.\$02

Particle Diameter µm	Volume % <	Particle Diameter µm	Volume % <
2.000	9.32	500.0	99.0
5.000	36.3	1000	100
10.00	61.2	2000	100
15.00	67.3		
20.00	71.4		
25.00	75.1		
50.00	84.0		
60.00	86.7		
63.00	87.5		
70.00	89.1		
75.00	90.0		
90.00	91.7		
125.0	93.7		
200.0	96.9		
250.0	97.4		
400.0	98.3		



Volume Statistics (Arithmetic) 117.\$02

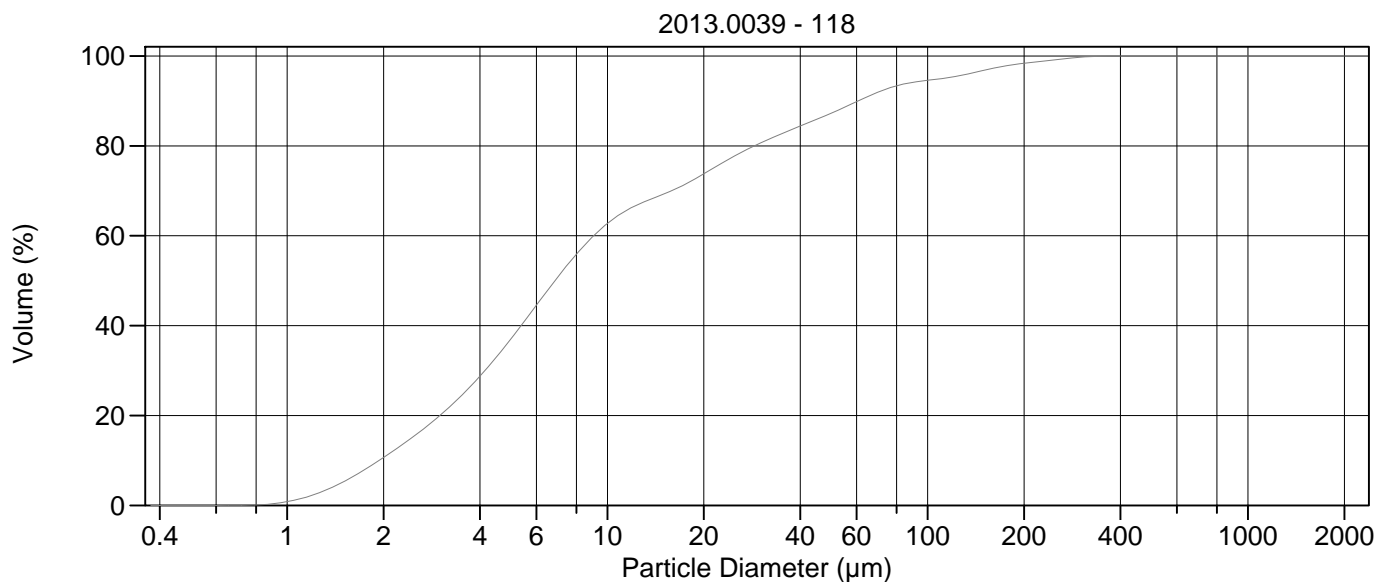
Calculations from 0.375 µm to 2000 µm

Volume	100.0%		
Mean:	25.65 µm	95% Conf. Limits:	0-121.3 µm
Median:	7.020 µm	S.D.:	48.82 µm
D(3,2):	4.820 µm	Variance:	2383 µm ²
Mean/Median Ratio:	3.654	C.V.:	190%
Mode:	5.878 µm	Skewness:	3.574 Right skewed
d ₁₀ :	1.936 µm	Kurtosis:	14.32 Leptokurtic
d ₅₀ :	7.020 µm		
d ₉₀ :	65.20 µm		
Specific Surf. Area	12448 cm ² /ml		

% <	10	25	50	75	90
Size µm	1.936	3.591	7.020	23.07	65.20

117.\$02

Particle Diameter µm	Volume % <	Particle Diameter µm	Volume % <
2.000	10.7	500.0	100
5.000	36.5	1000	100
10.00	61.5	2000	100
15.00	67.9		
20.00	72.4		
25.00	76.4		
50.00	86.2		
60.00	88.8		
63.00	89.5		
70.00	91.0		
75.00	91.8		
90.00	93.2		
125.0	94.8		
200.0	97.6		
250.0	98.7		
400.0	100.0		



Volume Statistics (Arithmetic) 118.\$02

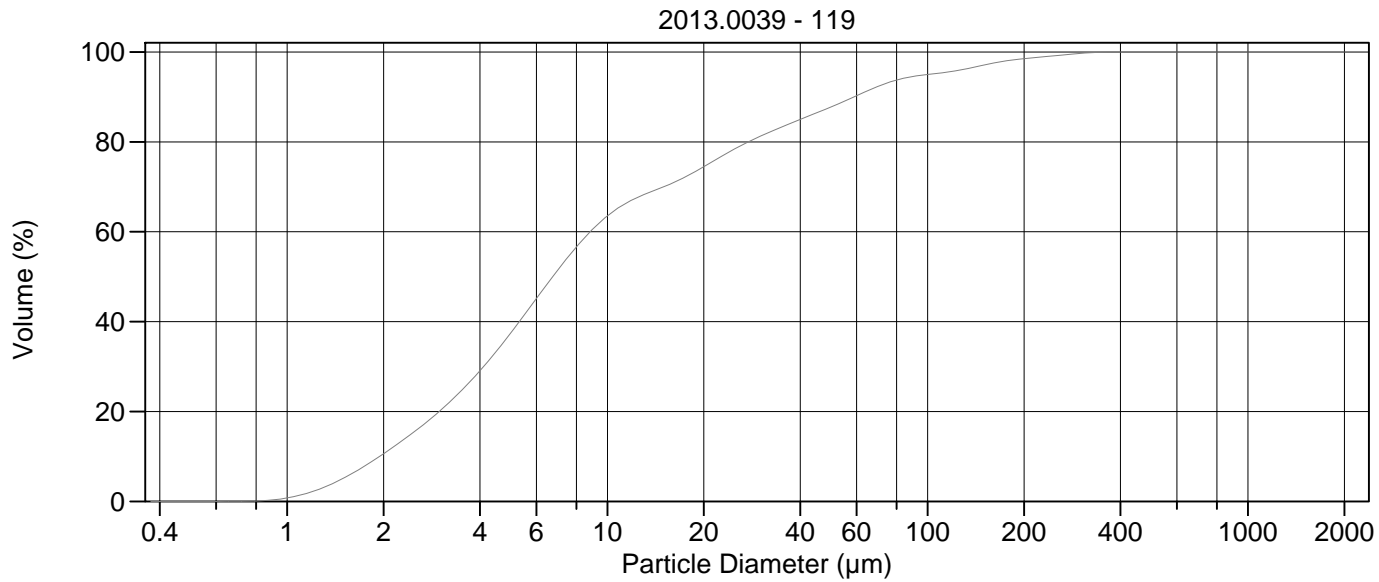
Calculations from 0.375 µm to 2000 µm

Volume	100.0%		
Mean:	23.27 µm	95% Conf. Limits:	0-108.8 µm
Median:	6.860 µm	S.D.:	43.63 µm
D(3,2):	4.772 µm	Variance:	1904 µm ²
Mean/Median Ratio:	3.392	C.V.:	187%
Mode:	5.878 µm	Skewness:	3.726 Right skewed
d ₁₀ :	1.939 µm	Kurtosis:	16.30 Leptokurtic
d ₅₀ :	6.860 µm		
d ₉₀ :	60.72 µm		
Specific Surf. Area	12573 cm ² /ml		

% <	10	25	50	75	90
Size µm	1.939	3.567	6.860	21.39	60.72

118.\$02

Particle Diameter µm	Volume % <	Particle Diameter µm	Volume % <
2.000	10.7	500.0	100
5.000	37.0	1000	100
10.00	62.7	2000	100
15.00	69.3		
20.00	73.8		
25.00	77.8		
50.00	87.3		
60.00	89.8		
63.00	90.5		
70.00	92.0		
75.00	92.8		
90.00	94.1		
125.0	95.6		
200.0	98.4		
250.0	99.2		
400.0	100.0		



Volume Statistics (Arithmetic) 119.\$02

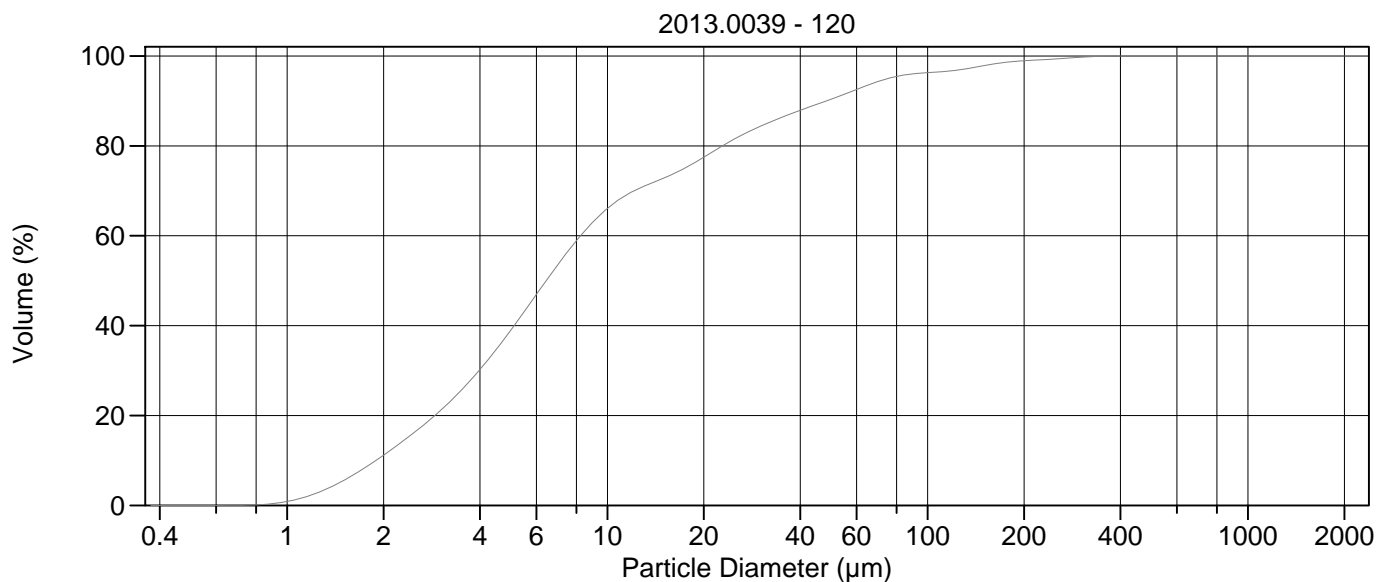
Calculations from 0.375 µm to 2000 µm

Volume	100.0%		
Mean:	22.48 µm	95% Conf. Limits:	0-106.0 µm
Median:	6.744 µm	S.D.:	42.60 µm
D(3,2):	4.745 µm	Variance:	1815 µm ²
Mean/Median Ratio:	3.334	C.V.:	189%
Mode:	5.878 µm	Skewness:	3.896 Right skewed
d ₁₀ :	1.944 µm	Kurtosis:	18.16 Leptokurtic
d ₅₀ :	6.744 µm		
d ₉₀ :	58.89 µm		
Specific Surf. Area	12644 cm ² /ml		

% <	10	25	50	75	90
Size µm	1.944	3.540	6.744	20.58	58.89

119.\$02

Particle Diameter µm	Volume % <	Particle Diameter µm	Volume % <
2.000	10.6	500.0	100
5.000	37.5	1000	100
10.00	63.5	2000	100
15.00	70.0		
20.00	74.5		
25.00	78.5		
50.00	87.8		
60.00	90.3		
63.00	91.0		
70.00	92.4		
75.00	93.2		
90.00	94.5		
125.0	95.9		
200.0	98.5		
250.0	99.2		
400.0	100.0		



Volume Statistics (Arithmetic) 120.\$02

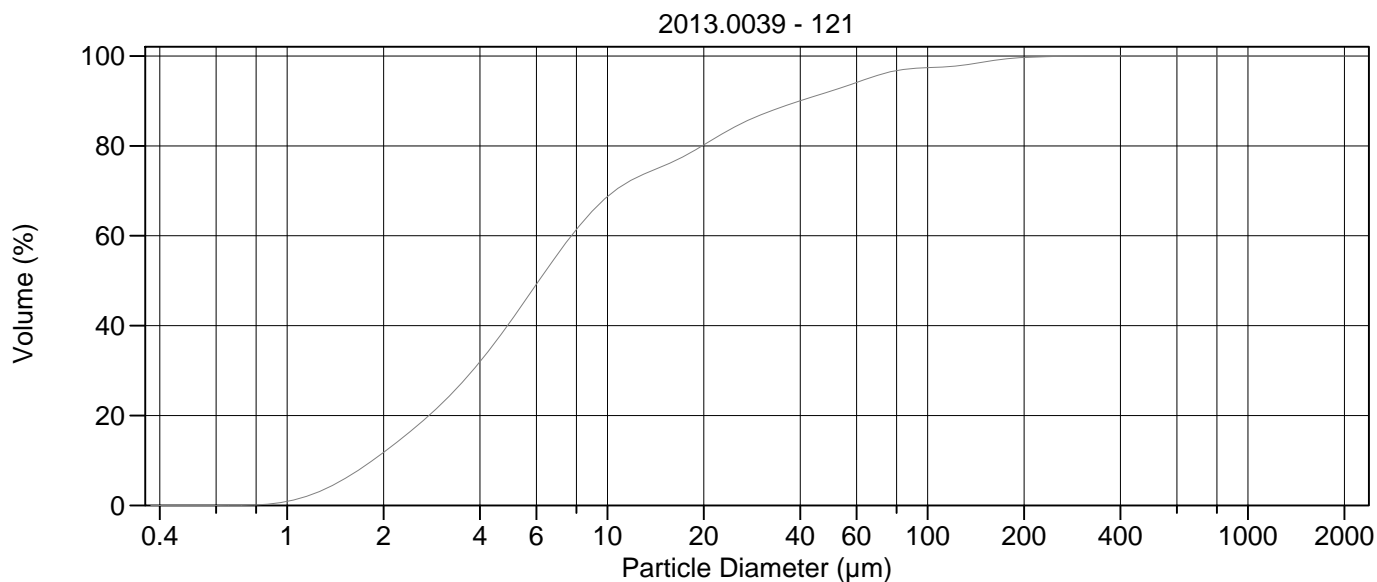
Calculations from 0.375 µm to 2000 µm

Volume	100.0%		
Mean:	19.27 µm	95% Conf. Limits:	0-93.57 µm
Median:	6.444 µm	S.D.:	37.91 µm
D(3,2):	4.555 µm	Variance:	1437 µm ²
Mean/Median Ratio:	2.990	C.V.:	197%
Mode:	5.878 µm	Skewness:	4.547 Right skewed
d ₁₀ :	1.895 µm	Kurtosis:	25.59 Leptokurtic
d ₅₀ :	6.444 µm		
d ₉₀ :	48.24 µm		
Specific Surf. Area	13173 cm ² /ml		

% <	10	25	50	75	90
Size µm	1.895	3.430	6.444	17.42	48.24

120.\$02

Particle Diameter µm	Volume % <	Particle Diameter µm	Volume % <
2.000	11.2	500.0	100
5.000	39.0	1000	100
10.00	66.1	2000	100
15.00	72.8		
20.00	77.5		
25.00	81.6		
50.00	90.4		
60.00	92.5		
63.00	93.1		
70.00	94.3		
75.00	95.0		
90.00	96.0		
125.0	96.9		
200.0	98.9		
250.0	99.3		
400.0	100.0		



Volume Statistics (Arithmetic) 121.\$02

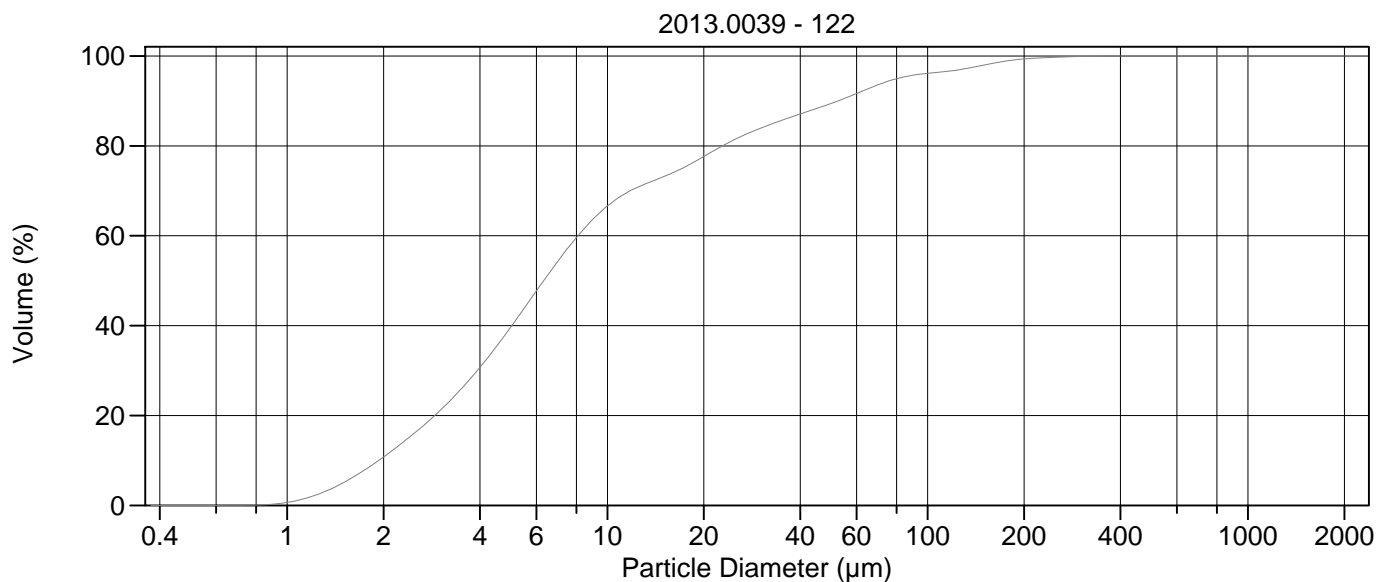
Calculations from 0.375 µm to 2000 µm

Volume	100.0%		
Mean:	15.99 µm	95% Conf. Limits:	0-72.72 µm
Median:	6.110 µm	S.D.:	28.94 µm
D(3,2):	4.367 µm	Variance:	837.6 µm ²
Mean/Median Ratio:	2.617	C.V.:	181%
Mode:	5.878 µm	Skewness:	4.263 Right skewed
d ₁₀ :	1.849 µm	Kurtosis:	22.99 Leptokurtic
d ₅₀ :	6.110 µm		
d ₉₀ :	39.81 µm		
Specific Surf. Area	13741 cm ² /ml		

% <	10	25	50	75	90
Size µm	1.849	3.277	6.110	14.34	39.81

121.\$02

Particle Diameter µm	Volume % <	Particle Diameter µm	Volume % <
2.000	11.8	500.0	100
5.000	41.1	1000	100
10.00	68.7	2000	100
15.00	75.6		
20.00	80.2		
25.00	84.2		
50.00	92.2		
60.00	94.1		
63.00	94.7		
70.00	95.7		
75.00	96.3		
90.00	97.2		
125.0	97.8		
200.0	99.7		
250.0	99.9		
400.0	100.0		



Volume Statistics (Arithmetic) 122.\$02

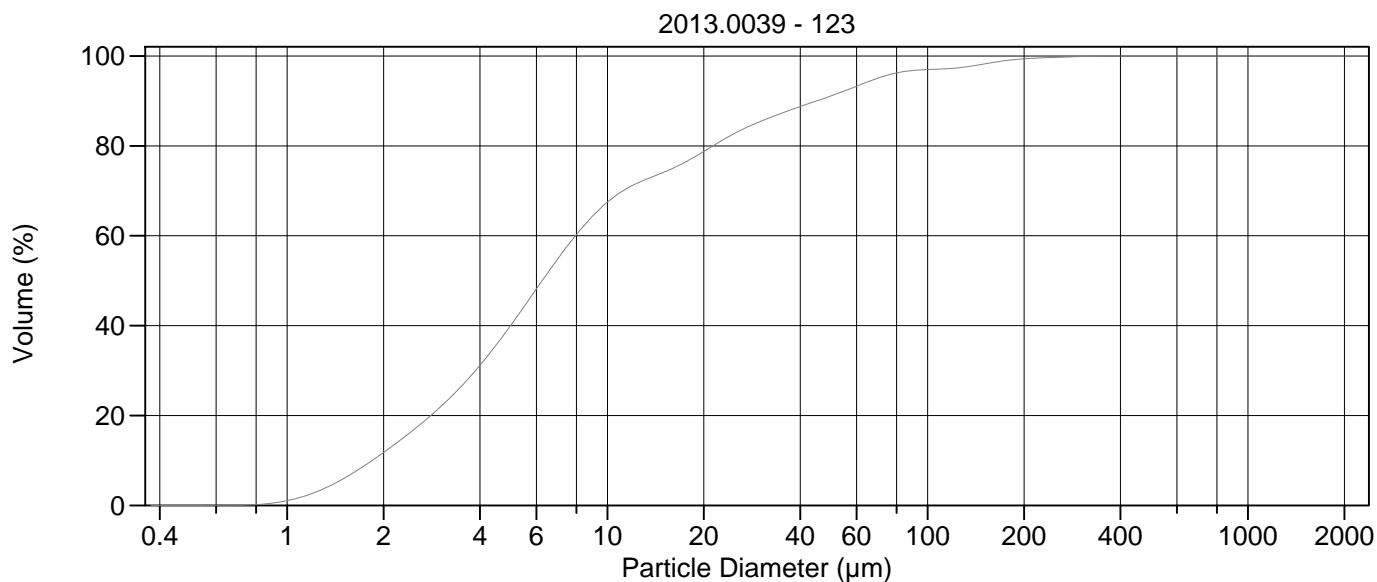
Calculations from 0.375 µm to 2000 µm

Volume	100.0%		
Mean:	19.11 µm	95% Conf. Limits:	0-87.96 µm
Median:	6.327 µm	S.D.:	35.13 µm
D(3,2):	4.582 µm	Variance:	1234 µm ²
Mean/Median Ratio:	3.021	C.V.:	184%
Mode:	5.878 µm	Skewness:	3.902 Right skewed
d ₁₀ :	1.932 µm	Kurtosis:	19.06 Leptokurtic
d ₅₀ :	6.327 µm		
d ₉₀ :	52.45 µm		
Specific Surf. Area	13095 cm ² /ml		

% <	10	25	50	75	90
Size µm	1.932	3.402	6.327	17.13	52.45

122.\$02

Particle Diameter µm	Volume % <	Particle Diameter µm	Volume % <
2.000	10.8	500.0	100
5.000	39.7	1000	100
10.00	66.6	2000	100
15.00	73.2		
20.00	77.6		
25.00	81.5		
50.00	89.5		
60.00	91.6		
63.00	92.3		
70.00	93.6		
75.00	94.4		
90.00	95.7		
125.0	96.9		
200.0	99.3		
250.0	99.7		
400.0	100.0		



Volume Statistics (Arithmetic) 123.\$02

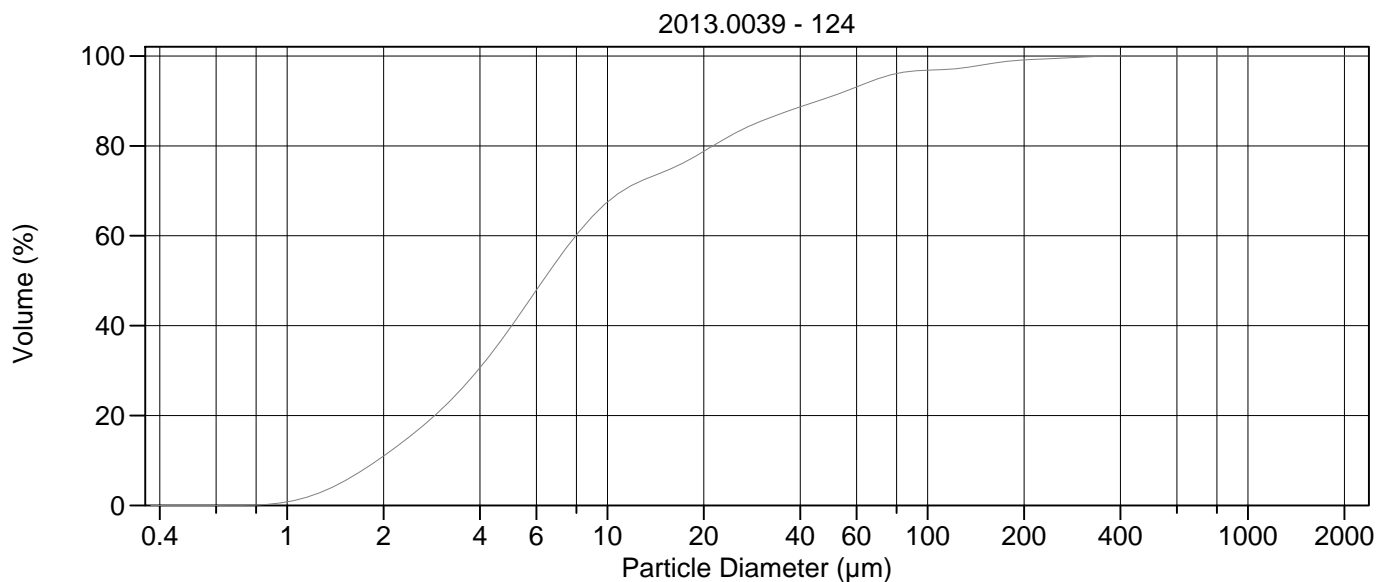
Calculations from 0.375 µm to 2000 µm

Volume	100.0%		
Mean:	17.54 µm	95% Conf. Limits:	0-82.37 µm
Median:	6.259 µm	S.D.:	33.07 µm
D(3,2):	4.416 µm	Variance:	1094 µm ²
Mean/Median Ratio:	2.803	C.V.:	189%
Mode:	5.878 µm	Skewness:	4.468 Right skewed
d ₁₀ :	1.844 µm	Kurtosis:	25.66 Leptokurtic
d ₅₀ :	6.259 µm		
d ₉₀ :	45.00 µm		
Specific Surf. Area	13587 cm ² /ml		

% <	10	25	50	75	90
Size µm	1.844	3.339	6.259	15.99	45.00

123.\$02

Particle Diameter µm	Volume % <	Particle Diameter µm	Volume % <
2.000	11.8	500.0	100
5.000	40.1	1000	100
10.00	67.5	2000	100
15.00	74.1		
20.00	78.8		
25.00	82.8		
50.00	91.1		
60.00	93.3		
63.00	93.9		
70.00	95.1		
75.00	95.8		
90.00	96.8		
125.0	97.4		
200.0	99.4		
250.0	99.7		
400.0	100.0		



Volume Statistics (Arithmetic) 124.\$02

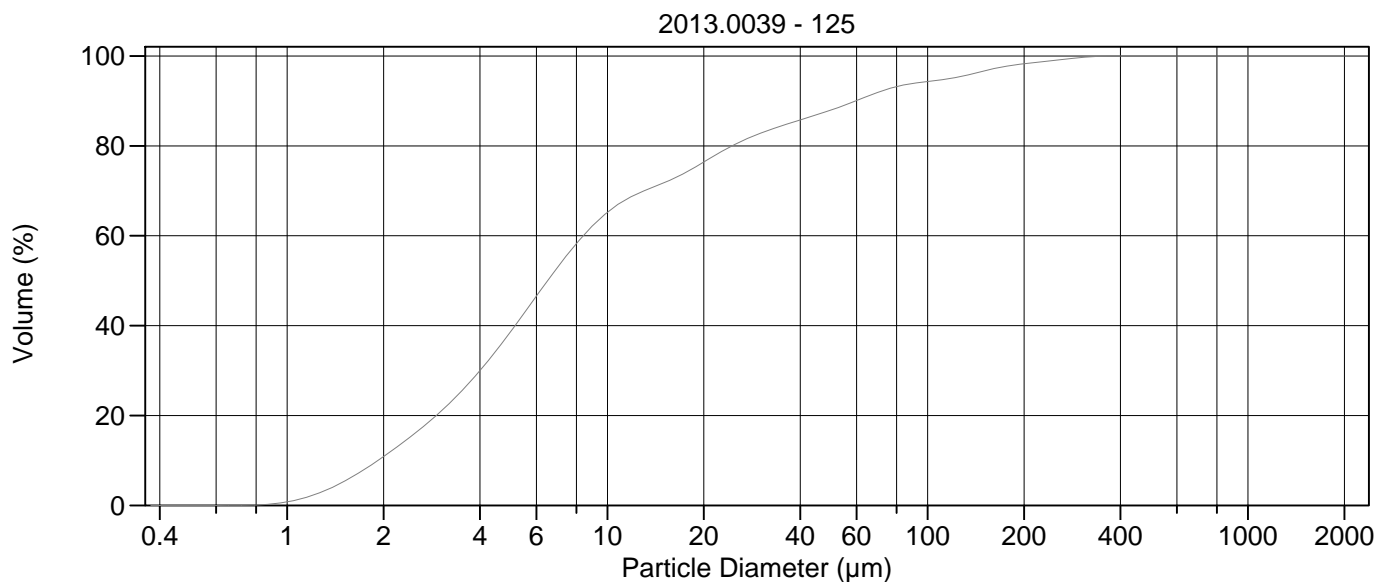
Calculations from 0.375 µm to 2000 µm

Volume	100.0%		
Mean:	18.11 µm	95% Conf. Limits:	0-88.35 µm
Median:	6.292 µm	S.D.:	35.84 µm
D(3,2):	4.524 µm	Variance:	1284 µm ²
Mean/Median Ratio:	2.878	C.V.:	198%
Mode:	5.878 µm	Skewness:	4.815 Right skewed
d ₁₀ :	1.913 µm	Kurtosis:	29.50 Leptokurtic
d ₅₀ :	6.292 µm		
d ₉₀ :	45.48 µm		
Specific Surf. Area	13262 cm ² /ml		

% <	10	25	50	75	90
Size µm	1.913	3.408	6.292	15.90	45.48

124.\$02

Particle Diameter µm	Volume % <	Particle Diameter µm	Volume % <
2.000	11.0	500.0	100
5.000	39.7	1000	100
10.00	67.5	2000	100
15.00	74.2		
20.00	78.8		
25.00	82.8		
50.00	91.0		
60.00	93.1		
63.00	93.7		
70.00	94.9		
75.00	95.6		
90.00	96.6		
125.0	97.2		
200.0	99.1		
250.0	99.5		
400.0	100.0		



Volume Statistics (Arithmetic) 125.\$02

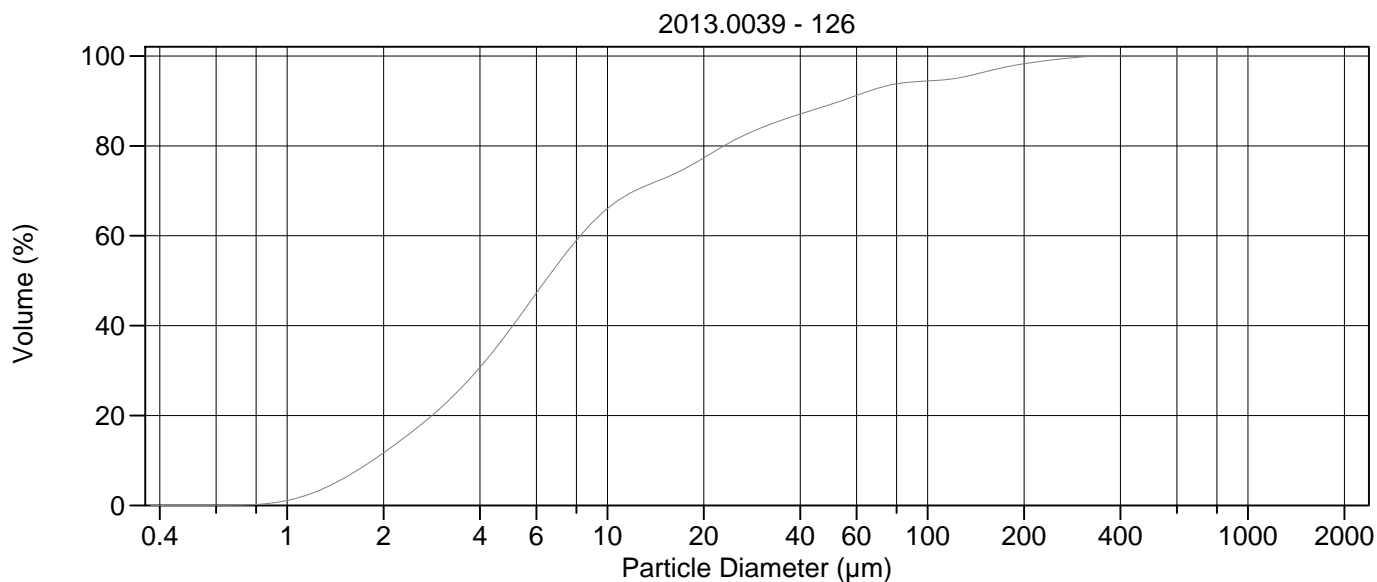
Calculations from 0.375 µm to 2000 µm

Volume	100.0%		
Mean:	22.68 µm	95% Conf. Limits:	0-110.8 µm
Median:	6.510 µm	S.D.:	44.95 µm
D(3,2):	4.635 µm	Variance:	2021 µm ²
Mean/Median Ratio:	3.484	C.V.:	198%
Mode:	5.878 µm	Skewness:	3.829 Right skewed
d ₁₀ :	1.922 µm	Kurtosis:	16.92 Leptokurtic
d ₅₀ :	6.510 µm		
d ₉₀ :	59.60 µm		
Specific Surf. Area	12946 cm ² /ml		

% <	10	25	50	75	90
Size µm	1.922	3.456	6.510	18.53	59.60

125.\$02

Particle Diameter µm	Volume % <	Particle Diameter µm	Volume % <
2.000	10.9	500.0	100
5.000	38.7	1000	100
10.00	65.2	2000	100
15.00	71.8		
20.00	76.4		
25.00	80.3		
50.00	88.0		
60.00	90.1		
63.00	90.7		
70.00	91.9		
75.00	92.6		
90.00	93.9		
125.0	95.3		
200.0	98.3		
250.0	99.0		
400.0	100.0		



Volume Statistics (Arithmetic) 126.\$02

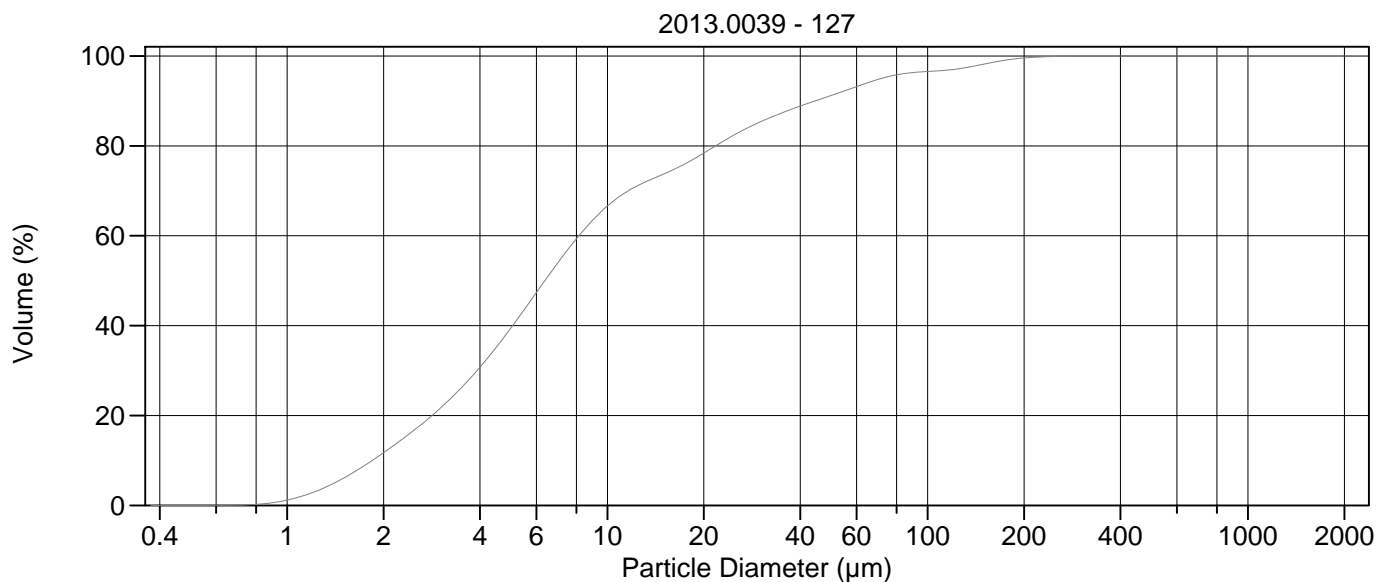
Calculations from 0.375 µm to 2000 µm

Volume	100.0%		
Mean:	21.77 µm	95% Conf. Limits:	0-107.9 µm
Median:	6.406 µm	S.D.:	43.94 µm
D(3,2):	4.476 µm	Variance:	1931 µm ²
Mean/Median Ratio:	3.399	C.V.:	202%
Mode:	5.878 µm	Skewness:	3.810 Right skewed
d ₁₀ :	1.848 µm	Kurtosis:	16.15 Leptokurtic
d ₅₀ :	6.406 µm		
d ₉₀ :	53.65 µm		
Specific Surf. Area	13405 cm ² /ml		

% <	10	25	50	75	90
Size µm	1.848	3.371	6.406	17.53	53.65

126.\$02

Particle Diameter µm	Volume % <	Particle Diameter µm	Volume % <
2.000	11.7	500.0	100
5.000	39.4	1000	100
10.00	66.0	2000	100
15.00	72.7		
20.00	77.3		
25.00	81.4		
50.00	89.3		
60.00	91.2		
63.00	91.8		
70.00	92.8		
75.00	93.4		
90.00	94.2		
125.0	95.1		
200.0	98.3		
250.0	99.2		
400.0	100.0		



Volume Statistics (Arithmetic) 127#.\$02

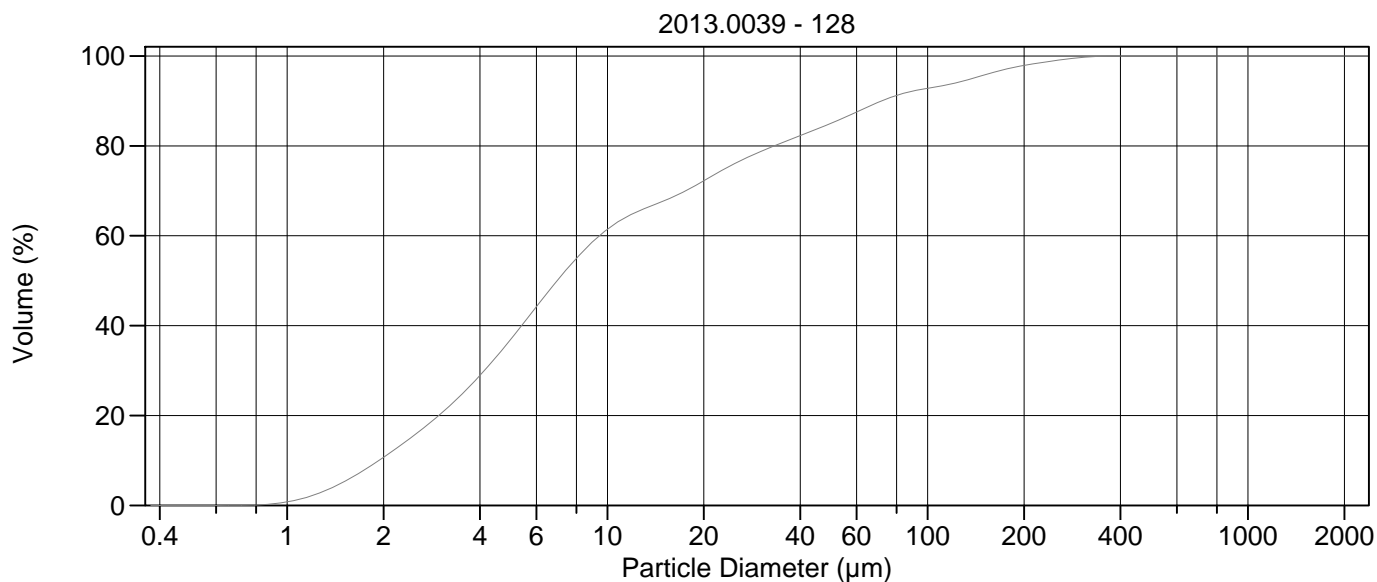
Calculations from 0.375 µm to 2000 µm

Volume	100.0%		
Mean:	17.65 µm	95% Conf. Limits:	0-80.01 µm
Median:	6.382 µm	S.D.:	31.82 µm
D(3,2):	4.437 µm	Variance:	1012 µm ²
Mean/Median Ratio:	2.765	C.V.:	180%
Mode:	5.878 µm	Skewness:	3.842 Right skewed
d ₁₀ :	1.845 µm	Kurtosis:	17.34 Leptokurtic
d ₅₀ :	6.382 µm		
d ₉₀ :	44.48 µm		
Specific Surf. Area	13524 cm ² /ml		

% <	10	25	50	75	90
Size µm	1.845	3.372	6.382	16.41	44.48

127#.\$02

Particle Diameter µm	Volume % <	Particle Diameter µm	Volume % <
2.000	11.7	500.0	100
5.000	39.5	1000	100
10.00	66.6	2000	100
15.00	73.7		
20.00	78.4		
25.00	82.5		
50.00	91.2		
60.00	93.2		
63.00	93.7		
70.00	94.8		
75.00	95.4		
90.00	96.3		
125.0	97.2		
200.0	99.6		
250.0	99.9		
400.0	100		



Volume Statistics (Arithmetic) 128.\$02

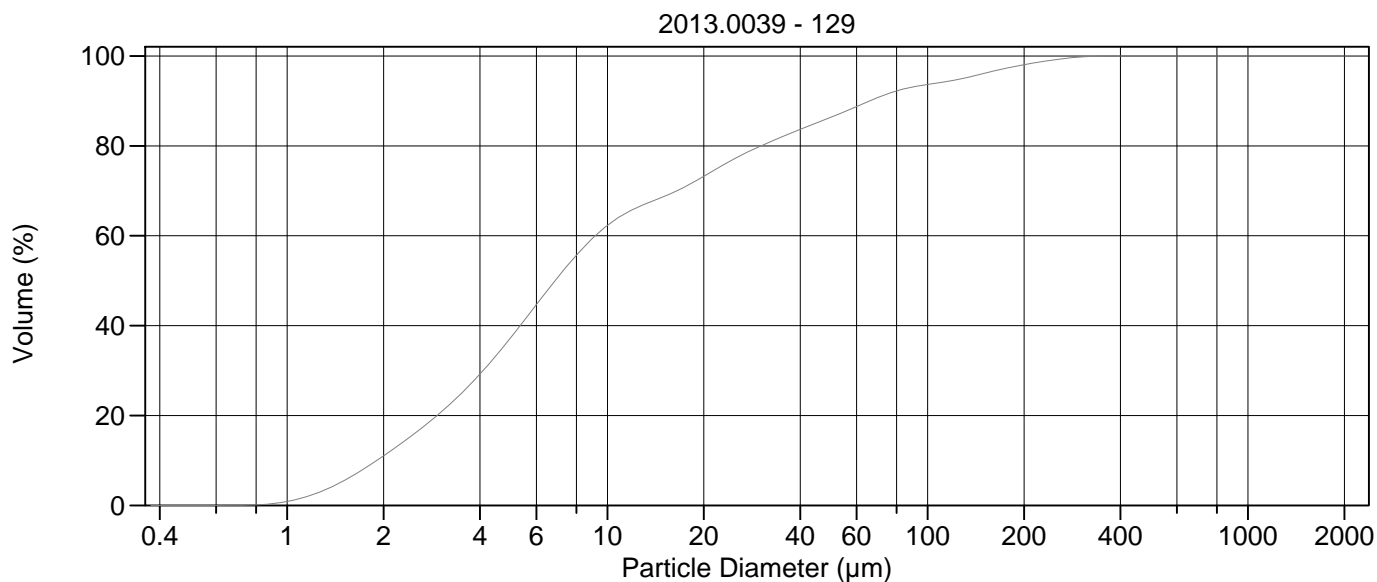
Calculations from 0.375 µm to 2000 µm

Volume	100.0%		
Mean:	26.45 µm	95% Conf. Limits:	0-121.9 µm
Median:	6.972 µm	S.D.:	48.72 µm
D(3,2):	4.820 µm	Variance:	2373 µm ²
Mean/Median Ratio:	3.794	C.V.:	184%
Mode:	5.878 µm	Skewness:	3.273 Right skewed
d ₁₀ :	1.936 µm	Kurtosis:	12.01 Leptokurtic
d ₅₀ :	6.972 µm		
d ₉₀ :	71.78 µm		
Specific Surf. Area	12449 cm ² /ml		

% <	10	25	50	75	90
Size µm	1.936	3.541	6.972	23.40	71.78

128.\$02

Particle Diameter µm	Volume % <	Particle Diameter µm	Volume % <
2.000	10.7	500.0	100
5.000	37.0	1000	100
10.00	61.4	2000	100
15.00	67.8		
20.00	72.2		
25.00	76.1		
50.00	85.0		
60.00	87.5		
63.00	88.2		
70.00	89.7		
75.00	90.5		
90.00	92.2		
125.0	94.2		
200.0	97.9		
250.0	99.0		
400.0	100.0		



Volume Statistics (Arithmetic) 129.\$02

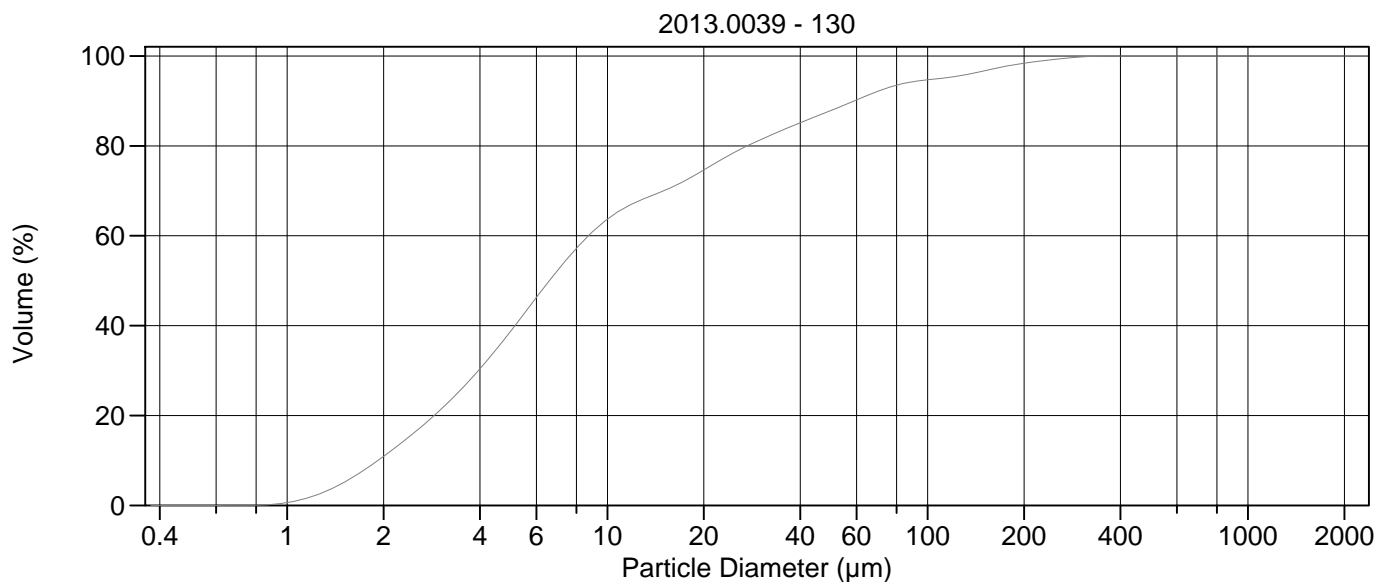
Calculations from 0.375 µm to 2000 µm

Volume	100.0%		
Mean:	24.75 µm	95% Conf. Limits:	0-115.0 µm
Median:	6.864 µm	S.D.:	46.05 µm
D(3,2):	4.735 µm	Variance:	2121 µm ²
Mean/Median Ratio:	3.606	C.V.:	186%
Mode:	5.878 µm	Skewness:	3.394 Right skewed
d ₁₀ :	1.906 µm	Kurtosis:	12.88 Leptokurtic
d ₅₀ :	6.864 µm		
d ₉₀ :	65.94 µm		
Specific Surf. Area	12670 cm ² /ml		

% <	10	25	50	75	90
Size µm	1.906	3.508	6.864	22.05	65.94

129.\$02

Particle Diameter µm	Volume % <	Particle Diameter µm	Volume % <
2.000	11.0	500.0	100
5.000	37.4	1000	100
10.00	62.3	2000	100
15.00	68.7		
20.00	73.2		
25.00	77.2		
50.00	86.4		
60.00	88.7		
63.00	89.4		
70.00	90.8		
75.00	91.6		
90.00	93.1		
125.0	94.8		
200.0	98.1		
250.0	99.2		
400.0	100.0		



Volume Statistics (Arithmetic) 130.\$02

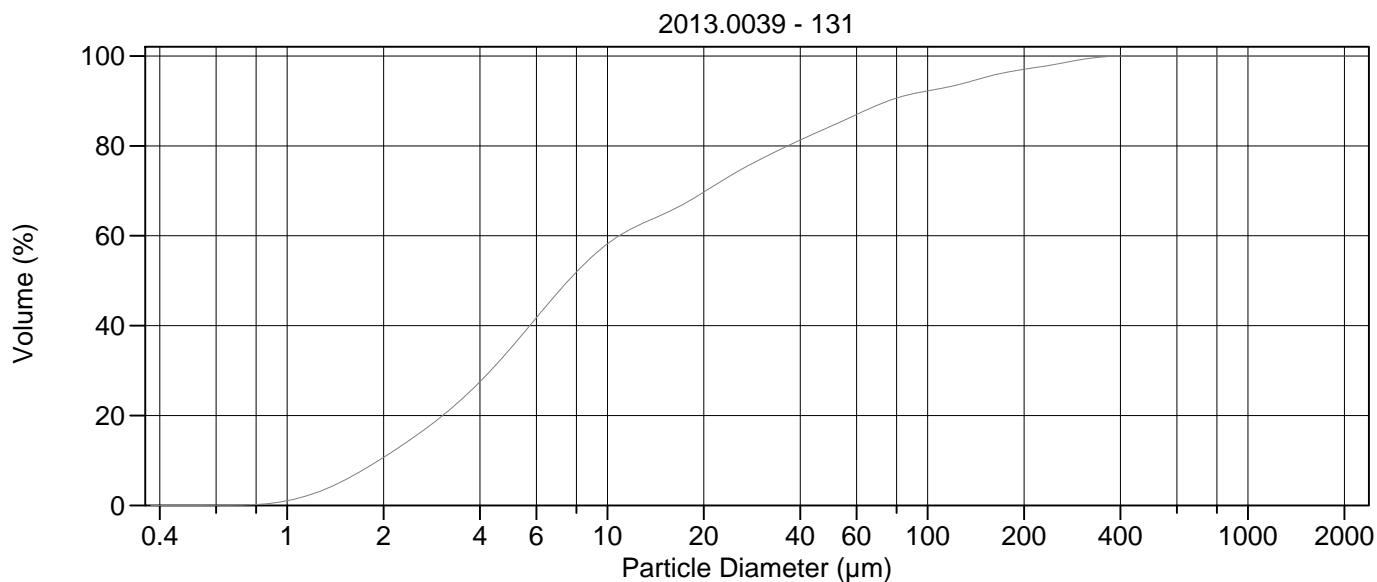
Calculations from 0.375 µm to 2000 µm

Volume	100.0%		
Mean:	22.73 µm	95% Conf. Limits:	0-107.6 µm
Median:	6.593 µm	S.D.:	43.31 µm
D(3,2):	4.681 µm	Variance:	1876 µm ²
Mean/Median Ratio:	3.448	C.V.:	191%
Mode:	5.878 µm	Skewness:	3.723 Right skewed
d ₁₀ :	1.922 µm	Kurtosis:	16.03 Leptokurtic
d ₅₀ :	6.593 µm		
d ₉₀ :	59.05 µm		
Specific Surf. Area	12818 cm ² /ml		

% <	10	25	50	75	90
Size µm	1.922	3.408	6.593	20.38	59.05

130.\$02

Particle Diameter µm	Volume % <	Particle Diameter µm	Volume % <
2.000	10.9	500.0	100
5.000	38.8	1000	100
10.00	63.7	2000	100
15.00	70.0		
20.00	74.6		
25.00	78.6		
50.00	87.9		
60.00	90.2		
63.00	90.9		
70.00	92.2		
75.00	92.9		
90.00	94.3		
125.0	95.6		
200.0	98.4		
250.0	99.2		
400.0	100.0		



Volume Statistics (Arithmetic) 131.\$02

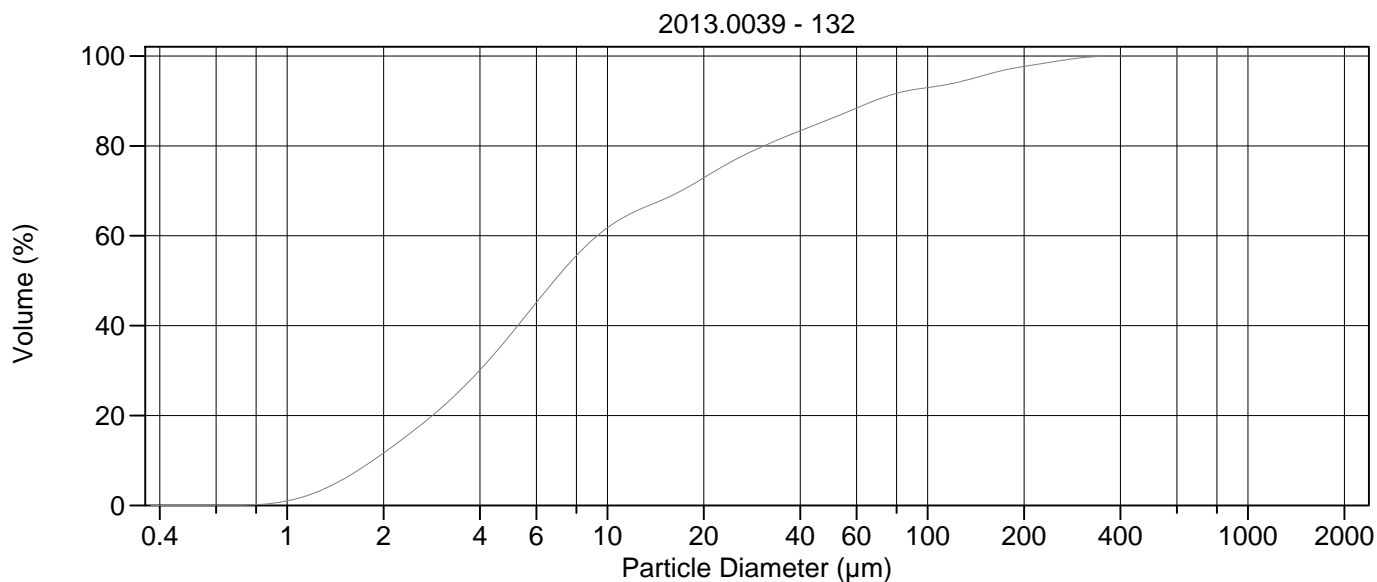
Calculations from 0.375 µm to 2000 µm

Volume	100.0%		
Mean:	29.22 µm	95% Conf. Limits:	0-136.6 µm
Median:	7.550 µm	S.D.:	54.77 µm
D(3,2):	4.943 µm	Variance:	3000 µm ²
Mean/Median Ratio:	3.870	C.V.:	187%
Mode:	5.878 µm	Skewness:	3.380 Right skewed
d ₁₀ :	1.933 µm	Kurtosis:	12.65 Leptokurtic
d ₅₀ :	7.550 µm		
d ₉₀ :	75.23 µm		
Specific Surf. Area	12139 cm ² /ml		

% <	10	25	50	75	90
Size µm	1.933	3.680	7.550	26.58	75.23

131.\$02

Particle Diameter µm	Volume % <	Particle Diameter µm	Volume % <
2.000	10.7	500.0	100
5.000	35.0	1000	100
10.00	58.2	2000	100
15.00	64.8		
20.00	69.7		
25.00	74.0		
50.00	84.4		
60.00	87.0		
63.00	87.7		
70.00	89.1		
75.00	90.0		
90.00	91.6		
125.0	93.6		
200.0	97.0		
250.0	98.1		
400.0	100.0		



Volume Statistics (Arithmetic) 132#.\$02

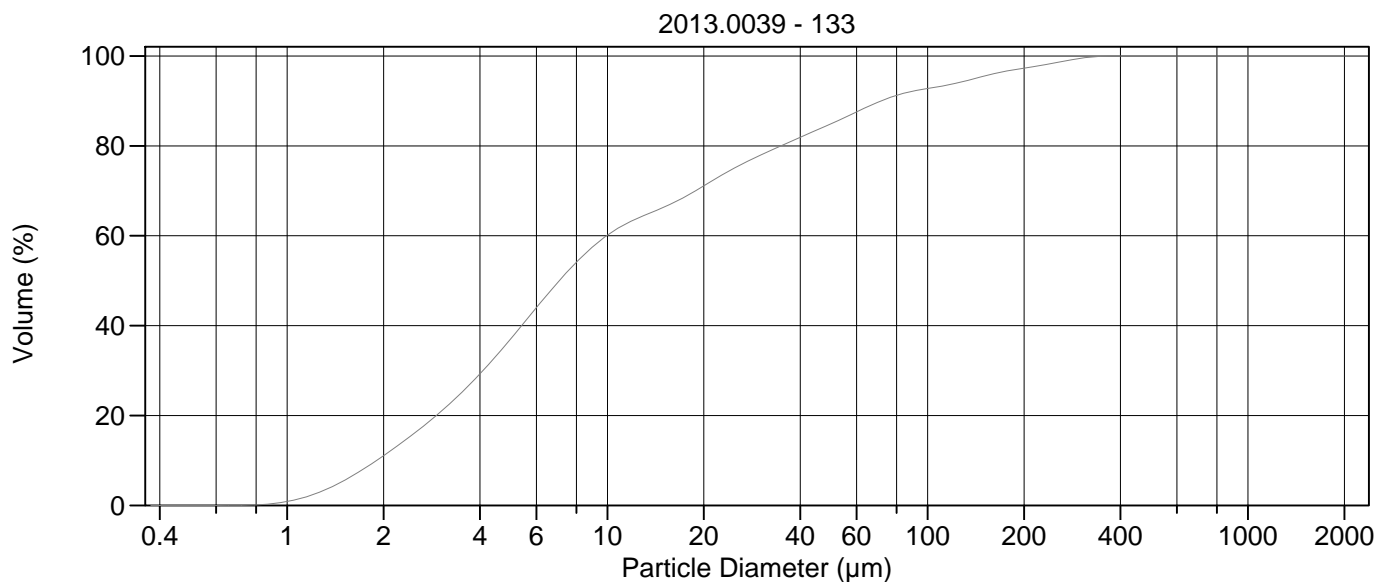
Calculations from 0.375 µm to 2000 µm

Volume	100.0%		
Mean:	26.01 µm	95% Conf. Limits:	0-123.2 µm
Median:	6.821 µm	S.D.:	49.58 µm
D(3,2):	4.645 µm	Variance:	2458 µm ²
Mean/Median Ratio:	3.814	C.V.:	191%
Mode:	5.878 µm	Skewness:	3.415 Right skewed
d ₁₀ :	1.854 µm	Kurtosis:	12.94 Leptokurtic
d ₅₀ :	6.821 µm		
d ₉₀ :	67.99 µm		
Specific Surf. Area	12918 cm ² /ml		

% <	10	25	50	75	90
Size µm	1.854	3.402	6.821	22.39	67.99

132#.\$02

Particle Diameter µm	Volume % <	Particle Diameter µm	Volume % <
2.000	11.7	500.0	100
5.000	38.1	1000	100
10.00	61.8	2000	100
15.00	68.1		
20.00	72.9		
25.00	76.9		
50.00	86.1		
60.00	88.4		
63.00	89.0		
70.00	90.4		
75.00	91.1		
90.00	92.5		
125.0	94.2		
200.0	97.7		
250.0	98.8		
400.0	100.0		



Volume Statistics (Arithmetic) 133.\$02

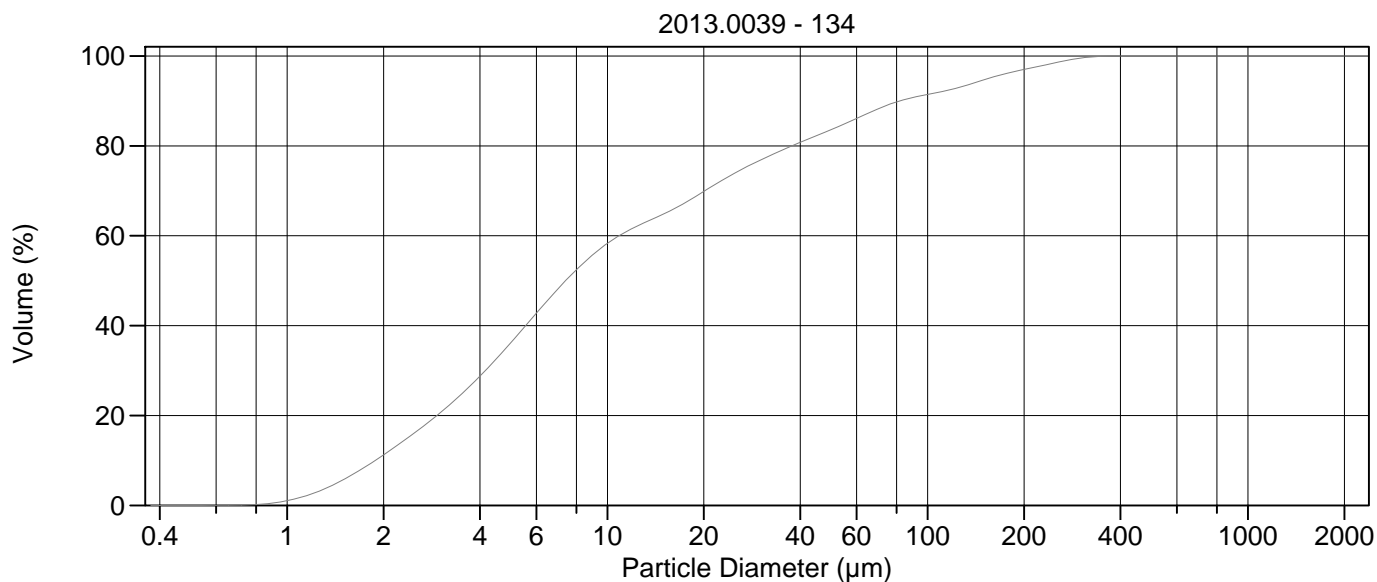
Calculations from 0.375 µm to 2000 µm

Volume	100.0%		
Mean:	27.56 µm	95% Conf. Limits:	0-128.9 µm
Median:	7.082 µm	S.D.:	51.71 µm
D(3,2):	4.798 µm	Variance:	2673 µm ²
Mean/Median Ratio:	3.891	C.V.:	188%
Mode:	5.878 µm	Skewness:	3.359 Right skewed
d ₁₀ :	1.903 µm	Kurtosis:	12.42 Leptokurtic
d ₅₀ :	7.082 µm		
d ₉₀ :	71.50 µm		
Specific Surf. Area	12505 cm ² /ml		

% <	10	25	50	75	90
Size µm	1.903	3.493	7.082	24.81	71.50

133.\$02

Particle Diameter µm	Volume % <	Particle Diameter µm	Volume % <
2.000	11.1	500.0	100
5.000	37.1	1000	100
10.00	60.1	2000	100
15.00	66.4		
20.00	71.1		
25.00	75.1		
50.00	84.9		
60.00	87.5		
63.00	88.3		
70.00	89.7		
75.00	90.6		
90.00	92.2		
125.0	94.1		
200.0	97.3		
250.0	98.5		
400.0	100.0		



Volume Statistics (Arithmetic) 134.\$02

Calculations from 0.375 µm to 2000 µm

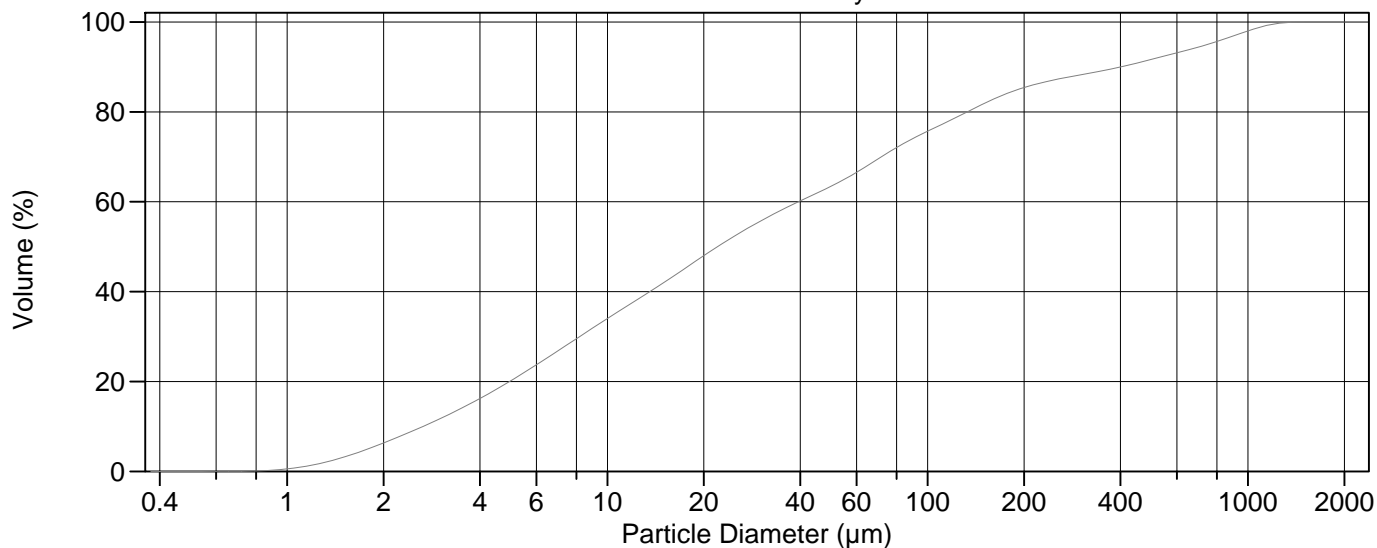
Volume	100.0%		
Mean:	29.71 µm	95% Conf. Limits:	0-135.7 µm
Median:	7.399 µm	S.D.:	54.06 µm
D(3,2):	4.834 µm	Variance:	2922 µm ²
Mean/Median Ratio:	4.015	C.V.:	182%
Mode:	5.878 µm	Skewness:	3.051 Right skewed
d ₁₀ :	1.885 µm	Kurtosis:	9.927 Leptokurtic
d ₅₀ :	7.399 µm		
d ₉₀ :	81.88 µm		
Specific Surf. Area	12412 cm ² /ml		

% <	10	25	50	75	90
Size µm	1.885	3.529	7.399	26.65	81.88

134.\$02

Particle Diameter µm	Volume % <	Particle Diameter µm	Volume % <
2.000	11.2	500.0	100
5.000	36.2	1000	100
10.00	58.3	2000	100
15.00	64.9		
20.00	69.9		
25.00	74.0		
50.00	83.6		
60.00	86.1		
63.00	86.8		
70.00	88.3		
75.00	89.1		
90.00	90.8		
125.0	93.0		
200.0	97.0		
250.0	98.5		
400.0	100.0		

2013.0039 - stand. Hynne



Volume Statistics (Arithmetic) 135.\$02

Calculations from 0.375 µm to 2000 µm

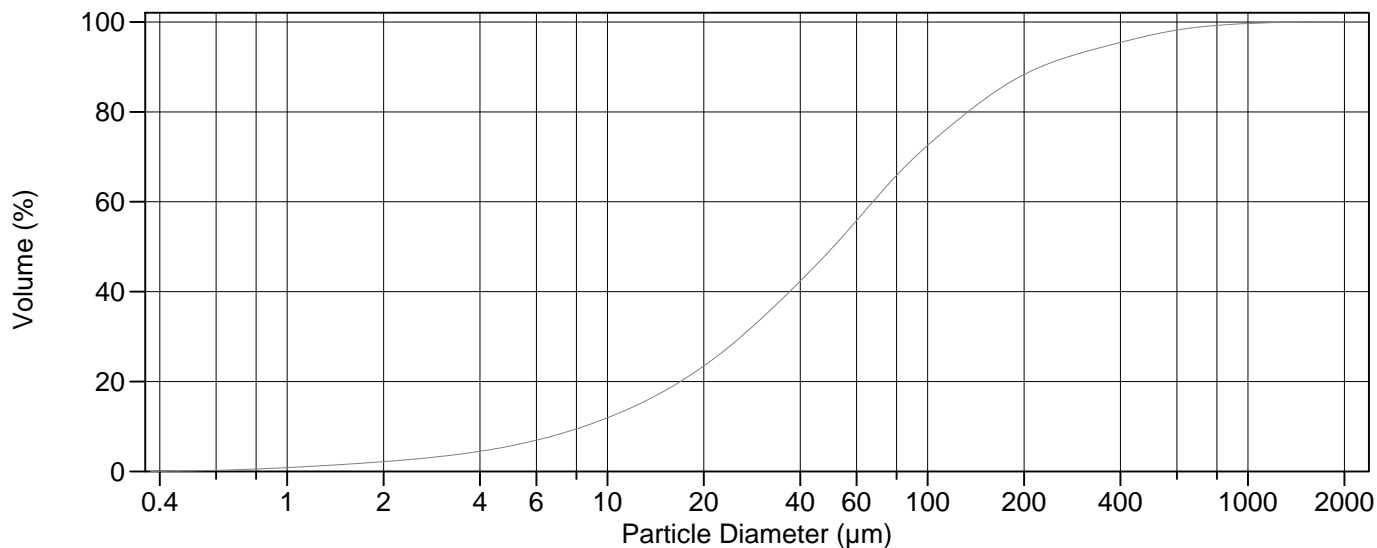
Volume	100.0%		
Mean:	120.7 µm	95% Conf. Limits:	0-588.9 µm
Median:	22.08 µm	S.D.:	238.8 µm
D(3,2):	7.866 µm	Variance:	57047 µm ²
Mean/Median Ratio:	5.470	C.V.:	198%
Mode:	18.00 µm	Skewness:	2.839 Right skewed
d ₁₀ :	2.653 µm	Kurtosis:	7.731 Leptokurtic
d ₅₀ :	22.08 µm		
d ₉₀ :	400.7 µm		
Specific Surf. Area	7628 cm ² /ml		

% <	10	25	50	75	90
Size µm	2.653	6.403	22.08	95.44	400.7

135.\$02

Particle Diameter µm	Volume % <	Particle Diameter µm	Volume % <
2.000	6.33	500.0	91.7
5.000	20.2	1000	98.0
10.00	34.0	2000	100
15.00	42.0		
20.00	48.0		
25.00	52.4		
50.00	63.5		
60.00	66.5		
63.00	67.5		
70.00	69.5		
75.00	70.9		
90.00	74.1		
125.0	79.0		
200.0	85.4		
250.0	87.2		
400.0	90.0		

2013.0039 - stand. MINN



Volume Statistics (Arithmetic) 136.\$02

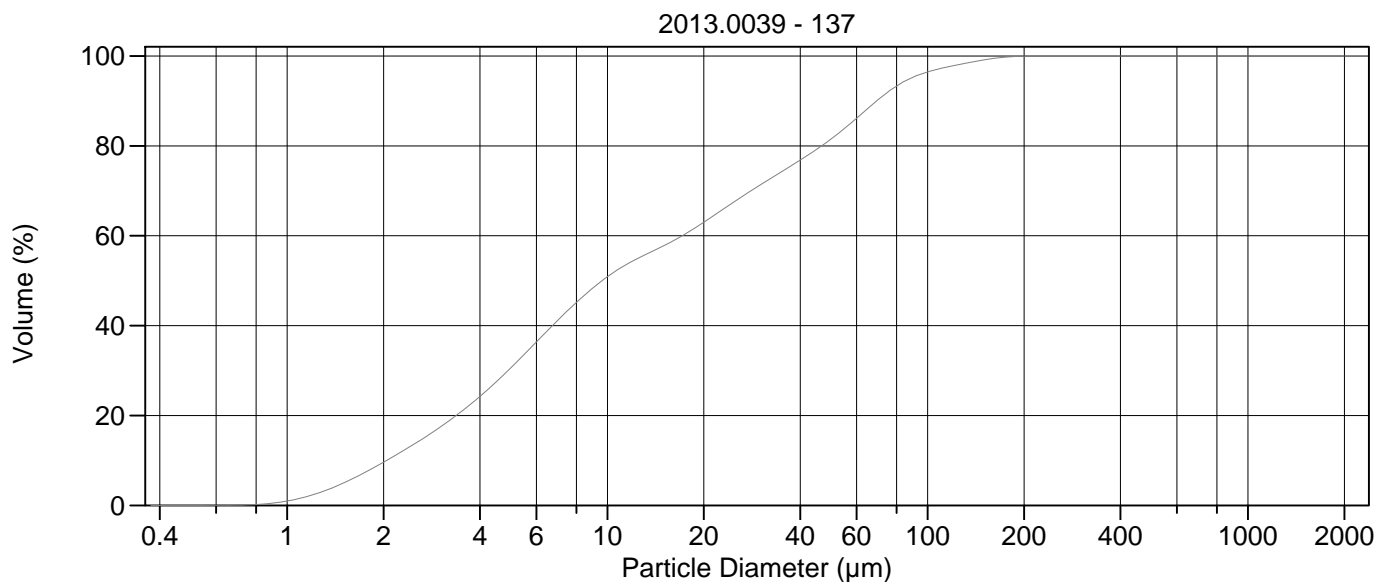
Calculations from 0.375 µm to 2000 µm

Volume	100.0%		
Mean:	97.42 µm	95% Conf. Limits:	0-377.4 µm
Median:	50.82 µm	S.D.:	142.8 µm
D(3,2):	16.06 µm	Variance:	20403 µm ²
Mean/Median Ratio:	1.917	C.V.:	147%
Mode:	66.44 µm	Skewness:	3.665 Right skewed
d ₁₀ :	8.441 µm	Kurtosis:	18.22 Leptokurtic
d ₅₀ :	50.82 µm		
d ₉₀ :	225.1 µm		
Specific Surf. Area	3735 cm ² /ml		

% <	10	25	50	75	90
Size µm	8.441	21.42	50.82	109.5	225.1

136.\$02

Particle Diameter µm	Volume % <	Particle Diameter µm	Volume % <
2.000	2.16	500.0	97.1
5.000	5.69	1000	99.7
10.00	11.9	2000	100
15.00	17.8		
20.00	23.5		
25.00	28.8		
50.00	49.5		
60.00	55.8		
63.00	57.6		
70.00	61.3		
75.00	63.7		
90.00	69.6		
125.0	78.4		
200.0	88.3		
250.0	91.3		
400.0	95.5		



Volume Statistics (Arithmetic)

137#.\$02

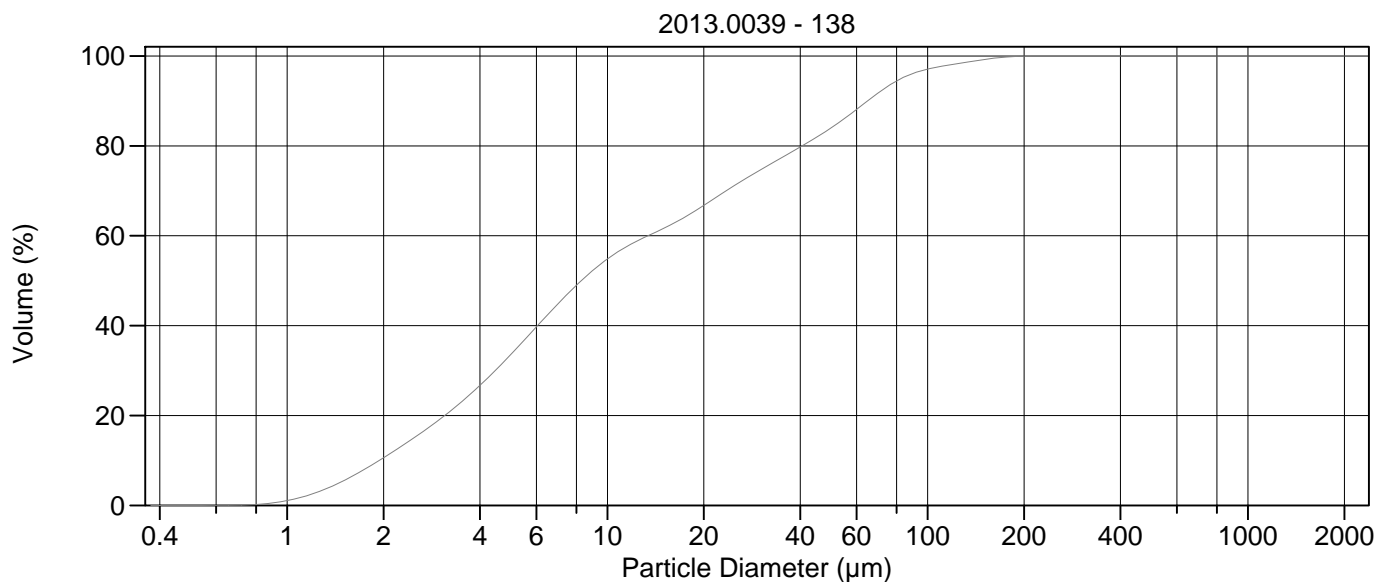
Calculations from 0.375 µm to 2000 µm

Volume	100.0%		
Mean:	25.06 µm	95% Conf. Limits:	0-86.97 µm
Median:	9.623 µm	S.D.:	31.59 µm
D(3,2):	5.473 µm	Variance:	997.6 µm ²
Mean/Median Ratio:	2.605	C.V.:	126%
Mode:	5.878 µm	Skewness:	1.998 Right skewed
d ₁₀ :	2.044 µm	Kurtosis:	4.487 Leptokurtic
d ₅₀ :	9.623 µm		
d ₉₀ :	69.23 µm		
Specific Surf. Area	10963 cm ² /ml		

% <	10	25	50	75	90
Size µm	2.044	4.112	9.623	36.37	69.23

137#.\$02

Particle Diameter µm	Volume % <	Particle Diameter µm	Volume % <
2.000	9.62	500.0	100
5.000	30.6	1000	100
10.00	50.9	2000	100
15.00	57.8		
20.00	63.0		
25.00	67.7		
50.00	81.5		
60.00	86.1		
63.00	87.5		
70.00	90.3		
75.00	91.9		
90.00	95.3		
125.0	98.1		
200.0	100.0		
250.0	100.0		
400.0	100		



Volume Statistics (Arithmetic) 138.\$02

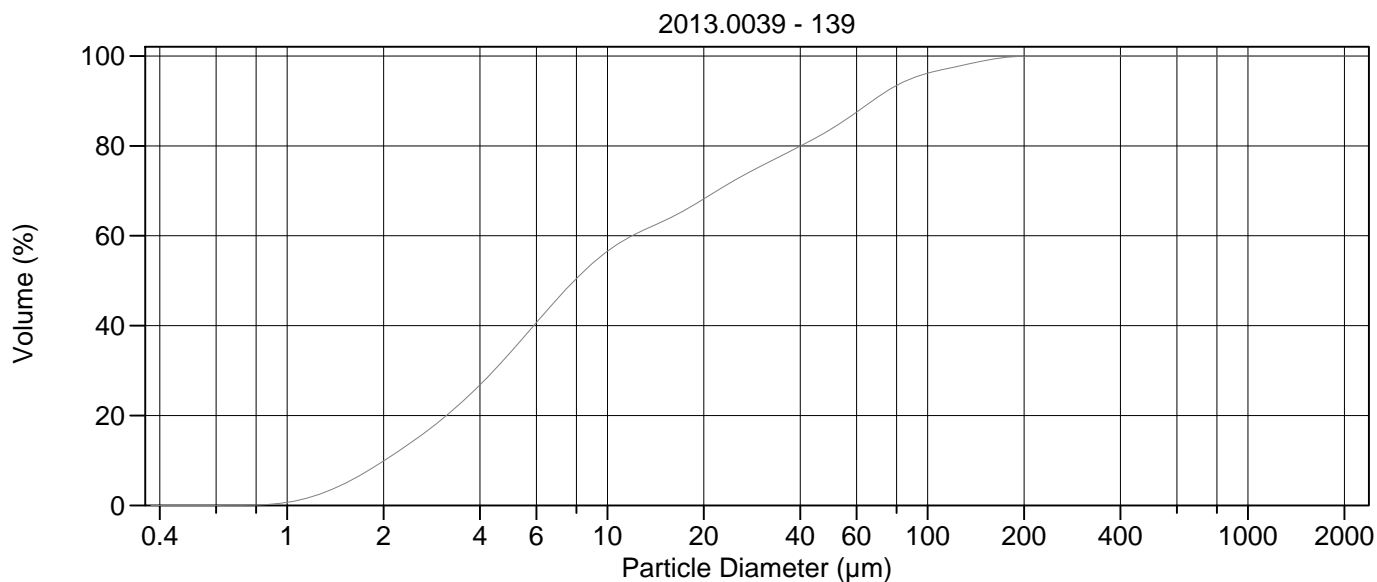
Calculations from 0.375 µm to 2000 µm

Volume	100.0%		
Mean:	22.65 µm	95% Conf. Limits:	0-81.56 µm
Median:	8.289 µm	S.D.:	30.06 µm
D(3,2):	5.080 µm	Variance:	903.3 µm ²
Mean/Median Ratio:	2.733	C.V.:	133%
Mode:	5.878 µm	Skewness:	2.219 Right skewed
d ₁₀ :	1.939 µm	Kurtosis:	5.777 Leptokurtic
d ₅₀ :	8.289 µm		
d ₉₀ :	64.97 µm		
Specific Surf. Area	11812 cm ² /ml		

% <	10	25	50	75	90
Size µm	1.939	3.766	8.289	30.64	64.97

138.\$02

Particle Diameter µm	Volume % <	Particle Diameter µm	Volume % <
2.000	10.6	500.0	100
5.000	33.6	1000	100
10.00	54.8	2000	100
15.00	61.7		
20.00	66.8		
25.00	71.2		
50.00	84.0		
60.00	88.1		
63.00	89.3		
70.00	91.8		
75.00	93.2		
90.00	96.1		
125.0	98.3		
200.0	100.0		
250.0	100.0		
400.0	100		



Volume Statistics (Arithmetic) 139.\$02

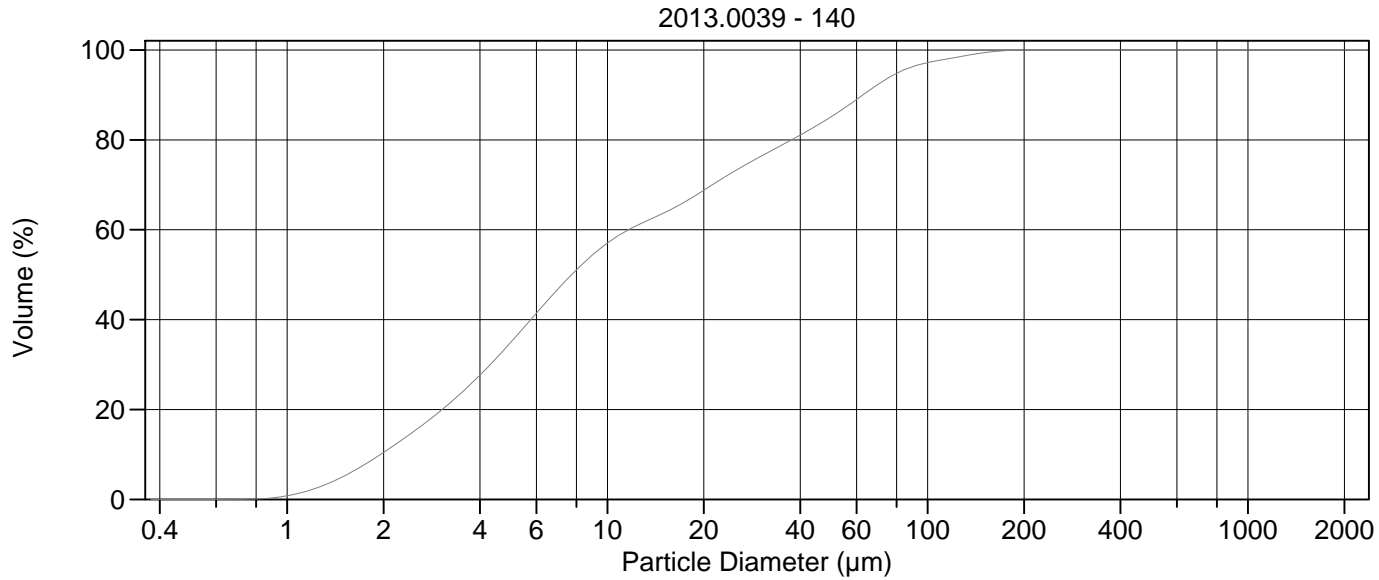
Calculations from 0.375 µm to 2000 µm

Volume	100.0%		
Mean:	23.03 µm	95% Conf. Limits:	0-85.69 µm
Median:	7.892 µm	S.D.:	31.97 µm
D(3,2):	5.152 µm	Variance:	1022 µm ²
Mean/Median Ratio:	2.918	C.V.:	139%
Mode:	5.878 µm	Skewness:	2.280 Right skewed
d ₁₀ :	2.013 µm	Kurtosis:	5.721 Leptokurtic
d ₅₀ :	7.892 µm		
d ₉₀ :	67.23 µm		
Specific Surf. Area	11646 cm ² /ml		

% <	10	25	50	75	90
Size µm	2.013	3.766	7.892	29.25	67.23

139.\$02

Particle Diameter µm	Volume % <	Particle Diameter µm	Volume % <
2.000	9.87	500.0	100
5.000	34.2	1000	100
10.00	56.5	2000	100
15.00	63.3		
20.00	68.2		
25.00	72.4		
50.00	83.8		
60.00	87.5		
63.00	88.6		
70.00	90.9		
75.00	92.3		
90.00	95.1		
125.0	97.8		
200.0	99.9		
250.0	100.0		
400.0	100		



Volume Statistics (Arithmetic) 140.\$02

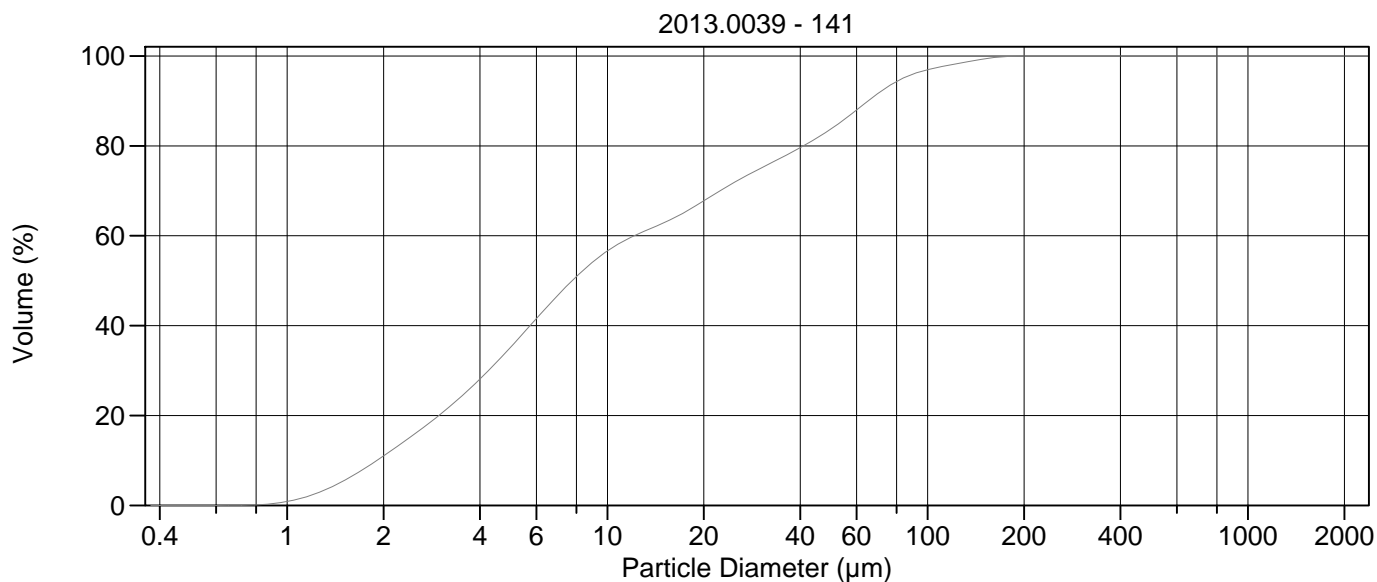
Calculations from 0.375 µm to 2000 µm

Volume	100.0%		
Mean:	21.48 µm	95% Conf. Limits:	0-78.38 µm
Median:	7.737 µm	S.D.:	29.03 µm
D(3,2):	5.013 µm	Variance:	842.9 µm ²
Mean/Median Ratio:	2.776	C.V.:	135%
Mode:	5.878 µm	Skewness:	2.238 Right skewed
d ₁₀ :	1.957 µm	Kurtosis:	5.646 Leptokurtic
d ₅₀ :	7.737 µm		
d ₉₀ :	62.77 µm		
Specific Surf. Area	11969 cm ² /ml		

% <	10	25	50	75	90
Size µm	1.957	3.661	7.737	27.85	62.77

140.\$02

Particle Diameter µm	Volume % <	Particle Diameter µm	Volume % <
2.000	10.4	500.0	100
5.000	35.0	1000	100
10.00	57.0	2000	100
15.00	63.7		
20.00	68.8		
25.00	73.1		
50.00	85.1		
60.00	89.0		
63.00	90.1		
70.00	92.4		
75.00	93.7		
90.00	96.3		
125.0	98.5		
200.0	100.0		
250.0	100		
400.0	100		



Volume Statistics (Arithmetic) 141.\$02

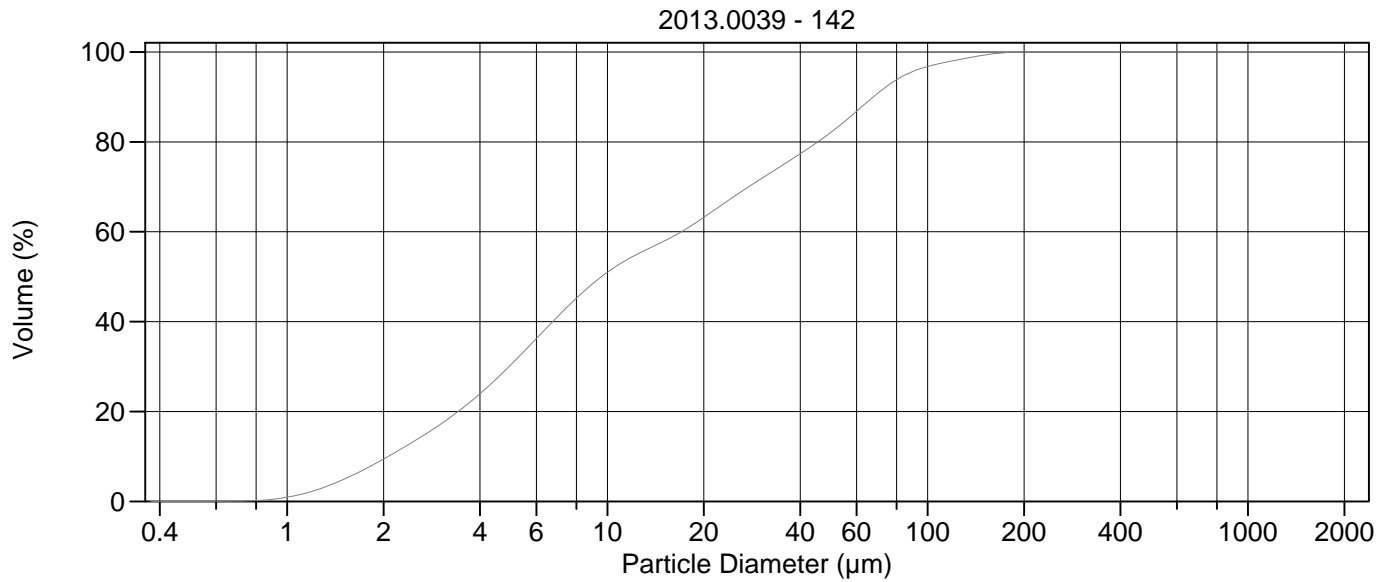
Calculations from 0.375 µm to 2000 µm

Volume	100.0%		
Mean:	22.34 µm	95% Conf. Limits:	0-81.10 µm
Median:	7.771 µm	S.D.:	29.98 µm
D(3,2):	4.959 µm	Variance:	898.8 µm ²
Mean/Median Ratio:	2.875	C.V.:	134%
Mode:	5.878 µm	Skewness:	2.133 Right skewed
d ₁₀ :	1.908 µm	Kurtosis:	5.013 Leptokurtic
d ₅₀ :	7.771 µm		
d ₉₀ :	65.23 µm		
Specific Surf. Area	12100 cm ² /ml		

% <	10	25	50	75	90
Size µm	1.908	3.595	7.771	30.05	65.23

141.\$02

Particle Diameter µm	Volume % <	Particle Diameter µm	Volume % <
2.000	11.0	500.0	100
5.000	35.3	1000	100
10.00	56.6	2000	100
15.00	62.9		
20.00	67.8		
25.00	72.0		
50.00	83.8		
60.00	88.0		
63.00	89.2		
70.00	91.7		
75.00	93.1		
90.00	96.0		
125.0	98.4		
200.0	100.0		
250.0	100		
400.0	100		



Volume Statistics (Arithmetic)

142#.\$02

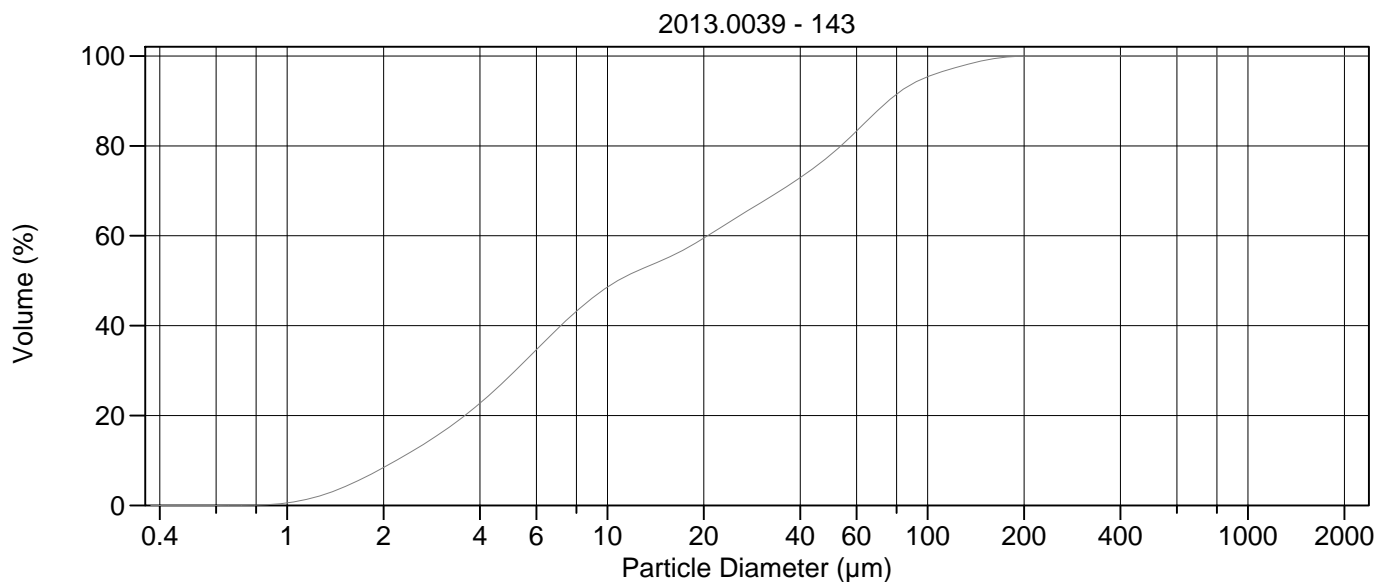
Calculations from 0.375 µm to 2000 µm

Volume	100.0%		
Mean:	24.50 µm	95% Conf. Limits:	0-84.31 µm
Median:	9.585 µm	S.D.:	30.52 µm
D(3,2):	5.510 µm	Variance:	931.3 µm ²
Mean/Median Ratio:	2.556	C.V.:	125%
Mode:	5.878 µm	Skewness:	1.965 Right skewed
d ₁₀ :	2.068 µm	Kurtosis:	4.285 Leptokurtic
d ₅₀ :	9.585 µm		
d ₉₀ :	67.68 µm		
Specific Surf. Area	10890 cm ² /ml		

% <	10	25	50	75	90
Size µm	2.068	4.158	9.585	35.57	67.68

142#.\$02

Particle Diameter µm	Volume % <	Particle Diameter µm	Volume % <
2.000	9.43	500.0	100
5.000	30.4	1000	100
10.00	51.0	2000	100
15.00	57.9		
20.00	63.2		
25.00	68.0		
50.00	82.2		
60.00	86.8		
63.00	88.1		
70.00	90.9		
75.00	92.5		
90.00	95.7		
125.0	98.3		
200.0	100.0		
250.0	100		
400.0	100		



Volume Statistics (Arithmetic) 143#.\$02

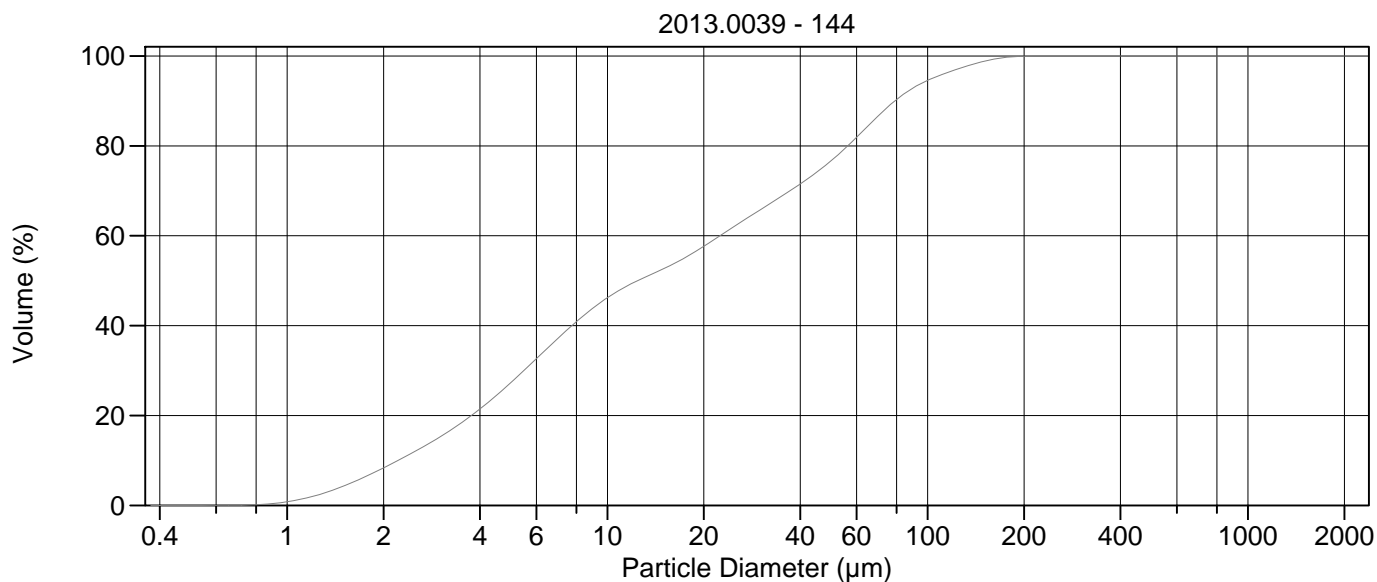
Calculations from 0.375 µm to 2000 µm

Volume	100.0%		
Mean:	28.00 µm	95% Conf. Limits:	0-94.39 µm
Median:	10.76 µm	S.D.:	33.87 µm
D(3,2):	5.917 µm	Variance:	1147 µm ²
Mean/Median Ratio:	2.601	C.V.:	121%
Mode:	5.878 µm	Skewness:	1.754 Right skewed
d ₁₀ :	2.192 µm	Kurtosis:	3.130 Leptokurtic
d ₅₀ :	10.76 µm		
d ₉₀ :	75.30 µm		
Specific Surf. Area	10141 cm ² /ml		

% <	10	25	50	75	90
Size µm	2.192	4.349	10.76	43.96	75.30

143#.\$02

Particle Diameter µm	Volume % <	Particle Diameter µm	Volume % <
2.000	8.42	500.0	100
5.000	29.0	1000	100
10.00	48.6	2000	100
15.00	54.7		
20.00	59.5		
25.00	63.8		
50.00	78.1		
60.00	83.3		
63.00	84.8		
70.00	88.0		
75.00	89.9		
90.00	93.9		
125.0	97.6		
200.0	100.0		
250.0	100.0		
400.0	100		



Volume Statistics (Arithmetic) 144#.\$02

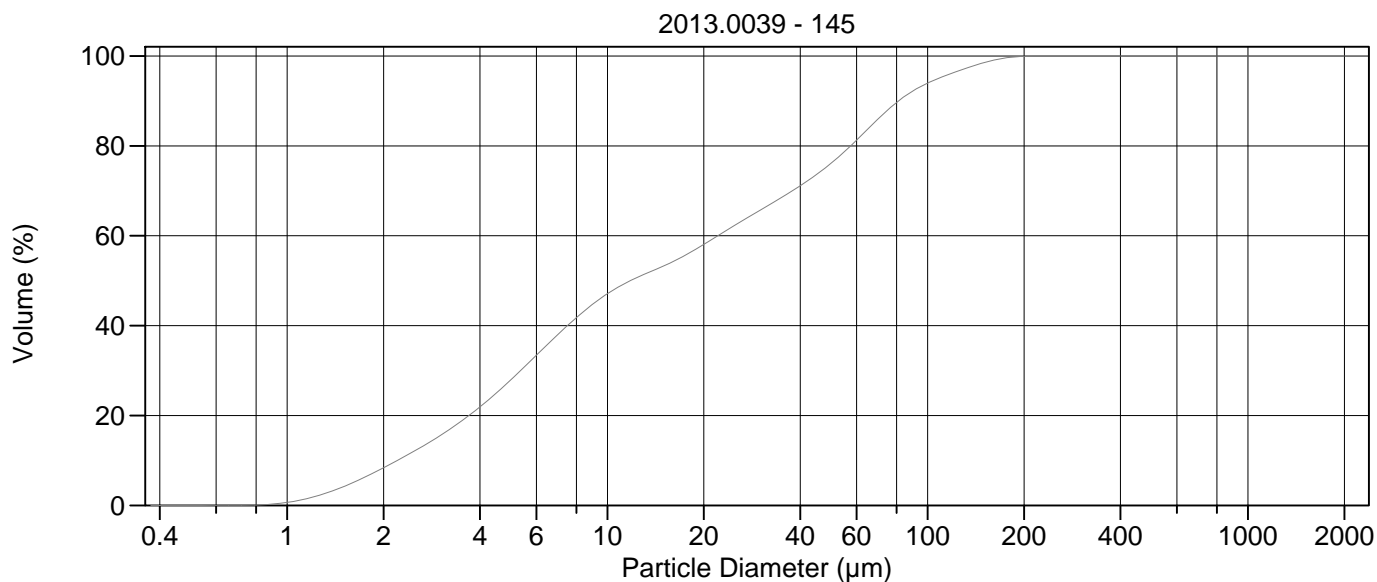
Calculations from 0.375 µm to 2000 µm

Volume	100.0%		
Mean:	29.65 µm	95% Conf. Limits:	0-98.74 µm
Median:	12.44 µm	S.D.:	35.25 µm
D(3,2):	6.069 µm	Variance:	1243 µm ²
Mean/Median Ratio:	2.384	C.V.:	119%
Mode:	66.44 µm	Skewness:	1.691 Right skewed
d ₁₀ :	2.220 µm	Kurtosis:	2.785 Leptokurtic
d ₅₀ :	12.44 µm		
d ₉₀ :	79.04 µm		
Specific Surf. Area	9886 cm ² /ml		

% <	10	25	50	75	90
Size µm	2.220	4.594	12.44	46.68	79.04

144#.\$02

Particle Diameter µm	Volume % <	Particle Diameter µm	Volume % <
2.000	8.36	500.0	100
5.000	27.3	1000	100
10.00	46.2	2000	100
15.00	52.7		
20.00	57.6		
25.00	62.2		
50.00	76.7		
60.00	81.9		
63.00	83.4		
70.00	86.7		
75.00	88.6		
90.00	92.9		
125.0	97.2		
200.0	100.0		
250.0	100.0		
400.0	100		



Volume Statistics (Arithmetic) 145.\$02

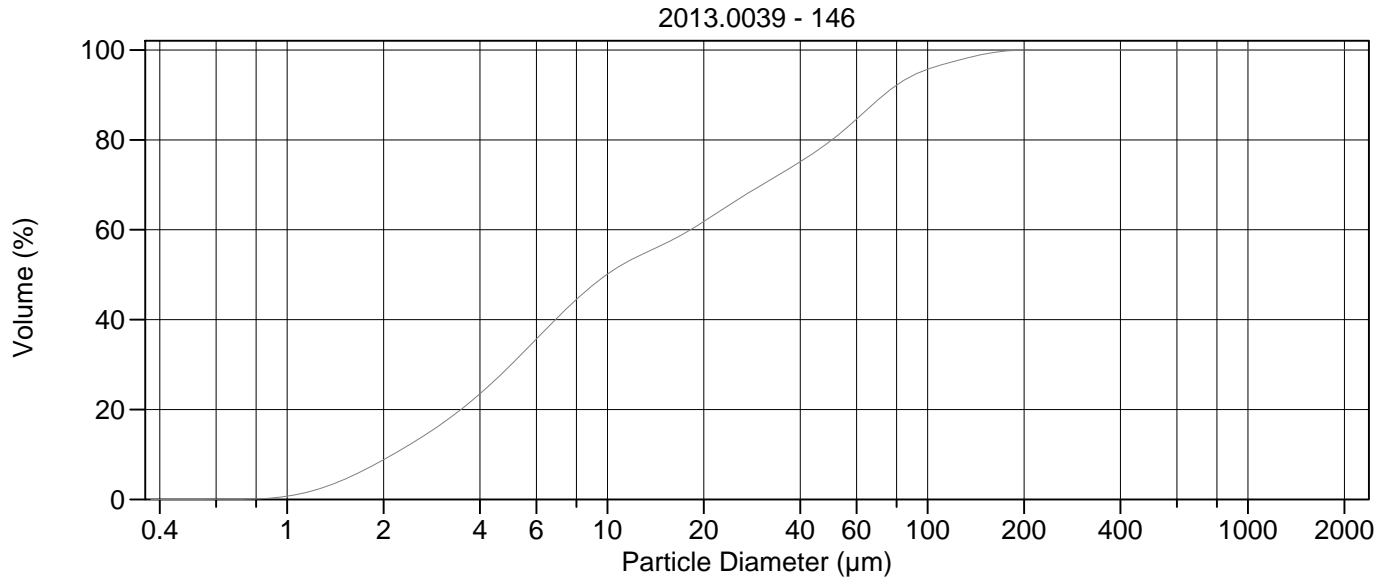
Calculations from 0.375 µm to 2000 µm

Volume	100.0%		
Mean:	30.22 µm	95% Conf. Limits:	0-102.0 µm
Median:	11.78 µm	S.D.:	36.62 µm
D(3,2):	6.036 µm	Variance:	1341 µm ²
Mean/Median Ratio:	2.565	C.V.:	121%
Mode:	66.44 µm	Skewness:	1.715 Right skewed
d ₁₀ :	2.208 µm	Kurtosis:	2.830 Leptokurtic
d ₅₀ :	11.78 µm		
d ₉₀ :	81.17 µm		
Specific Surf. Area	9941 cm ² /ml		

% <	10	25	50	75	90
Size µm	2.208	4.500	11.78	47.74	81.17

145.\$02

Particle Diameter µm	Volume % <	Particle Diameter µm	Volume % <
2.000	8.38	500.0	100
5.000	28.0	1000	100
10.00	47.1	2000	100
15.00	53.3		
20.00	58.1		
25.00	62.4		
50.00	76.1		
60.00	81.2		
63.00	82.8		
70.00	86.0		
75.00	88.0		
90.00	92.2		
125.0	96.7		
200.0	99.9		
250.0	100.0		
400.0	100		



Volume Statistics (Arithmetic) 146.\$02

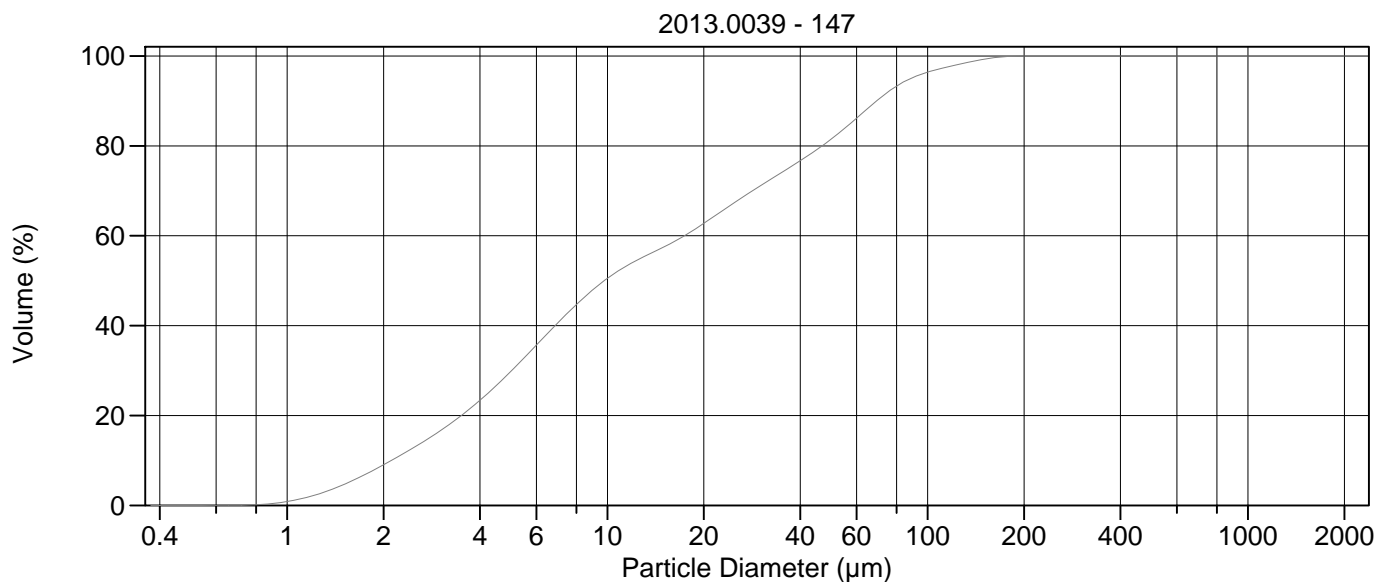
Calculations from 0.375 µm to 2000 µm

Volume	100.0%		
Mean:	26.50 µm	95% Conf. Limits:	0-91.29 µm
Median:	9.946 µm	S.D.:	33.06 µm
D(3,2):	5.702 µm	Variance:	1093 µm ²
Mean/Median Ratio:	2.664	C.V.:	125%
Mode:	5.878 µm	Skewness:	1.876 Right skewed
d ₁₀ :	2.140 µm	Kurtosis:	3.674 Leptokurtic
d ₅₀ :	9.946 µm		
d ₉₀ :	73.02 µm		
Specific Surf. Area	10522 cm ² /ml		

% <	10	25	50	75	90
Size µm	2.140	4.225	9.946	39.72	73.02

146.\$02

Particle Diameter µm	Volume % <	Particle Diameter µm	Volume % <
2.000	8.83	500.0	100
5.000	29.9	1000	100
10.00	50.1	2000	100
15.00	56.8		
20.00	61.8		
25.00	66.3		
50.00	79.9		
60.00	84.6		
63.00	86.0		
70.00	88.9		
75.00	90.7		
90.00	94.3		
125.0	97.7		
200.0	100.0		
250.0	100.0		
400.0	100		



Volume Statistics (Arithmetic) 147.\$02

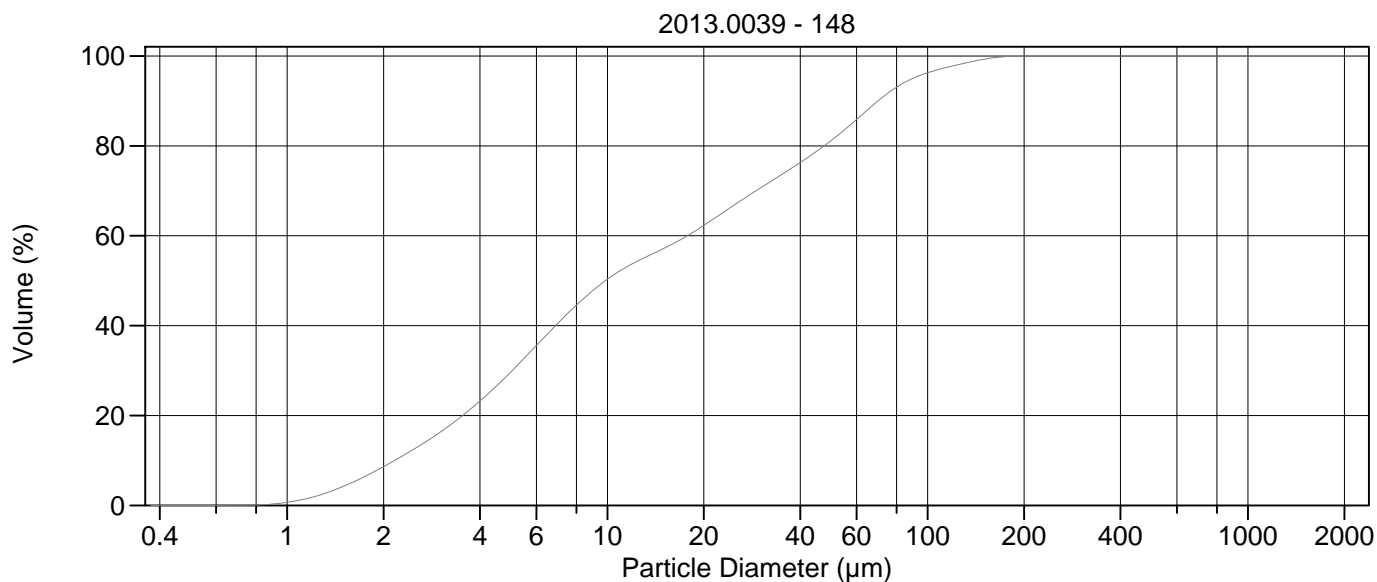
Calculations from 0.375 µm to 2000 µm

Volume	100.0%		
Mean:	25.13 µm	95% Conf. Limits:	0-86.40 µm
Median:	9.762 µm	S.D.:	31.26 µm
D(3,2):	5.622 µm	Variance:	977.0 µm ²
Mean/Median Ratio:	2.575	C.V.:	124%
Mode:	5.878 µm	Skewness:	1.927 Right skewed
d ₁₀ :	2.118 µm	Kurtosis:	3.985 Leptokurtic
d ₅₀ :	9.762 µm		
d ₉₀ :	69.20 µm		
Specific Surf. Area	10671 cm ² /ml		

% <	10	25	50	75	90
Size µm	2.118	4.242	9.762	36.71	69.20

147.\$02

Particle Diameter µm	Volume % <	Particle Diameter µm	Volume % <
2.000	9.03	500.0	100
5.000	29.8	1000	100
10.00	50.5	2000	100
15.00	57.5		
20.00	62.7		
25.00	67.5		
50.00	81.5		
60.00	86.2		
63.00	87.5		
70.00	90.3		
75.00	91.9		
90.00	95.2		
125.0	98.1		
200.0	100.0		
250.0	100		
400.0	100		



Volume Statistics (Arithmetic) 148.\$02

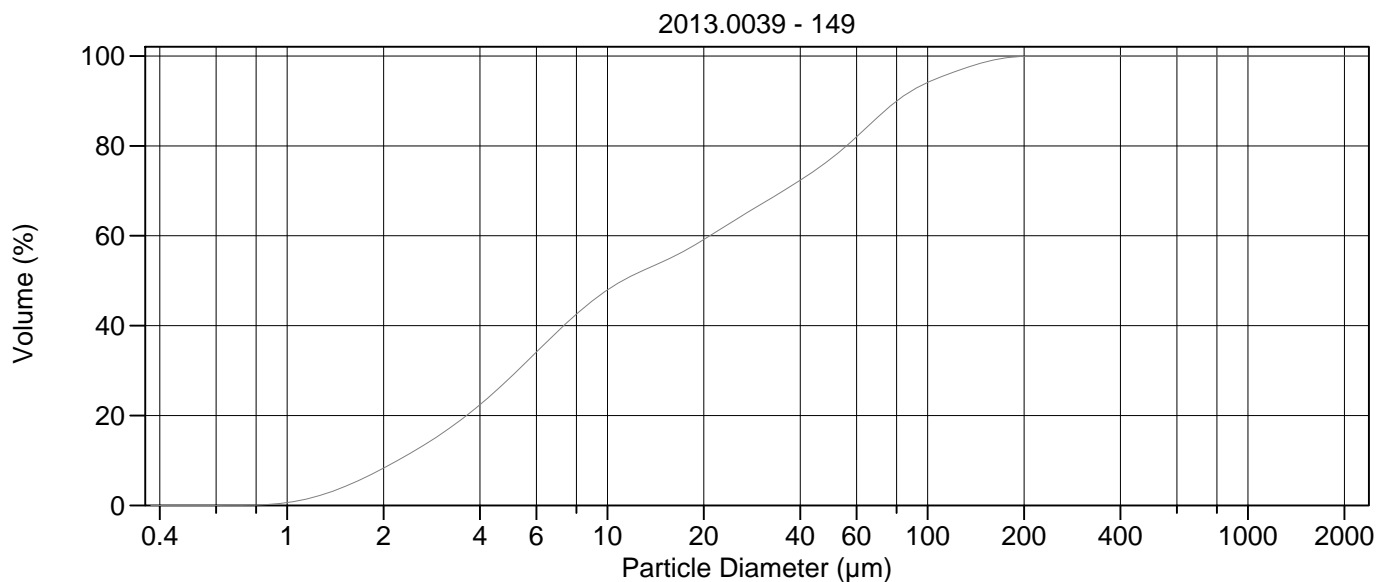
Calculations from 0.375 µm to 2000 µm

Volume	100.0%		
Mean:	25.46 µm	95% Conf. Limits:	0-87.24 µm
Median:	9.841 µm	S.D.:	31.52 µm
D(3,2):	5.730 µm	Variance:	993.4 µm ²
Mean/Median Ratio:	2.587	C.V.:	124%
Mode:	5.878 µm	Skewness:	1.897 Right skewed
d ₁₀ :	2.168 µm	Kurtosis:	3.814 Leptokurtic
d ₅₀ :	9.841 µm		
d ₉₀ :	69.92 µm		
Specific Surf. Area	10470 cm ² /ml		

% <	10	25	50	75	90
Size µm	2.168	4.266	9.841	37.54	69.92

148.\$02

Particle Diameter µm	Volume % <	Particle Diameter µm	Volume % <
2.000	8.62	500.0	100
5.000	29.7	1000	100
10.00	50.3	2000	100
15.00	57.2		
20.00	62.3		
25.00	66.9		
50.00	81.2		
60.00	85.9		
63.00	87.2		
70.00	90.0		
75.00	91.7		
90.00	95.0		
125.0	98.1		
200.0	100.0		
250.0	100		
400.0	100		



Volume Statistics (Arithmetic) 149.\$02

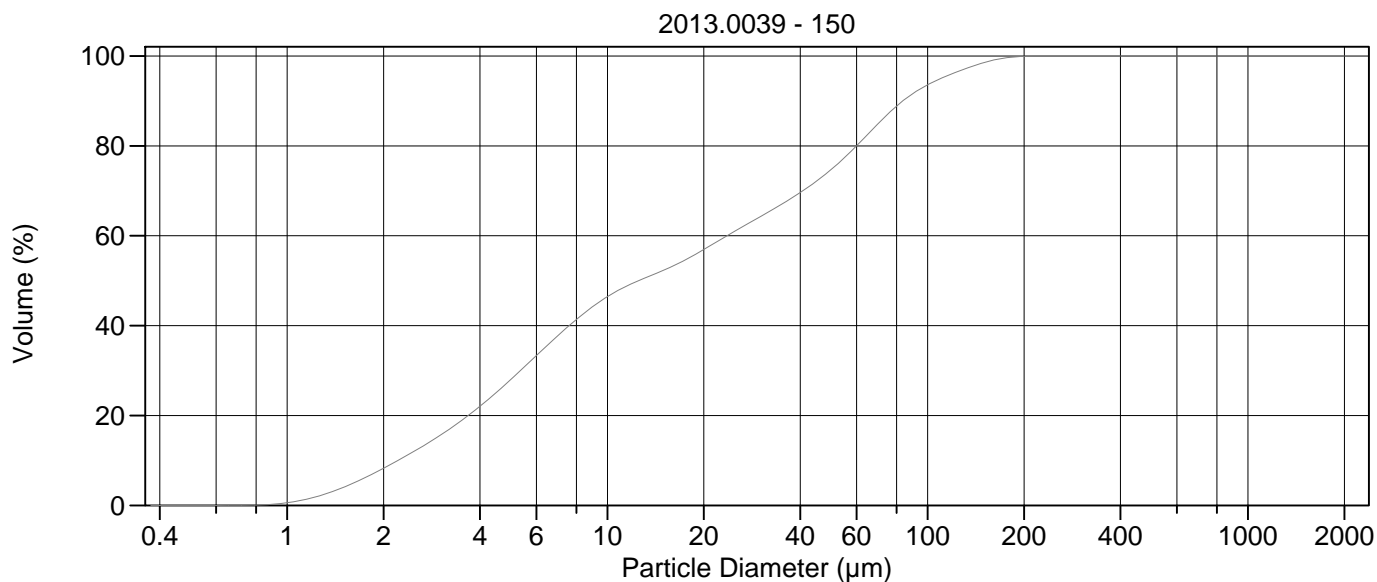
Calculations from 0.375 µm to 2000 µm

Volume	100.0%		
Mean:	29.43 µm	95% Conf. Limits:	0-100.5 µm
Median:	11.15 µm	S.D.:	36.24 µm
D(3,2):	5.970 µm	Variance:	1314 µm ²
Mean/Median Ratio:	2.639	C.V.:	123%
Mode:	5.878 µm	Skewness:	1.769 Right skewed
d ₁₀ :	2.213 µm	Kurtosis:	3.041 Leptokurtic
d ₅₀ :	11.15 µm		
d ₉₀ :	80.25 µm		
Specific Surf. Area	10050 cm ² /ml		

% <	10	25	50	75	90
Size µm	2.213	4.410	11.15	45.43	80.25

149.\$02

Particle Diameter µm	Volume % <	Particle Diameter µm	Volume % <
2.000	8.30	500.0	100
5.000	28.6	1000	100
10.00	47.9	2000	100
15.00	54.3		
20.00	59.1		
25.00	63.5		
50.00	77.2		
60.00	82.0		
63.00	83.4		
70.00	86.5		
75.00	88.3		
90.00	92.4		
125.0	96.8		
200.0	99.9		
250.0	100.0		
400.0	100		



Volume Statistics (Arithmetic) 150.\$02

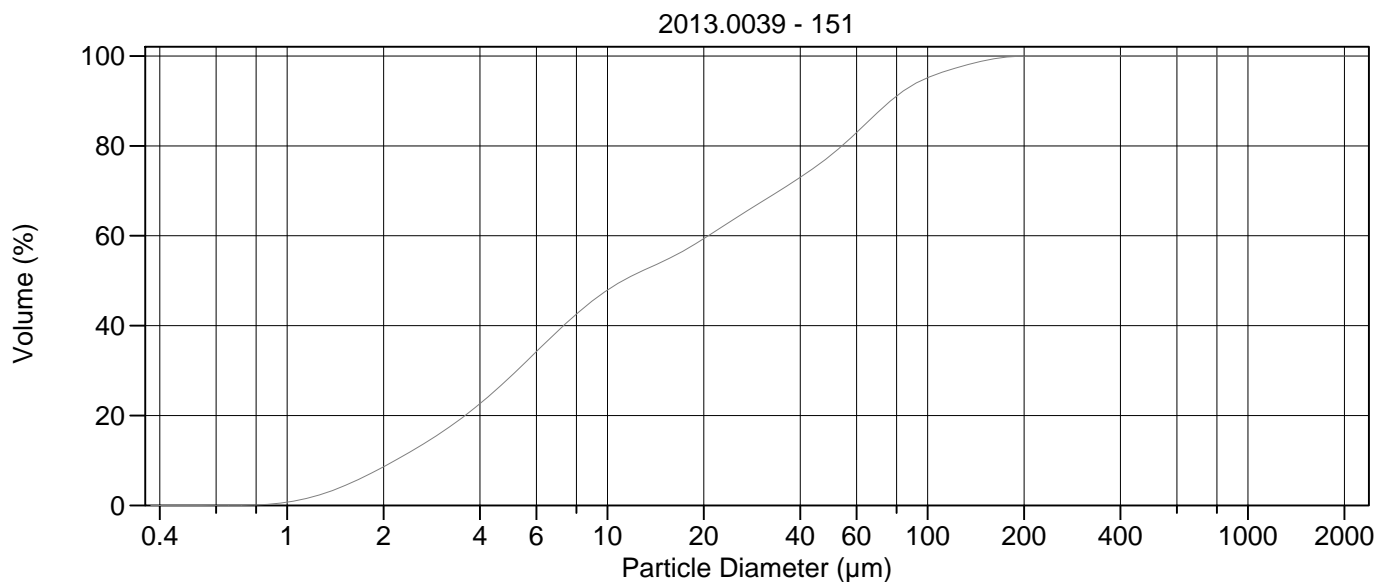
Calculations from 0.375 µm to 2000 µm

Volume	100.0%		
Mean:	31.27 µm	95% Conf. Limits:	0-104.2 µm
Median:	12.52 µm	S.D.:	37.23 µm
D(3,2):	6.104 µm	Variance:	1386 µm ²
Mean/Median Ratio:	2.498	C.V.:	119%
Mode:	66.44 µm	Skewness:	1.615 Right skewed
d ₁₀ :	2.218 µm	Kurtosis:	2.381 Leptokurtic
d ₅₀ :	12.52 µm		
d ₉₀ :	83.56 µm		
Specific Surf. Area	9830 cm ² /ml		

% <	10	25	50	75	90
Size µm	2.218	4.482	12.52	50.49	83.56

150.\$02

Particle Diameter µm	Volume % <	Particle Diameter µm	Volume % <
2.000	8.27	500.0	100
5.000	28.0	1000	100
10.00	46.4	2000	100
15.00	52.3		
20.00	56.9		
25.00	61.0		
50.00	74.7		
60.00	80.0		
63.00	81.6		
70.00	84.9		
75.00	87.0		
90.00	91.6		
125.0	96.6		
200.0	99.9		
250.0	100.0		
400.0	100		



Volume Statistics (Arithmetic) 151.\$02

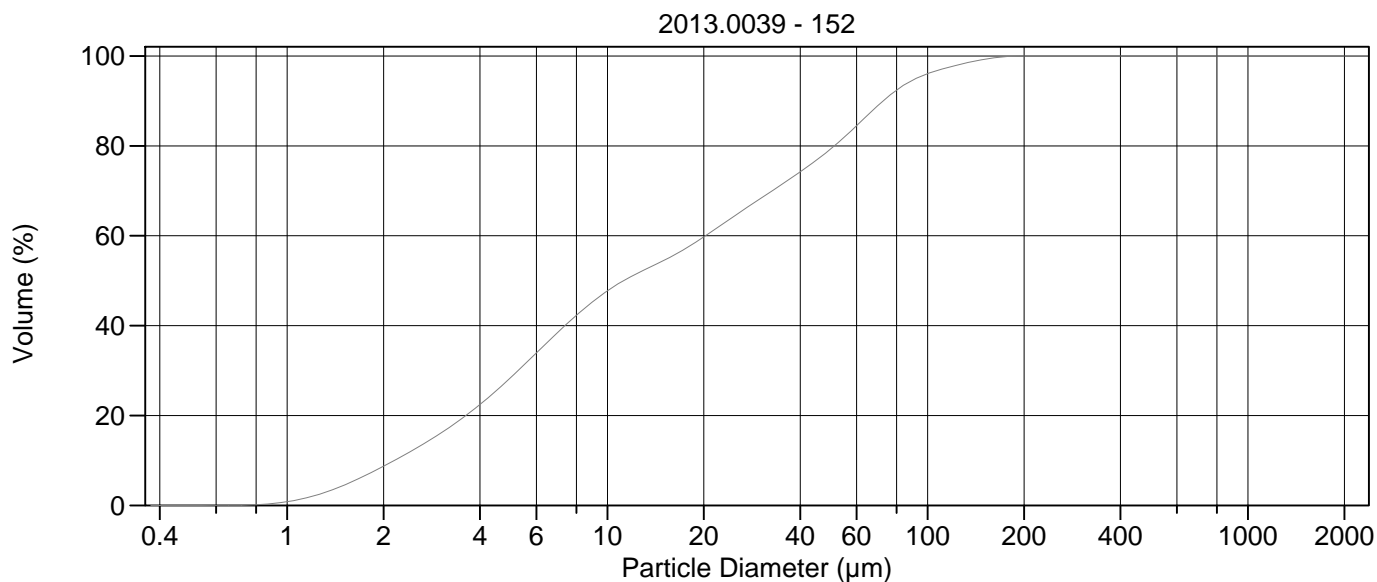
Calculations from 0.375 µm to 2000 µm

Volume	100.0%		
Mean:	28.28 µm	95% Conf. Limits:	0-95.43 µm
Median:	11.18 µm	S.D.:	34.26 µm
D(3,2):	5.893 µm	Variance:	1174 µm ²
Mean/Median Ratio:	2.529	C.V.:	121%
Mode:	5.878 µm	Skewness:	1.753 Right skewed
d ₁₀ :	2.173 µm	Kurtosis:	3.093 Leptokurtic
d ₅₀ :	11.18 µm		
d ₉₀ :	76.41 µm		
Specific Surf. Area	10181 cm ² /ml		

% <	10	25	50	75	90
Size µm	2.173	4.377	11.18	43.94	76.41

151.\$02

Particle Diameter µm	Volume % <	Particle Diameter µm	Volume % <
2.000	8.60	500.0	100
5.000	28.7	1000	100
10.00	47.9	2000	100
15.00	54.4		
20.00	59.4		
25.00	63.8		
50.00	78.0		
60.00	83.0		
63.00	84.4		
70.00	87.5		
75.00	89.5		
90.00	93.5		
125.0	97.5		
200.0	100.0		
250.0	100.0		
400.0	100		



Volume Statistics (Arithmetic) 152.\$02

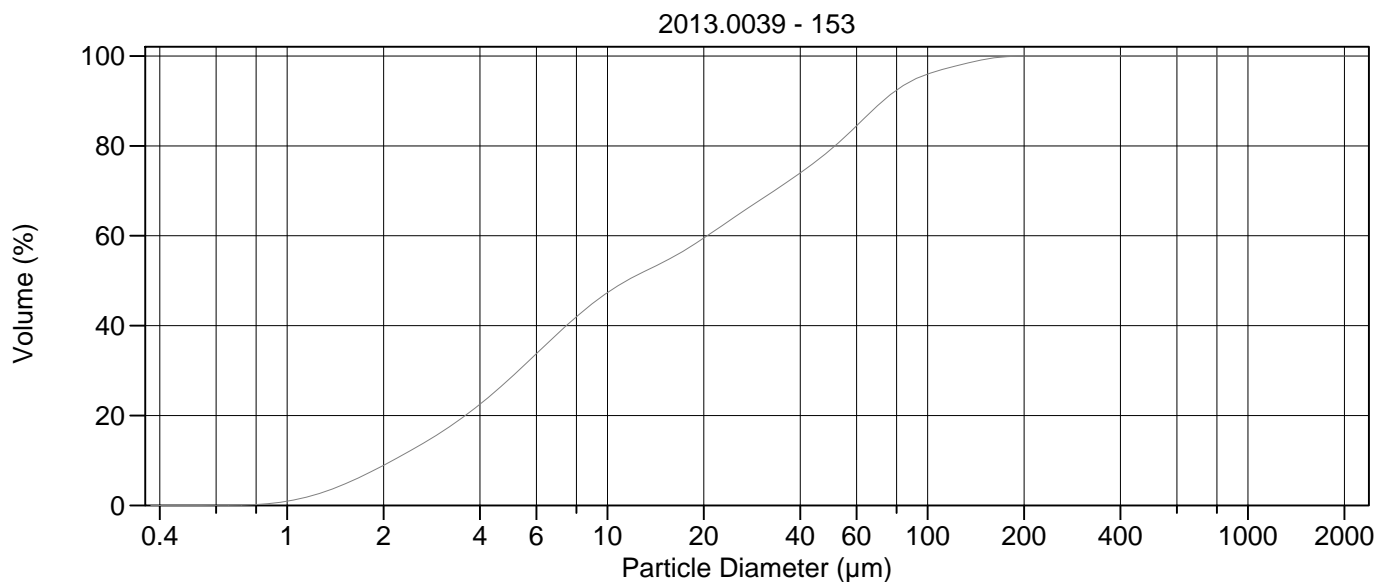
Calculations from 0.375 µm to 2000 µm

Volume	100.0%		
Mean:	26.98 µm	95% Conf. Limits:	0-90.06 µm
Median:	11.24 µm	S.D.:	32.19 µm
D(3,2):	5.857 µm	Variance:	1036 µm ²
Mean/Median Ratio:	2.399	C.V.:	119%
Mode:	5.878 µm	Skewness:	1.760 Right skewed
d ₁₀ :	2.163 µm	Kurtosis:	3.205 Leptokurtic
d ₅₀ :	11.24 µm		
d ₉₀ :	72.66 µm		
Specific Surf. Area	10244 cm ² /ml		

% <	10	25	50	75	90
Size µm	2.163	4.413	11.24	41.46	72.66

152.\$02

Particle Diameter µm	Volume % <	Particle Diameter µm	Volume % <
2.000	8.71	500.0	100
5.000	28.5	1000	100
10.00	47.7	2000	100
15.00	54.5		
20.00	59.7		
25.00	64.5		
50.00	79.4		
60.00	84.5		
63.00	85.9		
70.00	89.0		
75.00	90.9		
90.00	94.6		
125.0	98.1		
200.0	100.0		
250.0	100		
400.0	100		



Volume Statistics (Arithmetic) 153.\$02

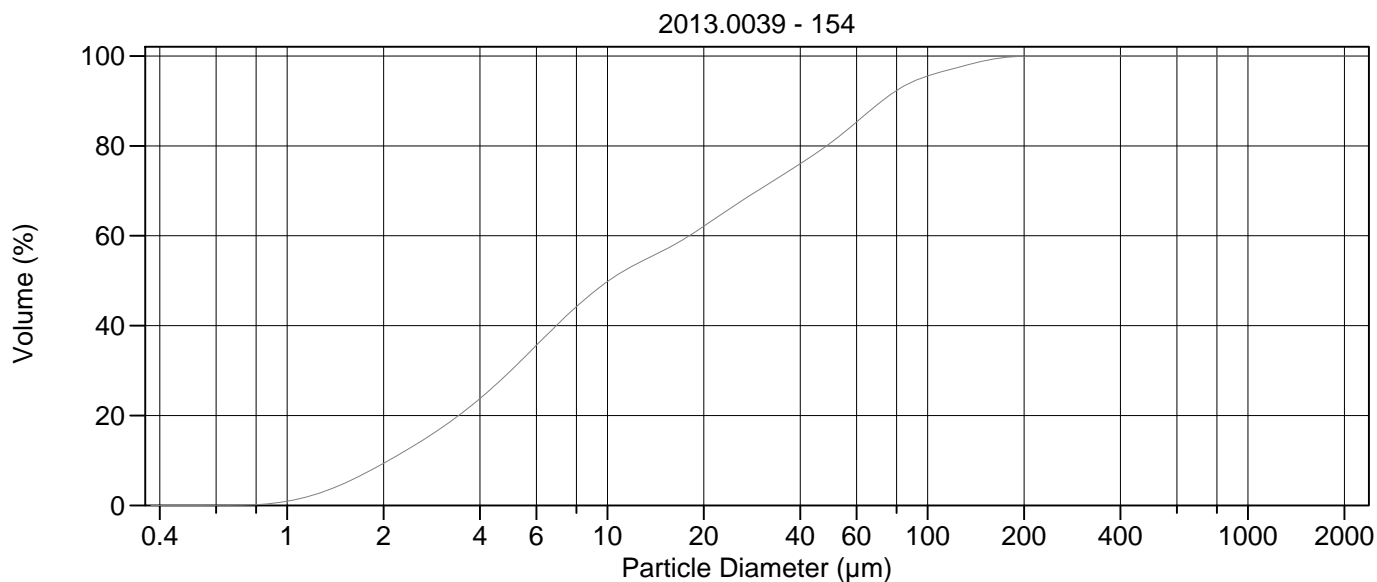
Calculations from 0.375 µm to 2000 µm

Volume	100.0%		
Mean:	27.16 µm	95% Conf. Limits:	0-90.62 µm
Median:	11.49 µm	S.D.:	32.38 µm
D(3,2):	5.823 µm	Variance:	1048 µm ²
Mean/Median Ratio:	2.363	C.V.:	119%
Mode:	60.52 µm	Skewness:	1.769 Right skewed
d ₁₀ :	2.137 µm	Kurtosis:	3.261 Leptokurtic
d ₅₀ :	11.49 µm		
d ₉₀ :	72.59 µm		
Specific Surf. Area	10304 cm ² /ml		

% <	10	25	50	75	90
Size µm	2.137	4.411	11.49	41.88	72.59

153.\$02

Particle Diameter µm	Volume % <	Particle Diameter µm	Volume % <
2.000	8.92	500.0	100
5.000	28.4	1000	100
10.00	47.3	2000	100
15.00	54.2		
20.00	59.5		
25.00	64.2		
50.00	79.3		
60.00	84.4		
63.00	85.9		
70.00	89.0		
75.00	90.9		
90.00	94.6		
125.0	97.9		
200.0	100.0		
250.0	100		
400.0	100		



Volume Statistics (Arithmetic) 154.\$02

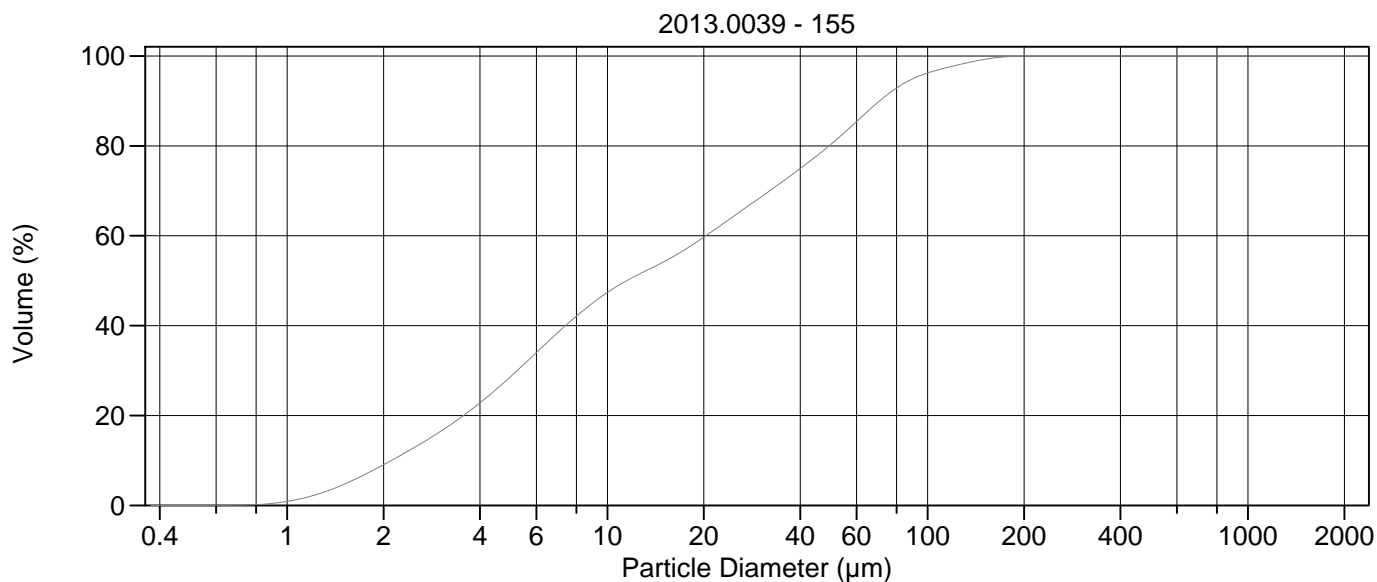
Calculations from 0.375 µm to 2000 µm

Volume	100.0%		
Mean:	26.26 µm	95% Conf. Limits:	0-91.54 µm
Median:	10.10 µm	S.D.:	33.30 µm
D(3,2):	5.583 µm	Variance:	1109 µm ²
Mean/Median Ratio:	2.600	C.V.:	127%
Mode:	5.878 µm	Skewness:	1.983 Right skewed
d ₁₀ :	2.075 µm	Kurtosis:	4.206 Leptokurtic
d ₅₀ :	10.10 µm		
d ₉₀ :	72.04 µm		
Specific Surf. Area	10747 cm ² /ml		

% <	10	25	50	75	90
Size µm	2.075	4.189	10.10	37.99	72.04

154.\$02

Particle Diameter µm	Volume % <	Particle Diameter µm	Volume % <
2.000	9.37	500.0	100
5.000	30.0	1000	100
10.00	49.8	2000	100
15.00	56.8		
20.00	62.1		
25.00	66.8		
50.00	80.8		
60.00	85.3		
63.00	86.6		
70.00	89.3		
75.00	91.0		
90.00	94.3		
125.0	97.5		
200.0	100.0		
250.0	100.0		
400.0	100		



Volume Statistics (Arithmetic) 155.\$02

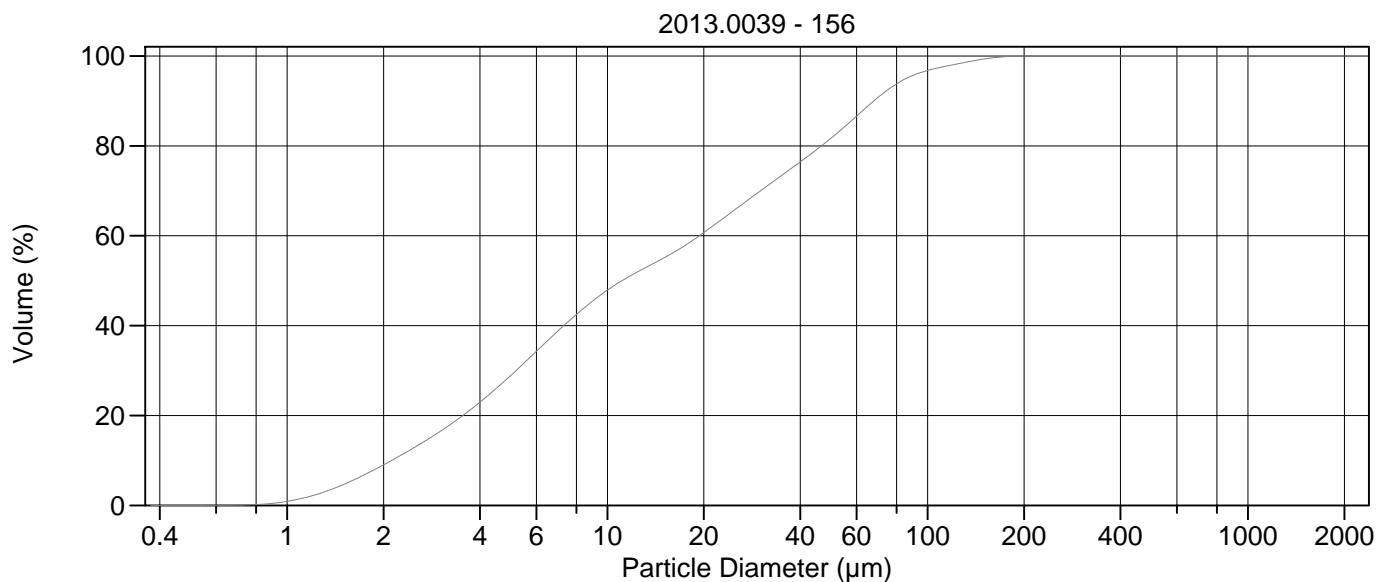
Calculations from 0.375 µm to 2000 µm

Volume	100.0%		
Mean:	26.54 µm	95% Conf. Limits:	0-88.73 µm
Median:	11.49 µm	S.D.:	31.73 µm
D(3,2):	5.790 µm	Variance:	1007 µm ²
Mean/Median Ratio:	2.309	C.V.:	120%
Mode:	5.878 µm	Skewness:	1.831 Right skewed
d ₁₀ :	2.118 µm	Kurtosis:	3.630 Leptokurtic
d ₅₀ :	11.49 µm		
d ₉₀ :	70.73 µm		
Specific Surf. Area	10363 cm ² /ml		

% <	10	25	50	75	90
Size µm	2.118	4.360	11.49	40.06	70.73

155.\$02

Particle Diameter µm	Volume % <	Particle Diameter µm	Volume % <
2.000	9.04	500.0	100
5.000	28.7	1000	100
10.00	47.4	2000	100
15.00	54.2		
20.00	59.7		
25.00	64.6		
50.00	80.4		
60.00	85.4		
63.00	86.8		
70.00	89.7		
75.00	91.5		
90.00	94.9		
125.0	98.1		
200.0	100.0		
250.0	100		
400.0	100		



Volume Statistics (Arithmetic) 156#.\$02

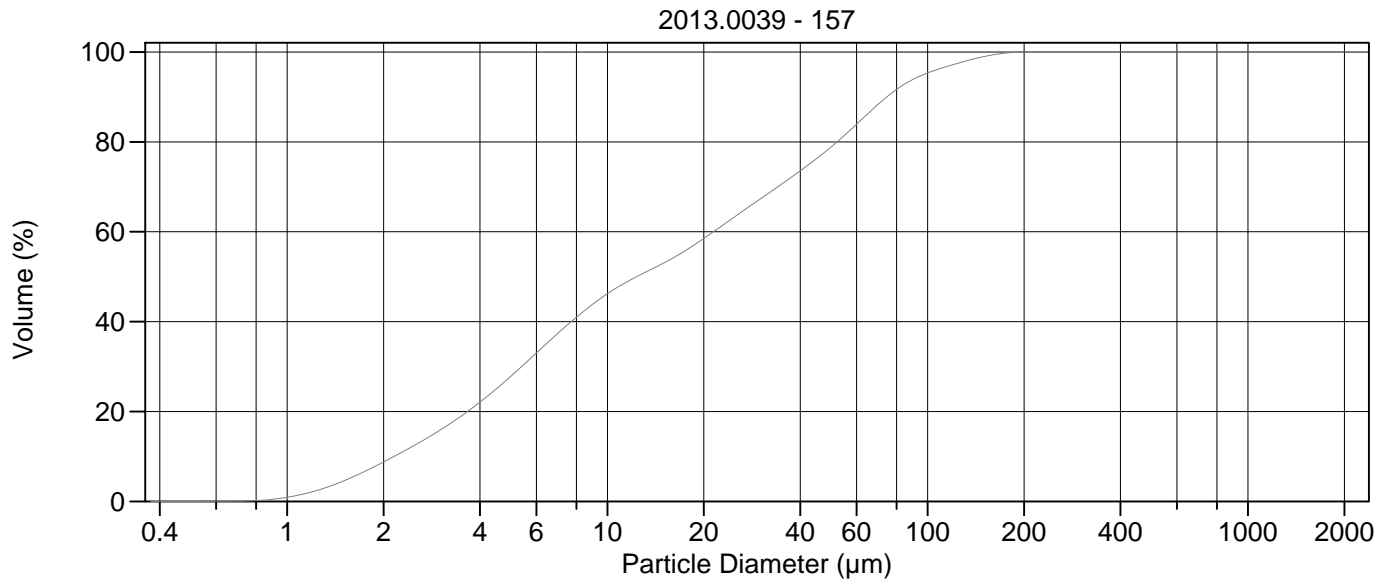
Calculations from 0.375 µm to 2000 µm

Volume	100.0%		
Mean:	25.38 µm	95% Conf. Limits:	0-85.04 µm
Median:	11.11 µm	S.D.:	30.44 µm
D(3,2):	5.739 µm	Variance:	926.6 µm ²
Mean/Median Ratio:	2.285	C.V.:	120%
Mode:	5.878 µm	Skewness:	1.899 Right skewed
d ₁₀ :	2.120 µm	Kurtosis:	4.067 Leptokurtic
d ₅₀ :	11.11 µm		
d ₉₀ :	67.93 µm		
Specific Surf. Area	10455 cm ² /ml		

% <	10	25	50	75	90
Size µm	2.120	4.330	11.11	37.55	67.93

156#.\$02

Particle Diameter µm	Volume % <	Particle Diameter µm	Volume % <
2.000	9.03	500.0	100
5.000	28.9	1000	100
10.00	47.9	2000	100
15.00	55.0		
20.00	60.7		
25.00	65.8		
50.00	81.7		
60.00	86.6		
63.00	88.0		
70.00	90.8		
75.00	92.5		
90.00	95.7		
125.0	98.3		
200.0	100.0		
250.0	100		
400.0	100		



Volume Statistics (Arithmetic) 157.\$02

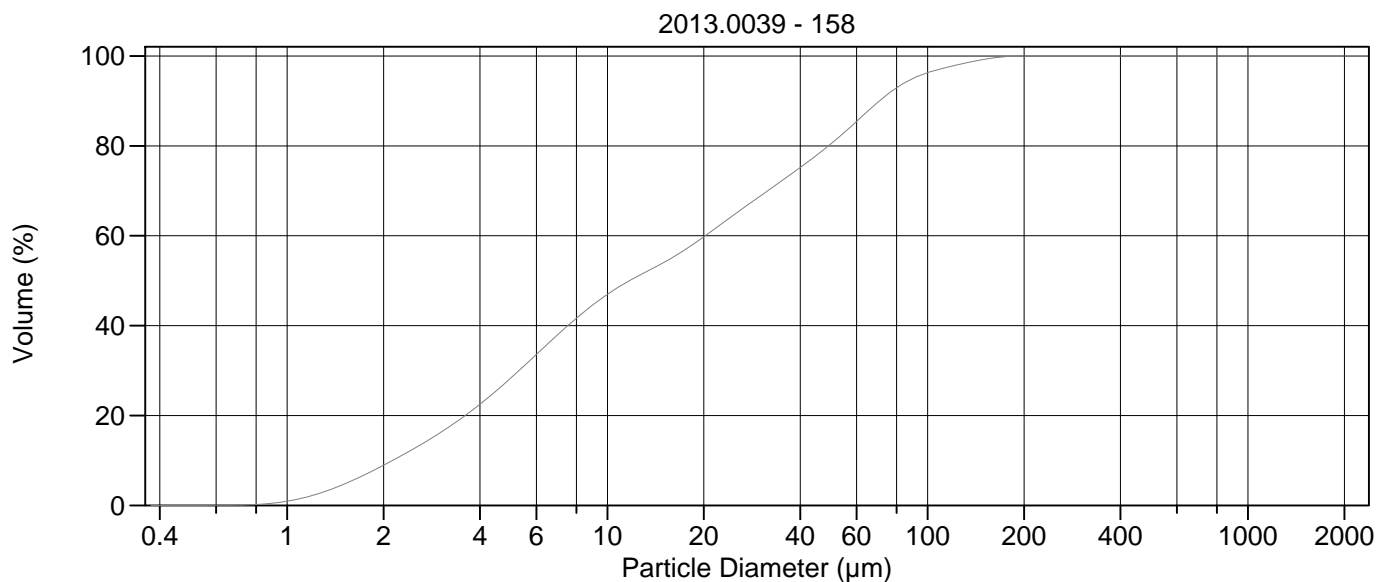
Calculations from 0.375 µm to 2000 µm

Volume	100.0%		
Mean:	28.07 µm	95% Conf. Limits:	0-93.87 µm
Median:	12.35 µm	S.D.:	33.57 µm
D(3,2):	5.926 µm	Variance:	1127 µm ²
Mean/Median Ratio:	2.273	C.V.:	120%
Mode:	60.52 µm	Skewness:	1.794 Right skewed
d ₁₀ :	2.160 µm	Kurtosis:	3.340 Leptokurtic
d ₅₀ :	12.35 µm		
d ₉₀ :	74.53 µm		
Specific Surf. Area	10125 cm ² /ml		

% <	10	25	50	75	90
Size µm	2.160	4.493	12.35	42.64	74.53

157.\$02

Particle Diameter µm	Volume % <	Particle Diameter µm	Volume % <
2.000	8.76	500.0	100
5.000	27.9	1000	100
10.00	46.2	2000	100
15.00	53.0		
20.00	58.5		
25.00	63.4		
50.00	78.9		
60.00	83.9		
63.00	85.4		
70.00	88.4		
75.00	90.2		
90.00	93.9		
125.0	97.5		
200.0	100.0		
250.0	100.0		
400.0	100		



Volume Statistics (Arithmetic) 158.\$02

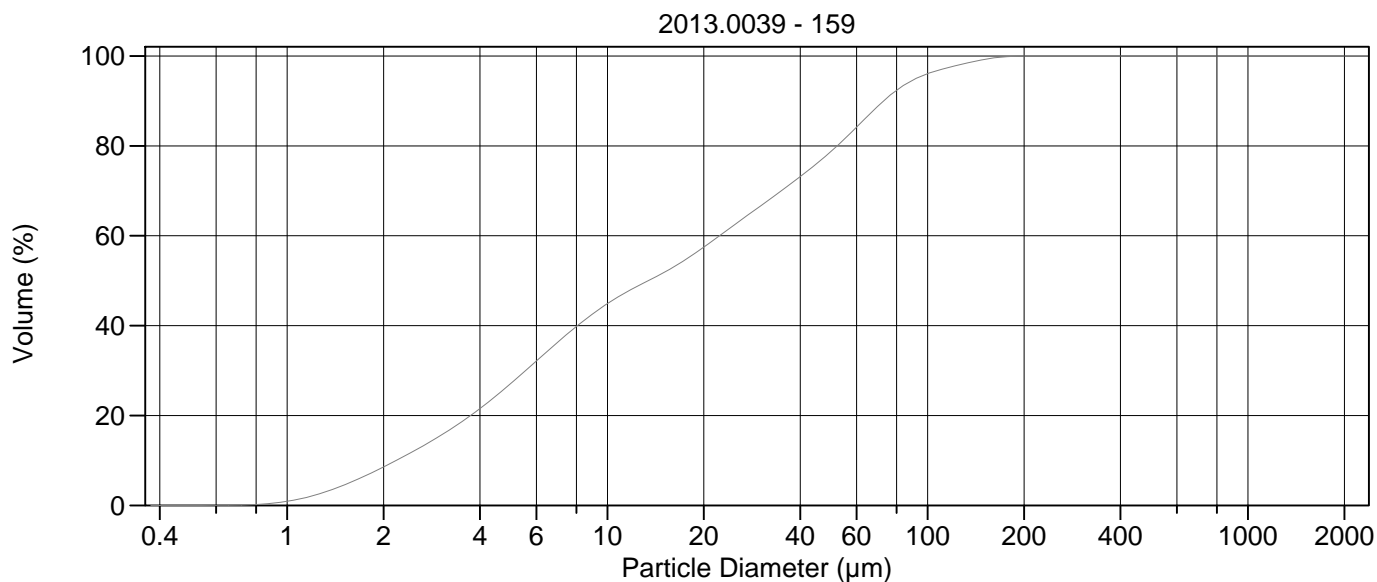
Calculations from 0.375 µm to 2000 µm

Volume	100.0%		
Mean:	26.47 µm	95% Conf. Limits:	0-88.36 µm
Median:	11.72 µm	S.D.:	31.58 µm
D(3,2):	5.817 µm	Variance:	997.2 µm ²
Mean/Median Ratio:	2.258	C.V.:	119%
Mode:	5.878 µm	Skewness:	1.834 Right skewed
d ₁₀ :	2.134 µm	Kurtosis:	3.637 Leptokurtic
d ₅₀ :	11.72 µm		
d ₉₀ :	70.66 µm		
Specific Surf. Area	10314 cm ² /ml		

% <	10	25	50	75	90
Size µm	2.134	4.417	11.72	39.62	70.66

158.\$02

Particle Diameter µm	Volume % <	Particle Diameter µm	Volume % <
2.000	8.94	500.0	100
5.000	28.4	1000	100
10.00	47.0	2000	100
15.00	54.0		
20.00	59.8		
25.00	64.8		
50.00	80.5		
60.00	85.4		
63.00	86.8		
70.00	89.8		
75.00	91.5		
90.00	95.0		
125.0	98.1		
200.0	100.0		
250.0	100		
400.0	100		



Volume Statistics (Arithmetic) 159.\$02

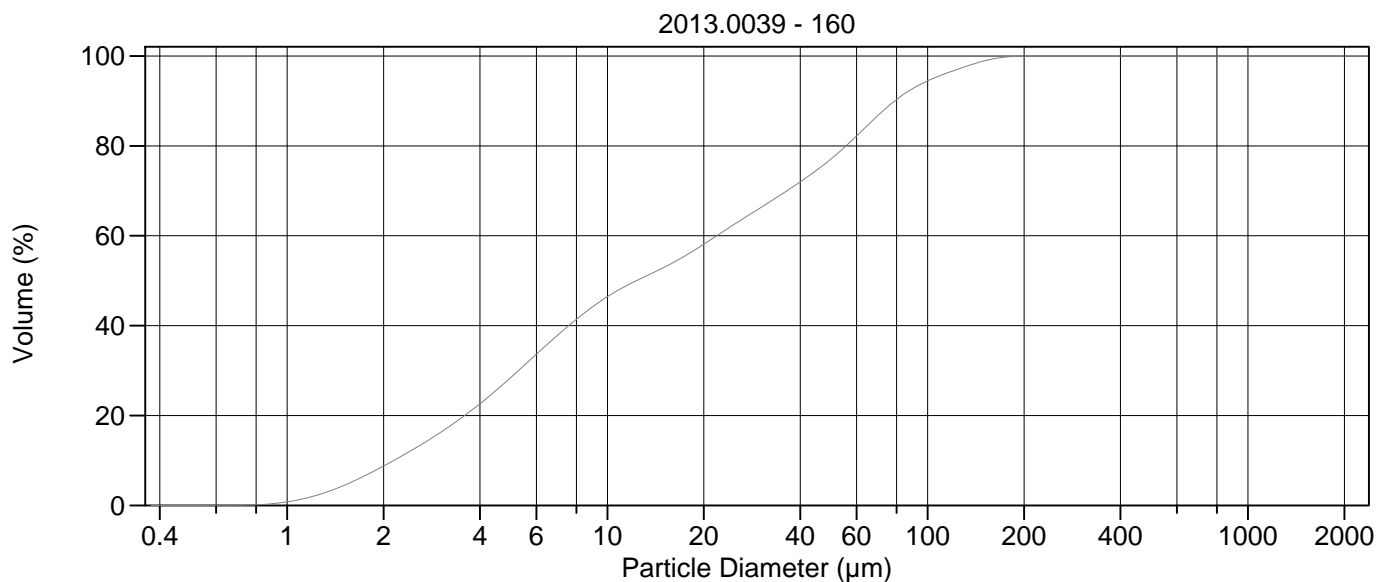
Calculations from 0.375 µm to 2000 µm

Volume	100.0%		
Mean:	27.89 µm	95% Conf. Limits:	0-91.05 µm
Median:	13.42 µm	S.D.:	32.22 µm
D(3,2):	6.041 µm	Variance:	1038 µm ²
Mean/Median Ratio:	2.079	C.V.:	116%
Mode:	60.52 µm	Skewness:	1.719 Right skewed
d ₁₀ :	2.190 µm	Kurtosis:	3.135 Leptokurtic
d ₅₀ :	13.42 µm		
d ₉₀ :	72.90 µm		
Specific Surf. Area	9932 cm ² /ml		

% <	10	25	50	75	90
Size µm	2.190	4.605	13.42	43.16	72.90

159.\$02

Particle Diameter µm	Volume % <	Particle Diameter µm	Volume % <
2.000	8.57	500.0	100
5.000	27.1	1000	100
10.00	44.9	2000	100
15.00	51.8		
20.00	57.5		
25.00	62.5		
50.00	78.8		
60.00	84.2		
63.00	85.7		
70.00	88.9		
75.00	90.8		
90.00	94.6		
125.0	98.0		
200.0	100.0		
250.0	100		
400.0	100		



Volume Statistics (Arithmetic) 160.\$02

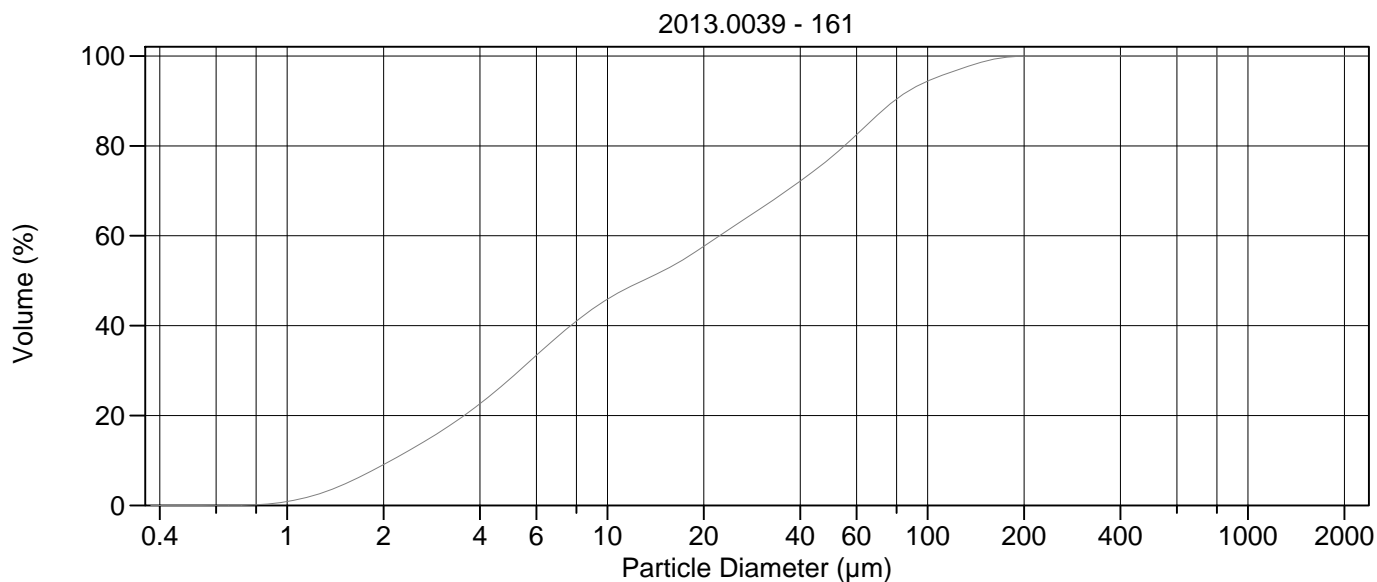
Calculations from 0.375 µm to 2000 µm

Volume	100.0%		
Mean:	29.35 µm	95% Conf. Limits:	0-98.26 µm
Median:	12.32 µm	S.D.:	35.16 µm
D(3,2):	5.928 µm	Variance:	1236 µm ²
Mean/Median Ratio:	2.383	C.V.:	120%
Mode:	66.44 µm	Skewness:	1.684 Right skewed
d ₁₀ :	2.154 µm	Kurtosis:	2.657 Leptokurtic
d ₅₀ :	12.32 µm		
d ₉₀ :	78.95 µm		
Specific Surf. Area	10122 cm ² /ml		

% <	10	25	50	75	90
Size µm	2.154	4.394	12.32	45.81	78.95

160.\$02

Particle Diameter µm	Volume % <	Particle Diameter µm	Volume % <
2.000	8.75	500.0	100
5.000	28.5	1000	100
10.00	46.4	2000	100
15.00	52.9		
20.00	58.1		
25.00	62.6		
50.00	77.1		
60.00	82.2		
63.00	83.7		
70.00	86.8		
75.00	88.7		
90.00	92.8		
125.0	97.1		
200.0	100.0		
250.0	100		
400.0	100		



Volume Statistics (Arithmetic) 161.\$02

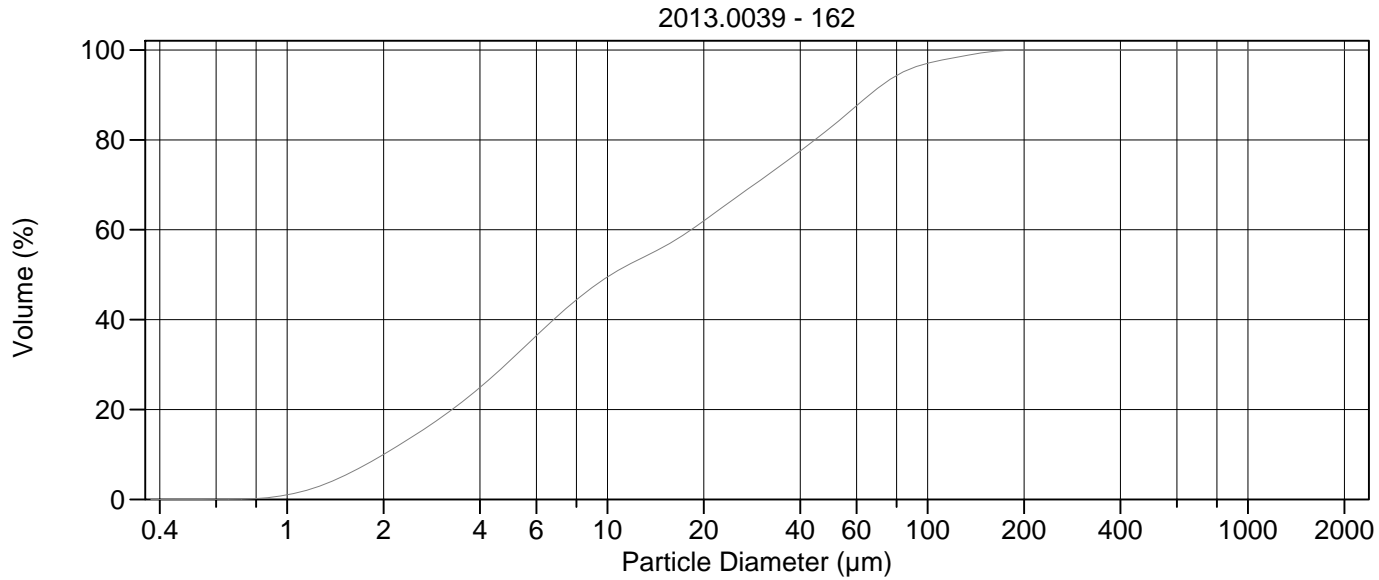
Calculations from 0.375 µm to 2000 µm

Volume	100.0%		
Mean:	29.46 µm	95% Conf. Limits:	0-98.76 µm
Median:	12.88 µm	S.D.:	35.36 µm
D(3,2):	5.893 µm	Variance:	1250 µm ²
Mean/Median Ratio:	2.287	C.V.:	120%
Mode:	60.52 µm	Skewness:	1.731 Right skewed
d ₁₀ :	2.115 µm	Kurtosis:	2.919 Leptokurtic
d ₅₀ :	12.88 µm		
d ₉₀ :	78.63 µm		
Specific Surf. Area	10181 cm ² /ml		

% <	10	25	50	75	90
Size µm	2.115	4.404	12.88	45.24	78.63

161.\$02

Particle Diameter µm	Volume % <	Particle Diameter µm	Volume % <
2.000	9.07	500.0	100
5.000	28.3	1000	100
10.00	45.9	2000	100
15.00	52.3		
20.00	57.6		
25.00	62.3		
50.00	77.5		
60.00	82.5		
63.00	83.9		
70.00	87.0		
75.00	88.8		
90.00	92.8		
125.0	97.0		
200.0	100.0		
250.0	100.0		
400.0	100		



Volume Statistics (Arithmetic)

162#.\$02

Calculations from 0.375 µm to 2000 µm

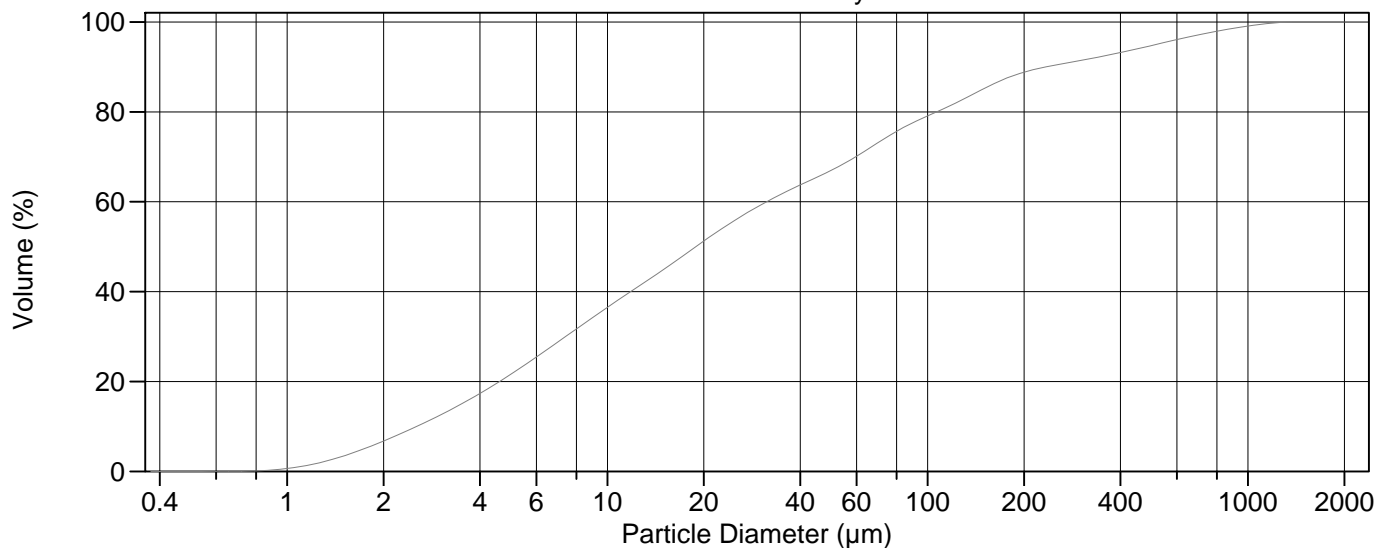
Volume	100.0%		
Mean:	24.34 µm	95% Conf. Limits:	0-82.42 µm
Median:	10.28 µm	S.D.:	29.63 µm
D(3,2):	5.424 µm	Variance:	878.2 µm ²
Mean/Median Ratio:	2.367	C.V.:	122%
Mode:	5.878 µm	Skewness:	1.940 Right skewed
d ₁₀ :	1.998 µm	Kurtosis:	4.290 Leptokurtic
d ₅₀ :	10.28 µm		
d ₉₀ :	65.84 µm		
Specific Surf. Area	11061 cm ² /ml		

% <	10	25	50	75	90
Size µm	1.998	4.012	10.28	35.85	65.84

162#.\$02

Particle Diameter µm	Volume % <	Particle Diameter µm	Volume % <
2.000	10.0	500.0	100
5.000	31.1	1000	100
10.00	49.5	2000	100
15.00	56.2		
20.00	62.0		
25.00	67.0		
50.00	82.9		
60.00	87.6		
63.00	88.9		
70.00	91.6		
75.00	93.1		
90.00	96.0		
125.0	98.5		
200.0	100.0		
250.0	100		
400.0	100		

2013.0039 - stand. Hynne



Volume Statistics (Arithmetic) 163.\$02

Calculations from 0.375 µm to 2000 µm

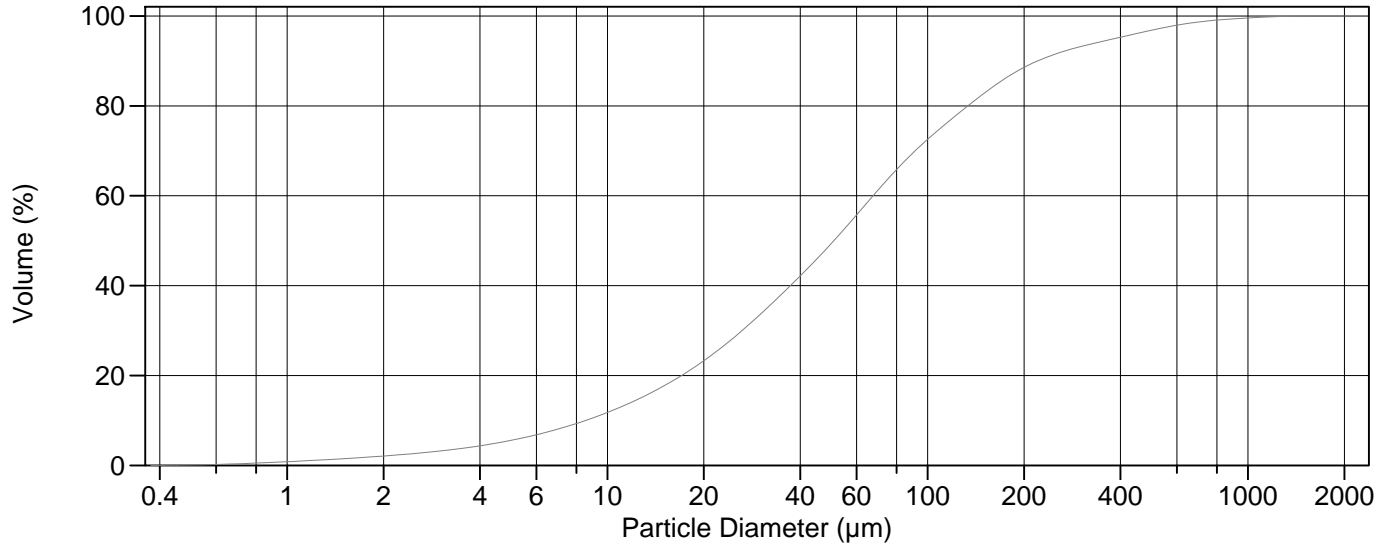
Volume	100.0%		
Mean:	91.26 µm	95% Conf. Limits:	0-459.1 µm
Median:	18.88 µm	S.D.:	187.7 µm
D(3,2):	7.359 µm	Variance:	35221 µm ²
Mean/Median Ratio:	4.834	C.V.:	206%
Mode:	18.00 µm	Skewness:	3.445 Right skewed
d ₁₀ :	2.538 µm	Kurtosis:	12.96 Leptokurtic
d ₅₀ :	18.88 µm		
d ₉₀ :	233.8 µm		
Specific Surf. Area	8153 cm ² /ml		

% <	10	25	50	75	90
Size µm	2.538	5.881	18.88	77.00	233.8

163.\$02

Particle Diameter µm	Volume % <	Particle Diameter µm	Volume % <
2.000	6.76	500.0	94.8
5.000	21.6	1000	99.1
10.00	36.5	2000	100
15.00	44.9		
20.00	51.2		
25.00	55.9		
50.00	67.0		
60.00	70.1		
63.00	71.1		
70.00	73.2		
75.00	74.5		
90.00	77.6		
125.0	82.3		
200.0	88.8		
250.0	90.4		
400.0	93.2		

2013.0039 - stand. MINN



Volume Statistics (Arithmetic) 164.\$02

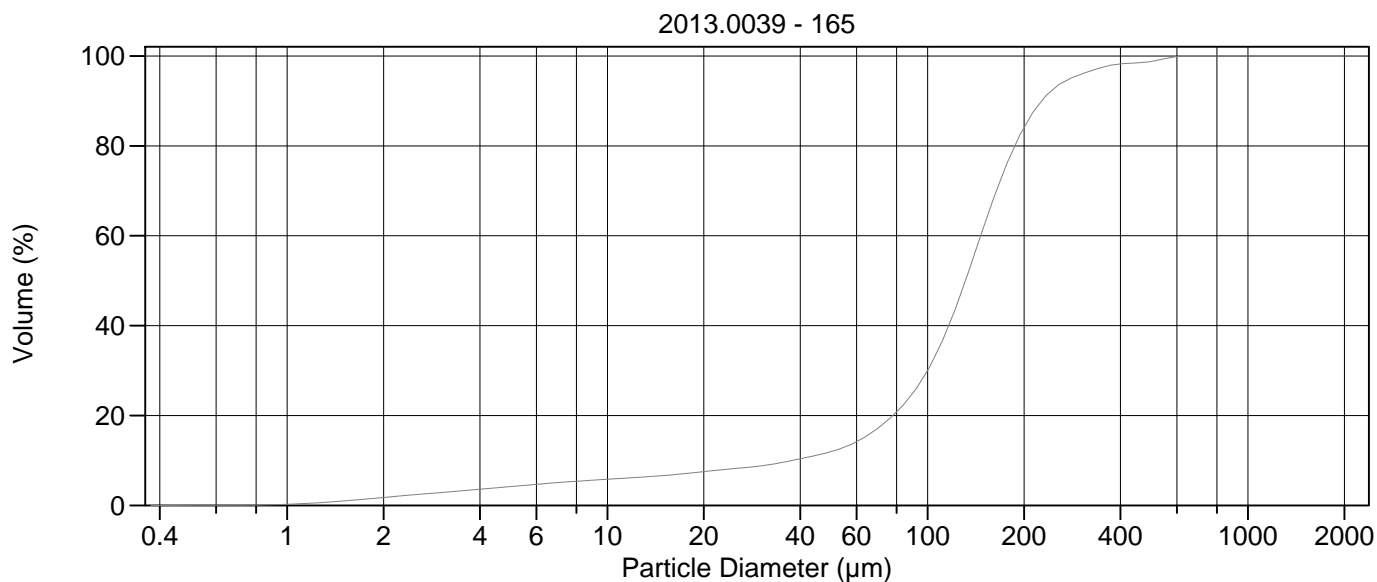
Calculations from 0.375 µm to 2000 µm

Volume	100.0%		
Mean:	98.63 µm	95% Conf. Limits:	0-389.6 µm
Median:	51.00 µm	S.D.:	148.4 µm
D(3,2):	16.32 µm	Variance:	22034 µm ²
Mean/Median Ratio:	1.934	C.V.:	151%
Mode:	66.44 µm	Skewness:	3.788 Right skewed
d ₁₀ :	8.553 µm	Kurtosis:	18.95 Leptokurtic
d ₅₀ :	51.00 µm		
d ₉₀ :	220.8 µm		
Specific Surf. Area	3677 cm ² /ml		

% <	10	25	50	75	90
Size µm	8.553	21.57	51.00	109.6	220.8

164.\$02

Particle Diameter µm	Volume % <	Particle Diameter µm	Volume % <
2.000	2.09	500.0	96.8
5.000	5.57	1000	99.6
10.00	11.8	2000	100
15.00	17.7		
20.00	23.3		
25.00	28.6		
50.00	49.3		
60.00	55.7		
63.00	57.5		
70.00	61.3		
75.00	63.7		
90.00	69.5		
125.0	78.4		
200.0	88.5		
250.0	91.5		
400.0	95.3		



Volume Statistics (Arithmetic) 165.\$02

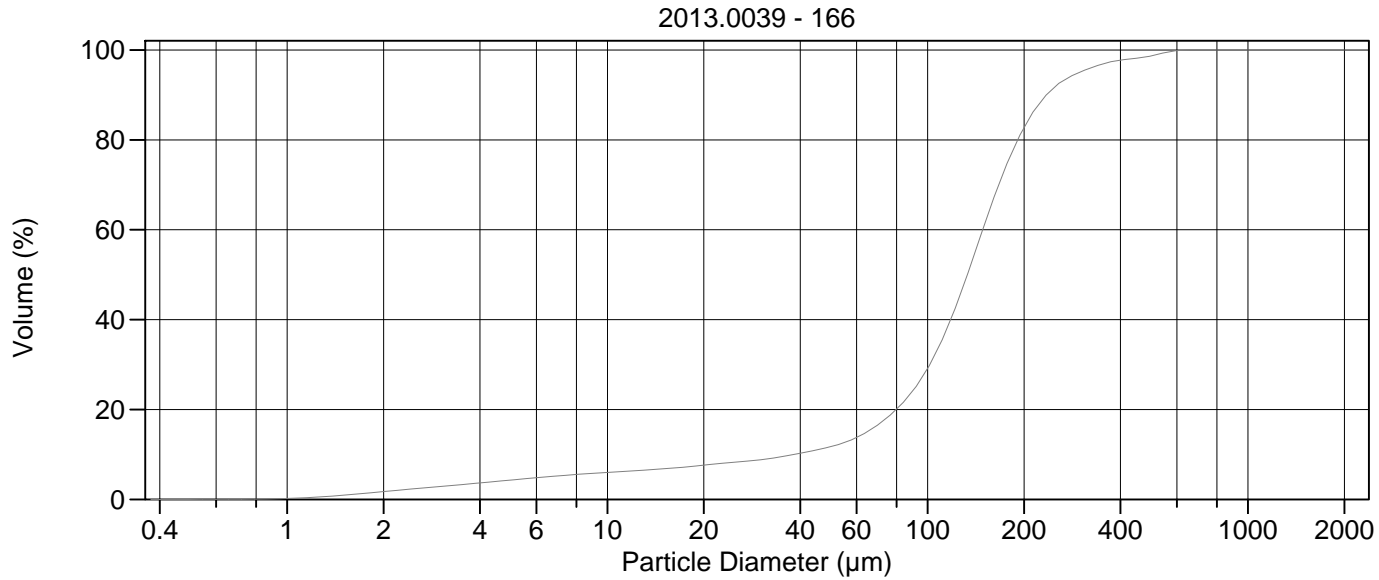
Calculations from 0.375 μm to 2000 μm

Volume	100.0%		
Mean:	138.8 μm	95% Conf. Limits:	0-309.7 μm
Median:	131.2 μm	S.D.:	87.17 μm
D(3,2):	30.25 μm	Variance:	7599 μm^2
Mean/Median Ratio:	1.058	C.V.:	62.8%
Mode:	140.1 μm	Skewness:	1.682 Right skewed
d ₁₀ :	37.80 μm	Kurtosis:	5.985 Leptokurtic
d ₅₀ :	131.2 μm		
d ₉₀ :	227.3 μm		
Specific Surf. Area	1984 cm^2/ml		

% <	10	25	50	75	90
Size μm	37.80	89.86	131.2	174.4	227.3

165.\$02

Particle Diameter μm	Volume % <	Particle Diameter μm	Volume % <
2.000	1.76	500.0	98.8
5.000	4.19	1000	100
10.00	5.82	2000	100
15.00	6.65		
20.00	7.50		
25.00	8.20		
50.00	12.0		
60.00	14.2		
63.00	15.0		
70.00	17.2		
75.00	19.0		
90.00	25.1		
125.0	45.8		
200.0	84.0		
250.0	92.9		
400.0	98.2		



Volume Statistics (Arithmetic) 166.\$02

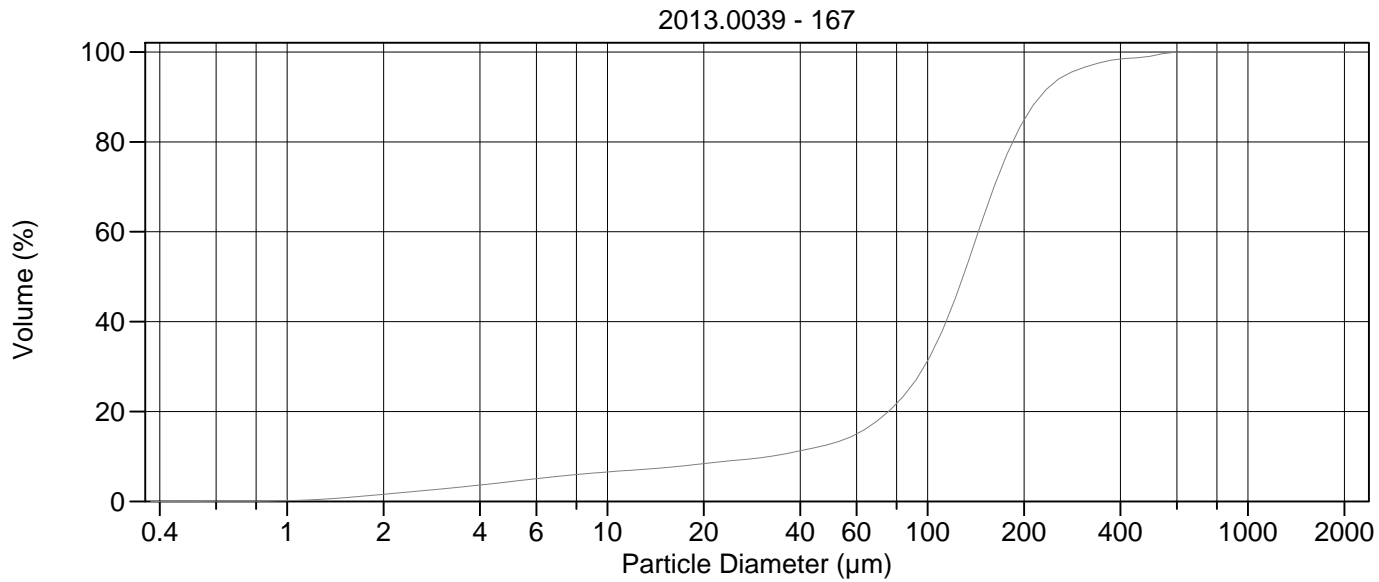
Calculations from 0.375 µm to 2000 µm

Volume	100.0%		
Mean:	142.4 µm	95% Conf. Limits:	0-320.5 µm
Median:	133.0 µm	S.D.:	90.90 µm
D(3,2):	30.36 µm	Variance:	8263 µm ²
Mean/Median Ratio:	1.071	C.V.:	63.8%
Mode:	140.1 µm	Skewness:	1.641 Right skewed
d ₁₀ :	38.17 µm	Kurtosis:	5.233 Leptokurtic
d ₅₀ :	133.0 µm		
d ₉₀ :	234.4 µm		
Specific Surf. Area	1976 cm ² /ml		

% <	10	25	50	75	90
Size µm	38.17	91.75	133.0	177.4	234.4

166.\$02

Particle Diameter µm	Volume % <	Particle Diameter µm	Volume % <
2.000	1.73	500.0	98.7
5.000	4.30	1000	100
10.00	6.01	2000	100
15.00	6.81		
20.00	7.62		
25.00	8.29		
50.00	11.8		
60.00	13.8		
63.00	14.6		
70.00	16.6		
75.00	18.3		
90.00	24.2		
125.0	44.6		
200.0	82.6		
250.0	91.8		
400.0	97.7		



Volume Statistics (Arithmetic) 167.\$02

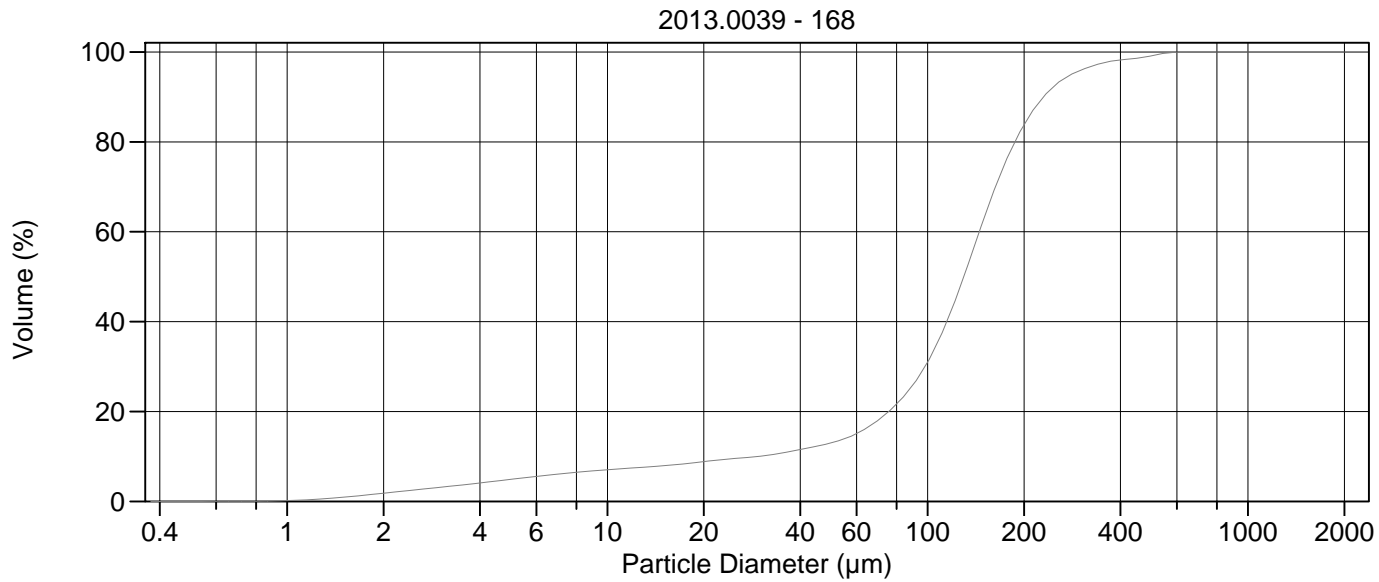
Calculations from 0.375 µm to 2000 µm

Volume	100.0%		
Mean:	135.4 µm	95% Conf. Limits:	0-300.7 µm
Median:	129.0 µm	S.D.:	84.33 µm
D(3,2):	30.10 µm	Variance:	7112 µm ²
Mean/Median Ratio:	1.050	C.V.:	62.3%
Mode:	140.1 µm	Skewness:	1.491 Right skewed
d ₁₀ :	32.16 µm	Kurtosis:	5.086 Leptokurtic
d ₅₀ :	129.0 µm		
d ₉₀ :	224.5 µm		
Specific Surf. Area	1993 cm ² /ml		

% <	10	25	50	75	90
Size µm	32.16	87.47	129.0	171.9	224.5

167.\$02

Particle Diameter µm	Volume % <	Particle Diameter µm	Volume % <
2.000	1.57	500.0	99.1
5.000	4.41	1000	100
10.00	6.55	2000	100
15.00	7.49		
20.00	8.41		
25.00	9.14		
50.00	12.8		
60.00	15.0		
63.00	15.8		
70.00	18.1		
75.00	19.9		
90.00	26.2		
125.0	47.3		
200.0	84.8		
250.0	93.3		
400.0	98.4		



Volume Statistics (Arithmetic) 168.\$02

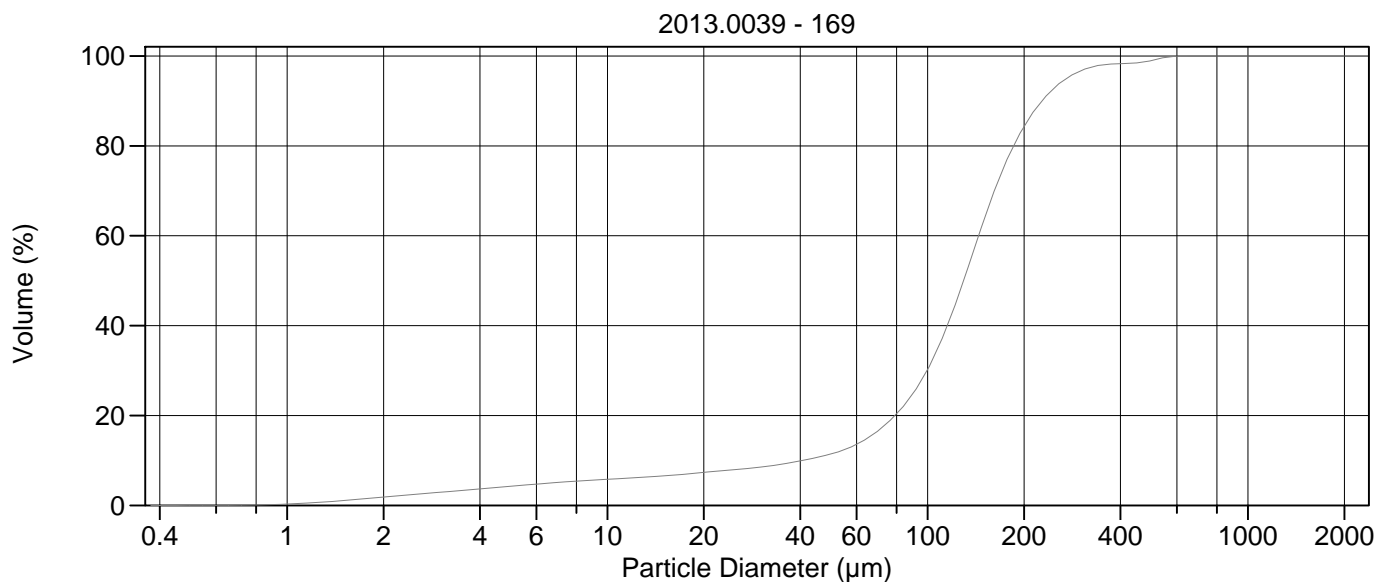
Calculations from 0.375 µm to 2000 µm

Volume	100.0%		
Mean:	137.0 µm	95% Conf. Limits:	0-306.5 µm
Median:	129.6 µm	S.D.:	86.48 µm
D(3,2):	28.07 µm	Variance:	7479 µm ²
Mean/Median Ratio:	1.056	C.V.:	63.1%
Mode:	140.1 µm	Skewness:	1.430 Right skewed
d ₁₀ :	29.45 µm	Kurtosis:	4.509 Leptokurtic
d ₅₀ :	129.6 µm		
d ₉₀ :	230.1 µm		
Specific Surf. Area	2137 cm ² /ml		

% <	10	25	50	75	90
Size µm	29.45	87.87	129.6	173.8	230.1

168.\$02

Particle Diameter µm	Volume % <	Particle Diameter µm	Volume % <
2.000	1.83	500.0	99.1
5.000	4.91	1000	100
10.00	7.04	2000	100
15.00	7.95		
20.00	8.85		
25.00	9.55		
50.00	13.0		
60.00	15.1		
63.00	15.9		
70.00	18.1		
75.00	19.8		
90.00	26.0		
125.0	46.8		
200.0	83.7		
250.0	92.6		
400.0	98.2		



Volume Statistics (Arithmetic) 169#.\$02

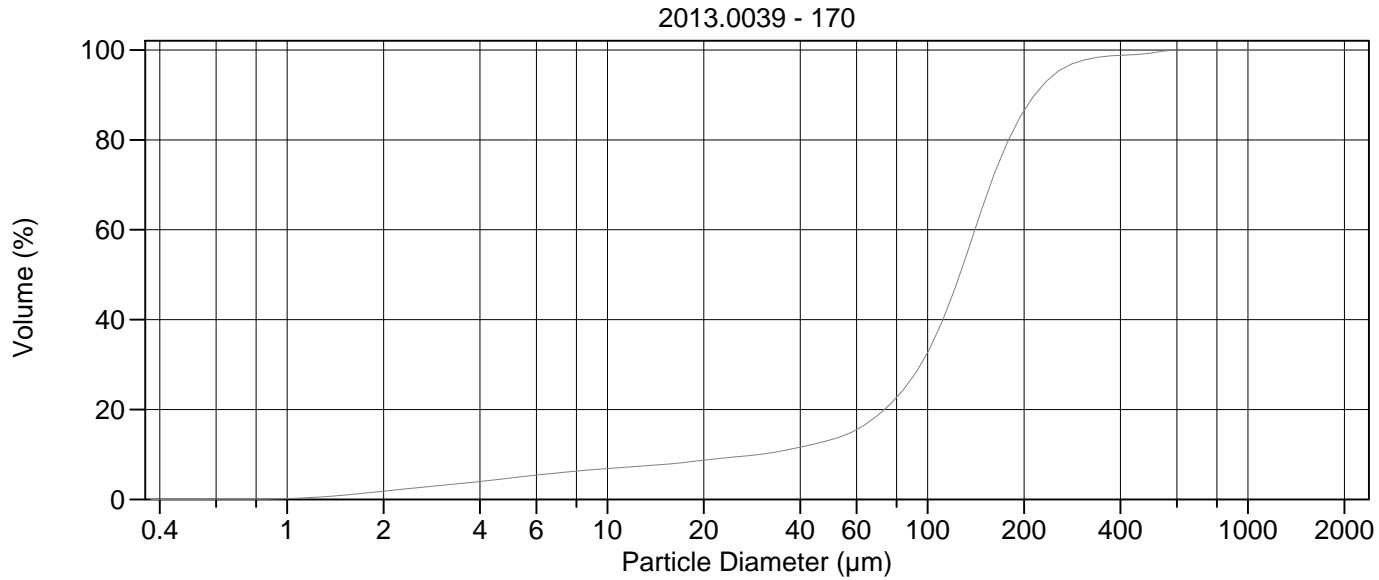
Calculations from 0.375 µm to 2000 µm

Volume	100.0%		
Mean:	137.2 µm	95% Conf. Limits:	0-301.6 µm
Median:	129.5 µm	S.D.:	83.88 µm
D(3,2):	29.54 µm	Variance:	7036 µm ²
Mean/Median Ratio:	1.060	C.V.:	61.1%
Mode:	140.1 µm	Skewness:	1.588 Right skewed
d ₁₀ :	40.51 µm	Kurtosis:	5.622 Leptokurtic
d ₅₀ :	129.5 µm		
d ₉₀ :	227.9 µm		
Specific Surf. Area	2031 cm ² /ml		

% <	10	25	50	75	90
Size µm	40.51	90.15	129.5	172.4	227.9

169#.\$02

Particle Diameter µm	Volume % <	Particle Diameter µm	Volume % <
2.000	1.86	500.0	99.0
5.000	4.26	1000	100
10.00	5.81	2000	100
15.00	6.57		
20.00	7.34		
25.00	7.97		
50.00	11.5		
60.00	13.6		
63.00	14.4		
70.00	16.6		
75.00	18.4		
90.00	24.9		
125.0	46.9		
200.0	84.2		
250.0	93.0		
400.0	98.3		



Volume Statistics (Arithmetic) 170.\$02

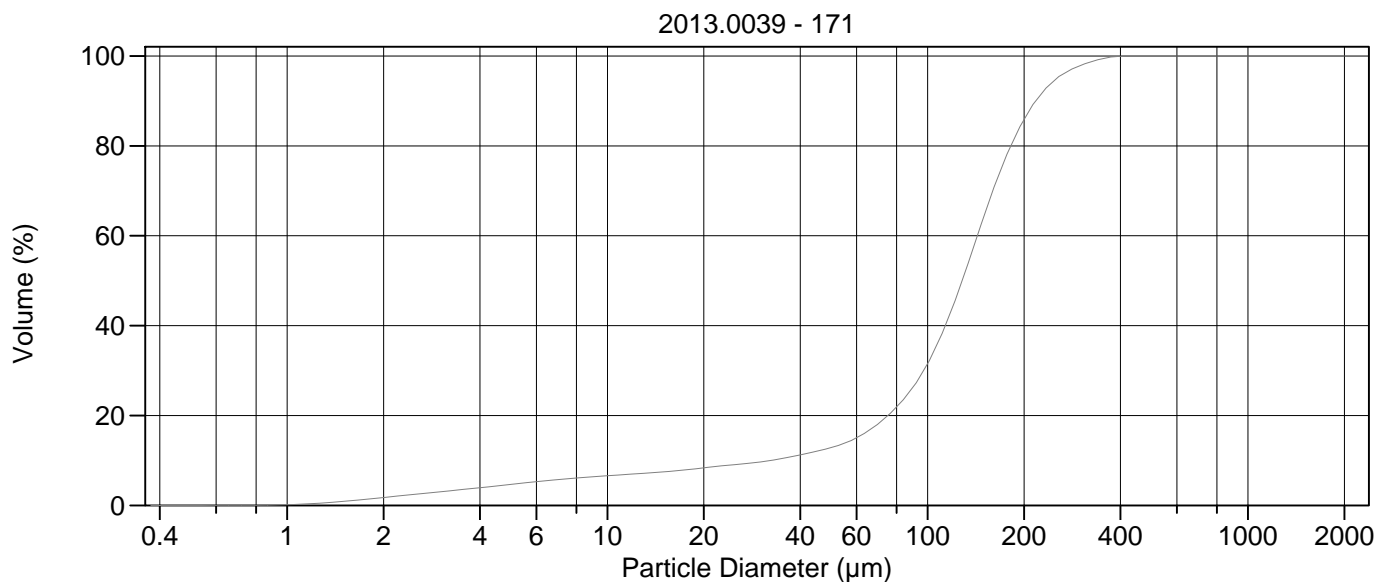
Calculations from 0.375 µm to 2000 µm

Volume	100.0%		
Mean:	130.3 µm	95% Conf. Limits:	0-284.8 µm
Median:	126.0 µm	S.D.:	78.85 µm
D(3,2):	28.14 µm	Variance:	6217 µm ²
Mean/Median Ratio:	1.034	C.V.:	60.5%
Mode:	140.1 µm	Skewness:	1.393 Right skewed
d ₁₀ :	30.00 µm	Kurtosis:	5.331 Leptokurtic
d ₅₀ :	126.0 µm		
d ₉₀ :	216.0 µm		
Specific Surf. Area	2133 cm ² /ml		

% <	10	25	50	75	90
Size µm	30.00	85.21	126.0	167.2	216.0

170.\$02

Particle Diameter µm	Volume % <	Particle Diameter µm	Volume % <
2.000	1.83	500.0	99.4
5.000	4.76	1000	100
10.00	6.86	2000	100
15.00	7.79		
20.00	8.73		
25.00	9.46		
50.00	13.3		
60.00	15.5		
63.00	16.4		
70.00	18.8		
75.00	20.7		
90.00	27.3		
125.0	49.3		
200.0	86.4		
250.0	94.7		
400.0	98.8		



Volume Statistics (Arithmetic) 171.\$02

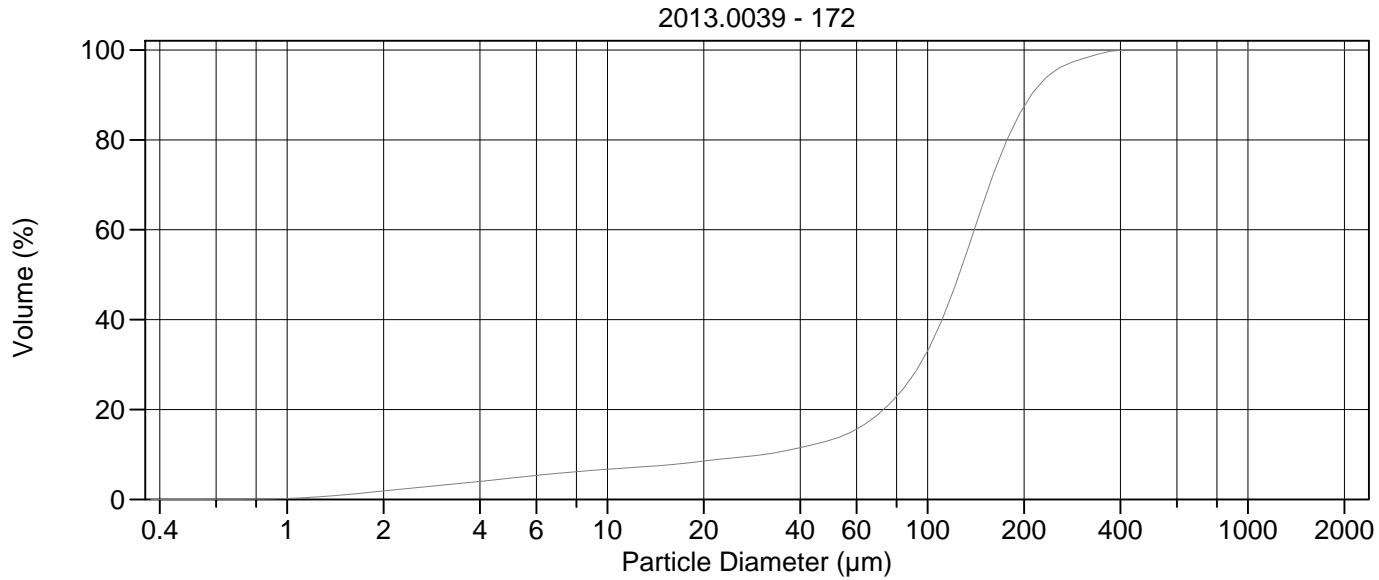
Calculations from 0.375 µm to 2000 µm

Volume	100.0%		
Mean:	130.0 µm	95% Conf. Limits:	0-268.4 µm
Median:	128.1 µm	S.D.:	70.60 µm
D(3,2):	28.92 µm	Variance:	4984 µm ²
Mean/Median Ratio:	1.015	C.V.:	54.3%
Mode:	140.1 µm	Skewness:	0.419 Right skewed
d ₁₀ :	32.44 µm	Kurtosis:	0.583 Leptokurtic
d ₅₀ :	128.1 µm		
d ₉₀ :	217.8 µm		
Specific Surf. Area	2074 cm ² /ml		

% <	10	25	50	75	90
Size µm	32.44	87.12	128.1	170.1	217.8

171.\$02

Particle Diameter µm	Volume % <	Particle Diameter µm	Volume % <
2.000	1.76	500.0	100
5.000	4.68	1000	100
10.00	6.60	2000	100
15.00	7.46		
20.00	8.36		
25.00	9.08		
50.00	12.9		
60.00	15.1		
63.00	15.9		
70.00	18.1		
75.00	20.0		
90.00	26.3		
125.0	47.8		
200.0	85.8		
250.0	94.7		
400.0	99.9		



Volume Statistics (Arithmetic) 172.\$02

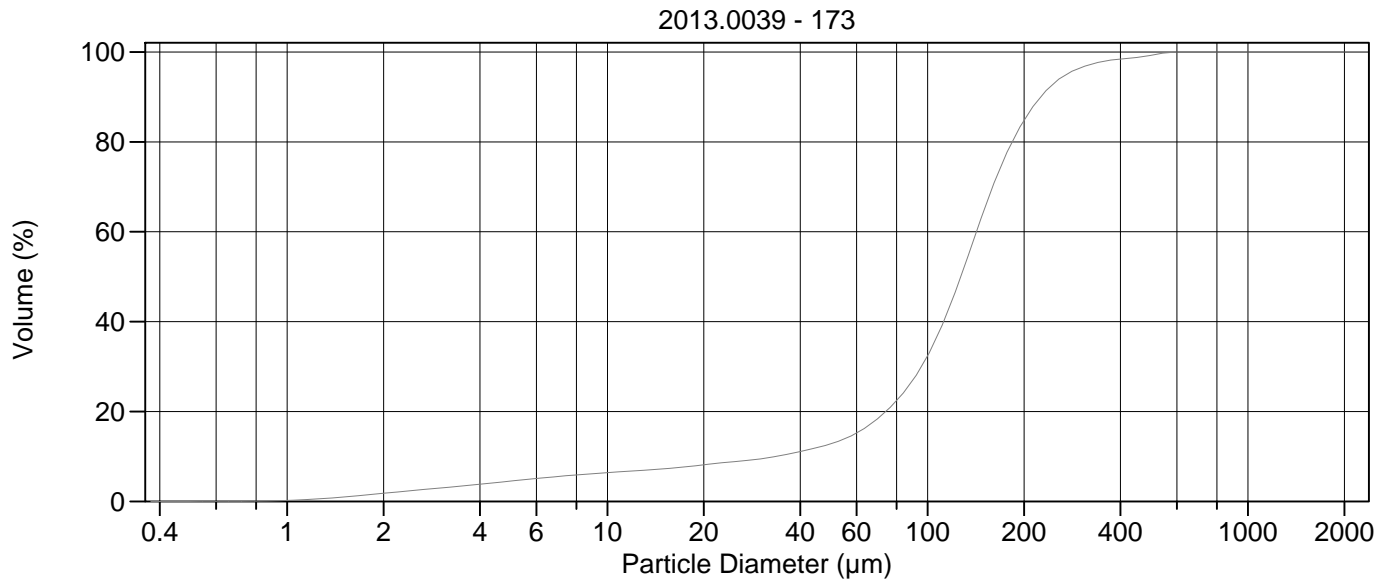
Calculations from 0.375 µm to 2000 µm

Volume	100.0%		
Mean:	126.9 µm	95% Conf. Limits:	0-263.4 µm
Median:	125.3 µm	S.D.:	69.63 µm
D(3,2):	27.97 µm	Variance:	4849 µm ²
Mean/Median Ratio:	1.013	C.V.:	54.9%
Mode:	140.1 µm	Skewness:	0.492 Right skewed
d ₁₀ :	30.88 µm	Kurtosis:	0.847 Leptokurtic
d ₅₀ :	125.3 µm		
d ₉₀ :	210.9 µm		
Specific Surf. Area	2145 cm ² /ml		

% <	10	25	50	75	90
Size µm	30.88	84.64	125.3	165.9	210.9

172.\$02

Particle Diameter µm	Volume % <	Particle Diameter µm	Volume % <
2.000	1.89	500.0	100
5.000	4.73	1000	100
10.00	6.70	2000	100
15.00	7.60		
20.00	8.53		
25.00	9.28		
50.00	13.3		
60.00	15.6		
63.00	16.5		
70.00	18.9		
75.00	20.9		
90.00	27.6		
125.0	49.8		
200.0	87.4		
250.0	95.4		
400.0	99.9		



Volume Statistics (Arithmetic)

173#.\$02

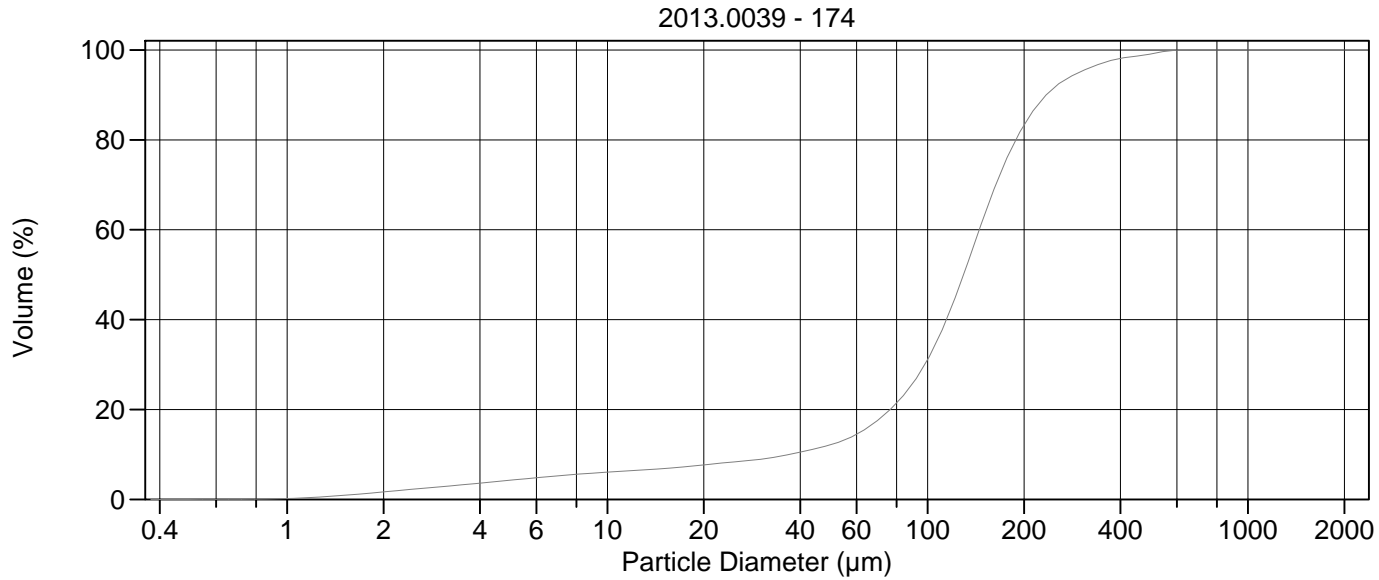
Calculations from 0.375 µm to 2000 µm

Volume	100.0%	95% Conf. Limits:	0-297.5 µm
Mean:	134.0 µm	S.D.:	83.42 µm
Median:	126.9 µm	Variance:	6959 µm ²
D(3,2):	28.92 µm	C.V.:	62.2%
Mean/Median Ratio:	1.056	Skewness:	1.440 Right skewed
Mode:	140.1 µm	Kurtosis:	4.707 Leptokurtic
d ₁₀ :	33.58 µm		
d ₅₀ :	126.9 µm		
d ₉₀ :	225.8 µm		
Specific Surf. Area	2075 cm ² /ml		

% <	10	25	50	75	90
Size µm	33.58	85.71	126.9	170.6	225.8

173#.\$02

Particle Diameter µm	Volume % <	Particle Diameter µm	Volume % <
2.000	1.80	500.0	99.3
5.000	4.52	1000	100
10.00	6.39	2000	100
15.00	7.26		
20.00	8.14		
25.00	8.87		
50.00	12.8		
60.00	15.2		
63.00	16.1		
70.00	18.5		
75.00	20.4		
90.00	27.1		
125.0	48.7		
200.0	84.7		
250.0	93.2		
400.0	98.4		



Volume Statistics (Arithmetic) 174.\$02

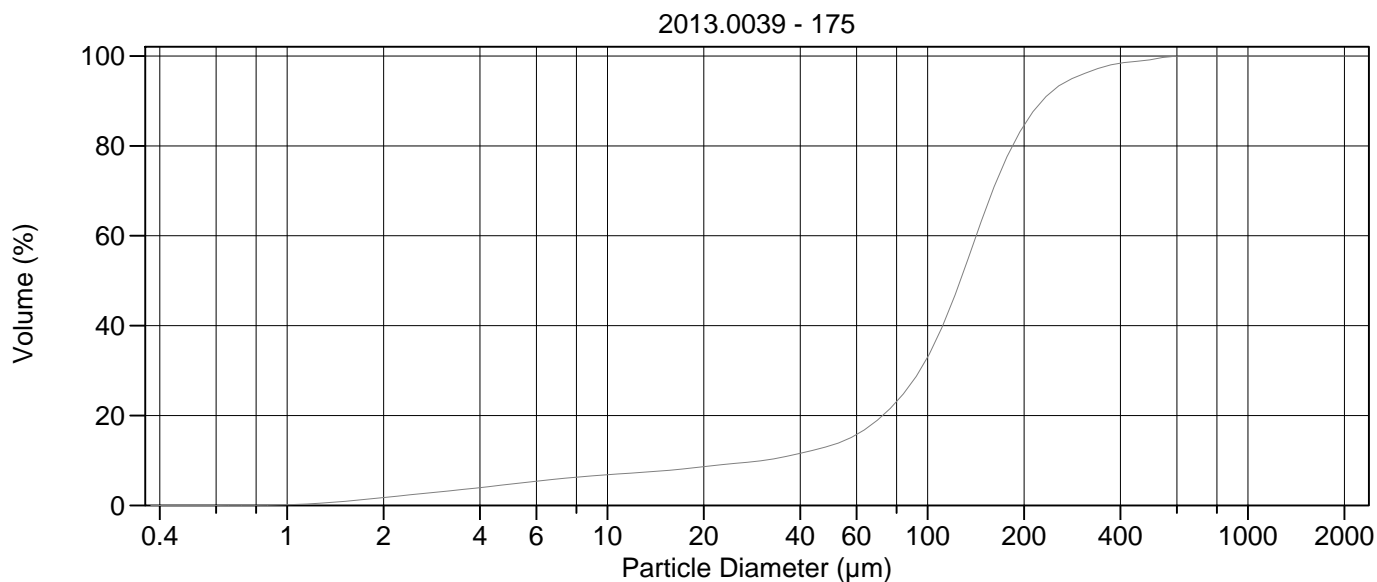
Calculations from 0.375 µm to 2000 µm

Volume	100.0%		
Mean:	138.9 µm	95% Conf. Limits:	0-311.1 µm
Median:	129.4 µm	S.D.:	87.84 µm
D(3,2):	30.42 µm	Variance:	7717 µm ²
Mean/Median Ratio:	1.073	C.V.:	63.2%
Mode:	140.1 µm	Skewness:	1.462 Right skewed
d ₁₀ :	36.96 µm	Kurtosis:	4.256 Leptokurtic
d ₅₀ :	129.4 µm		
d ₉₀ :	234.3 µm		
Specific Surf. Area	1972 cm ² /ml		

% <	10	25	50	75	90
Size µm	36.96	88.00	129.4	174.5	234.3

174.\$02

Particle Diameter µm	Volume % <	Particle Diameter µm	Volume % <
2.000	1.67	500.0	99.1
5.000	4.28	1000	100
10.00	6.06	2000	100
15.00	6.86		
20.00	7.68		
25.00	8.36		
50.00	12.2		
60.00	14.5		
63.00	15.3		
70.00	17.7		
75.00	19.5		
90.00	25.9		
125.0	47.0		
200.0	83.2		
250.0	91.8		
400.0	98.1		



Volume Statistics (Arithmetic) 175.\$02

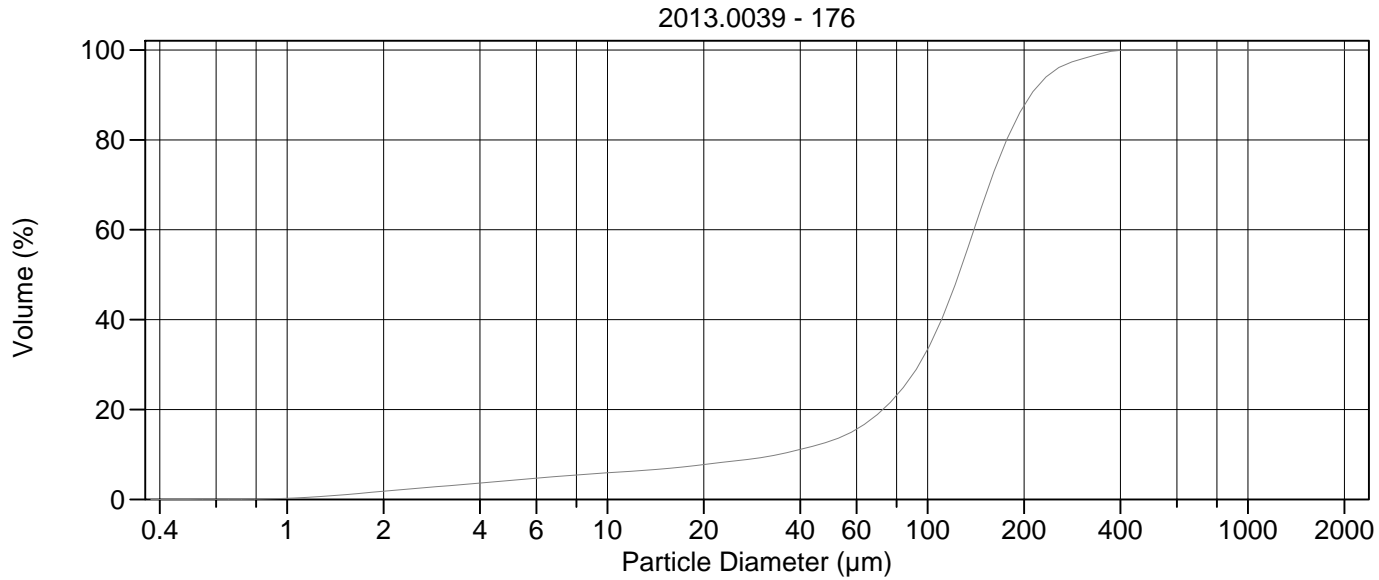
Calculations from 0.375 µm to 2000 µm

Volume	100.0%	95% Conf. Limits:	0-302.6 µm
Mean:	134.4 µm	S.D.:	85.85 µm
Median:	126.5 µm	Variance:	7370 µm ²
D(3,2):	28.66 µm	C.V.:	63.9%
Mean/Median Ratio:	1.063	Skewness:	1.446 Right skewed
Mode:	140.1 µm	Kurtosis:	4.449 Leptokurtic
d ₁₀ :	30.59 µm		
d ₅₀ :	126.5 µm		
d ₉₀ :	228.0 µm		
Specific Surf. Area	2093 cm ² /ml		

% <	10	25	50	75	90
Size µm	30.59	84.35	126.5	170.8	228.0

175.\$02

Particle Diameter µm	Volume % <	Particle Diameter µm	Volume % <
2.000	1.75	500.0	99.2
5.000	4.74	1000	100
10.00	6.83	2000	100
15.00	7.71		
20.00	8.61		
25.00	9.35		
50.00	13.4		
60.00	15.8		
63.00	16.7		
70.00	19.1		
75.00	21.0		
90.00	27.7		
125.0	49.0		
200.0	84.5		
250.0	92.7		
400.0	98.4		



Volume Statistics (Arithmetic)

176#.\$02

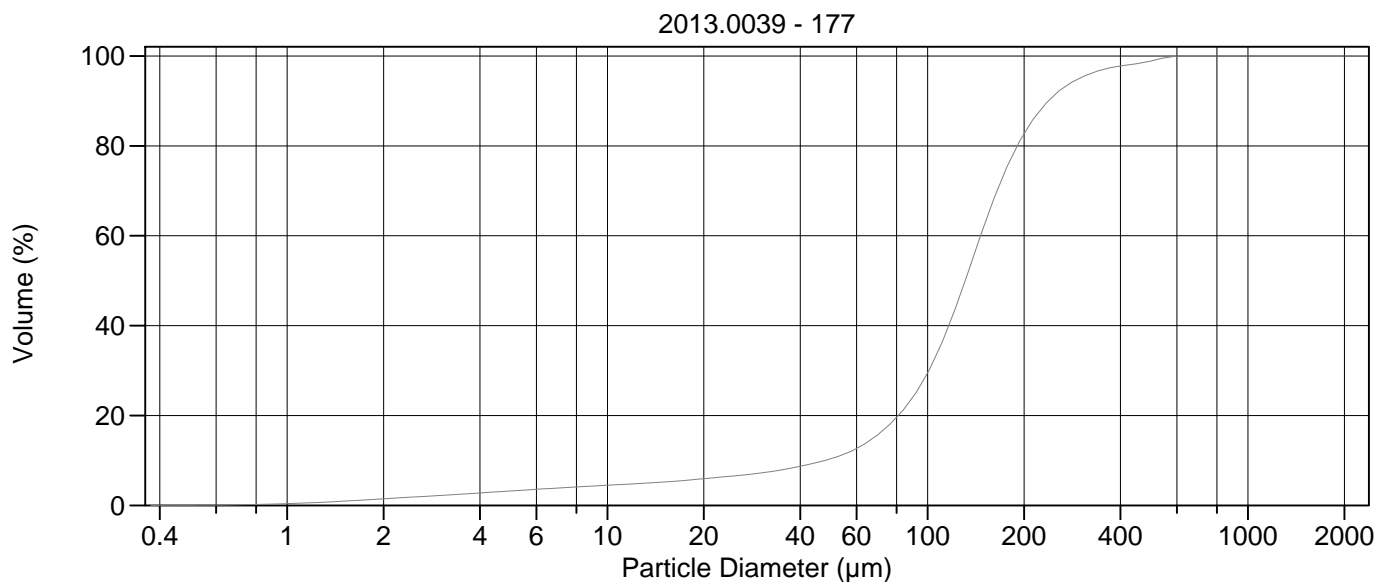
Calculations from 0.375 µm to 2000 µm

Volume	100.0%		
Mean:	126.8 µm	95% Conf. Limits:	0-262.2 µm
Median:	125.0 µm	S.D.:	69.07 µm
D(3,2):	29.32 µm	Variance:	4771 µm ²
Mean/Median Ratio:	1.015	C.V.:	54.5%
Mode:	140.1 µm	Skewness:	0.527 Right skewed
d ₁₀ :	34.15 µm	Kurtosis:	0.926 Leptokurtic
d ₅₀ :	125.0 µm		
d ₉₀ :	210.2 µm		
Specific Surf. Area	2047 cm ² /ml		

% <	10	25	50	75	90
Size µm	34.15	84.13	125.0	165.5	210.2

176#.\$02

Particle Diameter µm	Volume % <	Particle Diameter µm	Volume % <
2.000	1.82	500.0	100
5.000	4.22	1000	100
10.00	5.91	2000	100
15.00	6.81		
20.00	7.75		
25.00	8.57		
50.00	13.1		
60.00	15.6		
63.00	16.5		
70.00	19.0		
75.00	21.0		
90.00	27.9		
125.0	50.0		
200.0	87.5		
250.0	95.5		
400.0	99.9		



Volume Statistics (Arithmetic)

177#.\$02

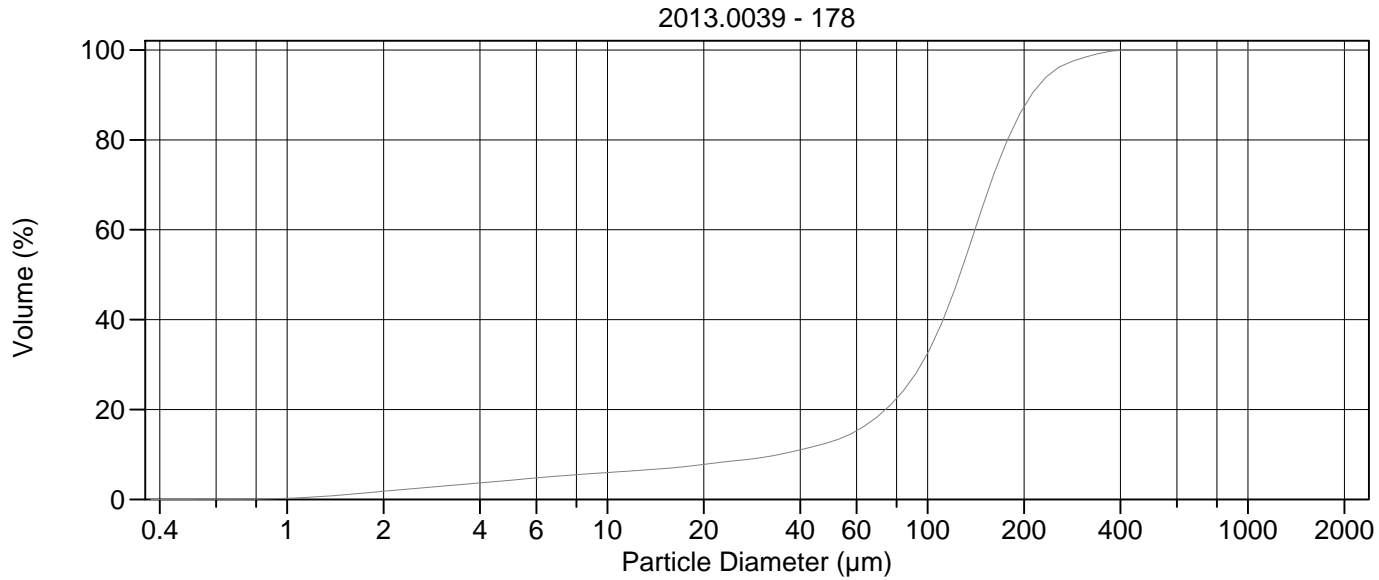
Calculations from 0.375 µm to 2000 µm

Volume	100.0%		
Mean:	142.4 µm	95% Conf. Limits:	0-316.0 µm
Median:	130.9 µm	S.D.:	88.54 µm
D(3,2):	33.64 µm	Variance:	7839 µm ²
Mean/Median Ratio:	1.088	C.V.:	62.2%
Mode:	140.1 µm	Skewness:	1.631 Right skewed
d ₁₀ :	47.87 µm	Kurtosis:	4.902 Leptokurtic
d ₅₀ :	130.9 µm		
d ₉₀ :	238.3 µm		
Specific Surf. Area	1784 cm ² /ml		

% <	10	25	50	75	90
Size µm	47.87	91.77	130.9	176.0	238.3

177#.\$02

Particle Diameter µm	Volume % <	Particle Diameter µm	Volume % <
2.000	1.46	500.0	98.9
5.000	3.22	1000	100
10.00	4.48	2000	100
15.00	5.20		
20.00	5.94		
25.00	6.59		
50.00	10.4		
60.00	12.7		
63.00	13.5		
70.00	15.8		
75.00	17.6		
90.00	24.2		
125.0	45.9		
200.0	82.6		
250.0	91.4		
400.0	97.8		



Volume Statistics (Arithmetic) 178.\$02

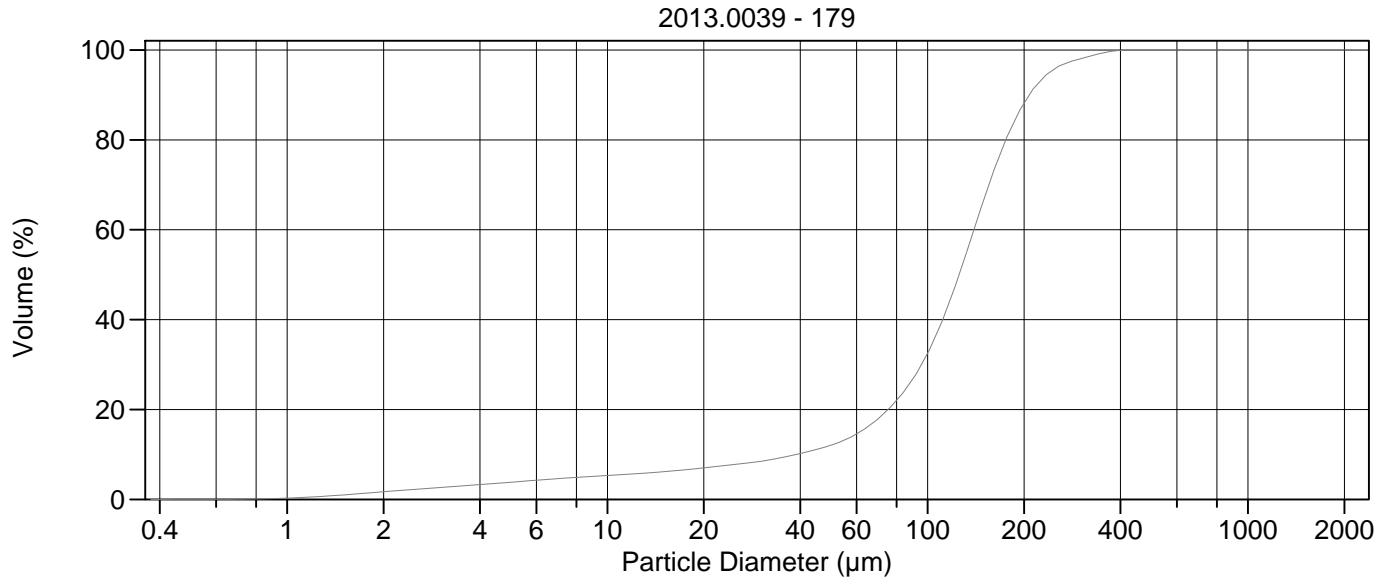
Calculations from 0.375 µm to 2000 µm

Volume	100.0%		
Mean:	127.6 µm	95% Conf. Limits:	0-262.2 µm
Median:	126.1 µm	S.D.:	68.67 µm
D(3,2):	29.35 µm	Variance:	4715 µm ²
Mean/Median Ratio:	1.012	C.V.:	53.8%
Mode:	140.1 µm	Skewness:	0.470 Right skewed
d ₁₀ :	34.40 µm	Kurtosis:	0.818 Leptokurtic
d ₅₀ :	126.1 µm		
d ₉₀ :	210.9 µm		
Specific Surf. Area	2044 cm ² /ml		

% <	10	25	50	75	90
Size µm	34.40	85.62	126.1	166.5	210.9

178.\$02

Particle Diameter µm	Volume % <	Particle Diameter µm	Volume % <
2.000	1.81	500.0	100
5.000	4.27	1000	100
10.00	5.97	2000	100
15.00	6.86		
20.00	7.79		
25.00	8.59		
50.00	12.9		
60.00	15.3		
63.00	16.2		
70.00	18.5		
75.00	20.5		
90.00	27.1		
125.0	49.2		
200.0	87.3		
250.0	95.5		
400.0	99.9		



Volume Statistics (Arithmetic) 179.\$02

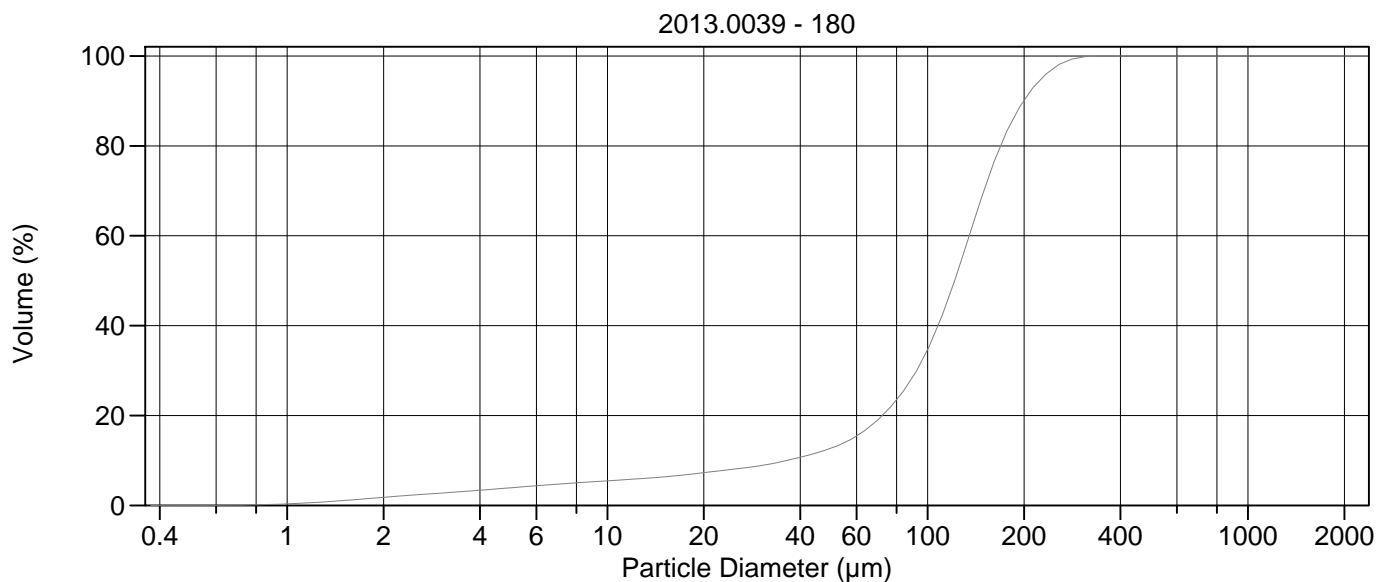
Calculations from 0.375 µm to 2000 µm

Volume	100.0%		
Mean:	127.3 µm	95% Conf. Limits:	0-259.1 µm
Median:	125.4 µm	S.D.:	67.26 µm
D(3,2):	30.93 µm	Variance:	4523 µm ²
Mean/Median Ratio:	1.015	C.V.:	52.8%
Mode:	140.1 µm	Skewness:	0.532 Right skewed
d ₁₀ :	38.82 µm	Kurtosis:	1.072 Leptokurtic
d ₅₀ :	125.4 µm		
d ₉₀ :	208.0 µm		
Specific Surf. Area	1940 cm ² /ml		

% <	10	25	50	75	90
Size µm	38.82	86.27	125.4	164.7	208.0

179.\$02

Particle Diameter µm	Volume % <	Particle Diameter µm	Volume % <
2.000	1.70	500.0	100
5.000	3.82	1000	100
10.00	5.32	2000	100
15.00	6.16		
20.00	7.03		
25.00	7.79		
50.00	12.1		
60.00	14.6		
63.00	15.5		
70.00	17.9		
75.00	19.9		
90.00	26.9		
125.0	49.7		
200.0	88.1		
250.0	95.8		
400.0	99.9		



Volume Statistics (Arithmetic) 180.\$02

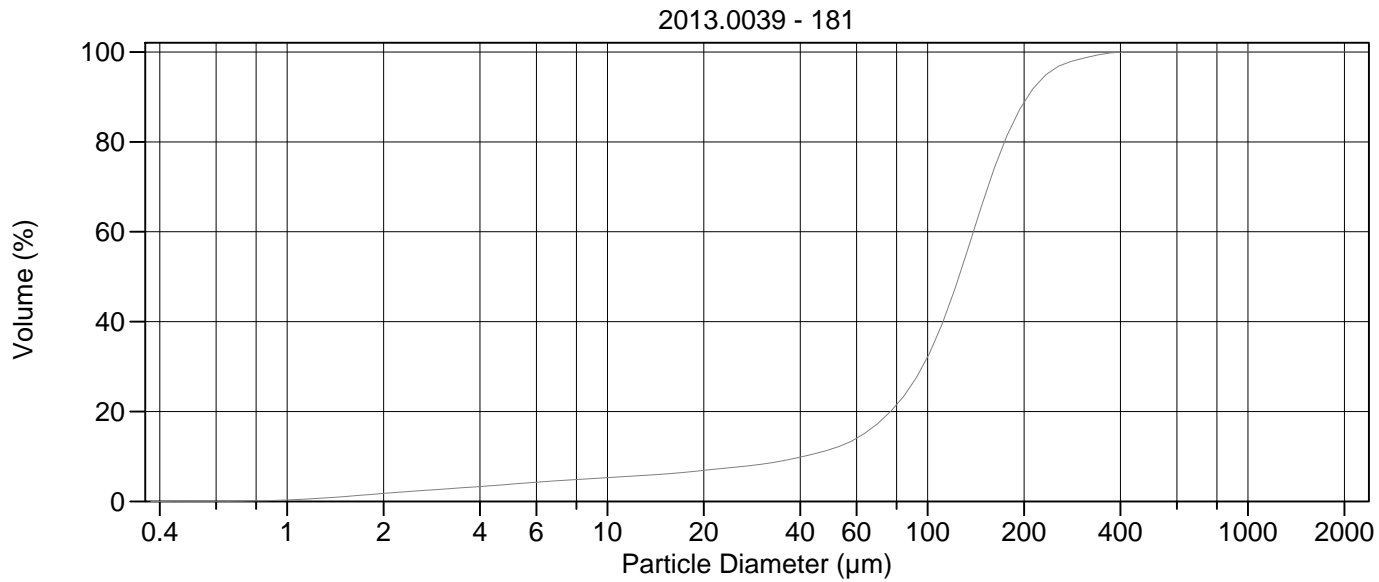
Calculations from 0.375 µm to 2000 µm

Volume	100.0%		
Mean:	121.2 µm	95% Conf. Limits:	1.397-241.0 µm
Median:	121.4 µm	S.D.:	61.12 µm
D(3,2):	29.61 µm	Variance:	3735 µm ²
Mean/Median Ratio:	0.999	C.V.:	50.4%
Mode:	140.1 µm	Skewness:	0.147 Right skewed
d ₁₀ :	36.37 µm	Kurtosis:	0.0099 Leptokurtic
d ₅₀ :	121.4 µm		
d ₉₀ :	199.7 µm		
Specific Surf. Area	2027 cm ² /ml		

% <	10	25	50	75	90
Size µm	36.37	83.07	121.4	158.7	199.7

180.\$02

Particle Diameter µm	Volume % <	Particle Diameter µm	Volume % <
2.000	1.79	500.0	100
5.000	3.92	1000	100
10.00	5.47	2000	100
15.00	6.36		
20.00	7.28		
25.00	8.09		
50.00	12.7		
60.00	15.4		
63.00	16.4		
70.00	19.1		
75.00	21.2		
90.00	28.7		
125.0	52.7		
200.0	90.1		
250.0	97.5		
400.0	100		



Volume Statistics (Arithmetic) 181.\$02

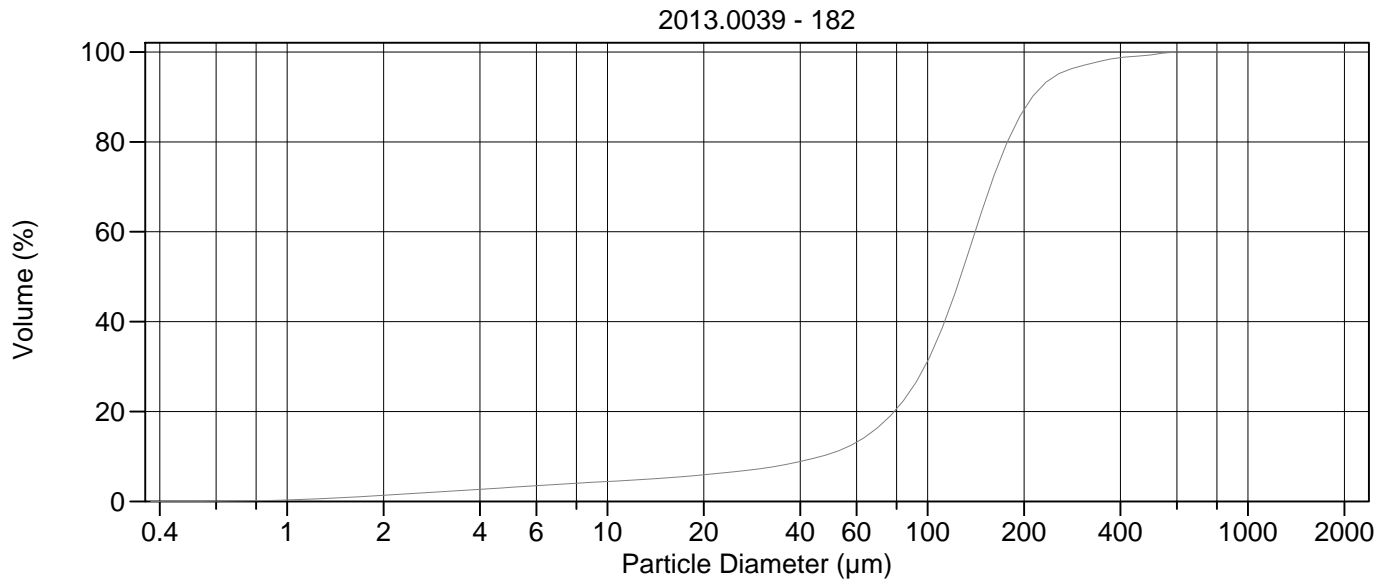
Calculations from 0.375 µm to 2000 µm

Volume	100.0%		
Mean:	126.5 µm	95% Conf. Limits:	0-254.1 µm
Median:	125.2 µm	S.D.:	65.12 µm
D(3,2):	30.53 µm	Variance:	4240 µm ²
Mean/Median Ratio:	1.010	C.V.:	51.5%
Mode:	140.1 µm	Skewness:	0.450 Right skewed
d ₁₀ :	40.85 µm	Kurtosis:	0.975 Leptokurtic
d ₅₀ :	125.2 µm		
d ₉₀ :	205.4 µm		
Specific Surf. Area	1965 cm ² /ml		

% <	10	25	50	75	90
Size µm	40.85	87.24	125.2	163.3	205.4

181.\$02

Particle Diameter µm	Volume % <	Particle Diameter µm	Volume % <
2.000	1.77	500.0	100
5.000	3.83	1000	100
10.00	5.29	2000	100
15.00	6.09		
20.00	6.91		
25.00	7.62		
50.00	11.6		
60.00	14.1		
63.00	14.9		
70.00	17.4		
75.00	19.4		
90.00	26.4		
125.0	49.8		
200.0	88.7		
250.0	96.3		
400.0	99.9		



Volume Statistics (Arithmetic) 182.\$02

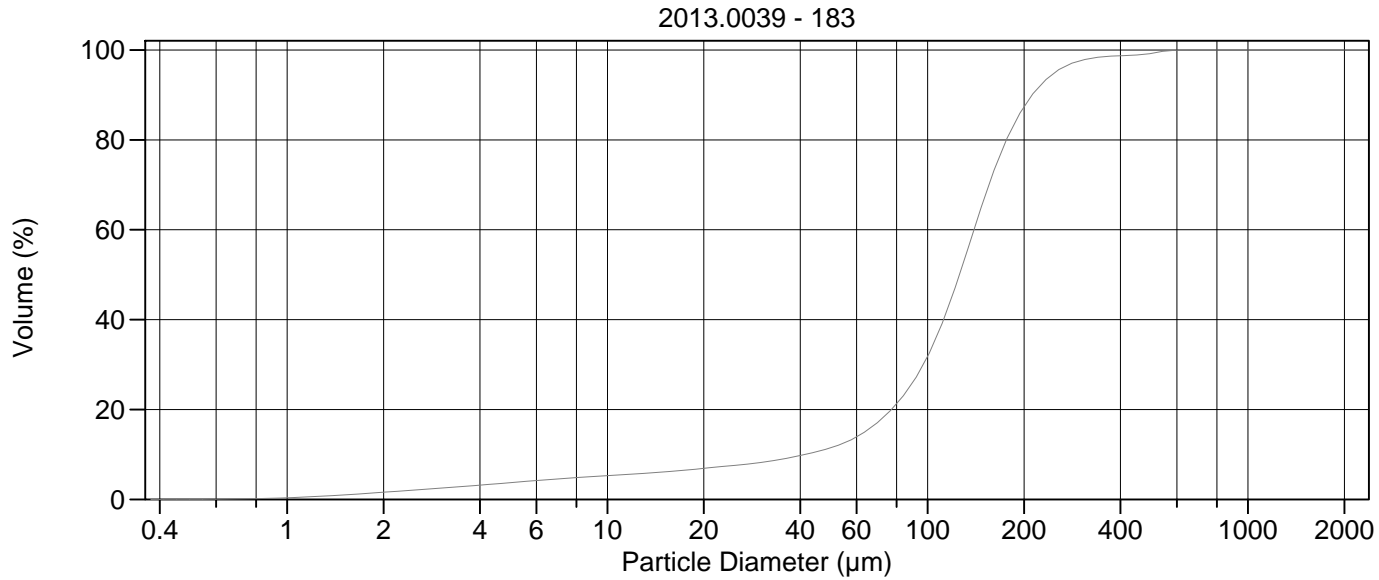
Calculations from 0.375 µm to 2000 µm

Volume	100.0%		
Mean:	133.0 µm	95% Conf. Limits:	0-284.7 µm
Median:	126.7 µm	S.D.:	77.39 µm
D(3,2):	34.67 µm	Variance:	5989 µm ²
Mean/Median Ratio:	1.050	C.V.:	58.2%
Mode:	140.1 µm	Skewness:	1.595 Right skewed
d ₁₀ :	46.37 µm	Kurtosis:	5.974 Leptokurtic
d ₅₀ :	126.7 µm		
d ₉₀ :	212.3 µm		
Specific Surf. Area	1731 cm ² /ml		

% <	10	25	50	75	90
Size µm	46.37	89.01	126.7	166.4	212.3

182.\$02

Particle Diameter µm	Volume % <	Particle Diameter µm	Volume % <
2.000	1.35	500.0	99.4
5.000	3.13	1000	100
10.00	4.43	2000	100
15.00	5.17		
20.00	5.93		
25.00	6.62		
50.00	10.7		
60.00	13.2		
63.00	14.1		
70.00	16.5		
75.00	18.5		
90.00	25.5		
125.0	48.8		
200.0	87.1		
250.0	94.6		
400.0	98.8		



Volume Statistics (Arithmetic) 183.\$02

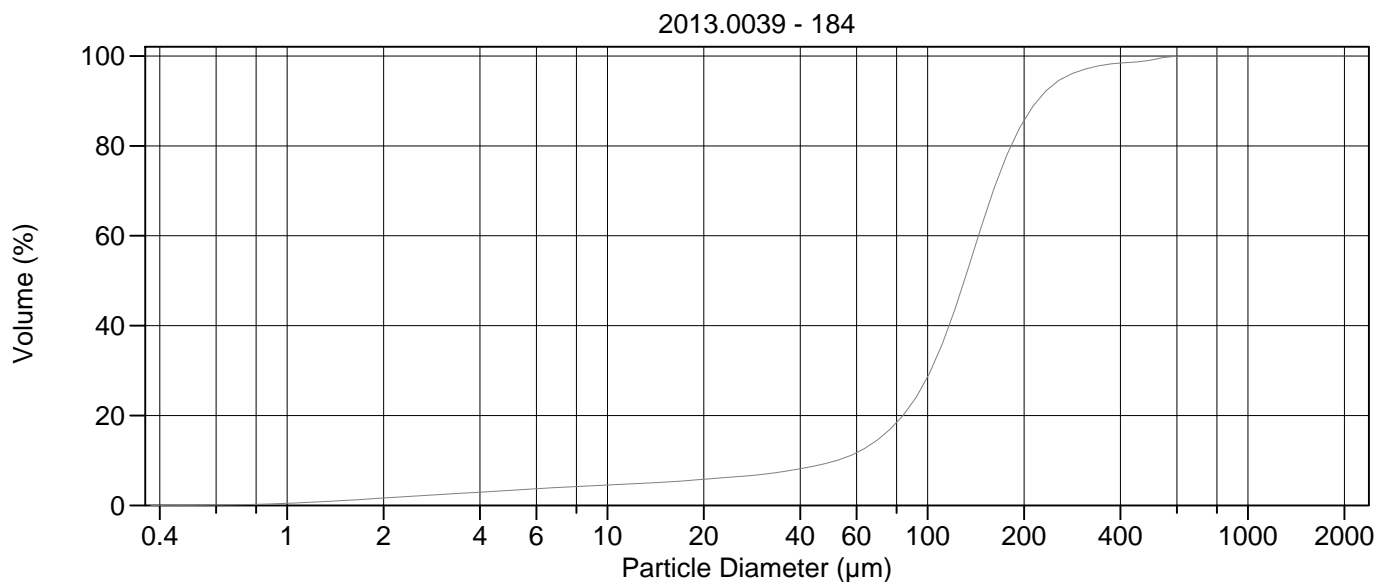
Calculations from 0.375 µm to 2000 µm

Volume	100.0%	95% Conf. Limits:	0-282.1 µm
Mean:	131.0 µm	S.D.:	77.09 µm
Median:	125.7 µm	Variance:	5942 µm ²
D(3,2):	30.94 µm	C.V.:	58.8%
Mean/Median Ratio:	1.042	Skewness:	1.621 Right skewed
Mode:	140.1 µm	Kurtosis:	6.623 Leptokurtic
d ₁₀ :	41.40 µm		
d ₅₀ :	125.7 µm		
d ₉₀ :	212.0 µm		
Specific Surf. Area	1939 cm ² /ml		

% <	10	25	50	75	90
Size µm	41.40	87.75	125.7	165.0	212.0

183.\$02

Particle Diameter µm	Volume % <	Particle Diameter µm	Volume % <
2.000	1.59	500.0	99.3
5.000	3.73	1000	100
10.00	5.28	2000	100
15.00	6.11		
20.00	6.91		
25.00	7.59		
50.00	11.5		
60.00	13.9		
63.00	14.8		
70.00	17.2		
75.00	19.2		
90.00	26.1		
125.0	49.5		
200.0	87.3		
250.0	95.0		
400.0	98.7		



Volume Statistics (Arithmetic) 184.\$02

Calculations from 0.375 µm to 2000 µm

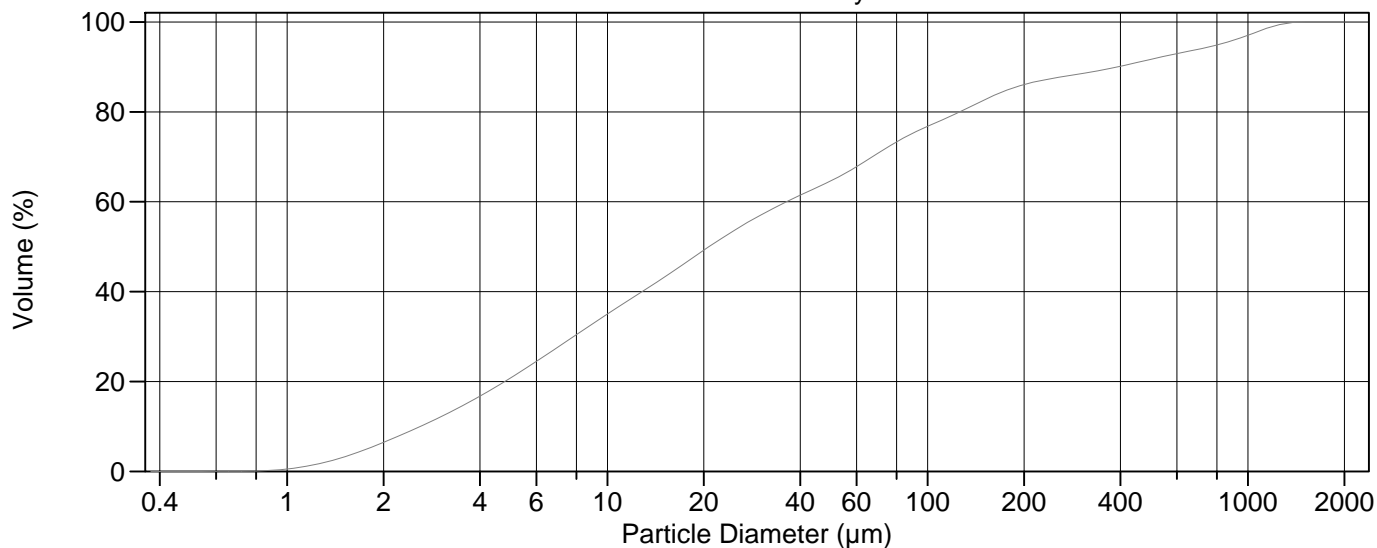
Volume	100.0%		
Mean:	137.7 µm	95% Conf. Limits:	0-294.4 µm
Median:	130.1 µm	S.D.:	79.97 µm
D(3,2):	32.09 µm	Variance:	6395 µm ²
Mean/Median Ratio:	1.058	C.V.:	58.1%
Mode:	140.1 µm	Skewness:	1.695 Right skewed
d ₁₀ :	52.09 µm	Kurtosis:	6.417 Leptokurtic
d ₅₀ :	130.1 µm		
d ₉₀ :	220.4 µm		
Specific Surf. Area	1870 cm ² /ml		

% <	10	25	50	75	90
Size µm	52.09	93.68	130.1	170.5	220.4

184.\$02

Particle Diameter µm	Volume % <	Particle Diameter µm	Volume % <
2.000	1.64	500.0	99.1
5.000	3.37	1000	100
10.00	4.53	2000	100
15.00	5.17		
20.00	5.81		
25.00	6.35		
50.00	9.65		
60.00	11.7		
63.00	12.5		
70.00	14.7		
75.00	16.5		
90.00	23.1		
125.0	46.2		
200.0	85.6		
250.0	93.9		
400.0	98.4		

2013.0039 - stand. Hynne



Volume Statistics (Arithmetic) 185.\$02

Calculations from 0.375 µm to 2000 µm

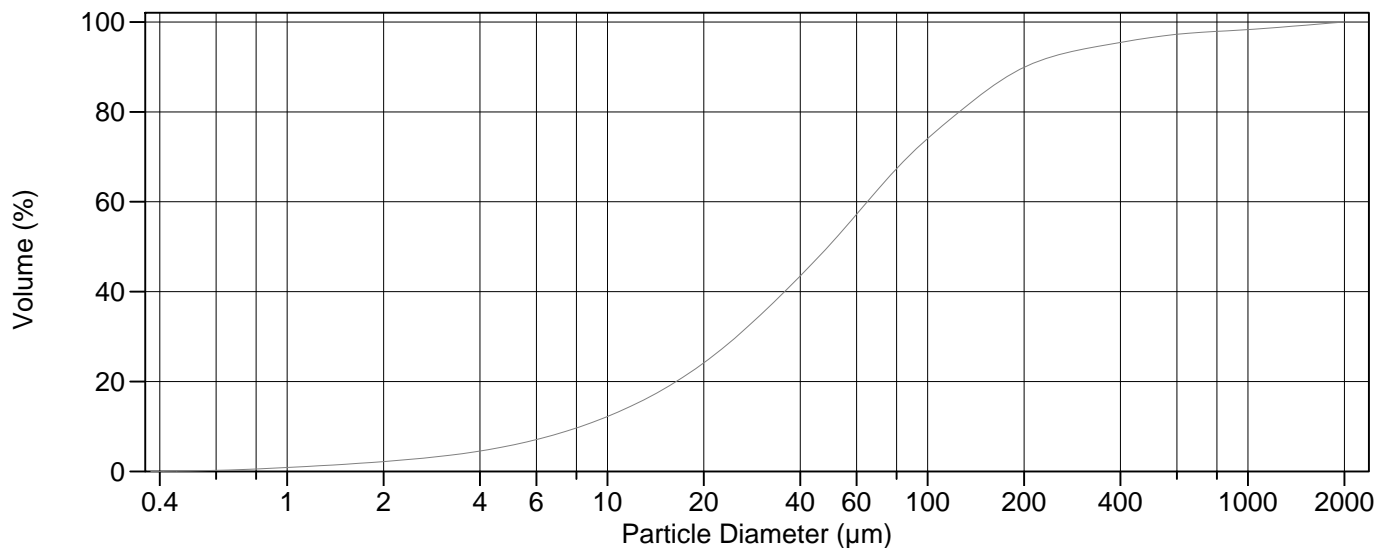
Volume	100.0%		
Mean:	122.9 µm	95% Conf. Limits:	0-622.9 µm
Median:	20.74 µm	S.D.:	255.1 µm
D(3,2):	7.684 µm	Variance:	65076 µm ²
Mean/Median Ratio:	5.928	C.V.:	208%
Mode:	18.00 µm	Skewness:	2.948 Right skewed
d ₁₀ :	2.605 µm	Kurtosis:	8.249 Leptokurtic
d ₅₀ :	20.74 µm		
d ₉₀ :	390.6 µm		
Specific Surf. Area	7808 cm ² /ml		

% <	10	25	50	75	90
Size µm	2.605	6.155	20.74	88.54	390.6

185.\$02

Particle Diameter µm	Volume % <	Particle Diameter µm	Volume % <
2.000	6.45	500.0	91.7
5.000	20.8	1000	97.0
10.00	35.0	2000	100
15.00	43.1		
20.00	49.2		
25.00	53.7		
50.00	64.7		
60.00	67.8		
63.00	68.7		
70.00	70.8		
75.00	72.1		
90.00	75.3		
125.0	79.9		
200.0	86.1		
250.0	87.5		
400.0	90.2		

2013.0039 - stand. MINN



Volume Statistics (Arithmetic) 186.\$02

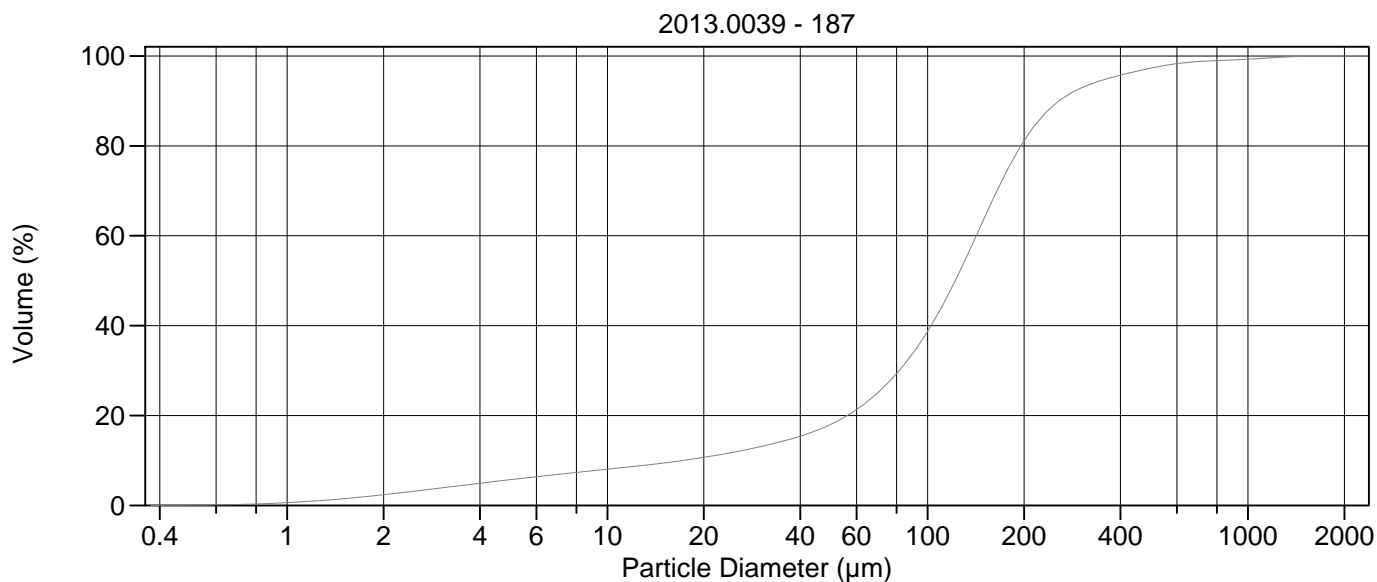
Calculations from 0.375 µm to 2000 µm

Volume	100.0%		
Mean:	106.4 µm	95% Conf. Limits:	0-524.0 µm
Median:	48.90 µm	S.D.:	213.0 µm
D(3,2):	15.76 µm	Variance:	45385 µm ²
Mean/Median Ratio:	2.176	C.V.:	200%
Mode:	60.52 µm	Skewness:	5.303 Right skewed
d ₁₀ :	8.263 µm	Kurtosis:	32.90 Leptokurtic
d ₅₀ :	48.90 µm		
d ₉₀ :	201.5 µm		
Specific Surf. Area	3806 cm ² /ml		

% <	10	25	50	75	90
Size µm	8.263	20.74	48.90	103.5	201.5

186.\$02

Particle Diameter µm	Volume % <	Particle Diameter µm	Volume % <
2.000	2.18	500.0	96.6
5.000	5.78	1000	98.3
10.00	12.2	2000	100
15.00	18.3		
20.00	24.2		
25.00	29.7		
50.00	50.7		
60.00	57.2		
63.00	59.0		
70.00	62.8		
75.00	65.2		
90.00	71.1		
125.0	79.9		
200.0	89.9		
250.0	92.5		
400.0	95.5		



Volume Statistics (Arithmetic) 187.\$02

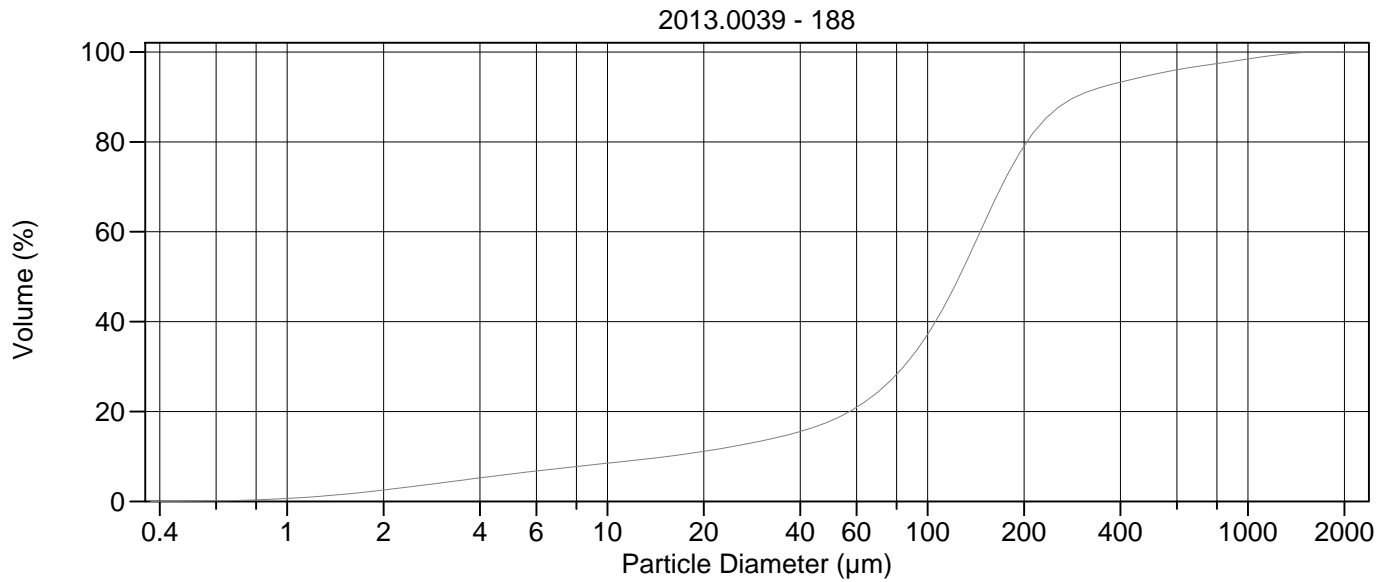
Calculations from 0.375 µm to 2000 µm

Volume	100.0%		
Mean:	146.5 µm	95% Conf. Limits:	0-436.2 µm
Median:	122.0 µm	S.D.:	147.8 µm
D(3,2):	21.94 µm	Variance:	21859 µm ²
Mean/Median Ratio:	1.201	C.V.:	101%
Mode:	140.1 µm	Skewness:	4.074 Right skewed
d ₁₀ :	17.19 µm	Kurtosis:	25.45 Leptokurtic
d ₅₀ :	122.0 µm		
d ₉₀ :	256.5 µm		
Specific Surf. Area	2735 cm ² /ml		

% <	10	25	50	75	90
Size µm	17.19	69.71	122.0	178.3	256.5

187.\$02

Particle Diameter µm	Volume % <	Particle Diameter µm	Volume % <
2.000	2.38	500.0	97.3
5.000	5.74	1000	99.3
10.00	8.05	2000	100
15.00	9.44		
20.00	10.7		
25.00	11.9		
50.00	18.1		
60.00	21.3		
63.00	22.4		
70.00	25.1		
75.00	27.2		
90.00	33.9		
125.0	51.6		
200.0	81.1		
250.0	89.3		
400.0	95.7		



Volume Statistics (Arithmetic)

188#.\$02

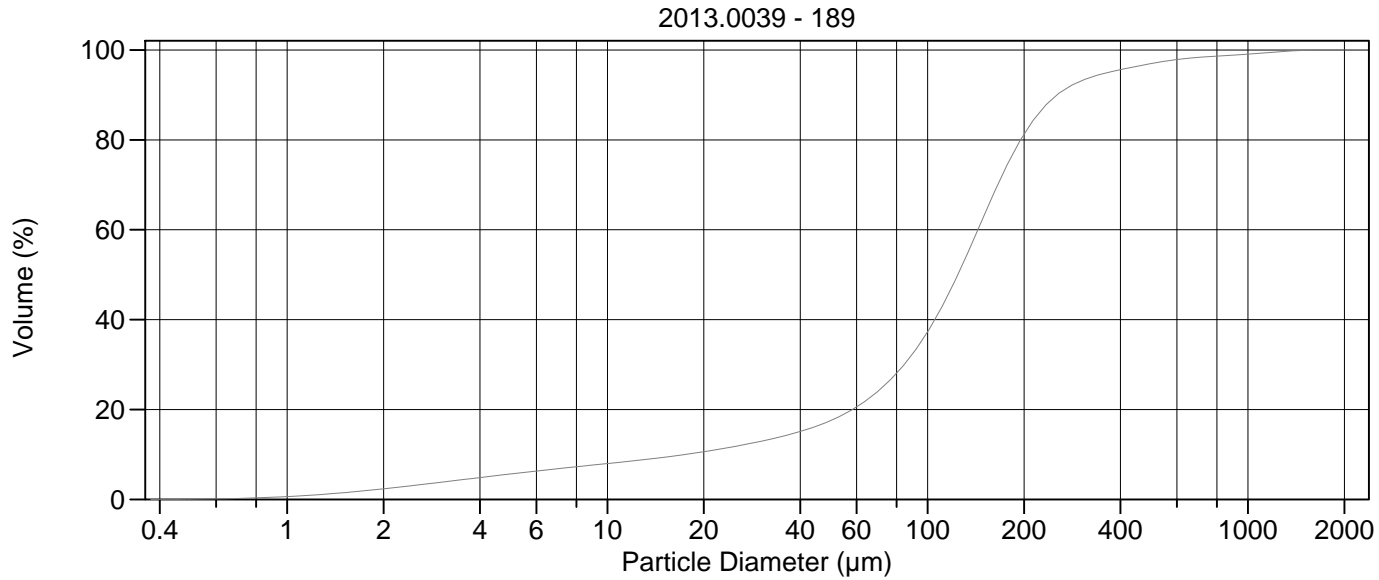
Calculations from 0.375 µm to 2000 µm

Volume	100.0%		
Mean:	166.1 µm	95% Conf. Limits:	0-546.3 µm
Median:	125.6 µm	S.D.:	194.0 µm
D(3,2):	21.15 µm	Variance:	37646 µm ²
Mean/Median Ratio:	1.322	C.V.:	117%
Mode:	140.1 µm	Skewness:	3.594 Right skewed
d ₁₀ :	15.43 µm	Kurtosis:	16.07 Leptokurtic
d ₅₀ :	125.6 µm		
d ₉₀ :	290.1 µm		
Specific Surf. Area	2837 cm ² /ml		

% <	10	25	50	75	90
Size µm	15.43	71.60	125.6	185.1	290.1

188#.\$02

Particle Diameter µm	Volume % <	Particle Diameter µm	Volume % <
2.000	2.54	500.0	94.9
5.000	6.08	1000	98.4
10.00	8.50	2000	100
15.00	9.89		
20.00	11.1		
25.00	12.3		
50.00	18.0		
60.00	20.9		
63.00	21.9		
70.00	24.4		
75.00	26.3		
90.00	32.6		
125.0	49.7		
200.0	79.0		
250.0	87.0		
400.0	93.3		



Volume Statistics (Arithmetic) 189.\$02

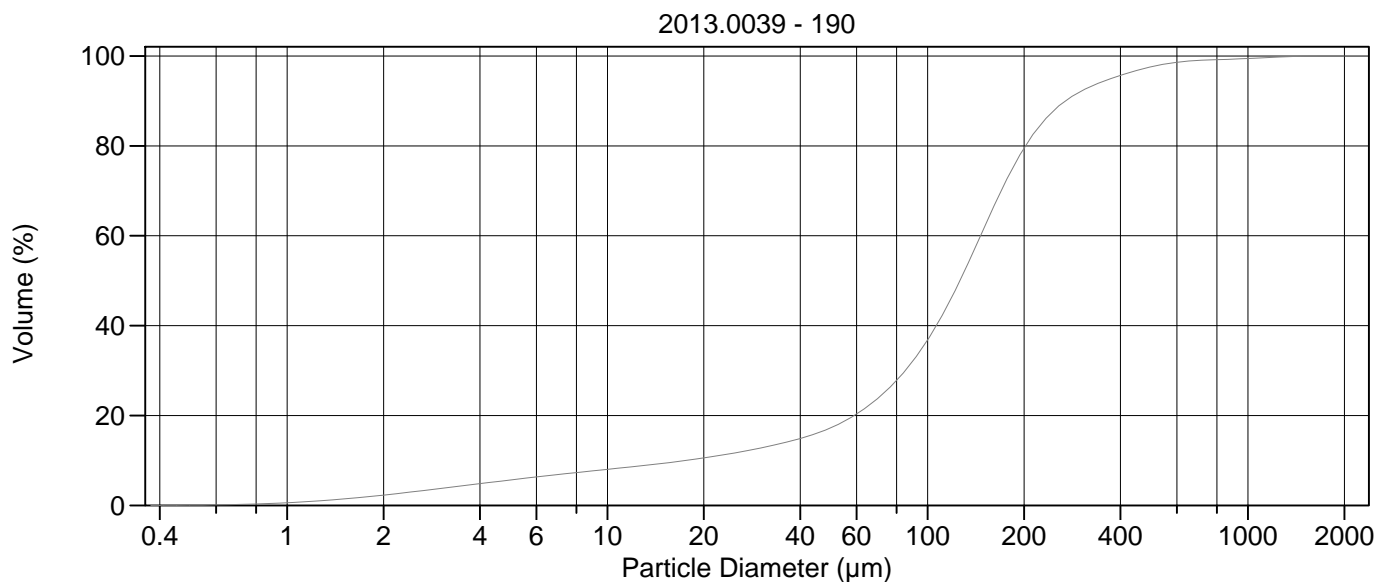
Calculations from 0.375 µm to 2000 µm

Volume	100.0%		
Mean:	149.9 µm	95% Conf. Limits:	0-460.2 µm
Median:	124.2 µm	S.D.:	158.3 µm
D(3,2):	22.09 µm	Variance:	25060 µm ²
Mean/Median Ratio:	1.207	C.V.:	106%
Mode:	140.1 µm	Skewness:	4.245 Right skewed
d ₁₀ :	17.53 µm	Kurtosis:	25.58 Leptokurtic
d ₅₀ :	124.2 µm		
d ₉₀ :	253.5 µm		
Specific Surf. Area	2716 cm ² /ml		

% <	10	25	50	75	90
Size µm	17.53	72.33	124.2	178.7	253.5

189.\$02

Particle Diameter µm	Volume % <	Particle Diameter µm	Volume % <
2.000	2.36	500.0	97.0
5.000	5.67	1000	99.1
10.00	7.98	2000	100
15.00	9.36		
20.00	10.6		
25.00	11.8		
50.00	17.6		
60.00	20.6		
63.00	21.6		
70.00	24.1		
75.00	26.0		
90.00	32.5		
125.0	50.4		
200.0	81.2		
250.0	89.6		
400.0	95.6		



Volume Statistics (Arithmetic) 190.\$02

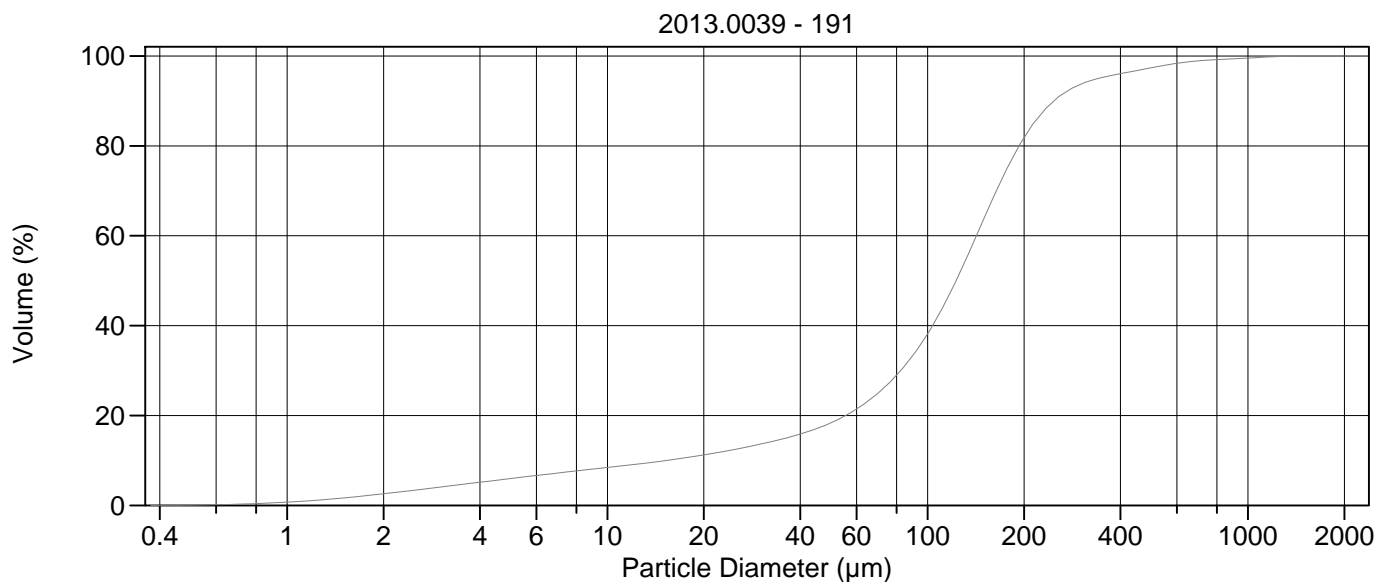
Calculations from 0.375 µm to 2000 µm

Volume	100.0%		
Mean:	149.1 µm	95% Conf. Limits:	0-425.1 µm
Median:	126.1 µm	S.D.:	140.8 µm
D(3,2):	22.45 µm	Variance:	19836 µm ²
Mean/Median Ratio:	1.182	C.V.:	94.5%
Mode:	140.1 µm	Skewness:	3.759 Right skewed
d ₁₀ :	17.58 µm	Kurtosis:	23.73 Leptokurtic
d ₅₀ :	126.1 µm		
d ₉₀ :	269.9 µm		
Specific Surf. Area	2672 cm ² /ml		

% <	10	25	50	75	90
Size µm	17.58	72.92	126.1	184.3	269.9

190.\$02

Particle Diameter µm	Volume % <	Particle Diameter µm	Volume % <
2.000	2.29	500.0	97.6
5.000	5.67	1000	99.4
10.00	8.02	2000	100
15.00	9.38		
20.00	10.6		
25.00	11.7		
50.00	17.3		
60.00	20.3		
63.00	21.3		
70.00	23.9		
75.00	25.8		
90.00	32.2		
125.0	49.4		
200.0	79.4		
250.0	88.1		
400.0	95.7		



Volume Statistics (Arithmetic) 191.\$02

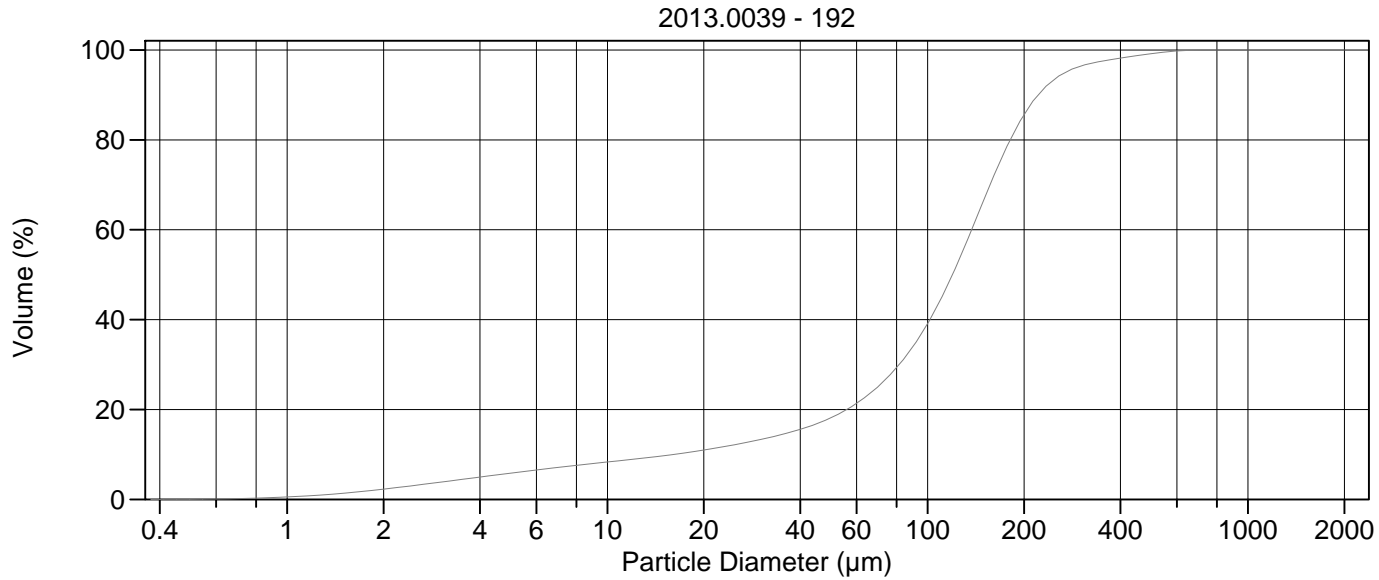
Calculations from 0.375 µm to 2000 µm

Volume	100.0%		
Mean:	142.9 µm	95% Conf. Limits:	0-408.1 µm
Median:	122.7 µm	S.D.:	135.3 µm
D(3,2):	20.71 µm	Variance:	18317 µm ²
Mean/Median Ratio:	1.165	C.V.:	94.7%
Mode:	140.1 µm	Skewness:	3.610 Right skewed
d ₁₀ :	15.31 µm	Kurtosis:	20.92 Leptokurtic
d ₅₀ :	122.7 µm		
d ₉₀ :	248.2 µm		
Specific Surf. Area	2896 cm ² /ml		

% <	10	25	50	75	90
Size µm	15.31	70.03	122.7	176.8	248.2

191.\$02

Particle Diameter µm	Volume % <	Particle Diameter µm	Volume % <
2.000	2.59	500.0	97.4
5.000	5.98	1000	99.5
10.00	8.43	2000	100
15.00	9.92		
20.00	11.2		
25.00	12.5		
50.00	18.4		
60.00	21.4		
63.00	22.5		
70.00	25.0		
75.00	26.9		
90.00	33.4		
125.0	51.2		
200.0	81.7		
250.0	90.2		
400.0	96.1		



Volume Statistics (Arithmetic) 192.\$02

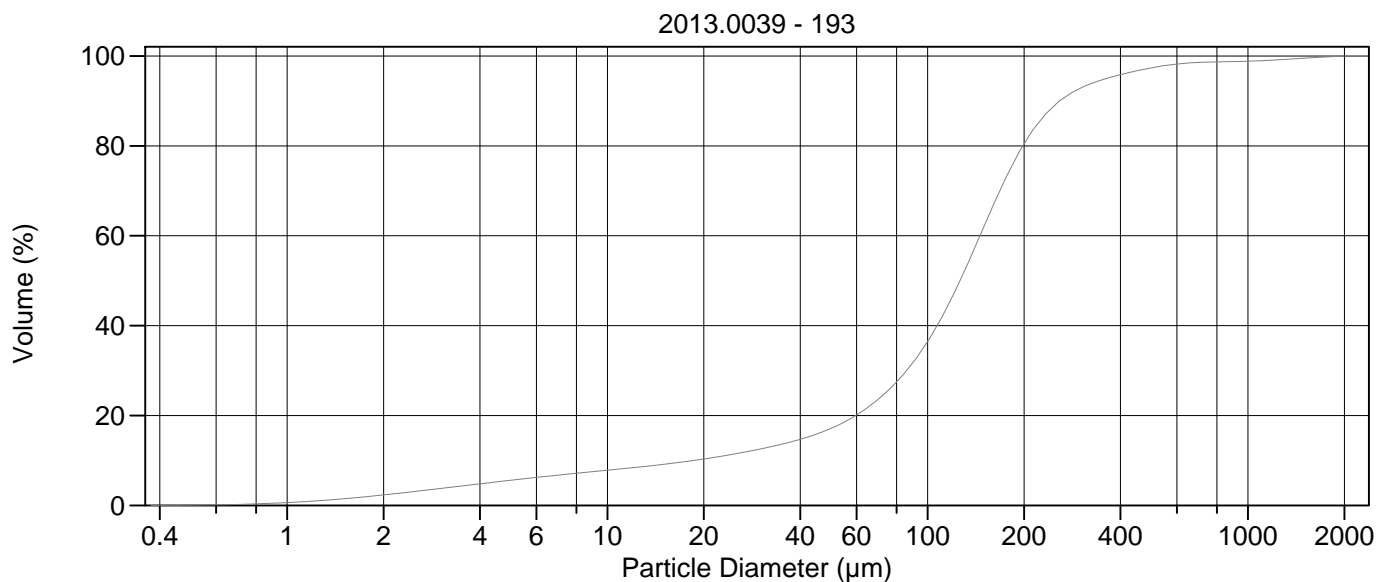
Calculations from 0.375 µm to 2000 µm

Volume	100.0%		
Mean:	126.7 µm	95% Conf. Limits:	0-302.1 µm
Median:	119.5 µm	S.D.:	89.50 µm
D(3,2):	22.07 µm	Variance:	8011 µm ²
Mean/Median Ratio:	1.061	C.V.:	70.6%
Mode:	140.1 µm	Skewness:	1.612 Right skewed
d ₁₀ :	16.06 µm	Kurtosis:	5.501 Leptokurtic
d ₅₀ :	119.5 µm		
d ₉₀ :	221.9 µm		
Specific Surf. Area	2719 cm ² /ml		

% <	10	25	50	75	90
Size µm	16.06	69.73	119.5	168.1	221.9

192.\$02

Particle Diameter µm	Volume % <	Particle Diameter µm	Volume % <
2.000	2.29	500.0	99.2
5.000	5.85	1000	100
10.00	8.32	2000	100
15.00	9.73		
20.00	11.0		
25.00	12.2		
50.00	18.2		
60.00	21.4		
63.00	22.4		
70.00	25.1		
75.00	27.2		
90.00	34.1		
125.0	53.2		
200.0	85.5		
250.0	93.6		
400.0	98.2		



Volume Statistics (Arithmetic)

193#.\$02

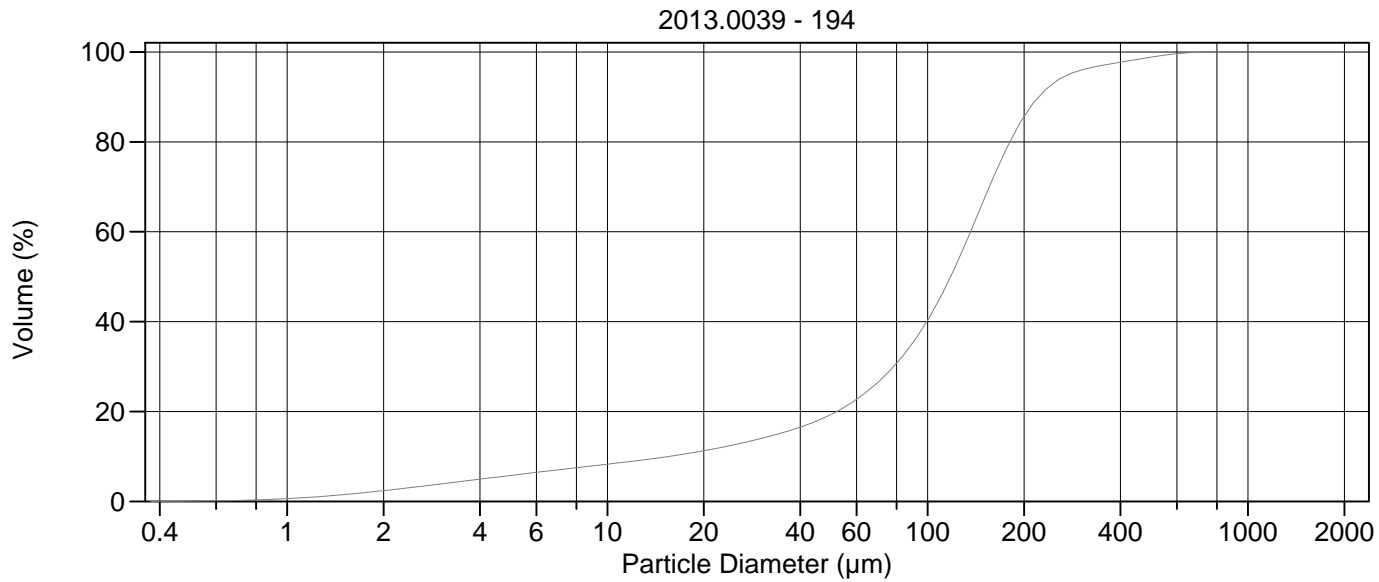
Calculations from 0.375 µm to 2000 µm

Volume	100.0%		
Mean:	153.9 µm	95% Conf. Limits:	0-503.2 µm
Median:	126.2 µm	S.D.:	178.2 µm
D(3,2):	22.41 µm	Variance:	31759 µm ²
Mean/Median Ratio:	1.219	C.V.:	116%
Mode:	153.8 µm	Skewness:	5.377 Right skewed
d ₁₀ :	18.59 µm	Kurtosis:	39.32 Leptokurtic
d ₅₀ :	126.2 µm		
d ₉₀ :	258.1 µm		
Specific Surf. Area	2677 cm ² /ml		

% <	10	25	50	75	90
Size µm	18.59	73.69	126.2	181.7	258.1

193#.\$02

Particle Diameter µm	Volume % <	Particle Diameter µm	Volume % <
2.000	2.33	500.0	97.4
5.000	5.59	1000	98.8
10.00	7.83	2000	100
15.00	9.14		
20.00	10.3		
25.00	11.5		
50.00	17.2		
60.00	20.1		
63.00	21.1		
70.00	23.6		
75.00	25.5		
90.00	31.8		
125.0	49.4		
200.0	80.4		
250.0	89.1		
400.0	95.8		



Volume Statistics (Arithmetic) 194.\$02

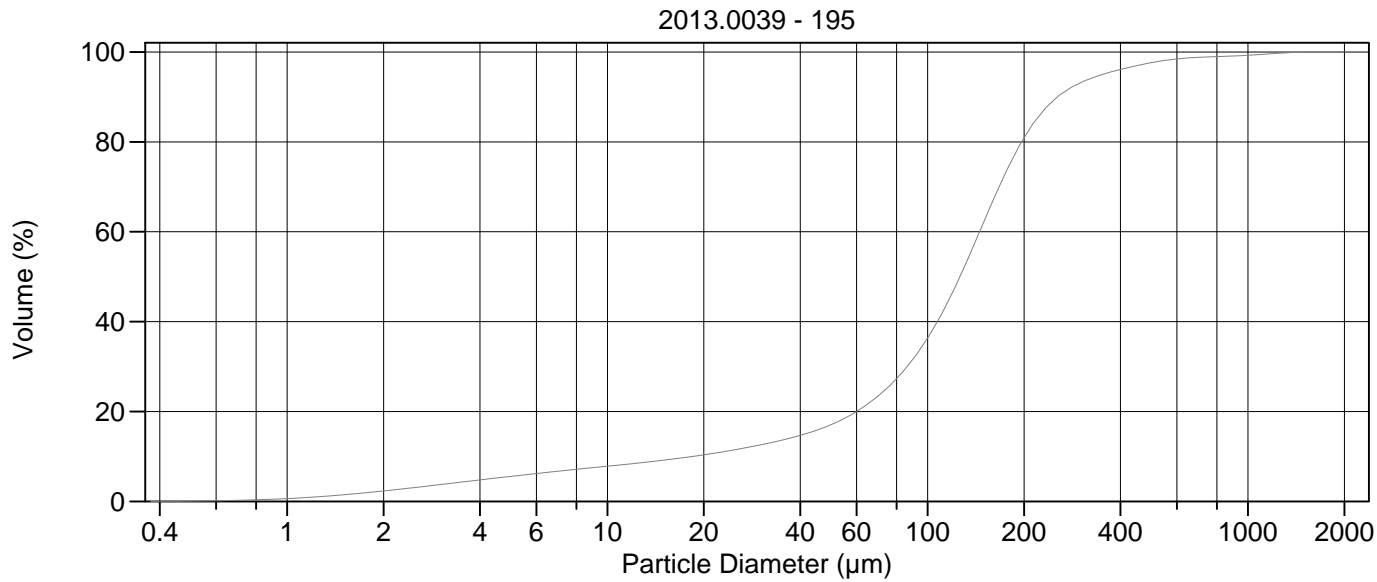
Calculations from 0.375 μm to 2000 μm

Volume	100.0%		
Mean:	126.8 μm	95% Conf. Limits:	0-312.6 μm
Median:	117.9 μm	S.D.:	94.78 μm
D(3,2):	21.42 μm	Variance:	8983 μm^2
Mean/Median Ratio:	1.075	C.V.:	74.7%
Mode:	140.1 μm	Skewness:	1.845 Right skewed
d ₁₀ :	15.53 μm	Kurtosis:	6.431 Leptokurtic
d ₅₀ :	117.9 μm		
d ₉₀ :	222.6 μm		
Specific Surf. Area	2801 cm^2/ml		

% <	10	25	50	75	90
Size μm	15.53	66.08	117.9	167.5	222.6

194.\$02

Particle Diameter μm	Volume % <	Particle Diameter μm	Volume % <
2.000	2.39	500.0	98.9
5.000	5.78	1000	100
10.00	8.28	2000	100
15.00	9.84		
20.00	11.3		
25.00	12.6		
50.00	19.4		
60.00	22.7		
63.00	23.8		
70.00	26.5		
75.00	28.6		
90.00	35.4		
125.0	53.9		
200.0	85.5		
250.0	93.3		
400.0	97.7		



Volume Statistics (Arithmetic) 195.\$02

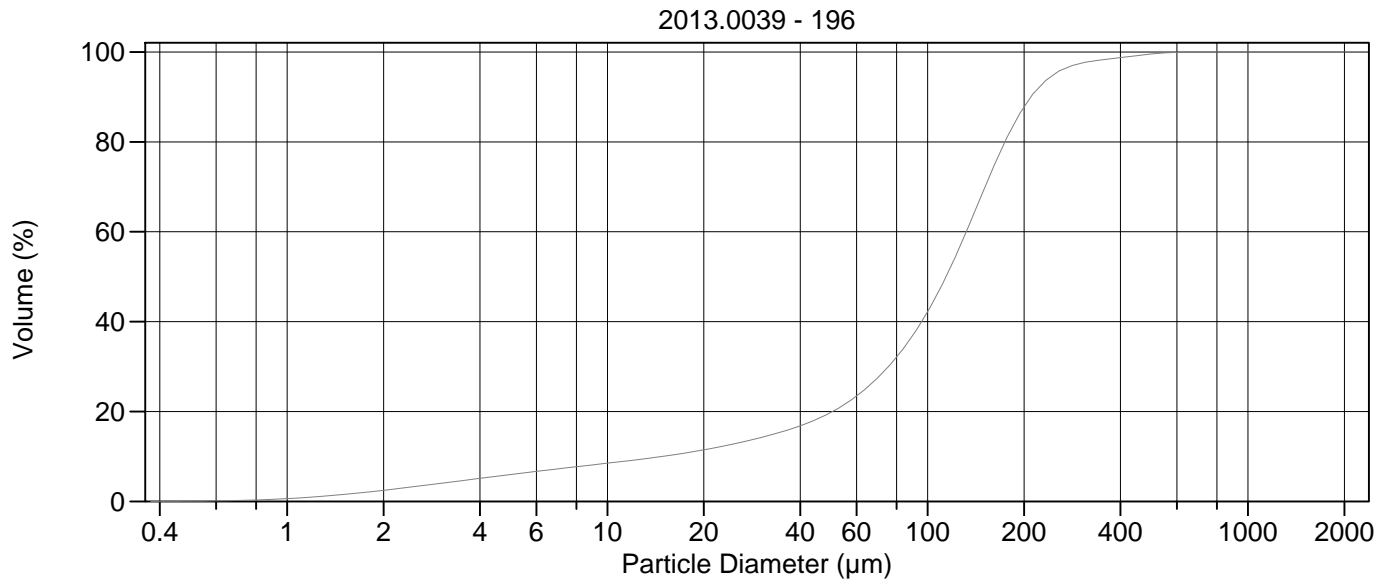
Calculations from 0.375 µm to 2000 µm

Volume	100.0%		
Mean:	147.7 µm	95% Conf. Limits:	0-430.3 µm
Median:	126.1 µm	S.D.:	144.2 µm
D(3,2):	22.37 µm	Variance:	20783 µm ²
Mean/Median Ratio:	1.171	C.V.:	97.6%
Mode:	140.1 µm	Skewness:	4.142 Right skewed
d ₁₀ :	18.42 µm	Kurtosis:	26.46 Leptokurtic
d ₅₀ :	126.1 µm		
d ₉₀ :	254.2 µm		
Specific Surf. Area	2682 cm ² /ml		

% <	10	25	50	75	90
Size µm	18.42	74.11	126.1	180.5	254.2

195.\$02

Particle Diameter µm	Volume % <	Particle Diameter µm	Volume % <
2.000	2.33	500.0	97.6
5.000	5.57	1000	99.3
10.00	7.83	2000	100
15.00	9.17		
20.00	10.4		
25.00	11.5		
50.00	17.1		
60.00	20.0		
63.00	21.0		
70.00	23.4		
75.00	25.3		
90.00	31.7		
125.0	49.4		
200.0	80.8		
250.0	89.5		
400.0	96.1		



Volume Statistics (Arithmetic) 196.\$02

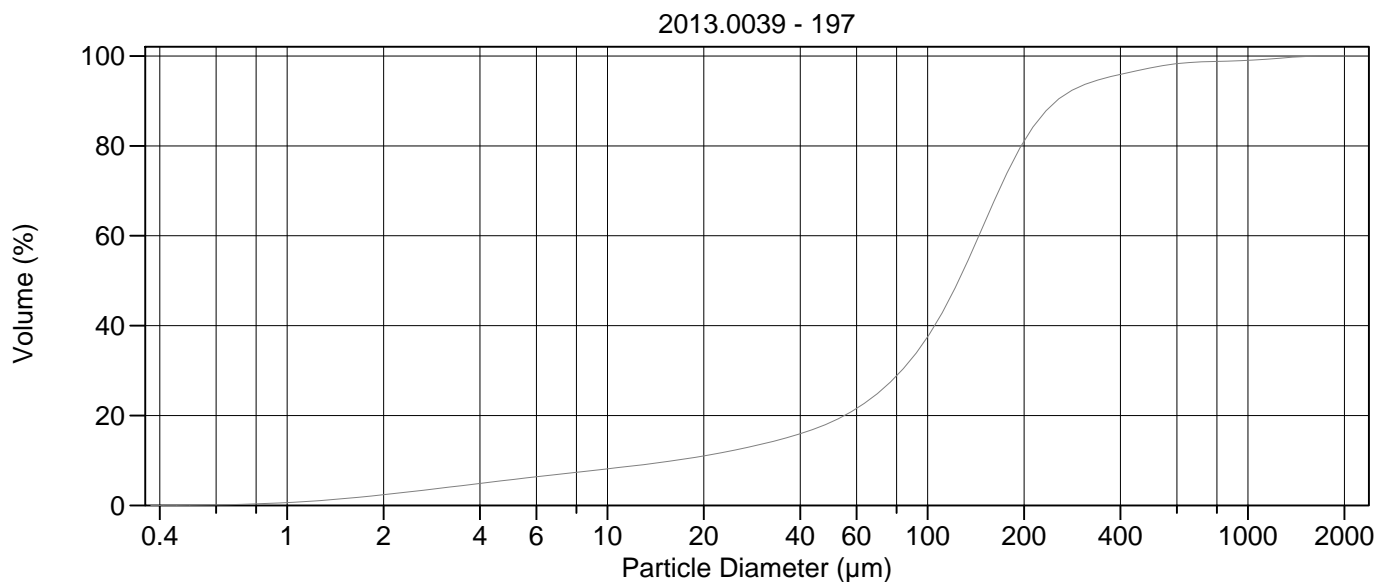
Calculations from 0.375 µm to 2000 µm

Volume	100.0%		
Mean:	119.3 µm	95% Conf. Limits:	0-280.4 µm
Median:	114.2 µm	S.D.:	82.21 µm
D(3,2):	20.89 µm	Variance:	6759 µm ²
Mean/Median Ratio:	1.045	C.V.:	68.9%
Mode:	140.1 µm	Skewness:	1.384 Right skewed
d ₁₀ :	14.82 µm	Kurtosis:	4.617 Leptokurtic
d ₅₀ :	114.2 µm		
d ₉₀ :	210.3 µm		
Specific Surf. Area	2873 cm ² /ml		

% <	10	25	50	75	90
Size µm	14.82	63.87	114.2	161.9	210.3

196.\$02

Particle Diameter µm	Volume % <	Particle Diameter µm	Volume % <
2.000	2.47	500.0	99.5
5.000	5.98	1000	100
10.00	8.50	2000	100
15.00	10.1		
20.00	11.5		
25.00	12.8		
50.00	19.8		
60.00	23.5		
63.00	24.6		
70.00	27.6		
75.00	29.8		
90.00	37.0		
125.0	56.1		
200.0	87.7		
250.0	95.1		
400.0	98.8		



Volume Statistics (Arithmetic) 197.\$02

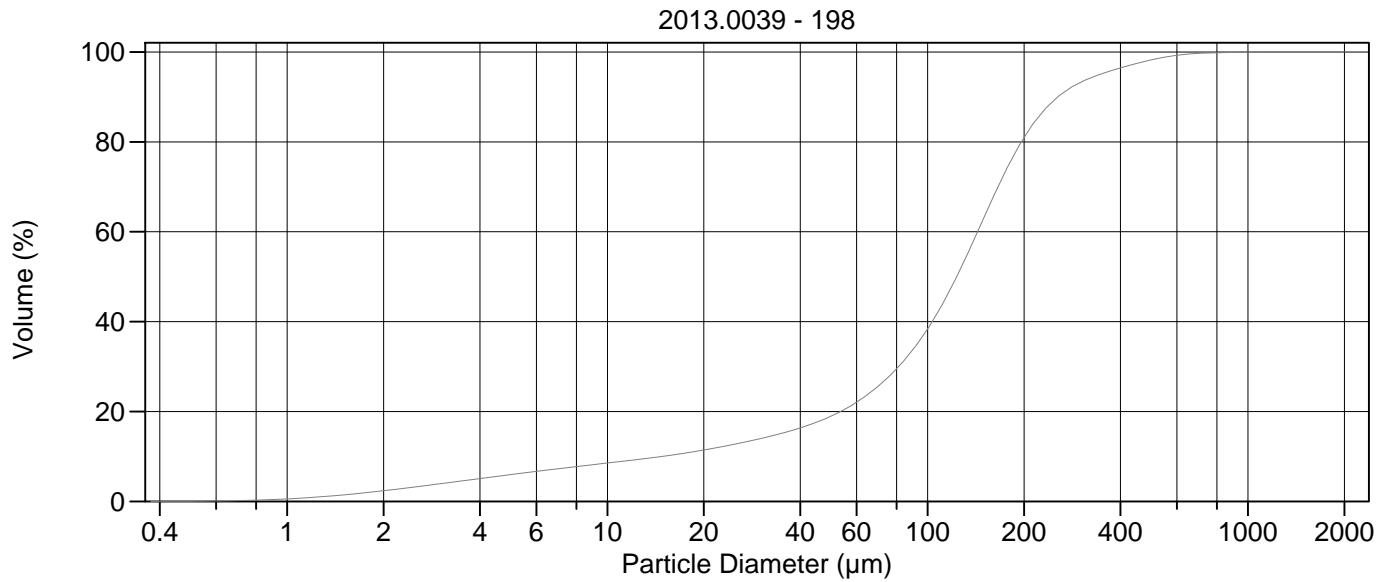
Calculations from 0.375 µm to 2000 µm

Volume	100.0%		
Mean:	148.3 µm	95% Conf. Limits:	0-455.7 µm
Median:	124.9 µm	S.D.:	156.9 µm
D(3,2):	21.82 µm	Variance:	24603 µm ²
Mean/Median Ratio:	1.187	C.V.:	106%
Mode:	153.8 µm	Skewness:	4.513 Right skewed
d ₁₀ :	16.26 µm	Kurtosis:	29.48 Leptokurtic
d ₅₀ :	124.9 µm		
d ₉₀ :	252.6 µm		
Specific Surf. Area	2749 cm ² /ml		

% <	10	25	50	75	90
Size µm	16.26	69.93	124.9	180.0	252.6

197.\$02

Particle Diameter µm	Volume % <	Particle Diameter µm	Volume % <
2.000	2.38	500.0	97.4
5.000	5.71	1000	99.0
10.00	8.14	2000	100
15.00	9.65		
20.00	11.0		
25.00	12.3		
50.00	18.5		
60.00	21.6		
63.00	22.6		
70.00	25.0		
75.00	26.9		
90.00	33.0		
125.0	50.1		
200.0	81.0		
250.0	89.7		
400.0	95.9		



Volume Statistics (Arithmetic) 198.\$02

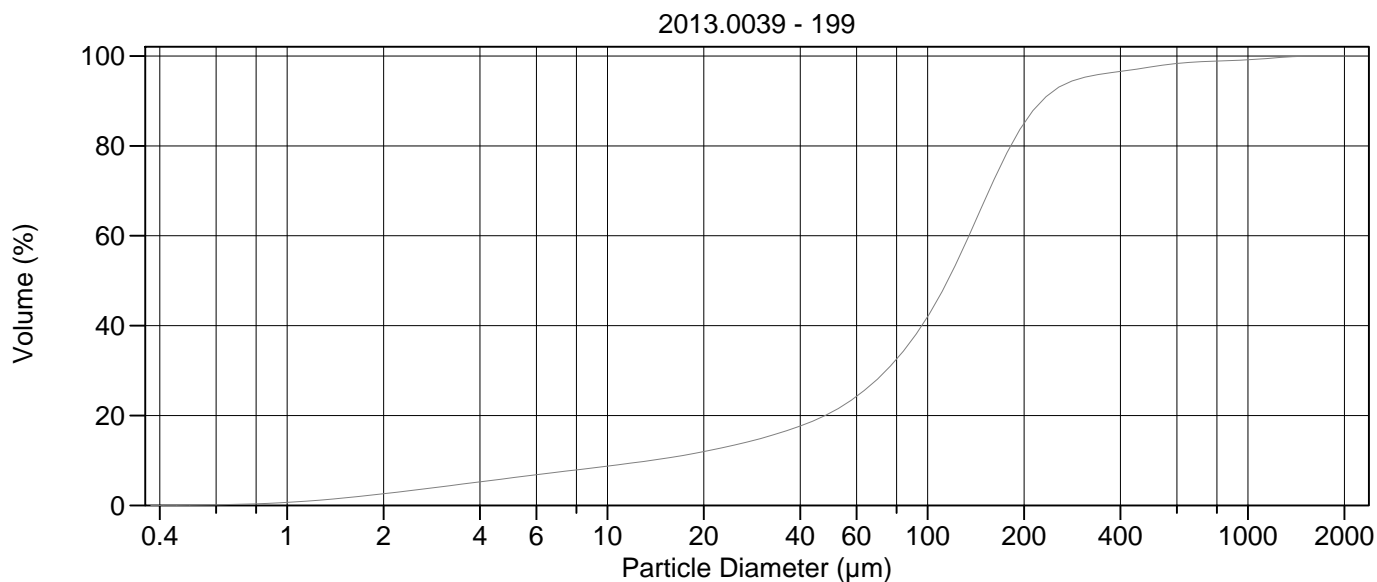
Calculations from 0.375 μm to 2000 μm

Volume	100.0%		
Mean:	138.9 μm	95% Conf. Limits:	0-359.8 μm
Median:	123.2 μm	S.D.:	112.7 μm
D(3,2):	21.61 μm	Variance:	12698 μm^2
Mean/Median Ratio:	1.127	C.V.:	81.1%
Mode:	140.1 μm	Skewness:	2.186 Right skewed
d ₁₀ :	14.76 μm	Kurtosis:	9.167 Leptokurtic
d ₅₀ :	123.2 μm		
d ₉₀ :	254.7 μm		
Specific Surf. Area	2777 cm^2/ml		

% <	10	25	50	75	90
Size μm	14.76	68.33	123.2	179.5	254.7

198.\$02

Particle Diameter μm	Volume % <	Particle Diameter μm	Volume % <
2.000	2.38	500.0	98.3
5.000	5.97	1000	99.9
10.00	8.54	2000	100
15.00	10.1		
20.00	11.4		
25.00	12.7		
50.00	19.0		
60.00	22.1		
63.00	23.1		
70.00	25.6		
75.00	27.5		
90.00	33.8		
125.0	50.9		
200.0	80.9		
250.0	89.4		
400.0	96.5		



Volume Statistics (Arithmetic) 199.\$02

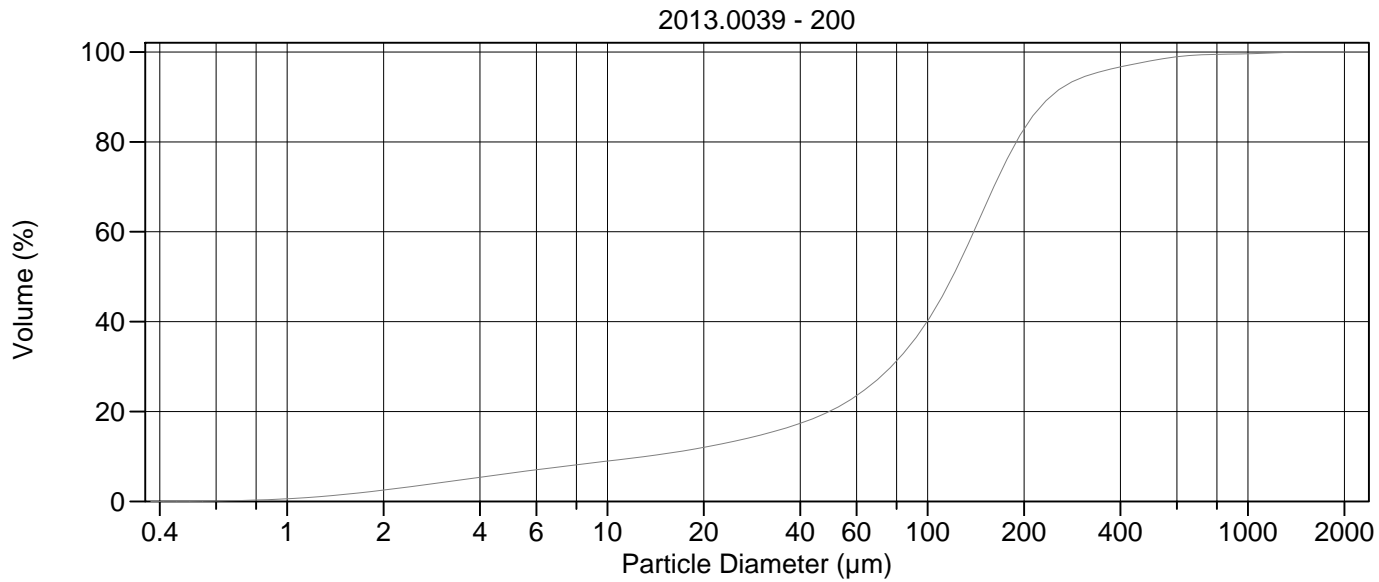
Calculations from 0.375 µm to 2000 µm

Volume	100.0%		
Mean:	136.0 µm	95% Conf. Limits:	0-424.3 µm
Median:	115.5 µm	S.D.:	147.1 µm
D(3,2):	20.27 µm	Variance:	21642 µm ²
Mean/Median Ratio:	1.177	C.V.:	108%
Mode:	140.1 µm	Skewness:	4.638 Right skewed
d ₁₀ :	13.66 µm	Kurtosis:	30.70 Leptokurtic
d ₅₀ :	115.5 µm		
d ₉₀ :	227.8 µm		
Specific Surf. Area	2960 cm ² /ml		

% <	10	25	50	75	90
Size µm	13.66	61.93	115.5	167.7	227.8

199.\$02

Particle Diameter µm	Volume % <	Particle Diameter µm	Volume % <
2.000	2.59	500.0	97.6
5.000	6.11	1000	99.2
10.00	8.74	2000	100
15.00	10.4		
20.00	12.0		
25.00	13.4		
50.00	20.7		
60.00	24.3		
63.00	25.4		
70.00	28.2		
75.00	30.4		
90.00	37.2		
125.0	55.0		
200.0	84.9		
250.0	92.4		
400.0	96.6		



Volume Statistics (Arithmetic)

200#.\$02

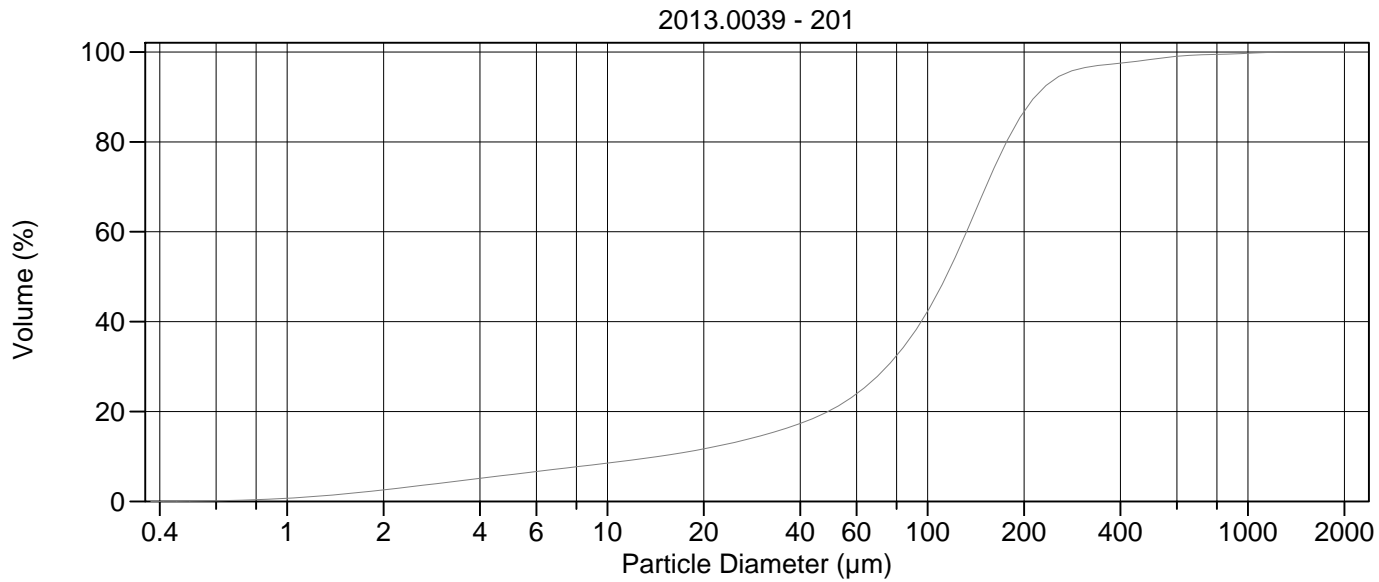
Calculations from 0.375 μm to 2000 μm

Volume	100.0%		
Mean:	136.3 μm	95% Conf. Limits:	0-383.9 μm
Median:	119.6 μm	S.D.:	126.3 μm
D(3,2):	20.64 μm	Variance:	15954 μm^2
Mean/Median Ratio:	1.140	C.V.:	92.7%
Mode:	140.1 μm	Skewness:	3.754 Right skewed
d ₁₀ :	13.13 μm	Kurtosis:	25.48 Leptokurtic
d ₅₀ :	119.6 μm		
d ₉₀ :	241.6 μm		
Specific Surf. Area	2907 cm^2/ml		

% <	10	25	50	75	90
Size μm	13.13	64.08	119.6	173.8	241.6

200#.\$02

Particle Diameter μm	Volume % <	Particle Diameter μm	Volume % <
2.000	2.51	500.0	98.1
5.000	6.29	1000	99.6
10.00	8.97	2000	100
15.00	10.6		
20.00	12.0		
25.00	13.4		
50.00	20.2		
60.00	23.5		
63.00	24.6		
70.00	27.2		
75.00	29.2		
90.00	35.6		
125.0	52.8		
200.0	82.8		
250.0	90.9		
400.0	96.7		



Volume Statistics (Arithmetic)

201.\$02

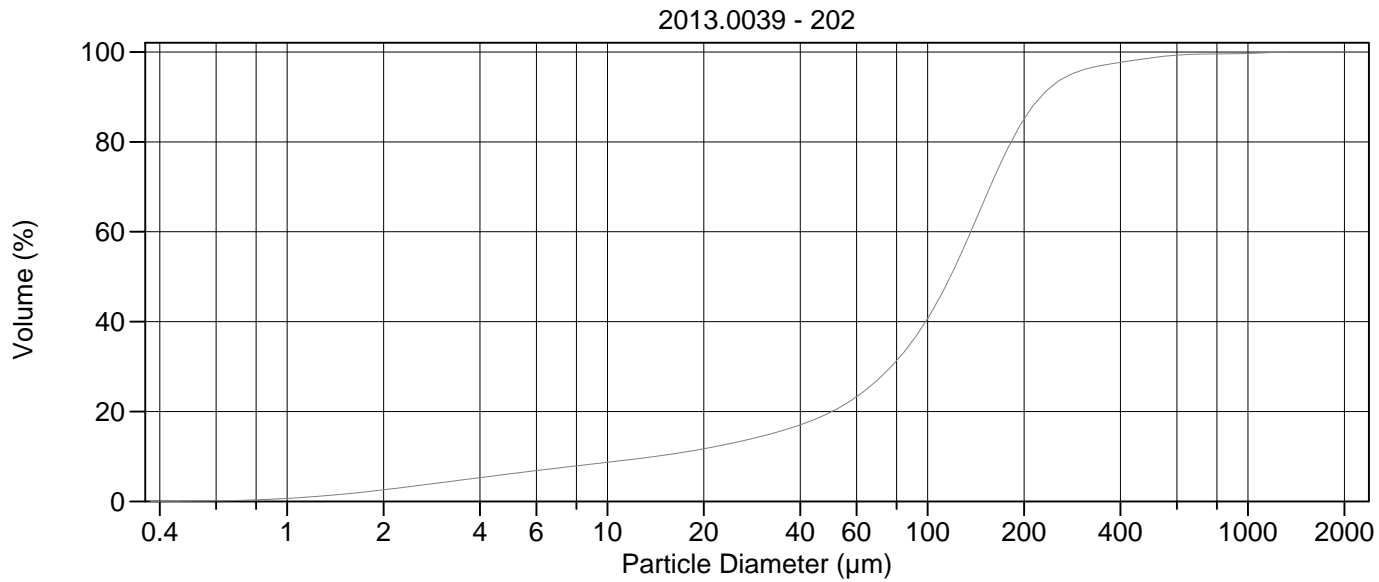
Calculations from 0.375 µm to 2000 µm

Volume	100.0%		
Mean:	126.5 µm	95% Conf. Limits:	0-349.4 µm
Median:	114.1 µm	S.D.:	113.7 µm
D(3,2):	20.42 µm	Variance:	12932 µm ²
Mean/Median Ratio:	1.109	C.V.:	89.9%
Mode:	140.1 µm	Skewness:	3.864 Right skewed
d ₁₀ :	14.43 µm	Kurtosis:	26.17 Leptokurtic
d ₅₀ :	114.1 µm		
d ₉₀ :	216.4 µm		
Specific Surf. Area	2939 cm ² /ml		

% <	10	25	50	75	90
Size µm	14.43	62.71	114.1	163.3	216.4

201.\$02

Particle Diameter µm	Volume % <	Particle Diameter µm	Volume % <
2.000	2.57	500.0	98.4
5.000	5.96	1000	99.7
10.00	8.52	2000	100
15.00	10.2		
20.00	11.7		
25.00	13.2		
50.00	20.4		
60.00	24.0		
63.00	25.1		
70.00	28.0		
75.00	30.2		
90.00	37.2		
125.0	56.0		
200.0	86.7		
250.0	94.0		
400.0	97.5		



Volume Statistics (Arithmetic)

202#.\$02

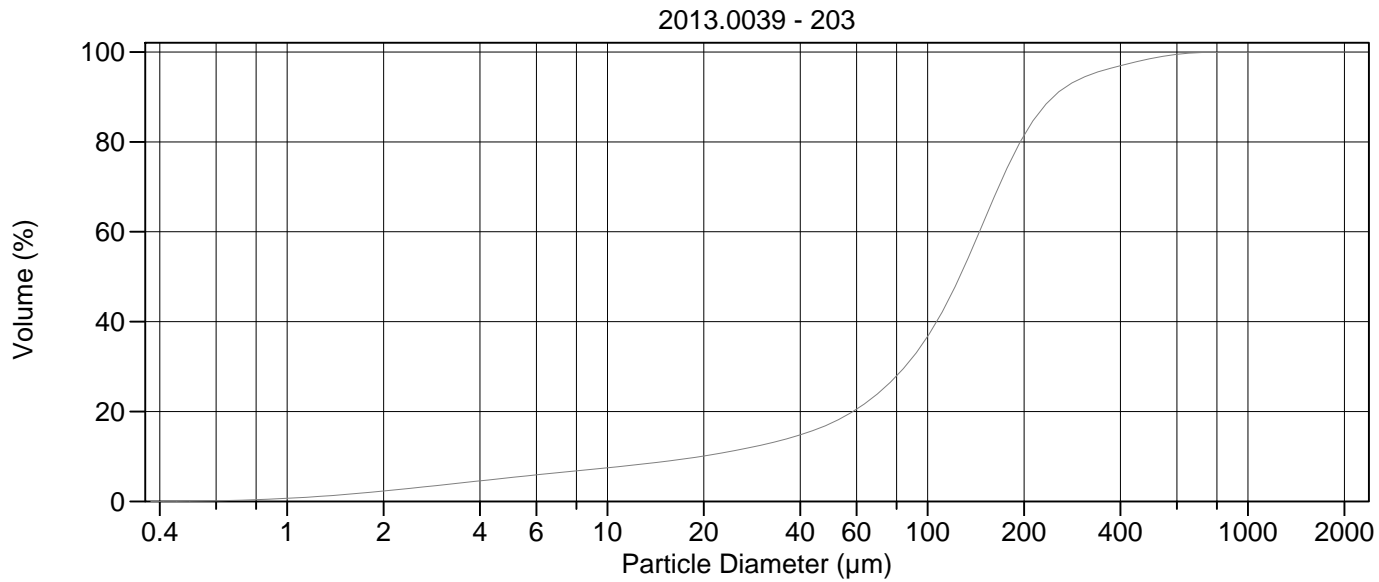
Calculations from 0.375 µm to 2000 µm

Volume	100.0%		
Mean:	129.4 µm	95% Conf. Limits:	0-350.0 µm
Median:	117.7 µm	S.D.:	112.5 µm
D(3,2):	20.44 µm	Variance:	12663 µm ²
Mean/Median Ratio:	1.100	C.V.:	87.0%
Mode:	140.1 µm	Skewness:	3.874 Right skewed
d ₁₀ :	14.08 µm	Kurtosis:	29.13 Leptokurtic
d ₅₀ :	117.7 µm		
d ₉₀ :	225.7 µm		
Specific Surf. Area	2936 cm ² /ml		

% <	10	25	50	75	90
Size µm	14.08	64.57	117.7	168.6	225.7

202#.\$02

Particle Diameter µm	Volume % <	Particle Diameter µm	Volume % <
2.000	2.59	500.0	98.7
5.000	6.15	1000	99.7
10.00	8.70	2000	100
15.00	10.3		
20.00	11.7		
25.00	13.1		
50.00	19.9		
60.00	23.3		
63.00	24.4		
70.00	27.1		
75.00	29.2		
90.00	35.9		
125.0	53.9		
200.0	85.0		
250.0	92.9		
400.0	97.7		



Volume Statistics (Arithmetic)

203.\$02

Calculations from 0.375 μm to 2000 μm

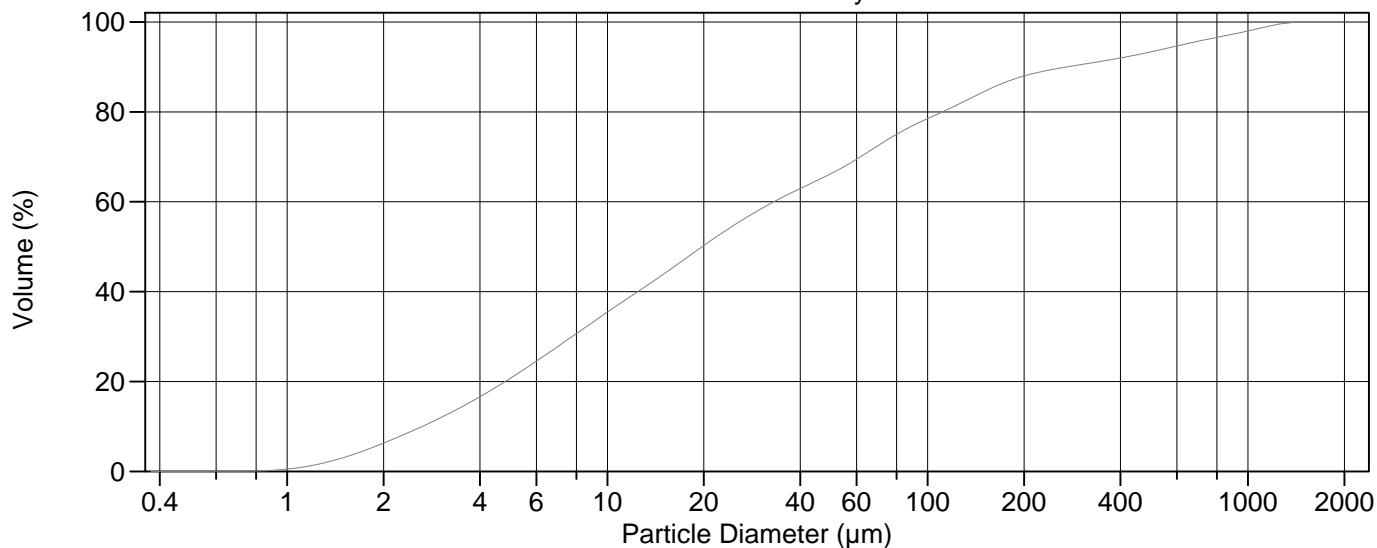
Volume	100.0%	95% Conf. Limits:	0-344.3 μm
Mean:	138.5 μm	S.D.:	105.0 μm
Median:	125.9 μm	Variance:	11021 μm^2
D(3,2):	22.54 μm	C.V.:	75.8%
Mean/Median Ratio:	1.100	Skewness:	2.016 Right skewed
Mode:	153.8 μm	Kurtosis:	8.478 Leptokurtic
d ₁₀ :	19.58 μm		
d ₅₀ :	125.9 μm		
d ₉₀ :	247.1 μm		
Specific Surf. Area	2662 cm^2/ml		

% <	10	25	50	75	90
Size μm	19.58	72.49	125.9	179.4	247.1

203.\$02

Particle Diameter μm	Volume % <	Particle Diameter μm	Volume % <
2.000	2.31	500.0	98.6
5.000	5.31	1000	100.0
10.00	7.49	2000	100
15.00	8.85		
20.00	10.1		
25.00	11.3		
50.00	17.4		
60.00	20.5		
63.00	21.5		
70.00	24.1		
75.00	26.0		
90.00	32.2		
125.0	49.5		
200.0	81.4		
250.0	90.4		
400.0	97.0		

2013.0039 - stand. Hynne



Volume Statistics (Arithmetic) 204.\$02

Calculations from 0.375 µm to 2000 µm

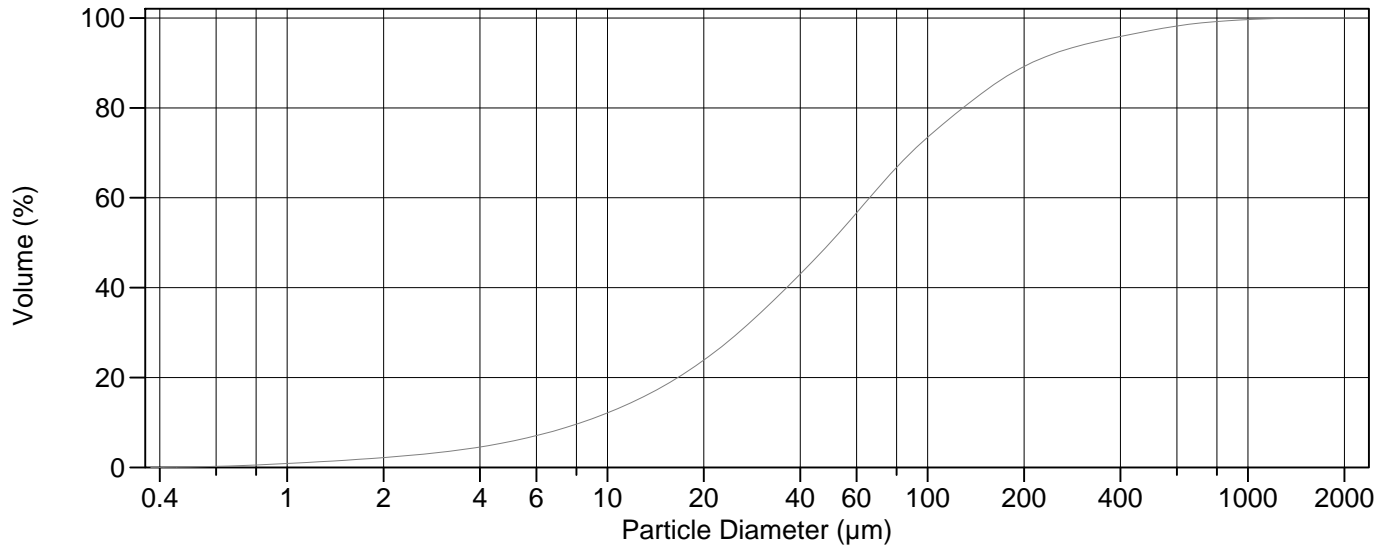
Volume	100.0%		
Mean:	104.9 µm	95% Conf. Limits:	0-543.6 µm
Median:	19.78 µm	S.D.:	223.9 µm
D(3,2):	7.673 µm	Variance:	50110 µm ²
Mean/Median Ratio:	5.302	C.V.:	213%
Mode:	18.00 µm	Skewness:	3.353 Right skewed
d ₁₀ :	2.640 µm	Kurtosis:	11.57 Leptokurtic
d ₅₀ :	19.78 µm		
d ₉₀ :	272.1 µm		
Specific Surf. Area	7819 cm ² /ml		

% <	10	25	50	75	90
Size µm	2.640	6.137	19.78	79.98	272.1

204.\$02

Particle Diameter µm	Volume % <	Particle Diameter µm	Volume % <
2.000	6.28	500.0	93.4
5.000	20.8	1000	98.0
10.00	35.4	2000	100
15.00	43.9		
20.00	50.2		
25.00	54.9		
50.00	66.3		
60.00	69.5		
63.00	70.4		
70.00	72.5		
75.00	73.8		
90.00	77.0		
125.0	81.7		
200.0	88.0		
250.0	89.5		
400.0	92.0		

2013.0039 - stand.MINN



Volume Statistics (Arithmetic)

205.\$02

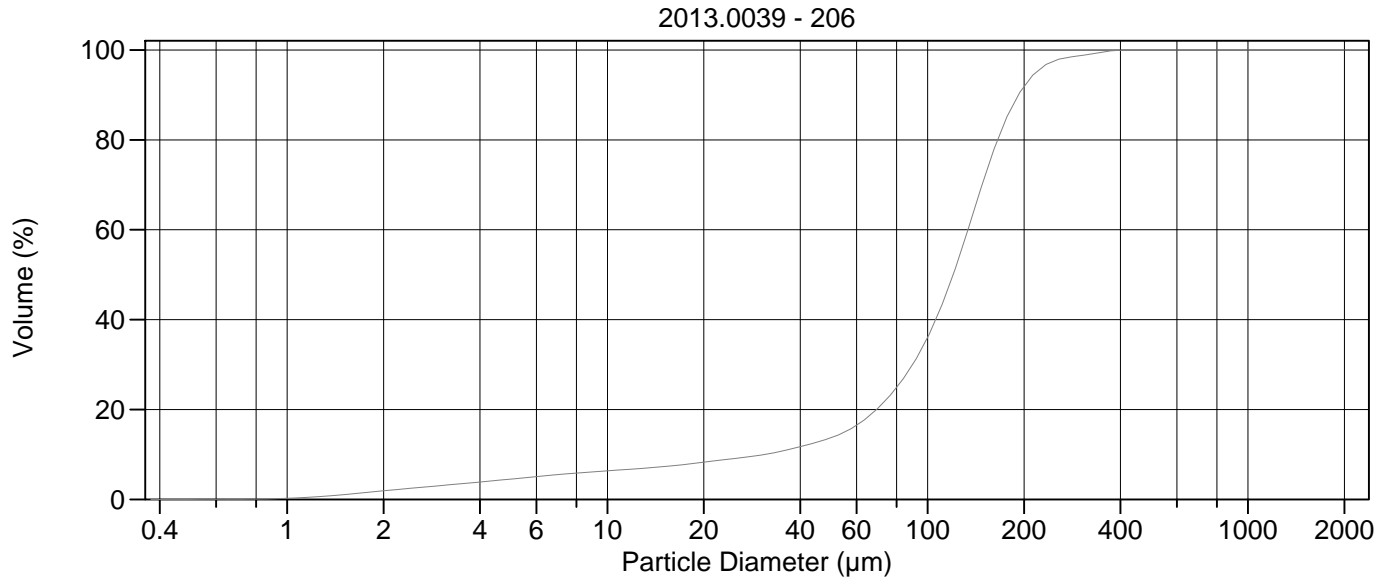
Calculations from 0.375 µm to 2000 µm

Volume	100.0%		
Mean:	94.19 µm	95% Conf. Limits:	0-370.0 µm
Median:	49.67 µm	S.D.:	140.7 µm
D(3,2):	15.85 µm	Variance:	19798 µm ²
Mean/Median Ratio:	1.896	C.V.:	149%
Mode:	66.44 µm	Skewness:	3.911 Right skewed
d ₁₀ :	8.301 µm	Kurtosis:	20.63 Leptokurtic
d ₅₀ :	49.67 µm		
d ₉₀ :	210.6 µm		
Specific Surf. Area	3787 cm ² /ml		

% <	10	25	50	75	90
Size µm	8.301	21.02	49.67	105.9	210.6

205.\$02

Particle Diameter µm	Volume % <	Particle Diameter µm	Volume % <
2.000	2.19	500.0	97.3
5.000	5.79	1000	99.6
10.00	12.1	2000	100
15.00	18.1		
20.00	23.9		
25.00	29.3		
50.00	50.2		
60.00	56.6		
63.00	58.4		
70.00	62.2		
75.00	64.6		
90.00	70.5		
125.0	79.2		
200.0	89.2		
250.0	92.2		
400.0	95.9		



Volume Statistics (Arithmetic) 206.\$02

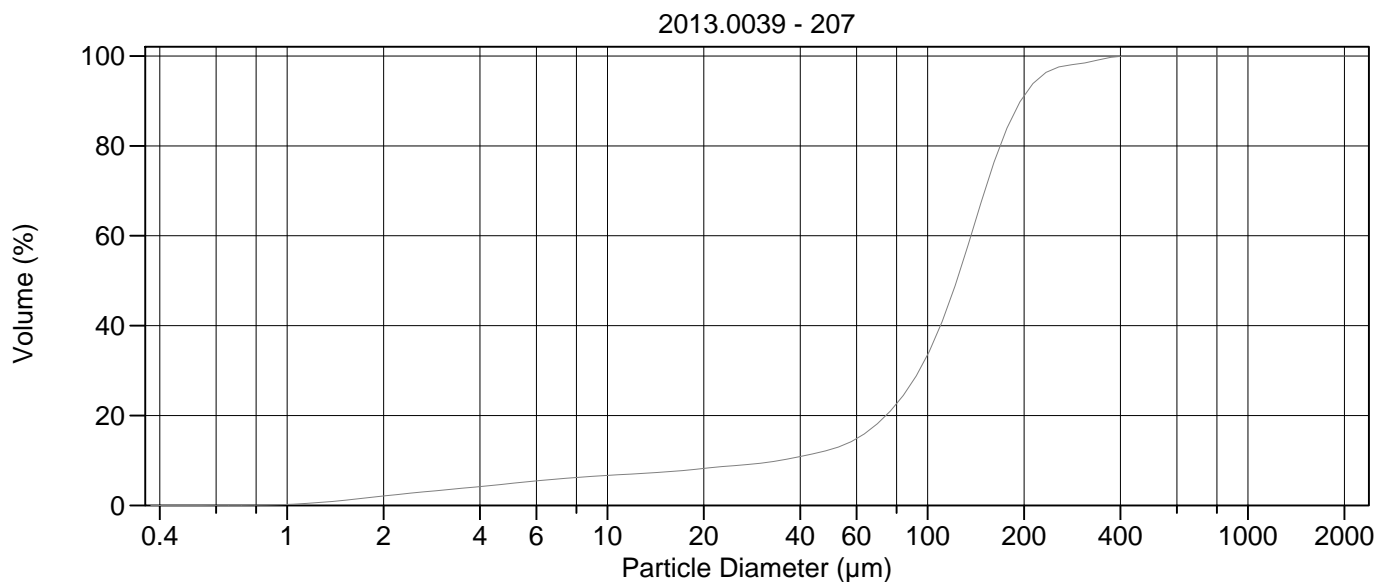
Calculations from 0.375 µm to 2000 µm

Volume	100.0%		
Mean:	119.0 µm	95% Conf. Limits:	0-242.6 µm
Median:	120.1 µm	S.D.:	63.06 µm
D(3,2):	27.93 µm	Variance:	3977 µm ²
Mean/Median Ratio:	0.991	C.V.:	53.0%
Mode:	140.1 µm	Skewness:	0.442 Right skewed
d ₁₀ :	31.01 µm	Kurtosis:	1.214 Leptokurtic
d ₅₀ :	120.1 µm		
d ₉₀ :	192.1 µm		
Specific Surf. Area	2148 cm ² /ml		

% <	10	25	50	75	90
Size µm	31.01	80.10	120.1	156.2	192.1

206.\$02

Particle Diameter µm	Volume % <	Particle Diameter µm	Volume % <
2.000	1.91	500.0	100
5.000	4.52	1000	100
10.00	6.36	2000	100
15.00	7.30		
20.00	8.28		
25.00	9.12		
50.00	13.8		
60.00	16.5		
63.00	17.5		
70.00	20.3		
75.00	22.6		
90.00	30.2		
125.0	53.7		
200.0	91.8		
250.0	97.6		
400.0	99.9		



Volume Statistics (Arithmetic) 207.\$02

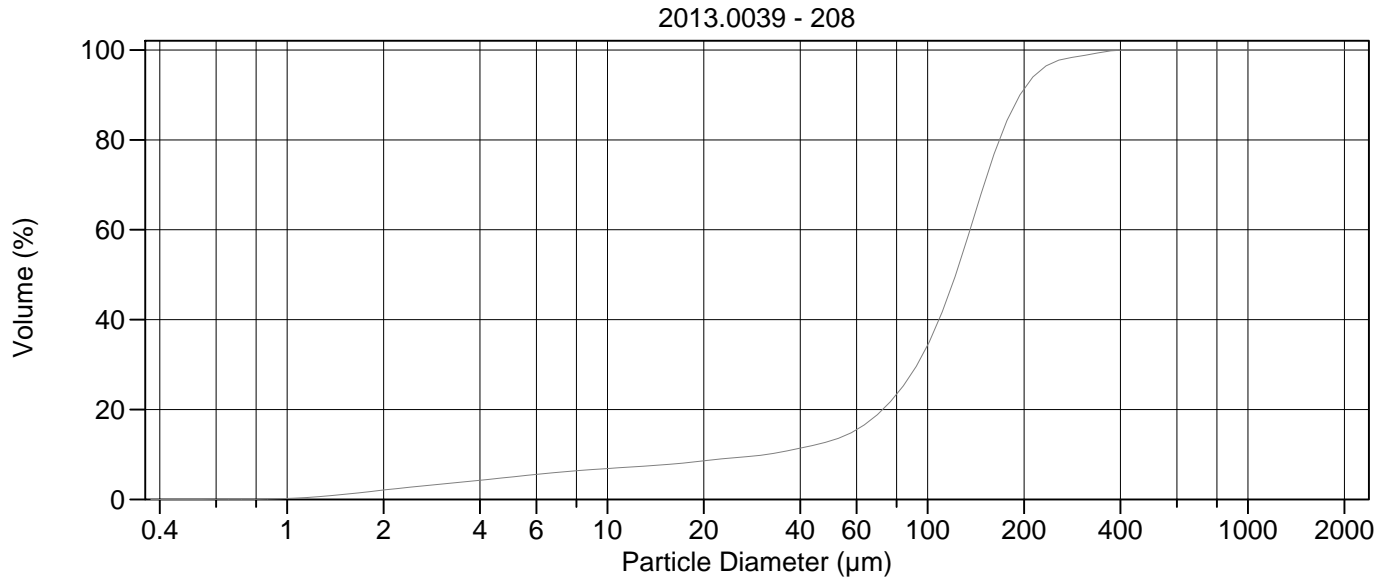
Calculations from 0.375 µm to 2000 µm

Volume	100.0%	95% Conf. Limits:	0-248.9 µm
Mean:	122.6 µm	S.D.:	64.41 µm
Median:	123.2 µm	Variance:	4148 µm ²
D(3,2):	27.13 µm	C.V.:	52.5%
Mean/Median Ratio:	0.995	Skewness:	0.506 Right skewed
Mode:	140.1 µm	Kurtosis:	1.528 Leptokurtic
d ₁₀ :	34.53 µm		
d ₅₀ :	123.2 µm		
d ₉₀ :	195.1 µm		
Specific Surf. Area	2212 cm ² /ml		

% <	10	25	50	75	90
Size µm	34.53	84.89	123.2	159.0	195.1

207.\$02

Particle Diameter µm	Volume % <	Particle Diameter µm	Volume % <
2.000	2.09	500.0	100
5.000	4.89	1000	100
10.00	6.67	2000	100
15.00	7.42		
20.00	8.22		
25.00	8.86		
50.00	12.5		
60.00	14.9		
63.00	15.8		
70.00	18.3		
75.00	20.4		
90.00	27.7		
125.0	51.3		
200.0	91.0		
250.0	97.2		
400.0	99.9		



Volume Statistics (Arithmetic)

208.\$02

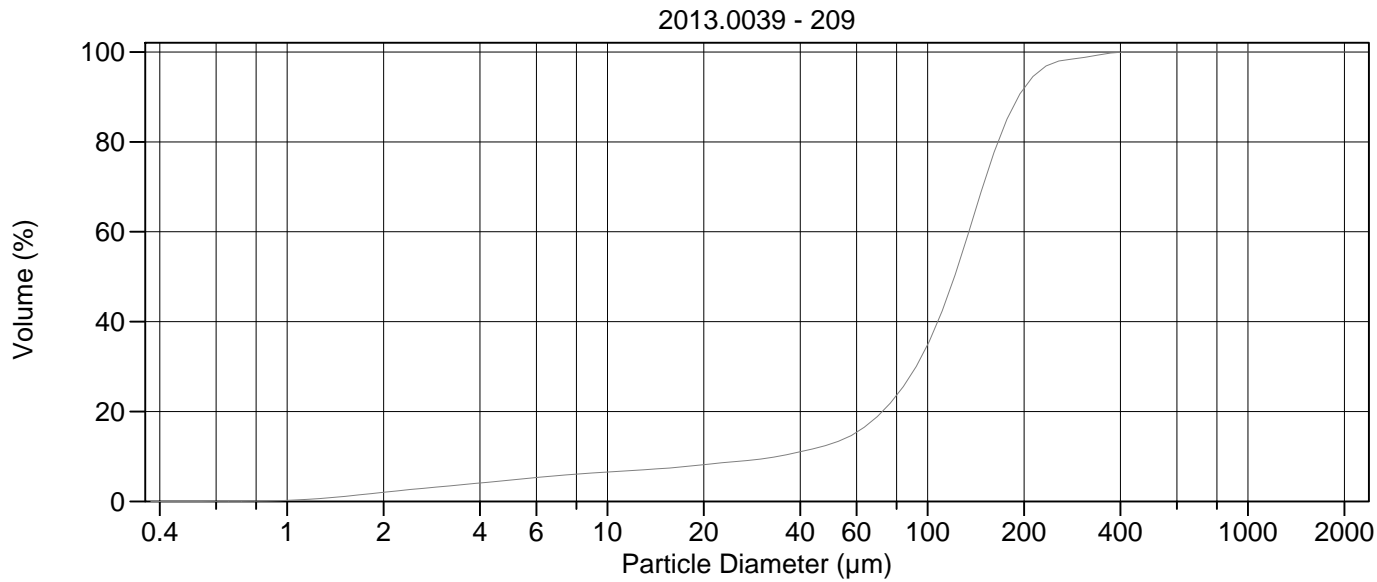
Calculations from 0.375 µm to 2000 µm

Volume	100.0%	95% Conf. Limits:	0-245.9 µm
Mean:	121.2 µm	S.D.:	63.66 µm
Median:	122.3 µm	Variance:	4052 µm ²
D(3,2):	26.79 µm	C.V.:	52.5%
Mean/Median Ratio:	0.991	Skewness:	0.403 Right skewed
Mode:	140.1 µm	Kurtosis:	1.166 Leptokurtic
d ₁₀ :	31.30 µm		
d ₅₀ :	122.3 µm		
d ₉₀ :	194.1 µm		
Specific Surf. Area	2240 cm ² /ml		

% <	10	25	50	75	90
Size µm	31.30	83.37	122.3	158.2	194.1

208.\$02

Particle Diameter µm	Volume % <	Particle Diameter µm	Volume % <
2.000	2.08	500.0	100
5.000	4.97	1000	100
10.00	6.87	2000	100
15.00	7.71		
20.00	8.59		
25.00	9.28		
50.00	13.1		
60.00	15.5		
63.00	16.4		
70.00	19.0		
75.00	21.1		
90.00	28.5		
125.0	52.0		
200.0	91.3		
250.0	97.4		
400.0	99.9		



Volume Statistics (Arithmetic) 209.\$02

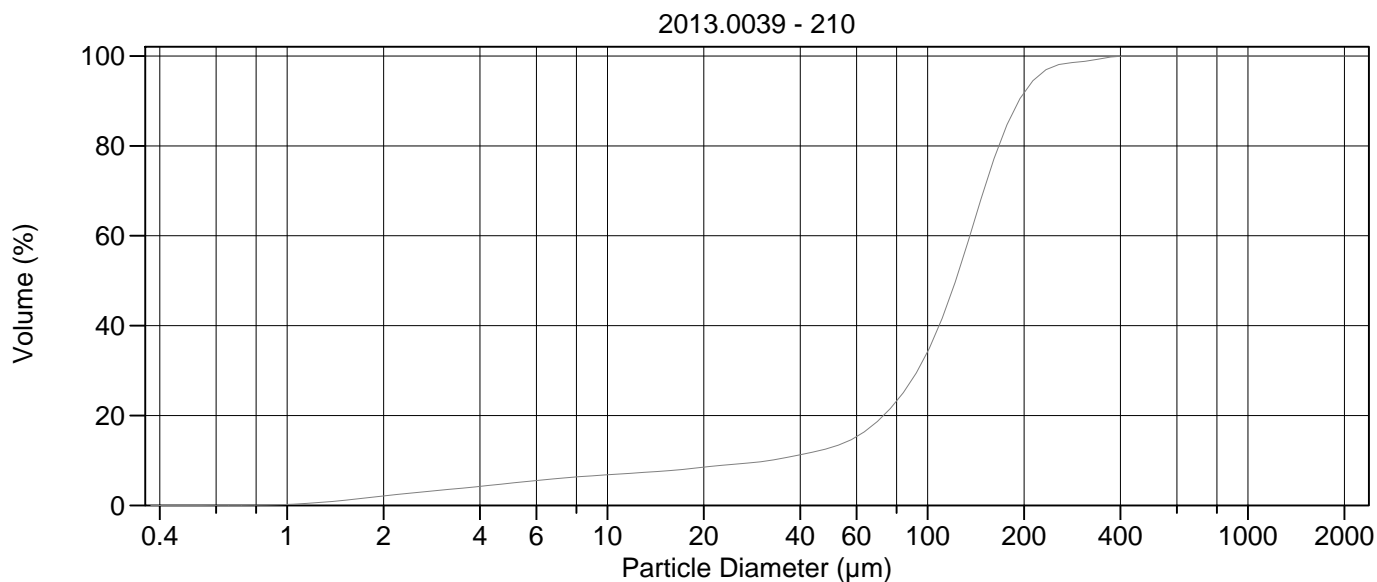
Calculations from 0.375 µm to 2000 µm

Volume	100.0%		
Mean:	120.2 µm	95% Conf. Limits:	0-243.0 µm
Median:	121.2 µm	S.D.:	62.64 µm
D(3,2):	27.38 µm	Variance:	3924 µm ²
Mean/Median Ratio:	0.992	C.V.:	52.1%
Mode:	140.1 µm	Skewness:	0.441 Right skewed
d ₁₀ :	33.92 µm	Kurtosis:	1.375 Leptokurtic
d ₅₀ :	121.2 µm		
d ₉₀ :	192.0 µm		
Specific Surf. Area	2192 cm ² /ml		

% <	10	25	50	75	90
Size µm	33.92	82.81	121.2	156.8	192.0

209.\$02

Particle Diameter µm	Volume % <	Particle Diameter µm	Volume % <
2.000	2.02	500.0	100
5.000	4.77	1000	100
10.00	6.55	2000	100
15.00	7.34		
20.00	8.17		
25.00	8.85		
50.00	12.8		
60.00	15.4		
63.00	16.4		
70.00	19.1		
75.00	21.3		
90.00	28.9		
125.0	52.9		
200.0	91.9		
250.0	97.7		
400.0	99.9		



Volume Statistics (Arithmetic) 210.\$02

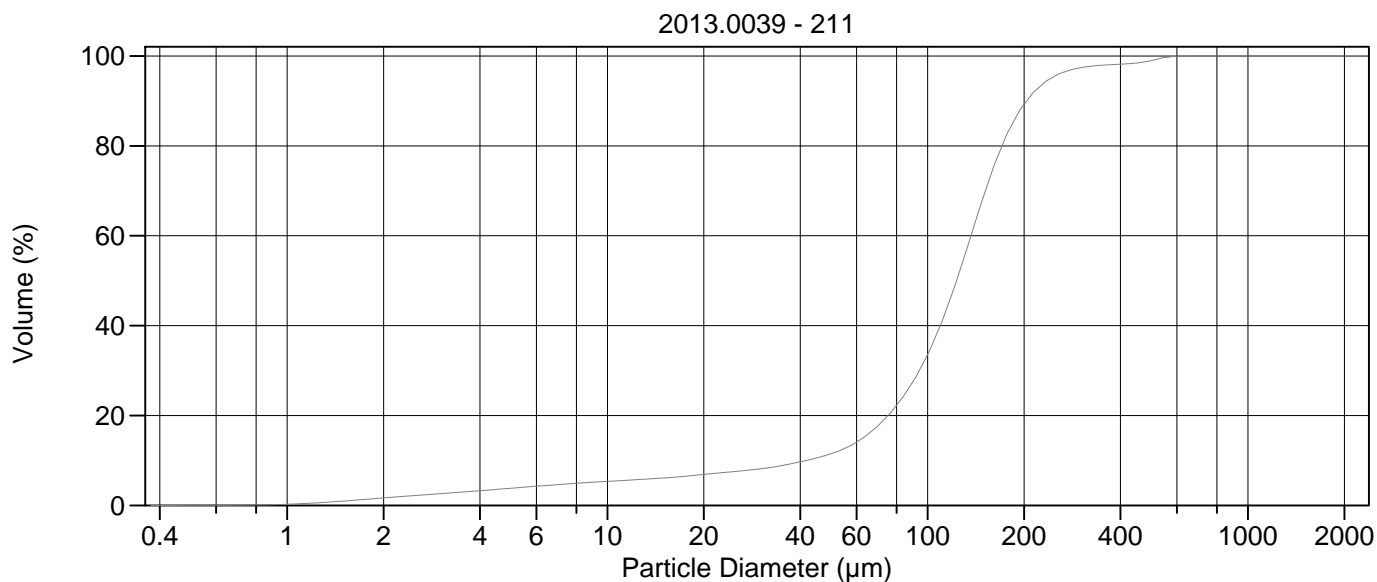
Calculations from 0.375 µm to 2000 µm

Volume	100.0%		
Mean:	120.8 µm	95% Conf. Limits:	0-243.9 µm
Median:	122.3 µm	S.D.:	62.82 µm
D(3,2):	26.80 µm	Variance:	3946 µm ²
Mean/Median Ratio:	0.988	C.V.:	52.0%
Mode:	140.1 µm	Skewness:	0.402 Right skewed
d ₁₀ :	32.10 µm	Kurtosis:	1.348 Leptokurtic
d ₅₀ :	122.3 µm		
d ₉₀ :	192.7 µm		
Specific Surf. Area	2239 cm ² /ml		

% <	10	25	50	75	90
Size µm	32.10	83.76	122.3	157.7	192.7

210.\$02

Particle Diameter µm	Volume % <	Particle Diameter µm	Volume % <
2.000	2.10	500.0	100
5.000	4.95	1000	100
10.00	6.82	2000	100
15.00	7.64		
20.00	8.50		
25.00	9.19		
50.00	12.9		
60.00	15.3		
63.00	16.2		
70.00	18.8		
75.00	20.9		
90.00	28.3		
125.0	52.1		
200.0	91.7		
250.0	97.8		
400.0	99.9		



Volume Statistics (Arithmetic)

211#.\$02

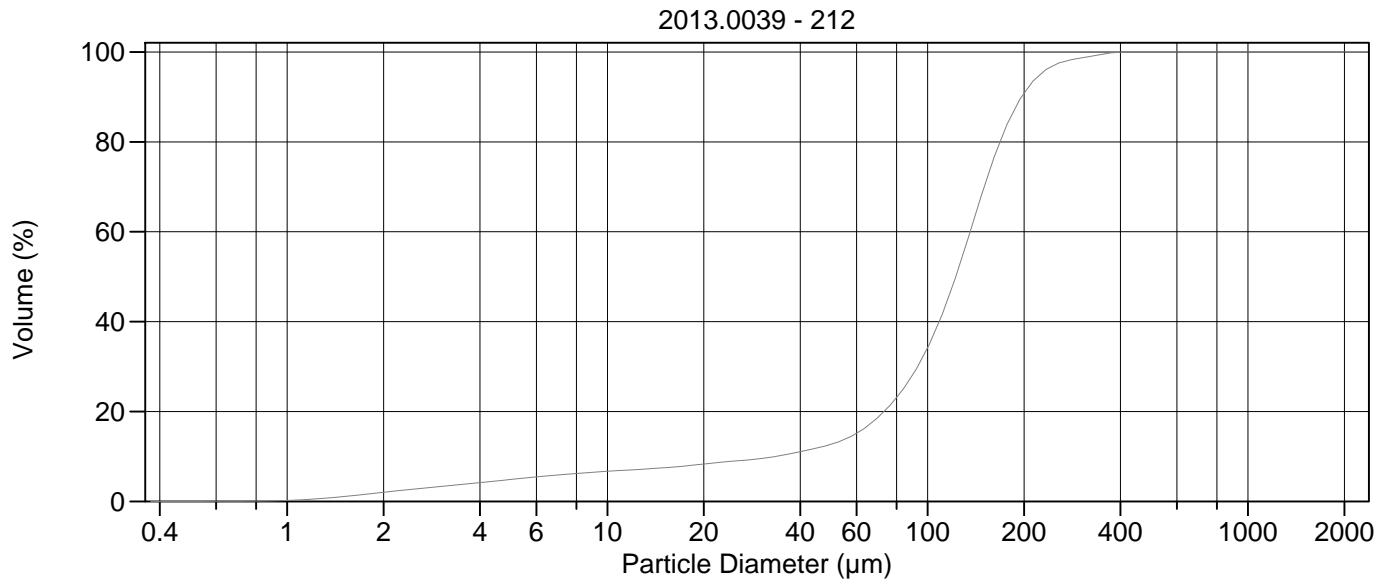
Calculations from 0.375 µm to 2000 µm

Volume	100.0%	95% Conf. Limits:	0-285.0 µm
Mean:	128.9 µm	S.D.:	79.66 µm
Median:	123.1 µm	Variance:	6346 µm ²
D(3,2):	31.32 µm	C.V.:	61.8%
Mean/Median Ratio:	1.047	Skewness:	2.002 Right skewed
Mode:	140.1 µm	Kurtosis:	8.200 Leptokurtic
d ₁₀ :	41.76 µm		
d ₅₀ :	123.1 µm		
d ₉₀ :	204.1 µm		
Specific Surf. Area	1916 cm ² /ml		

% <	10	25	50	75	90
Size µm	41.76	85.32	123.1	160.1	204.1

211#.\$02

Particle Diameter µm	Volume % <	Particle Diameter µm	Volume % <
2.000	1.66	500.0	99.0
5.000	3.82	1000	100
10.00	5.34	2000	100
15.00	6.10		
20.00	6.88		
25.00	7.54		
50.00	11.5		
60.00	14.1		
63.00	15.0		
70.00	17.7		
75.00	19.9		
90.00	27.6		
125.0	51.4		
200.0	89.2		
250.0	95.6		
400.0	98.2		



Volume Statistics (Arithmetic)

212#.\$02

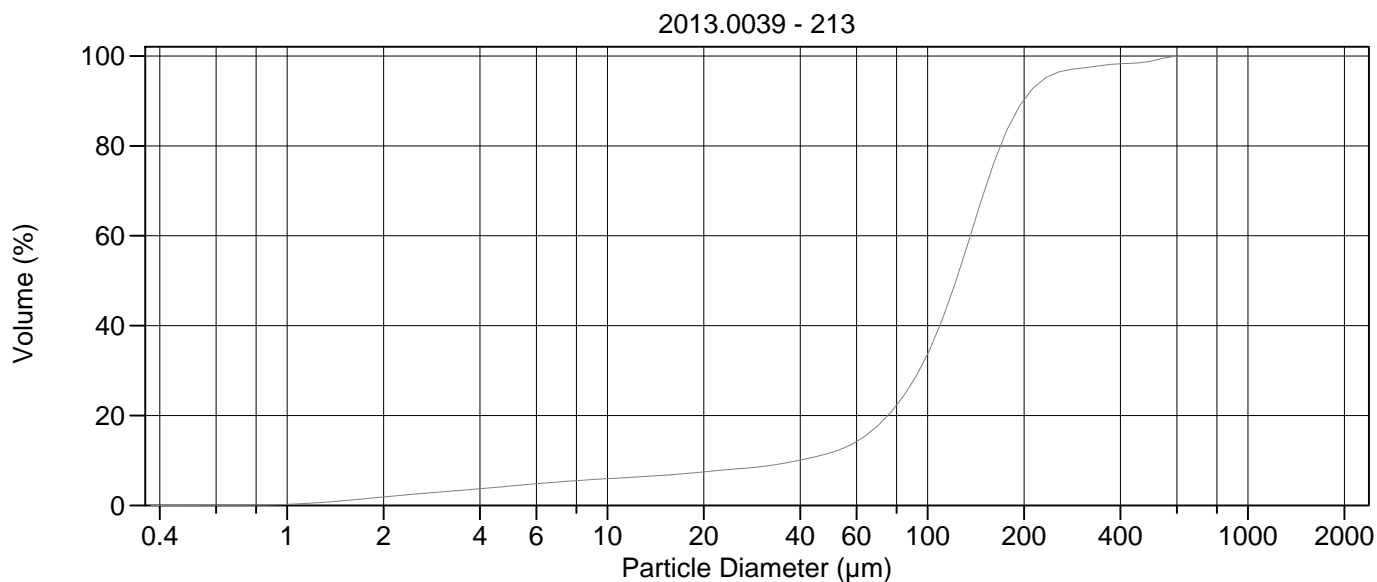
Calculations from 0.375 µm to 2000 µm

Volume	100.0%	95% Conf. Limits:	0-247.4 µm
Mean:	121.9 µm	S.D.:	64.00 µm
Median:	122.4 µm	Variance:	4096 µm ²
D(3,2):	27.28 µm	C.V.:	52.5%
Mean/Median Ratio:	0.996	Skewness:	0.430 Right skewed
Mode:	140.1 µm	Kurtosis:	1.173 Leptokurtic
d ₁₀ :	33.54 µm		
d ₅₀ :	122.4 µm		
d ₉₀ :	196.4 µm		
Specific Surf. Area	2199 cm ² /ml		

% <	10	25	50	75	90
Size µm	33.54	83.87	122.4	158.6	196.4

212#.\$02

Particle Diameter µm	Volume % <	Particle Diameter µm	Volume % <
2.000	2.03	500.0	100
5.000	4.88	1000	100
10.00	6.70	2000	100
15.00	7.48		
20.00	8.31		
25.00	8.98		
50.00	12.7		
60.00	15.2		
63.00	16.1		
70.00	18.7		
75.00	20.9		
90.00	28.3		
125.0	52.0		
200.0	90.8		
250.0	97.1		
400.0	99.9		



Volume Statistics (Arithmetic) 213.\$02

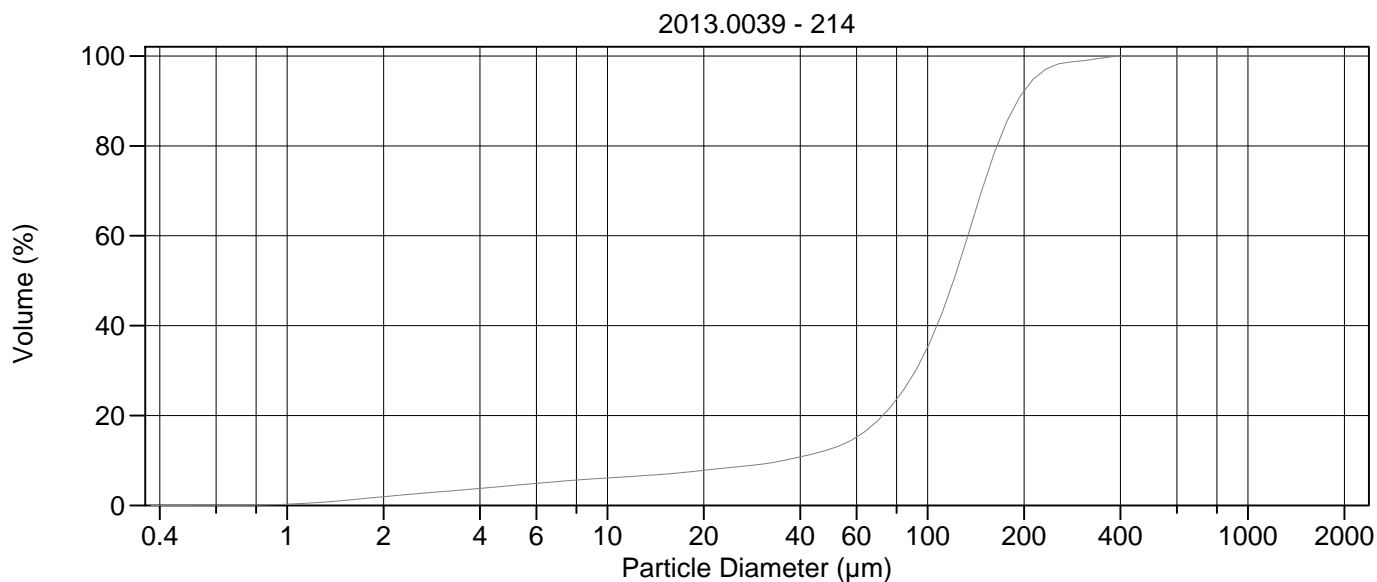
Calculations from 0.375 µm to 2000 µm

Volume	100.0%		
Mean:	127.6 µm	95% Conf. Limits:	0-283.8 µm
Median:	122.6 µm	S.D.:	79.72 µm
D(3,2):	29.29 µm	Variance:	6355 µm ²
Mean/Median Ratio:	1.041	C.V.:	62.5%
Mode:	140.1 µm	Skewness:	2.108 Right skewed
d ₁₀ :	39.38 µm	Kurtosis:	9.062 Leptokurtic
d ₅₀ :	122.6 µm		
d ₉₀ :	199.0 µm		
Specific Surf. Area	2049 cm ² /ml		

% <	10	25	50	75	90
Size µm	39.38	85.25	122.6	158.9	199.0

213.\$02

Particle Diameter µm	Volume % <	Particle Diameter µm	Volume % <
2.000	1.88	500.0	98.9
5.000	4.32	1000	100
10.00	5.95	2000	100
15.00	6.70		
20.00	7.47		
25.00	8.10		
50.00	11.8		
60.00	14.2		
63.00	15.1		
70.00	17.8		
75.00	20.0		
90.00	27.6		
125.0	51.8		
200.0	90.2		
250.0	96.1		
400.0	98.3		



Volume Statistics (Arithmetic) 214.\$02

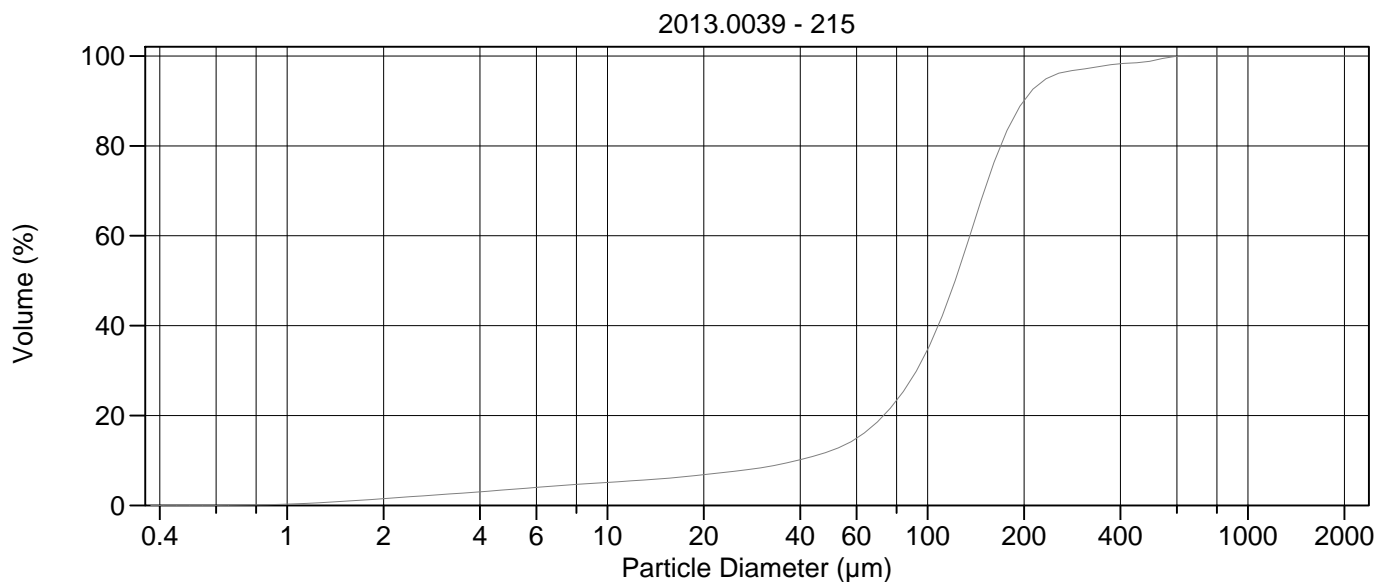
Calculations from 0.375 µm to 2000 µm

Volume	100.0%		
Mean:	119.5 µm	95% Conf. Limits:	0-239.6 µm
Median:	120.4 µm	S.D.:	61.26 µm
D(3,2):	28.32 µm	Variance:	3753 µm ²
Mean/Median Ratio:	0.992	C.V.:	51.3%
Mode:	140.1 µm	Skewness:	0.401 Right skewed
d ₁₀ :	35.49 µm	Kurtosis:	1.286 Leptokurtic
d ₅₀ :	120.4 µm		
d ₉₀ :	191.0 µm		
Specific Surf. Area	2118 cm ² /ml		

% <	10	25	50	75	90
Size µm	35.49	82.69	120.4	155.8	191.0

214.\$02

Particle Diameter µm	Volume % <	Particle Diameter µm	Volume % <
2.000	1.94	500.0	100
5.000	4.39	1000	100
10.00	6.10	2000	100
15.00	6.94		
20.00	7.81		
25.00	8.53		
50.00	12.6		
60.00	15.2		
63.00	16.2		
70.00	19.0		
75.00	21.2		
90.00	29.0		
125.0	53.5		
200.0	92.2		
250.0	97.9		
400.0	99.9		



Volume Statistics (Arithmetic) 215.\$02

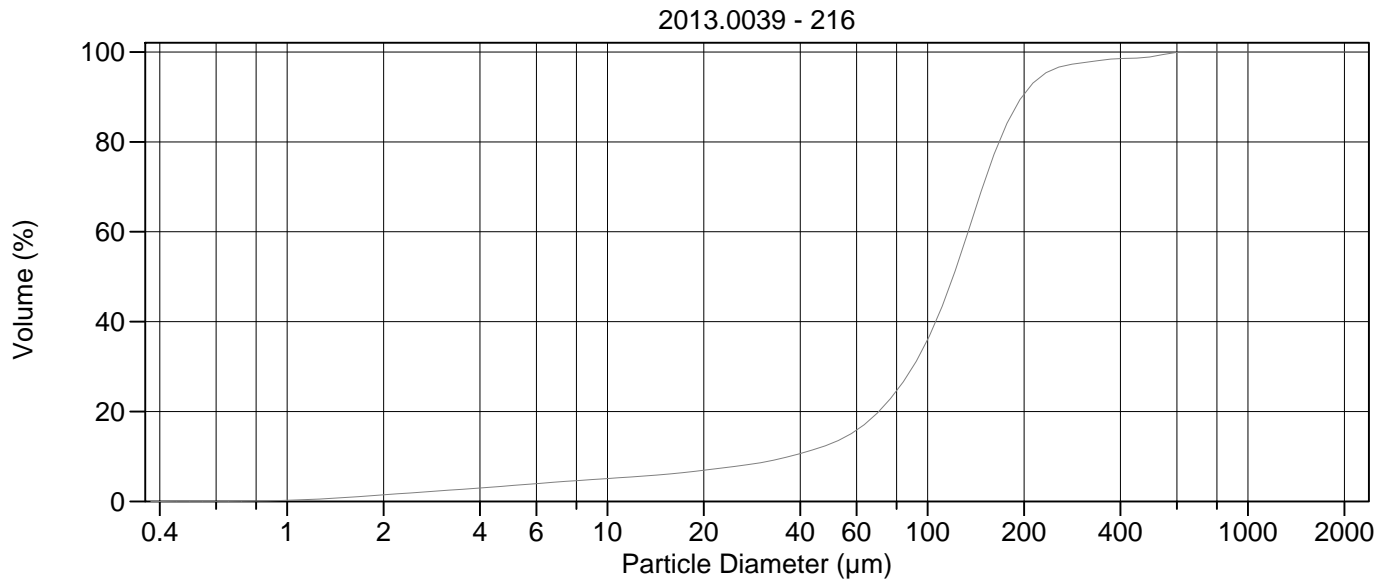
Calculations from 0.375 µm to 2000 µm

Volume	100.0%		
Mean:	127.4 µm	95% Conf. Limits:	0-284.9 µm
Median:	121.8 µm	S.D.:	80.34 µm
D(3,2):	31.99 µm	Variance:	6454 µm ²
Mean/Median Ratio:	1.046	C.V.:	63.1%
Mode:	140.1 µm	Skewness:	2.097 Right skewed
d ₁₀ :	39.14 µm	Kurtosis:	8.720 Leptokurtic
d ₅₀ :	121.8 µm		
d ₉₀ :	200.0 µm		
Specific Surf. Area	1876 cm ² /ml		

% <	10	25	50	75	90
Size µm	39.14	83.22	121.8	158.9	200.0

215.\$02

Particle Diameter µm	Volume % <	Particle Diameter µm	Volume % <
2.000	1.51	500.0	98.9
5.000	3.56	1000	100
10.00	5.12	2000	100
15.00	5.98		
20.00	6.85		
25.00	7.62		
50.00	12.2		
60.00	15.0		
63.00	16.0		
70.00	18.7		
75.00	21.0		
90.00	28.7		
125.0	52.4		
200.0	90.0		
250.0	95.8		
400.0	98.3		



Volume Statistics (Arithmetic) 216.\$02

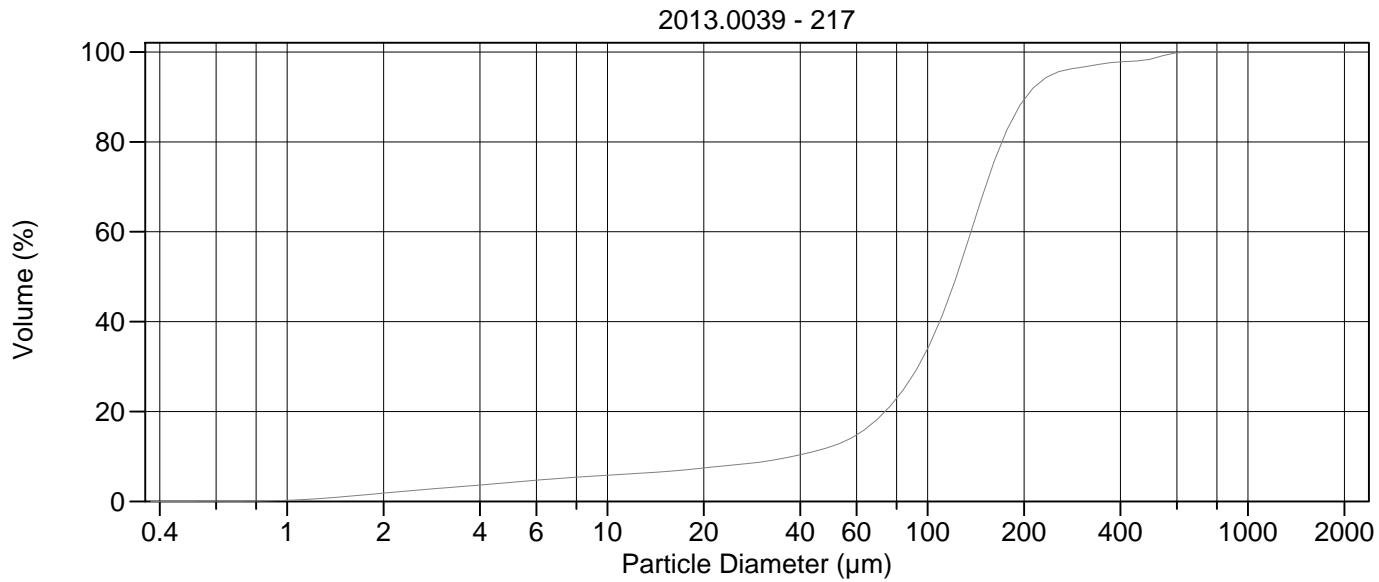
Calculations from 0.375 µm to 2000 µm

Volume	100.0%		
Mean:	124.8 µm	95% Conf. Limits:	0-278.4 µm
Median:	120.0 µm	S.D.:	78.40 µm
D(3,2):	32.48 µm	Variance:	6146 µm ²
Mean/Median Ratio:	1.039	C.V.:	62.8%
Mode:	140.1 µm	Skewness:	2.138 Right skewed
d ₁₀ :	36.97 µm	Kurtosis:	9.617 Leptokurtic
d ₅₀ :	120.0 µm		
d ₉₀ :	197.2 µm		
Specific Surf. Area	1847 cm ² /ml		

% <	10	25	50	75	90
Size µm	36.97	80.71	120.0	157.3	197.2

216.\$02

Particle Diameter µm	Volume % <	Particle Diameter µm	Volume % <
2.000	1.45	500.0	99.0
5.000	3.52	1000	100
10.00	5.08	2000	100
15.00	5.99		
20.00	6.93		
25.00	7.79		
50.00	12.9		
60.00	15.9		
63.00	16.9		
70.00	19.8		
75.00	22.2		
90.00	30.0		
125.0	53.6		
200.0	90.5		
250.0	96.3		
400.0	98.5		



Volume Statistics (Arithmetic) 217.\$02

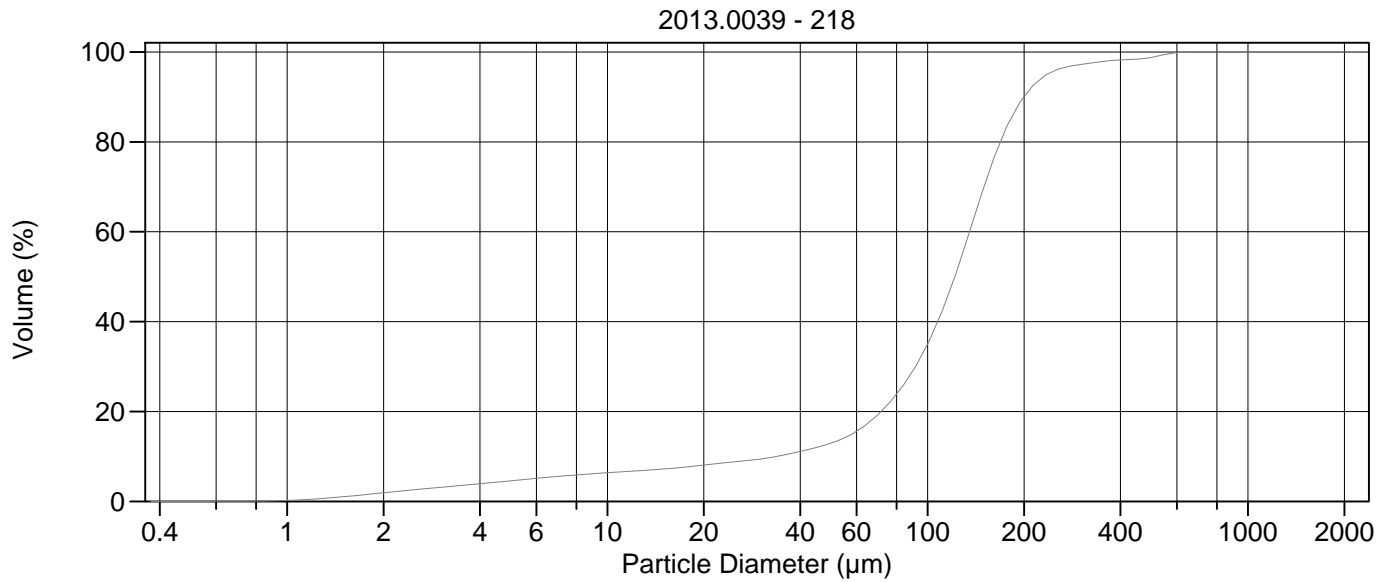
Calculations from 0.375 µm to 2000 µm

Volume	100.0%		
Mean:	129.9 µm	95% Conf. Limits:	0-298.6 µm
Median:	122.9 µm	S.D.:	86.09 µm
D(3,2):	29.34 µm	Variance:	7411 µm ²
Mean/Median Ratio:	1.057	C.V.:	66.3%
Mode:	140.1 µm	Skewness:	2.251 Right skewed
d ₁₀ :	37.73 µm	Kurtosis:	8.989 Leptokurtic
d ₅₀ :	122.9 µm		
d ₉₀ :	203.4 µm		
Specific Surf. Area	2045 cm ² /ml		

% <	10	25	50	75	90
Size µm	37.73	84.18	122.9	160.2	203.4

217.\$02

Particle Diameter µm	Volume % <	Particle Diameter µm	Volume % <
2.000	1.85	500.0	98.5
5.000	4.23	1000	100
10.00	5.84	2000	100
15.00	6.63		
20.00	7.45		
25.00	8.15		
50.00	12.2		
60.00	14.8		
63.00	15.8		
70.00	18.5		
75.00	20.6		
90.00	28.1		
125.0	51.6		
200.0	89.3		
250.0	95.3		
400.0	97.8		



Volume Statistics (Arithmetic) 218.\$02

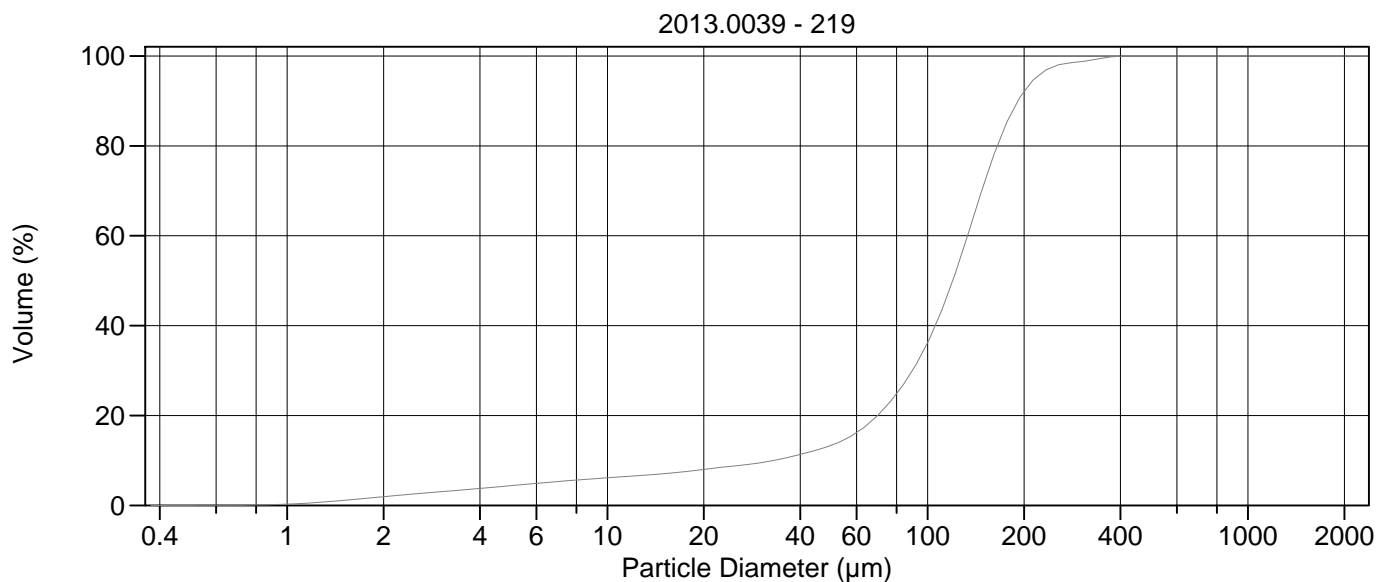
Calculations from 0.375 µm to 2000 µm

Volume	100.0%		
Mean:	126.5 µm	95% Conf. Limits:	0-286.9 µm
Median:	121.5 µm	S.D.:	81.84 µm
D(3,2):	28.15 µm	Variance:	6697 µm ²
Mean/Median Ratio:	1.041	C.V.:	64.7%
Mode:	140.1 µm	Skewness:	2.130 Right skewed
d ₁₀ :	33.76 µm	Kurtosis:	9.096 Leptokurtic
d ₅₀ :	121.5 µm		
d ₉₀ :	200.1 µm		
Specific Surf. Area	2132 cm ² /ml		

% <	10	25	50	75	90
Size µm	33.76	82.17	121.5	158.6	200.1

218.\$02

Particle Diameter µm	Volume % <	Particle Diameter µm	Volume % <
2.000	1.92	500.0	98.8
5.000	4.59	1000	100
10.00	6.37	2000	100
15.00	7.21		
20.00	8.08		
25.00	8.81		
50.00	13.0		
60.00	15.6		
63.00	16.6		
70.00	19.3		
75.00	21.6		
90.00	29.2		
125.0	52.6		
200.0	90.0		
250.0	95.9		
400.0	98.2		



Volume Statistics (Arithmetic) 219.\$02

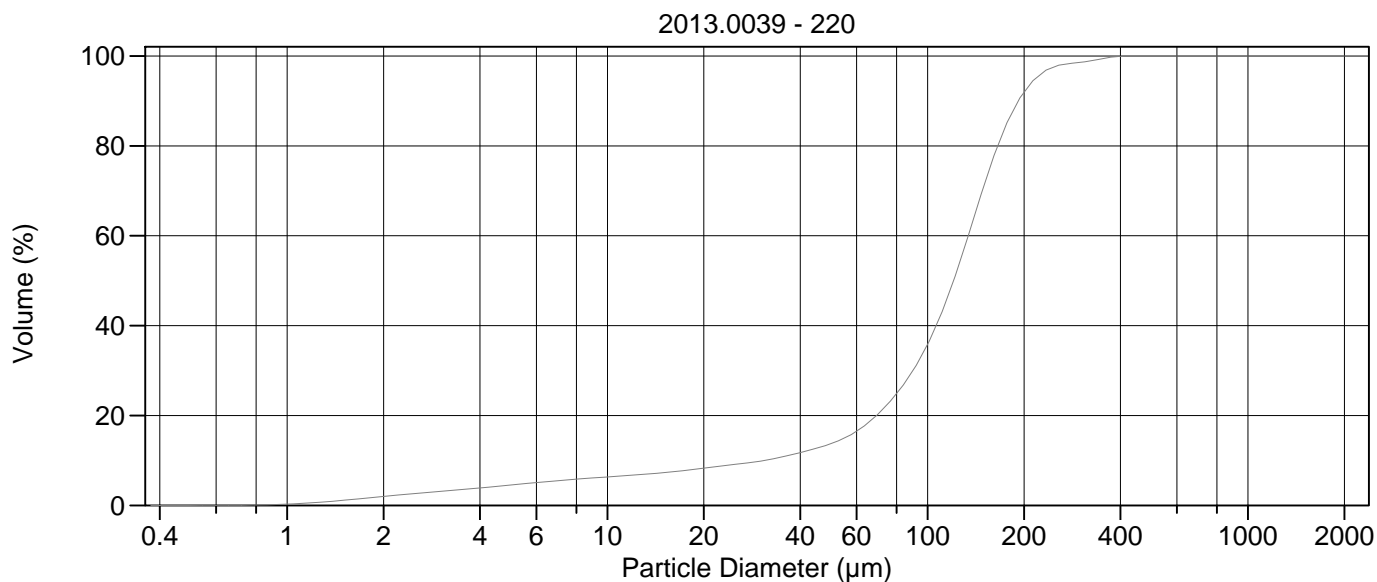
Calculations from 0.375 µm to 2000 µm

Volume	100.0%		
Mean:	118.9 µm	95% Conf. Limits:	0-241.5 µm
Median:	119.7 µm	S.D.:	62.58 µm
D(3,2):	28.03 µm	Variance:	3916 µm ²
Mean/Median Ratio:	0.993	C.V.:	52.6%
Mode:	140.1 µm	Skewness:	0.461 Right skewed
d ₁₀ :	33.09 µm	Kurtosis:	1.304 Leptokurtic
d ₅₀ :	119.7 µm		
d ₉₀ :	191.6 µm		
Specific Surf. Area	2141 cm ² /ml		

% <	10	25	50	75	90
Size µm	33.09	80.19	119.7	155.9	191.6

219.\$02

Particle Diameter µm	Volume % <	Particle Diameter µm	Volume % <
2.000	1.94	500.0	100
5.000	4.39	1000	100
10.00	6.14	2000	100
15.00	7.06		
20.00	8.00		
25.00	8.80		
50.00	13.4		
60.00	16.2		
63.00	17.3		
70.00	20.1		
75.00	22.4		
90.00	30.2		
125.0	53.9		
200.0	92.0		
250.0	97.7		
400.0	99.9		



Volume Statistics (Arithmetic) 220.\$02

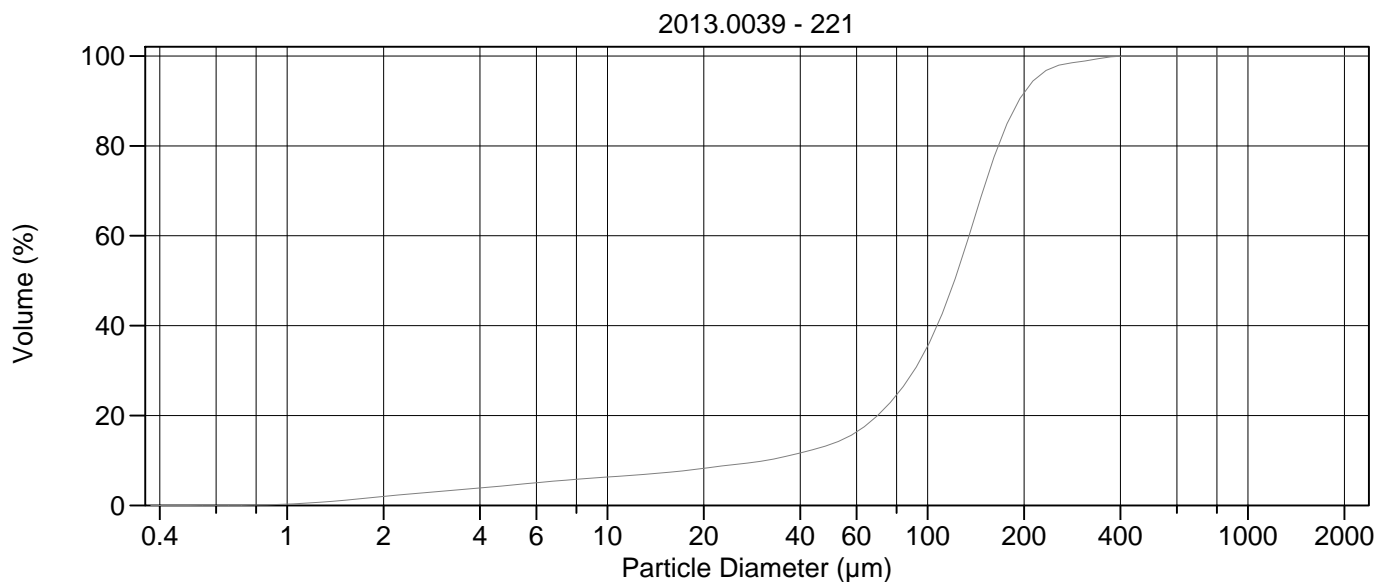
Calculations from 0.375 µm to 2000 µm

Volume	100.0%		
Mean:	119.3 µm	95% Conf. Limits:	0-243.8 µm
Median:	120.4 µm	S.D.:	63.52 µm
D(3,2):	27.41 µm	Variance:	4035 µm ²
Mean/Median Ratio:	0.990	C.V.:	53.3%
Mode:	140.1 µm	Skewness:	0.494 Right skewed
d ₁₀ :	30.91 µm	Kurtosis:	1.434 Leptokurtic
d ₅₀ :	120.4 µm		
d ₉₀ :	192.0 µm		
Specific Surf. Area	2189 cm ² /ml		

% <	10	25	50	75	90
Size µm	30.91	80.19	120.4	156.4	192.0

220.\$02

Particle Diameter µm	Volume % <	Particle Diameter µm	Volume % <
2.000	2.00	500.0	100
5.000	4.54	1000	100
10.00	6.34	2000	100
15.00	7.29		
20.00	8.28		
25.00	9.13		
50.00	13.8		
60.00	16.5		
63.00	17.5		
70.00	20.3		
75.00	22.6		
90.00	30.0		
125.0	53.4		
200.0	91.9		
250.0	97.6		
400.0	99.9		



Volume Statistics (Arithmetic) 221.\$02

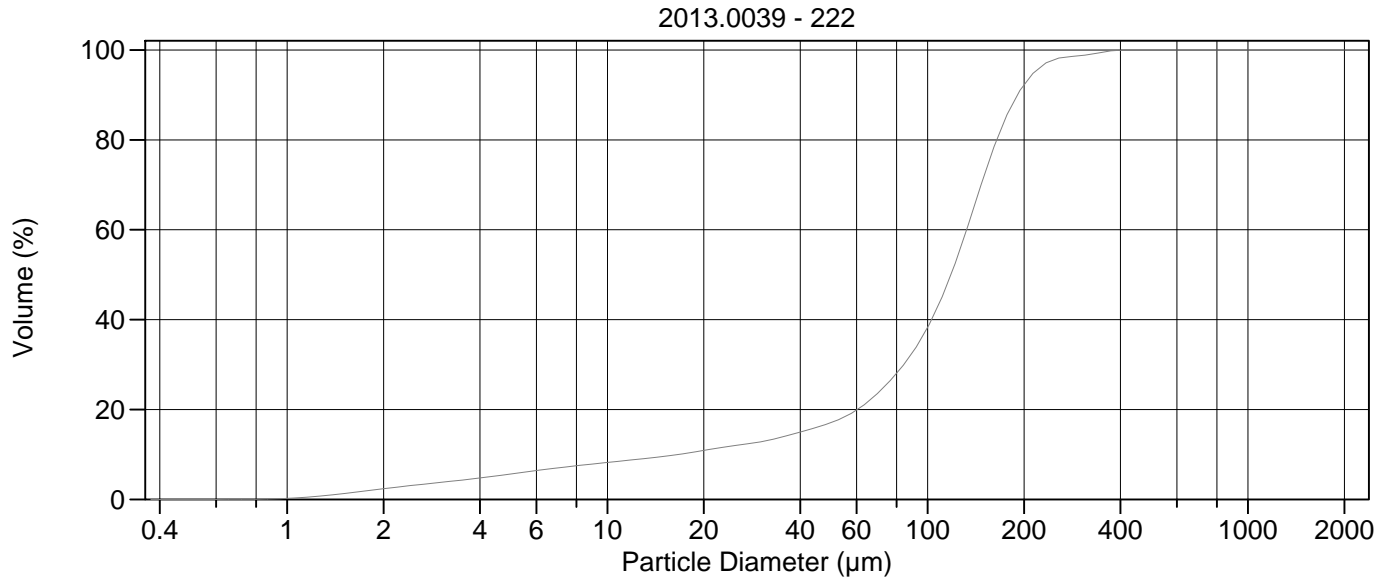
Calculations from 0.375 µm to 2000 µm

Volume	100.0%		
Mean:	119.7 µm	95% Conf. Limits:	0-243.3 µm
Median:	121.2 µm	S.D.:	63.06 µm
D(3,2):	27.52 µm	Variance:	3976 µm ²
Mean/Median Ratio:	0.987	C.V.:	52.7%
Mode:	140.1 µm	Skewness:	0.412 Right skewed
d ₁₀ :	31.17 µm	Kurtosis:	1.160 Leptokurtic
d ₅₀ :	121.2 µm		
d ₉₀ :	192.5 µm		
Specific Surf. Area	2180 cm ² /ml		

% <	10	25	50	75	90
Size µm	31.17	80.79	121.2	157.1	192.5

221.\$02

Particle Diameter µm	Volume % <	Particle Diameter µm	Volume % <
2.000	2.00	500.0	100
5.000	4.51	1000	100
10.00	6.31	2000	100
15.00	7.27		
20.00	8.26		
25.00	9.10		
50.00	13.7		
60.00	16.4		
63.00	17.4		
70.00	20.1		
75.00	22.3		
90.00	29.7		
125.0	52.8		
200.0	91.7		
250.0	97.6		
400.0	99.9		



Volume Statistics (Arithmetic)

222#.\$02

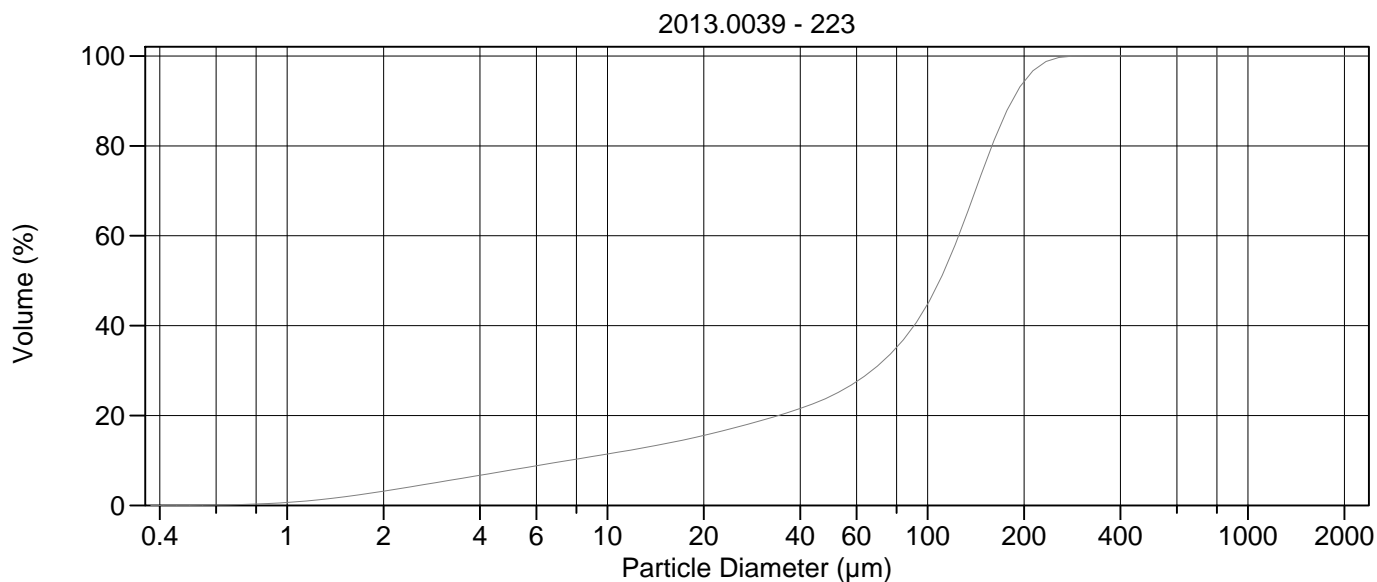
Calculations from 0.375 µm to 2000 µm

Volume	100.0%		
Mean:	115.1 µm	95% Conf. Limits:	0-243.0 µm
Median:	118.1 µm	S.D.:	65.25 µm
D(3,2):	23.51 µm	Variance:	4258 µm ²
Mean/Median Ratio:	0.974	C.V.:	56.7%
Mode:	140.1 µm	Skewness:	0.394 Right skewed
d ₁₀ :	16.67 µm	Kurtosis:	0.942 Leptokurtic
d ₅₀ :	118.1 µm		
d ₉₀ :	190.9 µm		
Specific Surf. Area	2552 cm ² /ml		

% <	10	25	50	75	90
Size µm	16.67	72.97	118.1	155.3	190.9

222#.\$02

Particle Diameter µm	Volume % <	Particle Diameter µm	Volume % <
2.000	2.37	500.0	100
5.000	5.66	1000	100
10.00	8.22	2000	100
15.00	9.57		
20.00	10.9		
25.00	12.0		
50.00	17.1		
60.00	19.9		
63.00	20.9		
70.00	23.7		
75.00	25.9		
90.00	32.9		
125.0	54.8		
200.0	92.2		
250.0	97.9		
400.0	99.9		



Volume Statistics (Arithmetic)

223#.\$02

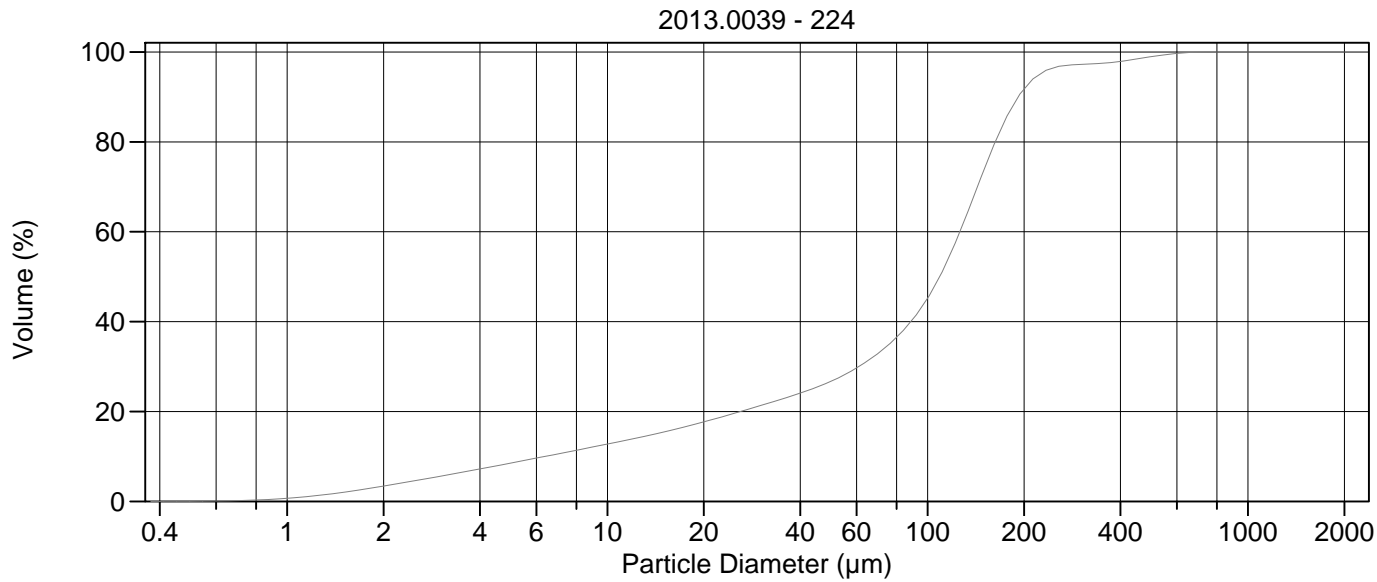
Calculations from 0.375 µm to 2000 µm

Volume	100.0%		
Mean:	103.1 µm	95% Conf. Limits:	0-226.8 µm
Median:	109.0 µm	S.D.:	63.11 µm
D(3,2):	17.02 µm	Variance:	3982 µm ²
Mean/Median Ratio:	0.946	C.V.:	61.2%
Mode:	140.1 µm	Skewness:	-0.0025 Left skewed
d ₁₀ :	7.552 µm	Kurtosis:	-0.815 Platykurtic
d ₅₀ :	109.0 µm		
d ₉₀ :	183.7 µm		
Specific Surf. Area	3525 cm ² /ml		

% <	10	25	50	75	90
Size µm	7.552	52.16	109.0	149.5	183.7

223#.\$02

Particle Diameter µm	Volume % <	Particle Diameter µm	Volume % <
2.000	3.18	500.0	100
5.000	7.87	1000	100
10.00	11.4	2000	100
15.00	13.7		
20.00	15.6		
25.00	17.3		
50.00	24.4		
60.00	27.6		
63.00	28.6		
70.00	31.1		
75.00	33.1		
90.00	39.7		
125.0	60.0		
200.0	94.3		
250.0	99.4		
400.0	100		



Volume Statistics (Arithmetic)

224#.\$02

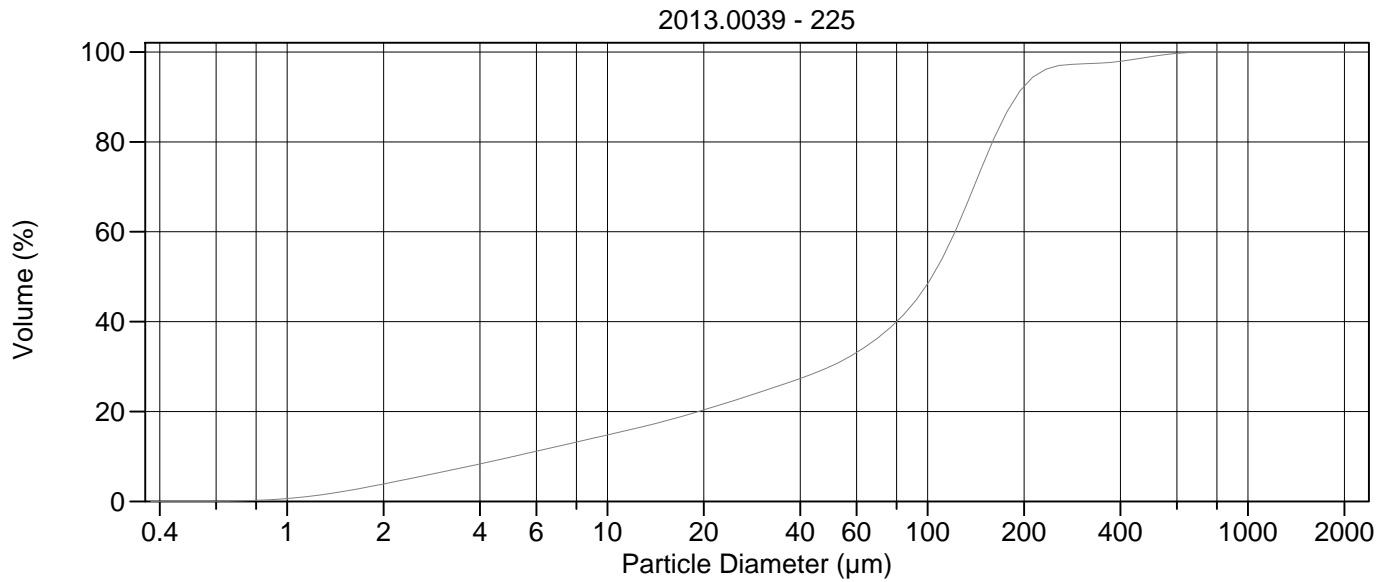
Calculations from 0.375 μm to 2000 μm

Volume	100.0%		
Mean:	110.4 μm	95% Conf. Limits:	0-287.2 μm
Median:	109.0 μm	S.D.:	90.23 μm
D(3,2):	15.88 μm	Variance:	8142 μm^2
Mean/Median Ratio:	1.013	C.V.:	81.8%
Mode:	140.1 μm	Skewness:	2.082 Right skewed
d ₁₀ :	6.379 μm	Kurtosis:	8.525 Leptokurtic
d ₅₀ :	109.0 μm		
d ₉₀ :	191.8 μm		
Specific Surf. Area	3778 cm^2/ml		

% <	10	25	50	75	90
Size μm	6.379	43.49	109.0	152.4	191.8

224#.\$02

Particle Diameter μm	Volume % <	Particle Diameter μm	Volume % <
2.000	3.42	500.0	99.0
5.000	8.53	1000	100
10.00	12.8	2000	100
15.00	15.4		
20.00	17.7		
25.00	19.6		
50.00	26.8		
60.00	29.7		
63.00	30.7		
70.00	33.0		
75.00	34.7		
90.00	40.6		
125.0	59.4		
200.0	91.7		
250.0	96.6		
400.0	97.9		



Volume Statistics (Arithmetic) 225.\$02

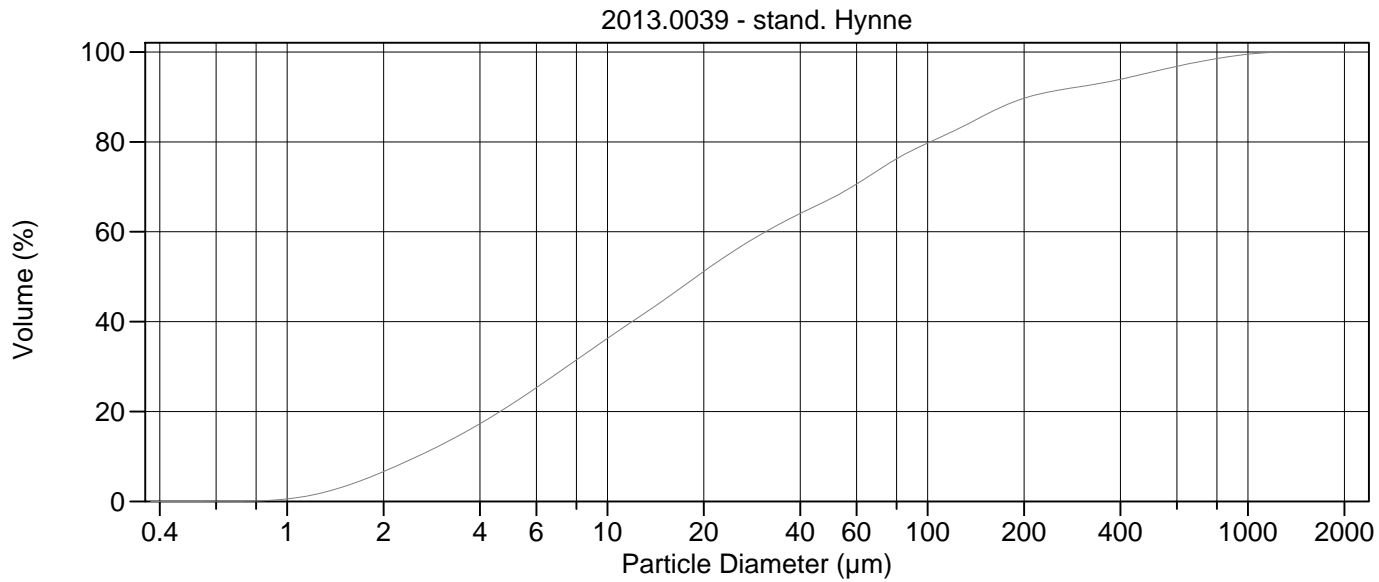
Calculations from 0.375 µm to 2000 µm

Volume	100.0%		
Mean:	105.3 µm	95% Conf. Limits:	0-283.3 µm
Median:	103.1 µm	S.D.:	90.84 µm
D(3,2):	14.34 µm	Variance:	8252 µm ²
Mean/Median Ratio:	1.021	C.V.:	86.3%
Mode:	140.1 µm	Skewness:	2.116 Right skewed
d ₁₀ :	5.092 µm	Kurtosis:	8.594 Leptokurtic
d ₅₀ :	103.1 µm		
d ₉₀ :	189.2 µm		
Specific Surf. Area	4185 cm ² /ml		

% <	10	25	50	75	90
Size µm	5.092	32.00	103.1	149.0	189.2

225.\$02

Particle Diameter µm	Volume % <	Particle Diameter µm	Volume % <
2.000	3.88	500.0	99.0
5.000	9.87	1000	100
10.00	14.8	2000	100
15.00	17.8		
20.00	20.4		
25.00	22.5		
50.00	30.1		
60.00	33.1		
63.00	34.1		
70.00	36.4		
75.00	38.2		
90.00	44.0		
125.0	61.9		
200.0	92.3		
250.0	96.8		
400.0	97.9		



Volume Statistics (Arithmetic) 226.\$02

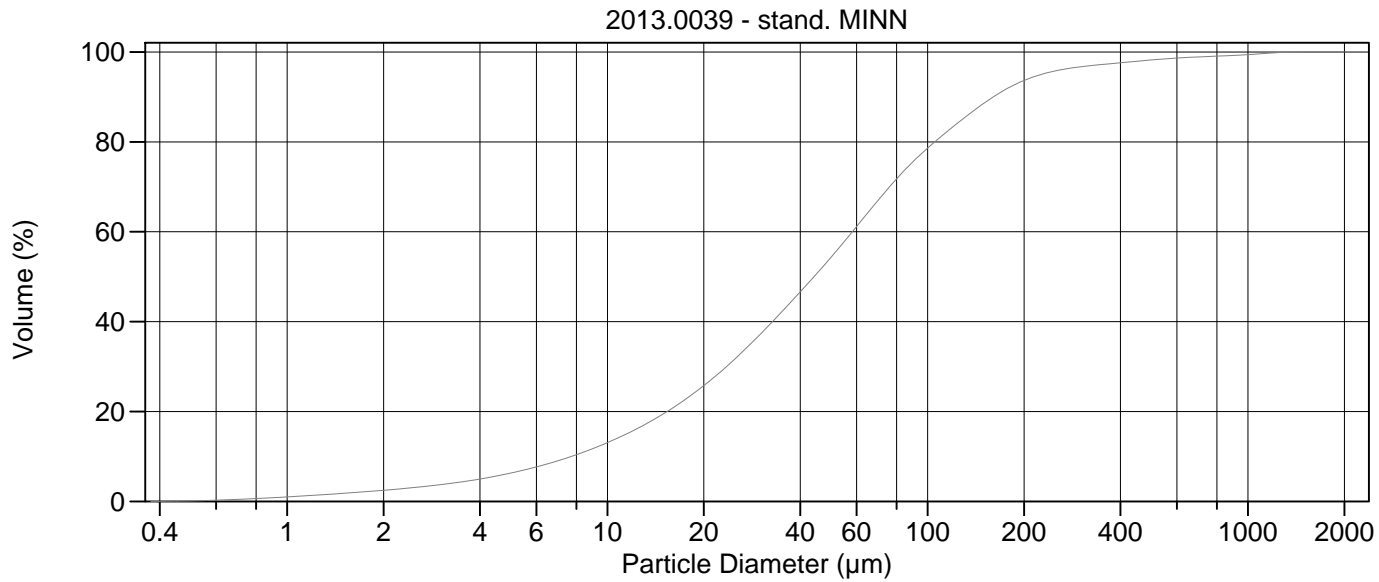
Calculations from 0.375 µm to 2000 µm

Volume	100.0%		
Mean:	84.03 µm	95% Conf. Limits:	0-415.3 µm
Median:	18.97 µm	S.D.:	169.0 µm
D(3,2):	7.428 µm	Variance:	28563 µm ²
Mean/Median Ratio:	4.431	C.V.:	201%
Mode:	18.00 µm	Skewness:	3.479 Right skewed
d ₁₀ :	2.552 µm	Kurtosis:	13.43 Leptokurtic
d ₅₀ :	18.97 µm		
d ₉₀ :	206.5 µm		
Specific Surf. Area	8078 cm ² /ml		

% <	10	25	50	75	90
Size µm	2.552	5.921	18.97	74.91	206.5

226.\$02

Particle Diameter µm	Volume % <	Particle Diameter µm	Volume % <
2.000	6.64	500.0	95.5
5.000	21.5	1000	99.5
10.00	36.3	2000	100
15.00	44.8		
20.00	51.2		
25.00	55.9		
50.00	67.4		
60.00	70.6		
63.00	71.6		
70.00	73.7		
75.00	75.0		
90.00	78.2		
125.0	83.0		
200.0	89.7		
250.0	91.4		
400.0	93.9		



Volume Statistics (Arithmetic) 227.\$02

Calculations from 0.375 µm to 2000 µm

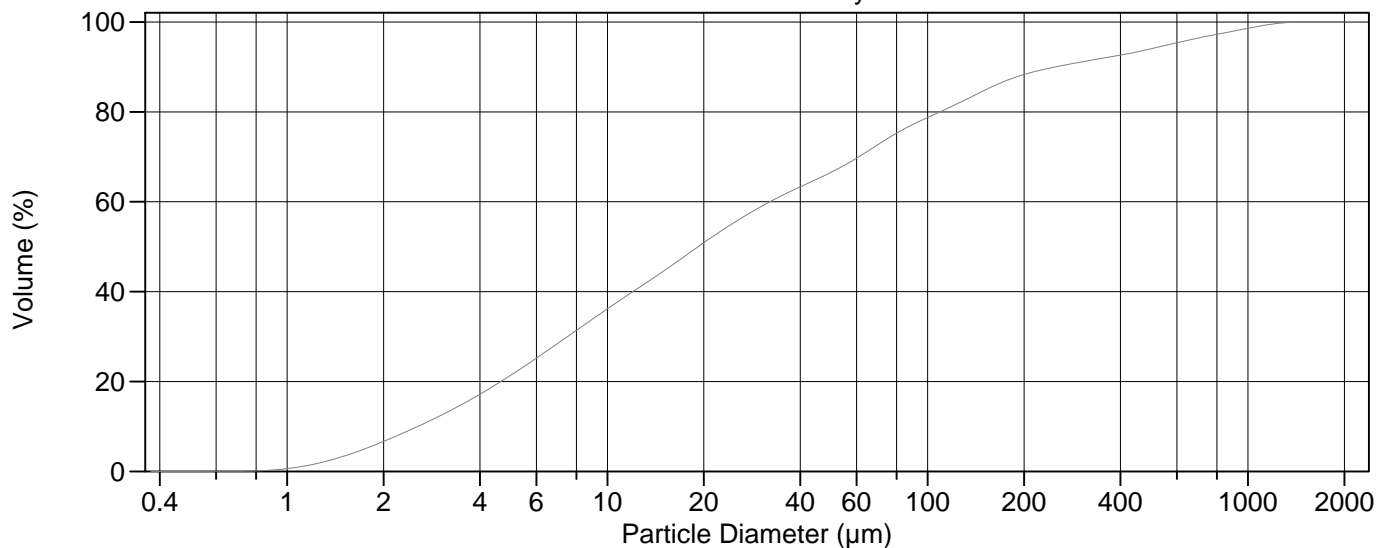
Volume	100.0%		
Mean:	78.36 µm	95% Conf. Limits:	0-330.5 µm
Median:	44.17 µm	S.D.:	128.6 µm
D(3,2):	14.51 µm	Variance:	16547 µm ²
Mean/Median Ratio:	1.774	C.V.:	164%
Mode:	60.52 µm	Skewness:	5.437 Right skewed
d ₁₀ :	7.716 µm	Kurtosis:	38.02 Leptokurtic
d ₅₀ :	44.17 µm		
d ₉₀ :	160.2 µm		
Specific Surf. Area	4136 cm ² /ml		

% <	10	25	50	75	90
Size µm	7.716	19.39	44.17	88.36	160.2

227.\$02

Particle Diameter µm	Volume % <	Particle Diameter µm	Volume % <
2.000	2.47	500.0	98.2
5.000	6.30	1000	99.4
10.00	13.1	2000	100
15.00	19.5		
20.00	25.7		
25.00	31.7		
50.00	54.3		
60.00	61.1		
63.00	63.0		
70.00	67.0		
75.00	69.5		
90.00	75.6		
125.0	84.4		
200.0	93.7		
250.0	95.8		
400.0	97.6		

2013.0039 - stand. Hynne



Volume Statistics (Arithmetic) 246.\$02

Calculations from 0.375 µm to 2000 µm

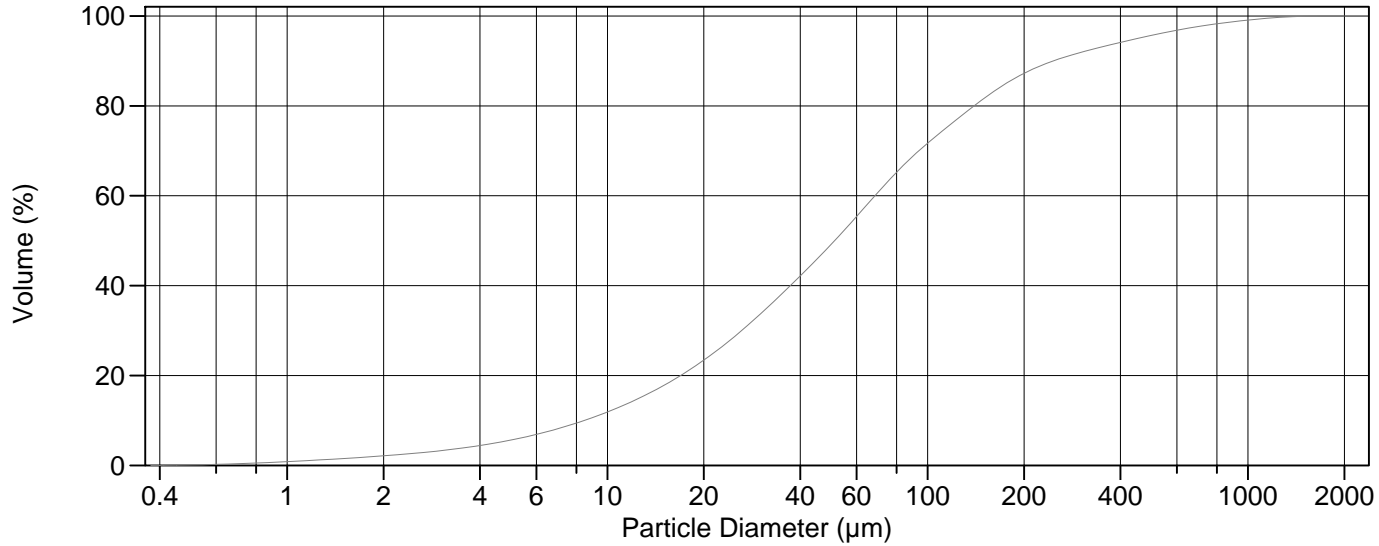
Volume	100.0%		
Mean:	97.87 µm	95% Conf. Limits:	0-501.1 µm
Median:	19.22 µm	S.D.:	205.7 µm
D(3,2):	7.436 µm	Variance:	42316 µm ²
Mean/Median Ratio:	5.093	C.V.:	210%
Mode:	18.00 µm	Skewness:	3.420 Right skewed
d ₁₀ :	2.560 µm	Kurtosis:	12.40 Leptokurtic
d ₅₀ :	19.22 µm		
d ₉₀ :	250.1 µm		
Specific Surf. Area	8069 cm ² /ml		

% <	10	25	50	75	90
Size µm	2.560	5.950	19.22	78.90	250.1

246.\$02

Particle Diameter µm	Volume % <	Particle Diameter µm	Volume % <
2.000	6.67	500.0	94.1
5.000	21.4	1000	98.6
10.00	36.2	2000	100
15.00	44.6		
20.00	50.9		
25.00	55.5		
50.00	66.6		
60.00	69.7		
63.00	70.6		
70.00	72.7		
75.00	74.1		
90.00	77.2		
125.0	82.0		
200.0	88.3		
250.0	90.0		
400.0	92.6		

2013.0039 - stand. MINN



Volume Statistics (Arithmetic) 247.\$02

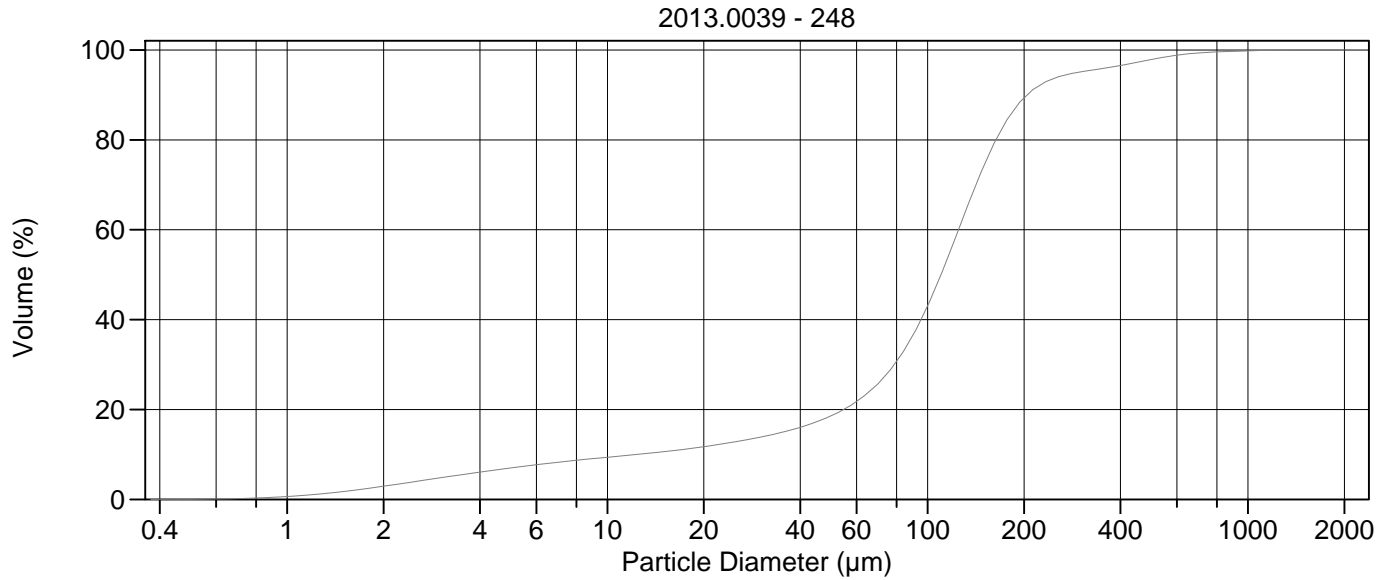
Calculations from 0.375 µm to 2000 µm

Volume	100.0%		
Mean:	109.2 µm	95% Conf. Limits:	0-457.6 µm
Median:	51.27 µm	S.D.:	177.8 µm
D(3,2):	16.21 µm	Variance:	31608 µm ²
Mean/Median Ratio:	2.129	C.V.:	163%
Mode:	60.52 µm	Skewness:	3.783 Right skewed
d ₁₀ :	8.466 µm	Kurtosis:	17.55 Leptokurtic
d ₅₀ :	51.27 µm		
d ₉₀ :	247.2 µm		
Specific Surf. Area	3702 cm ² /ml		

% <	10	25	50	75	90
Size µm	8.466	21.47	51.27	113.8	247.2

247.\$02

Particle Diameter µm	Volume % <	Particle Diameter µm	Volume % <
2.000	2.13	500.0	95.7
5.000	5.65	1000	99.1
10.00	11.9	2000	100
15.00	17.8		
20.00	23.4		
25.00	28.7		
50.00	49.2		
60.00	55.4		
63.00	57.1		
70.00	60.8		
75.00	63.1		
90.00	68.8		
125.0	77.3		
200.0	87.2		
250.0	90.1		
400.0	94.1		



Volume Statistics (Arithmetic)

248#.\$02

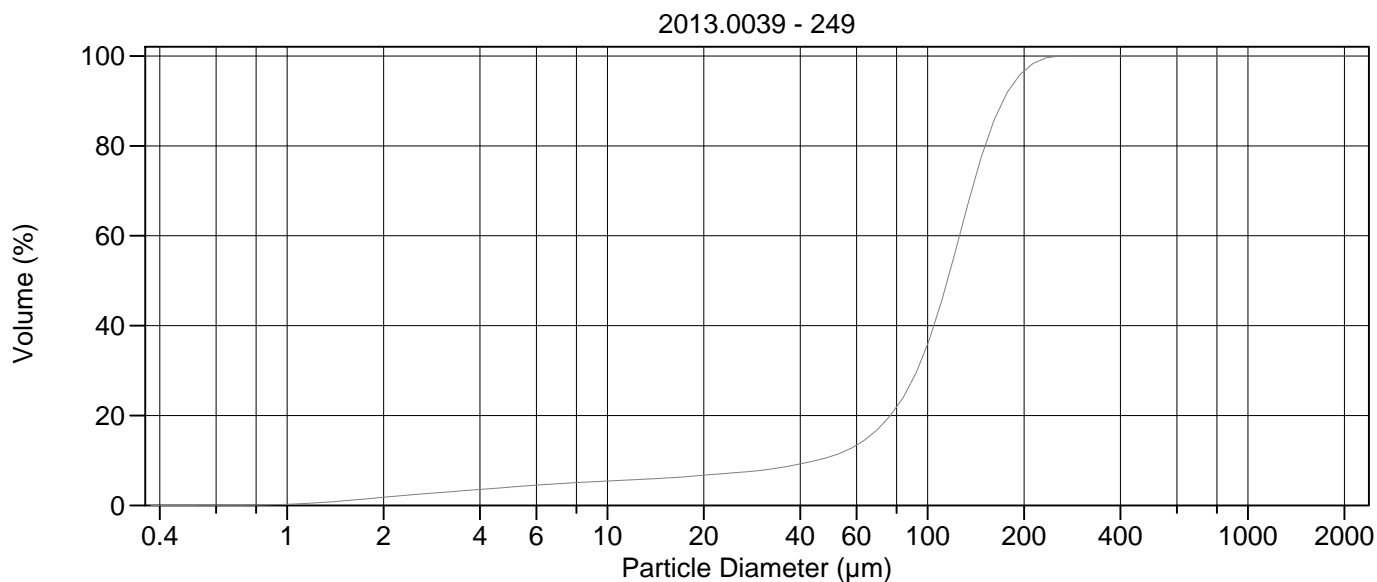
Calculations from 0.375 µm to 2000 µm

Volume	100.0%		
Mean:	125.3 µm	95% Conf. Limits:	0-351.7 µm
Median:	110.1 µm	S.D.:	115.5 µm
D(3,2):	19.25 µm	Variance:	13339 µm ²
Mean/Median Ratio:	1.138	C.V.:	92.2%
Mode:	127.6 µm	Skewness:	3.624 Right skewed
d ₁₀ :	12.38 µm	Kurtosis:	21.20 Leptokurtic
d ₅₀ :	110.1 µm		
d ₉₀ :	204.9 µm		
Specific Surf. Area	3117 cm ² /ml		

% <	10	25	50	75	90
Size µm	12.38	68.17	110.1	151.7	204.9

248#.\$02

Particle Diameter µm	Volume % <	Particle Diameter µm	Volume % <
2.000	2.94	500.0	97.9
5.000	7.01	1000	99.8
10.00	9.38	2000	100
15.00	10.6		
20.00	11.7		
25.00	12.8		
50.00	18.6		
60.00	21.8		
63.00	22.9		
70.00	25.8		
75.00	28.1		
90.00	36.6		
125.0	60.1		
200.0	89.3		
250.0	93.8		
400.0	96.6		



Volume Statistics (Arithmetic)

249#.\$02

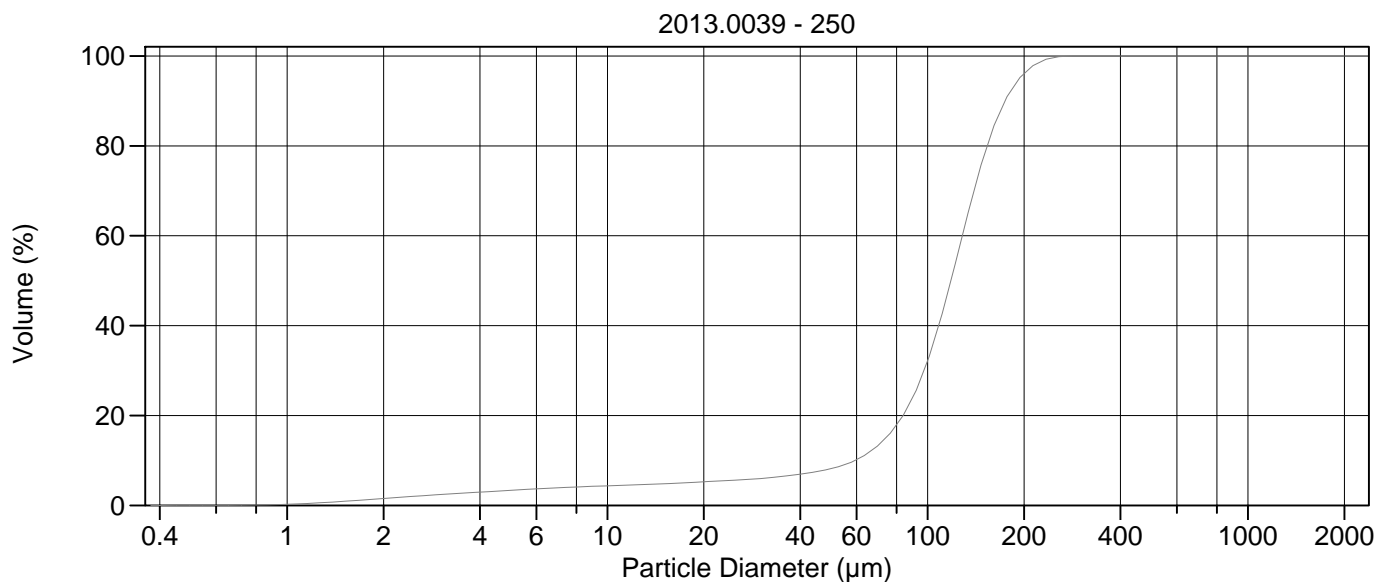
Calculations from 0.375 µm to 2000 µm

Volume	100.0%		
Mean:	112.3 µm	95% Conf. Limits:	16.11-208.4 µm
Median:	115.2 µm	S.D.:	49.06 µm
D(3,2):	30.08 µm	Variance:	2407 µm ²
Mean/Median Ratio:	0.974	C.V.:	43.7%
Mode:	127.6 µm	Skewness:	-0.269 Left skewed
d ₁₀ :	44.82 µm	Kurtosis:	0.093 Leptokurtic
d ₅₀ :	115.2 µm		
d ₉₀ :	172.1 µm		
Specific Surf. Area	1995 cm ² /ml		

% <	10	25	50	75	90
Size µm	44.82	85.29	115.2	143.7	172.1

249#.\$02

Particle Diameter µm	Volume % <	Particle Diameter µm	Volume % <
2.000	1.81	500.0	100
5.000	4.08	1000	100
10.00	5.42	2000	100
15.00	6.05		
20.00	6.71		
25.00	7.27		
50.00	10.9		
60.00	13.4		
63.00	14.4		
70.00	17.0		
75.00	19.3		
90.00	28.2		
125.0	59.3		
200.0	96.6		
250.0	99.9		
400.0	100		



Volume Statistics (Arithmetic) 250.\$02

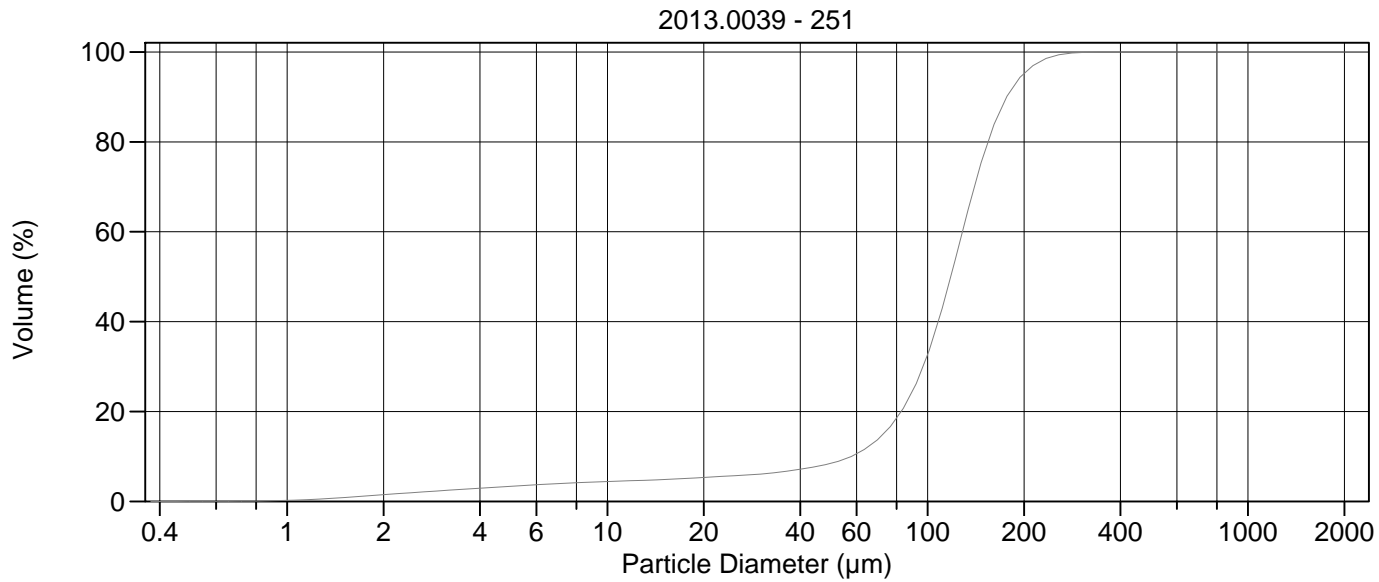
Calculations from 0.375 µm to 2000 µm

Volume	100.0%		
Mean:	116.8 µm	95% Conf. Limits:	23.87-209.8 µm
Median:	118.2 µm	S.D.:	47.44 µm
D(3,2):	34.40 µm	Variance:	2250 µm ²
Mean/Median Ratio:	0.989	C.V.:	40.6%
Mode:	127.6 µm	Skewness:	-0.223 Left skewed
d ₁₀ :	59.28 µm	Kurtosis:	0.454 Leptokurtic
d ₅₀ :	118.2 µm		
d ₉₀ :	174.5 µm		
Specific Surf. Area	1744 cm ² /ml		

% <	10	25	50	75	90
Size µm	59.28	91.16	118.2	145.8	174.5

250.\$02

Particle Diameter µm	Volume % <	Particle Diameter µm	Volume % <
2.000	1.54	500.0	100
5.000	3.36	1000	100
10.00	4.36	2000	100
15.00	4.81		
20.00	5.26		
25.00	5.63		
50.00	8.19		
60.00	10.2		
63.00	11.0		
70.00	13.3		
75.00	15.5		
90.00	24.2		
125.0	56.7		
200.0	96.0		
250.0	99.7		
400.0	100		



Volume Statistics (Arithmetic) 251.\$02

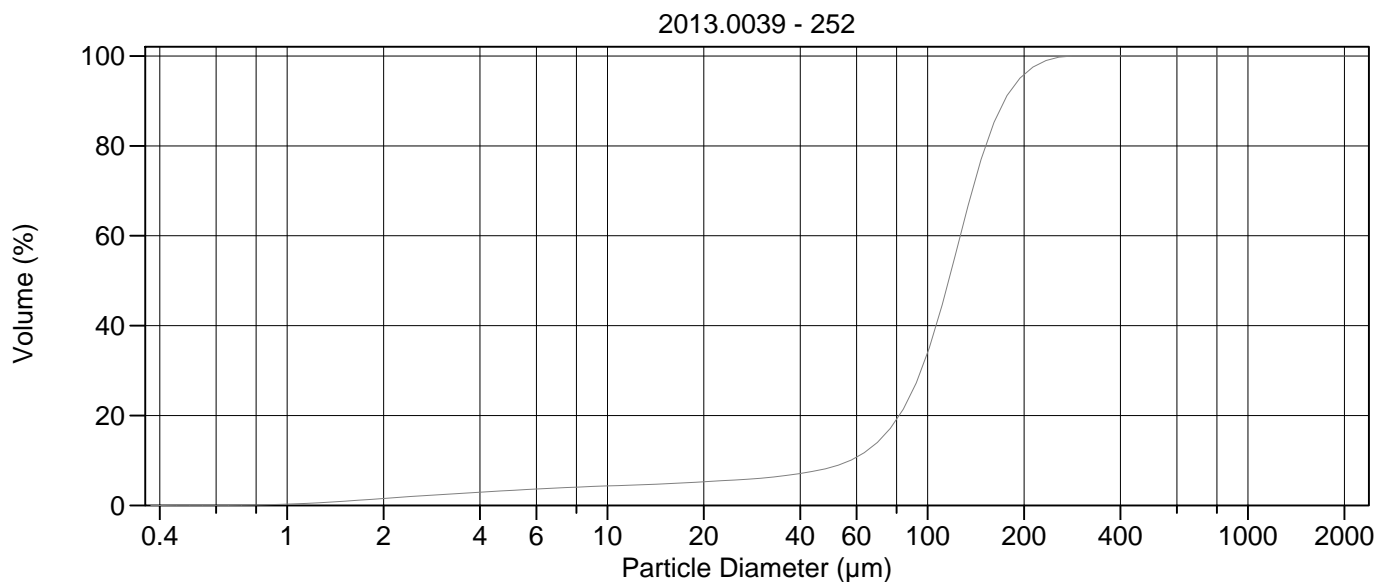
Calculations from 0.375 µm to 2000 µm

Volume	100.0%		
Mean:	117.5 µm	95% Conf. Limits:	20.16-214.8 µm
Median:	118.1 µm	S.D.:	49.64 µm
D(3,2):	34.72 µm	Variance:	2464 µm ²
Mean/Median Ratio:	0.995	C.V.:	42.3%
Mode:	127.6 µm	Skewness:	-0.0034 Left skewed
d ₁₀ :	57.78 µm	Kurtosis:	0.758 Leptokurtic
d ₅₀ :	118.1 µm		
d ₉₀ :	176.4 µm		
Specific Surf. Area	1728 cm ² /ml		

% <	10	25	50	75	90
Size µm	57.78	90.28	118.1	146.4	176.4

251.\$02

Particle Diameter µm	Volume % <	Particle Diameter µm	Volume % <
2.000	1.49	500.0	100
5.000	3.36	1000	100
10.00	4.41	2000	100
15.00	4.87		
20.00	5.34		
25.00	5.73		
50.00	8.50		
60.00	10.6		
63.00	11.4		
70.00	13.9		
75.00	16.0		
90.00	24.8		
125.0	56.7		
200.0	95.2		
250.0	99.1		
400.0	100		



Volume Statistics (Arithmetic) 252.\$02

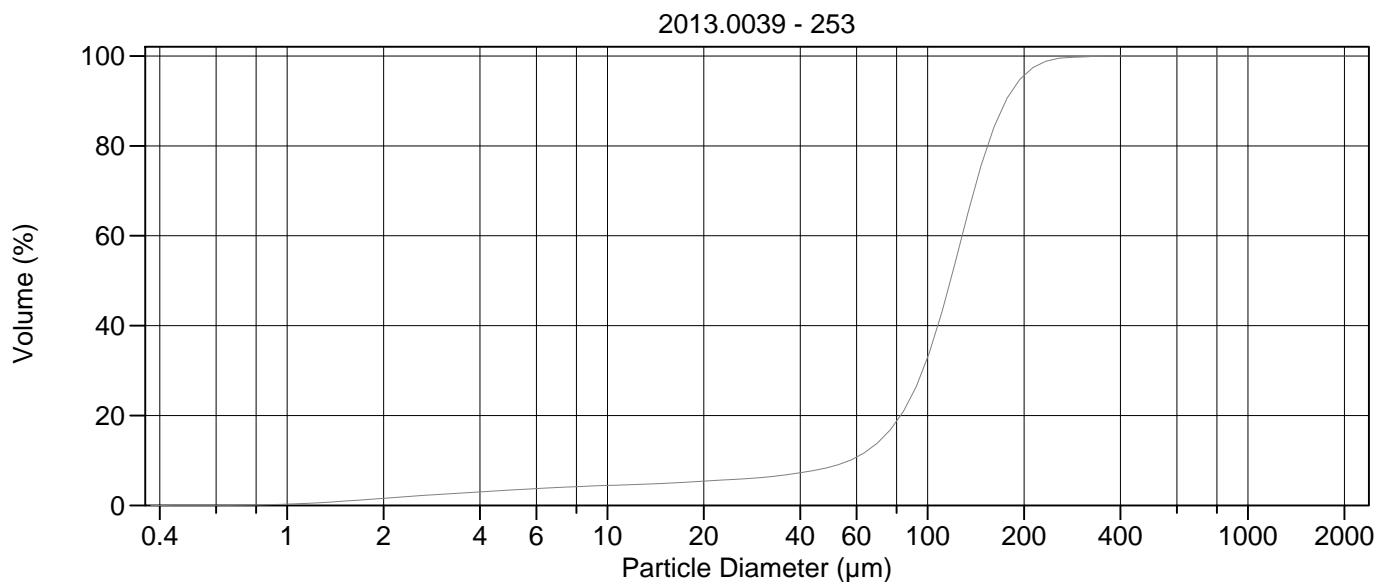
Calculations from 0.375 µm to 2000 µm

Volume	100.0%		
Mean:	115.4 µm	95% Conf. Limits:	21.40-209.5 µm
Median:	116.3 µm	S.D.:	47.97 µm
D(3,2):	34.10 µm	Variance:	2301 µm ²
Mean/Median Ratio:	0.992	C.V.:	41.6%
Mode:	127.6 µm	Skewness:	-0.108 Left skewed
d ₁₀ :	57.41 µm	Kurtosis:	0.493 Leptokurtic
d ₅₀ :	116.3 µm		
d ₉₀ :	173.7 µm		
Specific Surf. Area	1759 cm ² /ml		

% <	10	25	50	75	90
Size µm	57.41	88.90	116.3	144.3	173.7

252.\$02

Particle Diameter µm	Volume % <	Particle Diameter µm	Volume % <
2.000	1.54	500.0	100
5.000	3.33	1000	100
10.00	4.33	2000	100
15.00	4.79		
20.00	5.26		
25.00	5.65		
50.00	8.49		
60.00	10.7		
63.00	11.6		
70.00	14.2		
75.00	16.5		
90.00	25.8		
125.0	58.6		
200.0	95.8		
250.0	99.5		
400.0	100		



Volume Statistics (Arithmetic) 253.\$02

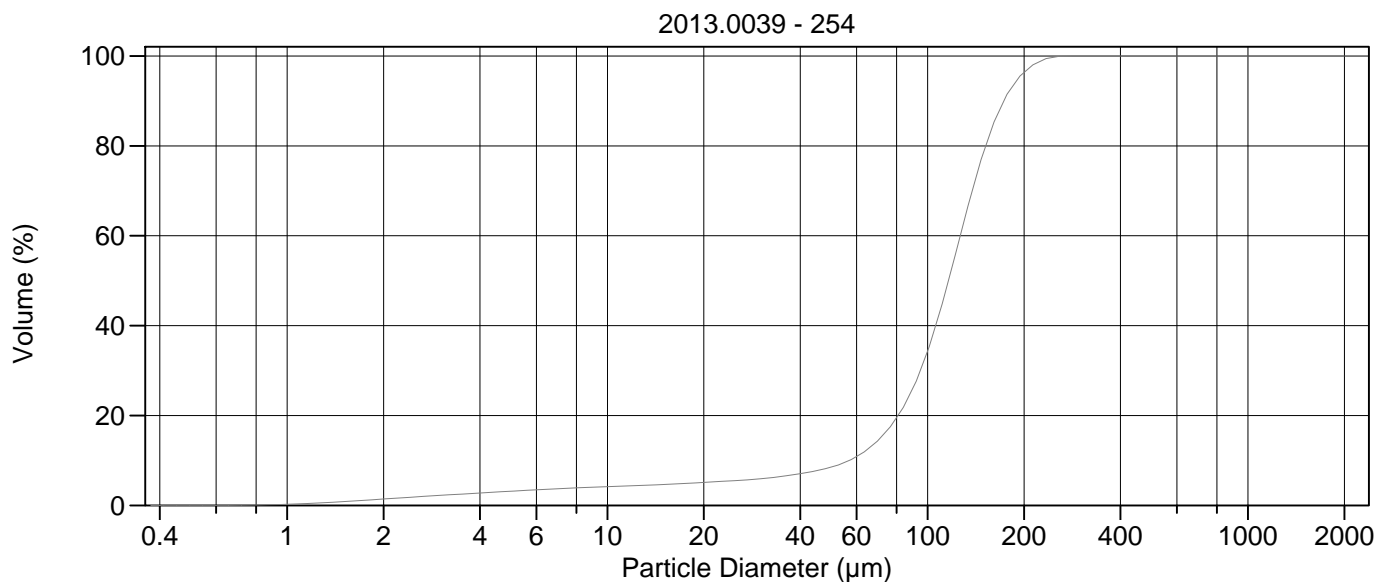
Calculations from 0.375 µm to 2000 µm

Volume	100.0%		
Mean:	116.9 µm	95% Conf. Limits:	20.13-213.6 µm
Median:	117.8 µm	S.D.:	49.36 µm
D(3,2):	33.65 µm	Variance:	2436 µm ²
Mean/Median Ratio:	0.992	C.V.:	42.2%
Mode:	127.6 µm	Skewness:	0.0075 Right skewed
d ₁₀ :	57.15 µm	Kurtosis:	0.999 Leptokurtic
d ₅₀ :	117.8 µm		
d ₉₀ :	175.4 µm		
Specific Surf. Area	1783 cm ² /ml		

% <	10	25	50	75	90
Size µm	57.15	89.96	117.8	146.0	175.4

253.\$02

Particle Diameter µm	Volume % <	Particle Diameter µm	Volume % <
2.000	1.59	500.0	100
5.000	3.41	1000	100
10.00	4.44	2000	100
15.00	4.91		
20.00	5.39		
25.00	5.80		
50.00	8.62		
60.00	10.7		
63.00	11.6		
70.00	14.0		
75.00	16.2		
90.00	25.0		
125.0	57.0		
200.0	95.6		
250.0	99.3		
400.0	100.0		



Volume Statistics (Arithmetic) 254.\$02

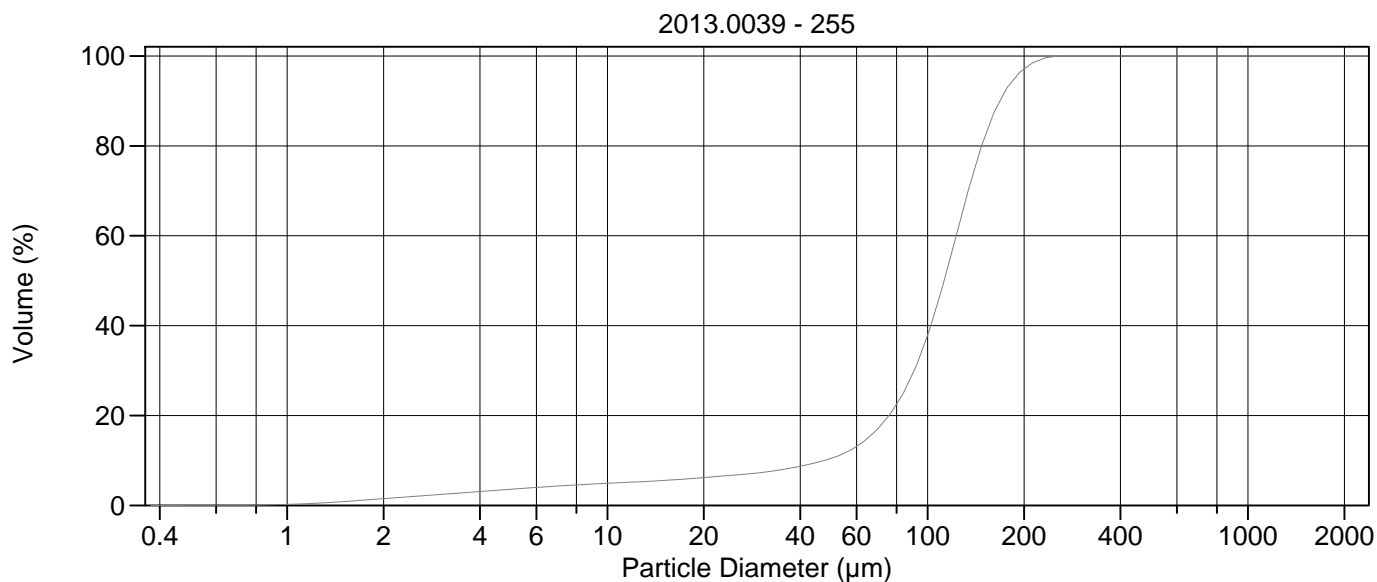
Calculations from 0.375 µm to 2000 µm

Volume	100.0%		
Mean:	114.9 µm	95% Conf. Limits:	22.40-207.4 µm
Median:	116.2 µm	S.D.:	47.20 µm
D(3,2):	35.35 µm	Variance:	2228 µm ²
Mean/Median Ratio:	0.989	C.V.:	41.1%
Mode:	127.6 µm	Skewness:	-0.184 Left skewed
d ₁₀ :	56.88 µm	Kurtosis:	0.337 Leptokurtic
d ₅₀ :	116.2 µm		
d ₉₀ :	173.1 µm		
Specific Surf. Area	1697 cm ² /ml		

% <	10	25	50	75	90
Size µm	56.88	88.36	116.2	144.3	173.1

254.\$02

Particle Diameter µm	Volume % <	Particle Diameter µm	Volume % <
2.000	1.42	500.0	100
5.000	3.16	1000	100
10.00	4.17	2000	100
15.00	4.64		
20.00	5.12		
25.00	5.52		
50.00	8.53		
60.00	10.9		
63.00	11.8		
70.00	14.5		
75.00	16.8		
90.00	26.2		
125.0	58.6		
200.0	96.3		
250.0	99.8		
400.0	100		



Volume Statistics (Arithmetic) 255.\$02

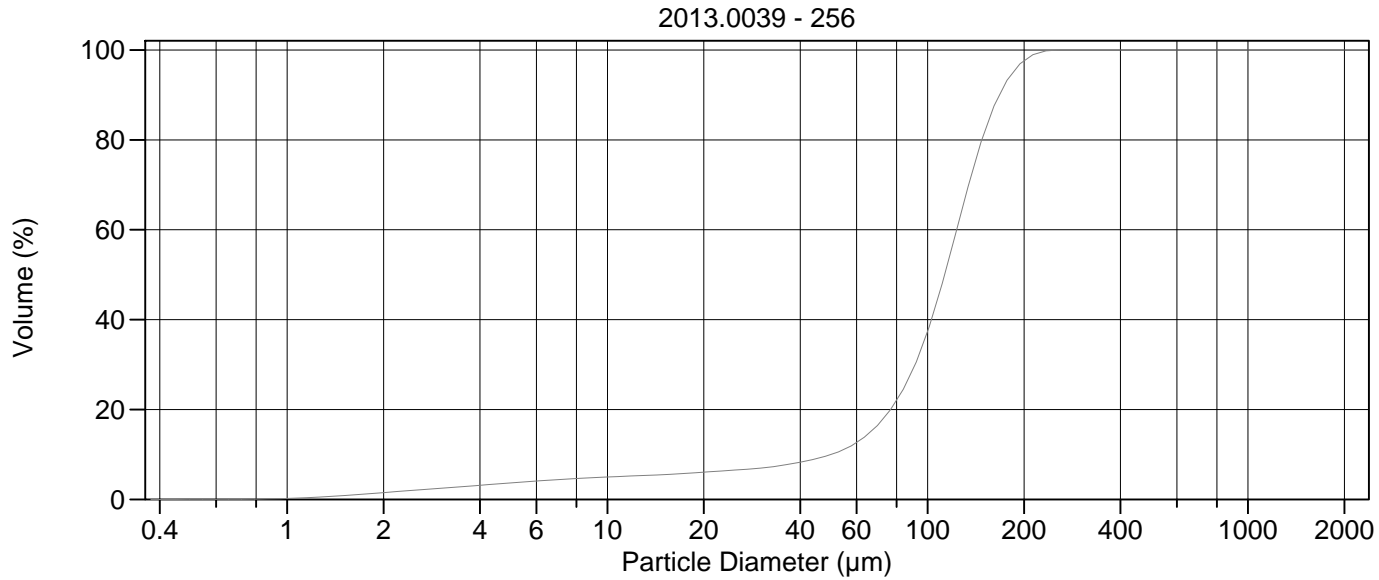
Calculations from 0.375 µm to 2000 µm

Volume	100.0%		
Mean:	110.3 µm	95% Conf. Limits:	17.32-203.3 µm
Median:	112.6 µm	S.D.:	47.43 µm
D(3,2):	32.68 µm	Variance:	2250 µm ²
Mean/Median Ratio:	0.980	C.V.:	43.0%
Mode:	127.6 µm	Skewness:	-0.216 Left skewed
d ₁₀ :	47.67 µm	Kurtosis:	0.174 Leptokurtic
d ₅₀ :	112.6 µm		
d ₉₀ :	168.4 µm		
Specific Surf. Area	1836 cm ² /ml		

% <	10	25	50	75	90
Size µm	47.67	83.96	112.6	140.5	168.4

255.\$02

Particle Diameter µm	Volume % <	Particle Diameter µm	Volume % <
2.000	1.50	500.0	100
5.000	3.59	1000	100
10.00	4.91	2000	100
15.00	5.55		
20.00	6.20		
25.00	6.76		
50.00	10.5		
60.00	13.1		
63.00	14.2		
70.00	17.1		
75.00	19.7		
90.00	29.5		
125.0	62.0		
200.0	97.1		
250.0	99.9		
400.0	100		



Volume Statistics (Arithmetic) 256.\$02

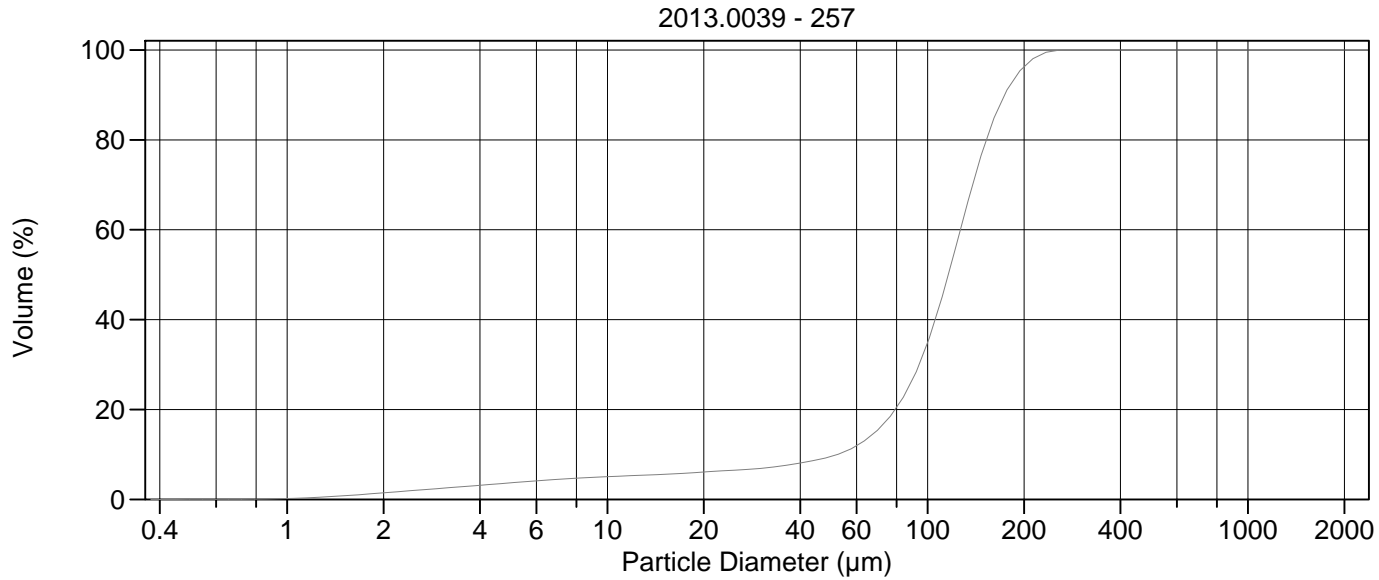
Calculations from 0.375 µm to 2000 µm

Volume	100.0%		
Mean:	110.5 µm	95% Conf. Limits:	19.17-201.9 µm
Median:	113.0 µm	S.D.:	46.61 µm
D(3,2):	32.65 µm	Variance:	2173 µm ²
Mean/Median Ratio:	0.978	C.V.:	42.2%
Mode:	127.6 µm	Skewness:	-0.286 Left skewed
d ₁₀ :	49.96 µm	Kurtosis:	0.162 Leptokurtic
d ₅₀ :	113.0 µm		
d ₉₀ :	167.9 µm		
Specific Surf. Area	1838 cm ² /ml		

% <	10	25	50	75	90
Size µm	49.96	84.57	113.0	140.8	167.9

256.\$02

Particle Diameter µm	Volume % <	Particle Diameter µm	Volume % <
2.000	1.51	500.0	100
5.000	3.67	1000	100
10.00	4.98	2000	100
15.00	5.52		
20.00	6.06		
25.00	6.52		
50.00	10.0		
60.00	12.7		
63.00	13.7		
70.00	16.6		
75.00	19.2		
90.00	29.0		
125.0	61.7		
200.0	97.5		
250.0	99.9		
400.0	100		



Volume Statistics (Arithmetic) 257.\$02

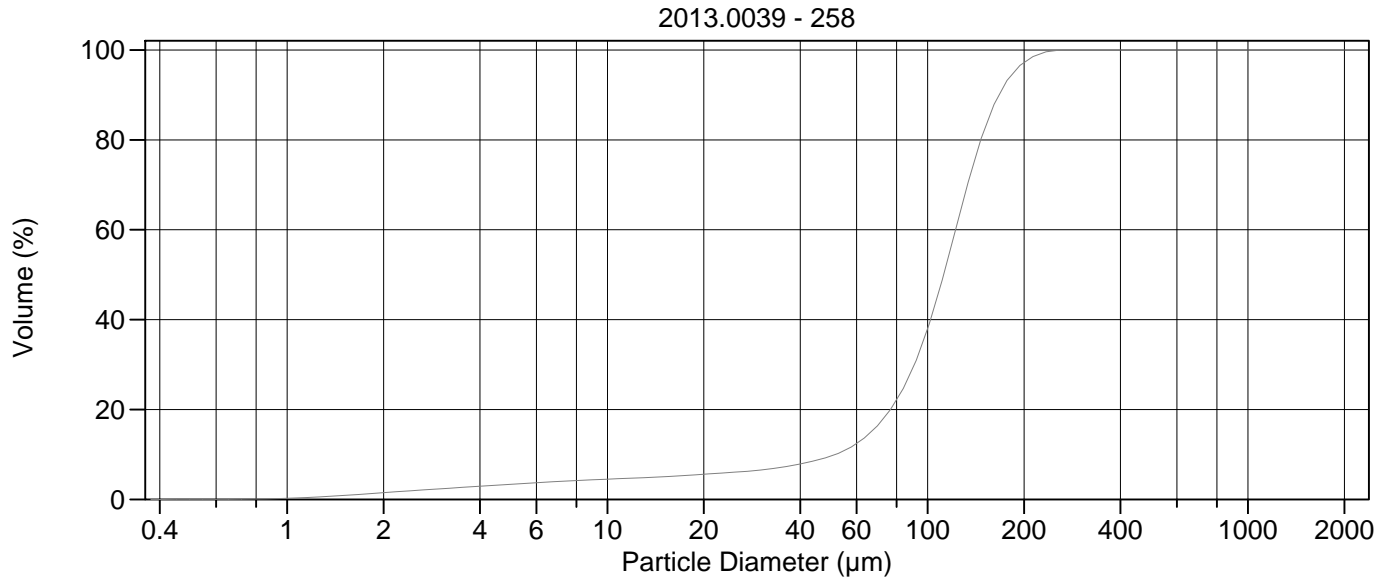
Calculations from 0.375 μm to 2000 μm

Volume	100.0%		
Mean:	114.1 μm	95% Conf. Limits:	18.98-209.3 μm
Median:	116.0 μm	S.D.:	48.56 μm
D(3,2):	33.24 μm	Variance:	2358 μm ²
Mean/Median Ratio:	0.984	C.V.:	42.5%
Mode:	127.6 μm	Skewness:	-0.235 Left skewed
d ₁₀ :	52.23 μm	Kurtosis:	0.191 Leptokurtic
d ₅₀ :	116.0 μm		
d ₉₀ :	174.0 μm		
Specific Surf. Area	1805 cm ² /ml		

% <	10	25	50	75	90
Size μm	52.23	87.18	116.0	144.8	174.0

257.\$02

Particle Diameter μm	Volume % <	Particle Diameter μm	Volume % <
2.000	1.46	500.0	100
5.000	3.68	1000	100
10.00	5.05	2000	100
15.00	5.58		
20.00	6.09		
25.00	6.52		
50.00	9.60		
60.00	12.0		
63.00	12.9		
70.00	15.5		
75.00	17.8		
90.00	27.0		
125.0	58.5		
200.0	96.2		
250.0	99.8		
400.0	100		



Volume Statistics (Arithmetic) 258.\$02

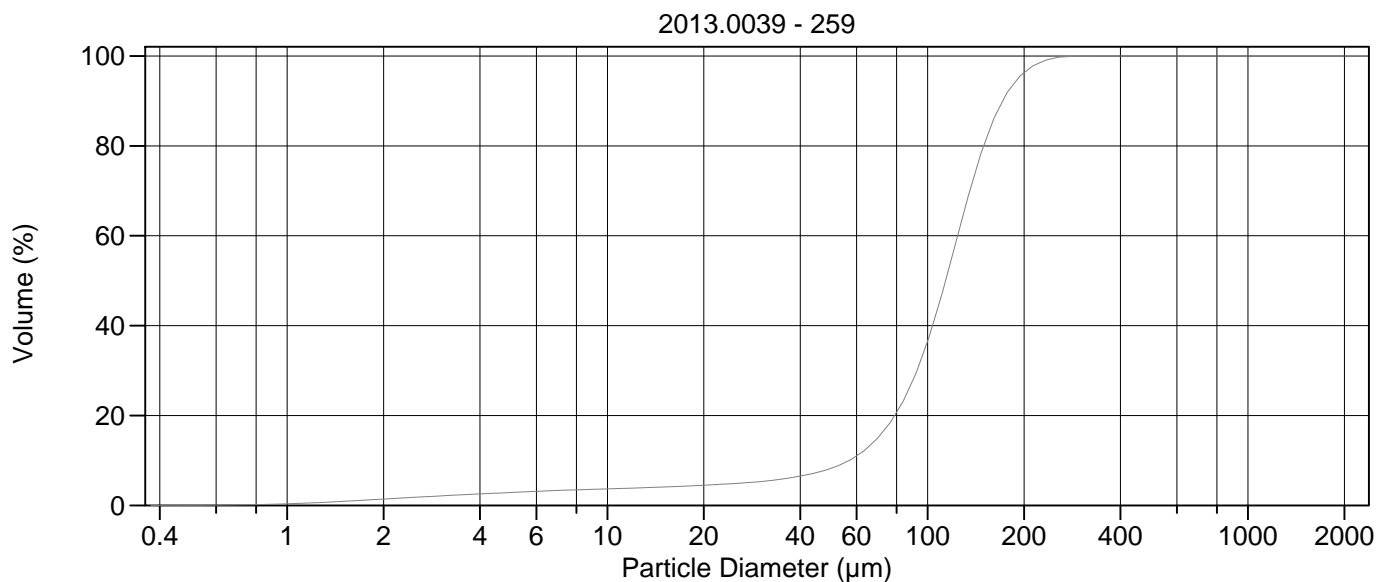
Calculations from 0.375 µm to 2000 µm

Volume	100.0%		
Mean:	110.4 µm	95% Conf. Limits:	19.33-201.5 µm
Median:	112.2 µm	S.D.:	46.48 µm
D(3,2):	33.53 µm	Variance:	2160 µm ²
Mean/Median Ratio:	0.984	C.V.:	42.1%
Mode:	127.6 µm	Skewness:	-0.179 Left skewed
d ₁₀ :	51.47 µm	Kurtosis:	0.281 Leptokurtic
d ₅₀ :	112.2 µm		
d ₉₀ :	167.4 µm		
Specific Surf. Area	1789 cm ² /ml		

% <	10	25	50	75	90
Size µm	51.47	84.29	112.2	139.7	167.4

258.\$02

Particle Diameter µm	Volume % <	Particle Diameter µm	Volume % <
2.000	1.50	500.0	100
5.000	3.37	1000	100
10.00	4.51	2000	100
15.00	5.05		
20.00	5.59		
25.00	6.06		
50.00	9.68		
60.00	12.4		
63.00	13.5		
70.00	16.5		
75.00	19.2		
90.00	29.4		
125.0	62.6		
200.0	97.2		
250.0	99.8		
400.0	100		



Volume Statistics (Arithmetic) 259.\$02

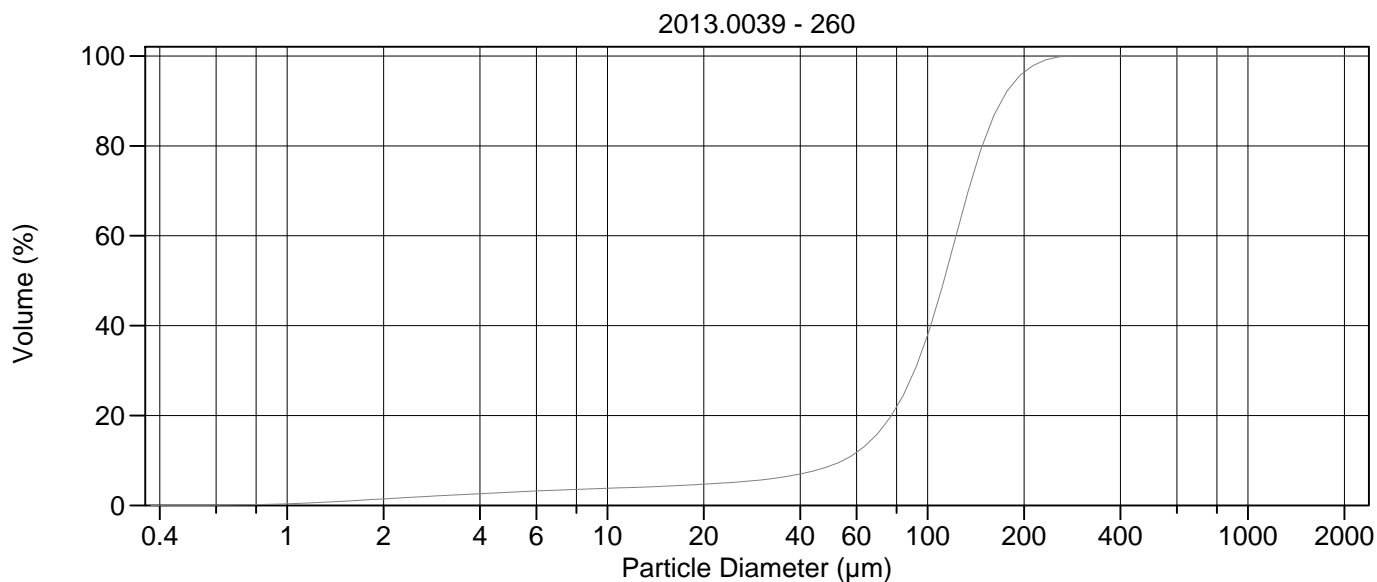
Calculations from 0.375 µm to 2000 µm

Volume	100.0%		
Mean:	113.6 µm	95% Conf. Limits:	21.25-206.0 µm
Median:	113.8 µm	S.D.:	47.12 µm
D(3,2):	35.41 µm	Variance:	2220 µm ²
Mean/Median Ratio:	0.998	C.V.:	41.5%
Mode:	127.6 µm	Skewness:	0.021 Right skewed
d ₁₀ :	56.88 µm	Kurtosis:	0.636 Leptokurtic
d ₅₀ :	113.8 µm		
d ₉₀ :	171.7 µm		
Specific Surf. Area	1695 cm ² /ml		

% <	10	25	50	75	90
Size µm	56.88	86.19	113.8	142.2	171.7

259.\$02

Particle Diameter µm	Volume % <	Particle Diameter µm	Volume % <
2.000	1.41	500.0	100
5.000	2.87	1000	100
10.00	3.68	2000	100
15.00	4.08		
20.00	4.49		
25.00	4.88		
50.00	8.27		
60.00	11.0		
63.00	12.1		
70.00	15.1		
75.00	17.7		
90.00	27.9		
125.0	60.9		
200.0	96.2		
250.0	99.6		
400.0	100.0		



Volume Statistics (Arithmetic) 260.\$02

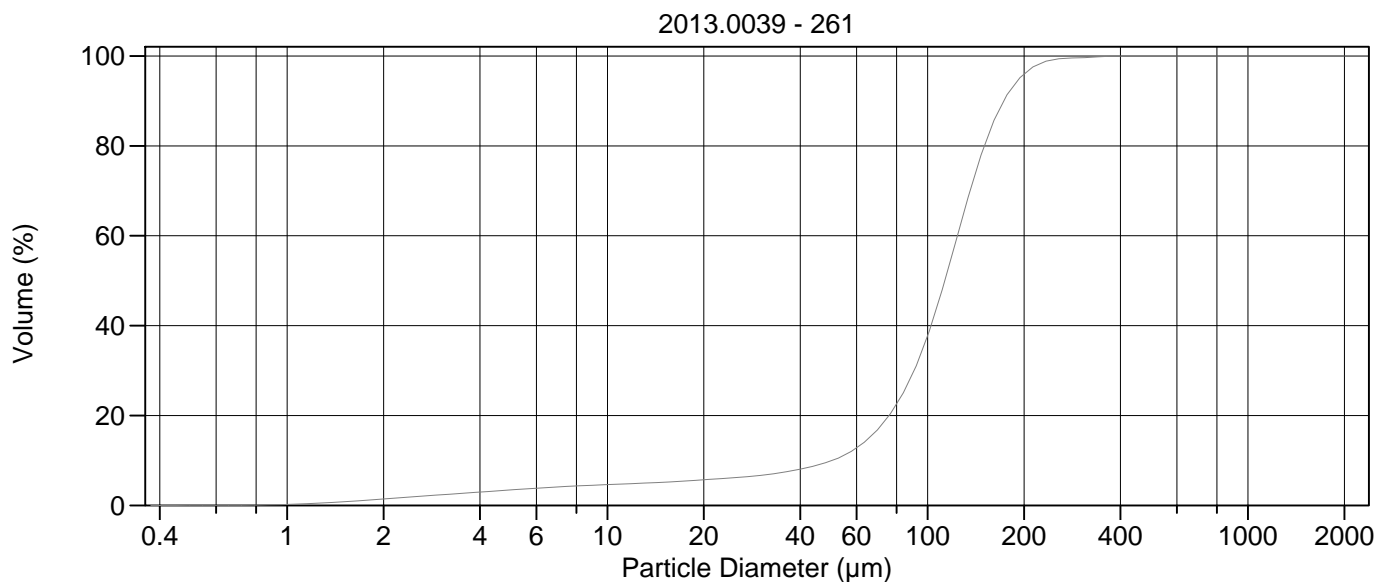
Calculations from 0.375 µm to 2000 µm

Volume	100.0%		
Mean:	112.0 µm	95% Conf. Limits:	19.64-204.4 µm
Median:	112.4 µm	S.D.:	47.13 µm
D(3,2):	34.55 µm	Variance:	2221 µm ²
Mean/Median Ratio:	0.997	C.V.:	42.1%
Mode:	116.3 µm	Skewness:	-0.0083 Left skewed
d ₁₀ :	54.36 µm	Kurtosis:	0.406 Leptokurtic
d ₅₀ :	112.4 µm		
d ₉₀ :	170.4 µm		
Specific Surf. Area	1736 cm ² /ml		

% <	10	25	50	75	90
Size µm	54.36	84.53	112.4	140.8	170.4

260.\$02

Particle Diameter µm	Volume % <	Particle Diameter µm	Volume % <
2.000	1.45	500.0	100
5.000	2.95	1000	100
10.00	3.81	2000	100
15.00	4.26		
20.00	4.73		
25.00	5.17		
50.00	8.89		
60.00	11.8		
63.00	12.9		
70.00	16.1		
75.00	18.8		
90.00	29.3		
125.0	62.1		
200.0	96.3		
250.0	99.6		
400.0	100		



Volume Statistics (Arithmetic) 261.\$02

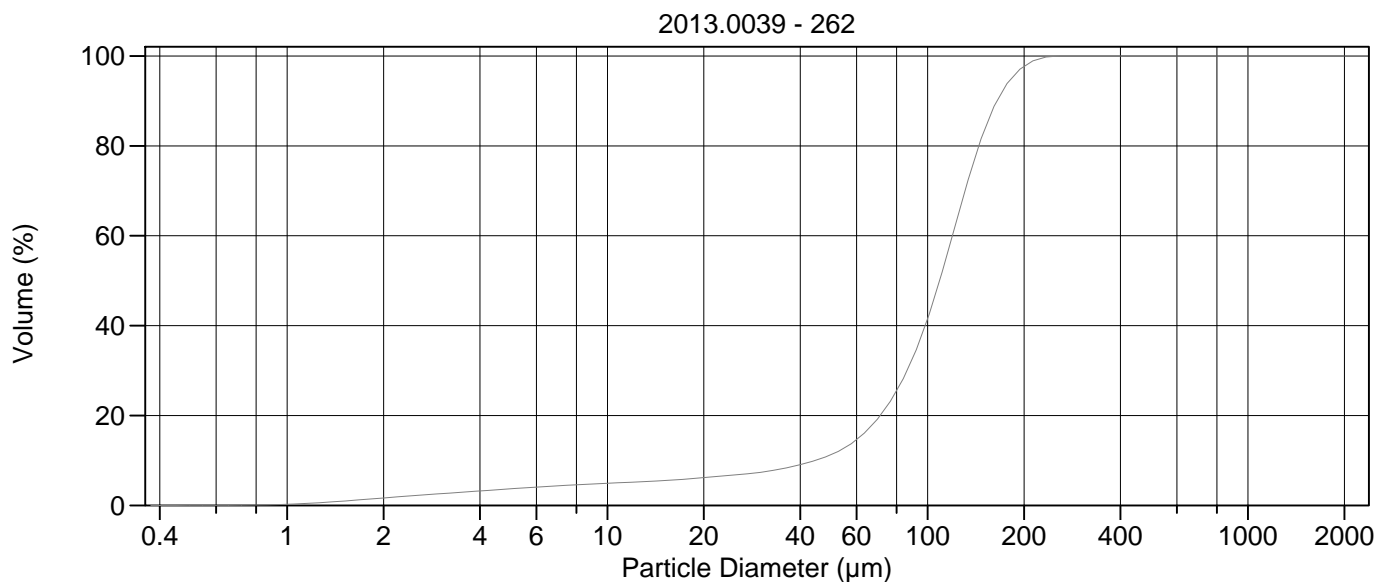
Calculations from 0.375 µm to 2000 µm

Volume	100.0%		
Mean:	112.7 µm	95% Conf. Limits:	13.45-212.0 µm
Median:	113.1 µm	S.D.:	50.64 µm
D(3,2):	33.92 µm	Variance:	2565 µm ²
Mean/Median Ratio:	0.996	C.V.:	44.9%
Mode:	127.6 µm	Skewness:	0.255 Right skewed
d ₁₀ :	50.28 µm	Kurtosis:	1.506 Leptokurtic
d ₅₀ :	113.1 µm		
d ₉₀ :	173.0 µm		
Specific Surf. Area	1769 cm ² /ml		

% <	10	25	50	75	90
Size µm	50.28	83.85	113.1	142.6	173.0

261.\$02

Particle Diameter µm	Volume % <	Particle Diameter µm	Volume % <
2.000	1.43	500.0	100
5.000	3.44	1000	100
10.00	4.63	2000	100
15.00	5.16		
20.00	5.70		
25.00	6.18		
50.00	9.94		
60.00	12.8		
63.00	13.9		
70.00	17.0		
75.00	19.6		
90.00	29.5		
125.0	61.0		
200.0	95.9		
250.0	99.2		
400.0	100.0		



Volume Statistics (Arithmetic) 262.\$02

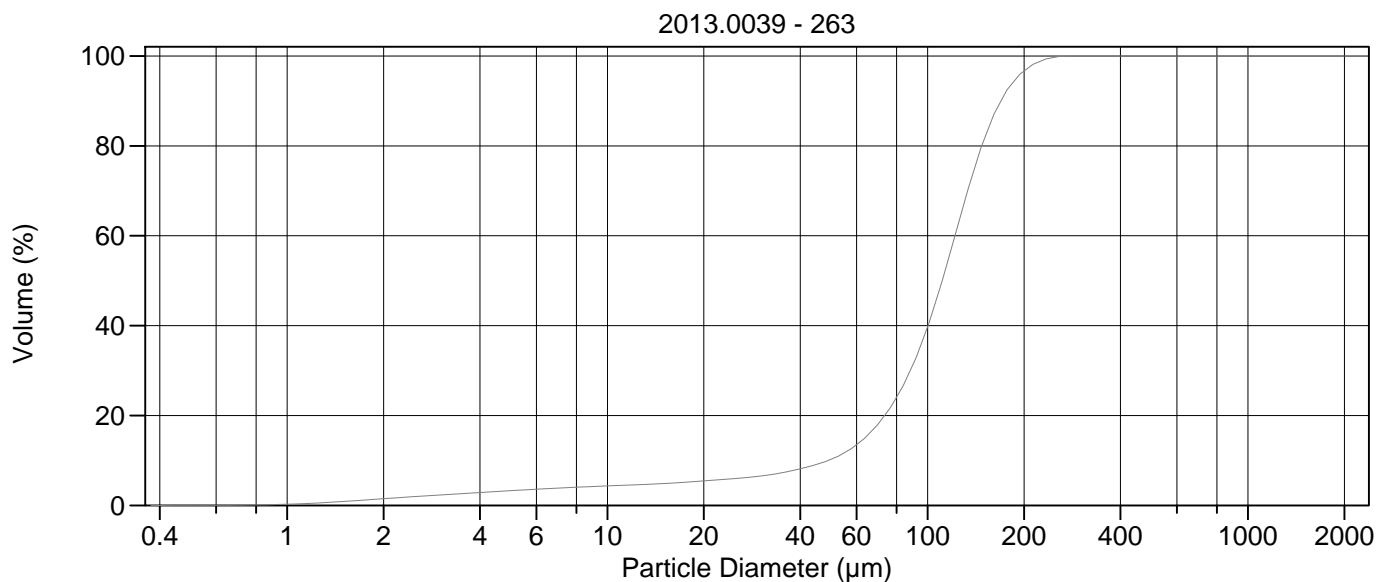
Calculations from 0.375 µm to 2000 µm

Volume	100.0%		
Mean:	106.9 µm	95% Conf. Limits:	14.83-198.9 µm
Median:	108.9 µm	S.D.:	46.96 µm
D(3,2):	31.24 µm	Variance:	2205 µm ²
Mean/Median Ratio:	0.981	C.V.:	43.9%
Mode:	116.3 µm	Skewness:	-0.168 Left skewed
d ₁₀ :	44.50 µm	Kurtosis:	0.049 Leptokurtic
d ₅₀ :	108.9 µm		
d ₉₀ :	164.9 µm		
Specific Surf. Area	1920 cm ² /ml		

% <	10	25	50	75	90
Size µm	44.50	79.16	108.9	137.4	164.9

262.\$02

Particle Diameter µm	Volume % <	Particle Diameter µm	Volume % <
2.000	1.66	500.0	100
5.000	3.69	1000	100
10.00	4.92	2000	100
15.00	5.53		
20.00	6.18		
25.00	6.77		
50.00	11.3		
60.00	14.7		
63.00	15.9		
70.00	19.4		
75.00	22.3		
90.00	33.0		
125.0	65.0		
200.0	97.6		
250.0	99.9		
400.0	100		



Volume Statistics (Arithmetic) 263.\$02

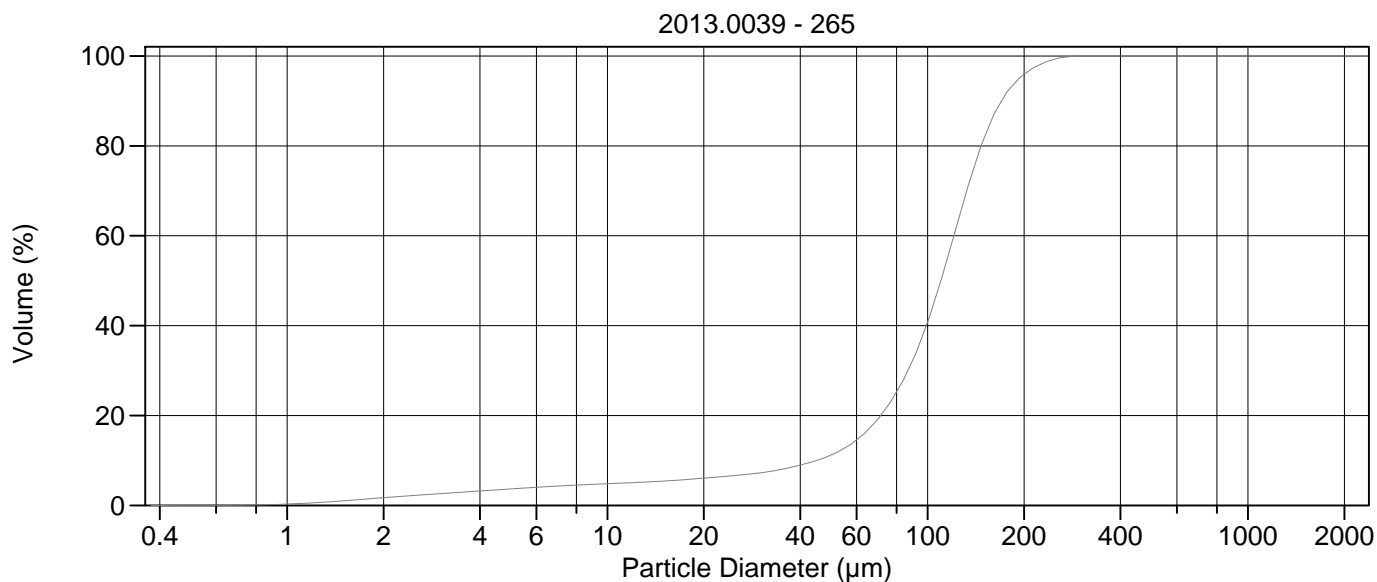
Calculations from 0.375 µm to 2000 µm

Volume	100.0%		
Mean:	109.9 µm	95% Conf. Limits:	16.01-203.9 µm
Median:	111.0 µm	S.D.:	47.93 µm
D(3,2):	33.70 µm	Variance:	2297 µm ²
Mean/Median Ratio:	0.990	C.V.:	43.6%
Mode:	127.6 µm	Skewness:	-0.054 Left skewed
d ₁₀ :	48.89 µm	Kurtosis:	0.195 Leptokurtic
d ₅₀ :	111.0 µm		
d ₉₀ :	169.6 µm		
Specific Surf. Area	1781 cm ² /ml		

% <	10	25	50	75	90
Size µm	48.89	81.36	111.0	140.2	169.6

263.\$02

Particle Diameter µm	Volume % <	Particle Diameter µm	Volume % <
2.000	1.49	500.0	100
5.000	3.27	1000	100
10.00	4.33	2000	100
15.00	4.87		
20.00	5.45		
25.00	5.98		
50.00	10.3		
60.00	13.5		
63.00	14.7		
70.00	18.1		
75.00	20.9		
90.00	31.3		
125.0	62.9		
200.0	96.6		
250.0	99.7		
400.0	100		



Volume Statistics (Arithmetic)

265#.\$02

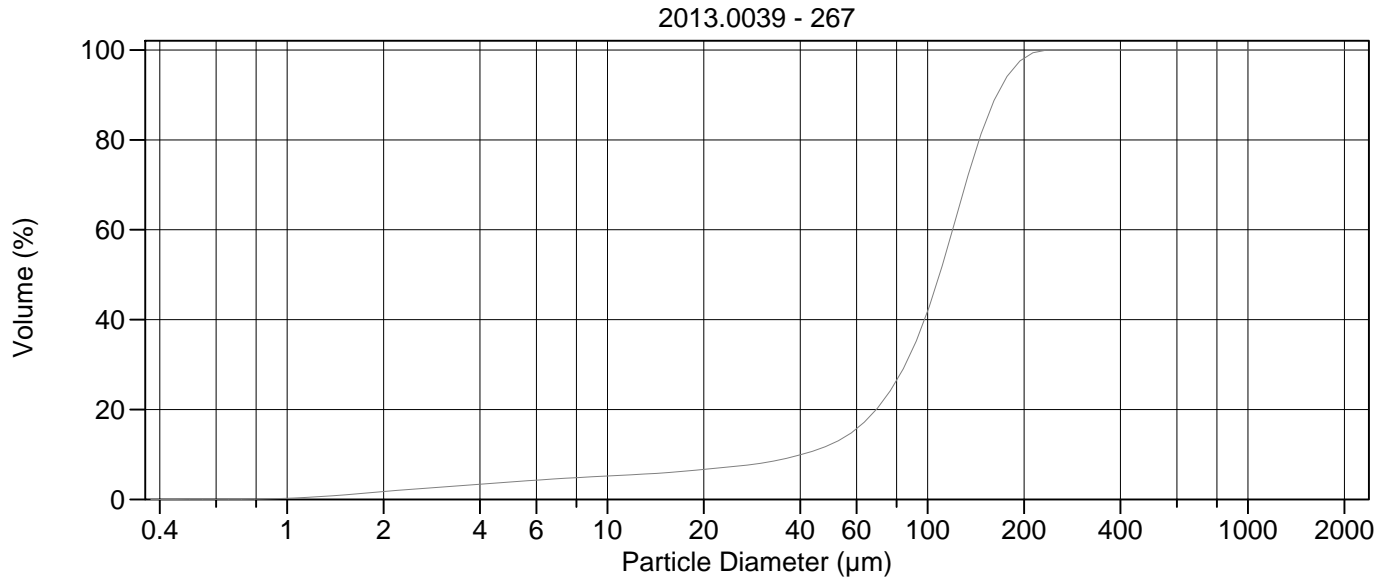
Calculations from 0.375 µm to 2000 µm

Volume	100.0%		
Mean:	109.3 µm	95% Conf. Limits:	11.15-207.4 µm
Median:	110.0 µm	S.D.:	50.06 µm
D(3,2):	30.97 µm	Variance:	2506 µm ²
Mean/Median Ratio:	0.994	C.V.:	45.8%
Mode:	116.3 µm	Skewness:	0.096 Right skewed
d ₁₀ :	44.98 µm	Kurtosis:	0.392 Leptokurtic
d ₅₀ :	110.0 µm		
d ₉₀ :	170.3 µm		
Specific Surf. Area	1937 cm ² /ml		

% <	10	25	50	75	90
Size µm	44.98	79.57	110.0	139.4	170.3

265#.\$02

Particle Diameter µm	Volume % <	Particle Diameter µm	Volume % <
2.000	1.72	500.0	100
5.000	3.67	1000	100
10.00	4.83	2000	100
15.00	5.42		
20.00	6.06		
25.00	6.65		
50.00	11.2		
60.00	14.6		
63.00	15.8		
70.00	19.3		
75.00	22.1		
90.00	32.5		
125.0	63.7		
200.0	95.9		
250.0	99.3		
400.0	100		



Volume Statistics (Arithmetic) 267.\$02

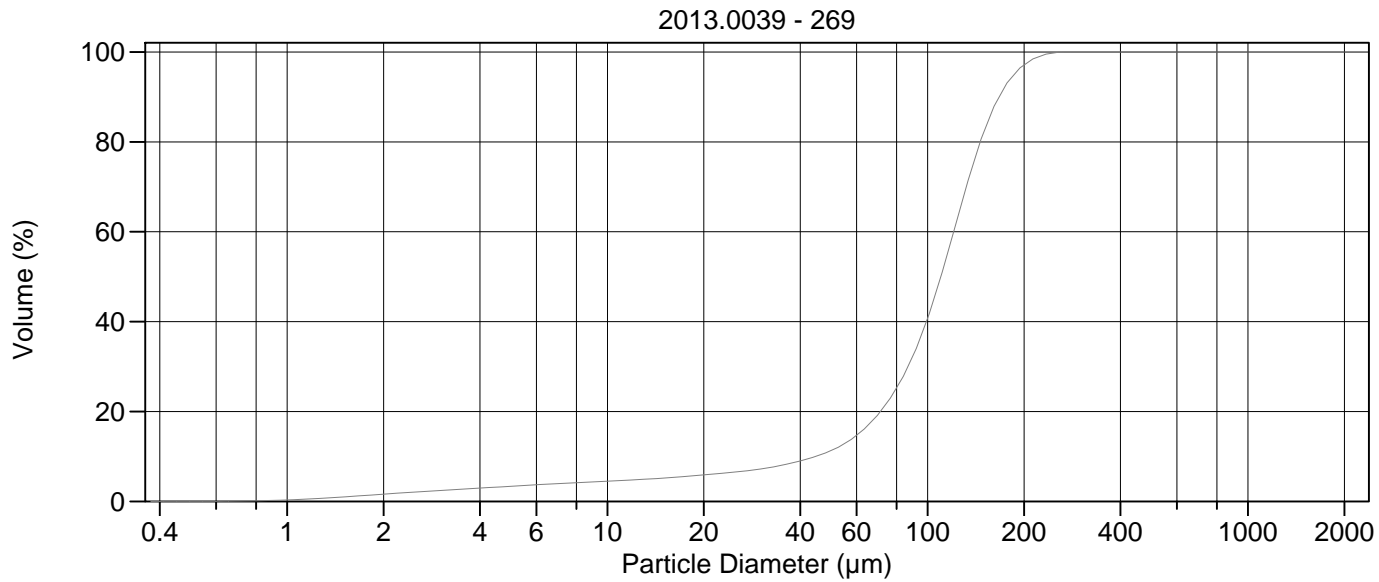
Calculations from 0.375 µm to 2000 µm

Volume	100.0%		
Mean:	105.9 µm	95% Conf. Limits:	13.40-198.5 µm
Median:	108.8 µm	S.D.:	47.21 µm
D(3,2):	30.11 µm	Variance:	2229 µm ²
Mean/Median Ratio:	0.973	C.V.:	44.6%
Mode:	127.6 µm	Skewness:	-0.246 Left skewed
d ₁₀ :	40.39 µm	Kurtosis:	-0.147 Platykurtic
d ₅₀ :	108.8 µm		
d ₉₀ :	164.7 µm		
Specific Surf. Area	1992 cm ² /ml		

% <	10	25	50	75	90
Size µm	40.39	77.66	108.8	137.8	164.7

267.\$02

Particle Diameter µm	Volume % <	Particle Diameter µm	Volume % <
2.000	1.74	500.0	100
5.000	3.87	1000	100
10.00	5.20	2000	100
15.00	5.91		
20.00	6.67		
25.00	7.35		
50.00	12.3		
60.00	15.7		
63.00	17.0		
70.00	20.5		
75.00	23.4		
90.00	33.7		
125.0	64.7		
200.0	98.1		
250.0	100.0		
400.0	100		



Volume Statistics (Arithmetic) 269.\$02

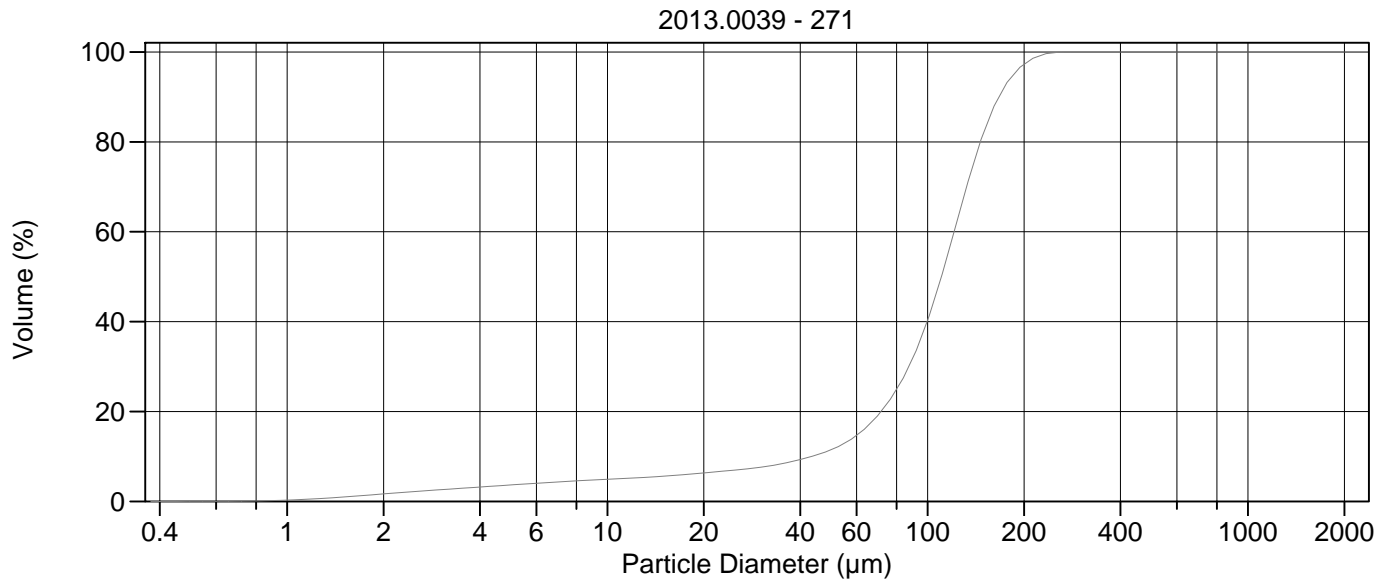
Calculations from 0.375 µm to 2000 µm

Volume	100.0%		
Mean:	108.1 µm	95% Conf. Limits:	14.32-201.9 µm
Median:	109.9 µm	S.D.:	47.86 µm
D(3,2):	31.81 µm	Variance:	2290 µm ²
Mean/Median Ratio:	0.983	C.V.:	44.3%
Mode:	127.6 µm	Skewness:	-0.098 Left skewed
d ₁₀ :	44.57 µm	Kurtosis:	0.087 Leptokurtic
d ₅₀ :	109.9 µm		
d ₉₀ :	167.4 µm		
Specific Surf. Area	1886 cm ² /ml		

% <	10	25	50	75	90
Size µm	44.57	79.54	109.9	138.8	167.4

269.\$02

Particle Diameter µm	Volume % <	Particle Diameter µm	Volume % <
2.000	1.62	500.0	100
5.000	3.37	1000	100
10.00	4.50	2000	100
15.00	5.19		
20.00	5.90		
25.00	6.54		
50.00	11.3		
60.00	14.7		
63.00	15.9		
70.00	19.4		
75.00	22.2		
90.00	32.4		
125.0	63.9		
200.0	97.1		
250.0	99.8		
400.0	100		



Volume Statistics (Arithmetic) 271.\$02

Calculations from 0.375 µm to 2000 µm

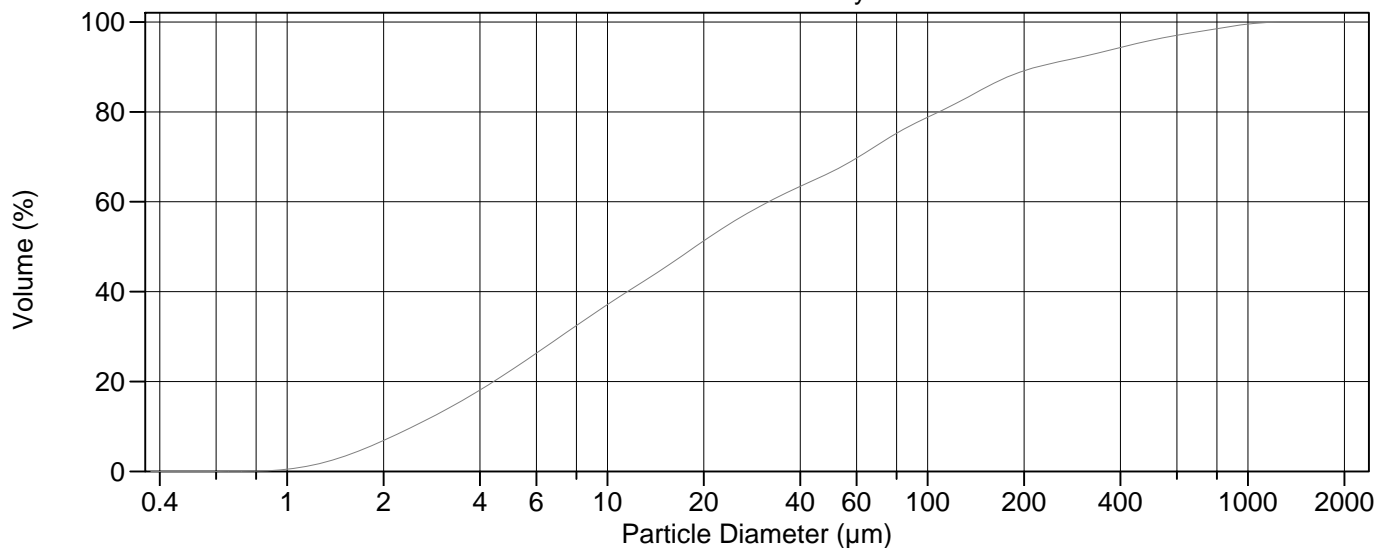
Volume	100.0%		
Mean:	108.1 µm	95% Conf. Limits:	14.20-202.0 µm
Median:	110.4 µm	S.D.:	47.90 µm
D(3,2):	31.10 µm	Variance:	2294 µm ²
Mean/Median Ratio:	0.979	C.V.:	44.3%
Mode:	127.6 µm	Skewness:	-0.160 Left skewed
d ₁₀ :	43.43 µm	Kurtosis:	0.049 Leptokurtic
d ₅₀ :	110.4 µm		
d ₉₀ :	167.2 µm		
Specific Surf. Area	1929 cm ² /ml		

% <	10	25	50	75	90
Size µm	43.43	80.00	110.4	139.0	167.2

271.\$02

Particle Diameter µm	Volume % <	Particle Diameter µm	Volume % <
2.000	1.67	500.0	100
5.000	3.66	1000	100
10.00	4.92	2000	100
15.00	5.61		
20.00	6.33		
25.00	6.97		
50.00	11.5		
60.00	14.7		
63.00	15.9		
70.00	19.2		
75.00	21.9		
90.00	32.0		
125.0	63.6		
200.0	97.2		
250.0	99.9		
400.0	100		

2013.0039 - stand. Hynne



Volume Statistics (Arithmetic) 272.\$02

Calculations from 0.375 µm to 2000 µm

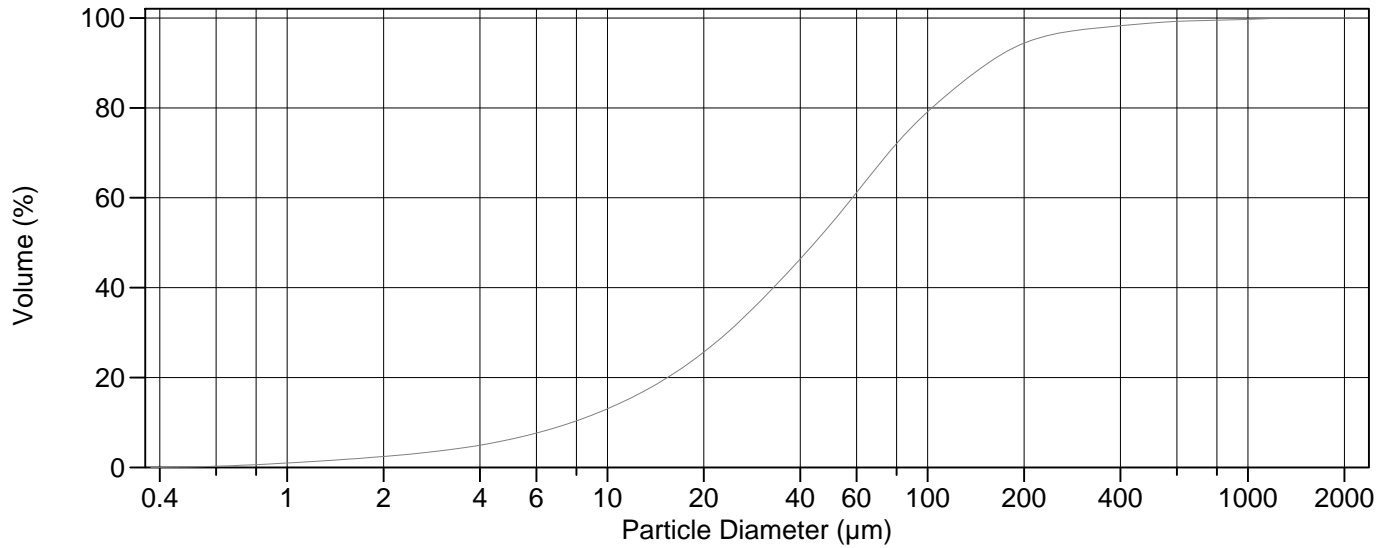
Volume	100.0%		
Mean:	84.44 µm	95% Conf. Limits:	0-410.7 µm
Median:	18.80 µm	S.D.:	166.5 µm
D(3,2):	7.282 µm	Variance:	27707 µm ²
Mean/Median Ratio:	4.491	C.V.:	197%
Mode:	18.00 µm	Skewness:	3.448 Right skewed
d ₁₀ :	2.477 µm	Kurtosis:	13.33 Leptokurtic
d ₅₀ :	18.80 µm		
d ₉₀ :	219.8 µm		
Specific Surf. Area	8239 cm ² /ml		

% <	10	25	50	75	90
Size µm	2.477	5.644	18.80	79.00	219.8

272.\$02

Particle Diameter µm	Volume % <	Particle Diameter µm	Volume % <
2.000	6.89	500.0	95.9
5.000	22.5	1000	99.5
10.00	37.1	2000	100
15.00	45.2		
20.00	51.3		
25.00	55.8		
50.00	66.6		
60.00	69.7		
63.00	70.6		
70.00	72.7		
75.00	74.0		
90.00	77.2		
125.0	82.2		
200.0	89.1		
250.0	91.0		
400.0	94.3		

2013.0039 - stand. MINN



Volume Statistics (Arithmetic) 273.\$02

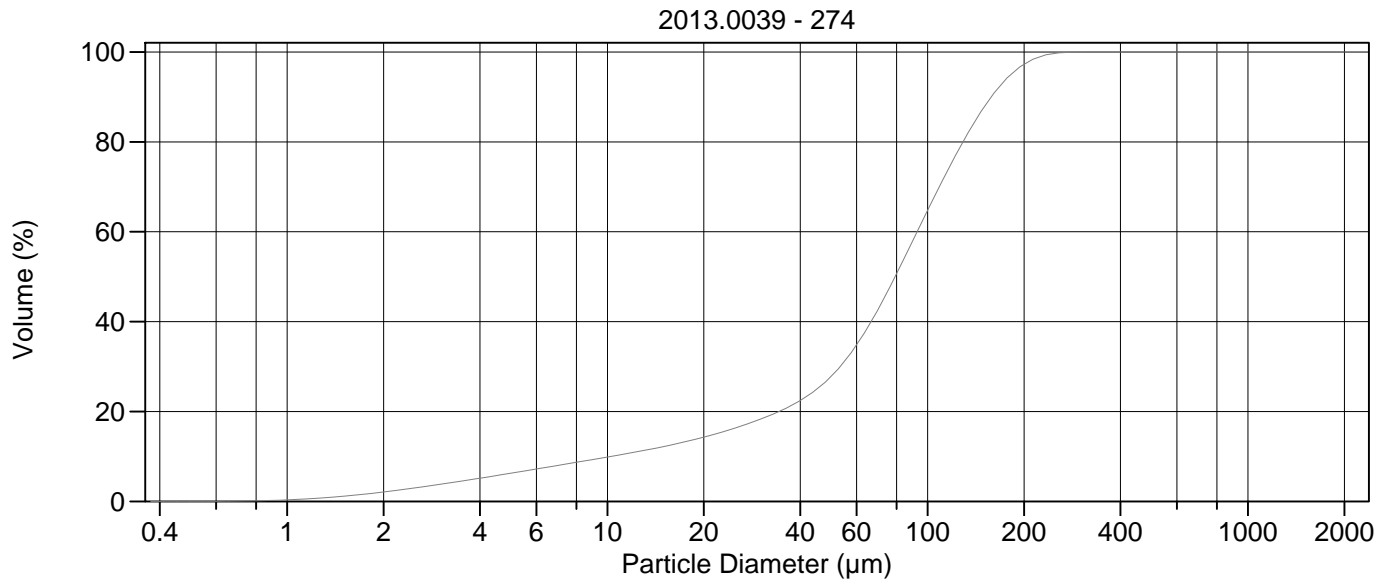
Calculations from 0.375 µm to 2000 µm

Volume	100.0%		
Mean:	72.74 µm	95% Conf. Limits:	0-280.7 µm
Median:	44.44 µm	S.D.:	106.1 µm
D(3,2):	14.61 µm	Variance:	11261 µm ²
Mean/Median Ratio:	1.637	C.V.:	146%
Mode:	60.52 µm	Skewness:	5.524 Right skewed
d ₁₀ :	7.733 µm	Kurtosis:	44.56 Leptokurtic
d ₅₀ :	44.44 µm		
d ₉₀ :	154.8 µm		
Specific Surf. Area	4107 cm ² /ml		

% <	10	25	50	75	90
Size µm	7.733	19.47	44.44	87.29	154.8

273.\$02

Particle Diameter µm	Volume % <	Particle Diameter µm	Volume % <
2.000	2.43	500.0	98.9
5.000	6.27	1000	99.7
10.00	13.0	2000	100
15.00	19.5		
20.00	25.6		
25.00	31.5		
50.00	54.2		
60.00	61.1		
63.00	63.1		
70.00	67.2		
75.00	69.7		
90.00	76.0		
125.0	85.1		
200.0	94.4		
250.0	96.5		
400.0	98.3		



Volume Statistics (Arithmetic)

274#.\$02

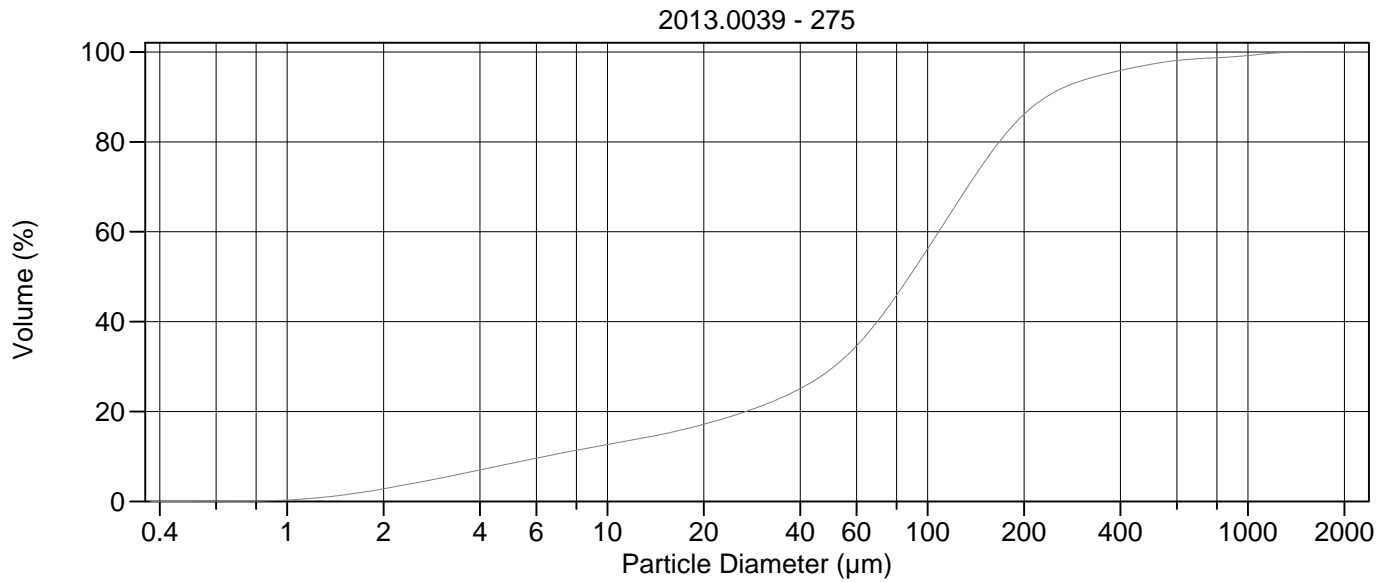
Calculations from 0.375 μm to 2000 μm

Volume	100.0%		
Mean:	83.88 μm	95% Conf. Limits:	0-189.5 μm
Median:	79.13 μm	S.D.:	53.91 μm
D(3,2):	20.17 μm	Variance:	2906 μm^2
Mean/Median Ratio:	1.060	C.V.:	64.3%
Mode:	87.90 μm	Skewness:	0.506 Right skewed
d ₁₀ :	10.24 μm	Kurtosis:	-0.094 Platykurtic
d ₅₀ :	79.13 μm		
d ₉₀ :	158.1 μm		
Specific Surf. Area	2974 cm^2/ml		

% <	10	25	50	75	90
Size μm	10.24	45.09	79.13	118.2	158.1

274#.\$02

Particle Diameter μm	Volume % <	Particle Diameter μm	Volume % <
2.000	2.10	500.0	100
5.000	6.27	1000	100
10.00	9.87	2000	100
15.00	12.2		
20.00	14.3		
25.00	16.3		
50.00	27.9		
60.00	34.8		
63.00	37.1		
70.00	42.7		
75.00	46.8		
90.00	58.1		
125.0	78.2		
200.0	97.2		
250.0	99.7		
400.0	100		



Volume Statistics (Arithmetic)

275#.\$02

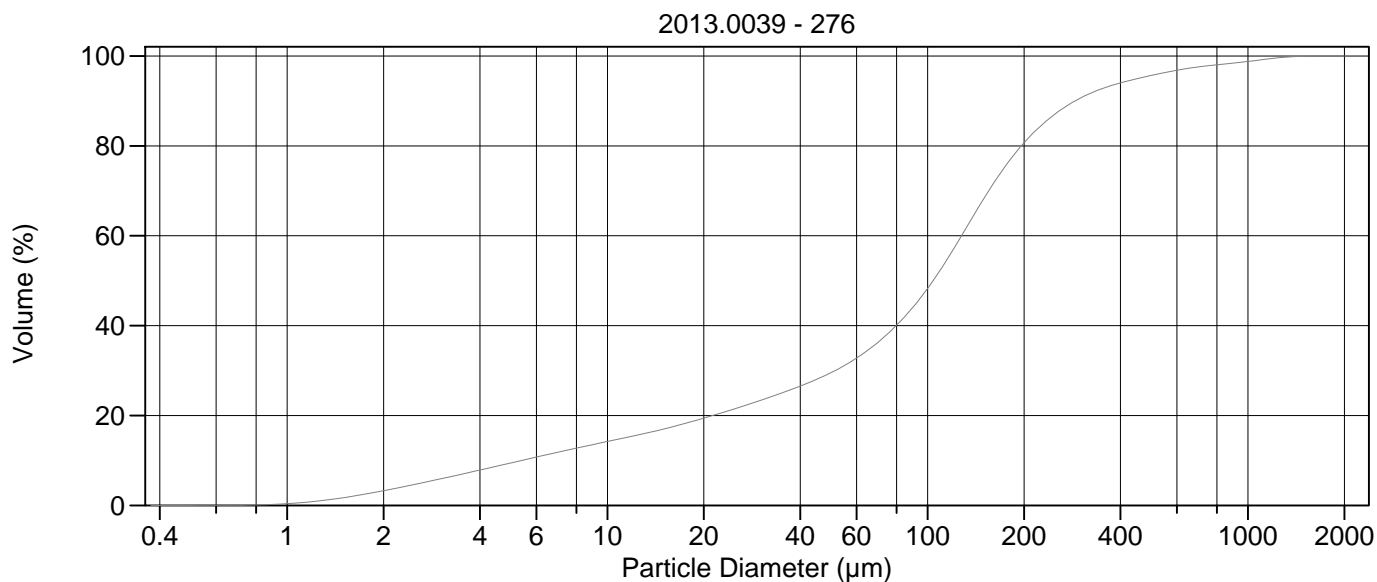
Calculations from 0.375 µm to 2000 µm

Volume	100.0%		
Mean:	121.7 µm	95% Conf. Limits:	0-417.8 µm
Median:	87.64 µm	S.D.:	151.1 µm
D(3,2):	17.22 µm	Variance:	22827 µm ²
Mean/Median Ratio:	1.388	C.V.:	124%
Mode:	116.3 µm	Skewness:	3.975 Right skewed
d ₁₀ :	6.376 µm	Kurtosis:	21.62 Leptokurtic
d ₅₀ :	87.64 µm		
d ₉₀ :	234.1 µm		
Specific Surf. Area	3485 cm ² /ml		

% <	10	25	50	75	90
Size µm	6.376	39.75	87.64	148.7	234.1

275#.\$02

Particle Diameter µm	Volume % <	Particle Diameter µm	Volume % <
2.000	2.81	500.0	97.3
5.000	8.45	1000	99.2
10.00	12.7	2000	100
15.00	15.0		
20.00	17.2		
25.00	19.2		
50.00	29.5		
60.00	34.6		
63.00	36.3		
70.00	40.2		
75.00	43.1		
90.00	51.2		
125.0	66.9		
200.0	86.1		
250.0	91.1		
400.0	95.9		



Volume Statistics (Arithmetic) 276.\$02

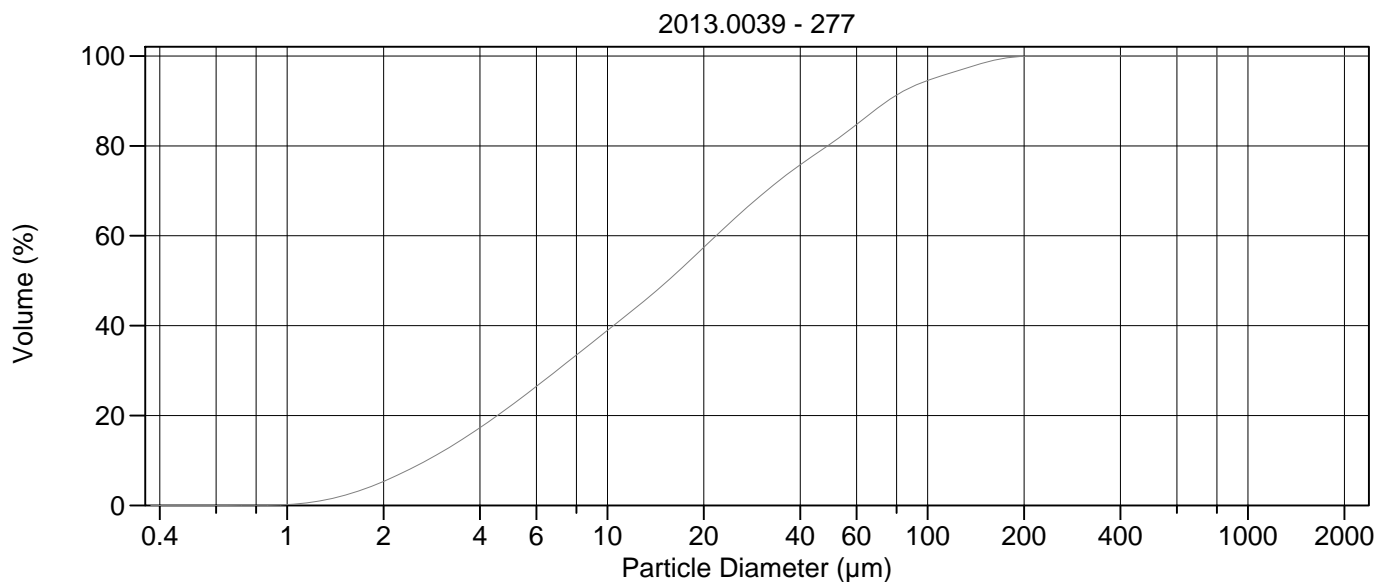
Calculations from 0.375 µm to 2000 µm

Volume	100.0%		
Mean:	143.8 µm	95% Conf. Limits:	0-500.9 µm
Median:	104.0 µm	S.D.:	182.2 µm
D(3,2):	15.78 µm	Variance:	33196 µm ²
Mean/Median Ratio:	1.382	C.V.:	127%
Mode:	127.6 µm	Skewness:	3.467 Right skewed
d ₁₀ :	5.407 µm	Kurtosis:	15.76 Leptokurtic
d ₅₀ :	104.0 µm		
d ₉₀ :	288.7 µm		
Specific Surf. Area	3802 cm ² /ml		

% <	10	25	50	75	90
Size µm	5.407	35.01	104.0	172.9	288.7

276.\$02

Particle Diameter µm	Volume % <	Particle Diameter µm	Volume % <
2.000	3.28	500.0	95.7
5.000	9.44	1000	98.8
10.00	14.2	2000	100
15.00	17.0		
20.00	19.4		
25.00	21.5		
50.00	29.5		
60.00	32.8		
63.00	33.8		
70.00	36.3		
75.00	38.2		
90.00	44.1		
125.0	58.9		
200.0	80.6		
250.0	87.1		
400.0	94.0		



Volume Statistics (Arithmetic) 277.\$02

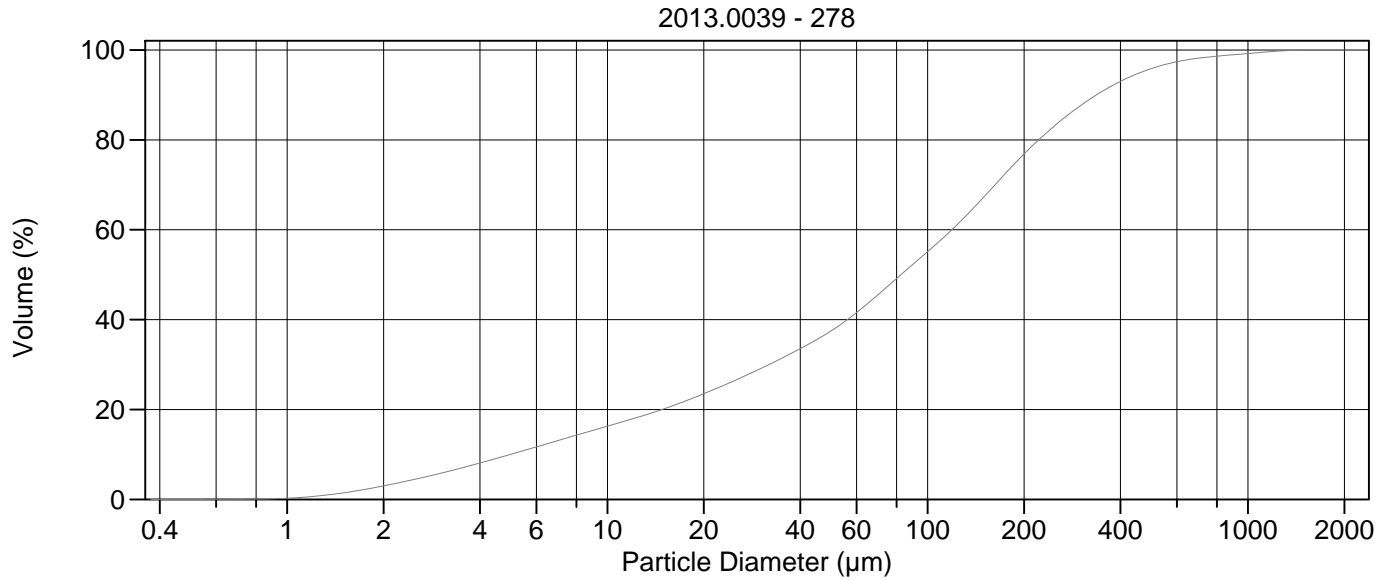
Calculations from 0.375 µm to 2000 µm

Volume	100.0%		
Mean:	28.99 µm	95% Conf. Limits:	0-96.69 µm
Median:	15.45 µm	S.D.:	34.54 µm
D(3,2):	7.338 µm	Variance:	1193 µm ²
Mean/Median Ratio:	1.876	C.V.:	119%
Mode:	19.76 µm	Skewness:	2.036 Right skewed
d ₁₀ :	2.727 µm	Kurtosis:	4.411 Leptokurtic
d ₅₀ :	15.45 µm		
d ₉₀ :	74.97 µm		
Specific Surf. Area	8177 cm ² /ml		

% <	10	25	50	75	90
Size µm	2.727	5.640	15.45	38.64	74.97

277.\$02

Particle Diameter µm	Volume % <	Particle Diameter µm	Volume % <
2.000	5.34	500.0	100
5.000	22.2	1000	100
10.00	38.9	2000	100
15.00	49.2		
20.00	57.4		
25.00	63.9		
50.00	80.6		
60.00	84.8		
63.00	86.0		
70.00	88.5		
75.00	90.0		
90.00	93.2		
125.0	96.8		
200.0	99.9		
250.0	100.0		
400.0	100		



Volume Statistics (Arithmetic)

278#.\$02

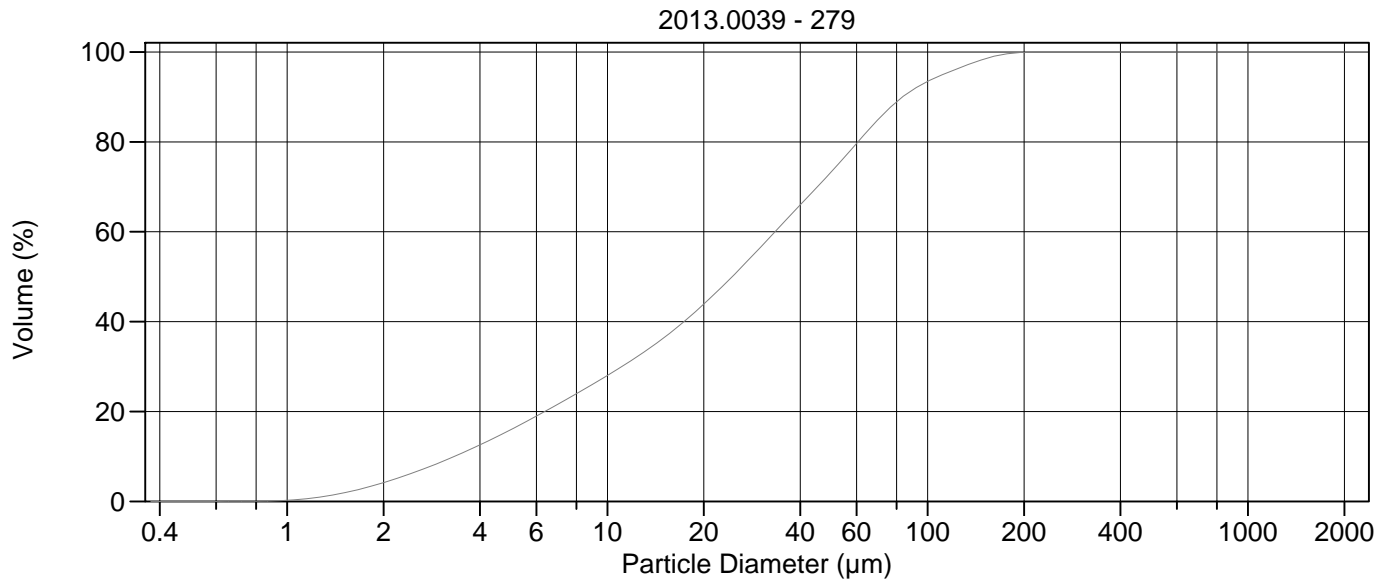
Calculations from 0.375 μm to 2000 μm

Volume	100.0%	95% Conf. Limits:	0-486.8 μm
Mean:	139.9 μm	S.D.:	177.0 μm
Median:	82.48 μm	Variance:	31323 μm^2
D(3,2):	14.90 μm	C.V.:	127%
Mean/Median Ratio:	1.696	Skewness:	2.886 Right skewed
Mode:	153.8 μm	Kurtosis:	12.07 Leptokurtic
d ₁₀ :	4.983 μm		
d ₅₀ :	82.48 μm		
d ₉₀ :	336.2 μm		
Specific Surf. Area	4026 cm^2/ml		

% <	10	25	50	75	90
Size μm	4.983	22.42	82.48	188.7	336.2

278#.\$02

Particle Diameter μm	Volume % <	Particle Diameter μm	Volume % <
2.000	3.01	500.0	95.9
5.000	10.0	1000	99.2
10.00	16.3	2000	100
15.00	20.1		
20.00	23.5		
25.00	26.5		
50.00	37.5		
60.00	41.6		
63.00	42.8		
70.00	45.6		
75.00	47.4		
90.00	52.3		
125.0	61.5		
200.0	76.8		
250.0	83.2		
400.0	93.0		



Volume Statistics (Arithmetic)

279#.\$02

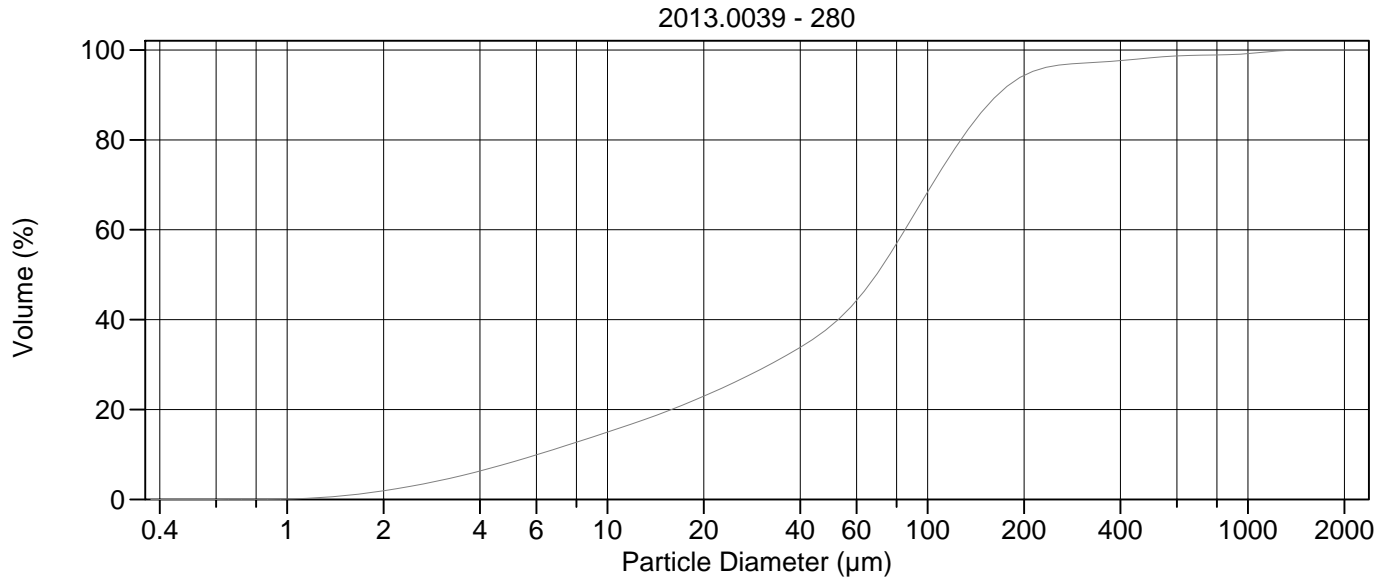
Calculations from 0.375 μm to 2000 μm

Volume	100.0%		
Mean:	35.99 μm	95% Conf. Limits:	0-106.2 μm
Median:	24.53 μm	S.D.:	35.81 μm
D(3,2):	9.302 μm	Variance:	1282 μm^2
Mean/Median Ratio:	1.467	C.V.:	99.5%
Mode:	60.52 μm	Skewness:	1.586 Right skewed
d ₁₀ :	3.327 μm	Kurtosis:	2.650 Leptokurtic
d ₅₀ :	24.53 μm		
d ₉₀ :	83.43 μm		
Specific Surf. Area	6450 cm^2/ml		

% <	10	25	50	75	90
Size μm	3.327	8.484	24.53	52.53	83.43

279#.\$02

Particle Diameter μm	Volume % <	Particle Diameter μm	Volume % <
2.000	4.19	500.0	100
5.000	16.0	1000	100
10.00	28.0	2000	100
15.00	36.4		
20.00	43.9		
25.00	50.6		
50.00	73.3		
60.00	79.6		
63.00	81.4		
70.00	85.0		
75.00	87.1		
90.00	91.6		
125.0	96.4		
200.0	99.9		
250.0	100.0		
400.0	100		



Volume Statistics (Arithmetic) 280.\$02

Calculations from 0.375 µm to 2000 µm

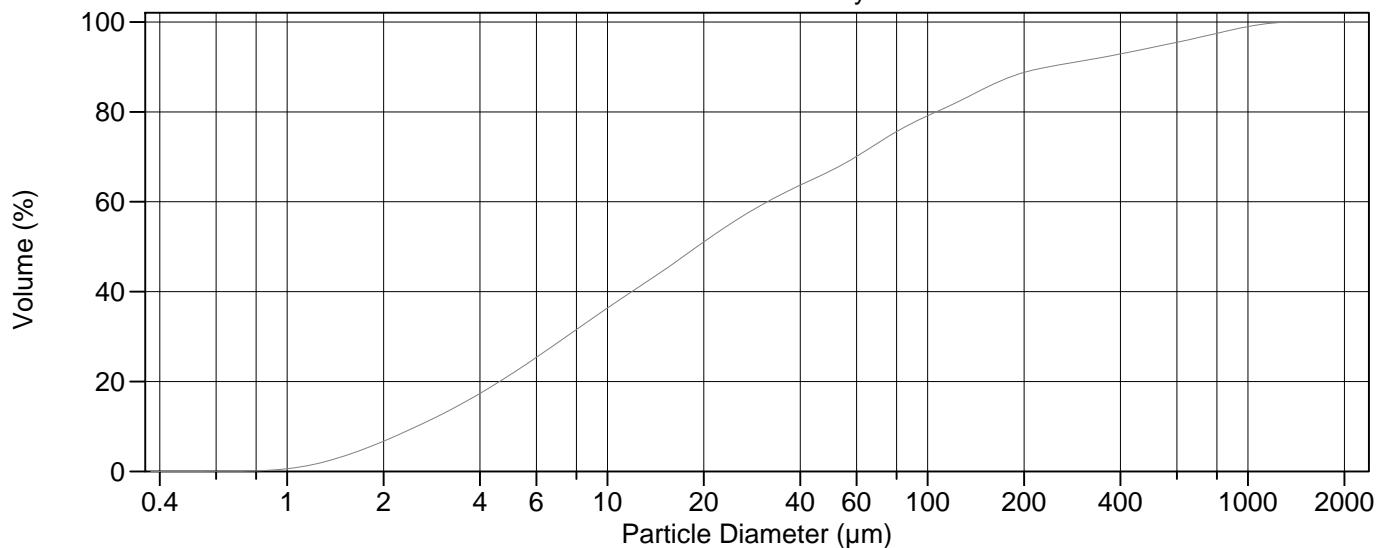
Volume	100.0%		
Mean:	91.61 µm	95% Conf. Limits:	0-352.3 µm
Median:	69.14 µm	S.D.:	133.0 µm
D(3,2):	16.88 µm	Variance:	17685 µm ²
Mean/Median Ratio:	1.325	C.V.:	145%
Mode:	87.90 µm	Skewness:	5.618 Right skewed
d ₁₀ :	6.061 µm	Kurtosis:	40.38 Leptokurtic
d ₅₀ :	69.14 µm		
d ₉₀ :	165.4 µm		
Specific Surf. Area	3555 cm ² /ml		

% <	10	25	50	75	90
Size µm	6.061	23.17	69.14	114.1	165.4

280.\$02

Particle Diameter µm	Volume % <	Particle Diameter µm	Volume % <
2.000	1.92	500.0	98.3
5.000	8.22	1000	99.2
10.00	15.0	2000	100
15.00	19.3		
20.00	23.0		
25.00	26.1		
50.00	38.7		
60.00	44.3		
63.00	46.1		
70.00	50.6		
75.00	53.8		
90.00	63.0		
125.0	79.3		
200.0	94.3		
250.0	96.5		
400.0	97.6		

2013.0039 - stand. Hynne



Volume Statistics (Arithmetic) 281.\$02

Calculations from 0.375 µm to 2000 µm

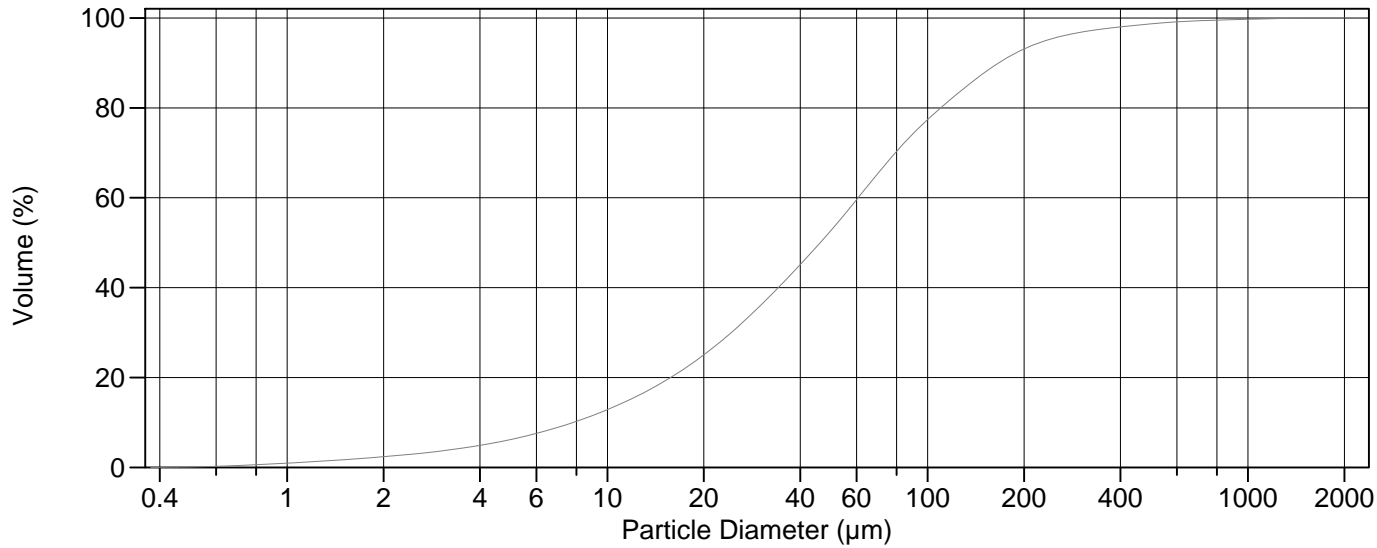
Volume	100.0%		
Mean:	94.45 µm	95% Conf. Limits:	0-479.8 µm
Median:	19.05 µm	S.D.:	196.6 µm
D(3,2):	7.396 µm	Variance:	38648 µm ²
Mean/Median Ratio:	4.958	C.V.:	208%
Mode:	18.00 µm	Skewness:	3.367 Right skewed
d ₁₀ :	2.539 µm	Kurtosis:	11.92 Leptokurtic
d ₅₀ :	19.05 µm		
d ₉₀ :	237.0 µm		
Specific Surf. Area	8113 cm ² /ml		

% <	10	25	50	75	90
Size µm	2.539	5.900	19.05	77.28	237.0

281.\$02

Particle Diameter µm	Volume % <	Particle Diameter µm	Volume % <
2.000	6.73	500.0	94.3
5.000	21.6	1000	99.0
10.00	36.3	2000	100
15.00	44.7		
20.00	51.1		
25.00	55.7		
50.00	67.0		
60.00	70.1		
63.00	71.0		
70.00	73.1		
75.00	74.4		
90.00	77.6		
125.0	82.3		
200.0	88.8		
250.0	90.3		
400.0	92.9		

2013.0039 - stand. MINN



Volume Statistics (Arithmetic) 282.\$02

Calculations from 0.375 µm to 2000 µm

Volume	100.0%	95% Conf. Limits:	0-298.3 µm
Mean:	77.37 µm	S.D.:	112.7 µm
Median:	46.21 µm	Variance:	12703 µm ²
D(3,2):	14.90 µm	C.V.:	146%
Mean/Median Ratio:	1.674	Skewness:	5.296 Right skewed
Mode:	66.44 µm	Kurtosis:	42.29 Leptokurtic
d ₁₀ :	7.820 µm		
d ₅₀ :	46.21 µm		
d ₉₀ :	166.8 µm		
Specific Surf. Area	4028 cm ² /ml		

% <	10	25	50	75	90
Size µm	7.820	19.97	46.21	92.14	166.8

282.\$02

Particle Diameter µm	Volume % <	Particle Diameter µm	Volume % <
2.000	2.38	500.0	98.7
5.000	6.22	1000	99.7
10.00	12.9	2000	100
15.00	19.1		
20.00	25.0		
25.00	30.7		
50.00	52.8		
60.00	59.5		
63.00	61.4		
70.00	65.5		
75.00	68.0		
90.00	74.2		
125.0	83.4		
200.0	93.1		
250.0	95.6		
400.0	98.0		

NGUnik	R_GG_c_cm-cm	NGUnik	Tokt	Prosjekt	Lokalitet	Prøve
98090	k2+4_00-01	98090	2011105	311703	R0682MC001	R0682MC001
98091	k2+4_01-02	98091	2011105	311703	R0682MC001	R0682MC001
98092	k2+4_02-03	98092	2011105	311703	R0682MC001	R0682MC001
71417	01k2_03-04	71417	2011105	311703	R0682MC001	R0682MC001
71418	01k2_04-05	71418	2011105	311703	R0682MC001	R0682MC001
71419	01k2_05-06	71419	2011105	311703	R0682MC001	R0682MC001
71420	01k2_06-07	71420	2011105	311703	R0682MC001	R0682MC001
71421	01k2_07-08	71421	2011105	311703	R0682MC001	R0682MC001
71422	01k2_08-09	71422	2011105	311703	R0682MC001	R0682MC001
71423	01k2_09-10	71423	2011105	311703	R0682MC001	R0682MC001
71424	01k2_10-11	71424	2011105	311703	R0682MC001	R0682MC001
71425	01k2_11-12	71425	2011105	311703	R0682MC001	R0682MC001
71426	01k2_12-13	71426	2011105	311703	R0682MC001	R0682MC001
71427	01k2_13-14	71427	2011105	311703	R0682MC001	R0682MC001
71428	01k2_14-15	71428	2011105	311703	R0682MC001	R0682MC001
71430	01k2_16-17	71430	2011105	311703	R0682MC001	R0682MC001
71432	01k2_18-19	71432	2011105	311703	R0682MC001	R0682MC001
71434	01k2_20-21	71434	2011105	311703	R0682MC001	R0682MC001
71436	01k2_22-23	71436	2011105	311703	R0682MC001	R0682MC001
71438	01k2_24-25	71438	2011105	311703	R0682MC001	R0682MC001
71440	01k2_26-27	71440	2011105	311703	R0682MC001	R0682MC001
71442	01k2_28-29	71442	2011105	311703	R0682MC001	R0682MC001
71444	01k2_30-31	71444	2011105	311703	R0682MC001	R0682MC001
Standard Hynn	Standard Hynne æ		0	311703	Standard H	Standard Hynn
MINN standar	MIN standard æ		0	311703	MINN stand	MINN standar
71351	02k6_00-01	71351	2011105	311703	R0696MC002	R0696MC602
71352	02k6_01-02	71352	2011105	311703	R0696MC002	R0696MC602
71353	02k6_02-03	71353	2011105	311703	R0696MC002	R0696MC602
71354	02k6_03-04	71354	2011105	311703	R0696MC002	R0696MC602
71355	02k6_04-05	71355	2011105	311703	R0696MC002	R0696MC602
71356	02k6_05-06	71356	2011105	311703	R0696MC002	R0696MC602
71357	02k6_06-07	71357	2011105	311703	R0696MC002	R0696MC602
71358	02k6_07-08	71358	2011105	311703	R0696MC002	R0696MC602
71359	02k6_08-09	71359	2011105	311703	R0696MC002	R0696MC602
71360	02k6_09-10	71360	2011105	311703	R0696MC002	R0696MC602
71361	02k6_10-11	71361	2011105	311703	R0696MC002	R0696MC602
71362	02k6_11-12	71362	2011105	311703	R0696MC002	R0696MC602
71363	02k6_12-13	71363	2011105	311703	R0696MC002	R0696MC602
71364	02k6_13-14	71364	2011105	311703	R0696MC002	R0696MC602
71365	02k6_14-15	71365	2011105	311703	R0696MC002	R0696MC602
71367	02k6_16-17	71367	2011105	311703	R0696MC002	R0696MC602
71369	096k0_00-01	71369	2011105	311703	R0700GR496	R0700GR496
93768	015k0_00-01	93768	2011110	311703	R0721MC015	R0721MC015
Standard Hynn	Standard Hynne æ		0	311703	Standard H	Standard Hynn
MINN standar	MIN standard æ		0	311703	MINN stand	MINN standar
71446	016k0_00-01	71446	2011110	311703	R0726MC016	R0726MC016
71447	016k0_01-02	71447	2011110	311703	R0726MC016	R0726MC016
71448	016k0_02-03	71448	2011110	311703	R0726MC016	R0726MC016
71449	016k0_03-04	71449	2011110	311703	R0726MC016	R0726MC016

71450	16k0_04-05	71450	2011110	311703	R0726MC016	R0726MC016
71451	16k0_05-06	71451	2011110	311703	R0726MC016	R0726MC016
71452	16k0_06-07	71452	2011110	311703	R0726MC016	R0726MC016
71453	16k0_07-08	71453	2011110	311703	R0726MC016	R0726MC016
71454	16k0_08-09	71454	2011110	311703	R0726MC016	R0726MC016
71455	16k0_09-10	71455	2011110	311703	R0726MC016	R0726MC016
71456	16k0_10-11	71456	2011110	311703	R0726MC016	R0726MC016
71457	16k0_11-12	71457	2011110	311703	R0726MC016	R0726MC016
71458	16k0_12-13	71458	2011110	311703	R0726MC016	R0726MC016
71459	16k0_13-14	71459	2011110	311703	R0726MC016	R0726MC016
71460	16k0_14-15	71460	2011110	311703	R0726MC016	R0726MC016
71461	16k0_15-16	71461	2011110	311703	R0726MC016	R0726MC016
71462	16k0_16-17	71462	2011110	311703	R0726MC016	R0726MC016
71463	16k0_17-18	71463	2011110	311703	R0726MC016	R0726MC016
71464	16k0_18-19	71464	2011110	311703	R0726MC016	R0726MC016
71465	16k0_19-20	71465	2011110	311703	R0726MC016	R0726MC016
Standard Hymn	Standard Hymne		0	311703	Standard H	Standard Hymn
MINN standard	MIN standard		0	311703	MINN stand	MINN standar
98093	19k0_00-01	98093	2011113	311703	R0739MC019	R0739MC019
71553	19k0_01-02	71553	2011113	311703	R0739MC019	R0739MC019
71554	19k0_02-03	71554	2011113	311703	R0739MC019	R0739MC019
71555	19k0_03-04	71555	2011113	311703	R0739MC019	R0739MC019
71556	19k0_04-05	71556	2011113	311703	R0739MC019	R0739MC019
71557	19k0_05-06	71557	2011113	311703	R0739MC019	R0739MC019
71558	19k0_06-07	71558	2011113	311703	R0739MC019	R0739MC019
71559	19k0_07-08	71559	2011113	311703	R0739MC019	R0739MC019
71560	19k0_08-09	71560	2011113	311703	R0739MC019	R0739MC019
71561	19k0_09-10	71561	2011113	311703	R0739MC019	R0739MC019
71562	19k0_10-11	71562	2011113	311703	R0739MC019	R0739MC019
71563	19k0_11-12	71563	2011113	311703	R0739MC019	R0739MC019
71564	19k0_12-13	71564	2011113	311703	R0739MC019	R0739MC019
71565	19k0_13-14	71565	2011113	311703	R0739MC019	R0739MC019
71566	19k0_14-15	71566	2011113	311703	R0739MC019	R0739MC019
71567	19k0_15-16	71567	2011113	311703	R0739MC019	R0739MC019
71568	19k0_16-17	71568	2011113	311703	R0739MC019	R0739MC019
71569	19k0_17-18	71569	2011113	311703	R0739MC019	R0739MC019
71570	19k0_18-19	71570	2011113	311703	R0739MC019	R0739MC019
71571	19k0_19-20	71571	2011113	311703	R0739MC019	R0739MC019
71572	19k0_20-21	71572	2011113	311703	R0739MC019	R0739MC019
71573	19k0_21-22	71573	2011113	311703	R0739MC019	R0739MC019
71574	19k0_22-23	71574	2011113	311703	R0739MC019	R0739MC019
71575	19k0_23-24	71575	2011113	311703	R0739MC019	R0739MC019
71576	19k0_24-25	71576	2011113	311703	R0739MC019	R0739MC019
71577	19k0_25-26	71577	2011113	311703	R0739MC019	R0739MC019
71578	19k0_26-27	71578	2011113	311703	R0739MC019	R0739MC019
71579	19k0_27-28	71579	2011113	311703	R0739MC019	R0739MC019
71580	19k0_28-29	71580	2011113	311703	R0739MC019	R0739MC019
71581	19k0_29-30	71581	2011113	311703	R0739MC019	R0739MC019
71582	19k0_30-31	71582	2011113	311703	R0739MC019	R0739MC019
71583	19k0_31-32	71583	2011113	311703	R0739MC019	R0739MC019

71584)19k0_32-33	71584	2011113	311703	R0739MC019	R0739MC019
71585)19k0_33-34	71585	2011113	311703	R0739MC019	R0739MC019
71586)19k0_34-35	71586	2011113	311703	R0739MC019	R0739MC019
Standard Hynn	ard Hynne		0	311703	Standard H	Standard Hyn
MINN standar	IN standard		0	311703	MINN stand	MINN standar
98094)20k0_00-01	98094	2011113	311703	R0749MC020	R0749MC020
98095)20k0_01-02	98095	2011113	311703	R0749MC020	R0749MC020
98096)20k0_02-03	98096	2011113	311703	R0749MC020	R0749MC020
93629)20k3_03-04	93629	2011113	311703	R0749MC020	R0749MC020
93630)20k3_04-05	93630	2011113	311703	R0749MC020	R0749MC020
93631)20k3_05-06	93631	2011113	311703	R0749MC020	R0749MC020
93632)20k3_06-07	93632	2011113	311703	R0749MC020	R0749MC020
93633)20k3_07-08	93633	2011113	311703	R0749MC020	R0749MC020
93634)20k3_08-09	93634	2011113	311703	R0749MC020	R0749MC020
93635)20k3_09-10	93635	2011113	311703	R0749MC020	R0749MC020
93636)20k3_10-11	93636	2011113	311703	R0749MC020	R0749MC020
93637)20k3_11-12	93637	2011113	311703	R0749MC020	R0749MC020
93638)20k3_12-13	93638	2011113	311703	R0749MC020	R0749MC020
93639)20k3_13-14	93639	2011113	311703	R0749MC020	R0749MC020
93640)20k3_14-15	93640	2011113	311703	R0749MC020	R0749MC020
93641)20k3_15-16	93641	2011113	311703	R0749MC020	R0749MC020
93642)20k3_16-17	93642	2011113	311703	R0749MC020	R0749MC020
93643)20k3_17-18	93643	2011113	311703	R0749MC020	R0749MC020
93644)20k3_18-19	93644	2011113	311703	R0749MC020	R0749MC020
93645)20k3_19-20	93645	2011113	311703	R0749MC020	R0749MC020
93646)20k3_20-21	93646	2011113	311703	R0749MC020	R0749MC020
93647)20k3_21-22	93647	2011113	311703	R0749MC020	R0749MC020
93648)20k3_22-23	93648	2011113	311703	R0749MC020	R0749MC020
93649)20k3_23-24	93649	2011113	311703	R0749MC020	R0749MC020
93650)20k3_24-25	93650	2011113	311703	R0749MC020	R0749MC020
Standard Hynn	ard Hynne		0	311703	Standard H	Standard Hyn
MINN standar	IN standard		0	311703	MINN stand	MINN standar
93709)21k0_00-01	93709	2011113	311703	R0754MC021	R0754MC021
98051)01k4_00-01	98051	2012106	311703	R0769MC001	R0769MC001
98052)01k4_01-02	98052	2012106	311703	R0769MC001	R0769MC001
98053)01k4_02-03	98053	2012106	311703	R0769MC001	R0769MC001
98054)01k4_03-04	98054	2012106	311703	R0769MC001	R0769MC001
98055)01k4_04-05	98055	2012106	311703	R0769MC001	R0769MC001
98056)01k4_05-06	98056	2012106	311703	R0769MC001	R0769MC001
98057)01k4_06-07	98057	2012106	311703	R0769MC001	R0769MC001
98058)01k4_07-08	98058	2012106	311703	R0769MC001	R0769MC001
98059)01k4_08-09	98059	2012106	311703	R0769MC001	R0769MC001
98060)01k4_09-10	98060	2012106	311703	R0769MC001	R0769MC001
98061)01k4_10-11	98061	2012106	311703	R0769MC001	R0769MC001
98062)01k4_11-12	98062	2012106	311703	R0769MC001	R0769MC001
98063)01k4_12-13	98063	2012106	311703	R0769MC001	R0769MC001
98064)01k4_13-14	98064	2012106	311703	R0769MC001	R0769MC001
98065)01k4_14-15	98065	2012106	311703	R0769MC001	R0769MC001
98066)01k4_15-16	98066	2012106	311703	R0769MC001	R0769MC001
98067)01k4_16-17	98067	2012106	311703	R0769MC001	R0769MC001

98068	01k4_17-18	98068	2012106	311703 R0769MC001 R0769MC001
98069	01k4_18-19	98069	2012106	311703 R0769MC001 R0769MC001
98070	01k4_19-20	98070	2012106	311703 R0769MC001 R0769MC001
98071	01k4_20-21	98071	2012106	311703 R0769MC001 R0769MC001
98072	01k4_21-22	98072	2012106	311703 R0769MC001 R0769MC001
98073	01k4_22-23	98073	2012106	311703 R0769MC001 R0769MC001
98074	01k4_23-24	98074	2012106	311703 R0769MC001 R0769MC001
98075	01k4_24-25	98075	2012106	311703 R0769MC001 R0769MC001
98076	01k4_25-26	98076	2012106	311703 R0769MC001 R0769MC001
98077	01k4_26-27	98077	2012106	311703 R0769MC001 R0769MC001
98078	01k4_27-28	98078	2012106	311703 R0769MC001 R0769MC001
98079	01k4_28-29	98079	2012106	311703 R0769MC001 R0769MC001
98080	01k4_29-30	98080	2012106	311703 R0769MC001 R0769MC001
98081	01k4_30-31	98081	2012106	311703 R0769MC001 R0769MC001
98082	01k4_31-32	98082	2012106	311703 R0769MC001 R0769MC001
98083	01k4_32-33	98083	2012106	311703 R0769MC001 R0769MC001
98084	01k4_33-34	98084	2012106	311703 R0769MC001 R0769MC001
98085	01k4_34-35	98085	2012106	311703 R0769MC001 R0769MC001
98086	01k4_35-36	98086	2012106	311703 R0769MC001 R0769MC001
98087	01k4_36-37	98087	2012106	311703 R0769MC001 R0769MC001
98088	01k4_37-38	98088	2012106	311703 R0769MC001 R0769MC001
98089	01k4_38-39	98089	2012106	311703 R0769MC001 R0769MC001
65490	01k4_39-40	65490	2012106	311703 R0769MC001 R0769MC001
65491	01k4_40-41	65491	2012106	311703 R0769MC001 R0769MC001
65492	01k4_41-42	65492	2012106	311703 R0769MC001 R0769MC001
Standard Hymn	Standard Hymn		0	311703 Standard H Standard Hymn
MINN standard	MIN standard		0	311703 MINN stand MINN standar
65569	04k2_00-01	65569	2012106	311703 R0776MC004 R0776MC004
65771	07k2_00-01	65771	2012106	311703 R0782MC007 R0782MC007
65678	06k6_00-01	65678	2012106	311703 R0786MC006 R0786MC006
65679	06k6_01-02	65679	2012106	311703 R0786MC006 R0786MC006
65680	06k6_02-03	65680	2012106	311703 R0786MC006 R0786MC006
65681	06k6_03-04	65681	2012106	311703 R0786MC006 R0786MC006
65682	06k6_04-05	65682	2012106	311703 R0786MC006 R0786MC006
65683	06k6_05-06	65683	2012106	311703 R0786MC006 R0786MC006
65684	06k6_06-07	65684	2012106	311703 R0786MC006 R0786MC006
65685	06k6_07-08	65685	2012106	311703 R0786MC006 R0786MC006
65686	06k6_08-09	65686	2012106	311703 R0786MC006 R0786MC006
65687	06k6_09-10	65687	2012106	311703 R0786MC006 R0786MC006
65688	06k6_10-11	65688	2012106	311703 R0786MC006 R0786MC006
65689	06k6_11-12	65689	2012106	311703 R0786MC006 R0786MC006
65690	06k6_12-13	65690	2012106	311703 R0786MC006 R0786MC006
65691	06k6_13-14	65691	2012106	311703 R0786MC006 R0786MC006
65692	06k6_14-15	65692	2012106	311703 R0786MC006 R0786MC006
65694	06k6_16-17	65694	2012106	311703 R0786MC006 R0786MC006
65696	06k6_18-19	65696	2012106	311703 R0786MC006 R0786MC006
65698	06k6_20-21	65698	2012106	311703 R0786MC006 R0786MC006
65700	06k6_22-23	65700	2012106	311703 R0786MC006 R0786MC006
65702	06k6_24-25	65702	2012106	311703 R0786MC006 R0786MC006
65704	06k6_26-27	65704	2012106	311703 R0786MC006 R0786MC006

65706	06k6_28-29	65706	2012106	311703	R0786MC006	R0786MC006
65708	06k6_30-31	65708	2012106	311703	R0786MC006	R0786MC006
65710	06k6_32-33	65710	2012106	311703	R0786MC006	R0786MC006
65712	06k6_34-35	65712	2012106	311703	R0786MC006	R0786MC006
Standard Hynne	Standard Hynne		0	311703	Standard H	Standard Hyn
MINN standard	MIN standard		0	311703	MINN stand	MINN standar
98097	05k0_00-01	98097	2012106	311703	R0818MC005	R0818MC005,
98098	05k0_01-02	98098	2012106	311703	R0818MC005	R0818MC005,
98099	05k0_02-03	98099	2012106	311703	R0818MC005	R0818MC005,
98100	05k0_03-04	98100	2012106	311703	R0818MC005	R0818MC005,
98101	05k0_04-05	98101	2012106	311703	R0818MC005	R0818MC005,
98102	05k0_05-06	98102	2012106	311703	R0818MC005	R0818MC005,
98103	05k0_06-07	98103	2012106	311703	R0818MC005	R0818MC005,
98104	05k0_07-08	98104	2012106	311703	R0818MC005	R0818MC005,
98105	05k0_08-09	98105	2012106	311703	R0818MC005	R0818MC005,
65644	05k0_09-10	65644	2012106	311703	R0818MC005	R0818MC005,
65645	05k0_10-11	65645	2012106	311703	R0818MC005	R0818MC005,
65646	05k0_11-12	65646	2012106	311703	R0818MC005	R0818MC005,
65647	05k0_12-13	65647	2012106	311703	R0818MC005	R0818MC005,
65648	05k0_13-14	65648	2012106	311703	R0818MC005	R0818MC005,
65649	05k0_14-15	65649	2012106	311703	R0818MC005	R0818MC005,
65650	05k0_15-16	65650	2012106	311703	R0818MC005	R0818MC005,
65651	05k0_16-17	65651	2012106	311703	R0818MC005	R0818MC005,
65652	05k0_17-18	65652	2012106	311703	R0818MC005	R0818MC005,
65653	05k0_18-19	65653	2012106	311703	R0818MC005	R0818MC005,
65654	05k0_19-20	65654	2012106	311703	R0818MC005	R0818MC005,
65655	05k0_20-21	65655	2012106	311703	R0818MC005	R0818MC005,
65656	05k0_21-22	65656	2012106	311703	R0818MC005	R0818MC005,
65657	05k0_22-23	65657	2012106	311703	R0818MC005	R0818MC005,
65658	05k0_23-24	65658	2012106	311703	R0818MC005	R0818MC005,
65659	05k0_24-25	65659	2012106	311703	R0818MC005	R0818MC005,
65660	05k0_25-26	65660	2012106	311703	R0818MC005	R0818MC005,
65661	05k0_26-27	65661	2012106	311703	R0818MC005	R0818MC005,
65662	05k0_27-28	65662	2012106	311703	R0818MC005	R0818MC005,
65663	05k0_28-29	65663	2012106	311703	R0818MC005	R0818MC005,
65664	05k0_29-30	65664	2012106	311703	R0818MC005	R0818MC005,
65665	05k0_30-31	65665	2012106	311703	R0818MC005	R0818MC005,
65666	05k0_31-32	65666	2012106	311703	R0818MC005	R0818MC005,
65667	05k0_32-33	65667	2012106	311703	R0818MC005	R0818MC005,
65668	05k0_33-34	65668	2012106	311703	R0818MC005	R0818MC005,
65669	05k0_34-35	65669	2012106	311703	R0818MC005	R0818MC005,
65670	05k0_35-36	65670	2012106	311703	R0818MC005	R0818MC005,
65671	05k0_36-37	65671	2012106	311703	R0818MC005	R0818MC005,
65672	05k0_37-38	65672	2012106	311703	R0818MC005	R0818MC005,
65673	05k0_38-39	65673	2012106	311703	R0818MC005	R0818MC005,
65674	05k0_39-40	65674	2012106	311703	R0818MC005	R0818MC005,
	Standard Hynne		0	311703	Standard Hyn	Standard Hynr
	MIN standard		0	311703	MINN standar	MINN standar
65970	09k6_00-01	65970	2012106	311703	R0858MC009	R0858MC009
65971	09k6_01-02	65971	2012106	311703	R0858MC009	R0858MC009

65972	09k6_02-03	65972	2012106	311703	R0858MC009	R0858MC009
65973	09k6_03-04	65973	2012106	311703	R0858MC009	R0858MC009
65974	09k6_04-05	65974	2012106	311703	R0858MC009	R0858MC009
65975	09k6_05-06	65975	2012106	311703	R0858MC009	R0858MC009
65976	09k6_06-07	65976	2012106	311703	R0858MC009	R0858MC009
65977	09k6_07-08	65977	2012106	311703	R0858MC009	R0858MC009
65978	09k6_08-09	65978	2012106	311703	R0858MC009	R0858MC009
65979	09k6_09-10	65979	2012106	311703	R0858MC009	R0858MC009
65980	09k6_10-11	65980	2012106	311703	R0858MC009	R0858MC009
65981	09k6_11-12	65981	2012106	311703	R0858MC009	R0858MC009
65982	09k6_12-13	65982	2012106	311703	R0858MC009	R0858MC009
65983	09k6_13-14	65983	2012106	311703	R0858MC009	R0858MC009
65984	09k6_14-15	65984	2012106	311703	R0858MC009	R0858MC009
65986	09k6_16-17	65986	2012106	311703	R0858MC009	R0858MC009
65988	09k6_18-19	65988	2012106	311703	R0858MC009	R0858MC009
65990	09k6_20-21	65990	2012106	311703	R0858MC009	R0858MC009
65992	09k6_22-23	65992	2012106	311703	R0858MC009	R0858MC009
65994	09k6_24-25	65994	2012106	311703	R0858MC009	R0858MC009
65996	09k6_26-27	65996	2012106	311703	R0858MC009	R0858MC009
65998	09k6_28-29	65998	2012106	311703	R0858MC009	R0858MC009
66000	09k6_30-31	66000	2012106	311703	R0858MC009	R0858MC009
96002	09k6_32-33	96002	2012106	311703	R0858MC009	R0858MC009
	ıdar d Hynne		0	311703	Standard Hynı	Standard Hynr
	IN standard		0	311703	MINN standar	MINN standar
65534	02k0_00-01	65534	2012106	311703	R0877MC002	R0877MC002,
65894	10k0_00-01	65894	2012106	311703	R0879MC010	R0879MC010,
65895	10k0_01-02	65895	2012106	311703	R0879MC010	R0879MC010,
65896	10k0_02-03	65896	2012106	311703	R0879MC010	R0879MC010,
65897	10k0_03-04	65897	2012106	311703	R0879MC010	R0879MC010,
65898	10k0_04-05	65898	2012106	311703	R0879MC010	R0879MC010,
65899	10k0_05-06	65899	2012106	311703	R0879MC010	R0879MC010,
65900	10k0_06-07	65900	2012106	311703	R0879MC010	R0879MC010,
65901	10k0_07-08	65901	2012106	311703	R0879MC010	R0879MC010,
65902	10k0_08-09	65902	2012106	311703	R0879MC010	R0879MC010,
65903	10k0_09-10	65903	2012106	311703	R0879MC010	R0879MC010,
65904	10k0_10-11	65904	2012106	311703	R0879MC010	R0879MC010,
65905	10k0_11-12	65905	2012106	311703	R0879MC010	R0879MC010,
65906	10k0_12-13	65906	2012106	311703	R0879MC010	R0879MC010,
65907	10k0_13-14	65907	2012106	311703	R0879MC010	R0879MC010,
65908	10k0_14-15	65908	2012106	311703	R0879MC010	R0879MC010,
65910	10k0_16-17	65910	2012106	311703	R0879MC010	R0879MC010,
65912	10k0_18-19	65912	2012106	311703	R0879MC010	R0879MC010,
65914	10k0_20-21	65914	2012106	311703	R0879MC010	R0879MC010,
65916	10k0_22-23	65916	2012106	311703	R0879MC010	R0879MC010,
65918	10k0_24-25	65918	2012106	311703	R0879MC010	R0879MC010,
65920	10k0_26-27	65920	2012106	311703	R0879MC010	R0879MC010,
65922	10k0_28-29	65922	2012106	311703	R0879MC010	R0879MC010,
65924	10k0_30-31	65924	2012106	311703	R0879MC010	R0879MC010,
65926	10k0_32-33	65926	2012106	311703	R0879MC010	R0879MC010,
	ıdar d Hynne		0	311703	Standard Hynı	Standard Hynr

IN standard		0	311703 MINN standar MINN standar
65931)11k0_00-01	65931	2012106	311703 R0882BC011 R0882BC011,
65932)11k0_01-02	65932	2012106	311703 R0882BC011 R0882BC011,
65933)11k0_02-03	65933	2012106	311703 R0882BC011 R0882BC011,
65934)11k0_03-04	65934	2012106	311703 R0882BC011 R0882BC011,
65935)11k0_04-05	65935	2012106	311703 R0882BC011 R0882BC011,
65936)11k0_05-06	65936	2012106	311703 R0882BC011 R0882BC011,
65937)11k0_06-07	65937	2012106	311703 R0882BC011 R0882BC011,
65938)11k0_07-08	65938	2012106	311703 R0882BC011 R0882BC011,
65939)11k0_08-09	65939	2012106	311703 R0882BC011 R0882BC011,
65940)11k0_09-10	65940	2012106	311703 R0882BC011 R0882BC011,
65941)11k0_10-11	65941	2012106	311703 R0882BC011 R0882BC011,
65942)11k0_11-12	65942	2012106	311703 R0882BC011 R0882BC011,
65943)11k0_12-13	65943	2012106	311703 R0882BC011 R0882BC011,
65944)11k0_13-14	65944	2012106	311703 R0882BC011 R0882BC011,
65945)11k0_14-15	65945	2012106	311703 R0882BC011 R0882BC011,
65947)11k0_16-17	65947	2012106	311703 R0882BC011 R0882BC011,
65949)11k0_18-19	65949	2012106	311703 R0882BC011 R0882BC011,
65951)11k0_20-21	65951	2012106	311703 R0882BC011 R0882BC011,
65953)11k0_22-23	65953	2012106	311703 R0882BC011 R0882BC011,
65955)11k0_24-25	65955	2012106	311703 R0882BC011 R0882BC011,
65957)11k0_26-27	65957	2012106	311703 R0882BC011 R0882BC011,
65959)11k0_28-29	65959	2012106	311703 R0882BC011 R0882BC011,
65961)11k0_30-31	65961	2012106	311703 R0882BC011 R0882BC011,
65963)11k0_32-33	65963	2012106	311703 R0882BC011 R0882BC011,
65965)11k0_34-35	65965	2012106	311703 R0882BC011 R0882BC011,
65967)11k0_36-37	65967	2012106	311703 R0882BC011 R0882BC011,
idard Hynne		0	311703 Standard Hyni Standard Hynr
IN standard		0	311703 MINN standar MINN standar
93801)12k0_00-01	93801	2012110	311703 R0995MC012 R0995MC012,
93802)12k0_01-02	93802	2012110	311703 R0995MC012 R0995MC012,
93803)12k0_02-03	93803	2012110	311703 R0995MC012 R0995MC012,
93804)12k0_03-04	93804	2012110	311703 R0995MC012 R0995MC012,
93805)12k0_04-05	93805	2012110	311703 R0995MC012 R0995MC012,
93806)12k0_05-06	93806	2012110	311703 R0995MC012 R0995MC012,
93807)12k0_06-07	93807	2012110	311703 R0995MC012 R0995MC012,
93808)12k0_07-08	93808	2012110	311703 R0995MC012 R0995MC012,
93809)12k0_08-09	93809	2012110	311703 R0995MC012 R0995MC012,
93810)12k0_09-10	93810	2012110	311703 R0995MC012 R0995MC012,
93811)12k0_10-11	93811	2012110	311703 R0995MC012 R0995MC012,
93812)12k0_11-12	93812	2012110	311703 R0995MC012 R0995MC012,
93813)12k0_12-13	93813	2012110	311703 R0995MC012 R0995MC012,
93814)12k0_13-14	93814	2012110	311703 R0995MC012 R0995MC012,
93815)12k0_14-15	93815	2012110	311703 R0995MC012 R0995MC012,
93816)12k0_15-16	93816	2012110	311703 R0995MC012 R0995MC012,
93817)12k0_16-17	93817	2012110	311703 R0995MC012 R0995MC012,
93818)12k0_17-18	93818	2012110	311703 R0995MC012 R0995MC012,
93819)12k0_18-19	93819	2012110	311703 R0995MC012 R0995MC012,
93820)12k0_19-20	93820	2012110	311703 R0995MC012 R0995MC012,
idard Hynne		0	311703 Standard Hyni Standard Hynr

IN standard		0	311703 MINN standar MINN standar
93821)15k0_00-01	93821	2012110	311703 R0997MC015 R0997MC015,
93822)15k0_01-02	93822	2012110	311703 R0997MC015 R0997MC015,
93823)15k0_02-03	93823	2012110	311703 R0997MC015 R0997MC015,
93824)15k0_03-04	93824	2012110	311703 R0997MC015 R0997MC015,
93825)15k0_04-05	93825	2012110	311703 R0997MC015 R0997MC015,
93826)15k0_05-06	93826	2012110	311703 R0997MC015 R0997MC015,
93827)15k0_06-07	93827	2012110	311703 R0997MC015 R0997MC015,
93828)15k0_07-08	93828	2012110	311703 R0997MC015 R0997MC015,
93829)15k0_08-09	93829	2012110	311703 R0997MC015 R0997MC015,
93830)15k0_09-10	93830	2012110	311703 R0997MC015 R0997MC015,
93831)15k0_10-11	93831	2012110	311703 R0997MC015 R0997MC015,
93832)15k0_11-12	93832	2012110	311703 R0997MC015 R0997MC015,
93833)15k0_12-13	93833	2012110	311703 R0997MC015 R0997MC015,
93834)15k0_13-14	93834	2012110	311703 R0997MC015 R0997MC015,
93835)15k0_14-15	93835	2012110	311703 R0997MC015 R0997MC015,
93836)15k0_15-16	93836	2012110	311703 R0997MC015 R0997MC015,
93837)15k0_16-17	93837	2012110	311703 R0997MC015 R0997MC015,
Standard Hynne		0	311703 Standard Hynı Standard Hynr
IN standard		0	311703 MINN standar MINN standar
93889)17k1_00-01	93889	2012110	311703 R1046MC017 R1046MC017
93890)17k1_01-02	93890	2012110	311703 R1046MC017 R1046MC017
93891)17k1_02-03	93891	2012110	311703 R1046MC017 R1046MC017
93892)17k1_03-04	93892	2012110	311703 R1046MC017 R1046MC017
93893)17k1_04-05	93893	2012110	311703 R1046MC017 R1046MC017
93894)17k1_05-06	93894	2012110	311703 R1046MC017 R1046MC017
93895)17k1_06-07	93895	2012110	311703 R1046MC017 R1046MC017
93896)17k1_07-08	93896	2012110	311703 R1046MC017 R1046MC017
93897)17k1_08-09	93897	2012110	311703 R1046MC017 R1046MC017
93898)17k1_09-10	93898	2012110	311703 R1046MC017 R1046MC017
93899)17k1_10-11	93899	2012110	311703 R1046MC017 R1046MC017
93900)17k1_11-12	93900	2012110	311703 R1046MC017 R1046MC017
93901)17k1_12-13	93901	2012110	311703 R1046MC017 R1046MC017
93902)17k1_13-14	93902	2012110	311703 R1046MC017 R1046MC017
93903)17k1_14-15	93903	2012110	311703 R1046MC017 R1046MC017
93904)17k1_15-16	93904	2012110	311703 R1046MC017 R1046MC017
93905)17k1_16-17	93905	2012110	311703 R1046MC017 R1046MC017
93906)17k1_17-18	93906	2012110	311703 R1046MC017 R1046MC017
93907)17k1_18-19	93907	2012110	311703 R1046MC017 R1046MC017
93908)17k1_19-20	93908	2012110	311703 R1046MC017 R1046MC017
Standard Hynne		0	311703 Standard Hynı Standard Hynr
MINN standard		0	311703 MINN standar MINN standar
93861 R1052MC016	93861	2012110	311703 R1052MC016 R1052MC016
93838)25k0_00-01	93838	2012110	311703 R1058BC025 R1058BC025,
93839)25k0_01-02	93839	2012110	311703 R1058BC025 R1058BC025,
93840)25k0_02-03	93840	2012110	311703 R1058BC025 R1058BC025,;
93841)25k0_03-04	93841	2012110	311703 R1058BC025 R1058BC025,
93842)25k0_04-05	93842	2012110	311703 R1058BC025 R1058BC025,;
93843)25k0_05-06	93843	2012110	311703 R1058BC025 R1058BC025,;
93844)25k0_06-07	93844	2012110	311703 R1058BC025 R1058BC025,

93845)25k0_07-08	93845	2012110	311703 R1058BC025	R1058BC025,
93846)25k0_08-09	93846	2012110	311703 R1058BC025	R1058BC025,
93847)25k0_09-10	93847	2012110	311703 R1058BC025	R1058BC025,
93848)25k0_10-11	93848	2012110	311703 R1058BC025	R1058BC025,
93849)25k0_11-12	93849	2012110	311703 R1058BC025	R1058BC025,
93850)25k0_12-13	93850	2012110	311703 R1058BC025	R1058BC025,
93851)25k0_13-14	93851	2012110	311703 R1058BC025	R1058BC025,
93852)25k0_14-15	93852	2012110	311703 R1058BC025	R1058BC025,
93854)25k0_16-17	93854	2012110	311703 R1058BC025	R1058BC025,
93856)25k0_18-19	93856	2012110	311703 R1058BC025	R1058BC025,
93858)25k0_20-21	93858	2012110	311703 R1058BC025	R1058BC025,
93860)25k0_22-23	93860	2012110	311703 R1058BC025	R1058BC025,
	Standard Hynne		0	311703 Standard Hyn	Standard Hynr
	MINN standard		0	311703 MINN standar	MINN standar
93949)20k3_00-01	93949	2012110	311703 R1063MC020	R1063MC020
93971)21k2_00-01	93971	2012110	311703 R1064MC021	R1064MC021
93927)35k0_00-01	93927	2012110	311703 R1065BC035	R1065BC035 (
94082)37k0_00-02	94082	2012110	311703 R1067BC037	R1067BC037 (
94003)44k0_00-01	94003	2012110	311703 R1069BC044	R1069BC044 (
94020)45k0_00-01	94020	2012110	311703 R1070BC045	R1070BC045 (
94057)46k0_00-01	94057	2012110	311703 R1071BC046	R1071BC046 (
	idard Hynne		0	311703 Standard Hyn	Standard Hynr
	IN standard		0	311703 MINN standar	MINN standar

Feltdato	Feltår	R	DDE		DDN	Alt	medium
20.04.2011	2011		682	27,75566667	71,45183333	-402,8	Marine sedime
20.04.2011	2011		682	27,75566667	71,45183333	-402,8	Marine sedime
20.04.2011	2011		682	27,75566667	71,45183333	-402,8	Marine sedime
20.04.2011	2011		682	27,75566667	71,45183333	-402,8	Marine sedime
20.04.2011	2011		682	27,75566667	71,45183333	-402,8	Marine sedime
20.04.2011	2011		682	27,75566667	71,45183333	-402,8	Marine sedime
20.04.2011	2011		682	27,75566667	71,45183333	-402,8	Marine sedime
20.04.2011	2011		682	27,75566667	71,45183333	-402,8	Marine sedime
20.04.2011	2011		682	27,75566667	71,45183333	-402,8	Marine sedime
20.04.2011	2011		682	27,75566667	71,45183333	-402,8	Marine sedime
20.04.2011	2011		682	27,75566667	71,45183333	-402,8	Marine sedime
20.04.2011	2011		682	27,75566667	71,45183333	-402,8	Marine sedime
20.04.2011	2011		682	27,75566667	71,45183333	-402,8	Marine sedime
20.04.2011	2011		682	27,75566667	71,45183333	-402,8	Marine sedime
20.04.2011	2011		682	27,75566667	71,45183333	-402,8	Marine sedime
20.04.2011	2011		682	27,75566667	71,45183333	-402,8	Marine sedime
20.04.2011	2011		682	27,75566667	71,45183333	-402,8	Marine sedime
20.04.2011	2011		682	27,75566667	71,45183333	-402,8	Marine sedime
20.04.2011	2011		682	27,75566667	71,45183333	-402,8	Marine sedime
20.04.2011	2011		682	27,75566667	71,45183333	-402,8	Marine sedime
20.04.2011	2011		682	27,75566667	71,45183333	-402,8	Marine sedime
æ				0,00	0,00		Marine sedime
æ				0,00	0,00		Morene C-hori
22.04.2011	2011		696	25,230500	71,333667	-295,7	Marine sedime
22.04.2011	2011		696	25,230500	71,333667	-295,7	Marine sedime
22.04.2011	2011		696	25,230500	71,333667	-295,7	Marine sedime
22.04.2011	2011		696	25,230500	71,333667	-295,7	Marine sedime
22.04.2011	2011		696	25,230500	71,333667	-295,7	Marine sedime
22.04.2011	2011		696	25,230500	71,333667	-295,7	Marine sedime
22.04.2011	2011		696	25,230500	71,333667	-295,7	Marine sedime
22.04.2011	2011		696	25,230500	71,333667	-295,7	Marine sedime
22.04.2011	2011		696	25,230500	71,333667	-295,7	Marine sedime
22.04.2011	2011		696	25,230500	71,333667	-295,7	Marine sedime
22.04.2011	2011		696	25,230500	71,333667	-295,7	Marine sedime
22.04.2011	2011		696	25,230500	71,333667	-295,7	Marine sedime
22.04.2011	2011		696	25,230500	71,333667	-295,7	Marine sedime
22.04.2011	2011		696	25,230500	71,333667	-295,7	Marine sedime
22.04.2011	2011		696	25,230500	71,333667	-295,7	Marine sedime
22.04.2011	2011		696	25,230500	71,333667	-295,7	Marine sedime
22.04.2011	2011		696	25,230500	71,333667	-295,7	Marine sedime
23.04.2011	2011		700	24,676833	71,191333	-285,7	Marine sedime
æ	2011		721	11,817509	67,847894	-181,0	Marine sedime
æ				0,000	0,000		Marine sedime
æ				0,000	0,000		Morene C-hori
æ	2011		726	11,309724	67,879143	-209,4	Marine sedime
æ	2011		726	11,309724	67,879143	-209,4	Marine sedime
æ	2011		726	11,309724	67,879143	-209,4	Marine sedime
æ	2011		726	11,309724	67,879143	-209,4	Marine sedime

05.05.2012	2012	786	9,609113	67,960675	-1277,6	Marine sediment
05.05.2012	2012	786	9,609113	67,960675	-1277,6	Marine sediment
05.05.2012	2012	786	9,609113	67,960675	-1277,6	Marine sediment
05.05.2012	2012	786	9,609113	67,960675	-1277,6	Marine sediment
æ	2012 and		0,000	0,000		Marine sediment
æ	2012 NN		0,000	0,000		Morene C-horizon
05.05.2012	2012	0	9,307662	67,595298	-912,2	Marine sediment
05.05.2012	2012	1	9,307662	67,595298	-912,2	Marine sediment
05.05.2012	2012	2	9,307662	67,595298	-912,2	Marine sediment
05.05.2012	2012	3	9,307662	67,595298	-912,2	Marine sediment
05.05.2012	2012	4	9,307662	67,595298	-912,2	Marine sediment
05.05.2012	2012	5	9,307662	67,595298	-912,2	Marine sediment
05.05.2012	2012	6	9,307662	67,595298	-912,2	Marine sediment
05.05.2012	2012	7	9,307662	67,595298	-912,2	Marine sediment
05.05.2012	2012	8	9,307662	67,595298	-912,2	Marine sediment
05.05.2012	2012	9	9,307662	67,595298	-912,2	Marine sediment
05.05.2012	2012	10	9,307662	67,595298	-912,2	Marine sediment
05.05.2012	2012	11	9,307662	67,595298	-912,2	Marine sediment
05.05.2012	2012	12	9,307662	67,595298	-912,2	Marine sediment
05.05.2012	2012	13	9,307662	67,595298	-912,2	Marine sediment
05.05.2012	2012	14	9,307662	67,595298	-912,2	Marine sediment
05.05.2012	2012	15	9,307662	67,595298	-912,2	Marine sediment
05.05.2012	2012	16	9,307662	67,595298	-912,2	Marine sediment
05.05.2012	2012	17	9,307662	67,595298	-912,2	Marine sediment
05.05.2012	2012	18	9,307662	67,595298	-912,2	Marine sediment
05.05.2012	2012	19	9,307662	67,595298	-912,2	Marine sediment
05.05.2012	2012	20	9,307662	67,595298	-912,2	Marine sediment
05.05.2012	2012	21	9,307662	67,595298	-912,2	Marine sediment
05.05.2012	2012	22	9,307662	67,595298	-912,2	Marine sediment
05.05.2012	2012	23	9,307662	67,595298	-912,2	Marine sediment
05.05.2012	2012	24	9,307662	67,595298	-912,2	Marine sediment
05.05.2012	2012	25	9,307662	67,595298	-912,2	Marine sediment
05.05.2012	2012	26	9,307662	67,595298	-912,2	Marine sediment
05.05.2012	2012	27	9,307662	67,595298	-912,2	Marine sediment
05.05.2012	2012	28	9,307662	67,595298	-912,2	Marine sediment
05.05.2012	2012	29	9,307662	67,595298	-912,2	Marine sediment
05.05.2012	2012	30	9,307662	67,595298	-912,2	Marine sediment
05.05.2012	2012	31	9,307662	67,595298	-912,2	Marine sediment
05.05.2012	2012	32	9,307662	67,595298	-912,2	Marine sediment
05.05.2012	2012	33	9,307662	67,595298	-912,2	Marine sediment
05.05.2012	2012	34	9,307662	67,595298	-912,2	Marine sediment
05.05.2012	2012	35	9,307662	67,595298	-912,2	Marine sediment
05.05.2012	2012	36	9,307662	67,595298	-912,2	Marine sediment
05.05.2012	2012	37	9,307662	67,595298	-912,2	Marine sediment
05.05.2012	2012	38	9,307662	67,595298	-912,2	Marine sediment
05.05.2012	2012	39	9,307662	67,595298	-912,2	Marine sediment
re	2012 ne		0,00	0,00	0,0	Marine sediment
d	2012 d		0,00	0,00	0,0	Morene C-horizon
09.05.2012	2012	0	9,440833	67,127500	-476,4	Marine sediment
09.05.2012	2012	1	9,440833	67,127500	-476,4	Marine sediment

09.05.2012	2012	2	9,440833	67,127500	-476,4 Marine sedime
09.05.2012	2012	3	9,440833	67,127500	-476,4 Marine sedime
09.05.2012	2012	4	9,440833	67,127500	-476,4 Marine sedime
09.05.2012	2012	5	9,440833	67,127500	-476,4 Marine sedime
09.05.2012	2012	6	9,440833	67,127500	-476,4 Marine sedime
09.05.2012	2012	7	9,440833	67,127500	-476,4 Marine sedime
09.05.2012	2012	8	9,440833	67,127500	-476,4 Marine sedime
09.05.2012	2012	9	9,440833	67,127500	-476,4 Marine sedime
09.05.2012	2012	10	9,440833	67,127500	-476,4 Marine sedime
09.05.2012	2012	11	9,440833	67,127500	-476,4 Marine sedime
09.05.2012	2012	12	9,440833	67,127500	-476,4 Marine sedime
09.05.2012	2012	13	9,440833	67,127500	-476,4 Marine sedime
09.05.2012	2012	14	9,440833	67,127500	-476,4 Marine sedime
09.05.2012	2012	16	9,440833	67,127500	-476,4 Marine sedime
09.05.2012	2012	18	9,440833	67,127500	-476,4 Marine sedime
09.05.2012	2012	20	9,440833	67,127500	-476,4 Marine sedime
09.05.2012	2012	22	9,440833	67,127500	-476,4 Marine sedime
09.05.2012	2012	24	9,440833	67,127500	-476,4 Marine sedime
09.05.2012	2012	26	9,440833	67,127500	-476,4 Marine sedime
09.05.2012	2012	28	9,440833	67,127500	-476,4 Marine sedime
09.05.2012	2012	30	9,440833	67,127500	-476,4 Marine sedime
09.05.2012	2012	32	9,440833	67,127500	-476,4 Marine sedime
re			0,00	0,00	0,0 Marine sedime
d			0,00	0,00	0,0 Morene C-hori
01.05.2012	2012	0	9,803488	68,474052	-2451,4 Marine sedime
07.05.2012	2012	0	8,584463	67,559695	-1580,4 Marine sedime
shipLog:BX	2012	1	8,584463	67,559695	-1580,4 Marine sedime
07.05.2012	2012	2	8,584463	67,559695	-1580,4 Marine sedime
07.05.2012	2012	3	8,584463	67,559695	-1580,4 Marine sedime
07.05.2012	2012	4	8,584463	67,559695	-1580,4 Marine sedime
07.05.2012	2012	5	8,584463	67,559695	-1580,4 Marine sedime
07.05.2012	2012	6	8,584463	67,559695	-1580,4 Marine sedime
07.05.2012	2012	7	8,584463	67,559695	-1580,4 Marine sedime
07.05.2012	2012	8	8,584463	67,559695	-1580,4 Marine sedime
07.05.2012	2012	9	8,584463	67,559695	-1580,4 Marine sedime
07.05.2012	2012	10	8,584463	67,559695	-1580,4 Marine sedime
07.05.2012	2012	11	8,584463	67,559695	-1580,4 Marine sedime
07.05.2012	2012	12	8,584463	67,559695	-1580,4 Marine sedime
07.05.2012	2012	13	8,584463	67,559695	-1580,4 Marine sedime
07.05.2012	2012	14	8,584463	67,559695	-1580,4 Marine sedime
07.05.2012	2012	16	8,584463	67,559695	-1580,4 Marine sedime
07.05.2012	2012	18	8,584463	67,559695	-1580,4 Marine sedime
07.05.2012	2012	20	8,584463	67,559695	-1580,4 Marine sedime
07.05.2012	2012	22	8,584463	67,559695	-1580,4 Marine sedime
07.05.2012	2012	24	8,584463	67,559695	-1580,4 Marine sedime
07.05.2012	2012	26	8,584463	67,559695	-1580,4 Marine sedime
07.05.2012	2012	28	8,584463	67,559695	-1580,4 Marine sedime
07.05.2012	2012	30	8,584463	67,559695	-1580,4 Marine sedime
07.05.2012	2012	32	8,584463	67,559695	-1580,4 Marine sedime
re			0,00	0,00	0,0 Marine sedime

d			0,00	0,00	0,0	Morene C-hori
02.10.2012	2012	0	5,580500	62,506000	-283,3	Marine sedime
02.10.2012	2012	1	5,580500	62,506000	-283,3	Marine sedime
02.10.2012	2012	2	5,580500	62,506000	-283,3	Marine sedime
02.10.2012	2012	3	5,580500	62,506000	-283,3	Marine sedime
02.10.2012	2012	4	5,580500	62,506000	-283,3	Marine sedime
02.10.2012	2012	5	5,580500	62,506000	-283,3	Marine sedime
02.10.2012	2012	6	5,580500	62,506000	-283,3	Marine sedime
02.10.2012	2012	7	5,580500	62,506000	-283,3	Marine sedime
02.10.2012	2012	8	5,580500	62,506000	-283,3	Marine sedime
02.10.2012	2012	9	5,580500	62,506000	-283,3	Marine sedime
02.10.2012	2012	10	5,580500	62,506000	-283,3	Marine sedime
02.10.2012	2012	11	5,580500	62,506000	-283,3	Marine sedime
02.10.2012	2012	12	5,580500	62,506000	-283,3	Marine sedime
02.10.2012	2012	13	5,580500	62,506000	-283,3	Marine sedime
02.10.2012	2012	14	5,580500	62,506000	-283,3	Marine sedime
02.10.2012	2012	15	5,580500	62,506000	-283,3	Marine sedime
02.10.2012	2012	16	5,580500	62,506000	-283,3	Marine sedime
re			0,00	0,00	0,0	Marine sedime
d			0,00	0,00	0,0	Morene C-hori
03.10.2012	2012	0	4,450500	62,376000	-194,6	Marine sedime
03.10.2012	2012	1	4,450500	62,376000	-194,6	Marine sedime
03.10.2012	2012	2	4,450500	62,376000	-194,6	Marine sedime
03.10.2012	2012	3	4,450500	62,376000	-194,6	Marine sedime
03.10.2012	2012	4	4,450500	62,376000	-194,6	Marine sedime
03.10.2012	2012	5	4,450500	62,376000	-194,6	Marine sedime
03.10.2012	2012	6	4,450500	62,376000	-194,6	Marine sedime
03.10.2012	2012	7	4,450500	62,376000	-194,6	Marine sedime
03.10.2012	2012	8	4,450500	62,376000	-194,6	Marine sedime
03.10.2012	2012	9	4,450500	62,376000	-194,6	Marine sedime
03.10.2012	2012	10	4,450500	62,376000	-194,6	Marine sedime
03.10.2012	2012	11	4,450500	62,376000	-194,6	Marine sedime
03.10.2012	2012	12	4,450500	62,376000	-194,6	Marine sedime
03.10.2012	2012	13	4,450500	62,376000	-194,6	Marine sedime
03.10.2012	2012	14	4,450500	62,376000	-194,6	Marine sedime
03.10.2012	2012	15	4,450500	62,376000	-194,6	Marine sedime
03.10.2012	2012	16	4,450500	62,376000	-194,6	Marine sedime
03.10.2012	2012	17	4,450500	62,376000	-194,6	Marine sedime
03.10.2012	2012	18	4,450500	62,376000	-194,6	Marine sedime
03.10.2012	2012	19	4,450500	62,376000	-194,6	Marine sedime
re			0,00	0,00	0,0	Marine sedime
d			0,00	0,00	0,0	Morene C-hori
03.10.2012	2012	0	4,843000	62,302833	-189,4	Marine sedime
02.10.2012	2012	0	5,133833	62,492333	-168,4	Marine sedime
02.10.2012	2012	1	5,133833	62,492333	-168,4	Marine sedime
02.10.2012	2012	2	5,133833	62,492333	-168,4	Marine sedime
02.10.2012	2012	3	5,133833	62,492333	-168,4	Marine sedime
02.10.2012	2012	4	5,133833	62,492333	-168,4	Marine sedime
02.10.2012	2012	5	5,133833	62,492333	-168,4	Marine sedime
02.10.2012	2012	6	5,133833	62,492333	-168,4	Marine sedime

02.10.2012	2012	7	5,133833	62,492333	-168,4 Marine sedime
02.10.2012	2012	8	5,133833	62,492333	-168,4 Marine sedime
02.10.2012	2012	9	5,133833	62,492333	-168,4 Marine sedime
02.10.2012	2012	10	5,133833	62,492333	-168,4 Marine sedime
02.10.2012	2012	11	5,133833	62,492333	-168,4 Marine sedime
02.10.2012	2012	12	5,133833	62,492333	-168,4 Marine sedime
02.10.2012	2012	13	5,133833	62,492333	-168,4 Marine sedime
02.10.2012	2012	14	5,133833	62,492333	-168,4 Marine sedime
02.10.2012	2012	16	5,133833	62,492333	-168,4 Marine sedime
02.10.2012	2012	18	5,133833	62,492333	-168,4 Marine sedime
02.10.2012	2012	20	5,133833	62,492333	-168,4 Marine sedime
02.10.2012	2012	22	5,133833	62,492333	-168,4 Marine sedime
ne			0,00	0,00	0,0 Marine sedime
d			0,00	0,00	0,0 Morene C-hori
04.10.2012	2012	0	5,716500	62,506333	-251,5 Marine sedime
05.10.2012	2012	0	6,018500	62,434500	-432,3 Marine sedime
05.10.2012	2012	0	6,113667	62,446500	-205,2 Marine sedime
05.10.2012	2012	0	6,188500	62,581000	-354,0 Marine sedime
05.10.2012	2012	0	6,364333	62,675500	-119,1 Marine sedime
05.10.2012	2012	0	6,496667	62,692500	-101,9 Marine sedime
06.10.2012	2012	0	6,571833	62,732500	-253,3 Marine sedime
ne			0,00	0,00	0,0 Marine sedime
d			0,00	0,00	0,0 Morene C-hori

type	feltbeh	wrap	vol	vol-unit	fraDyp	tilDyp
Punktprøve	frysing	PE minigrippe	0,0785	dl		0 1
Punktprøve	frysing	PE minigrippe	0,0785	dl		1 2
Punktprøve	frysing	PE minigrippe	0,0785	dl		2 3
Punktprøve	frysing	PE minigrippe	0,0785	dl		3 4
Punktprøve	frysing	PE minigrippe	0,0785	dl		4 5
Punktprøve	frysing	PE minigrippe	0,0785	dl		5 6
Punktprøve	frysing	PE minigrippe	0,0785	dl		6 7
Punktprøve	frysing	PE minigrippe	0,0785	dl		7 8
Punktprøve	frysing	PE minigrippe	0,0785	dl		8 9
Punktprøve	frysing	PE minigrippe	0,0785	dl		9 10
Punktprøve	frysing	PE minigrippe	0,0785	dl		10 11
Punktprøve	frysing	PE minigrippe	0,0785	dl		11 12
Punktprøve	frysing	PE minigrippe	0,0785	dl		12 13
Punktprøve	frysing	PE minigrippe	0,0785	dl		13 14
Punktprøve	frysing	PE minigrippe	0,0785	dl		14 15
Punktprøve	frysing	PE minigrippe	0,0785	dl		16 17
Punktprøve	frysing	PE minigrippe	0,0785	dl		18 19
Punktprøve	frysing	PE minigrippe	0,0785	dl		20 21
Punktprøve	frysing	PE minigrippe	0,0785	dl		22 23
Punktprøve	frysing	PE minigrippe	0,0785	dl		24 25
Punktprøve	frysing	PE minigrippe	0,0785	dl		26 27
Punktprøve	frysing	PE minigrippe	0,0785	dl		28 29
Punktprøve	frysing	PE minigrippe	0,0785	dl		30 31
Standard	frysing	PE minigrippe	0,0785	dl		0 0
Standard		Rilsan,PE-kop æ				
Punktprøve	frysing	PE minigrippe	0,0785	dl		0 1
Punktprøve	frysing	PE minigrippe	0,0785	dl		1 2
Punktprøve	frysing	PE minigrippe	0,0785	dl		2 3
Punktprøve	frysing	PE minigrippe	0,0785	dl		3 4
Punktprøve	frysing	PE minigrippe	0,0785	dl		4 5
Punktprøve	frysing	PE minigrippe	0,0785	dl		5 6
Punktprøve	frysing	PE minigrippe	0,0785	dl		6 7
Punktprøve	frysing	PE minigrippe	0,0785	dl		7 8
Punktprøve	frysing	PE minigrippe	0,0785	dl		8 9
Punktprøve	frysing	PE minigrippe	0,0785	dl		9 10
Punktprøve	frysing	PE minigrippe	0,0785	dl		10 11
Punktprøve	frysing	PE minigrippe	0,0785	dl		11 12
Punktprøve	frysing	PE minigrippe	0,0785	dl		12 13
Punktprøve	frysing	PE minigrippe	0,0785	dl		13 14
Punktprøve	frysing	PE minigrippe	0,0785	dl		14 15
Punktprøve	frysing	PE minigrippe	0,0785	dl		16 17
Punktprøve	frysing	PE minigrippe	0,0785	dl		0 1
Punktprøve	frysing	PE minigrippe	0,0785	dl		0 1
Standard	frysing	PE minigrippe	0,0785	dl	æ	æ
Standard		Rilsan,PE-kop æ				
Punktprøve	frysing	PE minigrippe	0,0785	dl		0 1
Punktprøve	frysing	PE minigrippe	0,0785	dl		1 2
Punktprøve	frysing	PE minigrippe	0,0785	dl		2 3
Punktprøve	frysing	PE minigrippe	0,0785	dl		3 4

Punktprøve frysing	PE minigrippe	0,0785 dl	4	5
Punktprøve frysing	PE minigrippe	0,0785 dl	5	6
Punktprøve frysing	PE minigrippe	0,0785 dl	6	7
Punktprøve frysing	PE minigrippe	0,0785 dl	7	8
Punktprøve frysing	PE minigrippe	0,0785 dl	8	9
Punktprøve frysing	PE minigrippe	0,0785 dl	9	10
Punktprøve frysing	PE minigrippe	0,0785 dl	10	11
Punktprøve frysing	PE minigrippe	0,0785 dl	11	12
Punktprøve frysing	PE minigrippe	0,0785 dl	12	13
Punktprøve frysing	PE minigrippe	0,0785 dl	13	14
Punktprøve frysing	PE minigrippe	0,0785 dl	14	15
Punktprøve frysing	PE minigrippe	0,0785 dl	15	16
Punktprøve frysing	PE minigrippe	0,0785 dl	16	17
Punktprøve frysing	PE minigrippe	0,0785 dl	17	18
Punktprøve frysing	PE minigrippe	0,0785 dl	18	19
Punktprøve frysing	PE minigrippe	0,0785 dl	19	20
Standard frysing	PE minigrippe	0,0785 dl	æ	æ
Standard	Rilsan,PE-kop æ			
Punktprøve frysing	PE minigrippe	0,0785 dl	0	1
Punktprøve frysing	PE minigrippe	0,0785 dl	1	2
Punktprøve frysing	PE minigrippe	0,0785 dl	2	3
Punktprøve frysing	PE minigrippe	0,0785 dl	3	4
Punktprøve frysing	PE minigrippe	0,0785 dl	4	5
Punktprøve frysing	PE minigrippe	0,0785 dl	5	6
Punktprøve frysing	PE minigrippe	0,0785 dl	6	7
Punktprøve frysing	PE minigrippe	0,0785 dl	7	8
Punktprøve frysing	PE minigrippe	0,0785 dl	8	9
Punktprøve frysing	PE minigrippe	0,0785 dl	9	10
Punktprøve frysing	PE minigrippe	0,0785 dl	10	11
Punktprøve frysing	PE minigrippe	0,0785 dl	11	12
Punktprøve frysing	PE minigrippe	0,0785 dl	12	13
Punktprøve frysing	PE minigrippe	0,0785 dl	13	14
Punktprøve frysing	PE minigrippe	0,0785 dl	14	15
Punktprøve frysing	PE minigrippe	0,0785 dl	15	16
Punktprøve frysing	PE minigrippe	0,0785 dl	16	17
Punktprøve frysing	PE minigrippe	0,0785 dl	17	18
Punktprøve frysing	PE minigrippe	0,0785 dl	18	19
Punktprøve frysing	PE minigrippe	0,0785 dl	19	20
Punktprøve frysing	PE minigrippe	0,0785 dl	20	21
Punktprøve frysing	PE minigrippe	0,0785 dl	21	22
Punktprøve frysing	PE minigrippe	0,0785 dl	22	23
Punktprøve frysing	PE minigrippe	0,0785 dl	23	24
Punktprøve frysing	PE minigrippe	0,0785 dl	24	25
Punktprøve frysing	PE minigrippe	0,0785 dl	25	26
Punktprøve frysing	PE minigrippe	0,0785 dl	26	27
Punktprøve frysing	PE minigrippe	0,0785 dl	27	28
Punktprøve frysing	PE minigrippe	0,0785 dl	28	29
Punktprøve frysing	PE minigrippe	0,0785 dl	29	30
Punktprøve frysing	PE minigrippe	0,0785 dl	30	31
Punktprøve frysing	PE minigrippe	0,0785 dl	31	32

Punktprøve	frysing	PE minigrippe	0,0785 dl	32	33
Punktprøve	frysing	PE minigrippe	0,0785 dl	33	34
Punktprøve	frysing	PE minigrippe	0,0785 dl	34	35
Standard	frysing	PE minigrippe	0,0785 dl	æ	æ
Standard		Rilsan,PE-kop	æ		
Punktprøve	frysing	PE minigrippe	0,0785 dl	0	1
Punktprøve	frysing	PE minigrippe	0,0785 dl	1	2
Punktprøve	frysing	PE minigrippe	0,0785 dl	2	3
Punktprøve	frysing	PE minigrippe	0,0785 dl	3	4
Punktprøve	frysing	PE minigrippe	0,0785 dl	4	5
Punktprøve	frysing	PE minigrippe	0,0785 dl	5	6
Punktprøve	frysing	PE minigrippe	0,0785 dl	6	7
Punktprøve	frysing	PE minigrippe	0,0785 dl	7	8
Punktprøve	frysing	PE minigrippe	0,0785 dl	8	9
Punktprøve	frysing	PE minigrippe	0,0785 dl	9	10
Punktprøve	frysing	PE minigrippe	0,0785 dl	10	11
Punktprøve	frysing	PE minigrippe	0,0785 dl	11	12
Punktprøve	frysing	PE minigrippe	0,0785 dl	12	13
Punktprøve	frysing	PE minigrippe	0,0785 dl	13	14
Punktprøve	frysing	PE minigrippe	0,0785 dl	14	15
Punktprøve	frysing	PE minigrippe	0,0785 dl	15	16
Punktprøve	frysing	PE minigrippe	0,0785 dl	16	17
Punktprøve	frysing	PE minigrippe	0,0785 dl	17	18
Punktprøve	frysing	PE minigrippe	0,0785 dl	18	19
Punktprøve	frysing	PE minigrippe	0,0785 dl	19	20
Punktprøve	frysing	PE minigrippe	0,0785 dl	20	21
Punktprøve	frysing	PE minigrippe	0,0785 dl	21	22
Punktprøve	frysing	PE minigrippe	0,0785 dl	22	23
Punktprøve	frysing	PE minigrippe	0,0785 dl	23	24
Punktprøve	frysing	PE minigrippe	0,0785 dl	24	25
Standard	frysing	PE minigrippe	0,0785 dl	æ	æ
Standard		Rilsan,PE-kop	æ		
Punktprøve	frysing	PE minigrippe	0,0785 dl	0	1
Punktprøve	frysing	PE minigrippe	0,0785 dl	0	1
Punktprøve	frysing	PE minigrippe	0,0785 dl	1	2
Punktprøve	frysing	PE minigrippe	0,0785 dl	2	3
Punktprøve	frysing	PE minigrippe	0,0785 dl	3	4
Punktprøve	frysing	PE minigrippe	0,0785 dl	4	5
Punktprøve	frysing	PE minigrippe	0,0785 dl	5	6
Punktprøve	frysing	PE minigrippe	0,0785 dl	6	7
Punktprøve	frysing	PE minigrippe	0,0785 dl	7	8
Punktprøve	frysing	PE minigrippe	0,0785 dl	8	9
Punktprøve	frysing	PE minigrippe	0,0785 dl	9	10
Punktprøve	frysing	PE minigrippe	0,0785 dl	10	11
Punktprøve	frysing	PE minigrippe	0,0785 dl	11	12
Punktprøve	frysing	PE minigrippe	0,0785 dl	12	13
Punktprøve	frysing	PE minigrippe	0,0785 dl	13	14
Punktprøve	frysing	PE minigrippe	0,0785 dl	14	15
Punktprøve	frysing	PE minigrippe	0,0785 dl	15	16
Punktprøve	frysing	PE minigrippe	0,0785 dl	16	17

Punktprøve frysing	PE minigrippe	0,0785 dl	17	18
Punktprøve frysing	PE minigrippe	0,0785 dl	18	19
Punktprøve frysing	PE minigrippe	0,0785 dl	19	20
Punktprøve frysing	PE minigrippe	0,0785 dl	20	21
Punktprøve frysing	PE minigrippe	0,0785 dl	21	22
Punktprøve frysing	PE minigrippe	0,0785 dl	22	23
Punktprøve frysing	PE minigrippe	0,0785 dl	23	24
Punktprøve frysing	PE minigrippe	0,0785 dl	24	25
Punktprøve frysing	PE minigrippe	0,0785 dl	25	26
Punktprøve frysing	PE minigrippe	0,0785 dl	26	27
Punktprøve frysing	PE minigrippe	0,0785 dl	27	28
Punktprøve frysing	PE minigrippe	0,0785 dl	28	29
Punktprøve frysing	PE minigrippe	0,0785 dl	29	30
Punktprøve frysing	PE minigrippe	0,0785 dl	30	31
Punktprøve frysing	PE minigrippe	0,0785 dl	31	32
Punktprøve frysing	PE minigrippe	0,0785 dl	32	33
Punktprøve frysing	PE minigrippe	0,0785 dl	33	34
Punktprøve frysing	PE minigrippe	0,0785 dl	34	35
Punktprøve frysing	PE minigrippe	0,0785 dl	35	36
Punktprøve frysing	PE minigrippe	0,0785 dl	36	37
Punktprøve frysing	PE minigrippe	0,0785 dl	37	38
Punktprøve frysing	PE minigrippe	0,0785 dl	38	39
Punktprøve frysing	PE minigrippe	0,0785 dl	39	40
Punktprøve frysing	PE minigrippe	0,0785 dl	40	41
Punktprøve frysing	PE minigrippe	0,0785 dl	41	42
Standard frysing	PE minigrippe	0,0785 dl	∞	∞
Standard	Rilsan,PE-kop	∞		
Punktprøve frysing	PE minigrippe	0,0785 dl	0	1
Punktprøve frysing	PE minigrippe	0,0785 dl	0	1
Punktprøve frysing	PE minigrippe	0,0785 dl	0	1
Punktprøve frysing	PE minigrippe	0,0785 dl	1	2
Punktprøve frysing	PE minigrippe	0,0785 dl	2	3
Punktprøve frysing	PE minigrippe	0,0785 dl	3	4
Punktprøve frysing	PE minigrippe	0,0785 dl	4	5
Punktprøve frysing	PE minigrippe	0,0785 dl	5	6
Punktprøve frysing	PE minigrippe	0,0785 dl	6	7
Punktprøve frysing	PE minigrippe	0,0785 dl	7	8
Punktprøve frysing	PE minigrippe	0,0785 dl	8	9
Punktprøve frysing	PE minigrippe	0,0785 dl	9	10
Punktprøve frysing	PE minigrippe	0,0785 dl	10	11
Punktprøve frysing	PE minigrippe	0,0785 dl	11	12
Punktprøve frysing	PE minigrippe	0,0785 dl	12	13
Punktprøve frysing	PE minigrippe	0,0785 dl	13	14
Punktprøve frysing	PE minigrippe	0,0785 dl	14	15
Punktprøve frysing	PE minigrippe	0,0785 dl	16	17
Punktprøve frysing	PE minigrippe	0,0785 dl	18	19
Punktprøve frysing	PE minigrippe	0,0785 dl	20	21
Punktprøve frysing	PE minigrippe	0,0785 dl	22	23
Punktprøve frysing	PE minigrippe	0,0785 dl	24	25
Punktprøve frysing	PE minigrippe	0,0785 dl	26	27

Punktprøve	frysing	PE minigrippe	0,0785 dl		28	29
Punktprøve	frysing	PE minigrippe	0,0785 dl		30	31
Punktprøve	frysing	PE minigrippe	0,0785 dl		32	33
Punktprøve	frysing	PE minigrippe	0,0785 dl		34	35
Standard	frysing	PE minigrippe	0,0785 dl	æ	æ	
Standard		Rilsan,PE-kop æ		æ	æ	
Punktprøve	frysing	PE minigrippe	0,0785 dl		0	1
Punktprøve	frysing	PE minigrippe	0,0785 dl		1	2
Punktprøve	frysing	PE minigrippe	0,0785 dl		2	3
Punktprøve	frysing	PE minigrippe	0,0785 dl		3	4
Punktprøve	frysing	PE minigrippe	0,0785 dl		4	5
Punktprøve	frysing	PE minigrippe	0,0785 dl		5	6
Punktprøve	frysing	PE minigrippe	0,0785 dl		6	7
Punktprøve	frysing	PE minigrippe	0,0785 dl		7	8
Punktprøve	frysing	PE minigrippe	0,0785 dl		8	9
Punktprøve	frysing	PE minigrippe	0,0785 dl		9	10
Punktprøve	frysing	PE minigrippe	0,0785 dl		10	11
Punktprøve	frysing	PE minigrippe	0,0785 dl		11	12
Punktprøve	frysing	PE minigrippe	0,0785 dl		12	13
Punktprøve	frysing	PE minigrippe	0,0785 dl		13	14
Punktprøve	frysing	PE minigrippe	0,0785 dl		14	15
Punktprøve	frysing	PE minigrippe	0,0785 dl		15	16
Punktprøve	frysing	PE minigrippe	0,0785 dl		16	17
Punktprøve	frysing	PE minigrippe	0,0785 dl		17	18
Punktprøve	frysing	PE minigrippe	0,0785 dl		18	19
Punktprøve	frysing	PE minigrippe	0,0785 dl		19	20
Punktprøve	frysing	PE minigrippe	0,0785 dl		20	21
Punktprøve	frysing	PE minigrippe	0,0785 dl		21	22
Punktprøve	frysing	PE minigrippe	0,0785 dl		22	23
Punktprøve	frysing	PE minigrippe	0,0785 dl		23	24
Punktprøve	frysing	PE minigrippe	0,0785 dl		24	25
Punktprøve	frysing	PE minigrippe	0,0785 dl		25	26
Punktprøve	frysing	PE minigrippe	0,0785 dl		26	27
Punktprøve	frysing	PE minigrippe	0,0785 dl		27	28
Punktprøve	frysing	PE minigrippe	0,0785 dl		28	29
Punktprøve	frysing	PE minigrippe	0,0785 dl		29	30
Punktprøve	frysing	PE minigrippe	0,0785 dl		30	31
Punktprøve	frysing	PE minigrippe	0,0785 dl		31	32
Punktprøve	frysing	PE minigrippe	0,0785 dl		32	33
Punktprøve	frysing	PE minigrippe	0,0785 dl		33	34
Punktprøve	frysing	PE minigrippe	0,0785 dl		34	35
Punktprøve	frysing	PE minigrippe	0,0785 dl		35	36
Punktprøve	frysing	PE minigrippe	0,0785 dl		36	37
Punktprøve	frysing	PE minigrippe	0,0785 dl		37	38
Punktprøve	frysing	PE minigrippe	0,0785 dl		38	39
Punktprøve	frysing	PE minigrippe	0,0785 dl		39	40
Standard	frysing	PE minigrippe	0,0785 dl	ne		
Standard		Rilsan,PE-kop æ		d		
Punktprøve	frysing	PE minigrippe	0,0785 dl		0	1
Punktprøve	frysing	PE minigrippe	0,0785 dl		1	2

Punktprøve frysing	PE minigrippe	0,0785 dl		2	3
Punktprøve frysing	PE minigrippe	0,0785 dl		3	4
Punktprøve frysing	PE minigrippe	0,0785 dl		4	5
Punktprøve frysing	PE minigrippe	0,0785 dl		5	6
Punktprøve frysing	PE minigrippe	0,0785 dl		6	7
Punktprøve frysing	PE minigrippe	0,0785 dl		7	8
Punktprøve frysing	PE minigrippe	0,0785 dl		8	9
Punktprøve frysing	PE minigrippe	0,0785 dl		9	10
Punktprøve frysing	PE minigrippe	0,0785 dl		10	11
Punktprøve frysing	PE minigrippe	0,0785 dl		11	12
Punktprøve frysing	PE minigrippe	0,0785 dl		12	13
Punktprøve frysing	PE minigrippe	0,0785 dl		13	14
Punktprøve frysing	PE minigrippe	0,0785 dl		14	15
Punktprøve frysing	PE minigrippe	0,0785 dl		16	17
Punktprøve frysing	PE minigrippe	0,0785 dl		18	19
Punktprøve frysing	PE minigrippe	0,0785 dl		20	21
Punktprøve frysing	PE minigrippe	0,0785 dl		22	23
Punktprøve frysing	PE minigrippe	0,0785 dl		24	25
Punktprøve frysing	PE minigrippe	0,0785 dl		26	27
Punktprøve frysing	PE minigrippe	0,0785 dl		28	29
Punktprøve frysing	PE minigrippe	0,0785 dl		30	31
Punktprøve frysing	PE minigrippe	0,0785 dl		32	33
Standard frysing	PE minigrippe	0,0785 dl	ne		
Standard	Rilsan,PE-kop æ		d		
Punktprøve frysing	PE minigrippe	0,0785 dl		0	1
Punktprøve frysing	PE minigrippe	0,0785 dl		0	1
Punktprøve frysing	PE minigrippe	0,0785 dl		1	2
Punktprøve frysing	PE minigrippe	0,0785 dl		2	3
Punktprøve frysing	PE minigrippe	0,0785 dl		3	4
Punktprøve frysing	PE minigrippe	0,0785 dl		4	5
Punktprøve frysing	PE minigrippe	0,0785 dl		5	6
Punktprøve frysing	PE minigrippe	0,0785 dl		6	7
Punktprøve frysing	PE minigrippe	0,0785 dl		7	8
Punktprøve frysing	PE minigrippe	0,0785 dl		8	9
Punktprøve frysing	PE minigrippe	0,0785 dl		9	10
Punktprøve frysing	PE minigrippe	0,0785 dl		10	11
Punktprøve frysing	PE minigrippe	0,0785 dl		11	12
Punktprøve frysing	PE minigrippe	0,0785 dl		12	13
Punktprøve frysing	PE minigrippe	0,0785 dl		13	14
Punktprøve frysing	PE minigrippe	0,0785 dl		14	15
Punktprøve frysing	PE minigrippe	0,0785 dl		16	17
Punktprøve frysing	PE minigrippe	0,0785 dl		18	19
Punktprøve frysing	PE minigrippe	0,0785 dl		20	21
Punktprøve frysing	PE minigrippe	0,0785 dl		22	23
Punktprøve frysing	PE minigrippe	0,0785 dl		24	25
Punktprøve frysing	PE minigrippe	0,0785 dl		26	27
Punktprøve frysing	PE minigrippe	0,0785 dl		28	29
Punktprøve frysing	PE minigrippe	0,0785 dl		30	31
Punktprøve frysing	PE minigrippe	0,0785 dl		32	33
Standard frysing	PE minigrippe	0,0785 dl	ne		

Standard	Rilsan,PE-kop æ		d		
Punktprøve	frysing	PE minigrippe	0,0785 dl	0	1
Punktprøve	frysing	PE minigrippe	0,0785 dl	1	2
Punktprøve	frysing	PE minigrippe	0,0785 dl	2	3
Punktprøve	frysing	PE minigrippe	0,0785 dl	3	4
Punktprøve	frysing	PE minigrippe	0,0785 dl	4	5
Punktprøve	frysing	PE minigrippe	0,0785 dl	5	6
Punktprøve	frysing	PE minigrippe	0,0785 dl	6	7
Punktprøve	frysing	PE minigrippe	0,0785 dl	7	8
Punktprøve	frysing	PE minigrippe	0,0785 dl	8	9
Punktprøve	frysing	PE minigrippe	0,0785 dl	9	10
Punktprøve	frysing	PE minigrippe	0,0785 dl	10	11
Punktprøve	frysing	PE minigrippe	0,0785 dl	11	12
Punktprøve	frysing	PE minigrippe	0,0785 dl	12	13
Punktprøve	frysing	PE minigrippe	0,0785 dl	13	14
Punktprøve	frysing	PE minigrippe	0,0785 dl	14	15
Punktprøve	frysing	PE minigrippe	0,0785 dl	16	17
Punktprøve	frysing	PE minigrippe	0,0785 dl	18	19
Punktprøve	frysing	PE minigrippe	0,0785 dl	20	21
Punktprøve	frysing	PE minigrippe	0,0785 dl	22	23
Punktprøve	frysing	PE minigrippe	0,0785 dl	24	25
Punktprøve	frysing	PE minigrippe	0,0785 dl	26	27
Punktprøve	frysing	PE minigrippe	0,0785 dl	28	29
Punktprøve	frysing	PE minigrippe	0,0785 dl	30	31
Punktprøve	frysing	PE minigrippe	0,0785 dl	32	33
Punktprøve	frysing	PE minigrippe	0,0785 dl	34	35
Punktprøve	frysing	PE minigrippe	0,0785 dl	36	37
Standard	frysing	PE minigrippe	0,0785 dl	ne	
Standard	Rilsan,PE-kop æ		d		
Punktprøve	frysing	PE minigrippe	0,0785 dl	0	1
Punktprøve	frysing	PE minigrippe	0,0785 dl	1	2
Punktprøve	frysing	PE minigrippe	0,0785 dl	2	3
Punktprøve	frysing	PE minigrippe	0,0785 dl	3	4
Punktprøve	frysing	PE minigrippe	0,0785 dl	4	5
Punktprøve	frysing	PE minigrippe	0,0785 dl	5	6
Punktprøve	frysing	PE minigrippe	0,0785 dl	6	7
Punktprøve	frysing	PE minigrippe	0,0785 dl	7	8
Punktprøve	frysing	PE minigrippe	0,0785 dl	8	9
Punktprøve	frysing	PE minigrippe	0,0785 dl	9	10
Punktprøve	frysing	PE minigrippe	0,0785 dl	10	11
Punktprøve	frysing	PE minigrippe	0,0785 dl	11	12
Punktprøve	frysing	PE minigrippe	0,0785 dl	12	13
Punktprøve	frysing	PE minigrippe	0,0785 dl	13	14
Punktprøve	frysing	PE minigrippe	0,0785 dl	14	15
Punktprøve	frysing	PE minigrippe	0,0785 dl	15	16
Punktprøve	frysing	PE minigrippe	0,0785 dl	16	17
Punktprøve	frysing	PE minigrippe	0,0785 dl	17	18
Punktprøve	frysing	PE minigrippe	0,0785 dl	18	19
Punktprøve	frysing	PE minigrippe	0,0785 dl	19	20
Standard	frysing	PE minigrippe	0,0785 dl	ne	

Standard	Rilsan,PE-kop æ		d		
Punktprøve	frysing	PE minigrippe	0,0785 dl	0	1
Punktprøve	frysing	PE minigrippe	0,0785 dl	1	2
Punktprøve	frysing	PE minigrippe	0,0785 dl	2	3
Punktprøve	frysing	PE minigrippe	0,0785 dl	3	4
Punktprøve	frysing	PE minigrippe	0,0785 dl	4	5
Punktprøve	frysing	PE minigrippe	0,0785 dl	5	6
Punktprøve	frysing	PE minigrippe	0,0785 dl	6	7
Punktprøve	frysing	PE minigrippe	0,0785 dl	7	8
Punktprøve	frysing	PE minigrippe	0,0785 dl	8	9
Punktprøve	frysing	PE minigrippe	0,0785 dl	9	10
Punktprøve	frysing	PE minigrippe	0,0785 dl	10	11
Punktprøve	frysing	PE minigrippe	0,0785 dl	11	12
Punktprøve	frysing	PE minigrippe	0,0785 dl	12	13
Punktprøve	frysing	PE minigrippe	0,0785 dl	13	14
Punktprøve	frysing	PE minigrippe	0,0785 dl	14	15
Punktprøve	frysing	PE minigrippe	0,0785 dl	15	16
Punktprøve	frysing	PE minigrippe	0,0785 dl	16	17
Standard	frysing	PE minigrippe	0,0785 dl	ne	
Standard	Rilsan,PE-kop æ		d		
Punktprøve	frysing	PE minigrippe	0,0785 dl	0	1
Punktprøve	frysing	PE minigrippe	0,0785 dl	1	2
Punktprøve	frysing	PE minigrippe	0,0785 dl	2	3
Punktprøve	frysing	PE minigrippe	0,0785 dl	3	4
Punktprøve	frysing	PE minigrippe	0,0785 dl	4	5
Punktprøve	frysing	PE minigrippe	0,0785 dl	5	6
Punktprøve	frysing	PE minigrippe	0,0785 dl	6	7
Punktprøve	frysing	PE minigrippe	0,0785 dl	7	8
Punktprøve	frysing	PE minigrippe	0,0785 dl	8	9
Punktprøve	frysing	PE minigrippe	0,0785 dl	9	10
Punktprøve	frysing	PE minigrippe	0,0785 dl	10	11
Punktprøve	frysing	PE minigrippe	0,0785 dl	11	12
Punktprøve	frysing	PE minigrippe	0,0785 dl	12	13
Punktprøve	frysing	PE minigrippe	0,0785 dl	13	14
Punktprøve	frysing	PE minigrippe	0,0785 dl	14	15
Punktprøve	frysing	PE minigrippe	0,0785 dl	15	16
Punktprøve	frysing	PE minigrippe	0,0785 dl	16	17
Punktprøve	frysing	PE minigrippe	0,0785 dl	17	18
Punktprøve	frysing	PE minigrippe	0,0785 dl	18	19
Punktprøve	frysing	PE minigrippe	0,0785 dl	19	20
Standard	frysing	PE minigrippe	0,0785 dl	ne	
Standard	Rilsan,PE-kop æ		d		
Punktprøve	frysing	PE minigrippe	0,0785 dl	0	1
Punktprøve	frysing	PE minigrippe	0,0785 dl	0	1
Punktprøve	frysing	PE minigrippe	0,0785 dl	1	2
Punktprøve	frysing	PE minigrippe	0,0785 dl	2	3
Punktprøve	frysing	PE minigrippe	0,0785 dl	3	4
Punktprøve	frysing	PE minigrippe	0,0785 dl	4	5
Punktprøve	frysing	PE minigrippe	0,0785 dl	5	6
Punktprøve	frysing	PE minigrippe	0,0785 dl	6	7

Punktprøve frysing	PE minigrippe	0,0785 dl		7	8
Punktprøve frysing	PE minigrippe	0,0785 dl		8	9
Punktprøve frysing	PE minigrippe	0,0785 dl		9	10
Punktprøve frysing	PE minigrippe	0,0785 dl		10	11
Punktprøve frysing	PE minigrippe	0,0785 dl		11	12
Punktprøve frysing	PE minigrippe	0,0785 dl		12	13
Punktprøve frysing	PE minigrippe	0,0785 dl		13	14
Punktprøve frysing	PE minigrippe	0,0785 dl		14	15
Punktprøve frysing	PE minigrippe	0,0785 dl		16	17
Punktprøve frysing	PE minigrippe	0,0785 dl		18	19
Punktprøve frysing	PE minigrippe	0,0785 dl		20	21
Punktprøve frysing	PE minigrippe	0,0785 dl		22	23
Standard frysing	PE minigrippe	0,0785 dl	ne		
Standard	Rilsan,PE-kop æ		d		
Punktprøve frysing	PE minigrippe	0,0785 dl		0	1
Punktprøve frysing	PE minigrippe	0,0785 dl		0	1
Punktprøve frysing	PE minigrippe	0,0785 dl		0	1
Punktprøve frysing	PE minigrippe	0,0785 dl		0	2
Punktprøve frysing	PE minigrippe	0,0785 dl		0	1
Punktprøve frysing	PE minigrippe	0,0785 dl		0	1
Punktprøve frysing	PE minigrippe	0,0785 dl		0	1
Standard frysing	PE minigrippe	0,0785 dl			
Standard	Rilsan,PE-kop æ				

Dyp-unit	Batch	Prøve ID	S	TC	TOC	Carbonate	
cm	2012,0397	98090		0,08	2,1	0,86	10,33
cm	2012,0397	98091		0,065	2,07	0,88	9,92
cm	2012,0397	98092		0,068	2,09	0,75	11,17
cm	2013,0039	71417		0,051	2,03	0,84	9,92
cm	2012,0397	71418		0,051	2,12	0,82	10,83
cm	2012,0397	71419		0,062	2,09	0,83	10,50
cm	2012,0397	71420		0,06	2,15	0,89	10,50
cm	2012,0397	71421		0,052	2,09	0,76	11,08
cm	2012,0397	71422		0,063	2,17	0,82	11,25
cm	2012,0397	71423		0,059	2,19	0,8	11,58
cm	2012,0397	71424		0,055	2,12	0,79	11,08
cm	2012,0397	71425		0,073	2,15	0,8	11,25
cm	2012,0397	71426		0,067	2,17	0,72	12,08
cm	2012,0397	71427		0,063	2,24	0,74	12,50
cm	2012,0397	71428		0,058	2,14	0,72	11,83
cm	2012,0397	71430		0,058	1,95	0,67	10,67
cm	2012,0397	71432		0,054	2	0,73	10,58
cm	2012,0397	71434		0,073	2,07	0,69	11,50
cm	2012,0397	71436		0,087	2,06	0,69	11,42
cm	2012,0397	71438		0,097	2,12	0,75	11,42
cm	2012,0397	71440		0,084	2,1	0,67	11,92
cm	2012,0397	71442		0,057	2,04	0,67	11,42
cm	2012,0397	71444		0,079	1,9	0,63	10,58
cm	2012,0397	ndard HYNNE		0,037	0,97	0,36	5,08
cm	2012,0397	IINN Standard		0,014	0,83	0,48	2,92
cm	2012,0397	71351		0,092	3,19	0,15	25,33
cm	2013,0039	71352		0,08	4,54	0,18	36,33
cm	2013,0039	71353		0,055	3,04	0,15	24,08
cm	2012,0397	71354		0,04	2,65	0,15	20,83
cm	2012,0397	71355		0,041	2,24	0,14	17,50
cm	2012,0397	71356		0,032	2,14	0,16	16,50
cm	2012,0397	71357		0,034	2	0,2	15,00
cm	2012,0397	71358		0,046	1,27	0,26	8,42
cm	2012,0397	71359		0,046	1,77	0,28	12,42
cm	2012,0397	71360		0,056	0,87	0,33	4,50
cm	2012,0397	71361		0,056	0,75	0,33	3,50
cm	2013,0039	71362		0,061	0,74	0,3	3,67
cm	2012,0397	71363		0,044	0,66	0,29	3,08
cm	2012,0397	71364		0,047	0,64	0,3	2,83
cm	2012,0397	71365		0,097	0,72	0,32	3,33
cm	2013,0039	71367		0,049	0,67	0,37	2,50
cm	2012,0397	71369		0,026	0,5	0,07	3,58
cm	2012,0397	93768		0,044	1,31	0,44	7,25
cm	2012,0397	ndard HYNNE		0,035	1,00	0,39	5,08
cm	2012,0397	IINN Standard		0,057	0,79	0,52	2,25
cm	2012,0397	71446		0,044	1,68	0,56	9,33
cm	2012,0397	71447		0,046	1,75	0,58	9,75
cm	2012,0397	71448		0,035	1,37	0,53	7,00
cm	2012,0397	71449		0,032	1,39	0,51	7,33

cm	2012,0397	71450	0,034	1,55	0,5	8,75
cm	2013,0039	71451	0,03	1,39	0,43	8,00
cm	2012,0397	71452	0,033	1,37	0,49	7,33
cm	2012,0397	71453	0,032	1,31	0,49	6,83
cm	2012,0397	71454	0,037	1,29	0,45	7,00
cm	2012,0397	71455	0,04	1,29	0,43	7,17
cm	2012,0397	71456	0,033	1,29	0,41	7,33
cm	2012,0397	71457	0,035	1,23	0,45	6,50
cm	2012,0397	71458	0,031	1,2	0,42	6,50
cm	2013,0039	71459	0,037	1,29	0,43	7,17
cm	2012,0397	71460	0,042	1,27	0,41	7,17
cm	2012,0397	71461	0,045	1,26	0,41	7,08
cm	2012,0397	71462	0,04	1,18	0,42	6,33
cm	2012,0397	71463	0,044	1,24	0,42	6,83
cm	2012,0397	71464	0,039	1,25	0,42	6,92
cm	2012,0397	71465	0,041	1,28	0,41	7,25
cm	2012,0397	tandard HYNNE	0,033	0,96	0,37	4,92
cm	2012,0397	IINN Standard	0,023	0,80	0,45	2,92
cm	2012,0397	98093	0,05	2,18	0,54	13,67
cm	2012,0397	71553	0,047	2,05	0,52	12,75
cm	2012,0397	71554	0,049	2,16	0,55	13,42
cm	2012,0397	71555	0,052	2,31	0,54	14,75
cm	2012,0397	71556	0,036	2,06	0,52	12,83
cm	2012,0397	71557	0,045	2,11	0,53	13,17
cm	2012,0397	71558	0,042	1,97	0,5	12,25
cm	2012,0397	71559	0,042	1,96	0,49	12,25
cm	2012,0397	71560	0,043	2,07	0,5	13,08
cm	2012,0397	71561	0,045	2,03	0,48	12,92
cm	2012,0397	71562	0,045	2,03	0,49	12,83
cm	2012,0397	71563	0,046	2,05	0,48	13,08
cm	2012,0397	71564	0,053	1,97	0,49	12,33
cm	2012,0397	71565	0,052	1,95	0,48	12,25
cm	2012,0397	71566	0,056	1,9	0,44	12,17
cm	2012,0397	71567	0,049	1,82	0,39	11,92
cm	2012,0397	71568	0,056	1,78	0,43	11,25
cm	2013,0039	71569	0,065	1,86	0,43	11,92
cm	2012,0397	71570	0,037	1,83	0,42	11,75
cm	2012,0397	71571	0,056	1,79	0,4	11,58
cm	2012,0397	71572	0,057	1,72	0,39	11,08
cm	2012,0397	71573	0,062	1,74	0,39	11,25
cm	2012,0397	71574	0,063	1,69	0,41	10,67
cm	2012,0397	71575	0,053	1,72	0,38	11,17
cm	2012,0397	71576	0,067	1,77	0,4	11,42
cm	2012,0397	71577	0,054	1,69	0,39	10,83
cm	2012,0397	71578	0,05	1,6	0,38	10,17
cm	2012,0397	71579	0,045	1,63	0,39	10,33
cm	2012,0397	71580	0,052	1,64	0,38	10,50
cm	2012,0397	71581	0,063	1,59	0,38	10,08
cm	2012,0397	71582	0,06	1,61	0,36	10,42
cm	2012,0397	71583	0,059	1,52	0,35	9,75

cm	2012,0397	71584	0,061	1,42	0,35	8,92
cm	2012,0397	71585	0,051	1,44	0,35	9,08
cm	2012,0397	71586	0,064	1,43	0,37	8,83
cm	2012,0397	ndard HYNNE	0,037	0,98	0,39	4,92
cm	2012,0397	IINN Standard	0,018	0,83	0,42	3,42
cm	2013,0039	98094	0,103	3,43	0,58	23,75
cm	2012,0397	98095	0,07	3,73	0,58	26,25
cm	2012,0397	98096	0,065	3,91	0,61	27,50
cm	2012,0397	93629	0,075	4	0,76	27,00
cm	2012,0397	93630	0,083	3,98	0,68	27,50
cm	2012,0397	93631	0,083	4,14	0,69	28,75
cm	2012,0397	93632	0,067	4,05	0,74	27,58
cm	2012,0397	93633	0,068	3,84	0,72	26,00
cm	2012,0397	93634	0,07	3,66	0,74	24,33
cm	2012,0397	93635	0,097	3,36	0,62	22,83
cm	2012,0397	93636	0,072	3,36	0,55	23,42
cm	2013,0039	93637	0,08	3,71	0,4	27,58
cm	2012,0397	93638	0,073	3,42	0,58	23,67
cm	2012,0397	93639	0,07	3,71	0,62	25,75
cm	2012,0397	93640	0,069	3,71	0,58	26,08
cm	2012,0397	93641	0,073	3,64	0,62	25,17
cm	2012,0397	93642	0,066	3,58	0,54	25,33
cm	2012,0397	93643	0,063	3,81	0,52	27,42
cm	2013,0039	93644	0,065	3,92	0,43	29,08
cm	2012,0397	93645	0,065	4	0,58	28,50
cm	2012,0397	93646	0,06	3,86	0,61	27,08
cm	2012,0397	93647	0,027	3,74	0,55	26,58
cm	2012,0397	93648	0,067	3,38	0,54	23,67
cm	2012,0397	93649	0,056	2,78	0,53	18,75
cm	2012,0397	93650	0,059	3,03	0,52	20,92
cm	2012,0397	ndard HYNNE	0,046	0,97	0,53	3,67
cm	2012,0397	IINN Standard	0,018	0,80	0,53	2,25
cm	2012,0397	93709	0,047	1,41	0,45	8,00
cm	2012,0397	98051	0,089	3,9	0,74	26,33
cm	2012,0397	98052	0,045	4,14	0,76	28,17
cm	2012,0397	98053	0,074	4,36	0,74	30,17
cm	2012,0397	98054	0,046	4,21	0,69	29,33
cm	2012,0397	98055	0,071	4,25	0,68	29,75
cm	2012,0397	98056	0,069	4,04	0,7	27,83
cm	2012,0397	98057	0,061	3,95	0,65	27,50
cm	2013,0039	98058	0,052	3,99	0,55	28,67
cm	2012,0397	98059	0,063	3,96	0,73	26,92
cm	2012,0397	98060	0,058	3,84	0,67	26,42
cm	2012,0397	98061	0,06	3,74	0,56	26,50
cm	2012,0397	98062	0,052	3,71	0,61	25,83
cm	2012,0397	98063	0,051	3,5	0,56	24,50
cm	2012,0397	98064	0,051	3,37	0,54	23,58
cm	2012,0397	98065	0,054	3,2	0,55	22,08
cm	2012,0397	98066	0,053	2,99	0,55	20,33
cm	2012,0397	98067	0,063	2,96	0,49	20,58

cm	2012,0397	98068	0,047	2,76	0,65	17,58
cm	2012,0397	98069	0,052	2,63	0,58	17,08
cm	2012,0397	98070	0,047	2,5	0,56	16,17
cm	2012,0397	98071	0,047	2,36	0,53	15,25
cm	2012,0397	98072	0,039	2,42	0,51	15,92
cm	2012,0397	98073	0,04	2,39	0,49	15,83
cm	2012,0397	98074	0,039	2,56	0,54	16,83
cm	2012,0397	98075	0,04	2,53	0,52	16,75
cm	2012,0397	98076	0,045	2,72	0,54	18,17
cm	2012,0397	98077	0,046	2,86	0,52	19,50
cm	2012,0397	98078	0,043	2,94	0,53	20,08
cm	2012,0397	98079	0,039	2,9	0,55	19,58
cm	2012,0397	98080	0,038	3	0,41	21,58
cm	2012,0397	98081	0,056	2,91	0,43	20,67
cm	2012,0397	98082	0,044	2,8	0,37	20,25
cm	2012,0397	98083	0,041	2,75	0,36	19,92
cm	2012,0397	98084	0,043	2,74	0,34	20,00
cm	2012,0397	98085	0,042	2,68	0,34	19,50
cm	2012,0397	98086	0,046	2,58	0,34	18,67
cm	2012,0397	98087	0,046	2,57	0,33	18,67
cm	2012,0397	98088	0,044	2,45	0,31	17,83
cm	2012,0397	98089	0,027	2,44	0,33	17,58
cm	2012,0397	65490	0,026	2,66	0,31	19,58
cm	2012,0397	65491	0,029	2,46	0,33	17,75
cm	2012,0397	65492	0,025	2,43	0,32	17,58
cm	2012,0397	ndard HYNNE	0,029	0,94	0,35	4,92
cm	2012,0397	IINN Standard	0,061	0,75	0,42	2,75
cm	2012,0397	65569	0,051	2,12	0,5	13,50
cm	2012,0397	65771	0,043	3,81	0,66	26,25
cm	2012,0397	65678	0,041	3,75	0,73	25,17
cm	2012,0397	65679	0,047	3,84	0,74	25,83
cm	2012,0397	65680	0,062	3,73	0,77	24,67
cm	2012,0397	65681	0,05	3,94	0,77	26,42
cm	2012,0397	65682	0,07	3,85	0,78	25,58
cm	2012,0397	65683	0,06	3,83	0,72	25,92
cm	2012,0397	65684	0,054	3,72	0,72	25,00
cm	2012,0397	65685	0,046	3,63	0,7	24,42
cm	2012,0397	65686	0,052	3,72	0,72	25,00
cm	2012,0397	65687	0,053	3,7	0,74	24,67
cm	2012,0397	65688	0,055	3,74	0,72	25,17
cm	2012,0397	65689	0,062	3,66	0,73	24,42
cm	2012,0397	65690	0,057	3,67	0,76	24,25
cm	2012,0397	65691	0,054	3,59	0,74	23,75
cm	2012,0397	65692	0,061	6,52	0,77	47,92
cm	2012,0397	65694	0,041	3,7	0,72	24,83
cm	2012,0397	65696	0,054	3,8	0,72	25,67
cm	2012,0397	65698	0,059	3,95	0,8	26,25
cm	2012,0397	65700	0,048	3,96	0,83	26,08
cm	2012,0397	65702	0,063	3,98	0,87	25,92
cm	2012,0397	65704	0,055	4,04	0,91	26,08

cm	2012,0397	65706	0,043	4,05	0,88	26,42
cm	2012,0397	65708	0,068	3,91	0,81	25,83
cm	2012,0397	65710	0,083	3,76	0,8	24,67
cm	2012,0397	65712	0,083	3,75	0,66	25,75
cm	2012,0397	ndard HYNNE	0,04	0,94	0,39	4,58
cm	2012,0397	IINN Standard	0,017	0,77	0,47	2,50
cm	2013,0039	98097	0,0541	4,47	1,26	26,75
cm	2013,0039	98098	0,0591	4,58	1,22	28,00
cm	2013,0039	98099	0,0452	4,61	1,15	28,83
cm	2013,0039	98100	0,0529	4,54	1,15	28,25
cm	2013,0039	98101	0,0118	4,42	1,13	27,42
cm	2013,0039	98102	0,0189	4,63	1,2	28,58
cm	2013,0039	98103	0,0238	4,55	1,13	28,50
cm	2013,0039	98104	0,0331	4,59	1,11	29,00
cm	2013,0039	98105	0,0313	4,58	1,02	29,67
cm	2013,0039	65644	0,0581	4,63	1,05	29,83
cm	2013,0039	65645	0,0478	4,51	1,13	28,17
cm	2013,0039	65646	0,044	4,5	1,06	28,67
cm	2013,0039	65647	0,0681	4,47	0,97	29,17
cm	2013,0039	65648	0,107	4,39	0,94	28,75
cm	2013,0039	65649	0,0918	4,42	0,93	29,08
cm	2013,0039	65650	0,0996	4,43	0,97	28,83
cm	2013,0039	65651	0,0729	4,36	0,99	28,08
cm	2013,0039	65652	0,0979	4,38	0,97	28,42
cm	2013,0039	65653	0,0977	4,29	0,86	28,58
cm	2013,0039	65654	0,106	4,26	0,85	28,42
cm	2013,0039	65655	0,127	4,18	0,89	27,42
cm	2013,0039	65656	0,119	4,14	0,87	27,25
cm	2013,0039	65657	0,117	4,12	0,83	27,42
cm	2013,0039	65658	0,115	4,21	0,9	27,58
cm	2013,0039	65659	0,0903	4,19	0,9	27,42
cm	2013,0039	65660	0,0923	3,93	0,85	25,67
cm	2013,0039	65661	0,0951	4,09	0,83	27,17
cm	2013,0039	65662	0,126	4,17	0,85	27,67
cm	2013,0039	65663	0,0375	4,05	0,84	26,75
cm	2013,0039	65664	0,105	4,13	0,9	26,92
cm	2013,0039	65665	0,104	4,06	0,87	26,58
cm	2013,0039	65666	0,108	4,13	0,91	26,83
cm	2013,0039	65667	0,0977	4,1	0,9	26,67
cm	2013,0039	65668	0,132	4,15	0,88	27,25
cm	2013,0039	65669	0,139	4,18	0,92	27,17
cm	2013,0039	65670	0,133	4,16	0,9	27,17
cm	2013,0039	65671	0,149	4,27	0,93	27,83
cm	2013,0039	65672	0,165	4,21	0,96	27,08
cm	2013,0039	65673	0,154	4,2	0,98	26,83
cm	2013,0039	65674	0,154	4,19	0,96	26,92
cm	2013,0039		0,0598	0,992	0,39	5,02
cm	2013,0039		0,0074	0,809	0,52	2,41
cm	2013,0039	65970	0,0506	3,36	0,43	24,42
cm	2013,0039	65971	0,0504	3,26	0,42	23,67

cm	2013,0039	65972	0,0554	3,05	0,34	22,58
cm	2013,0039	65973	0,0524	3,19	0,37	23,50
cm	2013,0039	65974	0,0494	3,09	0,31	23,17
cm	2013,0039	65975	0,0459	3,19	0,34	23,75
cm	2013,0039	65976	0,0502	3,1	0,36	22,83
cm	2013,0039	65977	0,0512	3,16	0,34	23,50
cm	2013,0039	65978	0,0523	3,03	0,35	22,33
cm	2013,0039	65979	0,0379	3,04	0,34	22,50
cm	2013,0039	65980	0,0495	2,98	0,3	22,33
cm	2013,0039	65981	0,0412	2,79	0,27	21,00
cm	2013,0039	65982	0,0417	2,78	0,24	21,17
cm	2013,0039	65983	0,0424	2,62	0,26	19,67
cm	2013,0039	65984	0,0347	2,38	0,26	17,67
cm	2013,0039	65986	0,04	2,27	0,26	16,75
cm	2013,0039	65988	0,0336	2,11	0,27	15,33
cm	2013,0039	65990	0,0373	2,01	0,26	14,58
cm	2013,0039	65992	0,0392	2,35	0,28	17,25
cm	2013,0039	65994	0,0418	1,93	0,25	14,00
cm	2013,0039	65996	0,0397	1,68	0,25	11,92
cm	2013,0039	65998	0,0351	1,48	0,23	10,42
cm	2013,0039	66000	0,0392	1,54	0,24	10,83
cm	2013,0039	96002	0,0407	1,72	0,24	12,33
cm	2013,0039		0,0427	0,971	0,39	4,84
cm	2013,0039		0,0553	0,804	0,47	2,78
cm	2013,0039	65534	0,0431	4,77	0,69	34,00
cm	2013,0039	65894	0,0439	4,27	0,71	29,67
cm	2013,0039	65895	0,058	4,12	0,66	28,83
cm	2013,0039	65896	0,0543	4,05	0,62	28,58
cm	2013,0039	65897	0,076	4,1	0,65	28,75
cm	2013,0039	65898	0,0874	4,28	0,7	29,83
cm	2013,0039	65899	0,0658	4,19	0,73	28,83
cm	2013,0039	65900	0,0829	4,19	0,63	29,67
cm	2013,0039	65901	0,0997	4,21	0,66	29,58
cm	2013,0039	65902	0,0539	4,34	0,67	30,58
cm	2013,0039	65903	0,0614	4,17	0,66	29,25
cm	2013,0039	65904	0,0708	4,3	0,68	30,17
cm	2013,0039	65905	0,0722	4,18	0,65	29,42
cm	2013,0039	65906	0,0444	4,22	0,66	29,67
cm	2013,0039	65907	0,0793	4,12	0,66	28,83
cm	2013,0039	65908	0,0649	4,16	0,6	29,67
cm	2013,0039	65910	0,0821	3,78	0,59	26,58
cm	2013,0039	65912	0,0764	4,03	0,6	28,58
cm	2013,0039	65914	0,101	3,74	0,55	26,58
cm	2013,0039	65916	0,0899	3,83	0,55	27,33
cm	2013,0039	65918	0,0912	3,82	0,58	27,00
cm	2013,0039	65920	0,109	3,81	0,5	27,58
cm	2013,0039	65922	0,0794	3,65	0,5	26,25
cm	2013,0039	65924	0,0644	3,74	0,48	27,17
cm	2013,0039	65926	0,0722	3,64	0,46	26,50
cm	2013,0039		0,0495	0,987	0,39	4,97

cm	2013,0039		0,0104	0,815	0,43	3,21
cm	2013,0039	65931	0,112	4,02	0,74	27,33
cm	2013,0039	65932	0,0998	4,07	0,71	28,00
cm	2013,0039	65933	0,0201	3,95	0,72	26,92
cm	2013,0039	65934	0,0332	3,95	0,71	27,00
cm	2013,0039	65935	0,0375	3,88	0,69	26,58
cm	2013,0039	65936	0,0553	3,98	0,74	27,00
cm	2013,0039	65937	0,0426	4,06	0,75	27,58
cm	2013,0039	65938	0,0542	3,86	0,67	26,58
cm	2013,0039	65939	0,0881	3,72	0,61	25,92
cm	2013,0039	65940	0,0696	3,73	0,62	25,92
cm	2013,0039	65941	0,026	3,8	0,66	26,17
cm	2013,0039	65942	0,0692	3,84	0,65	26,58
cm	2013,0039	65943	0,0801	3,63	0,6	25,25
cm	2013,0039	65944	0,0808	3,53	0,55	24,83
cm	2013,0039	65945	0,0766	3,5	0,54	24,67
cm	2013,0039	65947	0,0837	3,56	0,54	25,17
cm	2013,0039	65949	0,0756	3,52	0,52	25,00
cm	2013,0039	65951	0,0845	3,55	0,55	25,00
cm	2013,0039	65953	0,0801	3,89	0,59	27,50
cm	2013,0039	65955	0,091	3,81	0,61	26,67
cm	2013,0039	65957	0,0977	3,89	0,59	27,50
cm	2013,0039	65959	0,0835	3,91	0,62	27,42
cm	2013,0039	65961	0,0681	3,84	0,56	27,33
cm	2013,0039	65963	0,0915	3,81	0,53	27,33
cm	2013,0039	65965	0,0913	3,82	0,49	27,75
cm	2013,0039	65967	0,0889	3,88	0,52	28,00
cm	2013,0039		0,0447	0,952	0,39	4,68
cm	2013,0039		0,00989	0,796	0,5	2,47
cm	2013,0039	93801	0,0613	1,58	0,22	11,33
cm	2013,0039	93802	0,0588	1,45	0,23	10,17
cm	2013,0039	93803	0,0565	1,57	0,24	11,08
cm	2013,0039	93804	0,0627	1,7	0,26	12,00
cm	2013,0039	93805	0,0577	1,78	0,27	12,58
cm	2013,0039	93806	0,118	1,71	0,26	12,08
cm	2013,0039	93807	0,058	1,81	0,26	12,92
cm	2013,0039	93808	0,0632	1,86	0,27	13,25
cm	2013,0039	93809	0,0641	1,82	0,27	12,92
cm	2013,0039	93810	0,0612	1,65	0,25	11,67
cm	2013,0039	93811	0,0633	1,78	0,26	12,67
cm	2013,0039	93812	0,0641	1,6	0,25	11,25
cm	2013,0039	93813	0,0774	1,68	0,23	12,08
cm	2013,0039	93814	0,0787	1,65	0,23	11,83
cm	2013,0039	93815	0,0672	1,54	0,23	10,92
cm	2013,0039	93816	0,0782	1,46	0,21	10,42
cm	2013,0039	93817	0,0879	1,85	0,21	13,67
cm	2013,0039	93818	0,0981	1,56	0,19	11,42
cm	2013,0039	93819	0,082	1,62	0,18	12,00
cm	2013,0039	93820	0,133	1,59	0,17	11,83
cm	2013,0039		0,0567	1,01	0,35	5,50

cm	2013,0039		0,0383	0,778	0,49	2,40
cm	2013,0039	93821	0,0874	2,6	0,39	18,42
cm	2013,0039	93822	0,0763	2,91	0,34	21,42
cm	2013,0039	93823	0,0745	2,6	0,34	18,83
cm	2013,0039	93824	0,0755	2,56	0,31	18,75
cm	2013,0039	93825	0,0121	2,73	0,34	19,92
cm	2013,0039	93826	0,0793	2,67	0,33	19,50
cm	2013,0039	93827	0,081	2,68	0,34	19,50
cm	2013,0039	93828	0,138	2,67	0,32	19,58
cm	2013,0039	93829	0,078	2,51	0,31	18,33
cm	2013,0039	93830	0,0817	2,43	0,33	17,50
cm	2013,0039	93831	0,0892	2,48	0,34	17,83
cm	2013,0039	93832	0,117	3,05	0,34	22,58
cm	2013,0039	93833	0,0957	2,96	0,33	21,92
cm	2013,0039	93834	0,123	2,54	0,3	18,67
cm	2013,0039	93835	0,0995	2,55	0,33	18,50
cm	2013,0039	93836	0,111	2,64	0,31	19,42
cm	2013,0039	93837	0,016	3,07	0,33	22,83
cm	2013,0039		0,0408	1,03	0,4	5,25
cm	2013,0039		0,0783	0,798	0,52	2,32
cm	2013,0039	93889	0,0404	0,688	0,21	3,98
cm	2013,0039	93890	0,0365	0,713	0,22	4,11
cm	2013,0039	93891	0,0347	0,739	0,22	4,32
cm	2013,0039	93892	0,0402	0,739	0,21	4,41
cm	2013,0039	93893	0,037	0,664	0,23	3,62
cm	2013,0039	93894	0,044	0,726	0,19	4,47
cm	2013,0039	93895	0,0343	0,661	0,2	3,84
cm	2013,0039	93896	0,0356	0,629	0,18	3,74
cm	2013,0039	93897	0,031	0,686	0,18	4,22
cm	2013,0039	93898	0,0401	0,643	0,18	3,86
cm	2013,0039	93899	0,0351	0,671	0,17	4,17
cm	2013,0039	93900	0,0496	0,642	0,17	3,93
cm	2013,0039	93901	0,053	0,651	0,17	4,01
cm	2013,0039	93902	0,0579	0,681	0,17	4,26
cm	2013,0039	93903	0,057	0,608	0,16	3,73
cm	2013,0039	93904	0,0521	0,649	0,15	4,16
cm	2013,0039	93905	0,0617	0,69	0,18	4,25
cm	2013,0039	93906	0,0941	0,779	0,19	4,91
cm	2013,0039	93907	0,101	0,779	0,2	4,82
cm	2013,0039	93908	0,101	0,785	0,2	4,87
cm	2013,0039		0,0426	0,988	0,38	5,07
cm	2013,0039		0,0106	0,802	0,45	2,93
cm	2013,0039	93861	0,0621	1,24	0,33	7,58
cm	2013,0039	93838	0,0458	0,769	0,22	4,57
cm	2013,0039	93839	0,0297	0,667	0,19	3,97
cm	2013,0039	93840	0,0329	0,761	0,2	4,67
cm	2013,0039	93841	0,0312	0,728	0,19	4,48
cm	2013,0039	93842	0,0297	0,731	0,2	4,42
cm	2013,0039	93843	0,0276	0,738	0,19	4,57
cm	2013,0039	93844	0,0374	0,658	0,19	3,90

cm	2013,0039	93845	0,0283	0,675	0,18	4,12
cm	2013,0039	93846	0,0339	0,699	0,18	4,32
cm	2013,0039	93847	0,044	0,677	0,18	4,14
cm	2013,0039	93848	0,0484	0,714	0,17	4,53
cm	2013,0039	93849	0,0534	0,678	0,16	4,32
cm	2013,0039	93850	0,0507	0,79	0,15	5,33
cm	2013,0039	93851	0,101	0,713	0,16	4,61
cm	2013,0039	93852	0,0634	0,836	0,17	5,55
cm	2013,0039	93854	0,0633	0,8	0,18	5,17
cm	2013,0039	93856	0,0528	0,715	0,16	4,62
cm	2013,0039	93858	0,0303	0,73	0,14	4,92
cm	2013,0039	93860	0,0489	0,729	0,15	4,82
cm	2013,0039		0,0362	0,947	0,39	4,64
cm	2013,0039		0,0102	0,788	0,52	2,23
cm	2013,0039	93949	0,125	4,41	0,57	32,00
cm	2013,0039	93971	0,124	4,31	0,79	29,33
cm	2013,0039	93927	0,0872	2,94	0,7	18,67
cm	2013,0039	94082	0,347	9,05	3,54	45,92
cm	2013,0039	94003	0,237	8,36	1,27	59,08
cm	2013,0039	94020	0,212	8,21	2,47	47,83
cm	2013,0039	94057	0,164	5,94	1,02	41,00
cm	2013,0039		0,0503	0,98	0,38	5,00
cm	2013,0039		0,0129	0,803	0,5	2,52

Prøve ID	Si	Al	Fe	Ti	Mg	Ca	Na	K	Mn	P	Cu	Zn	Pb	Ni	Co
	[mg/kg]	[mg/kg]	[mg/kg]	[mg/kg]	[mg/kg]	[mg/kg]	[mg/kg]	[mg/kg]	[mg/kg]	[mg/kg]	[mg/kg]	[mg/kg]	[mg/kg]	[mg/kg]	[mg/kg]
98090	<250	17800	24200	858	12800	34200	20400	7190	713	625	14,1	65,6	17,1	27,9	10,1
98091	<250	18400	25300	885	12700	32900	16500	7260	765	674	14,1	65,9	18,6	27,9	10,7
98092	<250	18700	26400	900	12500	33200	13900	7390	621	694	15,0	69,8	19,4	31,5	10,8
71417	<250	18800	26200	908	12500	33800	13100	7540	343	684	14,8	68,3	20,4	28,4	9,75
71418	<250	19000	25400	919	12500	34600	12800	7840	221	602	15,2	68,6	20,6	29,5	9,32
71419	<250	18200	24000	901	12200	33600	12100	7590	222	578	14,4	67,0	20,7	29,1	9,20
71420	<250	18500	24000	906	12200	33500	12300	7630	241	598	14,6	69,1	21,4	30,1	9,68
71421	<250	18200	23800	905	12100	32800	11500	7580	234	575	14,2	67,7	22,4	28,2	9,68
71422	<250	18500	23900	918	12200	33100	11700	7760	234	573	14,6	68,8	23,4	28,2	10,1
71423	<250	18900	24800	941	12400	35800	11900	7970	231	582	14,7	69,2	22,8	30,3	10,0
71424	<250	17800	23500	900	11900	35000	11200	7530	221	573	14,0	66,2	21,2	28,4	9,35
71425	<250	17500	23000	888	11600	35900	10700	7390	217	581	13,7	65,0	18,6	27,9	9,11
71426	<250	17100	22600	878	11600	37100	10900	7250	214	564	13,7	61,9	15,9	28,0	8,98
71427	<250	17700	23100	901	11800	38400	11700	7500	220	567	13,4	62,2	15,7	30,5	9,26
71428	<250	17600	23200	899	11800	38600	12300	7470	212	558	12,8	60,3	13,1	28,1	9,01
71430	<250	17900	23500	936	12000	37700	11400	7590	220	580	13,1	61,1	12,4	28,7	9,23
71432	<250	17700	22600	937	11800	35300	10300	7480	219	579	12,8	59,2	9,3	29,6	9,07
71434	<250	18200	23400	950	12100	37800	11100	7670	226	575	13,0	60,9	10,9	28,8	9,37
71436	<250	18300	23800	950	11900	38300	10300	7680	228	575	12,8	60,2	9,0	30,3	9,79
71438	<250	18600	24200	961	12000	38600	9900	7790	228	570	13,1	61,1	8,9	30,1	10,4
71440	<250	18800	24500	971	12200	38600	9850	7880	230	578	13,4	61,8	8,8	31,3	10,1
71442	<250	19400	25200	991	12500	39300	10100	8080	234	574	13,2	62,5	8,7	32,1	9,95
71444	<250	19500	25300	996	12600	36700	9930	8090	231	567	13,4	61,5	8,9	29,6	9,71
Standard Hynne	<250	20400	28200	1340	14900	19600	6440	7000	378	646	16,5	77,5	11,9	35,2	10,4
MINN standard	296	18500	31800	2340	6770	1080	207	6150	223	407	9,9	65,8	11,1	17,7	10,8
71351	371	4030	8060	217	5410	89300	5080	1860	216	277	2,8	14,8	5,9	6,7	3,54
71352	375	3980	8180	206	3940	108000	5500	2000	150	255	2,4	14,2	6,1	6,6	3,38
71353	364	4010	7630	233	3480	97500	4890	1940	114	285	2,3	14,2	5,6	6,4	3,11
71354	<250	3840	7350	228	3390	86800	5030	1890	96,7	315	2,4	14,0	5,8	6,3	3,07
71355	<250	3920	7750	236	3600	74200	4690	1920	79,3	332	2,3	14,1	5,5	6,4	3,01
71356	<250	4950	8500	296	3990	72400	5050	2330	94,6	410	3,3	17,5	5,6	7,8	3,29
71357	<250	8410	12500	456	5740	58500	4710	3480	131	423	6,1	29,0	4,3	12,9	4,75
71358	<250	10800	15100	616	6990	32400	4800	4340	156	459	10,4	36,9	4,3	17,2	5,78
71359	<250	12200	16400	668	7660	22300	4860	4740	177	510	13,5	41,3	6,1	15,7	7,10
71360	<250	13900	18800	751	8860	16700	5390	5420	200	528	15,2	47,1	5,8	20,6	8,37

Prøve ID	V	Mo	Cd	Cr	Ba	Sr	Zr	B	Be	Li	Sc	Ce	La	Y	As
	[mg/kg]	[mg/kg]	[mg/kg]	[mg/kg]	[mg/kg]	[mg/kg]	[mg/kg]	[mg/kg]	[mg/kg]	[mg/kg]	[mg/kg]	[mg/kg]	[mg/kg]	[mg/kg]	[mg/kg]
98090	53,0	<1	<0.1	35,4	113	159	8,8	59	0,64	25,4	4,83	38,8	17,9	8,82	9,0
98091	53,4	<1	<0.1	36,1	114	153	9,1	56	0,65	26,3	4,88	42,1	18,6	8,92	9,6
98092	56,6	<1	<0.1	38,0	117	151	9,7	58	0,69	26,5	5,14	39,7	19,1	9,32	9,6
71417	56,7	<1	<0.1	37,6	114	153	9,7	57	0,66	27,5	5,10	40,9	19,0	9,21	9,1
71418	56,3	<1	<0.1	37,4	113	154	9,6	56	0,67	27,8	5,10	41,9	19,2	9,28	5,5
71419	54,4	<1	<0.1	36,5	114	148	9,3	54	0,66	26,8	4,93	41,1	18,7	9,02	4,6
71420	56,0	<1	<0.1	36,7	111	148	9,6	56	0,69	26,9	5,05	41,4	19,2	9,21	5,1
71421	54,9	<1	<0.1	36,6	111	144	9,3	55	0,67	26,7	4,92	40,6	18,6	9,01	5,5
71422	55,7	<1	<0.1	36,7	110	147	9,5	54	0,67	27,1	5,00	40,7	18,7	9,13	5,2
71423	56,7	<1	<0.1	37,4	115	159	9,6	56	0,68	27,9	5,05	40,4	19,3	9,23	5,4
71424	54,5	<1	<0.1	36,1	111	153	9,3	54	0,65	26,5	4,85	40,5	18,7	9,05	5,4
71425	54,6	<1	<0.1	35,6	108	157	9,2	53	0,65	25,8	4,83	40,0	18,3	9,08	6,4
71426	53,3	<1	0,11	35,2	106	162	8,9	52	0,64	25,4	4,74	38,7	18,1	8,93	6,1
71427	54,3	<1	<0.1	35,6	108	170	9,2	54	0,66	26,4	4,86	39,8	18,3	9,01	4,9
71428	52,9	<1	<0.1	34,9	108	169	8,8	52	0,65	26,1	4,74	39,9	18,4	8,86	5,8
71430	54,9	<1	0,17	36,6	107	160	9,5	53	0,66	26,4	4,91	41,7	19,0	9,27	5,8
71432	53,1	<1	0,15	36,1	104	148	9,5	51	0,65	26,3	4,87	41,1	18,9	9,20	5,2
71434	53,8	<1	0,12	36,9	107	160	9,5	53	0,68	26,9	4,96	41,3	18,7	9,21	5,8
71436	53,4	<1	0,11	36,8	108	163	9,6	54	0,67	26,8	4,99	41,3	18,8	9,23	7,0
71438	55,3	<1	0,13	37,4	110	165	9,7	53	0,68	27,5	5,03	41,5	19,1	9,30	7,0
71440	56,9	<1	0,16	37,9	111	164	9,9	54	0,70	28,0	5,14	42,2	19,2	9,42	6,9
71442	57,0	<1	<0.1	39,1	113	167	10,1	54	0,70	28,7	5,19	41,9	19,7	9,67	6,2
71444	57,1	<1	0,17	38,1	114	155	10,1	52	0,69	28,7	5,12	42,9	19,3	9,52	7,2
Standard Hynne	55,8	<1	<0.1	52,1	75,3	75,2	18,2	25	0,53	27,0	4,88	48,6	22,6	11,2	6,7
MINN standard	35,8	<1	<0.1	22,7	60,6	4,9	8,5	<10	0,50	17,1	2,97	26,4	15,7	9,03	5,2
71351	14,8	<1	<0.1	8,7	19,9	369	2,6	21	0,10	6,09	1,10	13,5	6,77	3,72	2,9
71352	14,9	<1	<0.1	8,6	23,4	460	2,5	24	<0.1	5,76	1,06	12,1	6,72	3,35	3,3
71353	14,3	<1	<0.1	8,2	24,0	392	2,4	21	<0.1	6,23	1,06	13,0	6,77	3,52	3,7
71354	14,3	<1	<0.1	8,2	22,3	368	2,7	21	<0.1	5,44	1,06	15,2	7,74	3,90	3,2
71355	15,5	<1	<0.1	8,5	22,6	313	2,8	19	0,12	5,69	1,10	16,6	8,23	4,18	2,9
71356	17,3	<1	<0.1	10,6	35,6	315	3,3	21	0,15	6,81	1,38	21,9	10,4	4,95	2,8
71357	28,2	<1	<0.1	17,5	49,3	237	5,6	24	0,27	12,2	2,31	25,2	12,0	5,83	4,4
71358	45,5	<1	0,42	23,1	59,8	135	7,4	24	0,36	15,1	3,00	32,0	14,9	7,24	3,5
71359	59,5	<1	0,98	26,1	66,3	96,8	8,6	24	0,43	16,9	3,48	37,3	17,2	8,22	5,2
71360	60,5	<1	0,56	29,8	70,2	77,4	9,7	26	0,49	19,6	3,95	39,9	18,4	9,01	7,2

Prøve ID	Si	Al	Fe	Ti	Mg	Ca	Na	K	Mn	P	Cu	Zn	Pb	Ni	Co
	[mg/kg]	[mg/kg]	[mg/kg]	[mg/kg]	[mg/kg]	[mg/kg]	[mg/kg]	[mg/kg]	[mg/kg]	[mg/kg]	[mg/kg]	[mg/kg]	[mg/kg]	[mg/kg]	[mg/kg]
71361	<250	14300	19000	768	8980	14000	5400	5510	209	551	15,4	48,5	6,5	21,6	8,73
71362	<250	13600	18300	776	8580	12900	5250	5240	198	516	13,7	45,5	5,9	21,0	8,25
71363	<250	12600	17200	668	8140	11300	5010	4710	195	519	12,6	42,2	5,5	18,7	8,18
71364	<250	12300	17800	651	8030	11500	4720	4650	329	497	13,3	41,6	5,0	20,4	7,96
71365	<250	13800	18800	725	8500	12800	5480	5260	209	539	14,6	47,2	5,6	22,6	8,72
71367	<250	15200	20700	787	9420	10100	5800	5740	230	555	16,0	51,9	6,3	25,0	10,1
71369	<250	2200	4950	230	1940	13600	3650	1180	109	183	<1	10,6	3,9	2,9	2,15
93768	<250	6500	14000	276	4510	26100	8400	3360	223	516	4,3	28,6	10,5	8,5	4,04
Standard Hynne	<250	20800	28200	1400	14900	20200	6620	7210	390	663	17,3	81,6	13,1	36,8	10,8
MINN standard	<250	18400	31700	2370	6670	1080	229	6110	221	404	9,3	65,1	12,0	18,8	10,6
71446	<250	11900	21900	472	7950	34200	11900	5140	503	717	7,4	50,7	16,6	15,7	6,98
71447	<250	12300	22300	500	7910	34200	10900	5310	659	737	7,9	53,5	18,4	17,9	7,74
71448	<250	12000	23900	420	7410	29500	8950	5250	373	696	7,0	50,2	16,2	16,3	7,30
71449	<250	12500	26800	386	7670	28900	8390	5750	328	714	6,7	52,0	16,8	18,5	6,85
71450	<250	12200	25300	371	7380	27500	7730	5660	209	666	6,5	50,5	15,8	16,5	6,54
71451	519	11800	24700	369	7610	28200	7120	5350	256	670	6,0	48,1	15,7	15,9	6,10
71452	562	11000	21400	390	6710	26300	6310	4930	190	684	5,6	44,1	12,0	14,4	5,81
71453	548	11200	21300	414	6810	29600	6680	5180	186	614	6,0	43,8	11,8	14,1	5,98
71454	560	11400	22200	393	6810	27700	6510	5180	239	649	5,7	43,5	11,3	15,4	5,99
71455	564	11300	21500	415	6860	27800	6210	5170	228	645	5,6	42,6	8,8	13,7	6,18
71456	576	11500	22200	400	6860	27200	6270	5320	213	641	5,6	42,4	7,9	15,2	6,23
71457	544	11000	21600	389	6680	25900	6120	5150	215	655	5,4	41,4	7,5	13,0	6,09
71458	591	11300	21700	407	6830	26500	6160	5290	196	637	5,6	42,3	7,6	14,1	6,21
71459	573	11500	22800	397	6980	26200	6500	5390	210	656	5,6	42,3	9,0	14,6	6,18
71460	568	11600	23600	394	6990	26200	6630	5520	205	617	5,7	43,4	8,6	12,7	6,34
71461	573	11600	22700	418	6990	27900	6570	5470	205	636	5,6	42,7	9,6	14,5	6,17
71462	578	11500	22700	388	6880	25900	6480	5320	190	622	5,6	43,3	8,9	15,7	6,27
71463	563	11600	22800	404	7080	26600	6610	5390	214	639	5,7	43,1	8,4	15,7	6,34
71464	571	11200	21700	409	6760	25600	6040	5190	205	637	5,3	41,0	7,9	14,4	6,06
71465	583	11700	23600	388	6940	24900	6680	5470	205	644	5,6	42,8	7,9	14,5	6,42
Standard Hynne	356	20400	27500	1370	14300	20200	6240	7090	387	617	16,2	76,2	13,7	33,1	10,0
MINN standard	414	18800	32600	2350	6880	1030	239	6260	250	404	9,7	68,2	14,8	17,6	11,1
98093	527	11600	16200	732	7970	49800	11800	4820	425	738	7,5	46,7	17,2	15,5	5,87
71553	530	11800	16300	751	7970	50500	11000	4830	492	738	7,4	47,0	18,2	15,9	6,00
71554	495	12200	16900	765	8140	51300	10900	5020	391	766	8,2	49,8	19,5	16,0	6,23

Prøve ID	V	Mo	Cd	Cr	Ba	Sr	Zr	B	Be	Li	Sc	Ce	La	Y	As
	[mg/kg]	[mg/kg]	[mg/kg]	[mg/kg]	[mg/kg]	[mg/kg]	[mg/kg]	[mg/kg]	[mg/kg]	[mg/kg]	[mg/kg]	[mg/kg]	[mg/kg]	[mg/kg]	[mg/kg]
71361	52,1	<1	0,39	30,7	72,9	66,3	10,4	26	0,49	20,0	4,18	42,4	19,6	9,47	8,0
71362	42,6	<1	0,22	29,3	73,6	57,2	9,5	24	0,44	19,0	3,87	38,8	17,7	8,73	8,0
71363	38,4	<1	0,15	27,9	64,6	47,2	9,4	23	0,43	17,5	3,65	37,1	17,1	8,67	6,7
71364	37,6	<1	0,18	27,1	62,4	49,5	9,2	23	0,43	17,7	3,59	38,6	17,4	8,51	7,4
71365	40,9	<1	0,16	29,4	84,6	66,8	9,6	25	0,47	19,2	3,94	42,0	18,9	9,18	7,4
71367	44,8	<1	0,21	32,1	82,2	43,2	10,6	26	0,55	21,4	4,37	43,4	20,2	10,1	7,6
71369	11,0	<1	<0.1	5,2	14,1	72,1	<2	<10	<0.1	3,24	0,61	11,7	5,27	2,25	3,2
93768	20,9	<1	<0.1	17,0	101	105	4,1	39	0,38	9,22	2,13	21,2	9,77	5,89	5,1
Standard Hynne	58,7	<1	<0.1	54,1	81,0	72,5	18,9	24	0,55	27,5	5,04	51,3	23,1	11,3	6,9
MINN standard	36,2	<1	<0.1	22,3	59,4	5,0	8,3	<10	0,53	17,0	2,94	25,2	15,5	8,64	4,0
71446	35,2	<1	<0.1	24,3	109	147	6,0	49	0,59	19,2	3,70	35,1	15,7	8,86	7,2
71447	35,9	<1	<0.1	25,2	106	147	6,3	48	0,60	19,8	3,85	36,7	16,6	9,11	8,1
71448	34,7	<1	<0.1	24,9	88,3	124	6,2	50	0,58	20,0	3,80	35,2	15,5	8,63	8,1
71449	36,3	<1	<0.1	26,1	91,4	121	6,5	55	0,68	22,1	4,06	35,9	15,9	8,82	8,5
71450	35,1	<1	<0.1	25,0	77,7	112	6,0	53	0,64	21,7	3,93	35,4	15,9	8,65	7,0
71451	36,2	<1	<0.1	24,4	89,1	113	5,5	52	0,65	20,8	4,17	35,8	15,5	9,08	7,4
71452	32,7	<1	<0.1	23,3	89,4	106	5,1	47	0,59	19,4	3,53	35,9	15,4	8,85	5,6
71453	33,5	<1	0,13	23,1	107	118	5,5	48	0,60	19,5	3,58	37,2	16,4	8,93	5,5
71454	33,6	<1	0,13	23,4	114	112	5,5	48	0,62	20,3	3,70	37,6	16,6	9,21	6,1
71455	33,0	<1	<0.1	23,5	100	113	5,8	47	0,57	19,7	3,65	36,7	16,4	9,25	6,4
71456	32,9	<1	0,11	23,7	109	109	5,6	48	0,63	20,4	3,68	37,2	16,0	8,86	6,0
71457	32,7	<1	<0.1	23,1	97,1	105	5,7	48	0,59	19,4	3,68	35,1	15,4	8,92	5,4
71458	32,5	<1	<0.1	23,5	126	107	5,7	48	0,60	19,9	3,67	35,7	15,7	9,01	6,0
71459	33,1	<1	<0.1	23,8	91,2	106	5,7	48	0,61	20,6	3,77	35,2	15,4	9,27	6,6
71460	33,3	<1	<0.1	23,9	98,4	107	5,7	50	0,65	20,9	3,78	36,6	15,6	8,86	6,8
71461	33,0	<1	<0.1	23,9	126	112	5,7	48	0,61	20,5	3,70	36,4	16,0	8,99	6,8
71462	33,0	<1	<0.1	23,9	119	107	5,6	47	0,62	20,4	3,76	37,1	15,9	9,00	6,5
71463	33,8	<1	0,11	24,0	91,7	107	5,7	47	0,62	21,0	3,84	38,1	16,5	9,16	6,7
71464	32,1	<1	<0.1	22,7	110	104	5,7	45	0,60	19,9	3,61	36,5	15,8	9,05	7,0
71465	33,6	<1	<0.1	24,0	91,3	101	5,7	47	0,64	21,1	3,77	38,3	16,5	9,23	7,2
Standard Hynne	55,6	<1	<0.1	50,9	77,4	96,0	17,7	25	0,56	26,7	4,82	49,0	21,8	11,0	5,9
MINN standard	36,5	<1	<0.1	22,8	62,6	5,3	8,8	<10	0,58	17,2	2,99	28,7	16,1	9,07	5,1
98093	31,6	<1	<0.1	22,9	76,4	197	6,0	39	0,50	17,3	3,39	39,3	17,7	10,1	5,6
71553	31,4	<1	<0.1	22,8	72,8	199	6,0	38	0,52	17,4	3,42	39,7	17,8	10,3	5,4
71554	33,7	<1	<0.1	24,2	78,5	203	6,2	40	0,53	18,4	3,56	40,7	18,0	10,5	6,7

Prøve ID	Si	Al	Fe	Ti	Mg	Ca	Na	K	Mn	P	Cu	Zn	Pb	Ni	Co
	[mg/kg]	[mg/kg]	[mg/kg]	[mg/kg]	[mg/kg]	[mg/kg]	[mg/kg]	[mg/kg]	[mg/kg]	[mg/kg]	[mg/kg]	[mg/kg]	[mg/kg]	[mg/kg]	[mg/kg]
71555	517	11900	16700	748	7890	50600	10200	5000	226	743	8,3	50,8	18,8	16,1	5,62
71556	488	11700	15800	743	7650	50500	9440	4920	195	711	7,5	47,2	16,9	14,7	5,19
71557	474	11900	16000	775	7860	52400	8990	5010	206	732	8,6	48,4	18,8	12,9	5,43
71558	529	11200	15100	729	7360	48600	8350	4720	183	711	7,2	45,4	17,2	14,4	4,93
71559	506	11200	15000	736	7360	49000	8250	4760	183	723	7,1	45,1	15,8	15,5	5,01
71560	509	11400	15500	748	7510	50100	8530	4870	188	711	7,2	45,1	15,3	14,6	5,20
71561	505	11200	15000	733	7320	49000	8590	4770	185	708	7,0	44,0	15,0	14,4	5,03
71562	532	11300	15300	738	7400	50000	8450	4840	186	714	6,9	43,2	14,4	14,4	5,02
71563	429	11700	15700	772	7690	50800	8470	5010	192	719	7,3	42,9	13,4	16,0	5,26
71564	468	11600	15800	765	7530	50000	7990	4930	193	722	6,9	42,9	12,2	16,2	5,43
71565	393	11000	15300	735	7250	48700	7760	4720	186	704	6,4	39,9	11,3	14,6	5,24
71566	350	10800	14800	733	7080	48200	7470	4610	189	721	6,3	38,9	9,7	12,7	5,11
71567	413	10200	14300	693	6840	46900	7210	4390	183	718	5,9	37,5	9,2	12,6	4,92
71568	389	10600	14500	725	6940	46800	7190	4510	186	711	5,8	37,2	8,6	13,0	4,77
71569	364	10700	14600	729	7040	46200	7640	4580	185	713	6,0	38,3	9,2	13,3	4,85
71570	406	10300	14300	707	6790	45200	7270	4350	182	715	5,6	36,5	9,0	13,4	4,62
71571	404	9920	13900	683	6590	43700	7070	4190	178	719	5,5	35,7	7,5	13,0	4,59
71572	397	9770	13800	671	6510	43500	7170	4190	175	693	5,4	35,1	7,7	12,2	4,70
71573	361	10000	14100	698	6660	44200	7020	4320	176	686	5,4	35,4	7,5	9,4	4,54
71574	373	9920	13900	683	6560	43700	7290	4250	175	696	5,4	35,5	7,4	11,7	4,59
71575	378	10100	14000	689	6660	43800	7280	4330	177	701	5,6	36,0	8,2	13,3	4,64
71576	372	9950	14000	682	6680	43800	7220	4290	175	684	5,4	35,2	8,0	12,6	4,51
71577	422	10000	14100	689	6680	42200	6840	4300	183	705	5,5	36,1	7,1	13,0	4,66
71578	394	9800	14000	679	6580	41100	6520	4240	179	714	5,4	35,8	7,5	11,5	4,65
71579	411	9950	13900	692	6590	41000	6430	4280	180	719	5,3	35,3	7,6	11,9	4,56
71580	380	9990	14300	690	6630	40900	6280	4300	178	693	5,3	35,6	6,7	12,5	4,71
71581	396	9890	14300	681	6550	39900	6340	4250	177	682	5,2	35,1	7,1	12,4	4,78
71582	415	9840	14200	674	6580	39500	6440	4240	181	710	5,3	35,7	7,1	12,7	4,93
71583	371	10000	14400	691	6650	38300	6300	4300	182	698	5,2	35,7	7,6	12,7	4,87
71584	386	9910	14200	681	6550	37100	6190	4240	179	697	5,1	35,0	7,3	11,9	4,81
71585	400	9200	13500	617	6110	35000	5860	3840	172	680	4,8	32,2	5,0	12,9	4,71
71586	353	9240	13400	619	6140	34600	5660	3850	179	664	4,9	32,5	5,6	12,8	4,77
Standard Hynne	<250	20800	28600	1350	14500	19100	6460	6950	363	735	16,2	74,5	11,5	35,5	10,9
MINN standard	415	18500	32300	2320	6570	1120	<200	5920	226	431	9,5	62,1	13,9	16,9	10,6
98094	<250	14100	20300	938	9060	85200	25900	4800	1000	618	17,0	44,1	17,0	22,8	8,68

Prøve ID	V	Mo	Cd	Cr	Ba	Sr	Zr	B	Be	Li	Sc	Ce	La	Y	As
	[mg/kg]	[mg/kg]	[mg/kg]	[mg/kg]	[mg/kg]	[mg/kg]	[mg/kg]	[mg/kg]	[mg/kg]	[mg/kg]	[mg/kg]	[mg/kg]	[mg/kg]	[mg/kg]	[mg/kg]
71555	34,5	<1	0,11	24,1	80,0	200	6,4	39	0,54	17,9	3,57	39,9	17,8	10,4	5,7
71556	31,3	<1	<0,1	23,0	72,1	196	6,2	38	0,53	17,7	3,42	39,2	17,8	10,3	4,5
71557	32,4	<1	<0,1	23,8	73,8	200	6,3	38	0,52	17,8	3,50	40,5	17,9	10,6	4,0
71558	30,5	<1	<0,1	22,3	68,8	184	6,1	35	0,53	16,8	3,37	39,2	17,6	10,3	4,8
71559	30,5	<1	<0,1	22,3	70,4	185	6,1	36	0,48	17,1	3,36	39,8	17,8	10,5	3,8
71560	31,0	<1	<0,1	23,0	65,1	189	6,2	36	0,51	17,4	3,38	39,6	17,5	10,4	4,3
71561	30,5	<1	<0,1	22,4	66,6	186	6,1	36	0,51	17,2	3,31	39,3	17,5	10,3	4,6
71562	30,6	<1	<0,1	22,4	68,2	189	6,1	35	0,51	17,1	3,32	39,3	17,8	10,4	3,7
71563	31,6	<1	<0,1	22,9	68,0	192	6,3	36	0,49	17,8	3,41	39,6	17,6	10,5	4,4
71564	31,7	<1	<0,1	23,1	69,4	189	6,6	36	0,53	17,8	3,48	40,3	18,4	10,7	4,5
71565	29,7	<1	0,15	22,1	64,3	182	6,3	34	0,49	16,9	3,27	38,9	17,3	10,3	5,1
71566	30,0	<1	0,16	21,8	66,1	180	6,4	34	0,49	16,7	3,33	40,3	18,1	10,7	5,5
71567	27,8	<1	0,13	21,2	63,1	173	6,0	32	0,47	15,8	3,12	38,7	17,3	10,3	4,1
71568	28,1	<1	<0,1	21,2	65,1	173	6,2	32	0,48	16,3	3,16	38,6	17,4	10,3	3,6
71569	28,9	<1	0,12	21,5	61,0	172	6,3	33	0,47	16,5	3,24	39,7	17,5	10,4	4,0
71570	27,5	<1	<0,1	20,7	60,7	168	6,1	32	0,46	15,7	3,10	38,3	17,0	10,2	4,4
71571	26,7	<1	<0,1	20,3	58,6	161	6,0	31	0,44	15,3	3,06	37,8	16,5	10,2	3,5
71572	25,9	<1	<0,1	20,1	59,5	160	5,8	31	0,42	15,1	2,97	37,5	16,7	9,88	4,4
71573	26,4	<1	<0,1	20,2	58,0	161	6,0	31	0,45	15,6	3,02	37,3	16,6	9,82	4,0
71574	26,3	<1	0,19	20,2	59,4	162	6,0	31	0,45	15,3	3,02	37,0	16,6	10,0	4,3
71575	26,8	<1	0,20	20,5	60,4	162	6,0	31	0,45	15,4	3,08	38,3	16,5	10,1	4,0
71576	26,1	<1	<0,1	20,1	58,8	161	5,9	30	0,44	15,4	3,04	38,5	16,9	9,85	4,3
71577	26,4	<1	<0,1	20,5	57,2	155	6,1	30	0,47	15,4	3,06	38,6	16,7	10,0	4,4
71578	26,2	<1	<0,1	20,5	57,7	151	6,0	30	0,43	15,3	3,03	38,7	16,9	10,1	3,7
71579	26,1	<1	<0,1	20,1	61,2	151	6,1	29	0,46	15,4	3,04	37,9	17,0	10,3	4,0
71580	26,6	<1	<0,1	20,3	59,5	151	6,1	29	0,45	15,5	3,06	37,7	16,8	10,1	4,3
71581	26,1	<1	<0,1	20,1	60,2	148	6,2	29	0,47	15,6	3,06	38,0	16,7	10,1	5,0
71582	26,1	<1	<0,1	20,2	59,6	147	6,0	29	0,46	15,5	3,02	38,2	16,7	10,1	4,8
71583	26,5	<1	<0,1	20,2	60,7	143	6,3	29	0,48	15,6	3,07	37,5	16,9	10,0	4,8
71584	25,9	<1	<0,1	19,9	59,7	139	6,2	28	0,44	15,6	3,02	37,9	16,8	10,0	4,2
71585	23,4	<1	<0,1	18,6	55,0	125	5,8	26	0,30	14,7	2,82	35,2	16,3	9,63	3,9
71586	24,0	<1	<0,1	18,6	60,1	123	5,8	26	0,32	15,0	2,84	35,4	16,3	9,52	3,8
Standard Hynne	55,6	<1	<0,1	52,0	78,7	74,7	17,7	25	0,38	27,8	4,84	49,0	22,7	11,3	6,5
MINN standard	35,0	<1	<0,1	22,1	59,9	5,0	8,4	<10	0,23	17,2	2,91	25,5	16,3	9,27	4,3
98094	56,9	<1	0,14	19,1	223	448	9,3	48	0,39	17,7	3,81	22,9	11,6	8,53	11,5

Prøve ID	Si	Al	Fe	Ti	Mg	Ca	Na	K	Mn	P	Cu	Zn	Pb	Ni	Co
	[mg/kg]	[mg/kg]	[mg/kg]	[mg/kg]	[mg/kg]	[mg/kg]	[mg/kg]	[mg/kg]	[mg/kg]	[mg/kg]	[mg/kg]	[mg/kg]	[mg/kg]	[mg/kg]	[mg/kg]
98095	<250	15000	29500	987	9330	88500	24800	5010	1010	655	20,7	48,3	18,1	25,6	8,99
98096	<250	17500	24600	1160	10000	102000	23000	5630	1210	614	20,0	52,3	20,3	26,5	10,1
93629	<250	16500	23400	1090	9330	98100	21300	5240	1150	557	18,4	48,6	16,7	26,0	9,57
93630	<250	17900	25100	1170	9790	99200	19800	5630	1270	620	19,8	52,2	17,4	29,4	10,5
93631	<250	19700	27600	1270	10500	109000	20700	6150	1370	653	21,5	56,1	17,4	30,9	11,1
93632	<250	20400	27200	1300	10900	111000	21100	6330	1430	652	22,1	58,6	17,0	32,1	11,8
93633	<250	19100	25800	1220	10100	101000	19200	5960	1360	623	20,8	55,2	13,7	28,6	11,2
93634	<250	18700	26300	1190	9970	98300	18500	5850	1330	634	20,0	52,8	12,7	30,0	11,0
93635	<250	18900	31800	1200	10200	94200	18400	5970	1740	661	20,5	54,6	12,3	38,4	11,0
93636	<250	17700	25200	1130	9610	86500	18000	5610	4680	590	22,2	55,8	10,2	55,4	10,6
93637	<250	18100	27500	1140	10000	89200	18800	5750	6480	605	21,5	53,8	11,4	38,3	10,6
93638	<250	18900	25900	1170	10300	94000	20400	6040	3020	589	20,2	53,8	11,2	32,5	11,6
93639	<250	20900	28500	1300	11200	101000	20500	6600	2360	611	21,9	57,1	11,4	31,6	12,4
93640	<250	19400	26200	1220	10300	93500	18800	6140	2090	591	20,0	54,6	9,5	29,8	12,3
93641	<250	19900	26300	1260	10500	98800	19600	6260	2400	615	21,4	56,0	10,7	32,8	14,9
93642	<250	19800	26700	1260	10500	101000	19500	6240	2530	605	21,2	55,5	9,6	31,9	16,2
93643	<250	20200	26800	1280	10600	104000	19500	6330	2860	623	21,8	57,4	9,3	33,2	19,5
93644	<250	20700	27800	1290	10800	109000	18900	6400	2440	648	21,8	57,3	11,0	33,1	19,8
93645	<250	20800	27800	1300	10900	109000	18800	6510	1630	686	22,3	58,1	10,5	30,3	16,4
93646	<250	20800	28600	1290	10900	109000	18400	6600	596	702	20,0	58,7	10,2	27,6	9,97
93647	<250	20700	29200	1280	11100	109000	18400	7060	501	720	18,1	61,3	10,0	27,2	9,85
93648	<250	19700	28500	1220	10600	97600	17000	6840	435	651	17,1	57,4	9,4	26,9	9,54
93649	<250	19900	29400	1200	10700	93200	16700	7020	427	607	19,9	60,9	11,1	27,3	9,92
93650	<250	21200	28000	1250	11300	92200	16500	7480	418	577	19,3	63,0	11,4	29,8	10,3
Standard Hynne	<250	21500	29300	1420	14900	18900	6760	7310	375	648	16,3	78,1	12,0	37,0	11,1
MINN standard	<250	18200	31300	2350	6530	1060	208	5960	217	434	8,0	64,3	12,3	18,9	10,8
93709	254	7240	13300	423	5240	28600	8320	2970	470	564	6,7	29,8	10,9	11,0	4,42
98051	<250	14700	19900	942	9680	111000	26500	5150	1140	574	16,9	47,0	19,0	24,7	8,54
98052	<250	16400	21600	1040	10200	117000	26300	5600	1290	612	19,1	53,0	22,4	26,2	9,85
98053	<250	17100	22900	1080	10000	116000	21500	5600	1340	595	18,6	57,1	19,5	30,5	9,90
98054	<250	18200	23500	1140	10500	114000	22100	6000	1420	627	19,7	56,5	18,7	31,4	10,7
98055	<250	18800	24600	1160	10700	114000	20300	6120	1440	628	20,0	57,7	17,8	31,7	11,0
98056	<250	18900	24600	1160	10500	111000	19300	6130	1440	623	19,7	56,4	17,6	30,4	10,8
98057	<250	19600	25200	1190	11000	110000	19900	6390	1520	629	20,6	59,2	15,7	35,2	11,3
98058	<250	20000	25700	1210	11000	109000	19100	6470	1620	637	21,1	60,5	15,2	34,4	11,7

Prøve ID	V	Mo	Cd	Cr	Ba	Sr	Zr	B	Be	Li	Sc	Ce	La	Y	As
	[mg/kg]	[mg/kg]	[mg/kg]	[mg/kg]	[mg/kg]	[mg/kg]	[mg/kg]	[mg/kg]	[mg/kg]	[mg/kg]	[mg/kg]	[mg/kg]	[mg/kg]	[mg/kg]	[mg/kg]
98095	78,1	1,5	0,18	20,4	230	469	10,6	53	0,41	18,6	3,98	22,2	11,9	8,41	20,0
98096	64,0	<1	0,13	22,5	275	544	11,4	53	0,47	21,4	4,58	25,5	13,4	9,32	11,7
93629	60,4	<1	0,13	21,2	262	518	10,9	49	0,44	20,1	4,35	25,9	13,0	8,98	10,7
93630	64,2	<1	0,13	23,0	284	527	11,9	51	0,49	21,8	4,70	26,5	13,7	9,65	11,6
93631	70,4	<1	<0,1	24,7	314	584	12,7	54	0,55	24,1	5,07	27,7	14,7	10,3	12,2
93632	67,9	<1	<0,1	25,7	333	592	13,0	55	0,55	25,1	5,30	30,0	15,6	10,8	10,6
93633	64,1	<1	<0,1	24,7	314	540	12,4	52	0,54	23,7	5,05	29,0	15,0	10,2	11,8
93634	64,0	<1	<0,1	24,4	306	519	12,5	49	0,54	23,0	4,95	29,5	14,9	10,3	12,0
93635	70,7	<1	<0,1	24,4	312	504	13,1	54	0,52	23,6	5,03	28,6	15,1	10,3	14,5
93636	68,9	3,8	0,15	24,2	300	464	12,0	48	0,52	27,3	4,77	27,5	14,3	9,78	12,8
93637	79,7	5,8	0,16	24,7	323	479	12,2	50	0,52	25,7	4,85	27,0	14,5	9,93	14,7
93638	63,8	<1	<0,1	25,5	332	502	12,4	50	0,54	23,7	5,00	28,4	15,0	10,1	12,4
93639	68,7	<1	<0,1	26,6	373	539	13,4	52	0,58	25,6	5,34	30,1	15,9	10,8	13,1
93640	63,2	<1	<0,1	25,1	350	503	12,7	48	0,54	23,8	5,05	29,7	15,2	10,2	11,7
93641	65,1	<1	<0,1	25,8	364	529	13,0	51	0,55	24,4	5,22	29,8	15,5	10,6	12,1
93642	64,3	<1	<0,1	25,7	364	544	13,2	49	0,55	24,0	5,19	29,8	15,5	10,5	12,4
93643	64,1	<1	<0,1	26,3	374	560	13,3	50	0,57	24,4	5,25	29,3	15,6	10,6	12,2
93644	64,5	<1	<0,1	26,6	375	578	13,6	50	0,58	25,2	5,35	30,8	16,3	11,0	11,8
93645	63,0	<1	<0,1	27,1	367	576	13,7	51	0,55	25,3	5,35	30,6	16,0	10,9	12,8
93646	64,3	<1	<0,1	26,8	355	570	14,0	51	0,58	25,9	5,38	30,6	16,2	11,0	14,7
93647	64,6	<1	<0,1	27,1	353	572	14,2	54	0,60	25,9	5,53	32,0	16,2	10,9	14,9
93648	61,5	<1	<0,1	25,8	334	510	13,6	51	0,57	25,2	5,20	31,6	15,8	10,5	14,2
93649	69,0	<1	<0,1	26,9	341	487	14,3	54	0,62	26,2	5,44	32,2	16,1	10,7	12,2
93650	67,5	<1	<0,1	28,0	369	483	14,6	52	0,65	28,0	5,65	34,3	16,9	11,1	10,5
Standard Hynne	58,0	<1	<0,1	52,8	83,7	73,6	18,5	26	0,41	28,2	5,11	50,0	23,1	11,3	6,8
MINN standard	35,5	<1	<0,1	22,2	61,0	5,1	8,7	<10	0,25	16,4	2,95	24,7	15,9	8,87	4,5
93709	30,1	<1	<0,1	15,6	82,1	134	5,6	28	0,29	9,77	2,22	24,5	10,6	6,69	7,1
98051	56,1	<1	0,12	19,6	225	524	9,0	50	0,41	18,4	3,96	24,1	12,2	8,64	10,1
98052	60,6	<1	0,13	22,0	243	568	10,1	54	0,48	20,2	4,42	26,2	13,4	9,43	10,6
98053	60,5	<1	0,10	22,2	257	571	10,6	51	0,50	21,4	4,58	27,5	13,8	9,67	10,0
98054	63,2	<1	0,11	24,2	268	564	11,5	54	0,53	22,8	4,89	29,1	14,8	10,3	10,4
98055	63,8	<1	<0,1	24,8	285	567	11,8	54	0,54	23,7	5,03	29,8	15,1	10,4	10,3
98056	64,1	<1	<0,1	24,6	282	552	12,0	52	0,56	23,6	5,10	30,8	15,4	10,6	9,8
98057	65,4	<1	<0,1	25,3	300	550	12,4	54	0,60	24,2	5,19	31,1	15,9	10,8	11,0
98058	66,6	<1	0,12	26,4	310	546	12,8	55	0,60	25,1	5,39	32,2	16,2	11,0	10,8

Prøve ID	Si [mg/kg]	Al [mg/kg]	Fe [mg/kg]	Ti [mg/kg]	Mg [mg/kg]	Ca [mg/kg]	Na [mg/kg]	K [mg/kg]	Mn [mg/kg]	P [mg/kg]	Cu [mg/kg]	Zn [mg/kg]	Pb [mg/kg]	Ni [mg/kg]	Co [mg/kg]
98059	<250	21200	27000	1260	11300	108000	18500	6800	1560	649	21,4	62,2	13,5	33,7	12,1
98060	<250	21400	27300	1270	11600	108000	18200	6870	1630	668	22,3	65,2	13,7	35,7	12,8
98061	<250	20600	26500	1230	11200	102000	17900	6680	1630	628	21,1	61,5	11,7	36,5	12,0
98062	<250	20500	26200	1230	11200	98900	17600	6610	1600	634	20,8	62,1	11,3	33,0	12,2
98063	<250	20600	27300	1230	11400	102000	17700	6630	1770	626	20,8	61,4	10,3	37,2	11,9
98064	<250	20500	26700	1210	11200	94100	16000	6610	2120	612	21,1	61,5	10,7	39,5	12,2
98065	<250	19900	26400	1160	10900	88200	15600	6410	2080	602	20,2	61,6	11,0	36,1	12,0
98066	<250	21100	27400	1200	11500	84500	15800	6840	2310	616	21,3	64,8	11,0	37,1	12,4
98067	<250	21400	28200	1200	11800	78800	16900	6940	3270	618	22,1	66,7	10,7	41,9	13,0
98068	<250	22100	29000	1220	12300	75800	17600	7250	3730	631	23,5	70,0	10,7	43,3	13,0
98069	<250	23200	29900	1250	12600	70600	17200	7580	4250	648	23,4	70,8	11,2	46,0	14,2
98070	<250	22900	29300	1220	12500	65800	17400	7570	5370	633	24,5	70,3	11,0	47,5	13,7
98071	<250	22500	28700	1190	12400	61900	16200	7450	5540	626	23,6	69,7	11,5	48,9	13,5
98072	<250	22600	29200	1190	12400	65300	16500	7500	5200	618	23,4	69,4	10,7	44,9	13,2
98073	<250	22000	28400	1170	12200	63600	16100	7300	5350	616	22,4	65,7	10,8	46,3	15,4
98074	<250	22000	28500	1180	12200	68900	16300	7220	4970	625	22,7	68,9	11,7	51,6	17,5
98075	<250	21800	28400	1170	11900	70100	16400	7190	4920	625	21,6	66,0	11,2	47,0	20,8
98076	<250	21200	30100	1150	11900	71500	15700	7150	5460	681	19,5	63,3	9,9	48,4	29,1
98077	<250	21100	30400	1150	11700	78500	16200	7150	2500	662	18,6	63,9	10,1	32,9	17,3
98078	<250	21100	32300	1160	12100	81300	17900	7380	2210	851	17,8	63,5	10,1	33,1	17,3
98079	<250	21500	30000	1200	12100	80500	16700	7340	3040	727	20,2	65,4	11,9	41,8	19,8
98080	<250	21300	29600	1180	12000	83700	16500	7410	2230	638	21,8	64,6	9,4	37,6	19,1
98081	<250	21600	31700	1200	12300	84100	16300	7800	1270	852	23,7	66,4	10,5	34,5	15,3
98082	<250	20800	27300	1160	11500	81000	16100	7340	745	695	26,3	62,9	8,8	30,0	11,4
98083	<250	21600	29700	1190	12000	82200	16400	7730	384	859	20,3	64,6	11,5	32,5	9,91
98084	<250	22200	33000	1200	12400	73100	16200	8070	408	1040	18,5	66,5	11,5	34,9	10,5
98085	<250	22100	29100	1210	12200	76400	16300	7960	346	741	24,2	66,3	10,9	32,1	10,1
98086	<250	22600	26800	1240	12300	73400	16200	8010	336	528	31,7	69,3	10,9	32,5	10,3
98087	<250	21500	25800	1190	11800	73200	16000	7670	335	508	23,6	67,0	9,8	32,1	10,2
98088	<250	22500	30300	1200	12700	62800	16100	8170	352	547	19,4	68,7	10,8	32,4	11,5
98089	<250	22200	30200	1190	12500	65300	16100	8220	381	550	23,9	69,1	11,6	34,7	12,1
65490	<250	21300	26100	1190	11900	72800	16000	7650	387	523	24,5	69,4	11,6	35,2	11,5
65491	<250	22800	28600	1250	12800	70200	17100	8270	406	523	24,2	70,7	11,4	35,8	12,1
65492	<250	23400	30100	1250	13000	66700	16500	8460	416	534	21,1	71,3	12,8	37,7	12,9
Standard Hynne	<250	21200	28400	1360	14600	19800	6430	7170	368	623	15,7	162	13,2	34,8	10,7

Prøve ID	V	Mo	Cd	Cr	Ba	Sr	Zr	B	Be	Li	Sc	Ce	La	Y	As
	[mg/kg]	[mg/kg]	[mg/kg]	[mg/kg]	[mg/kg]	[mg/kg]	[mg/kg]	[mg/kg]	[mg/kg]	[mg/kg]	[mg/kg]	[mg/kg]	[mg/kg]	[mg/kg]	[mg/kg]
98059	67,7	<1	<0.1	27,6	330	549	13,5	56	0,65	26,3	5,62	33,0	16,8	11,4	10,6
98060	70,0	<1	<0.1	28,4	342	550	14,0	57	0,65	26,9	5,77	33,9	17,2	11,8	11,7
98061	64,9	<1	<0.1	27,2	336	518	13,3	53	0,60	25,8	5,45	33,2	16,6	11,2	11,2
98062	64,6	<1	<0.1	27,4	343	500	13,4	53	0,62	25,7	5,47	33,7	16,7	11,4	11,6
98063	64,2	<1	<0.1	27,0	346	512	13,5	51	0,62	26,2	5,49	33,4	17,3	11,7	11,4
98064	64,1	<1	<0.1	27,4	343	476	13,7	50	0,61	26,7	5,46	34,7	17,2	11,4	11,5
98065	62,5	<1	<0.1	27,1	331	443	13,6	49	0,63	25,9	5,35	34,6	17,1	11,3	12,0
98066	65,0	<1	<0.1	28,8	345	430	14,4	51	0,65	27,8	5,69	36,6	18,2	11,8	12,6
98067	67,4	1,3	<0.1	29,7	343	406	14,5	51	0,69	28,7	5,78	37,2	18,5	11,8	13,5
98068	69,2	1,6	<0.1	30,5	354	394	15,0	53	0,69	31,1	5,97	38,0	19,1	12,1	13,9
98069	70,2	2,0	<0.1	32,2	348	367	15,4	56	0,73	32,8	6,12	40,3	19,7	12,1	15,7
98070	70,8	3,1	<0.1	31,8	333	344	15,4	55	0,72	32,7	6,07	39,2	19,6	12,1	15,8
98071	69,5	1,6	<0.1	32,0	320	320	15,4	53	0,72	30,2	6,03	40,1	19,9	12,0	15,7
98072	68,7	<1	<0.1	32,0	313	334	15,4	54	0,74	30,4	6,04	40,9	19,7	12,1	14,1
98073	65,2	<1	<0.1	31,6	313	325	14,8	50	0,67	29,4	5,74	40,3	19,5	11,6	14,8
98074	66,7	<1	<0.1	31,6	318	352	15,4	53	0,74	29,2	5,97	40,1	19,2	12,0	14,4
98075	64,1	<1	<0.1	31,2	307	357	15,0	52	0,68	28,9	5,83	39,4	19,2	11,8	14,7
98076	62,7	<1	<0.1	30,6	302	362	14,5	53	0,65	28,1	5,56	38,3	18,5	11,3	19,4
98077	60,7	<1	<0.1	29,8	297	389	14,8	55	0,64	27,3	5,63	36,4	17,8	11,3	18,2
98078	60,3	<1	<0.1	29,4	297	406	14,8	59	0,66	27,9	5,62	36,0	17,4	11,2	23,0
98079	61,6	<1	<0.1	29,5	314	400	14,6	56	0,66	27,8	5,64	36,0	17,3	11,1	16,9
98080	62,4	<1	<0.1	29,9	303	406	14,6	57	0,64	28,1	5,54	35,6	17,2	10,9	12,9
98081	69,0	<1	<0.1	31,3	307	415	15,5	65	0,69	29,2	5,72	35,9	17,7	11,2	16,6
98082	71,9	<1	0,15	28,2	291	387	14,2	55	0,63	28,2	5,47	34,5	17,0	10,7	12,2
98083	73,6	<1	0,17	29,2	292	395	15,0	60	0,65	29,4	5,66	36,5	17,7	11,0	16,5
98084	70,5	<1	<0.1	30,2	287	366	15,7	67	0,69	30,1	5,86	37,0	17,9	11,2	23,7
98085	71,4	<1	0,14	30,2	281	368	15,5	61	0,70	30,4	5,80	37,0	18,0	11,2	13,0
98086	71,7	<1	0,27	30,4	282	343	15,8	55	0,72	31,6	5,95	37,9	18,1	11,3	7,3
98087	69,3	<1	0,19	29,0	271	337	15,3	54	0,67	30,1	5,70	37,1	17,7	11,1	6,1
98088	65,5	<1	<0.1	30,7	270	293	16,3	58	0,72	31,7	5,99	39,4	18,5	11,4	7,8
98089	69,1	<1	<0.1	30,4	271	304	16,1	59	0,71	31,4	5,94	40,2	18,5	11,4	7,4
65490	67,9	<1	<0.1	29,3	275	335	15,8	56	0,68	30,1	5,88	38,7	17,6	11,4	6,9
65491	67,3	<1	<0.1	30,3	288	329	16,3	58	0,71	32,5	6,09	39,3	18,2	11,4	6,5
65492	63,5	<1	<0.1	31,1	283	317	16,4	60	0,73	33,0	6,12	38,8	18,5	11,4	7,0
Standard Hynne	55,4	<1	<0.1	51,3	79,6	79,9	17,7	25	0,39	26,8	4,93	49,5	22,5	11,0	6,0

Prøve ID	Si	Al	Fe	Ti	Mg	Ca	Na	K	Mn	P	Cu	Zn	Pb	Ni	Co
	[mg/kg]	[mg/kg]	[mg/kg]	[mg/kg]	[mg/kg]	[mg/kg]	[mg/kg]	[mg/kg]	[mg/kg]	[mg/kg]	[mg/kg]	[mg/kg]	[mg/kg]	[mg/kg]	[mg/kg]
MINN standard	349	18000	32500	2260	6460	997	<200	5720	219	401	8,5	62,9	12,7	16,8	11,3
65569	308	10300	16000	576	6710	50400	13600	3700	703	581	10,3	37,6	16,2	17,2	6,29
65771	<250	16600	22500	1030	10400	104000	26600	5530	1320	597	18,3	51,6	20,4	27,4	9,97
65678	<250	18500	24800	1030	12600	92600	36300	6430	1540	681	18,9	58,9	26,4	31,4	11,4
65679	<250	18300	24800	1020	11800	93600	29500	6130	1740	688	19,3	59,4	26,7	31,6	11,4
65680	<250	18300	24700	1020	12000	93100	31400	6210	1570	685	19,4	60,6	26,3	31,2	11,4
65681	<250	19600	26300	1080	12000	96000	26800	6360	1740	702	20,0	63,0	27,9	32,4	11,9
65682	<250	19800	27000	1090	11700	98700	23800	6340	1770	701	19,8	63,0	27,5	33,6	11,6
65683	<250	20000	27000	1100	11700	95500	24200	6360	2210	738	20,9	66,1	28,2	36,8	12,7
65684	<250	20300	27500	1110	11800	94800	22500	6460	2980	732	20,4	64,5	27,8	41,1	13,0
65685	<250	21200	28800	1150	12000	94100	21300	6670	3860	781	19,8	64,4	23,8	44,6	18,4
65686	<250	19900	31000	1090	11800	97100	21700	6490	2880	981	19,3	62,5	22,4	35,3	23,0
65687	<250	19100	32700	1050	11500	90700	21200	6560	520	1180	18,4	60,3	21,0	25,5	9,82
65688	<250	19400	30500	1070	11600	97200	21900	6790	312	746	19,3	56,2	17,9	25,2	7,95
65689	<250	19500	27600	1080	11600	94600	22300	6870	247	606	20,6	57,4	16,4	25,2	7,75
65690	<250	20300	27500	1110	11800	94700	21400	7110	230	571	21,7	59,0	15,4	24,9	8,00
65691	<250	20100	26000	1090	11500	91300	20800	6970	237	567	22,1	60,3	14,9	26,9	8,00
65692	<250	20900	25300	1120	11700	93400	21000	7190	230	547	22,0	61,1	14,7	27,2	8,14
65694	<250	21100	26800	1120	12200	94500	22400	7320	252	551	20,2	62,2	14,3	27,9	8,72
65696	<250	21900	27200	1150	12400	99100	22000	7760	256	570	21,9	64,3	14,7	28,2	9,20
65698	<250	20800	25200	1100	11900	100000	20100	7330	235	568	22,7	63,5	13,7	30,4	8,82
65700	<250	21600	26400	1120	12200	103000	20700	7620	235	565	23,8	64,2	14,3	30,5	8,88
65702	<250	22800	27400	1160	12600	100000	21300	8020	249	576	23,3	67,5	13,5	31,5	9,66
65704	<250	22600	28100	1150	12800	104000	22000	8010	257	589	22,6	68,3	15,3	30,9	9,93
65706	<250	22200	25500	1120	12000	99500	21200	7910	247	580	22,4	63,5	17,8	28,9	8,81
65708	<250	23100	26200	1170	12300	97600	22400	8240	257	594	23,1	65,7	19,1	31,7	9,57
65710	<250	21500	25500	1110	12000	96000	23000	7790	251	572	21,4	62,1	17,2	31,2	9,53
65712	<250	21300	26100	1140	11700	97900	21100	7640	250	565	21,2	60,6	16,0	29,8	9,34
Standard Hynne	<250	21800	28900	1400	14500	18200	6580	7340	371	630	17,2	78,3	16,4	39,1	11,1
MINN standard	<250	19100	31800	2300	6500	981	207	6130	219	390	8,6	63,9	15,6	17,2	10,6

Prøve ID	V	Mo	Cd	Cr	Ba	Sr	Zr	B	Be	Li	Sc	Ce	La	Y	As
	[mg/kg]	[mg/kg]	[mg/kg]	[mg/kg]	[mg/kg]	[mg/kg]	[mg/kg]	[mg/kg]	[mg/kg]	[mg/kg]	[mg/kg]	[mg/kg]	[mg/kg]	[mg/kg]	[mg/kg]
MINN standard	35,0	<1	<0,1	21,8	60,7	4,6	8,2	<10	0,26	16,2	2,83	25,3	15,4	8,86	3,9
65569	38,0	<1	<0,1	17,7	139	225	7,0	36	0,39	13,3	2,91	25,0	11,7	7,47	7,3
65771	59,4	<1	0,14	21,7	256	489	9,9	52	0,48	20,4	4,26	25,8	13,0	9,01	10,4
65678	60,4	<1	0,13	25,7	252	450	10,3	62	0,56	23,5	4,61	29,6	14,5	9,78	10,2
65679	62,5	<1	0,13	25,7	250	446	10,8	60	0,58	23,6	4,72	30,1	14,9	10,0	9,9
65680	61,3	<1	0,11	25,5	253	447	10,6	61	0,57	23,4	4,69	29,0	14,7	10,0	10,3
65681	64,4	<1	0,11	26,8	272	462	11,5	61	0,61	24,7	4,97	31,4	15,6	10,5	10,0
65682	63,2	<1	<0,1	26,1	277	474	11,5	58	0,61	24,8	4,93	30,8	15,7	10,5	10,5
65683	65,8	<1	0,13	27,9	279	463	12,0	61	0,62	25,5	5,11	32,2	15,9	10,8	10,8
65684	65,6	1,2	0,12	27,8	287	462	12,1	60	0,62	26,0	5,19	33,3	16,1	10,8	11,8
65685	64,7	<1	<0,1	28,4	306	464	12,3	60	0,66	26,3	5,26	32,6	16,3	11,0	12,4
65686	65,8	<1	<0,1	27,4	288	473	12,0	62	0,60	25,2	5,08	31,2	15,7	10,6	17,3
65687	69,8	<1	<0,1	27,2	265	440	12,2	66	0,58	24,9	4,95	30,7	15,3	10,6	22,1
65688	70,0	<1	<0,1	26,6	262	451	12,2	62	0,59	25,5	4,85	30,9	15,3	10,2	10,8
65689	73,3	<1	<0,1	27,2	259	434	12,4	61	0,60	25,7	4,94	32,3	15,7	10,4	7,1
65690	73,3	<1	0,11	28,7	271	432	12,8	61	0,62	27,1	5,11	33,0	16,4	10,7	4,6
65691	72,6	<1	0,17	28,0	269	412	12,9	61	0,66	26,7	5,18	33,7	16,3	10,9	5,0
65692	70,5	<1	0,37	28,2	276	421	12,9	61	0,65	28,2	5,24	33,8	16,6	11,0	5,1
65694	68,7	<1	0,19	28,8	279	427	13,0	65	0,68	28,8	5,31	34,5	16,7	11,2	5,3
65696	71,4	<1	0,14	30,3	289	451	13,4	66	0,69	29,9	5,46	34,6	17,1	11,3	7,2
65698	72,2	<1	0,26	29,4	284	447	13,1	64	0,66	28,7	5,29	34,1	16,9	11,1	5,7
65700	76,4	<1	0,40	29,6	312	459	13,6	65	0,69	30,0	5,45	34,6	17,1	11,3	5,9
65702	76,1	<1	0,33	31,0	323	453	14,3	70	0,73	31,4	5,75	36,3	17,8	11,6	6,3
65704	76,7	<1	0,24	31,8	326	471	14,4	70	0,74	31,4	5,78	36,6	17,7	11,7	6,3
65706	73,4	<1	0,30	30,2	294	472	13,9	66	0,71	30,9	5,53	36,8	16,4	11,0	7,0
65708	75,6	<1	0,31	31,1	306	468	14,4	68	0,70	31,8	5,71	37,8	17,2	11,3	7,9
65710	70,3	<1	0,23	29,2	295	455	13,7	65	0,67	29,5	5,39	36,3	16,6	10,9	7,8
65712	68,7	<1	0,19	28,1	294	467	13,6	62	0,63	29,3	5,36	35,8	16,7	11,1	6,6
Standard Hynne	59,3	<1	<0,1	53,5	79,7	70,3	18,6	27	0,40	28,6	5,10	51,2	22,9	11,2	6,1
MINN standard	35,9	<1	<0,1	22,2	60,6	4,9	9,4	<10	0,28	17,4	2,96	26,7	15,9	8,77	4,0

Prøve ID	Si	Al	Fe	Ti	Mg	Ca	Na	K	Mn	P	Cu	Zn	Pb	Ni	Co
	[mg/kg]	[mg/kg]	[mg/kg]	[mg/kg]	[mg/kg]	[mg/kg]	[mg/kg]	[mg/kg]	[mg/kg]	[mg/kg]	[mg/kg]	[mg/kg]	[mg/kg]	[mg/kg]	[mg/kg]
98097	<250	20400	31800	1040	13400	97000	31500	7500	3260	1190	23,4	74,0	34,6	35,8	14,4
98098	<250	21100	30400	1090	13300	103000	27600	8040	787	932	24,7	76,6	35,1	33,3	10,4
98099	<250	21300	29400	1110	13100	104000	25300	8120	532	810	24,9	77,0	37,2	31,9	9,76
98100	<250	21400	28500	1120	13100	105000	24700	8220	443	726	25,5	77,5	36,0	33,9	9,76
98201	<250	22700	29500	1180	13800	111000	25300	8750	387	733	27,9	83,1	36,9	34,8	10,2
98202	<250	22300	29100	1150	13400	111000	23900	8530	361	708	27,1	80,2	34,9	35,4	10,2
98203	<250	20800	26800	1080	12400	104000	21900	7980	345	655	24,9	75,1	32,1	32,7	9,96
98204	<250	20100	26800	1040	12100	104000	21000	7700	335	652	24,2	72,4	30,6	35,1	10,1
98205	<250	20300	26500	1050	12100	104000	20800	7760	332	632	24,6	73,1	29,5	35,3	10,3
65644	<250	20000	26300	1040	12100	103000	21100	7730	343	624	24,0	70,5	27,7	35,9	10,7
65645	<250	20000	26300	1030	11900	102000	20600	7680	336	632	23,7	71,0	26,9	34,8	10,2
65646	<250	20300	26900	1040	12200	103000	20400	7810	332	639	23,3	71,0	26,5	32,9	10,0
65647	<250	19800	26000	1010	12000	98600	19900	7620	326	622	23,6	69,9	23,5	33,2	9,80
65648	<250	20400	26400	1040	12100	100000	19700	7900	319	623	23,7	69,5	21,8	31,9	9,52
65649	<250	20600	26600	1050	12100	101000	19800	7930	323	628	23,6	70,1	21,3	33,6	9,93
65650	<250	20400	26400	1040	12000	99500	19400	7840	313	607	23,1	67,2	18,8	36,0	9,72
65651	<250	20900	27100	1060	12200	101000	19500	8070	329	619	23,2	69,2	19,4	36,1	10,3
65652	<250	20400	26900	1040	12200	98400	19300	7900	329	614	22,2	66,7	17,3	36,0	10,9
65653	<250	20600	27100	1050	12300	99300	19300	7960	337	621	22,8	67,9	16,5	35,6	11,1
65654	<250	20200	27400	1040	12200	100000	19900	7890	332	615	21,9	67,2	15,3	36,2	11,0
65655	<250	19700	26200	1020	12100	96700	20000	7640	327	627	21,7	66,6	15,9	34,3	10,7
65656	<250	19600	26100	1020	12000	96900	20500	7680	306	601	21,5	64,2	14,9	32,8	9,77
65657	<250	20000	27000	1040	12100	101000	20800	7850	301	605	22,7	65,0	15,1	34,0	9,76
65658	<250	20100	26100	1030	12000	98000	20400	7890	306	612	23,2	67,9	14,4	32,0	9,41
65659	<250	20100	26300	1020	12000	98400	20100	7870	299	601	23,3	67,0	13,1	33,5	9,13
65660	<250	19900	25600	1010	11900	97000	19200	7790	300	606	22,5	67,6	13,8	31,4	9,19
65661	<250	19300	25100	977	11500	96600	18200	7480	291	594	22,4	65,2	12,1	31,6	8,78
65662	<250	19600	25600	994	11800	99000	18700	7670	292	606	22,1	66,7	13,0	32,4	9,03
65663	<250	19200	24600	972	11600	94600	18400	7560	287	616	21,9	64,9	12,0	33,2	8,88
65664	<250	19200	25400	969	11600	97500	18600	7570	289	609	22,4	65,2	12,8	32,7	8,83
65665	<250	19600	25400	985	11800	96600	18600	7710	282	596	22,4	64,9	11,9	30,4	8,77
65666	<250	19400	25100	976	11800	95400	18400	7660	290	605	22,2	67,4	11,3	31,2	9,19
65667	<250	19700	25600	990	12000	96800	18900	7780	286	595	22,4	66,4	12,0	31,2	8,85
65668	<250	19300	25100	967	11700	95900	18400	7600	291	605	21,8	65,3	11,6	30,6	9,06
65669	<250	19400	25200	973	11700	96200	18600	7730	288	598	21,9	63,9	11,8	32,3	8,97

Prøve ID	V	Mo	Cd	Cr	Ba	Sr	Zr	B	Be	Li	Sc	Ce	La	Y	As
	[mg/kg]	[mg/kg]	[mg/kg]	[mg/kg]	[mg/kg]	[mg/kg]	[mg/kg]	[mg/kg]	[mg/kg]	[mg/kg]	[mg/kg]	[mg/kg]	[mg/kg]	[mg/kg]	[mg/kg]
98097	72,9	<1	0,15	30,7	282	498	12,1	78	0,70	29,8	5,41	33,1	17,6	11,9	21,3
98098	75,6	<1	0,17	31,1	285	513	13,3	78	0,70	31,0	5,60	34,4	18,5	12,4	14,6
98099	76,1	<1	0,13	31,4	278	512	13,7	76	0,72	31,5	5,65	35,6	18,8	12,5	12,6
98100	76,7	<1	0,17	31,3	277	515	13,9	76	0,70	31,9	5,68	35,5	18,7	12,7	9,4
98201	81,2	<1	0,22	33,2	295	548	14,9	80	0,77	34,3	6,08	37,5	19,8	13,5	9,2
98202	79,8	<1	0,20	32,4	292	548	14,6	78	0,76	33,5	5,97	37,4	19,4	13,2	9,2
98203	74,2	<1	0,22	30,4	276	509	13,7	73	0,71	31,6	5,56	35,2	18,5	12,4	8,1
98204	71,5	<1	0,21	29,6	267	509	13,4	70	0,71	30,6	5,43	34,5	17,8	12,2	8,0
98205	72,7	<1	0,22	29,7	271	509	13,5	70	0,72	30,8	5,45	34,3	18,0	12,2	8,7
65644	71,5	<1	0,20	29,0	271	504	13,2	69	0,72	30,6	5,39	34,2	17,8	12,0	9,2
65645	72,0	<1	0,21	29,7	260	497	13,3	70	0,70	30,5	5,43	34,7	18,0	12,1	8,9
65646	72,5	<1	0,21	30,1	262	498	13,4	71	0,69	31,2	5,47	34,9	18,0	12,2	8,5
65647	72,5	<1	0,26	29,8	257	474	13,4	70	0,70	30,7	5,43	35,1	18,2	12,2	8,6
65648	74,2	<1	0,26	30,3	263	482	13,5	70	0,72	31,4	5,52	34,8	18,1	12,2	8,1
65649	73,7	<1	0,29	30,6	263	487	13,5	72	0,72	31,6	5,49	35,1	18,2	12,2	8,1
65650	72,9	<1	0,27	29,7	262	478	13,5	69	0,71	31,4	5,45	35,2	18,3	12,1	9,3
65651	73,8	<1	0,24	30,7	267	486	13,7	71	0,72	31,9	5,56	35,5	18,3	12,3	8,5
65652	71,1	<1	0,25	29,6	262	474	13,5	69	0,72	31,7	5,45	35,0	18,1	11,9	8,7
65653	71,0	<1	0,22	30,4	267	476	13,6	70	0,73	31,9	5,54	34,9	18,0	12,2	8,6
65654	69,4	<1	0,21	30,1	262	480	13,4	69	0,71	31,6	5,44	34,7	18,0	12,1	9,0
65655	68,8	<1	0,22	29,8	254	458	13,1	69	0,70	30,9	5,33	34,1	17,7	12,0	8,6
65656	67,3	<1	0,21	29,1	255	460	13,0	67	0,68	30,6	5,26	33,3	17,6	11,8	7,9
65657	70,3	<1	0,27	29,4	263	476	13,2	68	0,71	31,2	5,37	34,6	17,8	12,0	8,3
65658	72,6	<1	0,40	30,1	265	462	13,4	69	0,69	31,2	5,43	34,4	17,8	12,1	8,5
65659	71,3	<1	0,30	29,8	262	460	13,3	68	0,72	31,0	5,42	34,4	17,9	12,0	9,3
65660	69,7	<1	0,28	30,1	260	456	13,1	68	0,69	31,0	5,38	34,7	17,9	12,1	8,4
65661	70,2	<1	0,31	29,1	250	450	13,0	66	0,68	30,2	5,31	34,3	17,7	11,9	8,8
65662	69,9	<1	0,29	29,5	253	458	13,0	66	0,66	30,9	5,32	34,4	17,8	12,0	8,6
65663	68,1	<1	0,33	29,2	256	435	12,7	66	0,67	30,1	5,21	34,4	17,7	11,8	7,4
65664	69,4	<1	0,35	29,3	258	446	13,1	66	0,69	30,4	5,32	35,2	17,8	12,0	7,4
65665	69,4	<1	0,35	29,0	265	445	12,9	65	0,69	30,9	5,28	34,7	18,1	12,0	7,8
65666	70,4	<1	0,36	30,0	263	438	13,1	67	0,68	30,6	5,32	35,1	18,0	12,0	7,8
65667	69,3	<1	0,32	29,1	268	447	13,0	65	0,68	31,1	5,30	34,1	17,7	12,0	8,4
65668	68,5	<1	0,32	29,3	264	441	12,9	66	0,68	30,4	5,27	35,1	17,8	11,9	7,9
65669	68,4	<1	0,30	29,0	268	444	12,9	65	0,67	30,8	5,26	35,4	17,9	11,9	8,0

Prøve ID	Si [mg/kg]	Al [mg/kg]	Fe [mg/kg]	Ti [mg/kg]	Mg [mg/kg]	Ca [mg/kg]	Na [mg/kg]	K [mg/kg]	Mn [mg/kg]	P [mg/kg]	Cu [mg/kg]	Zn [mg/kg]	Pb [mg/kg]	Ni [mg/kg]	Co [mg/kg]
65670	<250	19500	25400	975	11800	96300	18000	7750	296	606	22,2	65,7	11,3	31,6	9,42
65671	<250	19900	26400	981	12100	97400	18300	7960	299	604	22,0	66,0	11,9	34,5	9,60
65672	292	20400	26900	1000	12400	97400	18700	8200	316	621	21,9	68,5	10,5	34,1	10,2
65673	<250	20400	27700	995	12300	98800	19600	8150	312	611	22,1	66,7	11,2	33,6	9,98
65674	<250	20400	27200	996	12400	95900	19100	8150	323	622	21,8	67,4	11,3	33,7	10,4
Standard Hynne	<250	19400	28500	1250	14300	18700	6480	7020	362	641	16,1	75,3	10,6	33,8	10,5
MINN standard	417	17700	33000	2210	6620	976	213	6190	223	398	8,4	63,1	11,1	18,3	10,9
65970	<250	10500	15900	554	7990	88500	17100	4740	520	528	7,9	40,7	15,6	19,1	6,62
65971	265	11900	17700	624	8580	89700	15000	5180	537	564	8,3	44,0	16,5	20,0	7,10
65972	289	11300	17100	589	7830	87800	11700	4790	527	552	7,7	42,0	15,0	21,7	6,93
65973	337	11100	16700	588	7810	86400	11200	4750	500	562	8,0	41,8	14,4	21,4	6,90
65974	273	11600	17600	614	8000	91100	10300	4890	486	556	8,0	42,5	13,4	19,9	6,79
65975	293	11500	17300	606	7830	94600	9680	4840	443	528	7,7	42,0	12,6	20,6	6,64
65976	257	11000	16600	587	7540	87100	9290	4640	334	532	7,4	40,1	11,1	18,1	6,22
65977	288	11500	17400	615	7950	88700	9300	4870	255	551	7,8	41,5	9,4	18,9	6,09
65978	<250	11900	16700	645	7790	89600	9070	4810	163	500	7,4	40,5	6,6	17,9	4,84
65979	<250	11300	15500	614	7120	86700	6320	4560	151	516	8,0	40,3	6,5	17,0	4,93
65980	<250	11500	15400	625	7530	85900	8690	4750	155	495	7,5	40,3	6,3	17,7	4,95
65981	<250	11300	15500	614	7350	85200	8420	4710	145	480	6,9	38,7	5,5	17,0	4,66
65982	<250	11200	15500	612	7300	84500	8410	4680	152	483	7,6	38,7	5,3	14,7	4,76
65983	<250	10200	14100	573	6730	78300	7370	4310	141	481	6,6	35,9	5,0	16,0	4,39
65984	<250	10700	14500	579	7080	69100	7220	4480	145	474	7,1	38,7	5,5	17,3	4,90
65986	<250	11200	15400	601	7380	66300	7000	4670	157	483	8,0	40,2	5,2	17,5	5,48
65988	<250	12500	17400	658	8220	55600	7130	5320	175	478	10,3	46,2	5,4	18,5	5,92
65990	<250	13800	18200	728	8930	54800	7380	5820	187	499	12,1	49,4	6,1	21,3	6,55
65992	<250	13400	17500	689	8470	72900	7660	5650	178	481	9,0	47,7	6,8	21,8	6,57
65994	<250	15000	19400	762	9630	51700	7930	6310	205	505	12,9	55,7	7,4	23,5	7,44
65996	<250	16000	20600	813	10200	45900	7800	6620	217	516	12,9	56,4	6,3	24,1	8,09
65998	<250	14400	19500	731	9470	39400	7510	5910	201	525	8,7	51,0	6,1	22,3	7,52
66000	<250	16400	20800	825	10400	42400	7890	6730	228	511	9,1	57,3	6,8	25,1	7,84
96002	<250	13900	18900	735	9100	53500	8130	5900	213	508	7,5	50,5	6,1	21,2	6,66
Standard Hynne	<250	19700	27600	1270	14200	22400	6440	6930	397	617	16,6	79,6	9,2	35,1	10,3
MINN standard	<250	17700	31100	2250	6370	1230	<200	5880	218	476	8,3	64,3	8,3	17,9	10,2
65534	<250	15100	21300	1160	9570	145000	28300	5340	985	576	20,6	48,1	19,1	19,0	9,21
65894	<250	20500	29000	1250	12700	112000	30900	7880	769	746	21,8	64,4	12,5	31,9	10,8

Prøve ID	V	Mo	Cd	Cr	Ba	Sr	Zr	B	Be	Li	Sc	Ce	La	Y	As
	[mg/kg]	[mg/kg]	[mg/kg]	[mg/kg]	[mg/kg]	[mg/kg]	[mg/kg]	[mg/kg]	[mg/kg]	[mg/kg]	[mg/kg]	[mg/kg]	[mg/kg]	[mg/kg]	[mg/kg]
65670	69,1	<1	0,31	29,7	280	444	13,2	67	0,67	31,1	5,34	35,0	17,9	12,0	8,9
65671	69,2	<1	0,28	30,0	298	452	13,4	67	0,70	31,9	5,41	35,4	18,2	12,2	8,3
65672	70,1	<1	0,31	30,9	304	450	13,6	70	0,72	32,9	5,47	35,8	18,5	12,2	9,2
65673	69,3	<1	0,27	30,4	298	458	13,5	68	0,71	32,2	5,44	35,2	18,3	12,1	9,2
65674	69,0	<1	0,26	30,6	299	445	13,6	69	0,71	32,6	5,47	35,6	18,5	12,2	9,7
Standard Hynne	54,3	<1	<0,1	50,3	75,7	72,0	17,2	27	0,37	27,2	4,69	47,2	22,5	11,2	7,4
MINN standard	34,3	<1	<0,1	22,2	60,2	4,7	8,2	<10	0,25	17,2	2,88	26,0	16,2	8,90	5,0
65970	32,6	<1	<0,1	19,9	83,9	340	6,0	40	0,35	16,9	3,04	25,5	13,1	8,16	6,2
65971	34,4	<1	<0,1	21,8	85,1	347	6,8	39	0,43	19,3	3,38	28,5	14,8	9,13	5,8
65972	33,0	<1	<0,1	21,1	75,6	331	6,7	37	0,41	18,5	3,25	28,7	14,5	9,01	5,7
65973	32,5	<1	<0,1	21,3	75,7	326	6,9	36	0,40	18,2	3,26	28,9	14,5	9,18	5,2
65974	33,0	<1	<0,1	21,9	74,5	339	7,3	37	0,42	19,0	3,37	29,6	14,8	9,27	4,6
65975	32,2	<1	<0,1	21,5	70,5	350	7,2	36	0,39	18,9	3,33	29,1	14,8	9,09	5,4
65976	30,8	<1	<0,1	21,2	65,2	320	7,1	35	0,39	18,2	3,22	28,3	14,3	9,01	4,8
65977	31,5	<1	<0,1	22,3	73,4	324	7,5	36	0,41	19,2	3,35	30,4	15,4	9,42	3,8
65978	32,0	<1	0,11	21,6	67,9	325	7,6	36	0,42	19,0	3,36	29,8	14,5	9,17	3,6
65979	36,7	<1	0,12	21,4	67,6	310	7,4	35	0,39	17,7	3,22	29,9	14,5	9,06	3,8
65980	39,3	<1	0,18	21,5	66,3	310	7,7	36	0,43	18,7	3,34	29,1	14,3	9,08	4,2
65981	34,1	<1	0,19	21,1	62,3	309	7,5	34	0,39	18,2	3,21	28,8	14,1	8,81	3,3
65982	33,8	<1	0,19	21,7	62,3	306	7,4	35	0,42	18,1	3,19	28,9	13,8	8,77	4,1
65983	30,0	<1	0,16	19,5	59,1	276	7,1	31	0,36	16,5	2,95	28,1	13,5	8,64	3,9
65984	33,5	<1	0,16	20,2	59,1	239	7,6	32	0,40	17,4	3,10	30,2	14,4	8,61	3,8
65986	38,4	<1	0,17	21,8	59,5	227	8,0	33	0,43	18,3	3,23	31,2	14,9	8,75	3,9
65988	38,6	<1	0,32	24,0	63,1	191	9,2	36	0,48	20,4	3,59	34,1	16,3	9,27	3,7
65990	44,0	<1	0,29	25,7	67,0	189	9,7	36	0,50	22,8	3,85	36,1	16,9	9,44	4,1
65992	39,5	<1	0,17	24,7	67,4	256	9,3	37	0,48	22,1	3,81	34,9	17,0	9,61	4,2
65994	47,0	<1	0,27	28,3	65,2	182	11,1	39	0,57	24,9	4,26	39,1	18,6	10,1	4,8
65996	50,8	<1	0,55	29,2	70,2	165	11,7	39	0,58	26,5	4,43	40,6	19,3	10,3	4,9
65998	39,9	<1	0,13	28,6	61,3	142	10,6	37	0,52	23,9	3,97	36,7	17,3	9,62	4,9
66000	42,3	<1	0,12	29,8	68,8	160	11,6	39	0,60	26,9	4,48	41,2	19,6	10,3	4,1
96002	38,7	<1	<0,1	26,8	65,4	192	10,1	37	0,51	22,8	3,95	37,2	17,6	9,69	4,4
Standard Hynne	54,8	<1	<0,1	49,7	73,8	73,9	17,5	26	0,39	27,2	4,73	48,3	22,6	11,2	7,2
MINN standard	35,8	<1	<0,1	21,9	57,3	5,2	8,4	<10	0,24	16,7	2,88	24,7	15,7	9,36	4,9
65534	64,0	<1	0,19	19,2	208	707	10,3	53	0,41	18,6	4,18	22,7	11,7	8,74	11,8
65894	70,5	<1	0,13	27,1	350	584	13,6	68	0,65	28,9	5,57	31,5	16,5	11,7	14,0

Prøve ID	Si	Al	Fe	Ti	Mg	Ca	Na	K	Mn	P	Cu	Zn	Pb	Ni	Co
	[mg/kg]	[mg/kg]	[mg/kg]	[mg/kg]	[mg/kg]	[mg/kg]	[mg/kg]	[mg/kg]	[mg/kg]	[mg/kg]	[mg/kg]	[mg/kg]	[mg/kg]	[mg/kg]	[mg/kg]
65895	<250	20100	27100	1240	12500	109000	29600	7560	3100	691	22,3	65,4	14,8	41,5	12,0
65896	<250	19900	28600	1220	12400	107000	28100	8290	598	610	22,6	64,0	9,9	31,7	10,5
65897	<250	20000	27600	1220	12700	110000	31700	8120	795	612	22,8	63,4	10,9	31,9	10,4
65898	<250	19200	25700	1190	12500	106000	32300	7320	3050	692	21,2	61,0	15,9	36,5	12,0
65899	<250	19100	26500	1180	12200	108000	31100	7190	2640	755	21,5	63,3	15,8	34,1	12,3
65900	<250	18800	25100	1180	11800	107000	30800	7150	1590	673	21,1	61,1	15,4	30,8	10,3
65901	<250	19600	26100	1220	11800	109000	27700	7040	2380	675	21,6	63,9	18,2	35,6	11,6
65902	<250	19400	26100	1220	11600	108000	25600	6920	2600	685	21,4	64,5	18,4	36,5	11,7
65903	252	19000	25800	1200	11200	104000	24500	6810	2440	683	21,9	65,1	18,5	37,6	11,5
65904	<250	20900	28100	1290	12300	114000	26500	7320	3630	736	23,4	66,4	18,7	41,4	13,2
65905	<250	20700	27500	1280	11900	110000	24600	7250	4850	722	22,7	67,5	16,3	45,1	14,7
65906	<250	21300	28800	1300	12200	113000	25300	7350	5770	764	23,4	69,1	17,5	49,4	15,2
65907	<250	21000	29600	1280	12300	108000	27100	7520	6040	899	22,8	66,7	13,6	46,1	16,0
65908	<250	20900	31100	1280	12100	105000	23800	7630	5250	990	21,6	65,1	12,6	42,9	17,6
65910	<250	20100	30300	1260	11700	97300	22700	7940	1170	942	20,3	64,1	10,7	31,1	10,8
65912	<250	19300	26000	1200	11000	99400	20800	7560	333	665	22,2	63,1	9,0	27,5	8,92
65914	<250	20900	31900	1280	12700	102000	25300	8990	378	612	20,6	65,5	8,1	29,4	10,8
65916	<250	20100	29000	1230	12200	103000	26300	8400	368	578	21,3	62,6	7,7	30,6	9,70
65918	<250	19000	31000	1260	13000	102000	23100	8110	375	696	18,5	68,5	10,8	29,0	10,4
65920	<250	20500	28800	1300	12300	98100	25000	8710	365	593	22,4	65,1	12,2	28,3	9,13
65922	<250	18900	26100	1210	11200	89000	19700	8020	321	594	15,8	61,5	10,6	27,7	9,49
65924	<250	20300	27300	1290	11900	102000	23100	8670	339	610	22,9	67,2	11,5	28,9	9,33
65926	<250	19800	26300	1250	11500	93500	21000	8350	337	592	23,7	65,3	10,8	29,0	9,54
Standard Hynne	<250	19300	26800	1220	13800	18700	6330	6760	389	630	16,0	76,7	12,3	35,3	10,3
MINN standard	375	18300	31500	2210	6530	991	211	6160	230	405	9,1	66,2	12,9	19,2	10,5
65931	<250	16500	22300	945	11100	93300	26900	6000	2225	687	19,2	58,9	25,3	30,4	10,4
65932	<250	17100	23900	978	11100	97600	25200	6060	2880	720	20,2	61,8	27,8	35,9	11,3
65933	<250	17700	24500	1000	11000	95400	22800	6160	4655	729	20,1	61,9	27,2	39,8	12,2
65934	<250	17100	25100	965	10800	91400	22500	6030	8900	810	19,5	60,2	24,5	41,4	20,1
65935	317	16500	36500	920	11000	88700	23400	6130	4415	2630	18,1	57,0	22,1	33,7	27,3
65936	<250	18300	25500	1040	10800	100000	20400	6630	336	783	22,4	59,3	22,4	26,3	7,85
65937	<250	17900	23200	1020	10500	98200	18700	6550	324	696	20,6	57,3	21,9	28,4	7,78
65938	<250	17300	21500	992	10100	95700	18000	6410	298	586	19,7	55,8	18,6	26,0	7,98
65939	<250	18100	25800	1030	10900	89000	20400	6800	353	901	17,4	54,3	17,4	28,2	9,92
65940	<250	18300	26500	1050	11100	90900	20500	7090	362	612	18,4	55,1	16,9	28,5	10,3

Prøve ID	V	Mo	Cd	Cr	Ba	Sr	Zr	B	Be	Li	Sc	Ce	La	Y	As
	[mg/kg]	[mg/kg]	[mg/kg]	[mg/kg]	[mg/kg]	[mg/kg]	[mg/kg]	[mg/kg]	[mg/kg]	[mg/kg]	[mg/kg]	[mg/kg]	[mg/kg]	[mg/kg]	[mg/kg]
65895	68,9	<1	0,14	27,0	350	571	12,8	67	0,61	29,5	5,49	30,3	16,0	11,4	12,6
65896	70,2	<1	0,26	27,1	363	545	13,5	71	0,62	29,2	5,42	31,5	16,6	11,5	9,7
65897	72,7	<1	0,26	27,0	359	559	13,1	71	0,64	28,7	5,42	30,8	16,3	11,4	9,7
65898	66,4	<1	0,20	25,1	332	559	11,6	65	0,60	27,2	5,08	29,1	15,4	10,8	13,9
65899	66,9	<1	0,17	26,1	321	564	11,9	66	0,58	26,8	5,16	29,8	15,5	11,0	14,9
65900	66,1	<1	0,19	25,2	312	554	11,8	64	0,59	25,9	5,06	29,8	15,4	10,9	12,6
65901	66,9	<1	0,17	26,2	317	572	12,2	62	0,61	26,6	5,27	30,5	16,3	11,2	12,2
65902	65,8	<1	0,17	26,2	315	567	12,2	61	0,60	26,6	5,24	31,2	16,2	11,1	12,2
65903	66,3	<1	0,17	26,4	298	549	12,3	60	0,61	26,3	5,22	32,3	16,7	11,2	12,8
65904	70,4	1,1	0,16	26,8	353	611	12,8	63	0,65	29,1	5,58	31,7	16,7	11,7	13,8
65905	69,2	1,7	0,19	27,8	351	589	13,0	63	0,65	28,0	5,58	31,8	17,0	11,8	14,4
65906	71,2	2,6	0,18	28,7	365	609	13,1	65	0,64	28,6	5,71	32,4	16,9	12,0	15,5
65907	69,4	2,4	0,13	28,4	364	587	13,0	66	0,66	27,5	5,61	31,2	16,6	11,7	21,6
65908	69,0	1,7	0,11	28,1	356	565	13,5	66	0,64	27,8	5,64	32,6	17,4	11,8	23,9
65910	67,8	<1	0,14	27,6	314	511	13,6	65	0,61	28,1	5,47	34,9	18,1	11,8	21,0
65912	70,6	<1	0,24	27,6	315	506	13,3	61	0,64	27,9	5,32	32,8	16,9	11,3	11,7
65914	72,8	<1	<0,1	29,1	379	521	14,4	74	0,66	30,3	5,65	34,2	17,5	12,2	9,4
65916	68,7	<1	0,12	27,6	358	526	13,8	70	0,61	29,2	5,43	33,0	16,9	11,6	8,0
65918	69,7	<1	0,11	29,6	359	470	13,9	71	0,67	27,7	5,39	34,8	17,0	11,5	9,6
65920	76,9	<1	0,15	28,9	357	489	14,8	69	0,70	29,5	5,59	37,8	18,4	12,1	7,2
65922	57,0	<1	0,12	29,6	297	443	14,1	60	0,63	28,1	5,18	36,8	17,5	11,7	5,6
65924	72,3	<1	0,22	29,8	331	506	15,0	67	0,66	30,2	5,50	37,8	18,5	12,3	6,9
65926	74,6	<1	0,36	27,9	322	465	14,4	60	0,63	29,8	5,31	37,5	18,6	12,0	6,5
Standard Hynne	54,8	<1	<0,1	50,4	71,2	78,5	17,7	26	0,42	26,2	4,60	46,0	21,5	10,9	6,7
MINN standard	35,7	<1	<0,1	22,8	59,1	4,8	8,4	<10	0,28	16,8	2,95	27,0	15,8	9,13	4,4
65931	58,7	<1	0,17	23,7	235	449	10,2	59	0,54	23,0	4,43	28,9	14,3	10,2	10,1
65932	60,5	<1	0,16	24,9	245	470	10,6	60	0,58	24,1	4,60	29,0	14,8	10,5	11,1
65933	62,1	2,2	0,17	25,1	255	468	11,0	58	0,59	25,7	4,71	30,0	15,1	10,7	11,7
65934	62,1	4,1	0,16	25,8	258	452	10,8	59	0,57	25,9	4,65	29,0	15,1	10,7	14,2
65935	65,2	<1	<0,1	24,4	253	467	10,9	69	0,54	22,8	4,44	27,9	14,7	10,3	50,7
65936	66,7	<1	<0,1	26,2	237	472	12,6	60	0,60	25,0	4,78	31,6	15,6	11,1	13,0
65937	63,3	<1	0,13	25,6	225	451	12,3	58	0,60	25,1	4,72	31,4	15,4	11,1	9,5
65938	61,6	<1	0,22	24,7	216	431	12,0	55	0,56	24,7	4,58	31,3	15,3	10,8	6,4
65939	61,1	<1	0,10	25,1	225	425	12,5	64	0,59	25,8	4,77	31,6	15,5	11,0	13,0
65940	63,6	<1	<0,1	25,8	231	420	12,8	62	0,59	26,0	4,77	31,8	15,8	11,1	7,9

Prøve ID	Si	Al	Fe	Ti	Mg	Ca	Na	K	Mn	P	Cu	Zn	Pb	Ni	Co
	[mg/kg]	[mg/kg]	[mg/kg]	[mg/kg]	[mg/kg]	[mg/kg]	[mg/kg]	[mg/kg]	[mg/kg]	[mg/kg]	[mg/kg]	[mg/kg]	[mg/kg]	[mg/kg]	[mg/kg]
65941	<250	18500	24500	1060	11000	96600	19900	7020	307	598	19,9	56,6	15,3	28,0	8,59
65942	<250	17800	22800	1020	10500	92600	18400	6630	301	578	19,3	56,1	13,9	26,4	8,46
65943	<250	17900	22600	1020	10500	92900	17900	6690	311	576	20,1	55,9	14,5	27,6	8,36
65944	<250	17600	22800	1010	10500	89500	18600	6700	327	577	18,2	53,2	13,9	27,2	8,96
65945	<250	16700	22800	960	10200	86800	18800	6480	318	562	17,3	52,2	12,3	26,4	8,62
65947	<250	17000	22300	963	10300	89700	18000	6440	294	564	18,0	51,4	11,5	24,6	7,73
65949	<250	17400	22200	967	10400	87300	18700	6510	269	546	17,1	52,6	10,7	25,4	7,76
65951	<250	18400	24000	1010	11100	93800	20200	7010	280	570	18,2	56,6	12,6	26,0	7,94
65953	<250	18100	23800	1010	10900	96400	19300	6900	262	551	20,0	55,7	11,3	26,4	7,45
65955	<250	18100	22600	1020	10600	97100	18100	6810	260	552	22,2	56,7	10,5	26,4	7,31
65957	<250	18700	23500	1080	10900	102000	18900	7020	259	549	22,3	57,5	11,2	25,7	7,41
65959	<250	18300	22800	1070	10600	101000	18000	6860	261	544	21,6	56,3	10,9	26,8	7,59
65961	<250	17200	21400	1020	10100	100000	17100	6360	257	540	19,4	53,0	9,6	25,4	7,61
65963	<250	17200	21200	1010	10200	105000	18000	6380	249	523	18,1	50,2	9,7	25,1	7,15
65965	<250	17400	22300	1020	10300	103000	17800	6650	255	538	18,5	53,1	9,4	23,7	7,53
65967	<250	18100	24800	1040	10800	104000	17800	7100	263	548	20,3	56,5	10,2	27,3	7,97
Standard Hynne	<250	20800	28800	1390	14500	19200	6790	7310	386	662	17,3	78,7	12,8	36,6	10,5
MINN standard	451	18300	32500	2340	6560	1020	205	6130	256	422	8,5	64,4	13,8	18,3	10,4
93801	525	3690	5310	373	3390	47400	5760	1500	211	836	3,4	16,0	8,1	10,6	2,42
93802	518	3980	5920	381	3490	45400	6000	1630	260	868	4,1	17,7	8,8	10,8	2,72
93803	544	4100	5960	389	3530	45200	5960	1680	177	859	3,9	18,4	10,0	11,1	2,55
93804	555	4050	5810	392	3360	44900	5200	1620	289	852	3,9	18,1	9,7	11,0	2,84
93805	588	3970	5380	399	3380	45400	5470	1600	94,0	881	3,6	17,1	10,1	10,4	2,22
93806	569	4160	5580	413	3480	47600	5400	1680	93,3	853	4,0	17,5	10,3	10,7	2,25
93807	546	3940	5260	395	3300	44200	4990	1580	91,4	870	3,8	17,7	9,9	10,7	2,33
93808	505	3970	5380	402	3370	43400	5180	1590	91,7	889	3,7	18,2	10,3	10,8	2,27
93809	529	4130	5550	406	3520	48800	5270	1680	95,4	865	3,9	19,1	10,5	10,6	2,34
93810	533	4530	6150	416	4010	56900	7070	1970	101	804	5,3	21,9	13,3	11,0	2,57
93811	525	4090	5570	399	3510	49700	5010	1690	92,9	806	4,0	18,4	10,6	11,0	2,43
93812	503	4000	5610	416	3400	47200	4850	1640	91,1	914	3,8	17,0	9,4	10,9	2,40
93813	526	3830	5390	419	3330	42900	4870	1560	88,6	943	4,0	16,2	7,9	10,6	2,23
93814	519	3980	5570	409	3450	46800	5120	1630	91,5	867	3,7	16,4	7,9	10,6	2,28
93815	535	3760	5340	394	3380	49400	4920	1550	86,4	813	3,1	13,9	6,6	10,2	2,09
93816	534	3760	5360	416	3280	43100	4830	1530	83,7	911	3,3	14,1	6,9	10,5	2,14
93817	513	3740	5430	409	3340	45000	5320	1480	85,4	955	3,0	12,3	4,1	10,5	2,14

Prøve ID	V	Mo	Cd	Cr	Ba	Sr	Zr	B	Be	Li	Sc	Ce	La	Y	As
	[mg/kg]	[mg/kg]	[mg/kg]	[mg/kg]	[mg/kg]	[mg/kg]	[mg/kg]	[mg/kg]	[mg/kg]	[mg/kg]	[mg/kg]	[mg/kg]	[mg/kg]	[mg/kg]	[mg/kg]
65941	63,7	<1	0,17	26,3	239	449	12,8	61	0,59	26,7	4,84	32,0	15,8	11,2	7,3
65942	62,3	<1	0,22	25,3	232	423	12,5	56	0,60	25,7	4,77	32,8	15,7	11,1	7,1
65943	62,9	<1	0,24	25,2	236	427	12,4	56	0,58	26,1	4,74	31,3	15,6	11,1	6,5
65944	59,5	<1	0,17	24,8	230	406	12,0	54	0,57	25,6	4,63	32,0	15,4	10,9	7,0
65945	59,8	<1	0,11	24,0	224	389	11,8	56	0,55	24,7	4,50	31,0	15,2	10,7	6,1
65947	55,9	<1	0,17	24,5	224	400	11,9	56	0,55	24,8	4,54	30,8	15,4	10,8	6,2
65949	56,5	<1	0,11	24,7	239	391	12,0	54	0,58	25,3	4,59	31,4	15,3	10,8	5,8
65951	63,1	<1	0,12	26,8	260	424	12,7	60	0,59	26,7	4,84	32,7	16,2	11,3	5,8
65953	61,3	<1	0,21	26,5	255	429	12,7	63	0,59	26,4	4,76	32,1	15,9	11,1	6,6
65955	63,6	<1	0,29	26,6	263	429	12,9	59	0,58	26,3	4,79	32,4	16,1	11,3	6,0
65957	70,7	<1	0,46	26,4	276	453	13,1	58	0,61	27,3	4,91	33,2	16,4	11,5	6,2
65959	64,1	<1	0,24	25,9	270	448	13,1	56	0,58	26,6	4,84	32,7	16,2	11,5	5,8
65961	60,8	<1	0,28	24,1	248	439	12,4	51	0,53	24,6	4,57	31,2	15,7	11,1	6,5
65963	56,2	<1	0,15	23,3	245	459	12,1	48	0,53	24,7	4,45	30,8	15,2	10,9	5,4
65965	58,4	<1	0,19	24,2	249	457	12,1	52	0,57	25,5	4,61	31,6	15,6	11,0	6,0
65967	62,9	<1	0,10	26,4	259	466	13,0	60	0,62	27,2	4,83	32,6	16,2	11,3	5,7
Standard Hynne	57,7	<1	<0,1	53,4	76,8	75,3	18,7	27	0,41	27,7	4,97	51,3	23,3	11,6	7,4
MINN standard	36,2	<1	<0,1	22,9	59,9	4,9	8,6	<10	0,28	17,0	2,97	26,3	15,9	9,14	5,2
93801	12,8	<1	<0,1	6,6	27,0	235	<2	12	<0,1	3,69	1,15	26,7	12,8	5,43	2,5
93802	13,7	<1	<0,1	7,2	30,6	225	<2	13	0,10	4,29	1,23	26,7	12,8	5,44	3,7
93803	14,5	<1	<0,1	7,4	30,2	222	<2	13	0,11	4,50	1,27	27,1	12,8	5,58	2,9
93804	13,9	<1	<0,1	7,3	29,2	220	<2	12	0,11	4,37	1,27	27,6	13,1	5,59	3,7
93805	13,6	<1	<0,1	6,9	26,9	222	<2	11	0,10	4,01	1,24	29,4	13,7	5,79	2,2
93806	13,2	<1	<0,1	7,0	27,9	235	<2	11	0,11	4,21	1,24	28,8	13,7	5,60	2,1
93807	13,6	<1	<0,1	7,1	25,8	217	<2	11	0,11	4,07	1,25	29,9	14,4	5,75	2,7
93808	13,6	<1	<0,1	6,9	25,8	213	<2	11	<0,1	4,20	1,25	29,1	14,1	5,84	<2
93809	13,8	<1	<0,1	7,2	26,6	240	<2	12	0,11	4,35	1,26	26,9	12,9	5,66	2,9
93810	15,0	<1	<0,1	8,1	28,5	284	<2	15	0,11	5,12	1,38	27,9	13,4	5,71	2,0
93811	14,0	<1	<0,1	7,4	25,0	247	<2	13	0,11	4,55	1,29	27,4	12,9	5,63	3,1
93812	13,6	<1	<0,1	7,1	23,1	233	<2	12	<0,1	4,38	1,27	27,9	13,3	5,81	3,4
93813	13,1	<1	<0,1	6,8	21,9	212	<2	10	<0,1	4,07	1,24	28,2	13,1	5,87	2,9
93814	13,4	<1	<0,1	7,2	22,5	233	<2	12	<0,1	4,32	1,27	28,6	13,3	5,76	2,7
93815	12,7	<1	<0,1	6,7	20,3	245	<2	11	0,10	3,93	1,19	28,0	13,3	5,54	3,5
93816	12,5	<1	<0,1	6,6	20,2	215	<2	10	<0,1	3,96	1,21	28,9	13,5	5,88	2,5
93817	13,0	<1	<0,1	6,6	18,8	224	<2	11	<0,1	3,94	1,20	29,2	13,8	6,08	3,2

Prøve ID	Si [mg/kg]	Al [mg/kg]	Fe [mg/kg]	Ti [mg/kg]	Mg [mg/kg]	Ca [mg/kg]	Na [mg/kg]	K [mg/kg]	Mn [mg/kg]	P [mg/kg]	Cu [mg/kg]	Zn [mg/kg]	Pb [mg/kg]	Ni [mg/kg]	Co [mg/kg]
93818	500	3620	5260	405	3430	47700	5010	1460	85,9	959	2,8	12,1	4,0	10,3	2,13
93819	518	3610	5200	403	3430	49900	5170	1470	82,0	896	3,0	11,9	4,8	10,0	1,95
93820	511	3310	5230	419	3010	38600	4170	1250	81,5	1140	2,3	10,6	2,6	10,8	2,07
Standard Hynne	<250	19700	27300	1310	13800	19600	6440	6990	384	630	17,0	75,2	13,2	34,6	10,1
MINN standard	398	18000	31700	2300	6390	1000	<200	6100	235	419	8,7	64,5	13,5	18,5	10,3
93821	486	4970	7160	454	5130	78800	9490	2190	335	974	5,4	24,0	12,9	11,4	3,21
93822	497	5210	7360	468	5130	81300	8360	2260	186	966	5,8	24,1	14,6	12,2	2,93
93823	506	4510	5900	434	4600	79200	6340	1950	108	851	4,7	20,4	12,3	11,0	2,35
93824	464	4340	5640	423	4530	78700	6090	1880	109	846	4,8	20,2	12,0	10,5	2,45
93825	500	4750	6270	456	4780	82600	6540	2040	113	907	5,0	21,4	12,5	10,7	2,48
93826	<250	4410	5830	423	4650	78600	6130	1900	113	867	4,9	20,6	11,9	11,0	2,53
93827	290	4570	6010	430	4520	75800	5760	1940	107	896	4,8	20,8	12,5	11,0	2,54
93828	266	4510	6030	430	4520	78400	5740	1940	109	892	4,9	20,9	13,4	10,8	2,53
93829	253	4630	6120	437	4590	78200	5890	1980	109	843	5,0	21,2	13,2	10,7	2,57
93830	<250	4550	6140	436	4620	78900	5650	1950	109	911	5,2	21,5	12,7	11,3	2,64
93831	261	4540	6150	438	4570	76900	5520	1980	111	935	4,7	21,0	11,2	11,0	2,67
93832	305	4410	5910	439	4390	70300	5110	1970	107	956	4,0	17,7	10,8	10,1	2,25
93833	267	4750	6440	437	5100	89900	6050	2250	120	814	5,2	20,9	13,4	10,2	2,50
93834	260	4510	6090	429	4830	79500	5920	2070	110	889	4,5	18,3	11,2	9,9	2,27
93835	<250	4620	6230	435	5060	87400	6350	2150	113	878	4,6	17,8	10,6	10,2	2,33
93836	256	4370	5850	435	4710	79900	5970	1980	108	879	4,1	16,4	9,0	10,0	2,23
93837	262	4440	5960	423	4790	81900	5640	1990	108	819	4,0	15,9	8,6	10,1	2,27
Standard Hynne	<250	19100	26100	1210	13300	22400	6190	6550	339	586	15,4	72,2	10,6	32,8	9,54
MINN standard	<250	17500	30600	2170	6250	976	200	5730	203	382	9,3	64,0	11,3	17,0	9,86
93889	<250	3730	6020	235	3290	17500	5100	1620	192	515	3,0	18,2	12,2	9,7	2,45
93890	<250	3220	5240	216	2850	13900	3740	1350	110	496	2,6	15,9	10,9	9,1	2,07
93891	291	3650	5550	236	3220	16400	4580	1600	87,1	494	3,0	18,4	12,4	10,0	2,15
93892	<250	3540	5330	226	3140	16000	4590	1570	73,2	487	2,8	17,9	11,8	9,9	2,07
93893	<250	3590	5600	230	3100	16100	4620	1570	91,9	496	3,0	18,2	12,5	9,5	2,32
93894	297	3290	5100	223	2990	14600	3980	1430	72,7	523	2,5	16,1	10,6	9,5	2,03
93895	<250	3400	5210	232	3000	15800	4400	1510	74,9	500	2,6	16,5	10,2	9,1	2,09
93896	309	3360	5210	228	3030	15500	3790	1490	72,0	517	2,4	15,4	8,6	9,2	2,22
93897	533	3250	4990	223	2970	15300	3770	1460	67,7	526	2,6	14,5	7,9	10,1	2,20
93898	512	3380	5230	227	3000	16000	3930	1510	67,0	510	2,5	14,4	7,1	9,5	2,14
93899	518	3120	4940	225	2940	14700	3610	1360	65,5	513	2,2	13,8	7,2	9,6	2,10

Prøve ID	V	Mo	Cd	Cr	Ba	Sr	Zr	B	Be	Li	Sc	Ce	La	Y	As
	[mg/kg]	[mg/kg]	[mg/kg]	[mg/kg]	[mg/kg]	[mg/kg]	[mg/kg]	[mg/kg]	[mg/kg]	[mg/kg]	[mg/kg]	[mg/kg]	[mg/kg]	[mg/kg]	[mg/kg]
93818	12,5	<1	<0.1	6,6	18,4	239	<2	15	<0.1	3,84	1,16	28,2	13,0	5,96	3,1
93819	12,6	<1	<0.1	6,6	17,8	249	<2	14	<0.1	3,97	1,16	29,0	13,9	5,79	2,6
93820	12,4	<1	<0.1	6,2	15,2	188	<2	11	<0.1	3,19	1,15	31,0	14,3	6,56	2,6
Standard Hynne	55,5	<1	<0.1	50,5	73,1	71,4	18,1	27	0,42	26,3	4,81	54,5	24,9	11,5	7,7
MINN standard	35,4	<1	<0.1	22,5	57,7	4,8	8,6	<10	0,28	16,6	2,95	29,0	15,7	9,20	5,3
93821	17,1	<1	<0.1	9,0	38,9	465	<2	22	0,12	5,67	1,55	30,8	14,9	6,63	4,7
93822	17,4	<1	<0.1	9,6	39,1	478	<2	23	0,13	5,95	1,59	32,8	16,1	6,80	4,8
93823	14,9	<1	<0.1	8,1	29,9	457	<2	18	<0.1	5,38	1,38	28,7	13,8	6,22	2,8
93824	14,6	<1	<0.1	8,1	29,4	452	<2	18	<0.1	5,05	1,38	29,5	14,2	6,18	2,2
93825	15,7	<1	<0.1	8,5	31,7	478	<2	19	0,11	5,46	1,46	31,0	14,7	6,70	3,0
93826	15,0	<1	<0.1	8,2	29,3	457	<2	18	0,11	5,19	1,39	28,5	13,6	6,24	2,2
93827	15,1	<1	<0.1	8,2	28,9	441	<2	17	<0.1	5,44	1,38	27,9	13,7	6,13	2,5
93828	15,2	<1	<0.1	8,1	29,3	456	<2	17	0,11	5,25	1,41	27,8	13,5	6,20	2,5
93829	15,4	<1	<0.1	8,3	29,1	456	<2	18	0,10	5,26	1,42	30,0	14,3	6,17	3,4
93830	15,4	<1	<0.1	8,4	28,6	455	<2	18	<0.1	5,37	1,41	28,5	13,9	6,41	2,8
93831	15,3	<1	<0.1	8,5	26,3	454	<2	18	<0.1	5,50	1,40	28,7	13,8	6,15	3,9
93832	14,4	<1	<0.1	7,9	25,4	415	<2	15	<0.1	4,63	1,41	30,6	13,6	6,12	2,9
93833	16,3	<1	<0.1	9,0	28,2	539	<2	20	0,12	5,52	1,53	30,1	13,5	6,07	3,5
93834	14,8	<1	<0.1	8,3	25,6	475	<2	18	<0.1	4,98	1,45	30,1	13,8	6,01	2,6
93835	15,2	<1	<0.1	8,5	25,9	517	<2	19	<0.1	5,30	1,45	28,3	12,8	6,06	3,4
93836	14,4	<1	<0.1	8,1	24,7	477	<2	18	<0.1	4,81	1,40	29,7	13,3	6,16	2,8
93837	14,9	<1	<0.1	8,4	23,9	487	<2	19	<0.1	5,04	1,41	29,2	13,6	6,02	2,7
Standard Hynne	49,1	<1	<0.1	44,5	69,8	72,4	16,1	18	0,35	25,5	4,30	44,3	20,8	10,3	6,0
MINN standard	32,7	<1	<0.1	20,2	56,2	4,8	7,8	<10	0,25	16,2	2,72	24,1	15,0	8,34	4,8
93889	14,0	<1	<0.1	8,6	29,6	59,0	3,0	15	0,19	4,67	1,27	22,3	8,99	5,21	2,6
93890	12,1	<1	<0.1	7,6	21,8	47,3	2,6	13	0,16	3,98	1,13	21,8	9,29	5,04	<2
93891	13,7	<1	<0.1	8,5	24,6	55,2	2,9	15	0,18	4,77	1,23	22,4	9,17	5,30	2,1
93892	13,2	<1	<0.1	8,1	22,5	54,2	2,8	14	0,18	4,46	1,19	20,0	8,24	5,01	<2
93893	13,4	<1	<0.1	8,4	26,5	56,4	2,8	14	0,19	4,44	1,21	22,6	9,32	5,15	2,2
93894	11,9	<1	<0.1	7,7	20,2	48,6	2,7	13	0,19	4,22	1,13	22,4	9,18	5,27	2,2
93895	12,5	<1	<0.1	7,8	18,5	52,5	2,7	14	0,17	4,04	1,15	21,4	8,78	5,04	<2
93896	12,1	<1	<0.1	7,7	15,3	49,8	2,7	13	0,18	4,45	1,15	22,6	9,37	5,04	<2
93897	11,8	<1	<0.1	7,6	13,7	49,5	2,7	13	0,17	4,11	1,14	20,8	8,64	5,08	<2
93898	11,8	<1	<0.1	7,7	16,5	51,9	2,8	13	0,17	4,52	1,13	23,3	9,76	5,11	<2
93899	11,3	<1	<0.1	8,3	13,8	47,1	2,6	12	0,15	4,24	1,14	22,0	9,15	5,01	<2

Prøve ID	Si [mg/kg]	Al [mg/kg]	Fe [mg/kg]	Ti [mg/kg]	Mg [mg/kg]	Ca [mg/kg]	Na [mg/kg]	K [mg/kg]	Mn [mg/kg]	P [mg/kg]	Cu [mg/kg]	Zn [mg/kg]	Pb [mg/kg]	Ni [mg/kg]	Co [mg/kg]
93900	499	3190	5100	227	3010	16000	3480	1400	70,3	539	2,2	13,4	5,9	9,5	2,21
93901	510	3300	5150	232	3010	15700	3440	1460	68,9	518	2,4	12,8	5,2	9,6	2,21
93902	538	3500	5460	251	3140	16400	3720	1560	71,7	536	2,2	13,3	5,1	9,8	2,31
93903	527	3580	6040	250	3480	17800	3950	1580	86,0	502	2,4	14,3	4,8	10,4	2,37
93904	492	3230	5140	248	3040	14600	3470	1390	69,9	551	2,2	12,7	4,8	9,8	2,23
93905	425	3950	6150	274	3420	16100	3740	1700	79,5	510	2,9	15,5	5,4	11,0	2,66
93906	491	4180	6400	293	3450	16200	2970	1840	86,7	505	3,2	16,0	5,3	10,6	2,73
93907	406	6850	9790	441	5220	15900	3880	2970	133	559	5,7	25,0	7,7	14,8	4,22
93908	463	5710	8330	368	4270	18000	3380	2500	109	521	4,3	20,8	5,9	12,1	3,24
Standard Hynne	<250	19300	26600	1200	13500	18100	6190	6620	337	584	15,5	72,1	10,0	32,5	9,71
MINN standard	321	17300	30000	2070	6170	943	<200	5650	199	371	8,5	63,3	10,6	16,1	9,96
Standard Hynne	<250	19400	26600	1220	13600	17900	6330	6670	328	601	15,3	73,8	10,4	32,7	9,67
MINN standard	356	17200	30100	2070	6180	1040	<200	5650	209	406	8,6	64,1	10,9	15,7	10,1
93861	497	4640	7110	313	5150	28400	7380	1990	313	877	4,0	22,1	13,9	23,5	3,80
93838	510	3810	6290	351	2910	19400	4760	1420	228	1060	3,0	20,7	9,2	10,7	2,82
93839	473	3490	5020	343	2770	18100	4000	1400	76,4	981	2,5	15,8	9,2	10,1	2,04
93840	493	3540	5090	338	2710	18800	3880	1440	74,1	938	2,7	16,2	10,0	9,5	2,03
93841	485	3580	5130	349	2660	18900	3680	1430	70,9	979	2,6	15,8	9,8	8,9	1,96
93842	481	3520	5050	358	2700	18800	3760	1390	71,8	1090	2,7	16,0	9,9	10,0	2,00
93843	476	3510	5070	365	2740	19000	3710	1390	73,1	1140	2,7	16,0	9,8	10,1	2,06
93844	479	3520	5150	364	2760	20000	3800	1420	72,3	1090	2,8	15,9	9,3	10,0	2,07
93845	493	3520	5210	374	2730	19100	3590	1360	73,3	1180	2,6	15,2	8,8	10,1	2,02
93846	455	3490	5180	384	2750	19100	3690	1350	72,8	1160	2,4	13,4	6,4	10,4	2,17
93847	491	3400	5120	380	2690	19700	3530	1330	72,2	1180	2,3	12,2	5,3	10,1	2,17
93848	492	3430	5190	373	2750	21200	3720	1360	71,7	1140	2,1	12,0	4,7	10,0	2,24
93849	573	3440	5220	354	2730	29700	4220	1410	67,2	1010	2,2	12,4	4,0	10,4	2,32
93850	587	3650	5590	378	2820	23300	3960	1480	71,7	1030	2,5	12,8	3,7	11,0	2,44
93851	577	3540	5420	382	2690	20600	3710	1370	71,9	1110	2,2	12,3	2,9	10,4	2,29
93852	575	3530	5440	381	2740	20700	3600	1390	73,0	1120	2,3	12,6	2,9	10,9	2,41
93854	587	3950	6080	400	2950	22300	4050	1580	77,8	1140	2,5	13,4	2,8	11,2	2,48
93856	576	3680	5700	391	2810	21000	3600	1500	75,0	1030	2,5	12,9	2,9	10,7	2,49
93858	589	3600	5630	379	2760	19200	3550	1420	74,5	1070	2,3	12,6	2,3	11,0	2,43
93860	595	3520	5670	395	2750	20400	3370	1370	74,3	1170	2,6	12,4	2,4	11,2	2,41
Standard Hynne	<250	18800	26900	1250	13400	18500	6340	6650	347	623	16,8	73,5	10,5	36,6	10,4
MINN standard	409	16900	30300	2190	6180	960	<200	5710	211	391	8,5	61,0	9,9	17,3	10,2

Prøve ID	V	Mo	Cd	Cr	Ba	Sr	Zr	B	Be	Li	Sc	Ce	La	Y	As
	[mg/kg]	[mg/kg]	[mg/kg]	[mg/kg]	[mg/kg]	[mg/kg]	[mg/kg]	[mg/kg]	[mg/kg]	[mg/kg]	[mg/kg]	[mg/kg]	[mg/kg]	[mg/kg]	[mg/kg]
93900	11,6	<1	<0.1	7,4	17,8	51,4	2,7	12	0,16	4,25	1,15	21,6	8,85	5,06	2,5
93901	11,8	<1	<0.1	7,6	13,3	50,4	2,9	12	0,16	4,28	1,13	23,2	9,65	5,33	2,5
93902	12,3	<1	<0.1	7,9	17,5	52,6	3,1	12	0,16	4,53	1,21	24,7	10,4	5,55	2,7
93903	12,6	<1	<0.1	8,9	18,1	54,6	3,2	13	0,17	4,86	1,23	22,8	9,56	5,41	2,6
93904	11,4	<1	<0.1	7,3	14,6	46,0	3,0	12	0,17	4,10	1,14	23,1	9,60	5,51	2,7
93905	13,5	<1	<0.1	8,6	19,4	51,1	3,9	13	0,19	5,44	1,32	25,7	10,9	5,72	3,7
93906	14,2	<1	<0.1	9,2	19,4	49,2	4,1	13	0,19	5,65	1,42	23,6	9,94	5,76	2,9
93907	22,3	<1	<0.1	14,1	30,8	45,8	7,0	17	0,31	9,49	2,19	31,5	13,4	7,34	5,6
93908	18,4	<1	<0.1	12,3	24,5	55,2	5,0	16	0,26	7,66	1,83	26,8	11,3	6,28	3,3
Standard Hynne	48,6	<1	<0.1	44,7	70,1	68,6	15,9	17	0,34	25,8	4,27	43,3	20,5	9,96	6,7
MINN standard	31,4	<1	<0.1	20,1	54,8	4,7	7,6	<10	0,26	15,9	2,68	23,3	14,7	8,19	4,3
Standard Hynne	49,2	<1	<0.1	44,6	72,2	70,0	15,9	17	0,34	25,9	4,27	43,8	20,2	9,95	6,9
MINN standard	31,8	<1	<0.1	20,1	55,4	5,1	7,5	<10	0,26	16,0	2,67	24,6	15,0	8,37	5,6
93861	15,8	<1	<0.1	9,7	31,9	101	2,6	19	0,19	5,60	1,48	26,6	11,4	5,83	3,7
93838	12,0	<1	<0.1	6,7	26,7	78,1	<2	<10	<0.1	4,00	1,21	25,2	11,7	5,60	4,0
93839	12,1	<1	<0.1	7,0	20,2	67,2	<2	<10	0,12	3,26	1,20	24,8	10,9	5,40	2,2
93840	12,6	<1	<0.1	7,0	20,2	69,8	<2	<10	0,12	3,51	1,21	25,2	11,2	5,30	<2
93841	12,2	<1	<0.1	6,9	20,3	72,6	<2	<10	0,11	3,59	1,19	26,0	11,7	5,42	<2
93842	12,0	<1	<0.1	6,8	18,9	69,1	<2	<10	0,12	3,54	1,20	26,1	11,5	5,83	<2
93843	12,8	<1	<0.1	7,0	18,7	69,8	<2	<10	0,12	3,31	1,23	26,6	11,8	6,02	2,4
93844	12,9	<1	<0.1	7,1	18,1	74,4	<2	<10	0,12	3,56	1,25	27,8	12,5	6,05	<2
93845	13,1	<1	<0.1	6,9	16,4	70,6	<2	<10	0,12	3,40	1,25	30,2	13,6	6,45	2,1
93846	12,6	<1	<0.1	6,8	16,6	69,8	<2	<10	0,12	3,30	1,25	30,1	13,5	6,39	<2
93847	12,5	<1	<0.1	6,7	14,9	72,2	<2	<10	0,11	3,12	1,20	28,6	12,8	6,27	2,1
93848	12,8	<1	<0.1	6,9	15,0	78,9	<2	<10	0,12	3,29	1,22	28,1	12,7	6,17	3,1
93849	11,8	<1	<0.1	6,7	16,6	154	<2	<10	0,10	3,66	1,13	27,4	13,0	5,70	3,3
93850	12,7	<1	<0.1	7,1	16,5	89,3	<2	<10	<0.1	3,85	1,21	27,3	12,6	5,95	3,1
93851	12,1	<1	<0.1	6,8	15,2	77,2	<2	<10	<0.1	3,65	1,18	25,4	12,3	6,05	3,4
93852	12,6	<1	<0.1	6,9	17,1	77,3	<2	<10	0,11	3,75	1,23	29,1	13,6	6,35	3,7
93854	13,2	<1	<0.1	7,5	17,6	84,6	2,0	<10	0,12	4,35	1,30	28,9	13,7	6,21	3,7
93856	13,0	<1	<0.1	7,3	17,2	78,8	<2	<10	0,12	3,99	1,28	30,1	14,1	6,18	3,7
93858	12,9	<1	<0.1	7,1	16,4	69,9	<2	<10	0,11	4,04	1,23	28,5	13,6	5,91	3,4
93860	12,7	<1	<0.1	7,0	15,9	76,2	<2	<10	<0.1	3,88	1,24	28,3	13,3	6,56	3,2
Standard Hynne	53,3	<1	<0.1	48,7	71,3	71,5	17,3	23	0,36	26,0	4,48	46,6	22,1	11,1	6,6
MINN standard	33,7	<1	<0.1	21,0	54,9	4,6	7,7	<10	0,24	16,0	2,73	25,0	16,1	8,64	5,1

Prøve ID	Si	Al	Fe	Ti	Mg	Ca	Na	K	Mn	P	Cu	Zn	Pb	Ni	Co
	[mg/kg]	[mg/kg]	[mg/kg]	[mg/kg]	[mg/kg]	[mg/kg]	[mg/kg]	[mg/kg]	[mg/kg]	[mg/kg]	[mg/kg]	[mg/kg]	[mg/kg]	[mg/kg]	[mg/kg]
93927	548	5070	6850	629	4260	70600	8410	2350	115	1140	8,1	24,8	10,6	10,6	2,54
93949	604	5260	7220	481	6570	114000	9860	2420	211	934	6,2	23,7	11,3	11,2	2,97
93971	516	7510	10700	683	7160	106000	13500	3810	404	1070	10,2	36,1	17,4	14,0	4,43
94082	367	9320	14400	947	11400	126000	28300	5200	198	1240	24,8	72,1	37,1	25,7	4,86
94003	562	3450	4590	357	7900	173000	13600	1980	88,3	641	8,3	22,7	12,3	10,0	1,84
94020	551	6980	9490	653	8970	157000	24700	3900	165	941	15,6	42,4	20,4	18,5	3,22
94057	637	4670	5680	479	5470	140000	11600	2250	94,0	778	7,5	22,2	10,6	11,0	2,09
Standard Hynne	286	19100	26900	1240	13700	19000	6340	6740	352	620	16,1	73,3	9,9	36,2	10,1
MINN standard	446	16900	29800	2150	6130	975	<200	5760	218	398	8,1	60,3	10,5	17,9	10,2

Prøve ID	V	Mo	Cd	Cr	Ba	Sr	Zr	B	Be	Li	Sc	Ce	La	Y	As
	[mg/kg]	[mg/kg]	[mg/kg]	[mg/kg]	[mg/kg]	[mg/kg]	[mg/kg]	[mg/kg]	[mg/kg]	[mg/kg]	[mg/kg]	[mg/kg]	[mg/kg]	[mg/kg]	[mg/kg]
93927	18,0	<1	<0.1	11,4	38,3	324	<2	18	<0.1	6,12	1,74	36,7	19,1	6,85	4,2
93949	16,6	<1	<0.1	9,4	38,0	734	<2	26	<0.1	6,76	1,61	29,5	14,7	7,08	3,7
93971	23,0	<1	<0.1	14,0	61,5	622	2,1	31	0,15	10,5	2,24	36,4	18,3	7,86	5,2
94082	43,1	<1	0,30	24,0	74,6	820	2,4	89	0,19	11,4	3,18	37,4	20,8	10,1	13,0
94003	13,9	<1	<0.1	8,3	31,0	1160	<2	39	<0.1	5,00	1,13	20,3	12,0	5,93	4,8
94020	24,6	<1	0,12	21,7	51,3	984	<2	60	0,11	9,83	2,37	32,5	18,2	8,79	6,0
94057	14,4	<1	<0.1	11,1	29,4	832	<2	30	<0.1	6,07	1,58	29,3	16,3	7,49	3,5
Standard Hynne	52,6	<1	<0.1	48,6	70,0	70,7	17,1	23	0,37	27,4	4,44	48,1	22,9	11,1	7,5
MINN standard	33,3	<1	<0.1	20,9	54,8	4,7	8,3	<10	0,24	16,3	2,69	27,5	15,6	8,77	4,7

Prøve id.	Cd µg/g	Pb µg/g	As µg/g	Se µg/g
98090	0,07	19,0	5,99	1,0
98091	0,06	19,7	7,41	<1
98092	0,05	20,8	7,67	<1
71417	0,05	21,2	6,90	1,0
71418	0,09	22,0	3,23	1,0
71419	0,09	21,8	2,95	<1
71420	0,08	22,7	3,49	<1
71421	0,07	23,2	3,46	1,0
71422	0,07	24,1	3,41	<1
71423	0,08	24,5	3,47	1,1
71424	0,09	22,1	3,35	<1
71425	0,12	20,5	3,48	1,0
71426	0,12	18,0	3,39	<1
71427	0,12	16,2	3,35	<1
71428	0,13	14,4	3,43	<1
71430	0,17	12,0	3,32	1,0
71432	0,18	10,6	3,03	<1
71434	0,12	10,8	3,62	<1
71436	0,12	10,0	4,38	<1
71438	0,15	9,63	4,95	<1
71440	0,210	9,55	4,73	<1
71442	0,14	9,39	4,20	<1
71444	0,18	9,10	3,92	<1
Standard Hynne	0,07	12,5	3,83	<1
MINN standard	<0.02	13,1	1,67	<1
71351	0,06	5,92	2,39	<1
71352	0,08	6,34	2,54	<1
71353	0,07	5,99	2,05	<1
71354	0,07	6,04	2,02	<1
71355	0,06	5,89	2,18	<1
71356	0,06	5,73	1,62	<1
71357	0,07	5,30	1,92	<1
71358	0,429	5,47	1,79	2,1
71359	1,02	6,54	3,32	1,9
71360	0,574	6,67	4,73	1,0
71361	0,411	6,62	5,47	<1
71362	0,243	6,48	5,94	<1

Prøve id.	Cd µg/g	Pb µg/g	As µg/g	Se µg/g
71363	0,17	5,94	4,65	<1
71364	0,18	6,47	5,08	<1
71365	0,16	6,79	4,99	<1
71367	0,14	7,35	5,58	<1
71369	0,02	3,59	2,69	<1
93768	0,04	10,8	3,64	<1
Standard Hynne	0,07	13,0	3,88	<1
MINN standard	<0.02	13,3	1,80	<1
71446	0,06	17,1	6,00	<1
71447	0,05	18,2	5,78	<1
71448	0,04	17,2	6,35	<1
71449	0,03	17,9	7,27	<1
71450	0,04	15,8	5,89	<1
71451	0,07	14,6	5,68	<1
71452	0,06	11,4	4,83	<1
71453	0,10	10,3	4,12	<1
71454	0,10	9,47	4,41	<1
71455	0,09	8,10	4,38	<1
71456	0,07	7,73	4,50	<1
71457	0,07	7,39	4,57	<1
71458	0,07	7,31	4,58	<1
71459	0,07	7,57	4,73	<1
71460	0,09	7,74	4,91	<1
71461	0,07	7,61	4,85	<1
71462	0,07	7,62	4,84	<1
71463	0,09	7,18	5,18	<1
71464	0,06	6,91	5,02	<1
71465	0,06	7,23	5,35	<1
Standard Hynne	0,06	12,2	3,88	<1
MINN standard	<0.02	13,7	1,84	<1
98093	0,06	16,4	3,74	<1
71553	0,05	16,2	3,48	<1
71554	0,05	17,9	4,15	<1
71555	0,08	18,4	3,46	<1
71556	0,06	16,7	2,42	<1
71557	0,06	17,3	2,25	<1
71558	0,05	15,6	2,01	<1

Prøve id.	Cd µg/g	Pb µg/g	As µg/g	Se µg/g
71559	0,06	15,6	2,04	<1
71560	0,07	13,9	2,06	<1
71561	0,07	14,3	2,14	<1
71562	0,08	13,6	2,20	<1
71563	0,08	12,2	2,44	<1
71564	0,08	11,5	2,70	<1
71565	0,16	9,62	2,83	<1
71566	0,15	8,65	2,82	<1
71567	0,11	7,79	2,47	<1
71568	0,08	7,92	2,36	<1
71569	0,08	8,15	2,44	<1
71570	0,06	7,60	2,20	<1
71571	0,07	7,06	2,27	<1
71572	0,07	6,86	2,31	<1
71573	0,08	6,79	2,30	<1
71574	0,16	7,06	2,29	<1
71575	0,18	7,74	2,29	<1
71576	0,09	6,58	2,17	<1
71577	0,07	6,48	2,24	<1
71578	0,06	6,11	2,06	<1
71579	0,06	6,24	2,09	<1
71580	0,07	5,97	2,38	<1
71581	0,07	6,01	2,70	<1
71582	0,06	6,02	2,64	<1
71583	0,06	5,99	2,72	<1
71584	0,10	5,65	2,63	<1
71585	0,05	5,53	2,44	<1
71586	0,06	6,06	2,59	<1
Standard Hynne	0,07	13,2	4,12	<1
MINN standard	<0.02	13,9	1,84	<1
98094	0,13	18,6	10,8	1,2
98095	0,13	19,2	19,9	1,4
98096	0,12	21,2	10,5	1,1
93629	0,10	18,8	9,87	<1
93630	0,09	18,2	10,3	1,0
93631	0,09	18,2	11,6	1,0
93632	0,09	17,9	10,0	<1

Prøve id.	Cd µg/g	Pb µg/g	As µg/g	Se µg/g
93633	0,08	15,9	10,1	1,0
93634	0,08	14,4	10,7	<1
93635	0,09	13,7	13,9	<1
93636	0,15	12,1	11,7	<1
93637	0,11	11,8	14,2	<1
93638	0,06	12,0	9,95	<1
93639	0,05	12,5	11,2	<1
93640	0,06	11,4	10,1	<1
93641	0,05	11,7	10,4	<1
93642	0,06	11,5	10,8	<1
93643	0,06	11,7	10,4	<1
93644	0,06	11,7	10,9	<1
93645	0,06	11,5	11,7	<1
93646	0,06	11,6	13,2	1,0
93647	0,05	11,4	14,2	<1
93648	0,05	11,3	14,2	<1
93649	0,07	11,4	12,2	<1
93650	0,07	12,1	9,64	<1
Standard Hynne	0,07	14,0	4,46	<1
MINN standard	<0.02	13,9	2,03	<1
93709	0,06	11,6	6,36	<1
98051	0,16	20,8	9,85	1,1
98052	0,15	23,0	9,79	1,2
98053	0,12	21,9	9,44	1,1
98054	0,12	20,7	9,75	1,1
98055	0,11	19,4	9,64	1,0
98056	0,10	18,4	9,71	1,0
98057	0,10	17,9	9,73	<1
98058	0,10	17,6	10,3	<1
98059	0,10	16,3	10,5	<1
98060	0,09	16,1	11,0	<1
98061	0,08	13,6	10,7	<1
98062	0,08	12,6	10,7	<1
98063	0,08	12,3	11,3	<1
98064	0,09	12,1	11,7	<1
98065	0,08	11,7	11,7	<1
98066	0,07	12,1	12,2	<1

Prøve id.	Cd µg/g	Pb µg/g	As µg/g	Se µg/g
98067	0,08	12,5	13,3	<1
98068	0,09	12,8	14,2	<1
98069	0,08	12,7	16,3	<1
98070	0,07	12,1	16,2	<1
98071	0,05	12,3	16,3	<1
98072	0,05	12,2	14,6	<1
98073	0,05	11,9	15,1	<1
98074	0,05	11,9	15,1	<1
98075	0,05	11,7	14,7	<1
98076	0,04	11,3	20,7	<1
98077	0,04	11,2	19,7	<1
98078	0,04	11,5	25,3	<1
98079	0,04	11,4	17,7	<1
98080	0,06	11,0	11,9	1,3
98081	0,07	11,7	17,0	2,4
98082	0,17	11,0	12,8	2,1
98083	0,20	11,8	18,8	<1
98084	0,11	11,9	26,9	<1
98085	0,17	11,9	13,4	1,0
98086	0,304	12,2	5,42	1,3
98087	0,226	11,7	4,82	<1
98088	0,08	12,0	6,28	<1
98089	0,10	12,2	6,69	<1
65490	0,11	12,1	5,17	<1
65491	0,06	12,1	5,55	<1
65492	0,05	13,1	5,65	<1
Standard Hynne	0,07	14,9	4,72	<1
MINN standard	<0.02	14,5	2,15	<1
65569	0,07	17,1	6,50	<1
65771	0,16	22,5	10,2	1,2
65678	0,12	27,6	9,70	1,5
65679	0,13	27,7	9,95	1,5
65680	0,13	29,1	10,2	1,6
65681	0,14	29,6	10,3	1,4
65682	0,13	30,1	9,96	1,3
65683	0,14	31,3	10,8	1,5
65684	0,12	27,9	10,8	1,3

Prøve id.	Cd µg/g	Pb µg/g	As µg/g	Se µg/g
65685	0,08	25,8	12,5	1,1
65686	0,09	23,6	17,1	1,0
65687	0,11	21,4	23,7	1,6
65688	0,08	19,3	11,5	1,9
65689	0,10	17,9	5,90	2,0
65690	0,13	16,5	3,96	2,1
65691	0,222	15,7	4,03	2,1
65692	0,380	15,2	3,59	1,7
65694	0,241	15,5	4,20	1,4
65696	0,19	15,5	4,29	1,7
65698	0,311	14,9	4,00	2,1
65700	0,460	14,8	4,33	2,0
65702	0,344	15,6	4,72	1,8
65704	0,265	15,1	4,82	1,9
65706	0,343	14,5	5,34	1,9
65708	0,337	15,1	5,84	1,7
65710	0,228	13,9	6,34	1,6
65712	0,208	13,8	6,00	1,5
Standard Hynne	0,08	14,8	4,16	<1
MINN standard	0,02	14,9	1,93	<1

INSTRUMENT: Thermo Fisher Scientific "ELEMENT XR"

METODE: Metodeoppsettet er beskrevet i NGU-SD 2.20: ICP-MS -analyse av ekstrakter
Metoden anvendes på analyseløsninger fremstilt ved ekstraksjon med 7 N HNO₃ i autoklav i samsvar med Norsk Standard - NS 4770
Analysen er således basert på partiell syreekstraksjon i 7N HNO₃ og de rapporterte analyseverdier representerer derfor ikke totalverdier i prøven

NEDRE BESTEMMELSESGRENSER (LLQ) OG USIKKERHETER VED ANALYSER BASERT PÅ EKSTRAKSJON (1 g prøve i 1000 ml analysevolum)

(1 µg/g = 1 ppm) (For analyser med høyere tynningsfaktor enn 1000, blir LLQ automatisk omregnet).

	As*	Cd*	Cr	Cu	Ni	Pb*	Se*	V	Zn
	µg/g	µg/g	µg/g	µg/g	µg/g	µg/g	µg/g	µg/g	µg/g
LLQ:	0,03	0,02	0,15	0,2	1	0,1	1	0,05	1
Usikkerhet LLQ – 5*LLQ	50 %	37,5 %	50 %	50 %	50 %	50 %	50 %	50 %	50 %
Usikkerhet > 5*LLQ	20 %	15 %	20 %	20 %	20 %	20 %	20 %	20 %	20 %
INFO: 5*LLQ =	0,15	0,1	0,75	1	5	0,5	5	0,25	5

Oppgitte usikkerheter har dekningsfaktor 2 (2 standardavvik), noe som tilsvarer et konfidensintervall på 95 %

*) Akkreditering omfatter kun elementene Cd, Pb, As og Se

PRESISJON: Det analyseres rutinemessig kontrollprøver som føres i kontrolldiagram (X-diagram). Disse kan forevises om ønskelig.

ANTALL PRØVER: 219

ANMERKNINGER: Prøvene er analysert i sekvens 2013-0039_ekstrakter den 23. april 2013

Gjengivelse av analysedata skal skje på en slik måte at meningsinnholdet i rapporten ikke endres.

Ferdig analysert:	23.04.2013	Øyvind Skår
	Dato	OPERATØR

Prøve id.	Sn mg/kg
98090	2,1
98091	2,1
98092	< 2
71417	2,2
71418	2,1
71419	< 2
71420	< 2
71421	< 2
71422	< 2
71423	< 2
71424	< 2
71425	< 2
71426	2,8
71427	< 2
71428	3,0
71430	< 2
71432	< 2
71434	< 2
71436	2,1
71438	< 2
71440	< 2
71442	< 2
71444	< 2
Standard Hynne	< 2
MINN standard	< 2
71351	< 2
71352	< 2
71353	< 2
71354	< 2
71355	< 2
71356	2,5
71357	3,1
71358	2,2
71359	< 2
71360	< 2

Prøve id.	Sn mg/kg
71361	< 2
71362	< 2
71363	< 2
71364	< 2
71365	2,1
71367	< 2
71369	< 2
93768	< 2
Standard Hynne	< 2
MINN standard	< 2
71446	< 2
71447	2,8
71448	< 2
71449	3,3
71450	2,6
71451	2,5
71452	< 2
71453	< 2
71454	2,3
71455	< 2
71456	< 2
71457	< 2
71458	3,6
71459	3,5
71460	< 2
71461	2,7
71462	< 2
71463	2,2
71464	< 2
71465	< 2
Standard Hynne	2,3
MINN standard	2,5
98093	2,8
71553	3,0
71554	2,2

Prøve id.	Sn mg/kg
71555	< 2
71556	< 2
71557	< 2
71558	2,5
71559	2,9
71560	< 2
71561	< 2
71562	< 2
71563	3,5
71564	2,2
71565	< 2
71566	< 2
71567	4,2
71568	2,5
71569	< 2
71570	2,3
71571	< 2
71572	2,5
71573	< 2
71574	2,9
71575	< 2
71576	< 2
71577	< 2
71578	< 2
71579	< 2
71580	< 2
71581	< 2
71582	< 2
71583	< 2
71584	< 2
71585	< 2
71586	2,3
Standard Hynne	2,1
MINN standard	< 2
98094	< 2

Prøve id.	Sn mg/kg
98095	< 2
98096	< 2
93629	< 2
93630	3,1
93631	2,5
93632	2,4
93633	< 2
93634	< 2
93635	< 2
93636	< 2
93637	< 2
93638	< 2
93639	< 2
93640	< 2
93641	2,5
93642	< 2
93643	< 2
93644	< 2
93645	< 2
93646	2,1
93647	< 2
93648	< 2
93649	< 2
93650	< 2
Standard Hynne	< 2
MINN standard	< 2
93709	< 2
98051	< 2
98052	< 2
98053	< 2
98054	< 2
98055	< 2
98056	< 2
98057	< 2
98058	< 2

Prøve id.	Sn mg/kg
98059	2,4
98060	< 2
98061	< 2
98062	< 2
98063	2,5
98064	< 2
98065	2,4
98066	< 2
98067	2,1
98068	2,8
98069	3,4
98070	< 2
98071	< 2
98072	2,3
98073	< 2
98074	2,6
98075	< 2
98076	2,0
98077	< 2
98078	3,0
98079	2,2
98080	< 2
98081	< 2
98082	< 2
98083	2,5
98084	< 2
98085	< 2
98086	< 2
98087	< 2
98088	3,3
98089	2,6
65490	< 2
65491	< 2
65492	< 2
Standard Hynne	< 2

Prøve id.	Sn mg/kg
MINN standard	< 2
65569	2,1
65771	< 2
65678	< 2
65679	< 2
65680	< 2
65681	< 2
65682	3,1
65683	< 2
65684	< 2
65685	2,7
65686	2,8
65687	2,6
65688	2,2
65689	2,7
65690	3,0
65691	3,7
65692	3,0
65694	3,4
65696	2,6
65698	< 2
65700	2,6
65702	2,9
65704	2,6
65706	3,9
65708	2,3
65710	3,5
65712	3,6
Standard Hynne	< 2
MINN standard	< 2



Atomabsorpsjonsanalyse (GF-AAS) av Cd, Pb, As, Se og Sn
GEOLOGISK MATERIALE
ANALYSEKONTRAKTNR. 2012.0397



Atomabsorpsjonsanalyse (GF-AAS) av Cd, Pb, As, Se og Sn
GEOLOGISK MATERIALE
ANALYSEKONTRAKTNR. 2012.0397



Atomabsorpsjonsanalyse (GF-AAS) av Cd, Pb, As, Se og Sn
GEOLOGISK MATERIALE
ANALYSEKONTRAKTNR. 2012.0397



Atomabsorpsjonsanalyse (GF-AAS) av Cd, Pb, As, Se og Sn
GEOLOGISK MATERIALE
ANALYSEKONTRAKTNR. 2012.0397



Atomabsorpsjonsanalyse (GF-AAS) av Cd, Pb, As, Se og Sn
GEOLOGISK MATERIALE
ANALYSEKONTRAKTNR. 2012.0397



Atomabsorpsjonsanalyse (GF-AAS) av Cd, Pb, As, Se og Sn
GEOLOGISK MATERIALE
ANALYSEKONTRAKTNR. 2012.0397

Prøve ID	Hg [mg/kg]
98090	0,024
98091	0,025
98092	0,023
71417	0,024
71418	0,026
71419	0,025
71420	0,025
71421	0,026
71422	0,027
71423	0,027
71424	0,026
71425	0,024
71426	0,022
71427	0,020
71428	0,019
71430	0,017
71432	0,016
71434	0,016
71436	0,014
71438	0,015
71440	0,014
71442	0,015
71444	0,014
Standard Hynne	0,023
MINN standard	< 0.005
71351	0,012
71352	0,008
71353	0,006
71354	0,015
71355	0,006
71356	0,007
71357	0,008
71358	0,008
71359	0,008
71360	0,010

Prøve ID	Hg [mg/kg]
71361	0,009
71362	0,009
71363	0,007
71364	0,008
71365	0,009
71367	0,009
71369	< 0.005
93768	0,016
Standard Hynne	0,024
MINN standard	< 0.005
71446	0,023
71447	0,021
71448	0,021
71449	0,021
71450	0,021
71451	0,020
71452	0,015
71453	0,013
71454	0,014
71455	0,012
71456	0,011
71457	0,011
71458	0,011
71459	0,011
71460	0,010
71461	0,017
71462	0,011
71463	0,011
71464	0,009
71465	0,010
Standard Hynne	0,023
MINN standard	< 0.005
98093	0,023
71553	0,019
71554	0,020

Prøve ID	Hg [mg/kg]
71555	0,020
71556	0,020
71557	0,018
71558	0,019
71559	0,017
71560	0,016
71561	0,015
71562	0,016
71563	0,013
71564	0,012
71565	0,011
71566	0,010
71567	0,010
71568	0,009
71569	0,010
71570	0,010
71571	0,009
71572	0,007
71573	0,008
71574	0,009
71575	0,008
71576	0,009
71577	0,009
71578	0,008
71579	0,007
71580	0,008
71581	0,009
71582	0,008
71583	0,008
71584	0,008
71585	0,008
71586	0,008
Standard Hynne	0,024
MINN standard	< 0,005
98094	0,034

Prøve ID	Hg [mg/kg]
98095	0,032
98096	0,037
93629	0,034
93630	0,034
93631	0,036
93632	0,037
93633	0,036
93634	0,034
93635	0,032
93636	0,017
93637	0,027
93638	0,031
93639	0,034
93640	0,026
93641	0,028
93642	0,030
93643	0,030
93644	0,026
93645	0,029
93646	0,029
93647	0,025
93648	0,023
93649	0,027
93650	0,025
Standard Hynne	0,025
MINN standard	< 0,005
93709	0,014
98051	0,035
98052	0,037
98053	0,036
98054	0,037
98055	0,036
98056	0,035
98057	0,035
98058	0,036

Prøve ID	Hg [mg/kg]
98059	0,035
98060	0,033
98061	0,030
98062	0,027
98063	0,026
98064	0,024
98065	0,021
98066	0,020
98067	0,020
98068	0,022
98069	0,022
98070	0,020
98071	0,021
98072	0,023
98073	0,021
98074	0,020
98075	0,022
98076	0,024
98077	0,021
98078	0,021
98079	0,023
98080	0,035
98081	0,031
98082	0,026
98083	0,029
98084	0,026
98085	0,024
98086	0,027
98087	0,021
98088	0,019
98089	0,022
65490	0,022
65491	0,022
65492	0,022
Standard Hynne	0,023

Prøve ID	Hg [mg/kg]
MINN standard	< 0.005
65569	0,021
65771	0,036
65678	0,036
65679	0,037
65680	0,037
65681	0,038
65682	0,037
65683	0,036
65684	0,034
65685	0,033
65686	0,029
65687	0,026
65688	0,027
65689	0,027
65690	0,026
65691	0,026
65692	0,024
65694	0,025
65696	0,024
65698	0,024
65700	0,024
65702	0,024
65704	0,024
65706	0,022
65708	0,023
65710	0,022
65712	0,023
Standard Hynne	0,024
MINN standard	< 0.005



Atomabsorpsjonsanalyse (CV-AAS) av Hg
GEOLOGISK MATERIALE
Analysekontraktnr. 2013.0397



Atomabsorpsjonsanalyse (CV-AAS) av Hg
GEOLOGISK MATERIALE
Analysekontraktnr. 2013.0397



Atomabsorpsjonsanalyse (CV-AAS) av Hg
GEOLOGISK MATERIALE
Analysekontraktnr. 2013.0397



Atomabsorpsjonsanalyse (CV-AAS) av Hg
GEOLOGISK MATERIALE
Analysekontraktnr. 2013.0397



Atomabsorpsjonsanalyse (CV-AAS) av Hg
GEOLOGISK MATERIALE
Analysekontraktnr. 2013.0397



Atomabsorpsjonsanalyse (CV-AAS) av Hg
GEOLOGISK MATERIALE
Analysekontraktnr. 2013.0397

Metoden anvendes på analyseløsninger fremstilt ved ekstraksjon med 7 N HNO₃ i autoklav, i samsvar med Norsk Standard - NS 4770

Analysen er således basert på partiell dekomponering og de rapporterte analyseverdier representerer derfor ikke totalverdier i prøven

INSTRUMENT: CETAC M-6000A Hg Analyzer

METODE: Metodeoppsettet er beskrevet i NGU-SD 2.13: Atomabsorpsjonsanalyse (CV-AAS) av Hg i ekstrakter

NEDRE BESTEMMELSESGRENSE (LLQ): 0,005 mg/kg (mg/kg = ppm)

**Basert på fortynningsfaktor 100, dvs. 1 g prøve fortynnes i 100 ml analysevolum.*

For analyser med fortynningsfaktor som avviker fra 100, blir deteksjonsgrensene og måleområdene automatisk omregnet.

ANALYSEUSIKKERHET: 0.005 - 0.025 mg/kg: ± 40 % rel.

0.025 - 2.00 mg/kg: ± 20 % rel.

Opgitt usikkerhet har dekningsfaktor 2 (2 standardavvik), noe som tilsvarer et konfidensintervall på 95 %

PRESISJON: Det analyseres rutinemessig kontrollprøver som føres i kontrolldiagram (X-diagram). Disse kan forevises om ønskelig.

ANTALL PRØVER: 219

ANMERKNINGER: Ingen

Gjengivelse av analysedata skal skje på en slik måte at meningsinnholdet i rapporten ikke endres.

Ferdig analysert	8. mai. 2013	Frank Berge
	Dato	OPERATØR

Vedlegg 2

TBT-analyser (tributyltinn) analyser
av overflatesedimenter fra 11 utvalgte stasjoner.
Eurofins rapport nr. AR-13-MED MER-013448-01 (1/1)

Norges Geologiske Undersøkelse NGU
Leiv Eirikssons vei 39
7491 TRONDHEIM
Attn: Henning Jensen

AR-13-MM-013448-01

EUNOMO-00079530

 Prøvemottak: 05.08.2013
Temperatur:
Analyseperiode: 05.08.2013-19.08.2013
Referanse: Sedimentprøver 2011 og 2012

ANALYSERAPPORT

Prøvenr.:	439-2013-08050023	Prøvetakingsdato:	01.01.2011 - 31.12.2011			
Prøvetype:	Sedimenter	Prøvetaker:	Oppdragsgiver			
Prøvemerkning:	R682MC001, 0 - 1 cm NGU unik nr. 98090	Analysestartdato:	05.08.2013			
Analyse	Resultat:	Enhet:	MU	Metode:	LOQ:	Grenseverdi
Total tørrstoff	98	%	12%	NS 4764	0.02	
Tributyltinn (TBT)	<1	µg/kg TS	40%	Intern metode	1	

Prøvenr.:	439-2013-08050024	Prøvetakingsdato:	01.01.2011 - 31.12.2011			
Prøvetype:	Sedimenter	Prøvetaker:	Oppdragsgiver			
Prøvemerkning:	R739MC019, 0 - 1 cm NGU unik nr. 98093	Analysestartdato:	05.08.2013			
Analyse	Resultat:	Enhet:	MU	Metode:	LOQ:	Grenseverdi
Total tørrstoff	99	%	12%	NS 4764	0.02	
Tributyltinn (TBT)	<1	µg/kg TS	40%	Intern metode	1	

Prøvenr.:	439-2013-08050025	Prøvetakingsdato:	01.01.2011 - 31.12.2011			
Prøvetype:	Sedimenter	Prøvetaker:	Oppdragsgiver			
Prøvemerkning:	R749MC020, 0 - 1 cm NGU unik nr. 98094	Analysestartdato:	05.08.2013			
Analyse	Resultat:	Enhet:	MU	Metode:	LOQ:	Grenseverdi
Total tørrstoff	98	%	12%	NS 4764	0.02	
Tributyltinn (TBT)	<1	µg/kg TS	40%	Intern metode	1	

Prøvenr.:	439-2013-08050026	Prøvetakingsdato:	01.01.2012 - 31.12.2012			
Prøvetype:	Sedimenter	Prøvetaker:	Oppdragsgiver			
Prøvemerkning:	R769MC001, 0 - 1 cm NGU unik nr. 98051	Analysestartdato:	05.08.2013			
Analyse	Resultat:	Enhet:	MU	Metode:	LOQ:	Grenseverdi
Total tørrstoff	99	%	12%	NS 4764	0.02	
Tributyltinn (TBT)	<1	µg/kg TS	40%	Intern metode	1	

Tegnforklaring:

* (Ikke omfattet av akkrediteringen)
< :Nå mindre enn, > :Større enn, nd :Ikke påvist, MPN :Most Probable Number, cfu :Colony Forming Units, MU :Uncertainty of Measurement, LOQ :Kvantifiseringsgrense

Opplysninger om måleusikkerhet fås ved henvendelse til laboratoriet.

Rapporten må ikke gjengis, unntatt i sin helhet, uten laboratoriets skriftlige godkjenning. Resultatene gjelder kun for de(n) undersøkte prøven(e).



Prøvenr.:	439-2013-08050027	Prøvetakingsdato:	01.01.2012 - 31.12.2012			
Prøvetype:	Sedimenter	Prøvetaker:	Oppdragsgiver			
Prøvemerkning:	R818MC005, 0 - 1 cm NGU unik nr. 98097	Analysestartdato:	05.08.2013			
Analyse	Resultat:	Enhet:	MU	Metode:	LOQ:	Grenseverdi
Total tørrstoff	57	%	12%	NS 4764	0.02	
Tributyltinn (TBT)	<1	µg/kg TS	40%	Intern metode	1	

Prøvenr.:	439-2013-08050028	Prøvetakingsdato:	01.01.2012 - 31.12.2012			
Prøvetype:	Sedimenter	Prøvetaker:	Oppdragsgiver			
Prøvemerkning:	R858MC009, 0 - 1 cm NGU unik nr. 65970	Analysestartdato:	05.08.2013			
Analyse	Resultat:	Enhet:	MU	Metode:	LOQ:	Grenseverdi
Total tørrstoff	99	%	12%	NS 4764	0.02	
Tributyltinn (TBT)	<1	µg/kg TS	40%	Intern metode	1	

Merknader:

Prøven er merket med R858MC010 på lokket.

Prøvenr.:	439-2013-08050029	Prøvetakingsdato:	01.01.2012 - 31.12.2012			
Prøvetype:	Sedimenter	Prøvetaker:	Oppdragsgiver			
Prøvemerkning:	R882BC011, 0 - 1 cm NGU unik nr. 65931	Analysestartdato:	05.08.2013			
Analyse	Resultat:	Enhet:	MU	Metode:	LOQ:	Grenseverdi
Total tørrstoff	58	%	12%	NS 4764	0.02	
Tributyltinn (TBT)	<1	µg/kg TS	40%	Intern metode	1	

Prøvenr.:	439-2013-08050030	Prøvetakingsdato:	01.01.2012 - 31.12.2012			
Prøvetype:	Sedimenter	Prøvetaker:	Oppdragsgiver			
Prøvemerkning:	R997MC015, 0 - 1 cm NGU unik nr. 93821	Analysestartdato:	05.08.2013			
Analyse	Resultat:	Enhet:	MU	Metode:	LOQ:	Grenseverdi
Total tørrstoff	100	%	12%	NS 4764	0.02	
Tributyltinn (TBT)	<1	µg/kg TS	40%	Intern metode	1	

Prøvenr.:	439-2013-08050031	Prøvetakingsdato:	01.01.2012 - 31.12.2012			
Prøvetype:	Sedimenter	Prøvetaker:	Oppdragsgiver			
Prøvemerkning:	R1046MC017, 0 - 1 cm NGU unik nr. 93889	Analysestartdato:	05.08.2013			
Analyse	Resultat:	Enhet:	MU	Metode:	LOQ:	Grenseverdi
Total tørrstoff	99	%	12%	NS 4764	0.02	
Tributyltinn (TBT)	<1	µg/kg TS	40%	Intern metode	1	

Tegnforklaring:

* (Ikke omfattet av akkrediteringen)

< :Ljindre enn, > :Større enn, nd :Ikke påvist, MPN :Most Probable Number, cfu :Colony Forming Units, MU :Uncertainty of Measurement, LOQ :Kvantifiseringsgrense

Opplysninger om måleusikkerhet fås ved henvendelse til laboratoriet.

Rapporten må ikke gjengis, unntatt i sin helhet, uten laboratoriets skriftlige godkjenning. Resultatene gjelder kun for de(n) undersøkte prøven(e).



Prøvenr.:	439-2013-08050032	Prøvetakingsdato:	01.01.2012 - 31.12.2012			
Prøvetype:	Sedimenter	Prøvetaker:	Oppdragsgiver			
Prøvemerkning:	R1064MC021, 0 - 1 cm NGU unik nr. 93949	Analysestartdato:	05.08.2013			
Analyse	Resultat:	Enhet:	MU	Metode:	LOQ:	Grenseverdi
Total tørrstoff	100	%	12%	NS 4764	0.02	
Tributyltinn (TBT)	<1	µg/kg TS	40%	Intern metode	1	
Merknader: Prøven er merket med R1064MC020 på lokket.						

Prøvenr.:	439-2013-08050033	Prøvetakingsdato:	01.01.2012 - 31.12.2012			
Prøvetype:	Sedimenter	Prøvetaker:	Oppdragsgiver			
Prøvemerkning:	R1067BC037, 0 - 2 cm NGU unik nr. 94082	Analysestartdato:	05.08.2013			
Analyse	Resultat:	Enhet:	MU	Metode:	LOQ:	Grenseverdi
Total tørrstoff	97	%	12%	NS 4764	0.02	
Tributyltinn (TBT)	<1	µg/kg TS	40%	Intern metode	1	

Moss 19.08.2013


Grethe Arnestad

ASM/Cand.Mag. Kjemi

Tegnforklaring:

* (Ikke omfattet av akkrediteringen)

< :Lilnre enn, > :Større enn, nd :Ikke påvist, MPN :Most Probable Number, cfu :Colony Forming Units, MU :Uncertainty of Measurement, LOQ :Kvantifiseringsgrense

Opplysninger om måleusikkerhet fås ved henvendelse til laboratoriet.

Rapporten må ikke gjengis, unntatt i sin helhet, uten laboratoriets skriftlige godkjenning. Resultatene gjelder kun for de(n) undersøkte prøven(e).

Vedlegg 3

Kart over Total organisk karbon (TOC), karbonat, fraksjon < 63 µm, As, Ba, Cd, Cr, Cu, Hg, Ni, Zn og TBT.

Oversiktskart og stasjonsnummer

Stasjoner 2011-12

Analysert

- kun 0-1 cm
- også kjerne

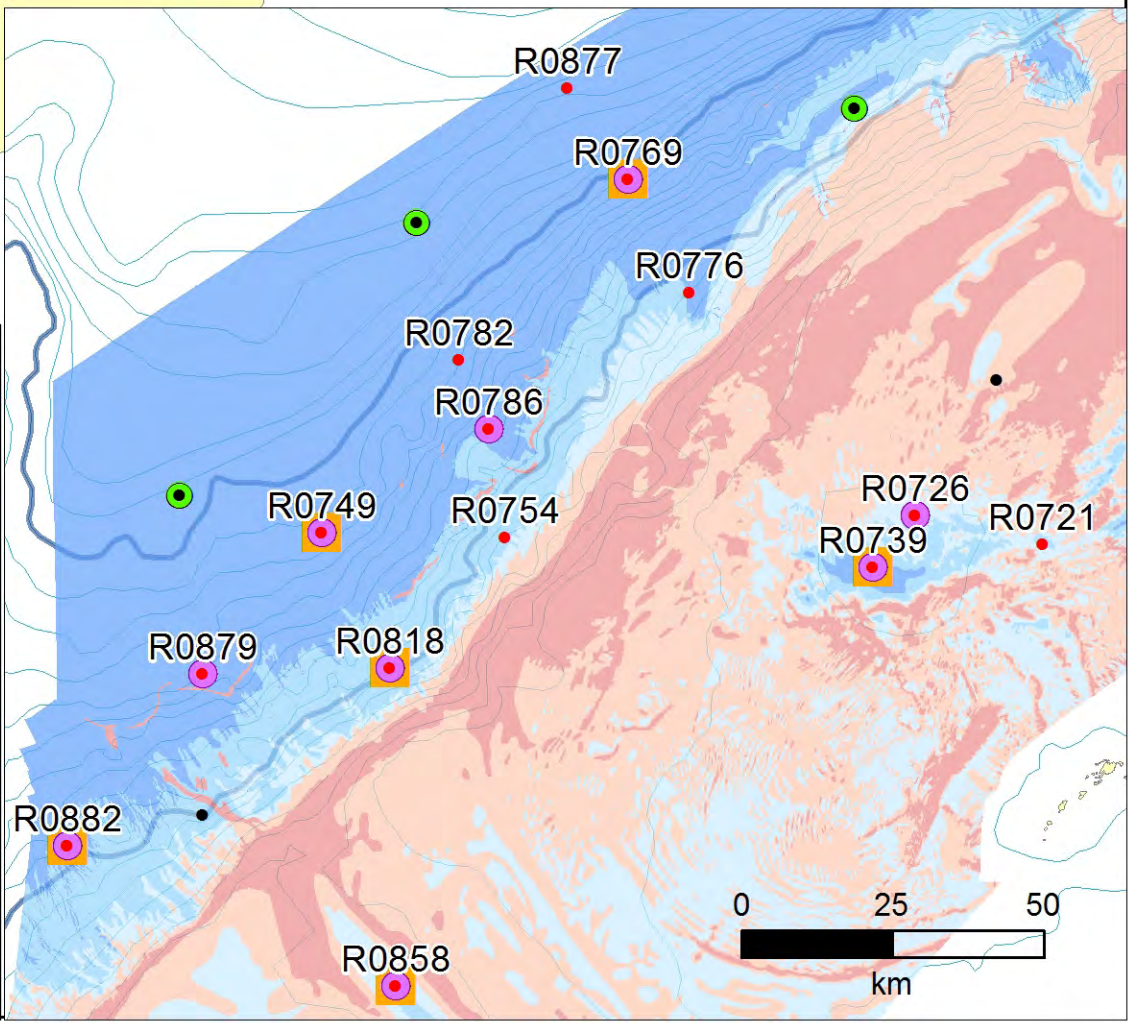
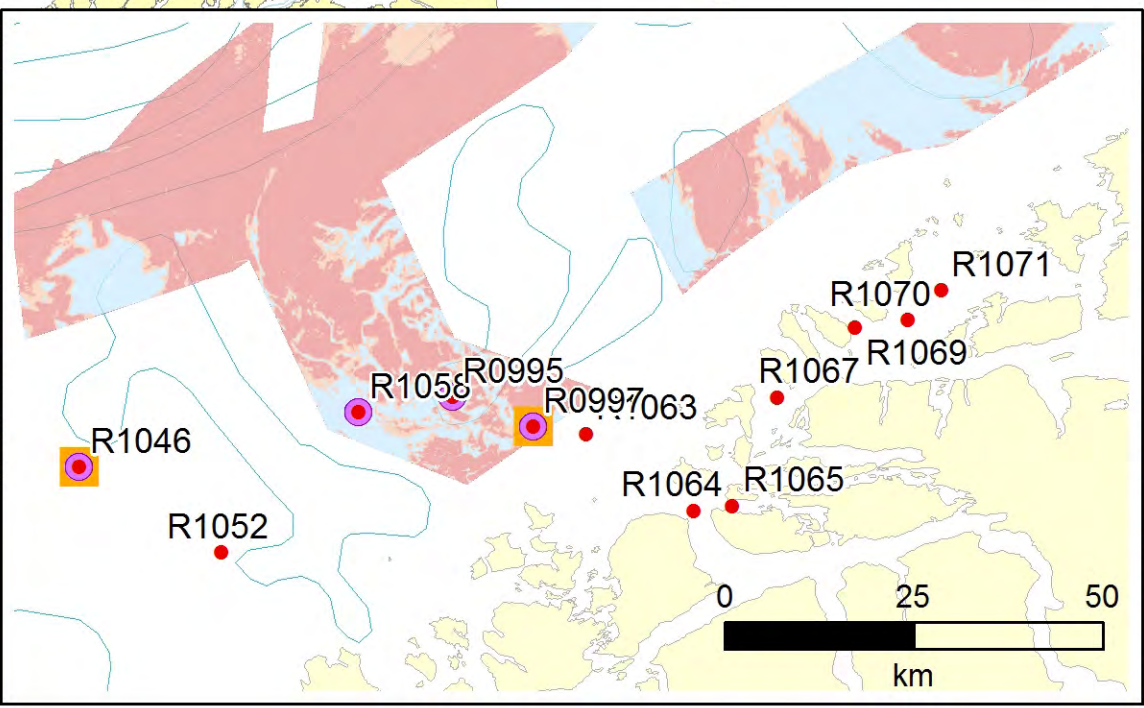
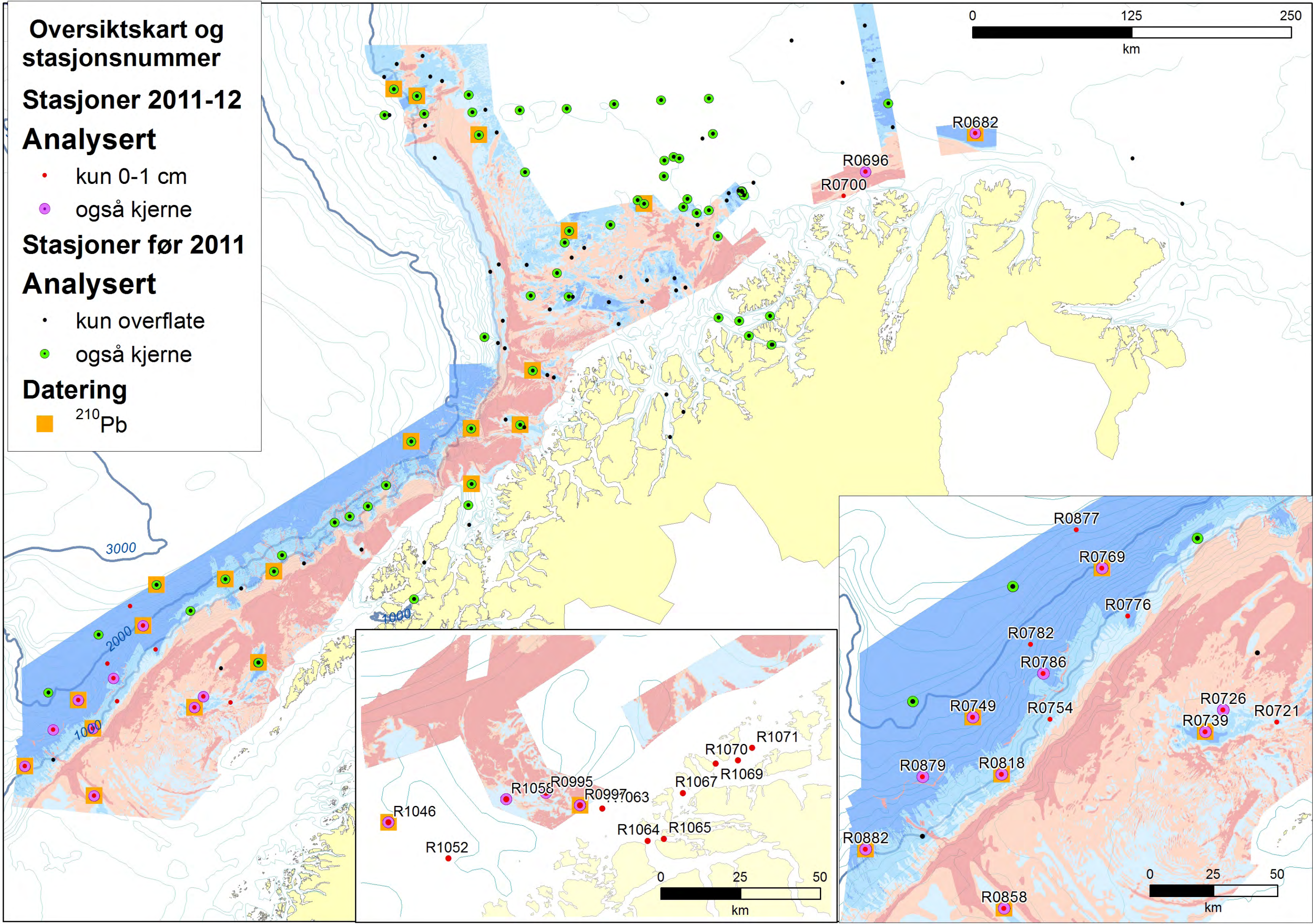
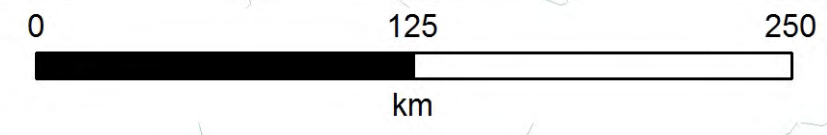
Stasjoner før 2011

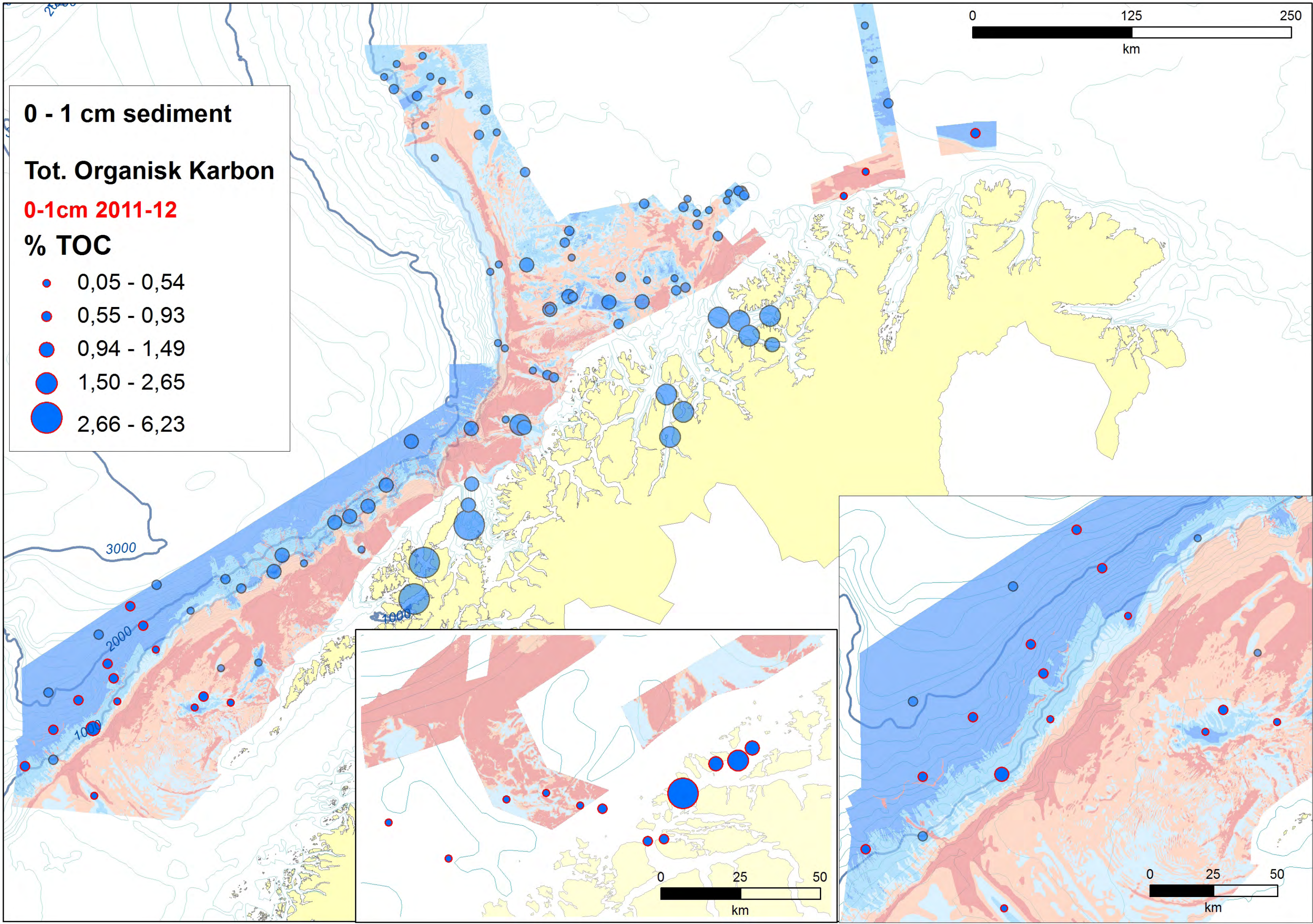
Analysert

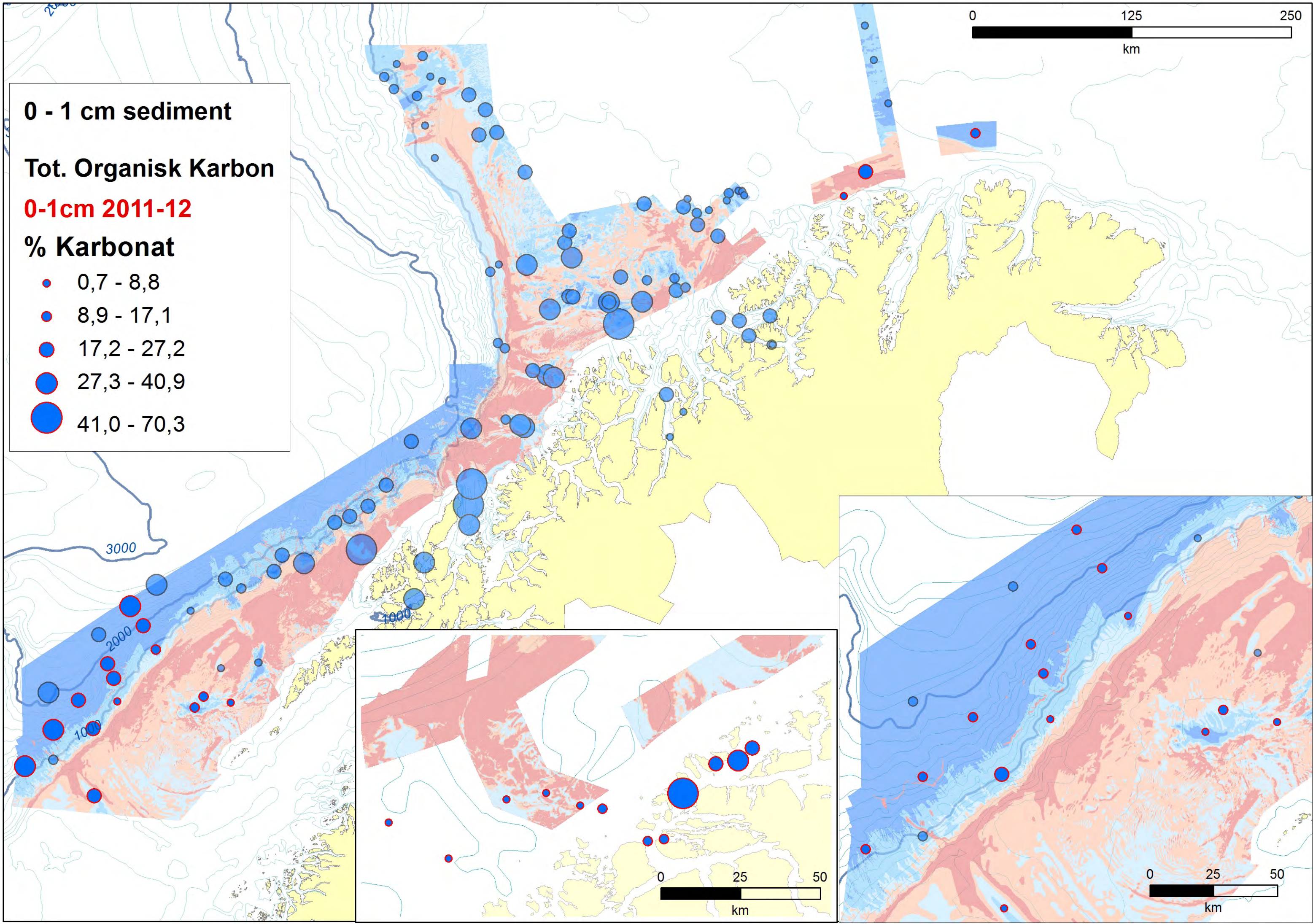
- kun overflate
- også kjerne

Datering

- ^{210}Pb







0 - 1 cm sediment

Tot. Organisk Karbon

0-1cm 2011-12

% Karbonat

- 0,7 - 8,8
- 8,9 - 17,1
- 17,2 - 27,2
- 27,3 - 40,9
- 41,0 - 70,3

0 125 250
km

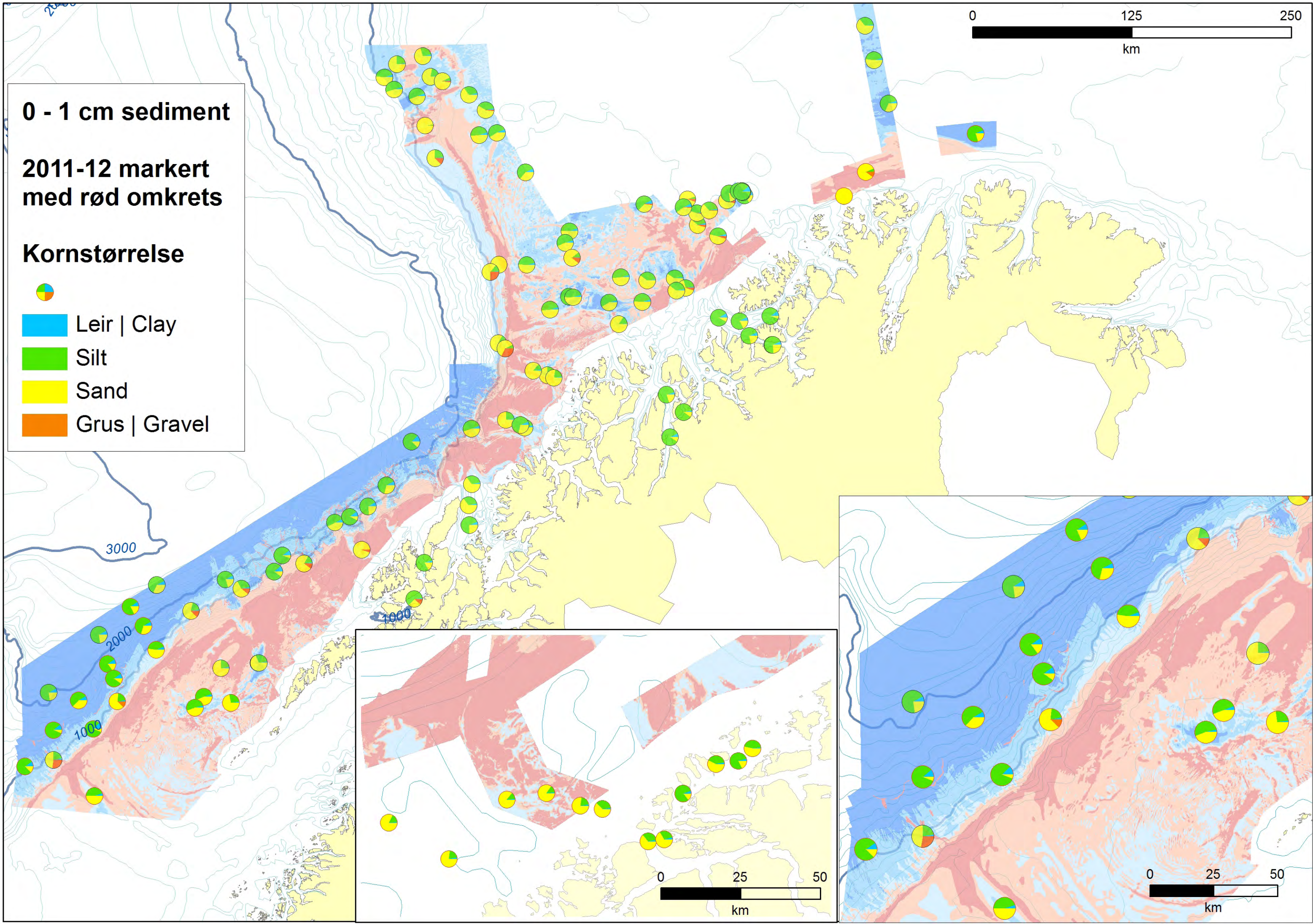
3000

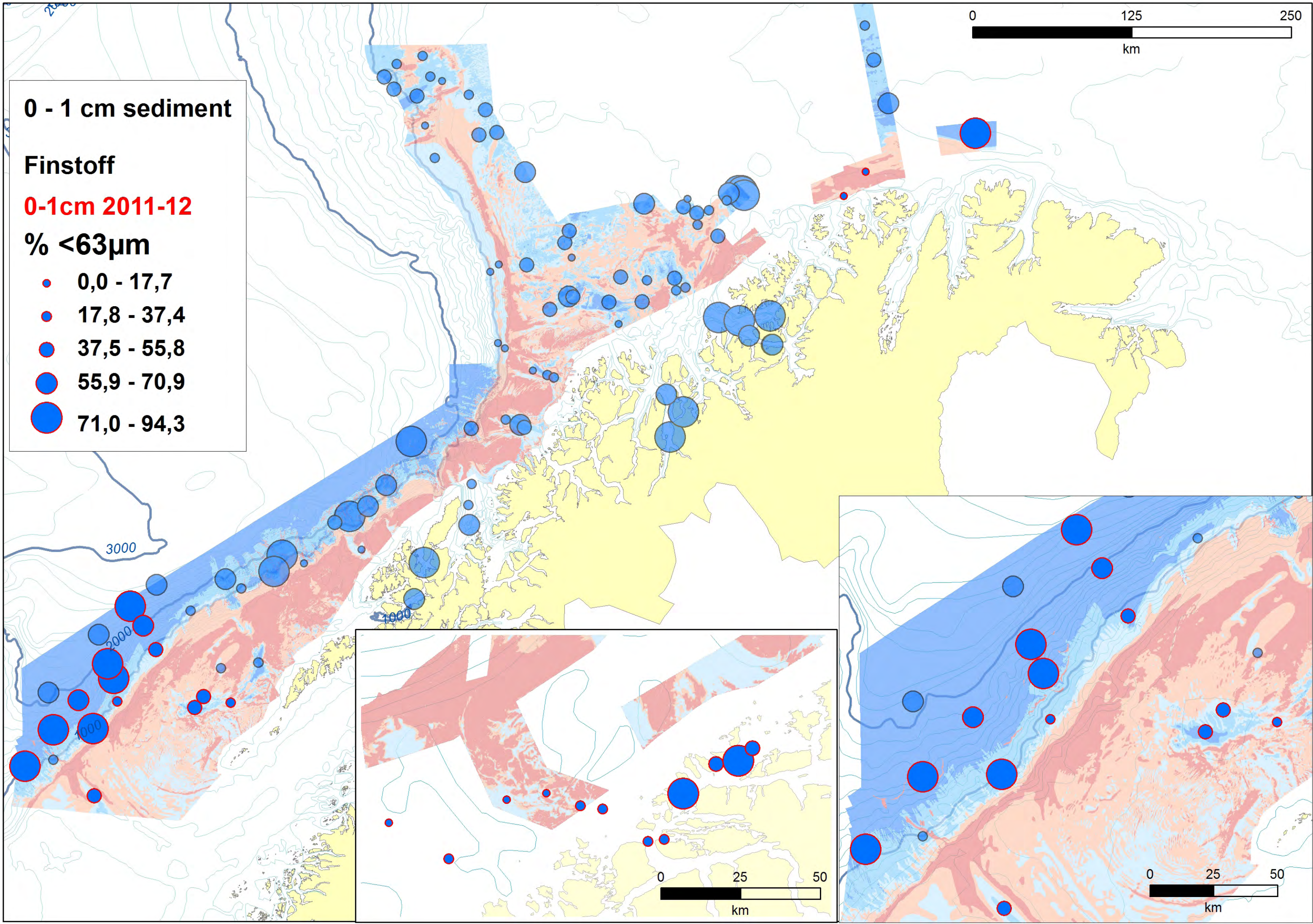
2000

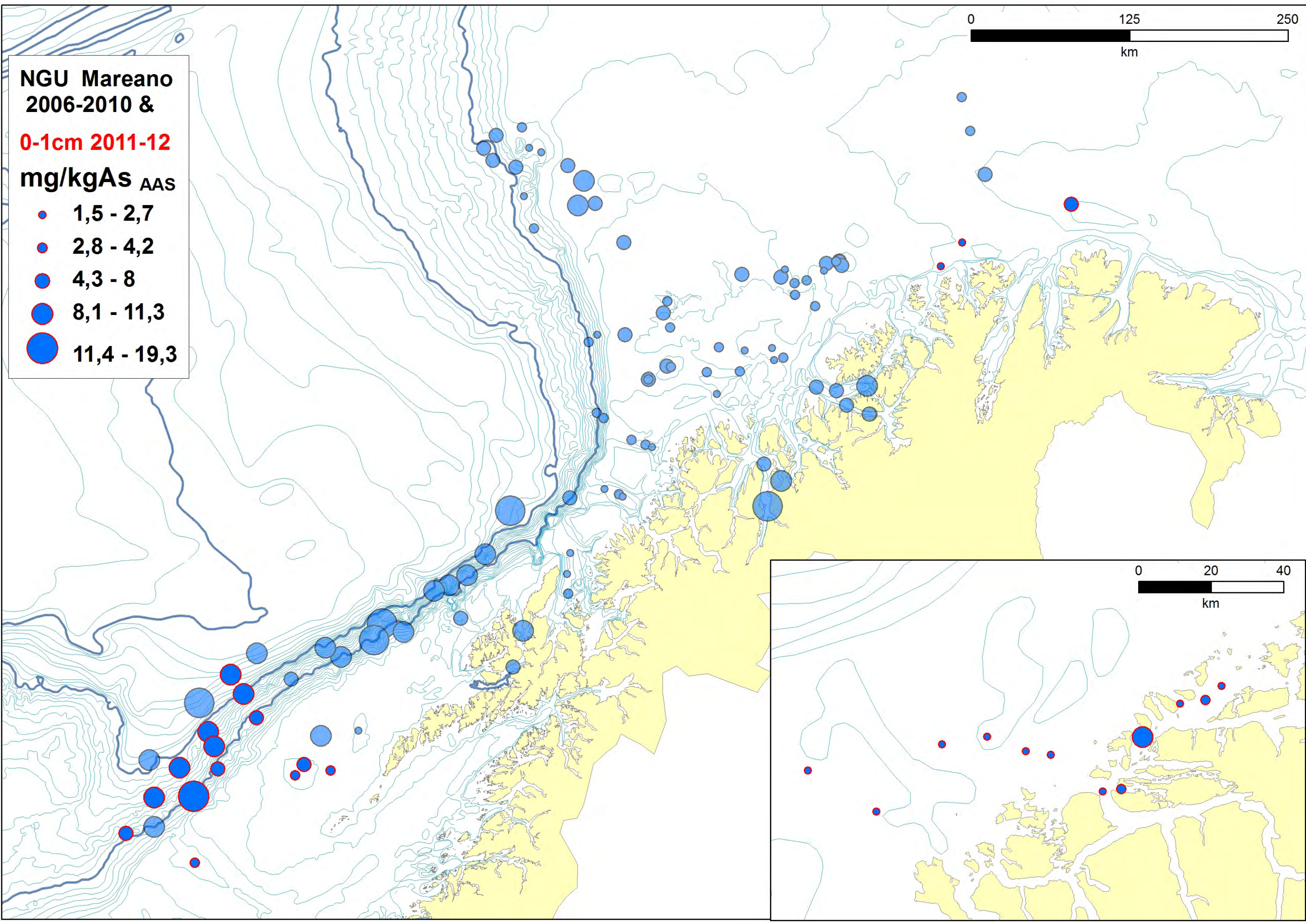
1000

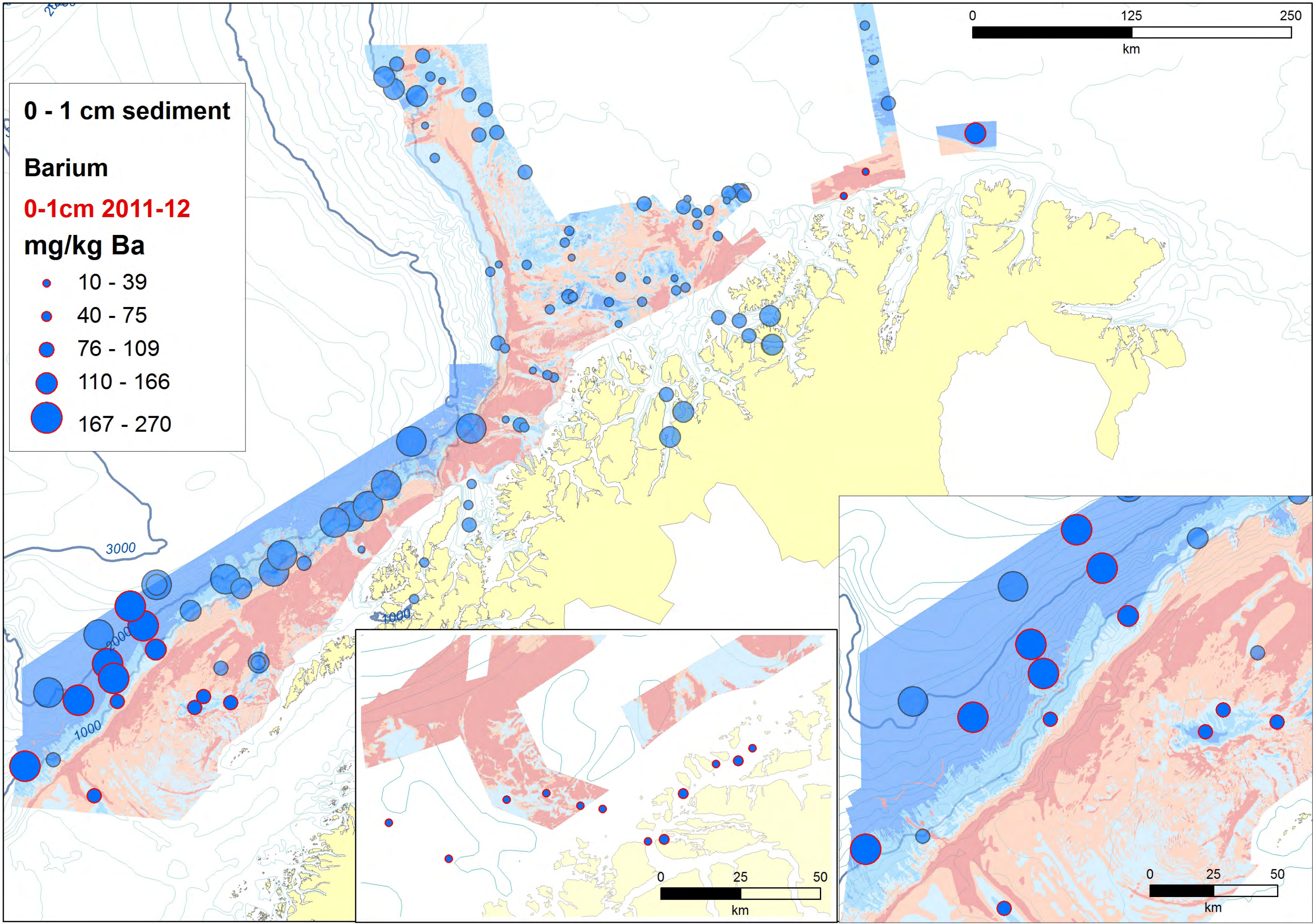
0 25 50
km

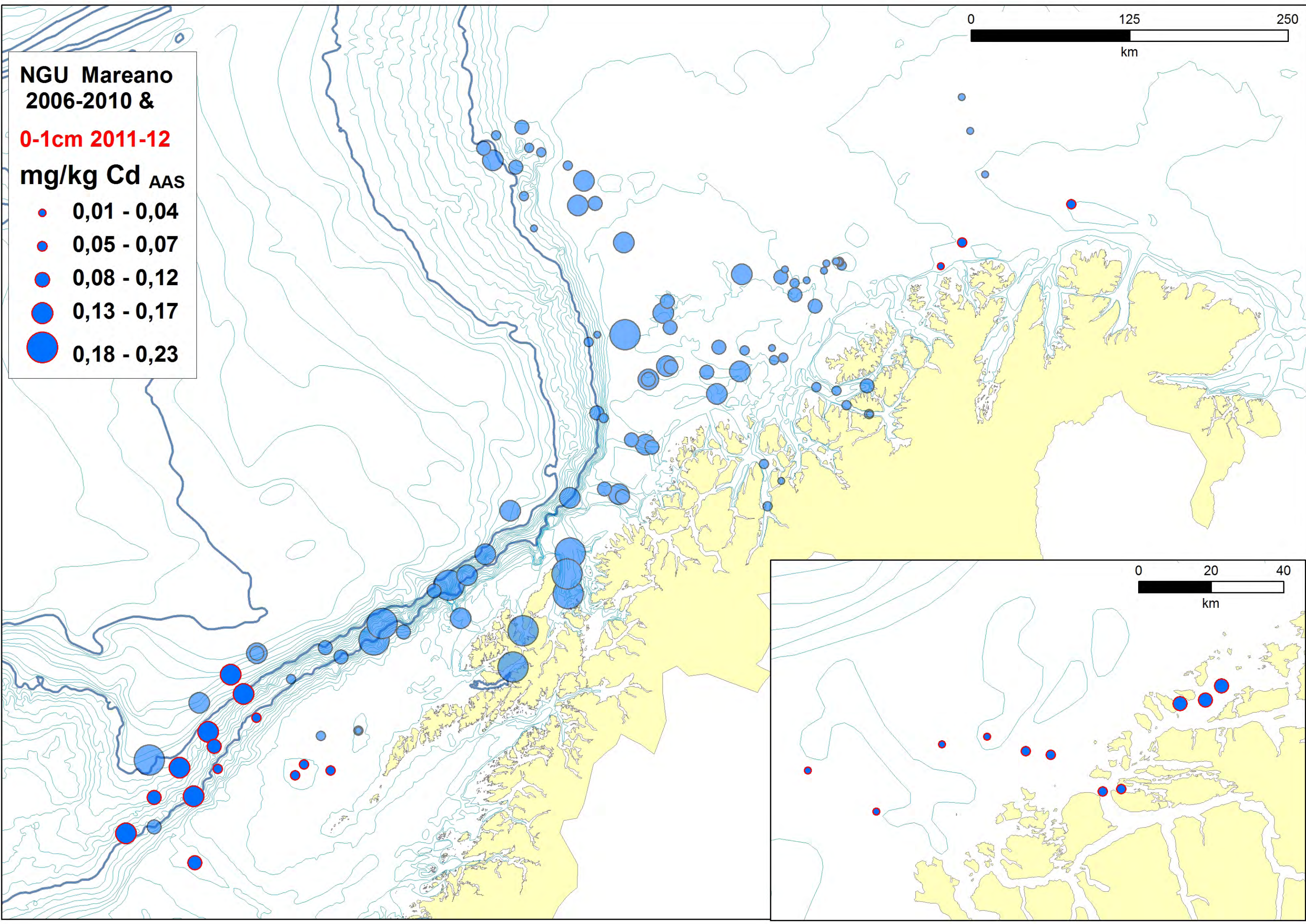
0 25 50
km





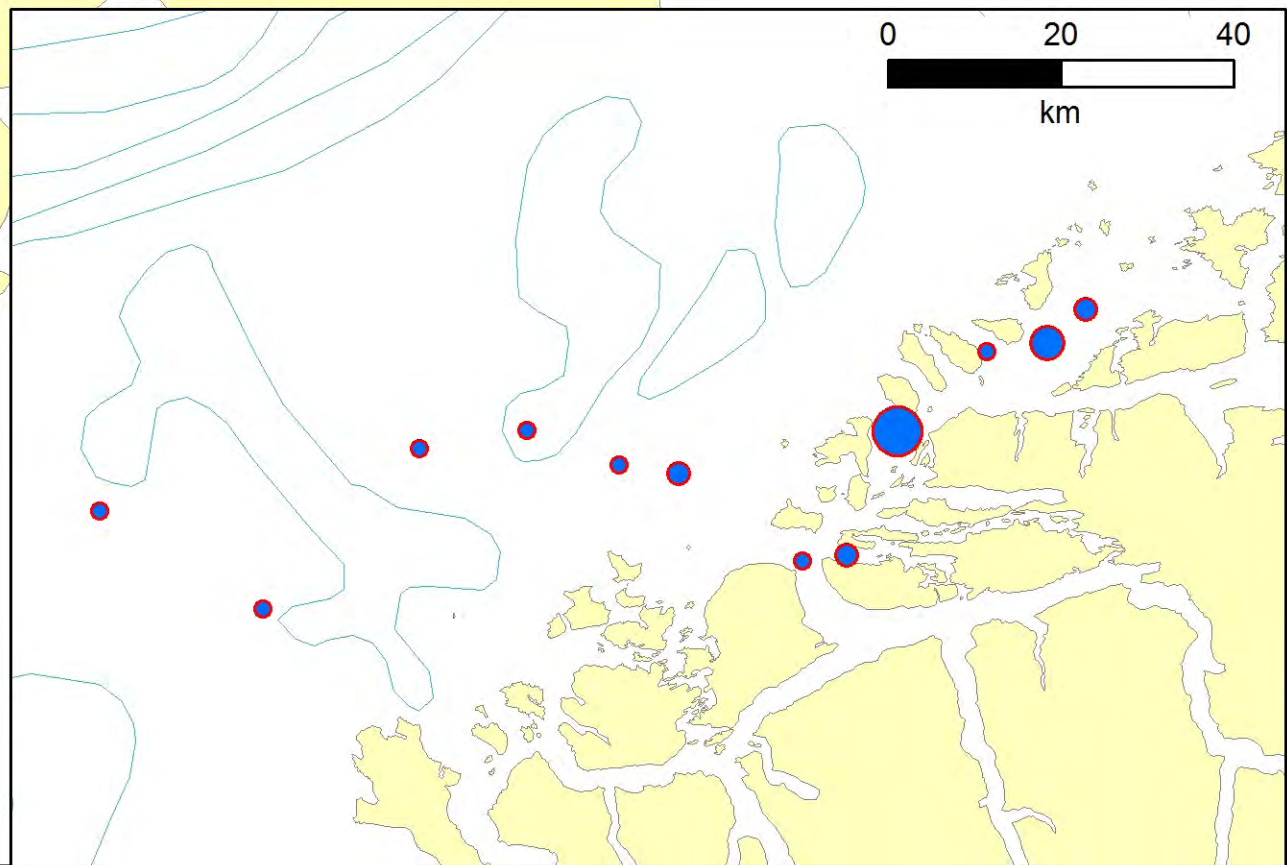
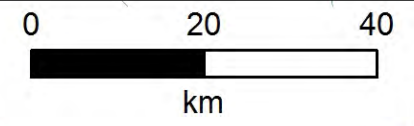
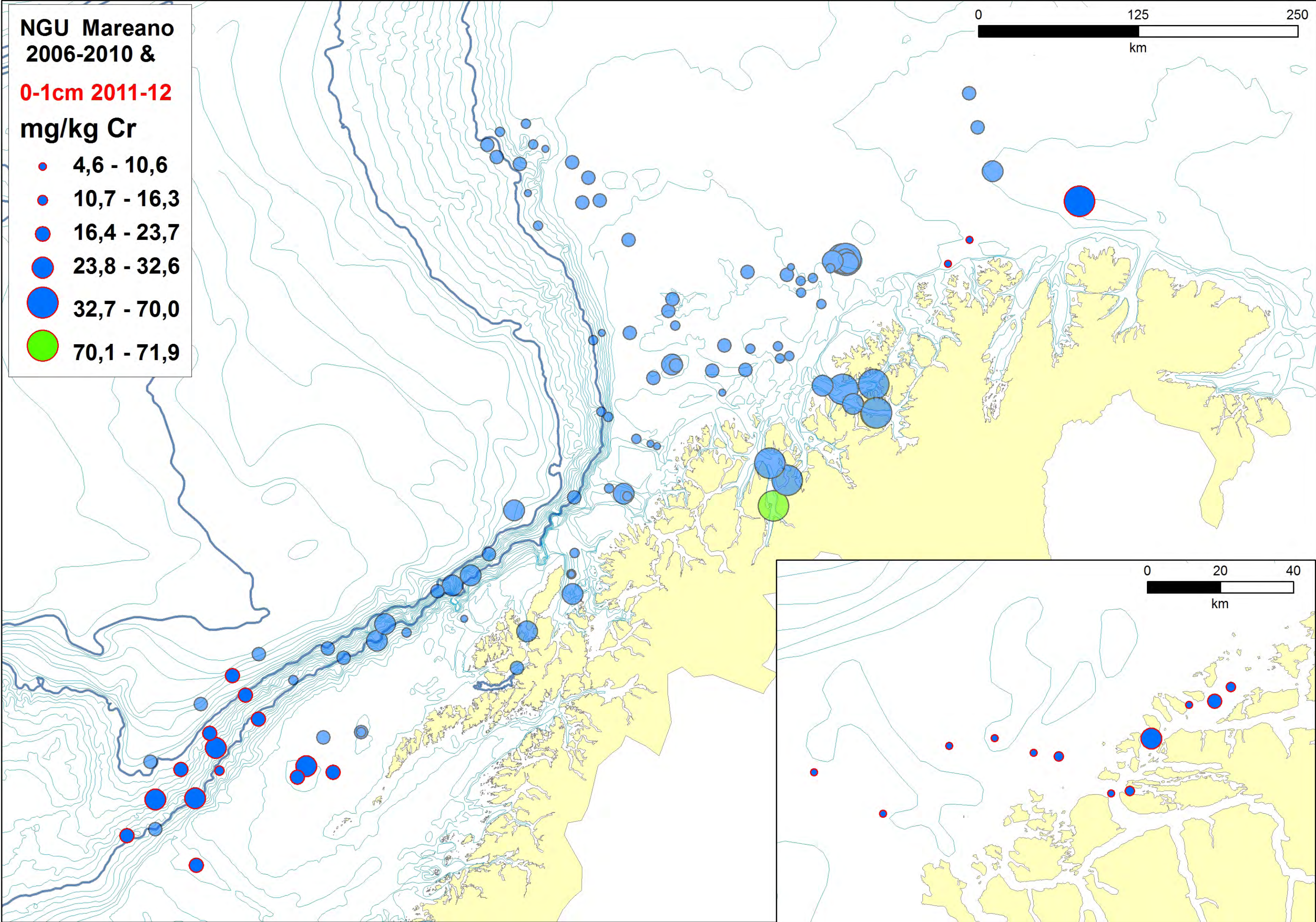
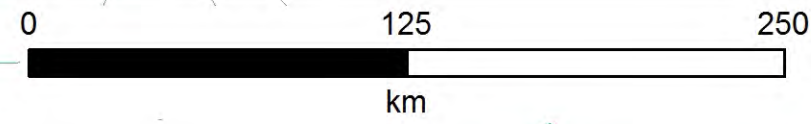


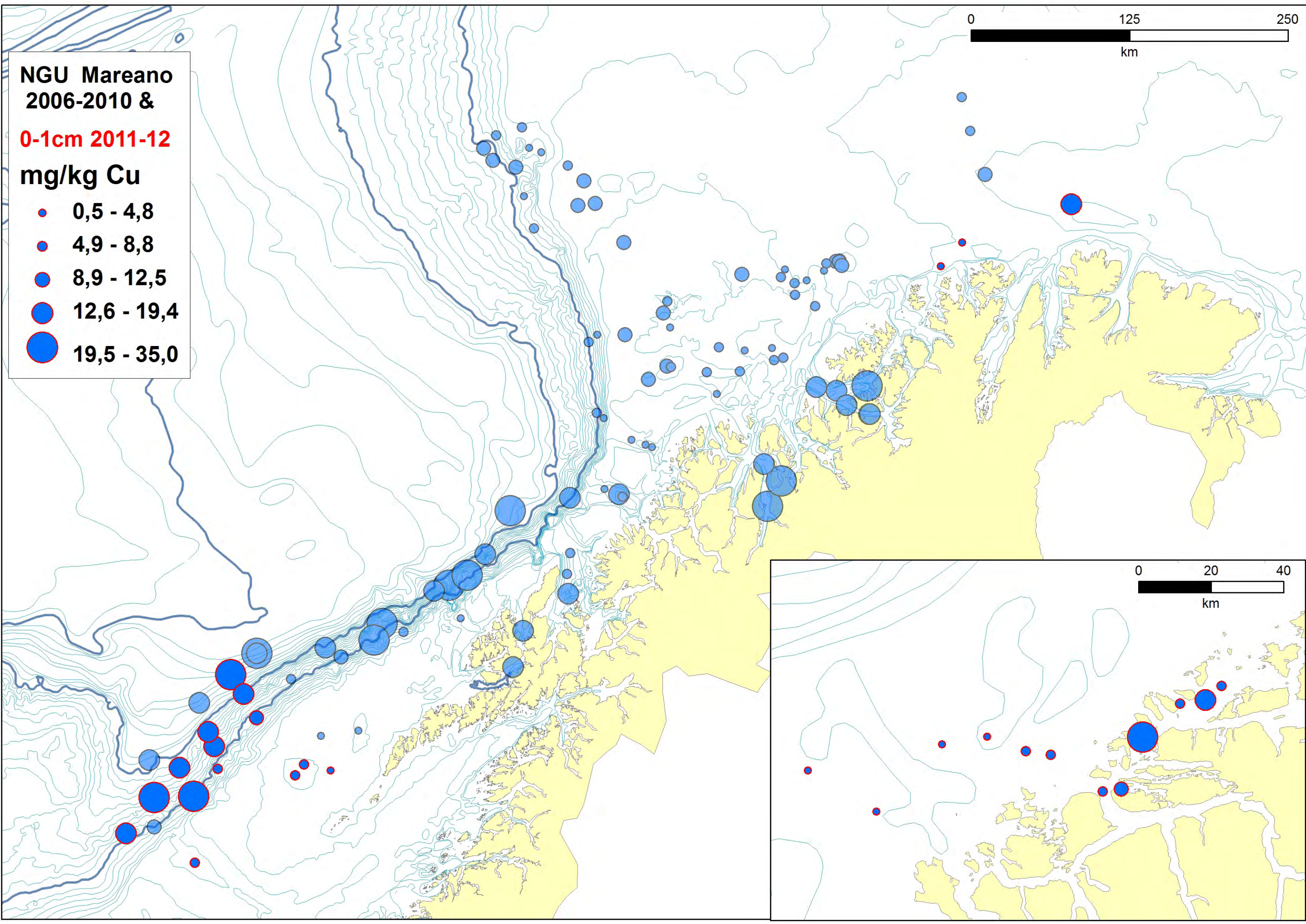




**NGU Mareano
2006-2010 &
0-1cm 2011-12
mg/kg Cr**

- 4,6 - 10,6
- 10,7 - 16,3
- 16,4 - 23,7
- 23,8 - 32,6
- 32,7 - 70,0
- 70,1 - 71,9



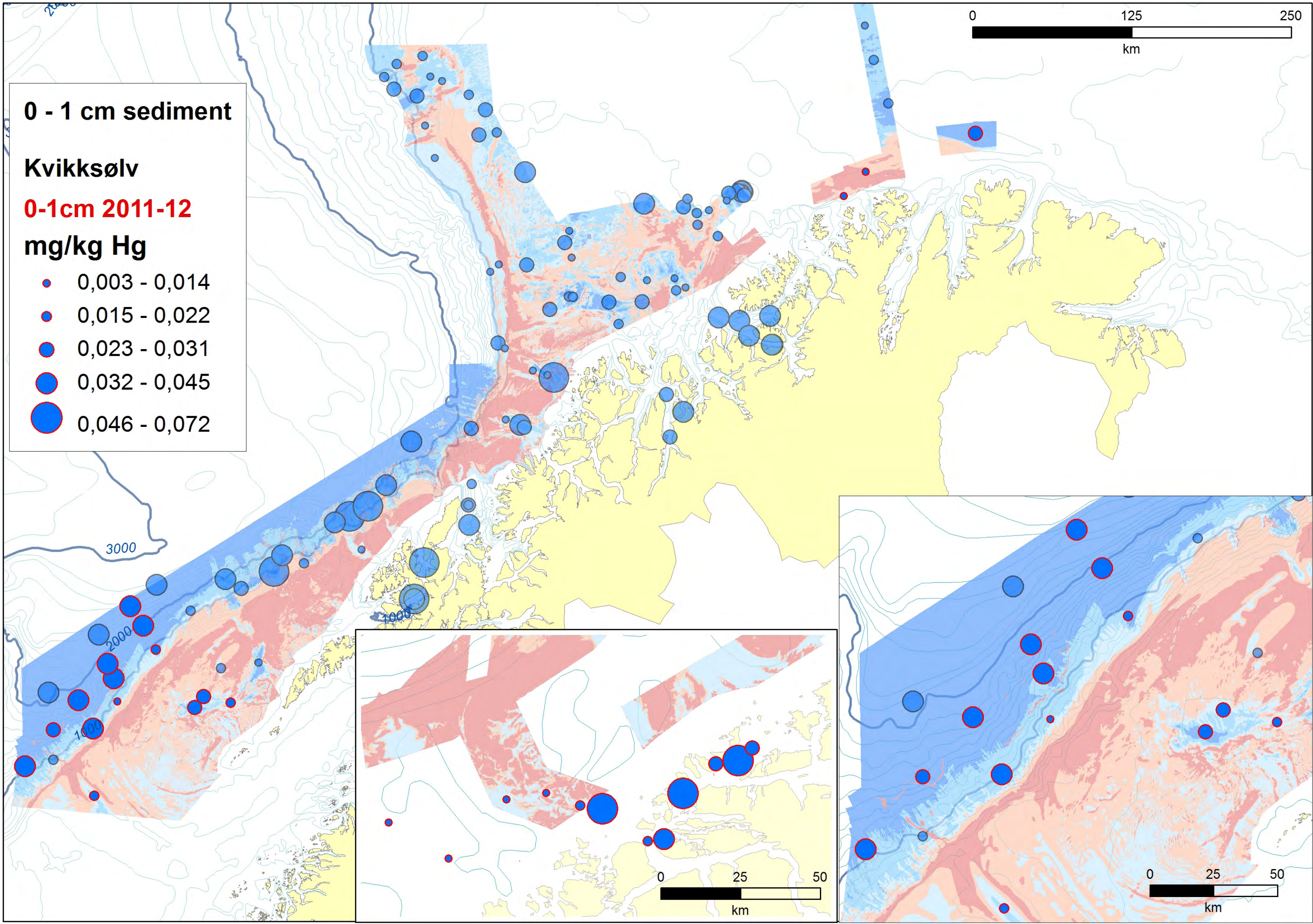


**NGU Mareano
2006-2010 &
0-1cm 2011-12
mg/kg Cu**

- 0,5 - 4,8
- 4,9 - 8,8
- 8,9 - 12,5
- 12,6 - 19,4
- 19,5 - 35,0

0 125 250
km

0 20 40
km



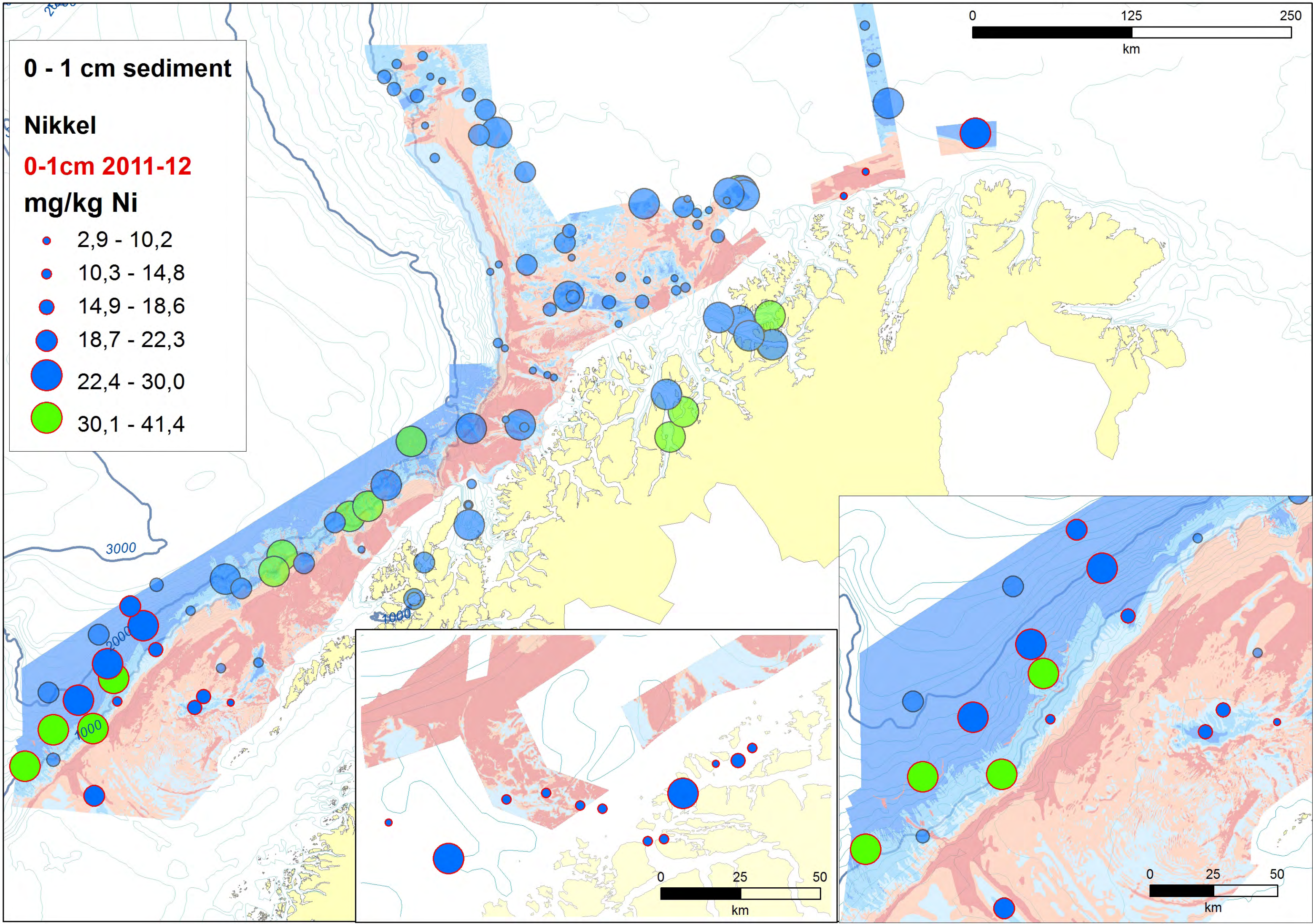
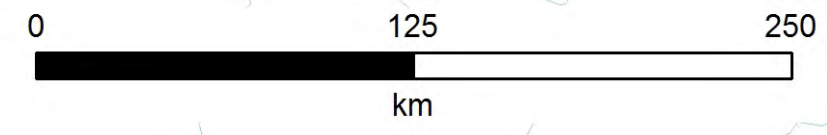
0 - 1 cm sediment

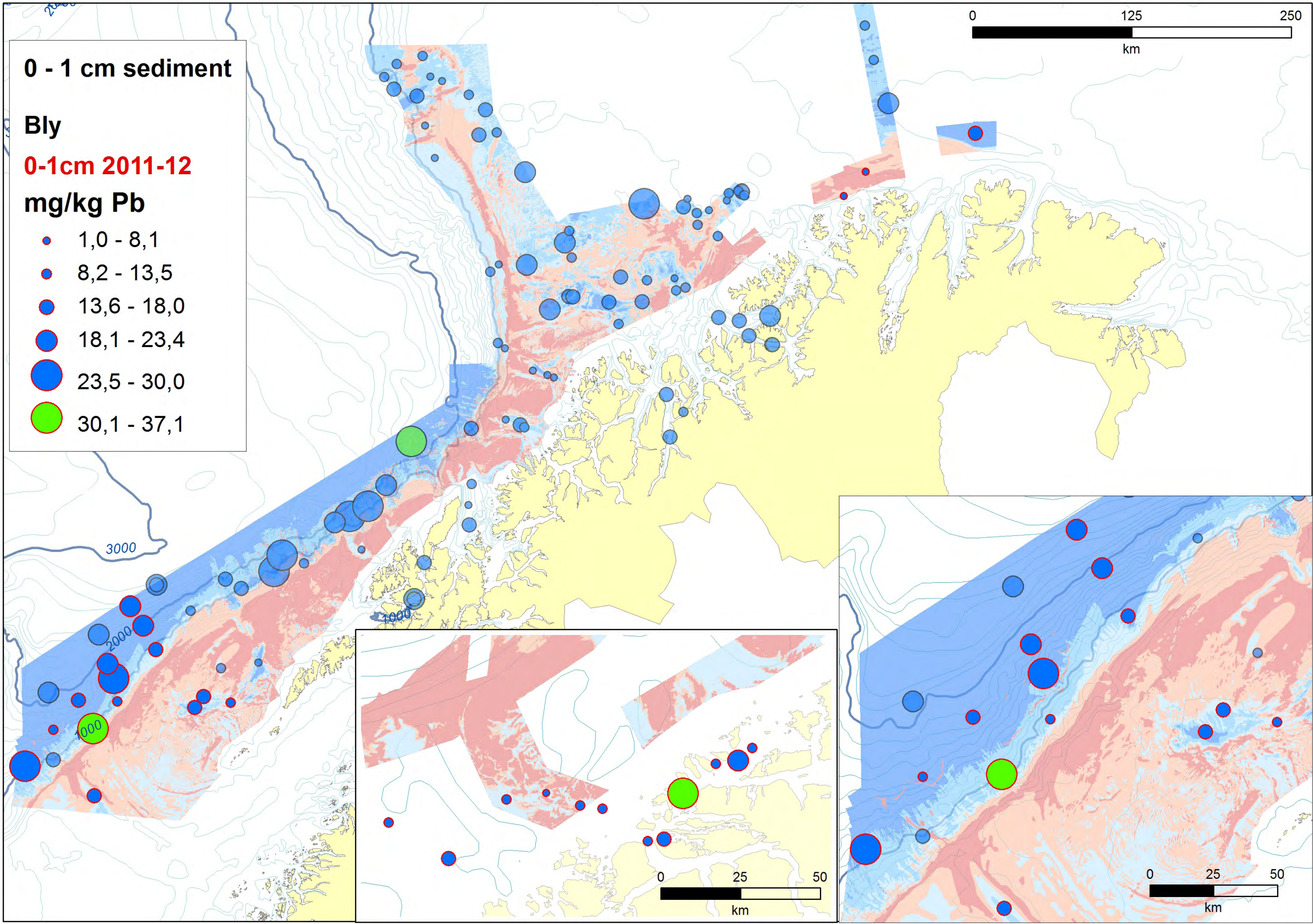
Nikkel

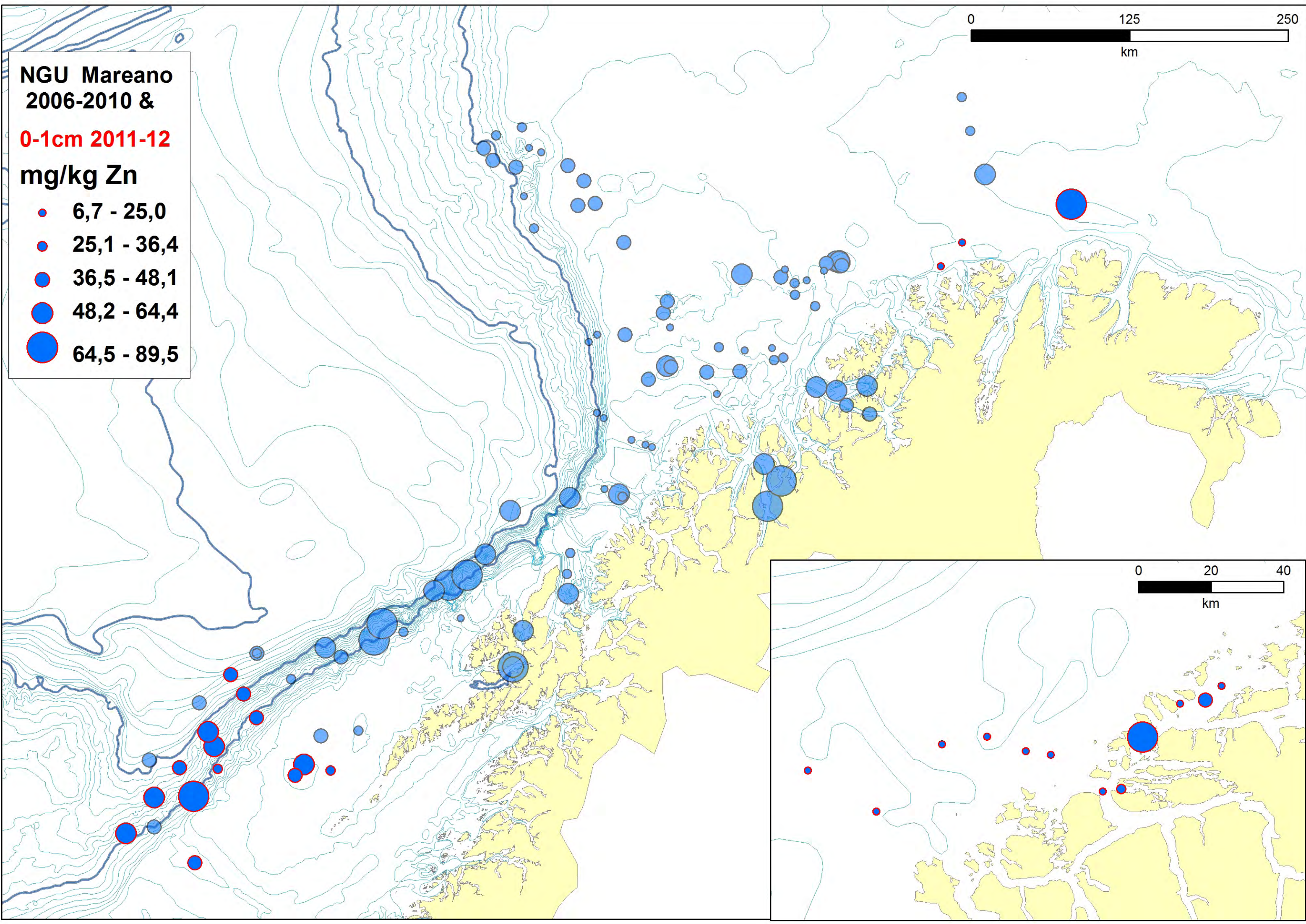
0-1cm 2011-12

mg/kg Ni

- 2,9 - 10,2
- 10,3 - 14,8
- 14,9 - 18,6
- 18,7 - 22,3
- 22,4 - 30,0
- 30,1 - 41,4







Vedlegg 4

XRI-bilder av sedimentkjerner

R0682MC001



Finnmark, 403 m, 31 skiver.

0 – 1 cm: soft clay

1 – 2 cm: cohesive clay

2 – 32 cm: increasingly stiff and cohesive clay downwards.

Nordland VI, sokkelen, 209 m, 27 sedimentprøver (1 cm)

0 – 14 cm: sandy mud

14 – 27,5 cm: sandy mud – sand, with up to 5 cm diam.
Stones.



R0739MC019

Nordland VI sokkel, 264 m havdyp, 35 skiver.



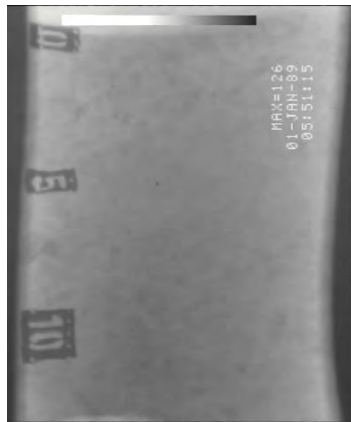
0 – 35 cm: homogenous sandy mud. Colour: brownish grey in top 3 cm due to Fe-oxidation. Olive grey from 3 cm downwards.

description based on sliced NGU/IMR core.

R0749MC020

Nordland VI skråning, 855 m havdyp, 42 skiver

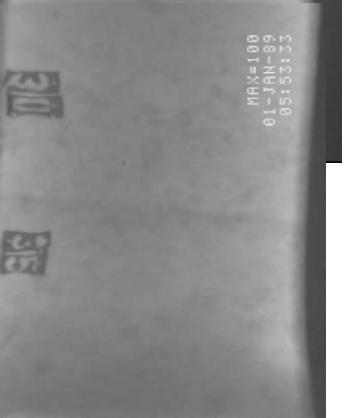
0 – 23 cm: light brownish grey homogenous sandy mud.



Sprekke



23 – 42 cm: light grey and stiffer (more brittle/harder) sandy mud with inclusions of greenish material at 33 – 35 cm.



R0754MC021



Nordland VI skråning, 803 m, 29 skiver.

0 – 12 cm: Brown homogenous sandy mud with a few gravel size grains.

12 – 20 cm: brown homogenous sandy mud with pebbles.

20 – 29 cm: blue homogenous sandy mud.

Description based on sliced NGU/IMR core.

R0786MC006

Nordland VI, 1.278 m havdyp, 50 skiver

0 – 3 cm: very soft liquid brownish grey mud with a high clay content.

3 – 50 cm: Stiffer brownish olive grey mud and increasingly stiffer deeper in the core.



Nordland VI, 1.973 m havdyp, 42 skiver

0 – 3 cm: olive brownish grey mud

3 – 10 cm: Olive brownish grey sandy mud.

10 – 20 cm: brownish grey sandy mud.

20 - 25 cm: sandy – silty mud with lenses of lighter soft sediments (burrows?)

25 – 41,5 cm: Light-orange brown silty mud.



R0782MC007

Nordland VI, 1.700 m havdyp, 47 skiver

0 – 20 cm: light brownish grey homogenous mud. Sponge spicules in upper 7 – 8 cm.

20 – 47 cm: homogenous light-olive grey sandy or silty mud



R0818MC005

Nordland VI, 912 m havdyp, 40 skiver

0 – 7 cm: homogenous light brownish grey mud.
H₂S smell at top of the core.

7 – 40 cm: brownish grey silty or fine-grained sandy mud with
black spots (ironsulphide?).



R0858MC009, kjerne 4

Nordland VI, 476 m havdyp, 34 skiver

0 - 5 cm: olive grey sandy mud. Sponge spicules.

5 – 34 cm: olive grey sandy mud.



Nordland VI, 1.117m, 38 skiver.

0 – 5 cm: brownish grey muddy sand – sandy mud, with a weak H2S odour.

5 – 38 cm: olive grey muddy sand, with narrow intervals with sandy mud. Increasingly stiff sediments, possibly due to increasing silt content.



Vedlegg 5

Cs-137 aktivitet i sediment og Pb-210 datering av kjerner i Mareano-prosjektet. 210Pb og 137Cs analyserapport.

Leverandør av data: Havforskningsinstituttet.

Datert 01.07.2013. 17 sider.

C-14 dateringsrapport. Leverandør: 14CHRONO Centre, Queens University Belfast, Storbritannia.

Cs-137 aktivitet i sediment og Pb-210 datering av kjerner i Mareano-prosjektet

Introduksjon

Alderen (innanfor de siste 120 år) på et sedimentlag i en kjerne, kan målest på innholdet av de naturlige radioaktive nuklidene Pb-210 og Ra-226. Fersk Pb-210 ($t_{1/2} = 22$ år) vert avsett på sedimentoverflata saman med anna sedimenterende materiale. Dette vert kontinuerlig dekket av nytt sedimenterende materiale. Innholdet av Pb-210 i sedimenta vil minke tilsvarende den radioaktive nedbrytinga alt etter kor lang tid det er sidan dette var overflatesediment.

Viss ein kuttar marine sedimentkjerner i 1 cm tjukke lag vil kvart lag representere sediment avsett i ein viss tidsperiode. Viss sedimentasjonen har vore uforstyrret kan ein måle alderen på sedimentlaga og dermed også sedimentasjonshastigheita.

Daterte sedimentkjerner muliggjer undersøkingar av sediment avsett i ein spesiell periode i nær fortid. Kjelder til Cs-137 kan identifiserast ved å samanlikne innholdet av Cs-137 i den daterte profilen med kjende utslipp av denne radionukliden. Ein topp knytt til ein spesiell tidsperiode vil kunne peike på ei spesiell kjelde.

Material og metode

Innholdet av Cs-137 i 9 sedimentkjerner frå Mareanoprojektet er målt. Kjernane er også daterte etter Pb-210 dateringsmetode (Goldberg, 1963).

Alderen på kvart enkelt sedimentlag er bestemt med CRS-modellen (Appleby og Oldfield, 1977). Denne modellen føreset konstant tilførselshastigheit av sedimenterende Pb-210 per tid. Variable som skal inn i denne modellen er innholdet av Pb-210 og Ra-226 i kvart enkelt lag, tørrvekt på kvart enkelt lag og lengde på den delen av kjernen som inneheld meir Pb-210 enn Ra-226.

Innholdet av Cs-137, Pb-210 og Ra-226 er målt med ORTEC gammadetektor: GMX Series GAMMA-X HPGE (High Purity Germanium) koaksial foton detektor system med PopTop cryostat konfigurasjon. Oppløysing (FWHM) ved 1.33 MeV (Co-60) er 1.95 keV. Relativ effektivitet ved 1.33 MeV er 38%. Krystall diameter er 59.0 mm og krystallengde er 78.3 mm. Detektoren er elektrisk kjølt med Ortec X-Cooler; mekanisk kjølar for HPGe-detektorar.

Detektoren er skjerma med Mdl Fabcast 04B1, 10 cm bly.

Pb-210 ($t_{1/2} \sim 22$ år) vert målt ved 46,5 keV. Cs-137 ($t_{1/2} \sim 30$ år), vert målt ved 662 keV (Schötzig and Schraeder, 1993).

Innhaldet av Pb-210 i kvare enkelt prøver er korrigert for sjølvabsorpsjon med ein prøvespesifikk sjølvabsorpsjonsfaktor (Cutshall et. al.1983).

I U-238-serien vert Ra-226 nedbrote via radon og polonium til Pb-214 og vidare til Bi-214, sjå figur 1.

URANIUM-238 DECAY CHAIN	
Nuclide	Half-life
• ↓ Uranium-238	$4.5 \cdot 10^9$ years
• ↓ Thorium-234	24.5 days
• ↓ Protactinium-234	1.14 minutes
• ↓ Uranium-234	$2.33 \cdot 10^5$ years
• ↓ Thorium-230	$8.3 \cdot 10^4$ years
• ↓ Radium-226	1601 years
• ↓ Radon-222	3.825 days
• ↓ Polonium-218	3.05 minutes
• ↓ Lead-214	26.8 minutes
• ↓ Bismuth-214	19.7 minutes
• ↓ Polonium-214	$1.5 \cdot 10^{-4}$ seconds
• ↓ Lead-210	22 years
• ↓ Bismuth-210	5 days
• ↓ Polonium-210	140 days
• ↓ Lead-206	stable

Figur 1 Uran-238 nedbrytningsserie

Viss radon vert hindra frå å leka ut frå boksen, vil det etter 4 veker innstille seg ei likevekt mellom Ra-226, Pb-214 og Bi-214; sjå halveringstidene i figur 1. Ra-226 vert då målt på gammastrålinga frå Pb-214 ved 295 keV og 352 keV og på gammastrålinga frå Bi-214 ved 609 keV (Schötzig and Schraeder, 1993). Gjennomsnittet av desse er vert rekna som innhaldet av Ra-226.

Metodane er tilpassa bruk på Havforskningsinstituttet (Sværen, 2010).

Konsentrasjonen av ekstra Pb-210 (unsupported) i kvart lag vert rekna ut:

$$C_{\text{Pb-210 unsupported}} = C_{\text{Pb-210 total}} - C_{\text{Ra-226}}, \quad \text{Bq/kg} \quad (1)$$

Innhaldet av ekstra Pb-210 (unsupported) i kvart lag vert rekna ut:

$$C_{\text{Pb-210 unsupported}} = C_{\text{Pb-210 unsupported}} \cdot LW, \quad \text{Bq} \quad (2)$$

LW= vekt lag, kg

Innhaldet av ekstra Pb-210, A_0 , i heile kjernen vert rekna ut:

$$A_0 = \int_0^L C, \quad \text{Bq} \quad (3)$$

L= lengde på kjerne

Innhaldet av ekstra Pb-210 i alle lag under laget med djup X vert rekna ut:

$$A_x = \int_x^L C, \quad \text{Bq} \quad (4)$$

Alderen (CRS-modell) på lag med djup X vert rekna ut:

$$\text{Alder på lag: } X = \frac{1}{\lambda} \cdot \ln \frac{A_0}{A_x}, \quad \text{år} \quad (5)$$

λ = decay konstant for Pb-210 = $\ln 2 / t_{1/2} = 0,0315 \text{ år}^{-1}$

Usikkerheit:

Usikkerheit (95% konfidens interval) i datering kan estimerast til f r å 1-2 år ved 10 år (10-20%), 10-20 (10-20%) år ved 100 år og 8-90 (5-60%) ved 150 år (Binford, 1989).

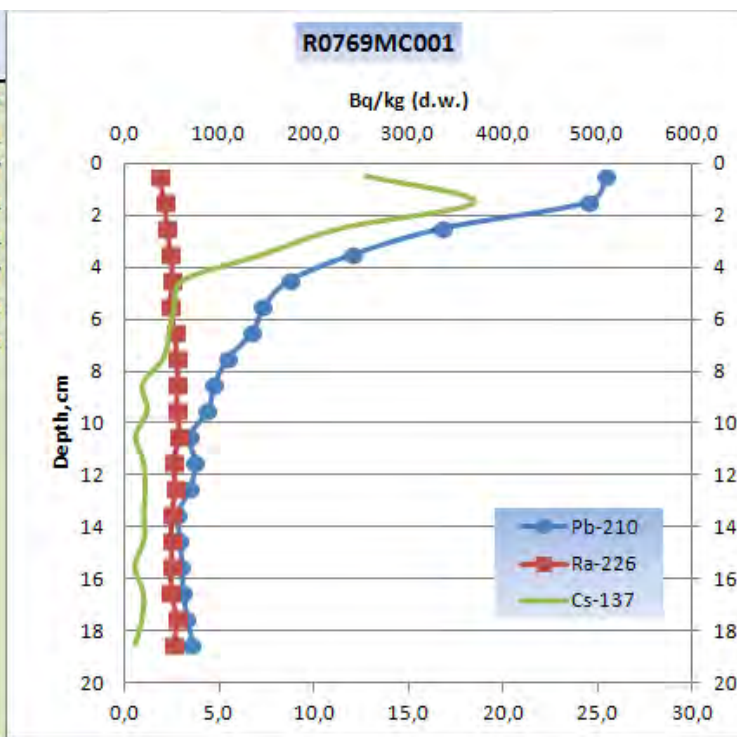
Resultat

Nedanfor følger resultatene. Kurvene viser Pb-210, Ra-226 og Cs-137 profilene. Øverste horisontale akse gir verdiene for Pb-210 og Ra-226. Nederste horisontale akse gir verdiene for Cs-137. Alder på enkelt-lag er oppgitt som korrigerte og ikke korrigerte. I diskusjons-avsnittet vert denne korreksjonen forklart.

Alderen på sedimentoverflatelagene er i enkelte tilfeller rekna ut til året etter prøvetaking. Årsaken til det er at utrekningene er gjort med år som desimaltal; d.v.s. oktober 2012 er i utrekningene 2012,75.

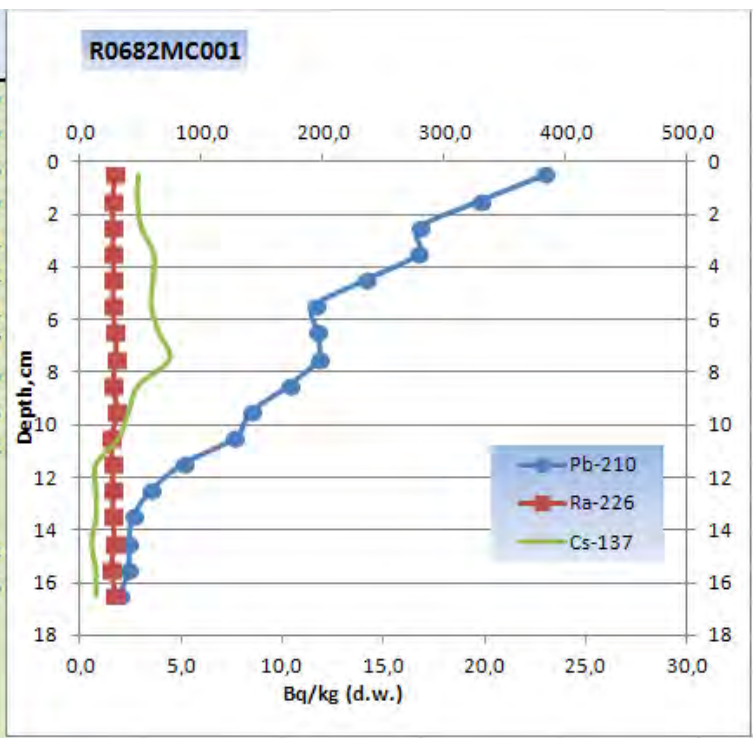
R0769MC001

R0769MC001	Middeldjup, cm	Årstall lag; korrigert	Årstall lag; ikke korrigert	Cs-137, Bq/kg (tørrvekt)	usikkerheit, Bq/kg tørrvekt
98051	0,5	2012	2012	12,7	1,5
98052	1,5	2005	2006	18,5	1,1
98053	2,5	1993	1996	11,5	1,7
98054	3,5	1980	1987	7,3	1,4
98055	4,5	1968	1978	3,1	1,4
98056	5,5	1957	1970	2,6	0,7
98057	6,5	1942	1962	2,3	1,3
98058	7,5	1926	1955	2,0	1,3
98059	8,5	1906	1947	<0,9	
98060	9,5	1881	1940	<1,2	
98061	10,5			<0,6	
98062	11,5			<1,0	
98063	12,5			<1,1	
98064	13,5			<1,0	
98065	14,5			<1,0	
98066	15,5			<0,5	
98067	16,5			<1,0	
98068	17,5			<0,9	
98069	18,5			<0,5	



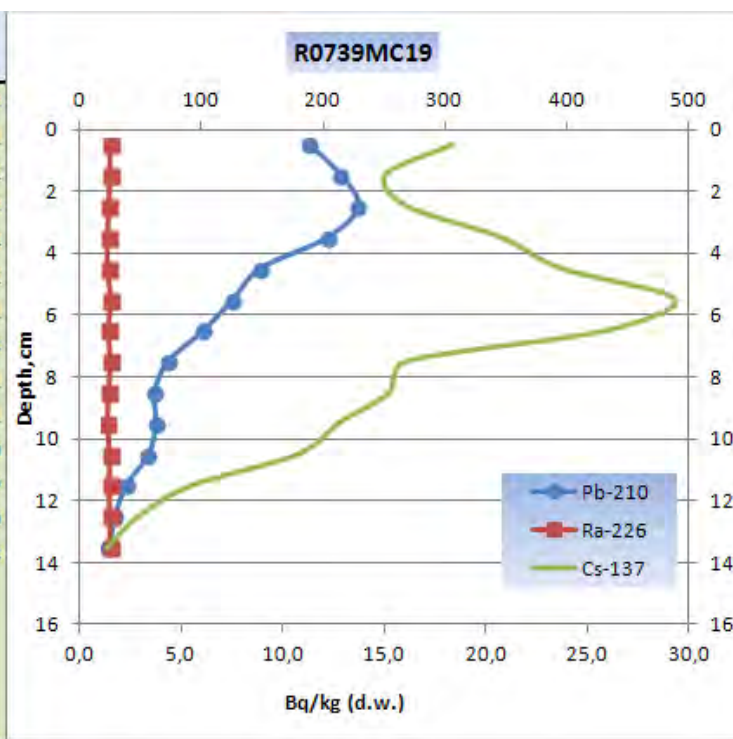
R0682MC001

R0682MC001	Middeldjup, cm	Årstall lag; korrigert	Årstall lag; ikkje korrigert	Cs-137, Bq/kg (tørrvekt)	usikkerheit, Bq/kg tørrvekt
098090	0,5	2011	2011	2,9	0,9
098091	1,5	2008	2008	2,8	0,9
098092	2,5	2004	2005	3,0	0,6
71417	3,5	2000	2001	3,6	0,9
71418	4,5	1994	1995	3,6	1,1
71419	5,5	1988	1990	3,5	1,2
71420	6,5	1982	1984	3,9	1,1
71421	7,5	1974	1977	4,4	0,7
71422	8,5	1963	1968	2,9	0,9
71423	9,5	1949	1956	2,4	0,6
71424	10,5	1933	1943	1,9	0,8
71425	11,5	1903	1923	<0,8	
71426	12,5	1862	1905	<0,8	
71427	13,5			0,8	0,8
71428	14,5			0,6	0,6
71429	15,5			<0,8	
71430	16,5			<0,8	
	17,5				
	18,5				



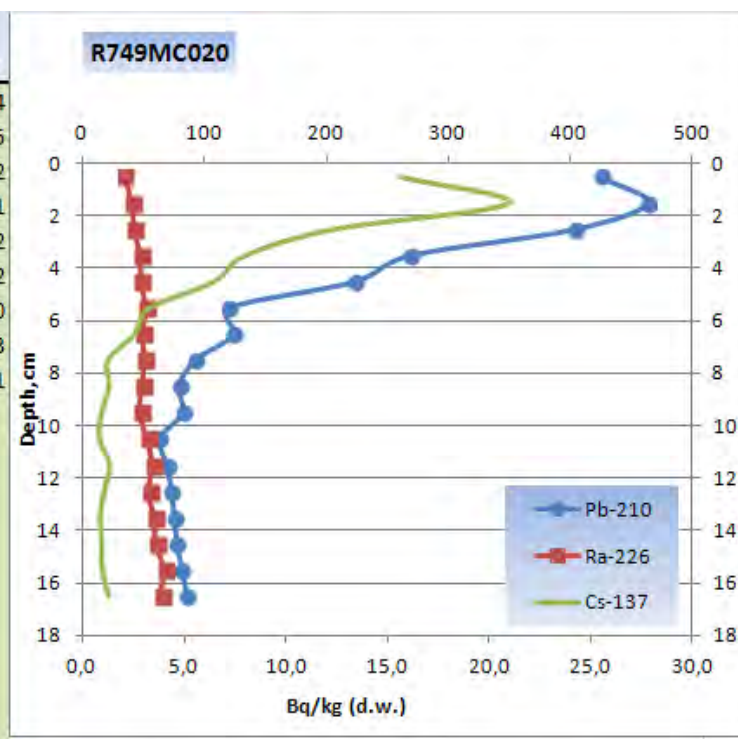
R0739MC019

R739MC019	Middeldjup, cm	Årstall lag	Cs-137, Bq/kg (tørrvekt)	usikkerhet, Bq/kg tørrvekt
98093	0,5	2012	18,4	1,3
71553	1,5	2008	15,0	1,1
71554	2,5	2002	16,1	1,2
71555	3,5	1995	20,7	1,3
71556	4,5	1986	23,7	1,4
71557	5,5	1976	29,3	1,2
71558	6,5	1966	26,0	1,1
71559	7,5	1953	16,1	0,8
71560	8,5	1942	15,3	1,1
71561	9,5	1931	12,7	1,1
71562	10,5	1911	10,7	1,0
71563	11,5	1872	5,5	0,9
71564	12,5		2,9	1,0
71565	13,5		1,3	0,8
	14,5			
	15,5			
	16,5			
	17,5			
	18,5			



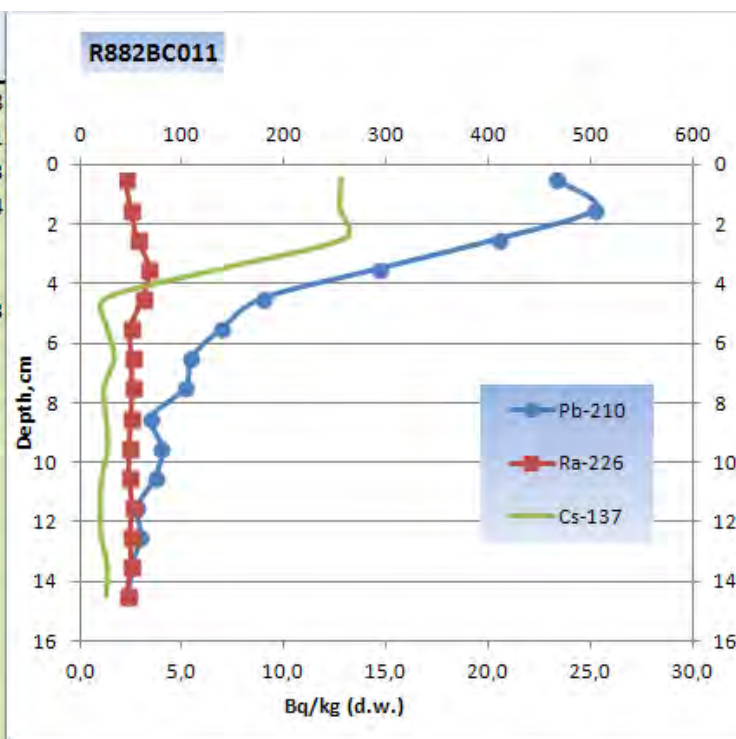
R0749MC020

R749MC020	Middeldjup, cm	Årstall lag; korrigert	Årstall lag; ikkje korrigert	Cs-137, Bq/kg (tørrvekt)	usikkerheit, Bq/kg tørrvekt
98094	0,5	2012	2012	15,6	1,4
98095	1,5	2008	2008	20,9	1,5
98096	2,5	1999	2000	12,3	1,2
93629	3,5	1985	1988	8,0	1,1
93630	4,5	1971	1976	6,5	1,2
93631	5,5	1951	1960	3,3	1,2
93632	6,5	1939	1950	2,6	1,0
93633	7,5	1919	1934	1,2	1,3
93634	8,5	1903	1920	1,3	1,1
93635	9,5	1885	1901	<0,9	
93636	10,5			<0,8	
93637	11,5			<1,3	
93638	12,5			<1,1	
93639	13,5			<0,9	
93640	14,5			<0,9	
93641	15,5			<1,0	
93642	16,5			<1,3	
	17,5				
	18,5				



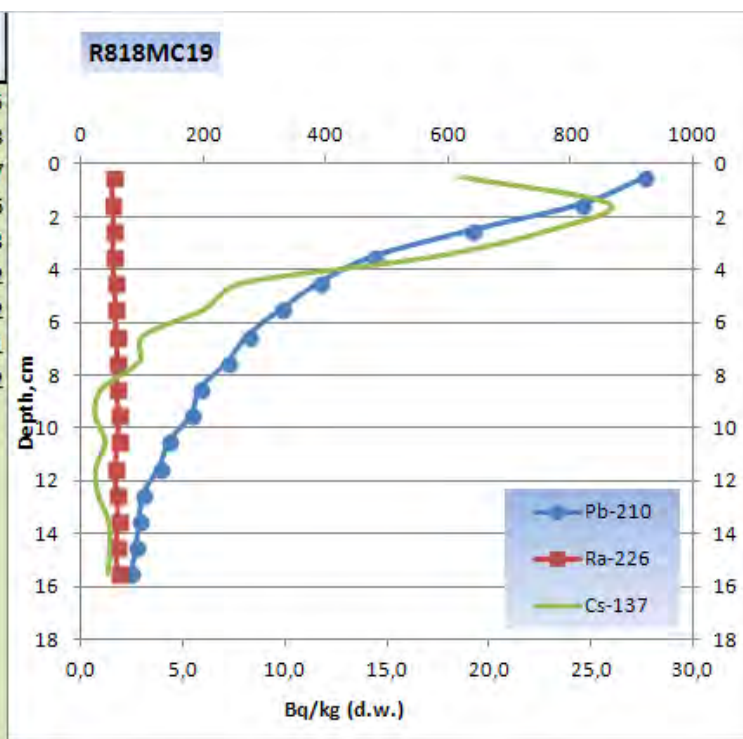
R882 BC011

R882BC011	Middeldjup, cm	Årstall lag	Cs-137, Bq/kg (tørrvekt)	usikkerhet, Bq/kg tørrvekt
65931	0,5	2012	12,8	1,8
65932	1,5	2004	12,7	2,1
65933	2,5	1995	13,0	1,3
65934	3,5	1981	7,0	1,4
65935	4,5	1968	<1,3	
65936	5,5	1959	<1,3	
65937	6,5	1948	1,7	1,3
65938	7,5	1939	<1,2	
65939	8,5	1923	<1,3	
65940	9,5	1916	<1,3	
65941	10,5	1900	<1,1	
65942	11,5	1873	<1,0	
65943	12,5		<1,0	
65944	13,5		<1,3	
65945	14,5		<1,3	
	15,5			
	16,5			
	17,5			
	18,5			



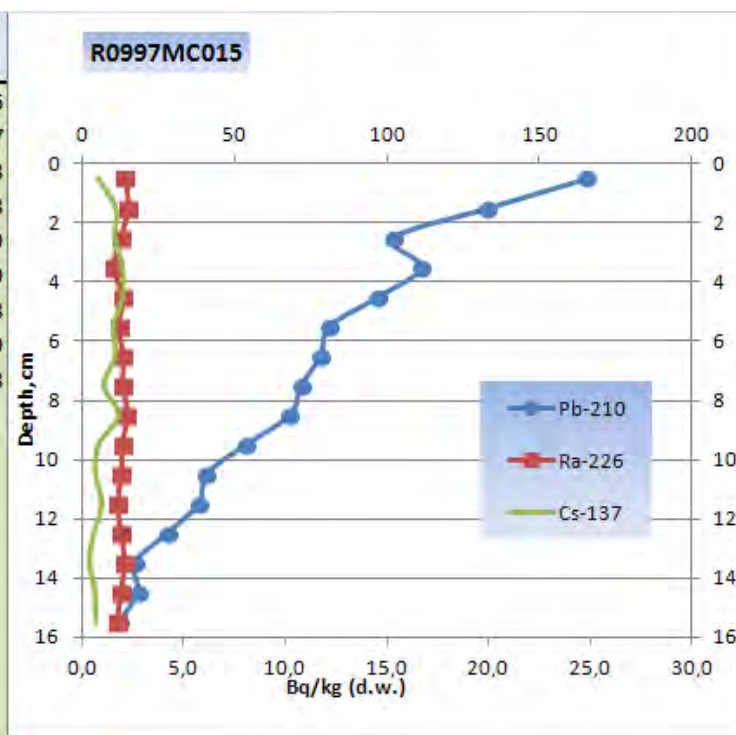
R818MC5

R818MC5	Middeldjup, cm	Årstall lag; korrigert	Årstall lag; ikkje korrigert	Cs-137, Bq/kg (tørrvekt)	usikkerheit, Bq/kg tørrvekt
65635	0,5	2012	2012	18,7	1,5
65636	1,5	2006	2006	25,9	1,8
65637	2,5	1998	1999	23,0	1,7
65638	3,5	1989	1991	17,4	1,6
65639	4,5	1981	1984	8,0	1,3
65640	5,5	1972	1977	6,1	1,2
65641	6,5	1963	1969	3,1	1,2
65642	7,5	1954	1961	2,9	1,1
65643	8,5	1942	1953	1,1	1,2
65644	9,5	1932	1945	<0,7	
65645	10,5	1918	1935	<1,2	
65646	11,5	1902	1924	<0,8	
65647	12,5	1880	1912	<0,9	
65648	13,5			<1,4	
65649	14,5			<1,5	
65650	15,5			<1,4	
	16,5				
	17,5				
	18,5				



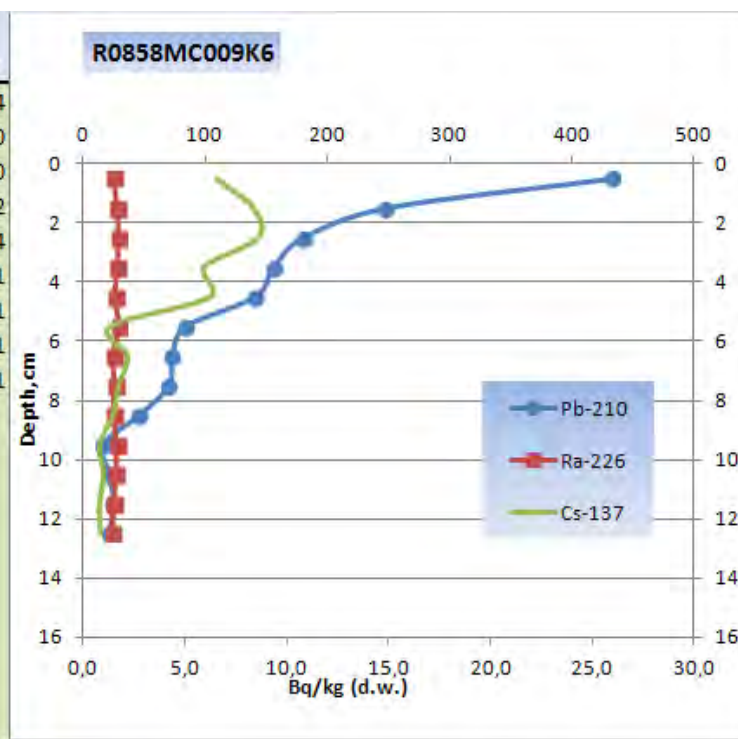
R0997MC015

R0997MC015	Middeldjup, cm	Årstall lag	Cs-137, Bq/kg (tørrvekt)	usikkerhet, Bq/kg tørrvekt
93821	0,5	2013	0,8	0,6
93822	1,5	2008	1,7	0,7
93823	2,5	2003	1,6	0,8
93824	3,5	1999	2,0	0,8
93825	4,5	1993	2,0	0,9
93826	5,5	1987	1,6	0,9
93827	6,5	1980	1,7	0,8
93828	7,5	1972	1,1	0,9
93829	8,5	1963	1,8	0,8
93830	9,5	1952 <0,8		
93831	10,5	1939 <0,7		
93832	11,5	1925 <1,0		
93833	12,5	1903 <0,6		
93834	13,5	<0,4		
93835	14,5	<0,7		
93836	15,5	<0,7		
	16,5			
	17,5			
	18,5			



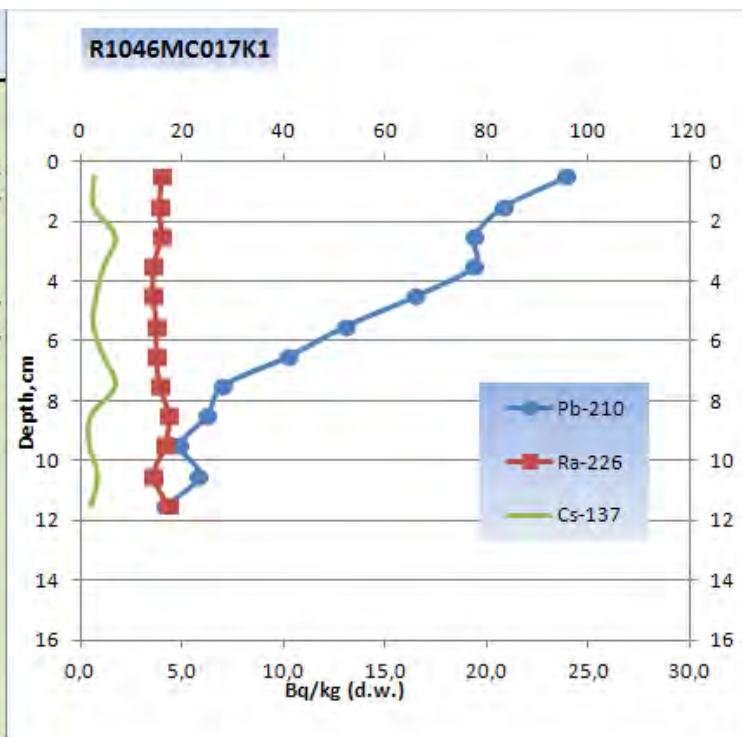
R0858MC009K6

R0858MC009K6	Middeldjup, cm	Årstall lag; korrigert	Årstall lag; ikkje korrigert	Cs-137, Bq/kg (tørrvekt)	usikkerheit, Bq/kg tørrvekt
65970	0,5	2012	2012	6,6	1,4
65971	1,5	2002	2001	8,4	1,0
65972	2,5	1993	1992	8,6	1,0
65973	3,5	1984	1983	6,0	1,2
65974	4,5	1974	1971	6,3	1,4
65975	5,5	1959	1954	1,4	1,1
65976	6,5	1947	1939	2,2	1,1
65977	7,5	1930	1917	1,8	1,1
65978	8,5			1,5	1,1
65979	9,5			<0,8	
65980	10,5			<1,0	
65981	11,5			<0,8	
65982	12,5			<0,9	
	13,5				
	14,5				
	15,5				
	16,5				
	17,5				
	18,5				



R1046MC017K1

R1046MC017K1	Middeldjup, cm	Årstall lag	Cs-137, Bq/kg (tørrvekt)	usikkerheit, Bq/kg tørrvekt
93889	0,5	2013	<0,6	
93890	1,5	2006	<0,6	
93891	2,5	1999	1,7	0,8
93892	3,5	1991	1,1	0,7
93893	4,5	1980	<0,7	
93894	5,5	1967	<0,6	
93895	6,5	1952	1,1	0,7
93896	7,5	1931	1,7	0,7
93897	8,5	1917	<0,5	
93898	9,5	1901	<0,4	
93899	10,5	1891	<0,8	
93900	11,5		<0,5	
	12,5			
	13,5			
	14,5			
	15,5			
	16,5			
	17,5			
	18,5			



Diskusjon

Resultata er ikkje vurdert i forhold til prøvetakingsposisjon.

Sidan CRS-datering baserar seg på det totale innhaldet av Pb-210 i ein kjerne; vert det innført ein feil viss ein blandar lag frå ulike kjernar. I vidare undersøkingar må ein prøve å unngå dette. Viss det er nødvendig ut frå prøvemengde, må ein blande heile kjernar og syrgje for at laga er godt homogeniserte. Andre undersøkingar (Sværen, 2010) gjort på kjernar teke rett ved sidan av kvarandre (<30cm) viser til dels stor forskjell i innhaldet av Pb-210 viss ein samanliknar lag for lag; men nedover fylgjer dei same mønsteret. Måler ein på same kjerne vil ein unngå å samanlikne lag som kan ha forskyving i forhold til kvarandre.

I mange tilfeller ser ein at nedgangen av Pb-210 ikkje fylgjer den eksponensielle nedgangen som fylgjer av radioaktiv decay. Årsaka kan være endring i sedimentasjonshastigheit i perioden; alternativt kan det s kuldast av sedimenta er forstyrret; under avsetning, etter avsetning (eks. bioturbasjon) eller ved prøvetaking og kutting. Vidare kan blanding av prøvemateriale frå fleire kjernar ha stor innverknad her. Blanding av prøvemateriale i denne undersøkinga er kjent og vert kommentert for kvar kjerne.

I alle kjernane ser ein minskande innhald av Pb-210 nedover i kjernen. Dette stemmer godt overeins med at Pb-210 har ein radioaktiv decay med $t_{1/2} = 22,3$ år. Det er stor forskjell i Pb-210 nivået frå prøve til prøve; i overflatelaget frå 96 Bq/kg i R1046 til 921 Bq/kg i R818. I alle kjernane ser ein også at nivået av Ra-226 er stabilt nedover i heile kjernen.

I fleire av kjernane (eksempelvis R749) ser ein at mengda der sedimentert Pb-210 er utdødd ligg noko over mengda av Ra-226. Teoretisk skal desse mengdene vere identiske sidan Pb-210 og Ra-226 her er i likevekt med kvarandre. Det er undersøkt og utelukka at bakgrunn er årsaken. Tap av radon frå boksen er ikkje årsaken; det vil ha motsett effekt. Grad av kverning av sedimenta kan tenkjast å vere årsaken, men det er ikkje undersøkt.

For dei kjernane der dette er tilfelle, er det gjort datering både på Pb-210 og Ra-226 dataene slik dei er, men også etter korrigering for avstanden mellom dei. Denne siste dateringa kan ein anta er den beste.

I mange tilfeller ser ein Cs-137 i lag som er sedimenterte lenge før de kjernefysiske industrien starta. Det er vist fleire gonger at Cs-137 kan bevege seg nedover via porevatn (pers. komm. Dr. Peter Roos, DTU, Danmark; Grøttheim, 1998; Holby and Evans, 1996; Ritchie and McHenry, 1990). Nivået av Cs-137 i sedimentoverflata og øvre lag varierar frå 0,8 Bq/kg i R997 (0-1cm) til 25,9 Bq/kg i R818 (1-2cm).

I nokre av kjernane er det svært lite Cs-137; dette har vore slik over tid.

I fleire av kjernane ser ein ei klar auke i innhaldet av Cs-137 i sediment som er lagt for nokre få år sidan. Ein ser ikkje puls-tilførsel; tilførselen ser ut å vera kontinuerlig. At ein ikkje finn Cs-137 klart knytt til 1986 (Tsjernobyl) er ikkje uventa sidan nedfall på sjø vil bli blanda og fortynna. Vidare vil avrenning frå land både langs Norskekysten og frå Østersjøområdet føre til eit kontinuerleg påfyll.

Prøvetaking og kutting vil være kjelder til usikkerheit. Avhengig av botnforhold kan kjernen være teken i ein vinkel som avvik frå 90 grader på overflata. Dette vil resultere i lag som ikkje er parallele med overflata. Også avhengig av botnforhold kan ein ha komprimert sedimentet ved prøvetaking. Kompresjon kan vere ulik i kjernar frå same "corer-skudd". Kutting av kjernar vil også vere kjelder til usikkerheit. Måling og kutting av 1 cm lag i vête sedimentkjernar kan være vanskeleg. Tap av prøvemateriale i kutteprosessen vil også påverke resultatet. Viss tapet er like stort frå alle lag vil det ikkje bety noko, men viss ein taper meir av topplag enn botnlag vil dateringa føra til at lag nede vil bli vurderte for unge. Viss ein misser meir av botnlag vil dei bli vurderte som for gamle.

R769 er gjennomsnitt av to kjernar, dette kan innføra auka usikkerheit viss homogeniseringa er dårleg.

Kjernen viser minkande innhald av Pb-210 nedover. Men dei øverste laget fylgjer ikkje den normale decay.

Nivået av Pb-210 når ikkje heilt ned til nivået av Ra-226. Mengde Pb-210 er i likevekt med mengde Ra-226; d.v.s sedimentert Pb-210 er utdødd; ved ca 10,5 cm. I dateringa er det derfor korrigert for avstanden mellom dei. I kolonna til høgre er alderen viss ein ikkje korrigerar for avstanden mellom Pb-210 og Ra-226.

Ikkje korrigererte årstal stemmer godt overens med utviklinga av kjernefysiske våpen og industri. Det er først i 1955 ein ser målbare mengder Cs-137. Korrigererte årstal viser Cs-137 i sedimentlag frå før denne industrien var starta. Mengda Cs-137 er høgst i 1-2cm laget. Dette kan stamme frå ein forholdsvis høg utstrøyming av Tsjernobyl-Cs-137 frå Østersjøen.

R682 har i dei tre øverste laga blanding av det laget det er merkast om og laget under. Gjennomsnittsdjupet vert derfor forskyvd 0,5cm nedover. Dette er årsaken til knekken ved 3-4cm i Pb-210-kurva. Det er ikkje korrigert for dette her.

Profilen viser minkande innhald av Pb-210 nedover i kjernen. Nedgangen er imidlertid ikkje jevn som ein kan forvente når det er knytt til radioaktiv decay.

Nivået av Pb-210 når ikkje heilt ned til nivået av Ra-226. Mengde Pb-210 er i likevekt med mengde Ra-226 (sedimentert Pb-210 er utdødd) ved ca 13,5 cm. I dateringa er det derfor korrigert for avstanden mellom dei. I kolonna til høgre er alderen viss ein ikkje korrigerar for avstanden mellom Pb-210 og Ra-226.

Tilførselen av Cs-137 er kontinuerlig; men ein ser litt forhøga tilførsel av Cs-137 midt på 70-talet. Dette kan gjerne skuldast utslepp frå Sellafield som hadde topp i den perioden. Denne kjernen ser ut til å ha lite Cs-137 frå Tsjernobyl.

R739 har i det øverste laget materiale frå 2 kjernar; dvs innhaldet i det øverste laget heng ikkje saman med innhaldet nedover i kjernen.

Kjernen viser minkande innhald av Pb-210 nedover. Men dei øverste laga har ikkje høgast innhald av Pb-210 som forventa. Blanding av materiale frå 2 kjernar kan være ei av årsakene til dette.

Innhaldet av Pb-210 i denne kjernen når ned til innhaldet av Ra-226 som forventast; det er derfor ikkje gjort korrigeringar her.

Ser Cs-137 i alle laga; men ser ein forhøga tilførsel av Cs-137 midt på 70-talet. Dette kan gjerne skuldast utslepp frå Sellafield som hadde topp i den perioden.

Ein øvelse med å stokke om på dei øverste laga for å tilpasse det ein jevn nedgang på Pb-210 resulterte i ein litt meir markert Cs-137-topp på 70-talet.

R749 har i dei tre øverste laga materiale frå 2 kjernar; dvs innhaldet i dei tre øverste laga heng ikkje saman med innhaldet nedover i kjernen.

Profilen viser minkande innhald av Pb-210 nedover i kjernen. Nedgangen er imidlertid ikkje jevn som ein kan forvente når det er knytt til radioaktiv decay. At dei tre øverste laga er blanding frå to kjernar er sannsynlegvis årsak når det gjeld desse 3 laga. Nivået av Pb-210 når ikkje heilt ned til nivået av Ra-226. Mengde Pb-210 er i likevekt med mengde Ra-226 ved ca 10,5 cm. I dateringa er det derfor korrigert for avstanden mellom dei; i kolonna til høgre er alderen viss ein ikkje korrigerar for avstanden mellom Pb-210 og Ra-226.

Innhaldet av Cs-137 er høgast øverst i kjernen. Cs-137 profilen fylgjer Pb-210 profilen. $T_{1/2}$ for Cs-137 er ~40% høgare enn $t_{1/2}$ for Pb-210. D.v.s. Cs-137 skal dø ut litt seinare enn Pb-210. Tilførselen av Cs-137 kan seiast å vere kontinuerleg, men mest dei siste åra. Ein kan då anta at dette er Cs-137 frå Tsjernobyl.

R882 har materiale berre frå ein kjerne.

Profilen viser minkande innhald av Pb-210 nedover i kjernen. Nedgangen er imidlertid ikkje jamn. I denne kjernen er det ikkje teke inn materiale frå andre kjernar.

Mengden av Pb-210 i denne kjernen når ned til mengden av Ra-226 som forventast; det er derfor ikkje gjort korrigeringar her.

Tilførselen av Cs-137 har vore høgst dei siste åra. Profilen viser ein markert tilførsel av Cs-137 i perioden mellom 1981 og 1995. Dette kan då skuldast Tsjernobyl-utsleppet som starta i 1986. Viss ein korrigerar for decay (Cs-137 har $t_{1/2} = 30,2$ år) i forhold til alderen på sedimentet, vil det framkomme ein tydlegare topp i profilen ved 2-3 cm – laget som er lagt etter 1981 og datert til 1995.

R818 har i dei 9 øverste laga materiale frå 2 kjernar; dvs innhaldet i dei ni øverste laga heng ikkje saman med innhaldet elles nedover i kjernen.

Profilen viser minkande innhald av Pb-210 nedover i kjernen. Men det når ikkje heilt ned til Ra-226. Antek at sedimentert Pb-210 er utdøydd ved ca 16 cm og korrigerar for det. Dei øverste 8 laga i denne kjernen var ikkje pakka tidleg nok før måling for å sikre likevekt mellom Ra-226 og Pb-210. Dette kan ha medført tap via Rn-222 og dermed for låg verdi på Pb-210. Resultatet er at dateringa vert meir usikker.

Ser også her ein markert auke i innhaldet av Cs-137 i tidsperioden 1981 til 1991. Dette stemmer med utslepp frå Tsjernobyl i 1986. Cs-137 profilen fylgjer ikkje Pb-210 profilen; det har vore ein vesentleg høgare tilførsel av Cs-137 i ein periode som no er forbi. Viss ein korrigerar for decay (Cs-137 har $t_{1/2} = 30,2$ år) i forhold til alderen på sedimentet vil det framkomme ein topp i profilen ved 2-3 cm – laget som er lagt etter 1989 og datert til 1998.

Dette er den kjernen som saman med R739 har høgast innhald av Cs-137. Men ein kan anta at i R739 er kjelda Sellafield og her er den Tsjernobyl.

R997 har materiale berre frå ein kjerne.

Profilen viser minkande innhald av Pb-210 nedover i kjernen. Sedimentert Pb-210 er utdødd ved ca 15 cm. Denne kjernen vert ikkje påkka tidleg nok før måling for å sikre likevekt mellom Ra-226 og Pb-210. Dette kan ha medført tap via Rn-222 og dermed for låg verdi på Pb-210. Resultatet er at dateringa vert meir usikker.

Innhaldet av Cs-137 i denne kjernen er svært låg og til dels under deteksjonsgrensa. Her har det vore lite tilførsel og denne er minkande sidan det øverste laget har mindre enn laga under.

R858 har materiale berre frå ein kjerne.

Profilen viser minkande innhald av Pb-210 nedover i kjernen. Sedimentert Pb-210 er utdødd ved ca 10 cm. Nivået av Pb-210 minkar til under nivået av Ra-226. Årsaken kan være tap via Rn-222. I dateringa er det derfor korrigert for avstanden mellom dei i kolonna til høgre er alderen viss ein ikkje korrigerar for avstanden mellom Pb-210 og Ra-226.

Det kan sjå ut som Cs-137 er tilført i to omgangar; i periodane 1959 til 1974 og 1984 til 1993. Den første kan ein anta skuldast Sellafield, den andre kan ein anta skuldast Tsjernobyl. Også i denne kjernen er tilførselen av Cs-137 minkande dei seinaste åra.

R1046 har materiale berre frå ein kjerne.

Profilen viser minkande innhald av Pb-210 nedover i kjernen. Sedimentert Pb-210 er utdødd ved ca 10 cm.

Innhaldet av Cs-137 i denne kjernen er svært lågt, og dei fleste tilfellene under deteksjonsgrensa. Dette har også vore stabilt over tid.

Vidare arbeid

Utrekning av sedimentasjonshastigheiter, vurdering i forhold til prøvetakingsposisjon og datering etter CIC-modell bør også gjerast på desse kjernane.

01.07.13

Ingrid Sværen

Referansar

Goldberg, E .D., 1963. Geochronology with Pb-210 in radioactive dating. International Atomic Energy Agency. Symposium Proceedings, Vienna 1962: 121-131.

Appleby, P.G., Oldfield, F., 1978. The Calculation of lead-210 dates assuming a constant rate of supply of unsupported 210Pb to the sediment. *Catena* Vol.5: 1-8.

Schötzig, U ., Schraeder, H ., 1993. Halbwertszeiten und Photonen-Emissionswahrscheinlichkeiten von häufig verwendeten Radionukliden. Physikalisch-Technische Bundesanstalt, Braunschweig. ISBN 3-89429-349-7.

Cutshall, N.H., Larsen, I.L., Olsen, C.R., 1983. Direct analysis of 210Pb in sediment samples: Self-absorption corrections. *Nuclear Instruments and Methods* 206: 309-312.

Sværen, I., 2010. Cesium-137 in sediments from two Norwegian fjords - Including dating sediment cores. Master of Science Thesis in Environmental Chemistry. Department of Chemistry. University of Bergen.

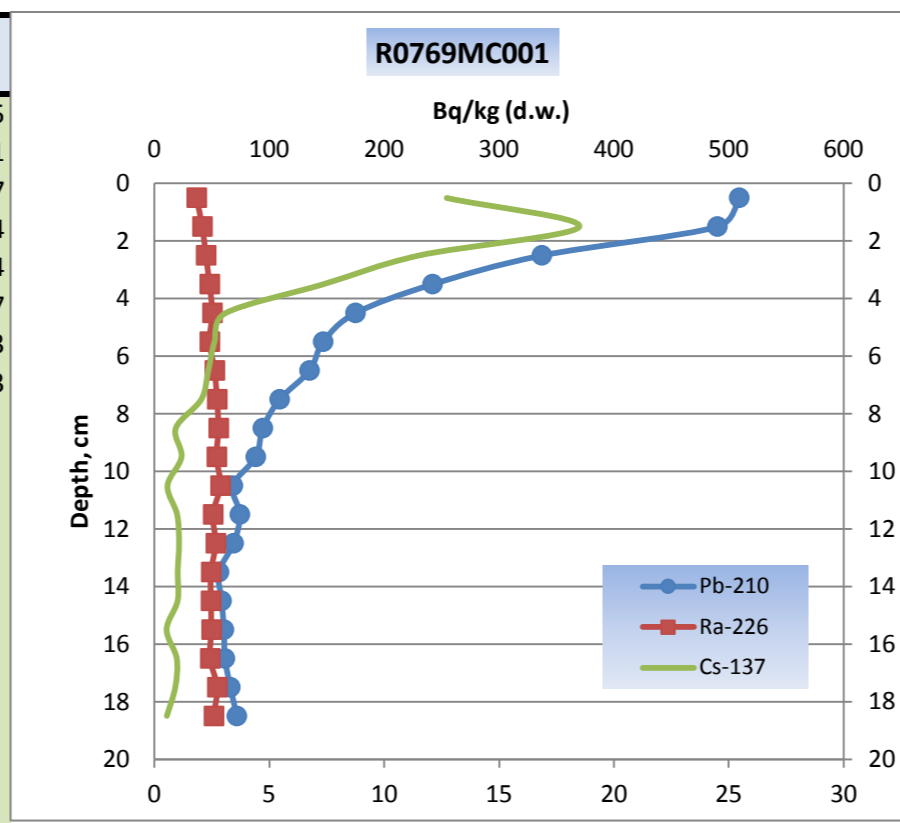
Binford, M.W., 1990. Calculation and uncertainty analysis of 210Pb dates for PIRLA project lake sediment cores. *Journal of Paleolimnology*, 3: 253-267.

Grøttheim, S., 1998. A preliminary report on radioactive contamination in the northern marine environment. Studies on distribution of radiocaesium, plutonium and americium in sea water and sediments. Norwegian Radiation Protection Authority.

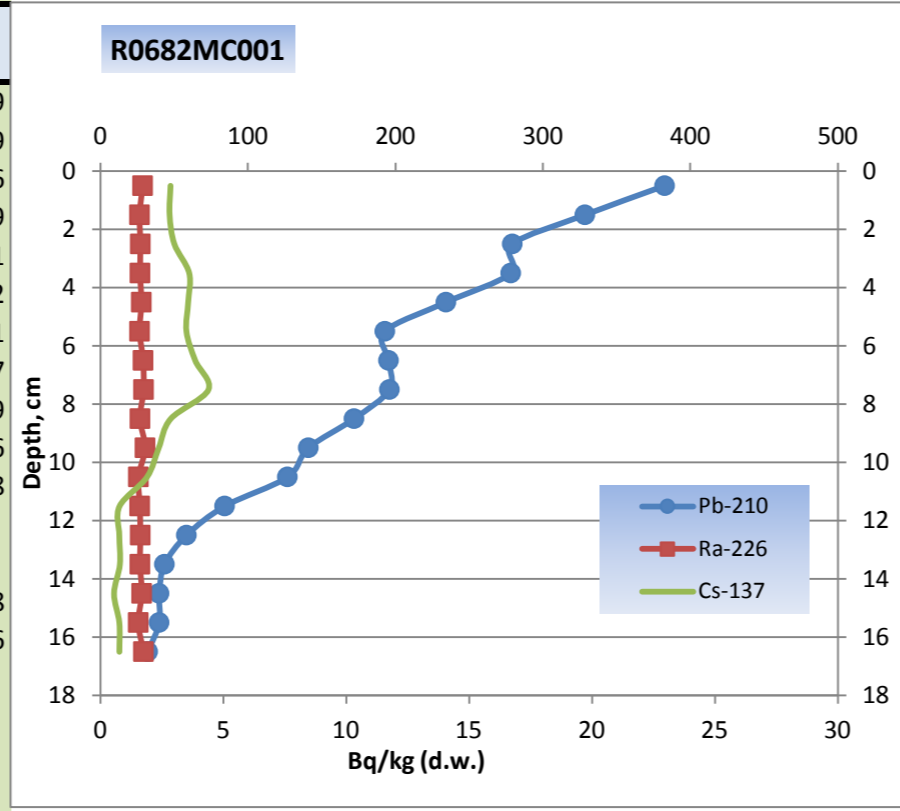
Holby, O., Evans, S., 1996. The Vertical Distribution of Chernobyl-Derived Radionuclides in a Baltic Sea Sediment. *Journal of Environmental Radioactivity*, 33: 129-145.

Richie, J .C., McHenry, J .R., 1990 Application of radioactive fallout cesium-137 for measuring soil erosion and sediment accumulation rates and patterns: a review. *Journal of Environmental Quality*, 19: 215-233.

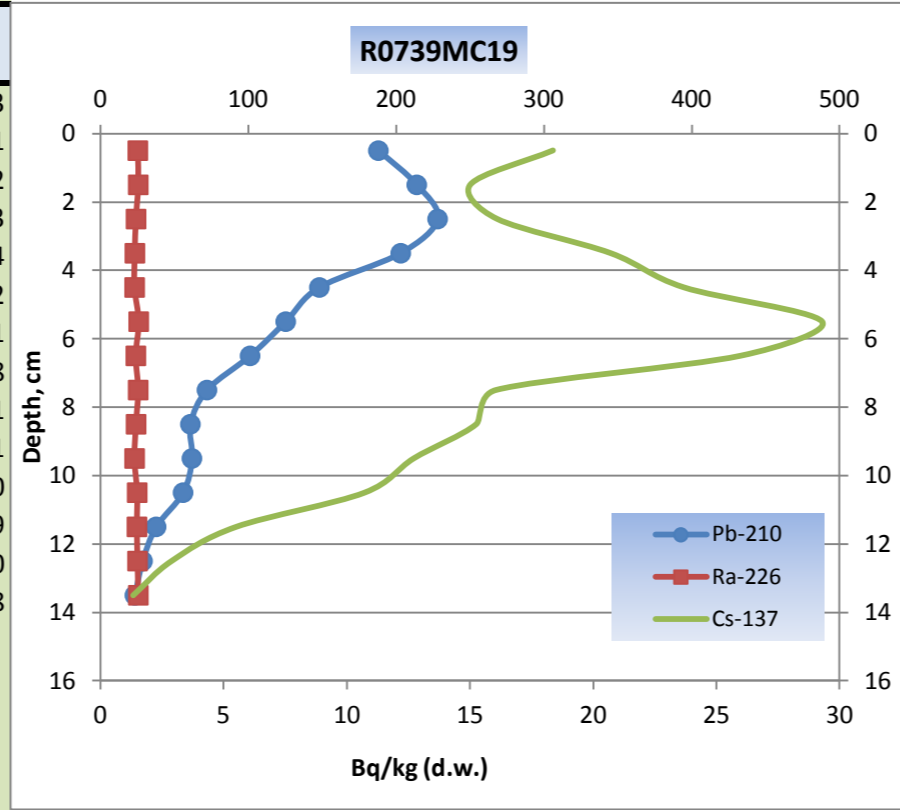
R0769MC001	Middeldjup, cm	Årstill lag; korrigert	Årstill lag; ikkje korrigert	Cs-137, Bq/kg (tørrvekt)	usikkerheit, Bq/kg tørrvekt
98051	0,5	2012	2012	12,7	1,5
98052	1,5	2005	2006	18,5	1,1
98053	2,5	1993	1996	11,5	1,7
98054	3,5	1980	1987	7,3	1,4
98055	4,5	1968	1978	3,1	1,4
98056	5,5	1957	1970	2,6	0,7
98057	6,5	1942	1962	2,3	1,3
98058	7,5	1926	1955	2,0	1,3
98059	8,5	1906	1947	<0,9	
98060	9,5	1881	1940	<1,2	
98061	10,5			<0,6	
98062	11,5			<1,0	
98063	12,5			<1,1	
98064	13,5			<1,0	
98065	14,5			<1,0	
98066	15,5			<0,5	
98067	16,5			<1,0	
98068	17,5			<0,9	
98069	18,5			<0,5	



R0682MC001	Middeldjup, cm	Årstill lag; korrigert	Årstill lag; ikkje korrigert	Cs-137, Bq/kg (tørrvekt)	usikkerheit, Bq/kg tørrvekt
098090	0,5	2011	2011	2,9	0,9
098091	1,5	2008	2008	2,8	0,9
098092	2,5	2004	2004	3,0	0,6
71417	3,5	2000	2000	3,6	0,9
71418	4,5	1994	1994	3,6	1,1
71419	5,5	1988	1990	3,5	1,2
71420	6,5	1982	1983	3,9	1,1
71421	7,5	1974	1976	4,4	0,7
71422	8,5	1963	1967	2,9	0,9
71423	9,5	1949	1955	2,4	0,6
71424	10,5	1933	1942	1,9	0,8
71425	11,5	1903	1923	<0,8	
71426	12,5	1862	1905	<0,8	
71427	13,5			0,8	0,8
71428	14,5			0,6	0,6
71429	15,5			<0,8	
71430	16,5			<0,8	
	17,5				
	18,5				

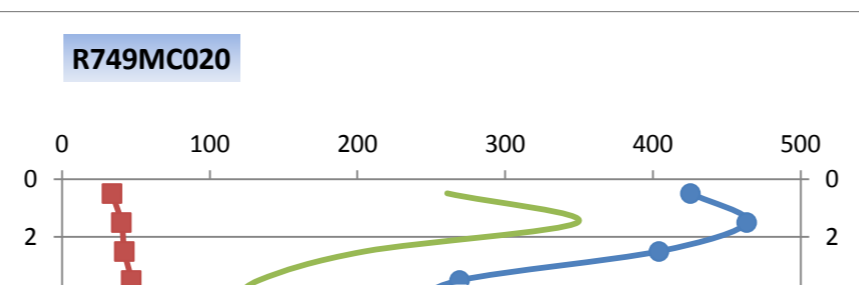


R739MC019	Middeldjup, cm	Årstill lag	Cs-137, Bq/kg (tørrvekt)	usikkerheit, Bq/kg tørrvekt
98093	0,5	2012	18,4	1,3
71553	1,5	2008	15,0	1,1
71554	2,5	2002	16,1	1,2
71555	3,5	1995	20,7	1,3
71556	4,5	1986	23,7	1,4
71557	5,5	1976	29,3	1,2
71558	6,5	1966	26,0	1,1
71559	7,5	1953	16,1	0,8
71560	8,5	1942	15,3	1,1
71561	9,5	1931	12,7	1,1
71562	10,5	1911	10,7	1,0
71563	11,5	1872	5,5	0,9
71564	12,5		2,9	1,0
71565	13,5		1,3	0,8
	14,5			
	15,5			
	16,5			
	17,5			
	18,5			

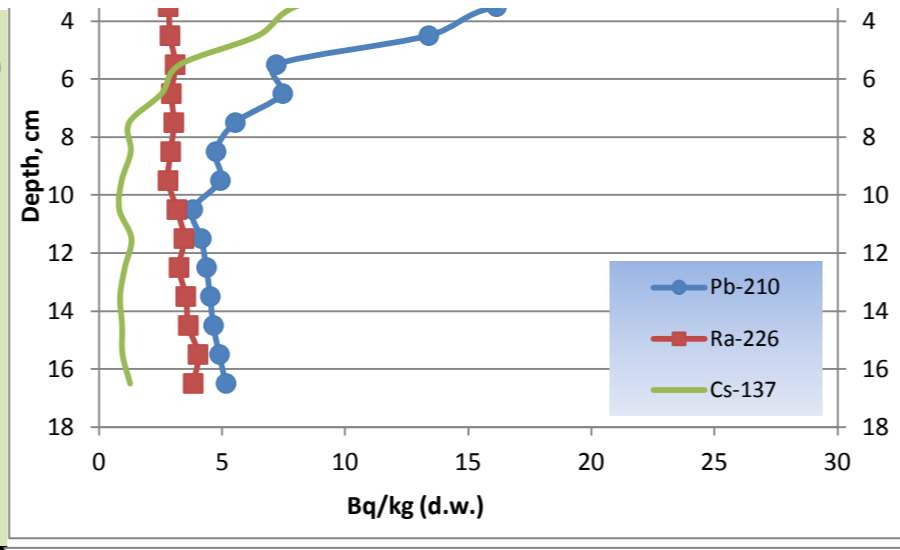


x

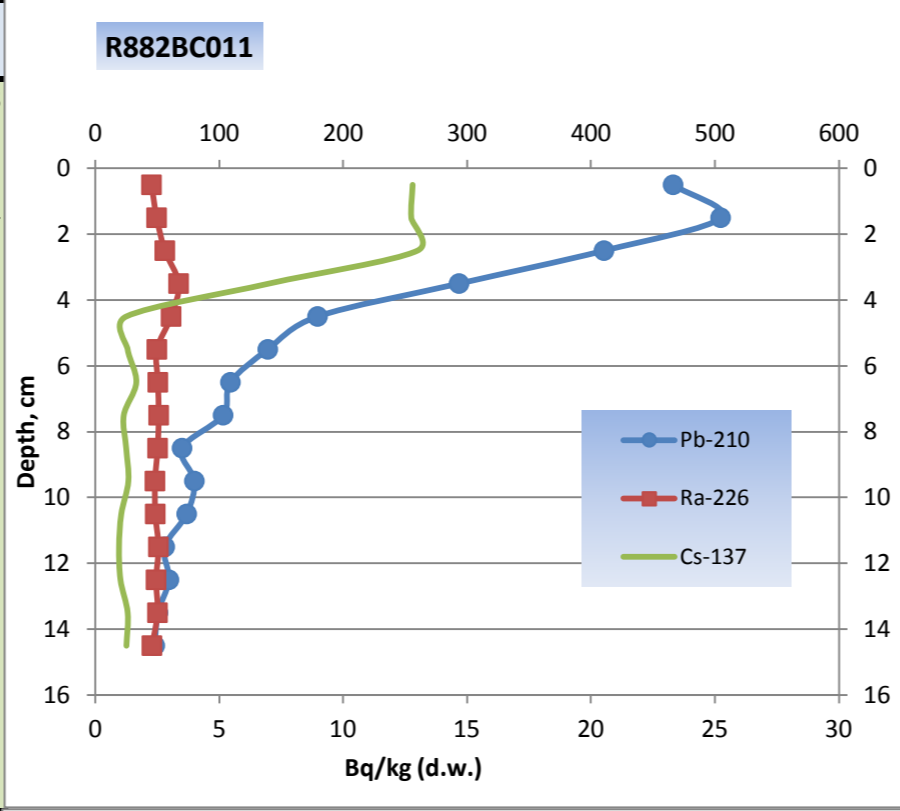
R749MC020		Årstall lag; korrigert	Årstall lag; ikkje korrigert	Cs-137, Bq/kg (tørrvekt)	usikkerheit, Bq/kg tørrvekt
98094	0,5	2012	2012	15,6	1,4
98095	1,5	2008	2008	20,9	1,5
98096	2,5	1999	2000	12,3	1,2
93629	3,5	1985	1988	8,0	1,1
93630	4,5	1971	1976	6,5	1,2



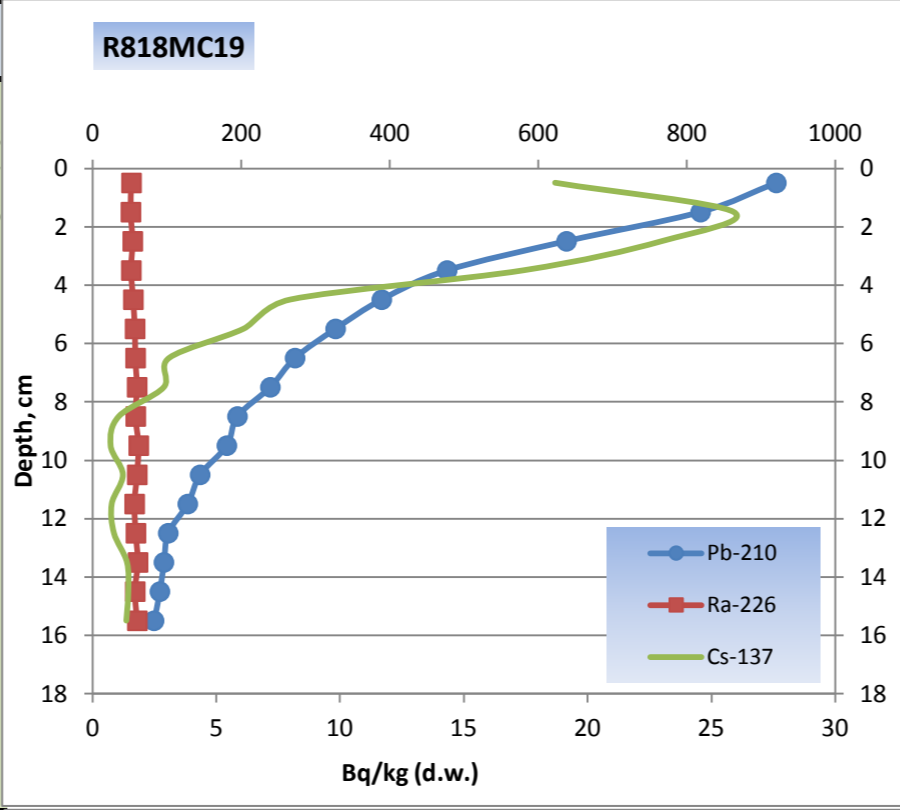
93631	5,5	1951	1960	3,3	1,2
93632	6,5	1939	1950	2,6	1,0
93633	7,5	1919	1934	1,2	1,3
93634	8,5	1903	1920	1,3	1,1
93635	9,5	1885	1901	<0,9	
93636	10,5			<0,8	
93637	11,5			<1,3	
93638	12,5			<1,1	
93639	13,5			<0,9	
93640	14,5			<0,9	
93641	15,5			<1,0	
93642	16,5			<1,3	
	17,5				
	18,5				



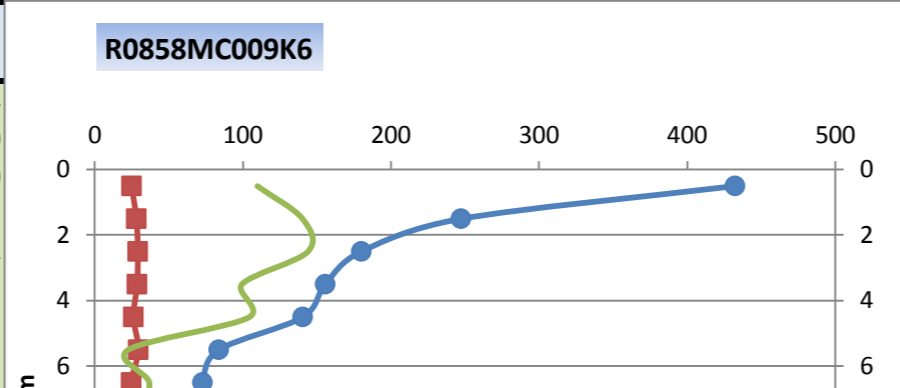
R882BC011		Middeldjup, cm	Årstall lag	Cs-137, Bq/kg (tørrvekt)	usikkerheit, Bq/kg tørrvekt
65931	0,5		2012	12,8	1,8
65932	1,5		2004	12,7	2,1
65933	2,5		1995	13,0	1,3
65934	3,5		1981	7,0	1,4
65935	4,5		1968	<1,3	
65936	5,5		1959	<1,3	
65937	6,5		1948	1,7	1,3
65938	7,5		1939	<1,2	
65939	8,5		1923	<1,3	
65940	9,5		1916	<1,3	
65941	10,5		1900	<1,1	
65942	11,5		1873	<1,0	
65943	12,5			<1,0	
65944	13,5			<1,3	
65945	14,5			<1,3	
	15,5				
	16,5				
	17,5				
	18,5				



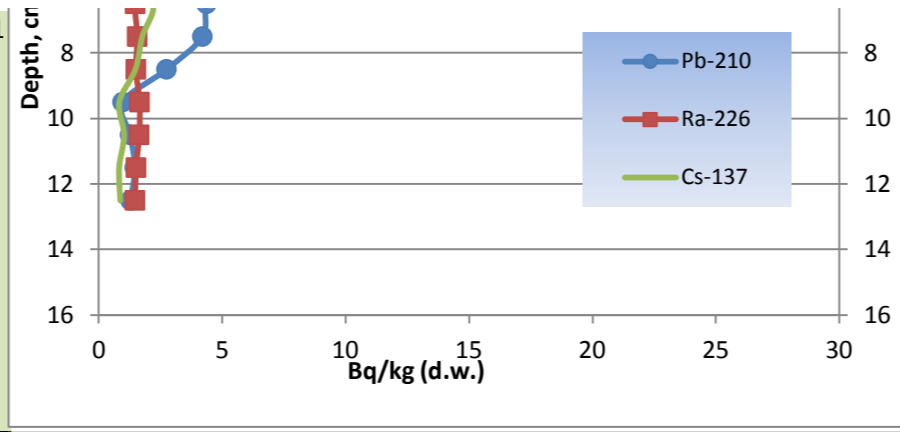
R818MC5		Middeldjup, cm	Årstall lag; korrigert	Årstall lag; ikkje korrigert	Cs-137, Bq/kg (tørrvekt)	usikkerheit, Bq/kg tørrvekt
65635	0,5		2012	2012	18,7	1,5
65636	1,5		2006	2006	25,9	1,8
65637	2,5		1998	1999	23,0	1,7
65638	3,5		1989	1991	17,4	1,6
65639	4,5		1981	1984	8,0	1,3
65640	5,5		1972	1977	6,1	1,2
65641	6,5		1963	1969	3,1	1,2
65642	7,5		1954	1961	2,9	1,1
65643	8,5		1942	1953	1,1	1,2
65644	9,5		1932	1945	<0,7	
65645	10,5		1918	1935	<1,2	
65646	11,5		1902	1924	<0,8	
65647	12,5		1880	1912	<0,9	
65648	13,5				<1,4	
65649	14,5				<1,5	
65650	15,5				<1,4	
	16,5					
	17,5					
	18,5					



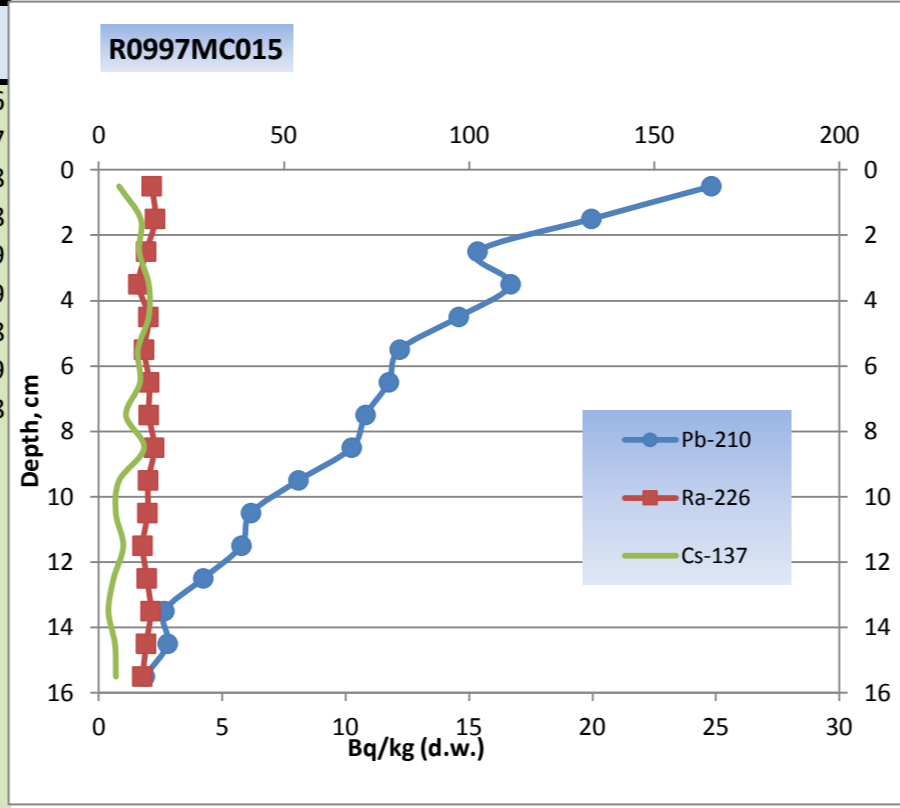
R0858MC009K6		Middeldjup, cm	Årstall lag; korrigert	Årstall lag; ikkje korrigert	Cs-137, Bq/kg (tørrvekt)	usikkerheit, Bq/kg tørrvekt
65970	0,5		2012	2012	6,6	1,4
65971	1,5		2002	2001	8,4	1,0
65972	2,5		1993	1992	8,6	1,0
65973	3,5		1984	1983	6,0	1,2
65974	4,5		1974	1971	6,3	1,4
65975	5,5		1959	1954	1,4	1,1
65976	6,5		1947	1939	2,2	1,1
65977	7,5		1930	1917	1,8	1,1



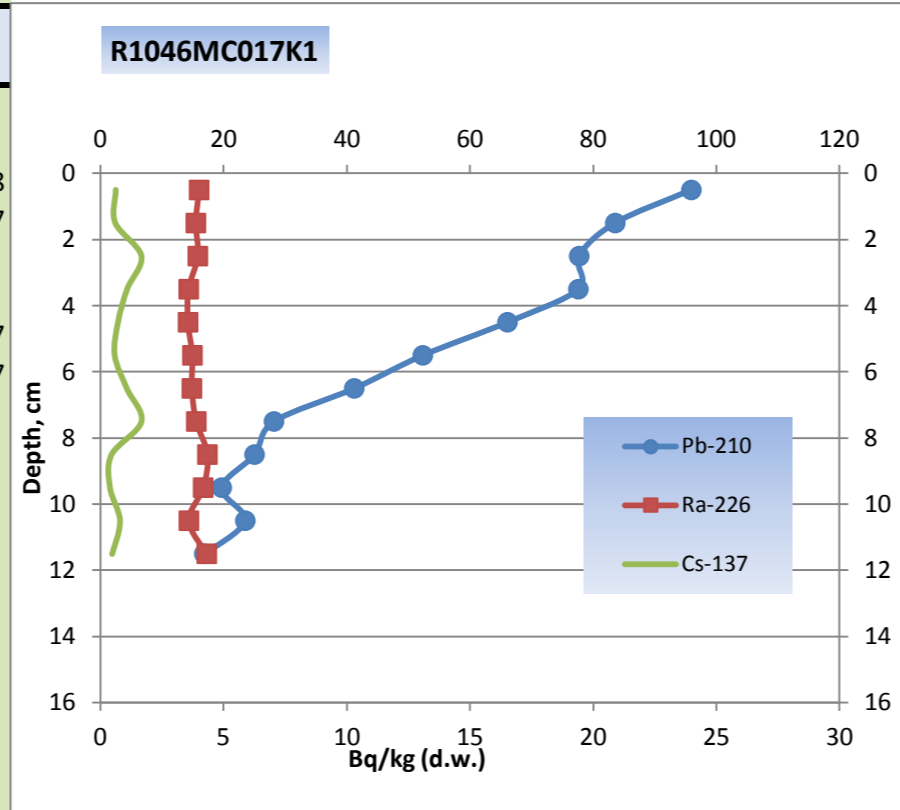
65978	8,5		1,5	1,1
65979	9,5			
65980	10,5			
65981	11,5			
65982	12,5			
	13,5			
	14,5			
	15,5			
	16,5			
	17,5			
	18,5			



R0997MC015	Middeldjup, cm	Årstall lag	Cs-137, Bq/kg (tørrvekt)	usikkerheit, Bq/kg tørrvekt
93821	0,5	2013	0,8	0,6
93822	1,5	2008	1,7	0,7
93823	2,5	2003	1,6	0,8
93824	3,5	1999	2,0	0,8
93825	4,5	1993	2,0	0,9
93826	5,5	1987	1,6	0,9
93827	6,5	1980	1,7	0,8
93828	7,5	1972	1,1	0,9
93829	8,5	1963	1,8	0,8
93830	9,5	1952	<0,8	
93831	10,5	1939	<0,7	
93832	11,5	1925	<1,0	
93833	12,5	1903	<0,6	
93834	13,5		<0,4	
93835	14,5		<0,7	
93836	15,5		<0,7	
	16,5			
	17,5			
	18,5			



R1046MC017K1	Middeldjup, cm	Årstall lag	Cs-137, Bq/kg (tørrvekt)	usikkerheit, Bq/kg tørrvekt
93889	0,5	2013	<0,6	
93890	1,5	2006	<0,6	
93891	2,5	1999	1,7	0,8
93892	3,5	1991	1,1	0,7
93893	4,5	1980	<0,7	
93894	5,5	1967	<0,6	
93895	6,5	1952	1,1	0,7
93896	7,5	1931	1,7	0,7
93897	8,5	1917	<0,5	
93898	9,5	1901	<0,4	
93899	10,5	1891	<0,8	
93900	11,5		<0,5	
	12,5			
	13,5			
	14,5			
	15,5			
	16,5			
	17,5			
	18,5			



UBANo	Sample ID	Material Type	¹⁴ C Age	±	F14C	±	uAC
UBA-21628	R769, 5-6cm		1177	29	0.864	0.0032	29.8

Jochen Knies
Geological Survey of
Norway
Postboks 6315 Sluppen
Leiv Eirikssons vei 39
Trondheim 7490
Norway



¹⁴CHRONO Centre
Queens University
Belfast
42 Fitzwilliam Street
Belfast BT9 6AX
Northern Ireland

Radiocarbon Date Certificate

Laboratory Identification: UBA-21628

Date of Measurement: 2013-06-29

Site:

Sample ID: R769, 5-6cm

Material Dated: shell or other carbonates

Pretreatment: Acid Etch

Submitted by: Jochen Knies

Conventional	1177±29
¹⁴ C Age:	BP
Fraction	using AMS
corrected	δ ¹³ C

Information about radiocarbon calibration

RADIOCARBON CALIBRATION PROGRAM*

CALIB REV6.0.0

Copyright 1986-2010 M Stuiver and PJ Reimer

*To be used in conjunction with:

Stuiver, M., and Reimer, P.J., 1993, Radiocarbon, 35, 215-230.

Annotated results (text) - -

Export file - c14res.csv

R769 5-6cm

UBA-21628

Radiocarbon Age BP 1177 +/- 29

Calibration data set: intcal09.14c

Reimer et al. 2009

% area enclosed	cal AD age ranges	relative area under probability distribution
-----------------	-------------------	--

68.3 (1 sigma)	cal AD 782- 790	0.088
----------------	-----------------	-------

	809- 889	0.912
--	----------	-------

95.4 (2 sigma)	cal AD 774- 900	0.899
----------------	-----------------	-------

	918- 961	0.101
--	----------	-------

References for calibration datasets:

PJ Reimer, MGL Baillie, E Bard, A Bayliss, JW Beck, PG Blackwell, C Bronk Ramsey, CE Buck, GS Burr, RL Edwards, M Friedrich, PM Grootes, TP Guilderson, I Hajdas, TJ Heaton, AG Hogg, KA Hughen, KF Kaiser, B Kromer, FG McCormac, SW Manning, RW Reimer, DA Richards, JR Southon, S Talamo, CSM Turney, J van der Plicht, CE Weyhenmeyer (2009) Radiocarbon 51:1111-1150.

Comments:

* This standard deviation (error) includes a lab error multiplier.

** 1 sigma = square root of (sample std. dev.^2 + curve std. dev.^2)

** 2 sigma = 2 x square root of (sample std. dev.^2 + curve std. dev.^2)

where ^2 = quantity squared.

[] = calibrated range impinges on end of calibration data set

0* represents a "negative" age BP

1955* or 1960* denote influence of nuclear testing C-14

NOTE: Cal ages and ranges are rounded to the nearest year which may be too precise in many instances. Users are advised to round results to the nearest 10 yr for samples with standard deviation in the radiocarbon age greater than 50 yr.

<>



Norges geologiske undersøkelse
Postboks 6315, Sluppen
7491 Trondheim, Norge

Besøksadresse
Leiv Eirikssons vei 39, 7040 Trondheim

Telefon 73 90 40 00
Telefax 73 92 16 20
E-post ngu@ngu.no
Nettside www.ngu.no

*Geological Survey of Norway
PO Box 6315, Sluppen
7491 Trondheim, Norway*

*Visitor address
Leiv Eirikssons vei 39, 7040 Trondheim*

*Tel (+ 47) 73 90 40 00
Fax (+ 47) 73 92 16 20
E-mail ngu@ngu.no
Web www.ngu.no/en-gb/*